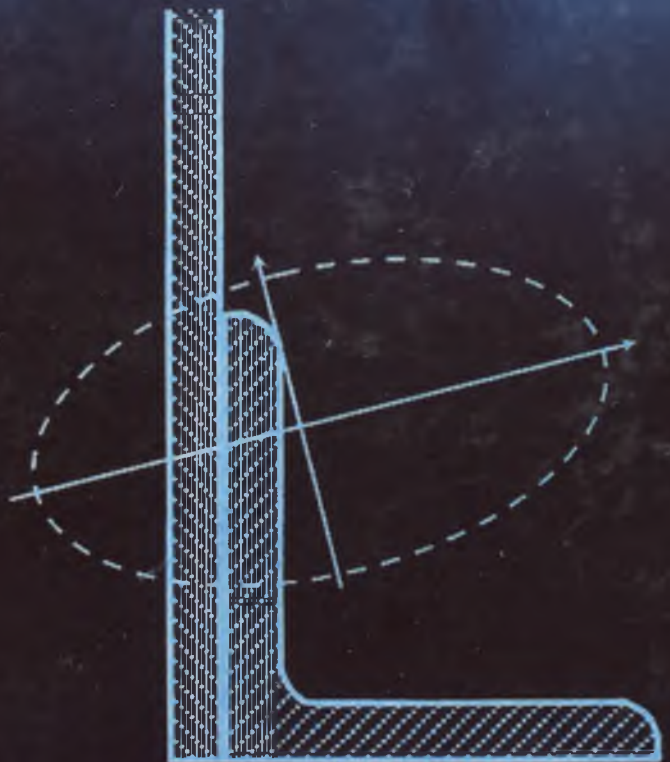


620
B 66.

Bibutov N.S. Hojiev A.X.

MATERIALLAR QARSHILIGI



O'ZBEKISTON RESPUBLIKASI OLIY VA O'RTA
MAXSUS TA'LIM VAZIRLIGI

BUXORO MUHANDISLIK TEXNOLOGIYA
INSTITUTI

Bibutov N.S., Hojiev A.X.

MATERIALLAR QARSHILIGI

*O'zbekiston Respublikasi Oliy va o'rta maxsus ta'lif vazirligi tomonidan o'quv
yurtlarining 5321500 – Texnologiyalar va jihozlar (mashinasozlik), 5340200-
«Bino va inshoot qurilishi» bakalavriat ta'lif yo'nalishi uchun darslik sifatida
tavsiya etilgan.*

BUXORO-2020
«DURDONA» NASHRIYOTI

30.121я7

539.3/.6(075)

B 66

Bibutov, N.S.

Materiallar qarshiligi [Matn] : darslik / Bibutov N.S., Hojiev A.X.
- Buxoro: "Sadriddin Salim Buxoriy" Durdonashriyoti, 2020. - 640 b.

КБК 30.121я7

УУК 539.3/.6(075)

TAQRIZCHILAR

Xasanov S.M.

– Toshkent Davlat Texnika Universiteti «Materiallar qarshiligi va mexanika» kafedrasi professori, t.f.n.

Vohidov M.M.

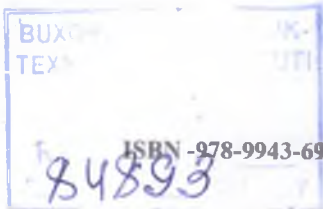
– Buxoro muxandislik - texnologiya institute professori t.f.d.,

Murodov N.M.

– Toshkent irrigatsiya va qishloq xo'jaligini mexanizatsiyalash injenerlari instituti Buxoro filiali direktori t.f.d., professor.

Materiallar qarshiligi konstruktsiya elementlarini mustahkamlikka, bikrlikka va ustuvorlikka muxandischa hisoblash asoslarini tashqil etuvchi fandir. Darslikda materiallarni fiziko-mexanik xossalari, to'g'ri sterjenlarni cho'zilish, siljish, buralish, egilish, murakkab qarshilikda va egri sterjenlardagi kuchlanish va deformatsiyalar o'rganiladi.

Kitobda materiallar qarshilitgida masalalarni Yechish metodikasi keltirilgan, nazariy matnni qisqartirish evaziga echilayotgan masalalarining soni kupaytirildi. Darslik qurilish, transport va mashinasozlik mutaxassisligida ta'lim olayotgan bakalavrular uchun mo'ljallangan.



84893

ISBN -978-9943-6988-4-0

© Bibutov N.S., Hojiev A.X.

SO'Z BOSHI

Kadrlar tayyorlash milliy dasturida, xalqning boy intellektual merosi va umumbashariy qadriyatlar asosida zamonaviy madaniyat, iqtisodiyot, fan-tekhnika va texnologiyalarning yutuqlari asosida kadrlar tayyorlashning mukammal tizimini shakllantirish O'zbekiston tarqqiyotining muhim shaklidir deyilgan. Bu yuksak vazifani amalgalash uchun yoshlarni har tomonlama barkamol qilib tarbiyalash, jahon andozalari talabiga mos ravishda bilimli mutaxassislar tayyorlash maqsadga muvofiqdir. Ilm-fanning zamonaviy yutuqlari asosida mustaqil fikr va mushohada yurita oladigan yuqori malakali kadrlarni tayyorlash masalasi o'quv adabiyotlarining – darsliklarning yangi avlodini yaratishni talab etmoqda. Birinchi Prezidentimiz I.A.Karimov «Ta'lim darslikdan boshlanadi» degan edi. Haqiqatdan yaxshi o'qish ham, samarali o'zlashtirish ham darslik bilan chambarchas bog'liqdir, ya'ni sifatli darslik nafaqat o'rganuvchilarining qiziqishini oshiradi balki etarlicha tajribaga ega bo'limgan yosh o'qituvchilar uchun uslubiy qo'llanma bo'ladi, ularning kamchiligini bartaraf etadi.

Materiallar qarshiligi fanini asosiy vazifalariga mashina, mexanizm va muxandislik inshootlarining detallari va qismlarini mustahkamlikka, bikrlikka va ustuvorlikka hisoblash va loyihalash asoslarini o'rgatish kiradi.

Bakalavrni tayyorlashda materiallar qarshiligi faniga katta e'tibor beriladi. Chunki talaba birinchi marotaba detallarni hisoblash va loyihalashni ko'nikmalariga ega bo'ladi. Materiallar qarshiligi fanidan olingan bilimlar – talabalarga umummuxandislik va maxsus fanlarni o'rganishda kerak bo'ladi.

Materiallar qarshiligi darsligini yozishda o'zbek, rus va xorij olimlarining ushbu fandan yozgan darslik va o'quv qo'llan malaridan foydalanildi

[1,2,3,4,5,6,7,8,9,10,11,12,13,14,15,16,17,18,19,20,21,22,23,24,25,31,32,33]

O'zbekiston Respublikasi Prezidentining 2011 yil 20 maydag'i "Oliy ta'lim muassasalari moddiy-teknika bazasini mustahkamlash va yuqori malakali mutaxassislar tayyorlash sifatini tubdan yaxshilash bo'yicha choratadbirlari to'g'risida"gi PQ-1533-sonli qaroriga muvofiq Oliy va O'rta Maxsus ta'lim vazirligi rivojlantirish Fondi 2016 y. hisobidan Buxoro muxandislik-teknologiya instituti "Mexanika" kafedrasiga "Materiallar

qarshiligi” laboratoriya uskunlari ajratildi va Germaniyaning DiChTe GmbH firmasi maxsuloti keltirib o’rnatildi: [33] **FL130, WP 400, WP 140, WP 130, FL 160, WP 600, WP 960, FL 170, SE 110.18, SE 110.16, SE 110.20, WP 950, WP 120, WP 121, WP500** va **WP 300**. Ushbu qurilmalarda tajriba ishlarini bajarish yo’riqnomasi va tartibi GUNT tomonidan ishlab chiqilgan va bu yo’riqnomaga darslikda qayta ishlangan holda keltirilmoqda.

Materiallar qarshiligi fanining kesish usuli va unga tegishli misollar, cho’zilish yoki siqilish, buralish, egilishga oid echildgan misollar va mustaqil ishlar kiritildi.

Darslikning ushbu nashrida mavzulardan keyin tajriba ishlari, glossariy va echilgan masalalar to’plami kengaytirildi.

Talabalar ta’lim olayotgan mutaxassisliklariga bog’liq holda u yoki bu mavzuni qisqartirilgan holda o’rganishlari mumkin.

Ushbu darslik 5321500 – Texnologiyalar va jihozlar (mashinasozlik) ta’lim yo’nalishidan tashqari 5321500 – Texnologiyalar va jihozlar (Yengil sanoat jihozlarini ta’mirlash va texnik xizmat ko’rsatish), 5320200– Mashinasozlik texnologiyasi, 5310600- Yer usti transporti tizimlari va ularning ekspluatatsiyasi (avtomobil transporti bo’yicha), 5340200-«Bino va inshoot qurilishi» bakalavriat ta’lim yo’nalishlarda hamda qishloq xo’jaligini mexanizatsiyalash ta’lim yo’nalishlarida bakalavr tayyorlayotgan oliv o’quv yurtlarining talabalari uchun ham darslik sifatida qo’llanilishi mumkin.

Ushbu darslikni tayyorlashda o’zining qimmatli maslahatini bergenligi uchun I.A.Karimov nomli Toshkent Davlat texnika universitetining professori S.M.Xasanovga mualliflar minnatdorchilik bildiradilar.

KIRISH

Umumiy tushunchalar. Dunyoda uchraydigan hamma hodisalar bepoyon fazo va cheksiz vaqt ichida sodir bo'luvchi uzlusiz harakatlarning turli shakllaridan iborat. Harakat deganda oddiy ko'chishdan boshlab fizik – kimyoviy, biologik o'zgarishlarda bo'ladigan murakkab jarayonlar tushuniladi. Bu harakatlarning eng oddisi mexanik harakat – mexanika fanida o'rganiladi.

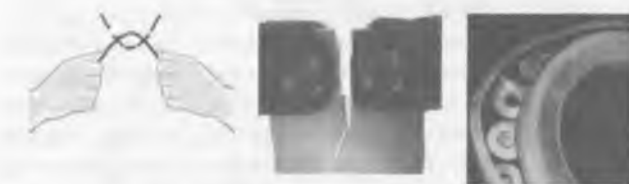
Mexanika (yunoncha: mechanike – mashina, quroq, inshoot) – moddiy jismalarning mexanik harakati va o'zaro ta'sirlashuvi haqidagi fan. «Mexanika» iborasi qadimgi filosof Aristotel (eramizdan avval 384-322 y) tomonidan birinchi marotaba ishlataligani. Jismalarni muvozanati to'g'risidagi birinchi mulohazalar Arximed ilmiy ishlarida keltirilgan. Mexanika qadimiy fanlarning biri bo'lib tabiatning barcha hodisalarida va texnikaning yaratilishida o'z aksini topadi. Chunki biror bir tabiiy hodisani uning mexanik tomonini hisobga olmasdan tushunib bo'lmaydi, mexanikaning u yoki bu qonuniyatini e'tiborga olmasdan texnika yaratilmaydi.

Mexanikada o'rganiladigan ob'ektlarni kuchlar ta'sirida o'zining dastlabki o'lchami va shaklini o'zgartirishi mumkin bo'lgan harakatlanuvchan (mashina, mexanizm) yoki harakatlanmaydigan (bino, ko'prik, rezervuar) mexanik sistemalarga kiritish mumkin. *Vaziyati va harakati boshqa jismalarning vaziyati va harakatiga bog'lik bo'lgan qattiq jismalarning to'plamiga mexanik sistema* (bundan keyin sistema deb aytamiz) deyiladi. Sistemanini tarkibiga kiruvchi qattiq jismalarni, uning elementlari deyiladi.

Nazariy mexanikada jism absolyut qattiq deb o'rganiladi, materiallar qarshiligidagi uning deformatsiyalangan holati o'rganiladi. *Jismning chiziqli yoki burchakli o'lchamlarini o'zgarishi deformatsiya deyiladi. Deformatsiya, jism zarrachalarining* (molekulalar, atomlar, ionlar) orasidagi masofani o'zgarishi natijasi. Deformatsiya jismga ta'sir qiluvchi kuch yoki undagi temperaturani o'zgarishi sababli yuzaga keladi. *Jismga ta'sir qiluvchi kuch yoki undagi temperaturani o'zgarishi tashqi faktordir. Jismga qo'yilgan tashqi faktor yuklanish deyiladi,* aks holatda yuksizlantirish bo'ladi.

Tashqi faktor ta'siri yo'qotilgandan keyin jism zarrachalarining boshlang'ich vaziyatini tiklanishini ta'minlovchi materialning xossasi elastiklik deyiladi. Tashqi faktor xususiy holda chegaraviy qiymatdan oshmasa, ko'plab materialni elastiklik xossasi yo'qolmaydi. *Yuksizlantirish natijasida to'liq yo'qolgan deformatsiya elastik deformatsiya deyiladi.* Agar, tashqi faktor chegaraviy qiymatidan ortib ketsa yuksizlantirishdan keyin jismning o'lchamlari boshlang'ich qiymatlaridan farq qiladi. *Yuksizlantirishdan keyin jisma qolgan deformatsiya qoldiq yoki plastik deformatsiya deyiladi, jismni plastik deformatsiyani qabul qilish qobiliyatini*

plastiklik deyiladi. Tashqi faktorning qiymatini yanada oshirsak jism deformatsiyasining o'lchami shunday qiymatga erishadiki, natijada jism bir butunligini saqlab qolaolmaydi va u bo'laklarga bo'linib (emirilib) ketadi. Har qanday sistema ekspluatatsiya jarayonida hosil bo'lgan plastik deformatsiya natijasida yuksizlantirilsa, u nafaqat emirilmasligi hattoki o'zining boshlang'ich o'lchamlarini ham o'zgartirmaydi.



*Podshipnik
tashqi
halqasining
deformatsiyasi*

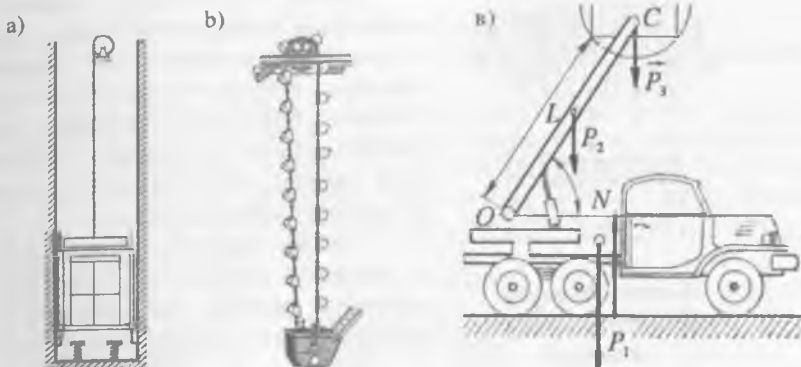
Sistemadagi birorta elementni emirilishi yoki unda plastik deformatsiyani hosil bo'lishi xavfli yoki chegaraviy holat deyiladi.

Sistemanı xavfli holatiga emirilmasdan qarshilik ko'rsata olish qobiliyati mustahkamlik deyiladi. Mashina yoki inshoot qismlarini ishlash jarayoniga ko'ra mustahkamligini turlicha bo'lishi mumkin. Masalan: ko'p hollarda mustahkamlig - real shareitda uzoq muddatda elementning geometrik o'lchami yoki shaklini o'zgartirmasligini ta'minlashga qaratiladi. Masalan, liftning trosi (*1-rasm,a*), kovshlar biriktirilgan lenta (*1-rasm,b*) yoki yuk to'ldiruvchi mashinaning strelasi (*1-rasm,v*) va h.k. Ayrim hollarda katta kuch ta'sirida elementlarning shaklini bir holatdan ikkinchi holatga va yana qaytib boshlang'ich holatga o'tishini ta'minlashga qaratiladi (*2 - rasm*).

Sistemanı deformatsiyasi elastik va mustahkamligi etarlicha bo'lsa ham u o'zining vazifasini bajara olmasligi mumkin. Masalan, mashinalarni ressorlari, prujinalar. Ressorning egrilik radiusi kichiklashadi, prujina esa siqilib (cho'zilib) qoladi.

Sistema elementlarining elastik deformatsiyasida nuqtalarning ruxsat etilmagan ko'chishlarisiz tashqi faktorning ta'siriga qarshilik ko'rsata olish qibiliyati bikrlik deyiladi.

Ayrim hollarda, tashqi faktorning kritik qiymatida, mustahkamligi ta'minlangan elementdagи kichik uyg'onishlar nisbatan katta ko'chishlarni keltirib chiqaradi.



1 - rasm. a) lift trosining yuklanishi; b) kovshli lenta;
c) yuk to'ldiruvchi mashina strelasidagi kuchlar



2-rasm.
prujina

Bu xodisa ustuvorlikni yo'qotish deyiladi. Masalan to'g'ri chiziqli ingichka plankaga (3-rasm) qo'yilgan siquvchi kuch o'zining kritik qiymatidan 0,1 % ga oshirilsa, uning nisbiy ko'chishi siquvchi kuchning kritik qiymatigacha bo'lgan ta'sirida plankaning bo'ylama ko'chishidan o'tiz marotaba katta bo'ladi.

Plankaning shakli egrilanadi va u xavfli holatda bo'lishi mumkin (3-rasm).



3-rasm. siqilayotgan planka

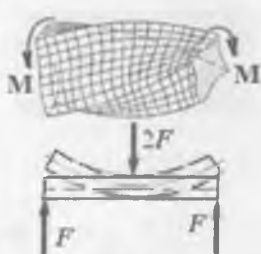
Sistema elementlarining to'g'ri chiziqli shaklini saqlagan holda siquvchi kuchga qarshilik ko'rsata olish qobiliyati ustuvorlik deyiladi.

Har qanday mashina yoki muxandislik inshootini loyihalash jarayonida material, shakl va o'lchamlarni tanlashda faqat uni ekspluatatsiya qilish talablarini bajarish uchun emas, balki mustahkamlik, bikrlik va ustuvorlik shartlarini ham ta'minlash lozim. Yuqoridaqilar asosida deformatsiyaning (4-rasm) quyidagi xossalariini ta'kidlash mumkin:

1. Deformatsiyadan keyin jismning shakli uning holati va qo'yilgan kuchga bog'liq.
2. Deformatsiyani qiymati uchta faktorga bog'lik: tashqi kuch va temperaturanering qiymati va o'zgarish qomuniyatiga (*tashqi faktor*);



jismni o'lchami va shakli (*geometrik faktor*); jism materialining sifati va miqdori (*fizik faktor*).



4-rasm. Jismning deformatsiyalangan holatlari

almashtirish talab etiladi. Lekin, sistemani engil vaznda tayyorlash uchun metall sarfini iqtisod etish talabini bajarish uchun materialdan ratsional foydalanish kerak.

Bir tomonlama, mustahkamlik, bikrlik va ustuvorlik talablari, ikkinchi tomonidan, kam material sarflash talablari orasidagi qarama – qarshilik asosida materiallar qarshiligi fanining vazifasi kelib chiqadi va u fan sifatida o'zaro bog'lik bo'lgan ikkita nazariy va eksperimental yo'naliishlarda olib boriladi va rivojlanib kelmoqda, chunki:

1. Materiallar qarshiligining asosiy xususiyati shundaki, uning barcha usullari (echimlari, qonuniyatları) tajribada aniqlangan va tekshirilib oldindan qabul qilingan gipotezalarga asoslanadi;

2. Ko'plab masalalar taqrifiy matematik echimni ruxsat etadi va uning aniqligi tajribada tekshirilishi lozim;

3. Turli materiallarning elastiklik, plastiklik va mustahkamlik xossalari belgilovchi mexanik xarakteristika lari faqat tajriba usuli bilan o'rGANILADI;

4. O'ta masul sistemalar va ularning elementlarini emiruvchi kuch (ruxsat etilgan yuk) tajribada aniqlanadi.

Materiallar qarshiligi to'g'risidagi dastlabki ishlarni italiyalik olim G.Galiley chop etgan va ushbu fanga asos solgan.

Demak, mustahkamlik, bikrlik va ustuvorlikni o'zgartirish uchun yoki deformatsiya xarakterini yoki yuqorida keltirilgan faktorlarni o'zgartirish lozim. Sistemani funksional vazifasiga ko'ra mustahkamlikka hisoblashda deformatsiya xarakteri, tashqi faktorlar va gabarit o'lchamlar berilgan bo'ladi.

Bunday hollarda, mustahkamlikni ta'minlashda sistemani tayyorlash uchun yuborilgan material miqdorini oshirish yoki uni yuqori sifatli material bilan

«Kim xarakat bilan tanish bo’lmasa, u tabiatni bilmaydi»

GALILEO GALILEY.

11 yoshiga qadar maktabga qatnadi. So’ngra o’sha davr tamoyiliga ko’ra, uning tarbiyasi va ma’lumot olish monastirda davom etdi, u erda Galiley lotin va yunon yozuvchilarining asarlari bilan tanishdi. 1581 yilda Galiley meditsinani o’rganish uchun Piza universitetiga kirdi. Bu erda u birinchi marta Aristotel, Evklid Arximed asarlarini o’qib chiqdi. Matematika va mexanikaga

	<p>GALILEO GALILEY (1564-1642)</p>	
	<p>15 fevral 1564 yil Pizada to’g’ilgan, 8 yanvar 1642 yil Archetri, Florentsiya yaqinida vafot etgan. 1638 yil Galiley ikki yangi ilmiy ishi to’g’risidagi kitobini chop etdi. Uning bir qismi materiallar qarshiligi sohasidagi mustahkamlikka bag’ish-langan birinchi ilmiy ish edi</p>	
	<p>Egilishda teng qarshilik ko’rsa-tuvchi brus ta’siridagi masala</p>	
		<p>Galiley tomonidan va formula asosida chizilgan kuchlanish epyurasi</p>

ishtiyoqi bo’lgan Galiley universitetini tashlab, 4 yil Florentsiyada matematikani o’rgandi. Ana shu davrda uning gidrostatikaga bog’liq bo’lgan birinchi ilmiy asarlarini va jismrlarning harakatlanishda og’irlilik markazining rolini aniqlashga doir asarlarini yozdi. U energiya qonunini ochdi, bu qonunga

ko'ra agar jismga hech qanday kuch ta'sir qilmasa, jism qancha uzoq muddat bo'lmasin o'zining tinch xolatini yoki to'g'ri chiziqli va tekis harakatini saqlaydi. Galiley jismalarning erkin tushish qonunlarini qiya tekislikdagi harakatini, gorizontga ma lum burchak ostida otilgan jismning harakat qonunlarini o'rgandi. U mayatnikning tebranish qonunini aniqladi. 1609 yilda Galiley o'zining 3 marta kattalashtirib ko'rsatadigan teleskopini, oz vaqt o'tgach 32 marta kattalashtirib ko'rsatadigan teleskop nusxasini yaratdi va uni osmonga qaratib osmon jismalarni tomosha qildi. Galiley o'zining hamma kashfiyotlarini "Yulduzlar xabarchisi" da yozib qoldirgan (1610).

Galileyning inertsiya qonuni haqidagi ifodasi: jism gorizontal tekislik bo'yicha bir maromda to'xtovsiz harakatlanganda ishqlanishda bo'ladi. Og'ir jism tushayotganda juda ham tez harakat qiladi o'z harakatining kvadratiga proporsionaldir. Ammo jism qancha og'ir bo'lmasin havoning qarshiligiga uchraydi va keyinchalik tezligi yo'qoladi va harakat bir xil va bir maromda bo'ladi.

Galiley tabiat qonunlari haqida mana shunday oddiy gapirib berardi.

Galileyning ijodiga buyuk frantsuz mexanigi Jazev Lui Lagranj (1736-1813) katta baho bergen. Dinamika ilmiga birinchilardan bo'lib asos soldi va uni rivojlanishiga o'z hissasini qo'shdi. Galileygacha kuchlarning jismga ta'siri faqat tenglikda deb qaralardi.

Materiallar qarshiligi fanining vazifasi. Hozirgi zamon mashinasozlik sanoati murakkab harakat qiluvchi, katta quvvatli, tez yurar, hamda yuqori sifatlari engil konstruktsiyali mashina va mexanizmlami yaratmoqda. Mashina va inshootni loyihalashda asosiy e'tibor, uning barcha qismlari tashqi kuch va boshqa faktorlar (harorat, yuqori bosim, katta deformatsiya tezligi h.k.) ta'sirida o'z shaklini va xususiyatini, ya'ni mustahkamligini ta'minlashga qaratilishi zarur.

Materiallar qarshiligi fani – mashina, mexanizm va inshoot qismlarining mustahkamligi, ustuvorligi va bikrlikini hisoblash usullarini o'rgatadi.

Materiallar qarshiligi mustahkamlik, ustuvorlik va bikrlikni elementlarning deformatsiyasiga bog'lab o'rganadi. Bu masalalar bilan qattiq jismlar mexanikasi fanining elastiklik nazariyasi, plastiklik nazariyasi, qurilish mexanikasi ham shug'ullanadi. Materiallar qarshiligi boshqa fanlardan o'zini amaliyligi bilan farq qiladi, ya'ni konstruktsiya qismi tashqi kuchga bardosh beradimi – yo'qmi, mustahkamligi etarlimi, bikrlik darajasi qanchaligini faqat nazariyada emas, balki amaliyotda, tajribada sinab ko'radi.

Materiallar qarshiligining hisoblash va amaliy usullari, matematika, fizika, ximiya, nazariy mexanika, materialshunoslik va shu singari bir qancha fanlarning taraqqiyoti bilan bog'liq ravishda jadal rivojlanmoqda.

Xulosa. Deformatsiyalanuvchi qattiq jism mexanikasi – turli ta'sirlanuvdagagi deformatsiyalanish shartlarida qattiq jismni harakat qonunlari va muvozanatini o'rganuvchi fan. Qattiq jismning deformatsiyasi o'lcham yoki shaklini o'zgarishi bilan belgilanadi. Qattiq jismning bunday xususiyati bilan injiner o'zining faoliyatida inshoot konstruktsiyalarning elementlari va mashinalarda uchratadi. Masalan, cho'zuvchi kuch ta'siridan sterjen uzayadi, ko'ndalang qo'yilgan yuk ta'siridagi balka egiladi. Yuk ta'sirida qattiq jismda ichki kuchlar hosil bo'ladi, bu

kuchlar jismni deformatsiyalanishga qarshilik kuchlarini xarakterlaydi. Bir birlik yuzaga to'g'ri keluvchi ichki kuchlar kuchlanish deyiladi.

Qattiq jismni turli ta'sirlashuvda kuchlanganlik-deformatsiyalangan holatini izlanishi deformatsiyalanuvchi qattiq jism mexanikasining asosiy masalasini tashkil etadi.

Texnika va qurilish oliygochlarda deformatsiyalanuvchi qattiq jism mexanikasining tarkibidagi-materiallar qarshiligi inshoot va muhandislik hisoblash usullari bilan shug'ullanmani amaliy xarakterga ega. Ushbu masalalarni to'g'ri Yechish mashina, mexanizm va muhandislik inshootlarini loyihalash va uning asosida ularning ekspluatatsiya davrida ishonchligini ta'minlaydi.

Konstruktsiyaning ishonchlik muammosi – konstruktsiyani samarali ishlashi yoki ekspluatatsiyasi, material sarfi, qurish yoki tayyorlash texnologiyasi nuqtai nazardan optimal variantni tanlash echimi bilan bog'liq.

Texnik oliygochlarda materiallar qarshiligi inshoot va mashinalarni loyihalash sohasidagi birinchi injenerlik fani hisoblanadi. Materiallar qarshiligidagi asosan oddiy konstruktiv elementlar – bruslar, sterjenlar, balkalarni hisoblash metodikasi beriladi.

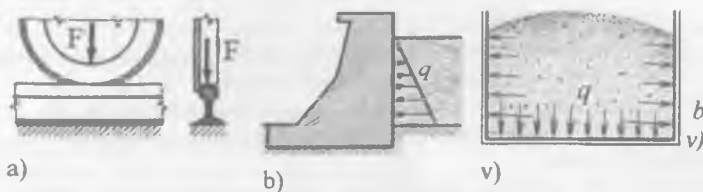
Deformatsiyalanuvchi qattiq jismlar mexanikasi injenerlik amaliyotida konstruktsiyalar hisobining usullarini bajara olmasa, kuchlanish va deformatsiyalarni aniqlashni turli eksperimental usullari (tenzometriya, kolyarizatsion – optik va h.k.) qo'llaniladi.

KUCH VA KUCH TURLARI

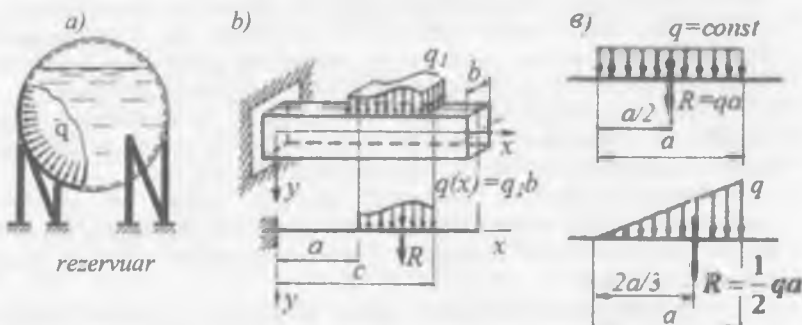
Inshoot va mashina qismlariga ta'sir qiluvchi kuchlar yoki quylgan yuklar tashqi kuch bo'ladi. Tashqi kuchlar aktiv va reaktiv kuchlarga bo'linadi. Aktiv kuchlar – yuk deb yuritiladi. Tashqi kuch elementlarga quylishi jihatidan to'planma yoki taqsimlangan kuchlarga bo'linadi. Agar yukning qo'yilish o'lchamlari konstruktsiya elementi o'lchamlaridan juda kichik bo'lsa – bunday kuch to'planma kuch deb yuritiladi. Masalan: vagon g'ildiragini relsga (*S – rasm, a*) bosimi. To'planma kuch – nyuton (*N*); kilonyuton (*kN*) va tonnalarda (*t*) o'lchanadi. Agar yuk konstruktsiya qismining yuzasi yoki uzunligi bo'ylab ta'sir qilsa, bunday kuch taqsimlangan kuch deyiladi (*S – rasm, b, v*). Suv to'g'onining devorlariga, sochiluvchan materiallarni idish tubiga va devorlariga, ustiga qo'yilgan materiallarni ko'prikning ramasiga va hokazolar taqsimlangan (*yoyilgan*) kuchlarga misol bo'ladi. Bunday kuchlar teng taqsimlangan (*S – rasm, v*) yoki teng taqsimlanmagan kuchlarga (*S – rasm, b*). bo'linadi. Element uzunligi bo'ylab xususiy og'irligining o'zgarishi teng taqsimlanmagan kuchga misol bo'ladi.

Taqsimlangan kuch uzunlik bo'yicha ta'sir qilsa $\frac{N}{m}, \frac{kN}{m}$ larda, yuza bo'ylab

$\frac{kN}{m^2}$ o'lchanadi. Sirtda ta'sir qiluvchi taqsimlangan kuchlarga suyuqlikni rezervuar devoriga ta'siri (*6 - rasm*), bino tomiga qor va shamol bosimini misol qilish mumkin.



5-rasm.
a) to'planma;
b) notejis va
v) teng taqsimlangan



6-rasm. Taqsimlangan kuchlar va ularning qo'yilish nuqtasi va teng ta'sir qiluvchisini topish [29]

Chiziqli taqsimlangan kuchlarning teng ta'sir qiluvchisi

$$R = \int_0^l q(x) dx \text{ ga teng.}$$

Taqsimlangan kuchning qo'yilish nuqtasi yoki ta'sir chizig'i statika qoidasiga asosan topiladi (6-rasm,v). Kichik yuzaga ta'sir qiluvchi kuchlar to'planma kuch deb qabul qilish mumkin (6-rasm,v).

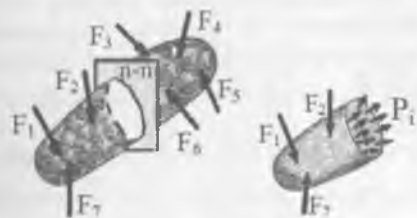
Vaqt oralig'ida o'zgarish xususiyatiga ko'ra tashqi kuchlar statik va dinamik kuchlarga bo'linadi.

Noldan o'zining oxirgi o'zgarmas qiymatigacha asta-sekin silliq o'zgaradigan kuch - statik kuch deyiladi. Masalan: stanokning betonga, imoratning asosiga bosimi. Vaqt oralig'ida ishorasini va qiymatini o'zgartiradigan, takrorlanuvchi, bir onda ta'sir qiladigan kuchlar - dinamik kuchlar deyiladi. Dinamik kuchlarga - aylanma yoki tebranma harakatda ishlovchi konstruktsiya qismlari; zarb ta'siri misol bo'ladi.

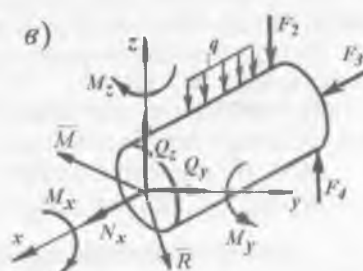
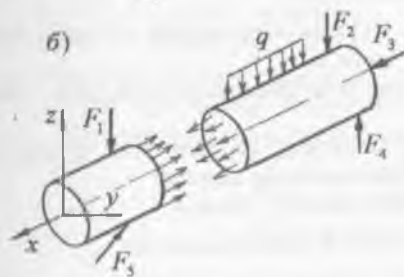
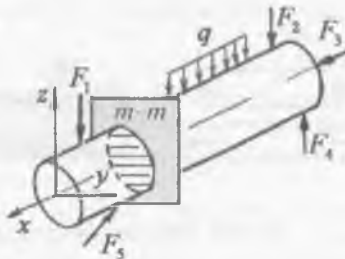
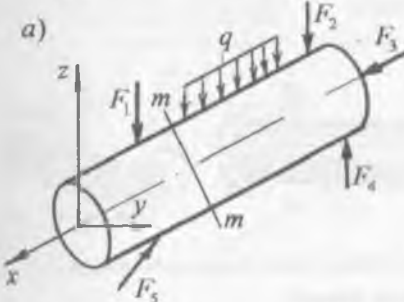


7-rasm

ICHKI KUCH FAKTORLARI. Ichki kuch - tashqi kuch ta'sirida kelib chiqadi. Jismalarning deformatsiyalanishida material zarrachalari orasidagi masofalar o'zgaradi (uzoqlashadi yoki yaqinlashadi). *Deformatsiyalangan jism tarkibidagi zarrachalarni boshlang'ich vaziyatga keltirish yoki muvozanatni tiklashga intilgan kuchlar ichki kuchlar yoki zo'riqish kuchlari deyiladi.* Ichki kuchni ko'tish va aniqlash uchun kesish usulidan foydalanamiz.



8 - rasm. Kesish usuli: a) brusning umumiy yuklanish sxemasi;
b) brusning kesilgan yuzasida ichki kuchlarni ko'rinishi;
v) brusning kesilgan yuzasida ichki kuch faktorlarining ko'rinishi



Kesish usuli. Qattiq jismning mustahkamligi undagi zarrachalarning o'zaro tortishish kuchlari P_i bilan ifodalanadi. Jismga tashqaridan ta'sir ko'rsatilsa, zarrachalarning o'zaro tortishish kuchlari intensivlashadi.

Tashqi kuch ta'sirida zarrachalar o'zaro ta'sirining intensivlashuviga – ichki kuch deyiladi.

Ichki kuchlar tashqi kuch va materialning fizik – mexanik xossalariiga bog'liq bo'ladi. Konstruktsiya qismalarining mustahkamligi va bikrligini ta'minlashda ichki kuch katta rol o'yaydi. Berilgan tashqi kuchlar ta'sirida muvozanatda bo'lgan brusning (8-rasm,a) ixtiyoriy tanlangan kesim yuzasidagi ichki kuchlarni aniqlash uchun, uni shu kesim yuzasidan $m - m$ tekisligi bilan kesib ikki qismga ajratamiz (8-rasm,a).

Brus bir qismining ikkinchi qismiga ta'siri o'zaro teng va qarama – qarshi tomonlarga yo'naladi (8-rasm, b). Brusning bir qismini tashlab yuboramiz. Natijada, brusning olib qoligan qismida tashlab yuborilgan qismning ta'siri yo'qotilishi evaziga uning muvozanati buziladi. Bu qismning muvozanatini ta'minlash uchun uning kesilgan yuzasiga tashlab yuborilgan qism ta'sirini bosh kuch vektori \bar{R} va bosh moment vektori \bar{M} ko'rinishida keltirilishi lozim (8-rasm, b).

Bosh kuch vektori va bosh moment vektori olib qoligan qism uchun ichki kuch hisoblanadi. \bar{R} va \bar{M} -ni XYZ o'qalarida tashkil etuvchilar $N_x, Q_y, Q_z, M_x, M_y, M_z$ -ga ajratamiz:



9-rasm. Ichki kuch faktorlari: a) bo'ylama kuch; b) burovchi moment; v) eguvchi moment

N_x – bo'ylama kuch, brusning bo'ylama o'qi bo'ylab yo'nalgan uning ta'sirida brus cho'ziladi yoki siqladi (9-rasm, a).

Q_y, Q_z – brusning bo'ylama o'qiga perpendikulyar joylashganligi uchun ko'ndalang kuch deyiladi.

M_x – burovchi moment brusning ko'ndalang kesimida hosil bo'ladi (9-rasm, b). Uning ta'sirida brus buralish deformatsiyasiga uchraydi.

M_y va M_z – momentlari ta'sirida brus egiladi (9-rasm, v).

$N_x, Q_y, Q_z, M_x, M_y, M_z$ – ichki kuch faktorlari deyiladi.

Ichki kuch faktorlarini topish uchun brusning ajratilgan qismidagi barcha kuchlardan muvozanat shartlari tuziladi.

$$\sum X = 0 \quad \sum M_x = 0$$

$$\sum U = 0 \quad \sum M_u = 0$$

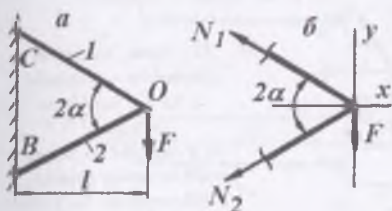
$$\sum Z = 0 \quad \sum M_z = 0$$

Ichki bo'ylama kuchni topish. Cho'zilish va siqlishda ichki bo'ylama kuch – brusning ko'ndalang kesimidagi barcha normal kuchlarning teng ta'sir.

etuvchisi. Bo'ylama kuch-brusning kesilgan ko'ndalang kesimidan bir tomonda olib qolingga tashqi kuchlarni ushbu kesimning bo'ylama o'qiga proektsiyalarining algebraik yig'indisiga teng. Amaliyotda uchraydigan konstruktsiya qismlarining ko'pchiligi ko'ndalang kesimda hosil bo'ladi. ichki cho'zuvchi yoki siquvchi bo'ylama kuchlarini kesish usulidan foydalaniib (10-rasm), sistemaning ajratilgan bo'lagini muvozanat shartidan topiladi.



10-rasm. Kesish usulini bajarish tartibi va ustunlardagi ichki kuchlar



11 - rasm. Sterjenlar sistemasini yuklanishi.

yuborilgan qism ta'sirini almashtiruvchi N_1 va N_2 kuchlarni qo'yamiz. N_1 va N_2 kuchlar sterjenlarning tashlab yuborilgan tomoniga yo'naltirib qo'yildi.

Sistemaning muvozanat shartini ta'minlovchi ikkita tenglama tuzamiz (11-rasm, b)

$$\sum x = -N_1 \cos \alpha - N_2 \cos \alpha = 0 \quad (1)$$

$$\sum y = N_1 \sin \alpha - N_2 \sin \alpha - F = 0 \quad (2)$$

(1) tenglamadan $N_1 = -N_2$ tenglikni (2) shartga keltirib qo'ysak,

$$N_2 = \frac{F}{2 \sin \alpha}$$

misol - 2. AB va BC sterjenlarda ichki bo'ylama kuchlar aniqlansin va epyuralari qurilsin (12-rasm).

Yechish. Sterjenlar sistemasining yuklanish sxemasida ularning ko'ndalang kesim yuzasida bo'ylama va ko'ndalang kuch va eguvchi moment hosil bo'ladi. Ko'ndalang kuch va eguvchi momentlarni aniqlash egilishga ishlovchi

konstruktsiyalarda ichki kuch faktorlarini hisoblash misollarida ko'rib chiqiladi. V sharnir muvozanatini tekshirish uchun sterjenlarni kesish usosida bog'lanishdan ozod etib, kesilgan yuzalarga N_{AB} va N_{BC} bog'lanish reaktsiyalarini qo'yamiz.

Muvozanat tenglamalarini tuzamiz:

$$\sum Y = -N_{AB} \sin 30^\circ + N_{BC} \sin 30^\circ = 0 \quad \text{bu erdan } N_{AB} = N_{BC}$$

$$\sum X = N_{AB} \cos 30^\circ + N_{BC} \cos 30^\circ - 3F = 0 \quad \text{va}$$

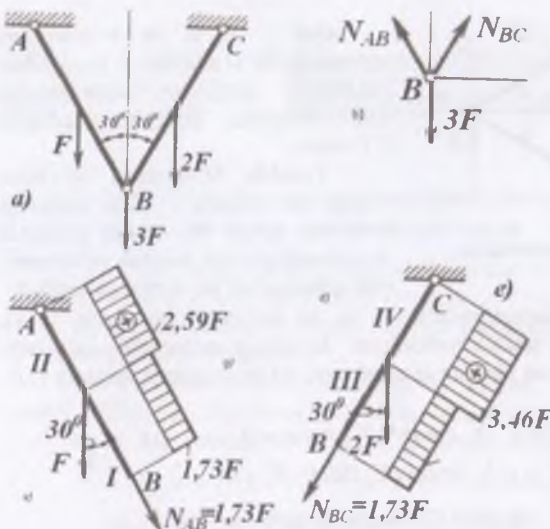
$$N_{AB} = N_{BC} = \frac{3F}{2\cos 30^\circ} = 1,73F$$

AB sterjenni birinchi oraliqida ichki bo'ylama kuch

$N_1 = N_{AB} = 1,73 \cdot F$. Ikkinci oraliqda $N_2 = N_{AB} + F \cdot \cos 30^\circ$ ni tashkil etadi.

BC sterjen. III- oraliqda $N_3 = N_{BC} = 1,73 \cdot F$

va IV - oraliqda $N_4 = N_3 + 2F \cdot \cos 30^\circ$

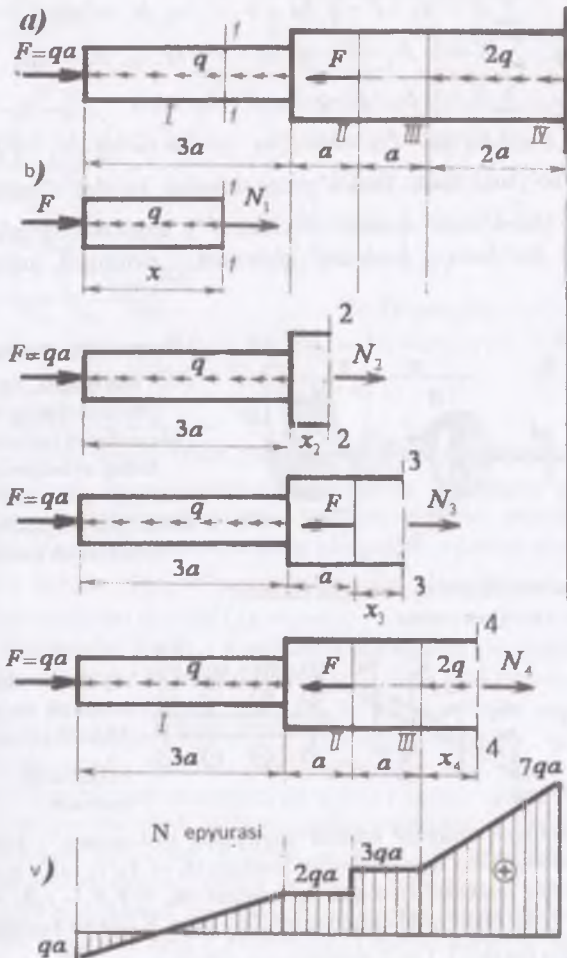


- 12 - rasm. Sterjennlar sistemasini yuklanishi:
 a) tashqi kuchlarni qo'yilishi;
 b) B nuqtaga qo'yilgan ichki va tashqi kuchlar;
 v) *AB* sterjenda bo'ylama kuch epyurasi
 d) *BC* sterjenda bo'ylama kuch epyurasi

misol-3. To'planma va teng tarqalgan kuchlar bilan yuklangan brus uchun bo'ylama kuch aniqlansin va epyurasi qurilsin (13- rasm).

Yechish. Yuklanish oraliqlari 13- rasm, a-da ko'rsatilgan. 1 - oraliqning tayanchdan ozod tomonidan - x masofada tanlangan I-I qirqim bilan ko'rsatilgan ko'ndalang kesimidagi (13- rasm, b) ichki kuchni aniqlaymiz.

Buning uchun brusni olib qolningan qismidagi barcha kuchlarni $X - o'qiga$ proektsiyalaymiz. $\sum X = 0$ $N_1 + F - qx = 0$ yoki $N_1 = -F + qx$ buerda: qx - brusni olib qolningan qismidagi taqsimlangan kuchlarning teng ta'sir qiluvchisi bo'lib $0 \leq x \leq 3a$ oraliqda chiziqli qonuniyat bilan o'zgaradi.



13 - rasm.
Ichki kuchni
aniglash
texnologik
xaritasi

a) pog'onali
brusni
yuklanish
sxemasi;

b) pog'onali
brusni kesish
tartibi;

v) pog'onali
brus uchun
ichki bo'ylama
kuch epyurasi

N_1 kuchni hisoblaymiz: $x = 0$ bo'lsa $N_1 = -F = -qa$; $x = 3a$ bo'lsa $N_1 = 2qa$. Brusning boshlang'ich nuqtasida N_1 kuch manfiy va oxirgi



nuqtasida musbat ishorali va $x = \frac{F}{q} = a$ masofada nolga teng bo'ladi. Ikkinchisi va uchinchi oraliqlarda oldingi oraliqdagi $3qa$ kuchning ta'siri e'tiborga olinadi

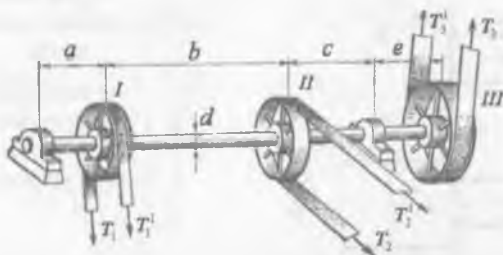
$$\text{II - II oraliq. } \sum X = N_2 + F - q \cdot 3a = 0 \quad \text{va } N_2 = 2qa$$

$$\text{III - III oraliq. } \sum X = 0 \quad N_3 + F - q \cdot 3a - F = 0 \quad \text{va } N_3 = 3qa$$

$$\text{IV - IV oraliq. } \sum X = 0 \quad N_4 + F - q \cdot 3a - F - 2q \cdot x = 0$$

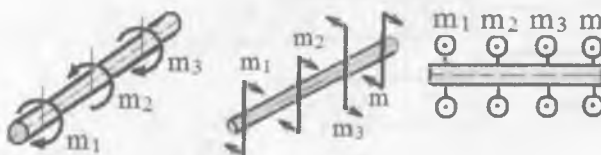
$$x = 0 \text{ bo'lsa } N_4 = 3qa \quad \text{va } x = 2a \text{ bo'lsa } N_4 = 7qa$$

N_x - ichki bo'ylama kuch brus o'qining uzunligi bo'ylab o'zgarishning grafikasi ichki bo'ylama kuch epyurasi deyiladi. N_x epyurasini qurish uchun hisoblangan ichki bo'ylama kuchning qiymatlari tanlangan mashtabda joylashtiriladi.



Burovchi momentni aniqlash. Brus yuklanishining turli xemalarini tasvirlashda tashqi aylantiruvchi momentni ayrim darsliklarda keltirilgan belgilashlaridan foydalanish mumkin

Remenli uzatma va remenlarning taranglik kuchlari ko'rsatilgan sxema

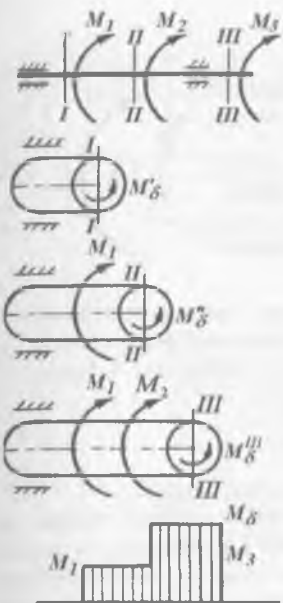


Aylantiruvchi moment m yoki M harfi bilan belgilanishi mumkin.

Shkivlar o'rnatilgan doiraviy kesimli sterjenning (14-rasm,a) aylanishi natijasida, remenlarda hosil bo'lgan taranglik kuchlari (T_1 va T_{1i} ; t_2 va T_{2i} ; t_3 va T_{3i}) ning sterjen kesimining markaziga nisbatan momentlari. $M_1 = T_1 R_1 - t_1 R_1 = t_1 R_1$, $M_2 = t_2 R_2$ va $M_3 = t_3 R_3$ bilan yuklangan sxema 14 – rasm, b - da ko'rsatilgan.

R_1 ; R_2 va R_3 – tegishli 1,2 va 3 shkivlarning radiuslari.

Ixtiyoriy kesimdagagi burovchi momentni topish uchun, sterjenni shu kesimdan tekislik bilan fikran ikki bo'lakka ajratamiz va har bir bo'lakka $M_x = M_\delta$ burovchi momentlarini qo'yamiz (14-rasm).



14-rasm. Aylantiruvchi momentlar bilan yuklangan val uni kesish tartibi va burovchi moment epyurasi

I-I qirqimdan chap tomonda qolgan sterjenda aylantiruvchi moment ta'siri yo'q, shuning uchun sterjenning olib qolgingan qismida burovchi moment nolga teng, ya'ni $M_{\delta}^I = 0$.

II-II qirqim uchun chap qismning muvozanat tenglamasidan quyidagi ifodani topamiz:

$$\sum M_x = M_1 - M_{\delta}^{II} = 0 \text{ va } M_{\delta}^{II} = M_1$$

III-III qirqim :

$$\sum M_x = M_1 + M_2 - M_{\delta}^{III} = 0 \text{ va}$$

$$M_{\delta}^{III} = M_1 + M_2$$

IV-IV qirqim

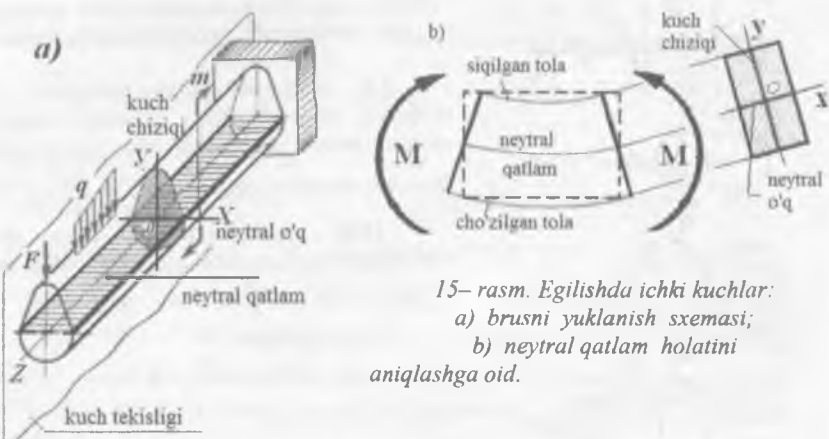
$$\sum M_x = M_1 + M_2 + M_3 - M_{\delta}^{IV} = 0 \text{ va}$$

$$M_{\delta}^{IV} = 0$$

Demak, sterjen kesim yuzasida hosil bo'ladigan burovchi moment M_{δ} kesilgan kesim yuzasiga nisbatan bir tomonda joylashgan tashqi momentlarning algebraik yig'indisiga teng ekan. Sterjenning ajratib olingan bo'lagidagi tashqi moment, kesilgan kesim yuzasining markaziga nisbatan soat strelkasi yo'naliishi bo'yicha harakat qilsa, M_{δ} ishorasi musbat qabul qilinadi. M_{δ} -ni o'zgarish grafikasi - epyurasi deyiladi (14-rasm).

Egilishda ichki kuchlarni aniqlash. Egilishda barcha tashqi va reaksiya kuchlari – kuch tekisligi deb ataladigan bitta tekislikda ta'sir qiladi (15-rasm, a). Kuch tekisligini brusning ko'ndalang kesim yuzasi bilan kesishish chiziqi - kuch chiziqi deyiladi. Egilishda brusning egilgan o'qi kuch tekisligida yotadi. Egilishga ishlaydigan brus balka deyiladi. Egilishda balka materialining bir qatlami siqiladi ya'ni tola uzunligi qisqaradi va unga qarama – qarshi qatlam cho'ziladi, ya'ni bu qatlam materialining tolasi uzayadi (15-rasm, b). Balkani egilishida o'zining boshlang'ich uzunligini o'zgartirmaydigan material qatlami neytral qatlam deyiladi. Balkaning ko'ndalang kesim yuzasi bilan neytral qatlamni kesishish chiziqi neytral o'q deyiladi.

To'rtta o'zaro teng F kuch ta'sirida muvozanatda bo'lgan brusni o'rganamiz (16-rasm, a). Brusning ixtiyoriy kesimidagi ichki kuchlarni kesish usulidan foydalaniib topamiz. Masalan, brusni $n-n$ tekislik bilan kesib, uning o'ng tomonini tashlab yuboramiz va chap tomonini olib qolamiz.



15-rasm. Egilishda ichki kuchlar:

a) brusni yuklanish sxemasi;

b) neutral qatlam holatini

aniqlashga oid.

Natijada brusning olib qolingga qismida muvozanat buziladi.

Brusni ajratib olingan qismining muvozanatini ta'minlash uchun, uni kesilgan yuzasiga tashlab yuborilgan qismining ta'sirini almashtiruvchi bosh kuch vektori Q va bosh moment vektori M – ni keltirib qo'yamiz. Q kuchni ko'ndalang kuch yoki kesuvchi kuch deb qabul qilamiz. Ko'ndalang kuchni topish uchun brusni ajratib olingan qismidagi tashqi kuchni $n - n$ qirqim tekisligiga proektsiyalaymiz: $F - Q = O$ yoki $Q = F$.

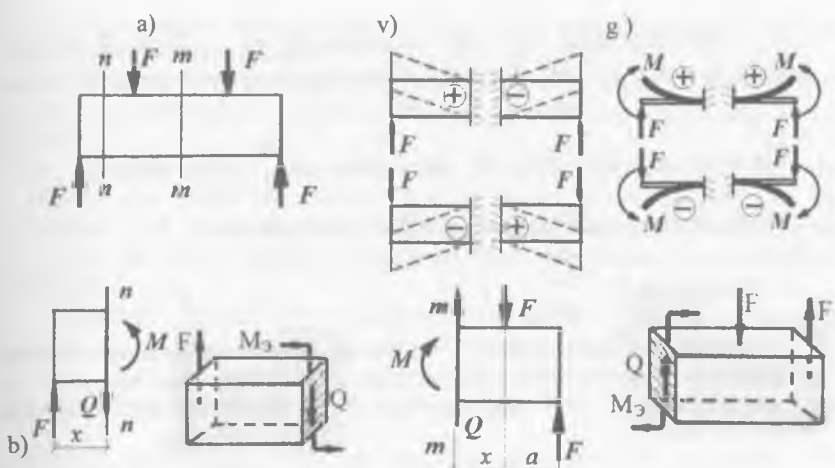
Brusni keyingi $m - m$ kesimidagi ko'ndalang kuch Q shu oraliqdagi barcha tashqi kuchlarni $m - m$ tekislikka proektsiyalarining algebraik yig'indisiga teng:

$$F - F - Q = O \quad (16\text{-rasm, } b) \text{ yoki } Q = O.$$

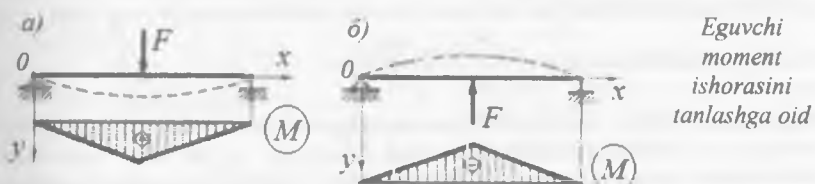
Demak, Q ko'ndalang kuch brusning ajratib olingan qismidagi barcha kuchlarni algebraik yig'indisiga teng. Brusning kesilgan kesimiga nisbatan tashqi kuchning yo'nalishi soat strelkasining harakat yo'nalishi bilan mos tushsa, ko'ndalang kuchning ishorasi musbat, teskari holatda esa manfiy bo'ladi (16-rasm, v).

Bosh moment vektori M , eguvchi moment deyiladi. Eguvchi momentni topish uchun, brusni ajratib olingan kesimidagi barcha kuchlarni kesim markaziga nisbatan momentlarini olamiz: $m - m$ kesimdan chap tomon uchun $M = F(a + x) - Fx$ tenglamani hosil qilamiz. Qirqim tekisligi bilan brus bo'ylama o'qining kesishgan nuqtasi kesim markazi deyiladi. Demak, eguvchi moment brusni ajratib olingan qismidagi barcha kuchlarning, shu oraliq kesim markaziga nisbatan momentlarining algebraik yig'indisiga teng.

Brusni egilishida kesim markazi qabariq chiziqda qolsa eguvchi moment manfiy (16-rasm, g) va botiq chiziqda qolsa musbat ishorali bo'ladi. Agar tashqi kuch brusni yuqoriga egiltirsса, eguvchi moment ishorasi musbat, pastga egiltirsа – mansiy qabul qilinadi.

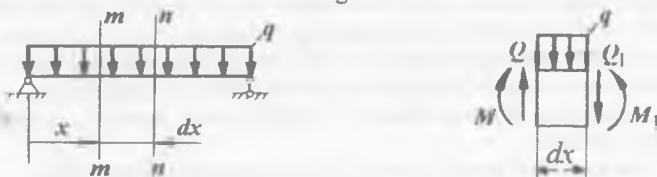


16 – rasm. Ichki kuch faktorlari: a – b) Q va M ni aniqlash;
 v) Q ishorasini tanlash M ishorasini tanlash



Yuqoridagi ko'ndalang kuch va eguvchi moment tenglamalaridan ko'tinishicha, brusning uzunligi bo'ylab Q va M o'zgarib borar ekan. Q va M ning brus o'qi bo'ylab o'zgarish grafikasiga ko'ndalang kuch va eguvchi moment epyurasi deyiladi.

M , Q va q orasidagi differenttsial bog'lanishlar. Taqsimlangan kuch intensivligi ta'sirida bo'lgan balkadan ajratilgan elementar uzunlikdagi bo'lakning muvozanat holatini tekshiramiz (17-rasm). Taqsimlangan kuch intensivligi q ta'siridagi elementar dx uzunlikdagi ajratilgan element balkani tashlab yuborilgan qismlari ta'sirini almashtiruvchi ko'ndalang



17 – rasm. Differenttsial bog'lanishlarni
 aniqlashga oid

kuchlar Q va $Q_1 = Q + dQ$, momentlar M_x va $M_1 = M_x + dM_x$ ta'sirida bo'ladi (17-rasm). Ajratilgan elementning muvozanat sharti quyidagicha yoziladi:

$$\sum y = Q - qdx - (Q + dQ) = 0 \quad M_x + Qdx - qdx \frac{dx}{2} - (M_x + dM_x) = 0 \quad (4)$$

(3) tenglamadan $-qdx - dQ = 0$ tenglikni hosil qilamiz.

$$\text{Bu erdan } q = -\frac{dQ}{dx} \quad (5)$$

Demak, balkaning ixtiyoriy kesimidagi ko'ndalang kuchning abstsissa bo'ylab birinchi tartibli hosilasi shu kesimidagi taqsimlangan kuch intensivligi q -ga teng ekan. Agar q - kuch yuqoriga yo'nalsa (5) tenglamaning ishorasi musbat bo'ladi.

$$(4) \text{ tenglamadan } Qdx - dM_x = 0 \quad \text{sa} \quad Q = \frac{dM_x}{dx} \quad (6)$$

hosil bo'ladi, ya`ni balkaning ixtiyoriy kesimidagi ko'ndalang kuch, shu kesimidagi eguvchi momentning abstsissa bo'yicha birinchi tartibli hosilasiga teng ekan. (5)

$$\text{va (6) tenglamalar asosida} \quad \frac{d^2M_x}{dx^2} = \frac{dQ}{dx} = -q \quad (7)$$

tenglik hosil bo'ladi, ya`ni eguvchi momentning abstsissa bo'ylab ikkinchi tartibli hosilasi shu kesimidagi taqsimlangan kuch intensivligi q -ga teng. Yuqoridagi differentsiyal bog'lanishlardan M va Q epyurularini qurishda foydalanish mumkin. Masalan: balkani biror kesimida $Q = \text{const}$ bo'lsa, shu kesimida (5) differentsiyal bog'lanishga asosan, $q = 0$, ya`ni taqsimlangan kuch intensivligining ta'siri nolga teng yoki q kuch ta'sir qilmas ekan. Taqsimlangan kuch intensivligi ta'sir qilgan oraliqda ko'ndalang kuch to'g'ri chiziqli qonuniyat bilan o'zgaradi. Q ning epyurasi abstsissa o'qini kesib o'tadi, ya`ni abstsissaga og'ishgan burchak bilan joylashadi.

(6) differentsiyal bog'lanishga asosan, agar balkani biror kesimida eguvchi moment o'zgarmas bo'lsa, ya`ni $M = \text{const}$, shu kesimidagi ko'ndalang kuch nolga teng bo'ladi. Eguvchi moment balka uzunligining biror qismida to'g'ri chiziqli qonuniyat bilan o'zgarsa, ya`ni M grafikasi to'g'ri chiziqli bo'lib abstsissaga biror burchak ostida joylashsa, shu kesimidagi ko'ndalang kuch o'zgarmas va Q ni epyurasi abstsissaga parallel chiziqli bo'ladi. Balkani taqsimlangan kuch intensivligi $-q$ ta'sir qilgan oraliqda, M epyurasi egri chiziqli bilan chegaralanadi.

- Q epyurasi abstsissani kesib o'tadigan nuqtada, eguvchi moment ekstremal qiymatda bo'ladi.

- Balkaga to'planma F kuch qo'yilgan nuqtada ko'ndalang kuch epyurasining shu nuqtasida miqdori F kuchga teng sakrash bo'ladi, eguvchi moment epyurasida siniq chiziqli hosil bo'ladi. Taqsimlangan kuch ta'sir qilgan

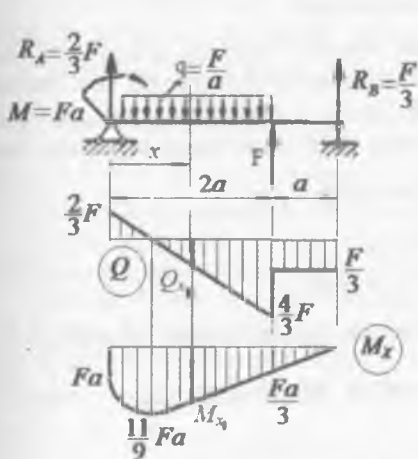
oraliqda M epyurasi botiq parabola bo'ladi. M epyurasining to'g'ri va egrisi chiziqli qismlari silliq tutashadi.

- Balkani biror kesimiga juft kuch momenti qo'yilgan bo'lsa, eguvchi moment epyurasining shu nuqtasida miqdori juft kuch momentiga teng sakrash bo'ladi.

- Balkani oxirgi yoki boshlang'ich kesimida ko'ndalang kuch shu kesimdagi to'planma (reaktsiya) kuchiga teng, eguvchi moment esa shu kesimdagi juft kuch momentiga teng. Agar, balkani oxirgi yoki boshlang'ich kesimiga juft kuch momenti qo'yilgan bo'lmasa, bu kesimda eguvchi moment nolga teng.

misol-1. Balkani x oraliqda teng taqsimlangan kuch ta'sir etganligi uchun ko'ndalang kuch tenglamasi $Q_{x_1} = R_A - qx$ bo'ladi.

Bu oraliqda ko'ndalang kuch o'zgarmas $R_A = \frac{2}{3}F$ reaktsiyaga va x oraliqdagi taqsimlangan kuchning teng ta'sir qiluvchisi qx ga bog'liq. x masofa kamayishi bilan qx kuch kichiklashadi, aksincha ortishi bilan qx kuch ham kattalashadi.



$$q = -\frac{dQ}{dx}$$
 differentials

bog'lanishga asosan, ko'ndalang kuchdan abstsissa bo'yicha olingan birinchi tartibli hosila taqsimlangan kuchga teng, ya'ni

$$q = \frac{d}{dx}(R_A - qx) = -q = -\frac{F}{a}$$

$0 \leq x \leq 2a$ oraliqda eguvchi moment tenglamasi

$$M_{x_1} = M + R_A x_1 - q \frac{x_1^2}{2}$$

$$Q = \frac{dM}{dx}$$
 differentials bog'lanishga asosan

$$Q = \frac{d}{dx}(M + R_A x_1 - q \frac{x_1^2}{2}) = R_A - q \cdot x_1$$

$$\frac{d^2 M_{x_1}}{dx^2} = \frac{dQ}{dx} = -q$$
 differentials bog'lanishga asosan

$$\frac{d^2}{dx^2} \left(M + R_A x_1 - q \frac{x_1^3}{2} \right) = \frac{d}{dx} (R_A - q \cdot x_1) = -q$$

Taqsimlangan kuchning teng ta'sir etuvchisi qx ni $0 \leq x \leq 2a$ oraliqda o'zgarish sohasida ishorasini almashtirishi mumkin. Buning uchun Q_{x1} ko'ndalang kuchning epyurasi abstsissani kesib o'tishi kerak. Q_{x1} epyurasini abstsissani kesib o'tish nuqtasida ko'ndalang kuch nolga teng bo'ladi, ya'ni

$$Q_{x1} = R_A - qx_1 = 0$$

$$\text{Buerdan } x_1 = \frac{R_A}{q} = \frac{2}{3}a \text{ masofada } Q_{x1} = 0 \text{ kelib chiqadi.}$$

Ko'ndalang kuch nolga teng bo'lgan nuqtada (ushbu oraliqda)

$$\text{eguvchi moment ekstremal } M_{x1\max} = \frac{11}{9}Fa \text{ qiymatga erishadi.}$$

$$x_1 = 0 \text{ bo'lsa } M_{x1} = M = Fa \text{ hosil bo'ladi va}$$

$$x_1 = 2a \text{ bo'lsa } M_{x1} = \frac{F}{3}a \text{ hosil bo'ladi}$$

$0 \leq x \leq 2a$ oraliqda eguvchi moment parabola qonuniyati bilan o'zgaradi, chunki eguvchi moment taqsimlangan kuch intensivligi bilan ikkinchi tartibli bog'lanishda. Balkani $0 \leq x \leq a$ oraliqida taqsimlangan kuch ta'sir qilmaydi. Bu oraliqdagi ko'ndalang kuch taqsimlangan kuchlarning teng ta'sir qiluvchisi $q \cdot 2a = \frac{F}{a} \cdot 2a = 2F$ ga bog'liq.

Ko'ndalang kuch tenglamasidan

$$Q_{x2} = R_A - qa = \frac{2}{3}F - \frac{F}{a} \cdot a = -\frac{F}{3} = \text{const}$$

ya'ni ko'ndalang kuch o'zgarmas. O'zgarmas sonning hosilasi nolga teng,

$$\text{ya'ni } q = -\frac{d}{dx} \left(\frac{F}{3} \right) = 0. \text{ Chunki bu oraliqda taqsimlangan}$$

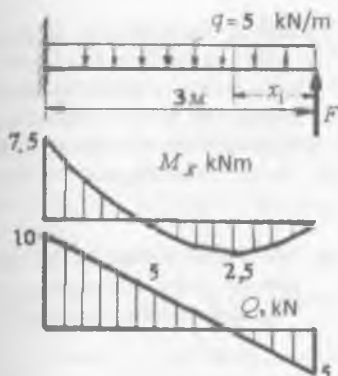
kuch intensivligi ta'sir qilmaydi.

$$\text{Eguvchi moment tenglamasi } M_{x2} = R_A(a + x_2) - q2a\left(\frac{2a}{2} + x_2\right)$$

$$Q = \frac{dM_x}{dx} \text{ differentials bog'lanishga asosan}$$

$$Q = \frac{d}{dx} \left[R_A(a + x_2) - 2qa\left(\frac{2a}{2} + x_2\right) + Fx_2 \right] = R_A - 2qa = \frac{2F}{3} - 2\frac{F}{a}a + F = -\frac{F}{3}$$

$0 \leq x \leq a$ oraliqda eguvchi moment abstsissaga nisbatan qiya joylashgan to'g'ri chiziqli qonuniyat bilan o'zgaradi.



18 - rasm. Balkani yuklanish sxemasi va ko'ndalang kuch va eguvchi moment epyuralari

Tenglamalardan, ko'ndalang kuch balkanining uzunligi bo'ylab to'g'ri chiziq qonuniyati, eguvchi moment esa kvadrat parabola bo'yicha o'zgaradi.

O'zgaruvchan x_1 ga $0 \dots 3 \text{ m}$ oraliqda qiymat berib Q uchun kamida ikkita, M_x uchun esa uchta qiymat hisoblaymiz.

$$x_1 = 0 \text{ da } M_{x_1} = 0; Q_1 = -F = -5 \text{ kN}$$

$$x_1 = 1 \text{ m} \text{ da } M_{x_1} = 2,5 \text{ kNm}; Q_1 = 0 \quad x_1 = 2 \text{ m}; \text{ da } M_{x_1} = 0; Q_1 = 5 \text{ kN}$$

$$\text{va } x_1 = 3 \text{ m}; \text{ da } M_{x_1} = 7,5 \text{ kNm}; Q_1 = 10 \text{ kN}$$

Hisoblashlar natijasiga ko'ra Q va M_x epyuralari qurilgan.

Ko'ndalang kuch musbat qiymatlarini nol chiziqdandan (neytral qatlama) yuqoriga, M_x epyurasini balkanining cho'zilgan tolalarida o'lchab qo'yamiz.

Balkani F kuch qo'yilgan nuqtasida ko'ndalang kuch manfiy ishorali va 5 kN . ga teng, tayanch kesimda esa musbat ishorali va 10 kN . ga teng. Epyura Q qiya to'g'ri chiziq bilan tasvirlangan va qiya to'g'ri chiziq bilan abstsissani kesishgan nuqtasida $Q = 0$ bo'ladi, ya'ni

$$Q_1 = -F + qx_1 = 0.$$

$$\text{buerdan } x = \frac{F}{q} = 1 \text{ m}.$$

Eguvchi moment balkani F kuch qo'yilgan nuqtasida nolga teng va tayanch kesimida minus ishorali bo'lib $7,5 \text{ kNm}$. ga teng. Balkani uzunligi bo'ylab eguvchi moment parabola qonuniyati bilan o'zgaradi va $Q = 0$ nuqtada, ya'ni $x = 1 \text{ m}$. da musbat ishorali bo'lib $2,5 \text{ kNm}$. ga teng. Parabola abstsissa bilan kesishgan nuqtada eguvchi moment nolga teng, ya'ni $M_{x_1} = Fx_1 - q \frac{x_1^2}{2} = 0$. Bu yerdan

$$x = \frac{2F}{q} = 2 \text{ m}$$

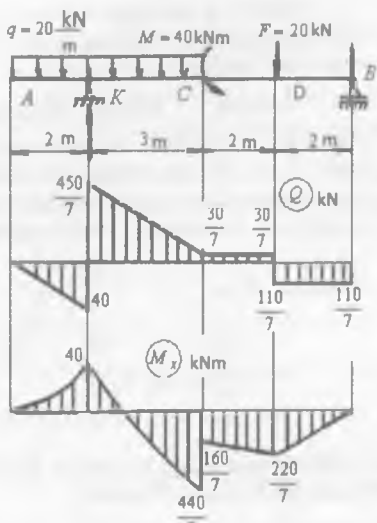
misol - 2. Berilgan balkanig eguvchi moment (M_x) va ko'ndalang kuch (Q) epyuralari qurilsin (18 - rasm).

Yechish. Konsol balkanining x_1 oraliqida yuqoriga yo'nalgan to'planma kuch $F = 5 \text{ kN}$ va pastga yo'nalgan teng taqsimlangan kuch q ta'sir qiladi. Eguvchi momet va ko'ndalang kuch tenglamalarini tuzamiz:

$$M_{x_1} = Fx_1 - q \frac{x_1^2}{2} \text{ va}$$

$$Q_1 = -F + qx_1$$

$$Q_1 = -F + qx_1$$



$$\sum M_k = M - 5F + 7B - q \frac{(3)^2}{2} + q \frac{(2)^2}{2} = 0 \quad \text{va} \quad B = \frac{110}{7} kN$$

$$\sum M_B = M - 7K + q \cdot 5 \left(\frac{5}{2} + 4 \right) + 2F = 0 \quad \text{va} \quad K = \frac{730}{7} kN$$

Balkani to'rtta oraliqlarga ajratib, har bir oraliq uchun ko'ndalang kuch va eguvchi moment tenglamalarini tuzamiz:

$$AK(I-I) - \text{oraliq. } 0 \leq x_1 \leq 2m \quad Q_1 = -qx_1 \text{ va } M_{x_1} = -q \frac{x_1^2}{2}$$

KC (II- II) - oraliq. $2 \leq x_2 \leq 5$ m

$$Q_2 = K - qx_2 \quad \text{va} \quad M_{x_2} = -q \frac{x_2^2}{2} + K(x_2 - 2)$$

CD - oraliq. $0 \leq x_3 \leq 2m$

$$Q_3 = K - 5q = \frac{730}{7} - 100 = \frac{30}{7} kN; \quad M_{x_3} = -q \cdot 5 \left(\frac{5}{2} + x_3 \right) + K(3 + x_3) - M$$

$$\text{ДБ - оралық. } 0 \leq x_4 \leq 2m \quad Q_4 = -B = -\frac{110}{7} kN; \quad M_{x_4} = B \cdot x_4$$

19- rasmida ko'ndalang kuch (Q) va eguvchi moment (M) epyuralari ko'rsatilgan. Balkani D nuqtasida $F = 20 \text{ kN}$ tashqi kuch va K tayanch nuqtasida $K = \frac{730}{7} \text{ kN}$ reaktsiya kuchi bor. Shuning uchun ko'ndalang kuch epyurasining

misol- 3. Ikki tayanchli balkaning
(19 - rasm) K va B tayanch
nuqtalaridagi reaktsiya kuchlarini
yuqoriga yo'naltirib, muvozanat
tenglamalarini tuzamiz va ularni
hisoblaymiz.

19-rasm. Balkani yuklanish sxemasi va ko'ndalang kuch va eguvchi moment epyuralari

shu nuqtalarida miqdori $\frac{30}{7} + \frac{110}{7} = 20kN$ va $\frac{450}{7} + 40 = \frac{730}{7} kN$ ga teng bo'lgan sakrashlar bor.

Balkani CD va DB oraliqlarida taqsimlangan kuch ta'sir qilmaydi, shuning uchun bu oraliqda Q epyurasi abstsissaga parallel chiziq. Balkani A, B nuqtalarida eguvchi moment nolga teng, C nuqtaga just kuch momenti $M = 40\kappa Nm$ qo'yilgan. Shuning uchun eguvchi moment epyurasining shu nuqtasida miqdori $40\kappa Nm$ bo'lgan sakrash bor, ya'ni $\frac{440}{7} - \frac{160}{7} = \frac{280}{7} = 40\kappa Nm$.

Taqsimlangan kuch ta'sir qilgan oraliqlarda eguvchi moment epyurasi botiq parabola.

misol - 4. Balkanining eguvchi moment (M) va ko'ndalang kuch (Q) lari aniqlansin va epyuralari qurilsin (20 - rasm).

$$M_1 = 2\kappa Nm; \quad M_2 = 6\kappa Nm; \quad M_3 = 1\kappa Nm; \quad q = 2 \frac{\kappa N}{m}; \quad F_1 = 9\kappa N, \quad F_2 = 6\kappa N$$

Yechish. Reaktsiya kuchlarini balkanining muvozanat shartlaridan foydalanib topamiz:

$$\sum M_A = -M_1 + 4q\left(\frac{4}{2} + 1\right) + F_1 \cdot 4 + F_2 \cdot 6 - M_2 + q \cdot 2\left(\frac{2}{2} + 8\right) + M_3 - B \cdot 8 = 0;$$

$$\sum M_B = -M_1 - q4\left(\frac{4}{2} + 3\right) - F_1 \cdot 4 + F_2 \cdot 2 - M_2 + q2 \cdot \frac{2}{2} + M_3 + R \cdot 8 = 0;$$

$$B = 12,125\kappa N \quad \text{va} \quad R = \frac{63}{8}\kappa N$$

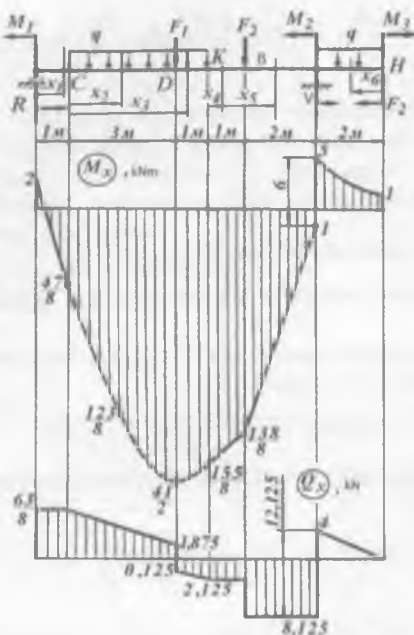
Balkani (20-rasm) oraliq qirqimlarga bo'lib, har bir oraliq uchun eguvchi moment va ko'ndalang kuch tenglamalarini tuzamiz

$$1 - 1 \text{ oraliq} \quad 0 \leq x_1 \leq 1m$$

$$M_{x_1} = Rx_1 - M_1; \quad Q_1 = R = \frac{63}{8}\kappa N$$

I - I oraliqda $Q = constanta$, shuning uchun ko'ndalang kuch epyurasi abstsissaga parallel chiziq bo'ladi.

M_X epyurasi abstsissaga qiya to'g'ri chiziq bo'lib, $x_1 = \frac{M_1}{K} = \frac{16}{63}m$ masofada uni kesib o'tadi, eguvchi moment nolga teng bo'ladi.



*20 – rasm. Balkani
yuklanish sxemasi va
ko'ndalang kuch va
eguvchi moment
epyuralari*

$$II = II \text{ oralig } (C - D), \quad 0 \leq x_2 \leq 3m$$

$$M_{x_2} = R(1+x_2) - M_1 - q \frac{x_2^3}{2} \quad \text{sa} \quad Q_2 = R - qx_2$$

II – II oraliqda ko'ndalang kuch epyurasi $\frac{63}{kN}$ dan $1,875 \text{ kN}$.

gacha kamayadi, ya'ni Q epyurasi abstsissaga qiya to'g'ri chiziq bo'ladi, M_x esa botiq parabola qonuniyatida o'sadi. Q va M_x - bu oraliqda musbat ishorali. M_x epyurasi balka materialining cho'ziluvchi tolasiga quriladi.

$$III = III \text{ or } (D - K) \quad 3 \leq x_3 \leq 4M \quad Q_3 = R - qx_3 - F_1$$

$$M_{x_3} = R(1 + x_3) - M_1 - q \frac{x_3^2}{2} - F_1(x_3 - 3)$$

III – III oraliqda ko'ndalang kuch manfiy ishorali va u abstsissaga qiyat to'g'ri chiziq qonuniyatida o'sadi, M_x -esa musbat ishorali va botiq parabola qonuniyatida kamayadi.

IV – IV oraliq (K - B). $0 \leq x_4 \leq 1m$

$$M_{\gamma_1} = R(5 + x_4) - M_1 - q4(2 + x_4) - F_1(1 + x_4)$$

$$Q_4 = R - q \cdot 4 - F_1 = \frac{63}{8} - 2 \cdot 4 - 2 = -2,125\text{ kN}$$

V-V oraliq . $0 \leq x_5 \leq 2m$

$$M_{x_5} = R(6+x_5) - M_1 - q4(2+1+x_5) - F_1(2+x_5) - F_2x_5$$

$$Q_5 = R - q \cdot 4 - F_1 - F_2 = \frac{63}{8} - 2 \cdot 4 - 2 - 6 = -8,125 \text{ kNm}$$

VI - VI oraliq (B - H) $0 \leq x_6 \leq 2m$

$$M_{x_6} = -M_3 - q \frac{x_6^3}{2}; \quad Q_6 = qx_6$$

Balkani R nuqtasida ($R = \frac{63}{8} \text{ kN}$), D nuqtasida ($F_1 = 2 \text{ kN}$),

B nuqtasida ($F_2 = 6 \text{ kN}$), B tayanch nuqtasida ($B = 12,125 \text{ kN}$) kuchlar ta'sir qiladi. Mos ravishda Q epyurasining mazkur nuqtalarida qo'yilgan kuchlarga teng miqdorda sakrash mavjud. Masalan, R nuqtada sakrash $\frac{63}{8} \text{ kN}$ ga teng.

$$D \text{ nuqtada } 1,875 + 0,125 = 2 \text{ kN},$$

$$B \text{ nuqtada } 8,125 - 2,125 = 6 \text{ kN},$$

$$B \text{ tayanch nuqtada } 8,125 + 4 = 12,125 \text{ kN}.$$

CD oraliqda taqsimlangan kuch ta'sir qiladi. Q epyurasida ushbu oraliqda

$$\frac{63}{8} - 1,875$$

o'zgarish (kamayish) $\frac{\frac{8}{3}}{3} = q$ ga teng.

Balkani R tayanch va N nuqtalarida eguvchi moment mos ravishda 2 kNm va 1 kNm ga teng va manfiy ishorali. B tayanch nuqtasiga $M_2 = 6 \text{ kNm}$ juft kuch momenti qo'yilgan, shuning uchun M_x epyurasining shu nuqtasida $5 + 1 = 6 \text{ kNm}$ sakrash mavjud.

misol - 5 Sharnirlar balkani ko'ndalang kuch - Q va eguvchi momentlari aniqlansin va epyuralari qurilsin.

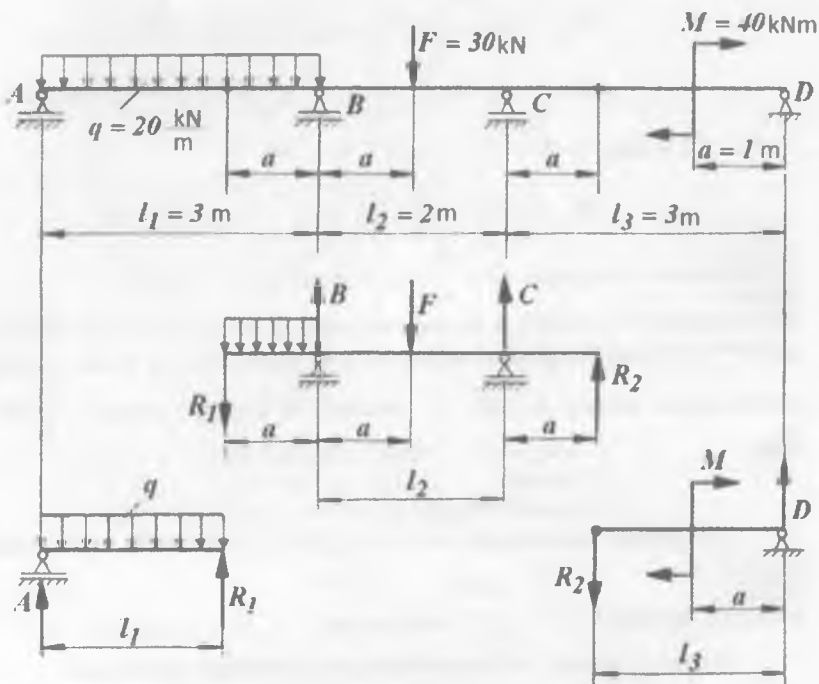
Sharnirlar momentni uzatmaydi, shuning uchun sharnirlarda momentlar nolga teng bo'lishidan foydalanib balkani ikkita asosiy va bita osma balkalarga ajratamiz (21 - rasm, b). Sharnirlardagi bosim kuchini R_1 va R_2 reaktsiya kuchlari bilan almashtiramiz. Hosil bo'lgan har bir balkalar uchun Q va M_x - epyularini quramiz.

1- balka. Reaktsiya kuchlarini hisoblaymiz:

$$\sum M_A = -q \frac{\ell_1^2}{2} + R_1 \ell_1 = 0 \quad \text{sa} \quad R_1 = q \frac{\ell_1}{2} = \frac{20 \cdot 3}{2} = 30 \text{ kN}$$

$$\sum M_1 = -A \cdot \ell_1 + q \frac{\ell_1^2}{2} = 0 \quad \text{sa} \quad A = q \frac{\ell_1}{2} = \frac{20 \cdot 3}{2} = 30 \text{ kN}$$

- Q va M_x tenglamalarini tuzamiz.



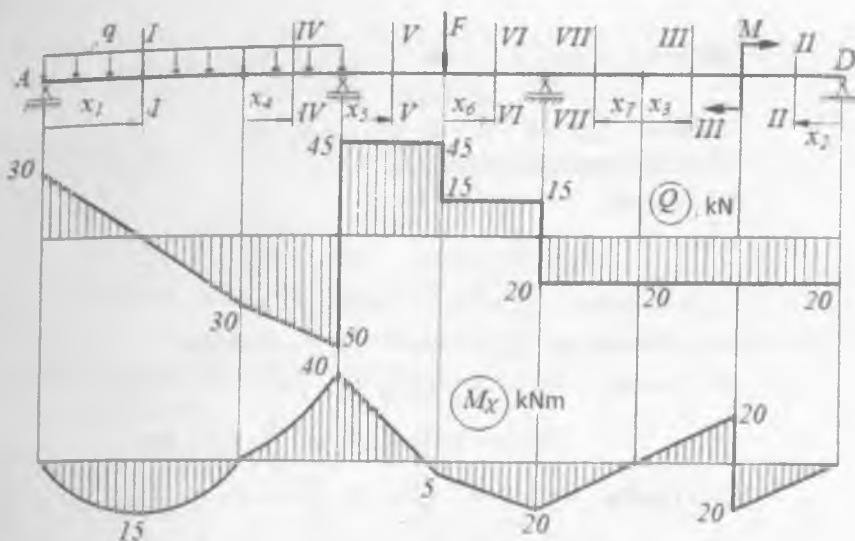
21 - rasm. Sharnirli balka

$$\text{I - Ioraliq. } 0 \leq x_1 \leq 3M \quad Q_1 = A - qx_1 \quad \text{va} \quad M_{x_1} = Ax_1 - q \frac{x_1^2}{2}$$

$$x_1 = 0 \quad \text{bo'lsa} \quad Q_1 = A = 30\text{kN} \quad \text{va} \quad M_{x_1} = 0$$

$$x_1 = 3M \quad \text{bo'lsa} \quad Q_1 = -30\text{kN} \quad \text{va} \quad M_{x_1} = 0$$

$$Q_1 = A - qx_1 = 0, \text{ ya'ni} \quad x_1 = \frac{A}{q} = \frac{30}{20} = 1,5M \quad \text{nuqtada noilga teng}$$



Ko'ndalang kuch va eguvchi moment epyuralari

bo'lib ishorasini o'zgartiradi. $x_1 = 1,5m$ nuqtada

$$M_{x_1} = M_{x_{\max}} = 22,5 \text{ kNm}$$

2- balka. Reaksiya kuchlarini hisoblaymiz:

$$\sum M_A = R_2 \cdot (\ell_3 - a) - M = 0 \quad \text{va} \quad R_2 = \frac{M}{(\ell_3 - a)} = \frac{40}{2} = 20 \text{ kN}$$

$$\sum M_2 = D \cdot (\ell_3 - a) - M = 0 \quad \text{va} \quad D = \frac{M}{(\ell_3 - a)} = \frac{40}{2} = 20 \text{ kN}$$

- Q va M_x tenglamalarini tuzamiz.

II – II oraliq. $0 \leq x_2 \leq a_3 = 1m$

$$Q_2 = -D = -20 \text{ kN}; \quad \text{va} \quad M_{x_2} = D \cdot x_2$$

$$x_2 = 0 \text{ bo'lsa } M_{x_2} = 0 \quad \text{va} \quad x_2 = 1m \text{ bo'lsa } M_{x_2} = 20 \text{ kNm}$$

III – III oraliq. $0 \leq x_3 \leq 1m$

$$Q_3 = -R_2 = -20 \text{ kN}; \quad M_{x_3} = -R_2 \cdot x_3$$

$$x_3 = 0 \text{ bo'lsa } M_{x_3} = 0; \quad x_3 = 1m \text{ bo'lsa } M_{x_3} = -20 \text{ kNm}$$

3- balka. Reaksiya kuchlarini hisoblaymiz:

$$\sum M_B = R_1 \cdot a - F \cdot a + c \cdot \ell_2 + R_2(\ell_2 + a) + q \cdot \frac{a^2}{2} = 0$$

va $C = -35 \text{ kN}$

$$\sum M_c = R_1(a + \ell_2) + qa\left(\frac{a}{2} + \ell_2\right) - B \cdot \ell_2 + F(\ell_2 - a) + R_2 \cdot a = 0 \text{ va}$$

$$B = 95kN$$

$$\text{Tekshirish: } \sum y - R_1 - qa + B - F + C + R_2 = 0$$

- Q va M_x tenglamalarini tuzamiz.

IV – IV oraliq. $0 \leq x_4 \leq a = 1m$

$$Q_4 = -R_1 - q \cdot x_1 \quad M_{x_4} = -R_1 \cdot x_4 - q \frac{x_4^2}{2}$$

$$x_4 = 0 \text{ bo'lsa } Q_4 = -R_1 = -30kN \quad M_{x_4} = 0$$

$$x_4 = 1m \text{ bo'lsa } Q_4 = -50kN \quad M_{x_4} = -40kNm$$

V – V oraliq. $0 \leq x_5 \leq 1m$ $Q_5 = -R_1 - q \cdot a + B = 45kN$

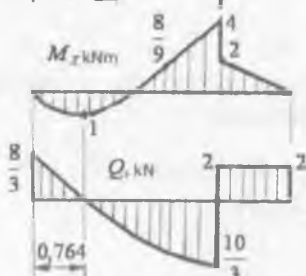
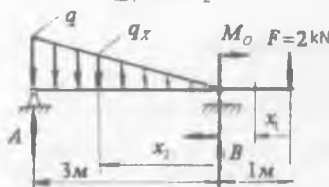
$$M_{x_5} = -R_1 \cdot (a + x_5) - qa\left(\frac{a}{2} + x_5\right) + Bx_5$$

VI – VI oraliq. $0 \leq x_6 \leq 1m$ $Q_6 = -R_1 - q \cdot a + B - F = 15kN$

$$M_{x_6} = -R_1 \cdot (2a + x_6) - qa\left(\frac{a}{2} + a + x_6\right) + B(a + x_6) - Fx_6$$

VII – VII oraliq. $0 \leq x_7 \leq a = 1m$

$$Q_7 = -R_2 = -20kN \quad M_{x_7} = R_2 \cdot x_7$$



misol - 6. (22-rasm)

Yechish. Taqsimlangan

kuch intensivligi q - balka
uzunligi bo'yicha uchburchak
qonuniyati bilan o'zgaradi. q -
kuchlarni teng ta'sir qiluvchisi
uchburchak yuzasi bilan o'lchanadi

va A nuqtadan $\frac{\ell}{3} = 1m$ masofada
joylashadi.

22-rasm. Balkani yuklanish sxemasi
va ko'ndalang kuch va eguvchi moment
epyurlari

Reaksiya kuchlari:

$$\sum M_A = 0 \quad F \cdot 4 + M_0 - B \cdot 3 + q \cdot 3 \cdot \frac{1}{2} \cdot \frac{1}{3} \cdot 3 = 0$$

$$\sum M_B = 0 \quad A \cdot 3 - \frac{q \cdot 3}{2} \cdot \frac{2}{3} \cdot 3 + M_0 + F \cdot 1 = 0 \quad \text{va tenglamalardan}$$

$$B = \frac{16}{3} \kappa N \quad A = \frac{8}{3} \kappa N$$

$$\text{Tekshirish: } \sum y = A - q \cdot \frac{3}{2} + B - F = 0;$$

Eguvchi moment M_x va ko'ndalang kuch Q ni topish uchun balkaning uzunligi bo'ylab ikkita oraliqga bo'lamiz.

I – I qirqim. $0 \leq x_1 \leq 1m$

$$M_{x_1} = -Fx_1; \quad Q_1 = F_1 = 2\kappa N;$$

$$x_1 = 0; \quad M_{x_1} = 0;$$

$$x_1 = 1m; \quad M_{x_1} = -2\kappa Nm$$

II – II qirqim. $0 \leq x_2 \leq 3m$

$$M_{x_2} = -F(1+x_2) - M_0 + Bx_2 - q_x \frac{x_2}{2} \cdot \frac{x_2}{3} \quad Q_2 = F - B + q_x \cdot \frac{x_2}{2}$$

q_x -o'zgaruvchan intensiv yukni B tayanchdan x_2 masofada joylashgan

qiymati bo'lib, $\frac{q}{3} = \frac{q_x}{x_2}$ yoki $q_x = q \cdot \frac{x_2}{3}$ ifoda bilan topiladi.

$$M_{x_2} = -F(1+x_2) - M_0 + Bx_2 - q \frac{x_2^3}{18}; \quad Q_2 = F - B + q \frac{x_2^2}{6}$$

$$x_2 = 0; \quad M_2 = -4\kappa Nm; \quad Q_2 = -\frac{10}{3} \kappa N;$$

$$x_2 = 1m; \quad M_{x_2} = -\frac{8}{9} \kappa Nm; \quad Q_2 = -\frac{16}{6} \kappa N$$

$$x_2 = 3m; \quad M_{x_2} = 0; \quad Q_2 = -\frac{8}{3} \kappa N; \quad Q = F - B + q \cdot \frac{x_2^2}{6} = 0$$

$$x_2 = 2,236m \quad \text{bo'lsa} \quad Q_2 = 0; \quad M_{x_2} = M_{\max} = 1\kappa Nm$$

Ikkinci oraliqda ko'ndalang kuch kvadrat parabola bo'yicha, eguvchi moment esa kubik parabola bo'yicha o'zgaradi.

Oraliqlar boshlanishini A nuqtadan olish mumkin.

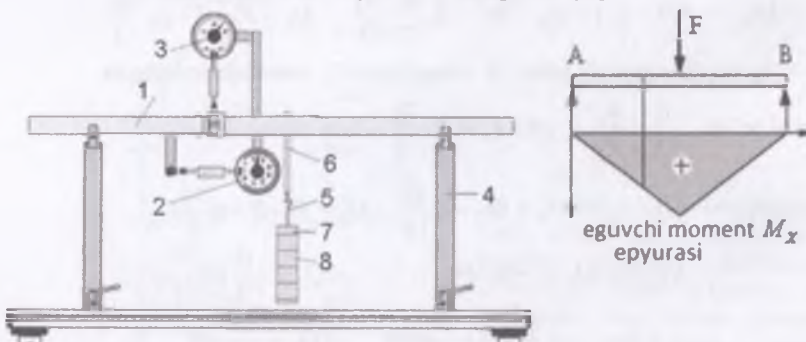
$$Q_{x_1} = A - q_x \cdot x_1 - \frac{q - q_x}{2} \cdot x_1^2; \quad M_{x_1} = Ax_1 - q_x \frac{x_1^3}{2} - \frac{(q - q_x)x_1}{2} \cdot \frac{2}{3}x_1$$

$0 \leq x \leq 3m$ oraliq. x_1 - oraliqda yuk yuzasi balandligi q_x ga teng to'g'ri to'rtburchakdan va balandligi bo'lgan $q - q_x$ uchburchakdan iborat. Katta va kichik uchburchaklarni o'xshashlididan

$$\frac{q}{3} = \frac{q_x}{3 - x_1} \text{ yoki } q_x = q \frac{3 - x_1}{3} = q \left(1 - \frac{x_1}{3}\right) \text{ ifodani hisobga olsak,}$$

$$Mx_1 = Ax_1 - q \left(1 - \frac{x_1}{3}\right) \frac{x_1^2}{2} - \frac{\left[q - q \left(1 - \frac{x_1}{3}\right)\right] x_1}{2} \cdot \frac{2}{3} x_1 = Ax_1 - q \frac{x_1^2}{2} + \\ + q \frac{x_1^3}{6} - q \frac{x_1^3}{9} = Ax_1 - q \frac{x_1^2}{2} + q \frac{x_1^3}{18} + \\ Q_1 = A - qx_1 + q \frac{x_1^2}{3} - \frac{\left[q - q \left(1 - \frac{x_1}{3}\right)\right]}{2} x_1 = A - qx_1 + q \frac{x_1^2}{6}$$

Ikki tayanchli balkada ko'ndalang kuch va eguvchi momentlarni tajribada aniqlash [33]



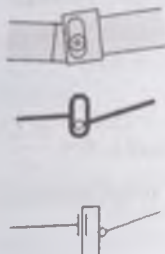
23- rasm. Ikki tayanchli balkada ko'ndalang kuch va eguvchi momentlarni tajribada topish uskunasi WR 960

1. Balka, uzunligi 1000 mm, 266 mm masofada maxsus sharnirda sharnir
2. Eguvchi momentni 0 - 100 Nm oralig'ida o'lchovchi asbob
3. Ko'ndalang kuchni 0 - 50 N oralig'ida o'lchovchi uskuna
4. Rolikli tayanchlar.
5. Og'irligi 1N bo'lgan yuk tutgich
6. Yuk ilgich; 7. 1 N yuk; 8. 5 N yuk

Ishning maqsadi. Ikki tayanchli balkadagi ko'ndalang kuch va eguvchi momentlarni tajribada aniqlash.

Tajriba WR 960 qurilmasida bajariladi

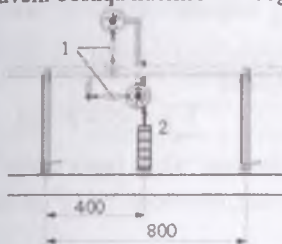
Tajriba o'tkazish uskunasining xarakteristik xususiyatlari:



Balkada hosil bo'ladiqan eguvchi moment va ko'ndalang kuchni to'g'ridan-to'g'ri o'lchash uchun tayanchlar oralig'ining 1/3 qismida erkinlik darajasi ikkiga teng ishqalanhsiz ishlaydigan sharnir va ikkita kuchni o'lchash asbobi o'rnatilgan.

Kuchni o'lchash asbobi siljimasligi va balkani gorizontal holatda ushlab turish uchun vintli posangi, balkanining ixtiyoriy nuqtasiga qo'yish mumkin bo'lgan turli o'lchamdag'i toshlar to'plamidan iborat yuk.

Rolikli podshipniklardan iborat tayanch. Erkinlik darajasi ikkiga teng bo'lgan sharnirda $M_x = 0$ $Q_x = 0$ $N_x \neq 0$ normal kuch balkada paydo bo'lувчи boshqa kuchlardan bog'liq emas.



Tajribani o'tkazish

Uskunani quyidagicha sozlang:

- Tayanchlar orasidagi masofani 800mm qilib ularni eng pastki ramaga mahkamlang. Balkaning markazi tayanchlar oralig'ining markazi bilan ustma-ust tushsin. Balkani vintlar yordamida to'g'riling (1).

- Kuch o'lchagich uskunalaradagi

qiymatlami aniqang va belgilab qo'ying.

Yuk ilgichdan foydalanim 20 N. yukni (2) balkaning markaziga qo'ying (tayanchlardan 400 mm. masofada). Vintlardan foydalanim (1) yana balkani to'g'riling. Har ikki kuch o'lchagichlardiqi qiymatlami aniqlang va belgilab qo'ying.

Tajribani tahlil qilish. Eguvchi momentni o'lchovchi uskunadagi ko'rsatkichlar farqi: $F = 28N$

Kuch elkasi $a = 100mm$ va eguvchi moment

$$M_x = 28 \cdot 100 = 2800 Nm$$

$$\text{Hisoblash natijalariga ko'ra } M_x = \frac{20 \cdot 800}{6} = 2666 Nm$$

Tajriba va hisoblashlarda olingan natijalar bir-biriga etarli darajada yaqin. Ko'ndalang kuchni o'lchovchi uskunadagi ko'rsatkichlar farqi $Q_x = 10,5N$.

$$\text{Hisoblash natijalariga ko'ra } Q_x = 10,0N$$

A,B tayanchlardagi reaktsiyalar bu tayanchlardagi momentlarning nolga tengligi shartidan aniqlanadi

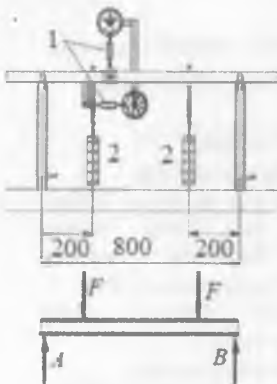
$$\sum M_R = 0 = F \frac{L}{4} + F \frac{3L}{4} - AL, \quad A = F,$$

$$\sum M_A = 0 = F \frac{L}{4} + F \frac{3L}{4} - BL, \quad B = F.$$

Kesilgan balka chap tomoni ixtiyoriy x nuqtasiga nisbatan momentlarning algebraik yig'indisi eguvchi momentga teng.

$$M_y(x) = -Ax + F \left(x - \frac{L}{4} \right) = \frac{FL}{4}.$$

Eguvchi moment $x = \frac{L}{4}$ gacha chiziqli qonuniyat bilan o'sadi, $x = \frac{3 \cdot L}{4}$ gacha shu qiymatni saqlab qoladi, keyin o'ng tayanchda nolga tenglashguncha kamayadi



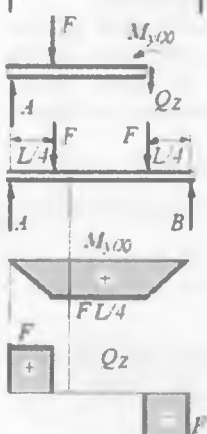
$$\text{Markazdag'i maksimal qiymati } M_y(x = L/2) = \frac{FL}{4}$$

$$\text{Sharnir o'matilgan } x = \frac{L}{3} \text{ nuqtada } M_y(x = L/3) = \frac{FL}{4}$$

Ko'ndalang kuch esa vertikal kuchlarning muvozanat shartidan topiladi

$$\sum z = -A + F + Q_z = 0$$

Bundan $Q_z = 0$ Ikkita kuch qo'yilgan nuqta oralig'ida qirquvchi kuch nolga teng, chetlarida esa F ga teng.



23 - rasm. Balkani simmetrik yuklanishida ichki kuch faktorlari va ularning epyuralari.

Simmetrik yuklanish

23- rasmida keltirilgan uskunani quyidagicha sozlang:

- Tayanchlar orasidagi masofani 800mm qilib ularni eng pastki ramaga mahkamlang

- Balkaning markazi tayanchlar oralig'ining markazi bilan ustma-ust tushsin

- Balkani vintlar yordamida to'g'riling (1)

- Kuch o'lchagich uskunalardagi qiymatlarni aniqlang

va belgilab qo'ying

- Yuk ilgichlardan foydalanim ikkita 20 N ga teng yuklarni chap va o'ng tayanchlardan 200 mm masofada o'rnating (2)

- Vintlardan foydalanim (1) yana balkani

to'g'riling tekshirish kerak.

- Har ikki kuch o'lchagichlardagi qiymatlarni aniqlang va belgilab qo'ying. Balkaga simmetrik ravishda qo'yilgan ikkita to'plangan F kuch ta'sirida hosil bo'ladigan eguvchi moment M_x va ko'ndalang kuch Q_x larning epyurlarini qurish va tajriba yo'li bilan

Tekshirish. Eguvchi momentni o'lchovchi asbobdagi ko'rsatkichlar farqi $F = 41N$. Kuch elkasi $a = 100 \text{ mm}$ va eguvchi moment

$$M_x = 41 \cdot 100 = 4100 \text{ Nmm}$$

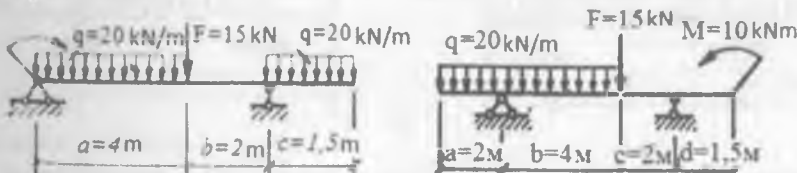
$$M_x = \frac{20 \cdot 800}{4} = 4000 \text{ Nmm}$$

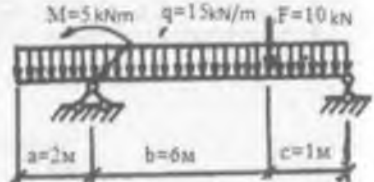
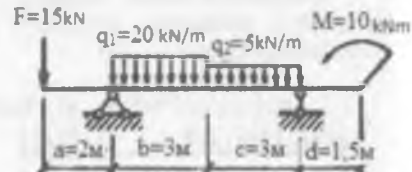
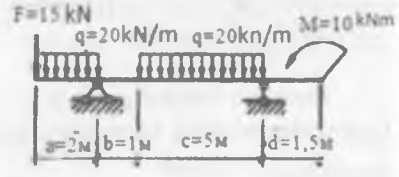
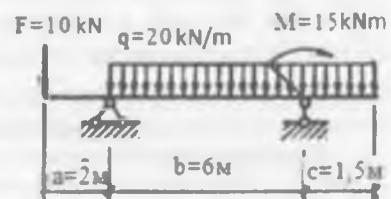
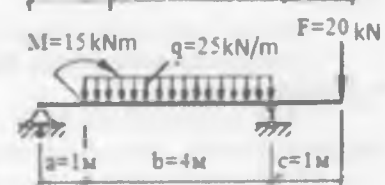
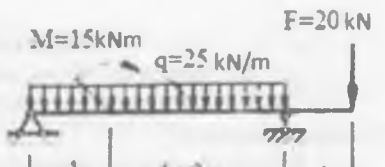
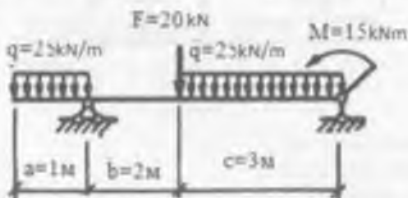
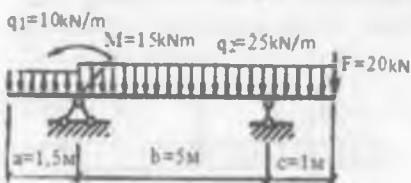
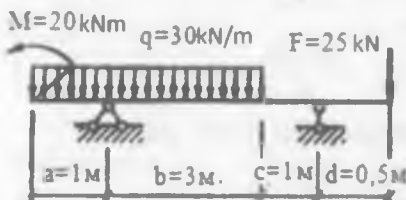
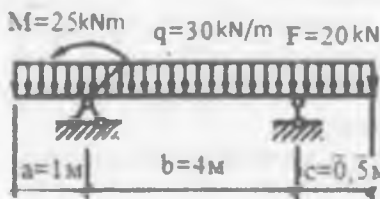
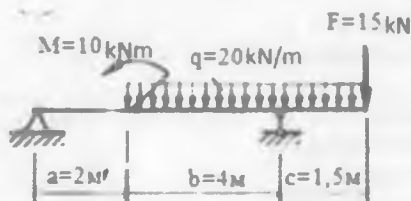
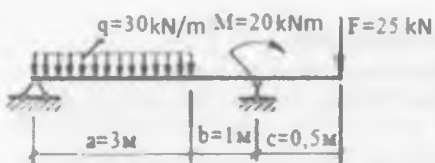
Hisoblash natijalariga ko'ra:

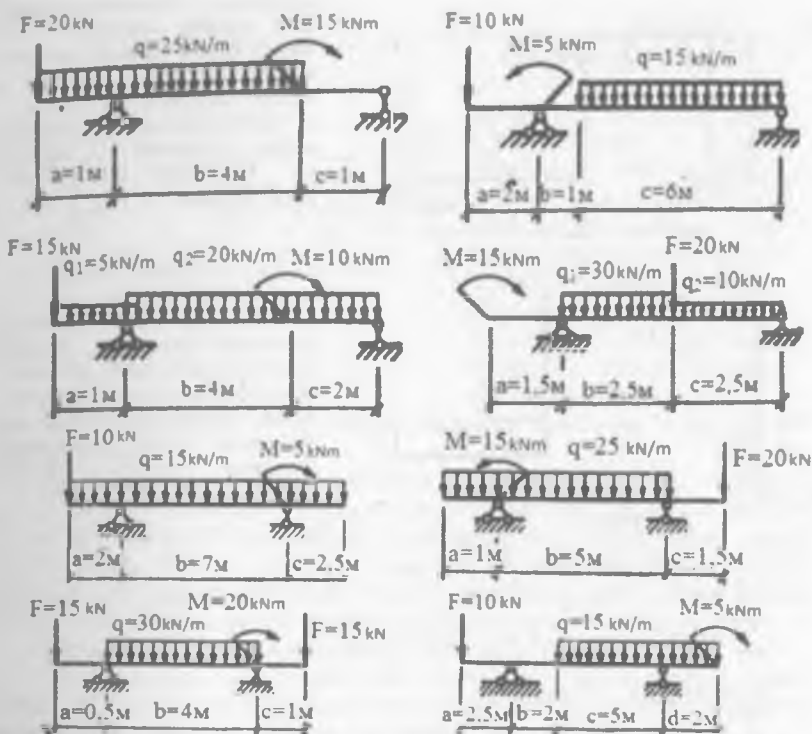
Qirquvchi kuchlarning ikki holdagi qiymatlarining farqi $Q = 0$. Hisoblash

natijalari esa $Q = 0$

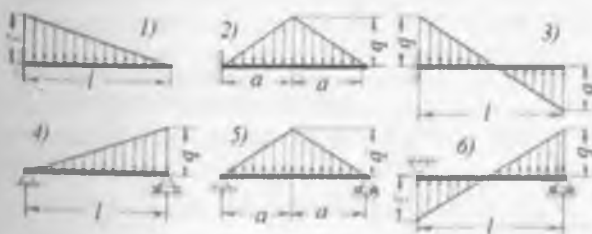
Mustakil ish uchun misollar. Balkalarda (24-rasm) ko'ndalang kuch va eguvchi momentlar epyurlari qurilsin. Barcha kattaliklar balkalarning sxemalarida berilgan.







24-rasm

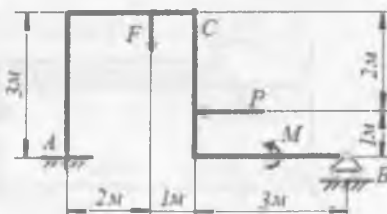


misol. Uchburchak bo'yicha taqsimangani yuk ko'taruvchi balkalar uchun Q va M epyuralarini quring

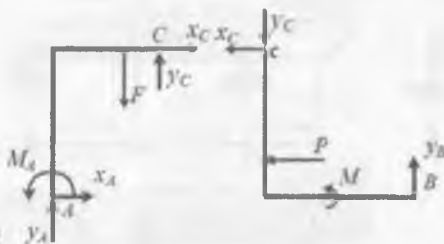
Ramalarda ichki kuch faktorlarini aniqlash

misol. A nuqtada bikr qo'zg'almas tayanch, V nuqtada qo'zg'aluvchan sharnirli tayanch va C nuqtada sharnir o'rnatilgan rama (25-rasm) $F=20 \text{ kN}$, $R=20 \text{ kN}$ va $M=20 \text{ kNm}$ just momenti bilan yuklangan. Ramadagi tayanch reaksiyalari topilsin va ichki kuch faktorlarining epyuralari qurilsin.

a)



b)



Yechish. S sharnirdan ramani ikki qismiga ajratamiz (25-rasm, b) va ramani har bir ajratilgan qismiga C nuqtada x_S va y_S reaksiyalarini qo'yamiz. A bikr qo'zg'almas tayanchda uchta - gorizontal x_A , vertikal y_A va reaktiv moment M_A hosil bo'ladi.

B qo'zg'aluvchan sharnirligi tayanchda bitta y_F vertikal reaksiya kuchi hosil bo'ladi. Reaksiya kuchlarini aniqlash uchun ramanning ajratilgan har bir qismi uchun muvozanat tenglamalarini tuzamiz. Birinchi qism (25-rasm, b)

25-rasm.

$$\sum x = x_C - x_A = 0 \quad (a)$$

$$\sum y = y_A - F + y_C = 0 \quad (b)$$

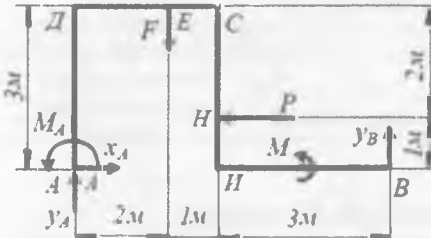
$$\sum M_A = M_A - F \cdot 2 + y_C \cdot 3 - x_C \cdot 3 = 0 \quad (v)$$

Ikkinchi qism (25-rasm, b)

$$\sum x = -x_C - P = 0 \quad (g)$$

$$\sum y = -y_C + y_B = 0 \quad (d)$$

$$\sum M_B = M_B = P \cdot 1 + y_C \cdot 3 + x_C \cdot 3 = 0 \quad (e)$$



Ushbu tenglamalardan nomalum reaksiya kuchlarini topamiz:

$$x_A = -20kN; \quad Y_A = \frac{40}{3}kN;$$

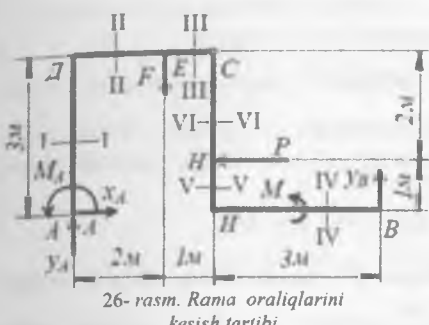
$$Y_B = \frac{20}{3}kN; \quad M_A = -40kNm;$$

Reaksiya kuchlarini to'g'ri

topilganligini tekshirish uchun ramadagi barcha kuchlarni ixtiyoriy tanlangan K nuqtaga nisbatan moment tenglamalarini tuzamiz va yig'indisini nolga tenglashtiramiz:

$$\sum M_K = M_A + F \cdot 1 - y_A \cdot 3 - x_A \cdot 2 - P \cdot 1 + M + y_B \cdot 3 = 0$$

$$-40 + 20 \cdot 2 - \frac{40}{3} \cdot 3 + 20 - 20 + 20 + \frac{20}{3} \cdot 3 = 0$$



26- rasm. Rama oraliqlarini kesish tartibi

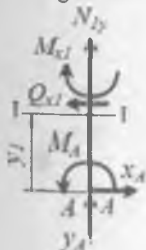
Bo'ylama kuch siquvchi bo'lsa ishorasi manfiy va cho'zuvchi bo'lsa musbat ishorali bo'ladi.

Ko'ndalang kuch Q_y ramani ajratib olingan qismidagi barcha kuchlarni ramani ushbu qismining bo'ylama o'qiga perpendikulyar joylashgan qirqlilish tekisligiga proektsiyalarining algebraik yig'indisiga teng. Tashqi kuchlar ramani ajratib olingan qismini soat strelkasining harakat yo'nalishiga mos yo'nalishda siljitimishga intilsa ko'ndalang kuch musbat ishorali, aks holda tashqi kuchlar ramani ajratib olingan qismini soat strelkasining harakat yo'nalishiga teskari yo'nalishda siljitimishga intilsa ko'ndalang kuch manfiy ishorali bo'ladi.

Bo'ylama kuch va ko'ndalang kuch epyuralarini qurishda ularning musbat ishorli qiyatlari ramaning tashqi tomonida va manfiy ishorli qiyatlari ramaning ichki tomonida tanlangan mashtabda joylashtiriladi.

Eguvchi moment M_x ramani ajratib olingan qismidagi barcha kuchlarni rama ushbu qismining kesim markaziga nisbatan kuch momentlarining algebraik yig'indisiga teng. Kesim markazi deb, rama ajratib olingan qismining bo'ylama o'qini qirqish tekisligi bilan kesishish nuqtasiga aytildi.

Kuch ramani ajratib olingan qismini ichki tomoniga egiltirsa eguvchi moment manfiy ishorali va aksincha kuch rama ajratib olingan qismini tashqi tomoniga egiltirsa musbat ishorali bo'ladi. Eguvchi moment epyurasi rama materialining cho'ziladigan tolasida quriladi.



$$\text{I-I qirqim (AD-oraliq)} \quad 0 \leq y_1 \leq 3M$$

$$\text{Bo'ylama kuch } N_{1y} = -y_A = -\frac{40}{3}, \text{ kN}$$

Bo'ylama kuch tanlangan y_1 masofaga bog'liq emas, shuning uchun N_{1y} kuch $0 \leq y_1 \leq 3M$ oraliqda o'zgarmas.

Ichki kuch faktorlarini aniqlash

Rama oltita uchastkadan iborat. Har bir oralig' uchun ichki bo'ylama kuch, ko'ndalang kuch va eguvchi moment tenglamalarini tuzib epyuralarini quramiz (26-rasm). Ichki bo'ylama kuch N_y , ramani ajratib olingan qismidagi barcha kuchlarni ramani ushbu qism bo'ylama o'qiga proektsiyalarining algebraik yig'indisiga teng.

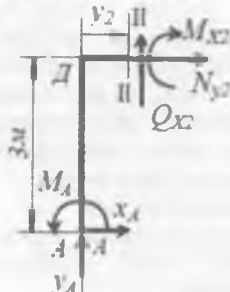
Demak ushbu kuchning epyurasi AD-oraliqda ramaning bo'ylama o'qiga parallel chiziq bo'ladi. Ko'ndalang kuch $Q_{x_1} = -x_A = -20$, kN

Ko'ndalang kuchning qiymati tanlangan y_1 masofaga bog'liq emas, shuning uchun Q_{x_1} kuch $0 \leq y_1 \leq 3M$ oraliqda o'zgarmas. Demak ushbu kuchning epyurasi AD-oraliqda ramaning bo'ylama o'qiga parallel chiziq bo'ladi

$$\text{Eguvchi moment } M_{x_1} = -x_A y_1 + M_A$$

Eguvchi moment tanlangan oraliqda y_1 masofa bilan to'g'ri chiziqli bog'lanishda, shuning uchun $0 \leq y_1 \leq 3M$ oraliqda eguvchi momentning ikkita qiymati-uchastkaning boshi va oxirida hisoblansa bo'ladi: $y_1 = 0$ bo'lsa

$$M_{x_1} = M_A = 40 \text{ kNm}$$



$$y_1 = 3M \text{ bo'lsa } M_{x_1} = -20 \text{ kNm}$$

II-II qirqim (AE-oraliq) $0 \leq y_2 \leq 2M$
Bo'ylama kuch $N_{z_2} = -x_A = -20$, kN

$$\text{Ko'ndalang kuch } Q_{x_2} = y_A = \frac{40}{3}, \text{ kN}$$

Eguvchi moment

$$M_{x_2} = y_A \cdot y_2 + M_A - x_A \cdot 3 = y_A \cdot y_2 - 20$$

$$y_2 = 0 \text{ bo'lsa } M_{x_2} = -20 \text{ kNm}$$

$$y_2 = 2M \text{ bo'lsa } M_{x_2} = \frac{20}{3} \text{ kNm}$$

III-III qirqim (EC-oraliq)
 $0 \leq y_3 \leq 1M$

Bo'ylama kuch $N_{z_3} = -x_A = -20$, kN

Ko'ndalang kuch

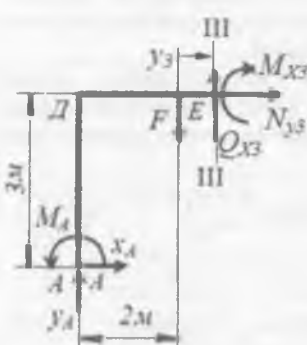
$$Q_{x_3} = y_A - F = \frac{40}{3} - 20 = -\frac{20}{3}, \text{ kN}$$

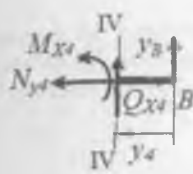
Eguvchi moment

$$M_{x_3} = y_A(2 + y_3) + M_A - x_A \cdot 3 - F \cdot y_3$$

$$y_3 = 0 \text{ bo'lsa } M_{x_3} = \frac{20}{3} \text{ kNm}$$

$$y_3 = 1M \text{ bo'lsa } M_{x_3} = 0$$





IV-IV qirqim (VI-oraliq) $0 \leq y_4 \leq 3M$

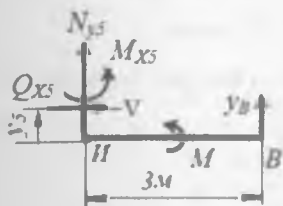
Bo'ylama kuch $N_{4y} = 0$

Ko'ndalang kuch $Q_{x4} = -y_B = -\frac{20}{3}$, kN

Eguvchi moment $M_{x4} = y_B \cdot y_4$

$y_4 = 0$ bo'lsa $M_{x4} = 0$

$y_1 = 4M$ bo'lsa $M_{x4} = 20$ kNm



V-V qirqim (IIIN-oraliq) $0 \leq y_5 \leq 1M$

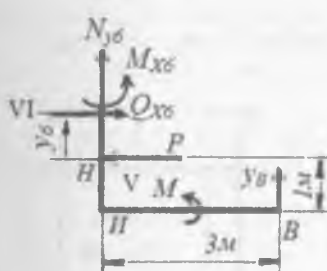
Bo'ylama kuch $M_{x5} = 20$ kNm

$N_{5y} = -y_B = -\frac{20}{3}$, kN

Ko'ndalang kuch $Q_{x5} = 0$

Eguvchi moment

$$M_{x5} = y_B \cdot 3 + M = \frac{20}{3} \cdot 3 + 20 = 40 \text{ kNm}$$



VI-VI qirqim (NC-oraliq)

$0 \leq y_6 \leq 2M$

Bo'ylama kuch

$N_{jy} = -y_B = -\frac{20}{3}$, kN

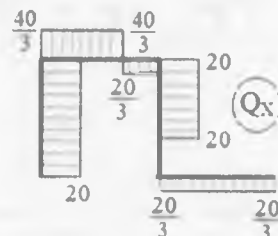
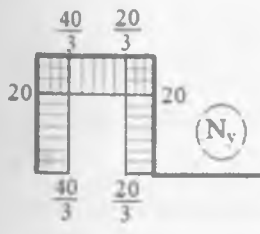
Ko'ndalang kuch

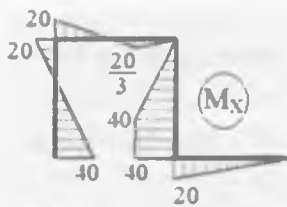
$Q_{x6} = P = 20$ kN;

Eguvchi moment

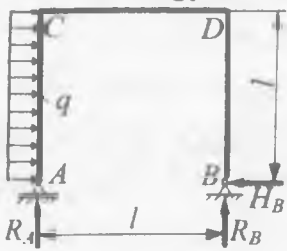
$$M_{x5} = y_B \cdot 3 + M - P \cdot y_6$$

$y_6 = 0$ bo'lsa $M_{x5} = 40$ kNm $y_6 = 2M$ bo'lsa $M_{x6} = 0$





27-rasm. Rama uchun bo'ylama kuch
N_x ko'ndalang kuch Q_x va eguvchi
moment M_x epyuralari



28 - rasm. Ramani yuklanish sxemasi

misol -1. Ramani sterjenlari uchun buylama kuch - Q va eguvchi moment - M_x - epyuralari qurilsin: l = 4m,
 $q = 2 \frac{m}{m}$ (28 - rasm).

Yechish. 1) Reaktsiya kuchlarini aniqlaymiz.

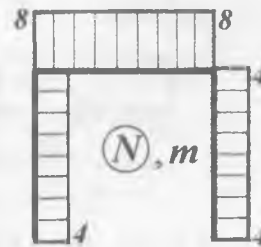
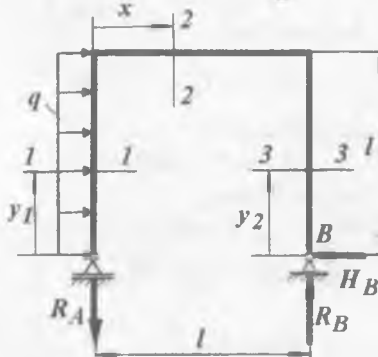
$$\sum x = 0 \quad q\ell - H_B = 0,$$

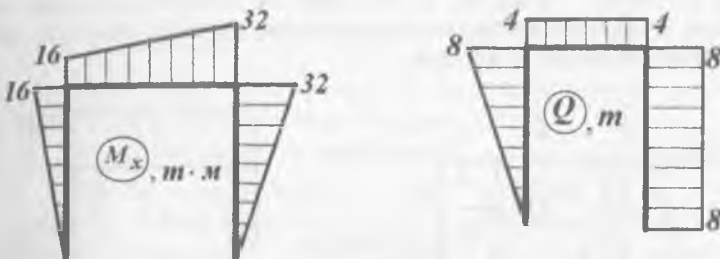
$$\text{buerdan } H_B = q\ell = 8m$$

$$\sum y = 0; \quad -R_A + R_B = 0$$

$$\text{buerdan } R_A = R_B$$

$$\sum M_B = 0; R_A \cdot \ell - q \frac{\ell^2}{2} = 0. \quad \text{buerdan} \quad R_A = \frac{q\ell}{2} = 4m$$





29 - rasm. Rama uchun N, Q, M epyuralari

2) Buylama kuch - rama sterjenining buylama o'qiga barcha tashqi kuchlar proektsilarining yig'indisiga teng (29 -rasm)

$$\text{I - I qirqim (AC- oraliq)} \quad N_1 = R_A = 4m \text{ (cho'zilish).}$$

$$\text{II - II qirqim (CD- oraliq)} \quad N_2 = -q\ell = -8m \text{ (sinqilish)}$$

$$\text{III - III qirqim (BD- oraliq)} \quad N_3 = -R_B = -4m \text{ (sinqilish)}$$

3) Ko'ndalang kuch - tashqi kuchlarni qirqim tekisligiga proektsiyalarining yig'indisiga teng (29 -rasm).

Agar, rama sterjenining qirqilgan kesim markaziga nisbatan kesilgan qismni soat strelkasining harakat yo'nalishiga mos ravishda aylantirsa, ko'ndalang kuch musbat ishorali.

$$\text{I - I qirqim.} \quad Q_1 = -qy_1$$

$$\text{Agar } y_1 = 0 \text{ va } Q_1 = 0; \text{ agar } y_1 = \ell; Q_1 = -q\ell = -8m$$

$$\text{II - II qirqim.} \quad Q_2 = -R_A = -4m$$

$$\text{III - III qirqim.} \quad Q_3 = H_B = 8m$$

4) Eguvchi moment tenglamalari (28 -rasm).

$$\text{I - I qirqim.} \quad M_{x_1} = -q \frac{y_1^2}{2} \quad 0 \leq y_1 \leq \ell = 4m$$

$$y_1 = 0 \text{ bo'lsa } M_{x_1} = 0 \text{ va } y_1 = \ell \text{ bo'lsa } M_{x_1} = -16m.$$

$$\text{II - II qirqim.} \quad M_{x_2} = -R_A x - q \frac{\ell^2}{2} \quad 0 \leq y_2 \leq 4m$$

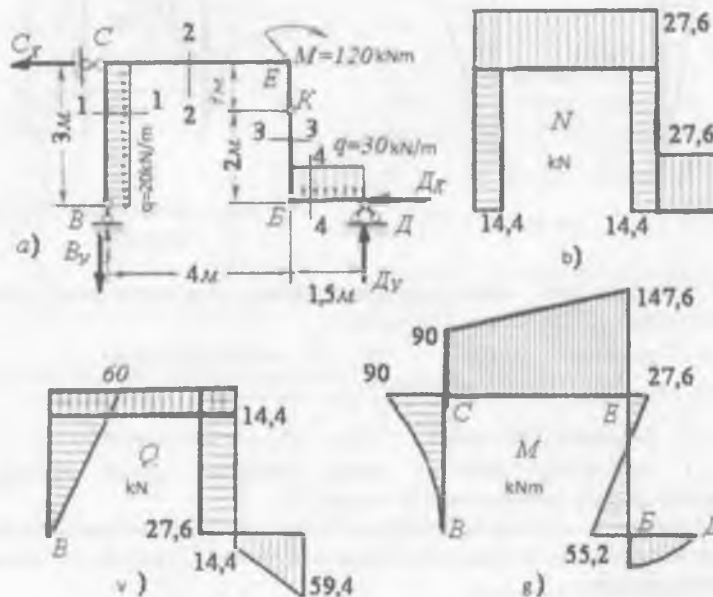
$$\text{III - III qirqim.} \quad M_{x_3} = -H_B \cdot y_2 \quad 0 \leq y_2 \leq \ell$$

$$y_2 = 0 \text{ bo'lsa } M_{x_3} = 0 \text{ va } y_2 = \ell \text{ bo'lsa } M_{x_3} = -32m.$$

misol - 2. Berilgan rama uchun (30 -rasm,a) N, Q, M epyuralari qurilsin.

Yechish. Ramani C, D, D tayanchlarida to'rtta C, D, D_X, D_U - reaksiya kuchlari hosil bo'ladi. Agar ramada K - sharnir o'matilmaganida masala statik

noaniq ko'rinishda bo'lar edi. K - sharnirdan bir tomonda joylashgan barcha kuchlarni K nuqtaga nisbatan kuch momentlarining yig'indisi nolga teng, chunki sharnirlardan momentlar uzatilmaydi.



30 – rasm. Ramada ichki kuch faktorlarini aniqlash: a) ramani yuklanish sxemasi; b) ichki bo'ylama kuch epyurasi; v) ko'ndalang kuch epyurasi; g) eguvchi moment epyurasi

Muvozanat shartlari:

$$\sum y = B + D_y - q \cdot 1,5 = 0 \quad (a)$$

$$\sum x = -C - D_x + q \cdot 3 = 0 \quad (b)$$

$$\sum M_C = D_y \cdot 5,5 - D_x \cdot 3 - M + q \cdot 3 \cdot 1,5 - q \cdot 1,5 \cdot 4,75 = 0 \quad (c)$$

DBK qismning K nuqtasiga nisbatan kuch momenti

$$\sum M_K = D_y \cdot 1,5 - D_x \cdot 2 - M - q \cdot 3 \cdot 1,5 = 0 \quad (u)$$

a,b,e,u – tenglamalar sistemasini echib quyidagilarni topamiz:
 $D_y = 59,4 \text{ kN}; \quad D_x = 27,6 \text{ kN}; \quad C = 32,4 \text{ kN};$

Ramani to'rtta oraliqga bo'lamic va har bir oraliq uchun N, Q, M tenglamalarini tuzamiz.

$$I - I \text{ qirqim (BC- oraliq)} \quad 0 \leq z \leq 3M$$

$$N_1 = B = 14,4kN; \quad Q_1 = -q \cdot z \quad M_1 = -\frac{q \cdot z^2}{2}$$

N_1 musbat ishorali va o'zgarmas. Q_1 kuch to'g'ri chiziqli qonuniyat bilan M_1 esa parabola qonuniyati bilan o'zgaradi.

$$z_1 = 0 \text{ bo'lsa } Q_1 = 0 \text{ va } M_1 = 0$$

$$z_1 = 3m \text{ bo'lsa } Q_1 = 60kN; \text{ va } M_1 = -90kNm;$$

Moment M_1 vertikal brus o'qi bo'yicha parabola qoidasi bilan o'zgaradi va B nuqtada nolga teng, C nuqtada minus 90 kNm . Eguvchi moment BC brusning tashqitomonini cho'zadi, shuning uchun

$M_1 = -90kNm$; momentni vertikal brus C nuqtasidan chap tomonda joylashtiramiz.

II – II qirqim (CE-oraliq). S nuqtadan z masofada o'tkaziladi

$$0 \leq z \leq 4m$$

$$N_2 = -C + 3q = 27,6kN; \quad Q_2 = -B = -14,4kN; \quad \text{va} \quad M_2 = -B \cdot z - \frac{q \cdot 3^2}{2}$$

Bu oraliqda N_2 va Q_2 kuchlar o'zgarmas. N_2 kuch cho'zuvchi va Q_2 kuch manfiy ishorali.

$$z_1 = 0 \text{ bo'lsa } M_2 = -90kNm; \text{ va } z_1 = 4m \text{ bo'lsa } M_2 = -147,6kNm;$$

III – III qirqim (BE-oraliq) BE vertikal brusda B nuqtadan z masofada o'tkaziladi $0 \leq z \leq 3m$

$$N_3 = -D_y + 1,5q = -14,4kN; \quad Q_2 = D_x = 27,6kN;$$

$$M_3 = D_y \cdot 1,5 - D_x \cdot z - \frac{q \cdot 1,5^2}{2} = 55,2 - D_x \cdot z$$

N_3 va Q_3 kuchlar o'zgarmas. N_2 kuch siqvchi va Q_2 kuch musbat ishorali.

Eguvchi moment to'g'ri chiziqli qonuniyat bilan o'zgaradi va BE vertikal brus o'qini Bnuqtadan $z = \frac{55,2}{D_x} = \frac{55,2}{27,6} = 2,0$ masofada kesib o'tadi, ya'ni eguvchi moment nolga teng bo'ladi.

IY-IY qirqim (DB-oraliq). D nuqtadan z masofada o'tkaziladi

$$0 \leq z \leq 1,5m$$

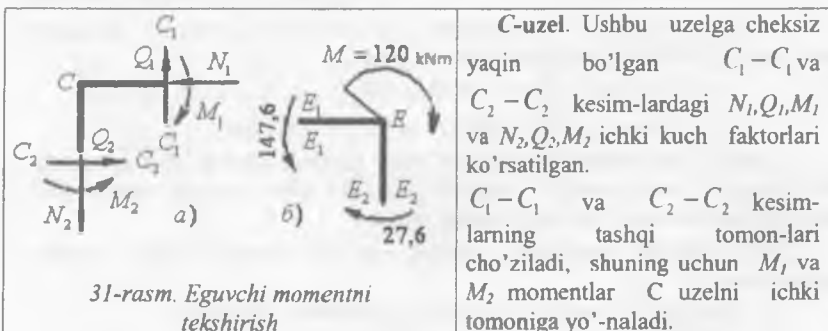
$$N_4 = -D_x = -27,6kN; \quad Q_4 = -59,4 + q \cdot z \quad M_4 = D_y \cdot z - \frac{q \cdot z^2}{2}$$

$$z_4 = 0 \text{ bo'lsa, } D \text{ nuqtada } Q_4 = -59,4 \text{ va } M_4 = 0$$

$$z_1 = 1,5m \text{ bo'lsa } Q_4 = -14,4kN; \text{ va } M_4 = 55,2kNm;$$

Bu oraliqda N_4 va Q_4 kuch to'g'ri chiziqli qonuniyatida o'zgaradi manfiy ishorali. Eguvchi momentning ekstremal qiymati B nuqtada hosil bo'ladi. M_4 epyurasi BD brus o'qining cho'ziladigan tomoniga quriladi (30-rasm).

M-epyurasini tekshirish. Eguvchi moment epyurasining to'g'riliqi rama uzellarining muvozanatini tekshirish bilan baholanadi (31-rasm).



C-uzel. Ushbu uzelga cheksiz yaqin bo'lgan $C_1 - C_1$ va $C_2 - C_2$ kesim-lardagi N_1, Q_1, M_1 va N_2, Q_2, M_2 ichki kuch faktorlari ko'rsatilgan.

$C_1 - C_1$ va $C_2 - C_2$ kesim-larning tashqi tomonlari cho'ziladi, shuning uchun M_1 va M_2 momentlar C uzelni ichki tomoniga yo'-naladi.

Uzelni muvozanat tenglamasi

$$\sum M_C = 0 \quad \text{va} \quad M_1 - Q_1 \cdot dz - Q_2 \cdot dz - M_2 = 0$$

Buerda $-Q_1 \cdot dz$ va $-Q_2 \cdot dz$ - lar cheksiz kichik miqdor bo'lganligi uchun ularni tenglamadan chiqarib tashlaymiz. Unda

$$M_1 - M_2 = 90 - 90 = 0 \text{ muvozanat shart bajarildi.}$$

E-uzel. Ushbu uzelni $E_1 - E_1$ kesimda 147,6 kNm moment va $E_2 - E_2$ kesimiga 27,6 kNm moment ta'sir qiladi. E-uzelni tashqi tomoni cho'ziladi va bu uzelga tashqi 120 kNm moment qo'yilgan. $\sum M_E = -M - M_3 + M_2 = 0$ va $-120 - 27,6 + 147,6 = 0$

misol -3. Berilgan rama uchun M va Q epyuralari qurilsin

$$(32-rasm). F = 20kN; \quad M_0 = 20kNm; \quad a = 1m, \quad q = 20 \frac{kN}{m};$$

Yechish. Reaktsiya kuchlarini topamiz (32 - rasm, a).

$$\sum x = -x_A + q \cdot 2a = 0 \quad \text{yoki} \quad x_A = 2qa = 40kN$$

$$\sum M_B = F \cdot a + q \cdot 2a \cdot \frac{2a}{2} + M - y_A \cdot 2a - x_A \cdot a = 0 \quad \text{va} \quad Y_A = 20kN;$$

$$\sum M_A = y_B \cdot 2a + M - F \cdot a = 0 \quad \text{va} \quad y_B = 0$$

M va Q tenglamlarini tuzamiz:

1 - 1 qirqim. $0 \leq x_1 \leq 1m$

$$M_{x_1} = F \cdot x_1 \quad \text{sa} \quad Q_1 = F = 20 \text{ kN}$$

$$x_1 = 0; \quad M_{x_1} = 0 \quad \text{sa} \quad x_1 = 1m; \quad M_{x_1} = 20 \text{ kNm}$$

II - II qirqim. $0 \leq y_1 \leq 2a$

$$M_{x_2} = F \cdot 1 + q \frac{y_1^2}{2} \quad \text{ea} \quad Q_2 = qy_1 \quad N_2 = -F = -20 \text{ kN}$$

$$y_1 = 0;$$

$$M_{x_2} = 20 \text{ kNm}$$

$$Q_2 = 0;$$

$$y_1 = 1a;$$

$$M_{x_2} = 30 \text{ kNm}$$

$$Q_2 = 20 \text{ kN}$$

$$y_1 = 2a;$$

$$M_{x_2} = 60 \text{ kNm}$$

$$Q_2 = 40 \text{ kN}$$

III - III qirqim. $0 \leq y_2 \leq 1a$

$$M_{x_3} = x_A \cdot y_2; \quad Q_3 = -x_F = -40 \text{ kN} \quad \text{ea} \quad N_3 = 20 \text{ kN}$$

$$y_2 = 0; \quad M_{x_3} = 0 \quad \text{ea} \quad y_2 = 1a; \quad M_{x_3} = 40 \text{ kNm}$$

IV - IV qirqim. $0 \leq x_2 \leq 1a$

$$M_{x_4} = x_A \cdot 1 + y_A x_2; \quad Q_4 = -y_A = -20 \text{ kN}; \quad N_4 = -x_A = -40 \text{ kN}$$

$$x_2 = 0; \quad M_{x_4} = 40 \text{ kNm} \quad \text{ea} \quad x_4 = 1a; \quad M_{x_4} = 60 \text{ kNm}$$

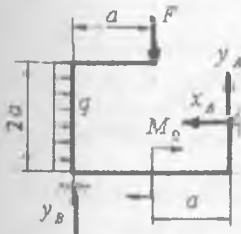
V - V qirqim. $0 \leq x_3 \leq 1a$

$$M_{x_5} = x_A \cdot 1 + y_A(x_3 - 1) - M; \quad \text{ea} \quad Q_5 = -y_A = -20 \text{ kN}$$

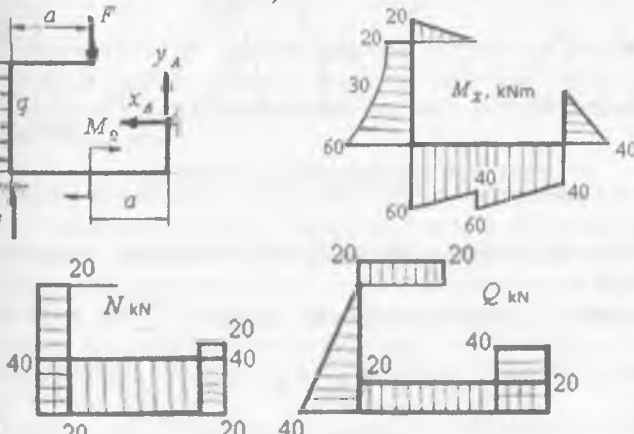
$$\text{ea} \quad N_5 = -x_A = -40 \text{ kN} \quad x_3 = 0; \quad M_{x_5} = 40 \text{ kNm}$$

$$x_3 = 1a; \quad M_{x_5} = 60 \text{ kNm}$$

a)



b)



32-rasm. Ramada ichki kuch faktorlarini aniqlash:

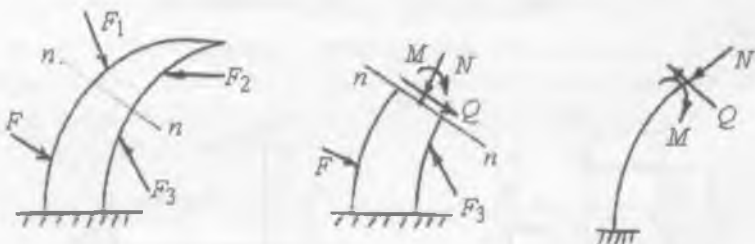
a) ramani yuklanish sxemasi;

b) ichki bo'ylama kuch, ko'ndalang kuch va eguvchi moment epyuralari

Egri sterjenlarda ichki kuch faktorlarini aniqlash

Tashqi F_1 , F_2 , F_3 va F_4 kuchlar bilan yuklangan egri sterjenni o'rganamiz (33–rasm). Egri sterjenning ko'ndalang kesimidagi ichki kuch omillarini aniqlash uchun, uni tekislik bilan kesib ikki bo'lakka ajratamiz. Sterjenning I bo'lagini ajratib olsak II bo'lagining muvozanat holati buziladi. II qismni muvozanatini ta'minlash uchun I qismning ta'sirini II qismning kesilgan yuzasiga keltirib qo'yamiz.

To'g'ri sterjenlarning egilishidan ma'lumki, har qanday sterjenni egilishida bir qismni ikkinchi qismga ta'siri sifatida eguvchi moment M , ko'ndalang kuch Q va bo'ylama kuch N qabul qilingan. Demak, egri sterjenni 1 - qismining 2 - qismiga ta'siri sifatida M , Q va N ichki kuch omillari qabul qilinadi. Eguvchi moment M , sterjenning o'rganilayotgan qismidagi tashqi kuchlardan uning kesim yuzasining og'irlik markaziga nisbatan olingan momentlarining algebraik yig'indisiga teng. Agar M sterjenning egriligini kattalashtirsa, ishorasi musbat (33–rasm), teskari holatda manfiydir. Bo'ylama kuch cho'zuvchi bo'lsa ishorasi musbat. Bo'ylama kuch N ni musbat ishorasidan soat strelkasi yo'naliishi bo'yicha 90° ga aylantirganda hosil bo'lgan ko'ndalang kuch Q ning ishorasi musbat. Ko'ndalang kuch Q egri sterjenning ko'ndalang kesimiga o'tkazilgan urinma tekislikka o'rganilayotgan qismidagi barcha tashqi kuchlar proektsiyalarining algebraik yig'indisiga teng.

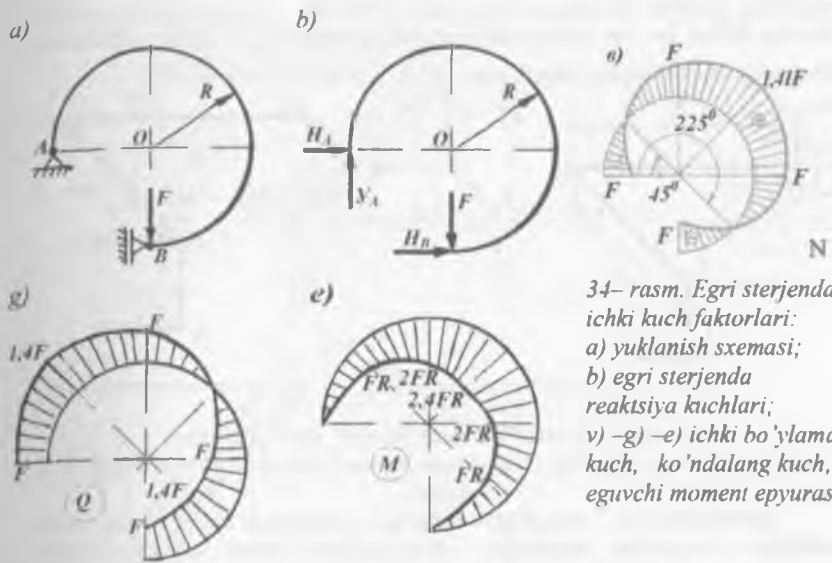


33 – rasm. Egri sterjenda ichki kuch faktorlari

misol. Egri sterjen uchun ichki kuch faktorlarining epyuralari qurilsin (34–rasm, a).

Yechish. Tayanch reaksiyalarini topamiz: $\sum M_A = FR - H_B R = 0$

$$\begin{aligned} \sum X &= H_A + H_B = 0 && \text{bu erdan } H_A = -H_B = F \\ \sum Y &= -F + V_A = 0 && \text{bu erdan } V_A = H_A = F \end{aligned}$$



34- rasm. Egri sterjenda ichki kuch faktorlari:
 a) yuklanish sxemasi;
 b) egri sterjenda reaktsiya kuchlari;
 v) -g) -e) ichki bo'ylama kuch, ko'ndalang kuch, eguvchi moment epyurasи

Egri sterjen bitta yuklanish oralig'iiga ega.

$$N = H_A \sin \varphi - Y_A \cos \varphi = F(\sin \varphi - \cos \varphi)$$

$$Q = H_A \cos \varphi + Y_A \sin \varphi = F(\sin \varphi + \cos \varphi)$$

$$M = -H_A \cdot y_0 - Y_A x_0 = -FR \sin \varphi + FR(1 - \cos \varphi) = FR(1 + \sin \varphi - \cos \varphi)$$

Ichki kuch faktorlarini φ burchakning turli qiymatlarida aniqlaymiz va epyuralarini quramiz. Eguvchi momentni eng kata qiymati A tayanch nuqtaga nisbatan 135° burchak ostida joylashgan kesimda hosil bo'ladi. Ushbu nuqtada ko'ndalang kuch nolga teng.

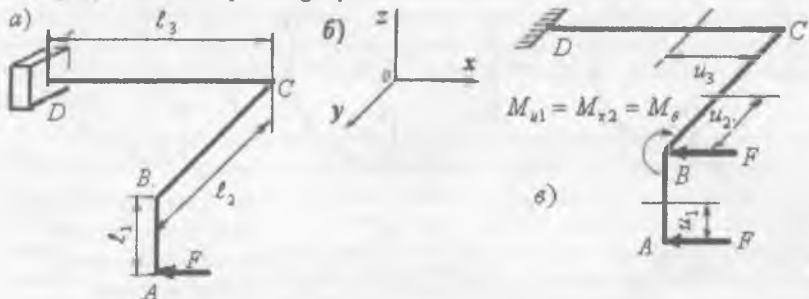
Murakkab qarshilikda ichki kuch faktorlarini aniqlash

Qurilish inshootlarining ayrim elementlari, mashina va mexanizmlardagi uzatmalarda har xil tekislikda yo'nalgan kuchlar sistemasi hosil bo'ladi. Masalan, stropila, siniq sterjenlar, tishli yoki chervyakli uzatmalar. Bunday konstruktysiylarning kesim yuzasida bir vaqtning o'zida eguvchi moment, burovchi moment, bo'ylama kuch, ko'ndalang kuch ko'rinishidagi ichki kuch faktorlari hosil bo'ladi. Ichki kuch faktorlarini kesish usulidan foydalanim topamiz.

misol. Berilgan siniq sterjen uchun (35 - rasm) ichki kuch faktorlari aniqlansin va epyuralari qurilsin.

Yechish. Koordinata sistemmasini 35- rasm, b-da ko'rsatilganidek qabul qilamiz. Har bir sterjen uchun tegishli o'qqa nisbatan eguvchi moment tenglamasini kesimning bir tomonida qolgan tashqi kuchlardan shu kesim

markaziga nisbatan olingan momentlarning algebraik yig'indisi kabi qaraymiz. Shuning uchun har bir sterjenning uchidan kesimgacha bo'lgan masofalarni u_1, u_2, u_3 harflari orqali belgilaymiz.



35– rasm. Murakkab qarshilikda ichki kuch faktorlari:

a) fazoviy rama; b) fazoviy koordinata o'qlari; v) ichki kuchlarni aniqlash taribi.

Eguvchi moment sterjenning tanlangan koordinata sistemasining qaysi tekisligida yotganini aniqlaymiz. Ayrim hollarda ushbu eguvchi momenti kkinchi sterjen uchun burovchi moment bo'ladi.

Kesuvchi kuch har qaysi sterjenning o'z o'qiga nisbatan tik kesimning o'ng tomonidagi kuch proektsiyalarining algebraik yig'indisiga teng. Bo'ylama kuch har qaysi sterjenning kesimidan o'ng tomonda qolgan kuchlardan shu sterjen o'qiga proektsiyalarining algebraik yig'indisiga teng.

AB – oraliq. $0 \leq u_1 \leq \ell_1$; $M_1 = -Fu_1$ va

$u_1 = 0$ bo'lsa $M_1 = 0$ va $u_1 = \ell_1$ bo'lsa $M_1 = -F\ell_1$

AB – oraliqda eguvchi moment chiziqli qonuniyat bilan o'zgaradi, kesuvchi kuch esa o'zgarmas. Eguvchi moment epyurasi sterjenning egilishidan hosil bo'lgan egrilikning tashqi tomoniga chiziladi.

BC – oraliq. $0 \leq u_2 \leq \ell_2$

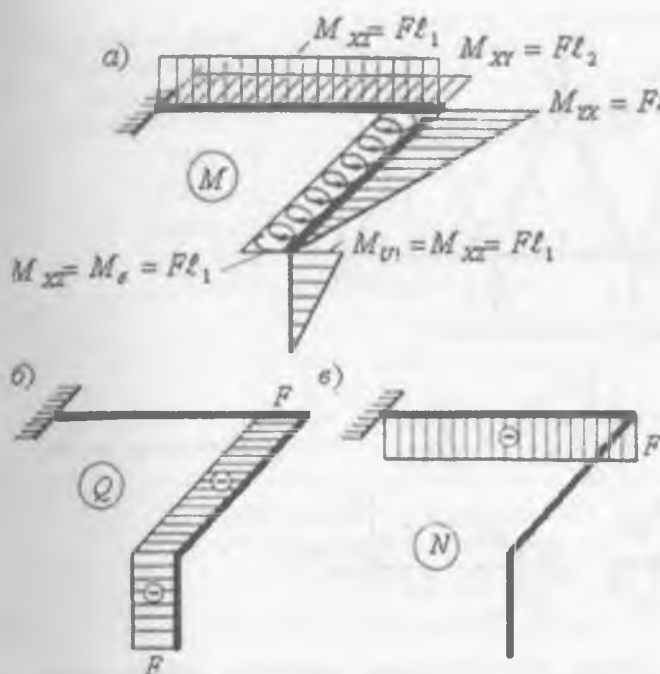
Eguvchi momentni topish uchun F kuchni o'z – o'ziga parallel ravishda B nuqtaga ko'chiramiz. Bunda xoz ga parallel tekislikda yotgan moment $M_{xz} = M_s = Fl_1$ qo'shiladi. Bu moment BC sterjenning kesimida yotganligi sababli uni buraydi. Ko'chirilgan F kuch esa BC sterjenni yox tekisligida yotadi va uni egadi. $M_{yx} = M_{u2} = Fu_2$ $u_2 = 0$ bo'lsa $M_{u2} = 0$ va $u_2 = \ell_2$ bo'lsa $M_{u2} = -Fl_2$

$Q_2 = -F$ kesuvchi kuch o'zgarmas.

BC – oraliqdagi burovchi moment epyurasi burama shtrix bilan BC sterjeni chap tomonida ko'rsatilgan.

36-rasm.
Rama uchun

a) eguvchi
moment,
b)
ko'ndalang
kuch va
v) bo'ylama
kuch
epyuralari.

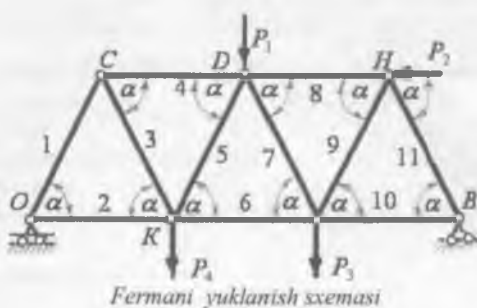


CD- oraliq. $0 \leq u_3 \leq \ell_3$

F kuch bilan $M_{xz} = F\ell_1$ momentlari o'z - o'ziga parallel ravishda C nuqtaga ko'chiriladi. U holda CD sterjen bo'ylab yo'nalgan *F* kuch bilan $M_{xz} = F\ell_1$ va $M_{u2} = -F\ell_2$ momentlari qo'yiladi. Ushbu momentlar CD sterjenni *xoz* va *yoX* tekisliklariда egadi. *F* kuch CD sterjen o'qiga parallel bo'lganligi uchun bu oraliq buralmaydi. $N_{CD} = -F$ siqvuchi bo'ylama kuch.

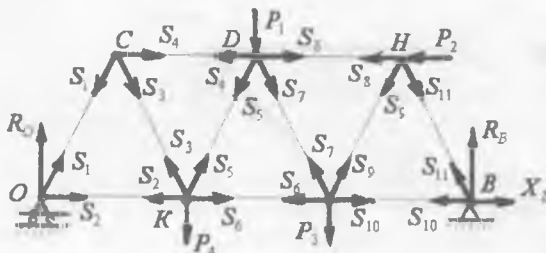
Ferma sterjenlaridagi ichki zo'riqish kuchlarni aniqlash. Bu misolda cho'zilish va siqlishga ishlaydigan payvandli ajralmas birikma hosil qilgan ferma sterjenlaridagi ichki zo'riqish kuchlarini hisoblash usullaridan birini ko'rib o'tamiz. Buning uchun fermani yuklanish sxemasi va unga qo'yilgan kuchlar berilgan bo'ladi. Ichki bo'ylama kuchni quyidagi usullardan biri bilan aniqlash mumkin:

1. Uzellarni ajratish- Kulman usuli.
2. Kesish – Ritter usosida ajratilgan sterjenlar tuguniga ta'sir qiluvchi kuchlarning analitik muvozanat tenglamalarini tuzish
3. Maksvell – Kremon usuli, kuch diagrammasini qurish usuli.



misol. Feringani sxemasi va unga ta'sir qiluvchi kuchlar 37– rasmida ko'rsatilgan. Berilgan:

 $P_1 = 10kN;$
 $P_2 = 20kN;$
 $P_3 = 30kN;$
 $P_4 = 40kN$



38- rasm. Ferma uzellaridagi kuchlar

Yechish. 1. Fermani *O* va *B* tayanch nuqtalariga nisbatan moment tenglamasini tuzib tayanch reaksiyalarini aniqlaymiz.

$$\sum x = x_B - P_2 = 0 \quad \text{yoki} \quad x_B = 20kN$$

$$\sum M_O = R_B \cdot 3a - P_4 a - P_1 \frac{3}{2} a - P_3 \cdot 2a + P_2 \cdot \frac{\sqrt{3}}{2} a = 0$$

$$\sum y = R_O - P_4 - P_1 - P_3 + R_B = 0 \quad \text{va} \quad R_O = 47,44 kN$$

2. Sterjenlardagi zo'riqish kuchlarini kesish usulidan foydalanimiz. Eng oldin *O* yoki *V* tugunlar atrofidan sterjenlarni kesish mumkin, chunki bu tugunlardagi reaksiya kuchlari aniq va ikkitadan sterjenlardagi zo'riqish kuchlarini aniqlash mumkin.

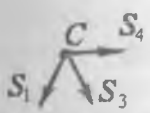
I-I qirqim. O tugundagi 1-2 sterjenlardan kesamiz va muvozanat tenglamalarini tuzamiz:



$$\sum x = 0 \quad S_x \cos 60^\circ + S_z = 0$$

$$\sum y = 0 \quad R_s + S_s \cdot \sin 60^\circ = 0$$

$$S_1 = -\frac{R_e}{\sin 60^\circ} = -\frac{47.44}{\sqrt{3}} = -54.78 \text{ kN} \quad \text{va } S_2 = -S_1 \cdot \cos 60^\circ = 27.93 \text{ kN}$$



II-II qirqim. S tugundagi 1-2-3 sterjenlardan kesamiz va muvozanat tenglamalarini tuzamiz:

$$\sum x = 0 \quad S_1 \cdot \cos 60^\circ + S_4 \cdot \cos 60^\circ = 0$$

$$\sum y = 0 \quad S_1 \cdot \sin 60^\circ - S_3 \cdot \sin 60^\circ = 0$$

va $S_3 = S_1 = 54,78 \text{ kN}$

$$S_1 = -(S_1 + S_3) \cdot \cos 60^\circ = -(54,78 + 54,78) \cdot 0,5 = -54,78 \text{ kN}$$

III-III qirqim. K tugundagi 2-3-5-6 sterjenlardan kesamiz va muvozanat tenglamalarini tuzamiz:



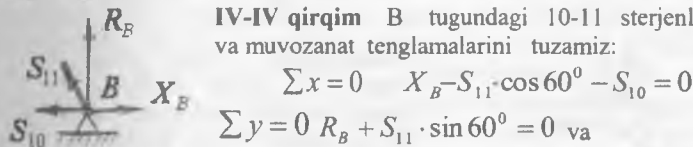
$$\sum x = 0 - S_2 + S_5 \cdot \cos \alpha + S_6 \cdot \cos \alpha = 0$$

$$\sum y = 0 \quad S_3 \cdot \sin \alpha + S_5 \cdot \sin \alpha - P_4 = 0 \text{ va}$$

$$S_5 = \frac{P_4}{\sin \alpha} - S_3 = \frac{2 \cdot 40}{\sqrt{3}} - 54,78 = -8,54 \text{ kN}$$

$$S_6 = S_2 + S_3 \cdot \cos \alpha - S_5 \cdot \cos \alpha = 27,34 - (54,78 + 8,54) \cdot 0,5 = 59,05 \text{ kN}$$

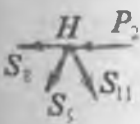
IV-IV qirqim B tugundagi 10-11 sterjenlardan kesamiz va muvozanat tenglamalarini tuzamiz:



$$\sum x = 0 \quad X_B - S_{10} \cdot \cos 60^\circ - S_{11} = 0$$

$$\sum y = 0 \quad R_B + S_{11} \cdot \sin 60^\circ = 0 \text{ va}$$

$$S_{11} = X_B - S_{10} \cdot \cos 60^\circ = 20 - 37,64 \cdot 0,5 = 38,82 \text{ kN}$$



V-V qirqim N tugundagi 8-9-11 sterjenlardan kesamiz va muvozanat tenglamalarini tuzamiz:

$$\sum x = 0 - P_2 - S_8 - S_9 \cdot \cos \alpha + S_{11} \cdot \cos \alpha = 0$$

$$\sum y = 0; \quad -S_9 \cdot \sin \alpha - S_{11} \cdot \sin \alpha = 0 \text{ va}$$

$$S_9 = -S_{11} = 37,64 \text{ kN}$$

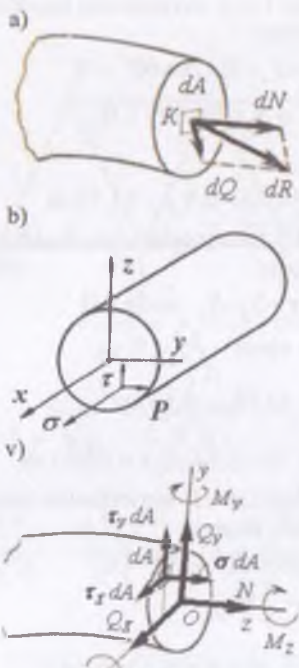
$$S_8 = -P_2 - S_9 \cdot \cos \alpha + S_{11} \cdot \cos \alpha = -20 - 2 \cdot 37,64 \cdot 0,5 = 57,64 \text{ kN}$$



VI-VI qirqim D tugundagi 4-5-7-8 sterjenlardan kesamiz va muvozanat tenglamalarini tuzamiz:

$$\sum y = 0 - S_7 \cdot \sin \alpha - S_5 \cdot \sin \alpha - P_1 = 0 \text{ va}$$

$$S_5 = -\frac{P_1}{\sin \alpha} - S_7 = -\frac{10}{\sqrt{3}} - 8,54 = -3,02 \text{ kN}$$



37 - rasm. Kichlanish:
 a) elementar yuzadagi;
 b) kesim yuzadagi;
 v) ichki kuchlar va kuchlanishlar

urinma kuchlanish (τ) deb qabul qilamiz ($39 - rasm, b$). To'liq kuchlanish R bilan σ va τ orasidagi bog'lanish quyidagicha ifodalanadi:

$$P = \sqrt{\sigma^2 + \tau^2} \quad (9)$$

Agar dR kuchni ikkita, ya'ni bo'ylama dN va dQ tashkil etuvchilarga ajratsak, normal va urinma kuchlanishlarni topamiz.

$$\sigma = \lim_{dA \rightarrow \infty} \frac{dN}{dA} \quad \text{va} \quad \tau = \lim_{dA \rightarrow \infty} \frac{dQ}{dA}$$

Sterjen ko'ndalang kesimida paydo bo'ladigan kuchlanishlar bilan ichki kuchlar orasidagi bog'lanishni aniqlaymiz.

Buning uchun kesim yuzasida cheksiz kichik yuzacha dA -ni ajratamiz va unga $\sigma \cdot dA = \tau_y \cdot dA \tau_x \cdot dA$ elemtar kuchlarni qo'yamiz (39-rasm, v.).

KUCHLANISH

Ichki kuchning qiymati va yo'nalishi brus ko'ndalang kesimining turli nuqtalarida har xil bo'lishi mumkin. Kesimning ma'lum nuqtasidagi yoki kesim yuzasi bo'ylab ichki kuch qiymatining tarqalish qonuniyatini aniqlash uchun kuchlanish tushunchasini kiritamiz.

K – nuqta joylashgan elementar yuzaning to'liq kuchlanishi *R* shu nuqtaga qo'yilgan ichki kuch *dR* ning elementar yuza *dA* ga nisbatiga tengdir (39-rasm,a)

$$P = \lim_{dA \rightarrow \infty} \frac{dR}{dA} \quad (8)$$

Kuchlanishning o'lchov birligi *Pa* (Paskal). I nyuton kuchning $1m^2$ yuzaga nisbatan kuchlanishi bo'lib *1 Pa* ga tengdir. To'liq kuchlanish *R* ning ko'ndalang kesimning yuzasi bo'ylab yo'nalgan ikkita tashkil qiluvchilarga ajratamiz. Ko'ndalang kesim normali bo'ylab yo'nalgan kuchlanishni normal kuchlanish (σ) va ko'ndalang kesim yuzaga urinma holatda yo'nalgan kuchlanishni -

Bu elementar kuchlarning proektsiyalarini hamda ularning Ox , Oy , Oz o'qlarga nisbatan momentlaridan quyidagilarni topamiz:

$$N_x = \int_A \sigma \cdot dA \quad M_x = \int_A y \cdot \sigma \cdot dA$$

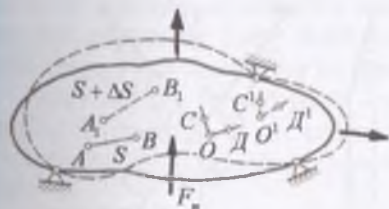
$$Q_x = \int_A \tau_x \cdot dA \quad M_y = \int_A x \cdot \sigma \cdot dA$$

$$Q_y = \int_A \tau_y \cdot dA \quad M_z = \int_A (\tau_y \cdot x - \tau_x \cdot y) dA$$

DEFORMATSIYA VA KO'CHISH

Tabiatda uchraydigan materiallarni absolyut qattiq deb bo'lmaydi, tashqi kuch ta'sirida qisman bo'lsa ham shaklini, o'lchamini o'zgartirish xususiyatiga ega. Bu o'zgarishlar aslida juda kichik miqdor bo'lib maxsus priborlarda o'lchab topilishi mumkin, jismda ichki kuchlarni taqsimlanishiga ta'sir qiladi. Tashqi kuch ta'siridan jism zarralarining o'zaro joylashuvi o'zgaradi, natijada uning o'lchamlari, shakli va hajmi o'zagaradi, lekin bunda uning tarkibidagi moddalarning umumiy miqdori o'zgarmaganligi tufayli, uning massasi o'zgarmasdan qoladi. Bunday holda jism deformatsiyalanadi deyiladi. Masalan, brus cho'zilganda uning uzunligi, egilishda esa shakli; ko'ndalang kesim yuzasi doiraviy bo'lgan valning buralishida – hajm o'lchamlari va shakli o'zgarmasa ham elementlar zarralarining o'zaro joylashuvi o'zgaradi. Shunday qilib, deformatsiya deganda, odatda, jism o'lchamlari va shaklining o'zgarishiga olib keluvchi jism zarralari o'zaro joylashuvi holatining o'zgarishi tushuniladi. Materiallar qarshiligidagi «deformatsiya» so'zi ikki xil ma'noda qo'llanadi: shakl o'zgarishi va miqdor o'zgarishi. Tashqi kuch ta'sirida jismdagi shakl yoki geometrik o'lchamni o'zgarishiga deformatsiya deyiladi.

Bunda, jismlarning tarkibidagi zarrachalarning miqdori o'zgarmaganligi uchun, ularning massasi ham o'zgarmaydi.



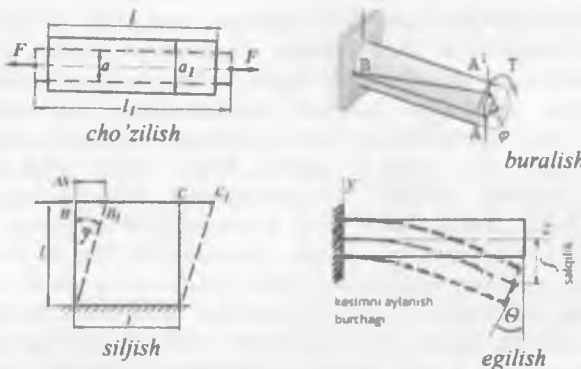
40 – rasm. Deformatsiyalarni tasvirlash

O nuqta atrofida C va D nuqtalarning o'zaro yaqinlashishi yoki uzoqlashishi burchakli ko'chish deyiladi. Chiziqli va burchakli ko'chishlarning bir

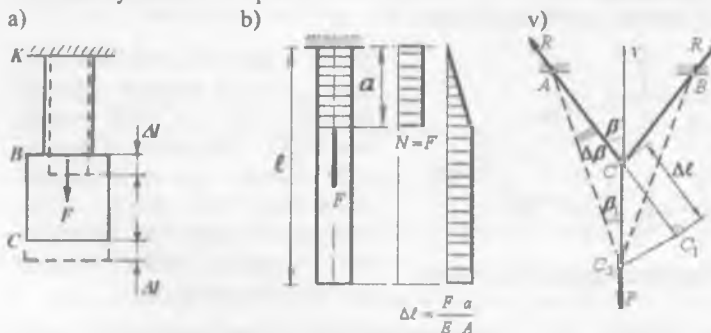
Shakl o'zgarishi natijasida (40-rasm) A va B nuqtalar orasidagi masofa ΔS -ga, ODC burchak esa $O'D'C'$ burchakka o'zgaradi. ΔS -masofa – A va B nuqtalar oraliq'ining bir to'g'ri chiziq tekisligida ortishi yoki kamayishi yuz berganligi uchun chiziqli ko'chish deb yuritiladi.

nuqta atrofidagi kombinatsiyasi shu nuqtaning deformatsiyalangan holatini aniqlaydi.

Deformatsiyalar oddiy va murakkab turlarga bo'linadi. Oddiy deformatsiyalar: cho'zilish; siljish; buralish; egilish. Murakkab deformatsiyalar: qiyshiq egilish; markazlashmagan cho'zilish; siljish; buralishning egilish bilan birgalikdagi ta'siri va h.k. Elastik va qoldiq deformatsiyalar mavjud. Tashqi kuch ta'siri yo'qotilgandan keyin boshlang'ich o'lchamlari yoki shakli tiklangan sterjen deformatsiyasi – elastik, aks holda qoldiq deformatsiya bo'ladi. Qoldiq deformatsiyaning paydo bo'lishi jismning plastikligi bilan bog'liq. Agar tashqi kuch ta'siri olingach, deformatsiya tamomila yo'qolsa, jism absolyut elastik deyiladi. Materiallarning elastikligi barcha yo'nalishda bir xil bo'lsa, bunday jism izotrop jism deyiladi.



Tashqi kuch ta'sirida AB oraliqning deformatsiyalani natijasida BC oraliq ko'chadi (41 -rasm, a,b), BC oraliq deforma tsiyalanmaydi. Demak, deformatsiya ko'chish emas. Ko'chishni aniqlashni geometrik usuli (41 -rasm, v). Ushbu usul geometrik o'lchamlari ko'chishidan ancha katta bo'lgan holatlarda va qurilish konstruktsiyalarida tadbiq etiladi.



41 -rasm. Deformatsiya va ko'chish

Masalan, A, B nuqtalarda tayanchlar vositasida ushlab turilgan va C nuqtada o'zaro tutashgan, bikrliklari bir xil bo'lgan ikkita sterjen kuch ta'sirida. C nuqta kuch yo'nalishida C_2 nuqtaga ko'chadi. Unda ikkala sterjenlar ham punktir chiziq bo'ylab uzayadi. AC sterjenni uzayishi chizmada $SS_1 = \Delta\ell$ kesma bilan ko'rsatilgan. Shunday usul bilan VS sterjenni ham uzayishini belgilash mumkin. Lekin ikkala sterjenlarning ham uzayishlari elastik va cheksiz kichik miqdor.

Shuning uchun burchak $\beta \approx \beta_1$ deb qabul qilamiz. $\Delta\ell$ uzayishni $CC_2 = \delta$ ko'chish bilan bog'lanishini uchburchak CC_1C_2 dan aniq laymiz. Uchburchak CC_1C_2 dan $\frac{CC_1}{CC_2} = \cos \beta$ yoki

$$CC_2 = \delta = \frac{CC_1}{\cos \beta} = \frac{\Delta\ell}{\cos \beta}$$

MATERIALLAR QARSHILIGIDA QABUL QILINGAN GEPOTEZALAR

Konstruktsiya elementlarini mustahkamlikka, ustuvorlikka va bikrlikka hisoblashni oddiylashtirish va soddalashtirish uchun materiallar qarshiligidagi ayrim gepotezalar qabul qilingan.

1. Konstruktsiya materiali bir jinsli va g'ovaksiz, ya'ni uning xossasi elementning shakli va o'lchamlariga bog'liq emas deb qaraladi.

2. Konstruktsiya materiali izotrop, ya'ni uning xossasi barcha yo'nalishda bir xil deb qabul qilinadi. Bu cheklanish anizotrop materiallarda ishlatalmaydi. Masalan: yog'och.

3. Konstruktsiya materiali elastiklik xossasiga ega deb qaraladi, ya'ni tashqi kuch ta'siri yo'qotilganda element o'zining boshlang'ich shakli va o'lchamlarini qayta tiklaydi. Elastik jism deformatsiyasi faqat kuchga bog'liq bo'lib, kuchlarning quyilish tartibiga bog'liq emas.

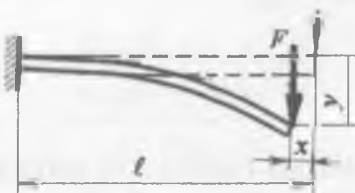
4. Konstruktsiya materialining har bir nuqtasidagi deformatsiya shu nuqtadagi kuchlanishga to'g'ri proporsional deb qaraladi. Bu gepoteza Guk qonuni deyiladi. Bunda kuchlanish proporsionallik chegarasidan katta bo'lmasligi kerak.

5. Konstruktsiyaning deformatsiyasi uning geometrik o'lchamlariga nisbatan kichik miqdor deb qaraladi. Bu gepotezadan ayrim statik aniqmas masalalarni Yechishda foydalaniлади.



Agar bir xil o'lchamli ikkita sterjenga og'irligi Q bo'lgan yuk osib qo'ysak, ular har xil miqdorga uzayadi. Bu holat sterjenlar tayyorlangan materialga bog'liq bo'ladi. Masalan, birinchi sterjen po'lat materialidan va ikkinchisi rezinadan tayyorlangan, uzunliklari – 1 metr va kesim yuzasi 1 sm^2 , ularga og'irligi 1 kG . bo'lgan yuk osiladi. Unda rezina sterjen 20 mm .ga va po'lat sterjen $\frac{1}{2000} \frac{MM}{MM}$ ga uzayadi.

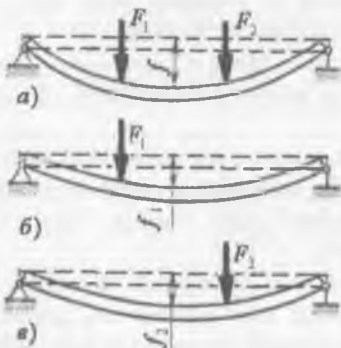
Ko'plab qattiq jismilar juda kichik miqdorga deformatsiyalani. Bu deformatsiya konstruktsiyaning geometrik o'lchamiga nisbatan juda kichik va uni e'tiborga olmasa ham bo'ladi. natijada materiallar qarshildigi masalalarini Yechish soddalashadi.



42-rasm. Qistirib mahkamlangan balkani egilishi

Masalan, bir uchi qistirib mahkamlangan, ikkinchi erkin uchiga to'plangan kuch qo'yilgan balkani ko'ramiz. Kuch ta'sirida balka egiladi, kuch qo'yilgan nuqta ham vertikal, ham gorizontal tekislikda ko'chadi. Qistirib qo'yilgan tayanchdagi moment quyidagicha (42-rasm) yoziladi:

$$M = -F(\ell - x).$$



43-rasm. Kuchlar ta'sirida balkani egilishi.

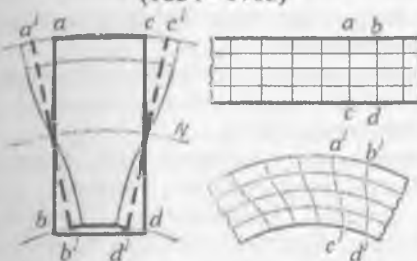
Ko'chish – x balkanining uzunligiga nisbatan kichik bo'lganligi uchun uni e'tiborga olmaymiz, unda $M = -F \cdot \ell$ moment hosil bo'ladi.

6. Konstruktsiyaga qo'yilgan yuklar sistemasining ta'siri alohida yuklar ta'sirlarining yig'indisiga teng deb qabul qilinadi. Jismga bir nechta kuch ta'sir qilayotgan bo'lsa va kuchlar baravariga bir necha marotaba orttirilsa, marta ortadi. Inshoot deformatsiya ham shuncha elementlaridagi deformatsiya va reaksiya kuchining bir necha kuch ta'siridan hosil bo'ladiqan qiymati har

qaysi kuch ta'siridan hosil bo'ladigan qiymatlar yig'indisiga teng (43 – rasm). Masalan, F_1 va F_2 kuchlar ta'siridagi balka prolyoti o'rta nuqtasining salqiligi $f = f_1 + f_2$ tenglik bilan topiladi. Bu erda f_1 va f_2 har qaysi kuchdan alohida hosil bo'lgan salqiliklar. Yuk qo'yilishigacha tekis bo'lgan brusning kesimi, yuk ta'siridan keyin xam tekisligicha qoladi. Bu gepoteza Bernulli gepotezasi deyiladi.

YAKOV BERNULLI

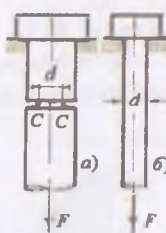
(1654 - 1705)



Tekis kesim gipotezasi sini asoslagan

Konstruktsiya elementlarini hisoblashning turlari. Mashina va muxandislik inshootlarini mustahkamlikka hisoblash, ularning ishonchligiga qo'yilgan talablarni qanoatlantiradimi degan savolga javob berishdan iborat. Aks holda qo'yilgan maqsadga erishilmaydi, ya'ni konstruktsiyada xavfli holat yuzaga kelib, u yoki ishlash layoqatini yo'qotadi, yoki xatolik bilan ishlaydi. Shuning uchun, konstruktsiyani hisoblash usulini to'g'ri tanlash kerak bo'ladi.

Mashina detallari yoki inshoot elementlarini kuchlanishlar bo'yicha mustahkamlikka hisoblash usuli keng tarqalgan. Bu usulga asosan, konstruktsiyani ishonchlilik kriteriyasi deb kuchlanish, ya'ni nuqtaning kuchlanganlik holati qabul qilingan. Bu usulda konstruktsiyani tahlili asosida jismdag'i eng katta kuchlanish hosil bo'lgan nuqta aniqlanadi. Bu hisobiy kuchlanish berilgan material uchun chegaraviy kuchlanish bilan taqqoslanadi va mustahkamlik to'g'risida xulosa qilinadi. Ishonchlilikni baholashda nuqta kuchlanishini hisoblash usuli ayrim konstruktsiyalar uchun tadbiq etilmaydi. Masalan, ma'lum kesimida kanalcha tayyorlangan sterjenni cho'zilishida, C nuqtasidagi kuchlanish (44 – rasm, a), shunday kuch bilan cho'zilayotgan silliq sterjendagi (44 – rasm, b) kuchlanishdan katta bo'ladi. Bunday holat kam uglerodli po'lat, shisha, tosh va ayrim materiallarda kuzatiladi. Mis, bronza, alyuminiydan tayyorlangan shunday ikkita sterjenlardan, masalan kanavka tayyorlangani ko'proq yukni ko'tarishi mumkin.



44-rasm. Sterjenlar:
a) o'zgaruvchan va
b) o'zgarmas kesimli

Shuning uchun nuqta kuchlanish hamma vaqt ham konstruktsiyani yemirilish shartini belgilamaydi.

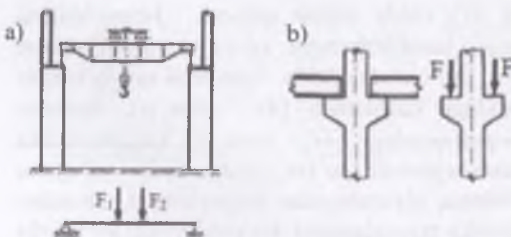
Emiruvchi kuch asosida hisoblash usuli. Bunda konstruktsiya yemirilmasdan yoki shaklini o'zgartirmasdan chegaraviy kuchni qabul qilishi kerak. Chegaraviy kuch ishchi kuch bilan taqqoslanadi va konstruktsiyani mustahkamligi to'g'risida xulosha qilinadi. Bu usul oddiy konstruktsiyalarda tadbiq etiladi. Ruxsat etilgan ko'chish, ustuvorlik shart, dinamik va davriy o'zgaruvchan kuchlanishlar bo'yicha hisoblash usullari mavjud.

Materiallar qarshiligi kuchlanish, defor-matsiya, chegaraviy kuchlarni amaliy hisoblash usullarini va tajribada tekshirishni o'rgatadi.

Real obyekt va hisoblash sxemasi. Tabiiy fanlardagi kabi, materiallar qarshiligidagi ham, real ob'ektni izlanishi, uning hisoblash sxemasini, ya'ni hisoblash modelini tanlashdan boshlanadi. Konstruktsiyani hisoblashga boshlashdan oldin echilishi lozim bo'lgan muammoni sxemasini tuzish kerak. Buning uchun qo'yilgan masalani muhim tomonini belgilab, muhim bo'limganlarini tashlab yuborish kerak, chunki real ob'ektga qo'yilgan talablarni qanoatlantiradigan xususiyatlarini va ularga ta'sir qiladigan faktorlarni hammasini e'tiborga olib bo'lmaydi va mumkin ham emas. Masalan, liftni harakatlantiruvchi trosni mustahkamlikka hisoblash talab qilinsa, birinchi navbatda ko'tarilayotgan yukning og'irligi, harakat tezlanishi, juda katta ko'tarilish balandligida trosni og'irligini ham e'tiborga olish lozim bo'ladi. Kabinani ko'tarilishida hosil bo'lgan aerodinamik qarshilik, temperaturani o'zgarishi va boshqa holatlар e'tiborga olinmaydi.

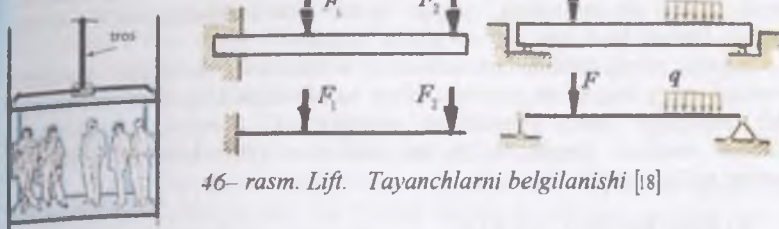
Bug'doyni yuqori bunkerga tashiydigan kovshli lentani hisoblashda -kovshlar soni, undagi bug'doy va kovshni og'irligi, yukni ko'tarilish balandligi va harakat tezligi, lenta materialining xossalari hisoblash jarayonida e'tiborga olinadi.

Bunda kovshni va bunkerni shakli, yukni ko'tarilish balandligida temperaturani o'zgarishi ikkinchi darajali.



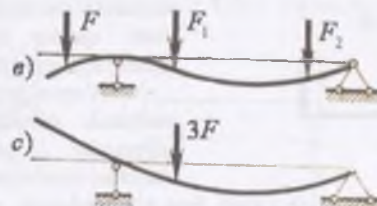
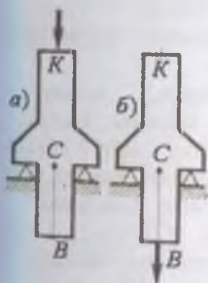
45-rasm. Real ob'ekt va uning hisoblash sxemasi

Bunda yuk va mashina turi, mashinaning ishlash muhiti ikkinchi darajali bo'ladi.



46-rasm. Lift. Tayanchlarni belgilanishi [18]

Muhim bo'limgan faktorlardan ozod bo'lgan real ob'ekt hisoblash sxema deyiladi. Qo'yilgan masлага ko'ra, hisoblash sxemani bir nechta variantda qabul qilish mumkin. Masalan, liftni harakatida, faqat tros mustahkamlikka hisoblanlsa, kabina bilan yuk absolyut qattiq jism deb olinadi va kuch trosni pastki nuqtasiga qo'yiladi. Agar kabinaning mustahkamligi hisoblanishi lozim bo'lsa, kabina konstruktsiyasining xususiyatlari alohida tahlil qilinadi va hisoblash sxemasi tuziladi [18]. Bitta real ob'ektga bir nechta hisoblash sxema variantlari to'g'ri kelsa, bitta hisoblash sxemadan ko'plab real ob'ekt hosil qilish mumkin, ya'ni hisoblash sxemani tahlili asosida bir nechta real masalalarni echimi kelib chiqadi. Masalan, lift trosining yuklanish sxemasi juda keng tarqalgan hisoblash sxema. Hisoblash sxemani tuzishda material bir jinsli, elastik va izotrop deb qabul qilinadi, real ob'ektni geometriyasi (inshoot elementining shakli) va qo'yilgan kuch e'tiborga olinadi.



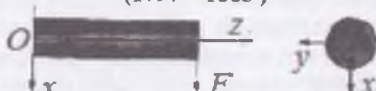
47-rasm. [18]
Pog'onali brus
(a,b) va balkaga
(v,s) kuchlar
qo'yilish
nuqtasini ta'sirini
o'rganish sxemasi.

Balkaga ta'sir etuvchi kuch, odatda uning o'qiga ta'sir etadi, shuning uchun hisoblash sxemada yukning qo'yilish nuqtasi 40-rasmida ko'rsatilganidek aniqlanadi. Hisoblash sxemalarini tuzishda nazariy mexanikaning ba'zi qoidalardidan foydalananib bo'lmaydi. Masalan, kuchlarni ularni ta'sir chizig'i bo'ylab ko'chirib bo'lmaydi, kuchlar sistemasini teng ta'sir etuvchisi bilan almashtirib bo'lmaydi. Masalan 47-rasm,a.da sterjen va uning K nuqtasiga yuqorida qo'yilgan kuch tasvirlangan. Agar bu kuchni to'g'ri chiziq bo'ylab B nuqtaga ko'chirsak (47-rasm,b), sterjenning muvozanati buzilmaydi, tayanch nuqtalardagi reaksiyalar o'zgarmaydi, lekin sterjenning ish xarakteri keskin

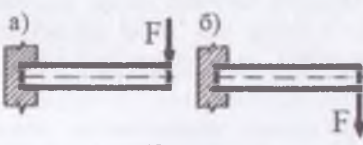
o'zgaradi. Birinchi holda KC oraliq siqiladi, pastki qism esa yuklanmaydi. Ikkinci holda esa sterjenning yuqori qismi yuklanmasdan, pastki qismi cho'ziladi. Demak, bu holga yo'l qo'yib bo'lmaydi.

Ikkinci misol. balkani muvozanatini o'rganishda qo'yilgan kuchlar sistemasining uning teng ta'sir etuvchisi bilan va aksincha, teng ta'sir etuvchini tashkil etuvchilar bilan almashtirish mumkin (47 -rasm, v,s). Agar, gap ko'chishni aniqlash haqida bo'lsa, bu usul noto'g'ri, chunki bu holda balkaning egilish shakli o'zgaradi.

BARRE DE SEN - VENAN (1797 – 1885)



Sen-Venan prinsipi. Deformatsiyalanuvchi qattiq jism mexanikasida real ob'ekt hisoblash sxemasini aniqlashda Sen-Venan printsipiga katta ahamiyatga ega. Sen-Venan printsipiga asosan jismni kuchlar ta'sir etadigan sohasidan uzoq joylashgan qismining kuchlanganlik holati ushbu kuchlarni qo'yilish usuliga kam bog'liq.



48-rasm.



Agar, kuchni ta'sir qilish yuzasi jism o'lchamlariga nisbatan juda kichik bo'lsa nazariy mexanikaning bu printsipini tadbiq etish mumkin.

Agar, kuchni ta'sir qilish yuzasi jism o'lchamlariga nisbatan sezilarli nisbatda bo'lsa, nazariy mexanikaning bu printsipi jism kuchlanganlik holatining xarakterini o'zgartishi mumkin.



Masalan, sterjenda kuchni ta'sir chiziqi bo'ylab, uning muvozanati o'zgarmaydi. Lekin, birinchi holatda (a- rasm) sterjen uzunligi bo'ylab deformatsiyalanadi, ikkinchi holda (b – rasm) faqat yuqori qism deformatsiyalanadi.

47-rasm v- dagi balkani yuklanishida kuchlar sistemasining ularning teng ta'sir etuvchisi bilan almashtirish mumkin emas. Chunki bunda balkaning egilish xarakteri o'zgaradi.

Xulosa. Konstruktsiyaning hisoblash sxemasida konstruktsiyaga yukni ta'sir qilish xarakteri, tayanish shartlari, elementlarning konstruktiv turlariga sxemalashtirish va hisoblash sxemadagi bunday cheklanishlar konstruktsiyaning ishslash xarakteriga ta'sir qilmasligi, tashqi ikkinchi darajali faktorlarni e'tiborga olmasligi kerak, hisoblash natijasi etarli aniq bo'lishi lozim. Masalan, sanoat korxonasining tsevidagi ko'rikli kranning konstruktsiyasi, ikkita to'planma kuch bilan yuqlangan sharnirli balka deb qabul qilish mumkin.

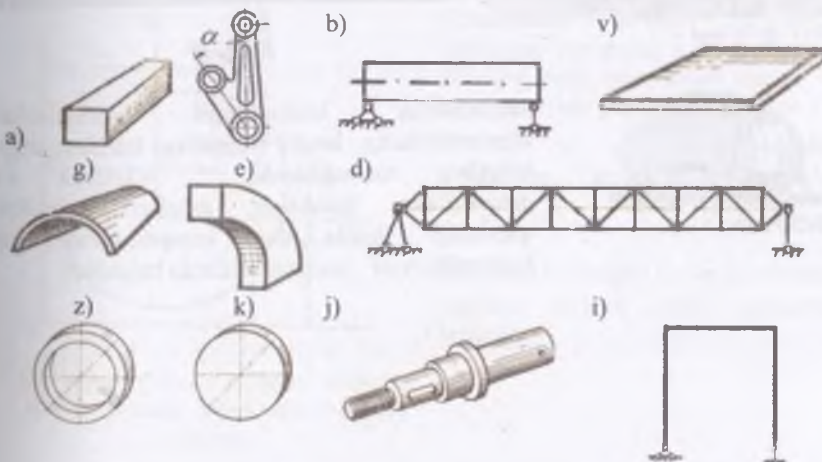
Materiallar qarshiligidagi "tola" va "qatlam" termini uchrab turadi. Tola deb, sterjenning o'qiga parallel va cheksiz kichik ko'ndalang kesimga ega bo'lgan material chiziqga aytildi. Tekislikda yoki sirtda joylashgan tolalar qatori sterjenning qatlami deyiladi.

Konstruktsiya elementlari

Tashqi kuch ta'sirida elementlarini harakat olishi yoki harakat olmasligiga qarab inshootlar ikki xil bo'ladi: mashina, mexanizm va muxandislik inshootlari. Tashqi kuch ta'sirida ayrim yoki barcha elementlari harakatlanadigan mexanik sistema mashina deyiladi.

Geometrik o'lchami va shakliga ko'ra, muxandislik inshootlari (deformatsiyalanuvchi qattiq jismlar): brus, detal, val, o'q, plastinka, qobiq, balka, ferma, yupqa devorli idish deb ataluvchi guruhlarga ajratiladi.

Detal – yig'uv uslublari qo'llanilmasdan bir xil materialdan ishlab chiqilgan mashinaning qismidir. **Val** -burovchi momentni uzatadigan, buralish va egilish deformatsiyasiga uchraydigan brus. **O'q** – mashina qismlarini aylanishiga yordam berib faqat eguvchi kuchlanish ta'siriga uchraydigan brus.



49- rasm. a) brus -detal; b) balka; v) plastinka; g) qobiq; d) ferma
e) egri sterjen; j) val, z) xalqa; i) rama; k) egri plastinka

Oddiy (gayka, shponka, bolt va h.k.) va murakkab (kalerval, reduktor korpusi, stanokning staniñasi va h.k.) detallar mavjud.

Amaliyotda muxandislik inshootlarining turli konstruktsiya elementlari brus yoki qobiq ko'rinishiga keltiriladi. Brus deb, ikkita geometrik o'lchami (eni va qalinligi) uzunligidan ancha kichik bo'lgan elementga aytildi. Ingichka brus – sterjen deyiladi. Bruslar o'qlarining holatiga ko'ra to'g'ri yoki egri, ko'ndalang kesim yuzasiga ko'ra o'zgarmas yoki o'zgaruvchan kesim yuzali bo'lishi mumkin. Bir qancha bikr biriktirilgan sterjenlar sistemasi rama deyiladi. Ramaning vertikal sterjeni stoyka, gorizontal stejenlari rigel deyiladi.

Ikkita va undan ortiq tayanchlarga tayangan va egilishga qarshilik ko'rsatadigan brusga **balka** deyiladi. O'zaro sharnirlar vositasida yoki bikr bog'lanishda bo'lgan sterjenlar sistemasi **ferma** deyiladi. **Plastinka** deb – qalinligi qolgan o'lchamlaridan ancha kichik bo'lgan elementga aytildi. Egri plastinka **qobiq** deyiladi.

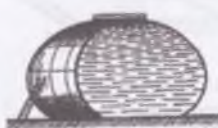
Muxandislik inshootlarini elementlari tashqi kuch ta'sirida harakatlanmaydi. Muxandislik inshootlariga imoratlar, ko'priklar, rezervuar va h.k. lar kiradi. Quyidagi rasmlarda: suv to'g'oni, temir yo'l ko'prigi va rezervuar (tsilindr) ko'rsatilgan



Suv to'g'oni



Ko'prik



Rezervuar

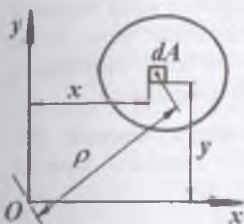
Muxandislik inshootlarini yuklanishida elementlarining kesim yuzasidagi kuchlanganlik holatlari, mustahkamlik, bikrlikka va ustuvorlikka hisoblash asoslari materiallar qarshiligi fanida, ularni komponovkasi va konstruktsiyasi maxsus fanlarda bajariladi

I-BOB. TEKIS KESIM YUZALARING GEOMETRİK TAVSIFLARI

Kesim yuzasi – oddiy geometrik tavsifiga ega bo'lib, elementar dA yuzalar yig'indisiga teng, ya'ni: $A = \int_0^A dA$

Egilish, buralish va murakkab deformatsiyalanish holatlarida konstruktsiya qismalarining mustahkamligi va bikrliqi, aynan ularning kesim yuzalariga emas, balki murakkab geometrik tavsiflariga (statik moment, inertsiya moment, qarshilik moment va inertsiya radiusi) bog'liq bo'ladi.

1.1. Statik moment va inertsiya momentlari haqida tushuncha



1.1 – rasm. Statik momentni aniqlash sxemasi

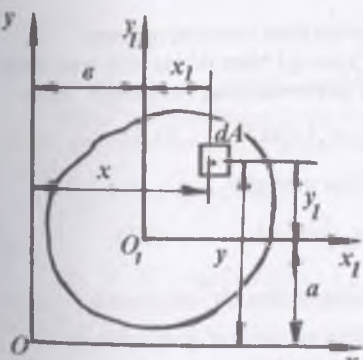
Statik moment deb, elementar yuza dA bilan tegishli o'q orasidagi masofa ko'paytmasining aniq integraliga aytildi (1.1 – rasm).

$$S_x = \int_A y \cdot dA;$$

$$S_y = \int_A x \cdot dA \quad (1.1)$$

Statik moment M^3 o'lchanadi. Turli o'qlarga nisbatan statik momentlarni qo'shib bo'lmaydi. Tanlangan kesimning x va u o'qlariga nisbatan statik momentlari musbat va manfiy bo'lishi mumkin (1.2 – rasm).

x va u o'qlarga parallel o'tkazilgan, elementar dA yuzadan $x_1 = x - b$ va $y_1 = y - a$ masofada joylashgan x_1 va y_1 o'qlarga nisbatan kesimni statik momentini topamiz.



1.2 – rasm. Parallel o'qlarga nishbatan kesimning statik momentini aniqlash sxemasi

$$S_{y1} = \int_A x_1 dA = \int_A (x - b) dA = \int_A x dA - b \int_A dA = S_y - bA$$

$$S_{x1} = \int y_1 dA = \int (y - a) dA = \int y dA - \int_a^y dA = S_x - a \cdot A$$

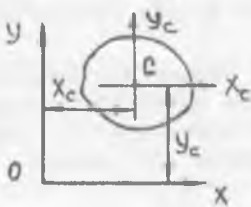
Statik momentlari nolga teng bo'lgan holatga to'g'ri keluvchi x va y o'qlarining koordinatalarini topamiz:

$$S_{y1} = S_y - x_c A = 0;$$

$$S_{x1} = S_x - y_c A = 0; \quad \text{va}$$

$$X_c = \frac{S_y}{A}; \quad Y_c = \frac{S_x}{A}; \quad (1.2)$$

C nuqta kesimning og'irlik markazi deyiladi. Og'irlik markazidan o'tuvchi $X_c; Y_c$ - o'qlarga markaziy o'qlar deyiladi
(1.3-rasm).



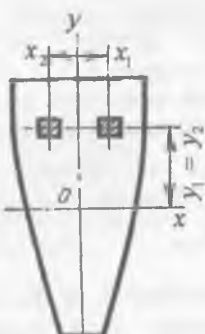
1.3 – rasm. Og'irlik markazining koordinatalari

Har qanday og'irlik markazidan o'tuvchi o'qlarga nisbatan kesimning statik momenti nolga teng. Agar, elementar yuza dA ni undan o'qqacha bo'lgan masofaning kvadratiga ko'paytirib integrallassak,

o'qlarga nisbatan **inertsiya momenti** deb ataladigan geometric kattalikni topamiz (1.1 – rasm):

$$I_x = \int_A y^2 dA \quad \text{ba}$$

$$I_y = \int_A x^2 dA \quad (1.3)$$



1.4 – rasm. Markazdan qochma inertsiya momentini aniqlash

Markazdan qochma inertsiya moment elementar yuza dA bilan ikkala o'q orasi dagi masofa ko'paytmalarining integraliga teng:

$$I_{xy} = \int_A xy dA \quad (1.4)$$

Qutb inertsiya momenti

$$I_\rho = \int_A \rho^2 dA \quad (1.5)$$

Inertsiya momentlari M^4 o'lchanadi.

Qutb inertsiya momenti o'qlarga nisbatan inertsiya momentlarining yig'indisiga teng:

$$I_\rho = \int_A (y^2 + x^2) dA = I_x + I_y$$

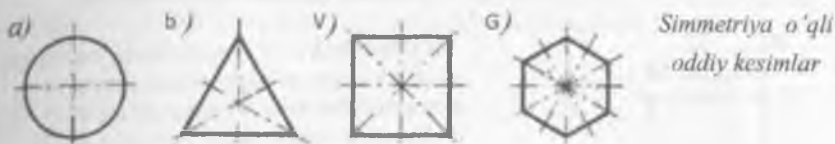
(1.6) I_x , I_y va I_ρ -lar hamisha musbat.

Markazdan qochma inertsiya momenti musbat yoki manfiy bo'lishi mumkin. Bitta o'qi simmetrik bo'lgan kesimning markazdan qochma inertsiya momentini topamiz (1.4 – rasm). Kesim yuzasidan ajratilgan elementar yuzachalar

$dA_1 = dA_2$ o'zaro teng bo'lib, u o'qi-dan $x_1 = -x_2$ va x o'qidan u masofada joylashgan. O'zaro simmetrik joylashgan elementar yuzachalarning markazdan qochma inertsiya momenti

$$I_{xy} = \int_A x_1 y_1 dA_1 + \int_A x_2 y_2 dA_2 = -\int_A x_2 y_1 dA + \int_A x_2 y_2 dA = 0$$

Demak, kesimning simmetriya o'qlariga nisbatan markazdan qochma inertsiya momenti nolga teng. Masalan quyidagi kesimlar



1.2. Parallel o'qlarga nisbatan inertsiya momentlar

Tanlangan kesim yuzasi xoy koordinata sistemasida joylashgan (1.2-rasm). OY va ox o'qlariga parallel yangi o_1y_1 va o_1x_1 o'qlarini olamiz. Elementar yuzanining $X_1O_1Y_1$ koordinata sistemasiidagi koordinatalari

$$x_1 = x + b, y_1 = y + a.$$

Yangi o'qlarga nisbatan kesimning inertsiya momentlarini (1.3) va (1.4) formulalari asosida yozamiz:

$$I_{x1} = \int_A y_1^2 \cdot dA = \int_A (y + a)^2 dA; \quad (1.7)$$

$$I_{y1} = \int_A x_1^2 \cdot dA = \int_A (x + b)^2 dA;$$

$$I_{x1y1} = \int_A x_1 y_1 \cdot dA = \int_A (x + b)(y + a) dA;$$

Hosil bo'lgan integrallarni ochib chiqsak va (1.3) va (1.4) lami hisobga olsak, quyidagi formulalar hosil bo'ladi:

$$I_{x1} = I_x + 2aS_x + a^2 A \quad I_{y1} = I_y + 2bS_y + b^2 A \quad (1.8)$$

$$I_{x1y1} = I_{xy} + aS_y + bS_x + abA$$

S_y va S_x kesim yuzasining Y va x o'qlariga nisbatan statik momentlari. Agar u va x o'qlari kesim yuzasining og'irlilik markazidan o'tsa, ya'ni markaziy o'qlar bo'lsa, kesimni ushbu o'qlarga nisbatan statik momentlari nolga teng

$$S_y = 0; S_x = 0 \text{ bo'ladi.}$$

Unda (1.8) formulalar quyidagicha yoziladi.

$$I_{x1} = I_x + a^2 A;$$

$$I_{y1} = I_y + b^2 A;$$

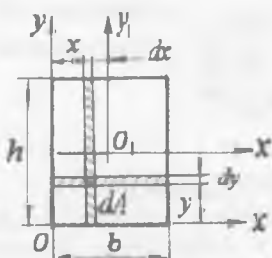
$$I_{x1y1} = I_{xy} + abA \quad (1.9)$$

Demak, tekis kesim yuzining markaziy o'qlarga parallel yo'nalgan o'qlarga nisbatan inertsiya momentlari shu kesim yuzadan markaziy o'qlarga nisbatan olingen inertsiya momentlari bilan o'qlar orasidagi masofa kvadratining kesim yuzaga ko'paytmasi yig'indisiga teng.

Qutb inertsiya momenti:

$$I_{\rho} = I_p + (a^2 + b^2)A \quad (1.10)$$

1.3. Oddiy kesim yuzalarning geometrik tavsiflari.



1.5 – rasm. To'rtburchak inertsiya momentlarini aniqlash sxemasi

To'rtburchak (1.5 – rasm) kesim yuzasining asosidan o'tgan xo'qiga nisbatan inertsiya momentini topamiz: Buning uchun to'rtburchak kesim yuzasi dan $dA = \delta dy$ elementar yuzachani ajratamiz:

$$\text{Unda: } I_x = \int y^2 dA = \int y^2 \delta dy \quad \text{va}$$

$$I_x = \frac{\delta h^3}{3} \quad \text{hosil bo'ladi.}$$

To'g'ri to'rtburchakning markaziy x_1 o'qiga nisbatan inertsiya momentini parallel o'qlarga nisbatan inertsiya momenti formulalaridan foydalanib topamiz.

$$I_{x1} = I_x + a^2 A = \frac{\delta h^3}{3} - \left(\frac{h}{2}\right)^2 \delta h = \frac{\delta h^3}{12}$$

$$\text{va } y \text{ o'qiga nisbatan inertsiya momenti: } I_y = \frac{\delta h^3}{3} \quad \text{va} \quad I_{y1} = \frac{\delta h^3}{12}$$

X va U o'qlariga nisbatan kesimning markazdan qochma inertsiya momentini topamiz.

Buning uchun kesimda $dA = dx dy$ elementar yuzachani tanlaymiz.

O'lchamlari h va dx bo'lgan vertikal yuzanining markazdan qochma inertsiya momentini topamiz:

$$dI_{xy} = \int_0^h y x dA = \int_0^h y x dy dx = x dx \int_0^h y dy = x dx \cdot 0,5h^2$$

Endi dI_{xy} ifodani $0 \leq x \leq a$ oraliqda integrallaymiz:

$$I_{xy} = \int_0^a 0,5h^2 x dx = 0,5h^2 \int_0^a x dx = 0,25h^2 a^2 \quad \text{yoki} \quad I_{xy} = \frac{\delta h}{4} \cdot A$$

Kesim yuzalarning qarshilik momentlarini topish uchun:

$$W_x = \frac{I_x}{y_{\max}}; \quad W_y = \frac{I_y}{x_{\max}} \quad \text{ba} \quad W_p = \frac{I_p}{\rho_{\max}}$$

formulalardan foydalananamiz. To'g'ri turburchak kesimning markaziy o'qlari x_1 va y_1 ga nisbatan qarshilik momentini topamiz:

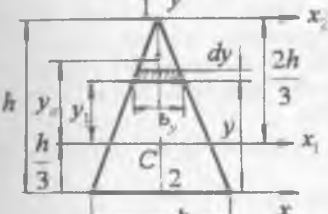
$$W_{x_1} = \frac{\sigma h^3}{12} \cdot \frac{2}{h} = \frac{\sigma h^2}{6}; \quad \text{ba} \quad W_{y_1} = \frac{\sigma h^3}{12} \cdot \frac{2}{\sigma} = \frac{\sigma h^2}{6}$$

Uchburchak (1.6-rasm) ni statik momentini aniqlash. Uchburchakning x_1 o'qidan y_1 masofada joylashgan A_0 yuzasining statik momentini yozamiz:

$$S_{x_1}^0 = A_0 \cdot y_0;$$

bu erda: $A_0 = \frac{1}{2} \sigma_y \left(\frac{2h}{3} - y_1 \right)$ va $y_0 = y_1 + \frac{1}{3} \left(\frac{2h}{3} - y_1 \right)$

Unda: $S_{x_1} = \frac{1}{2} \sigma_y \left(\frac{2h}{3} - y_1 \right) \cdot \frac{2}{3} \left(\frac{h}{3} + y_1 \right) = \frac{\sigma_y}{3} \left(\frac{2h}{3} - y_1 \right) \left(\frac{h}{3} + y_1 \right)$ yoki:



$$S_x = \frac{\sigma_y}{27} (2h^2 + 3hy_1 - 9y_1^2)$$

Inertsiya momentini aniqlash.

Asosidan o'tgan x -o'qiga nisbatan inertsiya momentini topish uchun

1.6 – rasm. Uchburchak inertsiya momentlarini aniqlash sxemasi.

elementar yuzachaning eni. Unda: $I_x = \int_A y^2 dA = \int_0^h y^2 \sigma \left(1 - \frac{y}{h} \right) dy = \frac{\sigma h^3}{12}$

Uchburchakning markaziy o'qiga nisbatan inertsiya momenti:

$$I_{x_1} = I_x + a^2 A = \frac{\sigma h^3}{12} - \left(\frac{h}{3} \right)^2 \frac{\sigma h}{2} = \frac{\sigma h^3}{36}$$

Uchburchakning markaziy o'qiga nisbatan inertsiya momenti:

$$I_{x_1} = I_x + a^2 A = \frac{\sigma h^3}{12} - \left(\frac{h}{3} \right)^2 \frac{\sigma h}{2} = \frac{\sigma h^3}{36}$$

x_2 o'qiga nisbatan inertsiya momenti:

$$I_{x_2} = \int_A y^2 dA = - \int_h^0 y^2 \left(\frac{\sigma y}{h} \right) dy = \frac{\sigma h^3}{4} \quad \text{yoki: } I_{x_2} = \frac{\sigma h^3}{4} \quad \text{bu erda}$$

$$\sigma_y = -\sigma y / h; \quad dA = \sigma_y dy = -\frac{\sigma y}{h} dy;$$

Topilgan inertsiya momenti formulalaridan ko'rinib turibdiki, kesim o'qidan qancha uzoqlashsa, inertsiya momenti kattalashadi.

Uchburchakning u o'qiga nisbatan inertsiya momenti:

$$I_y = \int x^2 dA = \int x^2 \sigma_x dx = \int_0^{\frac{h}{2}} x^2 \cdot 2 \frac{h}{b} \left(\frac{b}{2} - x \right) dx = \frac{hb^3}{48}$$

Uchburchakning og'irlik markazidan o'tuvchi x , o'qi kesim yuzanining 1 va 2 nuqtalaridan $\frac{2h}{3}$ va $\frac{h}{3}$ masofada joylashgan. Shuning uchun uchburchakning X_1 markaziyl o'qidan eng uzoqda joylashgan 1 va 2 nuqtalarigacha bo'lgan masofasi:

$$y_1 = \frac{2h}{3} \quad \text{ea} \quad y_2 = \frac{h}{3} \text{-ga teng.}$$

$$W_{x_1}^I = \frac{\theta h^3}{36} \cdot \frac{3}{2h} = \frac{\theta h^2}{24}, \quad W_{x_1}^{II} = \frac{\theta h^3}{36} \cdot \frac{3}{h} = \frac{\theta h^2}{12},$$

$$W_y = \frac{h\sigma^3}{48} \cdot \frac{2}{\sigma} = \frac{h\sigma^2}{24}$$

Doiraviy kesim (1.7 – rasm). Kesimning og'irlik markazidan o'tuvchi ixtiyriy o'qga nisbatan inertsiya momentini topish uchun, avval doiradan ajratilgan halqa ko'rinishidagi $dA = 2\pi\rho \cdot d\rho$

1.7 – rasm. Doiraviy kesim

elementar yuzanining kesim markaziga nisbatan qutb inertsiya momentini topamiz:

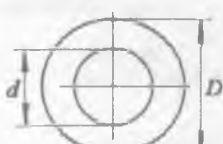
$$I_\rho = \int_A \rho^2 dA = \int_0^R \rho^2 \cdot 2\pi\rho \cdot d\rho = \frac{2\pi \cdot \rho^4}{4} \Big|_0^R = \frac{\pi \cdot R^4}{2} = \frac{\pi \cdot A^4}{32}$$

$$\text{Doiraviy kesim uchun: } I_x = I_y \quad \text{va} \quad I_\rho = I_y + I_x$$

$$\text{Demak, } I_\rho = 2I_x = 2I_y = \frac{\pi \cdot D^4}{32} \quad \text{yoki: } I_x = I_y = \frac{\pi \cdot D^4}{64}$$

$$\text{Qarshilik momentlari: } W_x = W_y = \frac{I_x}{y_{\max}} = \frac{\frac{64}{D}}{\frac{D}{2}} = \frac{\pi \cdot D^3}{32} \quad \text{va}$$

$$\text{Qutb qarshilik momenti: } W_\rho = \frac{\frac{32}{D}}{\frac{D}{2}} = \frac{\pi \cdot D^3}{16}$$



1.8 – rasm. Halqasimon kesimning inertsiya momentini aniqlash

Halqasimon kesimning inertsiya momenti tashqi va ichki doiralar inertsiya momentlarining ayirmsasiga teng (1.8 – rasm):

$$I_y = I_x = \frac{\pi \cdot D^4}{64} - \frac{\pi \cdot d^4}{64} = \frac{\pi \cdot D^4}{64} \left[1 - \left(\frac{d}{D} \right)^4 \right]$$

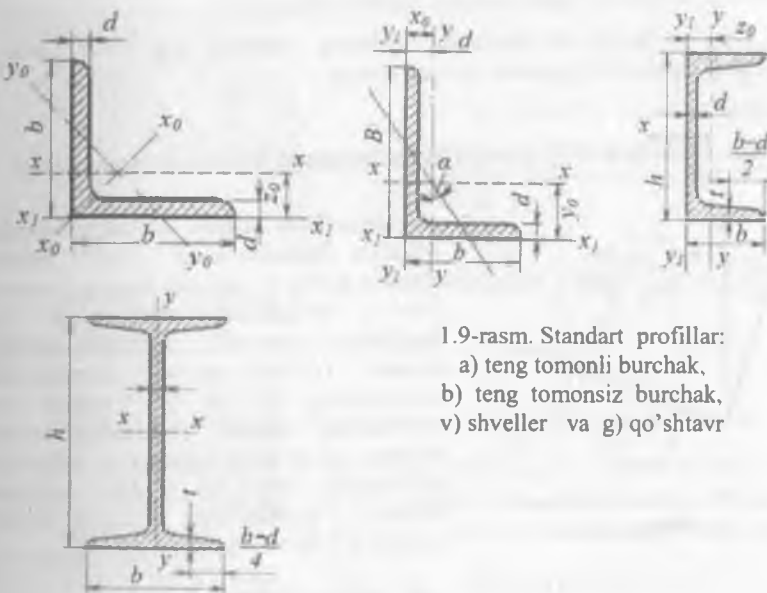
Qutb inertsiya momenti:

$$I_{\rho} = \frac{\pi \cdot D^4}{32} \left[1 - \left(\frac{d}{D} \right)^4 \right]$$

$$W_x = W_y = \frac{\pi \cdot D^4 \left[1 - \left(\frac{d}{D} \right)^4 \right]}{64 \cdot \frac{D}{2}} = \frac{\pi \cdot D^3}{32} \left[1 - \left(\frac{d}{D} \right)^4 \right]$$

Qutb qarshilik momenti: $W_{\rho} = \frac{\pi \cdot D^3}{16} \left[1 - \left(\frac{d}{D} \right)^4 \right]$

1.4 Murakkab geometrik shakllarning inertsiya momentlari.



1.9-rasm. Standart profillar:
 a) teng tomonli burchak,
 b) teng tomonsiz burchak,
 v) shveller va g) qo'shtavr

Mashina, mehanizm va muxandislik inshootlarida murakkab shaklli kesim yuzaga ega bo'lgan detallar uchraydi. Ushbu detallarni mustahkamlikka, bikrlikka va ustuvorlikka hisoblashda, ularning inertsiya momentlarini aniqlashga to'g'ri keladi.

Materiallar qarshiligidan misol Yechishda murakkab ko'rinishdagi shakllarning inertsiya momentlarini aniqlash uchun uni bir necha oddiy shakllarga ajratish mumkin. Masalan, teng tomonli yoki teng tomonsiz burchak, shveller va qo'shtavr profillari, ularning parchin mixli yoki payvandli birikmalari. Bunday profillarinining standart o'lchamlari va geometrik xarakteristikalari jadvallarda berilgan. Ushbu jadvallardagi geometrik

xarakteristikalardan va parallel o'qlarga nisbatan inertsiya momentlari formulalaridan foydalanib murakkab shakllar shakllarning inertsiya momentlarini hisoblash mumkin.

Murakkab geometrik shakllarning inertsiya momentlari, undan ajratilgan oddiy geometrik shakllar inertsiya momentlarining yig'indisiga teng, ya'ni

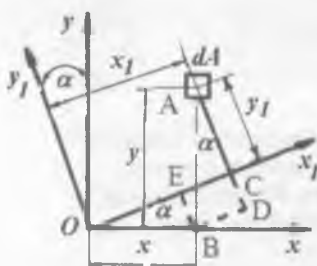
$$I_x = I_x^1 + I_x^2 + I_x^3 + \dots = \sum_{i=1} I_x^i \quad (1.11)$$

buerda: $I_x^1 = I_{x_1}^1 + a_1^2 A_1$; $I_x^2 = I_{x_2}^{11} + a_2^2 A_2$ va h.k., murakkab geometrik shakldan ajratilgan oddiy geometrik shakllarni x o'qiga nisbatan inertsiya momenti;

$I_{x_1}^1; I_{x_2}^{11}$ va h.k. - murakkab geometrik shakldan ajratilgan oddiy geometrik shakllarni markaziy o'qiga nisbatan inertsiya momentlari;

a_1, a_2 - va h.k. - har bir oddiy shaklning markaziy o'qi bilan murakkab shaklning markaziy o'qigacha bo'lgan masofa

1.5. Koordinata o'qlarini aylantirganda inertsiya momentlari



1.10 - rasm. Og'ishgan koordinata o'qlari

xOy koordinata o'qlari O nuqta atrofida aylanishi natijasida yangi x_1Oy_1 holatga o'tadi. x_1 va y_1 koordinatalarini topamiz. Yuzi A bo'lgan tekis shakl uchun xOu koordinata sistemasini ixtiyoriy ravishda olamiz (1.10- rasm). Koordinatalar sistemasining Ox va Oy o'qlarini soat strelikasining harakat yo'naliishiga teskari tomonga qarab biror ixtiyoriy a burchakka aylantiramiz. xOy va y_1Ox_1 o'qlarga nisbatan koordinatalar bog'lanishlarini topamiz (1.10- rasm):

$$x_1 = \overline{OC} = \overline{OE} + \overline{EC} = \overline{OE} + \overline{BD} = x \cos \alpha + y \sin \alpha$$

$$y_1 = \overline{AC} = \overline{AD} - \overline{CD} = \overline{AD} - \overline{DE} = y \cos \alpha - x \sin \alpha$$

Tekis kesimning hosil bo'lgan yangi koordinatalar sistemasi y_1Ox_1 ga nisbatan inertsiya momentlarini hisoblaymiz

$$I_{x_1} = \int_A y_1^2 dA = \int_A (y \cos \alpha - x \sin \alpha)^2 dA$$

Qavs ochib chiqiladi va kesimni ox_1 o'qiga nisbatan inertsiya momenti quyidagi ko'rinishga keltiriladi:

$$I_{x_1} = I_x \cos^2 \alpha + I_y \sin^2 \alpha - I_{xy} \sin 2\alpha \quad (1.11)$$

OY_1 o'qiga nisbatan inertsiya momenti.

$$I_{y_1} = \int_A x_1^2 dA = \int_A (x \cos \alpha + y \sin \alpha)^2 dA \quad \text{yoki}$$

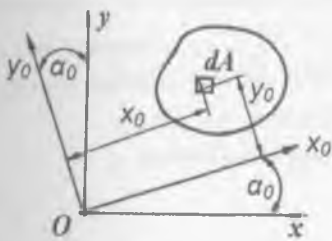
$$I_{y_1} = I_y \cos^2 \alpha + I_x \sin^2 \alpha + I_{xy} \sin 2\alpha \quad (1.12)$$

Markazdan qochma inertsiya momenti:

$$I_{x_1 y_1} = \int_A x_1 y_1 dA = \int_A (x \cos \alpha + y \sin \alpha)(y \cos \alpha - x \sin \alpha) dA$$

$$I_{x_1 y_1} = \frac{I_x - I_y}{2} \cdot \sin 2\alpha + I_{xy} \cos 2\alpha \quad (1.13)$$

Yuqoridagi formulalardan ko'rinish turibdiki, ixtiyoriy o'qqa nisbatan inertsiya momenti α burchakka bog'liq.



Koordinata o'qlarini aylantirish davomida og'ish burchaginining $\alpha = \alpha_0$ qiymatini topish mumkinki, bunda kesimni markazdan qochma inertsiya momentlari nolga teng bo'ladi, ya'ni

$$I_{x_1 y_1} = I_{x_0 y_0} = 0.$$

$I_{x_0 y_0} = 0$ holatga to'g'ri keluvchi koordinata o'qiga bosh inertsiya o'qi deyiladi. Bosh inertsiya o'qining yo'naliishi: $\operatorname{tg} 2\alpha_0 = -\frac{2I_{xy}}{I_x - I_y}$ (1.14)

Olingan formula α burchak uchun α_0^1 va $\alpha_0^{11} = \alpha_0^1 + 90^\circ$ ikkita qiymatni beradi. α_0^1 va α_0^{11} burchaklar ostida o'zaro perpendikulyar ikkita o'q chiziladi, ularga nisbatan inertsiya momentlari ekstremal qiymatlarga erishadi.

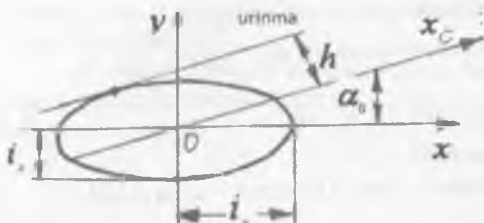
Bosh inertsiya o'qlariga nisbatan inertsiya momentlariga bosh inertsiya momentlari deyiladi:

$$I_{x_1} = I_{x_0} = I_x \cos^2 \alpha_0 + I_y \sin^2 \alpha_0;$$

$$I_{y_1} = I_{y_0} = I_y \cos^2 \alpha_0 + I_x \sin^2 \alpha_0; \quad I_{x_1 y_1} = \frac{I_x - I_y}{2} \sin 2\alpha_0 \quad (1.15)$$

Bosh inertsiya momentlaridan bittasi maksimal, ikkinchisi esa minimal qiymatga erishadi.

$$I_{\min} = \frac{1}{2} \left[(I_x + I_y) \pm \sqrt{(I_x - I_y)^2 + 4 \cdot I_{xy}^2} \right] \quad (1.16)$$



1.11 – rasm. Inertsiya ellpsi

$$\text{Inertsiya radiuslari } i_x = \sqrt{\frac{I_x}{A}}; \quad i_y = \sqrt{\frac{I_y}{A}}$$

i_x va i_y tegishli x_0 koordinata o'qlariga joylashtiriladi. Koordinata boshidan α_0 burchak ostida bosh inertsiya o'qi x_0 -ni o'tkazamiz. ox_0 o'qiga parallel qilib ellipsga o'tkazilgan urinma bilan Ox o'qi orasidagi masofa h -ni topamiz:

$$h^2 = i_x^2 \cos^2 \alpha_0 + i_y^2 \sin^2 \alpha_0$$

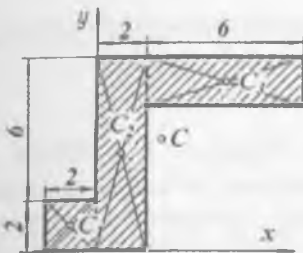
Shaklning inertsiya momenti quyidagi tenglikdan topiladi

$$I_{x_0} = h^2 A$$

Takrorlash uchun savollar:

1. Statik moment deb nimaga aytildi?
2. Inertsiya momenti deb nimaga aytildi?
3. Inertsiya momentlarining turlarini aytинг.
4. Murakkab shaklli kesim yuza og'irlik markazining koordinatalarini aniqlash formulasini yozing.
5. Kesim yuzaning parallel o'qlarga nisbatan inertsiya momenti
6. Koordinata o'qlarini aylantirganda kesimni inertsiya momenti.
7. Bosh inertsiya o'qlari deb qanday o'qlarga aytildi.
8. Bosh inertsiya momentlari deb qanday momentlarga aytildi.
9. Bosh inertsiya momentlarini aniqlang.
10. Inertsiya radiusi nima.
11. To'g'ri to'rburchak shaklli kesim yuzaning inertsiya momentlari.
12. Uchburchaksimon kesim yuzaning inertsiya momentlari.
13. Kesim yuzaning qarshilik momenti nima.

1.6. Inertsiya ellpsi haqida tushuncha. Inertsiya ellpsi, asosan shaklning inertsiya momentini grafik usulda topishda qo'llaniladi. Inertsiya ellpsi inertsiya radiuslari yordamida quriladi.



misol- 1. 1.12 – rasmdagi jism yuzasining og'irlik markazi aniqlansin. Barcha o'lchamlar santimetrlarda .

1.12-rasm

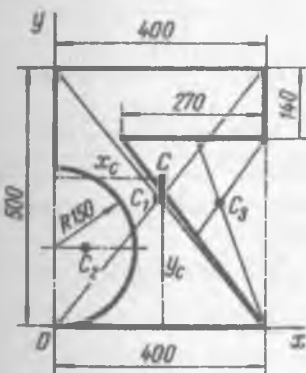
Yechish. Koordinata o'qlarini o'tkazib, jism yuzasini uchta to'rtburchakka bo'lamiz (bo'lish chiziqlari 1.12-rasm shtrix bilan ko'rsatilgan). Har bir bo'lagi og'irlik markazining koordinatalarini va yuzalarini aniqlaymiz:

$$C_1(-1; 1), \quad C_2(1; 4), \quad C_3(5; 7), \quad A_1 = 4 \text{ sm}^2, \quad A_2 = 16 \text{ sm}^2, \quad A_3 = 12 \text{ sm}^2.$$

Shaklning og'irlik markazini aniqlaymiz:

$$x_c = \frac{A_1 x_1 + A_2 x_2 + A_3 x_3}{A_1 + A_2 + A_3} = \frac{4 \cdot (-1) + 16 \cdot 1 + 12 \cdot 5}{4 + 16 + 12} = \frac{9}{4} \text{ sm}$$

$$y_c = \frac{A_1 y_1 + A_2 y_2 + A_3 y_3}{A_1 + A_2 + A_3} = \frac{4 \cdot 1 + 16 \cdot 4 + 12 \cdot 7}{4 + 16 + 12} = \frac{19}{4} \text{ sm}$$



misol-2. 1.13 - rasmda ko'rsatilgan bir jinsli plastinka og'irlik markazining vaziyati aniqlansin.

Yechish. Plastinkani XOY koordinata sistemasiga joylashtiramiz va kesim yuzasini oddiy yuzalarga ajratamiz:

to'g'ri burchak – 400×500 ,
yarim aylana va uchburchak.

$$x_c = \frac{A_1 x_1 + A_2 x_2 + A_3 x_3}{A_1 + A_2 + A_3}$$

Unda

1.13 - rasm

$$Y_c = \frac{A_1 y_1 + A_2 y_2 + A_3 y_3}{A_1 + A_2 + A_3} \quad A_1 = 40 \times 50 = 2000 \text{ sm}^2; \quad x_1 = 20 \text{ sm}$$

$$A_2 = -\frac{\pi}{2} (15)^2 = -353 \text{ sm}^2; \quad x_2 = \frac{4 \cdot 15}{3\pi} = 6,37 \text{ sm}$$

$$A_3 = -\frac{1}{2} \cdot 27 \cdot 36 = -486 \text{ sm}^3; \quad x_3 = 13 + \frac{2}{3} \cdot 27 = 31 \text{ sm}; \quad y_1 = 25 \text{ sm}; \quad y_2 = 15 \text{ sm}; \quad y_3 = \frac{2}{3} \cdot 36 = 24 \text{ sm}$$

Og'irlik markaz koordinatalari: $X_c = 19,5 \text{ sm}$ va $Y_c = 28,4 \text{ sm}$

3-misol. Rasmda ko'rsatilgan teng yonli bo'limgan burchakning og'irlik markazi koordinatalarini aniqlang, shakl yuzasining bosh markaziy inertsiya o'qlari vaziyatini toping va shu o'qlarga nisbatan inertsiya momentlarini hisoblang

Yechish. Kesimni M.1:1 mashtabda chizamiz va ikkita to'g'ri to'rtburchakdan tashkil topgan deb, har bir yuzaning og'irlik markazlaridan $x_1O_1y_1$ va $x_2O_2y_2$ koordinata o'qlarini o'tkazamiz (1.14-rasm). Kesim alohida yuzalarining geometrik xarakteristikalarini hisoblaymiz

1. Kesim yuza:

$$A_1 = 10 \cdot (50 - 10) = 400 \text{ mm}^2 = 4 \text{ cm}^2 \quad A_2 = 100 \cdot 10 = 100 \text{ mm}^2 = 10 \text{ cm}^2$$

2. Xususiy inertsiya momentlari:

$$I_{X1} = \frac{40 \cdot (10)^3}{12} = \frac{1}{3} \text{ sm}^4$$

$$I_{Y1} = \frac{1 \cdot (4)^3}{12} = \frac{16}{3} \text{ sm}^4$$

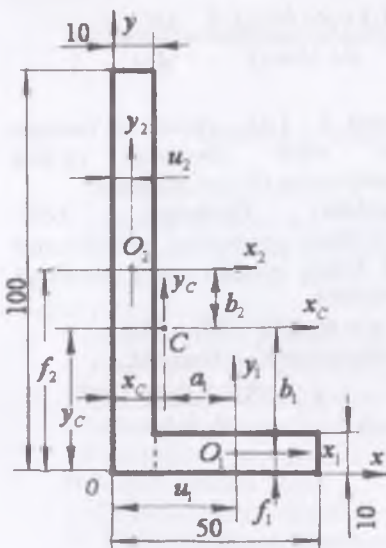
$$I_{X2} = \frac{1 \cdot (10)^3}{12} = \frac{250}{3} \text{ sm}^4$$

$$I_{Y2} = \frac{10 \cdot (1)^3}{12} = \frac{5}{6} \text{ sm}^4$$

3. Yordamchi o'qlar X, Y -ni tanlab, kesimning statik momentlarini hisoblaymiz:

$$\sum S_x = A_1 \cdot f_1 + A_2 \cdot f_2$$

$$\sum S_y = A_1 \cdot u_1 + A_2 \cdot u_2$$



1.14-rasm

Bu erda $f_1 = \frac{10}{2} = 5 \text{ mm} = 0,5 \text{ sm}$ va $f_2 = \frac{100}{2} = 50 \text{ mm} = 5 \text{ sm}$.

$$u_1 = 10 + \frac{50-10}{2} = 30 \text{ mm} = 3 \text{ sm} \text{ va}$$

$$u_2 = \frac{10}{2} = 5 \text{ mm} = 0,5 \text{ sm}.$$

Kesim og'irlik markazining koordinatalarini hisoblaymiz:

$$x_c = \frac{\sum S_y}{A_1 + A_2} = \frac{17}{4 + 10} = 1,2sm;$$

$$y_c = \frac{\sum S_x}{A_1 + A_2} = \frac{52}{4 + 10} = 3,71sm.$$

4. Kesimning og'irlik markazi C nuqtadan yangi X_C, Y_C o'qlarni o'tkazamiz. Kesimni shu o'qlarga nisbatan o'q va markazdan qochma inertsiya momentlarini parallel o'qlarga o'tish formulalaridan foydalanib hisoblaymiz:

$$I_{XC} = I_{X1} + b_1^2 A_1 + I_{X2} + b_2^2 A_2 = \frac{1}{3} + (3,21)^2 \cdot 4 + \frac{250}{3} + (1,29)^2 \cdot 10 \\ = 141,53sm^4;$$

$$I_{YC} = I_{Y1} + a_1^2 A_1 + I_{Y2} + a_2^2 A_2 = \frac{16}{3} + (1,8)^2 \cdot 4 + \frac{5}{6} + (0,7)^2 \cdot 10 \\ = 23,19sm^4;$$

$$I_{XCYC} = I_{X1Y1} + a_1 b_1 A_1 + I_{X2Y2} + a_2 b_2 A_2 = 1,8(-3,21) \cdot 4 + (-0,7)1,29 \cdot 10 = -32,14sm^4;$$

bu erda: $I_{X1Y1} = 0$ va $I_{X2Y2} = 0$;

$$b_1 = -(y_C - f_1) = -(3,71 - 0,5) = -3,21sm$$

$$b_2 = f_2 - y_c = 5 - 3,71 = 1,29sm.$$

$$a_1 = u_1 - x_c = 3 - 1,2 = 1,8sm; \text{ va}$$

$$a_2 = -(x_c - u_2) = -(1,2 - 0,5) = -0,7sm.$$

5. x_c va y_c o'qlarga bosh o'qlarning qiyalik burchagini aniqlaymiz

$$\operatorname{tg} 2\alpha_0 = -\frac{2I_{XCYC}}{I_{XC} - I_{YC}} = -\frac{2(-32,14)}{141,53 - 23,19} = 0,543$$

$$\text{bundan } 2\alpha_0 = 28^\circ 30' \text{ va } \alpha_0 = 14^\circ 15',$$

$$\sin \alpha_0 = 0,247 \quad \sin 2\alpha_0 = 0,4772 \quad \cos \alpha_0 = 0,969 \quad \cos 2\alpha_0 = 0,8788$$

6. Og'ishgan o'qlarga o'tish formulalaridan foydalanib bosh markaziy inertsiya momentlarini hisoblaymiz:

$$I_{XO} = I_{XC} \cdot \cos^2 \alpha_0 + I_{YC} \cdot \sin^2 \alpha_0 - I_{XCYC} \cdot \sin 2\alpha_0 = 149,63sm^4;$$

$$I_{YO} = I_{YC} \cdot \cos^2 \alpha_0 + I_{XC} \cdot \sin^2 \alpha_0 + I_{XCYC} \cdot \sin 2\alpha_0 = 15,08sm^4;$$

Bosh inertsiya momentlarining bittasi maksimal, ikkinchisi esa minimal qiyatga erishadi.

$$I_{\max_{\min}} = \frac{1}{2} \left[(I_{XC} + I_{YC}) \pm \sqrt{(I_{XC} + I_{YC})^2 + 4 \cdot I_{XCYC}^2} \right] \text{ yoki}$$

$$I_{\max} = \frac{164,72 + 134,67}{2} = 149,69sm^4$$

$$I_{min} = \frac{164,72 - 134,67}{2} = 15sm^4.$$

Arifmetik amallarni tekshirish: $I_{x0} + I_{y0} = I_{xc} + I_{yc} = const$

$$149,64 + 15,08 = 141,53 + 23,19 = 154,72sm^4$$

Teng tomonli va tomonlari teng bo'limgan burchakli profillarni markazdan qochma inertsiya momentlarini hisoblaymiz.

$$\text{- teng tomonli burchak (1.15-rasm)} \quad I_w = \frac{I_{x0\max} - I_{y0\min}}{2} \sin 2\alpha_0$$

buerda: $I_{x0\max}$ va $I_{y0\min}$ - burchak kesimining markaziy bosh inertsiya momentlari.

$$\alpha_0 = \frac{\pi}{4} \text{ - markaziy bosh inertsiya o'qlarini } (x_0 \text{ va } y_0) \text{ profilni } X \text{ va } U \text{ o'qlariga nisbatan og'ishgan burchagi (1.15-rasm)} \quad \alpha_0 = \frac{\pi}{4} \text{ - burchakda } \sin 2\alpha_0 = 1 \text{ hosil bo'ladi.}$$

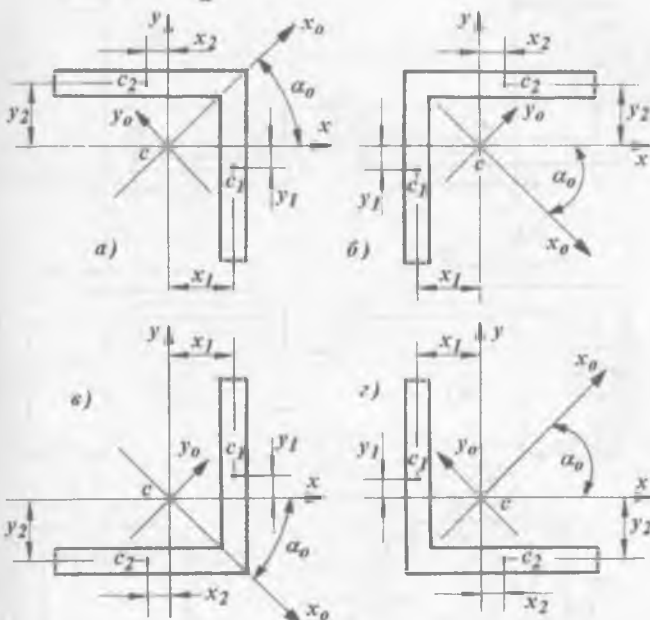
Markazdan qochma inertsiya momentining ishorasi $-\alpha_0$ - burchakni x -o'qiga nisbatan joylashishiga bog'liq holda aniqlanadi. Masalan, 1.15-rasm, a,g-larda α_0 - burchak musbat ishorali, chunki $-u x_0$ va y_0 - o'qlarini x va y o'qlariga nisbatan soat strelkasining harakat yo'nalishiga teskari yo'nalishda aylantirganda hosil bo'ladi. α_0 -burchakni musbat ishorali qiymatida kesimni xy - o'qlariga nisbatan markazdan qochma inertsiya momenti - manfiy ishorali bo'ladi.

1.15 - rasm $-b,v$ - larda α_0 -burchak manfiy, chunki x_0 va y_0 - o'qlarini x va y - o'qlariga nisbatan soat strelkasining harakat yo'nalishiga mos aylantirganda hosil bo'ladi. Bu holda - I_{xy} - markazdan qochma inertsiya momenti musbat ishorali.

I_{xy} -markazdan qochma inertsiya momentining ishorasini tanlash uchun qo'yidagi qoidani ishlatsa ham bo'ladi: agar burchak supachalarining og'irlik markazlari x va y koordinata o'qlarining birinchi va uchinchi choraklarida joylashsa - I_{xy} - musbat; agar supachalarining og'irlik markazlari ikkinchi va to'rtinchi choraklarda joylashsa - manfiy ishorali bo'ladi. Burchak profilining berilgan vaziyatlari uchun α_0 - burchak va I_{xy} - markazdan qochma inertsiya momentining ishoralari 1-jadvalda berilgan

Teng tomonli burchakni markazdan qochma inertsiya momenti:

$$I_{xy}^6 = -\frac{I_{x0\max} - I_{y0\min}}{2}$$



1.15 – rasm. Markazdan qochma inertsiya momentining ishorasini tanlashga oid

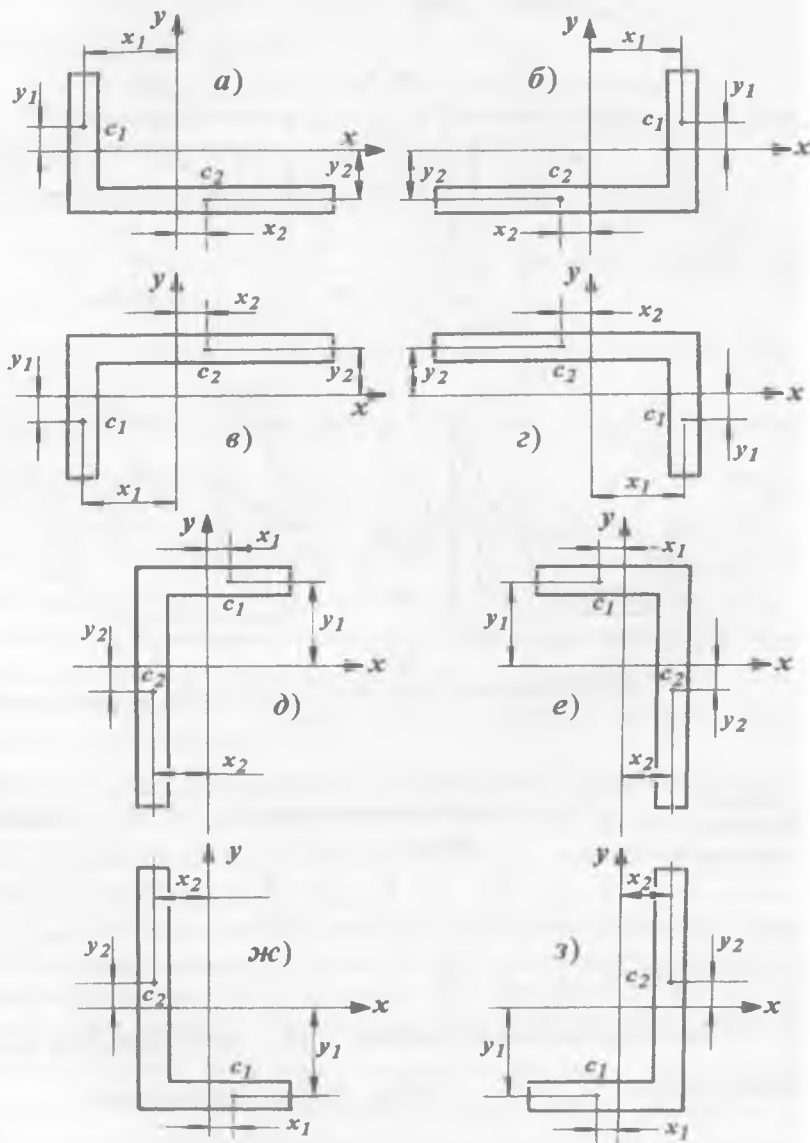
1-jadval

Burchak profilining vaziyati	C_1 va C_2 nuqta koordinatalari-ning ishorasi				α_0 va I_{xy} ishoralari	
	X_1	Y_1	X_2	Y_2	α_0	I_{xy}
a	+	-	-	+	+	-
b	-	-	+	+	-	+
v	+	+	-	-	-	+
g	-	+	+	-	+	-

Teng tomonli bo'limagan burchakni (1.16 - rasm) markazdan qochma inertsiya momenti $I_{xy} = \frac{I_y - I_x}{2} \operatorname{tg} 2\alpha_0$ formula bilan hisoblanadi.

α_0 - burchak teng tomonsiz burchak uchun $\frac{\pi}{4}$ qiymatdan kichik

1.16 - rasmda ko'rsatilgan teng tomonsiz burchaklarning – a,b,v,g – ko'rinishlarida $I_y > I_x$ yoki $I_y = I_{\max}$; d,e,j,z – ko'rinishlarida $I_x > I_y$ yoki

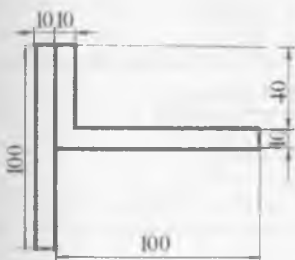


1.16 –rasm. Teng tomonsiz burchakda markazdan qochma inertsiya momentining ishorasini tanlash

$I_x = I_{\max}$. 2-jadvalda teng tomonsiz burchakni turli vaziyatlari uchun - α_0 , I_{xy} - kattaliklarning ishoralari keltirilgan.

2-jadval

Burchak profilining vaziyati	C_1 va C_2 nuqta koordinatalari-ning ishorasi				α_0 va I_{xy} ishoralari	
	X_1	Y_1	X_2	Y_2	α_0	I_{xy}
a	-	+	+	-	+	-
b	+	+	-	-	-	+
v	-	-	+	+	-	+
g	+	-	-	+	+	-
d	+	+	-	-	-	+
e	-	+	+	-	+	-
j	+	-	-	+	+	-
z	-	-	+	+	-	+



1.17-rasm

Keyingi mashg'ulotda quyidagi misolni Yechish mumkin 1.17-rasmda ko'rsatilgan teng yonli bo'limgan burchak $(100 \times 50 \times 10) \text{ mm}$ bilan $(100 \times 10) \text{ mm}$ o'lchamdagini to'g'ri to'rtburchak birikma hosil qilgan. Birikma kesimining geometrik xarakteristikalarini hisoblansin.

misol - 4. Berilgan murakkab kesimning geometrik tavsiflari topilsin.

Yechish. Quyidagi ma'lumotlarni qabul qilamiz:

shveller-Nº 33 va teng tomonli burchak- $100 \times 100 \times 12$ (1.18-rasm).

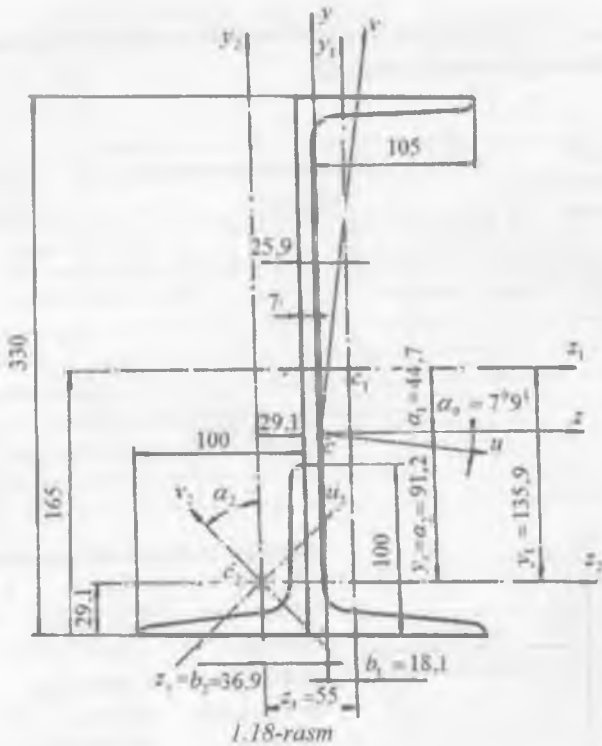
Hisoblashni amalga oshirish uchun kesimning eskizini chizamiz. Sxemada

$y_2 c_2 z_2$ va $y_1 c_1 z_1$ shveller va burchakning bosh inertsiya o'qlarini ko'rsatamiz. Geometrik xarakteristikalarini hisoblash uchun sortament jadvalidan asosiy o'lchamlarni va xarakteristikalarini yozib olamiz: shveller

$$A_1 = 46,5 \text{ sm}^2; I_{z1} = 7980 \text{ sm}^4; I_{y1} = 410 \text{ sm}^4 \text{ va } A_2 = 22,8 \text{ sm}^2;$$

$$I_{z2} = I_{y2} = 209 \text{ sm}^4. \text{ Shvellerning o'lchamlari } h_1 = 330 \text{ mm}; b_1 = 105 \text{ mm}; d_1 = 7 \text{ mm}; t_1 = 11,7 \text{ mm} \text{ va burchak } z_0 = 2,91 \text{ sm. } z_0 = 2,91 \text{ sm.}$$

Tarkibiy kesimning og'irlilik markazini $y_2 c_2 z_2$ koordinata sistemasida topamiz



1.18-rasm

$$y_c = \frac{A_1 \cdot y_1 + A_2 \cdot y_2}{A_1 + A_2} = \frac{46,5 \cdot 13,59 + 22,8 \cdot 0}{46,5 + 22,8} = 9,12 \text{ sm}$$

$$z_c = \frac{A_1 \cdot x_1 + A_2 \cdot x_2}{A_1 + A_2} = \frac{46,5 \cdot 5,5 + 22,8 \cdot 0}{46,5 + 22,8} = 3,69 \text{ sm}$$

Hisoblangan y_c, z_c qiymatlar asosida murakkab kesimning og'irlik markazi S nuqtani belgilaymiz. C nuqtadan ycz markaziy o'qlarini o'tkazamiz. Parallel o'qlarga nisbatan kesimning inertsiya momentlari formulalaridan foydalanim berilgan kesimmi ycz koordinata o'qlariga nisbatan inertsiya momentlarini hisoblaymiz:

$$I_z = I_{z1} + a_1^2 A_1 + I_{z2} + a_2^2 A_2 = 7980 + 4,47^2 \cdot 46,5 + 209 + 9,12^2 \cdot 22,8 = 11014,44 \text{ sm}^4;$$

$$I_y = I_{y1} + b_1^2 A_1 + I_{y2} + b_2^2 A_2 = 410 + 1,81^2 \cdot 46,5 + 209 + 3,69^2 \cdot 22,8 = 1081,79 \text{ sm}^4$$

Kesimni ycz o'qlarga nisbatan markazdan qochma inertsiya momenti
 $I_{zy} = I'_{z1y1} + a_1 b_1 A_1 + I'_{z2y2} + a_2 b_2 A_2$

Shveller uchun $\frac{y_1 C_1 z_1}{A_1 y_1 + A_2 y_2 + A_3 y_3}$ o'qari bosh 30 · 30 · 250 qlas, shuning uchun $I'_{z1y1} = 0$.

Teñg Tomonli burchakni $\bar{y}_2 C_2 z_2$ olqologa 180° bata 628 markazdan qochma

inertsiya momenti I'_{z2y2} ni topamiz

Teng tomonli burchak uchun $v_2 C_2 u_2$ bosh inertsiya o'qlari:

$I'_{v2} = 331 \text{ sm}^4$; $I'_{u2} = 86,9 \text{ sm}^4$. $y_2 C_2 z_2$ o'qlarni $v_2 C_2 u_2$ o'qlarga nisbatan og'ishgan burchagi α ni u_2 o'qiga nisbatan soat strelkasining harakat yo'nalishiga mos joylashtiramiz, u manfiy $\alpha_2 = -45^\circ$. Unda og'ishgan o'qlarga nisbatan inertsiya momenti

$$I_{y2zz} = I_{u2v2} \cos \alpha_2 - \frac{1}{2} (I_{v2} - I_{u2}) \sin 2\alpha = \frac{1}{2} (I_{v2} - I_{u2}) \sin(-90^\circ) = \frac{89,6 - 331}{2} (-1) = 122,05 \text{ sm}^4.$$

Tarkibiy kesimni ycz markazi o'qlariga nisbatan inertsiya momentini hisoblaymiz: $I_{zy} = 0 + 4,47 \cdot 1,81 \cdot 46,5 + 122,06 + 19,12 \cdot 3,69 \cdot 22,8 = 1265,5 \text{ sm}^4$.

Bosh markaziy o'qlari ucv ni ycz o'qlariga nisbatan vaziyatini aniqlaymiz:

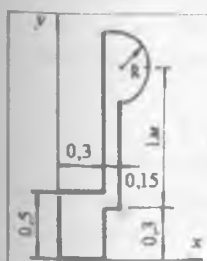
$$\operatorname{tg} 2\alpha_0 = -\frac{2I_z}{I_z - I_y} = -\frac{2 \cdot 1265,55}{11014,44 - 1081,79} \approx -0,255$$

$$2\alpha_0 = -14^\circ 18' \quad \alpha_0 = -7^\circ 9'$$

Og'irlilik markazi S nuqtadan ucv bosh o'qlarni o'tkazamiz. Bosh inertsiya o'qlari uv ga nisbatan inertsiya momentlarini hisoblaymiz:

$$I_{\max} = \frac{1}{2} [(I_z + I_y) \pm \sqrt{(I_z - I_y)^2 + 4I_{yz}^2}] = \\ = \frac{1}{2} [(11014,44 + 1081,79) \pm \sqrt{(11014,44 - 1081,79)^2 + 4 \cdot 1265,55^2}]$$

$$I_{\max} = 11173,916 \text{ sm}^4; \quad I_{\min} = 923,08 \text{ sm}^4.$$



misol-5. Murakkab shaklli kesim yuzanining geometrik tasniflarini hisoblash. O'lchamlar metrda berilgan. Murakkab shaklni oddiy shakllarga bo'lamiz (1.19-rasm) va har bir oddiy yuzanining og'irlilik markazlarini belgilaymiz, u nuqtalardan kesimlarning markazi o'qlarini o'tkazamiz, ushbu o'qlardan XOY koordinata o'qlarigacha bo'lgan masofalarni aniqlaymiz.
 Hisoblash murakkab shaklning ixtiyoriy o'qlar sistemasida og'irlilik markazini topishdan boshlanadi.

$$x_c = \frac{A_1 x_1 + A_2 x_2 + A_3 x_3}{A_1 + A_2 + A_3} = \frac{50 \cdot 30 \cdot 15 + 120 \cdot 15 \cdot 37,5 + 628 \cdot 53,5}{50 \cdot 30 + 120 \cdot 15 + \pi(20)^2}$$

bu erda: $A_1 = 0,3 \cdot 0,5 = 0,15 m^2$ $A_2 = 1,2 \cdot 0,15 = 0,18 m^2$

$$A_3 = \frac{\pi R^2}{2} = \frac{3,14(0,2)^2}{2} = 0,0628 m^2, \quad \sum A = A_1 + A_2 + A_3 = 0,3928 m^2$$

$$x_1 = \frac{0,3}{2} = 0,15 m; \quad y_1 = \frac{0,5}{2} = 0,25 m \quad x_2 = 0,3 + \frac{0,15}{2} = 0,375 m$$

$$y_2 = \frac{1+R}{2} + 0,3 = 0,9 m \quad x_3 = 0,3 + 0,15 + \frac{4R}{3\pi} = 0,535 m \quad y_3 = 0,3 + 1 = 1,3 m \quad \text{va}$$

$$x_c = 0,31467 m \quad y_c = 0,71474 m$$

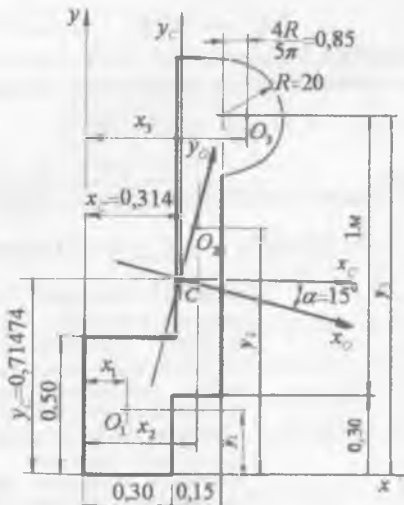
Parallel o'qlarga nisbatan inertsiya momentlari formulasidan foydalanib kesimning x_c va y_c o'qlarga nisbatan inertsiya momentlarini topamiz (1.19 - rasm).

$$I_{x_c} = \frac{0,3(0,5)^3}{12} + (y_c - y_1)^2 \cdot 0,3 \cdot 0,5 + \frac{0,15(1,2)^3}{12} + (y_2 - y_c)^2 \cdot 0,18 + \\ + 0,393R^4 + (y_3 - y_c)^2 + \frac{3,14R^2}{2} = 0,085455 m^4$$

$$I_{y_c} = \frac{0,5(0,3)^2}{12} + (x_c - x_1)^2 \cdot 0,15 + \frac{1,2(0,15)^3}{12} + (x_2 - x_c)^2 \cdot 0,18 + \\ + 0,11R^4 + (x_3 - x_c)^2 \cdot 0,0628 = 0,01246 m^4$$

Markaziy o'qlarga nisbatan markazdan qochma inertsiya momentini topamiz:

$$I_{xcyc} = [-(y_c - y_1)][-(x_c - x_1)] \cdot 0,15 + (y_2 - y_c)(x_2 - x_c) \cdot 0,18 + \\ + (y_3 - y_c)(x_3 - x_c) \cdot 0,0628 = 0,02154 m^4$$



1.19 - rasm. Bosh va markaziy inertsiya o'qlarining vaziyatiga oid

Bosh inertsiya momentlarini topamiz:

$$I_{\max} = \frac{I_{xc} + I_{yc}}{2} \pm \frac{1}{2} \sqrt{(I_{xc} - I_{yc})^2 + 4 \cdot I_{xc,yc}^2} = \frac{0,08545 + 0,01246}{2} \pm \\ \pm \frac{1}{2} \sqrt{(0,08545 - 0,01246)^2 + 4 \cdot (0,02154)^2}; \\ I_{\max} = 0; \quad I_{\min} = 0,006575 m^4$$

$$I_{xc} + I_{yc} = I_{\max} + I_{\min}; \quad 0,0854 + 0,01246 = 0,04895 + 0,006575$$

Bosh inertsiya o'qlarining og'ishgan burchagini topamiz:

$$\operatorname{tg} 2\alpha_0 = -\frac{2I_{xc,yc}}{I_{xc} - I_{yc}} = -\frac{2 \cdot 0,02154}{0,08545 - 0,01246} = -0,59 rad \\ 2\alpha_0 = -30^\circ \quad \text{yoki} \quad \alpha_0 = -15^\circ$$

$I_{xc} > I_{yc}$ bo'lganligi uchun x_c o'qqa nisbatan inertsiya momenti maksimal qiymatga erishadi. α_0 burchagi manfiy ishorali bo'lgani uchun qiymatini x_c o'qidan soat strelkasining harakat yo'nalishi bo'ylab joylashtiramiz. α_0 burchak bosh inertsiya o'qining holatini belgilaydi. Inertsya radiuslarini topamiz:

$$l_{\max} = \sqrt{\frac{0,09133}{0,3928}} = 0,48m; \quad l_{\min} = \sqrt{\frac{0,00657}{0,3928}} = 0,129m$$

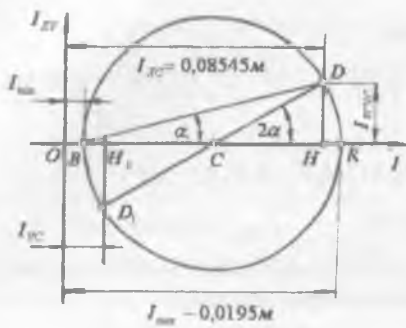
Shaklning inertsiya radiuslarini yarim o'qlar sifatida qabul qilib, $x_0 Cy_0$ koordinata o'qlarida inertsiya ellipsini quramiz (1.19 - rasm). Bunda Cx_0 o'qi bo'ylab l_{\min} radiusini, Cy_0 o'qi bo'ylab l_{\max} inertsiya radiusini qo'yamiz. Ellipsoidan gorizontga 45° burchak ostida joylashgan x_α o'qqa nisbatan inertsiya momentini topamiz. Bu o'q x_0 o'qqa nisbatan 60° burchak ostida yo'nalgan. Bu o'qqa parallel ravishda ellipsoidga urinma o'tkazamiz. x_0 o'q bilan urinma orasidagi $h = 0,265m$ masofani o'lchab olamiz. Inertsya momenti grafik usulda quydigicha topiladi.

$$I_k = h^2 A = (0,265)^2 \cdot 0,3928 = 0,0276 m^4$$

Ushbu inertsiya momentini analitik usulda topamiz:

$$I_k = I_{\max} \cdot \cos^2 \alpha + I_{\min} \cdot \sin^2 \alpha = 0,091339 \cos^2 60^\circ + \\ + 0,006575 \cdot \sin^2 60^\circ = 0,0277 m^4$$

Bosh inertsiya momentlarini grafik usulda topamiz (1.20 - rasm), buning uchun kesimning x_c va y_c o'qlariga nisbatan inertsiya momentlari $I_{xc} = 0,08545 m^4$ va $I_{yc} = 0,01246 m^4$ va markazdan qochma inertsiya momenti $I_{\text{me}} = 0,02154 m^4$ dan foydalanamiz.



1.20 - rasm. Mor yoki inertsiya doirasini qurish tartibi.

$|OI|_{xy}$ koordinata sistemasini tanlaymiz.

I_{xc} ; I_{yc} va I_{xyc} inertsiya momentlarini masshitabda IO va $I_{xy}O$ o'qlarida joylashtiramiz.
Masshat: $Imm = 0,00122m$, unda

$$OH = \frac{0,08545}{0,00122} = 70mm$$

$$OH_1 = \frac{0,01246}{0,00122} = 10,2mm$$

$$HD = \frac{0,02154}{0,00122} = 17,6mm$$

D va D_1 nuqtalarni tutashtirib inertsiya doirasining markazini topamiz va unu quramiz. Inertsiya doirasasi I o'qini V va K nuqtalarda kesib o'tadi.

$$OK = \frac{75mm \cdot 0,0012m^4}{1mm} \quad OB = 5mm \cdot 0,0012 \frac{m^4}{mm}$$

$$I_{\max} = OK = OC + CK$$

$$\text{Inertsiya doirasidan } I_{\min} = OB = OC - CB \text{ yoki}$$

$$I_{\max} = 0,0195m^4 \text{ va } I_{\min} = 0,0006m^4$$

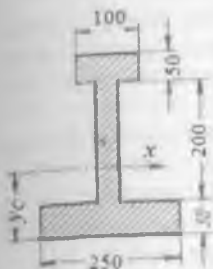
$$\text{Chizmadan } OC = \frac{OH + OH_1}{2} = \frac{I_{x_c} + I_{y_c}}{2} \text{ va}$$

$$CK = CB = CD = \sqrt{(CH)^2 + (DH)^2}$$

$$CH = \frac{HH_1}{2} = \frac{OH - OH_1}{2} = \frac{I_{x_c} - I_{y_c}}{2}; \quad DH = I_{x_c y_c}$$

$$\text{Unda } I_{\max} = \frac{I_{x_c} + I_{y_c}}{2} \pm \sqrt{\left(\frac{I_{x_c} - I_{y_c}}{2}\right)^2 + I_{x_c y_c}^2}$$

Mustaqil ish uchun misollar



misol-6. Tokchasingeni eni har xil bo'lgan qo'shtavr uchun kesimning og'irlik markazi vaziyatini aniklang xamda shakl yuzasining markaziy x o'qqa nisbatan inertsiya momentini va eng kichik qarshilik momentini xisoblang. Devorning qalinligi 22 mm.

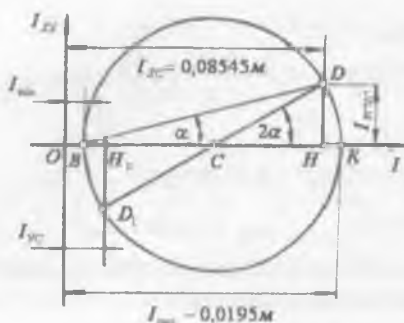
javob: $U_s = 10,8 \text{ sm}$; $J_x = 25470 \text{ sm}^4$

$$W_x = 1330 \text{ sm}^3$$

misol-7. Prokat profillardan yasalgan yigma nosimmetrik kesimlar uchun 1)shaklning og'irlik markazi koordinatalarini toping, 2) bosh markaziy inertsiya uklari vaziyatini aniklang, 3) analitik va grafik usullarda (Mor doirasini yasab) kesimining bosh inertsiya momentlari aniklang. Kesimlarining shakllari va mm dagi lchamlari jadvaldagi rasmlarda keltirilgan.

javob: Jadvalga qarang (raqamlar yaxlitlangan).

Kesim sxemasi	variant	Kesim tarkibi	javob					
			Og'irlik markaz koordinatalari	α	Bosh inertsiya momentlari			
			x_g		I_{max}	I_{min}		
2	3	4	5	6	7	8	9	
	a	Shveller №18 burchak 80x80x8	-0,37	11,51	-11°40'	1565	245	
	b	Shveller №24 burchak 125x125x12	-1,95	16,10	-15°50'	4300	1155	



1.20 - rasm. Mor yoki inertsiya doirasini qurish tartibi.

$|OI_{xy}|$ koordinata sistemasini tanlaymiz.

I_{xc} ; I_{yc} va $I_{x_c y_c}$ inertsiya momentlarini masshtabda IO va $I_{x_c} O$ o'qlarida joylashtiramiz. Masshtab: $1mm = 0,00122m$, unda

$$OH = \frac{0,08545}{0,00122} = 70mm$$

$$OH_1 = \frac{0,01246}{0,00122} = 10,2mm$$

$$HD = \frac{0,02154}{0,00122} = 17,6mm$$

D va D_1 nuqtalarni tutashtirib inertsiya doirasining markazini topamiz va uni quramiz. Inertsiya doirasini I o'qini V va K nuqtalarda kesib o'tadi.

$$OK = \frac{75mm \cdot 0,00122}{1mm} \quad OB = 5mm \cdot 0,0012 \frac{m^4}{mm}$$

$$I_{\max} = OK = OC + CK$$

Inertsiya doirasidan $I_{\min} = OB = OC - CK$ yoki

$$I_{\max} = 0,0195m^4 \quad \text{va} \quad I_{\min} = 0,0006m^4$$

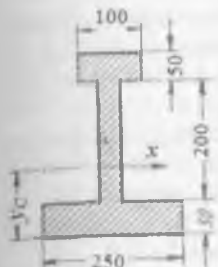
$$\text{Chizmadan } OC = \frac{OH + OH_1}{2} = \frac{I_{x_c} + I_{y_c}}{2} \text{ va}$$

$$CK = CB = CD = \sqrt{(CH)^2 + (DH)^2}$$

$$CH = \frac{HH_1}{2} = \frac{OH - OH_1}{2} = \frac{I_{x_c} - I_{y_c}}{2}; \quad DH = I_{x_c y_c}$$

$$\text{Unda} \quad I_{\max} = \frac{I_{x_c} + I_{y_c}}{2} \pm \sqrt{\left(\frac{I_{x_c} - I_{y_c}}{2}\right)^2 + I_{x_c y_c}^2}$$

Mustaqil ish uchun misollar



misol-6. Tokchasingning eni har xil bo'lgan qo'shtavr uchun kesimning og'irlik markazi vaziyatini aniklang xamda shakl yuzasining markaziy x o'qqa nisbatan inertsiya momentini va eng kichik qarshilik momentini xisoblang. Devorning qalinligi 22 mm.

javob: $U_S = 10,8 \text{ sm}$; $J_x = 25470 \text{ sm}^4$

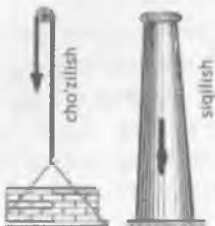
$W_x = 1330 \text{ sm}^3$

misol-7. Prokat profillardan yasalgan yigma nosimmetrik kesimlar uchun 1)shaklning og'irlik markazi koordinatalarini toping, 2) bosh markaziy inertsiya uklari vaziyatini aniklang, 3) analitik va grafik usullarda (Mor doirasini yasab) kesimining bosh inertsiya momentlari aniklang. Kesimlarining shakkllari va mm dagi lechamlari jadvaldagi rasmlarda keltirilgan.

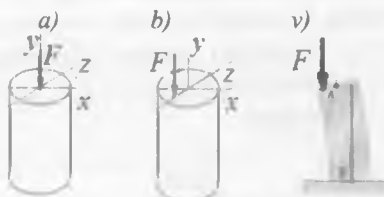
javob: Jadvalga qarang (raqamlar yaxlitlangan).

Kesim sxemasi	variant	Kesim tarkibi	javob					
			Og'irlik markaz koordinatalari		Burchak	Bosh inertsiya momentlari		
			x_S	u_S		I_{max}	I_{min}	
2	3	4	5	6	7	8	9	
	a	Shveller №18 burchak 80x80x8	-0,37	11,51	$-11^{\circ}40'$	1565	245	
	b	Shveller №24 burchak 125x125x12	-1,95	16,10	$-15^{\circ}0'$	4300	1155	

II-BOB. CHO'ZILISH VA SIQILISH



2.1-rasm. Cho'zilish va siqilishga ishllovchi konstruktsiyalar.



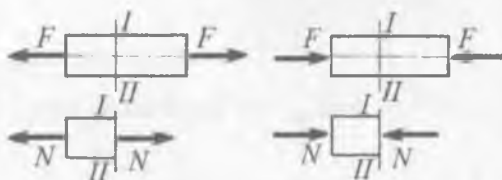
Zanjirlar, troslar, fabrika- zavodlarning trubalari, bino tomini ushlab turuvchi kolonkalar va h.k. cho'zilish yoki siqilishga uchraydi.

Inshoot yoki konstruktsiya qismlari mahkamlanish turiga yoki tashqi kuchlarning kuyilish nuqtasiga ko'ra markaziy yoki markazlashmagan cho'zilish yoki siqilishda bo'ladi.

- a) markaziy siqilish
- b) markazlashmagan siqilish
- v) markazlashmagan siqilishda deformatsiya

Markaziy cho'zilish yoki siqilish oddiy deformatsiya, markazlashmagan siqilish murakkab deformatsiya turiga kiradi.

Markaziy cho'zilish yoki siqilish - bir-biriga teng va o'qi bo'ylab qarama-qarshi tomonlarga yo'nalgan kuchlar ta'siridagi sterjenning deformatsiyasi. Markaziy cho'zilish va siqilishda sterjenning ko'ndalang kesimida faqat bir xil ichki kuch – faktori - bo'ylama kuch N hosil bo'ladi.



Bruslarning cho'zilish yoki siqilishiga oid eng oddiy misollar keltirilgan.

Bruslarning ixtiyoriy kesimidagi ichki bo'ylama N_x kuchlarni kesish usuli bilan topilgan. Ulardan birinchisi brusni cho'zadi va kesim yuzasidan brusni tashlab yuborilgan tomoniga yo'nalgan. Bunday kuchni musbat ishorali qabul qilamiz.

Ikkinci N_x kuch kesim yuza tomon yo'nalgan va u brusni olib qolingga qismini siqadi. Bunday kuchni manfiy ishorali deb qabul qilamiz. Cho'zuvchi va siquvchi bo'ylama kuchlarning bunday yo'naliishi va ishorasini qoida sifatida qabul qilamiz.

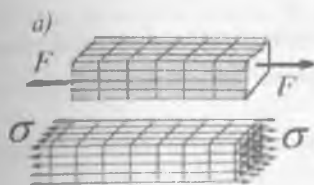
Agar brus o'qi bo'ylab, unga bir qancha kuchlar qo'yilgan bo'lsa, uning ixtiyoriy ko'ndalan kesimidagi ichki bo'ylama kuchlarni topish uchun kesish usulidan foydalanamiz.

Brusning ixtiyoriy ko'ndalang kesimidagi bo'ylama kuch N_x brusning goldirilgan qismiga ta'sir qiluvchi barcha kuchlarning brus o'qiga tushirilgan proektsiyalarining algebraik yig'indisiga teng.

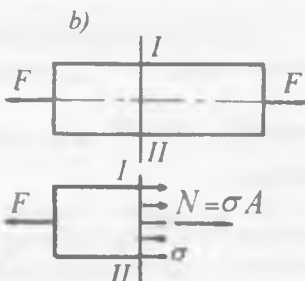
Markaziy (o'q bo'ylab) cho'zilish yoki siqilish deb, barcha tashqi kuchlar bo'ylama o'qida ta'sir qiluvchi sterjenning shunday deformatsiyasiga aytildi.

Bo'ylama kuch deb, brusning kesimida hosil bo'lgan normal kuchlanishlarning teng ta'sir etuvchisiga aytildi:

$$N_x = \int \sigma \cdot dA$$

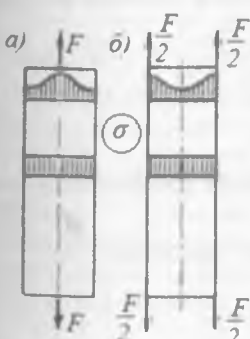


2.2-rasm. Brusni cho'zilishiga oid sxemalar: brusni cho'zilishi va normal kuchlanish



Cho'zilishda (siqilish) brus materialining zarrachalari bo'ylama bir xil masofaga va ko'ndalang kesimlarda bir xil masofaga ko'chadi (2.2-rasm, a). Shuning uchun, normal kuchlanish brusning kesim yuzasida teng tarqaladi (2.2-rasm, a,b).

Bu masala Ya. Bernulli gipotezasiga asolanadi: *Brusning deformatsiyagacha tekis bo'lган va sterjen o'qiga tik kesimlari deformatsiyadan keyin ham tekis va brus o'qiga tikligicha qoladi.*



Kuchlanishlarni tarqalishi

Markaziy cho'zilishda sterjenning bo'ylama o'qiga perpendikulyar tekislikdagi barcha material zarrachaari kuch yo'naliishiда bir xil masofaga qo'yildi. Buning asosida Shveytsariyalik olim Ya.Bernulli materiallar qarshiligidagi ko'plab masalalarda qo'llanilgan tekis kesim gipotezasini taklif qiladi. Bu gipotezaga asosan, deformatsiyagacha tekis va sterjen o'qiga perpendikulyar bo'lган kesim, deformatsiyadan keyin ham tekis va sterjen o'qiga perpendikulyar qoladi.

Shunday qilib cho'zilish va siqilishda sterjen barcha bo'ylama tolalarining uzunliklari bir xil miqdorga o'zgaradi. Ammo bu gipoteza sterjenning barcha kesimlari uchun bir xil deb bo'lmaydi [29]. Sterjenni to'planma kuch qo'yilgan nuqtasiga yaqin kesimlarida normal kuchlanishni tarqalishi notejis bo'lishi mumkin [29]. Kuch qo'yilgan nuqtadan uzoqroqda joylashgan kesimda kuchlanish tekis tarqaladi Sen - Venan printsipiga mos bo'ladi.

Kuchlanish – sterjenning kesim yuzasida ichki bo'ylama kuchni tarkalish konuniyatini belgilaydi. Kuchlanish deb bir birlik yuzaga to'g'ri keladigan kuchning miqdoriga aytildi.

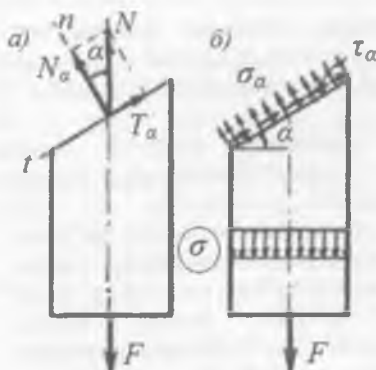
Cho'zilish va siqilishda sterjenning kesim yuzasida

$$\text{normal kuchlanish hosil bo'ladi: } \sigma = \frac{N}{A}, \frac{kN}{m^2} \quad (3)$$

Agar cho'zuvchi yoki siquvchi kuch maksimumga erishsa, ya'ni chegaraviy qiymatga chiqsa $N = N_{\max}$ bo'lsa, normal kuchlanish ham maksimal chegaraviy

qiymati $\sigma_{\max} = \frac{N_{\max}}{A}$ ga erishadi. Konstruktsiyada xavfli holat emirilish sodir bo'ladi.

Shu paytgacha brusning bo'ylama o'qiga perpendikulyar tekis-likda joylashgan ko'ndalang kesimdag'i normal kuchlanishlarni aniqladik. Lekin ayrim masalalarda qiya kesimdag'i kuchlanishlarni aniqlashga to'g'ri keladi. Shuning uchun qiya kesimdag'i kuchlanganlik holatini o'rganamiz.



Sterjenni ajratib olingan qismi muvozanatda bo'lishi uchun, uning kesilgan qiya yuzasining og'irlik markaziga ichki bo'ylama kuchga teng bo'lgan N kuchni keltirib qo'yamiz. Bu kuchni qiya kesimni normal va urinma o'qlariga proektsiyalab qiya kesimdag'i normal va urinma kuchlarni topamiz.

$$N_{\alpha} = N \cdot \cos \alpha \text{ va } T_{\alpha} = N \cdot \sin \alpha$$

N_{α} - normal kuchlanishlarning va T_{α} - urinma kuchlanishlarning teng ta'sir qiluvchisi hisoblanadi. Qiya kesimning normal kuchlanish $\sigma_{\alpha} = \frac{N_{\alpha}}{A_{\alpha}}$ va

$$\text{urinma kuchlanish } \tau_{\alpha} = \frac{T_{\alpha}}{A_{\alpha}}.$$

Ushbu formulalar cho'zilish va siqilish deformatsiyasiga uchragan sterjenning qiya kesimidagi normal va urinma kuchlanishlarni aniqlash uchun tadbiq etiladi.

Cho'zilish va siqilishda mustahkamlik shart. Konstruktsiyada xavfli holatni cheklash uchun elementining qesim yuzasidagi eng katta normal kuchlanish σ_{max} , shu konstruktsiya materiali uchun ruxsat etilgan kuchlanishdan katta bo'lmasligi kerak, ya'ni $\sigma_{max} \leq [\sigma]$ yoki $\sigma_{max} = \frac{N_{max}}{A} \leq [\sigma]$

$$\text{kerak, ya'ni } \sigma_{max} \leq [\sigma] \quad \text{yoki} \quad \sigma_{max} = \frac{N_{max}}{A} \leq [\sigma] \quad (4)$$

(3) formula cho'zilish yoki siqilishda mustahkamlik shart

Ruxsat etilgan konstruktsiyani xavfsiz ishlashini ta'minlaydi va uning qiymati konstruktsiyaning materialiga bog'liq bo'lib tajriba asosida belgilanadi. Cho'zilish va siqilishda loyihaviy hisoblashda sterjenning kesimi tanlanadi:

$$A \geq \frac{F}{[\sigma]} \quad (5)$$

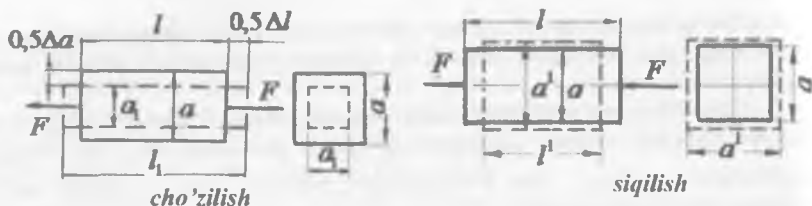
$$\text{Ruxsat etilgan yuk hisoblanadi: } F_{pyr} = [\sigma] \cdot A \quad (6)$$

Turli xildagi materiallar uchun ruxsat etilgan normal kuchlanishlarning miqdorlari.

Material	$[\sigma]_u, \frac{\text{kg}}{\text{sm}^2}$	$[\sigma]_c, \frac{\text{kg}}{\text{sm}^2}$
St. I-St.2-St.3	1200	1200
Legirlangan po'lat	1000-4000	1000-4000
Kul rang cho'yan	300-400	1200-1500
Dyuralyuminiy	800-1500	800-1500
Krang'ay (tolalar buyicha)	70-100	100-120
Dub (tolalar bo'yicha)	90-130	130-150
G'isht (tsement qorishmasi bilan terilgan holda)	2	12
Beton	4	35

Deformatsiya. Cho'zilish va siqilish sterjenning bo'ylama va ko'ndalang o'lchamlarini o'zgarishi bilan xarakterlanadi. Masalan, sterjenni cho'zilishida uzunligi ortadi, ko'ndalang kesimi esa qisqaradi. Siqilishda teskarri holat, ya'ni sterjenning uzunligi qisqaradi, ko'ndalang o'lcham esa kattalashadi.

Sterjen bo'ylama va ko'ndalang o'lchamlarining o'zgarishi bo'ylama va ko'ndalang deformatsiyalar deyiladi. Absolyut va nisbiy deformatsiyalar mavjud. Absolyut uzyash (deformatsiya) sterjenni cho'zilganidan keyingi boshlang'ich uzunliklarining farqi bilan belgilanadi. Absolyut qisqarish



ko'ndalang kesimning boshlang'ich va deformatsiyadan keyingi o'lchamlar farqi bilan belgilanadi.

$\Delta\ell = \ell_1 - \ell_0$ bo'ylama va $\Delta a = a_0 - a_1$ ko'ndalang deforma-tsiyalar absolyut deformatsiya deyiladi.

Ya.Bernulli gipotezasiga asosan sterjenning deformatsiyagacha bo'lgan tekis va sterjen o'qiga tik bo'lgan kesimlari deformatsiyadan keyin ham tekis va sterjen o'qiga tikligicha qoladi.

Bir birlilik uzunlikka to'g'ri keladigan absolyut uzayishga nisbiy bo'ylama uzayish deyiladi.

$\varepsilon = \frac{\Delta\ell}{\ell}$ nisbiy bo'ylama uzayish va $\varepsilon' = \frac{\Delta a}{a}$ nisbiy ko'ndalang qisqarishlar nisbiy deformatsiya deyiladi.

Nisbiy ko'ndalang deformatsiyani nisbiy bo'ylama deformatsiyaga nisbati o'zgarmas miqdor va Puasson koeffitsienti deyiladi. $\mu = \frac{\varepsilon'}{\varepsilon}$ (7)

Sterjenning uzunligi ham, absolyut cho'zilishi ham mm yoki sm hisobida o'lchanligi uchun nisbiy bo'ylama deformatsiya o'lchovsiz son bo'ladi.

Agar, sterjenning cho'zilishi faqat elastik deformatsiya chegarasida qaralsa, cho'zuvchi kuch bilan absolyut uzayish orasida to'g'ri propotionsiallik bog'lanish bo'ladi. Bu bog'lanish ingliz olimi Robert Guk qonuni deyiladi:

$$\Delta\ell = \frac{N\ell}{EA} \quad (8)$$

Elastik bo'ylama uzayish, ichki bo'ylama kuch va sterjenning uzunligiga to'g'ri va bikriliqiga teskari proporsional.

(8) formulada EA sterjenning cho'zilish yoki sizilishdagi bikriliq. Elastik jismlarda, normal kuchlanish nisbiy deformatsiyaga to'g'ri proporsional $\sigma = E \cdot \varepsilon$ (9)

Bu yerda, E – materialni elastiklik moduli (Yung moduli) deyiladi.

Elastiklik modulining qiymati materialning elastiklik xossasini ifodalaydi va tajriba asosida topiladi. Agar elastiklik modulining qiymati materil yuzasining hamma yo'nalishlarida bir xil bo'lsa, material izotrop deyiladi. Agar elastiklik modulining qiymati materil yuzasining hamma yo'nalishlarida bir xil bo'lmasa, material anizotrop deyiladi.

Turli materiallar uchun Puasson koeffitsienti	Materiallar	μ	Materiallar	μ
Po'lat	0,25-0,33	Qo'rg'oshin	0,45	
Mis	0,31-0,34	Latun	0,32-0,42	
Bronza	0,32-0,35	Alyuminiy	0,32-0,36	
Cho'yan	0,23-0,27	Rux	0,21	
Shisha	0,25	Tosh	0,16-0,34	

ROBERT GUK
(1635 – 1703)



2006 yilda tiklangan rasmi



1635 yil Freshwaterda (Uayt oroli) tug'ilgan va 1703 yil Londonda halok bo'lган. 1653 yil Oksford universiteti Krayst-Chyorn kolledjiga o'qishga kiradi va uni tugatib R.Boylga assistant bo'ladi. 1662 yilda Qirollik jamiyatida eksperimentlar kuratori, 1663 yil London Qirollik jamiyati a'zosi, 1665 yildan London universiteti professori va 1677-1683 yillar London Qirollik jamiyati kotibi. 1660 yilda kuchlanish σ va nisbiy uzayish ε ni bog'lovchi qonunni

$\sigma = E \cdot \varepsilon$ aniqladi. 1678 yil Londonda chop etgan «Depotentia restitiva» kitobida, 18 yil oldin prujina tug'risidagi asosiy qonunini yaratganligini va uni ceiiinossstu- stenogrammasi asosida yashirib kelganligini yozadi. Harflarni to'g'ri joylashtirilsa bu so'z ut tensio, sic vis - deb o'qiladi,

tarjimasi «kuch qanday bo'lsa, ta'siri ham shunday bo'ladi», ya'ni prujinaning kuchi uning cho'zilishiga to'g'ri proporsional. 1678 yil «Tiklanish qobiliyati yoki elastiklik to'g'risida» deb nomlangan ilmiy ishida materialarning xossalari to'g'risida: har qanday elastik jism uchun tabiatni qonuni shunday tashqil topganki, jismlarni bo'laklarga ajratish, qismlarni zichlashtirish yoki bo'shatish usuli bilan amalga oshirilganligidan qat'iy nazar o'zining tabiiy holatini tiklash kuchi yoki qibiliyatini, uni tabiiy holatdan chiqargan kuchga teng me'yorda proporsional. Bunday vaziyat faqat yuqorida keltirilgan jismda emas, metall, yog'och, tosh turlari,

kirpich, shisha va hokazolarni egilish jarayonida kuzatilishi mumkin. Bu nazariya asosida kamon kuchini aniqlash, prujina yoki taranglashgan strunaning tebranishi aniqlanadi. R.Guk taniqli arxitektor bo'lgan.

TOMAS YUNG
(1773 - 1829)



C.D.PUASSON
(1781-1840)



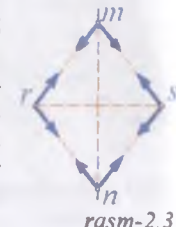
R.Guk formulasidagi E -material bikrligini xarakterlaydigan koefitsient bo'lib, *birinchi darajali elastiklik moduli* deyiladi.

E - ni o'lchov birligi $\frac{N}{m^2}$; $\frac{kN}{m^2}$ va materialning turiga bog'lik holda tajribalar asosida aniqlanadi. Masalan, yumshoq po'lat uchun namunani cho'zilish yoki siqilishga sinashda, diagrammmani - \mathcal{E} o'qiga og'ishgan burchagining tangensiga teng. Barcha yo'nalish larda E -ni qiymati o'zgarmas bo'lsa, bunday materiallar izotrop, barcha o'qlar bo'yicha E - ni qiymati o'zgaruvchan bo'lsa anizotrop material deyiladi. *Young, Courses of Lectures on Natural Philosophy and Mechanical Arts. London 1807.*

Brusni cho'zilishida ko'ndalang o'lchamlari qisqaradi. Bu vaziyatni Simon Deni Puasson quyidagi tajriba bilan ifodalaydi. Cho'zilish tekisligida m va n zarrachalarni va mn tekislikka perpendikulyar tekislikda r va s zarrachalarni belgilaymiz. Cho'zilishda ms , mr , sn , rn masofalar uzayadi va elastiklik kuchlari hosil bo'ladi. r va s zarrachalardagi elastik kuchlarning teng ta'sir qiluvchilari, ularni yaqinlashtirishga intiladi.

Nisbiy ko'ndalang qisqarish (\mathcal{E}') nisbiy bo'ylama uzayishga ($\bar{\mathcal{E}}$) bog'lik, ya'ni $\mathcal{E}' = \mu\bar{\mathcal{E}}$.

Tomonlari birga teng bo'lgan kvadrat brusni cho'zilish yo'nalishida uning qirrasi ε ga uzayadi va $1+\varepsilon$ ga teng bo'ladi. Har bir ko'ndalang tomon $\mu\bar{\mathcal{E}}$ -ga qisqaradi va $1-\mu\bar{\mathcal{E}}$ ga teng bo'ladi. Unda hajmnning nisbiy o'zgarishi $V_0 = 1 + \varepsilon(1 - 2\mu)$



rasm-2.3

2.2. Harorat ta'sirida kuchlanish va deformatsiya

Texnikada ko'pgina konstruktsiya qismlari harorat ta'sirida ishlaydi (gaz trubina, reaktiv dvigatel qismlari). Harorat ta'sirida hosil bo'lgan ichki bo'ylama kuch N- materialning elastiklik moduli E, qizdirilish harorati t0 ta'siridagi chiziqli

kengayish koeffitsienti α va sterjenning ko'ndalang kesim yuzasi A-ga bog'liq bo'ladi, ya'ni:

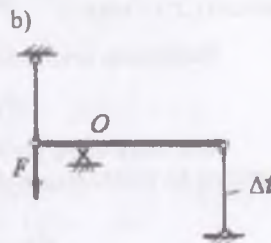
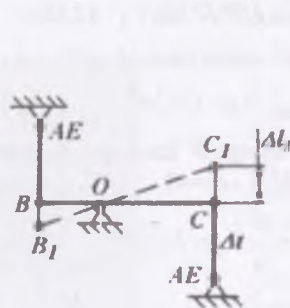
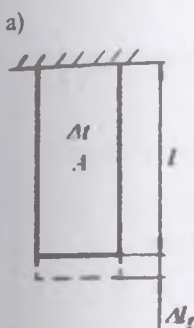
$$N = \alpha \cdot \Delta t \cdot E \cdot A$$

Haroratli kuchlanish:

$$\sigma_t = \frac{N}{A} = \alpha \cdot \Delta t \cdot E \quad (2.8)$$

Tekis qizdirilgan bir jinsli sterjenning absolyut uzayishi quyidagi formula bilan topiladi:

$$\Delta l_t = \alpha \cdot \Delta t \cdot l \quad (2.9)$$



2.4 – rasm. Temperatura ta'sirida deformatsiya; a) brus va sterjenlar sistemasini cho zilish va siqilishi; b) tashqi kuch va temperatura ta'siridagi sterjenlar sistemasi.

Sterjenning nisbiy uzayishi: $\varepsilon = \alpha \cdot \Delta t$ (2.10)

Agar, sterjenga tashqi cho'zuvchi kuch F ham ta'sir qilsa (2.9) va (2.10) formulalarini quyidagicha yozish mumkin (2.4–rasm, b):

$$\Delta l = \alpha \cdot \Delta t \cdot l + \frac{Nl}{EA} \quad (2.11) \quad \text{va} \quad \varepsilon = \alpha \cdot \Delta t + \frac{\sigma}{E}$$

Tashqi kuch F va harorat ta'siridagi deformatsiyalar mustaqil ko'rinishga ega va u sterjenning umumiy deformatsiyasini tashkil qiladi.

2.3. Xususiy og'irlilik ta'siridagi sterjenning cho'zilish yoki siqilishi

Uzunligi l -ga teng bo'lgan sterjen xususiy og'irlilik ta'sirida uzayadi (2.5–rasm). Sterjenning pastki uchidan X – masofada joylashgan $m - n$ kesimining ichki kuchi va kuchlanishini aniqlaymiz. Buning uchun kesish usulidan foydalanamiz. Sterjenni ikki qismga ajratib, pastki bo'lagini olib qolamiz. Sterjenning ajratib

olingen pastki qismi o'zining xususiy og'irligi ρAx va sterjenning tashlab yuborilgan qismining pastki qismiga qo'yilgan ta'siri σ_x ostida bo'ladi.

Agar, σ_x sterjenning $m - n$ kesimida teng tarqalgan bo'lsa $N = \sigma_x A = \rho \cdot Ax$ va $\sigma_x = \rho \cdot x$ hosil bo'ladi.

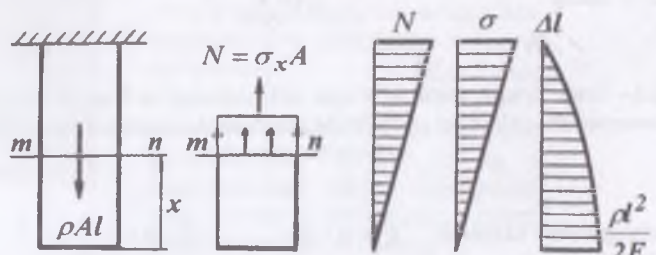
Demak, xususiy og'irlik ta'sirini hisobga olganda normal kuchlanish – materialning solishtirma og'irligi ρ va sterjenning uzunligi ℓ -ga bog'liq bo'ladi. Normal kuchlanish $X = \ell$ kesimda, ya'ni tayanch kesimda eng katta qiymatga erishadi (2.5 – rasm): $\sigma_{\max} = \rho \cdot \ell$ (2.12).

Sterjenning xavfli kesimi uchun mustahkamlik shart quyidagicha yoziladi:

$$\sigma_{\max} = \rho \cdot \ell \leq [\sigma] \quad (2.13)$$

Agar, sterjenning pastki uchiga F kuch qo'yilgan bo'lsa, mustahkamlik shartning ko'rinishi o'zgaradi (2.6 – rasm).

$$\sigma_{\max} = \frac{F}{A} + \rho \cdot \ell \leq [\sigma] \quad (2.14)$$



2.5 – rasm. Xususiy og'irlik ta'siridagi brusni cho'zilishi: kesish usuli, ichki kuch, normal kuchlanish va absolyut uzayish epyuralari

(2.13) va (2.14) formulalardan foydalanib sterjenning mustahkamligini ta'minlaydigan kritik uzunlik

$$\ell_k = \frac{[\sigma]}{\rho}, \quad \ell_k = \frac{[\sigma]A - F}{\rho A}$$

va kesim yuzasini aniqlash mumkin: $A \geq \frac{F}{[\sigma] - \rho \cdot \ell}$

(2.14) formula asosida tanlab olingen kesim yuzaga ster-jenning xavfli tayanch kesimini qanoatlantiradi, chunki shu kesimda normal kuchlanish eng katta qiyatga erishadi.

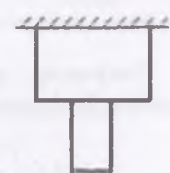
Sterjenning uzunligi bo'ylab, kesim yuzani (2.14) formula yordamida tanlash mumkin emas, chunki $X = 0$ bo'lsa, $\sigma = 0$ va $X = \ell$ bo'lsa $\sigma = \sigma_{\max}$ ga asosan, normal kuchlanish sterjenning uzunligi bo'ylab barcha kesimlarda to'g'ri chiziqli qonuniyat bilan o'zgaruvchandir. Bu holat sterjenning uzunligi bo'ylab barcha kesimlar normal kuchlanishi bilan bir xil yuklanmaganligini va ortiqcha material sarflanganligini bildiradi. Sterjenning uzunligi bo'ylab kesimni shunday tanlash kerakki, uning barcha kesim yuzalarida σ bir xil qiymatga ega bo'lsin. Bunday sterjenlar teng qarshilik ko'rsatuvchi bruslar deyiladi.

ALEKSEY NIKOLAEVICH KRILOV
(1863 – 1945)

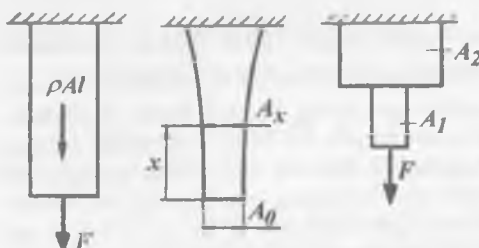


$$\frac{d^2 y}{ds^4} + [h^2 - p(s)] \cdot v = f$$

A.N.Krilov 15 avgust 1863 yil Simbir guberniyasi Vyasaqa qishlog'ida tug'ilgan.



Otasi artilleriya qo'shinining ofitseri edi. 1872 – 1874 yillar ota – onasi bilan Frantsiyada yashaydi, u erdan kelib Sevastopol bilim yurtida o'qiydi. 1879 – 1884 yillar Peterburg dengiz bilim yurtida tahsil oladi, keyin gidrografik Bosh boshqarmasida ishlaydi. 1886 yil «О расположении стрелок в картушке компаса» ilmiy ishi chop etiladi. 1908 yil «Теория корабля» va «Теория вибрации» nomli monografiyalari nashr qilindi. Mexanikada o'zgaruvchan kesimli bruslar to'g'risida ilmiy izlanish olib borgan va uni kemasozlida tadbiq etgan. A.N.Krilov o'zining 60 yillik faoliyatida kemasozlik va kompas to'g'risida 300 dan ortiq ilmiy ish yozgan. 1916 yildan A.N.Krilov fanlar Akademiyasining haqiqiy a'zosi, 1919 yil harbiy-dengiz akademiyasining boshlig'i. 1921 – 1927 yillar A.N.Krilov chet mamlakatlarda yashaydi. A.N.Krilovning «Некоторые случаи аварии и гибели судов» asarida turli sxemalar, formulalar, oddiy hisoblashlar berilgan. Ushbu kitobning bitta bobida «Titanik» kemasining halokati to'g'risida yozilgan. 1943 yil A.N.Krilov «Мысли и материалы о преподавании механики» nomli kitobi nashr qilindi. 26 oktyabr 1945 yil Leningrad shahrida A.N.Krilov vafot etadi. «Ana katta to'lqin kelmoqda» degan uning oxirgi so'zi edi.



2.6 - rasm. Tashqi kuch va xususiy og'irlik ta'siridagi brus va teng qarshilik ko'rsatuvchi bruslar.

Teng qarshilik ko'rsatuvchi brusni tayyorlashda kesimdan ratsional foydalanganligi uchun ortiqcha material sarflanmaydi. Teng qarshilik ko'rsatuvchi bruslar ko'pincha pog'onali qilib tayyorlanadi (2.6 -rasm). Pog'onali brusning kesim yuzalari quyidagicha topiladi:

$$A_1 = \frac{F}{[\sigma] - \rho \cdot \ell_1} \quad \text{ba} \quad A_2 = \frac{F + \rho A_1 \ell_1}{[\sigma] - \rho \ell_2}$$

Sterjenning xususiy og'irlik ta'sirida uzayishini topish uchun Guk qonunidan foydalananamiz:

$$\Delta \ell = \int_x^{\ell} \frac{N dx}{EA} = \int_x^{\ell} \frac{\rho \cdot A \cdot x \cdot dx}{EA} = \frac{\rho}{2E} (\ell^2 - x^2) \quad (2.16)$$

Agar, sterjen tashqi F kuch bilan ham yuklangan bo'lsa

$$\Delta \ell = \int_x^{\ell} \frac{(F + \rho A x) dx}{EA} = \frac{N(\ell - x)}{EA} + \frac{\rho}{2E} (\ell^2 - x^2) \quad (2.17)$$

Cho'zilish va siqilishga hisoblash. Inshoot konstruktsiyalarini cho'zilish va siqilishga hisoblashda masalani qo'yilish shartiga ko'ra konstruktsiyaning mustahkamlik shartidan kesim yuza tanlanishi, yoki ruxsat etilgan yuk hisoblanishi mumkin. Ushbu masalalarni Yechishda konstruktsiyadagi noma'lum reaktsiya va ichki kuchlar sonini statikaning muvozanat tenglamalari soniga teng yoki ko'pligiga ko'ra, cho'zilish va siqilishda statik aniq va statik noaniq masalalar mavjud.

N bo'ylama (normal) kuchni topish uchun x o'qiga (brusni bo'ylama o'qi) proektsiyalar tenglamasini tuzish kerak. Bu tenglamaga noma'lum N bo'ylama kuchdan tashqari berilgan ma'lum tashqi kuchlarning proektsiyalari ham kiradi. Unda muvozanat tenglama quyidagicha yoziladi:

$$\sum x = N + \sum F_i = 0 \quad (2.18)$$

Teng qarshilik ko'rsatuvchi bruslarning ko'ndalang kesim yuzasi:

$$A_x = A_0 \ell^{[\sigma]^x} \quad (2.15)$$

formula bilan topilib, sterjenning uzunligi bo'ylab normal kuchlanishning tarqalish qonuniyatiga bog'liq bo'ladi.

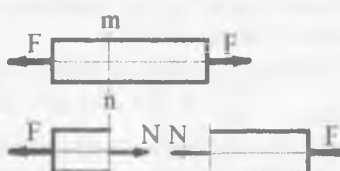
buerda, $\sum F$ - brusni olib qolingga qismidagi tashqi kuchlarni x o'qiga proektsiyalarining algebraik yig'indisini ifodalaydi.

Bo'ylama kuch ishorasining qoidasi. Ichki bo'ylama kuch ishorasini ushbu kuch bilan bog'liq bo'lgan deformatsiyaning xarakterini (ishorasi) aniqlash kerak. Bo'ylama kuch cho'zilish yoki sivilish deformatsiyasini keltirib chiqaradi.

Cho'zilish deformatsiyasini musbat, sivilish deformatsiyasini manfiy ishorali qabul qilingan. Shuning uchun cho'zuvchi bo'ylama kuchni (kesimdan brusni tashlab yuborilgan tomoni yo'nalgan) musbat, siquvchi kuchni (kesimga yo'nalgan) manfiy ishorali deb qabul qilamiz.

Shunday qilib, ichki kuch faktorining ishorasini uning yo'nalishini o'q yo'nalishiga mosligi yoki teskari yo'nalishi bilan emas, balki u hosil qiladigan deformatsiyaning ishorasi bilan belgilanadi.

Masalan, F kuch bilan yuklangan brusni m-n tekislik kesib ikkita bo'lakga ajratamiz o'ng tomondagisini tashlab yuboramiz va chap bo'lagining muvozanatini ta'minlash uchun kesimdan o'ng tomonga yo'nalgan N kuchni hosil qilamiz.



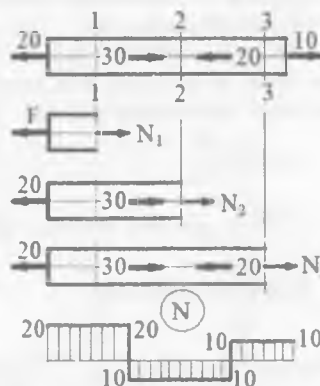
N kuch cho'zuvchi bo'lganligi uchun musbat ishorali.

Keltirilgan misol shuni ko'rsatadiku, ichki kuch faktorining ishorasi geometrik proektsion qoidaga emas, balki fizik ma'noga cga.

misol. Brus uchun N kuch epyurasi qurilsin.

Yechish. Qandaydir funktsyaning grafigini qurish uchun, bu funktsyaning tenglamasini tuzish kerak. Misolda tekshiriladigan kesimning o'mi, ya'ni uning koordinatasasi x (x o'qi - brusning o'qi) o'zgaruvchan hisoblanadi.

Demak, $N = f(x)$ tenglama tuzilishi kerak. Lekin, bitta N tenglamasi bilan brusni to'liq qamrab olish mumkinmi? .18) tenglamaga asosan, brusning uzunligi bo'ylab, ayrim kesimlarida bo'ylama kuch tashqi kuchlarga bog'liq holda o'zgaruvchan bo'ladi, ya'ni



(2 brusning uzunligi bo'ylab bir nechta tashqi kuchlar qo'yilgan bo'lishi mumkin. Bunda har ikkita tashqi kuch orasidagi kesimlarda ichki bo'ylama kuchlar ham har xil bo'ladi. Demak, brusning har bir kuch uchastkalari uchun alohida - alohida N tenglamalari tuzilishi lozim.

Birinchi uchastka (1-1 qirqim). Brusni 1-1 kesim bilan kesamiz va ikkita bo'lakga ajratamiz; o'ng tomonini tashlab yuboramiz va chap qismining muvozanatini ta'minlash uchun uning kesilgan yuzasiga tashlab yuborilgan qismining ta'sirini almashtiruvchi N kuchni keltirib qo'yamiz. N kuch brusni tashlab yuborilgan tomoniga yo'naltiriladi, demak, u cho'zvuchi. Brusning olib qolningan qismi uchun muvozanat tenglamasini tuzamiz:

$$\sum x = N - 20 = 0 \text{ va } N = 20kN$$

Muvozanat tenglamani tuzishda x o'zgaruvchan qatnashmadi, demak N kuch bu oraliqdida o'zgarmas. Shuning uchun N kuch epyurasi to'g'ri burchak shaklida.

2-2 qirqim. N kuchni aniqlash uchun oldindi qirqimdagini usuldan foydalanamiz: $\sum x = N - 20 + 30 = 0 \text{ va } N = -10kN$

N kuch epyurasi to'g'ri burchak shaklida. N kuch kesimiga yo'nalgan, shuning uchun N kuch manfiy.

3-3 qirqim. N kuchni aniqlash uchun oldindi qirqimlardagi usuldan foydalanamiz: $\sum x = N - 20 + 30 - 20 = 0 \text{ va } N = 10kN$

N kuch epyurasi to'g'ri burchak shaklida. N kuch brusni tashlab yuborilgan tomoniga yo'nalgan, shuning uchun N kuch musbat.

Deformatsiya. Materiallar qarshiligi fanida tashqi kuchlar jismning materiali absolyut elastiklik chegarasida ta'sir qiladi deb qabul qilinadi.

Absolyut elastik jismda tashqi kuch bilan deformatsiya orasidagi bog'lanish Guk qonuni bilan aniqlanadi. Bu qonun materiallar qarshiligidagi ko'plab qoida va formulalarini keltirib chiqarishda tadbiq etilgan. Bu bog'lanish chiziqli xarakterga ega.

Bo'ylama deformatsiya. Bo'ylama deformatsiya deb, tashqi kuch ta'sirida ushbu kuch yo'nalishida brus chiziqli o'lchamlarini o'zgarishi tushuniladi. dx uzunlikdagi elementning uzayishi Guk qonuniga asosan quyidagicha yoziladi:

$$\Delta(dx) = \frac{N \cdot dx}{EA}$$

$\Delta(dx)$ - absolyut uzayish;

$$\text{nisbiy uzayish uchun } \frac{\Delta(dx)}{dx} = \frac{N}{Ea} = \varepsilon$$

hosil qilamiz. Buerda $\frac{N}{A} = \sigma$, shuning uchun $\varepsilon = \frac{\sigma}{E}$

ε - normal kuchlanish σ yo'nalishidagi nisbiy uzayish.

Ko'ndalang deformatsiya. Ko'ndalang deformatsiya deb, tashqi kuch ta'siri yo'nalishiga perpendikulyar tekislikda brus chiziqli o'lchamlarini o'zgarishi tushuniladi.

Elastik deformatsiya chegarasida:

O'zgaruvchan kesimlarda kuchlanish va deformatsiya.

$$\varepsilon^1 = -\mu \cdot \varepsilon = -\mu \cdot \frac{\sigma}{E}$$

σ -normal kuchlanish o'zgaruvchan kesimli brusning uzunligi bo'ylab o'zgaradi.

Brusning x uzunlikdagi kesimining balandligi:

$$h_x = h_1 + \frac{h_2 - h_1}{l} x$$

Normal kuchlanish

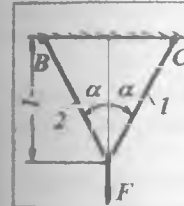
$$\sigma = \frac{N}{A} = \frac{N}{b \cdot h_x} = \frac{N}{b(h_1 + \frac{h_2 - h_1}{l} \cdot x)}$$

Kesimni o'zgaruvchan bo'lganligi uchun uzayishni aniqlashda integral ko'rinishida yozamiz:

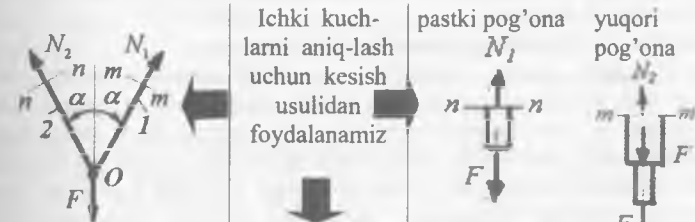
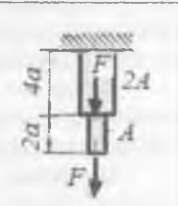
$$\Delta l = \int \frac{N \cdot dx}{EA} = \frac{N}{Eb} \int \frac{dx}{h_1 + \frac{h_2 - h_1}{l} \cdot x}$$

$$\text{yoki } \Delta l = \frac{Nl}{Eb(h_2 - h_1)} \cdot \ln \frac{h_1}{h_1 + \frac{h_2 - h_1}{l} \cdot x}$$

Statik aniq masalalar



Tarkibidagi noma'lum reaksiya va ichki kuchlarining soni statikaning muvozanat tenglamalari soniga teng yoki undan kam bo'lgan sistemalar statik aniq sistemalar deyiladi.



Ichki kuchlarni aniqlash uchun olib qolningan sistemaning yuklanish sxemasiga asosan statikani muvozanat tenglamalari tuzamiz.

$$\sum x = N_1 \sin \alpha - N_2 \sin \alpha = 0$$

$$\sum y = N_1 \cos \alpha + N_2 \cos \alpha - F = 0$$

Noma'lum kuchlar soni muvozanat tenglamalari soniga teng.

$$\sum x = N - F = 0$$

$$\sum x = N_1 - F - F = 0$$

Birinchi tenglamadan $N_1 = N_2$
e'tiborga olsak,

$$N_1 = N_2 = \frac{F}{2 \cos \alpha}$$

$$\downarrow \\ N_1 = F$$

$$\downarrow \\ N_2 = 2F$$

Ichki kuchlarni har bir qiymati uchun normal kuchlanish va absolyut uzayishni aniqlaymiz:

$$\sigma^1 = \frac{N_1}{A_1}, \Delta\ell_1 = \frac{N_1 \cdot \ell_1}{E \cdot A_1} \quad \text{va} \quad \sigma^{11} = \frac{N_2}{A_2}, \Delta\ell_2 = \frac{N_2 \cdot \ell_2}{E \cdot A_2}$$

2.4. Cho'zilish va siqilishda statik noaniq sistemalar.

Amaliyotda uchraydigan konstruktsiya qismlarining ko'pchiligi ko'ndalang kesimda hosil bo'ladi. Ichki cho'zuvchi yoki siquvchi bo'ylama kuchlari va kuchlanishlarini kesish usulidan foydalanib, sistemaning ajratilgan bo'lagini muvozanat shartini tuzish bilan topish mumkin.

Statik noaniq sistemalar deb, noma'lum kuchlarni (reaktsiya kuchlari, ichki kuchlar) aniqlash uchun kesish usuli yoki statika tenglamalari etarli bo'lмаган sistemalarga aytildi.

Tarkibidagi noma'lum reaksiya va ichki kuchlarining soni statikaning muvozanat tenglamalari sonidan ko'p bo'lган sistemalar statik noaniq sistemalar deyiladi.

Tashqi va ichki statik noaniq sistemalar mavjud. Masalan, sterjenlar sistemasida ichki bo'ylama kuchlarni aniqlash ichki statik noaniq; ikki tomoni bikr mahkamlangan brus tashqi statik noaniq sistema.

Har ikkala statik noaniq sistemalarda ham *noma'lum kuch-larni aniqlash masalasi – statik noaniq masala deyiladi*. Statik noaniq sistemalarni statik noaniqlik darajasi mavjud.

$$S = n - 3$$

Buerda n - sistemadagi noma'lum kuchlar soni.

Ichki statik noaniq sistemaning noaniqlik darajasi undagi ortiqcha noma'lum ichki kuchlarning soniga va tashqi statik noaniq sistemada noaniqlik daraja tayanch ta sirini almashtiruvchi noma'lum reaksiya kuchi soniga teng

Statik noaniq masalalarni Yechish metodikasi ikki xil variantda olib boriladi. Masalan, sterjenlar sistemasida noma'lum ichki bo'ylama kuchlarni aniqlash uchun kesish usulidan foydalanib, sterjenlarni kesamiz. Sterjenlardagi ichki bo'ylama kuchlarni ko'rsatib, sistemani olib qolningan qismi uchun muvozanat tenglamalarini tuzamiz. Tuzilgan muvozanat tenglamalarida noma'lum ichki kuchlar bilan birga noma'lum reaksiya kuchlari qatnashadi. Reaksiya kuchlarini aniqlash yoki aniqlamaslik, masalani mohiyatini belgilamaydi. Shuning uchun reaksiya kuchlarini aniqlamaymiz va ular qatnashadigan muvozanat tenglamalarini e'tiborga olmasak ham bo'ladi. Unda uchta muvozanat tenglama-

sidan faqat bittasi qoladi va unda ikkita noma'lum ichki kuchlar va tashqi kuch qatnashadi.

Pog'onalni brus uchun bitta muvozanat tenglamasi tuziladi. Bu tenglamada ikkita noma'lum reaktsiya kuchlari qatnashadi.

Bo'ylama kuch kesish usuli orqali topiladi. N kuchi kesimdan yo'nalgan bo'lsa cho'zuvchi bo'ylama kuch deb qabul qilinadi va musbat ishorali bo'ladi. N kuchni topishda, uning yo'nalishi noma'lum bo'lsa, musbat ishorani olish maqsadga muvosiqdir. Sterjen uzunligi bo'ylab bir qancha tashqi kuchlar ta'sirida bo'lsa, uning uzunligi bo'ylab ichki kuchlarning o'zgarish grafigini chizish kerak.

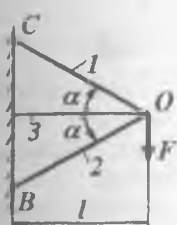
Sterjen o'qi bo'ylab N kuchining o'zgarish grafigiga bo'ylama kuch epyurasi deyiladi. N kuchni topish uchun muvozanat tenglamalaridan foydalananamiz.

Cho'zilishda bo'ylama kuch kesilgan ko'ndalang kesimdan brusni tashlab yuborilgan tomoniga yo'naladi, siqilishida esa kesilgan ko'ndalang kesim tomon yo'naladi. Cho'zilishda bo'ylama kuch musbat ishorali va siqilishda manfiy ishorali. Agar brus uzunligi bo'ylab bir nechta tashqi kuchlar bilan yuklangan bo'lsa, brus uchastkalardan tashkil topgan deb qabul qilinadi.

2.7 - rasmdagi sistemada uchta sterjen joylashtirilgan, undagi ichki kuchlarni muvozanat shartlardan foydalananib topib bo'lmaydi, chunki ajratilgan qismdagi ichki kuchlarning soni shu qismning muvozanat holatini ta'minlovchi tenglamalar sonidan ko'p bo'ladi (2.7 - rasm).

$$\sum x = -N_1 \cos \alpha - N_3 - N_2 \cos \alpha = 0 \quad (2.19)$$

$$\sum y = N_1 \sin \alpha - N_2 \sin \alpha - F = 0 \quad (2.20)$$



2.7 – rasm. Statik noaniq sterjenlar sistemasi

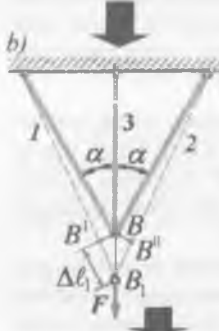
(2.19) va (2.20) tenglamalarda uchta N_1 , N_2 va N_3 noma'lum kuchlar bo'lib, bu kuchlarni yuqorida tuzilgan shartlar yordamida topib bo'lmaydi. N_1 , N_2 va N_3 -larni topish noaniqlikka kelib qoladi. Bunday sistemalar statik noaniq. N_1 , N_2 va N_3 -larni topish noaniqlikka kelib qoladi. Bu tenglamalardan noma'lum N ichki

kuchlarni topish uchun qo'shimcha tenglamalar tuzilishi kerak. Qo'shimcha tenglamalar soni sistemaning noaniqlik darajasiga teng bo'ladi. Qo'shimcha tenglamalar – sistemaning deformatsiyasini ifodalaydigan geometrik bog'lanishlar – deformatsiya tenglamalari muvozanat tenglamalari bilan birlgilikda echiladi va noma'lum ichki kuchlar topiladi.

2.7 – rasmda berilgan misolni Yechish metodikasi ushbu mavzu bo'yicha ishlangan misollilar tarkibida mavjud.

misolni geometrik tomoni

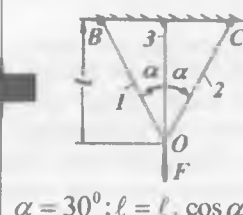
Sterjenlar uzayishlarining geometrik bog'lanishini ko'rsatamiz va qo'shimcha deformatsiya tenglamalarini tuzamiz.



STATIK NOANIQ MASALA

.Materiali va ko'ndalang kesim yuzasi bir xil uchta sterjen O nuqtada tutashga va F kuch bilan yuklangan. Sterjenlardagi ichki kuchlar topilsin.

a)



$$\alpha = 30^\circ; \ell = \ell_1 \cos \alpha$$

misolni mexanik
tomoni. Kesish usulidan foydalanib, har bir sterjendagi ichki bo'ylama kuchlами ko'rsatamiz va muvozanat tenglamalarini tuzamiz.



Qo'shimcha tenglamalar - F kuch ta'siridan sterjenlar deformatsiyalarining geometrik bog'lanishlari asosida hosil bo'ladigan matematik ifoda.

oldintgi misoldan farqli BB_1 - masofa 3ta sterjen uzayishini belgilaydi.

Unda $BB_1 = \Delta l_3 = \frac{N_3 \cdot \ell}{EA}$ va 1 - sterjenning uzayishi

$B_1 B^1 = \Delta l_1 = \frac{N_1 \cdot \ell_1}{EA}$ ni sterjenlar uzayishining geometrik bog'lanishi

$BB_1 = \frac{B_1 B^1}{\cos \alpha}$ tenglikka keltirib qo'yamiz va hosil bo'lgan ifodadan

N_3 kuchni topamiz: $N_3 = \frac{N_1}{\cos \alpha}$

(b)

(b) tenglama qo'shimcha tenglama.

Sterjenlar sistemasi olib qolilingan qismining yuklanish sxemasiga asosan, ta'sir chiziqlari bir nuqtada kesishuvchi kuchlar sistemasi hosil bo'ladi.

Ushbu kuchlar sistemasi uchun muvozanat tenglamalarini tuzamiz:

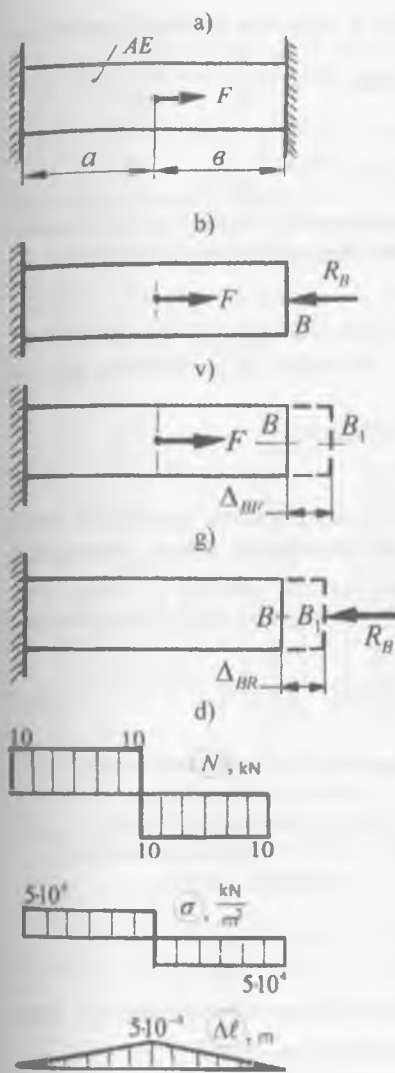
$$\sum x = N_1 \sin \alpha - N_2 \sin \alpha = 0 \quad (a)$$

$$\sum y = N_1 \cos \alpha + N_2 \cos \alpha + N_3 - F = 0$$

Tenglamalarda uchta N_1, N_2 va N_3 noma'lum kuchlar bo'lib, bu kuchlarni muvozanat shartlar yordamida topib bo'lmaydi, chunki noma'lumlar soni muvozanat tenglamalari sonidan ko'p. Masala statik noaniqlikka kelib qoladi.

Qo'shimcha - deformatsiya tenglamasi va muvozanat tenglamalari birgalikda echiladi va noma'lum ichki kuchlar topiladi.

$$N_1 = \frac{F \cdot \cos^2 \alpha}{1 + 2 \cos^2 \alpha} \quad \text{va} \quad N_2 = \frac{F}{1 + 2 \cos^2 \alpha}$$



2.8 – rasm. Statik noaniqlikni ochio' tartibi va ichki kuch, normal kuchlanish va bo'ylama uzayish epyurlari

Ikki tomoni bikr mahkamlangan va F kuch bilan yuklangan brus ham statik aniqlasmasala, chunki R_A va R_B tayanch reaktsiyalari bitta muvozanat shartidan topilishi mumkin emas (2.8 – rasm, a):

$$\sum y = 0; \quad R_A + R_B = F$$

Sistemani Yechish uchun qo'shimcha deformatsiya tenglamarasidan foydalanish kerak. Buning uchun berilgan sxemaga ekvivalent bo'lgan asosiy sxemani (sistemanini) tanlaymiz (2.8 – rasm, b).

Asosiy sistema deb, tayanch ta'sirini undagi reaktsiya kuchi ta'siri bilan almashtirilgan sistemaga aytildi. Berilgan sistemada B tayanch nuqta absolyut qo'zg'almas, shuning uchun bu nuqtaning ko'chishi $\Delta\ell_B = 0$. Asosiy sistemada ham B nuqtaning qo'zg'almasligi ta'minlanlansa, ya'ni $\Delta\ell_B = \Delta\ell_{BF} + \Delta\ell_{BR} = 0$ shart bajarilsa, u berilgan sistemaga ekvivalent bo'ladi. Buerda $\Delta\ell_{BF}$

$\Delta\ell_{BR}$ – brus B nuqtasini tegishlichha, tashqi F va R_B reaktsiya kuchlari ta'siridan ko'chishi. Ularni quyidagicha aniqlaymiz:

Birinchi faraz, B tayanch bo'lmaniganida brusni bu nuqtasi F kuch ta'siridan B_1 vaziyatga, ya'ni $\Delta\ell_{BF}$ miqdorga ko'chadi. $\Delta\ell_{BF}$ ko'chish brus a – uzunlikdagи qismining F kuch ta'siridan absolyut uzayishiga teng bo'ladi, ya'ni $\Delta\ell_{BF} = \frac{Fa}{EA}$.

Ikkinci faraz, deformatsiyalangan brusning B_1 nuqtasiga R_B noma'lum reaktsiya kuchi qo'yilgan.

R_B reaksiya kuchi ta'siridan B_1 nuqta B vaziyatga ko'chadi, undabrusni

$$\text{absolyut qisqarishi: } \Delta\ell_{BR} = R_s \frac{a+\epsilon}{EA} \text{ unda } \Delta\ell_B = \frac{F \cdot a}{EA} - \frac{R_B(a+\epsilon)}{EA} = 0$$

$$\text{hosil bo'ladi. Bu erdan } R_B = F \frac{a}{a+\epsilon} \text{ va } R_C = F \frac{\epsilon}{a+\epsilon}.$$

Reaksiya kuchlari hisoblangan brus uchun kesish usulidan foydalanib ichki bo'ylama kuch N , normal kuchlanish va absolyut uzayish epyurlari quriladi (2.8.-rasm).

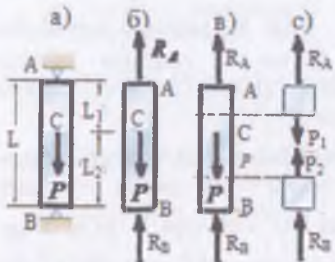
misol-1. [31] Uzunligi L bo'lgan brus A,B nuqtalarda tayanchlarga biriktirilgan va S nuqtada F kuch bilan yuklangan. BC Brusning AC va oraliqlaridagi kuchlanish topilsin?

Yechish. Brusning muvozanat shartini tuzamiz.

$$\sum y = 0 \text{ va } R_A + R_B - P = 0 \quad (1)$$

(1) tenglik ikkita noaniq R_A va R_B reaksiyalarini aniqlashda etarli emasligi uchun, bu masala statik noaniq deb hisoblanadi. Ammo, reaksiyalar geometrik jihatdan o'r ganilganda va brusning umumiy uzayishi δ nolga teng bo'lgan shartidan reaksiyalarni aniqlash mumkin. AC va BC qismalarininguzayishi mos ravishda δ_1 va δ_2 ga teng, shunday ekan:

$$\delta = \delta_1 + \delta_2 = 0 \quad (2)$$



2.9-rasm. a) berilgan statik noaniq
brus; b) asosiy sxema;
v) asosiy sxemani kesish usuli;
s) AC va BC oraliqlarning kesilgan
yuzasidagi kuchlar

(2) tenglamadan foydalangan holatda δ_1 va δ_2 uzayishlarni mos ravishda P_1 va P_2 ichki kuchlar asosida aniqlanishi mumkin:

$$\delta = \frac{P_1 l_1}{AE} + \frac{P_2 l_2}{AE} = 0 \quad (3)$$

Buerda $P_1 = R_A$ va $P_2 = -R_B$ ga teng bo'lsa

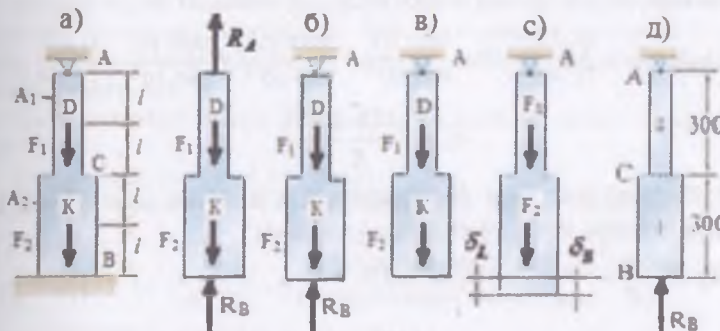
$$R_A l_1 - R_B l_2 = 0 \quad (4)$$

(1) va (4) tenglamalarni sistema qilib echsak

$$R_A = \frac{Pl_2}{l} \quad \text{va} \quad R_B = \frac{Pl_1}{l}$$

hosil bo'ladi. AC kesimdagи normal kuchlanish $\sigma_1 = \frac{R_A}{A} = \frac{Pl_2}{Al}$ va BC kesimdagи normal kuchlanish $\sigma_2 = \frac{R_B}{A} = \frac{Pl_1}{Al}$ hosil bo'ladi

misol-2 [31]. Kesimyuzasi $A_1 = 250 \cdot 10^{-6} m^2$, $A_2 = 400 \cdot 10^{-6} m^2$ bo'lgan pog'onali brus $F_1 = 300kN$ va $F_2 = 600kN$ kuchlar bilan yuklangan. Pog'onalarining uzunligi $l = 0,150m$ bo'lgan brusning tayanch nuqtalaridagi reaksiya kuchlari topilsin.



2.10-rasm. a) berilgan statik noaniq brus; б) asosiy sxema; в) ташqi kuchlar bilan yuklangan statik aniq brus; с) B nuqtani tashqi va reaksiya kuchlari ta'siridagi deformatsiyasi; д) R_B reaksiya kuchi bilan yuklangan statik aniq brus

Yechish. Tashqi kuchlar ta'siridan brusni A, B tayanch nuqtalarida reaksiya kuchlari hosil bo'ladi. Ushbu reaksiya kuchlarini aniqlash uchun $\sum F_y = 0$ muvozanat tenglamasidan foydalanamiz:

$$R_A - F_1 - F_2 + R_B = 0 \quad (5)$$

(5) tenlamada ikkita noma'lum reaksiya kuchlari qatnashib, ularning soni brusning muvozanat tenglamasi sonidan ko'p. Shuning uchun berilgan pog'onali brus statik noaniq.

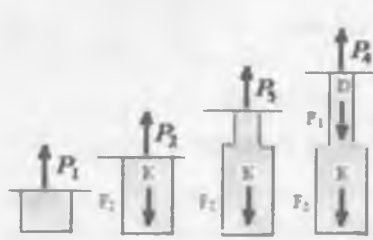
Pog'onali brusning statik noaniqligini ochish uchun uning berilgan sxemasiga ekvivalent bo'lgan asosiy sxemasini tanlaymiz. Asosiy sxema deb, berilgan pog'onali brusdagи bitta tayanch ta'sirini undagi noma'lum reaksiya kuchining ta'siri bilan almashtirilgan pog'onali brus sxemasiga aytildi.

Masalan B tayanch nuqtasi. Asosiy sxemada ham berilgan sxemadagi kabi

B nuqtaning ko'chishi nolga teng, ya'ni

$$\Delta_B = \delta = 0.$$

Masalani Yechish uchun ikkita farazdan foydalanamiz:



1. Pog'onali brus faqat F_1 va F_2 bilan yuklanadi. Bunda B nuqtaning tashqi kuchlar ta'siridan ushbu kuchlar yo'nalishidagi ko'chishi

$$\delta_L = \sum_{i=1}^4 \frac{P_i l_i}{A_i E} \quad \text{yoki}$$

$$\delta_L = \frac{P_1 L}{EA_2} + \frac{P_2 L}{EA_2} + \frac{P_3 L}{EA_1} + \frac{P_4 L}{EA_1}$$

$$\text{Bu erda, } P_1 = 0 \quad P_2 = P_3 = 600 \cdot 10^3 N \quad P_4 = 900 \cdot 10^3 N$$

$$\text{Unda, } \delta_L = \sum_{i=1}^4 \frac{P_i l_i}{A_i E} = (0 + \frac{600 \cdot 10^3}{400 \cdot 10^{-6}} + \frac{600 \cdot 10^3}{250 \cdot 10^{-6}} + \frac{900 \cdot 10^3}{250 \cdot 10^{-6}}) \frac{0,150}{E},$$

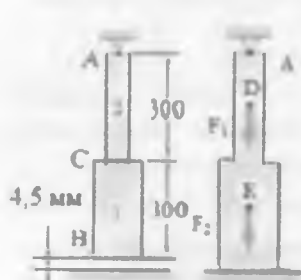
$$\delta_L = \frac{1,125 \cdot 10^9}{E} \quad (6)$$

2. Pog'onali brus faqat R_B reaksiya k ta'sirida deb qabul qilamiz. Unda B nuqtani reaksiya kuchi yo'nalishidagi ko'chishi

$$\delta_B = \frac{R_B l}{A_1 E} + \frac{R_B l}{A_2 E} = -\frac{(1,95 \cdot 10^3) R_B}{E} \quad (7)$$

$$\Delta_B = \delta = 0 \text{ shartiga asosan} \quad \delta = \frac{1,125 \cdot 10^9}{E} - \frac{(1,95 \cdot 10^3) R_B}{E} = 0 \quad (8)$$

Buerdan, $R_B = 1,73 kN$



Konstruktsiyani tayyorlashda brus pog'onalarining uzunligi kalta olinganligi uchun B nuqta tayanch nuqtasiga 4.5 mm etishmasdan qolgan (2.11-rasm). Bu holatda brusning umumiy deformatsiya tenglamasi quyidagicha yoziladi:

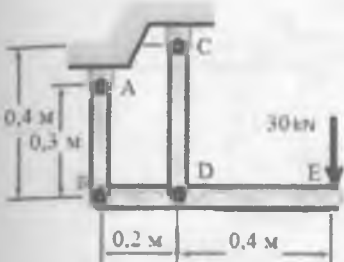
$$\delta = \delta_L + \delta_B = 4,5 \cdot 10^{-3} m \quad \text{yoki}$$

$$\delta = \frac{1125 \cdot 10^9}{200 \cdot 10^9} - \frac{(195 \cdot 10^3) R_B}{200 \cdot 10^9} = 4,5 \cdot 10^{-3} m$$

$$\text{Bu erda } E = 200 GPa = 200 \cdot 10^9 Pa$$

$$\text{Unda, } R_B = 115,4 \cdot 10^3 = 115,4 kN \text{ va}$$

$$\sum F_y = 0 \quad R_A - 300 - 600 + R_B = 0 \quad R_A = 900 - R_B = 900 - 115,4 = 785 kN$$



2.12-rasm. Shtangali statik noaniq misol

misol-3. [31] BDA qattiq sterjen ikkita AB va CD shtangalari bilan biriktirilgan. AB shtangasi alyuminiydan tashkil topib ($E=70$ GPa), 500mm^2 - ko'ndalang kesim yuzaga ega. CD shtangasi po'latdan tayyorlangan bo'lib ($E=200$ GPa), 600mm^2 - ko'ndalang kesim yuzaga ega. 30 kN kuch ta'sirida AB , CD shtangalarning deformatsiyasini aniqlang.

Yechish rejasi: har bitta shtanganing ichki kuchini aniqlash uchun qattiq sterjenniing muvozanat holatini, har bitta shtanganing xususiyatini o'rGANIB, ularning deformatsiyasini baholaymiz, oddiy geometriya yordamida E nuqtasining ko'chishini aniqlaymiz

Modellashtirish: qattiq shtangalarni yuklanish sxemasini chizing (2.13-rasm).

Tahlil: BDE Sterjen (2.13-rasm,a)

$$\begin{aligned}\sum M_B &= -30 \cdot 0,6 + F_{CD} \cdot 0,2 = 0, \\ \sum M_D &= -30 \cdot 0,4 - F_{AB} \cdot 0,2 = 0, \\ F_{CD} &= 90\text{kN} \text{ va } F_{AB} = -60\text{kN}\end{aligned}$$

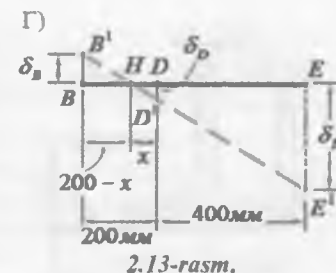
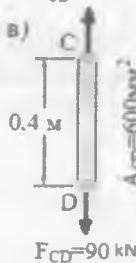
a -rasm.BDE qattiq sterjennining yuklanish sxemasi. AB shtanganing ichki kuchi siquvchi bo'lganligi sababli $P = -60\text{kN}$ ga teng va B nuqtaning ko'chishi.

$$\delta_B = \frac{Pl}{AE} = \frac{-60 \cdot 10^3 \cdot 0,3}{500 \cdot 10^{-6} \cdot 70 \cdot 10^9} = -514 \cdot 10^{-6} \text{m}$$

Minus belgi AB ning qisqarishini ko'rsatadi: shunday qilib B yuqoriga ko'tariladi.CD shtangalardagi ichki kuchlarni b - rasm. AB, b- rasmlardan aniqlanadi

E nuqtaning ko'chishi δ_E -ni aniqlash uchun B va D nuqtalarning ko'chishlaridan foydalanamiz.

$$D \text{ nuqtaningko'chishi } \delta_D = \frac{Pl}{AE} = \frac{90 \cdot 10^3 \cdot 0,4}{600 \cdot 10^{-6} \cdot 200 \cdot 10^9} = 300 \cdot 10^{-6} \text{m}$$



r -rasmga asoslanib, B va D nuqtalarining qo'zg'alish joyini B¹ va D¹ deb olamiz. BDE sterjeni qattiq bo'lganligi sababli B¹, D¹ va E¹ nuqtalari to'ri chiziqda yotadi.

$$\frac{BB^1}{DD^1} = \frac{BH}{HD} \quad \frac{0.514}{0.300} = \frac{200 - x}{x}$$

$$x = 73,7 \text{ mm}$$

Shunday qilib:

$$\frac{EE^1}{DD^1} = \frac{HE}{HD} \quad \frac{\delta_E}{0.300} = \frac{400 + 7.37}{7.37}$$

$$\text{va } \delta_E = 1.928 \text{ mm}$$

Konstruktsiya elementi har xil materiallardan tashkil topganda ham statik noaniq masala ko'rinishidagi sistema hosil bo'ladi. (2.14 - rasm). Bu sterjen statik aniqmas masala.

Sterjen ko'ndalang kesimining o'lchamlari topilsin ($A_p = 2 A_b$). Sterjenga qo'yilgan siquvchi F kuch po'lat va bronza sterjenlariga P detali orqali ta'sir qildi. F kuchning har qaysi sterjenga ta'sirini topish uchun bitta tenglama tuzish mumkin:

$$F_6 + F_n = F \quad (\text{a})$$

Bu tenglamada ikkita noma'lum kuch bor. F_6 va F_n kuchlarni topish uchun qo'shimcha deformatsiya tenglamasini tuzamiz. Tashqi siquvchi kuch ta'sirida har ikkala sterjen ham bir xil masofaga siqildi.



2.14 - rasm. Har xil materialdan tashkil topgan statik noaniq masala

Unda $F_6 = \frac{F}{1 + \frac{E_n A_n}{E_6 A_6}}$ va $F_n = \frac{F}{1 + \frac{E_6 A_6}{E_n A_n}}$ kuchlar asosida har bir materialdagi kuchlanish topiladi:

$$\sigma_6 = \frac{F_6}{A_6} \quad \text{va} \quad \sigma_n = \frac{F_n}{A_n}$$

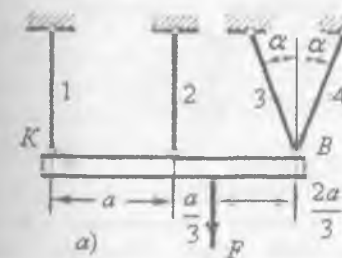
(b) tenglamadan: $\frac{\sigma_n}{\sigma_6} = \frac{E_n}{E_6}$, agar, $E_n = 2 \cdot 10^5 \text{ MPa}$ va $E_6 = 1 \cdot 10^5$ bo'lsa,

$\sigma_n = 2\sigma_6$ hosil bo'ladi, ya'ni po'lat materialidagi kuchlanish bronza materialidagi kuchlanishdan ikki barobar katta. Lekin, bronza uchun ruxsat etilgan kuchlanish, po'lat uchun ruxsat etilgan kuchlanishdan uch barobar kichik.

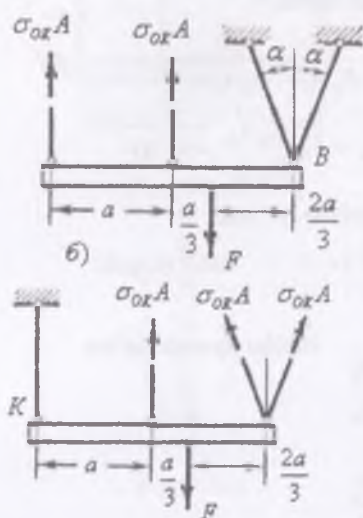
Shuning uchun, sterjenning o'lchamlari bronza uchun tanlanishi kerak:

$$\sigma_6 = \frac{F}{A_6(1 + \frac{E_n A_n}{E_6 A_6})} \leq [\sigma]_6.$$

$$\text{Bu erdan: } A_6 \geq \frac{5[\sigma]_6}{F}.$$



Chekli yuk bo'yicha hisoblash asoslari. Konstruksiyani mustahkamlikka chekli yuk bo'yicha hisoblash mumkin. Chekli yuk deb shunday yuk tushuniladiki, uni hosil bo'lishidan sistemanı yukanish qobiliyati yo'qoladi, ya'ni sistemada sezilarli geometrik o'lchamlarni o'zgarishi sodir bo'ladi.



Chekli yukni ishchi yukga nisbatli chekli yuk bo'yicha ehtiyyotlik koefitsienti deyiladi.

misol. Bir xil materialdan tayyorlangan, bir xil ko'ndalang kesimli sterjenlar absolyut qattiq balka vositasida bog'langan. Sistema uchun chekli yuk hisoblansin F kuchni o'sishi bilan sterjenlardagi ichki kuchlar ham ortadi. F kuchni keyingi ortishida 1 yoki 3 va 4 sterjenlarda kuchlanish oquvchanlik chegaradagi kuchlanishga tenglashadi. 2 sterjenda plastik deformatsiyani hosil bo'lischidagi kuch - chekli kuch bo'ladi. Unda sistema yoki K yoki B nuqta atrofida aylanadi.

Agar, 1 va 2 sterjenlarda oquvchanlik boshlansa, barcha kuchlardan B

nuqtaga nisbatan olingan momentdan chekli yuk topiladi :

$$\sigma_{OK} A \cdot 2a + \sigma_{OK} A \cdot a = F_{UEK} \frac{2a}{3} \quad \text{yoki} \quad F_{UEK} = \frac{9}{2} \sigma_{OK} A$$

Agar, 2,3 va 4 sterjenlarda oquvchanlik boshlansa, barcha kuchlardan K nuqtaga nisbatan olingan momentdan chekli yuk topiladi:

$$\sigma_{OK} A \cdot 4a \cdot \cos \alpha + \sigma_{OK} A \cdot a = F_{UEK} \frac{4a}{3} \quad \text{va} \quad F_{UEK} = \frac{3}{4} \sigma_{OK} A (1 + 4 \cdot \cos \alpha)$$

Ko'rilgan ikki variantdan ikkinchisida α burchakni har qanday qiymatida chekli yuk kichik qiymatga ega.

Materiallarning xossalariini tajribada o'rGANISH

Materiallarni sinashdan maqsad	nazariy bilimlar tajribada tekshiriladi materialning emirilish xarakteri o'rGANILADI mexanik va plastiklik xossalari o'rGANILADI qattiqlik aniqlanadi ruxsat etilgan kuchlanish tanlanadi
Sinash shart - sharoitlari	maxsus tajriba qurilmalari va mashinalari bilan jixozlangan xonalarda tajribani bajarishga ruxsatnomasi bo'lgan mutaxassis tomonidan sinov ishlari o'tkaziladi. Tajriba standart o'lcham va shaklga ega bo'lgan namunada bajariladi

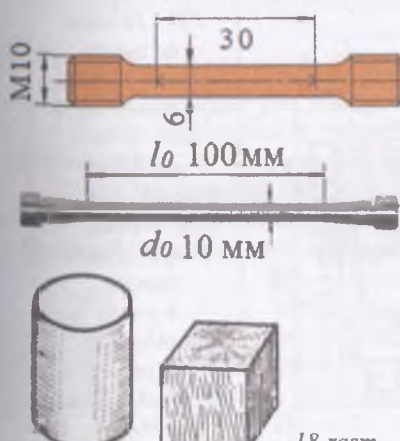
Materiallarni cho'zilish va siqilishga sinashdan maqsad.

Materiallar karshiliqi fanidan o'qiladigan mavzularni mustahkamlashda tajriba ishlari asosiy rol o'ynaydi. Chunki tajriba darslarida o'quvchilar materiallarni sinov davridagi holatlarini amaliy jihatdan kuzatib boradilar, sinash mashina va asboblarni ishlatalishi bilan tanishadilar.

Tajriba jarayonining oddiy sxemasini va uning baholanishini tushunish. Ushbu maqsadda bir necha turli xil namunalarda cho'zilish va siqilishga sinovlar o'tkaziladi. Mayjud namunalarga va ularning o'lchamlariga bog'liq holda tajribani katta yuklanishda va kichik yuklanishda ishlaydigan tajriba qurilmalarida o'tkazish mumkin. Masalan, namuna ishchi qismining uzunligi 100 mm va kesim yuzasining diametri 10 mm bo'lsa, bunday namunani cho'zilishga uchun RB-10 mashinasida sinash mumkin. Namuna ishchi qismining uzunligi 30 mm va kesim yuzasining diametri 6 mm bo'lsa, bunday namunani cho'zilishga WR 300 qurilmasida sinash mumkin.

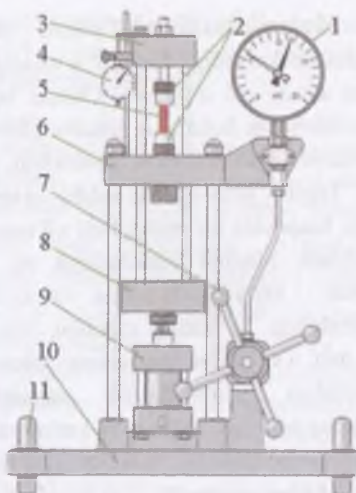
Ishning maqsadi: a) yumshok po'lotni mexanik va plastiklik xossalari aniqlash; b) cho'zilish diagrammasini qurish va Guk qonunini tekshirish.

Cho'zilish va siqilishga sinash uchun quvvati-50 tonnagacha bo'lgan mexanik yoki gidravlik ta'sir qiluvchi mashinalar tadbiq etiladi. Siqilish bilan bog'lik bo'lgan tajribalar quvvati 30...60 tonnadan 500 tonnagacha bo'lgan gidravlik presslarda bajariladi. Masalan: RV-10; RV- 20; RV - 50; APR - 50

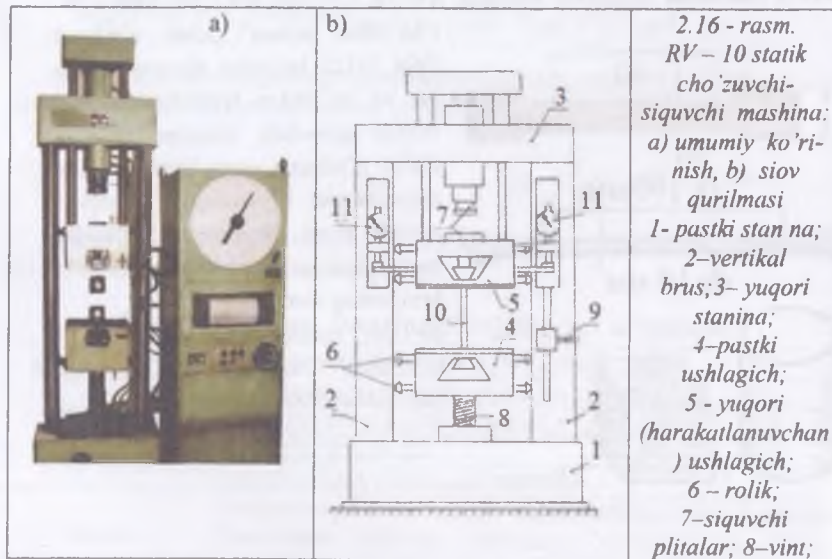


18-rasm.
Namunalar

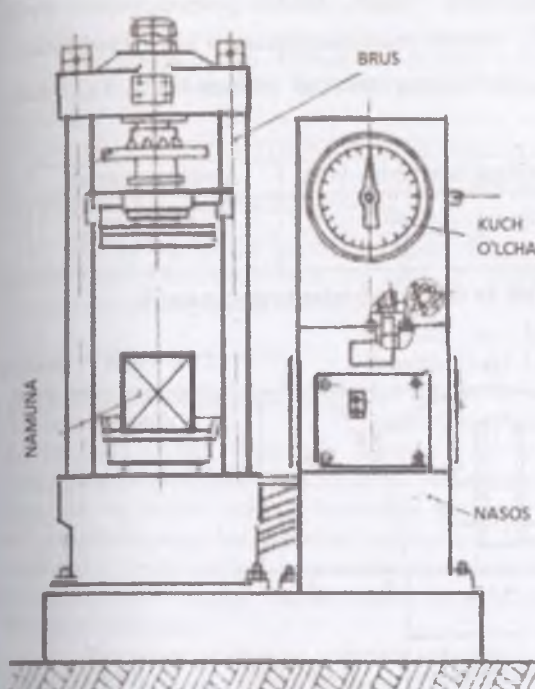
Cho'zilish uchun kichik o'lchamli DIN 50125 bo'yicha alyuminiy, mis, jez va po'lotdan tayyorlangan M10 rezbali golovkali dumaloq namuna. Katta o'lchamli yumshoq po'lotdan tayyorlangan namuna, golovkasi rezbali emas Siqilishga sinaladigan metall namuna balandligi $h=30\text{mm}$ va kesimining diametri $d = 20\text{ mm}$ bo'lgan tsilindr shaklida, yog'och tomonlari $35 \times 35 \times 35$ mm va beton namunalari $100 \times 100 \times 100$ mm.



2.15 -rasm [33]. 1-dinamometr; 2-qamrab ushlovchi; 3-yuqori plita; 4-doiraviy shkalalik o'lchov asbobi; 5-namuna (transportlovchi fiksator); 6-yo'naltiruvchi rama; 7-bosh tsilindr bilan maxovik; 8-pastki plita; 9- bosh tsilindr; 10-tayanch pyatasi; 11-transportlash rukoyatkasi



9- aylanuvchan sharmirlı sterjen; 10 – namuna; 11 – soat turidagi indikator



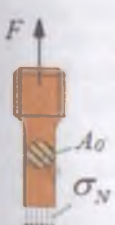
2.17-rasm. APR-50 press. Qurilish materiallarining mustahkamligini statik kuch ta'sirida 50 tonnagacha sinash uchun tadbiq etiladi.

Cho'zilishda mustahkamlik va deformatsiya [33]. Universal sinov qurilmasida materiallarni cho'zilishga sinash natijasida mustahkamlik chegarasi, elastik va plastik deformatsiya (uzayish, siqilish) emirilish, oquvchanlik, kuch va deformatsiya bog'lanishining grafiki, qattiqlik tushunchalari o'rganiladi.

Cho'zilish yuzasidan sinovda materiallarni sinovdan o'tkazishda eng yaxshi ma'lum bo'lgan ilmiy tajriba hisoblanadi. Undan cho'zilish yuzasidan mustahkamlikni aniqlash uchun foydalilanadi.

Mustahkamlik materialning eng muhim tavsiflaridan biri hisoblanadi. Qo'shimcha ravishda deformatsiya ham material mustahkamligining asosiy tavsiflaridan biri hisoblanadi. Cho'zilishga sinashda bir o'qli kuchlanishli holat standart namunasining materialida hosil qilinadi. Bunday holat cho'zuvchi kuch orqali bo'ylama yo'nalishda namunaga tashqi yuklama yordamida hosil qilinadi. So'ngra namunaning sinovdan o'tkazilayotgan kesimida

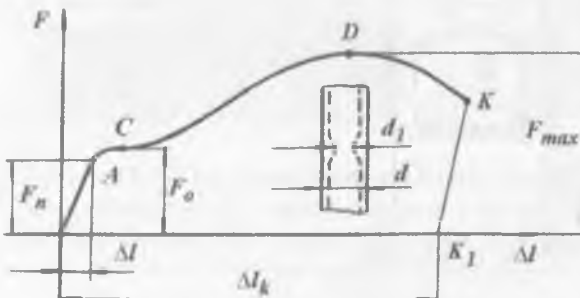
kuchlanishning bir xil me'yoriy taqsimlanishi ustunlik qiladi. Materialning mustahkamligini aniqlash uchun namunaga tashqi yuklama namuna uzilgunga



qadar asta-sekin va uzlusiz oshirib boriladi. Mazkur jarayon vaqtida hosil bo'ladigan maksimal kuch F_M material mustahkamligining o'lchovi hisoblanadi. Mustahkamlik chegarasi σ_M namunaning maksimal yuklama kuchi F_M va A_0 kesimdan hisoblab topiladi:

Kuchlanish	Boshlang'ich kesim yuza	Absolyut uzayish
$\sigma_M = \frac{F_M}{A_0}$	$A_0 = \frac{\pi \cdot d^2}{4}$	$\delta \frac{l_F - l_0}{l_0} \cdot 100\%$

l_0 va l_F - boshlang'ich va deformatsiyadan keyingi uzunlik



2.19-rasm. Yumshok po'lotni cho'zilish diagrammasi.

Cho'zilish diagrammasi [33]. Cho'zilish diagrammasi (deformatsiyaning kuchlanishga bog'liqlik diagrammasi) ayrim materiallar xususiyatlarining o'zgarishini ko'rsatadi. Har bir material o'ziga xos kuchlanish va deformatsiyalanishiga ega. Material to'g'risidagi muhim ma'lumotlar cho'zilish diagrammasidan hisoblab aniqlanishi mumkin. Yumshok po'lotni yuklanish ko'rsatkichlari sinov mashinasidan va mexanik xarakteristikalar chuzilish diagrammasidan (2.19-rasm) olinadi

Tajribani bajarish tartibi. Cho'zilishga sinaladigan namunani shakli standartlashtirilgan bo'lib, ishlovchi qismining uzunligi l_0 kesim diametri (d_0)dan 10 barobar katta bo'lishi kerak. Namunani sirti silliq qilib ishlangan va uzunligi bo'yicha diametri o'zgarmas bo'lishi kerak. Tajriba RB-10 markali mashinada olib boriladi. Sinash mashinasi maxsus namunani ushlagich, cho'zuvchi kuchni va cho'zilish diagrammasini chizadigan moslamalarga ega. RB-10 yordamida namunani 10; 50 va 100 kN-gacha cho'zish mumkin.

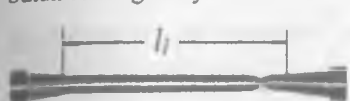
To'liq texnik qarovdan o'tgan mashinani ishlatish uchun ruxsatnomasi bo'lgan kishi tajribani o'tkazishi mumkin. Namuna mashinaning 4 va 5 ushlagich qismlariga suxariklar yordamida biriktiriladi. Cho'zilish diagrammasini chizadigan qog'oz va qalam o'rnatilgandan keyin, namuna sekin cho'zuvchi kuch bilan yuklanadi. Kuchning qiymati ortishi bilan qog'ozda abstissaga og'ishgan to'g'ri chiziq paydo bo'la boshlaydi. Bu holat ma lum muddat davom etadi va

kuchni keyingi ortishida ushbu chiziq abstsissaga taxminan parallel davom etadi.

Cho'zuvchi kuchni orttirsak namunaning yuzi xiralashdi va uning uzayishi uchun kuchning orttirilishi talab qilinmaydi. Material oqadi. O'zgarmas kuchda namuna deformatsiyasini o'sishi – materialning oquvchanlik chegarasi deyiladi. Bu holatda silliq qilib tayyorlangan namunaning sirtida sterjenning simmetriya

 o'qiga nisbatan 45^0 burchakda joy - lashgan chiziqlar hosil bo'ladi

Cho'zuvchi kuchni keyingi ortishida diagramma silliq egri chiziq bilan davom etadi. Cho'zuvchi kuch eng katta (F) qiymatiga erishganda namunaning butun uzunligi uzayishdan to'xtab



ma'lum bir bo'lagi uzayadi. Mahalliy uzayish hosil bo'ladi. Mahalliy uzayishda qatnashgan ko'ndalang kesimi – qisqaradi (diametr kichiklashadi), ingichka

bo'yin hosil bo'ladi. Qisqargan kesimni uzish uchun kam kuch sarf qilinadi, shuning uchun moslamani etaklovchi ko'rsatgichi orqaga keta boshlaydi, namuna ingichka bo'yindan uziladi. Namunada uzilish sodir bo'lishi bilan etaklovchi ko'rsatgichni orqaga harakat tezligi kattalashadi. Tajriba to'xtatiladi. Mashinani boshqarish moslamasidagi barabandan yumshoq pulotni cho'zilish diagrammasi chizilgan qog'oz olinadi. Tajriba natijalarini asosida materialni mexanik va plastiklik xossalari aniqlanadi.

Yumshoq po'lotning mexanik xossalari. *Mexanik xossalari namunani sinashda bir holatdan ikkinchi holatga o'tish chegaralaridagi kuchlanishlar bilan belgilanadi*

$$\text{Proportsionallik chegaradagi kuchlanish} \quad \sigma_n = \frac{F_n}{A_0}$$

Guk qonuniga bo'ysunadigan kuchlanish - materialni proportsionallik chegarasi deyiladi. Proportsionallik chegarada Guk $\Delta\ell = \frac{F\ell}{EA_0}$ konuni

ishlatiladi. Ushbu chegarada materialning elastiklik moduli E topiladi. Material Guk qonuniga amal qiladi: ϵ deformatsiya yuklamalarga proportsional bo'lib, Guk chizig'ini tashkil qiladi Ushbu chegarada E material elastiklik moduliga ega Guk qonuniga amal qiladi: ϵ deformatsiya yuklamalarga proportsional bo'lib, Guk chizig'ini tashkil qiladi.

$$\text{Elastiklik chegaradagi kuchlanish} \quad \sigma_3 = \frac{F_3}{A_0}$$

Nisbatan kamroq (0,001...0,003 %) goldiq deformatsiya hosil qiladigan kuchlanish elastiklik chegara deyiladi.

$$\text{Oquvchanlik chegarasidagi kuchlanish } \sigma_{OK} = \frac{F_a}{A_0}$$

O'zgarmas kuchda namuna deformatsiyasini o'sishi materialning oquvchanlik chegarasi deyiladi.

Silliq qilib tayyorlangan namunaning yuzasida namunaning simmetriya o'qiga 45^0 burchakda joylashgan chiziqlar hosil bo'ladi. Namunaning yuzi xiralashdi. Oquvchanlik chegara materialni plastiklik xossasini bildiradi. Yuklama olib tashlanganda, muayyan deformatsiya saqlanib qoladi. Oquvchanlik chegaraga tegishli kuchlanishni shartli ravishda nisbiy uzayishi $0,2\%$ to'g'ri keluvchi kuchlanishga teng buladi.

$$\text{Mustahkamlik chegara} - \sigma_b = \frac{F_{max}}{A_0}. \text{ Eng katta kuch } F_{max} \text{ ta'sirida hosil bo'lgan kuchlanish. Materialni mustahkamlik chegarasi vaqinchalik qarshilik xam deyiladi. Mustahkamlik chegara namunaning mahalliy uzayishida hosil bo'ladi}$$

Plastiklik xossalari namunani sinashda bo'ylama va ko'ndalang o'lchamlarni o'zgarili bilan belgilanadi.

Nisbiy uzayish - $\delta = \frac{\ell_1 - \ell_0}{\ell_0} \cdot 100\% -$ namuna absolyut uzayishini boshlangich uzunligiga nisbati bilan topiladi va foizlarda o'lchanadi. Agar $\delta > 5\%$ -bo'lsa material plastik va $\delta < 5\%$ bo'lsa - mo'rt hisoblanadi

$$\text{Ko'ndalang kesimning nisbiy qisqarishi } \psi = \frac{A_0 - A_1}{A_0} \cdot 100\%$$

Namuna kesimining diametrini maxalliy uzayish evaziga tubdan qisqaradi. Natijada namunanig kesim yuzasi boshlang'ich holatiga nisbatan kichiklashadi.

$A_0 = \frac{\pi d^2}{4}$ va $A_1 = \frac{\pi \cdot d_1^2}{4}$ - namunani tegishlich, boshlangich va uzelish buynining ko'ndalang kesim yuzasi. Plastik materiallar uchun ψ katta bo'ladi. St.2 markali po'lat uchun $\psi = 55\ldots65\%$,

$\delta = 28\ldots33\%$. δ va ψ - namunani tajribagacha va tajribadan keyingi geometrik o'lchamlari yordamida topiladi.

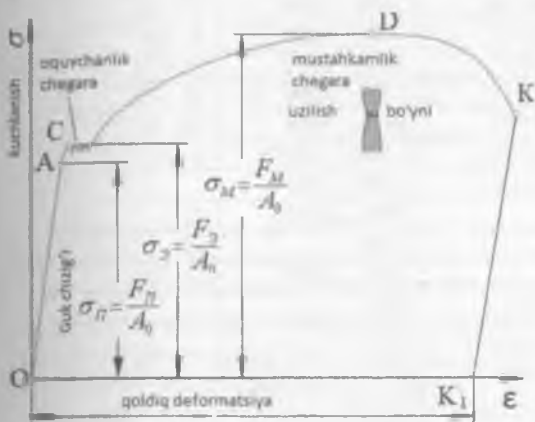
Materialning emirilmasdan katta deformatsiya hosil qila olish qobiliyati - plastiklik deyiladi. Plastiklikni o'lchovi - nisbiy uzayishdir. Mo'rtlik - materialning plastiklik xossasiga teskari.

Kuchlanish va nisbiy deformatsiya diagrammasi [33]

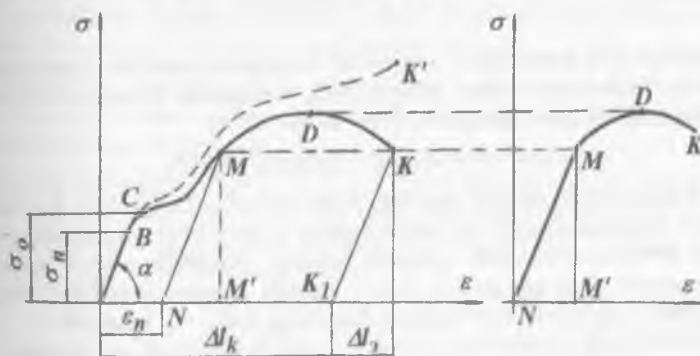
yuqorida hisoblangan kuchlanishlar va nisbiy uzayishlar asosida chiziladi.

$\sigma - \varepsilon$ koordinatasida cho'zilish diagrammasi. Buning uchun F kuchni A_0 ga va $\Delta\ell$ ni namuna uzunligiga bo'lamiz (2.20-rasm). $\sigma - \varepsilon$ koordinatadagi

cho'zilish diagrammasini shartli diagramma deb qabul qilsak ham bo'ladi. Chunki namunaning cho'zilishdagi turli holatiga to'g'ri keluvchi kuchlanishlarini ($\sigma, \sigma_o, \sigma_{max}$) topishda cho'zuvchi kuch F ni namunaning boshlang'ich kesim yuzasi A_0 -ga bo'ldik. Agar, namunaning uzayishida ko'ndalang o'lchamning qisqarishini hisobga olsak, (2.19) formula orqali topilgan kuchlanishlar haqiqiy kuchlanishlardan



2.20 – rasm [33].
Cho'zilish diagrammasi. Kuchlanish va nisbiy deformatsiya bog'lanishi.



2.21 – rasm. $\sigma - \varepsilon$ koordinatasida cho'zilish diagrammasi

farqli bo'lib chiqadi. Haqiqiy kuchlanishlar yordamida qurilgan cho'zilish diagrammasining ordinatasi $\sigma - \varepsilon$ koordinatasida $OACMDK$ chiziq bilan chegaralangan cho'zilish diagrammasining ordinatasidan balanddir (2.21-rasm, punktir chiziq) $\sigma - \varepsilon$ diagrammasidan $\operatorname{tg}\alpha = \frac{\sigma}{\varepsilon} = E$ hosil bo'ladi. Materialning

elastiklik moduli $-E$ diagramma to'g'ri chiziqli qismini abshtissaga nisbatan og'ishgan burchagini tangensiga teng.

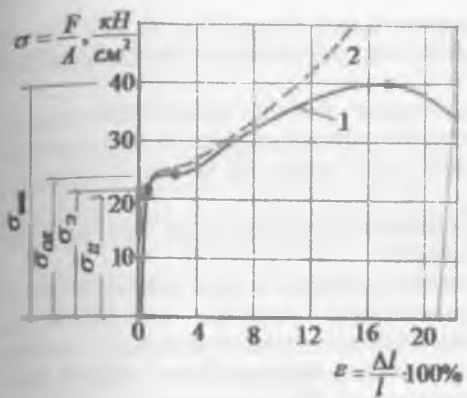
**Ayrim materiallarni cho'zilishda mustahkamlik chegarasi σ_B va
uzilishdagি uzayishi δ** 2.2 jadval

Material	$\sigma_B, \frac{kg}{sm^2}$	$\delta, \%$
Bolt va parchin uchun po'lat	3400...5500	22 - 25
Quyma temir (po'lat)	3000...4800	8 - 16
Prokat po'lat	3800...6200	18 - 22
Nikelli po'lat	5500...6500	22 - 27
Xromnikelli po'lat	6500...7000	16 - 18
Maxsus po'lat	11000...16000	8 - 10
Cho'yon	1200...2500	-
Qizil mis	2000...2300	38
Bronza	2500	15
Alyuminiy	1000...3500	10 - 20
Qarag'ay tolalari bo'ylab	800	
Granit	30	
Qum tosh	20	
G'isht	7...30	
Beton	2,5...17,5	

Kitobda fizik kattaliklarni xalqaro SI sistemasida keltirildi. Hisoblashlarda qulaylik bo'lishi uchun kuch kilonyutonda, kuchlanish kilonyuton bo'lingan kvadrat santimetrdan qabul qilingan: $1kN=100\text{ kG}=0,1\text{ t.}$;

$$1\text{ kN/sm}^2 = 100\text{ kG/sm}^2 = 1\text{kG/mm}^2 = 10\text{MPa}.$$

E-kuchlanish va uzayish orasidagi proporsionallik koeffitsienti. Kuchlanish va uzayish orasidagi chiziqli bog'lanish taxminan 20 kN/sm^2 kuchlanishga qadar saqlanadi va proporsionallik chegara deyiladi. Elastiklik moduli geometrik nuqtai nazardan diagram-maning to'g'ri chiziqli (propor-tsionallik chegara) qismini abstsissaga qiyalik burchagini tangensiga teng. Elastiklik chegaradan keyingi yuklanishda elastiklik moduli kamayadi va taxminan 24 kN/sm^2 kuchlanishga teng bo'ladi, diagrammaning gorizontal qismi boshlanadi [32].



Nisbiy uzayish 2,5% ga etganda oquvchanlik chegara tugaydi materialni yuk ko'tarish qobiliyati ortadi. Mahalliy uzayish boshlanadi. 20...28 % nisbiy uzayishda uzilish bo'ladi.

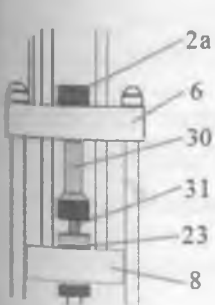
Puxtalanish:

Namunaning cho'zilishini M nuqtada to'xtatsak, diagramma OA chiziqqa parallel MN chiziq bilan orqaga qaytadi. Namunada ϵ_N qoldiq deformatsiya hosil bo'ladi.

Agar namunaga qayta F kuchni yuklasak cho'zilish diagrammasi, namunanining uzayishi, N nuqtadan boshlanadi va NM chiziq ustidan davom etadi. Diagrammaning qolgan qismi MDK chizig'i bilan ustma-ust tushadi. Demak, namuna qayta yuklanganda oldingi qoldiq deformatsiya ϵ_N hisobga olinmas ekan. Takroriy (qayta) yuklashda (cho'zishda) materialning qoldiq deformatsiyasiz katta kuchni qabul qilish qibiliyati yaxshilandi. Bu holat MN chiziqda yaqqol ko'rindi. MN chiziq takroriy yuklashdag'i proportionallik chegarasi bo'lib, materialni elastiklik xossasini aniqlaydi. *Plastik deformatsiya ta'sirida material elastiklik xossasining yaxshilanishi – puxtalanish deyiladi.*

Puxtalanish texnikada ko'p uchraydigan texnologik jarayon. Masalan: remen, zanjir, troslarni sovuq holatida boshlang'ich cho'zilishi, presslash, valiklarda prokatka qilish va h.k.

Plastik materiallar uchun $n = 1,2 \dots 1,8$; beton uchun $n = 3$, tosh uchun $n = 10$; cho'yan uchun $n = 2,5 \dots 3$ ga teng. Ehtiyyotlik koeffitsientini tanlashda mashinaning ahamiyati va ishlash muddatiga e'tibor beriladi. Masalan: qurilish sohasida $n = 2 \dots 5$ va aviatsiya texnikasida $n = 1,5 \dots 2$.



Agar, konstruktсия materialining xavfli nuqtasidagi eng katta kuchlanish, uning materiali uchun tanlangan ruxsat etilgan kuchlanishdan oshib ketmasa konstruktсиyaning mustahkamligi ta'minlanadi.

Materiallarni siqilishga sinash [33].

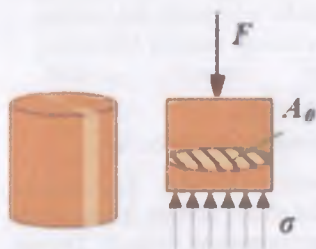
Ishning maqsadi: turli materiallarni siqilishga sinash, materiallarni mexanik va plastiklik xossalariни o'rganish va fizik kattaliklarni tekshirish.

Sinash namunasi. Kichik namunalar uchun siqilishga sinash mexanizmi asosiy blok qismi

hisoblanadi. Plastmassadan tayyorlangan 10 mm diametli va 10 mm dan 30 mm gacha uzunlikka ega tsilindrishimon materiallar namunalar sifatida ishlatalishi mumkin (31).

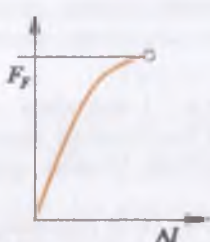
Siqilish mexanizmi. Sinash namunasi (30) uskunaning siqish sohasiga, yo'naltiruvchi rama (6) va pastki to'sin (8) o'rtasiga qo'yiladi. Sinash namunasi siqish uchun parcha orqali tutib turiladi (2a). Namuna (31) pastki to'sindagi (23) qisqich plastinaga joylashtiriladi.

Siqilishda mustahkamlik va emirilish. Siqilishga sinash faqat bir necha materiallar uchun ahamiyatli natijalar beradi.

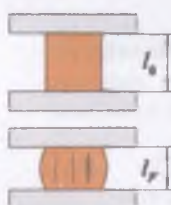


2.22-rasm. Kuchlanishlarni tarqalishi

Siqilishga sinashda bir o'qli kuchlanishi holat muayyan namunada geometrik tarzda hosil qilinadi. Bunday kuchlanish holati siquvchi kuch orqali bo'ylama yo'nalishda namunaga tashqi yuklama yordamida hosil qilinadi.



2.23-rasm. Siqilish diagrammasi



hisoblanadi. O'ziga xos siqilish yuzasidan mustahkamlik σ_F namunaning maksimal sinov yuklamasi F_F va A_0 kesimdan hisoblab chiqiladi.

$$A_0 = \frac{\pi \cdot d^2}{4} \quad \text{va} \quad \sigma_F = \frac{F}{A_0}$$

$$\text{Namunaning nisbiy deformatsiyasi. } \varepsilon_F = \frac{l_F - l_0}{l_0} \cdot 100\%$$

l_0 dastlabki uzunligi; l_F namunaning deformatsiyasidan keyingi uzunligi

Siqilish diagrammasi [33]. Siqilish diagrammasi ayrim materiallar xossalaringin ayniqsa ko'rgazmali tarzda o'zgarishga moyilligini ko'rsatadi. Har bir material o'ziga xos siqilish va deformatsiyalanish xususiyatiga ega.

Material to'g'risidagi asosiy ma'lumotlar siqilish diagrammasidan olinishi mumkin. Siqilishda σ_F mustahkamlikdan tashqari 0,2% oquvchanlik chegara $\sigma_{0,02}$ alohida qiziqish uyg'otadi. Ushbu nuqtadan pastda 0,2% ga plastik deformatsiyalanishi ε kuchlanish σ ga proprotsional bo'ladi. Mazkur holatda yuklama olib tashlangandan so'ng material 0,2% siqilishga ega bo'ladi.

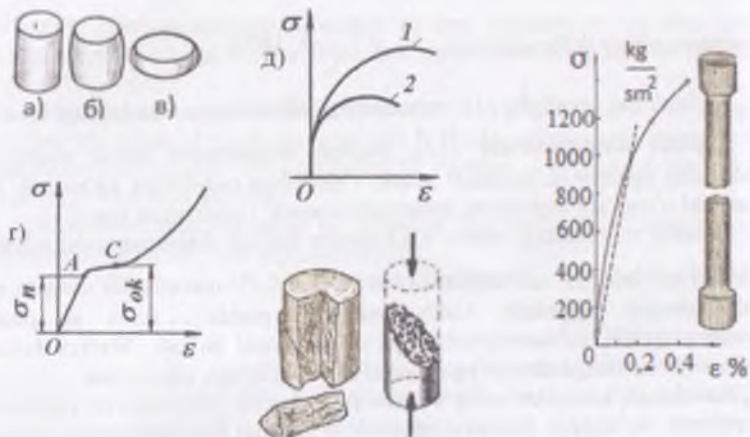
Kuchlanish keragidan ortiq oshirib yuborilganda deformatsiya yuklamaga proprotsional bo'lmaydi. Shu paytdan boshlab material batamom plastik jihatdan shaklini o'zgartiradi. Yuklama olib tashlanganda, muayyan deformatsiya saqlanib qoladi. Agar shakl o'zgarishi yoki yoriqlar yuz bermasa, siqilish sinovi namuna to'liq siqilgungacha o'tkaziladi: $\varepsilon_{jam} = 50\%$. Agar siqilish yuzasidan mustahkamlik σ_{50} ni tashkil qilsa, bu ushbu siqilishda kuchlanish mavjud ekanligini anglatadi.

Siqilish diagrammasi siqilish sinovini o'tkazish vaqtida qayd etilgan kuchlanish va cho'zilish qiymatlaridan quriladi

Plastik va mo'rt metall materialarni siqilishga sinash. Statik kuch ta'sirada katta koldik deformatsiyasi hosil kiladigan materiallar plastik materiallar deyiladi. (mis, pulat, alyuminiy va x.k.). Mo'rt materiallar (beton, chuyan, instrumental va x.k) kichik qoldiq deformatsiya hosil qilib emiriladi. Materialarni plastik va mo'rt holatlariiga bo'linishi shartlidir, chunki materialarni karakteristikalarini temperaturaga, deformatsiya tezligi va kuchlanganlik holatiga bog'lik. Bir sharoitida plastik bo'lgan material, ikkinchi sharoitda mo'rt bo'lishi mumkin

Tajribani bajarish tartibi. Balandligi (h) diametridan (d) 1,5 barobar katta bo'lgan namuna *RV-10* mashinasini o'rta etaklovchi va qo'zg'almas supachalari o'tasiga joylashtiriladi va sekin-asta siquvchi kuch bilan yuklanadi. Tajribada materialarni siqilishdagagi diagrammasi chizib olinsa plastik va mo'rt materialarni karakteristikalarini taqqoslash osonlashadi.

Plastik materialarni siqilishda mashinani ko'rsatgichini harakat tezligiga qarab materialarni oquvchanlik chegarasiga tegishli siquvchi kuchni aniqlashimiz mumkin. Plastik materialidan tayyorlangan namuna siqilishda emi-rilmaydi. Shuning uchun siqilish diagrammasida uzilish nuqtasi bo'lmaydi. Mo'rt materialdan (cho'yon) tayyorlangan namuna siqilganda oquvchanlik chegarasi kuzatilmaydi. Materialni mustahkamlik chegarasidan keyin mashinani etaklovchi ko'rsatgichi orqaga harakatlanadi. Namunada emirilish boshlanadi.

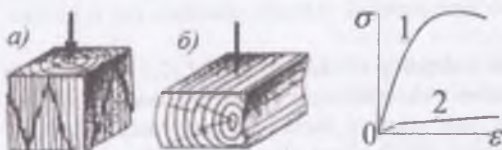


2.24 – rasm. Yumshoq po'lotni siqilishi (a, b, v) va diagrammasi (g) va cho'yon (d) materialini siqilish (rasm d, l) va cho'zilish (rasm d, 2) diagrammasi

Yog'och materialini siqilishga sinash. Yog'och materialni tolalari bo'ylab va ko'ndalang mustahkamlik chegarasini aniqlash. Qurilish materiallarni siqilishga sinashda RV-10 mashinasi yoki P-50 gidravlik presidan (2.25-rasm) foydalanish mumkin.

Yogoch – anizotrop material. Yogochni bo'ylama va ko'ndalang o'qlarida xossalari bir xil emas. Yog'ochdan tayyorlangan namunani bo'ylama siqilishda mustahkamlik chegarasi

$$\tau = \frac{F_b}{A_0}$$



2.25- rasm.
a) yog'ochni tolasi bo'ylab va b) tolasiga tik siqilishi. 1. bo'ylama siqilish va 2. tolag'a tik siqilishdiagrammasi

$A_0 = a \cdot b$ namuna asosining ko'ndalang kesim yuzasi.

Yog'ochni tolasi bo'ylab siqilishga sinaganda, uning mustahkamlik chegarasi tolalariga perpendikulyar tekislikda siqilishga sinagandagi mustahkamlik chegarasidan ancha katta bo'ladi

Yog'ochni ko'ndalang siqilishda mustahkamlik chegarasi shartli ravishda topilishi mumkin.

$$\tau = \frac{F}{A_0} = \frac{F_{\max}}{C \cdot a} \quad (37)$$

Mustahkamlikka ehtiyotlik koeffitsienti. Konstruktsion materiallarni uchta asosiy turga ajratish mumkin: plastik, mo'rtplastik va mo'rt. Bu klassifikatsiya materiallarni normal sharoitda (yuklanishni kichik tezligi, xona temperaturasi va h.k) bir oqli cho'zilish (siqilish)dag'i xossasida o'rini. Yuklanish xarakteri va ishlash sharoiti material xossasiga ta'sir qiladi: normal temperaturada plastik bo'lgan material past temperaturada mo'rt holatga o'tadi. Shuning uchun plastik va mo'rt material to'g'risida emas, balki materialni plastik va mo'rt holatlari to'g'risida gapirish lozim.

Materiallarni mexanik sinash shunday kuchlanishlarni aniqlashga imkon beradiki, bunday kuchlanishlarda ushbu materialdan tayyorlangan namuna yoki emiriladi, yoki unda sezilarli plastik deformatsiya hosil bo'ladi. Bu kuchlanishlar chegaraviy deyiladi.

Yuqorida keltirilganuch guruhdagi materiallarni statik yuklanishdagi chegaraviy kuchlanishlar bo'yicha quyidagi mexanik xarakteristikalarini qabul qilamiz:

plastik materiallar uchun (katta qoldiq deformatsiya hosil qilib yemiriladi)

- oquvchanlik chegara (σ_{OK} va $\sigma_{O.2}$) cho'zilish va siqilishda bir xil;

mo'rtplastik materiallar uchun (uncha katta bo'limgan qoldiq deformatsiya hosil qilib emiriladi) – shartli oquvchanlik chegara cho'zilish va siqilishda har xil;

mo'rt materiallar uchun (uncha kichik qoldiq deformatsiya hosil qilib emiriladi) – mustahkamlik chegara cho'zilish va siqilishda har xil.

Puxtalanish po'lat materialining mexanik xorssasini o'zgartiradi, amalda mustahkamlik chegarasi o'zgarmagan holda qachon uning mustahkamligini oshiradi. Puxtalanishgacha oquvchanlik chegarasi bo'lgan po'latning cho'zilish diagrammasida puxtalanishdan keyingi cho'zilish diarammasida oquvchanlik chegara bo'lmaydi. Demak, puxtalanishgacha chegaraviy kuchlanish rolini oquvchanlik chegara σ_{OK} o'ynaydi, puxtalanishdan keyin esa shartli oquvchanlik chegara $\sigma_{O.2}$, bunda $\sigma_{O.2} > \sigma_{OK}$, ya'ni puxtalanish chegaraviy kuchlanishni ortishiga olib keladi – mustahkamlanishga olib keladi. Agar, diagrammada oquvchanlik chegara ko'rinsama, puxtalanish shartli oquvchanlikni ortishini bildiradi. Yuqori temperatura sharoitida statik yuklanishda ishlaydigan materillarda chegaraviy kuchlanish sifatida yoyiluvchanlik chegarasi σ_T yoki uzoq muddatli mustahkamlik chegarsi σ_B qabul qilinadi.

Konstruktsiya elemenetlarining mustahkamligini ta'minlash uchun, ularning materiali va o'lchamlarini shunday tanlash lozimki, ekspluatatsion yuklanishdagi kuchlanishlar chegaraviy kuchlanishlardan kichik bo'lsin. Albatta, bunda ishchi kuchlanishlar chegaraviy kuchlanishlarga yaqin bo'imasligi lozim, aks holda detalning mustahkamligini kafolatlab bo'lmaydi, chunki ta'sir qiluvchi kuchlarni, demak kuchlanishlarni amalda aniqlik bilan hisoblab bo'lmaydi yoki materialning mexanik xossalarda farq bo'lishi mumkin.

Chegaraviy kuchlanishni ekspluatatsiya jarayonida hosil bo'lgan eng katta hisobiy kuchlanishga nisbatli ehtiyyotlik koefitsienti deyiladi

$$n = \frac{\sigma_{\text{ches}}}{\sigma} \quad (2.21)$$

Bu erda $n > 1$ bo'lishi kerak, aks holda mustahkamlik ta'minlanmaydi. Tabiiyki, n -ni qaysi qiymatida konstruktsiya elementining mustahkamligi ta'minlanadi? n -ni qiymati qancha katta bo'lsa, konstruktsiya shuncha katta ehtiyyotlik koefitsientiga ega bo'ladi. Lekin, juda katta ehtiyyotlik koefitsient material sarsini ko'paytiradi, konstruktsiyaning og'irligi kattalashadi, iqtisodiy noqulay bo'ladi. Konstruktsiyaning vazifasiga va boshqa faktorlarga bog'liq ravishda n -koefitsientning minimal qiymati o'rnatiladi va uni $[n]$ harfi bilan belgilanadi. $[n]$ -mustahkamlikka talab qilingan ehtiyyotlik koefitsienti deyiladi

Agar, mustahkamlikka talab qilingan ehtiyyotlik koefitsienti -hisobiy ehtiyyotlik koefitsienti n -dan kichik bo'lsa, ya'ni $n \geq [n]$ shartda konstruktsiya elementining mustahkamligi ta'minlangan bo'ladi. Bu shart, tengsizlik mustahkamlik shart deyiladi. (2.21) ifodani e'tiborga olsak, mustahkamlik shart quyidagicha ko'rinishga keladi:

$$n = \frac{\sigma_{\text{ches}}}{\sigma} \geq [n] \quad \text{yoki} \quad \sigma \leq \frac{\sigma_{\text{ches}}}{[n]} \quad (2.22)$$

Buerda $\frac{\sigma_{\text{ches}}}{[n]} = [\sigma]$ - ruxsat etilgan kuchlanish deyiladi

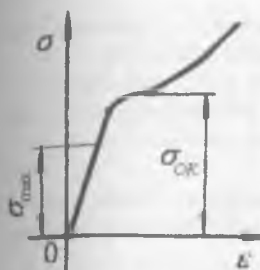
Ruxsat etilgan kuchlanishni tanlash. Cho'zilish va siqilishga ishlaydigan detallarni mustahkamlikka hisoblashda normal kuchlanish σ -ni qaysi qiymati xafli emas degan savol tug'iladi. Albatta, bu kuchlanish detalni emirish yoki uni noqulay sharoitda ishlash holatiga to'g'ri keluvchi xavfli kuchlanish σ_0 - dan kichik bo'lishi kerak. Konstruktsiya qismlarining xavfsiz holatini ta'minlovchi kuchlanishga ruxsat etilgan kuchlanish deyiladi. Bu kuchlanishni $[\sigma]$ bilan belgilaymiz va uning qiymati tajribalar asosida topiladi.

Demak, konstruktsiya qismida hosil bo'lgan eng katta normal kuchlanish $\sigma = \sigma_{\text{max}}$, shu konstruktsiya materiali uchun ruxsat etilgan kuchlanishdan katta bo'lmasa, konstruktsiyaning mustahkamligi ta'minlangan bo'ladi:

$$\sigma_{\text{max}} = \frac{N_{\text{max}}}{A} \leq [\sigma] \quad (2.23)$$

(2.23) formula cho'zilish yoki siqilishdagi mustahkamlik shart deyiladi. $[\sigma]$ ning qiymati xavfli normal kuchlanishning bir qismiga teng deb qabul qilinadi:

$$[\sigma] = \frac{\sigma_0}{n}$$



bu erda: σ_0 - materialning mustahkamlik chegarasi

Plastik material uchun $\sigma_0 = \sigma_{OK}$ va mo'rt material uchun $\sigma_0 = \sigma_e$ deb qabul qilinadi.

σ_{OK} - oquvchanlik chegarasidagi kuchlanish

σ_e - mustahkamlik chegarasidagi kuchlanish

n - ehtiyyotlik koefitsienti.

Oquvchanlik chegarasida plastik materialda qoldiq deformatsiya hosil bo'lsa, mo'rt materiallar mustahkamlik chegarasida emiriladi.

Ruxsat etilgan kuchlanishning qiymati konstruktsiyani ishonchli va iqtisodiy samarali bo'lishini ta'minlaydi.

[σ] kuchlanishni katta qiymatida hisoblash olib borilsa, engil va iqtisodiy pulay konstruktsiya loyihalanadi, agar ruxsat etilgan kuchlanish asossiz oshirilsa konstruktsiya ishonchli bo'lmaydi. Ruxsat etilgan kuchlanishning kichik qiymatida konstruktsiyani ishonchliligi kamayadi, material sarfi oshadi va iqtisodiy noqulaylik bo'ladi.

Ayrim materiallar uchun cho'zilish va siqilishda ruxsat etilgan kuchlanish

Material	Ruxsat etilgan kuchlanish $\frac{kg}{sm^2}$	
	siqilish	cho'zilish
Qurilish uchun po'lat	1600	1600
Po'lat St.2	1400	1400
Sosna tola bo'ylab	100	70
Dub tola bo'ylab	130	90
Tekstolit	500 - 900	300 - 400
Kul rang cho'yon	1200...1500	
Beton $R = 110 \frac{kg}{sm^2}$ markali	38	4,5
Beton $R = 170 \frac{kg}{sm^2}$ markali	60	7

Mustahkamlikka ehtiyyotlik koefitsientni aniq talab qilingan norma asosida belgilangan bo'lmasa, konstruktor [n] qiymatini quyidagi faktorlarga bog'liq tanlaydi:

ta'sir qiluvchi kuch va hisoblash metodini to'g'ri tanlash; materialni bir jinsliligi, mexanik ishlov berish xatoli-giga sezgirligi; detalni mas'uliyati.

Plastik materiallar uchun $n = 1,2 \dots 1,8$; beton uchun $n = 3$, tosh uchun $n = 10$; cho'yan uchun $n = 2,5 \dots 3$ ga teng. Ehtiyyotlik koefitsientini tanlashda mashinaning ishlash muddatiga e'tibor beriladi. Masalan: qurilish sohasida $n = 2 \dots 5$ va aviatsiya texnikasida $n = 1,5 \dots 2$

Cho'zilish va sifilishdagi potentsial energiya. Elastik sterjen deformatsiyasining potentsial energiyasi miqdor jihatdan tashqi kuchning bajargan ishiga teng: $A=U$ (10)

Statik ravishda qo'yilgan kuchning bajargan ishi shu kuchga tegishli ko'chish ko'paytmasining yarmiga teng:

$$A = \frac{F \cdot \Delta\ell}{2} \quad (11)$$

Guk qonunini e'tiborga olsak $U = \frac{F^2 \cdot \ell}{2EA} = \frac{\sigma^2 F \ell}{2E}$ (12)

Solishtirma potentsial energiya $a = \frac{\sigma^2}{2E} = \frac{\sigma \cdot \varepsilon}{2}$ (13)

Materialarning qattiqligini tajribada aniqlash [33]

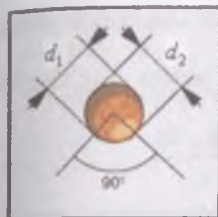
Ishning maqsadi: turli material mexanik xossalari va qattiqligini tajribada tekshirish

Brinell. Brinell bo'yicha sinovlarda ISO 6506 standartiga muvofiq karborunddan tayyorlangan sharcha yoki toblangan po'lat sharcha sinov namunasini sifatida ishlatalidi.



2.26-rasm. Brinell bo'yicha qattiqlikni aniqlash

WR 300- Materiallar sinovi uchun universal qurilmada toblangan po'lat sharchadan foydalilanadi. Brinell bo'yicha qattiqlik yuzasidan sinovlarda muayyan D diametri sharcha bosim izchil oshirib borilgan holda nazarat bosimi yordamida tekshirib boriladigan ishlov berilayotgan detalga vertikal tarzda joylashtiriladi va muayyan vaqt mobaynida aniq sinov yuklamasi bilan amalga oshiriladi.



2.27-rasm. Sferik bosimni o'chash

Ushbu jarayon sharchaning bosilishini amalga oshiradi, shundan so'ng hosil bo'lgan sharsimon segmentning d diametri sinov yuklamasi olib tashlangandan keyin o'lchanadi. Namuna ushbu jarayon vaqtida qimirlamasligi kerak Brinell bo'yicha qattiqlik darajasi F sinov bosimi yuklamasi va sharsimon segmentning A_r , ta'sir maydoni asosida hisoblab topiladi:

$$HB = \frac{0,102F}{A_s}$$

0,102 koefitsient kN/mm^2 dan kN/mm^2 gacha o'zgarish (konversiya)ni hisobga oladi D diametrli sharcha va d shar izining (sharsimon segment) diametri yordamida quyidagilarni olamiz:

$$HB = \frac{2 \cdot 0,102 \cdot F}{\pi \cdot D(D - \sqrt{D^2 - d^2})} \quad (38)$$

Agar sharchaning bosilishi doiraviy bo'lmasa, ikkita vertikal turgan o'lichovning o'rtacha qiymatidan foydalaniшимиз kerak.

$$d = \frac{d_1 + d_2}{2}$$

Brinell, Yuxan Avgust.

shved. Johan August Brunell 21 noyabr 1849 yil Bringetofsta, Shvetsiyada to'g'ilgan. 17iyun 1925 yil 75 yoshda Stokholm Shvetsiyada vafot etgan. Qirollik texnologiya institutini tamomlagan. Shvetsiyalik injener. Metallurgiya sohasida ilmiy ish olib borgan. Materiallarni qattiqligini aniqlash usulini yaratgan. 1875 yil Leshyoforse shahridagi metallurgiya zavodida injener bo'lib ishlaydi, 1882 yil Fagerste metallurgiya zavodining bosh injeneri bo'ladi.

1903-14 yillar Shvetsiya metallurgiya sanoati uyushmasi bosh injeneri bo'lib ishlaydi. Brinell qattiqlikni aniqlashning statik usulini 1900 yilda ishlab chiqadi va bu usul bugungi kunda ham sanoatda tadbiq etiladi. Materialga qattiq sharik (diametri 10mm) bilan ma'lum kuch (asosan 30 kN) ta'sir etiladi. Qo'yilgan kuchni sharik izining yuzasiga nisbati Brinell bo'yicha qattiqlik NV ni aniqlaydi. Turli xil materiallar, shakkalar namunalarining qattiqlik qiymatlarini va sharchalar diametrlarini solishtirish imkoniyatini yaratish uchun muayyan qoidalarga riosa qilinishi kerak.



Q a t t i q l i k materialni sirtiga mexaniq tarzdu singdirilgan detalga qarshilik ko'rsatish qobiliyati.

Qattiqlik va materialni mustahkamlik chegarasi quyidagicha bog'lanishda: kam uglerodli po'lot uchun:

$$\sigma_g = 0.36 \text{ } HB \text{ va } \text{kul rang cho'yan: } \sigma_B = \frac{HB - 40}{6} \quad (39)$$

Brinell bo'yicha qattiqlikni aniqlash. Materialning eyilishga chidamliligi, uning qattiqligiga bog'liq. Material qancha qattiqroq bo'lса, uning eyilishga chidamliligi ham shunchalik yuqori bo'ladi.

Qattiqlik mexanik qarshilikka tegishli bo'lib, u bilan jism boshqa ob'ektning ta'siriga qarshilik ko'rsatadi. Qattiqlik yuzasidan me'yoriy sinov jarayonida namuna yuzasi sinovdan o'tkazilayotgan qattiq ob'ektning vertikal bosimi ostida bo'ladi.

Namunada uch oqli kuchlanish bosim amalga oshirilayotgan ob'ekt ostida yuzaga keladi. Shu tufayli bosimning o'zgarmas darajasiga juda qattiq va mo'ri materiallarda ham material shikastlanishlarisiz erishilishi mumkin. Bu qattiqlik yuzasidan sinovni cho'zilish yuzasidan o'tkaziladigan sinovlardan farqlaydi, ushbu sinov jarayonida namunada faqat bir oqli kuchlanishli holat yuzaga keltiriladi. bunda qattiq materiallarda plastik deformatsiya hosil bo'lishi mumkin emas.

Qattiqlik yuzasidan sinovning ustunlik tomonlaridan biri shundan iboratki, cho'zilish yuzasidan o'tkaziladigan sinovlardan farqli ravishda, material tavsiflari, agar namuna ob'ektidagi kichik e兹ilgan joylar hisobga olinmasa, namuna emirilishlarisiz to'planishi mumkin.

Kamchiliklari shundan iboratki, qattiqlik yuzasidan sinovlarda qattiqlikning o'zidan emas, balki sinovdan o'tkazish tadbiriga qarab, faqat bitta qattiqlik tavsifmi aniqlash mumkin. Shu tufayli sinov jarayoni har doim qattiqlik qiymati bilan birga ko'rsatilishi kerak.

Namuna va xona harorati. Qattiqlik yuzasidan sinov xona harorati 18...28°C daraja sharoitda o'tkaziladi

Sharcha diametri. Sharcha diametrleri 10, 5, 2,5 va 1 mm standartlashtirilgan. Biz faqat 10 mm diametrli sharchalardan foydalanamiz

Sinovni davom etish vaqtি. Sinov yuklamasi namunaga eng kamida 10, 15 va 30 soniya mobayniда ta'sir ko'rsatishi kerak, suyuq materiallar holatida esa sinov yuklamasi eng kamida 5 soniya oshirilganda maksimumga etkazilishi kerak.

Yuklanish koeffitsienti. Sharcha bosilishining aniq va aks ettiriladigan ta'sir maydonini hosil qilish uchun ta'sir maydonining d diametri 0,2 va 0,7 D o'rтasida bo'lishi kerak. Buni kuzatish uchun turli xil qattiq materiallar uchun har xil yuzalar bosimlari tavsiya qilinadi, masalan, kuch va sharcha diametri maydoni bir-biriga muayyan nisbatda bo'lishi kerak. Ushbu nisbat " x " yuklama koeffitsiyenti sifatida yaxshi ma'lum.

$$x = \frac{0,102 \cdot F}{d^2}$$

0,102 koeffitsienti – kNdan kNga o'zgaradi va quyidagi



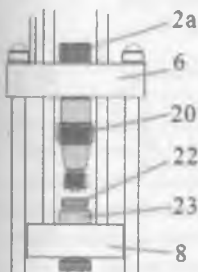
2.28 – rasm. Qattiqlikni aniqlash uchun sharik va namuna.

Qattiqlik aniqlash yuzasidan sinov golovkasi.

Brinell bo'yicha qattiqlikni o'lchash uchun mexanizm asosiy blok qismi hisoblanadi. Qattiqlik 10 mm diametrlı toblangan po'lat sharcha (21) yordamida sinov (test)dan o'tkaziladi. Alyuminiy, mis va po'latdan tayyorlangan 10 mm x 30 mm x 30 mm o'lchamli metall plastinalar namunalar sifatida ishlataladi.

Qattiqlik yuzasidan sinov mexanizmi [33]. Qattiqlik yuzasidan sinov golovkasi (20) uskunaning siqish sohasiga, yo'naltiruvchi rama (6) va pastki to'sin (8) o'rtafiga qo'yiladi. Qattiqlik yuzasidan sinov golovkasi siqilish parchasi orqali tutib turiladi (2a). Namuna (22) pastki to'sindagi qisqich plastinaga (23) joylashtiriladi.

Sinov yuklamasi. WR 300 Materiallar sinovi uchun universal qurilmada foydalaniqidigan 10 mm diametrlı sinov sharchasi uchun biz quyidagi sinov yuklamalarini olamiz. Sinov vaqtida $F = 9,8kN$ yuklamalı maxovikni burib, namunaga yuklamani asta-sekin va uzlusiz qo'llang. Sinov yuklamasi to'g'ri qo'llanilishini ta'minlash maqsadida dastur strelkasi mo'ljallangan yuklamani ko'rsatadi.



2.29– rasm. Qattiqlikni aniqlash mexanizmi

Maxovikni taalluqli ravishda burib, mo'ljallangan yuklamaga maksimal yaqin bo'ladigan tarzda yuklamani rostlab qo'ying.

IZOH. Agar joriy yuklama mo'ljallangan yuklamadan 1% dan ko'proq og'ishga ega bo'lsa, tajriba to'xtatiladi. Sekundomer mo'ljallangan yuklamaga erishilgandan

so'ng ishga tushiriladi. Yuklama ta'siri davomiyligi 10 soniyadan oshganda sekundomer qizil rangdan yashil rangga aylangandan so'ng namunadan yukni olib tashlang.

Kuchlanishlar kontsentratsiyasi. Turli notekisliklar, teshiklar va kanavkalar hisobiga ko'ndalang kesimning (zaiflashishi) o'zgarishi kuchlanishning notekis taqsimlanishiga, kuchlanishlar kontsentratsiyasini hosil bo'lishiga olib keladi.

F kuch ta'sirida cho'zilayotgan sterjenning kesimida me'yoriy kuchlanish teng tarqaladi, teshik yonida kuchlanish to'plami hosil bo'ladi. Kuchlanishning bunday to'planishi mahalliy kuchlanish yoki kuchlanishlar kontsentratsiyasi deyiladi. *Mahalliy kuchlanishni keltirib chiqargan notejisliklarning turiga kuchlanishlar kontsentratori deyiladi.*

Maksimal kuchlanish σ_{hom} kuchlanishga nisbati kuchlanishlar kontsentratsiyasining koefitsienti deyiladi.

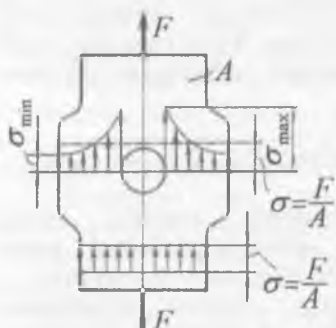
$$\alpha = \frac{\sigma_m}{\sigma_{hom}} \quad \sigma_{hom} = \frac{F}{A_0}$$

α_k - ning qiymati notejislikning shakli va o'lchamiga bog'liq va eksperiment orqali topildi;

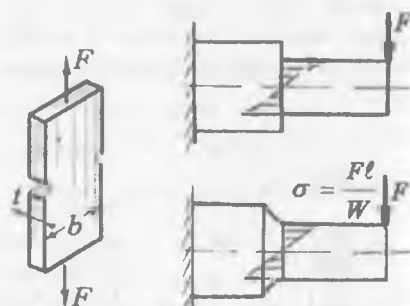
A_0 - sterjenning zaiflashmagan ko'ndalang kesimi yuzasi.

Mo'rt materiallarda lok qoplamasini yoki setkasini hosil qilish usuli bilan mahalliy kuchlanish aniqlanishi mumkin. Ayrim hollarda, kesimi o'zgaruvchan sterjenlarda α_k -ning qiymati materialning mustahkamlik chegarasini aniqlash bilan topiladi.

$$\alpha = \frac{\sigma_m}{\sigma_{hom}}$$

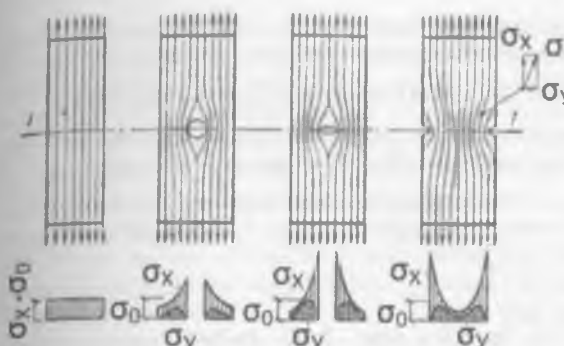


2.30 – rasm. Kuchlanishlar kontsentratsiyasini aniqlash sxemasi



2.31 – rasm. O'zgaruvchan kesimlarda kuchlanishlar kontsentratsiyasi

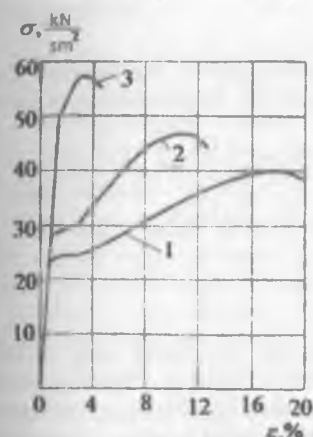
Agar, elementda teshik, mahalliy qisqarish, kanavka va kesim o'lchamining keskin o'zgarishi bo'lsa, kuchlanish potoki ushbu notejislikni aylanib o'tadi va kuchlanishlar to'plamini hosil qiladi. Kuchlanishlar bu kesimlarda notejislik tarqaladi, eng katta kuchlanishlar nominal (tekis taqsim- langan) kuchlanishlardan bir necha bor ortib ketadi [32].



Kuchlanishlar
kontsentrata tsiyasini
cho'zilish
diagrammasiga
ta'siri

2.32-rasm. [32]

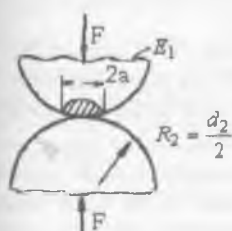
Kuchlanishlar potoki



2.32-rasm, a-da silliq sirtli brusda turli shakllli notejisida bo'lgan bruslarni cho'zilishida hosil bo'lgan kuchlanishlar potoki ko'rsatilgan.

Notejisliklar yuzasidan boshqa 1-1 qirqimdag'i haqiqiy yuzasi (netto yuzasi) bir xil. Har bir polosadagi bo'ylama σ_x va ko'ndalang σ_y kuchlanishlar ko'rsatilgan. Kuchlanishlar potokining egrilangan traektriyasida bosh kuchlanishlarni ikkita o'zaro perpendikulyar yo'nalişdagi tashkil qiluvchilarga ajratish mumkin.

Egri traektoriyali potokga hamma vaqt tekis va hajmiy kuchlanganlik holati to'g'ri keladi. Notejislik qanchalik o'tkir yoki chuqur bo'lsa eng katta kuchlanishlar va uning egriligi shunchalik katta bo'ladi, po'lotning mo'rtligi ham ortadi. Bu esa metal konstruktasiyani emirilishiga olib keladi. Kuchlanishlar kontsentratsiyasini cheklash uchun konstruktiv imkoniyatlardan foydalanim, kuchlanishlarni silliq taqsimlash lozim.



Kontakt kuchlanishlar haqida tushuncha.

Podshipniklar, tishli uzatmalar, ko'priklarning tayanch qismalaridagi shar va tsilindrik g'ildiraklarning ish jarayonida kontaktli kuchlanishlar hosil bo'ladi.

2.33 – rasm. Kontaktli kuchlanishni aniqlash

Demak, ikkita o'zaro tegib turadigan jismni ta'sirlashuv yuzasida paydo bo'ladigan kuchlanishlar kontaktli kuchlanishlar deyiladi (2.33-rasm)

Kontaktli kuchlanishlarni ko'pincha mahalliy kuchlanishlar ham deyildi.

Kontaktli kuchlanishlarni va deformatsiyalarni qonuniyatni va aniqlanishining ayrim usullari, nazariyasi elastiklik nazariyasida keltirilgan.

Diametrlari d_1 va d_2 , bo'lgan ikkita elastik shar markaziy kuch bilan siqilganda ularning o'zaro tegib turgan joylarida radiusi

$$a = 0,88 \cdot \sqrt{\frac{F}{2} \cdot \frac{\frac{1}{E_1} + \frac{1}{E_2}}{\frac{1}{d_1} + \frac{1}{d_2}}} \text{ bo'lgan doira hosil bo'ladi.}$$

Kontakt maydonchasidagi normal kuchlanish notekis taqsimlanadi. Eng katta kuchlanish kontakt doirasining markazida bo'lib, kuchlanishning o'rtacha

$$\sigma_{\max} = 1,5 \frac{F}{\pi \cdot d^2} \text{ qiymatidan } 1,5 \text{ marta katta:}$$

Agar, sharlarning materiallari bir xil bo'lsa, ya'ni: $E_1 = E_2$ bo'lsa

$$\sigma_{\max} = 0,623 \sqrt{FE^2 \left(\frac{d_1 + d_2}{d_1 d_2} \right)^2}$$

Kontaktli kuchlanishlar maydonchasida hajmiy kuchlanish sodir bo'ladi. Material har tomonlama siqilishga yaqin sharoitda ishlaydi. Shuning uchun mahalliy ezilish uchun ruxsat etilgan kuchlanish oddiy siqilishdagiga qaraganda ancha katta olinadi. Kontaktli kuchlanishlarni aniqlash uchun keltirilgan formulalar kontaktidagi jismlarning shakliga va o'lchamiga bog'liqdir.

Yangi materiallarning mexanik xarakteristikalari

Hozirgi vaqtda mashina detallarini tayyorlash uchun har xil turdag'i materiallar - po'lat, cho'yan, rangli metall qorishmalari, kukunsimon materiallar, plastmassalar, rezina va h.k. ishlatiladi.

Po'lot - uglerod va boshqa elementlarni temir bilan qorishmasi. Kam uglerodli ($c \leq 0,25\%$); o'rta uglerodli ($c = 0,25 \dots 0,60\%$) va yuqori uglerodli ($c > 0,6\%$) po'latlar mavjud. Po'latda qancha uglerod ko'p bo'lsa, uni qattiqligi va statik mustahkamligi ham yuqori, plastikligi past buladi. Po'lat yuqori mexanik xossaga ega, qoliplash, quyma va prokatlash namunalarini olish; stanoklarda ishlov berish; payvandlash va termik ishlov berish qulay. Po'lat turlari bilan farq qiladi. Konstruktsion sifatlari po'lat uglerod va marganetsni miqdori bilan farq qiladi: St.40; St.45; St.30G - G harfi yuqori miqdorli marganets borligini ifodalaydi. Legirlangan konstruktsion po'lat sifatlari va yuqori sifatlari turlarga

bo'linadi. Legirlaydigan elementlar miqdoriga ko'ra xromli ($20X$, $40X$); xromnikelli ($20XN$, $12XN3A$) po'latlar mavjud. Harfdan oldingi raqam uglerod miqdorini; keyingisi esa legirlaydigan element miqdorini bildiradi. Yuqori sifatli po'latlarni markasini oxirida – A harfi bo'ladi. Oddiy sifatli po'latlar shtampovka yoki payvandlash usuli bilan korpusli detallarni tayyorlashda; sifatli va legirlangan po'latlardan mashinalami turli detallari, val va o'qlar, tishli g'ildirak, chervyak, friktsion g'ildiraklar tayyorlanadi.

Chuyon. Chuyon deb, tarkibida 2% uglerod bo'lgan temir uglerodli qotishmaga aytildi. Chuyonni quyma xususiyati yaxshi, plastikligi yomon. Chuyonlarni oq va kul rang markalari mavjud. Oq chuyon yuqori qattiqlik va mo'rtlikga ega, kesilish xususiyati yomon. Kul rang chuyonlar o'rtacha mustahkamligiga va quyma xususiyatga ega, kesilish xususiyati yaxshi, tebranishni yaxshi singdiradi.

Latun – mis va qo'rg'oshin va ko'p komponentli alyuminiy, temir, marganets, nikel va h.k. tarkibiy qismlardan tashkil topgan.

Latunni mexanik xossasi va korroziyaga chidamliligi yaxshi.

$S_{t.45}$ markali po'latdan 5-6 marotaba qimmat. $LTc23A6JZMts2$ – markali latunkirmak g'ildiragi, $LTc38Mts2S2$ – antifriktsion detallarni tayyorlashda ishlatalidi.

Bronza – qalay, qo'rg'oshin, alyuminiy, temir, kremniy, marganets bilan misni qorishmalari. Bronzani – Br. harflari, keyin legirlovchi elementni ifodalovchi harflar keladi. Masalan: Br $OF10-1$ –bronza, 10% -qalay, 1% - fosfor va qolgani – mis. Bronza – yuqori antifriktsion, antikorroziya va quyma xususiyatlarga ega, mexanik tavsifi yaxshi bo'lib undan chervyak g'ildiragining gardishi yuklanish va yurgizish gaykalari va h.k.tayyorlanadi.

Keyingi yillarda plastmassalar, rezinalar, elimlar, loklar va boshqa sintetik materiallar texnikada keng qo'llanilayapti. Barcha bu materiallarning asosini polimerlar tashkil etadi. Qurilishda turli plastmassalar ishlatilmoqda. Plastmassalarni qoliplash temperaturasi 20 dan (epoksidoplast, efiroplast) 250 – 350 $^{\circ}\text{C}$ gacha (polipropilen, ftoroplast) etadi. Plastmassalarning elastiklik modulli katta bo'lib, cho'ziluvchanligi kichikdir. Masalan:

$$\text{penoplast } E = (3 \dots 25) 10^3 \text{ mN/m}^2; \quad \delta = (0,1 \dots 1,5) \%$$

$$\text{epoksidoplast } E = (3 \dots 4) 10^3 \text{ mN/m}^2; \quad \delta = (2,5 \dots 8) \%$$

Qotish jarayonida o'zgarmaydigan xossalalar oladigan plastmassalar reaktoplastlar deyiladi. Qotish jarayonida o'zgaruvchan xossalalar oladigan plastmassalar – termoplastlar deyiladi. Ularni qayta qizdirib yana qolipga solish mumkin. Bunday plastmassalarning elastiklik modulli kichik, cho'ziluvchanligi kattadir. Masalan:

$$\text{polietilenda } E = (1,5 \dots 2,5) 10^3 \text{ mN/m}^2; \quad \delta = (150 \dots 600) \%$$

$$\text{polipropilenda } E = (9 \dots 12) 10^3 \text{ mN/m}^2; \quad \delta = (500 \dots 700) \%$$

Ba'zi plastmassalarning mustahkamlig chegaralari St.3 po'latnikiga qaraganda yuqori, plastiklik xarakteristikalarini uncha katta emas, uzelishdagi qoldiq deformatsiyasi $\delta = (1\dots2)\%$. Plastmassalarning solishtirma og'irligi ($\rho=1,3\dots1,9 \text{ kg/sm}^3$) po'latnikiga nisbatan 3-4 marta, dyuralyumiynikiga qaraganda taxminan 1,5 marta kichik. Shuning uchun, konstruktsiya og'irligini kamaytirish uchun bu materialdan foydalanish mumkin.

Texnikada rezina katta ahamiyatga ega. Rezinaning yumshoq o'rtacha qattiq, qattiq, issiqqa va yog' ta'siriga chidamli protektor kabi sortlari mavjuddir. Rezinani elastiklik moduli, Puasson koefitsienti o'zgaruvchan. Masalan: $E=(0,4\dots8) \text{ mN/m}^2$; $\mu=0,11\dots0,45$ sof kauchuk uchun: $\mu=0,5$ protektor rezina uchun: $E=(8,5\dots11) \text{ mN/m}^2$; $\delta=40\dots45\%$, ebonit uchun: $E=40\dots70 \text{ mN/m}^2$; $\delta=0,8\dots1,2\%$.

Po'lat materialini va boshqa metall qorishmalarini mexanik va boshqa xossalarni oshirish va yaxshilash uchun ularga termik va ximik-termik ishlov berish va mexanik mustahkamlash kerak. Termik ishlov berish kuydirish, yaxshilash, toplash, yumshatish va normallashtirish bilan belgilanadi.

Kuydirish va normallashtirish – quyma yoki bosim ostida tayyorlanadigan detallardagi ichki kuchlanishni yo'qotish, mexanik xossasi va kesilishini yaxshilash uchun tadbiq etiladi. Mashina detallarining mustahkamligi, qattiqligini va eyilishga qarshiligini oshirish uchun – toplash foydalaniladi.

Toblash-mahalliy yoki sirt bo'yicha bajarilishi mumkin Toblash yuqori chastotatlilik tok ta'sirida olib boriladi, natijada materialni qattiqligi va mo'rtligi ortadi. Mo'rtlik va ichki kuchlanishni yo'qotish uchun yumshatish (bo'shatish) kerak.

Yaxshilash – ikki jarayondan iborat; toplash va yuqori haroratli yumshatish. Yaxshilash – mashina detallarini qovushqoqligini saqlash va ko'paytirish bilan mustahkamligini oshiradi. 0,25% uglerodi bo'lgan kam uglerodli po'latni qovushqoqligi past, shuning uchun toplashni qabul qilmaydi. Mexanik xarakteristikalarini yaxshilash uchun ularga ximik-termik ishlov berish kerak.

Zamonaviy mashinasozlikda tsementatsiyalash va azotlash ishlatiladi. Tsementatsiyalashda- detalni sirti – 0,2 mm chuqurlikda uglerod bilan boyitiladi. Natijada – detalni sirtida yuqori qattiq qatlam, markazda esa yumshoq qatlam hosil bo'ladi.

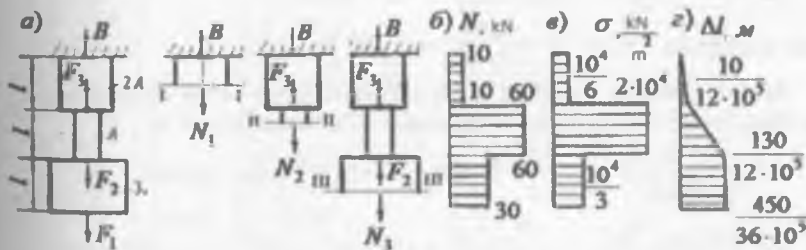
Detal sirtini azot bilan diffuzion boyitish – azotlash deyiladi. Pech va vannada oz va suyuq azotlash ko'p tarqalgan. Ionli azotlash jarayoni 3-5 marotaba tez amalga oshiriladi. Natijada qatlamni elastikligi va mustahkamligi oshadi.

Metall qatlamini plastik deformatsiyalash-mexanik puxtalash deyiladi. Po'lat; chuyon va har xil rangli metallar qorishmasini mexanik puxtalash oddiy va samarali jarayondir. Mexanik puxtalanish - o'qlar, rissorlar, prujinalar va h.k.da bajariladi.

S A V O L L A R

1. Markaziy cho'zilish yoki siqilish deb nimaga aytildi?
1. Absolyut uzayish deb nimaga aytildi?
3. Nisbiy uzayish deb nimaga aytildi?
4. Guk qonunini ta riflab bering.
5. Materiallarni mexanik xossalarini aytib bering.
6. Materiallarni plastiklik xossalarini aytib bering.
7. Yumshoq po'latni cho'zilish diagrammmasini chizib bering.
8. Yumshoq po'latni siqilish diagrammmasini chizib bering.
9. Proportsiyallik chegara deb nimaga aytildi?
10. Oquvchanlik chegara deb nimaga aytildi?
11. Mustahkamlik chegara deb nimaga aytildi?
12. Elastiklik chegara deb nimaga aytildi?
13. Mo'rtlik deb nimaga aytildi?
14. Plastiklik nima?
15. Ruxsat etilgan kuchlanish nima?
16. Cho'zilish va siqilishda mustahkamlik shartni yozing?
17. Statik noaniq masala deb nimaga aytildi?
18. Puxtalanish nima?

misol- 1. Po'latdan tayyorlangan pog'onali brus $F_1 = 30 \text{ kN}$, $F_2 = 30 \text{ kN}$, $F_3 = 50 \text{ kN}$ tashqi kuchlar bilan yuklangan (2.34 - rasm). Pog'onali brus uchun ichki bo'ylama kuch N ; normal kuchlanish σ va absolyut uzayish $\Delta\ell$ epyuralari qurilsin.



2.34 - rasm. Pog'onali brusni yuklanish sxemasi va bo'ylama kuch, normal kuchlanish va bo'ylama uzayish (N , σ va $\Delta\ell$) epyuralari

Yechish. Berilgan masala statik aniq yoki statik aniqmas sistema bo'lishidan qat'iy nazar bo'ylama ko'chishni topish tayanch nuqtadan boshlanishi kerak, chunki bu nuqta joylashgan kesimning ko'chishi ($\Delta\ell_B = 0$) nolga teng. Shuning uchun, bo'ylama kuch N - ni topishni ham sterjenning tayanch nuqtasidan boshlaymiz.

Butun sistemaning muvozanat tenglamasidan noma'lum reaktsiya kuchi $-B$ ni topamiz (2.34 - rasm, a):

$$\sum y = B + F_3 - F_2 - F_1 = 0 \quad \text{va} \quad B = 30 + 30 - 50 = 10kN$$

Kesish usulidan foydalanib sterjenning yuqori pog'onasidan fikran ikki qismga ajratamiz va pastki qismni tashlab yuboramiz. Ajratib qoldirilgan qismning kesilgan yuzasiga pastki tashlab yuborilgan qismning ta'sirini almashtiradigan N kuchni qo'yamiz va muvozanat tenglamasini tuzamiz.

$$\sum y = B - N_1 = 0 \quad \text{yoki} \quad B = N_1 = 10kN$$

Tekshirilayotgan pog'onaning uzunligi bo'y lab N_1 , kuch o'zgarmas bo'lib miqdor jihatdan reaktsiya kuchi V -ga teng. Kesimdag'i normal kuchlanishni topamiz:

$$\sigma_1 = \frac{N_1}{2A} = \frac{10}{2 \cdot 3 \cdot 10^{-3}} = \frac{10^4}{6}, \frac{kN}{m^2}$$

Sterjenning ℓ uzunligi bo'y lab to'liq ko'chishni topamiz

$$\Delta\ell_1 = \int_0^{N_1 dy} \frac{N_1 dy}{E2A} = \frac{N_1 y_1}{E2A}, \quad \text{buerda} \quad 0 \leq y_1 \leq 1m \text{da o'zgaradi}$$

$$\text{Agar, } y_1 = 0 \text{ bo'lsa } \Delta\ell_1 = 0 \quad \text{va} \quad y_1 = 1m \text{ bo'lsa } \Delta\ell_1 = \frac{10}{12 \cdot 10^3}, m$$

Demak, brusning yuqori pog'onasida bo'ylama deformatsiya to'g'ri chiziqli qonuniyat bilan o'zgarib noldan $\Delta\ell_1 = \frac{10}{12 \cdot 10^3}$ gacha ortib boradi.

II-II-qirqimdan ajratilgan qismning muvozanat tenglamasiga asosan

$$\sum y = 0, \quad B + F_3 - N_2 = 0 \quad \text{va} \quad N_2 = 60kN,$$

$$\text{normal kuchlanish} \quad \sigma_2 = \frac{N_2}{A} = \frac{60}{3 \cdot 10^{-3}} = 2 \cdot 10^4 \frac{kN}{m^2}$$

Sterjen ajratilgan qismining to'liq uzayishini topish uchun ikkinchi oraliq uzayishiga birinchi oraliqning to'liq uzayishini qo'shib yozamiz, ya'ni:

$$\Delta\ell_2 = \frac{10}{12 \cdot 10^3} + \frac{N_2 \cdot y_2}{EA}, \quad \text{buerda} \quad 0 \leq y_2 \leq 1m \text{da o'zgaradi}$$

$$\text{agar } y_2 = 0 \text{ bo'lsa } \Delta\ell_2 = \frac{10}{12 \cdot 10^3}, m, \quad \text{va} \quad y_2 = 1m, \quad \Delta\ell_2 = \frac{65}{6 \cdot 10^3} m$$

III - III qirqimda Bo'ylama kuch N_3 ni topish uchun sterjenning ajratilgan qismining muvozanat tenglamasini tuzamiz

$$\sum y = B + F_3 - F_2 - N_3 = 0 \quad \text{bu erdan} \quad N_3 = 30kN$$

Bo'ylama kuch ajratilgan qismga ta'sir qilayotgan aktiv va reaktiv kuchlarni algebraik yig'indisiga teng bo'ladi.

$$\text{normal kuchlanish} \quad \sigma_3 = \frac{N_3}{3A} = \frac{30}{3 \cdot 3 \cdot 10^{-3}} = \frac{10^4}{3}, \frac{kN}{m^2}$$

Sterjenning butun uzunligi bo'yicha to'liq uzayishi

$$\Delta\ell_3 = \Delta\ell_2 + \frac{N_3 y_3}{E A} \text{ buerda } 0 \leq y_3 \leq 1 \text{ m da o'zgaradi}$$

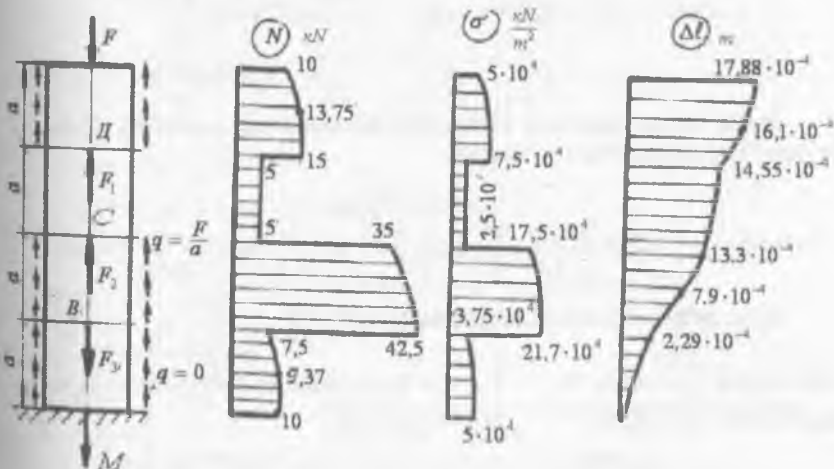
$$y_3 = 0 \text{ bo'lsa } \Delta\ell_3 = \frac{130}{12 \cdot 10^3} \text{ m va } y_3 = \ell = 1 \text{ m da } \Delta\ell_3 = \frac{450}{36 \cdot 10^3} \text{ m}$$

N, σ va $\Delta\ell$ epyuralari 2.34 – rasmida ko'rsatilgan.

misol – 2. Taqsimlangan kuch intensivligi q_x va F_1, F_2, F_3 , kuchlar bilan yuklangan brusning N, σ va $\Delta\ell$ epyuralari qurilsin. Taqsimlangan kuch intensivligi - q_x to'g'ri chiziqli qonuniyat bilan o'zgaradi. Sterjenni ko'ndalang kesim yuzasi $A = 2 \cdot 10^{-4} \text{ m}^2$, tashqi kuchlar $F_1 = F, F_2 = 3F, F_3 = 3,5F$ va $F = 10 \text{ kN}$. Sterjenning materiali po'lat.

Brusni to'liq uzayishini qo'zg'almas kesimdagagi M nuqtadan boshlab aniqlash kerak. Shuning uchun N, σ va $\Delta\ell$ ni aniqlash ham tayanch nuqtasidan topishdan boshlaymiz. M – tayanch kuchni topamiz (2.35 – rasm).

$$\sum x = -M - F_3 + F_2 + F_1 + \frac{1}{2} q_x \cdot 2a + \frac{1}{2} q_x a - F = 0 \text{ va } M = 10 \text{ kN}$$



2.35 – rasm. Brusni yuklanish sxemasi va bo'ylama kuch, normal kuchlanish va absolyut uzayish epyuralari.

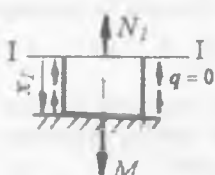
Taqsimlangan kuch intensivligi q_x sterjenni oraliq masofalarida to'g'ri chiziqli qonuni bilan o'zgaradi. Shuning uchun q_x larni teng ta'sir qiluvchisi taqsimlangan kuch intensivligini maksimal va minimal qiymatlaridan qurilgan

uchburchak-ni yuzasi bilan o'chanadi. Sxemadan: $\frac{q_x}{x} = \frac{q}{2a}$ yoki

$$q_x = q \frac{x}{2a} = \frac{Fx}{2a^2}$$

$$\text{agar, } x = 0 \text{ bo'lsa } q_x = 0 \text{ va } x = 2a \text{ bo'lsa } q_x = \frac{F}{a}$$

1-1 - qirqim. Brusning M va B nuqtalari oralig'idan $0 \leq x_1 \leq 1m$ sohada o'zgaruvchi 1 - 1 qirqim bilan ikkitaga ajratib, pastki qismning muvozanat tenglamasini tuzamiz.



$$\sum x = 0 \text{ yoki } N_1 + \int_0^a q_x dx - M = 0$$

$$N_1 = M - \int_0^a q_x dx = M - \int_0^a q \frac{x dx}{2a} = M - q \frac{x^2}{4a} = M - F \frac{x^2}{4a^2}$$

$$x_1 = 0 \text{ da } N_1 = M = 10 \text{ kN}$$

$$\text{Normal kuchlanish } \sigma_1 = \frac{N_1}{A} = \frac{10}{2 \cdot 10^{-4}} = 5 \cdot 10^4 \frac{\kappa N}{m^2}$$

$$x_1 = 0,5m \quad N_1 = 9,375 \quad \kappa N, \quad \sigma_1 = 4,6875 \cdot 10^4 \frac{\kappa N}{m^2}$$

$$x_1 = 1m \quad N_1 = 7,5 \quad \kappa N, \quad \sigma_1 = 3,75 \cdot 10^4 \frac{\kappa N}{m^2}$$

Brusni taqsimlangan kuch intensivligi bilan yuklangan oralig'ida N va σ lar egri chiziq qonuni bilan o'zgaradi.

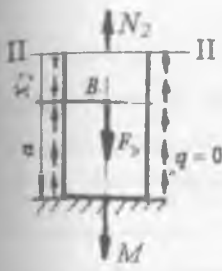
$$\text{Uzayish } \Delta\ell_1 = \int_0^a \frac{N_1 dx}{EA} = \int_0^a \frac{\left(M - F \frac{x_1^2}{4a^2} \right) dx}{EA} = \frac{1}{EA} \int_0^a M dx - \frac{F}{4a^2 EA} \int_0^a x_1^2 dx$$

$$\text{Hosil bo'lgan tenglamani integrallasak, } \Delta\ell_1 = \frac{Mx_1}{EA} - \frac{Fx_1^3}{12a^2 EA}$$

kelib chiqadi. $x = 0$ da $\Delta\ell_1 = 0$, ya'ni qo'zg'almas M kesimni uzayishi nolga teng bo'ladi, $x_1 = 0,5 m$. $\Delta\ell_1 = 1,224 \cdot 10^{-4} m$.

$$x_1 = 1m$$

$$\Delta\ell_1 = \Delta\ell_B = 2,291 \cdot 10^{-4} m$$



II – II qirqim. $a \leq x_2 \leq 2a$, ($1 \leq x_2 \leq 2M$)

Qo'zg'almas kesimdan x_2 masofadagi kesimni bo'ylama kuchi quyidagicha topiladi:
 $\sum x = 0$.

$$N_2 = M + F_3 - \int_0^2 q_x dx = M + 3,5F - \int_0^2 q \frac{x}{2a} dx$$

$$\text{Normal kuchlanish } \sigma_2 = \frac{N_2}{A}$$

$$x_2 = 1m,$$

$$N_2 = 42,5kN \quad \sigma_2 = 21,25 \cdot 10^4 \frac{kN}{m^2}$$

$$x_2 = 2m;$$

$$N_2 = 35kN; \quad \sigma_2 = 17,5 \cdot 10^4 \frac{kN}{m^2}$$

I pog'onadan II pog'onaga o'tish B nuqtasida bo'ylama kuchni qiymati $F_3 = 3,5F = 35kH$ ga farq qiladi. Shuning uchun B nuqta joylashgan kesimni N epyurasida $35 kN$ ga teng sakrash bo'ladi.

Brus MS – oraliqining to'liq uzayishini topamiz.

$$\Delta\ell_2 = \Delta\ell_B + \int_0^{x_2} \frac{N_2 dx}{EA} = 2,291 \cdot 10^{-4} + \int_0^{x_2} \left(\frac{M}{EA} + \frac{3,5F}{EA} - F \frac{x_2^2}{4a^2 EA} \right) dx$$

$$\text{buerdan } \Delta\ell_2 = 2,291 \cdot 10^{-4} + \frac{M \cdot x}{EA} + \frac{3,5F \cdot x}{EA} - \frac{F \cdot x_2^3}{12EA}$$

$$x_2 = 0, \quad \Delta\ell_2 = 2,291 \cdot 10^{-4} m,$$

$$x_2 = 0,5m, \Delta\ell = 7,9 \cdot 10^{-4} m,$$

$$x_2 = 1m, \quad \Delta\ell_2 = \Delta\ell_c = 13,3 \cdot 10^{-4} m$$

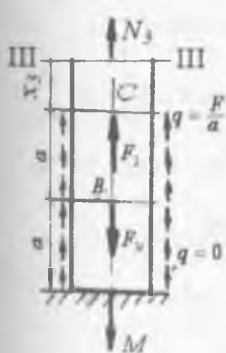
III – III qirqim. $0 \leq x_3 \leq 1m$. Oraliguzunligi bo'yicha taqsimlangan kuch intensivligining teng ta'sir qiluvchisi

$$\frac{1}{2} q \cdot 2a = qa = \frac{F}{a} \cdot a = F \text{ teng}$$

Brus ajratilgan qismining muvozanat tenglamasi quyidagicha yoziladi

$$\sum x = N_3 + F_2 + F - F_3 - M = 0 \text{ va}$$

$N_3 = -F_2 - F + F_3 + M$ tenglamaga barcha tashki kuchlarning qiymatlarini keltirib qo'ysak $N_3 = 5kN$ hosil bo'ladi

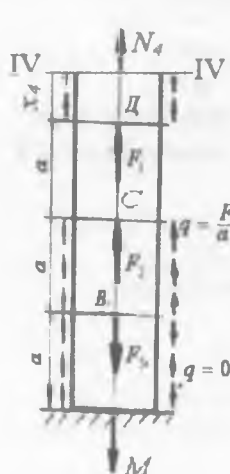


$$\text{Normal kuchlanish } \sigma = \frac{N_3}{A} \quad \text{yoki} \quad \sigma = 2,5 \cdot 10^4 \frac{\kappa N}{m^2}$$

Oraliq uzunligi bo'ylab N_3 kuch va normal kuchlanish σ_3 teng tarqalgan, absolyut uzayish $\Delta\ell_3$ esa x_3 masofaga proporsional bog'lanishda bo'lib to'g'ri chiziqli qonuniyat bilan o'zgaradi. Shuning uchun SD oraliqning uzayishi

$$\Delta\ell_D = \Delta\ell_e + \frac{N_3}{EA} = 14,55 \cdot 10^{-4} m$$

IV – IV qirqi. $0 \leq x_i \leq l_M$ oraliqdan (D nuqtadan yuqori qirqim) ajratilgan brus qismining muvozanat sharti



$$\sum x = N_4 + F_1 + \int_0^a q_x dx + F_2 - F_3 - \frac{1}{2}q2a - M = 0$$

yoki

$$N_4 = -F - q \frac{x^2}{2a} - 3F + 3,5F + \frac{F}{a} \cdot a + F = 1,5F - F \frac{x_4^2}{2a^2}$$

$$\text{Normal kuchlanish } \sigma_4 = \frac{N_4}{A} \quad \text{va absolyut uzayishi}$$

$$\begin{aligned} \Delta\ell_4 &= \Delta\ell_D + \int_0^a \frac{N_4 dx}{EA} = 14,55 \cdot 10^{-4} + \int_0^a \frac{1,5F - F \frac{x_4^2}{2a^2}}{EA} dx \\ &= 14,55 \cdot 10^{-4} + \frac{1,5Fx_4}{EA} - F \frac{x_4^3}{6a^2 EA} \\ x_4 &= 0. \end{aligned}$$

$$N_4 = 15\kappa N; \quad \sigma_4 = 7,5 \cdot 10^4 \frac{\kappa N}{m^2}; \quad \Delta\ell_4 = 14,55 \cdot 10^{-4} m$$

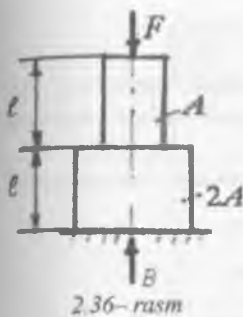
$$x_4 = 0,5m$$

$$N_4 = 13,875\kappa N;$$

$$\sigma_4 = 6,937 \cdot 10^4 \frac{\kappa N}{m^2};$$

$$x_4 = 1m \quad N_4 = 10\kappa N; \quad \sigma_4 = 5 \cdot 10^4 \frac{\kappa N}{m^2}; \quad \Delta\ell_4 = 17,88 \cdot 10^{-4} m$$

Brusning to'liq uzayishi $\Delta\ell = 17,88 \cdot 10^{-4} m$ ga teng



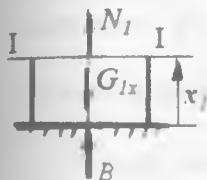
2.36-rasm

misol - 3. G' kuch va xususiy og'irligi bilan yuklangan pog'onali brusni (2.36-rasm) to'liq qisqarishi topilsin. Brus materialining hajmi og'irligi ρ va elastiklik moduli $-E$.

Yechish. Brus har bir pog'onasining xususiy og'irligi $\sigma_1 = \rho A\ell$ va $\sigma_2 = \rho 2A\ell$ va G' kuch ta'siridan - tayanch kesimida V reaktsiya kuchi hosil bo'ladi.

Reaktsiya kuchini topamiz.

$$\sum x = B - F - \rho A\ell - \rho 2A\ell = 0 \quad \text{yoki} \quad B = F + 3\rho A\ell$$



I - I qirqim $0 \leq x_1 \leq \ell$ oraliqda, ya'ni brusni pastki pog'onasidagi ichki bo'ylama kuchni kesish usulidan foydalanib topamiz:

$$\sum x = N_1 + B - G_{1x} = 0 \quad \text{va}$$

Buerda $\sigma_{1x} = \rho 2Ax_1$ brus ajratilgan qismining xususiy og'irligi

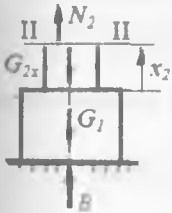
$$N_1 = \rho 2A \cdot x_1 - F - 3\rho A\ell$$

Brus ajratilgan qismining deformatsiyasini topamiz.

$$\Delta\ell_1 = \int_0^\ell \frac{N_1 dx}{E2A} = \int_0^\ell \frac{(\rho 2Ax_1 - F - 3\rho A\ell)dx}{E2A} = \left[\frac{\rho x_1^2}{2E} - \frac{(F + 3\rho A\ell)x_1}{E2A} \right]_0^\ell$$

Agar, $x_1 = 0$ bo'lsa $\Delta\ell_1 = \Delta\ell_B = 0$, ya'ni tayanch kesimida deformatsiya nolga teng:

$$x_1 = \ell; \quad \Delta\ell_1 = -\frac{F\ell}{E2A} - \frac{\rho\ell^2}{E}$$



II - II qirqim. $0 \leq x_2 \leq \ell$ oraliqda bo'ylama kuchni topamiz:

$$\sum x = N_2 + B - \rho 2A\ell - \rho Ax_2 = 0 \quad \text{va}$$

$$N_2 = -F - \rho A\ell + \rho Ax_2$$

Ajratilgan qismning to'liq ko'chisi.

$$\begin{aligned} \Delta\ell_2 &= \Delta\ell_1 + \int_0^\ell \frac{N_2 dx}{EA} = \Delta\ell_1 + \int_0^\ell \frac{(-F - \rho A\ell + \rho Ax_2)dx}{EA} = \\ &= \Delta\ell_1 + \left[\frac{\rho Ax_2^2}{2EA} - \frac{(F + \rho A\ell)x_2}{EA} \right]_0^\ell \end{aligned}$$

$$x_2 = 0, \quad \Delta\ell_2 = \Delta\ell_1 \quad \text{va} \quad x_2 = \ell, \quad \Delta\ell_2 = -\frac{3F\ell}{2EA} - \frac{3\rho \cdot \ell^2}{2E}$$

misol - 4. Vertikal osilgan po'latdan tayyorlangan sterjen xususiy og'irligi ta'sirida qancha uzunligida emiriladi. Po'lat materialining mustahkamlik chegarasi 30 kg/mm^2 , xususiy og'irligi $\rho = 7800 \text{ kg/m}^3$

Yechish. Faqat xususiy og'irligi bilan yuklangan sterjenni mustahkamlik shartini yozamiz: $\sigma_{\max} = \rho\ell \leq \sigma_B$

bu erdan kritik uzunlik $\ell_s = \frac{\sigma_B}{\rho} = \frac{50 \cdot 10^6}{7800} = 6410 \text{ m}$

misol - 5. Uzunligi 40 m bo'lган pog'onali brus $F=100 \text{ t}$ kuch va xususiy og'irligi bilan yuklangan. Pog'onali brus to'rtta bir xil uzunlikdagi oraliqdan iborat. Pog'onali brus materialining solishtirma og'irligi $2 \frac{\text{t}}{\text{m}^3}$ va ruxsat etilgan kuchlanish $[\sigma] = 80 \frac{\text{t}}{\text{m}^2}$. Pog'onali brusning kesim yuzalaridagi kuchlanishlar hisoblansin?

Yechish. Pog'onali brus yuqori qismining kesim yuzasini topamiz:

$$A_1 = \frac{F}{[\sigma] - \rho\ell_1} = \frac{100}{80 - 2 \cdot 10} = 1,67 \text{ m}^2$$

A_2 kesimga tashqi F kuch va yuqori qismni xususiy og'irligi ta'sir qiladi:

$$A_2 = \frac{F - \rho A_1 \ell_1}{[\sigma] - \rho\ell_2} = \frac{100 + 2 \cdot 1,67 \cdot 10}{80 - 2 \cdot 10} = 2,23 \text{ m}^2$$

Pog'onali brusni uchinchi qismi F kuch, birinchi va ikkinchi pog'onalarini xususiy og'irliliklari ta'sirida:

$$A_3 = \frac{A + \rho\ell(A_1 + A_2)}{[\sigma] - \rho\ell_3} = \frac{100 + 2 \cdot 10(1,67 + 2,23)}{80 - 2 \cdot 10} = 2,97 \text{ m}^2$$

Pog'onali brusni eng pastki qismi G' kuch va undan yuqori qismlarini xususiy og'irliliklari ta'sirida bo'ladi:

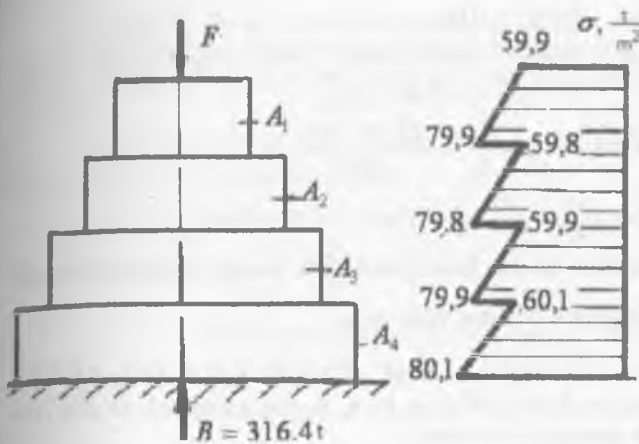
$$A_4 = \frac{F + \rho\ell(A_1 + A_2 + A_3)}{[\sigma] - \rho\ell_4} = \frac{100 + 2 \cdot 10(3,9 + 2,97)}{80 - 2 \cdot 10} = 3,95 \text{ m}^2$$

Pog'onali brusning tayanch kuchini topamiz:

$$\sum x = -F - \pi \cdot \ell(A_1 + A_2 + A_4) + B = 0$$

bu erdan $B = 100 + 2 \cdot 10 \cdot (1,67 + 2,23 + 2,97 + 3,95) = 316,4$

Pog'onali brusning uzunligi bo'ylab kuchlanish epyurasini qurish uchun, uni har bir pog'onasidagi ichki bo'ylama kuchlarini kesish usulidan foydalaniib topamiz.



2.37 – rasm.
Tashqi kuch va
xususiy og'irlilik
ta'siridagi
pog'onali brus
va normal
kuchlanish
epyurasi

I – I qirqim. N_1 , kuchni topish uchun brusni ajratib olingan qismining muvozanat tenglamasini tuzamiz

$$\sum x = -F - A\rho x_1 - N_1 = 0$$

bu erdan: $N_1 = -F - \rho A_1 x_1$ (bo'ylama kuch – siquvchi)

$$\text{normal kuchlanish: } \sigma_1 = \frac{N_1}{A_1} = \frac{-F - \rho A_1 x_1}{A_1} = -\frac{F}{A_1} - \rho x_1$$

$$x_1 = 0, \quad \sigma_1 = -59,9 \frac{t}{m^2}, \quad \text{va} \quad x_1 = 10m \quad \sigma_1 = -79,9 \frac{t}{m^2}$$

II – II qirqim. $0 \leq x_2 \leq 10m$ oraliqdagi brus siquvchi kuch G , brus yuqori qismining xususiy og'irligi va bo'ylama kuch ta'sirida. Bu erdan

$$-F - \rho A_1 l - \rho A_2 x_2 - N_2 = 0; \quad N_2 = -133,4 - 4,46x_2$$

$$\text{normal kuchlanish: } \sigma_2 = \frac{N_2}{A_2} = -\frac{133,4 + 4,46x_2}{2,23}$$

$$x_2 = 0 \quad \sigma_2 = -59,8 \frac{t}{m^2} \quad \text{va} \quad x_2 = 10m; \quad \sigma_2 = -79,82 \frac{t}{m^2}$$

III – III qirqim. $0 \leq x_3 \leq 10m$

Bo'ylama kuch N_3 ni topamiz: $N_3 = -F - \rho A_1 l - \rho A_2 l - \rho A_3 x_3$

$$\text{yoki} \quad N_3 = -178 - 5,94x_3$$

$$\text{Normal kuchlanish: } \sigma_3 = \frac{N_3}{A_3} = -\frac{178 + 5,94x_3}{2,97}$$

$$x_3 = 0 \quad \sigma_3 = -59,93 \frac{t}{m^2}, \quad x_3 = 10m \quad \sigma_3 = -79,93 \frac{t}{m^2}$$

IV – IV qirqim $0 \leq x_4 \leq 10m$

Bo'ylama kuch $N_4 = -F - \rho A_1 \ell - \rho A_2 \ell - \rho A_3 \ell - \rho A_4 x_4$ yoki
 $N_4 = -27,4 - 7,9x_4$

Normal kuchlanish: $\sigma_4 = \frac{N_4}{A_4} = -\frac{237,4 + 79x_4}{3,95}$

$$x_4 = 0 \quad \sigma_4 = -60,1 \frac{t}{m^2} \quad \text{va} \quad x_4 = 10m \quad \sigma_4 = -80,1 \frac{t}{m^2}$$

Pog'onali brusning hamima kesim yuzalarida normal kuchlanish ruxsat etilgan kuchlanish $[\sigma] = 80 \frac{t}{m^2}$ dan katta emas.

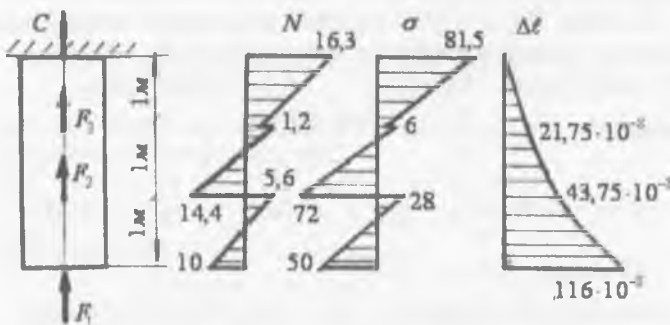
misol- 6. Xususiy og'irligi va tashqi $F_1 = 10 kN$; $F_2 = 20 kN$; $F_3 = 0,5 kN$ kuchlar bilan yuklangan brusni bo'ylama kuch, normal kuchlanish va absolyut uzayish epyuralarini quring (2.38- rasm).

Po'lat materialidan tayyorlangan brusning ko'ndalang kesim yuzasi $0,2 m^2$, materialning solishtirma og'irligi, $\rho = 76 \frac{kN}{m^3}$

Yechish: Brusning muvozanat shartidan foydalanib reaktsiya kuchini topamiz

$$\Sigma x = -c + F_1 + F_2 + F_3 - \rho A \cdot 3 = 0 \quad \text{yoki} \quad C = -16,3 kN$$

Demak, reaktsiya kuchi teskari, ya'ni yuqoriga yo'nalar ekan. Tashqi kuchlarni ta'sir qilish tavsifiga ko'ra brusni uchta oraliqqa bo'lib, ajratilgan qismrlarni uzunligi bo'ylab N, σ va $\Delta \ell$ larni tarqalish qonuniyatini o'rganamiz.



2.38- rasm. Tashqi kuchlar va xususiy og'irlilik ta'siridagi pog'onali brus uchun bo'ylama kuch, normal kuchlanish va absolyut uzayish epyuralari

I-1qirqim. Brusni ajratilgan qismining kesilgan ko'ndalang kesimiga tashlab yuborilgan qismini og'irligini va tashqi kuchlarni ta'sirini N_1 kuch sifatida keltirib qo'yamiz. Natijada brusni ajratib olib qoldirilgan qismi reaktsiya kuchi C , uzunligi

$-x_1$ bo'lgan qismini xususiy og'irligi ρAx_1 va ichki kuch N_1 ta'sirida bo'ladi. Muvozanat shart quyidagicha yoziladi:

$$\sum x = 0; C - \rho Ax_1 - N_1 = 0 \quad \text{yoki} \quad N_1 = C - \rho Ax_1$$

$$\text{Normal kuchlanish } \sigma_1 = \frac{N_1}{A} = \frac{C}{A} - \rho \cdot x_1$$

$$x_1 - \text{uzunlikning uzayishi} \quad \Delta\ell_1 = \int_0^{\ell} \frac{N_1 dx}{EA} = \int_0^{\ell} \frac{(C - \rho Ax_1) dx}{EA};$$

$$\text{yoki} \quad \Delta\ell_1 = \frac{Cx_1 - \rho \cdot x_1^2}{EA} - \frac{2E}{2E}$$

Yuqoridagi tenglamalarga asosan $0 \leq x_1 \leq lm$ oraliqda N va σ to'g'ri chiziqli va $\Delta\ell$ egri chiziq qonuniyati bilan o'zgaradi.

$$x_1 = 0 \quad \text{bўлса} \quad N_1 = 16,3\kappa N; \quad \sigma_1 = 81,5 \frac{\kappa N}{m^2}; \quad \Delta\ell_1 = 0$$

$$x_1 = lm \quad N_1 = 0,7\kappa N \quad \sigma_1 = 3,5 \frac{\kappa N}{m^2} \quad \Delta\ell_1 = 21,25 \cdot 10^{-8} m$$

II - II qirqim. Brusni qo'zg'almas kesimidagi x_2 masofada joylashgan 2-2 kesimi uchun bo'ylama kuch $N_2 = c + F - \rho Ax_2$

$$\text{normal kuchlanish:} \quad \sigma_2 = \frac{N_2}{A}$$

$$x_2 = lm \quad N_2 = 1,2\kappa N \quad \sigma_2 = 6 \frac{\kappa N}{m^2}$$

$$x_2 = 2m; \quad N_2 = -14,4\kappa N \quad \sigma_2 = -7,2 \frac{\kappa N}{m^2}$$

Brusning ajratilgan qismini to'liq uzayishi quyidagicha topiladi:

$$\Delta\ell_2 = \Delta\ell_1 + \int_0^{\ell} \frac{N_2 dx}{EA} = \Delta\ell_1 + \int_0^{\ell} \frac{(C + F_3 - \rho Ax_2) dx}{EA}$$

Hosil bo'lgan tenglamani integrallasak

$$\Delta\ell_2 = \Delta\ell_1 + \frac{(C + F_3)x_2}{EA} - \frac{\rho \cdot x_2^2}{2E}$$

$$x_2 = 0 \text{ da } \Delta\ell_2 = 21,25 \cdot 10^{-8} m \text{ va } x_2 = lm \text{ da } \Delta\ell_2 = 43,75 \cdot 10^{-8} m$$

III - III qirqim. Uzunligi x_3 ga teng bo'lgan brusni muvozanat tenglamasi quyidagicha yoziladi.

$$\sum x = 0. \quad N_3 = C + F_3 + F_2 - \rho Ax_3$$

$$\text{normal kuchlanish} \quad \sigma_3 = \frac{N_3}{A}$$

$$x_3 = 2m \quad \text{бўлса} \quad N_3 = 5,6\kappa N \quad \sigma_3 = 28 \frac{\kappa N}{m^2}$$

$$x_3 = 3m \quad \text{бўлса} \quad N_3 = -10\kappa N \quad \sigma_3 = -50 \frac{\kappa N}{m^2}$$

Brusni to'liq uzayishini topamiz:

$$\Delta\ell_3 = \Delta\ell_2 + \int_0^{N_3 dx} \frac{EA}{dx} = \Delta\ell_2 + \int_0^{(c+F_3+F_2-\rho Ax_3)dx} \frac{EA}{dx} = \\ = 43,75 \cdot 10^{-8} + \frac{36,8x_3}{EA} - \frac{\rho \cdot x_3}{2E}$$

$$x_3 = 3m; \quad \Delta\ell_3 = 43,75 \cdot 10^{-8} m \quad \text{va} \quad x_3 = 1m \quad \Delta\ell_3 = 116,5 \cdot 10^{-8} m$$

misol - 7. Ikki uchi qistirib mahkamlangan brusning uzunligi bo'ylab N, σ va $\Delta\ell$ epyuralarini quring. Ko'ndalang kesimlari $A_1 = A_3 = 2A_2 = 4 \cdot 10^{-3} m^2$ bo'lgan brus $F_1 = 20$ va $F_2 = 10 kN$ tashqi kuchlar bilan yuklangan (2.39 - rasm).

Yechish. Tashqi kuchlar ta'sirida brus uzayishga va siqilishga qarshilik ko'rsatadi va R_K va R_B tayanchlarga tayanadi. Tayanch nuqtalaridan brusga reaktsiya kuchlari ta'sir qiladi. Reaktsiya kuchlarini yo'nalishini va qiymatini aniqlash uchun tuzilgan muvozanat sharti ikkita noma'lum R_K va R_B ni beradi, ya'ni:

$$\sum y = R_K + R_B - F_1 + F_2 = 0$$

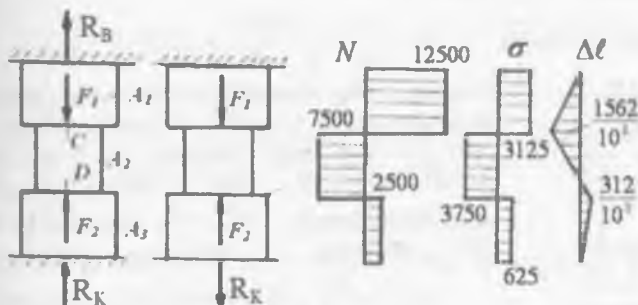
Sistemadagi noma'lumlar soni statikani muvozanat tenglamalaridan ortiqcha. Shuning uchun, konstruktsiya statik aniqlmas masalalarga kiradi. Bunday masalalarni qo'shimcha deformatsiya tenglamalarini tuzish usuli bilan echiladi. Deformatsiyani taqqoslash tenglamasini tuzish tashqi kuchlar ta'sirida tayanchlar oraliq'i masofasi o'zgarmasdan (brusni to'liq deformatsiyasi nolga teng bo'ladi), faqat brusni pog'onalarini uzunligi o'zgarishi, ya'ni sistemani tashqi kuchlar ta'siridagi to'liq uzayishining absolyut qiymati R_K reaktsiya kuchi ta'siridagi to'liq qisqarishni absolyut miqdoriga tengligiga asoslangan:

$$\Delta\ell_K = \Delta\ell_{F_1} - \Delta\ell_{F_2} \quad \text{bu erda} \quad \Delta\ell_1 = \frac{F_1 \cdot 1}{EA}; \quad \Delta\ell_{F_2} = \frac{F_2 \cdot 1}{EA_2} + \frac{F_2 \cdot 1}{EA_1} \\ \text{va} \quad \Delta\ell_K = R_K \left[\frac{1}{EA_1} + \frac{1}{EA_2} + \frac{1}{EA_3} \right] = \frac{2A}{EA_1}$$

$$\text{Demak } \frac{2R_k}{EA_2} = \frac{F_1 + 1}{E2A} - F_2 \left(\frac{1+1}{EA_2} \right) \quad \text{eku} \quad R_k = -\frac{F_2}{4} = -2500N$$

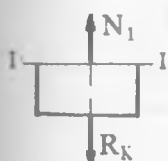
Minus ishorasi, R_K reaksiya kuchini yo'nalishi noto'g'ri qabul qilinganligini bildiradi. Demak, R_K reaksiya kuchini yo'nalishini teskariga yo'naltiramiz va keyingi tenglamalarda minus ishorasini hisobga olmaymiz. R_K tayanch kuchining qiymatini sistemaning muvozanat tenglamasiga keltirib qo'yak, ya'ni

$$-\frac{F_2}{4} + R_B - F_1 + F_2 = 0 \quad \text{bu erdan} \quad R_B = 12,5 \text{ kN}$$



2.39-rasm. Statik noaniq pog'onali brus uchun bo'ylama kuch, normal kuchlanish va absolyut uzayish epyuralari

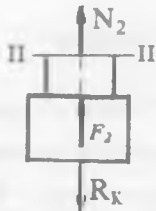
Statik aniqlaslik yo'qotilgandan keyin brusni oraliq pog'onalarida N ; σ va $\Delta\ell$ larni o'zgarishini topamiz va epyurasini quramiz. Buning uchun brusni oraliqlarga bo'lamiz. Qirqimlar chegaralari tashqi kuchlar qo'yilgan nuqtadan va brusni kesim yuzasi o'zgarishi oraliqlaridan o'tgan.



1-1 qirqim.
Ajratilgan brusni muvozanat tenglamasini tuzamiz:

$$\sum y = N_1 - R_K = 0 \quad \text{va} \quad N_1 - R_K = 2500N$$

$$\text{Normal kuchlanish} \quad \sigma_1 = \frac{N_1}{A_3} = \frac{2500}{2 \cdot 2 \cdot 10^{-3}} = 625 \cdot 10^3 \frac{N}{m^2}$$



II - II qirqim. Sxemadan

$$N_2 = K - F_2 = 2500 - 10000 = -7500 \text{ N}$$

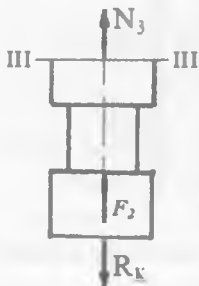
$$\sigma_2 = \frac{N_2}{A_2} = -\frac{7500}{2 \cdot 10^{-3}} = -3750 \cdot 10^3 \frac{\text{N}}{\text{m}^2}$$

III - III qirqim. Brusning ajratilgan qismi $F_1; F_2; R_k$ va N_3 kuchlari ta'sirda. Muvozanat tenglamasi quyidagicha yoziladi.

$$\sum y = N_3 - F_1 + F_2 - R_k = 0.$$

$$\text{bu erdan } N_3 = 12500 \text{ N}$$

$$\text{normal kuchlanish } \sigma_3 = \frac{N_3}{A_3} = \frac{12500}{2 \cdot 2 \cdot 10^{-3}} = 3125 \cdot 10^3 \frac{\text{N}}{\text{m}^2}$$



Brusning to'liq uzayishini topish uchun oraliqlarni chegaralaridagi N o'zgarmas bo'lganligi uchun $\Delta\ell$ bilan bo'ylama kuch orasidagi bog'lanish to'g'ri chiziqli qonuniyat bilan o'zgaradi. K kesim qo'zg'almas, demak, $\Delta\ell_K = 0$. D nuqtani ko'chishi KD oraliqning uzayishiga teng, ya'ni

$$\Delta\ell_D = \frac{N_1 \cdot y_1}{EA_3} \quad y_1 = 0 \quad \Delta\ell_D = \Delta\ell_K = 0$$

$$\text{va } y_1 = 1 \text{ m} \quad \Delta\ell_D = 312,5 \cdot 10^{-8} \text{ m}$$

C nuqtaning to'liq ko'chishi KD va DC masofalar uzayishini yig'indisiga tengdir, ya'ni $\Delta\ell_c = 312,5 \cdot 10^{-8} + \frac{N_2 \cdot y_2}{EA_2}$

$$y_2 = 0 \quad \Delta\ell_c = \Delta\ell_D = 312,5 \cdot 10^{-8} \text{ m}$$

$$y_2 = 1 \text{ m} \quad \Delta\ell_c = -1562,5 \cdot 10^{-8} \text{ m}$$

KB oraliqning to'liq uzayishi

$$\Delta\ell_B = -1562,5 \cdot 10^{-8} + \frac{N_3 \cdot y_3}{EA_1}$$

$$y_3 = 0; \quad \Delta\ell_3 = -1562,5 \cdot 10^{-8} \text{ m}$$

$$y_3 = 1 \text{ m} \quad \Delta\ell_B = -1562,5 \cdot 10^{-8} + \frac{12500 \cdot 1}{2 \cdot 10^{11} \cdot 2 \cdot 2 \cdot 10^{-3}} = 0$$

B nuqta joylashgan kesimini ko'chishi nolga teng, chunki bu kesim bikr mahkamlangan

misol -2.13. Brus tashqi kuchlar ($F_1 = 20 \text{ kN}$ va $F_2 = 10 \text{ kN}$) bilan yuklanganligiga qadar pastki kesimi K tayanch nuqtasi bilan $\Delta = 0,0002 \text{ m}$ masofa hosil qilgan. Brusning DS oraliq uzunligi $\Delta t = 20^\circ$ ga qizdirilgan (2.40-rasm). Agar brusning tashqi kuchlar va harorat ta'siridagi to'liq uzayishi natijasida Δ masofa yopilib brus bilan tayanch orasida o'zaro ta'sir kuchlari hosil bo'lisa sistema statik noaniq bo'ladi; Δ masofa yopilmasa yoki yopilib brus bilan tayanch orasida o'zaro ta'sir kuchlari hosil bo'lmasa, sistema statik aniq bo'ladi. Berilgan sistema qaysi holatga to'g'ri kelishini aniqlash uchun «N» kesimning to'liq uzayishini topamiz.

$$\Delta_n = \Delta F_1 - \Delta_{F_2} + \Delta_t = \frac{F_1 \cdot 1}{EA_1} - \frac{F_2 \cdot 1}{EA_2} - \frac{F_2 \cdot 1}{EA_1} + \alpha \cdot \Delta t \cdot 1 = \\ \frac{1}{EA_2} \left(\frac{20 \cdot 1}{2} - 10 \cdot 1 - \frac{10 \cdot 1}{2} + 125 \cdot 10^{-3} \cdot 20 \cdot 1 \right) = 0,0002375 \text{ m}$$

Demak, $\Delta_n > \Delta$ yoki $0,0002375 > 0,0002 \text{ m}$, natijada N kesim K tayanch bilan tutashadi va K tayanchda R_K reaksiya kuchi hosil bo'lib, sistema statik noaniq sistemaga aylanadi. Masalani Yechish uchun sistemani muvozanat tenglamasini tuzamiz:

$$\sum v = R_K + R_B + F_2 - F_1 = 0$$

Sistemani aniqmaslik darajasini ochish uchun qo'shimcha deformatsiya tenglamasini tuzamiz: $\Delta_H - \Delta = \Delta_K$

bu erda $\Delta_K = R_K \left(\frac{1}{EA_1} + \frac{1}{EA_2} + \frac{1}{EA_3} \right)$ brusni R_K reaksiya kuchi

$$\text{ta'siridan uzayishi } 0,0002375 - 0,0000375 = R_K \left(\frac{1}{EA_1} + \frac{1}{EA_2} + \frac{1}{EA_3} \right)$$

$$\text{yoki } R_K = \frac{(0,002375 - 0,002) \cdot 2 \cdot 10^{11} \cdot 2 \cdot 10^{-3}}{2} = 7500 \text{ N}$$

$$R_B = F_1 - F_2 - R_K = 20000 - 10000 - 7500 = 2500 \text{ N}$$

Brusni oraliqlarga bo'lib N ; σ va $\Delta\ell$ larni hisoblaymiz.

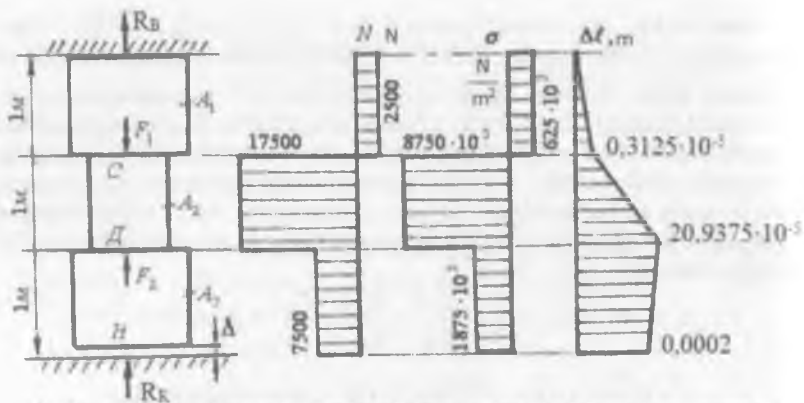
1-1 qirqim. $N_1 = R_B = 2,5kH = 2500H$ $N_1 = R_B = 2500N$ va

$$\sigma_1 = \frac{N_1}{A_1} = \frac{2500}{2 \cdot 2 \cdot 10^{-3}} = 625 \cdot 10^3 \frac{N}{m^2}$$

V tayanch kesimning ko'chishi nolga teng, ya'ni $\Delta\ell_s = 0$.

S kesimning ko'chishi VS masofani to'liq uzayishiga teng, ya'ni:

$$\Delta\ell_s = \frac{N_1 \cdot 1}{EA_1} = \frac{2500 \cdot 1}{2 \cdot 10^{11} \cdot 2 \cdot 2 \cdot 10^{-3}} = 312,5 \cdot 10^{-8} \text{ m}$$



2.40 – rasm. Statik noaniq pog'onalni brus uchun bo'ylama kuch, normal kuchlanish va absolyut uzayish epyuralari

II-II – qirqim.

$$\text{Bo'ylama kuch } N_2 = B - F_1 = 2500 - 20000 = -17500 \text{ N}$$

$$\text{va normal kuchlanish } \sigma_2 = \frac{N_2}{A_2} = -\frac{17500}{2 \cdot 10^3} = -8750 \cdot 10^3 \frac{\text{N}}{\text{m}^2}$$

BD oraliqning to'liq uzayishi quyidagicha topiladi:

$$\Delta l_D = 312,5 \cdot 10^{-8} + \frac{N_2 \cdot 1}{E A_2} + \alpha \cdot \Delta t \cdot 1 = 312,5 \cdot 10^{-8} - \frac{17500 \cdot 1}{2 \cdot 10^{11} \cdot 2 \cdot 10^{-3}} + \\ 125 \cdot 10^{-7} \cdot 20 \cdot 1 = 0,00209375 \text{ m}$$

III-III qirqim

$$N_3 = B - F_1 + F_2 = 2500 - 20000 + 10000 = -7500 \text{ N}$$

$$\sigma_3 = \frac{N_3}{A_3} = -\frac{7500}{2 \cdot 2 \cdot 10^{-3}} = -1875 \cdot 10^3 \frac{\text{N}}{\text{m}^2}$$

N kesimning ko'chishi yoki brusning to'liq uzayishi

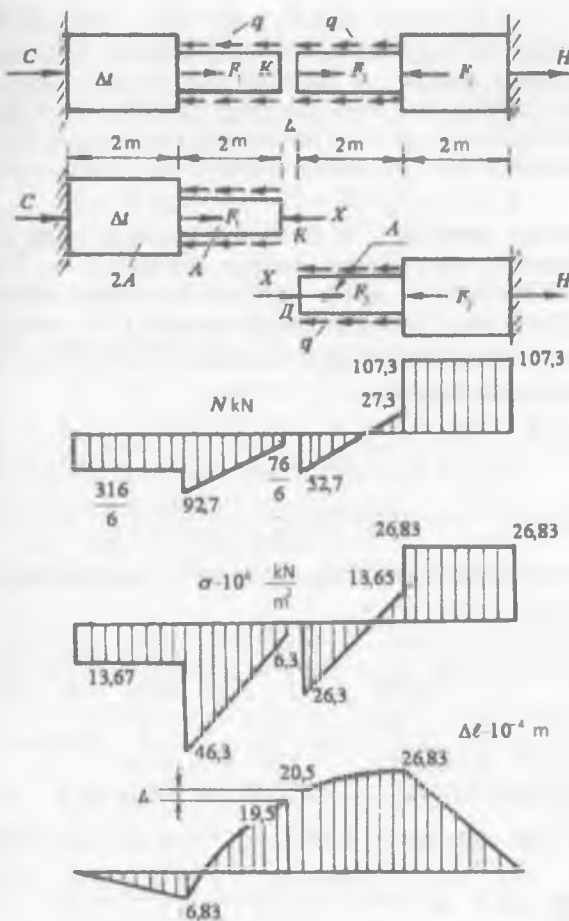
$$\Delta l_f = 0,00209375 + \frac{N_3}{E A_3} = 0,00209375 - \frac{7500 \cdot 1}{2 \cdot 10^{11} \cdot 2 \cdot 2 \cdot 10^{-3}} = 0,002 \text{ m}$$

misol- 9._Brusning pastdan birinchi va ikkinchi (8 – misolda berilgan qiymatlardan foydalanamiz) pog'onalarini orasida

$\Delta = 0,001 \text{ m}$. masofa bor. Δ masofa yopilgunga qadar, tashqi kuch ta'sirida brusning har bir bo'lagi alohida deformatsiyalanadi (2.41 a – rasm).

Yechish: Sistemani $\Delta = 1 \cdot 10^{-4} \text{ m}$ masofani yopilish yoki yopilmasligini tekshirish uchun *D* va *K* nuqtalar deformatsiyasini Δ ga tenglashtiramiz:

$$\Delta_K + \Delta_D = \Delta$$



2.41-rasm. Statik noaniq pog'onalni brus uchun bo'ylama kuch, normal kuchlanish va absolyut uzayish epyuralari

$$\Delta_K = \frac{F_1 \cdot 2}{E2A} - q \cdot 2 \left(\frac{2}{E2A} + \frac{2}{2EA} \right) + \alpha \cdot 2 \cdot \Delta t = \frac{F_1 - 4q}{EA} + 2 \cdot \alpha \cdot \Delta t$$

$$\Delta_D = -\frac{F_3 \cdot 2}{EA} - \frac{F_3 \cdot 2}{E2A} + \frac{F_2 \cdot 2}{E2A} + 2q \left(\frac{2}{2EA} + \frac{2}{E2A} \right) \quad \text{yoki}$$

$$\Delta_D = \frac{-3F_3 + F_2 + 4q}{EA}$$

$$\text{Unda } \frac{F_1 - 4q}{EA} + 2 \cdot \alpha \cdot \Delta t + \frac{F_2 - 3F_3 + 4q}{EA} = \Delta \quad \text{yoki}$$

$$F_1 - 4q + 2EA\alpha \cdot \Delta t + F_2 - 3F_3 + 4q = \Delta EA; \quad 80 > \Delta EA$$

Demak, pog'onali brusning pastki va yuqori qismlarini deformatsiyalarining yig'indisi pog'onalar orasidagi Δ dan katta ekan. D va K nuqtalar orasidagi masofa yopiladi. Sisterna statik noaniq sistemaga aylanadi. C va N tayanchlardagi reaktsiya kuchlari sistemaga qo'yilgan barcha tashqi kuchlarga bog'liq bo'ladi.

Sistemani muvozanat tenglamasini tuzamiz (2.41a - rasm)

$$\sum x = c + F_1 - 2q + F_3 - F_2 - 2q + H = 0$$

Tenglamadagi noma'lum S va N reaktsiya kuchlarini topish uchun asosiy sistemani tanlaymiz. Asosiy sistema, berilgan sistemani K va D nuqtalariga pog'onali bruslarni Δ masofa yopilgandan keyin bir-birlariga o'zaro ta'sirlarini almashtiruvchi noma'lum X kuchini ko'rsatilgan sxemasi (2.41 - rasm, b).

Asosiy sistema K va D nuqtalarining ko'chishlarini $F_1; F_2; F_3; q; x$ kuchlari va Δt harorati farqi orqali ifodalaymiz.

$$\begin{aligned} \Delta_{DX} &= -\frac{F_3 \cdot 2}{EA} - \frac{F_3 \cdot 2}{E2A} - x \left(\frac{2}{EA} + \frac{2}{E2A} \right) + \frac{F_2 \cdot 2}{E2A} + 2q \left(\frac{2}{E2A} + \frac{2}{E2A} \right) \\ \Delta_{KX} &= \frac{F_1 \cdot 2}{2EA} + \alpha \cdot \Delta t \cdot 2 - 2q \left(\frac{2}{2EA} + \frac{2}{2EA} \right) - x \left(\frac{2}{EA} + \frac{2}{2EA} \right) \end{aligned}$$

K va D nuqtalar ko'chishlarining yig'indisini Δ masofaga tenglashtiramiz.

$$\Delta_{KX} + \Delta_{DX} = \Delta \quad \text{yoki}$$

$$\begin{aligned} \frac{F_1 \cdot 2}{2EA} + \alpha \cdot \Delta t \cdot 2 - 2q \left(\frac{2}{2EA} + \frac{2}{E2A} \right) - x \left(\frac{2}{EA} + \frac{2}{2EA} \right) - \frac{2F_3}{EA} - \frac{2F_3}{E2A} - \\ - x \left(\frac{2}{EA} + \frac{2}{E2A} \right) + \frac{2F_2}{E2A} + 2q \left(\frac{2}{E2A} + \frac{2}{E2A} \right) = \Delta \quad \text{bu erdan} \end{aligned}$$

$$F_1 + 2EA \cdot \alpha \cdot \Delta t - 4q - 3x - 3F_3 - 3x + F_2 + 4q = \Delta EA \quad \text{yoki}$$

$$-6x + 40 - 120 + 80 + 2 \cdot 2 \cdot 10^8 \cdot 2 \cdot 10^{-4} \cdot 125 \cdot 10^{-7} \cdot 80 = \Delta EA$$

$$6x = 80 - \Delta EA \quad \text{va} \quad x = \frac{80 - 1 \cdot 10^{-1} \cdot 2 \cdot 10^8 \cdot 2 \cdot 10^{-4}}{6} = \frac{76}{6}, \kappa N$$

Sistemaning har ikkala qismlarini muvozanat shartlaridan foydalanib C va N reaktsiya kuchlarini topamiz.

$$\sum x = 0; \quad C + F_1 - 2q - x = 0 \quad \text{yoki} \quad C = \frac{316}{6}, \kappa N$$

$$\sum x = 0; \quad H + x + F_3 - F_2 - 2q = 0 \quad \text{yoki}$$

$$H = -\frac{76}{6} - 40 + 80 + 80 = \frac{644}{6}, \kappa N$$

Topilgan reaktsiya kuchlarining to'g'ri aniqlanganligini tekshiramiz:

$$\sum x = C + F_1 - 2q + F_3 - F_2 - 2q + H = 0 \quad \text{yoki}$$

$$\frac{316}{6} + 40 - 80 + 40 - 80 - 80 + \frac{644}{6} = 0; \quad 960 - 960 = 0$$

Endi, sistemani oraliqlarga bo'lib har bir pog'onadagi ichki bo'ylama kuch N_1 normal kuchlanish σ_1 , bo'ylama deformatsiya $\Delta\ell_1$ larni topamiz.

I-1qirqim. $\sum x = C + N_1 = 0$ va $N_1 = -\frac{316}{6} \kappa N$ (siquvchi)

$$\sigma_1 = \frac{N_1}{2A} = -\frac{316}{6 \cdot 2 \cdot 2 \cdot 10^{-4}} = -13,167 \cdot 10^4 \cdot \frac{\kappa N}{m^2}$$

x_1 - oraliqdagi brus C - reaktsiya kuchi va Δt haroratlari

farqi ta'sirida deformatsiyalaniadi: $\Delta\ell_1 = \frac{N_1 x_1}{E2A}$

$$x_1 = 0 \quad bo'lسا \quad \Delta\ell_1 = 0$$

$$x_1 = 2m \quad bo'lسا \quad \Delta\ell_1 = 6,83 \cdot 10^{-4} m$$

II-II qirqim. Ajratilgan qismning muvozanat shartidan

$$\sum x = c + N_2 + F - qx_2 = 0 \quad bo'ylama kuch \quad N_2 = -c - F_1 + qx_2$$

normal kuchlanish $\sigma_2 = \frac{N_2}{A}$, bo'ylama deformatsiya

$$\Delta\ell_2 = \Delta\ell_1 + \int_0^2 \frac{N_2 dx}{EA} = \Delta\ell_1 + \int_0^2 \frac{(-c - F_1 + qx_2) dx}{EA} = \Delta\ell_1 - \frac{(c + F_1)x_2}{EA} + q \frac{x_2^2}{2EA};$$

$$x_2 = 0; \quad N_2 = -92,7 \kappa N; \quad \sigma_2 = -46,3 \cdot 10^4 \frac{\kappa N}{m^2} \quad \Delta\ell_2 = 6,83 \cdot 10^{-4} m$$

$$x_2 = 2m; \quad N_2 = -\frac{76}{6} \kappa N; \quad \sigma_2 = -6,3 \cdot 10^4 \frac{\kappa N}{m^2}; \quad \Delta\ell_2 = -19,5 \cdot 10^{-4} m$$

III-III qirqim.

$$\sum x = 0; \quad H - N_3 = 0, \quad N_3 = H = \frac{644}{6} = 107,3 \kappa N$$

$$\text{Normal kuchlanish } \sigma_3 = \frac{N_3}{2A} = \frac{644}{6 \cdot 2 \cdot 2 \cdot 10^{-4}} = 26,83 \cdot 10^4 \frac{\kappa N}{m^2}$$

bo'ylama deformatsiya: $\Delta\ell_3 = \frac{N_3 x_3}{E2A}$

$$x_3 = 0 \quad bo'lسا \quad \Delta\ell_3 = \Delta\ell_H = 0$$

$$x_3 = 2m \quad bo'lسا \quad \Delta\ell_3 = 26,83 \cdot 10^{-4} m$$

IV-IV qirqim. Ichki kuchni topamiz $\sum x = -N_4 - qx - F_2 + H = 0$
tenglamadan $N_4 = H - F_2 - qx = 107,3 - 80 - qx = 27,3 - 40x$

$$\text{Normal kuchlanish} \quad \sigma_4 = \frac{N_4}{A} = \frac{27,3 - 40x}{A}$$

bo'ylama deformatsiya

$$\Delta\ell_4 = \Delta\ell_3 + \int_0^2 \frac{N_4 dx}{EA} = \Delta\ell_3 + \int_0^2 \frac{(27,3 - 40x)dx}{EA} = \Delta\ell_3 + \frac{27,3x}{EA} - 40 \frac{x^2}{2EA}$$

$$x_4 = 0; N_4 = 27,3 \kappa N; \sigma_2 = 13,65 \cdot 10^4 \frac{\kappa N}{m^2} \quad \Delta\ell_4 = 26,83 \cdot 10^{-4} m$$

$$x_4 = 2m \quad N_4 = -52,7 \kappa N; \quad \sigma_2 = -26,3 \cdot 10^4 \frac{\kappa N}{m^2} \quad \Delta\ell_4 = 20,5 \cdot 10^{-4} m$$

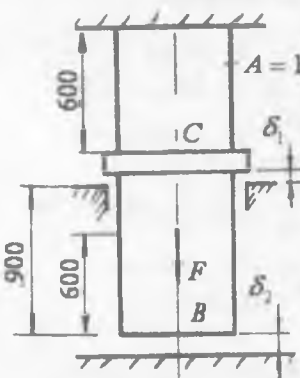
Pog'onali brusni K va D nuqtalari orasida $\Delta = 1 \cdot 10^{-4} m$ masofa bor.

Pog'onali brus tomonlarini to'liq ko'chishlarining farqi Δ teng bo'lishi kerak.

$$\Delta = \Delta\ell_4 - \Delta\ell_2 = (20,5 - 19,5) \cdot 10^{-4} = 1 \cdot 10^{-4} m$$

misol - 10. Po'latdan tayyorlangan sterjen sxemada (2.42 - rasm) ko'rsatilganidek G' kuch bilan yuklangan. G' kuchni qaysi qiymatida δ_1 va δ_2 oraliqlar yopiladi

$$E_n = 2 \cdot 10^2 \frac{\kappa N \cdot m}{mm^2}$$



2.42 - rasm

$F = F_2$ kuch ta'sirida sterjenning $(900 - 600) mm$ uzunligi ortadi. Unda

$$\text{sterjenning uchi pastki tayanchga tayanishi uchun } \Delta\ell_B = \delta_1 + \frac{F_2 \cdot 300}{E_n \cdot A} = \delta_2$$

masofani bosib o'tadi, ya'ni

$$\frac{F_2 \cdot 300}{E_n \cdot A} = \delta_2 - \delta_1 = 0,25 - 0,1 = 0,15 mm \quad \text{va} \quad F_2 = 10 \kappa N$$

misol - 11. CD brus, 2.43 - rasmda ko'rsatilganidek yuklangan va OB yog'ochga tayanadi. Tashqi F kuch ta'sirida D nuqta 3 mm pastga ko'chadi. OB yog'och sterjenning ko'ndalang kesim yuzasi o'lchamlari $0,2 \times 0,2\text{ m}$. bo'lib, kvadrat. Yog'och sterjenning kesimidagi kuchlanish va F kuchning qiymati topilsin.

Yechish. OB yog'och sterjenning deformatsiyasini topamiz

$$\text{Sxemadan (2.43-rasm, b)} \Delta D D_1 C \approx \Delta B B_1 C; \quad \frac{D D_1}{DC} = \frac{B B_1}{DC} \quad \text{yoki}$$

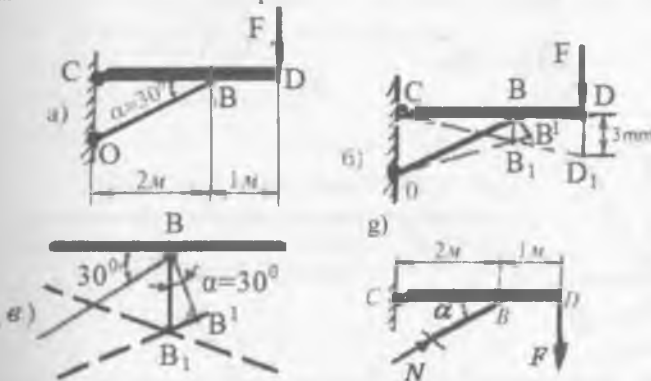
$$B B_1 = \frac{D D_1}{DC} \cdot BC = 3 \cdot 10^{-3} \cdot \frac{2}{3} = 2 \cdot 10^{-3}\text{ m}$$

$$\Delta B B_1 B^1 - \text{dan (2.43 - rasm, v)} \quad \frac{B B^1}{B B_1} = \sin 30^\circ$$

yoki $B_1 B^1 = B B_1 \cdot \sin 30^\circ$, $B_1 B^1 = \frac{N \ell_{OB}}{EA}$ yog'och sterjenning uzayishini

$$\text{hisobga olsak, } B_1 B^1 = \Delta \ell = 2 \cdot 10^{-3} \cdot \frac{1}{2} = \frac{N \ell_{OB}}{EA} \quad \text{va} \quad \frac{N \ell_{OB}}{EA} = 1 \cdot 10^{-3}, \text{m}$$

tenglamadan ichki kuch N ni topamiz



- 2.43 - rasm. Statik aniq masala:** a) berilgan sxema;
b) sterjenni deformatsiyasi; v) sterjen V nuqtasining ko'chishi;
g) sistemani yuklanish sxemasi

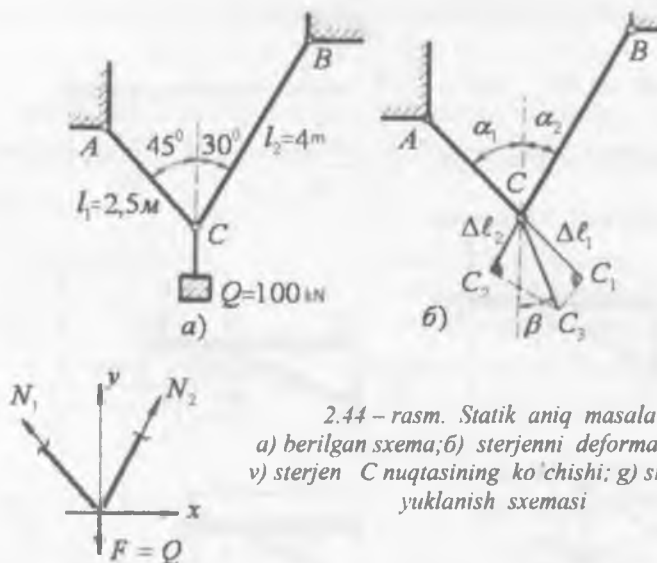
$$N = \frac{1 \cdot 10^{-3} EA}{\ell_{OB}} = \frac{1 \cdot 10^{-3} \cdot 10^7 \cdot 0,2 \cdot 0,2}{\frac{2}{\cos 30^\circ}} = 0,0173 \cdot 10^4, \text{kN}$$

$$OB \text{ sterjen siqiladi} \quad \sigma = \frac{N}{A} = -0,433 \cdot 10^4, \frac{\kappa N}{m^2}$$

Sistemaning muvozanat shartidan foydalanib tashqi G' kuchni topamiz:
 $\sum M_c = F \cdot 3 - N \cdot \sin \alpha \cdot 2 = 0$, va

$$F = \frac{2}{3} N \cdot \sin \alpha = \frac{2}{3} \cdot 0,0173 \cdot 10^4 = 57,6 \text{ kN}$$

misol – 12. Berilgan sterjenlar sistemasidagi S nuqta-ning to'liq ko'chishi Δ gorizontal Δ_g va vertikal ko'chishlari Δ_h topilsin. Uzunliklari $\ell_1 = 2,5 \text{ m}$ va $\ell_2 = 4 \text{ m}$ bo'lган sterjenlarning mustahkamligi bir xil, materiallari esa, birinchisi alyuminiy, ikkinchisi - po'lat.



2.44 – rasm. Statik aniq masala:

- a) berilgan sxema; b) sterjenni deformatsiyasi;
 v) sterjen C nuqtasining ko'chishi; g) sistemani
 yuklanish sxemasi

Yechish: Sterjenlardagi ichki kuchlarni kesish usulidan foydalanib ko'rsatamiz.

$$\sum x = -N_1 \cos 45^\circ + N_2 \cos 60^\circ = 0$$

bu erdan $N_1 = N_2 \frac{\cos 60^\circ}{\cos 45^\circ} = \frac{N_2}{\sqrt{2}}$ (a)

$$\sum y = N_1 \cos 45^\circ + N_2 \cos 30^\circ - F = 0 \text{ yoki}$$

(a) tenglamani hisobga olsak $N_2 \cdot \frac{1}{\sqrt{2}} \cdot \frac{\sqrt{2}}{2} + N_2 \frac{\sqrt{3}}{2} = F$,

Bu erdan $N_2 = 73,6 \text{ kN}$ va $N_1 = 51,8 \text{ kN}$

Birinchi va ikkinchi sterjenlarning mustahkamlik shartlaridan kesim yuzalarini aniqlaymiz.

$$\sigma_{\max}^1 = \frac{N_1}{A_1} \leq [\sigma] \text{ dan} \quad A_1 = \frac{N_1}{[\sigma]} = \frac{51,8}{150 \cdot 10^3} = 0,345 \cdot 10^{-3} m^2$$

$$\sigma_{\max}^2 = \frac{N_2}{A_2} \leq [\sigma] \text{ va } A_2 = \frac{N_2}{[\sigma]} = \frac{73}{150 \cdot 10^3} = 0,487 \cdot 10^{-3} m^2$$

Guk qonunidan foydalanib sterjenlarning absolyut uzayishlarini topamiz

$$\Delta\ell_1 = \frac{N_1 \ell_1}{E_a \cdot A_1} = \frac{51,8 \cdot 2,5}{0,7 \cdot 10^8 \cdot 0,345 \cdot 10^{-3}} = 536,2 \cdot 10^{-5} m$$

$$\Delta\ell_2 = \frac{N_2 \ell_2}{E_a \cdot A_2} = \frac{73 \cdot 4}{2 \cdot 10^8 \cdot 0,487 \cdot 10^{-3}} = 299,8 \cdot 10^{-5} m$$

C nuqtani to'liq ko'chishini quyidagiicha topamiz (2.44 – rasm, b).

Sterjenlarni absolyut uzayishlari $\Delta\ell_1$ va $\Delta\ell_2$ lar ning, sterjenlarni o'qi bo'ylab har xil mashtabda joylashtirib C_1 va C_2 nuqtalarni hosil qilamiz. S_1 va S_2 nuqtalardan CC_1 va CC_2 larga perpendikulyar o'tkazamiz. Perpendikulyarning tutashgan nuqtasi C_3 bilan C nuqtani birlashtirib Δ yo'nalishni topamiz. To'liq ko'chish Δ vertikal chiziq bilan β burchakni tashkil qiladi. Hosil bo'lgan sxemadan quyidagi tenglamani keltirib chiqaramiz:

$$\frac{\Delta\ell_1}{\cos(\alpha_1 - \beta)} = \frac{\Delta\ell_2}{\cos(\alpha_2 + \beta)}$$

bu erda $\cos(\alpha_1 - \beta) = \cos\alpha_1 \cos\beta + \sin\alpha_1 \cdot \sin\beta$
 $\cos(\alpha_2 + \beta) = \cos\alpha_2 \cos\beta - \sin\alpha_2 \cdot \sin\beta$

Unda: $\frac{\Delta\ell_1}{\Delta\ell_2} = \frac{\cos 45^\circ \cos\beta + \sin 45^\circ \cdot \sin\beta}{\cos 30^\circ \cos\beta - \sin 30^\circ \cdot \sin\beta}$

$$\frac{\Delta\ell_1}{\Delta\ell_2} = \frac{0,707 + 0,707 \frac{\sin\beta}{\cos\beta}}{0,866 - 0,5 \frac{\sin\beta}{\cos\beta}} = \frac{0,707 + 0,707 \cdot \operatorname{tg}\beta}{0,866 - 0,5 \operatorname{tg}\beta} \quad \text{bu erdan}$$

$$\operatorname{tg}\beta = \frac{0,866 \Delta\ell_1 - 0,707 \Delta\ell_2}{0,707 \Delta\ell_2 + 0,5 \Delta\ell_1}; \quad \operatorname{tg}\beta = 0,525; \quad \beta = 27^\circ$$

Sxemadan $\Delta = \frac{\Delta\ell_1}{\cos(\alpha_1 - \beta)} = \frac{536,2 \cdot 10^{-5}}{\cos(45 - 27)^\circ} = 563,8 \cdot 10^{-5} m$

C nuqtaning gorizontal tekislikda ko'chishi

$$\Delta_x = \Delta \cdot \sin\beta = 563,8 \cdot 10^{-5} \cdot \sin 27^\circ = 255,7 \cdot 10^{-5} m$$

va vertikal ko'chishi

$$\Delta_b = \Delta \cdot \cos\beta = 563,8 \cdot 10^{-5} \cdot \cos 27^\circ = 501,8 \cdot 10^{-5} m$$

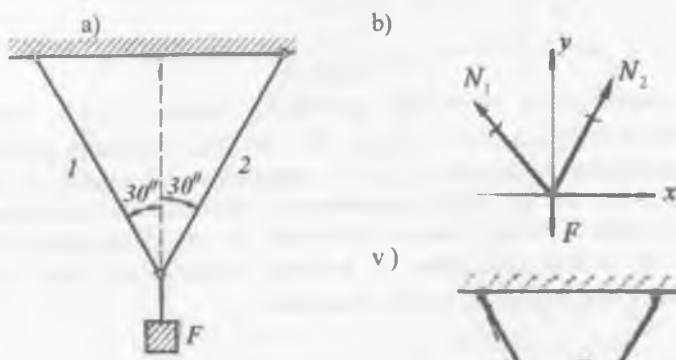
misol-13. Berilgan sterjenlar sistemasidagi B nuqtaning to'liq ko'chishini toping. Berilgan:

$$\ell_1 = \ell_2 = 3m, A_1 = A_2 = 1 \cdot 10^{-4} m^2, F = 10 \kappa N, E = 1 \cdot 10^8 \frac{\kappa N}{m^2}$$

Yechish: Sterjenlardagi ichki kuchlarni topish uchun sistemani muvozadan tenglamalarini tuzamiz (2.45 - rasm, b)

$$\sum x = N_1 \sin 30^\circ - N_2 \sin 30^\circ = 0$$

$$\sum y = N_1 \cos 30^\circ + N_2 \cos 30^\circ - F = 0$$



2.45 - rasm.. Statik aniq masala:

- a) berilgan sxema;
- b) sterjenni yuklanish sxemasi;
- v) sterjen B nuqtasining ko'chishi;

$N_1 = N_2$ tenglikni hisobga olsak,

$$N_1 = \frac{F}{2 \cdot \cos 30^\circ} = \frac{10}{2 \cdot 0.866} = 5,77 \kappa N$$

G' kuch ta'siridan sterjenlar uzayadi, B nuqta B_1 nuqtaga ko'chadi (2.45 - rasm, v)

$$\text{Sxemadan } \Delta BB_1 B^1 \text{ dan } \frac{B_1 B^1}{BB_1} = \cos 30^\circ \text{ va } BB_1 = \frac{B_1 B^1}{\cos 30^\circ}$$

$B_1 B^1 = \Delta \ell_2$ ikkinchi sterjen absolyut uzayishini Guk qonuni

$$\text{orqali ifodalaymiz: } \Delta \ell_2 = \frac{N_2 \cdot 3}{EA} = \frac{5,77 \cdot 3}{1 \cdot 10^8 \cdot 1 \cdot 10^{-4}} = 17,31 \cdot 10^{-4} m$$

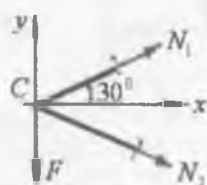
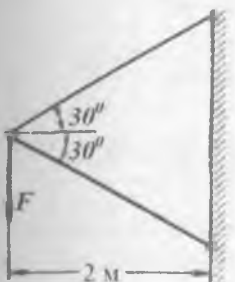
$$\text{Unda } BB_1 = \Delta = \frac{17,31 \cdot 10^{-4}}{0,866} \approx 20 \cdot 10^{-4} m$$

misol – 14. Berilgan sterjenlar sistemasidagi C nuqtaning to'liq ko'chishi topilsin (2.46 – rasm)

$$\text{Berilgan: } E = 2 \cdot 10^8 \frac{\kappa N}{m^2}; [\sigma]^1 = 100 \text{ MPa}; [\sigma]^2 = 160 \text{ MPa}$$

Birinchi sterjen ikkita N12 shvelleridan, ikkinchisi N24 qo'shtavrdan tashkil topgan. Unda

$$A_1 = 13,3 \cdot 10^{-4} \text{ m}^2; A_2 = 34,8 \cdot 10^{-4} \text{ m}^2$$



2.46 – rasm. Statik aniq sterjenlar sistemasi.

Yechish: Sistemadagi ichki kuchlar yordamida sterjenlarga qo'yilishi mumkin bo'lgan F kuchni topamiz

$$\sum x = N_1 \cos 30^\circ + N_2 \cos 30^\circ = 0 \quad a)$$

$$\sum Y = -F + N_1 \sin 30^\circ - N_2 \sin 30^\circ = 0 \quad (a)$$

(a) tenglamadan $N_1 = -N_2$ ni hisobga olsak,

$$N_1 = -\frac{F}{2 \cdot \sin 30^\circ} = -F$$

Birinchi sterjenning mustahkamlik shartidan foydalanib

$$G' \text{ kuchni topamiz: } \sigma' = \frac{N_1}{2A_1} \leq [\sigma]^1 \quad \text{va}$$

$$N_1 = F = 2 \cdot 13,3 \cdot 10^{-4} \cdot 160 \cdot 10^3 = 425 \text{ kN}$$

Ikkinci sterjenning mustahkamlik shartiga ko'ra G' kuchni topamiz. $\sigma^{11} = \frac{N_2}{A_2} \leq [\sigma]^1$. va $F = A_2 [\sigma]^1 = 34,8 \cdot 10^{-4} \cdot 100^3 = 348 \text{ kN}$

Sistemaga qo'yilishi mumkin bo'lgan kuch $F = 348 \text{ kN}$ -ni qabul qilamiz. Sterjenlarning uzayishini topamiz.

$$\Delta \ell_1 = \frac{N_1 \ell_1}{E 2 A_1} = \frac{348 \cdot 2,31}{2 \cdot 10^8 \cdot 2 \cdot 13,3 \cdot 10^{-4}} = 15,11 \cdot 10^{-4} \text{ m}$$

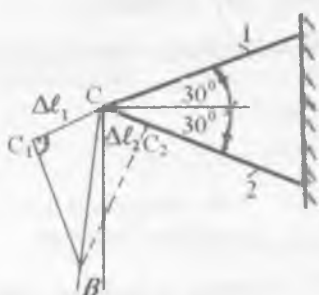
$$\Delta \ell_2 = \frac{N_2 \ell_2}{E A_2} = \frac{348 \cdot 2,31}{2 \cdot 10^8 \cdot 34,8 \cdot 10^{-4}} = 11,55 \cdot 10^{-4} \text{ m}$$

C nuqtaning to'liq ko'chishini topish uchun quyidagi sxemani tuzamiz:

$$2.47\text{-rasmga asoslanib } \Delta = \frac{\Delta \ell_1}{\cos(60^\circ - \beta)} = \frac{\Delta \ell_2}{\cos(60^\circ + \beta)}$$

$$\cos(60^\circ - \beta) = \cos 60^\circ \cos \beta + \sin 60^\circ \sin \beta$$

$$\cos(60^\circ + \beta) = \cos 60^\circ \cos \beta - \sin 60^\circ \sin \beta$$



2.47 – rasm. C nuqtaning ko'chishi

larni hisobga olib, ayrim o'zgarishlardan keyin $\frac{\Delta\ell_1}{\Delta\ell_2} = \frac{1+\tg 60^\circ \tg \beta}{1-\tg 60^\circ \tg \beta}$ ni hosil qilamiz.

$$\text{bu erda } \frac{\Delta\ell_1}{\Delta\ell_2} = \frac{15,11 \cdot 10^{-4}}{11,55 \cdot 10^{-4}} = 1,3$$

$$\text{Unda } \tg \beta = \frac{0,3}{3,9836} = 0,0753 \quad \text{va}$$

$$\beta = 4^\circ 30'$$

S nuqtaning to'liq ko'chishi

$$\Delta = \frac{\Delta\ell_1}{\cos(60^\circ - \beta)} = \frac{15,11 \cdot 10^{-4}}{\cos 55^\circ 30'} = 27 \cdot 10^{-4} m$$

misol – 15. Uzunligi $\ell = 1 m$, kesim yuzasi $A_1 = A_2 = A = 2 \cdot 10^{-4} m^2$ bo'lgan va po'latdan tayyorlangan 1 va 2 sterjenlarga qo'zg'aluvchan sharnirli vositasida absolyut qattiq brusga mahkamlangan (2.48 – rasm).

1) sistemaga qo'yilishi mumkin bo'lgan ruxsat etilgan P_{pyx} yukning sterjenlardagi eng katta kuchlanishni $[\sigma] = 160 mPa$. ga tenglashtirib topilsin

2) oquvchanlik chegarasida $\sigma_{ok} = 240 mPa$ dan foydalanib

cheqli yuk F_{ulx} topilsin.

Tashqi F kuch ta'sirida OB brus O sharnir atrofida aylanadi. Natijada 1 sterjen siqiladi 2 sterjen cho'ziladi .

Yechish: Kesish usulidan foydalanib ichki bo'ylama kuchlarni aniqlaymiz (2.48 – rasm). Sistemani muvozanat holatini ifodalovchi statikaning tenglamalarini tuzamiz:

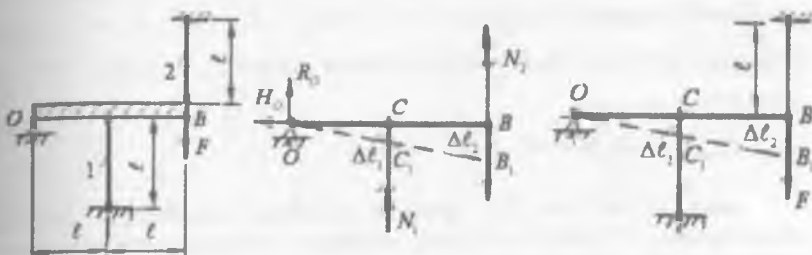
$$\sum x = H_o = 0$$

$$\sum y = R_o + N_1 + N_2 = 0$$

$$\sum M_o = -N_1 \cdot \ell - N_2 \cdot 2\ell + F \cdot 2\ell = 0$$

Ushbu tenglamalardan, ko'rinishicha sterjenlardagi noma lum ($N_1 : N_2$) ichki kuchlari va tayanch kesimidagi reaktsiya kuchlari (R_o, H_o) statikaning tenglamalaridan ko'p ekan. Demak, berilgan sistema statik aniq emas. Sxemadagi noma lum R_o va H_o reaktsiya kuchlarini topish masalaning shartida

ko'rsatilmagan va umuman R_o va H_o reaksiyalar ichki bo'ylama kuchlar va sterjenlardagi



2.48 - rasm. Statik noaniq sterjenlar sistemasining yuklanish va sterjenlar deformatsiyalarining o'zaro bog'lanish sxemasi

kuchlanishlarga ta'siri yo'q. Shuning uchun reaksiya kuchlarini topmaymiz.

Sistemaning aniqmaslik darajasi $S = n - 1 = 2 - 1 = 1$

bu erda: n - noma'lum (N_1 va N_2) kuchlar soni;

1 - statikaning tenglamalar soni

Noma'lum ichki kuch N_1 va N_2 larni topish uchun sistemani deformatsiyasidan foydalanib qo'shimcha tenglama tuzamiz. OV brus to'g'riligicha qolib, F kuch ta'sirida O nuqta atrofida kichik burchakka aylanadi. Natijada C va B nuqtalar G kuch yo'naliishiда ko'chadi va 1 va 2 sterjenlar tegishlichcha $\Delta\ell_1$ va $\Delta\ell_2$ masofaga deformatsiyalaridan. $\Delta\ell_1$ va $\Delta\ell_2$ larni materialning proporsionallik chegarasidan ortib ketmaydi deb qaraladi va Guk formulasi bilan ifodalanadi.

Sxemadan (2.48-rasm) $\frac{BB_1}{BO} = \frac{CC_1}{CO}$ yoki $\frac{\Delta\ell_2}{2\ell} = \frac{\Delta\ell_1}{C}$; $\Delta\ell_2 = 2\Delta\ell_1$

agar $\Delta\ell_1 = \frac{N_1\ell}{EA}$ va $\Delta\ell_2 = \frac{N_2\ell}{EA}$ bo'lsa $\frac{N_2\ell}{EA} = 2 \cdot \frac{N_1\ell}{EA}$ yoki $N_2 = 2N_1$ kelib

chiqadi. $N_2 = 2N_1$ tenglamani muvozanat tenglamasi bilan birlgilikda echib:

$N_1 = \frac{F}{5}$ va $N_2 = \frac{2}{5}F$ ni topamiz. $N_2 > N_1$ bo'lganligi uchun $\sigma_2 > \sigma_1$.

Ikkinchi sterjenning mustahkamlik sharti $\sigma_2 = \frac{N_2}{A} \leq [\sigma]$ yoki

$$\frac{2F}{5A} \leq [\sigma] \text{ dan } F_{rux} = \frac{5F[\sigma]}{2} = \frac{5 \cdot 2 \cdot 10^4 \cdot 160 \cdot 10^3}{2} = 80kN$$

Demak, 2 sterjenda 1 sterjenga nisbatan kuchlanish katta bo'ladi. Bu esa 1 sterjenda oquvchanlik chegarasini 2 sterjenga nisbatan oldinroq boshlanishiga olib

keladi. Bu vaqt oralig'ida, agar kuchni ko'paytirsak ham 1 sterjen kuchlanishi o'smaydi (kattalashmaydi) va sistema Q va $N_2 = \sigma_{ok} A$ kuch bilan yuklangan statik aniq sistemaga aylanib qoladi. Kuchni, yanada orttirsak 2 sterjenda ham oquvchanlik chegarasi boshlanadi $N_2 = \sigma_{ok} \cdot A$. Endi N_1 va N , kuch ifodalarini muvozanat tenglamasiga keltirib qo'yamiz $\sigma_{ok} \cdot A + 2 \cdot \sigma_{ok} \cdot A = F$

$$3\sigma_{ok} A = F, \text{ bu erdan}$$

$$F_{chek} = F = 3 \cdot 240 \cdot 10^3 \cdot 2 \cdot 10^{-4} = 144 kN$$

misol - 16. Bir xil diamterli po'latdan tayyorlangan sterjenlar, sxemadagidek $F=20kN$ kuch bilan yuklangan. Mustahkamlit shartiga ko'ra sterjenlarning diametrлari topilsin.

$$\text{Berilgan: } \ell = 1m, \alpha = 45^\circ, E = 2 \cdot 10^8 \frac{kN}{m^2}; \quad [\sigma] = 160 MPa$$

Yechish. F kuch ta'sirida 1 sterjen uzayadi; 2-3 sterjenlar siqiladi. Tekis sistemada joylashgan kuchlar uchun statikaning ikkita tenglamasi to'g'ri keladi (2.49 - rasm).

$$\sum x = -N_1 \cos \alpha + N_2 \cos \alpha = 0 \quad (a)$$

$$\sum y = N_1 - F + N_2 \sin \alpha + N_3 \sin \alpha = 0 \quad (b)$$

Birinchi tenglamadan $N_2 = N_3$ ni ikkinchi tenglamaga keltirib qo'ysak,

$$N_1 + 2N_2 \sin \alpha = F \quad (v)$$

hosil bo'ladi. Demak, sistema bir marotaba statik aniqmas ekan, (v) tenglamadan noma'lum N_1 va N_2 kuchlarni topish uchun sistemani deformatsiyasidan foydalanib qo'shimcha tenglama tuzamiz. To'g'ri burchakli uchburchak CC₁C₂ dan (2.49 - rasm)

$$\Delta \ell_2 = \Delta \ell_1 \sin \alpha \quad (g)$$

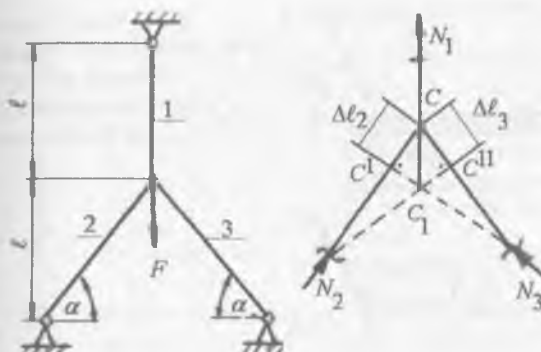
$$\text{Bu erda } \Delta \ell_1 = \frac{N_1 \ell_1}{EA} \text{ va } \Delta \ell_2 = \frac{N_2 \ell_2}{EA}; \quad \ell_1 = \ell; \quad \ell_2 = \frac{2\ell}{\sqrt{2}}$$

unda (g) tenglik quyidagi holatga keladi:

$$N_1 = N_2 \frac{\sqrt{2} \cdot \ell}{2\ell} = N_2 \frac{\sqrt{2}}{2} \quad (d)$$

sistemani deformatsiyasidan hosil bo'lgan qo'shimcha tenglama bo'lib, uni (v) tenglama bilan birlgilikda echib N_1 va N_2 larni topamiz

2.49 – rasm.
Sterjenlar
sistemasi-ning
yukla-nish va
ster-jenlar
deformatsiya-
larining
o'zaro
bog'lanish
sxemasi



$$N_2 = \frac{F}{3 \cdot \sin \alpha} = \frac{20}{3 \cdot \frac{\sqrt{2}}{2}} = \frac{40}{4,23} \kappa N, \text{ va} \quad N_1 = \frac{N_2}{\sin \alpha} = \frac{40}{4,23 \cdot \frac{\sqrt{2}}{2}} = \frac{80}{5,9643} \kappa N$$

Eng katta bo'ylama kuch 1-sterjenda hosil bo'ladi:

$$\sigma_1 = \frac{N_1}{A} \leq [\sigma] \quad \text{yoki} \quad \sigma_1 = \frac{N_1 \cdot 4}{\pi \cdot d_1^2} \leq [\sigma]_{\text{buerdan}}$$

$$d_1 = \sqrt{\frac{4N_1}{\pi[\sigma]}} = \sqrt{\frac{4 \cdot 80}{3,14 \cdot 160 \cdot 10^3 \cdot 5,96}} = 0,0103m$$

misol – 17. Ko'ndalang kesim yuzalar o'zaro teng bo'lgan

($A_1 = A_2 = 40 \cdot 10^{-4} m^2$). 1 va 2 sterjenlar (2.40 – rasm) $\Delta t = 20^0$ ga qizdirilgan.
Sterjenlardagi kuchlanishlar topilsin.

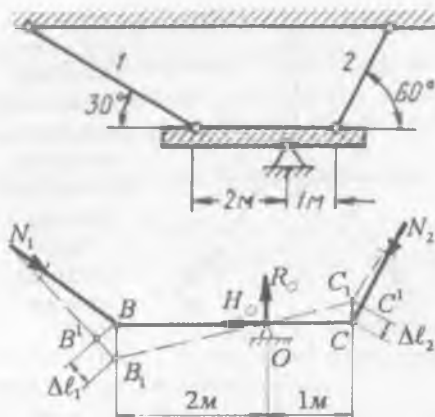
Yechish. Sterjenlarning qizdirilishi natijasida BC brus O sharnir atrofida ayanlib B_1, C_1 holatga o'tadi, 1 sterjen N_1 kuch ta'sirida siqiladi va Δt harorat ta'sirida uzayadi deb qabul qilsak, 2 sterjen siqiladi R_0 va N_0 reaktsiyalarining ta'sirini hisobga olmaslik uchun, sistemani muvozanat tenglamasi sifatida O sharniriga nisbatan momentlar tenglamasini tuzamiz, ya'ni:

$$\sum M_0 = -2N_1 \cos 60^0 + N_2 \cos 30^0 = 0 \quad \text{yoki}$$

$$N_2 = 2N_1 \frac{\cos 60^0}{\cos 30^0} = 1,1547 N_1 \quad (a)$$

(a) tenglamadan ko'rinishicha, sistemadagi N_1 va N_2 noma'lumlar soni statikaning muvozanat shartidan ko'p ekan. Masala statik noaniq Masalani Yechish uchun qo'shimcha deformatsiya

2.50 – rasm. Temperatura ta'siridagi statik noaniq sterjenlar sistemasi va sterjenlar deformatsiyalarining o'zaro bog'lanish sxemasi



tenglamarini tuzamiz. Sxemadan (2.50 – rasm) ko'rinishicha 1 va 2 sterjenlarning deformatsiyalari quyidagi nisbatda bog'liq:

$$BB_1 = 2CC_1 \quad \text{va}$$

$$\frac{\Delta\ell_1}{\cos 30^\circ} = 2 \frac{\Delta\ell_2}{\cos 60^\circ}$$

$$\text{bu erdan } \Delta\ell_1 = 1,1547 \Delta\ell_2 \quad (6)$$

Sterjenlarning deformatsiyalarini Guk qonunu bilan ifodalaymiz

$$\Delta\ell_1 = -\frac{N_1 h}{EA \sin 30^\circ} + \alpha \cdot \Delta t \frac{h}{\sin 30^\circ}; \quad \Delta\ell_2 = -\left(\frac{N_2 h}{EA \sin 60^\circ} + \alpha \cdot \Delta t \frac{h}{\sin 60^\circ}\right)$$

Unda (b) tenglama quyidagicha yoziladi:

$$\frac{h}{\sin 30^\circ} \left(-\frac{N_1}{EA} + \alpha \cdot \Delta t \right) = 1,1547 \frac{h}{\sin 60^\circ} \left[-\frac{N_2}{EA} - \alpha \cdot \Delta t \right] \quad \text{yoki}$$

$$-\frac{N_1}{EA} + \alpha \cdot \Delta t = 1,1547 \frac{\sin 30^\circ}{\sin 60^\circ} \left(-\frac{N_2}{EA} - \alpha \cdot \Delta t \right)$$

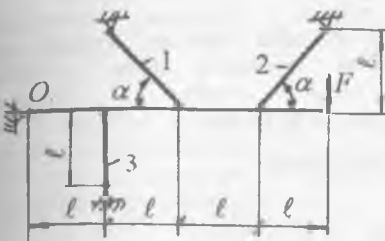
$$\text{bu erdan } -N_1 + 0,6667 N_2 = EA(-0,667 \alpha \cdot \Delta t - \alpha \cdot \Delta t)$$

$$(a) tenglamani hisobga olsak \quad 1,7698 N_1 = 1,667 \alpha EA \Delta t$$

$$\text{hosil bo'ladi. Unda } N_1 = 18834 \text{ kg} \quad \text{va} \quad N_2 = 21747 \text{ kg}$$

$$1 \text{ sterjendagi kuchlanish} \quad \sigma_1 = \frac{N_1}{A_1} = \frac{18834}{40} = 470 \frac{\text{kg}}{\text{sm}^2}$$

$$2 \text{ sterjendagi kuchlanish} \quad \sigma_2 = \frac{N_2}{A_2} = \frac{21747}{40} = 543 \frac{\text{kg}}{\text{sm}^2}$$



2.51 – rasm. Statik noaniq sterjenlar sistemasi

misol – 18. OD balka kesim yuzalari $A = 1 \cdot 10^{-3} m^2$ bo'lgan po'ltdan tayyorlangan sterjenlar bilan bog'langan. Sistemaga qo'yilishi mumkin bo'lgan ruxsat etilgan kuch $[F]$ ni sterjenlardagi eng katta kuchlanishini $[\sigma] = 160 \text{ MPa}$ ga tenglashtirib topilsin; oquvchanlik chegarasidagi kuchlanishdan $\sigma_{\alpha} = 240 \text{ MPa}$ foydalanib chekli yuk G_{chek} topilsin.

$$\ell = 1 \text{ m}; \alpha = 45^\circ;$$

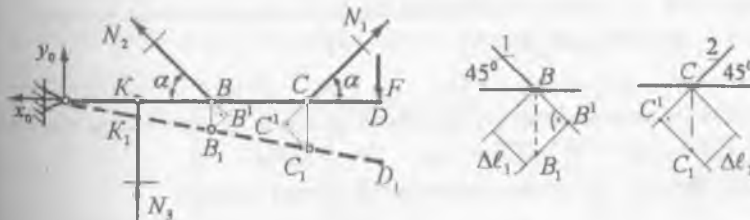
Yechish: OD balka F kuch ta'sirida O sharmir atrofida aylanadi, 1 va 2 sterjenlarni cho'zilishga va 3 sterjen siqilishiga qarshilik ko'rsatadi deb qabul qilamiz. Sterjenlarning deformatsiyadan keyingi holati va hisoblash sxemasi 2.52 – rasmda ko'rsatilgan.

Sistemaning muvozanat holatini ifodalovchi statikaning tenglamalarini tuzamiz:

$$\sum x = 0; x_0 - N_1 \cos \alpha + N_2 \cos \alpha = 0 \quad (a)$$

$$\sum y = 0; y_0 + N_3 + N_1 \sin \alpha + N_2 \sin \alpha - F = 0 \quad (b)$$

$$\sum M_0 = 0; 2N_1 \sin \alpha + 3N_2 \sin \alpha + N_3 - 4F = 0 \quad (c)$$



2.52 – rasm. Sterjenlar deformatsiyalarining o'zaro bog'lanish sxemasi

V nuqtaning
ko'chishi

S nuqtaning
ko'chishi

(a), (b) va (c) tenglamalardan, ko'rinishicha sterjenlardagi noma'lum ($N_1; N_2; N_3$) ichki kuchlari va tayanch kesimidagi reaksiya kuchlari $(x_0; y_0)$ statikaning tenglamalaridan ko'p.

Demak, berilgan sistema statik noaniq. Sistemaning aniqlaslik darajasini topamiz:

$$S = n - 3 = 5 - 3 - 2$$

bu erda: n – noma'lum kuchlar va Z – statikaning tenglamalarining soni;

Sistema ikki marotaba aniqlas. Sterjenlar sistemasining deformatsiyalangan holatining sxemasini chizamiz. Masalani Yechish uchun sistemaning geometrik bog'lanishlaridan foydalanim ikkita qo'shimcha deformatsiya tenglamalarini tuzamiz (2.52 - rasm). Sxemadan:

$$\Delta BB_1 O \approx \Delta KK_1 O \text{ ea } \Delta CC_1 O \approx \Delta KK_1 O \text{ dan}$$

$$\frac{KK_1}{KO} = \frac{BB_1}{BO} \text{ ea } \frac{KK_1}{KO} = \frac{CC_1}{CO} \text{ hosil qilamiz.}$$

$$\text{bu erda } BB_1 = \frac{BB^!}{\cos \alpha} \text{ ea } CC_1 = \frac{CC^!}{\cos \alpha};$$

Sxemadan $KK_1 = \Delta \ell_3$; $BB^! = \Delta \ell_1$ ea $CC^! = \Delta \ell_2$ larni hisobga olsak, yuqoridaq nisbatlar quyidagicha yoziladi;

$$\frac{\Delta \ell_1}{2 \cos \alpha} = \frac{\Delta \ell_1}{1} \text{ va } \frac{\Delta \ell_2}{3 \cos \alpha} = \frac{\Delta \ell_1}{1} \text{ yoki}$$

$$\Delta \ell_1 = 2 \Delta \ell_1 \cos \alpha \text{ va } \Delta \ell_2 = 3 \Delta \ell_1 \cos \alpha \quad (z)$$

(g) qo'shimcha deformatsiya tenglamalarini Guk qonuni orqali

$$\text{ichki kuchlar bilan ifodalaymiz: } \frac{N_1 \ell_1}{E_1 A_1} = 2 \frac{N_3 \ell_3}{E_3 A_3} \cos \alpha \text{ va}$$

$$\frac{N_2 \ell_2}{E_2 A_2} = 3 \frac{N_3 \ell_3}{E_3 A_3} \cos \alpha \quad (d)$$

Sxemadan $E_1 = E_2 = E_3 = E$; $\ell_3 = 1M$ ea $\ell_1 = \ell_2 = \frac{1}{\cos \alpha}$ lar ni hisobga olsak va ayrim o'zgartirishlardan, keyin (d) quyida-gicha yoziladi

$$N_1 = 2 N_3 \cos^2 \alpha = N_3 \quad (e)$$

$$N_2 = 3 N_3 \cos^2 \alpha = 1,5 N_3 \quad (x)$$

(e) va (j) tenglamalarini (v) ga keltirib qo'yamiz va ichki kuchni topamiz:

$$N_3 = 0,72F \text{ unda } N_1 = 0,72F \text{ va } N_2 = 1,08F$$

Endi har qaysi sterjenning mustahkamlik shartini yozamiz:

$$\sigma_1 = \frac{N_1}{A_1} = \frac{0,72F}{A} \leq [\sigma]; \sigma_2 = \frac{N_2}{A_2} = \frac{1,08F}{A} \leq [\sigma] \sigma_3 = \frac{N_3}{A_3} = \frac{0,72F}{A} \leq [\sigma]$$

Mustahkamlik shartiga ko'ra eng katta normal kuchlanish 2 chi sterjenda hosil bo'lishini aniqlaymiz. Sistemaga qo'yilishi mumkin bo'lgan kuchni ruxsat etilgan qiymati

$$[F] = \frac{A[\sigma]}{1,08} = \frac{1 \cdot 10^{-3} \cdot 160 \cdot 10^{-3}}{1,08} = 148,1kN$$

Uchta sterjenda ham oquvchanlik chegarasi boshlanishi uchun

$N_1 = \sigma_{ok} A_1$; $N_2 = \sigma_{ok} A_2$; va $N_3 = \sigma_{ok} A_3$ shartlar bajarilishi kerak. U paytda (v) tenglama quyidagi ko'rinishga keltiriladi:

$$2\sigma_{ok} A \sin \alpha + 3\sigma_{ok} A \sin \alpha + \sigma_{ok} A = 4F$$

Oxirgi tenglamadan oquvchanlik chegarasiga to'g'ri keluvchi chekli yuk

$$F_{\text{us}} = \frac{\sigma_{\text{ok}} A (1 + \sin \alpha)}{4} = \frac{240 \cdot 10^3 \cdot 1 \cdot 10^{-3} (1 + 5 \cdot 0.7)}{4} = 270 \text{ kN}$$

misol-19. Bikr brus, ko'ndalang kesim yuzalari $A = 20 \cdot 10^{-4} \text{ m}^2$ bo'lgan uchta sterjenlarga osilgan. O'rta sterjen loyixa o'lchamidan $\delta = 0,5 \text{ mm}$. kalta tayyorlangan. Konstruktsiya yig'ilgandan keyin sterjenlardagi kuchlanish topilsin. Sterjenlarning materiallari bir xil.

Yechish: Konstruktsiyadagi δ zazorni yo'qotish uchun 1 va 3 sterjenlarni Yechish, 2 sterjenni cho'zish kerak. Natijada uchta sterjenda ham ichki bo'ylama kuchlar hosil bo'ladi.

Ichki kuchlarni topish uchun kesish usulidan foydalanamiz.

Konstruktsiya ajratilgan qismining muvozanat holatini qanoatlantiruvchi $\sum M_0 = 0$ tenglamani tuzamiz.

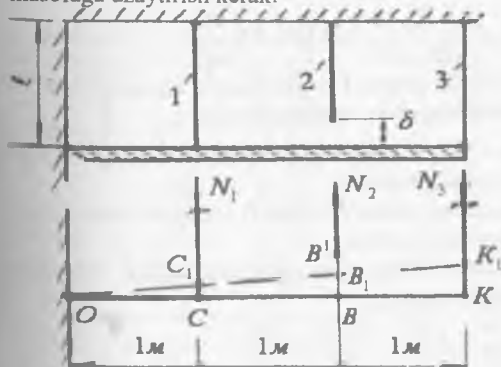
$$\sum M_0 = N_1 \cdot 1 - N_2 \cdot 2 + N_3 \cdot 3 = 0$$

Bitta tenglamada uchta N_1 ; N_2 va N_3 ma'lum ichki kuchlar bor ekan. Bu masala statik noaniq. Noma'lumlar soni muvozanat tenglamasidan ikkitaga ko'p. Shuning uchun, tanlangan masala ikki marotaba noaniq. Masalaning aniqmaslik darajasini ochish uchun ikkita qo'shimcha deformatsiya tenglamlarini tuzish kerak (2.53- rasm). Konstruktsiyaning deformatsiyasini o'rganamiz. 1 va 3

sterjenlarning siqilishda, birinchi sterjen $CC_1 = \Delta \ell_1 = \frac{N_1 \ell}{EA}$

masofaga, uchinchi sterjen $KK_1 = \Delta \ell_1 = \frac{N_1 \ell}{EA}$ masofaga qisqaradi. Natijada B

nuqta B_1 ga ko'chadi. 2 sterjenni brus bilan tutashtirish uchun, uni $\Delta \ell_2 = \frac{N_2 \ell}{EA}$ masofaga uzaytirish kerak.



2.53 – rasm. Statik noaniq sterjenlar sistemasi va sterjenlar deformatsiyalarining o'zarlo bog'lanish sxemasi

Konstruktsiyadagi sterjenlarning deformatsiyasi natijasida uchburchaklar hosil bo'ladi: $\Delta KK_1, \Delta BB_1, \Delta CC_1, \Delta O$

Unda $\frac{KK_1}{KO} = \frac{CC_1}{CO}$ yoki $\frac{\Delta\ell_1}{3} = \frac{\Delta\ell_1}{1}$ va $\Delta\ell_1 = 3\Delta\ell$
 bu erdan $\frac{N_1\ell}{EA} = 3 \frac{N_1\ell}{EA}; N_1 = 3N_1$ (6)

$$\frac{BB_1}{BO} = \frac{CC_1}{CO} \quad \frac{\delta - \Delta\ell_2}{2} = \Delta\ell_1 \quad \text{ea} \quad \delta - \Delta\ell_2 = \Delta\ell_1$$

bu erdan $\delta - \frac{N_2\ell}{EA} = 2 \frac{N_1\ell}{EA} \quad \text{ea} \quad N_2 = \frac{\delta EA - 2N_1\ell}{\ell}$ (6)

hosil bo'ladi. (b) va (v) tengliklarni (a) tenglamaga keltirib qo'yamiz:

$$N_1 \cdot 1 - 2 \frac{\delta \cdot EA - 2N_1\ell}{\ell} + 9N_1 = 0, \quad 10N_1\ell - 2\delta \cdot EA + 4N_1\ell = 0$$

va $N_1 = \frac{\delta \cdot EA}{7\ell} = \frac{0,5 \cdot 10^{-4} \cdot 2 \cdot 10^8 \cdot 20 \cdot 10^{-4}}{7} = \frac{20}{7} \kappa N$

Birinchi sterjendagi kuchlanish:

$$\sigma_1 = \frac{N_1}{A} = \frac{20}{7 \cdot 20 \cdot 10^{-4}} = 0,143 \cdot 10^4 \frac{\kappa N}{m^2}$$

(v) tenglikdan N_2 -ni topamiz: $N_2 = \frac{100}{7} \kappa N$

Ikkinci sterjendagi kuchlanish:

$$\sigma_2 = \frac{N_2}{A} = \frac{100}{7 \cdot 20 \cdot 10^{-4}} = 0,715 \cdot 10^4 \frac{\kappa N}{m^2}$$

(b) tenglikdan N_3 -ni topamiz: $N_3 = 3 \frac{20}{7} = \frac{60}{7} \kappa N$

va kuchlanish $\sigma_3 = \frac{N_3}{A} = \frac{60}{7 \cdot 20 \cdot 10^{-4}} = 0,429 \cdot 10^4 \frac{\kappa N}{m^2}$

misol – 20. Pog'onali brus kesim yuzasi A va asosi qo'zg'almas bo'lgan po'latdan tayyorlangan ikkita sterjenlarga bikr mahkamlangan.

1) qo'zg'almas tayanch bilan pog'onali bruslar orasidagi masofa $\Delta = 1 \cdot 10^{-4} m$ kuchni qancha qiymatida yopiladi;

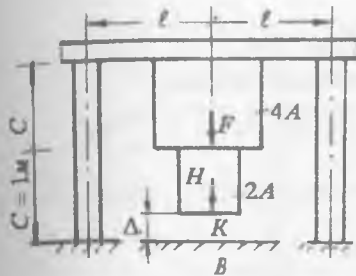
2) o'rta sterjenni pastki asosidagi reaktsiya kuchi B berilgan kuch N orqali aniqlansin va bo'ylama kuchi N epyurasi qurilsin

Yechish. Birinchi savolga javob berish uchun pog'onali brusni N kuchdan deformatsiyasini Δ masofaga tenglashtiramiz

$$\Delta = \frac{HC}{4EA} + \frac{HC}{4EA} + \frac{HC}{2EA} + \frac{H2C}{EA} = \frac{3HC}{EA} \quad (a)$$

$$\Delta = \frac{3H}{2 \cdot 10^8 \cdot 2 \cdot 10^{-3}} \quad \text{ebru} \quad H = \frac{40}{3} \kappa N$$

2.54 – rasm. Statik noaniq masala



Bu yerda:

$$E = 2 \cdot 10^8 \frac{\text{kN}}{\text{m}^2} \quad \text{es} \quad A = 2 \cdot 10^{-3} \text{ m}^2$$

a) tenglama asosida topilgan N kuchi, masalani shartida berilgan $N = 50 \text{ kN}$ kuchdan kichik. Demak, brus bilan tayanch oralig'idagi masofa yopiladi. Masofa yopilishini aniqlash uchun berilgan $N = 50 \text{ kN}$ kuch ta'sirida (a) tenglama asosida topilgan pog'onali brusning to'liq deformatsiyasi Δ_x -ni $\Delta = 1 \cdot 10^{-4} \text{ m}$ bilan taqqoslaymiz:

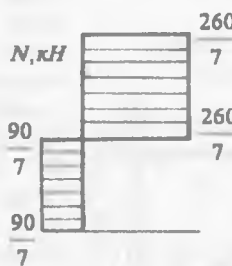
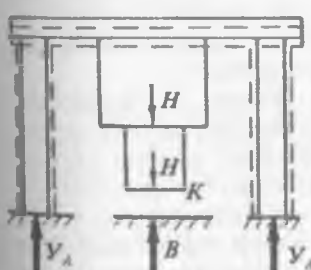
$$\Delta_x = \frac{3HC}{EA} = \frac{3 \cdot 50 \cdot 1}{2 \cdot 10^8 \cdot 2 \cdot 10^{-3}} = 3,75 \cdot 10^{-4} \text{ m} \quad \text{eku } \Delta_x > \Delta$$

Demak, Δ -masofa yopiladi. Brusni K kesimi B tayanchga kelib tayanadi. Sistemani hisoblash sxemasi 2.55 – rasmda ko'rsatilgan. Reaksiya kuchlari Y_1 va Blarning sistemani muvozanat shartidan topamiz:

$$\sum Y = 2Y_1 + B - 2H = 0 \quad (b)$$

(b) tenglamadan ko'rinishicha, sistemada no ma'lum reaksiya kuchlari statikani muvozanat tenglamasidan ikkitaga ko'p. Demak, sistema bir marotaba statik aniqlas ekan.

Noma'lum Y_1 va B reaksiya kuchlarini topish uchun (b) tenglama yoniga qo'shimcha deformatsiya tenglamasini tuzishimiz kerak.



2.55 – rasm.
Asosiy sistema va
ichki kuch
epyurasi

Buning uchun ikki pog'onali brusni va ikkita chetki sterjenlardan bittasini berilgan N kuchidan deformatsiyasini reaksiya kuchlari ta'siridagi deformatsiyaga tenglashtiramiz:

$$\frac{HC}{2EA} + \frac{HC}{4EA} + \frac{HC}{4EA} + \frac{H2C}{EA} - \frac{BC}{4EA} - \frac{BC}{E2A} - \frac{Y_1 2C}{EA} = \Delta \quad (b)$$

Agar, $Y_4 = \frac{B}{2}$ deb qaralsa (v) tenglamani

$12HC - 7BC = 4\Delta EA$ ko'rinishga keltiramiz. Bu erdan:

$$B = \frac{12HC - 4\Delta EA}{7C} = \frac{12 \cdot 50 \cdot 1 - 4 \cdot 10^{-4} \cdot 2 \cdot 10^3 \cdot 2 \cdot 10^{-3}}{7 \cdot 1} = \frac{440}{7} \text{ kN}$$

B reaktsiya kuchini (b) tenglamaga keltirib qo'ysak Y_4 reaktsiya kuchini topamiz:

$$Y_4 = \frac{2H - B}{2} = H - \frac{B}{2} = 50 - \frac{440}{7} = \frac{130}{7} \text{ kN}$$

Pog'onali brusni oraliqlarga bo'lib, ichki bo'ylama kuch N ni topamiz

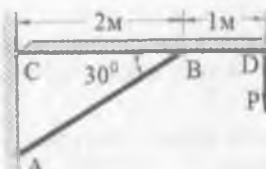
1 - 1qirqim. $\sum Y = N_1 - H + B = 0$ yoki

$$N_1 = H - B = 50 - \frac{440}{7} = -\frac{90}{7} \quad (\text{siquvchi kuch})$$

2 - 2 qirqim. $\sum Y = N_2 - 2H + B = 0$

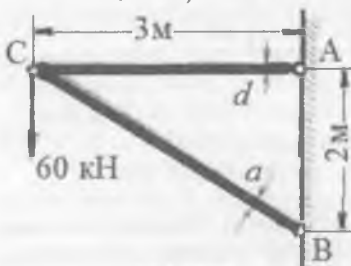
$$N_2 = 2H - B = 2 \cdot 50 - \frac{440}{7} = \frac{260}{7} \text{ kN} \quad (\text{cho'zuvchi kuch})$$

Mustaqil ish uchun misollar



2.56-rasm

Javob: $\sigma = 4,33 \text{ MPa}$
 $R = 57,8 \text{ kN}$.

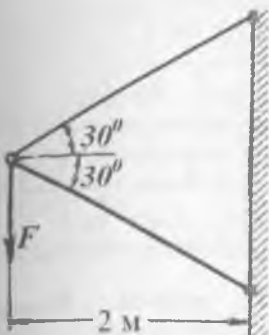


2.57-rasm

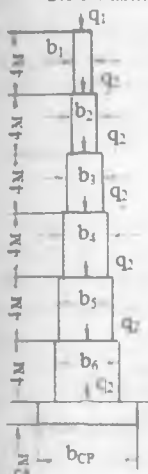
Javob: $d = 27 \text{ mm}$; $\alpha = 16,4 \text{ sm}$; $\Delta_{\text{ver}} = 6,2 \text{ mm}$; $\Delta = 6,64 \text{ mm}$,
 $\Delta_{\text{grw}} = 2,4 \text{ mm} = 24 \cdot 10^{-4} \text{ m}$.

Misol-21. Bikr brus CD 2.56-rasmida ko'rsatilgandek yuklangan va yog'och qiya tirkak AB bilan mustahkamlangan. Brusning deformatsiyasi hisobga olinmasin. D nuqtaning kuchishi o'lchab ko'rilganda, u 3 mm ga tengligi aniqlandi. Qiya tirkakdagi kuchlanishlar nimaga teng? Agar qiya tirkakning ko'ndalang kesimi $20 \times 20 \text{ sm}$ o'lchamli kvadrat bo'lsa, narguzka R nimaga teng?

Misol-22. Rasmida tasvirlangan kronshteynda sterjen AC po'latdan, sterjen BC esa yog'ochdan yasalgan. Ruxsat etilgan kuchlanish po'lat uchun $[\sigma] = 4 \text{ MPa}$. Po'lat sterjenning dumaloq kesimi diametri d ni g'amda yog'och sterjenning kvadrat kesimi tomoni o ni tanlang, tugun C ning gorizontall, vertikal va to'liq siljishini aniqlang.



2.58-rasm



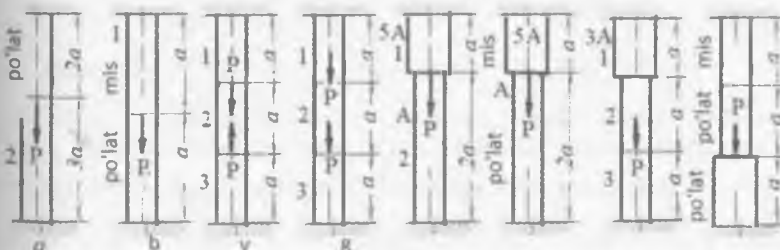
misol-23. 2.58-rasmida tasvirlangan kronshteyn R kuchi bilan yuklangan. Ikkala sterjen po'latdan yasalgan. Ustki sterjen ikkita shveller № 12 dan, pastkisi ikkita № 24 dan iborat. Cho'zilishga yo'l qo'yilgan kuchlanish 160 MPa, siqishga yo'l qo'yilgan kuchlanish – 100 MPa. Eng katta yo'l qo'yilgan nagruzka R ni va nagruzka qo'yilgan uzelning vertikal siljishini aniqlang.

javob: $R=348 \text{ kN}$, $\Delta=2,70 \text{ mm}$

misol-24. 2.59 - rasmida olti qavatli bino g'ishtli devorining ko'ndalang qirqimi ko'rsatilgan. Cherdak va tomdan devorning har pogon metriga $q_1 = 60 \text{ kN/m}$, qavatlararo yopmalardan $q_2 = 40 \text{ kN/m}$ va paskti qavat polidan $q = 30 \text{ kN/m}$ kuch ta'sir qiladi. Bu kuchlar devoro'qi bo'ylab yo'nalan. Devor va poydevor materialining hajmiy og'irligi 20 kN/m^3 . Agar ruxsat etilgan kuchlanish $[\sigma] = 0,6 \text{ MPa}$ bo'lsa, har bir qavatdagi devorning eng kichik qalinligini va agar erda ruxsat etilgan bosim $0,5 \text{ MPa}$ bo'lsa, poydevor enini aniq olish mumkin?

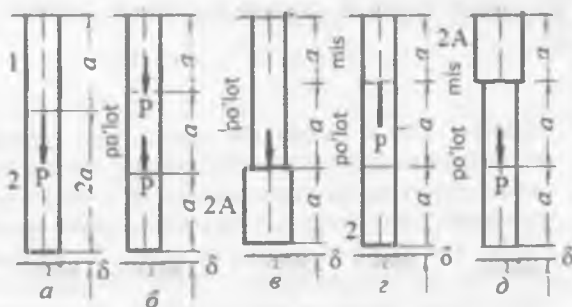
javob: $b_1 = 11,5 \text{ sm}$; $b_2 = 21 \text{ sm}$; $b_3 = 32 \text{ sm}$.

misol-25. Berilgan statik noaniq bruslarning aniqmaslik darajasi ochilsin va ichki bo'ylama kuchlar topilsin, epyuralari qurilsin.



javob

zo'riqish kuchi	a	b	v	g	d	e	j	z
N ₁	3 5	1 3	1 3	1	10 11	2 3	3 7	1 6
N ₂	-2 5	-2 3	-2 3	0	-1 11	-1 3	3 7	1 6
N ₃				1 3	-1		-4 7	-5 6



2.61-rasm

$\alpha = 0,5 \text{ m}$, $A=100 \text{ sm}^2$, $R=1500 \text{ kN}$, $\delta = 0,1 \text{ mm}$ deb oling. Yuk R qo'yunguga qadar zazorlar δ ko'rsatilgan o'lchamda turadi. Yuk qo'yilgandan keyin ular berkiladi.

javob:

Kuchlanish, MPa	a	b	v	g	d
σ_1	113,3	163,3	116,0	98,0	23,8
σ_{11}	-36,7	13,3	-34,0	-52,0	47,5
σ_{111}		-136,7	-17,0	-52,0	-102,5

III- BOB. KUCHLANGANLIK HOLATLARI VA MUSTAHKAMLIK NAZARIYALARI

Umumiy tushunchalar. Kuchlarni ta'sir qilish holatlariga qarab konstruktsiya yoki inshoot qismidagi eng katta kuchlanishlarni va ular paydo bo'ladigan yuzachalarni topish masalasi qiyinlashadi. Bu masalani Yechish uchun deformatsiyalanuvchi jism nuqtasidagi kuchlanish holati tekshiriladi.

Turli kesim yuzalarida hosil bo'ladigan kuchlanishlarning tahlili kuchlanganlik holatlarining nazariyalari deyiladi.



3.1 – rasm. Kuchlanganlik holati: a) ixtiyoriy yuklangan jism; b) kubikni fazoviy yuklanishi

Markaziy cho'zilish va sifilishda ko'ndalang kesimning barcha nuqtalarida kuchlanish bir xil bo'lishini ko'rib o'tdik. Kesimni ma'lum bir burchakka aylantirsak, uning vaziyati o'zgaradi. Natijada undagi kuchlanish ham o'zgaradi. Masalan, ixtiyoriy sirtga ega bo'lgan jism kuchlar ta'sirida bo'lsin. Uning biror S nuqtasi (3.1 – rasm, a) atrofidan tomonlari cheksiz kichik bo'lgan o'zaro kesishuvchi yuzalarni olaylik. Ushbu yuzadagi (3.1-rasm,b) to'liq kuchlanish R-ni uchta tashkil qiluvchiga ajratish mumkin: bitta normal va ikkita kesim yuzasi bo'ylab. Normal kuchlanishlarni $\sigma_x, \sigma_y, \sigma_z$ va $\tau_{yx}, \tau_{xy}, \tau_{xz}, \tau_{zx}, \tau_{yz}, \tau_{zy}$ -urinma kuchlanishlar bilan belgilaymiz. Muvozanat tenglamalarini tuzishda, albatta har bir kuchning momenti, u ta'sir qilayotgan yuzanining qarama – qarshi tomonidagi kuch momentiga tengligi aniqlanadi

$$\tau_{yx} dx \cdot dz \cdot dy = \tau_{xy} dx \cdot dz \cdot dy . \text{ va hokazo.}$$

$$\text{Unda, } \tau_{yz} = \tau_{zy}; \quad \tau_{yx} = \tau_{xy}; \quad \tau_{xz} = \tau_{zx}$$

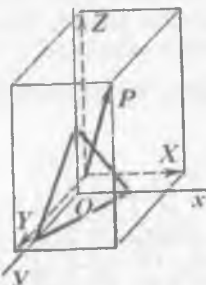
Demak, o'zaro perpendikulyar yuzalarda urinma kuchlanishlar teng va qarama – qarshi tomonga yo'naladi. Bu tenglik urinma kuchlanishlarning juftlik alomati deyiladi. Agar kuchlanganlik holatining oltita komponenti $\sigma_x, \sigma_y, \sigma_z$,

$\tau_{xy}, \tau_{zx}, \tau_{yz}$ berilgan bo'lsa, xohlagan yuzadagi kuchlanishlarni aniqlash mumkin. Masalan, jismdan ajratilgan to'rt qirrali yuzani olaylik. Yuzadagi to'liq

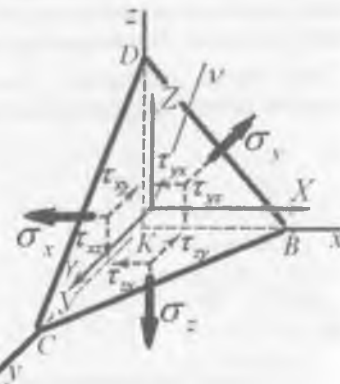
kuchlanish R (3.2 - rasm, a). Uning komponentlari x, u, z o'qlardagi proektsiyalari bo'ladi:

$$\sigma_x, \sigma_y, \sigma_z, \tau_{xy}, \tau_{zx}, \tau_{yz}$$

a)



b)



3.2 – rasm. Kuchlanganlik holat

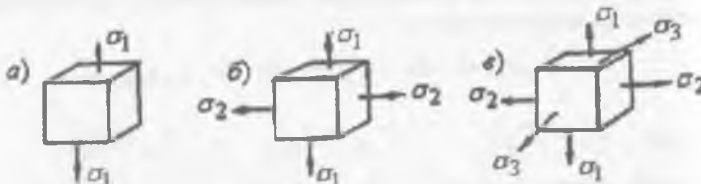
a) to'rt qirrali yuza;

b) fazoviy yuklanishi

Nuqta kuchlanganlik holatida x, y, z o'qlarining shunday vaziyatini aniqlash mumkinki, natijada $\tau_{xy}, \tau_{zx}, \tau_{yz}$ urinma kuchlanishlar nolga teng bo'ladi.

Urinma kuchlanishlar nolga teng bo'lgan vaziyatga to'g'ri keluvchi koordinata o'qlariga bosh o'qlar deyiladi. Bosh o'qlarga mos ravishda perpendikulyar joylashgan yuzalar bosh yuzalar deyiladi.

Bosh yuzalarga qo'yilgan kuchlanishlar bosh kuchlanishlar bo'ladi. Kuchlanganlik holatlарини σ_1, σ_2 va σ_3 -larning qiymati noldan farqli bo'lishiga qarab aniqlanishi mumkin:



3.3 – rasm. Kuchlanganlik holatlari: a) chiziqli; b) tekis va
v) hajmiy

- 1) agar, bosh kuchlanishlardan bittasi noldan farqli qolgan ikkitasi nolga teng bo'lsa – chiziqli kuchlanganlik holati

(3.3 - rasm, a). Oddiy cho'zilishda: $\sigma_1 = \sigma_0$; $\sigma_2 = \sigma_3 = 0$ va sinqilishda $\sigma_1 = \sigma_2 = 0$; $\sigma_3 = -\sigma_a$ bo'ladi.

- 2) agar, ikkita bosh kuchlanishlar noldan farqli va bittasi nolga teng bo'lsa - tekis kuchlanganlik holati (3.3 - rasm, b).
- 3) agar, uchta bosh kuchlanishlar ham noldan farqli bo'lsa - hajmiy kuchlanganlik holati bo'ladi (3.3 - rasm, v). σ_1 , σ_2 va σ_3 lar bosh kuchlanishlar va $\sigma_1 > \sigma_2 > \sigma_3$ deb qabul qilamiz.



$$\text{Bosh yuzalarda } X = \sigma_1 \ell; Y = \sigma_2 m; Z = \sigma_3 n \text{ tengliklarni hosil qilish mumkin.}$$

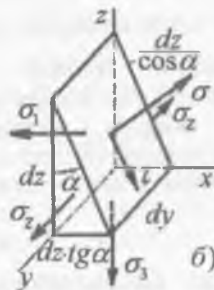
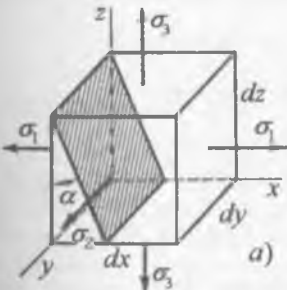
$$\ell^2 + m^2 + n^2 = 1 \quad \text{bo'lsa}$$

$$\frac{X^2}{\sigma_1^2} + \frac{Y^2}{\sigma_2^2} + \frac{Z^2}{\sigma_3^2} = 1 \quad \text{hosil bo'ladi.}$$

Buerda X, U, Z ixtiyoriy yuzadagi to'liq kuchlanish vektorining koordinatalari. To'liq

kuchlanish vektori oxirining bosh kuchlanishlar σ_1 , σ_2 va σ_3 , o'qlaridagi traektoriyasi ellipsoidani hosil qiladi.

Agar, ikkita bosh kuchlanishlar teng bo'lsa ellipsoid aylanuvchi jism shaklini oladi. Agar, uchta bosh kuchlanishlar teng bo'lsa, ellipsoid sfera shaklini oladi. Jismdan kesib olingan uchburchak prizmaning muvozanatini tekshiramiz (3.5 - rasm, a).



3.5-rasm. Kubikdan ajratilgan yuzanining yuklanishi

Shtrixlangan yuza α - burchakning har qanday qiymatida ham uo'qiga parallel qoladi. Prizmaga ta'sir qiluvchi barcha kuchlarni σ va τ o'qlarga proektsiyalaymiz:

$$\sigma \cdot dy \cdot \frac{dz}{\cos \alpha} = \sigma_1 dy \cdot dz \cdot \cos \alpha + \sigma_3 dy \cdot dz \cdot \operatorname{tg} \alpha \cdot \sin \alpha$$

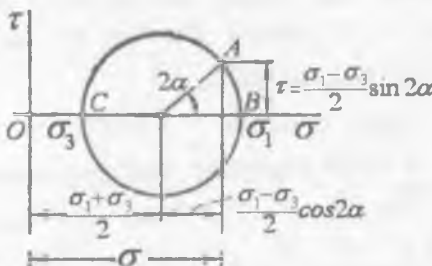
$$\tau \cdot dy \cdot \frac{dz}{\cos \alpha} = \sigma_1 dy \cdot dz \cdot \sin \alpha - \sigma_3 dy \cdot dz \cdot \operatorname{tg} \alpha \cdot \cos \alpha$$

yoki

$$\sigma = \sigma_1 \cos^2 \alpha + \sigma_3 \sin^2 \alpha$$

va

$$\tau = (\sigma_1 - \sigma_3) \sin \alpha \cdot \cos \alpha$$



3.6 – rasm. Qiya kesim uchun
Mor doirasi

Bu kuchlanishlarni quyidagicha yozish mumkin:

$$\sigma = \frac{\sigma_1 + \sigma_3}{2} + \frac{\sigma_1 - \sigma_3}{2} \cos 2\alpha$$

va $\tau = \frac{\sigma_1 - \sigma_3}{2} \sin 2\alpha$ yoki $\left(\sigma - \frac{\sigma_1 + \sigma_3}{2} \right)^2 + \tau^2 = \left(\frac{\sigma_1 - \sigma_3}{2} \right)^2$.

Bu tenglama σ - τ koordinata sistemasida markazi σ o'qida

koordinata boshidan $\frac{\sigma_1 + \sigma_3}{2}$ masofada joylashgan, radiusi $\frac{\sigma_1 - \sigma_3}{2}$ aylananing tenglamasi. Ushbu aylana Mor doirasi.

Kuchlanishlar tenzori. Uchta o'zaro perpendikulyar yuzalarda ta'sir qiluvchi to'qqizta kuchlanishlar matritsa ko'rinishida yozilishi mumkin va kuchlanishlar tenzori deyiladi.

$$\tau_{\sigma} = \begin{pmatrix} \sigma_x & \tau_{xy} & \tau_{xz} \\ \tau_{yx} & \sigma_y & \tau_{yz} \\ \tau_{zx} & \tau_{zy} & \sigma_z \end{pmatrix} \quad (3.1)$$

Urinma kuchlanishlarning juftlik alomatiga ko'ra tenzor simmetrik hisoblanadi, ya'ni bosh diagonalga nisbatan simmetrik joylashgan matritsaning elementlari o'zaro teng.

Elementar parallelipipedning qirralariga qo'yilgan kuchlanishlar ta'siridan u deformatsiyalanadi, ya'ni uning o'lchamlari yoki shakli o'zgaradi. Hajm o'zgarishida parallelipiped qirralarining uzunliklari bo'yicha nisbatlari o'zgarmaydi, qirralarga perpendikulyar bo'lgan bruchaklar qiyshiq bo'lmaydi.

Hajm o'zgarishi uchun parallelipiped qirralariga bir xil σ_0 normal kuchlanishlar ta'sir qilib, urinma kuchlanishlar nolga teng bo'lishi kerak.

Kuchlanishlar tenzori

$$\tau_{\sigma}^0 = \begin{pmatrix} \sigma_0 & 0 & 0 \\ 0 & \sigma_0 & 0 \\ 0 & 0 & \sigma_0 \end{pmatrix} \quad (3.2)$$

bu erda

$$\sigma_0 = \frac{1}{3}(\sigma_x + \sigma_y + \sigma_z) \quad (3.3)$$

(3.3) formula o'rtacha kuchlanish sharaviy tenzor deyiladi.

Kuchlanishlar tenzori (3.1) dan sharaviy tenzor (3.3) ni ayirib kuchlanishlar deviatorini hosil qilamiz.

$$\Delta_{\sigma} = \begin{pmatrix} \sigma_x - \sigma_0 & \tau_{xy} & \tau_{xz} \\ \tau_{yx} & \sigma_y - \sigma_0 & \tau_{yz} \\ \tau_{zx} & \tau_{zy} & \sigma_z - \sigma_0 \end{pmatrix} \quad (3.4)$$

Shunday qilib, kuchlanishlar tenzori quyidagi yig'indi ko'rinishida aniqlanishi mumkin

$$T_{\sigma} = T_{\sigma}^0 + \Delta_{\sigma} \quad (3.5)$$

Kuchlanishlar deviatorini bosh kuchlanishlarga nisbatan quyidagicha yozamiz:

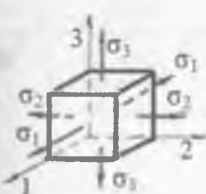
Matrtsani ochib, bosh kuchlanishlarga nisbatan uchinchi darajali tenglamani hosil qilamiz:

$$\sigma^3 - I_1\sigma^2 + I_2\sigma - I_3 = 0 \quad (3.6)$$

$$I_1 = \sigma_x + \sigma_y + \sigma_z$$

$$\left. \begin{array}{l} I_2 = \sigma_x\sigma_y + \sigma_y\sigma_z + \sigma_z\sigma_x - \tau_{xy}^2 - \tau_{yz}^2 - \tau_{zx}^2 \\ I_3 = \sigma_x\sigma_y\sigma_z - \sigma_x\tau_{yz}^2 - \sigma_y\tau_{zx}^2 - \sigma_z\tau_{xy}^2 + 2\tau_y\tau_x\tau_z \end{array} \right\} \quad (3.7)$$

Tomonlari bosh yuzalar hisoblangan elementar parallelipipedni o'rganamiz. Koordinata o'qlarini parallelipiped qirralariga parallel yo'naltirib (3.7-rasm) bosh yuzalardagi urinma kuchlanishlar nolga tengligidan foydalanib (3.7) formula koeffitsientlarini quyidagicha yozamiz.



$$I_1 = \sigma_1 + \sigma_2 + \sigma_3$$

$$I_2 = \sigma_1\sigma_2 + \sigma_2\sigma_3 + \sigma_3\sigma_1$$

$$I_3 = \sigma_1\sigma_2\sigma_3$$

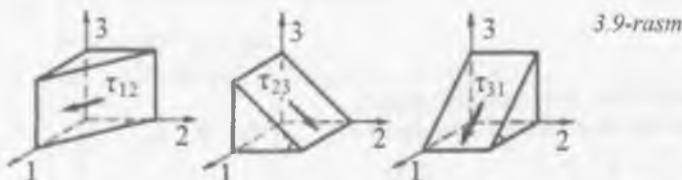
3.7-rasm

Bosh kuchlanishlar miqdori va yo'nalishi koordinata sistemasini tanlashga bog'liq emas, faqat jismga ta'sir qiluvchi kuchga bog'liq, shuning uchun I_1, I_2, I_3 , I , koefitsientlar koordinata o'qlarini aylantirganda o'zgarmaydi. Bunaqa kattaliklar invariantlar deyiladi.

I_1, I_2 va I_3 -larni tegishlicha, birinchi, ikkinchi va uchinchi kuchlanish tenzorini invariantlar deyiladi.

Agar, $I_3=0$ bo'lsa tekis kuchlanganlik holati va $I_2=I_3=0$ bo'lsa chiziqli kuchlanganlik holati hosil bo'ladi. Bosh yuzalarga nisbatan 45° burchakda qiyalashgan yuzalarda urinma kuchlanishlar ekstremal qiymatga erishadi (3.9-rasm). Bu kuchlanishlar bosh kuchlanishlar bo'yicha topiladi:

$$\tau_{12} = -\frac{\sigma_1 - \sigma_3}{2}; \quad \tau_{23} = -\frac{\sigma_2 - \sigma_1}{2}; \quad \tau_{31} = -\frac{\sigma_3 - \sigma_1}{2} \quad (3.8)$$



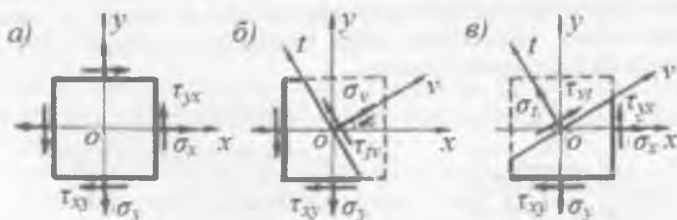
Ikki o'qli kuchlanganlik holati. Ikki o'qli kuchlanganlik holati uchun berilgan σ_x, σ_y va $\tau_{xy} = -\tau_{yx}$ kuchlanishlar asosida v, t o'qlari tekisligidagi kuchlanishlarni topish mumkin:

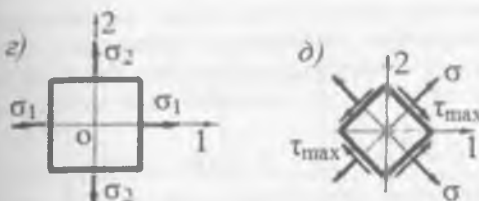
$$\begin{aligned} \sigma_v &= \sigma_x \cos^2 \alpha + \sigma_y \sin^2 \alpha + \tau_{xy} \sin 2\alpha \\ \tau_{tv} &= -\frac{1}{2}(\sigma_x - \sigma_y) \sin 2\alpha + \tau_{xy} \cos 2\alpha \end{aligned} \quad (3.9)$$

3.10-rasm, v-sxemadan

$$\begin{aligned} \sigma_t &= \sigma_x \sin^2 \alpha + \sigma_y \cos^2 \alpha - \tau_{xy} \sin 2\alpha \\ \tau_{tv} &= \tau_{tv} \end{aligned} \quad (3.10)$$

hosil qilamiz. σ_v va σ_t tengliklarini qo'shib $\sigma_v + \sigma_t = \sigma_x + \sigma_y$ ni topamiz.





3.10- rasm.

Tekis kuchlanganlik holatida har qanday ikkita o'zaro perpendikulyar qiya kesimlardagi normal kuchlanishlar yig'indisi invariant miqdor hisoblanadi.

Agar, $I_3 = 0$ bo'lsa, tekis kuchlanganlik holati bo'ladi, unda $\sigma^2 - I_1 \cdot \sigma + I_2 = 0$ kvadrat tenglarna hoslil kelib chiqadi.

Buerda, $I_1 = \sigma_x + \sigma_y$ va $I_2 = \sigma_x \sigma_y - \tau_{xy}^2$

Kvadrat tenglamani echib

$$\sigma_{1,2} = \frac{\sigma_x + \sigma_y}{2} \pm \sqrt{\left(\frac{\sigma_x - \sigma_y}{2}\right)^2 + \tau_{xy}^2} \quad (3.11)$$

olamiz

σ_1 va σ_2 bosh kuchlanishlar ta'sir qilsa (3.9) formula quyidagicha yoziladi:

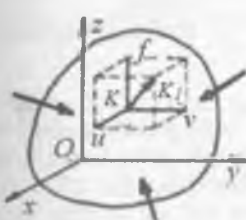
$$\sigma_n = \sigma_1 \cos^2 \alpha + \sigma_2 \sin^2 \alpha$$

$$\tau_n = -\frac{1}{2}(\sigma_1 - \sigma_2) \sin 2\alpha$$

Eng katta kuchlanishlar $\alpha = \pm 45^\circ$ qiya kesimda hoslil bo'ladi:

$$\sigma = \frac{\sigma_1 + \sigma_2}{2} \quad \tau_{max} = \frac{\sigma_1 - \sigma_2}{2}$$

Deformatsiya nazariyasi [29]. Tashqi kuch ta'siridan jism deformatsiyalanadi yoki nuqtalari ko'chadi. Bunda ikki xil ko'chish sodir bo'lishi mumkin: absolyut qattiq jismdek shakl o'lchamlari o'zgarmasdan ko'chishi va jismni deformatsiyalanishi sababli ko'chishi. Birinchi ko'rinishdagi ko'chish nazariy mexanikada o'rganiladi. Shuning uchun keyingi mavzularda faqat jism deformatsiyasiga bog'liq ko'chish o'rganiladi.



3.11-rasm.

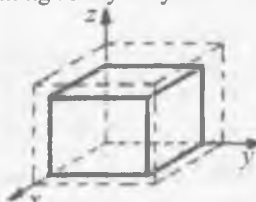
Jismni deformatsiyalanishida K nuqta yangi K_1 vaziyatga ko'chsin (3.11 -rasm). To'liq ko'chish vektori KK_1 , ni O_x, O_y, O_z o'qlaridagi tashkil qiluvchilarini tegishlichka u, v, f bilan belgilaymiz. u, v, f ko'chishlar koordinata o'qlarining musbat yo'nalishiga mos bo'lsa, musbat ishorali bo'ladi

Ko'chishlar jism o'lchamlariga nisbatan kichik miqdor deb qabul qilamiz. Masalan, qurilish konstruktsiyalarida ishlataladigan balkalarning salqiligi ko'ndalang kesimining o'lchamlari va uzunligiga nisbatan juda kichik. Jism turli nuqtalarining ko'chishlari har xil va x , y , z koordinatalarning uzlusiz funksiysiadir:

$$u = u(x, y, z); \quad v = v(x, y, z); \quad f = f(x, y, z)$$

Deformatsiyalarni izlanishi uchun, ixtiyoriy nuqta atrofidan dx , dy , dz qirrali elementar parallelipednedi kesib olamiz. Ko'chishlar farqi asosida paralleliped qirralari uzayadi (qisqaradi), boshlang'ich to'g'ri burchaklar qiyshayadi. Buning asosida deformatsiyaning ikkita turlari-chiziqli va burchakli deformatsiyalar hosil bo'ladi.

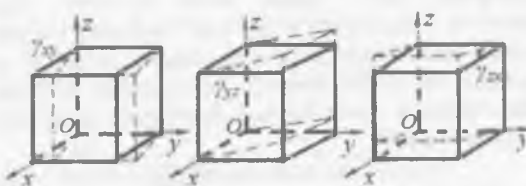
Chiziqli deformatsiyalar ε_x , ε_y , ε_z -lar parallelipedning dx , dy , dz qirralarining nisbiy uzayishlarini tashkil etadi



$$\varepsilon_x = \frac{d(\Delta x)}{dx}; \quad \varepsilon_y = \frac{d(\Delta y)}{dy}; \quad \varepsilon_z = \frac{d(\Delta z)}{dz} \quad (3.12)$$

Uzayish deformatsiyasi musbat hisoblanadi. qisqarish – manfiy (3.12) nisbatlardan foydalaniib qirralarning absolyut uzayishlari $d(\Delta x)$, $d(\Delta y)$, $d(\Delta z)$ va qirralarning uzunliklarini aniqlash mumkin. Masalan, birinchi qirra kuch ta'siridan $d(\Delta x) = \varepsilon_x dx$ miqdorga ortadi va uning uzunligi $dx_1 = dx + d(\Delta x)$ ga teng bo'ladi. Unda

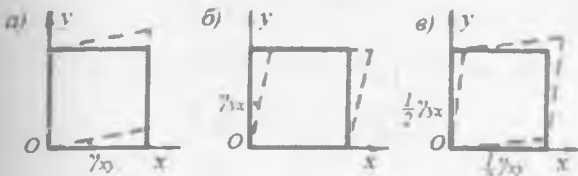
$$dx_1 = (1 + \varepsilon_x)dx; \quad dy_1 = (1 + \varepsilon_y)dy; \quad dz_1 = (1 + \varepsilon_z)dz$$



3.12-rasm

Burchakli deformatsiyalar γ_{xy} , γ_{yz} , γ_{xz} -lar elementar parallelipiped qirralarining orasida to'g'ri burchaklarni qiyshiq bo'lishini bildiradi (3.12-rasm).

Bunda indekslar burchakli deformatsiyalar qaysi tekislikda sodir bo'lishini anglatadi. Elementar parallelipedning uchta ko'rinishi uchun ham kuchlanganlik va deformatsiyalanganlik holatlari bir xil (parallelipedni OXU tekislikka proektsiyasi ko'rsatilgan). Uchta holni o'zaro farqi OZ o'q atrofida qo'shimcha kuchlanish hosil qilmasdan aylanish miqdorida



3.13- rasm.

Siljish deformatsiyasi, urinma kuchlanish kabi juftlik alomatiga ega
 $\gamma_{xy} = \gamma_{yx}$, $\gamma_{yz} = \gamma_{zy}$, $\gamma_{zx} = \gamma_{xz}$

Chiziqli va burchakli deformatsiyalar birga nisbatan kichik miqdor:

$$|\varepsilon_i| \ll 1; |\gamma_{ij}| \ll 1 \quad (i,j=x,y,z).$$

Ko'chishlar va deformatsiyalar orasidagi bog'lanish Koshi nisbatidan topiladi:

Chiziqli va burchakli deformatsiyalar asosida elementar paralleliped hajmining nisbiy o'zgarishiga teng bo'lgan hajmiy deformatsiya quyidagicha topiladi:

$$\varepsilon_0 = \frac{dv_1 - dv}{dv} \quad (3.14)$$

Bu yerda, $dv = dx \cdot dy \cdot dz$ va $dv_1 = dx_1 \cdot dy_1 \cdot dz_1$ -parallelipedning deformatsiyagacha va undan keyingi hajmlari
 $dv_1 = dx \cdot dy \cdot dz(1 + \varepsilon_x)(1 + \varepsilon_y)(1 + \varepsilon_z) = dv(1 + \varepsilon_x + \varepsilon_y + \varepsilon_z + \varepsilon_x\varepsilon_y + \varepsilon_y\varepsilon_z + \varepsilon_z\varepsilon_x + \varepsilon_x\varepsilon_y\varepsilon_z)$

Ikkinchisi va uchinchi tartibli kichik miqdorlar e'tiborga olinmasa, quyidagicha hosil qilamiz: $\varepsilon_0 = \varepsilon_x + \varepsilon_y + \varepsilon_z \quad (3.15)$

Hajmiy deformatsiya uchta chiziqli deformatsiyalar yig'indisiga teng. Deformatsiyalar tenzori kuchlanishlar tenzori asosida deformatsiyalar tenzorini yozamiz:

$$T_\varepsilon = \begin{pmatrix} \varepsilon_x & \frac{1}{2}\gamma_{xy} & \frac{1}{2}\gamma_{xz} \\ \frac{1}{2}\gamma_{yx} & \varepsilon_y & \frac{1}{2}\gamma_{yz} \\ \frac{1}{2}\gamma_{zx} & \frac{1}{2}\gamma_{zy} & \varepsilon_z \end{pmatrix} \quad (3.16)$$

Deformatsiyalar tenzori deformatsiyalar sharaviy tenzori va deformatsiyalar deviatori yig'indisiga teng:

$$T_\varepsilon = T_\varepsilon + D_\varepsilon \quad (3.17)$$

$$T' = \begin{pmatrix} \varepsilon_0 & 0 & 0 \\ 0 & \varepsilon_0 & 0 \\ 0 & 0 & \varepsilon_0 \end{pmatrix} \quad (3.18) \quad \text{va} \quad D_\varepsilon = \begin{pmatrix} \varepsilon_x - \varepsilon_0 & \frac{1}{2}\gamma_{xy} & \frac{1}{2}\gamma_{xz} \\ \frac{1}{2}\gamma_{xy} & \varepsilon_y - \varepsilon_0 & \frac{1}{2}\gamma_{yz} \\ \frac{1}{2}\gamma_{xz} & \frac{1}{2}\gamma_{yz} & \varepsilon_z - \varepsilon_0 \end{pmatrix} \quad (3.19)$$

o'rtacha deformatsiya.

$$\varepsilon_0 = \frac{1}{3}(\varepsilon_x + \varepsilon_y + \varepsilon_z) \quad (3.20)$$

Deformatsiyalar sharaviy tenzori komponentlarini (3.15) tenglikni e'tiborga olib qo'shib chiqsak $\varepsilon = 3\varepsilon_0$ (3.21)

Elementar parallelipiped uchta qirralarining nisbiy deformatsiyalari bir xil, shuning uchun deformatsiyalar sharaviy tenzori parallelipiped shaklini o'zgartirmasdan hajmiy deformatsiyasini aniqlaydi.

Deformatsiyalar deviatori bosh diagonal bo'yicha komponentlarini qo'shib chiqsak

$$\varepsilon_x + \varepsilon_y + \varepsilon_z - 3\varepsilon_0 = 0$$

Shunday qilib, deformatsiyalar deviatori elementar parallelipiped hajmini o'zgarmasdan – shakl o'zgarishini xarakterlaydi.

Bosh deformatsiyalar. Deformatsiyalaruvchi jismning har qanday nuqtasida uchta o'zaro perpendikulyar yo'nalishlar bor. Bu yo'nalishlar orasida siljish nolga teng. Ushbu nuqtadan yo'nalishlar bo'yicha o'tkazilgan to'g'ri chiziq deformatsiyalangan holatning shu nuqtadagi bosh o'qlari deyiladi. Yo'nalishlar bo'yicha bosh o'qlardagi chiziqli deformatsiyalar deyiladi.

Izotrop materiallarda kuchlanganlik va deformatsiyalanganlik holatlardagi bosh o'qlar mos tushadi. Bosh deformatsiyalar $\varepsilon_1 \geq \varepsilon_2 \geq \varepsilon_3$ (3.6) tenglama asosida topilishi mumkin: $\varepsilon^3 - I_1\varepsilon^2 + I_2\varepsilon - I_3 = 0$ (3.22)

I_1, I_2, I_3 - koefitsientlar deformatsiyalar tenzori invariantlari deyiladi.

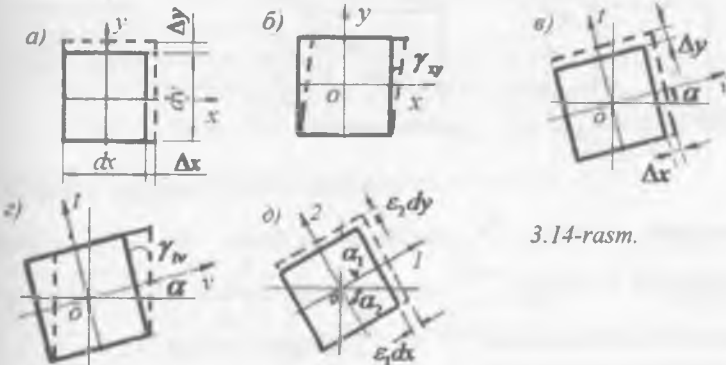
$$\begin{cases} I_1 = \varepsilon_x + \varepsilon_y + \varepsilon_z \\ I_2 = \varepsilon_x\varepsilon_y + \varepsilon_y\varepsilon_z + \varepsilon_z\varepsilon_x - \frac{1}{4}(\gamma_{xy}^2 + \gamma_{yz}^2 + \gamma_{xz}^2) \\ I_3 = \varepsilon_x\varepsilon_y\varepsilon_z + \frac{1}{4}\gamma_{xy}\gamma_{yz}\gamma_{xz} - \frac{1}{4}(\varepsilon_x\gamma_{yz}^2 + \varepsilon_y\gamma_{xz}^2 + \varepsilon_z\gamma_{xy}^2) \end{cases} \quad (3.23)$$

Eng katta burchakli deformatsiya quyidagicha topiladi:

$$\gamma_{max} = \varepsilon_1 - \varepsilon_3$$

O'zaro perpendikulyar v va t yo'nalishlar uchun (3.14 - rasm) chiziqli deformatsiyalar va siljish uchun tenglamalar:

$$\begin{cases} \varepsilon_v = \varepsilon_x \cos^2 \alpha + \varepsilon_y \sin^2 \alpha + \frac{1}{2} \gamma_{xy} \sin 2\alpha \\ \varepsilon_i = \varepsilon_x \sin^2 \alpha + \varepsilon_y \cos^2 \alpha - \frac{1}{2} \gamma_{xy} \sin 2\alpha \\ \gamma_{xy} = -(\varepsilon_x - \varepsilon_y) \sin^2 \alpha + \gamma_{xy} \cos^2 \alpha \end{cases} \quad (3.24)$$



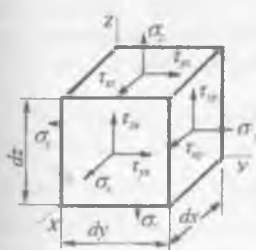
3.14-rasm.

Bosh deformatsiyalar va ularning yo'nalishi 3.11-formula asosida topiladi.

$$\begin{cases} \varepsilon_{1,2} = \frac{\varepsilon_x + \varepsilon_y}{2} \pm \frac{1}{2} \sqrt{(\varepsilon_x - \varepsilon_y)^2 + \gamma_{xy}^2} \\ \operatorname{tg} \alpha_1 = \frac{\gamma_{xy}}{2(\varepsilon_1 - \varepsilon_2)}; \quad \operatorname{tg} \alpha_2 = \frac{\gamma_{xy}}{2(\varepsilon_2 - \varepsilon_1)} \end{cases} \quad (3.25)$$

Kuchlanish va deformatsiyalar bog'lanishlari

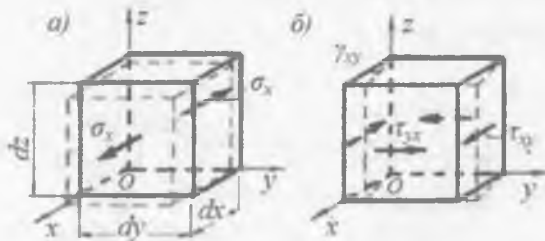
Gukni umumlashgan qonuni. Jismni kuchlanganlik – deformatsiyalangan holatini ifodalovchi tenglamalar sistemasi hosil qilish uchun kuchlanish va deformatsiyani o'zaro bog'lovchi tenglik bo'lishi kerak. Bu tenglikda materialni fizik xossalarni xarakterlovchi kattaliklar qatnashishi lozim.



3.15-rasm

Uch oqli kuchlanganlik holatida elementar parallelipiped qirraliga normal va urinma kuchlanishlar ta'sir etadi. Kuchlanish va deformatsiyalar o'zaro chiziqli bog'lanishda deb qabul qilamiz. Bir nechta kuchlanishlarni bir vaqtida ta'sirida hosil bo'lgan deformatsiya, kuchlarni ta'sir qilishdagi xalal bermaslik printsipiga asosan, har bir kuch ta'siridan hosil bo'lgan deformatsiyalarning yig'indisiga teng bo'ladi deb qabul qilinadi.

Izotrop materialda normal kuchlanish faqat chiziqli deformatsiyani, urinma kuchlanishlar esa faqat burchakli deformatsiyani keltirib chiqaradi (3.16 - rasm, a,b).



3.16 - rasm.
Kubikni deformatsiyalanishi:
a) chiziqli
b) burchakli

3.16-rasm, a- da ko'rsatilgan kubik bir o'qli

kuchlanganlik holatida. σ_x kuchlanish ta'siridan Ox o'q yo'nalishida parallelepipped kirrasida ε_x^I uzayish hosil bo'ladi, Ou va Oz o'qlari yo'nalishida kubik qirralarida ε_y^I va ε_z^I qisqarish bo'ladi.

Guk qonuniga asosan:

$$\varepsilon_x^I = \frac{\sigma_x}{E}; \quad \varepsilon_y^I = \varepsilon_z^I - \mu \varepsilon_x^I = -\mu \frac{\sigma_x}{E}$$

σ_y va σ_z kuchlanishlari ta'siridan, tegishlichcha

$$\varepsilon_y^{II} = \frac{\sigma_y}{E}; \quad \varepsilon_z^{II} = \varepsilon_x^{II} = -\mu \varepsilon_y^{II} = -\mu \frac{\sigma_y}{E}$$

$$\varepsilon_z^{III} = \frac{\sigma_z}{E}; \quad \varepsilon_y^{III} = \varepsilon_x^{III} = -\mu \varepsilon_z^{III} = -\mu \frac{\sigma_z}{E}$$

Kubik qirralarining to'liq uzayishi

$$\varepsilon_x = \varepsilon_x^I + \varepsilon_x^{II} + \varepsilon_x^{III} = \frac{\sigma_x}{E} - \mu \frac{\sigma_y}{E} - \mu \frac{\sigma_z}{E} = \frac{1}{E} [\sigma_x - \mu(\sigma_y + \sigma_z)]$$

Shu usulda kubik qirralarining Ou va Oz o'qlariga nisbatan chiziqli ko'chishlarini topish mumkin. Shunday qilib, chiziqli deformatsiyalarni normal kuchlanishlar bilan Gukning 3 ta formulasi orqali bog'lanishda:

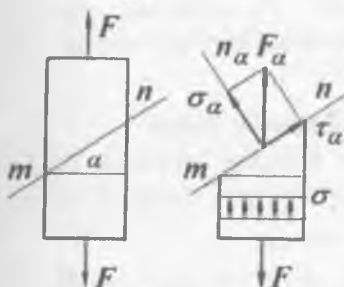
$$\begin{aligned} \varepsilon_x &= \frac{1}{E} [\sigma_x - \mu(\sigma_y + \sigma_z)] \\ \varepsilon_y &= \frac{1}{E} [\sigma_y - \mu(\sigma_x + \sigma_z)] \\ \varepsilon_z &= \frac{1}{E} [\sigma_z - \mu(\sigma_x + \sigma_y)] \end{aligned} \tag{3.26}$$

Deformatsiya va kuchlanish (3.26) ko'rinishda o'zaro bog'lanishda. Bunda har bir o'qga parallel yo'nalgan kuchlanish kubik qirrasini uzayishiga va boshqa o'q yo'nalishida qisqarishiga olib keladi. Shuning uchun Guk formulasida Puasson koeffitsitsienti qatnashadi.

3.1. Chiziqli kuchlanganlik holati

Chiziqli kuchlanganlik holati elementlami oddiy cho'zilish va siqilish deformatsiyasiga uchragan vaqtidagi ko'ndalang kesim yuzasiga qiya joylashgan yuzalaridagi kuchlanishlarni tarqalish qonuniyatini o'rGANADI.

F kuch ta'sirida cho'zilayotgan brusni ko'ndalang kesim yuzasidagi kuchlanish $\sigma = \frac{F}{A}$ formula bilan topilishini ko'rib o'tdik.



Endi brusni ko'ndalang kesim yuzasiga qiya hisoblangan $m - n$ yuzasidagi kuchlanishni aniqlaylik. $m - n$ tekislikni qiyaligi brus o'qi va n_α normali orasidagi o'tkir burchak α bilan aniqlanadi. Kesish metodi orkali ajratib olingan kesimni qiya yuzasida F kuchlanish teng

3.17 – rasm. Brusning qiya kesim yuzasidagi kuchlanishlar

tarqaladi va $F_\alpha = \frac{F}{A_\alpha} = \frac{F}{A} \cos \alpha = \sigma_0 \cos \alpha$ formula bilan topiladi. F -ning qiya tekislik normali va $m - n$ kesim tekisligiga proektsiyalab:

$$\sigma_\alpha = F_\alpha \cos \alpha = \sigma_0 \cos^2 \alpha \quad (3.1)$$

$$\tau_\alpha = F_\alpha \sin \alpha = \frac{\sigma_0}{2} \sin 2\alpha \quad (3.2)$$

qiya tekislikning normal σ_α va urinma τ_α kuchlanishlarni topamiz.

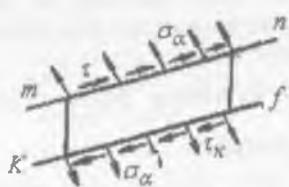
Brusning $m - n$ qiya tekisligiga parallel bo'lган $e - f$ chiziq bilan kesib, bu qiya yuzada ham normal va urinma kuchlanishlarning hosil bo'lishini ko'ramiz. σ_α -normal kuchlanish ta'sirida $m - n$ va $e - f$ qiya kesim yuzalari orasidagi masofa uzayadi (qisqaradi); τ_α -urinma kuchlanishi ta'sirida esa siljish deformatsiyasi hosil bo'ladi. Agar σ_α - cho'zuvchi bo'lsa ishorasi – musbat; τ_α brusning ajratilgan qismini soat strelkasi yo'nalishi bo'ylab aylantirsada, ishorasi –

musbat deb qaraladi. (3.1) va (3.2) tenglamalardan quyidagilar hosil bo'ladi

$$\alpha = 0 \quad \text{byurca} \quad \tau_\alpha = 0 \quad \sigma_\alpha = \sigma_0$$

$$\alpha = 45^\circ \text{da} \quad \tau_\alpha = \frac{\sigma_0}{2} \quad \sigma_\alpha = \frac{\sigma_0}{2}$$

$$\alpha = 90^\circ \text{da} \quad \tau_\alpha = 0 \quad \sigma_\alpha = 0$$



Demak, 1) brus o'qiga perpendikulyar va parallel kesimlarida $\tau_\alpha = 0$ bo'ladi ekan. Shuning uchun bu yuzalar bosh yuzalar deyiladi.

2) brus o'qiga parallel yuzalarida $\sigma = 0$; $\tau = 0$ bo'ladi, ya'ni σ va τ tashqi kuchga bog'liq bo'lmaydi.

3.2. Tekis kuchlanganlik holati

Tekis kuchlanganlik holati qiya kesimdagagi kuchlanish (3.1) va (3.2) formulalarga asoslanib topiladi. Brusning $m-n$ qiya kesimdagagi normal σ_α va urinma τ_α kuchlanishlarini topamiz (3.8 - rasm):

$$\sigma_\alpha = \sigma_1 \cos^2 \alpha + \sigma_3 \cos^2 \alpha_1 = \sigma_1 \cos^2 \alpha + \sigma_3 \cos^2(\alpha + 90^\circ)$$

$$\text{yoki:} \quad \sigma_\alpha = \sigma_1 \cos^2 \alpha + \sigma_3 \sin^2 \alpha \quad (3.3)$$

$$\tau_\alpha = \frac{\sigma_1}{2} \sin 2\alpha + \frac{\sigma_3}{2} \sin 2\alpha_1 = \frac{\sigma_1}{2} \sin 2\alpha + \frac{\sigma_3}{2} \sin 2(\alpha + 90^\circ)$$

$$\text{eku} \quad \tau_\alpha = \frac{\sigma_1 - \sigma_3}{2} \sin 2\alpha \quad (3.4)$$

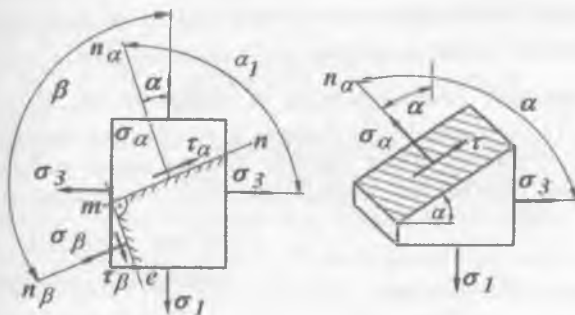
Agar, $m-n$ qiya kesimiga perpendikulyar holatdagi brusning ikkinchi $m-e$ qiya kesimini tanlab olsak, bu qiya kesimdagagi σ_β va τ_β kuchlanishlari (3.3) va (3.4) formulalardan topiladi

$$\sigma_\beta = \sigma_1 \cos^2 \beta + \sigma_3 \sin^2 \beta = \sigma_1 \cos^2(\alpha + 90^\circ) + \sigma_3 \sin^2(\alpha + 90^\circ)$$

$$\text{eku} \quad \sigma_\beta = \sigma_1 \sin^2 \alpha + \sigma_3 \cos^2 \alpha \quad (3.5)$$

$$\tau_\beta = \frac{\sigma_1 - \sigma_3}{2} \sin 2\beta = \frac{\sigma_1 - \sigma_3}{2} \sin 2(\alpha + 90^\circ)$$

$$\text{va } \tau_{\alpha} = -\frac{\sigma_1 - \sigma_3}{2} \sin 2\alpha \quad (3.6)$$



3.18 – rasm. Tekis kuchlanganlik xolatidagi kubikning qiya kesim yuzalaridagi kuchlanishlar

(3.3), (3.4), (3.5) va (3.6) formulalardan ko'rinib turibdiki, qiya kesimlarining normal va urinma kuchlanishlari α burchakning o'zgarishiga bog'liq ekan. Qiya kesimning og'ish burchagi $\alpha=45^\circ$ da urinma kuchlanish τ_{α} maksimal qiymatga erishadi, ya' ni:

$$\tau_{\alpha} = \tau_{\max} = \frac{\sigma_1 - \sigma_3}{2} \quad (3.7)$$

va normal kuchlanish σ_{α} bosh normal kuchlanishlar yig'indisining

$$\text{yarmiga teng bo'ladi: } \sigma_{\alpha} = \frac{\sigma_1 + \sigma_3}{2}, \alpha = 0 \text{ va } \alpha = 90^\circ \text{ burchaklarda}$$

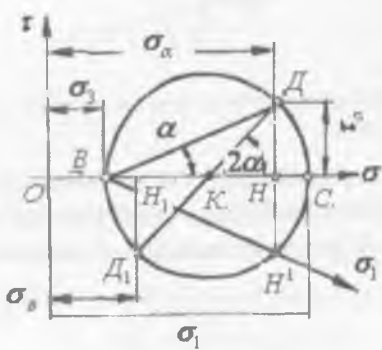
$\tau_{\alpha} = \tau_{\beta} = 0$ urinma kuchlanish nolga teng. Demak, bu yuzalar bosh yuzalar.

(3.3) va (3.5) tenglamalarning chap va o'ng tomonlarini qo'shib $\sigma_{\alpha} + \sigma_{\beta} = \sigma_1 + \sigma_3 = \text{const}$, ya'ni o'zaro perpendikulyar bo'lgan qiya kesimlardagi normal kuchlanishlar yig'indisi bosh kuchlanishlar yig'indisiga teng ekanligini aniqlaymiz. (3.4) va (3.5) tenglamalarni o'zaro taqqoslasak, $\tau_{\alpha} = -\tau_{\beta}$, o'zaro perpendikulyar joylashgan qiya kesimlardagi urinma kuchlanishlar bir-biriga teng va ishorasi har xil bo'lishini ko'ramiz. $\tau_{\alpha} = -\tau_{\beta}$ - urinma kuchlanishlarning juftlik alomati deyiladi.

3.3. Kuchlanishlarni grafik usulda topish

Berilgan bosh normal kuchlanishlar orqali tekis kuchlan-ganlik holatidagi kubikni qiya kesimidagi normal σ_α va urinma τ_α kuchlanishlarni Mor doirasini (kuchlanishlar doirasi) qurish bilan grafik usulda topamiz.

Agar qiya kesimning holati va undagi $\sigma_\alpha; \sigma_\beta; \tau_\alpha = -\tau_\beta$ kuchlanishlar berilgan (3.19 –rasm) bo'lsa, kubikga ta'sir qiladigan bosh kuchlanishlarni va ularning yo'nalishini topish mumkin. Bunday teskari masalani Mor doirasini ko'rish usuli bilan echiladi. Buning uchun $\sigma \cdot o \cdot \tau$ koordinata o'qlariga,



3.19 – rasm. Tekis kuchlanganlik holati uchun Mor doirasi

ma'lum mashtabda $\sigma_\alpha; \sigma_\beta$ va τ_α kuchlanishlar joylashtiriladi.

D va D_1 nuqtalarni birlashtirib kuchlanishlar doirasining markazi K nuqtani topamiz. DK va D_1K radiuslar bilan chizilgan doira σ o'qini C va B nuqtalarda kesib o'tadi. Kuchlanishlar masshtabida $OC = \sigma_1$ va $OB = \sigma_3$

Mor doirasini qurishda quyidagi belgilashlardan foydalandik: 3.9- rasmdagi chizmadan quyidagi masofalarni topamiz:

$$\sigma_\alpha = OH; \sigma_\beta = OH_1;$$

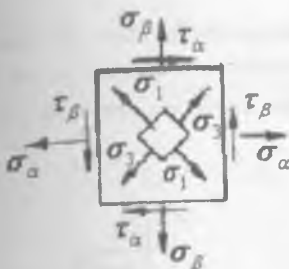
$$H\bar{D} = \tau; H_1\bar{D}_1 = \tau_\beta$$

$$OS = OK + KS \text{ va } OV = OK - KV \text{ bu erda } OK = \frac{OH + OH_1}{2} = \frac{\sigma_\alpha + \sigma_\beta}{2}$$

$$KC = KB = K\bar{D} = \sqrt{(KH)^2 + (H\bar{D})^2} = \sqrt{\left(\frac{\sigma_\alpha - \sigma_\beta}{2}\right)^2 + \tau_\alpha^2}$$

$$\begin{aligned} OC = \sigma_1 &= \frac{\sigma_\alpha + \sigma_\beta}{2} \pm \sqrt{\frac{(\sigma_\alpha - \sigma_\beta)^2}{4} + \tau_\alpha^2} \\ OB = \sigma_3 &= \end{aligned}$$

$$\text{Demak, } \sigma_{13} = \frac{1}{2} \left[(\sigma_\alpha + \sigma_\beta)^2 \pm \sqrt{(\sigma_\alpha - \sigma_\beta)^2 + 4\tau_\alpha^2} \right] \quad (3.8)$$



Bosh normal kuchlanish σ_1, σ_3 larning yunalishlarini topish uchun Mor doirasidagi KNN^1 burchagidan foydalanamiz:

$$\operatorname{tg} 2\alpha = -\frac{2\tau_\alpha}{\sigma_\alpha - \sigma_\beta} \quad (3.9)$$

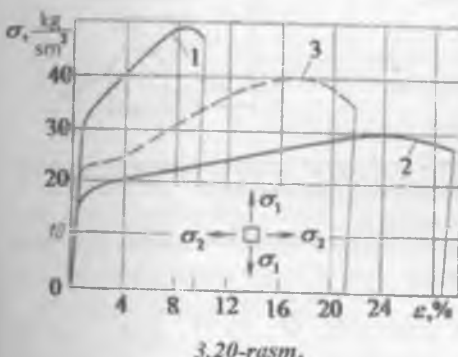
α burchak musbat bo'lsa, uni abtsissa o'qidan soat strelkasining yo'nalishiga qarama-qarshi

tomonga joylashtiriladi; manfiy bo'lsa teskari yo'nalishda joylashtiriladi. α

burchakning qiymatiga bog'liq ravishda σ_1, σ_3 bosh normal kuchlanishlar qo'yilishi kerak bo'lgan bosh yuzalarning holatlari, og'ish burchaklari topiladi

Murakkab kuchlanganlik holatida cho'zilish diagrammasi [32].

Murakkab kuchlanganlik holati ikkita yoki uchta o'zaro perpendikulyar bosh normal kuchlanishlar σ_1, σ_2 va σ_3 larni bir vaqtida ta'sirida hosil bo'ladi. Ikki tomonlama cho'zilishda proporsionallik, oquvchanlik va mustahkamlilik chegaralar ortadi (3.20-rasm, 1), nisbiy uzayish keskin qisqaradi.



3.20-rasm.

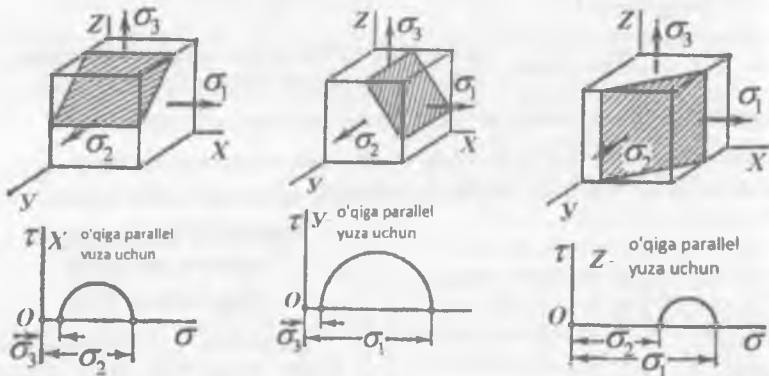
Bir tomonlama cho'zilish va ikkinchi tomoni siqilishda diagramma boshqacha bo'ladi, elastiklik, oquvchanlik va mustahkamlilik chegaralar kamayadi (3.20-rasm, 2), nisbiy uzayish keskin ortadi. 3.20-rasm, 1-da etalon cho'zilish diagrammasi ko'rsatilgan. Diagrammaning xarakteri σ_1 va σ_2 bosh normal kuchlanishlarning nisbatiga bog'liq. $\sigma_1 = \sigma_2$ sof siljish nisbatda po'lot plastik ishlaydi. Tekis kuchlanganlik holatida material mo'rt emirilishda bo'ladi.

3.4. Hajmiy kuchlanganlik holati

Hajmiy kuchlanganlik holatidagi elementning qiya kesimidagi kuchlanishni topish uchun, qiya yuzaning bosh kuchlanishlaridan birortasining yo'nalishiga parallel qilib olinsa, bu yuzadagi normal va urinma kuchlanishlar qolgan ikkitosh bosh kuchlanishga bog'liq bo'lib qoladi. Masalan: qiya kesimni σ bosh normal kuchlanishiga parallel qilib olamiz. Demak, shtrixlangan qiya yuzadagi σ_α va

$\tau_{\alpha 1}$ lar faqat σ_2 va σ_3 , bosh normal kuchlanishlariga bog'liq ekan. σ_1 , bosh normal kuchlanishi ta'siridagi normal va urinma kuchlanishlar nolga teng bo'ladi.

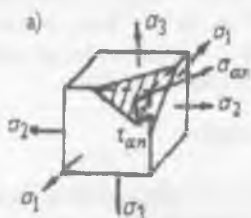
Demak, hajmiy kuchlanganlik holatida bo'lgan kubikdan ajratilgan qiya tekislik tekis kuchlanganlik holatida bo'lar ekan.



3.21 - rasm. Hajmiy kuchlanganlik holatidagi kubiklardan ajratilgan qiya kesim yuzalar va ular uchun Mor doiralari

Qiya kesimdagagi normal kuchlanish $\sigma_{\alpha 1}$ va urinma kuchlanish $\tau_{\alpha 1}$ larni topish uchun Mor doirasidan foydalananamiz.

$\sigma \otimes \tau$ (3.21 - rasm) koordinata sistemasida σ_1 va σ_3 , bosh normal kuchlanishlarini joylashtiramiz va kuchlanishlar doirasini quramiz. Biz qidirayotgan $\sigma_{\alpha 1}$ va $\tau_{\alpha 1}$ kuchlanish doira ichida joylashadi. Urinma kuchlanishning maksimal qiymati kuchlanishlar doirasining radiusiga teng. Shu



3.22 - rasm. Hajmiy kuchlanganlik holati

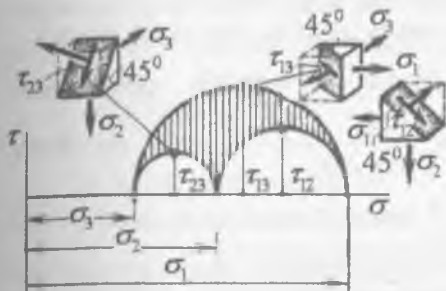
usulda kubikdan qiya kesimlarni navbatli bilan σ_1 va σ_3 , bosh normal kuchlanishlariga parallel qilib olamiz va normal va urinma kuchlanishlarini topamiz. Qiya kesimning shunday holatini tanlash mumkinki, bundaqiya kesim hamma bosh normal kuchlanishlar yo'nalishlarini kesib o'tadi (3.22 - rasm). $\sigma_{\alpha n}$ va $\tau_{\alpha n}$ kuchlanishlari Mor doirasini bilan

chegaralangan egri chiziqli murakkab yuzada joylashadi (3.23 - rasm) va quyidagi formula bilan topiladi:

$$\sigma_\alpha = \sigma_1 \cos^2 \alpha_1 + \sigma_2 \cos^2 \alpha_2 + \sigma_3 \cos^2 \alpha_3$$

$\alpha_1, \alpha_2, \alpha_3$ - bosh normal kuchlanishlarni qiya kesimning normali bilan hosil qilgan burchagi

$$\tau_\alpha = \sqrt{\sigma_1^2 \cos^2 \alpha_1 + \sigma_2^2 \cos^2 \alpha_2 + \sigma_3^2 \cos^2 \alpha_3 - \sigma_\alpha^2}$$



3.23 – rasm. Hajmiy kuchlanganlik holati uchun Mor doirasi

3.5. Hajmiy deformatsiya

Kubikning birorta bosh normal kuchlanishga parallel qirrasi cho'ziladi. Shu bosh normal kuchlanish ta'sirida kubikning qolgan qirralari siqiladi. Natijada, bitta qirraning deformatsiyasi murakkab bo'lib, bir yo'nalishda cho'zilishdan va ikkita yo'nalishda siqlishdan iborat bo'ladi.

Hajmiy kuchlanganlik holatida kubikning deformatsiyasi Gukning umumlashgan qonuni bo'yicha topiladi:

$$\begin{aligned}\varepsilon_1 &= \frac{1}{E} [\sigma_1 - \mu(\sigma_2 + \sigma_3)] \\ \varepsilon_2 &= \frac{1}{E} [\sigma_2 - \mu(\sigma_1 + \sigma_3)] \\ \varepsilon_3 &= \frac{1}{E} [\sigma_3 - \mu(\sigma_1 + \sigma_2)]\end{aligned}\quad (3.10)$$

(3.10) formuladan chiziqli va tekis kuchlanganlik holatlaridagi elementlarning deformatsiyasini topishda foydalanish mumkin. Boshlang'ich hajmi $V_0 = a \cdot b \cdot c$ bo'lgan kubikning deformatsiyasidan keyingi hajmi:

$$V_1 = (a + \Delta a)(b + \Delta b)(c + \Delta c) = abc + ab\Delta c + bc\Delta a + ac\Delta b$$

formula bilan topiladi. Unda kubik hajmining nisbiy o'zgarishi

$$\varepsilon_0 = \frac{V_1 - V_0}{V_0} = \varepsilon_1 + \varepsilon_2 + \varepsilon_3$$

kubik tomonlari nisbiy deformatsiyalarining yig'indisiga teng bo'ladi. Guk formulasini hisobga olsak, ε_0 quyidagicha topiladi:

$$\varepsilon_0 = \frac{1-2\mu}{E} (\sigma_1 + \sigma_2 + \sigma_3) \quad (3.11)$$

Kubikning deformatsiyasida hajm yoki shakl o'zgarishi mumkin. (3.11) formuladan aniqli, bosh normal kuchlanishlar yig'indisi ($\sigma_1 + \sigma_2 + \sigma_3 = 0$) nolga teng bo'lsa, hajmiy nisbiy o'zgarishi ham nolga teng bo'ladi, ya'ni kubikda shakl o'zgarishi yuz beradi. Aynan shu holatni $\mu=0,5$ -da ham ko'rish mumkin.

(3.11) formuladan: $\sigma_1 = \sigma_2 = \sigma_3 = \sigma_{yp}$ deb qabul qilsak; $\varepsilon_0 = \frac{1-2\mu}{E} \cdot 3\sigma_{yp}$ hisobbo'ladi. Buerda $\frac{E}{3(1-2\mu)} = K$ o'zgarmas son hajmiy

elastiklik moduli deyiladi. Unda $\varepsilon_0 = \frac{\sigma_{yp}}{K}$ formula Gukning hajmiy qonuni bo'ladi.

Guk hajmiy qonuniga asosan, agar kubikning tomonlariga qiymati o'rtacha bosh kuchlanishlarga teng kuchlanishlar bilan ta'sir qilinsa, kubikda hajm o'zgarishi sodir bo'ladi.

3.6 Deformatsiyaning potentsial energiyasi

Hajmiy kuchlanganlik holatida deformatsiyaning to'liq potentsial energiyasi quyidagicha topiladi:

$$U = \frac{1}{2} (\sigma_1 \varepsilon_1 + \sigma_2 \varepsilon_2 + \sigma_3 \varepsilon_3) \text{ yoki}$$

$$U = U_x + U_{uu} = \frac{1}{2E} [\sigma_1^2 + \sigma_2^2 + \sigma_3^2 - 2\mu \cdot (\sigma_1 \sigma_2 + \sigma_2 \sigma_3 + \sigma_3 \sigma_1)] \quad (3.12)$$

U_x - kubik hajm o'zgarishidagi deformatsiyaning potentsial energiyasi bo'lib, quyidagi formula bilan topiladi: $U_x = \frac{3}{2} \sigma_{yp} \cdot \varepsilon_{yp}$; bu erda: $\varepsilon_{yp} = \frac{\sigma_{yp}}{K}$

hajmiy elastiklik moduli va $\sigma_{yp} = \frac{\sigma_1 + \sigma_2 + \sigma_3}{3}$ larni hisobga olsak, hajmiy o'zgarishdagi deformatsiyaning potentsial energiyasi

$$U_x = \frac{1-2\mu}{6E} (\sigma_1 + \sigma_2 + \sigma_3)^2 \quad (3.13)$$

Shakl o'zgarishidagi deformatsiyaning potentsial energiyasini topish uchun (2.12) formuladan U_x -ni topamiz.

$$\text{Unda: } U_{uu} = \frac{1+\mu}{3E} (\sigma_1^2 + \sigma_2^2 + \sigma_3^2 - \sigma_1\sigma_2 - \sigma_1\sigma_3 - \sigma_2\sigma_3)$$

Ushbu formulalar chiziqli kuchlanganlik holati uchun quyidagicha yoziladi:

hajm o'zgarishidagi deformatsiyaning potentsial energiyasi

$$U_x = \frac{1-2\mu}{6E} \sigma_1^2$$

va shakl o'zgarishidagi deformatsiyaning potentsial energiyasi:

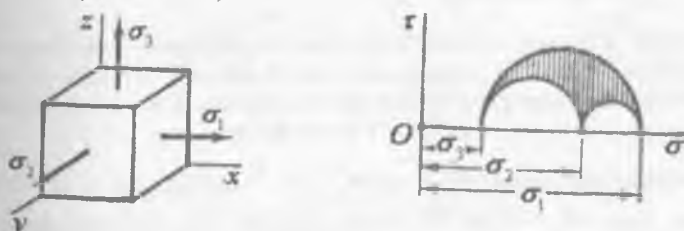
$$U_\sigma = \frac{1+\mu}{3A} \sigma_1^2$$

$$\text{To'liq potentsial energiya } U = U_x + U_\sigma = \frac{1}{2E} \sigma_1^2$$

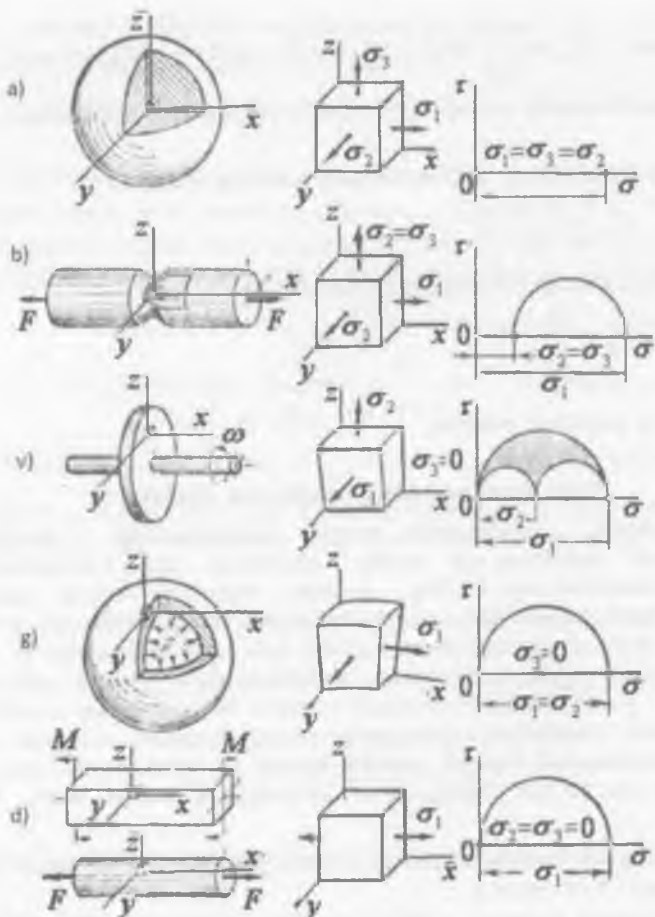
Turli kuchlanganlik holatlarini tahlili [17]

Murakkab kuchlanganlik holatida mustahkamlikka hisoblashda kuchlanganlik holatining turi muhim ahamiyatga ega. Cho'zuvchi yoki siquvchi kuchlanishlarga bog'liq ravishda materiallar turlicha emiriladi. Tajribalar shuni ko'rsatadiki, chiziqli cho'zilishda kichik kuchlanish ta'sirida emirilgan material har tomonlama siqilishda juda katta kuchlanishlarni qabul qilishi mumkin. Ayrim kuchlanganlik holatlarda mo'rt emirilish yoki mo'rt materiallar plastik deformatsiyalanishi mumkin. Shuning uchun, u yoki bu holatni keltirib chiqaradigan kuchlanganlik holatini chuqurroq o'rganish lozim. Natijada kuchlanganlik holatini xavflilik darajasi va mustahkamlik masalasini tahlil etish oson bo'ladi. Buning uchun kuchlanganlik holatini uchta sinfga bo'lami.

I- sinfga uch tomonlama cho'zilish kiradi, ya'ni birorta kukchlanish ham siquvchi emas (3.24 – rasm).



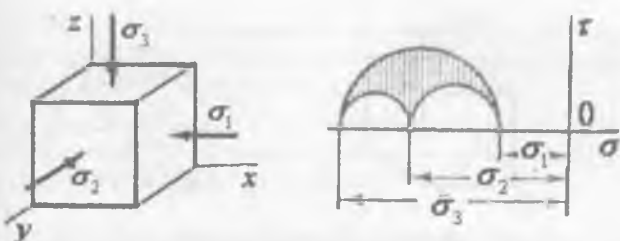
3.24 – rasm. Uch tomonlama cho'zilishdagi kubik va ushu holat uchun Mor doirasi



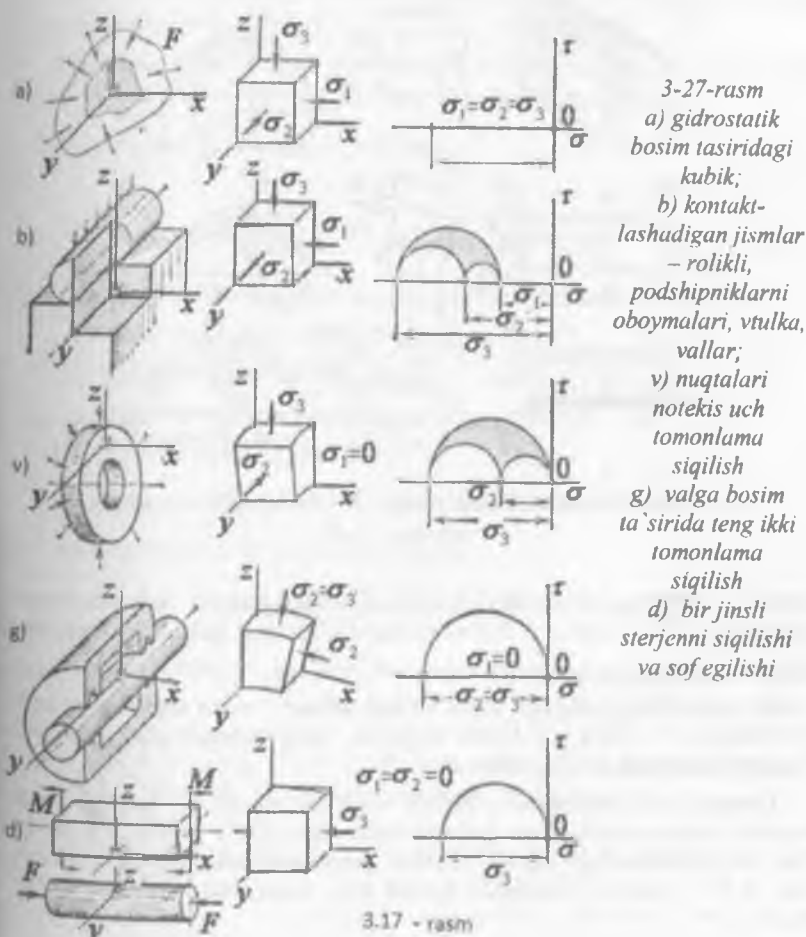
3.25 – rasm: a) sof uch o'qli cho'zilish – shar; b) xalqasimon kanavkadagi uch tomonlama cho'zilish; v) ingichka disk - ikki tomonlama cho'zilish g) sferik idishni sirtidagi nuqta teng ikki tomonli cho'zilishda, d) bir jinsli sterjenni cho'zilishi yoki sof egilishi

Kuchlanishlar doirasi bu sinfda σ, τ tekisligining o'ng tomonida joylashadi. Agar, $\sigma_1 = \sigma_2 = \sigma_3$ bo'lsa, sof uch o'qli cho'zilish deyiladi. U sharni markazida hosil bo'ladi (3.15-rasm,a)

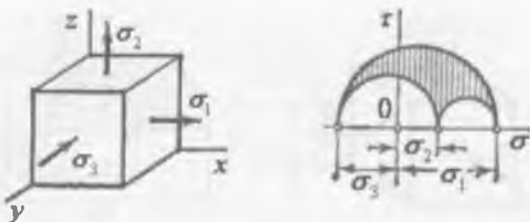
Tashqi tomoni qizdirilayotgan shaming markazidagi material har tomonlama cho'zilishda bo'ladi. O'zaro teng va uchinichisidan farq qiladigan ikkita bosh



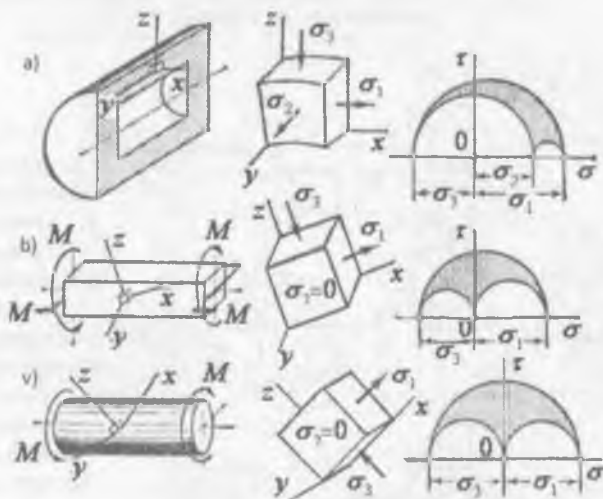
3.26 rasm. Uch tomonlurma siqilishdagi kubik va ushbu holat uchun Mor doirasi



3.17 - rasm



3.28 – rasm. Murakkab kuchlanganlik va Mor doirasi



3.29 – rasm. a) qalin devorli silindr; b – v) buralish va egilishni bir vaqtida ta'siri

kuchlanish ta'siridagi xalqasimon kanavkasi bo'lgan namuna uch tomonlama cho'zilishda (3.25 – rasm, b). Tez aylanadigan o'zgarmas qalinlikdagi ingichka disk ikki tomonlama cho'zilishda, bunda $\sigma_3 = 0$ va $\sigma_1 \neq \sigma_2$ (3.25 – rasm, v). Ichki bosim bilan yuklangan sferik idishni sirtidagi nuqta teng ikki tomonli cho'zilishda (3.25 – rasm, g). Ushbu sinfga bir jinsli sterjenni cho'zilishi yoki sof egilishi ham kiradi (3.25 – rasm, d).

II-sinfga uch tomonlama siqilish misol bo'ladi (3.16 – rasm). Unga gidrostatik bosim tasiridagi har qanday shaklli jism (3.17 – rasm, a) misol bo'ladi. Kontaktlashadigan jismlar – rolikli, podshipniklarni oboymalari, vtulka, vallar (3.17 – rasm, b) nuqtalari notejis uch tomonlama siqilishda (3.17 – rasm, v).

Bog'lanishdan tashqarida joylashgan qismi (torets) bo'lgan valga bosim ta'sirida teng ikki tomonloma siqilish bo'ladi. Bir jinsli sterjenni siqilishi va sofigilishidagi chiziqli siqilishi ham ushbu sinfga mansub.

III- sinf – murakkab (aralash) kuchlanganlik holati misol bo'ladi Bunda kuchlanish (3.18 – rasm) ichki bosim ta'siridagi qalin devorli tsilindrlar, bir vaqtida egilib – buralayotgan sterjen (3.19 – rasm).

misol – 1. Ko'ndalang kesim o'lchamlari $0,2 \times 0,2 \times 0,2$ m bo'lgan kubikning emirilish vaqtidagi, tashqi siquvchi kuchning ta'sir qilish chizig'iga 45^0 burchak bilan qiya kesim yuzasidagi normal kuchlanish $\sigma_\alpha = 40 \text{ MPa}$. Kubik qancha siquvchi kuch ta'sirida emiriladi.

Yechish: Kubik chiziqli kuchlanganlik holatida bo'lganligi uchun, uning qiya kesimidagi normal kuchlanish formulasi quyidagicha yoziladi.

$$\sigma_\alpha = \sigma \cos^2 \alpha = \frac{F}{A} \cos^2 \alpha = 40 \text{ MPa}$$

$$\text{Bu erdan } F = \frac{40A}{\cos^2 \alpha} = \frac{40 \cdot 10^3 \cdot 0,2 \cdot 0,2}{(0,707)} = 3,2 \cdot 10^3 \text{ kN}$$

misol – 2. Po'latdan tayyorlangan kubik tekis kuchlanganlik holatida.

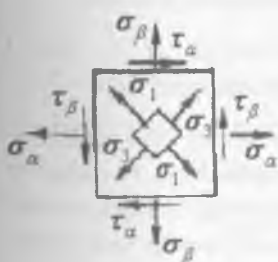
- 1) bosh kuchlanishlar va bosh yuzalar yo'naliishi;
- 2) eng katta urinma bosh kuchlanish;
- 3) nisbiy deformatsiya va hajmning nisbiy o'zgarishi;
- 4) to'liq potentsial energiya topilsin.

Berilgan: $\sigma_\alpha = 40 \text{ MPa}; \sigma_\beta = 10 \text{ MPa}; \tau_2 = 10 \text{ MPa}$

Bosh kuchlanishlarni (3.8) formuladan topamiz;

$$\sigma_{1,3} = \frac{1}{2} [(40 + 10) \pm \sqrt{(40 - 10)^2 + 4(10)^2}] = \frac{1}{2} (50 \pm 36,05)$$

$$\begin{aligned} \sigma_1 &= 43,025 \text{ MPa} \\ \text{Bu erdan: } \sigma_3 &= 6,975 \text{ MPa} \end{aligned}$$



Bosh yuzalarning joylashish burchagini (3.9) formuladan aniqlaymiz;

$$\operatorname{tg} 2\alpha = -\frac{2 \cdot 10}{40 - 10} = -0,667;$$

$$2\alpha = -34^0; \quad \alpha = -17^0$$

α - burchak ishorasi minus bo'lganligi uchun σ_1 yo'nalishini σ_a tekisligidan soat strelkasi yo'nalishi bo'yicha joylashtirdik. Eng katta urinma kuchlanish:

$$\tau_{\max} = \frac{\sigma_1 - \sigma_3}{2} = \frac{43,025 - 6,975}{2} = 18,025 \text{ mPa}$$

Kubik tomonlarning nisbiy cho'zilishi:

$$E_1 = \frac{1}{2 \cdot 10^4} (43025 - 0,3 \cdot 6975) = 20,466 \cdot 10^{-4} \quad (\text{cho'zilish})$$

$$\varepsilon_2 = -\frac{0,3}{2 \cdot 10^4} (43025 + 6975) = -7,5 \cdot 10^{-5} \text{ (siqilish)}$$

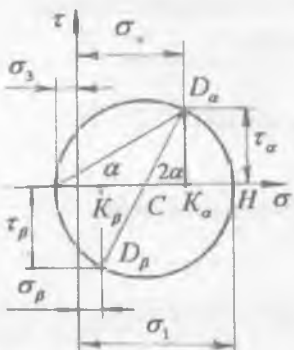
$$\varepsilon_1 = \frac{1}{2 \cdot 10^8} (6975 - 0,3 \cdot 43025) = -2,97 \cdot 10^{-5} \text{ (sinqilish)}$$

Hajmning nisbiy o'zgarishi:

$$\varepsilon_c = (20,466 - 7,5 - 2,97) \cdot 10^{-5} = 10 \cdot 10^{-5}$$

To'liq potentsial energiyani (3.12) formuladan topamiz:

$$U = \frac{1}{2 \cdot 2 \cdot 10^8} [(43025)^2 + (6975)^2 - 2 \cdot 0,3 \cdot 43025 \cdot 6975] = 24,95 \cdot 10^{-5} \text{ Dj}$$



3.30 – rasm. Mor doirasi

misol – 3. Berilgan $\sigma_1 = 50 \text{ MPa}$ va $\sigma_3 = -10 \text{ MPa}$ bosh kuchlanishlari ta'siridagi $\alpha = 30^\circ$ burchak ostida joylashgan qiya yuzanining normal va urinma kuchlanishlari grafik usulda topilsin.

Yechish: Masalani grafik usulda Yechish uchun Mor doirasini quramiz. Buning uchun σ_0 koordinata sistemasini olamiz va abstsissa o'qi bo'ylab bosh kuchlanishlar (σ_1 va σ_2) ni kuchlanishlar masshtabida joy-

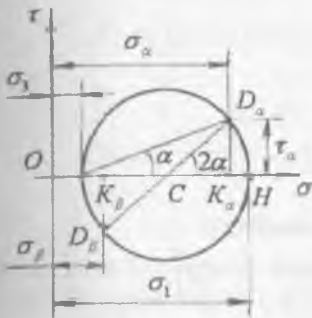
mPa , ya'ni $1\ mm$ masofada $1\ mPa$ kuchlanish joylashgan deb qabul qildik.

Demak, $\overline{OH} = \sigma_1 = 50 \text{ MPa}$, $\overline{OB} = \sigma_3 = 10 \text{ MPa}$. σ_1 bosh kuchlanish cho'zuvchi bo'lganligi uchun abtsissa o'qining koordinata boshi O nuqtasidan (o'ng) musbat tomoniga; σ_3 siquvchi kuchlanish bo'lganligi uchun koordinata o'qini rannifiy tomoniga joylashtiramiz. Natijada N va V nuqtalar hosil bo'ladi.

Qiya tekislikning normal va urinma kuchlanishlari N va V nuqtalari oralig'ida topilganligi uchun, kuchlanishlar doirasi ham shu nuqtalardan o'tadi.

$$\text{Doiraning markazi: } OC = \frac{OH + OB}{2} = \frac{\sigma_1 - \sigma_3}{2} = \frac{50 - 10}{2} = 20 \text{ MPa}$$

$$\text{va radiusi } CH = CB = \frac{HB}{2} = \frac{OH - OB}{2} = \frac{\sigma_1 + \sigma_3}{2} = \frac{50 + 10}{2} = 30 \text{ mPa}$$



S nuqtadan $SN = SV = R = 30 \text{ MPa}$ radius bilan aylana chizamiz. V nuqtadan $\alpha = 30^\circ$ burchak ostida qiya kesimni tasvirlovchi chiziq o'tkazib D_α nuqtani topamiz. D_α nuqtadan abtsissaga perpendikulyar tushirib K_α nuqtani aniqlaymiz. σ or koordinata sistemasida $OD_\alpha = \sigma_\alpha$ qiya tekislikni normal kuchlanishini va $D_\alpha K_\alpha = \tau_\alpha$ urinma kuchlanishni beradi.

3.31 – rasm. Mor doirasi

CD_α chiziq'ini davom ettirib D_β va keyin K_β nuqtalarni, $OK_\beta = \sigma_\beta$ va $D_\beta K_\beta = -\tau_\beta$ kuchlanishlarini topamiz. Mor doirasidan topilgan kuchlanishlarning to'g'riligini tekshiramiz:

$$\sigma_\alpha = \sigma_1 \cos^2 \alpha + \sigma_3 \sin^2 \alpha = 50 \left(\frac{\sqrt{3}}{2} \right)^2 - 10 \left(\frac{1}{2} \right)^2 = 35 \text{ mPa}$$

$$\tau_\alpha = \frac{\sigma_1 - \sigma_3}{2} \sin 2\alpha = \frac{50 - (-10)}{2} = \sin 2 \cdot 30^\circ = 30 \frac{\sqrt{3}}{2} = 26 \text{ mPa}$$

$$\sigma_\beta = \sigma_1 \sin^2 \alpha + \sigma_3 \cos^2 \alpha = 50 \left(\frac{1}{2} \right)^2 - 10 \left(\frac{\sqrt{3}}{2} \right)^2 = 5 \text{ mPa}$$

σ_1 va σ_3 , bos normal kuchlanishlar cho'zuvchi bo'lsa, Mor doirasi σ o'qining musbat tomonida joylashadi

Haqiqatdan ham $\sigma_\alpha = OD_\alpha$ ekanligini isbotlaymiz:

$$OK_\alpha = OB + BC + CK$$

$$\text{lekin } OB = \sigma_3; \quad CB = \frac{\sigma_1 - \sigma_3}{2}$$

$$va \quad CK_a = CD_a \cos 2\alpha \\ (bu \quad erda \quad CB = CD_a) \quad \text{Unda}$$

$$OK_\alpha = \sigma_3 + \frac{\sigma_1 - \sigma_3}{2} + \frac{\sigma_1 - \sigma_3}{2} \cos 2\alpha = \sigma_3 + \frac{\sigma_1 - \sigma_3}{2} (1 + \cos 2\alpha) = \\ = \sigma_3 + (\sigma_1 - \sigma_3) \frac{1}{2} \cdot 2 \cos^2 \alpha = \sigma_3 + \sigma_1 \cos^2 \alpha - \sigma_3 \cos^2 \alpha = \\ = \sigma_1 \cos^2 \alpha + \sigma_3 (1 - \cos^2 \alpha); \quad \sigma_\alpha = \sigma_1 \cos^2 \alpha + \sigma_3 \sin^2 \alpha$$

Mor doirasidagi uchburchak $CD_a K_\alpha$ dan

$$\frac{D_a K_\alpha}{CD_a} = \sin 2\alpha \quad \text{yoki} \quad D_a K_\alpha = \tau_\alpha = \frac{\sigma_1 - \sigma_3}{2} \sin 2\alpha$$

Mustaqil ish uchun misollar

2.4-misol. Bosim balandligi 100 m bo'lganda diametri 120 sm li cho'yan vodoprovod trubasining devori qalingligini aniqlang. Cho'yan uchun cho'zilishga ruxsat etiladigan kuchlanish 20 MPa deb oling.

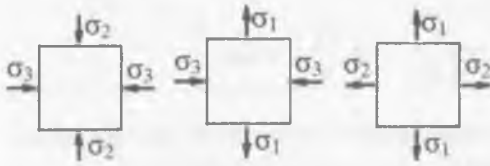
Javob: $30 \text{ mm} = 3 \cdot 10^{-2} \text{ m}$.

2.5-misol. Tashqi diametri 54 mm va ichki diametri 50 m li viniplast vodoprovod trubasida bosimning maksimal balandligi qancha bo'lishi mumkin? Viniplast uchun uzoq cho'zilishga ruxsat etiladigan kuchlanishni 80 MPa deb oling.

Javob: 61,5 m.

2.6-misol. Ish bosimi 10 at ta'sirida bo'lgan diametri 250 sm li po'lat qozon devorining mustahkamligini tekshiring. Devorning qalinligi 12 mm, uchun ruxsat etiladigan kuchlanish 90 MPa ga teng. IV mustahkamlik nazariyasini qo'llang.

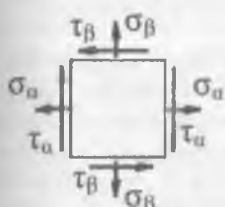
Javob: $\sigma_{IV} = 90 \text{ MPa}$.



2.7-misol. Berilgan σ_1 va σ_2 yoki σ_1 va σ_3 yoki σ_2 va σ_3 bo'yicha analitik yoki grafik usulda α burchak ostidagi kesimda σ_a va τ_a larni aniqlang.

Elementdagi eng katta urinma kuchlanishlarni aniqlang.

Berilgan qiymatlar					Javob σ_a MPa
Variant	σ_1 MPa	σ_2 MPa	σ_3 MPa	τ_a	
1	100,0	50,0	0	30	87,5
2	100,0	50,0	0	-60	62,5
3	30,0	30,0	0	-	30,0
4	80,0	0	-20,0	60	5,0
5	80,0	0	-20,0	-30	55,0
6	30,0	0	-30,0	45	0
7	30,0	0	-30,0	30	15,0
8	30,0	0	-30,0	-60	-15,0
9	0	20,0	-60,0	60	-50,0
10	0	20,0	-60,0	-30	-30,0



2.8-misol. Berilgan σ_α , σ_β va ($\tau_\beta = -\tau_\alpha$) lar bo'yicha (rasmga qarang) analitik yoki grafik usulda asosiy kuchlanishlarning qiymati va yo'nalishini aniqlang va faqat asosiy kuchlanishlar ta'sirida bo'lган elementni tasvirlang.

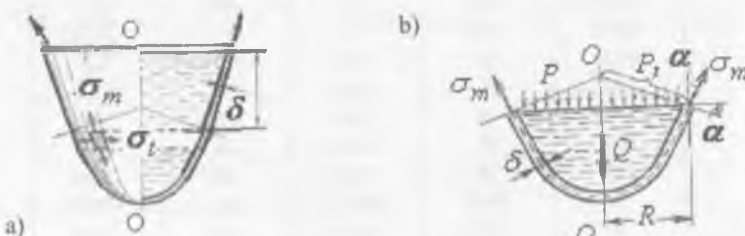
Variant	Berilgan qiymatlar, MPa			T_{max}
	σ_α	σ_β	τ_α	
1	40,0	20,0	10,0	44,1
2	50,0	30,0	-20,0	62,3
3	-20,0	30,0	20,0	37,0
4	-40,0	20,0	-30,0	32,4
5	0	-20,0	10,0	-3,8

Yupqa devorli idishlarni hisoblash

Yupqa devorli idishlarni hisoblashning momentsiz va momentli nazariyalari haqida tushuncha. Suv, bug' yoki gazlarning ichki bosimlari ta'sir etuvchi idishlarning devorlari ikki tomonlama cho'zilish holatida bo'ladi. Bunday idishlarga bug' qozonlari, gazgolderlar, nest quyiladigan baklar, suv minoralari va h.k. kiradi.

Bunday konstruktsiyalarining o'ziga xos tomonlaridan biri ularning devorlari qalinligi δ ning inshoot gabarit o'lchamlariga nisbatan juda kichiklidir, shuning uchun ular «Yupqa devorli idishlar» deb yuritiladi. Yupqa devorli idishlarning o'ziga xos belgilardan biri shuki, ular aylanish jismlari ko'rinishida bo'ladi, ya'ni ularning sirtki berilgan egi chiziq C ni $O-O'$ qi atrofida aylantirish yo'li bilan olinishi mumkin (3.32 – rasm, a). Idishning $O-O'$ qi orqali o'tgan tekislik bilan hosil qilingan kesimi meridional kesimi deb, meridianlarga, ya'ni S egi chiziqqa normal o'tgan kesimi aylanma kesim deb ataladi. 3.32,a -rasmida

ko'rsatilgan idish devorining pastki qismi yuqori qismidan aylanma kesim bilan ajratilgan. Idish devorining qalinligini teng ikkiga bo'lувчи sirtga o'rta sirt deyiladi.



332-rasm. a) yupqa devorli idish va b) uning yuklanish sxemasi

Umumiyl holda idishga o'qiy simmetriyaga ega bo'lган nagruzka (ya'ni, aylana bo'ylab o'zgarmaydigan, faqat meridian bo'ylab o'zgaradigan nagruzka) ta'sir etganida aylanma va meridional kesimlar bilan ajratilgan idish o'rtasitidagi element o'zaro perpendikulyar yo'nalishlarda cho'ziladi va egrilanadi.

Elementning tomonlama cho'zilishiga devor qalinligi σ bo'yicha normal kuchlanishlarning tekis taqsimlanishi to'g'ri keladi. Meridional va aylanma kesimlarda element egriliginin o'zgarishi oddiy balkadagiga o'xshash. Devor qalinligi bo'yicha chiziqli qonunga bo'ysunuvchi normal kuchlanishlarni yuzaga keltiradi. Birinchi holda element o'qlari bo'ylab normal kuchlar, ikkinchi holda eguvchi momentlar ta'sir qiladi.

Ko'pgina masalalarda normal kuchlarning miqdori katta bo'lganligidan egilishdan hosil bo'ladi. Bu idish devorining shakli va unga ta'sir etuvchi nagruzka ostida eguvchi moment paydo bo'lmasdan tashqi va ichki kuchlarning muvozanati mumkin bo'lganda o'rinni. Masalan, tekis taqsimlangan nagruzka ostida salqilangan ip faqat cho'zilishga ishlaydi. Lekin xuddi shunday salqilangan ip to'plangan kuchni muvozanatlay olmaydi. Buning uchun kesimida eguvchi momentlar paydo bo'lishi, yoki ip o'z shaklini o'zgartirish lozim. Xuddi shunga o'xshash sferik idishning yupqa devorlari faqat cho'zilishgagina ishlab gazning ichki bosimini muvozanatlaydi, to'plangan kuch ta'sir qilganida ular intensiv ravishda egilishga ishlaydi. Eguvchi moment qiymatiga idish devorlarining maqkamlanish sharti va nisbiy qalinligi sezilarli ta'sir qiladi (idish devorining qalinligi ortishi bilan eguvchi momentlarning roli ham ortadi).

Eguvchi momentlar e'tiborga olinmaydigan darajada kichik bo'lganida idish devorining kuchlanish holati momentsiz holat deb ataladi. Agar idishga kuchlanish faqat normal kuchlarni hisobga olib topilsa. Eguvchi momentlarni esa hisobga olinmasa, hisoblash momentsiz nazariya bo'yicha bajariladi deyiladi. Eguvchi moment hisobga olinadigan hisoblash nazariyasi momentli nazariya deb ataladi.

Yupqa devorli idishlar qobiqlar deb ataladigan sistemalar keng sinfining xususiy holidir, ularning hisoblash nazariyasi (ayniska, momentli nazariyasi) juda

murakkabdir. Bu nazariya qurilish mexanikasining maxsus kurslarida o'rganildi. Qobiq qalin bo'lganida eguvchi momentlarni hisobga olish bilan birga qobiq qalinligi bo'yicha normal kuchlanish taqsimlanishining chiziqli qonunidan voz k'Yechishga to'g'ri keladi. Bu masalani yanada murakkablashtiradi, ular qalin devorli qobiqlar nazariyasida echiladi.

Bu erda meridional va aylanma kesimlard paydo bo'ladigan kuchlanishlar statik aniq bo'lgan hol uchun yupqa devorli idishlarning momentsiz nazariyasi ko'rib chiqiladi. Momentli nazariya elementlari bilan tsilindrik qobiq egilishi haqidagi sodda misolda tanishib o'tamiz.

Idish devoridagi kuchlanishlarni momentsiz nazariya bo'yicha aniqlash. Suyuqlik og'irligi yoki gaz bosimi ta'siridagi yupqa devorli, o'qqa nisbatan simmetrik idishni ko'rib chiqamiz (3.33-rasm). Idish devoridan ikkita meridional va ikkita aylanma kesimlar bilan ajratib olingan cheksiz kichik elementning muvozanatini tekshiramiz. Idishning aylanma yoki meridional kesimi o'zaro silijishga intilmaydi, shuning uchun mazkur kesimlarda urinma kuchlanishlar bo'lmaydi. Demak, ajratilgan elementga faqat bosh normal kuchlanishlar ta'sir qiladi. Ularni quyidagicha belgilaymiz: σ_m - meridional kuchlanish (u aylanma kesimning yuzachalariga ta'sir qiladi). σ_t - aylanma kuchlanish.

Momentsiz nazariyaga muvofiq element tomonlarining yuzasi-ga ta'sir qiladigan σ_m va σ_t kuchlanishlar tekis taqsimlangan va idishning barcha o'lchamlari devorining o'rta sirtidan hisoblaymiz. Idish o'rta sirti ikki xil egrilikka ega bo'lgan sirtdan iboratdir. Meridianning tekshirilaetgan nuqtadagi egrilik radiusini ρ_m bilan, sirtga o'tkazilgan normalning o'rta sirtning mazkur nuqtasidan $O-O$ o'qqacha bo'lgan kesmasiga teng boshqa egrilik radiusini ρ_t bilan belgilaymiz (3.22-rasm) Element yoqlariga $\sigma_m \delta \cdot dS_t$ va $\sigma_t \delta \cdot dS_m$ kuchlar ta'sir qiladi.

Ajratilgan elementning ichki sirtiga suyuqlik bosimi p ta'sir qiladi: uning teng ta'sir etuvchisi $p dS_1 dS_m$ ga teng. Aytib o'tilgan kuchlarni $n-n$ normalga proektsiyalaymiz

$$2\sigma_m \delta \cdot dS_t \sin \frac{d\alpha_m}{2} + 2\sigma_t \delta \cdot dS_m \sin \frac{d\alpha_t}{2} - p \cdot dS_t \cdot dS_m = 0 \quad (a)$$

Bu erda birinchi qo'shiluvchan elementning 8.19 - rasmida tasvirlangan meridional tekislikdagi proektsiyasi asosida yozilgan. Ikkinci qo'shiluvchi analogiya bo'yicha yozilgan. (a) tenglamada burchak kichik bo'lganligidan sinusni uning argumenti bilan almashtirib va barcha hadlarni $\sigma dS_1 dS_m$ ga bo'lib

quyidagini topamiz

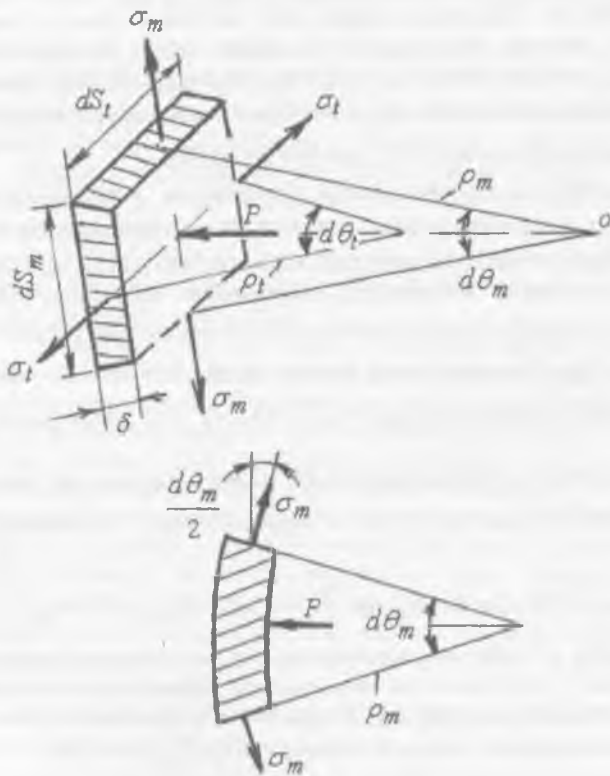
$$\sigma_m \frac{d\alpha_m}{dS_m} + \sigma_t \frac{d\alpha_t}{dS_t} = \frac{p}{\delta},$$

$$\text{yoki } \frac{d\alpha_t}{dS_t} = \frac{1}{\rho_t} \quad \text{va} \quad \frac{d_m}{dS_m} = \frac{1}{\rho_m}$$

ekanligini hisobga olib, quyidagini olamiz:

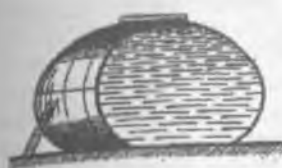
$$\frac{\sigma_m}{\rho_m} + \frac{\sigma_t}{\rho_t} = \frac{\rho}{\delta} \quad (3.14)$$

(3.14) ifoda Laplas tenglamasi deyiladi. Uni o'tgan asrning boshlarida suyuqlik ta'siridan sirtning cho'zilishini o'rganishda Laplas keltirib chiqqargan. Bu erda e'tiborni sirtqi cho'zilishga ishlayotgan suyuqlikning yupqa pardasi bilan idish devori o'rtaсидаги о'xshashlikка jalb qilish о'rinnlidir. Analogiya shundan iboratki, parda ham, idish devori ham cho'zilishga ishlab, sirti ma'lum shaklga ega bo'lgan suyuqlik hajmini muvozanatda ushlab



3.33-rasm
Kuchlanish-
larni aniqlashni
momentsiz
nazariyasiga
oid sxema

turadi. Namlanmaydigan sirtga tushgan suyuqlik tomchisi sirtqi cho'zilish hisobiga yoyilib ketmaydi.



3.34 -rasm.

Shuni aytib o'tish kerakki, konstruktsiyalarni saqlash uchun sig'im yaratishda tomchi shaklidan foydalanganlar; haqiqatan ham bunday sig'imirlar boshqalariga nisbatan xato afzallik-larga ega (3.34 - rasm). Tenglamada ikkita noma'lum kuchlanish σ_m va σ_t lar bor. Lekin σ_m kuchlanishni boshqa

tenglamadan topsa ham bo'ladi, bunda Laplas tenglamasidan σ_t ni topishda foydalaniлади. σ_m ni topish uchun idishning qirqib olingan hajmiga ta'sir qiluvchi barcha kuchlarning $O-O'$ qiga proektsiyalarining yig'indisi tenglamasini tuzamiz (3.33-rasm). Idish devorining aylanma kesimi yuzasini $2\pi \cdot R \cdot \delta$ formula bo'yicha hisoblash mumkin. Sistema $O-O'$ qiga nisbatan simmetriyaga ega bo'lganligidan bu yuza bo'yicha σ_m kuchlanishlar tekis taqsimlanadi. Demak,

$$\sigma_m 2\pi \cdot R \cdot \delta \cdot \cos\alpha - p \cdot \pi \cdot R^2 - Q = 0$$

$$\text{Undan} \quad \sigma_m = \frac{pR}{2\pi \cos\alpha} + \frac{Q}{2\pi \cdot R \cdot \delta \cdot \cos\alpha} \quad (3.15)$$

bu erda Q – aylanma kesimdan pastda yotuvchi idish bo'lagining va suyuqlikning og'irligi;

p - suyuqlik bosimi bo'lib, Paskal qonuni bo'yicha barcha yo'naliishlarda bir xil va $\gamma \cdot h$ ga teng;

buerda h – o'r ganilayotgan nuqtaning chuqurligi,

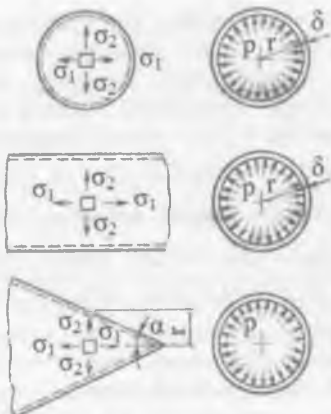
γ – hajm birligidagi suyuqlik og'irligi.

Qobiqlar. Qobiqlarni sirti listni berilgan egrilik radiusida egish bilan hosil qilinadi. *O'zgarmas radiusda bir yo'naliishda egish bilan hosil qilingan sirt tsilindrik qobiq; agar radius aylanish o'qi bo'ylab chiziqli qonuniyat bilan o'zgarmas konussimon qobiq deyiladi.* Agar list o'zaro perpendikulyar yo'naliishda egitirilsa sferik qobiq hosil bo'ladi.

Qobiqlarni ishlashi va hisoblash uning egrilik radiusini qalinligi $\frac{r}{\delta}$ ga bog'liq. $\frac{r}{\delta} < 20$ nisbatda qalin qobiq deyiladi. Ularni listdan tayyorlanmaydi. $\frac{r}{\delta} \geq 20$ nisbatda ingichka devorli qobiq deyiladi.

Laplas formulasi

$$\frac{\sigma_m}{r_1} + \frac{\sigma_t}{r_2} = \frac{\rho}{\delta} \quad (3.16)$$



3.35-rasm

Oddiy shaklli qobiq uchun kuchlanishlar:

sharsimon qobiq ($r_1 = r_2 = r$)

$$\sigma_1 = \sigma_2 = \frac{p \cdot r}{2\delta}$$

tsilindrsimon qobiq ($r_1 = \infty, r_2 = r$)

$$\sigma_1 = \frac{p \cdot r}{2\delta} \quad \sigma_2 = \frac{p \cdot r}{\delta}$$

konussimon qobiq $\sigma_1 = \frac{p \cdot r}{2\delta \cos \alpha}$

$$\text{va } \sigma_2 = \frac{p \cdot r}{\delta \cos \alpha}$$

PER SIMON LAPLAS

(1749 – 1827)



Per Simon Laplas 1749 yil 23 mart Normandiyaning Bamonanojda boy bo'limgan dehqon oilasida tug'ilgan. U 17 yoshida o'zini birinchi ilmiy ishini yozib tugatdi. 1766 yil Laplas Parijga keldi. U erda u Dalamber yordamida Parij harbiy maktabida matematika o'qituvchisi bo'lib ishga kirdi. 1773 yilda Laplas ad'yutant, 1785 yil Parij akademiyasining haqiqiy a'zosi bo'ldi. 1801 yil u Turin va Koppengagen qirrollik jamoasining a'zosi qilib saylandi. 1802 yilda esa Gepeting akademiyasini, 1808 yilda Berlin, 1803 yilda Gollandiya a'zosi etib saylandi. 1802 yil 13 oktyabrda Peterburg akademiyasining faxriy a'zosi bo'ldi. 1784 yil Laplas artilleristlar qirolli korpusining imtihon oluvchisi etib tayinlandi.

1790 yil 8 mayda Frantsiya milliy yig'ilishi milliy akademiyaga tarozini va o'lchanmi bir xil sistemasini o'ylab topinglar deydi. U bir umr hamma xalqlar uchun xizmat qilsin deb, tarozi va o'lcham palatasi raisi etib Laplasni sayladilar va unga shu sistemani o'ylab topish topshirildi.

1794 yil Konvent Normal maktabini tuzdi. Bu maktabda o'qituvchilar o'qitilardi. Keyinchalik u Politexnika maktabi deb yuritildi. Laplas shu ikki maktabning professorni edi. Laplasdan tashqari shu maktabda mashhur olimlardan

Monj, Lagranj, Karnolar dars bergenlar. 1795 yil Konvent ilmiy akademiya o'rniga milliy san'at va ilm oliygohi ochdi. Laplas shu institutni o'lchash bo'yicha ilmiy ishlarni olib bordi. Laplasning ilmiy qarashlari matematika, fizika va osmon mexanikasi edi. Uning qalamiga fundamental ishlar va diferentsial tengliklar mansub. U bиринчи bo'lib matematikaga sharlar funktsiyasini olib kirdi. Algebrada ham u katta yutuqlarga ega bo'ldi. Analitik ehtimollar teoremasida Laplasning hayotligida 3 marta qayta nomer qilingan 1812, 1814, 1820 yillar.

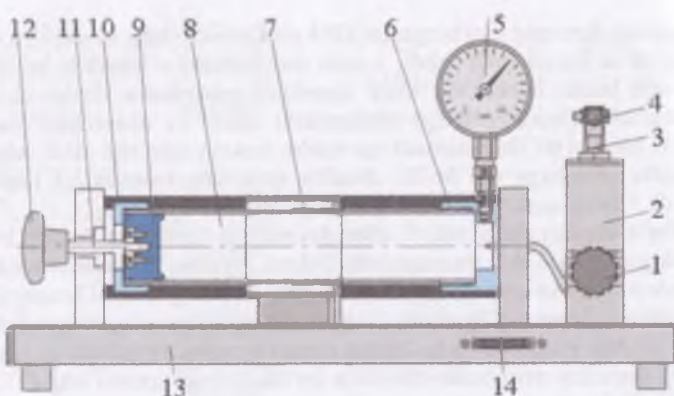
J. Fur'e shunday degan edi. "Laplas Arximed va Galileydan" yangi bir katta ilmni yaratgani yo'q. Lekin matematikada Dekard, Nyuton, Leybnitslarday original va beo'xshov qoida va qarashlarni yarattdi. Laplas ilm chegaralarini kengaytirish va chuqurlashtirish uchun tug'ilgan edi. U osmon ilmiga va uni o'rganishga juda katta hissasini qo'shdi. Hisob bo'yicha Laplas osmon mexanikasi haqida ko'p narsalar yaratdi va umrining oxirigacha izlanishda bo'ldi. Uning bиринчи ishi 1773 yilda bosilib chiqdi. U shunday atalgan edi: "Butun olam tortishish kuchining sababi va planetalarning asrlik notengliklari qilardi. 1780 yilda Laplas havo jismalarini hisoblashni yangi usulini taklif etdi". Laplasning eng katta yutuqlaridan biri "Oyning aylanishi va asr notengligi" haqidagi qarori. Laplasning olam ma'lumotlari uning 5 yillik osmon mexanikasi haqidagi trakt bayonnomasida yozilgan. Uning bиринчи va ikkinchi tomlarida (1798-1799) planetalarning harakatini hisoblash va ularni aniqlash, uchinchisi va to'rtinchisida (1802-1805) bir necha astranomik jadvallari yotadi, beshinchisi tomi 1824-1825 yil har xil tarixiy ma'lumotlar va olimning oxirgi olib borgan izlanishlari natijalari yotadi.

Olim 1827 yil 5 martda uzoq cho'zilmagan kasallikdan vafot etgan. Uning so'nggi so'zi shunday edi. "Biz shunday kam narsa bilamizki, bilmaganlarimiz oldida juda xam oz".

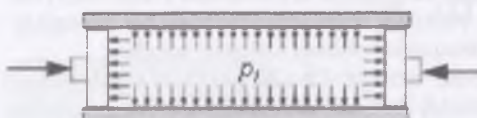


Yupqa devorli silindrda kuchlanish va deformatsiyalar tahlili [33]

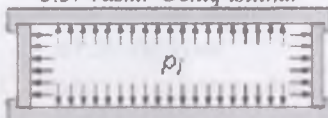
FL 130 uskunasi ichki bosim ostida yupqa devorli idishning tekis kuchlanishini ko'rsatish uchun mo'ljallangan. Bu uskuna GUNT uskunasini FL 151 ko'p kanalli o'lchov kuchaytirgichi bilan ishlatish uchun ishlab chiqilgan



3.36-rasm. Uskunaning ko'rinishi: 1-bosimni pasaytiruvchi tugma,
2-gidravlik tsilindr, 3-gidravlik nasos, 4-dasta, 5-manometr, 6 - o'rnatilgan
qopqoq, 7-tenzorezistorlar majmui, 8-tsilindr, 9-zatvor, 10-yordamchi tishlar, 11-
rezbali shpindel, 12-yulduzsimon dasta, 13>taglik asos, 14-FL 151 ko'p kanalli
o'lchov kuchaytirgichiga ularanadigan rozetka



3.37-rasm. Ochiq tsilindr

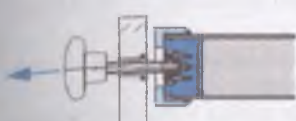


3.38-rasm. Yopiq tsilindr

Adabiyotlarda keltirilgan o'qli va tangentsial yo'nalishdagi me'yoriy kuchlanish va deformatsiyalar uchun tenglamalarning to'g'riligini tajriba qilish yo'li orqali tekshirilishi mumkin. Tajriba jarayonida ushbu uskuna quvuri ochiq yoki idishi yopiq holda ishlatalishi mumkin

deformatsiyalar tenzorezistorlar yordamida o'lchanan o'lchov tsilindridagi deformatsiya asosida hisoblanadi. Tenzorezistorlar turli burchak ostida o'rnashtiriladi, chunki magnituda va yo'nalish orqali asosiy kuchlanish va deformatsiyalarni aniqlash ham amalda qo'llanilishi ko'zda tutiladi

Alyuminiydan yasalgan yupqa devorli tsilindr (8) uskunaning negizidir. Bir tomonidan bu tsilindr burab qotiriladigan qopqoq (6) bilan, boshqa tomonda esa u zatvor bilan yopilgan. Zatvor yulduzsimon dasta va rezbali shpindel (11) bilan boshqariladi.



Zatvor, tashqi tomoni: yopiq

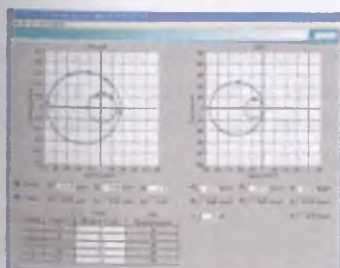


Zatvor, ichki tomoni: ochiq



Gidravlik nasos

Dasturiy ta'minotni ishga tushirish. FL 151 uskunasi tarmoqqa ulangan bo'lsagina dasturiy ta'minotni ishga tushirish mumkin. Dasturiy ta'minot o'rnatib bo'lingandan so'ng dasturning oynasi ochiladi va unda uskunalardan (FL 120, FL 130, FL 140) biri tanlanishi zarur.



3.39-rasm Tizim diagrammasi

Zatvorming (9) tashqi tomonida yuza bosimi tsilindrga bolt bilan mahkamlangan zatvor va yordamchi tishlar (10) bilan ushlab turiladi. Yopiq idishning ikki o'qli kuchlanish ostidagi holati ham qo'llaniladi

Zatvorming ichki tomonida yuza bosimi taglik asos bilan ushlab turiladi. Uzunasiga tsilindrga biror yuk tushirilmaydi. Ochiq quvurning o'qsiz kuchlanish ostidagi holati ham qo'llaniladi.

Tcilindi gidravlik moy bilan to'ldiriladi. Qo'lda boshqariladigan gidravlik nasos (3) yordamida tegishli ichki bosim hosil qilinadi va bu bosimni manometr (5) ko'rsatib turadi. Agar dastavval bosim biroz tushadigan bo'lsa, gidravlik nasos yordamida kerakli bosimni hosil qiling. Gidravlik tizim germetik tarzda ishlan gan va unga texnik xizmat ko'rsatish zarurati yo'q. Xavfsizlik klapani taxminan 35 bosim birligida ishga tushadi. Moy quyiladigan bolt yordamida uskunaga gidravlik moy quyilishi mumkin.

So'ngra tizim diagrammasi oynada paydo bo'ladi. Bu oynada barcha o'lchanadigan qiyamatlar onlayn tarzda ko'rinish turadi. O'lchanadigan qiyamatlar radial va tangentsial kuchlanish yoyi uchun sonli va grafik tarzda ko'rinish turadi. Dasturiy ta'minot tavsifi va yordam imkoniyati: Ushbu dasturiy ta'minot haqidagi batafsil ma'lumot dasturning "HELP" (Yordam) bo'limida keltirilgan.

Bu bo'limga kirish uchun menyuning o'ng yuqori qismidagi "?" va "HELP" (Yordam) tugmachaşini tanlash kerak bo'ladi.

Texnik xizmat ko'rsatish. Gidravlik tizim germetik tarzda ishlangan va unda saqlov idishi yo'q. Tizimga texnik xizmat ko'rsatish zarurati yo'q.

Gidravlik nasos tugmachasi va gidravlik tsilindr orasida kichik bo'shliq bor va u moy bilan to'ldirilishi mumkin. Gidravlik nasosning ishlashi bilan bu bo'shliqdan oz miqdordagi gidravlik moy sachrab chiqishi mumkin. Bu gidravlik tizimdan moy oqayotganligini bildirmaydi. Gidravlik moyni toza, quruq latta bilan artib tashlang.

Agar gidravlik nasos ishlatalayotganda etaricha bosim qilinmagan bo'lsa, unga moy to'ldiradigan bolt yordamida gidravlik moyni to'ldirib qo'ying

Yupqa devorli tsilindrda kuchlanish va deformatsiyalar



Ichki bosim ostidagi tsilindr

Agar yupqa devorli tsilindrsimon idishga P , ichki bosim beriladigan bo'lsa, bu idish devorlarida tekis kuchlanish holati yuzaga keladi va bu bosim sath bo'ylab σ_i kuchlanishni va idish o'qi σ_a bo'ylab kuchlanishni hosil qiladi.

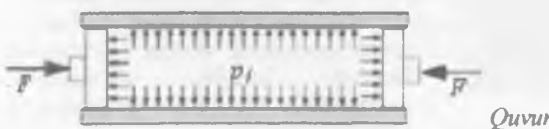


3.40-rasm. Devorlardagi tekis kuchlanish holati

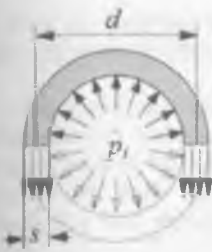
Agar d idish diametri sdevor qalnligidan katta bo'lsa, bu idish devorlari yupqa hisoblanadi. Amaliyotda bu diametrlar nisbati taqriban $d/d_i \leq 1,2$ bo'ladi (bu erda d_a -tashqi diametr, d_i - ichki diametr). Bu ikki diametr yordamida asosiy diametrning o'rtacha qiymati hisoblani-shi mumkin

$$\sigma = \frac{\sigma_u + \sigma_i}{2} \quad (3.17)$$

Yupqa devorli detallarda devorlardagi kuchlanish va deformatsiyalarni doimiy deb hisoblash mumkin. Shuningdek, radial yo'nalishdagi σ , kuchlanish qiymati boshqa ikki kuchlanishlar qiymatiga nisbatan ancha kam. Bosim ostida idishlarga zo'r berishning ikki turi mavjud.



Quvur



Bu erda aylana bo'y lab faqat bitta σ , kuchlanish hosil bo'ladi. O'q bo'y lab tushadigan yuk qiymati nolga teng. Kuchlanish holati o'qsiz bo'ladi. Bizning holatimizda yuza sathlariga tushadigan F bosim kuchi harakatlanuvchi porshenlar va asos tagligi orqali singib (yo'qolib) ketadi.

Kuchlanish tsilindr yarmiga tushadigan kuchlar muvozanati yo'li bilan hisoblanishi mumkin.

Ichki bosim yordamida harakatga keluvchi yuk p , devorda aylana bo'y lab tushadigan σ , kuchlanish tomonidan singdirilishi zarur.

$$p_1 \cdot d \cdot L = 2 \cdot \sigma_s \cdot s \cdot L \quad (3.18)$$

Tcilindr uzunligi L tenglamanning har ikki tomonidan qisqartirib yuborilishi mumkin. Shunda σ , kuchlanish qiymati quyidagi formula yordamida hisoblanadi

$$\sigma_s = p_1 \cdot \frac{d}{2s} \quad (3.19)$$

Silindr yopish (qozon)



Bu erda tsilindrning old yuzasiga tushadigan bosim ham o'tkazib yuboriladi. Aylana bo'y lab tushadigan σ , kuchlanishga qo'shimcha tarzda bu o'q yo'nalishi bo'y lab tushadigan σ_a , kuchlanishga ham ta'sir qiladi.

Bu erda ham kuchlanish kuchlar muvozanati yo'li bilan hisoblanadi

$$p_1 \cdot \frac{d^2 \pi}{4} = \sigma_a \cdot d \cdot \pi \cdot s \quad (3.20)$$

Bu erda $d_2 \cdot \pi/4$ tsilindrning old yuzasi va $d \cdot \pi \cdot s$ tsilindr devorining aylanma yuzasi. O'qli kuchlanish orqali σ_a quyidagicha

$$\text{hisoblanadi} \quad \sigma_a = p_1 \cdot \frac{d}{4s} \quad (3.21)$$

Tcilindrning aylanma devori bo'yicha kuchlanish aynan ochiq tsilindrdaqи magnituda bilan bir xil. $\sigma_a = p_1 \cdot \frac{d}{2s}$ (3.22)

Shunisi qiziqliki, aylana bo'y lab tushadigan σ , kuchlanish o'q yo'nalishi bo'y lab tushadigan σ_a dan roppa-rossa ikki barobar katta. Bu esa idishlarning doimo uzunasi bo'y lab yorilishidan dalolat beradi. Bu chiqarilgan formula juda yuqori bosim ostidagi idishlar uchun ham o'rinnlidir. Faqat ichki bosim manfiy tashqi bosim bilan almashtirilishi lozim bo'ladi. $p_1 = -p_a$ (3.23)

Katta bosim ostidagi yupqa devorli idishlarda emirilishlar ko'proq idish tirmoqlari sababli yuzaga keladi. Bu jarayonda qisuvchi kuchlanish ostidagi devorlar to'satdan yorilib ketadi.

Kuchlanish va deformatsiyalar. Tcilindrdagi kuchlanish va deformatsiyalarni bevosita o'lchaning iloji yo'qligi sababli (fotoelastiklikdan tashqari), uning o'rniiga yuzadagi kuchlanishlar o'lchanadi. Bu yuza kuchlanishlari ham FL 130 uskunasi yordamida o'lchanadi. Buning uchun yarim ko'prik shaklidagi tenzorezistorlar o'lchanayotgan tsilindr yuzasida turli yo'nalishlarda o'rnatiladi.

Tekis kuchlanish holati (ikki o'lchamli) uchun $\sigma_{1,2}$ asosiy kuchlanish va asosiy deformatsiya orasidagi quyidagi korrelyatsiya amal qiladi

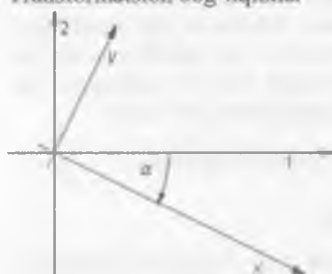
$$\sigma_1 = \frac{E}{1-\nu^2} (\varepsilon_1 + \nu \cdot \varepsilon_2) \quad (3.24)$$

$$\sigma_2 = \frac{E}{1-\nu^2} (\varepsilon_2 + \nu \cdot \varepsilon_1) \quad (3.25)$$

bu crda E - elastiklik moduli va ν ko'ndalang siqish koefitsienti

$$E = 70000 \text{ N/mm}^2$$

Transformatsion bog'liqliklar



3.41-rasm. O'zgaruvchan koordinatalar

Asosiy deformatsiyalar yo'nalishi aniq bo'limganligi sababli, asosiy deformatsiya har qanday yo'nalishda o'lchanan deformatsiyaga asosan aniqlanishi zarur. Deformatsiya va kuchlanishlarning yo'nalishli transformatsiyasi juda murakkabdir. Bu erda faqat Mor aylanasinining qisqacha izohi asosidagi yakuniy formula keltirilmoqda. α burchak atrofida aylantirilgan asosiy o'q tizimidan ixtiyoriy x , y koordinata tizimiga tushirilgan deformatsyaning transformatsiyasi uchun quyidagi tenglik o'rini

$$\varepsilon_x = \frac{1}{2} [(\varepsilon_1 + \varepsilon_2) + (\varepsilon_1 - \varepsilon_2) \cos 2\alpha] \quad (3.26)$$

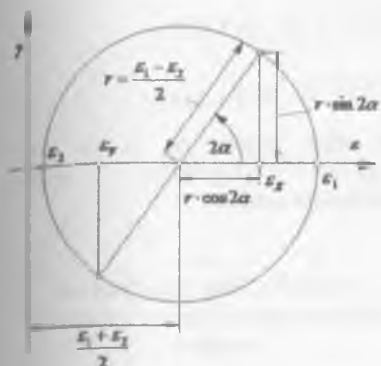
$$\varepsilon_y = \frac{1}{2} [(\varepsilon_1 + \varepsilon_2) - (\varepsilon_1 - \varepsilon_2) \cos 2\alpha] \quad (3.27)$$

Kuchlanish transformatsiyasi uchun ham mos tengliklar o'rinnlidir

$$\sigma_x = \frac{1}{2} [(\sigma_1 + \sigma_2) + (\sigma_1 - \sigma_2) \cos 2\alpha] \quad (3.28)$$

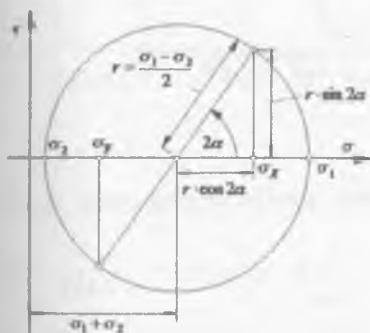
$$\sigma_y = \frac{1}{2} [(\sigma_1 + \sigma_2) - (\sigma_1 - \sigma_2) \cos 2\alpha] \quad (3.29)$$

Mor doirasi. Mor deformatsiya aylanasida deformatsiyalarning transformatsiyasi grafik tarzda ifodalanishi mumkin



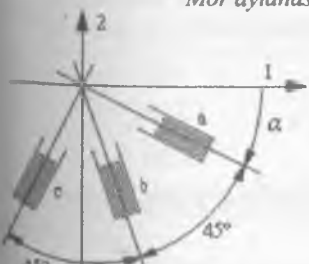
γ g'ishlari (og'ish burchaklari) ε deformatsiyalari bo'yicha tasvirlangan. Grafikdan ko'rilib turibdiki, ayladagi og'ish va deformatsiyalar yo'nalishli transformatsiya bo'ylab harakatlangan. Aylana diametri esa aynan $\varepsilon_{1,2}$ ikki asosiy deformatsiyalar orasidagi farqqa aynan mos keladi γ

3.42-rasm. Mor aylanasi



3.43-rasm. Deformatsiya transformatsiyasi uchun
Mor aylanasi

Deformatsiya aylanasidan har qanday yo'nalishdagi α burchaklarni osongina bilish mumkin Shuni ta'kidlash joizki, Mor aylanasida aylanish burchagi ikki barobar oshirilishi va qarama-qarshi yo'nalishda qo'yilishi kerak bo'ladi. Shuningdek, Mor aylanasi σ me'yoriy kuchlanishlar va τ urinma kuchlanishlar uchun ham grafik tarzda tasvirlanishi mumkin



3.44-rasm. Tenzorezistorlarning
joylashuvi

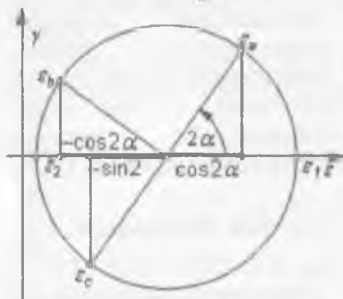
O'lcangan deformatsiyalar bo'lgan ε_a , ε_b , ε_c kattaliklar noma'lum asosiy deformatsiyalar sifatida hisoblanishi mumkin

Asosiy kuchlanish vadeformatsiyalarni aniqlash. Noma'lum asosiy deformatsiyalarni aniqlash uchun deformatsiya o'lvohvlari uch marta o'tkazilishi zarur va ularning har bir siljish 45° deb olinadi.

$$\varepsilon_a = \frac{1}{2} [(\varepsilon_1 + \varepsilon_2) + (\varepsilon_1 - \varepsilon_2) \cos 2\alpha] \quad (3.30)$$

$$\varepsilon_b = \frac{1}{2} [(\varepsilon_1 + \varepsilon_2) - (\varepsilon_1 - \varepsilon_2) \sin 2\alpha] \quad (3.31)$$

$$\varepsilon_c = \frac{1}{2} [(\varepsilon_1 + \varepsilon_2) - (\varepsilon_1 - \varepsilon_2) \cos 2\alpha] \quad (3.32)$$



Bu uchta tenglik ε_1 , ε_2 , α - uch noma'lum kattaliklar orqali hisoblanishi mumkin

3.45-rasm. Uchta tenzorezis-tor yordamida asosiy deformatsiyalarini aniqlash

$$\varepsilon_{1,2} = \frac{\varepsilon_a + \varepsilon_c}{2} \pm \frac{\sqrt{2}}{2} \sqrt{(\varepsilon_s - \varepsilon_b)^2 + (\varepsilon_b - \varepsilon_c)^2} \quad (3.33)$$

$$\alpha = \frac{1}{2} \arctan \frac{\varepsilon_a - 2\varepsilon_b + \varepsilon_c}{\varepsilon_a - \varepsilon_c} \quad (3.34)$$

Noma'lum asosiy deformatsiyalar asosiy deformatsiyalar yordamida hisoblanishi mumkin.

$$\sigma_1 = \frac{E}{1-\nu^2} (\varepsilon_1 + \nu \cdot \varepsilon_2) \quad (3.35)$$

$$\sigma_2 = \frac{E}{1-\nu^2} (\varepsilon_2 + \nu \cdot \varepsilon_1) \quad (3.36)$$

Tajribalar. Noma'lum asosiy deformatsiya va noma'lum kuchlanishlarni aniqlash uchun $\alpha = 0^\circ, 45^\circ, 90^\circ$ burchak ostidagi deformatsiyalardan foydalanildi

$$\varepsilon_a = \varepsilon_{eff}(0^\circ) = -113 \cdot 10^{-6} \quad (3.37)$$

$$\varepsilon_b = \varepsilon_{eff}(45^\circ) = 107 \cdot 10^{-6} \quad (3.38)$$

$$\varepsilon_c = \varepsilon_{eff}(90^\circ) = 340 \cdot 10^{-6} \quad (3.39)$$

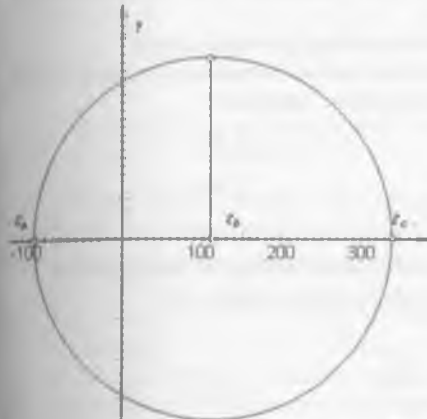
O'lchangan deformatsiyalar bilan Mor aylanasi grafigi chizilishi mumkin.

$$\varepsilon_{1,2} = \frac{\varepsilon_a + \varepsilon_c}{2} \pm \frac{\sqrt{2}}{2} \cdot \sqrt{(\varepsilon_a - \varepsilon_b)^2 + (\varepsilon_b - \varepsilon_c)^2}$$

$$\varepsilon_1 = 340 \cdot 10^{-6}$$

$$\varepsilon_2 = -113 \cdot 10^{-6}$$

$$\alpha = \frac{1}{2} \arctan \frac{\varepsilon_a - 2 \cdot \varepsilon_b + \varepsilon_c}{\varepsilon_a - \varepsilon_c} = -0,82^\circ \quad (3.40)$$



3.46-rasm. Ochiq
tsilindr uchun
deformatsiyalar
aylanasi

Noma'lum deformatsiyalar asosiy
deformatsiyalar yordamida aniqlanishi
mumkin.

$$\sigma_1 = \frac{E}{1-\nu} (\varepsilon_1 + \nu \cdot \varepsilon_2) = 23,78 \frac{N}{mm^2} \quad (3.41)$$

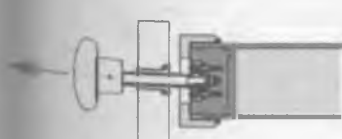
$$\sigma_2 = \frac{E}{1-\nu} (\varepsilon_2 + \nu \cdot \varepsilon_1) = -0,06 \frac{N}{mm^2} \quad (3.42)$$

Kuchlanish holati o'q asosida emasligi aniq bo'ldi. Ikkinchisi asosiy kuchlanish esa nolga teng va u tsilindr o'qi yo'nalishi bo'ylab joylashgan. Bu natijalar nazariyani tasdiqlaydi. Taqqoslash orqali quyidagi kuchlanishlar arifmetik tarzda hisoblanadi.

$$\sigma_i = p_i \cdot \frac{d}{2s} = 24 \frac{N}{mm^2}, \sigma_a = \sigma_2 = 0$$

$$p = 2 N/mm^2 = 72 mm^2 = 3,0 \text{ mm}$$

Yopiq tsilindrdagi (qozon) asosiy kuchlanishlarni aniqlash



Bu tajribada porshen uskuna asosiga mahkamlangan. Tsilindrga esa qo'shimcha yuk tushadi. Uskunadagi bosimni (0 gacha) pasaytirish uchun bosimni pasaytiruvchi tugmani bo'shating

Bosimni pasaytiruvchi tugmani qotiring.

Manometr biroz og'ishni ko'rsatgunga qadar yulduzsimon dastani burang. Endi tsilindr porshen bilan yopildi.

Mo'ljallangan bosimni hosil qilish uchun dasta va gidravlik nasosdan foydalaning. Ruxsat etilgan eng yuqori bosim taxminan 30 nominal bosimdir

Porshen tsilindr tishlariga tegib turganini tekshiring. Porshenning yulduzsimon dastasi bosimi pasaytirilgan bo'lishi va bu u biroz burlishi mumkin bo'lsin. 0 ko'rsatkichli bosimda kanal ko'rsatkichlarini yozib olishni takrorlang).

Tegishli o'lchov qiymatlari ushbu ikki marta yozib olingan qiymatlari orasidagi farq orqali ifodalanadi. Shu yo'l bilan har qanday cho'kindi samarasini qoplash mumkin bo'ladi.

Tajribadagi misolda 20 birlik bosimda quyidagi qiyamatlar olindi:

Noma'lum asosiy deformatsiya va noma'lum kuchlanishlarni aniqlash uchun $\alpha=0^\circ, 45^\circ, 90^\circ$ burchak ostidagi deformatsiyalardan foydalanildi

$$\varepsilon_a = \varepsilon_{eff}(0^\circ) = 58 \cdot 10^{-6} \quad (3.43)$$

$$\varepsilon_b = \varepsilon_{eff}(45^\circ) = 167 \cdot 10^{-6} \quad (3.44)$$

$$\varepsilon_c = \varepsilon_{eff}(90^\circ) = 280 \cdot 10^{-6} \quad (3.45)$$

O'lchangان deformatsiyalar bilan Mor aylanasi grafigi chizilishi mumkin.

Noma'lum deformatsiyalar asosiy deformatsiyalar yordamida aniqlanishi mumkin.

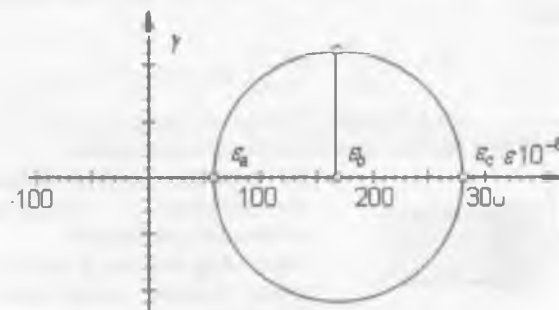
$$\sigma_1 = \frac{E}{1-\nu^2} (\varepsilon_1 + \nu \cdot \varepsilon_2) = 23,50 \frac{N}{mm^2} \quad (3.46)$$

$$\sigma_2 = \frac{E}{1-\nu^2} (\varepsilon_2 + \nu \cdot \varepsilon_1) = 1181 \frac{N}{mm^2} \quad (3.47)$$

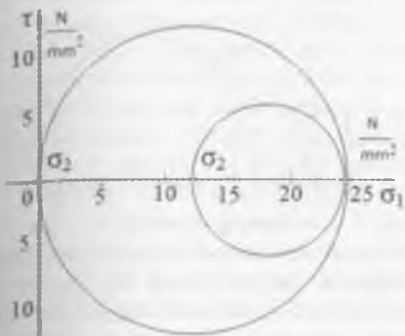
Taqqoslash orqali quyidagi kuchlanishlar arifmetik tarzda hisoblanadi.

$$\sigma_i = \sigma_1 = p_i \cdot \frac{d}{2s} = 24 \frac{N}{mm^2} \quad \sigma_e = \sigma_2 = p_i \cdot \frac{d}{4s} = 12 \frac{N}{mm^2}$$

$$p = 2 N/mm d = 72 \text{ mm} s = 3,0 \text{ mm}$$



3.47-rasm. Yopiq tsilindr uchun deformatsiyalar aylanasi

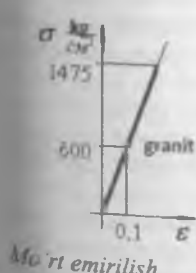


3.48-rasm Ochiq va yopiq tsilindrлarnи taqqoslash

Ochiq tsilindr elastik materialdan tayyorlangan – bu erda ko'ndalang kuchlanish gipotezasi harakatning izdan chiqishi sababli amal qiladi, shu sababli ham u yopiq tsilindrga qaraganda osonroq yorilib ketishi mumkin

3.7. MUSTAHKAMLIK NAZARIYALARI

Umumiy tushunchalar. Mashina, mexanizm va muxandislik inshootlarini loyihalashda, ularning mustahkamligini ta'minlash lozim. Buning uchun konstruktsiyaning materialida xavfli holatni keltirib chiqaruvchi sababni aniqlash talab qilinadi. Yuklanish shartlariga ko'ra konstruktsiyaning materiali turli mechanik xossalarda bo'lishi mumkin. Masalan, kichik yuklanishda elastik deformatsiya hosil bo'ladi, material elastik xossa holatiga uchraydi. Yuklanish oshirilsa konstruktsiyada qoldiq deformatsiya hosil bo'lishi boshlanadi, material elastik xossa holatida bo'ladi. Yuklanishni keyingi o'sishida plastik deformatsiya xavfli holatni yuzaga keltiradi va emirilish boshlanadi. Oddiy cho'zilish va siqilishda, ya'ni chiziqli kuchlanishda materialni emirilishi quyidagi ko'rnishlarda bo'ladi.



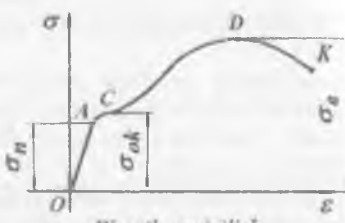
Ochiq va yopiq tsilindrлarni taqqoslash

Va nihoyat, har ikkala yuk qo'yilgan holatlar Mor aylanasida ifodalandi. Bu qisman qiziq holat, chunki ochiq tsilindrning o'qsiz kuchlanish holatidagi τ ko'ndalang kuchlanishning eng katta qiymati yopiq tsilindrning ikki o'qli kuchlanish holatidan ikki barobar katta bo'lmoqda.

I)emirilish plastik deformatsiya hosil bo'lmasdan boshlanadi. Cho'zilishda emirilish cho'zuvchi kuch yo'nalishiga perpendikulyar tekislikda, siqilishda esa siquvchi kuch yo'nalishiga parallel yuzada zarrachalarni ajralish (yorilish) usuli bilan boshlanadi. Ikkala holda ham emirilish normal kuchlanish va eng katta uzayish hisobiga sodir bo'ladi. Mo'rt materiallar siqilishda siquvchi kuch yo'nalishiga qiya tekislikda normal va urinma kuchlanishlar ta'sirida emiriladi.

2) elastik deformatsiyadan keyin plastik deforma-tsiyani rivojlanishi aso-sida emirilish

Materialni xavfli holati oquvchanlik boshla-nishi, uzelish bo'yin hosil bo'lishi va namunani uzelishi bilan belgilanadi.

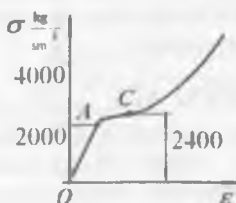


Plastik emirilish

Oquvchanlik chegarada namunaning sirtida cho'zuvchi kuch yo'nalishiga 45° burchak ostida joylashgan siljituvchi chiziqlar hosil bo'lishi, plastik deformatsiya va emirilish urinma kuchlanish ta'sirida kelib chiqadi va siljish asosidagi emirilish deyiladi.

3) plastik deformatsiyani uzluksiz o'sishi emirilishga olib keladi. Materialni xavfli holati oquvchanlik boshlanishi asosida kelib chiqadi. Qoldiq deformatsiya

τ kuchlanish ta'sirida hosil bo'ladi.



Yuqoridagilar asosida materialni emirilishi zarrachalarni ajralishga qarshiligi va siljishga qarshiligi asosida kelib chiqadi. Plastik materiallarda τ ta'siridagi emirilishga qarshilik, σ ta'siridagi emirilishga

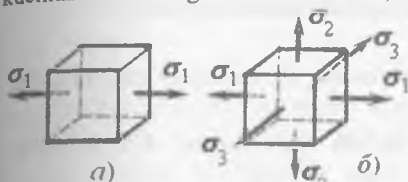
qarshiligidan kichik bo'ladi, ya'ni $\sigma_0 > \tau_0$ va mo'rt-materiallarda $\tau_0 > \sigma_0$. Bunday emirilish turlarini murakkab kuchlanganlik holatida aniqlash qiyin, chunki kubik har xil xossaga ega bo'lishi mumkin.

Turli konstruktsiya va mashinalarni hisoblashda yoki loyihalashda, ularning elementlari va detallarida hosil bo'ladigan eng katta kuchlanish ruxsat etilgan kuchlanishdan oshib ketmasligi ta'minlanishi lozim. Ruxsat etilgan kuchlanishni belgilash uchun materialning tashqi kuch bilan yuklangandan to emirilish deformatsiyasiga bo'lgan oraliqdagi xossasini o'rganish kerak. Bir o'qli cho'zilish va siqilish, ya'ni chiziqli kuchlanish holatida o'tkazilgan ko'p tajribalarning uzoq muddat to'plangan natijalarini turli materiallar uchun ruxsat etilgan kuchlanishlar haqida etarli darajada aniqlik bilan fikr yuritish imkonini beradi.

Tekis va hajmiy kuchlanish holatlarda bunday fikr yuritib bo'lmaydi. Bunda deformatsiyaning o'sishi va materialning emirilishi ikkita yoki uchta bosh kuchlanishlarning ta'siridan ro'y beradi, amalda uchraydigan bosh kuchlanishlar sonining nisbati hamda ishoralari cheklanmagan darajada xilma-xil bo'lishi mumkin, har qanday kuchlanganlik holatida materialni mustahkamlik shartini keltirib chiqarish uchun, ushbu kuchlanganlik holatlarida sinov diagrammalarini qurish kerak. Shuning uchun xavfli holatdagi-chegaraviy kuchlanishlarni aniqlash uchun o'tkaziladigan tajribalarni o'tkazish juda qiyini bo'lib, amalda mumkin ham

emas. Murakkab kuchlanish holatini tajriba yo'li bilan tekshirish uchun mo'ljallangan hozirgi mavjud texnika vositalari bosh kuchlanishlarning ba'zi xususiy nisbatlari uchungina tajriba o'tkazish imkonini beradi. Yuqoridagilarga asosan oddiy cho'zilish va siqlishda o'tkazilgan tajribalar natijalariga asoslanib, biror material istalgan kuchlanish holatining xavflilik darajasini baholash imkonini beradigan hisoblash usulini yaratish zarurligin taqozo qiladi. Bu masala – mustahkamlik nazariyalari yordamida amalga oshiriladi.

Murakkab kuchlanganlik holatida material mustahkamligini xarakterlovchi faktorlarni ifodalovchi gepotezalar mustahkamlik nazariyalari deyiladi. Bu nazariyalarning barchasi quyidagi shartga asoslangan: ikkita kuchlanish holatiga tegishli bosh kuchlanishlar proporsional ravishda bir xil miqdorda oshirilgan ikkalasi bir vaqtida chegaraviy holatga o'tsa, bunday kuchlanish holatlari teng kuchlanishli va teng xavfli hisoblanadi, ikkala



3.49 – rasm. Ekvivalent kubiklar: a) chiziqli kuchlanganlik holati; b) hajmiy kuchlanganlik holati

materialning emirilish yoki chegaraviy kuchlanish holatiga o'tish sababi aniq bo'lsa, mumkin bo'ladi. Lekin material emirilishining haqiqiy sababini aniqlash juda qiyin va u oxirigacha hal qilinmagan masala hisoblandi. Bu hol yagona mustahkamlik nazariyasini yaratishni imkon bermaydi, natijada har biri o'zining chegaraviy kuchlanish holatining paydo bo'lish sababi haqidagi gepotezasiga ega bo'lgan ko'p nazariyalar yuzaga keladi. Bunday gepotezaga asosan zarur hisoblash shartlari va o'rganilayotgan kuchlanish holatining bosh kuchlanishlarini chiziqli kuchlanishdagi bosh kuchlanishlar bilan bog'lovchi formulalar tuziladi.

Birinchi, ikkinchi va uchinchi klassik [21] mustahkamlik nazariyalari. Eng qadimgi nazariyalarda bo'l mish birinchi mustahkamlik nazariysi chegaraviy kuchlanish holati paydo bo'lishiga eng katta normal kuchlanish sabab bo'ladi degan gepotezaga asoslanadi. Qabul qilingan gepotezaga ko'ra quyidagi shart bajarilishi kerak:

$$\sigma_{\max} = \sigma_1 \prec \sigma_0 \quad (3.48)$$

bu erda, σ_1 – tekshirilayotgan kuchlanish holati uchun bosh kuchlanishlardan eng kattasi;

σ_0 – chiziqli cho'zish uchun tajribadan olingan chegaraviy kuchlanish.

Eng katta normal kuchlanish nazariyasining bosh kamchiligi shundan iboratki, unda boshqa ikkita kuchlanishlar σ_2 , σ_3 hisobga olinmaydi. Amalda esa bu kuchlanishlar material mustahkamligiga katta ta'sir ko'rsatadi. Masalan, har

tomonlama (gidrostatik) siqilishda bo'lgan tsement kubik mustahkamlik chegarasidan bir necha marta katta bo'lgan kuchlanishga emirilmasdan chidash bera oladi. Bunday sharoitda boshqa materiallar ham shunday tutadi. Bu nazariya mo'rt materiallarni cho'zishga sinashda tasdiqlanadi. Mo'rt materialni cho'zganda sezilarli plastik deformatsiya hosil bo'lmasdan bir bo'lagi qolgan bo'ladiqan ajraladi. Hozirgi paytda birinchi nazariyadan foydalanimaydi, u faqat tarixiy ahamiyatga ega.

Ikkinci mustahkamlik nazariyasi materialda chegaraviy kuchlanish holati paydo bo'lishga eng katta cho'zilish sabab bo'ladi degan gepotezaga asoslangan. Bosh deformatsiyalar $\varepsilon_1 > \varepsilon_2 > \varepsilon_3$ bo'lganida hajmi kuchlanish holati uchun qabul qilingan gepotezaga javob beruvchi umumiy shart quyidagicha yoziladi:

$$\varepsilon_{\max} = \varepsilon_1 < \varepsilon_0 \quad (3.49)$$

bu erda, ε_1 – tekshirilayotgan kuchlanish holati uchun eng katta cho'zilishning hisobi yiqimi;

ε_0 – bir o'qli cho'zilishga sinash tajribasidan olingan nisbiy cho'zilishning chegaraviy yiqimi.

ε_1 – va ε_0 – larni aniqlashda ma'lum Guk qonuni formulalaridan foydalanimadi:

$$\varepsilon_1 = \frac{1}{E} [\sigma_1 - \mu(\sigma_2 + \sigma_3)] \quad (a)$$

$$\varepsilon_0 = \frac{\sigma_0}{E} \quad (b)$$

Bunda shartli ravishda (a) va (b) bog'lanishlar chegaraviy kuchlanish holati paydo bo'lguncha kuchga ega bo'ladi va materialning sezilarli plastik deformatsiyalarisiz mo'rt emirilshga javob beradi deb hisoblanadi. (a) va (b) ifodalami (3.49) shartga qo'yib ifodani hosil qilamiz:

$$\sigma_1 - \mu(\sigma_2 + \sigma_3) < \sigma_0 \quad (v)$$

(v) tengsizlik chap qismi musbat bo'lgandagina kuchga ega, bunda u eng katta cho'zilishga mos keladi. Qabul qilingan gepoteza bilan bir xil.

Ikkinci nazariyaning birinchisidan afzalligi shundaki, unda barcha bosh kuchlanishlar ta'siri hisobga olinadi.

Mo'rt materiallar (beton, tosh) ning bosim beriladigan toretslariga yog' yoki parafin surtib, oddiy siqilishda emirilishini bu nazariya yordamida tushuntirish mumkin. Materialda siquvchi kuchlarga parallel darzlar paydo bo'ladi va u emiriladi. Bu namuna o'qiga perpendikulyar yo'nalishda materialning kengayishiga imkon beruvchi chiziqli deformatsiyalarning o'sishi bilan tushuntiriladi.

Birinchi nazariya kabi ikkinchisi ham tajriba natijalari bilan etarli darajada tasdiqlanmaydi, mo'rt materiallar uchun ko'proq qo'l keladi.

Uchinchi mustahkamlik nazariyasi chegaraviy kuchlanish holati paydo bo'lishiga eng katta urinma kuchlanishlar sabab bo'ladi degan gepotezaga asoslanadi. Shuning uchun u eng katta urinma kuchlanish nazariyasi deb ataladi.

Plastik deformatsiyalar jarayonida siljish va unga mos keluvchi urinma kuchlanishlar ham paydo bo'lishi tajriba asosida tasdiqlangan, shuning uchun qabul qilingan gepotezani sezilarli plastik deformatsiyalar bilan bog'lanish mumkin. Ushbu nazariyaning umumiy sharti quyidagi ko'rinishga ega:

$$\tau_{\max} \prec \tau_0 \quad (3.50)$$

bu erda, τ_{\max} – tekshirilayotgan kuchlanish holati uchun eng katta urinma kuchlanishning chegaraviy qiymati.

Ma'lumki, hajmiy kuchlanishda $\varepsilon_1 > \varepsilon_2 > \varepsilon_3$ bo'lganda eng katta urinma kuchlanish maksimal va minimal bosh kuchlanishlar farqining yarmisi quyidagicha topiladi:

$$\tau_{\max} = \frac{\sigma_1 - \sigma_3}{2} \quad (a)$$

τ_0 – kuchlanish quyidagi tenglikdan topiladi:

$$\tau_0 = \frac{\sigma_0}{2} \quad (b)$$

Shunday qilib (3.50) shartni quyidagicha yozish mumkin:

$$\varepsilon_1 - \varepsilon_3 \prec \varepsilon_0 \quad (v)$$

Uchinchi nazariyaning asosiy kamchiligi shundan iboratki, hajmiy kuchlanish holatida σ_2 bosh kuchlanishning ta'siri hisobga olinmaydi. Eng katta urinma kuchlanish nazariyasi cho'zilishga ham, siqilishga ham bir xil qarshilik ko'rsatadigan plastik materiallar bilan o'tkazilgan tajriba natijalariga mos keladi. Bu nazariya ularning mustahkamligini baholashda juda keng qo'llaniladi.

Mustahkamlikning energetik nazariyasi. Energetik nazariya quyidagi taxminga asoslanadi: materialning chegaraviy kuchlanish holati paydo bo'ladi dan paytda to'planadigan deformatsiya solishtirma potentsial energiyasining miqdori istalgan murakkab kuchlanish holatida ham, oddiy cho'zilishda ham bir xil.

Bu nazariya yaratilishida dastavval chegaraviy kuchlanish holati paydo bo'lishiga to'la solishtirma potentsial energiyasining eng katta qiymati sabab bo'ladi degan gepoteza asos qilib olingan

$$U \prec U_0 \quad (3.51)$$

Bu erda, U – to'la solishtirma energiya, u hajmiy kuchlanish holati uchun umumiy holda quyidagi formuladan topiladi:

$$U = \frac{1}{2E} \left[\sigma_1^2 + \sigma_2^2 + \sigma_3^2 - 2\mu(\sigma_1\sigma_2 + \sigma_1\sigma_3 + \sigma_2\sigma_3) \right] \quad (a)$$

U_0 – energiyaning chegaraviy qiymati bo'lib, oddiy cho'zilishga o'tkazilgan tajribadan topiladi. Uni topish formulasi (a) dan uning o'ng tomonini $\sigma_2 = \sigma_3 = 0$ ga tenglab, σ_1 o'miga cho'zilishdagi chegaraviy kuchlanish qiymatini, ya'ni σ_0 ni qo'yib osongina keltirib chiqariladi.

$$\text{Shunday qilib, } U_0 = \frac{\sigma_0^2}{2E} \quad (b)$$

(a) va (b) larni hisobga olganda (2.16) shart yoyiq holda quyidagicha yoziladi:

$$\sqrt{\sigma_1^2 + \sigma_2^2 + \sigma_3^2 - 2\mu(\sigma_1\sigma_2 + \sigma_1\sigma_3 + \sigma_2\sigma_3)} < \sigma_0 \quad (v)$$

Lekin yuqorida qayd qilingan gepoteza tajribada tasdiqlanmagan, shuning uchun unga asoslangan nazariya amalda qo'llaniladi.

Bu nazariya masalan, har tomonlama bo'ladijan gidrostatik bosim bilan o'tkazilgan tajribada tasdiqlanmagan, bunda yuqorida aytib o'tilganidek, emirilish bo'lmaydi. Shunday qilib, har tomonlama siqilish natijasida hajm o'zgarishiga mos keluvchi energiya mustahkamlikni belgilovchi kriteriy bo'lmaydi.

Taklif qilingan yangi energetik nazariyada chegaraviy kuchlanish holati paydo bo'lishiga barcha solishtirma energiya emas, balki qirrasи birga teng bo'lgan kub shaklining o'zgarishi natijasida to'planadigan solishtirma energiyaningbir qismi sabab bo'ladi degan gepoteza asos qilib olinadi. Ko'rinih turibdiki yangi energetik nazariya faqat plastik deformatsiyalarining o'sishi bilan bog'lanadi. Ma'lumki, plastik deformatsiya jismning shakl o'zgarishi bilan bog'lanadi. Uning xajm o'zgarishiga bog'lanmaydi.

Ushbu nazariyadan foydalangan rioya qilinishi kerak bo'lgan shart quyidagi tengsizlik bilan ifodalanadi:

$$U_{uu} < U_{uez} \quad (3.52)$$

bu erda, U_{uu} – tekshirilayotgan kuchlanish holatida kub shakl o'zgarishi bilan bog'liq bo'lgan energiyaning hisob qiymati:

U_{uez} – ushbu energiyaning oddiy cho'zilishga o'tkazilgan tajriba natijasida olingen chegaraviy qiymati.

Kuchlanishning umumiyligi holi uchun shakl o'zgarishiga ketadigan energiyani hisoblash birmuncha qiyinchilik tug'diradi. Shuning uchun U_{uu} – quyidagi ifodadan topiladi:

$$U = U_v + U_{uu} \quad (3.53)$$

$$\text{undan} \quad U_{uu} = U - U_v \quad (3.54)$$

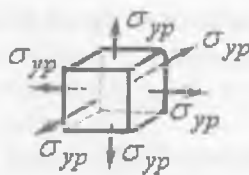
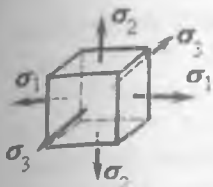
bu erda, U – to'la energiya;

U_v – hajm o'zgarishiga sarflanadigan energiya.

Hajmiy kuchlanishning umumiyligi holi uchun deformatsiyani ikkiga bo'lamic: 1) hajm o'zgarishi bilan bog'liq bo'lgan deforma tsiya va 2) shakl o'zgarishiga mos keluvchi deformatsiya.

Buning uchun berilgan kuchlanish holatini (3.50 – rasm) kuchlanishlar bilan aniqlanadigan ikkita kuchlanish holati yig'indisi ko'rinishda tasavvur etamiz. Deylik, ulardan biri gidrostatik cho'zilishga (siqilishga) mos keladi, bunda kubning barcha tomonlariga bir xil o'rtacha kuchlanish ta'sir etadi:

$$\sigma_{yp} = \frac{\sigma_1 + \sigma_2 + \sigma_3}{3} \quad (g)$$



3.50 – rasm. Bosh normal va o'rtacha kuchlanishlar bilan yuklangan kubiklar

Natijada kubning barcha qirtalari bir xil qiymatga o'zgarganligidan kubik shakli o'zgarmaydi, balki uning hajmi o'zgaradi. Ikkinchı kuchlanish holating kuchlanishlarini $\sigma_1^{'}, \sigma_2^{'}, \sigma_3^{''}$ lar orqali belgilaymiz. Ular quyidagi tengliklardan topiladi:

$$\sigma_1^{'} = \sigma_1 - \sigma_{yp}; \quad \sigma_2^{'} = \sigma_2 - \sigma_{yp}; \quad \sigma_3^{''} = \sigma_3 - \sigma_{yp}; \quad (d)$$

$\sigma_1^{'}, \sigma_2^{'}, \sigma_3^{''}$ kuchlanishlarda hajmnning o'zgarishi nolga tengligini isbotlash qiyin emas.

Hajiqtdan ham (g) ni hisobga olgan holda (d) tenglikdan bu kuchlanishlarning qiymatlarini hajmiy deformatsiya formulasiga qo'yib quyidagini hosil qilamiz:

$$0 = \frac{1-2\mu}{E} (\sigma_1 + \sigma_2 + \sigma_3) = \frac{1-2\mu}{E} \left(\sigma_1 + \sigma_2 + \sigma_3 - 3 \frac{\sigma_1 + \sigma_2 + \sigma_3}{3} \right) = 0 \quad (e)$$

Shuning uchun $\sigma_1^{'}, \sigma_2^{'}, \sigma_3^{''}$ kuchlanishlardan jismning faqat shakli o'zgaradi.

U_v – energiyani aniqlash uchun (a) formulaga $\sigma_1^{'}, \sigma_2^{'}, \sigma_3^{''}$, U_v – kuchlanishlar o'rniiga σ_{yp} ni qo'yamiz. Unda $U_v = \frac{1-2\mu}{2E} \cdot 3\sigma_{yp}^2$

(j) hosil bo'ladi. (j) ifodaga σ_{yp} o'rniiga (g) tenglikdan uning qiymatini qo'yib quyidagi formulani hosil qilamiz:

$$U_v = \frac{1-2\mu}{6E} (\sigma_1 + \sigma_2 + \sigma_3)^2 \quad (z)$$

(a) va (z) formulalardan U va U_v – larning qiymatlarini (3.54) ga qo'yib, ba'zi o'zgartirishlardan so'ng quyidagini topamiz:

$$U_u = \frac{1+\mu}{3E} [\sigma_1^2 + \sigma_2^2 + \sigma_3^2 - (\sigma_1\sigma_2 + \sigma_1\sigma_3 + \sigma_2\sigma_3)] \quad (3.55)$$

(2.20) formulani osongina quyidagini ko'rinishga keltiramiz:

$$U_u = \frac{1+\mu}{6E} [(\sigma_1 - \sigma_2)^2 + (\sigma_1 - \sigma_3)^2 + (\sigma_2 - \sigma_3)^2] \quad (3.56)$$

Oddiy cho'zilish holi uchun $\sigma_2 = \sigma_3 = 0$ bo'lganda (3.56) formulaga binoan quyidagiga ega bo'lamiz:

$$U_{\mu} + \frac{1+\mu}{6E} \cdot 2\sigma_1^2 \quad (3.57)$$

(3.56) va (3.57) formulalarni hisobga olganda (3.52) shart quyidagicha yoziladi:

$$\left[(\sigma_1 - \sigma_2)^2 + (\sigma_1 - \sigma_3)^2 + (\sigma_2 - \sigma_3)^2 \right] \leq 2\sigma_0^2 \quad (i)$$

bu erda, σ_0 – oddiy cho'zilishda tajribada topilgan chegaraviy kuchlanish.

Ushbu nazariyada σ_0 – oquvchanlik chegarasi σ_{ok} ga teng deb qabul qilinadi.

(i) shartga javob beradigan hisoblash formulasi quyidagicha yoziladi:

$$\sigma_{xuc} = \sqrt{\frac{1}{2} \left[(\sigma_1 - \sigma_2)^2 + (\sigma_1 - \sigma_3)^2 + (\sigma_2 - \sigma_3)^2 \right]} \leq R \quad (3.58)$$

bu erda, R - cho'zilishdagи hisobiy qarshilik.

Tekis kuchlanish holatida (2.58) formulasidan bosh kuchlanishlarni σ_z, σ_y va τ_{zy} lar orqali ifodalab quyidagini olamiz:

$$\sigma_{xuc} = \sqrt{\left(\frac{\sigma_z + \sigma_y}{2} \right)^2 + 3 \left(\frac{\sigma_z - \sigma_y}{2} \right)^2 + 3\tau_{zy}^2} \leq R \quad (3.59)$$

$\sigma_y = 0$ bo'lgan xususiy hol uchun $\sigma_z = \sigma$; $\tau_{zy} = \tau$ desak, quyidagiga ega bo'lamiz: $\sigma_{xuc} = \sqrt{\sigma^2 + 3\tau^2} \leq R$ (3.60).

Uchinchi nazariya kabi energetik nazariya ham plastik materiallar bilan o'tkazilgan tajribalarda yaxshi isbotlanadi va amalda keng qo'llaniladi. Yuqorida qayd qilingan nazariyalar materialda plastik deformatsiyalar paydo bo'lishsharoitini belgilovchi kriteriyalarni belgilab beradi. Shuning uchun bu nazariyalarga asoslangan (3.50) va (3.52) tengsizliklar ba'zan plastiklik shartlari deb ataladi.

Mor mustahkamlik nazariyasi. Barcha materiallar ham cho'zilish va siqilish deformatsiyasiga bir xil qarshilik ko'rsatmasligini Mor nazariyasi hisobga oladi. Bu nazariya 1882 yilda taklif etilib 1900 yilda rivojlantirilgan.

Ichki ishqalanish $T = fN$ materialning elastiklik chegarasidan keyin siljish natijasida sodir bo'ladi. Demak, siljishga ko'rsatilgan qarshilik faqatgina urunma kuchlanish kabi normal kuchlanishga ham bog'liq bo'ladi.

Demak, urinma kuchlanishdan hosil bo'lgan qarshilik kuchi jismning siquvchi normal kuchlanish mavjud bo'lgan nuqtalarida kattaroq, bo'lib cho'zilish mavjud bo'lgan nuqtalarida past bo'ladi. Yuqoridagi fikrlash mor nazariyasining asosini tashkil etadi. Urinma kuchlanishlar birinchidan materialning o'zaro bog'lanishi natijasida, ikkinchidan esa birinchi siljsh bog'lanishdagi emirilish sababidan bog'liq. Mor mustahkamlik nazariyasiga ko'ra shart quyidagicha bo'ladi.

$$\sigma_1 - v\sigma_3 = (1-v)\frac{\sigma}{2} - (1+v)\sqrt{\frac{\sigma^2}{4} + \tau^2} \prec \sigma_0^I \quad v = \frac{\sigma_0^I}{\sigma_0^{II}} \quad (3.61)$$

bunda: σ_0^I – cho'zilishdagi mustahkamlik chegarasi;

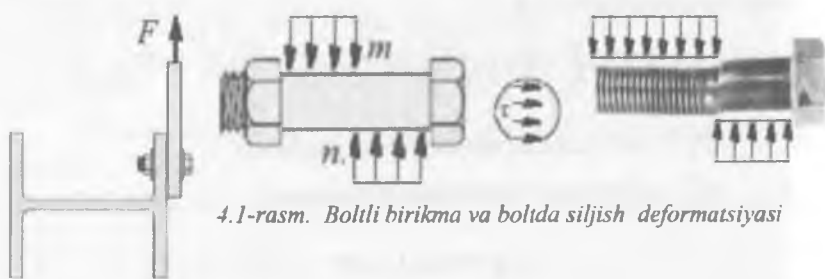
σ_0^{II} - siqilishdagi mustahkamlik chegarasi.

S A V O L L A R

- 1.Kuchlanganlik holatlarining turlarini aytинг?
- 2.Chiziqli kuchlanganlik holatida normal kuchlanish formulasini yozing?
- 3.Chiziqli kuchlanganlik holatida urinma kuchlanish formulasini yozing?
- 4.Urinma kuchlanishlarni juftlik alomati nima?
- 5.Qachon kubikni shakl o'zgarishi sodir bo'ladi?
- 6.Gukni hajmiy qonunini yozing?
- 7.Mustahkamlik nazariyalarini ta'riflang?
- 8.Kuchlanishlar tenzori nima?
- 9.Bosh kuchlanishlar nima?

IV-BOB. SILJISH

Umumiy tushunchalar. Amaliyotda boltli, parchin mixli, payvandli birikmalar va h.k siljish deformatsiyasiga uchraydi. Birikmalarning mustahkamligi siljishning xavfli holati - qirqilish yoki ezilishga bog'liq.



4.1-rasm. Boltli birikma va boltda siljish deformatsiyasi

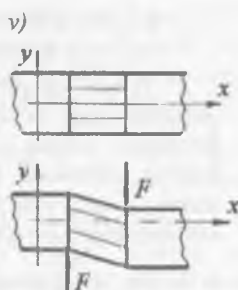
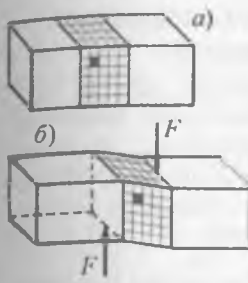
Planka va profil bolt vositasida biriktirilgan (4.1-rasm). Planka va profildan boltning bo'ylama o'qiga qarama-qarshi yo'nalishdagi tik bosim kuchi ta'sir qiladi. Natijada boltning $m-n$ tekisligining (4.1-rasm) bir tomoni ikkinchi tomoniga teskari yo'nalishda siljishga uchraydi. Bolt siljishning xavfli holatida emirliladi (qirqiladi). Qirqilish yuzasida hosil bo'lgan urinma kuchlanish boltning kesim yuzasida tekis tarqaladi. Shuning uchun qirqilish yuzasi tekisligicha qoladi.

Siljishda ichki kuch. Ko'ndalang kesim yuzasi A bo'lgan brus F siljituvchi kuch ta'sirida bo'lsin (4.2-rasm,a). Brusning siljishi 4.2-rasmida ko'rsatilgan. Agar brusni $m-n$ tekislik bilan kesib bir bo'lagini tashlab yuborsak, ajratib qoldirilgan qismini muvozanati buziladi.

Brusning tashlab yuborilgan qismining ajratib olingan bo'lagiga ta'sirini τ kuch intensivligi bilan belgilaymiz. Bu kuchlarni teng ta'sir qiluvchisini ko'ndalang kuch Q bilan almashtirsak, brusni ajratib olingan bo'lagining muvozanat sharti quyidagicha yoziladi: $\sum Y = Q - F = 0$ yoki $Q_y = \tau \cdot A = F$. Buerdan urinma kuchlanish formulasini hosil qilamiz

$$\tau = \frac{F}{A} \quad (4.1)$$

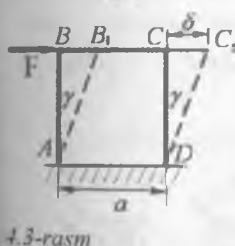
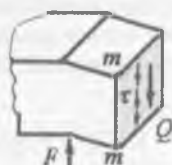
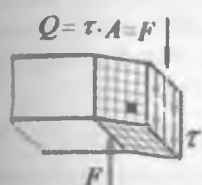
Deformatsiya va kuchlanish. Oddiy cho'zilish yoki siqilishda bo'lgan sterjening qiya tekisligida normal va urinma kuchlanishlar hosil bo'lib, bu kuchlanishlar ta'sirida sterjenda uzayish yoki siljish sodir bo'ladi.



4.2-rasm. Brusning sijishi: a) brusning deformatsiyagacha holati;

b) deformatsiyalangan brus;

v) siljishda ichki - kesuvchi kuchni aniqlash tartibi - kesish usuli.



4.3-rasm

Kubikning BC qirrasi qo'zg'almas AD qirrasiga nisbatan F kuch ta'sirida ushbu kuch yo'nalishida δ masofaga siljiydi. (4.3-rasm). BB₁=CC₁= δ absolyut siljish -chiziqli deformatsiya.

$$\text{Absolyut ciljish} \quad \delta = \frac{Qa}{GA} \quad (4.2)$$

AB va CD qirralar qo'zg'almas A va D nuqtalarga nisbatan γ burchakka og'adi. γ - burchak nisbiy siljish, burchakli deformatsiya. Kubikning deformatsiyasi elastik bo'lganligi uchun, γ burchak kichik miqdor.

Sxemadan:

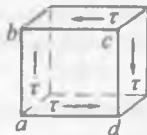
$$\operatorname{tg} \gamma = \gamma = \frac{\delta}{a} \quad (4.3)$$

Oddiy cho'zilish yoki siqilishda bo'lgan sterjening qiya tekisligida normal va urinma kuchlanishlar hosil bo'lib, bu kuchlanishlar ta'sirida sterjenda uzayish yoki siljish sodir bo'lishini ko'rib chiqgan edik.

Siljish deformatsiyasini o'rganish uchun, shunday yuzalarni tanlash kerakki, bu yuzalarda normal kuchlanish nolga teng bo'lib faqat urinma kuchlanishlar ta'sir qilsin. Faqat urinma kuchlanishlar ta'sirida bo'lgan elementining

kuchlanganlik holatiga – sof siljish deyiladi. Sof siljishga ishlayotgan kubikni qirralari urinma kuchlanishlar ta'sirida shu kuchlanishlar yo'nalishi bo'yicha deformatsiyaga uchraydi.

4.1. Sof siljishda kuchlanish va deformatsiya

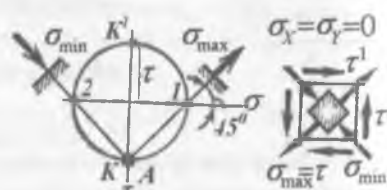
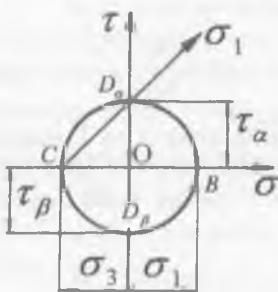


4.4 – rasm. Sof siljishdagi kubik

O'zaro perpendikulyar ab va bc qirralarga teng va qarama-qarshi tomonlarga yo'nalgan urinma kuchlanishlar ta'siridagi kubikni o'rganaylik (4.4 – rasm). Kubikning $abcd$ fasad yuzasida normal va urinma kuchlanishlar ta'sir qilmasin.

Unda $abcd$ yuza bosh yuza bo'lib, bu yuzadagi bosh normal kuchlanish nolga teng. Demak, kubikning uchta o'zaro perpendikulyar yuzalaridan ikkitasi kuchlanishlar ta'sirida, bitta fasad yuzasi esa har qanday kuchlanishlar ta'siridan ozod ekan. Shuning uchun kubikning kuchlanganlik holati tekis kuchlanganlik holatiga to'g'ri keladi.

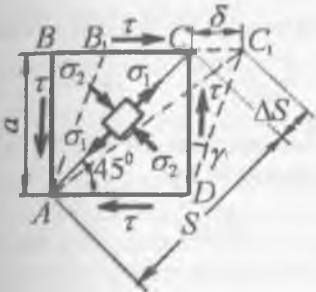
Kubikning vertikal qirrasiga $\sigma_\alpha = 0$; $\tau_\alpha = \tau$; gorizontal qirrasiga $\sigma_\beta = 0$ va $\sigma_\beta = -\tau$ ta'sir qilayotgan kuchlanishni yordamida Mor doirasidan foydalanih $abcd$ bosh yuzadan boshqa yuzadagi bosh kuchlanishlarni topamiz. σ - τ koordinata sistemasida (4.5 – rasm) $OD_\alpha = \tau_\alpha = \tau$ kuchlanishni \mathcal{T} o'qi bo'ylab yuqoriga



4.5 – rasm. Sof siljishda bosh kuchlanishlarni aniqlash uchun Mor doirasi

va $OD_\beta = \tau_\beta = -\tau$ pastga joylashtiramiz. D_α va D_β nuqtalar koordinata markazi O nuqtadan bir xil masofada joylashganligi uchun, Mor doirasini radiusi $OD_\alpha = \tau$ ga teng bo'ladi. Mor doirasi abtsissa o'qini $OB = \tau$ va $OC = -\tau$

masofalarda kesib o'tadi. Shuning uchun $OB = \tau = \sigma_1$ va $OC = -\tau = \sigma_3$; $\sigma_2 = 0$. Bosh normal kuchlanish σ_1 - ning yo'nalishi doirada CD_a chiziq bilan ko'rsatilgan va bc yuzaning normali bilan 45° burchak ostida joylashgan. Kubikdan ajratilgan element σ_1 ta'sirida bd diagonal bo'ylab cho'ziladi; σ_1 ta'sirida esa ac diagonal bo'ylab siqiladi. Demak, sof siljish o'zaro teng cho'zuvchi va siquvchi bosh normal kuchlanishlarga ekvivalent ekan. Shuning uchun siljish deformatsiyasida material cho'zilish va siqilishga ham uchraydi.



4.6 – rasm. Siljish va bosh kuchlanishlar.

$abcd$ qirrali kubikning bc qirtasi urinma kuchlanish ta'sirida δ masofaga siljiydi. δ - absolyut siljish. $abcd$ element qiyshiq bo'ladi, ab va cd qirralar γ burchakka og'adi. γ - burchak nisbiy siljish.

Elementning deformatsiyasi elastik bo'lganligi uchun, γ burchak kichik miqdor (4.6-rasm). Sxemadan:

$$\operatorname{tg} \gamma = \gamma = \frac{\delta}{a} \quad (4.4)$$

va ac diagonalning absolyut uzayishi:
 $\Delta l = \delta \cdot \cos 45^\circ$

va nisbiy uzayishi: $\varepsilon = \frac{\Delta l}{l} \sin 45^\circ$; unda: $\varepsilon = \frac{\delta}{a} \cos 45^\circ \cdot \sin 45^\circ$
yoki $\varepsilon = \frac{\gamma}{2}$ (4.5)

Diagonalni bosh normal kuchlanishlar $\sigma_1 = \tau$ va $\sigma_3 = -\tau$ ta'siridagi nisbiy uzayishi quyidagicha topiladi:

$$\varepsilon = \varepsilon_1 = \frac{\sigma_1}{E} - \mu \frac{\sigma_3}{E} = \frac{\tau}{E} (1 + \mu) \quad (4.6)$$

(4.5) va (4.6) tengliklarni o'zaro solishtirib: $\tau = \frac{E}{2(1 + \mu)} \cdot \gamma$

formulani hosil qilamiz. Bu erda: $G = \frac{E}{2(1 + \mu)}$ (4.7)

siljish moduli deb qabul qilinsa, $\tau = \gamma G$ (4.8)

siljishda Guk qonuni hosil bo'ladi.

Shunday qilib nisbiy uzayish va urinma kuchlanish siljishda o'zaro proportsional bog'lanishda bo'ladi.

Siljishda potentsial energiya

$$\text{Siljishda Guk qonun } \Delta S = \frac{Q\ell}{GA} \quad (4.9)$$

Elastik siljishda ko'ndalang kuch Q -ning bajargan ishi quyidagi formula bilan topiladi: $A_{uuu} = \frac{Q \cdot \Delta S}{2} = \frac{Q^2 \ell}{2GA} = \frac{\tau^2 A \ell}{2G}$ $\quad (4.10)$

Siljutuvchi kuch statik xarakterda bo'lsa, bajarilgan ish miqdor jixatdan siljish deformatsiyasining potentsial energiyasiga teng bo'ladi.

$$A_{uuu} = U = \frac{Q^2 \ell}{2GA} \quad (4.11)$$

4.2. Sof siljishda ruxsat etilgan kuchlanish

Laboratoriya sharoitida sof siljishni hosil qilish murakkab bo'lganligi uchun. doiraviy va boshqa xil ko'ndalang kesim yuzali sterjenlarni buralishda va plastik deformatsiyasida kuchlanganlik holati, ularning hajmi bo'ylab bir jinsli bo'lmasligi uchun – ruxsat etilgan kuchlanishni turli mustahkamlik nazariyalari asosida tanlaymiz.

Birinchi mustahkamlik nazariysi bo'yicha sof siljishda

$$[\tau]'' = [\sigma]_u \text{ hosil bo'ladi.}$$

Ikkinci mustahkamlik nazariysi: $\sigma_1 - \mu(\sigma_2 + \sigma_3) \leq [\sigma]_u$

bu erda: $\sigma_1 = \tau$ va $\sigma_3 = -\tau$; $\sigma_2 = 0$. Unda, $\tau - \mu(-\tau) \leq [\sigma]_u$ yoki

$$\tau \leq \frac{\sigma_u}{1 + \mu} \text{ va bu erdan } [\tau]'' = \frac{\sigma_u}{1 + \mu}$$

Uchinchi mustahkamlik nazariysi: $\sigma_1 - \sigma_3 \leq [\sigma]$.

Agar $\sigma_1 = \tau$ va $\sigma_3 = -\tau$ hisobga olinsa $\tau + \tau \leq [\sigma]$ yoki

$$[\tau]''' = \frac{[\sigma]}{2}$$

To'rtinchi nazariyaga asosan:

$$\frac{1}{\sqrt{2}} \sqrt{(\tau - 0)^2 + (0 + \tau)^2 + (\tau + \tau)^2} = 3\sqrt{\tau} \leq [\sigma] \text{ yoki } [\tau]^{\pi} = \frac{[\sigma]}{3}$$

Uchinchi va to'rtinchchi nazariyalar bo'yicha hisoblash plastik materiallarga: ikkinchi nazariya bo'yicha mo'rt materialdan tayyorlangan detallar uchun va silishga ishlaydigan konstruktsiyalarga tadbiq etiladi.

Yuqoridagilarni hisobga olib umumiy holda urinma ruxsat etilgan kuchlanish quyidagicha qabul qilinadi.

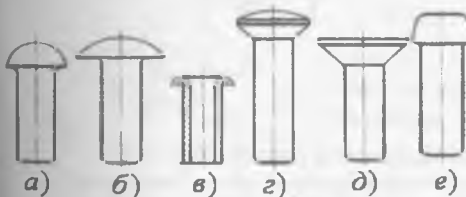
$$\text{Mo'rt materiallar uchun: } [\tau] = (0,8 \dots 1,0) [\sigma]$$

$$\text{Plastik materiallar uchun: } [\tau] = (0,5 \dots 0,6) [\sigma]$$

4.3. Parchin mixli birikmalarni hisoblash.

Parchin mixli birikma uchadigan apparatlarda, metallokonstruktsiya va h. k. larda ishlataladi. Bunda tashqi kuch birikmaning ulanish tekisligiga parallel yo'nalishda ta'sir qiladi. Parchin mix plastik ($\delta \geq 6\%$) po'latdan (St. 15,20,09 G2), alyuminii va titan qorishmasidan tayyorlanadi.

Oddiy parchin mixli birikmalarning turlari va ularni tayyorlashga oid chizmalar 4.7 - rasmida ko'rsatilgan.



4.7-rasm. Parchin mixlarning turlari: a) yarim aylanala bosh; b) past yarim aylanali boshli; v) ichi g'ovak; g) yarim potay boshli; potay boshli; d) tekis boshli

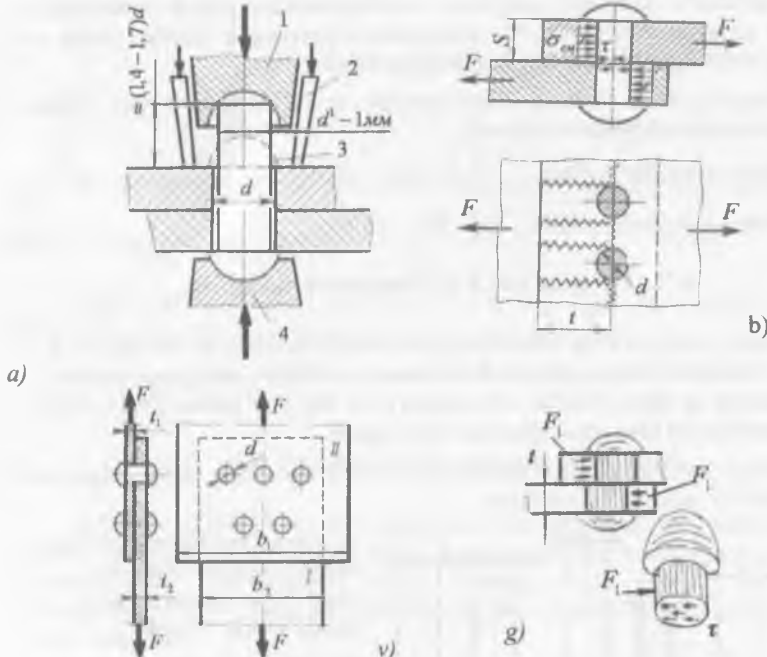
Parchin mixni yig'ish uchun (4.8 - rasm, j), uni oprava – 4 ga o'rnatiladi, ikki tomonlama qisqich – 2 yo'naltiradigan puanso – 1 bilan siqiladi. Puansoda parchin mixni bosh qismining shaklini beruvchi yarim aylanali sektor tayyorlangan. F kuch bilan oprava va puanso siqiladi (4.8-rasm,a), natijada parchin mix ortiqcha sterjenidan ikkinchi bosh qismi hosil bo'ladi.

Har bir parchin mixga o'zaro teng va qarama - qarshi yo'nalgan kuchlar ta'sir qiladi, kuchlari parchin mixni qirqishga harakat qiladi. Qirquvchi kuch F , qirqilish yuzasi ga parallel yo'naladi (4.8-rasm, g).

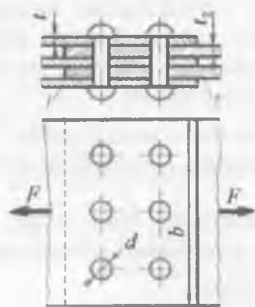
Shuning uchun qirqilish yuzasida urinma kuchlanishlar hosil bo'ladi. τ parchin mixni qirqilish yuzasida teng tarqaladi. Unda qirqilishdagi mustahkamlik sharti.

$$\tau = \frac{F}{nA_k} = \frac{4F}{n \cdot \pi \cdot d^2} \leq [\tau] \quad (4.12)$$

Parchin mixni diametri berilgan bo'lsa, birikmadagi parchin mixlar soni topilishi mumkin: $n \geq \frac{4F}{n \cdot \pi \cdot d^2 [\tau]}$ (4.13)



4.8 – rasm. Parchin mixni hosil qilish sxemasi va parchin mixli birikma turlari: a) parchin mixni hosil qilish sxemasi (1-puanso; 2 – yo'naltiruvchi; 3- parchin mix; 4- oprava); b) birikmani xavfli kesimi; v)ustma-ust birikma; g) parchin mixni qirqlishga hisoblash sxemasi



4.9 – rasm. To'rt qirqimli parchin mix k – bitta parchin mixdagi qirqimlar soni.

Agar I va II elementlar biriktiril ilishi mumkin . Bu holatda parchin mix ko'p qirkiunli bo'ladi. Ko'p qirkimli parchin mix uchun mustahkamlilik sharti:

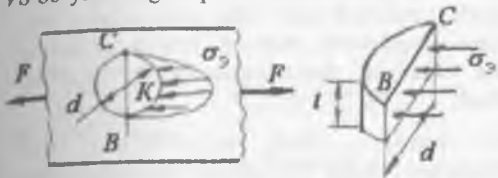
$$\tau = \frac{F}{n \cdot \kappa \cdot A_k} \leq [\tau] \quad (4.14)$$

va parchin mix soni:

$$n \geq \frac{F}{\kappa \cdot A_k \cdot [\tau]} \quad (4.15)$$

k – bitta parchin mixdagi qirqimlar soni.

Ulanuvchi I va II elementarni parchin mixga bosimi ta'sirida parchin mix o'rning devorida, yarim tsilindrik yuza bo'y lab ezilish bo'ladi. Elementlarning parchin mixga yarim tsilindrik yuza bo'y lab bosimining tarqalish qonuniyati noma'lum (4.10 - rasm), lekin bosim parchin mix sterjenining diametrial kesimi VS bo'y lab teng tarqaladi.



4.10 – rasm. Parchin mixda ezilish yuzasi

BC diametrial kesimda hosil bo'lgan ezilishdagi normal kuchlanish taxminan K nuqtadagi kuchlanishga teng:

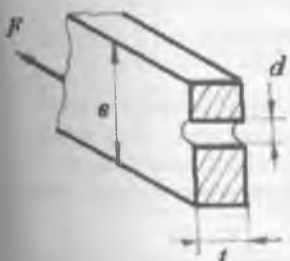
$$\sigma_2 = \frac{F}{ntd}$$

Mustahkamlik sharti: $\sigma_2 = \frac{F}{ntd} \leq [\sigma]$ (4.16)

buerda $[\sigma]_s = [2...2,5]$ $[\sigma]$ ezilishga ruxsat etilgan kuchlanish.

(4.13) shartidan parchin mixlar soni topilali:

$$n \geq \frac{F}{dt[\sigma]_s} \quad (4.17)$$



4.11 – rasm. Birikmadagi zaif kesim

$$\sigma = \frac{F}{t(b - md)} \leq [\sigma] \quad (4.18)$$

m – zaiflashgan ko'ndalang kesimdag'i parchin mix soni.

4.4. Payvand birikmalar

Payvand turlari. Payvand birikma, payvandlanuvchi detallarni mahalliy yoki umumiyl qizdirishda atomlarni o'zaro bog'lanishi va uni sovutishda hosil bo'ladiqan qotishmadir. Bu metallarni eritib payvandlash usuli. Agar, detallarni birliga qizdirib yoki sovuq holda plastik deformatsiyalansa bosim ostida payvandlash hosil bo'ladi. Amaliyotda 60 dan ortiq payvandlash usuli bor:

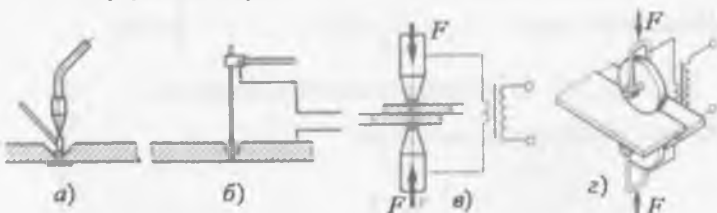
- bir yoki ikkita detalning materiali suyultiriladi (gazli, yoysimon, plazmali va h.k); - qizdiriladi va plastik deformatsiyalanadi (kontaktli, yuqorichastotali va h.k);

- qizdirilmasdan deformatsiyalanadi (sovug holda, portlatish h.k).

Gazli payvandlash (4.12-rasm, a) mashinasozlikda kam uglerodli va legirlangan po'latdan tayyorlangan kichik qalnilikdagi detallarni quyladigan metall prutokni yuqori gaz alangasida suyultirish usuli bilan amalga oshiriladi. Bu usul bilan deformatsiyalanadigan rangli metall, cho'yon, bronza, alyuminiy va magniy qorishmalaridan quyma shaklida tayyorlangan hamda nometall detallarni payvandlashda tadbiq etiladi.

Yoysimon payvand (4.12-rasm,b) - elektr payvandlashni turi.

Energiya manbai payvandlanadigan detail va elektrod orasi-dagi elektr yoyi, suyultiriladigan metall 1...5 mm. tashkil etadi, sovutilgan qorishma chok deyiladi. Elektr payvandlash qo'l kuchi



4.12 – rasm. a) gazli, b) yoysimon, v-g) kontaktli payvandlash

yoki mexanizatsiyalashgan holda bajariladi. Avtomatlashirilgan elektrpayvandlashda – yuqori unumli, sitfatli chok hosil bo'ladi.

Kontaktli payvandlash (4.12 – rasm, v) - ikkita detalni nuqta ko'rinishida. Ushbu nuqtadan o'tayotgan elektr toki yordamida qizdirish usuli bilan amalga oshiriladi. Nuqtani ikkita elektrod G' kuch bilan siqadi, transformatorдан yuborilgan tok detallarni nuqtada eritish holatigacha qizdiradi, sovutilgan nuqta qora rangli bo'ladi.

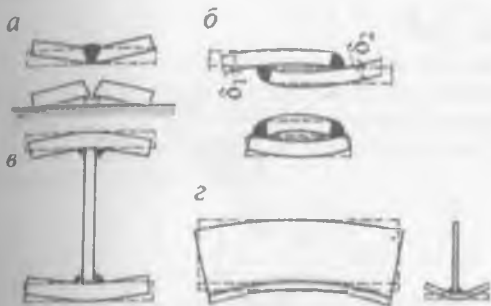
Chokli payvandlash (4.12-rasm,g), elektrod sifatida majbur aylanma harakat qiladigan disklar ishlataladi. Disklar payvandlanadigan detallarni siqadi. Payvandlash punktir chiziq yoki to'liq shaklida bajarilishi mumkin.

Payvandlashda metallni notejis qizdirish va sovutish jarayonida payvandlanayotgan buyumda ichki payvand kuchlanish-lari va deformatsiya hosil bo'ladi.

Payvandlash kuchlanishlari konstruktsiyada tashqi kuch ta'siridan hosil bo'lgan hosil bo'lgan kuchlanganlik holatini o'zgartiradi: metallda mo'rtlikni keltirib chiqaradigan tekis va hajmiy kuchlanganlik holatlari yuzaga keladi.

Payvandlash kuchlanishlari konstruktsiyadagi chokni emiradigan darajada katta bo'lishi mumkin. Payvandlash deformatsiyalarini konstruktsiyaning alohida elementlarini egrilanishiga olib keladi.

Payvandlashdagি qoldiq deformatsiya 4.13-rasmda ko'rsatilgan. Listni bir tomonlama chok bilan uchma-uch payvandlashda ko'ndalang chok buyumni egrilantiradi. Bu holat listni payvandlanadigan yuzasini burchakli tayyorlash (4.13-rasm,a) bilan cheklanishi mumkin. Ustma-ust payvandlashda (4.13-rasm,b) choklar orasidagi masofa element qalinligining besh barobaridan kichik bo'lsa, chokda yorilish bo'lishi mumkin.

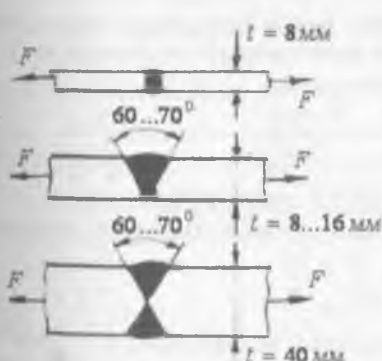


4.13-rasm.
Payvandlashda elementlarni
deformatsiyalanishi

Qo'shtavr polkalari chokni quyilishida deformatsiyalanadi (4.13-rasm, v). Polkalarning egrilanishi teskari yo'nalishda deformatsiyalanib to'g'rilanadi.

Payvand birikmalarini hisoblash. Payvand birikmalar ichki payvand kuchlanishlar e'tiborga olinmaydi. Chunki metallning oquvchanlik xossasida kuchlanish kattalashmaydi [32].

Payvand birikmalarini hisoblash. Payvand birikmalar ikki xil bo'ladi: uchma - uch va ustma - ust payvand birikmalar.



Uchma-uch payvand birikmalar ulanadigan elementlarni qalin ligiga qarab har xil bo'ladi (4.14 - rasm) va cho'zilish yoki siqilishga ishlaydi.

Chokni mustahkamligi quyidagicha hisoblanadi (4.15 - rasm).

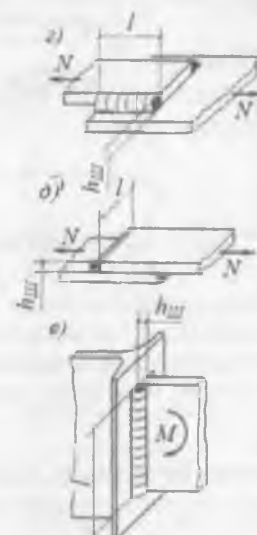
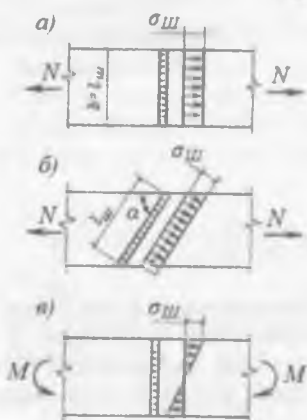
$$\sigma = \frac{F}{t \cdot \ell} \leq [\sigma]_{y.c} \quad (4.19)$$

4.14 -rasm. Payvandlash turlari

bu erda: $[\sigma]_s = (0,6 \dots 0,8)[\sigma]$ - chok materiali uchun cho'zilishga ruxsat etilgan kuchlanish; $[\sigma]_c = (0,75 \dots 0,9)[\sigma]$ - chok materiali uchun siqilishga ruxsat etilgan kuchlanish. ℓ - chokning uzunligi

Uchma-uch to'g'ri kesimli (4.15- rasm,a) payvandlashda bo'ylama kuch hosil bo'lsa kuchlanish quyidagi formula bilan topiladi:

$$\sigma_{us} = \frac{N}{A_{us}} = \frac{N}{I_{us}\delta}$$



4.15-rasm

Choklarni hisoblashga oid

Chokdagi kuchlanish biriktiriluvchi Isitdag'i kuchlanishga teng bo'lishi uchun payvandlash yuzasini qiya qabul qilish mumkin (4.15- rasm,b). Unda chokdagi kuchlanish formulasi quyidagicha yoziladi:

$$\sigma_{us} = \frac{N}{A_{us}} = \frac{N \cdot \sin \alpha}{I_{us}\delta}$$

Chok mustahkam bo'lishi uchun $\operatorname{tg} \alpha = 2$ qabul qilinadi.

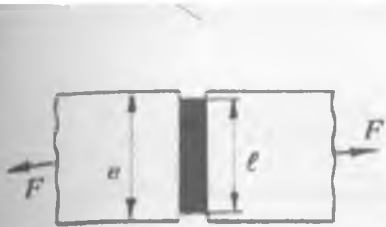
Chok eguvchi moment ta'sirida bo'lsa (rasm,b) kuchlanish formulasi quyidagicha yoziladi [32]:

$$\sigma_{us} = \frac{M}{W_{us}} = \frac{M}{W}$$

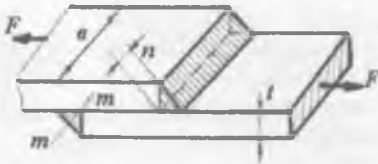
buerda, $W_{us} = W$ - chokni qarshilik momenti, biriktiriladigan elementlar qarshilik momentlariga teng

Agar, bir vaqtida bo'ylama kuch va eguvchi moment ta'sir qilsa kuchlanish formulasi quyidagicha yoziladi:

$$\sigma_{us} = \frac{N}{A_{us}} + \frac{M}{W_{us}}$$



4.16-rasm. Uchma-uch payvandlash



4.17-rasm. Ustma-ust payvandlash

Ustma-ust payvandlashda, chok valik shaklida bo'ladi (4.17- rasm). Valikli chok $m - m$ kesim bo'yicha emirilishi mumkin, chunki bu tekislikda urinma kuchlanish eng katta qiyatiga erishadi. Ustma-ust payvandlashda tashqi kuch F pastki va yuqori choklarga ta'sir qiladi.Unda urinma kuchlanish quyidagicha topiladi:

$$\tau = \frac{F}{2A_r} = \frac{F}{2 \cdot hl} = \frac{F}{1,4 \cdot t \cdot l};$$

Ustma-ust payvandlashda -mustahkamlik shart:

$$\tau = \frac{F}{1,4t \cdot l} \leq [\tau] \quad (4.20)$$

(4.20) formuladan payvandlanadigan detalning qalinligi (t) yoki payvand birikmaning uzunligi ℓ aniqlanishi mumkin.

$$t = \frac{F}{1,4\ell[\tau]}$$

Burchakli payvandlash (4.17- rasm, g,d,e) biriktiriladigan listlarning qirralari hosil qiladigan burchaklarda bajariladi.

Yon tomonli burchaksimon - chok bo'ylama kuch ta'siridan qirqlishga ishlaydi. Burchakli chokning qirqlish yuzasi $A_{wW} = (\beta \cdot h_w) \cdot l_w$ formuladan topiladi. $\beta \cdot h_w$ burchakli chokning hisobiy balandligi. β koefitsient chokning shakli, chuqurligi va payvandlash usuliga bog'liq.

l_w birikmadagi choklarning hisobiy uzunligi.

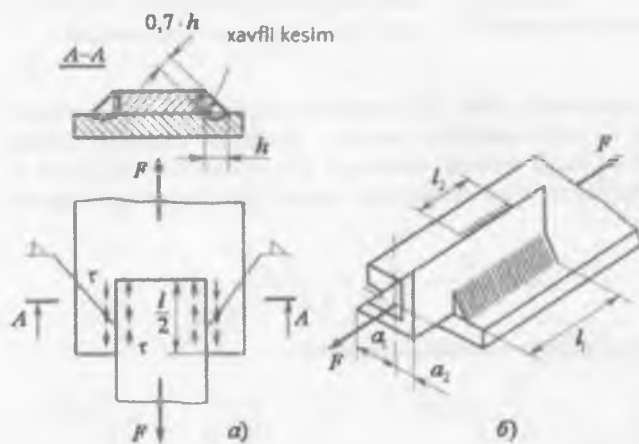
Qirqlish yuzasida urinma kuchlanish hosil bo'ladi

$$\tau_w = \frac{N}{A_{wW}} = \frac{N}{(\beta \cdot h_w)l_w}$$

Old tomoni burchaksimon chok yon tomonli burchaksimon chokga nisbatan murakkab kuchlanganlik holatida bo'ladi. Chunki kuchning ta'sir chizig'i biriktiriluvchi elementlarni chok orqali kesib o'tadi. Shuning uchun chokda bo'ylama kuch, eguvchi moment va qirqlishdagi kuchlanishlar hosil bo'ladi. Bunda choklar minimal qirqlish yuzasi bo'yicha hisoblanadi.

$$\sigma_w = \frac{M}{W_w} = \frac{M}{\frac{2(\beta \cdot h_w) l_w^2}{6}} = \frac{3M}{(\beta \cdot h_w) l_w^2}$$

Agar listga burchak profili payvandlansa, yon tomon choclar G' kuch yo'nalishiga nosimmetrik joylashadi.



4.18-rasm.
Ustma-usti
payvandlash
turlari:
a) plankali;
b) burchakli

Unda birinchi va ikkinchi choclardagi kuchlar $F_1 + F_2 = F$, $F_1 \cdot l_1 - F_2 \cdot l_2 = 0$

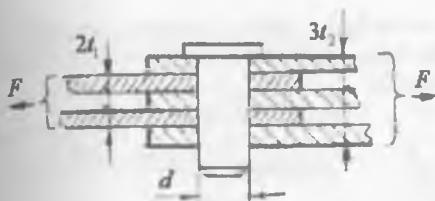
$$\text{buerdan } F_1 = F \cdot \frac{a_2}{a_1 + a_2} \quad \text{va} \quad F_2 = F \cdot \frac{a_1}{a_1 + a_2}$$

buerda a_1 va a_2 -element og'irlik markazidan choc kesimining markazigacha bo'lgan masofa.

$$\tau_1 = \tau_2 = [\tau] \text{ shartdan} \quad l_1 = \ell \cdot \frac{a_2}{a_1 + a_2} \quad \text{va} \quad l_2 = \ell \cdot \frac{a_1}{a_1 + a_2}$$

SAVOLLAR

1. Qanday konstruktsiya qismlari siljishga uchraydi?
2. Sof siljish nima?
3. Siljishda Guk qonunini yozing?
4. Siljish moduli qanday kattalik?
5. Parchin mixli birikmani qirqilishga mustahkamlik sharti?
6. Parchin mixli birikmani ezelishga mustahkamlik sharti?
7. Parchin mixli birikmani cho'zilish va siqilishga mustah-kamlik sharti?
8. Payvand birikmalarini turlarini aytинг?
9. Ustma-ust payvandlashda chocni mustahkamlik shartini yozing?



misol - 1. Boltli birikmadagi polatdan tayyorlangan valik orqali 480 kN kuch uzatiladi. Valikni qirqlishga va ezilishga mustahkamlik shartidan foydalanib, uning diametrini va ulanuvchi

elementlarni o'lchamlari topilsin. Ruxsat etilgan kuchlanish: qirqlishga $[\tau] = 95 \cdot 10^3 \frac{\text{kN}}{\text{m}^2}$ ezilishga $[\sigma] = 95 \cdot 10^3 \frac{\text{kN}}{\text{m}^2}$ va cho'zilishga $[\sigma] = 160 \cdot 10^3 \frac{\text{kN}}{\text{m}^2}$

Yechish: Boltli birikmani mustahkamlik shartidan foydalanib valikning diametrini topamiz: $\tau = \frac{F}{4A} \leq [\tau]$

bu erda: $A = \frac{\pi \cdot d^2}{4}$ - valikni bitta qirqlish yuzasi,

4 - qirqlish yuzalarining soni

$$\text{Unda valikni diametri: } d = \sqrt{\frac{4 \cdot F}{4 \cdot \pi [\tau]}} = \sqrt{\frac{480}{3,14 \cdot 95 \cdot 10^3}} = 40 \text{ mm}$$

t_1 - qalinliklardagi elementlarning ezilishga mustahkamlik sharti $\sigma = \frac{F}{ntd} \leq [\sigma]$, dan foydalanib t_1 qalinlikni topamiz.

$$t_1 = \frac{F}{2d[\sigma]} = \frac{480}{2 \cdot 0,04 \cdot 250 \cdot 10^3} = 0,024 \text{ m}.$$

Ikkita bir xil t_1 - qalinlikdagi va eni bir xil bo'lgan elementlarni cho'zilishga mustahkamlik sharti $\sigma = \frac{F}{2t_1(b-md)} \leq [\sigma]$ dan foydalanib b ni topamiz., bu erda $m = 1$.

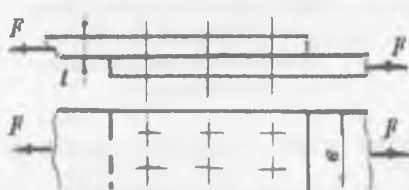
$$\text{Unda } b = \frac{F}{2t_1[\sigma]} + d = \frac{240}{160 \cdot 10^3 \cdot 0,024} + 0,04 = 0,1025 \text{ m}.$$

Birikmadagi qolgan 3 ta elementning qalinligi t_2 topamiz.

$$\sigma = \frac{F}{3t_2(b-md)} \leq [\sigma].$$

$$\text{Bu erdan } t_2 = \frac{F}{3(b-d)[\sigma]} = \frac{480}{3(0,1025 - 0,04) \cdot 160 \cdot 10^3} = 0,016 \text{ m}$$

misol - 2. Qalinligi $t = 10 \text{ mm}$ bo'lgan ikkita element diametrlari $d = 20 \text{ mm}$ bo'lgan 6 ta parchin mix bilan ustma-ust ulangan. Ruxsat etilgan cho'zuvchi kuch va elementlarni eni topilsin



Ruxsat etilgan kuchlanish:

$$\text{qirqlishga } [\tau] = 120 \cdot 10^3 \frac{\text{kN}}{\text{m}^2},$$

$$\text{ezilishga } [\sigma] = 320 \cdot 10^3 \frac{\text{kN}}{\text{m}^2}$$

$$\text{cho'zilishga } [\sigma] = 160 \cdot 10^3 \frac{\text{kN}}{\text{m}^2}$$

Yechish: Qirqlishga mustahkamlik shartidan ruxsat etilgan kuch

$$[F] = \frac{n\pi \cdot d^2 [\tau]}{4} = \frac{6 \cdot 3,14 \cdot 4 \cdot 10^{-4} \cdot 120 \cdot 10^3}{4} = 226 \text{ kN}$$

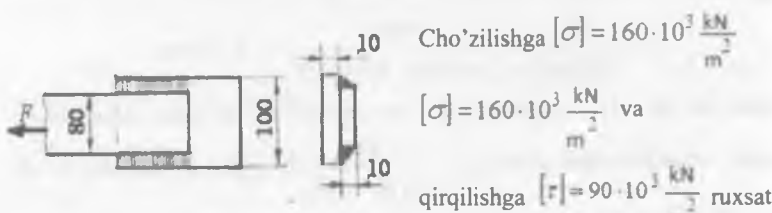
va ezilishga mustahkamlik shartidan ruxsat etilgan kuch

$$[F] = ntd[\sigma] = 6 \cdot 0,01 \cdot 0,02 \cdot 320 \cdot 10^3 = 384 \text{ kN}.$$

Ruxsat etilgan kuchlardan birinchisini qabul qilamiz, chunki parchin mixli birikmani ikkala mustahkamlik sharti ham bajariladi. Ulanuvchi elementlarni enini topamiz.

$$b = \frac{F}{[\sigma] \cdot t} + md = \frac{226}{160 \cdot 10^3 \cdot 0,01} + 2 \cdot 0,02 = 0,18 \text{ m}$$

misol - 3. Kesimning o'lchamlari 10×80 va $10 \times 100 \text{ mm}$ bo'lgan ikkita listlar ustma-ust payvandlangan. Payvand birikma G' kuch bilan cho'ziladi.



$$\text{Cho'zilishga } [\sigma] = 160 \cdot 10^3 \frac{\text{kN}}{\text{m}^2}$$

$$[\sigma] = 160 \cdot 10^3 \frac{\text{kN}}{\text{m}^2} \text{ va}$$

$$\text{qirqlishga } [\tau] = 90 \cdot 10^3 \frac{\text{kN}}{\text{m}^2} \text{ ruxsat}$$

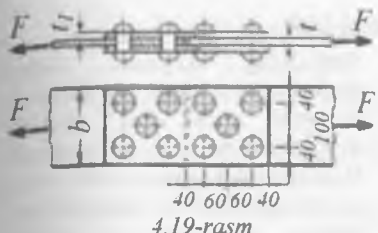
etilgan kuchlanishlar yordamida chokning uzunligi topilsin.

Ko'ndalang kesim yuzasi kichik bo'lgan ulanuvchi elementni cho'zilishga mustahkamlik shartidan cho'zuvchi kuchni topamiz:

$$F = b \cdot t [\sigma] = 0,08 \cdot 0,01 \cdot 160 \cdot 10^3 = 128 \text{ kN}.$$

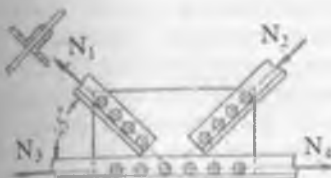
Chokni uzunligini topamiz.

$$l_p = \frac{F}{1,4t[\tau]} = \frac{128}{1,4 \cdot 0,01 \cdot 90 \cdot 10^3} = 0,102 \text{ m}$$



4.19-rasm

$[\sigma] = 160 \text{ MPa}$ bo'lsa, diametri $d = 20 \text{ mm}$.li parchin mixlar sonini aniqlang va ularni planda joylashtiring.

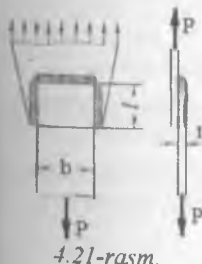


4.20-rasm

Agar ruxsat etiladigan kuchlanishlar: qirqishga $[\tau]$ = 100 MPa va ezilishga $[\sigma_e] = 260 \text{ MPa}$ bo'lsa, har qaysi tirakni kosinkaga biriktirish uchun mo'ljallangan diametri $d = 17 \text{ mm}$ li zarur parchin mixlar sonini aniqlang.

2) Agar tiraklarning belbog'ga qiyalik burchagi 45° , belbog'ning kesimi $75 \times 75 \times 6 \text{ mm}$.li ikkita burchaklikdan iborat bo'lsa, kosinkani fermaning pastki belbog'iga biriktirish uchun zarur parchinmixlar sonini aniqlang.

Javob: $n_1 = 4; n_2 = 6$.



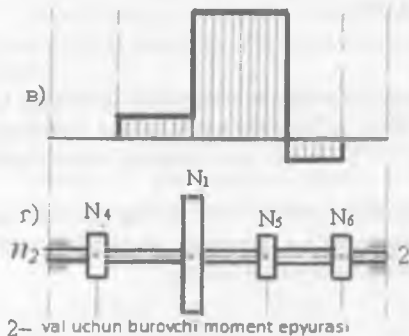
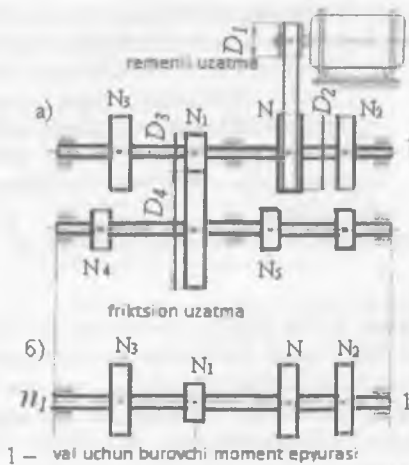
4.21-rasm.

3.3-misol. Qalinligi $t = 10 \text{ mm}$ bo'lgan va har birining qalinligi $t_i = 6 \text{ mm}$.li ikki ustqo'yma bilan yopilgan ikki listning tutashgan joyi $R = 240 \text{ kN}$ kuch bilan cho'ziladi. (4.19-rasm). Agar ruxsat etiladigan kuchlanishlar: parchin mixlar uchun – qirqilishga $[\tau] = 100 \text{ MPa}$, ezilishga $[\sigma_e] = 240 \text{ MPa}$ va listlarni cho'zilishga

3.4-misol. Po'lat stropila fermasining har biri ikkita teng yonli burchaklik $80 \times 80 \times 8 \text{ mm}$.li tiraklari pastki belbog'ga qalinligi $t = 8 \text{ mm}$ li kosinka yordamida biriktiriladi (rasmga qarang). Tiraklardagi kuchlar $N_1 = N_2 = 140 \text{ kN}$ ga teng.

3.5-misol. Kesimning o'lchamlari $b = 0,1 \text{ m}$, va $t = 0,01 \text{ m}$ bo'lgan va $R = 15 \cdot 10^4 \text{ N}$ kuch bilan cho'zilayotgan po'lat polosa bir oldi va ikki yon tomonidagi choklar bilan shakldor listga ustma-ust payvandlanadi (4.21-rasm). Choklarning qirqimga ruxsat etadigan kuchlanishi $[\tau_e] = 9 \times 10^7 \text{ N/m}^2$ bo'lsa, polosani shakldor listga mahkamlash uchun zarur bo'ladigan yon choklarning eng kam uzunligini aniqlang.

V - BOB. BURALISH



Sterjenning bo'ylama o'qiga perpendikulyar tekislikda juft kuch momenti ta'sir qilsa, buralish deformatsiyasi hosil bo'ladi. Buralish deformatsiyasi turli val va o'qlarning, fazoviy konstruktsiya larning elementlari ni ishslash jarayonida uchraydi. Buralishda brusning kesim yuzasida burovchi moment hosil bo'ladi. Buralish deformatsiyasining tavsifi ko'p jihatdan, buraladigan konstruktsiya kesim yuzasining shakliga bog'liq. Texnikada ko'pincha kesim yuzasi doiraviy yoki halqasimon bo'lgan elementlar uchraydi.

5.1. Burovchi moment haqidatoshuncha

Burovchi momentni val ning uzatayotgan quvvati va aylanishlari soni bilan ham ifodalash mumkin.

$$M_b = 7162 \frac{N_k}{n} \text{ yoki}$$

$$M_b = 9736 \frac{N}{n} \text{ Nm} \quad (5.1)$$

bu erda: N, N_k - ot kuchi va kilovatt birligidagi quvvat

1 - valdan 2 - valga N , va ishchi mashinalarga tegishlicha N_2, N_3 va ikkinchi valdan ishchi mashinalarga tegishlicha N_4, N_5, N_6 quvvatlar uzatiladi.

Birinchi va ikkinchi vallarning aylanish chastotasi $n_1 = \pi \frac{D_1}{D_2}$; $n_2 = n_1 \frac{D_3}{D_4}$

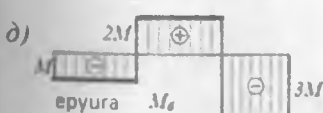
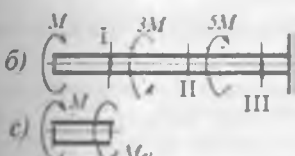
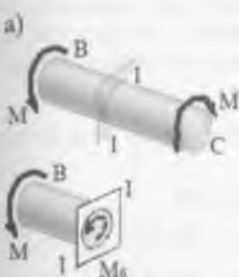
$$\text{va burchak tezligi } \omega_1 = \frac{\pi \cdot n_1}{30} \text{ va } \omega_2 = \frac{\pi \cdot n_2}{30}.$$

Har bir g'ildirakdagagi aylantiruvchi momentlar

$$M_K = \frac{N_{11}}{\omega_1} \text{ va } M_i = \frac{N_{i1}}{\omega_2}.$$

buerda: D_1, D_2, D_3, D_4 - g'ildiraklarning diametrлари.

Aylantiruvchi moment yordamida remenlarni vallarga bosim kuchlarini aniqlash mumkin: $t = \frac{2M}{D}$



Buralishda valning sirtidagi tashqi aylantiruvchi moment ta'sirida valning kesim yuzasida faqat burovchi moment hosil bo'ladi.

Burovchi momentni aniq-lash. Burovchi momentni hisoblash uchun kesish metodidan foydalanamiz. Buning uchun, masalan valnini I-I tekislik bilan fikran kesib ikkita B va C bo'laklarga ajratamiz (5.1-rasm,a) va bir bo'lagini tashlab yuboramiz. Unda ajratib olingan val bo'lagining muvozanati buziladi. Uni ta'minlash uchun ajratib olingan val bo'lagining kesilgan yuzasiga tashlab yuborilgan qismning ta'sirini M just momenti ko'rinishida keltiramiz

5.1-rasm. Valni yuklanish sxemasi (a) [31], kesish taribi (b) va burovchi moment yupyurasi (d)

misol. Berilgan val (5.1-rasm) uchun burovchi moment epyurasi qurilsin

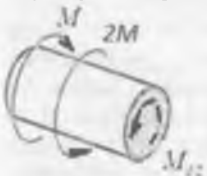
Yechish. Val uchta uchastkadan iborat. Uchastkalarning chegarasi aylantiruvchi momentlar qo'yilgan kesimlar hisoblanadi.



1-qirqim. Valni M va $3M$ aylantiruvchi momentlari orasidan ixtiyoriy kesimidan I-I tekislik bilan kesib ikkinchi bo'lagini tashlab yuboramiz. Valni olib qolingga bo'lagining muvozanatini ta'minlash uchun, uning kesilgan

yuzasiga tashlab yuborilgan tomon ta'sirini M_{δ_1}

moment ko'rinishida keltirib qo'yamiz. M_{δ_1} burovchi moment deyiladi. Burovchi moment tashqi aylantiruvchi moment yo'nalishiga teskari aylanadi. Agar, tashqi aylantiruvchi moment valning olib qolingga qismini uning keilgan yuzasiga nisbatan soat strelkasining aylanish yo'nalishi bo'yicha aylantirishga intilsa burovchi moment manfiy ishorati. Bunday holatda burovchi momentning yo'nalishi soat strelkasining harakat yo'nalishiga teskari yo'naladi. Valni olib qolingga qismining muvozanat shartidagi $M_{\delta_1} = -M$



Valni keyingi oraliqlari uchun kesish usuli ko'rsatilgan tartibda bajariladi.

$$2\text{-qirqim } M_{\delta_2} = -M + 3M = 2M$$

$$3\text{-qirqim } M_{\delta_3} = -M + 3M - 5M = -3M$$

Burovchi moment kesish tekisligidan bir tomonda qolgan aylantiruvchi momentlarning

algebraik yig'indisiga teng. Burovchi momentni valning uzunligi bo'ylab o'zgarish grafikasi uning epyurasi deyiladi (5.1 - rasm).

Burovchi moment epyurasini qurish uchun valning o'qiga perpendikulyar tekislikda tanlangan mashtabda ordinata ko'rinishida joylashtiramiz. Val to'planma momentlar bilan yuklanganda burovchi moment epyurasi ko'rilgan masaladagi kabi, bitta uchastka uzunligi bo'ylab valning o'qiga parallel chiziq bo'ladi. Uchastkalarning chegarasida burovchi momentning epyurasida, ushbu kesimga qo'yilgan moment miqdoriga teng sakrash bo'ladi.

Aylantiruvchi momentni valning uzatayotgan quvvati va burchak tezligi bilan ham ifodalash mumkin:

$$M = \frac{N}{\omega} \quad \frac{Vt}{S} = N \cdot m$$

$$M = \frac{N \cdot 30}{n \cdot \pi} = 9549 \cdot \frac{N \cdot}{n} \quad \frac{kVt}{ob/min} = N \cdot m$$

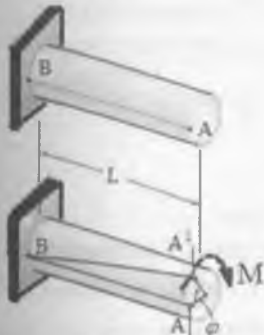
$$M = \frac{N \cdot 30}{n \cdot \pi \cdot 9,807} = 973,8 \cdot \frac{N \cdot}{n} \quad \frac{kVt}{ob/min} = kg \cdot m$$

$$M = \frac{N \cdot 30 \cdot 0,937}{n \cdot \pi} = 7028 \cdot \frac{N \cdot}{n} \quad \frac{ot.kuchi}{ob/min} = N \cdot m$$

$$M = \frac{N \cdot 30 \cdot 0,937}{n \cdot \pi \cdot 9,807} = 71620 \cdot \frac{N}{n} \quad \frac{\text{ot.kuchi}}{\text{ob / min}} = \text{kg} \cdot \text{sm}$$

n, ω - tegishlich, valni aylanishlar chastotasi va burchak tezligi

5.2.Doiraviy kesim yuzali bruslarning buralishida deformatsiya va kuchlanish .

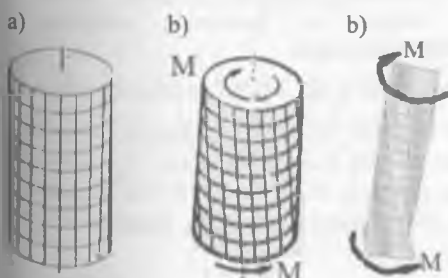


5.2-rasm. Valning buralish [31].

Deformatsiya.Bir tomoni bikr maxkamlangan brusning erkin uchi M - aylantiruvchi moment ta'siridan tayanch kesimiga nisbatan φ burchakka aylanadi.

φ buralish burchagi deyiladi. Val materialining elastik xossasida buralish burchagi M aylantiruvchi moment va valning uzunligiga proporsional bo'ladi. Bunday proporsionallik, agar valning uzunligi bo'ylab M aylantiruvchi momentning qiymati va ko'ndalang kesim yuzasi o'zgarmas bo'lsa o'rinali bo'ladi (5.2-rasm). Kesimi doiraviy bo'lмаган sterjenlarning buralishida kesim shaklining o'zgarishi kuzatiladi.

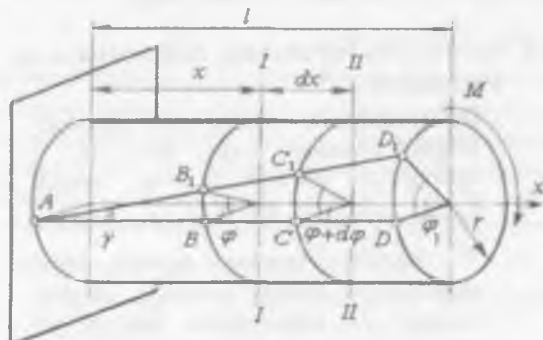
Doiraviy kesimli sterjenni (tsilindr) sirtiga doiraviy va bo'ylama chiziqlar yordamida setka chizib (5.3 - rasm, a), tashqi aylantiruvchi moment ta'sirida o'z bo'ylama o'qi atrofida buralishga uchrasa tsilindr sirtidagi chiziqlar vint ko'rinishini egallaydi (5.3 - rasm).



5.3-rasm. Kesimining shakli har xil bo'lgan sterjenlarni buralishi

Buralishgacha tekis bo'lgan kesim tsilindri deformatsiyasidan keyin ham tekisligicha qoladi, ko'ndalang kesim radiuslari to'g'ri chiziqligicha qoladi. Buning asosida buralish – kesimlarni bir – biriga nisbatan aylanishi natijasidagi siljish tusayli sodir bo'ladi deb aytilish mumkin.

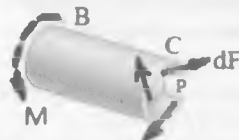
Bir uchi qistirib mahkamlangan, erkin uchiga M – juft kuch momenti qo'yilgan brusning buralishini ko'rib chiqamiz. Burovchi moment ta'sirida brusning sirtiga o'tkazilgan AD to'g'ri chiziq (5.4 – rasm), brusning buralishida AD , holatini egallaydi.



5.4-rasm.

Namuna buralish burchagini aniqlash sxemasi.

AD to'g'ri chiziqdagi B va C nuqtalar B_1 va C_1 holatlarga o'tadi. Natijada, brusning qistirib qo'yilgan kesimidan x masofadagi kesimi φ burchakka, keyingi kesimi $\varphi + d\varphi$ burchakka va juft kuch momenti qo'yilgan kesim φ_1 burchakka buraladi. Brus buralganidan keyin, ko'ndalang kesim yuzalari tekisligicha qoladi, ular orasidagi masofa deyarli o'zgarmaydi: istalgan kesim yuzasida o'tkazilgan radius egrilanmaydi. Bunday buralish brus ko'ndalang kesim yuzalarining bir-biriga nisbatan siljishlarining natijasi deb qaraladi.



Kuchlanish. Valning ixtiyoriy kesimidan bo'ylama o'qiga perpendikulyar tekislikda kesamiz. Val olib qolning qismining kesilgan yuzasida ushbu kesimga urinma va kesimning radiusiga perpendikulyar yo'nalgan

tashlab yuborilgan qismni olib qolning qismga ta'siri sifatida namoyon bo'lgan $dF = \tau \cdot dA$ elementar tangentsial kuchlar hosil bo'ladi [31]. Buning natijasida brus ko'ndalang kesim yuzalarida faqat urinma kuchlanish paydo (5.5-rasm, a) bo'ladi. M aylantiruvchi moment valning sirtiga qo'yilgan bo'lib, B va I-I kesimlar bir -biriga qarama - qarshi yo'nalishda tekis aylanma harakatda. Shuning uchun valning sirtida kuchlanishlar bir xil.

Brusning buralishida bo'ylama tolalar cho'zilmaydi ham, siqilmaydi ham. Shuning uchun, brusning ko'ndalang kesimida normal kuchlanishlar paydo bo'lmaydi. Agar M aylantiruvchi moment kamaysa valdagagi deformatsiya ham proporsionallik, ham plastiklik chegarasidan kichik bo'ladi, valda qoldiq deformatsiya hosil bo'lmaydi. Brus ixtiyoriy kesimning markazidan ρ masofada

joylashgan nuqtalarning urinma kuchlanishi siljishdagi Guk qonuniga asosan topiladi (5.5-rasm,u):

$$\tau_\rho = \gamma \cdot G \quad (5.1)$$

Bu yerda: γ - brus kesim yuzasining sirtida yotuvchi tolaning siljish burchagi. Uni 5.5,a – rasmdagi sxemadan topamiz.

Sxemadan BB_1 masofa cheksiz kichik bo'lganligi uchun uni to'g'ri chiziq deb qabul qilish mumkin. BB_1 masofa bir tomondan ABB_1 uchburchak bilan, ikkinchi tomondan OBB_1 uchburchak bilan bog'liq va ular uchun umumiy hisoblanadi. Unda uchburchak ABB_1 dan $BB_1 = AB \cdot \gamma$ va OBB_1 uchbur-chakdan $BB_1 = OB \cdot d\varphi$. Sxemadan $AB = dx$ va $OB = r$ e'tiborga olsak

$$\gamma = \frac{r \cdot d\varphi}{dx} \quad (5.2)$$

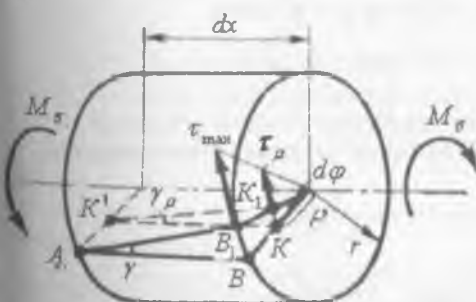
hosil bo'ladi. (5.2) tenglikdan brus kesimining markazidan ixtiyoriy (ρ) masofada yotuvchi tolasi uchun siljish burchagini topish mumkin:

$$\gamma = \frac{\rho \cdot d\varphi}{dx} \quad (5.3)$$

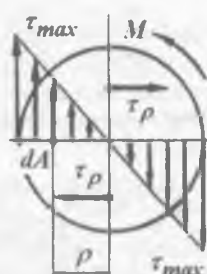
() tenglikni (1) tenglikka keltirib qo'yساқ

$$\tau_\rho = G\rho \frac{d\varphi}{dx} \quad (5.4)$$

a)



b)



5.5 – rasm. Buralishda urinma kuchlanishni aniqlash sxemasi (a) va uning epyurasi

Hosil bo'lgan formuladan ko'rinishicha, agar $G \frac{d\varphi}{dx} = \text{const}$ bo'lsa, kuchlanish faqat ρ masofaga bog'liq bo'ladi. Masalan,

$$\rho = 0 \text{ bo'lsa}, \tau_\rho = 0 \text{ va } \rho = \rho_{\max} \text{ bo'lsa}, \tau_\rho = \tau_{\max} = G \cdot r \cdot \frac{d\varphi}{dx} \text{ bo'ladi.}$$

Demak, kesim yuzasining nuqtalaridagi kuchlanishlar, shu nuqtalardan brus o'qigacha bo'lgan masofaga proporsional o'zgarar ekan.

Urinma kuchlanishlarning brus o'qiga nisbatan momenti miqdor jixatdan (M_δ) burovchi momentiga teng: $M_\delta = \int \tau_\rho dA \cdot \rho$ (5.5)

(5.4) formuladagi τ_ρ - ning qiymatini (5.5) formulaga keltirib quysak: $M_\delta = \int G\rho \frac{d\varphi}{dx} dA \cdot \rho = G \frac{d\varphi}{dx} \int \rho^2 dA$ hosil bo'ladi

$I_\rho = \int \rho^2 dA$ - brus kesimning qutb inertsiya momentini hisobga olsak

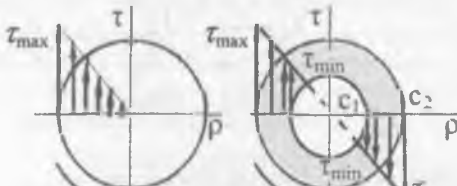
$$\frac{d\varphi}{dx} = \frac{M_\delta}{GI_\rho} \quad (5.6)$$

kelib chiqadi. (5.6) ifodani (5.4) formulaga qo'yib, buralishdag'i urinma kuchlanishni topamiz: $\tau_\rho = \frac{M_\delta \cdot \rho}{I_\rho}$ (5.7)

(5.7) formula val materialining proporsionallik chegarasida qo'llaniladi. (5.7) formulada, agar $\rho = 0$ bo'lsa $\tau = 0$ va $\rho = R$ bo'lsa,

$$\tau = \tau_{\max} = \frac{M_\delta \cdot r}{I_\rho} = \frac{M_\delta}{W_\rho} \quad (5.8)$$

Urinma kuchlanish sterjen kesimining diametri bo'ylab to'g'ri chiziqli qonuniyat bilan o'zgaradi, chunki (5.7) formulada ρ masofa birinchi darajada (5.5 - rasm, b).



5.6-rasm. Valning kesim yuzasida urinma kuchlanishni tarqalish qonuniyati.

$\tau = \frac{M_\delta \cdot \rho}{I_\rho}$ formuladan kesim yuzasining ixtiyoriy nuqtasidagi kuchlanishni topish mumkin. Buerda $I_\rho = \frac{\pi d^4}{32} = 0,1 \cdot d^4$ doiraviy kesim yuzanining qutb inertsiya momenti

Halqaning qutb inertsiya momenti

$$I_\rho = \frac{\pi d^4}{32} (1 - \alpha^4) = 0,1 \cdot d^4 (1 - \alpha^4) \quad \text{bu erda} \quad \alpha = \frac{d_0}{d}$$

Eng katta kuchlanishni hisoblash uchun $\tau = \frac{M_\delta}{W_\rho}$

$$\text{Doira } W_\rho = \frac{\pi d^3}{16} = 0,2 \cdot d^3 \quad \text{Halqa } W_\rho = \frac{\pi d^3}{16} (1 - \alpha^4) = 0,2 d^3 (1 - \alpha^4)$$

Buralish burchagini aniqlash. Buralish burchagi (5.6) formuladan topiladi

$$d\varphi = \frac{M_\delta \cdot dx}{GI_\rho} \quad (5.9)$$

$G \cdot I_\rho$ - brusning buralishdagi bikrliqi

(5.9) formulani dx bo'yicha integrallab sterjenning to'liq

$$\text{buralish burchagini topamiz. } \varphi = \frac{M_\delta \cdot \ell}{GI_\rho} \quad (5.10)$$

5.3. Buralishda mustahkamlik va bikrlik shartlari

Yuqoridagi formulalardan ma'lumki, sterjen kesimining markazidan eng uzoqda joylashgan nuqtalarda urinma kuchlanish eng katta qiymatga erishadi,

ya ni:

$$\tau_{\max} = \frac{M_\delta}{W_\rho}$$

Agar, τ_{\max} shu sterjenning materiali uchun ruxsat etilgan kuchlanishdan katta bo'lmasa, sterjenning buralishdagi mustah-kamligi ta'minlangan bo'ladi:

$$\tau_{\max} = \frac{M_\delta}{W_\rho} \leq [\tau] \quad (5.11)$$

bu erda: $[\tau] = (0,5 \dots 0,6)[\sigma]$ - ruxsat etilgan urinma kuchlanish

Agar, sterjenga kuyilgan burovchi moment va sterjenning materiali ma'lum olsa, uning diametrini (5.9) formula yordamida tanlash mumkin:

$$d \geq \sqrt{\frac{16 M_\delta}{\pi [\tau]}} \quad (5.12)$$

Agar, sterjenning diametri va materiali berilgan bo'lsa, unga qo'yilishi mumkin bo'lgan burovchi moment topilishi mumkin.

$$M_{\delta} = \frac{\pi \cdot d^3}{16} [\tau]$$

Ko'pgina vallar uchun to'liq buralish burchagining qiymatini cheklab qo'yiladi, ya'ni:

$$\varphi_{\max} = \frac{M_{\delta} \cdot \ell}{G I_p} \leq [\varphi] \quad (5.13)$$

Bu erda $[\varphi] = 0,15 \dots 0,3^0$ buralish burchagining ruxsat etilgan qiymati. (5.11) formula buralishdagi bikrlik sharti deyiladi.

$I_p = \frac{\pi \cdot d^4}{32} \approx 0,1d^4$ qutb inertsiya momentini hisobga olib, bikrlik shartidan sterjenning diametrini topamiz.

$$d \geq \sqrt[4]{\frac{32 M_{\delta} \ell}{\pi \cdot G [\varphi]}} \quad (5.14)$$

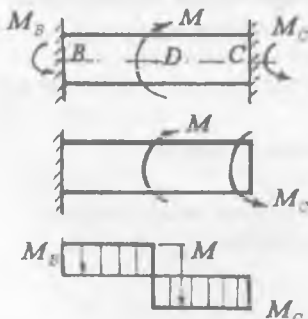
Agar, valning diametri d va uning bir minutdagi aylanishlari soni (n), val materialining ruxsat etilgan kuchlanishi $[\tau]$ berilgan bo'lsa uzatilayotgan quvvat - Ntopilishi mumkin:

$$N = \frac{\pi \cdot n \cdot d^3 [\tau]}{155776} \quad \text{va} \quad N = \frac{\pi \cdot n \cdot d^3 [\tau]}{114592} \quad \text{ot kuchi}$$

5.4. Buralishda statik noaniq masala

Ikki uchi bikr mahkamlangan tayanchga quyilgan doiraviy kesimli sterjenning burovchi momentini aniqlaymiz (5.7 – rasm). Berilgan masalani Yechish uchun sterjenning muvozanat tenglamasini tuzamiz:

$$\sum M_x = -M_{\delta} + M - M_{c=0}$$



5.7 – rasm. Buralishda statik noaniq sterjen va burovchi moment epyurasi

Bu erda M_{δ} va M_c tayanch momentlari. Berilgan sterjenning bitta muvozanat tenglamasi bo'lib, unda ikkita noma'lum momentlar qatnashayapti. Demak, masala statik noaniq bo'lib, bunday masalalar qo'shimcha deformatsiya tenglamalari yordamida echiladi. Qo'shimcha deformatsiya tenglamasini tuzish uchun asosiy sistemani tanlaymiz. Asosiy sistemani tuzishda, bitta tayanch ta'sirini shu tayanchda hosil bo'lgan noma'lum reaktiv moment bilan almashtiramiz. Berilgan sistemadagidek asosiy sistemada ham, tashlab yuborilgan tayanch

kesimning buralish burchagi nolga teng bo'lishi kerak, ya'ni $\varphi_c = 0$, chunki haqiqiy berilgan sistemada bu kesim bikr (qo'zg'almas) mahkamlangan. Kuchlarni ta'sir qilishida halal bermaslik tamoyiliga asosan $\varphi_c = \varphi_{cm} - \varphi_{cmc} = 0$ tenglamasini hosil qilamiz.

bu crda: φ_{cw} - tashqi moment ta'sirida S kesimning buralish burchagi va φ_{cmc} - reaktiv moment M , ta'sirida S kesimning buralish burchagi.

$$(5.10) \text{ formulaga asosan } \varphi_{cw} = \frac{M \cdot b}{G \cdot I_p} \quad \text{va} \quad \varphi_{cmc} = \frac{M_c(a+b)}{G \cdot I_p} \text{ ni hisobga}$$

olsak, deformatsiya tenglamasini quyidagicha yozish mumkin:

$$\frac{M \cdot b}{G I_p} - \frac{M_c(a+b)}{G I_p} = 0 \quad \text{bu erdan} \quad M_c = M \frac{b}{a+b}$$

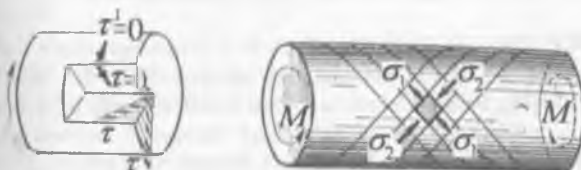
Endi muvozanat tenglamasidan M_c momentini topamiz:

$$M_B = M - M_c = M - M \frac{b}{a+b} = M \frac{a}{a+b}$$

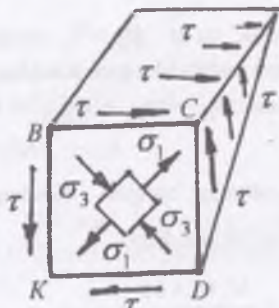
M , va M_c tayanch momentlari topilgandan keyin, burovchi moment epyurasini qurish mumkin.

5.5. Buralishda kuchlanish holatining tahlili

Buralishda doiraviy kesimli sterjenning ko'ndalang kesimda urinma kuchlanishlar hosil bo'ladi. Bu kuchlanishlar sterjen kesim yuzasining markazida nolga teng va sterjenning sirtida eng katta qiymatga ega. Urinma kuchlanish sterjen materialining har bir nuqtasida, shu nuqtadan o'tgan radiusga perpendikulyar yo'naladi (5.8-rasm). Urinma kuchlanishlarning juftlik alomatiga ko'ra, sterjenning ko'ndalang kesimiga perpendikulyar bo'lgan bo'ylama yuzada ham urinma kuchlanish hosil bo'ladi. Kesimning radiusi bo'ylab urinma kuchlanish bo'lmaydi. Aks holda sterjenning yon sirtida ham urinma kuchlanishlar hosil bo'lar edi.



5.8 – rasm. Buralishda kuchlanganlik holati



5.9 – rasm. Elementar yuzaga

Sterjenning ko'ndalang kesim yuzalarida ham, bo'ylama kesimlari da ham normal kuchlanish hosil bo'lmaydi. Shunday qilib, sterjenden ajratilgan elementar yuzaga faqat, sterjenning ko'ndalang va bo'ylama yuzalarida hosil bo'lgan urinma kuchlanishlar ta'sirida. Bunday kuchlanish holatiga sof siljish deyiladi (5.9 – rasm). Sof siljishda sterjenning bo'ylama o'qiga 45° burchak ostida cho'zuvchi va siqvuchi bosh normal kuchlanishlar hosil bo'ladi. Sterjenning barcha nuqtalarida bosh kuchlanishlarning ekstremal qiymatlari

urinma kuchlanishlarga teng bo'ladi, ya'ni:

$$\sigma_{\max} = -\sigma_{\min} = \tau_{\max} = -\tau_{\min} = \frac{M_6}{W_p} \quad (5.15)$$

Mo'rt materiallar buralishda σ , yo'nalişida emirladi Umuman, sterjenni markaziga yaqin joylashgan materiali buralishda deyarli qatnashmaydi, chunki bu yuzada juda τ kichik qiymatga ega. Demak, bu yuzadagi materialni ortiqcha sarflangan deb qarash mumkin ekan. Shuning uchun bu yuzadagi material olinsa, sterjenning kesimi halqasimon kesimiga aylanadi.

Agar, sterjenning markaziy kesimidagi materialini olib, uning og'irligini 16% kamaytirsak, hosil bo'lgan halqasimon kesimning sirtidagi eng katta kuchlanish 2,6 % oshadi. Radiusi $R = 350 \text{ mm}$. bo'lgan halqasimon val, radiusi $R = 300 \text{ mm}$. bo'lgan valdan 53,4 % ga engil.

Materiallarni buralishga sinash [33]

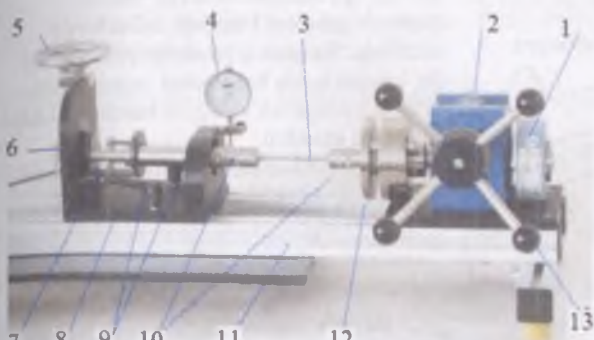
Ishning maqsadi: 1. Turli materiallarni buralishga mustahkamlikni tekshirish

2. Namuna buralish burchagini aniqlash.
3. Material buralish diagrammasini olish va tahlil qilish.

Tajriba WP 500 (30 Hm), KM-50 va K-5 buralishga sinash uskunalarida maxsus malakaga ega bo'lgan o'qituvchi yoki laborant tomonidan bajariladi.

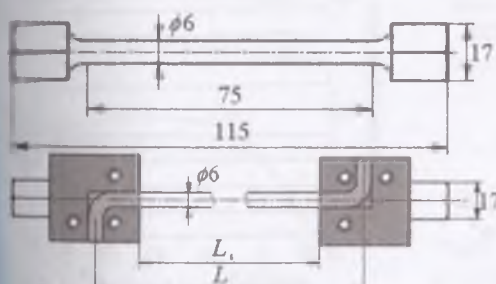
WR 500, 30 Nm buralish sinov uskunasi metal sterjenlarning buralishdag'i mustahkamligini aniqlash uchun mo'ljallangan. Burovchi moment va buralish burchagi o'lchanadi. Turli materiallardan, turli diametr va uzunlikdagi namunalar o'rganilishi mumkin.

Sinovda burovchi moment qo'l kuchi bilan maxovik mexanizmi yordamida hosil qilinadi va aylanish valiga o'rnatilgan tenzdatchik orqali o'lchanadi, uni ekrandan o'qish mumkin. Buralish burchagini ham xuddi shunday ko'rish mumkin



5.10-rasm.
WP 500 (30 Hm)
buralishga sinash
uskunasining
tuzilishi:

1	datchik	8	momentni o'lchovchi qurilma
2	chervyakli uzatma	9	qisqich
3	namuna	10	patronlar
4	buralish indikatori	11	rama
5	Maxovik (kompensatsiya)	12	harakatlanuvchi disk
6	aylanadigan siquvchi disk	13	maxovik
7	momentni uzatuvchi sterjen		



Namuna diametri materialning mustahkamligi
vu sinov uskunasida hosil qilinuvchi qiymati 30 Nm
bo'lgan maksimal burovchi momentga
mo'ljallangan

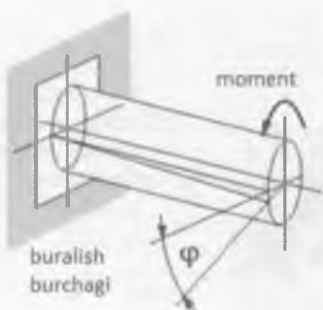
Asosiy tushunchalar. Buralishga sinash materialni sinashning nostandard usulidir. Buralishga sinashda namuna burovchi moment ta'siri ostida bo'ladi. Urinma kuchlanish namunaning deformatsiyalanishiga olib keladi. Deformatsiya naraunananik ikki uchi bir-biriga nisbatan buralishi orqali ifodalanadi.

Buralishga sinash uchun-St.9, alyuminiy va latun materiallaridan namunalar tayyorlanishi mumkin

Namunaning uzunliklari:

$$L = 175 - 350 - 700 \text{ mm}$$

Namuna uzunligi boshchasi bilan birga maksimum 750 mm



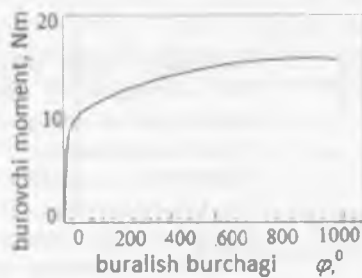
Buralishga sinashni baholash uchun burovchi moment buralish bilan birga chiziladi. Namuna o'lchamlaridan bog'liq bo'Imagan holda baholashni bajarish uchun urinma kuchlanish va siljish burchagini ham ifodalash mumkin.

Urinma kuchlanishni hisoblash. Urinma kuchlanishni M_{δ} burovchi moment va W_p qutb qarshilik

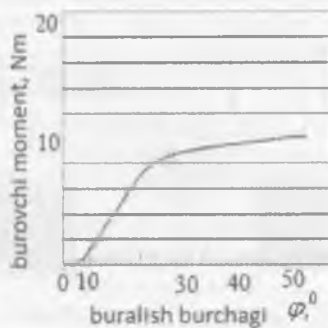
momenti orqali ifodalanadi $\tau = \frac{M_{\delta}}{W_p}$, bu erda doiraviy kesim

uchun $W_p = \frac{\pi \cdot d^3}{16}$ Buralishga sinashda kuchlanish chegaraviy

moment orqali topiladi $\tau_{\max} = \frac{M_{\delta \max}}{W_p}$



5.11 - rasm. Buralish:
O'lchami 6×75 , latun



5.12-rasm. Buralishga sinash:
elastik deformatsiyalanish
zonasining kattalashti rilgan
ko'rinishi

Siljish burchagi va siljish modulini aniqlash. Siljish burchagi - buralish burchagi, namuna uzunligi L va radiusi $r = \frac{d}{2}$ orqali aniqlanadi

$$\gamma = \frac{r \cdot \varphi}{L} \quad (5.16)$$

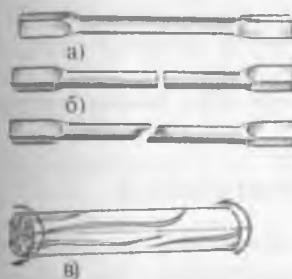
Elastik chegarada siljish moduli urinma kuchlanish va siljish burchagi orqali aniqlanadi

$$G = \frac{\tau}{\gamma} \quad (5.17)$$

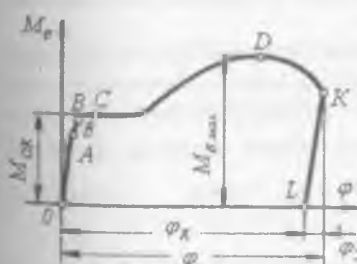
yoki sinalayotgan sterjen xarakteristikalari orqali aniqlanadi

$$G = \frac{M_s L}{\pi \cdot \varphi \cdot d^4} \quad (5.18)$$

Katta o'lchamli metall namunasini buralishga sinash. Tajriba KM-50-I sinov mashinasida olib boriladi. Mashina burovchi momentni ko'rsatadigan va buralish diagrammasini chizadigan moslamalarga ega. Mashina hosil qiladigan eng katta burovchi moment -50 kGsm. Tajribada sinaladigan namunaning o'lchamlari standartlashtirilgan.



5.13 – rasm. Buralishga sinash namunalar. a) namunani shakli; b) pulot, b) cho'yon va v) yog'och materiallarini emirilish xarakterlari.



Plastik materialdan tayyorlangan namuna buralishida emirilish yuzasi tekis bo'ladi, mo'rt material namunasida esa bo'ylama o'qga 45° qiya burchak ostida joylashadi. 5.13-rasmida yumshoq po'lat (a), cho'yon (b) va yog'och materiallarining emirilish xarakteri ko'rsatilgan.

Namunani emirilishdagi to'liq buralish burchagi φ tajriba asosida topiladi:

$$\varphi = m \cdot 360^\circ \text{ grad} \quad \text{va} \quad \varphi^l = \varphi \cdot \frac{\pi}{180^\circ} \text{ radian.}$$



K-5 sinash mashinasi

Ingichka diametrali sterjenni buralishga sinash K-5 mashinasida olib boriladi. Tajribada har xil uzunlikdagi yoki har xil diametrali sterjenlar sinaladi. Sterjenga qo'yiladigan burovchi moment M_6 bilan K-5 mashinasining quvvati orasidagi bog'lanish quyidagicha yoziladi:

$$M_6 = 9736 \frac{N}{n}, \quad Nm$$

N - mashinani kuvvati, 0,43 kVt;
 $n = 30 \dots 60$ - sterjenni bir minutdagি aylanishlar soni.

Sterjenda uzilish sodir bo'lishi bilan tajriba to'xtatila di. Sterjenni buralishda mustah kamlik chegarasi va emirilishdagi to'liq buralish burchagi tajriba asosida topiladi:

m-sterjenni emirilishgacha aylanishlar soni va mashina indikatorini ko'rsatkichi.

Sterjenni bir birlik uzunligiga to'g'ri keladigan to'liq buralish burchagi nisbiy buralish burchagi deyiladi.

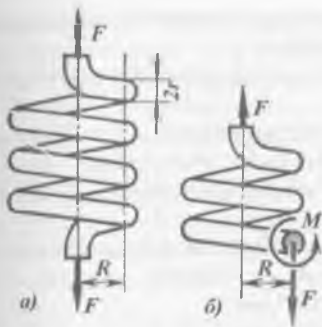
5.6. Vintsimon tsilindrik prujinalarni hisoblash

Vagonlarning ressorlari o'rnda, ichki yonuv dvigatelining gaz taqsimlash mexanizmlarida va x.k. larda vintsimon prujinalar ishlataladi. Bu prujinalar cho'zuvchi yoki siquvchi kuchlar ta'sirida bo'ladi. Prujinaning deformatsiyasi, tashqi kuchni yumshatadi yoki muvozanatlaydi.

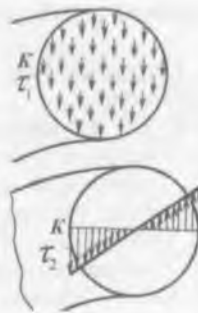
Prujinadagi ichki kuchlarni aniqlash uchun, uni kesish usulidan foydalanib ikki qismga ajratamiz (5.14 – rasm). Pastki qismini tashlab yuboramiz va uning yuqori qismga ta'sirini (ko'ndalang kuch) kesuvchi kuch Q va burovchi moment M_s bilan almashtiramiz. Prujinaning ajratib olingan qismining muvozanat shartiga ko'ra $Q = F$ va $M_s = F \cdot R$ hosil bo'ladi. Prujina o'ramining qirqilgan kesim yuzasida kesuvchi kuch Q

ta'siridan qirqilishdagi urinma kuchlanish τ_1 va burovchi moment ta'siridagi τ_2 urinma kuchlanish hosil bo'ladi. Qirqilishdan hosil bo'lgan urinma kuchlanish prujina o'ramining kesim yuzasida tekis taksimlangan deb qabul qilamiz (5.14 – rasm):

$$\tau_1 = \frac{F}{A} = \frac{F}{\pi \cdot r^2} \quad (5.19)$$



5.14 – rasm. Prujinaning yuklanish sxemasi va ichki kuchlarni aniqlash



5.15 – rasm. Qirqilishdagi τ_1 va buralishdagi τ_2 kuchlanishlar

Buralishdan hosil bo'lgan urinma kuchlanish prujina o'rami kesimining markazidan eng uzoqda joylashgan nuqtalarida hosil bo'ladi.

$$\tau_2 = \frac{M_\delta}{W_p} = \frac{2FR}{\pi \cdot r^3} \quad (5.20)$$

Kesimning V va S nuqtalari xavfli holatda bo'ladi. Chunki bu nuqtalardagi to'liq kuchlanish τ_1 va τ_2 kuchlanishlarning yig'indisiga tengdir, ya'ni:

$$\tau = \frac{F}{\pi \cdot r^2} + \frac{2FR}{\pi \cdot r^3} \quad (5.21)$$

Prujinaning deformatsiyasida o'ramlari buralishga uchraydi deb hisoblab, F kuch ta'siridagi prujinaning cho'zilishini topamiz. Prujinaning λ miqdorga ko'chishida F kuchning bajargan ishini yozamiz: $A_{uuu} = \frac{1}{2} F \lambda$ (a)

Prujinada buralishdan hosil bo'lgan potentsial energiya:

$$U = \frac{M_\delta^2 \ell}{2G I_p}$$

n - o'ramli prujinani tayyorlashda $\ell = 2\pi R n$ uzunlikdagi sim ishlatiladi.

(a) va (b) formulalarni o'zaro tenglab, $I_p = \frac{\pi \cdot r^4}{2}$ prujina o'rami kesimining qutb inertsiya momentini hisobga olsak:

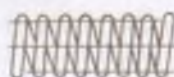
$$\lambda = \frac{4FR^3 n}{Gr^4} \quad (5.22)$$

Qadami kichik vintsimon prujinaning deformatsiyasini tajriba asosida aniqlash

Vintli prujinaning deformatsiyasini aniqlash uchun DP - 6A rusumli asbobdan foydalanamiz.

DP - 6A asbobining asosiy texnik ko'rsatkichlari.

1. Prujinadagi maksimal yuklantirilgan kuch – 10 kG gacha
2. Yuklantirilgan kuchni o'lchash, indikator ko'rsatkichi 0,01 mm bo'lgan soat turidagi indikator
3. Deformatsiyani o'lchash - 0,1 mm aniqlikda lineyka masshtabida
4. Prujinaning maksimal deformatsiyasi – 150 mm
5. Asbob o'lchamlar 270x235x532 mm
6. Asbob og'irligi (yotqizilgan quttisiz) 9 kG



5.16- rasm. DP-6A pribori va sinqilishga sinaladigan prujina

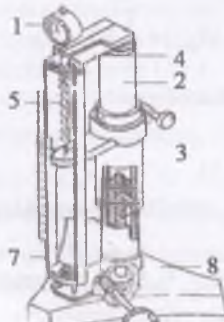
$$R - \text{vintsimon prujinani o'rtacha radiusi}, \quad R = \frac{R_T + R_u}{2} \quad m$$

R_T, R_u - Vintsimon prujinani tashqi va ichki radiuslari: m

r - vintsimon prujina o'rami kesimining radiusi, m

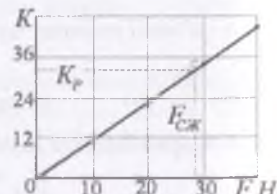
Vintsimon prujinaning asosiy ko'rsatkichi, uning bikrligi

$$C = \frac{F}{\lambda}$$



DP-6A pribori

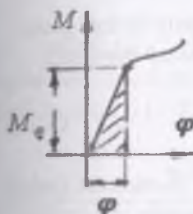
1- indikator ICh-10; 2-yugori plita;
3-pastki plita; 4-mis plastinka;
5-namuna; 6-dastakli maxovik;
7- vilka; 8 – asos



Tarirovka diagrammasi

Pribordagi *ICh-10* indikatori prujina deformatsiyasini tashqi kuch (yuk) bilan bog'lash uchun ishlataladi. Pog'onali shift o'miga navbat bilan $F = 1; 2; 3; \dots$ yuk o'matiladi. Yukni har bir qiymatiga indikatorni K_1, K_2, K_3, \dots ko'rsatkichlari to'g'ri keladi. F yuk bilan indikator ko'rsatkichi (K) orasidagi bog'lanish, prujinaning deformatsiyasi λ bilan F yuk orasidagi bog'lanishni ifodalaydi. Tajribani o'tkazish uchun (agar prujina siqilishga sinalsa) yuk o'miga prujina o'matiladi. Xarakatlantiruvchi ushlagichdag'i (0) shkala yordamida prujina deformatsiyasini $\lambda = 0$ holatga to'g'ri keluvchi lineykada belgilanib olinadi. Maxovikni aylantirib harakatlanuvchi ushlagich bilan prujina siqiladi. Indikatorni ko'rsatkichi K , qiymatga erishganda, prujina F , kuch bilan yuklangan bo'ladi. Lineykadan prujinani deformatsiyasi hisoblab olinadi. Nazariy (λ_T) va tajribaviy deformatsiya (λ_ϑ) orasidagi farq quyidagicha topiladi:

$$\delta = \frac{\lambda_T - \lambda_\vartheta}{\lambda_\vartheta} \cdot 100\%$$



5.17 – rasm.
proportsiyallik
chevara

5.7. Buralishda potentsial energiya

Sterjenning buralishi, uning materiali elastiklik chegarasi deb qaraladi. Unda burovchi momentning bajargan ishi buralish diagrammasining yuziga teng bo'ladi:

$$A_{\text{sum}} = U = \frac{M_\delta \cdot \varphi}{2} \quad \text{yoki} \quad U = \frac{M_\delta^2 \ell}{2G I_s} \quad (5.23)$$

5.8. Kesimi doiraviy bo'limgan sterjenlarning buralishi

Injelerlik amaliyotida kesimi doiraviy bo'limgan kesimlar, yupqa devorli va prokatli elementlar ham buralishga uchrashi ko'rildi. Bunday, elementlarning buralishida - ko'ndalang kesimning nuqtalari kesim yuzasini tekisligidan chiqib ketadi, natijada kesim yuzasi va butun elementning shakli o'zgaradi. Bu holga deplanatsiya deyiladi. Lekin, buralayotgan element

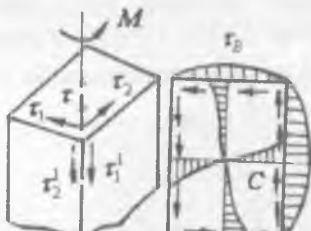


5.18 – rasm.
Buralish

tolalarining uzunligi o'zgarmaydi. Demak, ko'ndalang kesimda normal kuchlanish hosil bo'lmaydi. Bunday buralishga sof yoki erkin buralish deyiladi. Agar, buralish elementi tolalarining uzunligi o'zgarishi bilan sodir bo'lsa – majburiy buralish deyiladi. Yuqorida aytilgan barcha muloxazalar, kesimi doiraviy bo'limgan elementlarning buralishida ularning ko'ndalang kesimi hosil bo'lgan kuchlanishni aniqlash murakkab ekanligini bildiradi.

Chunki, elementning kesimi egrilanishi bilan – kuchlanish-ning tarqalish qonuniyati ham o'zgaradi.

Burchaksimon kesimlarning burchaklarida urinma kuchlanish nolga aylanadi. To'rtburchakli elementning sirtida τ_1 va τ_2 urinma kuchlanishlari nolga teng. Urinma kuchlanishlarni juftlik alomatiga ko'ra $\tau_1 = \tau_1' = 0$ va $\tau_2 = \tau_2' = 0$. Demak, $\tau = 0$ ya'ni tashqi burchak yaqinida urinma kuchlanish nolga teng. Eng katta urinma kuchlanish kesimi S nuqtasida hosilb o'ladi.



5.19 – rasm. Buralishda kuchlanish

$$\tau_c = \tau_{\max} = \frac{M_s}{\alpha \cdot a \cdot \sigma^3} \quad (5.24)$$

V nuqtadagi urinma kuchlanish

$$\tau_\beta = \eta \tau_{\max}$$

Kesimi doiraviy bo'limgann elementlarning buralish burchagi:

$$\varphi = \frac{M\ell}{G\beta \cdot \sigma^3 a} \quad (5.25)$$

bu erda: α, η va β -element kesimi o'lchamlarining nisbati.

Ko'ndalang kesimi ratsional shakli. Buralishga qarshilik momenti bir xil bo'lgan bir nechta turli shaklli kesimlarning eng kichik yuzaga ega bo'lgani, ya'ni berilgan burovchi momentda brusni tayyorlash uchun kam material sarflanadigani yoki kichik og'irlilikka ega bo'lgani ratsional hisoblanadi. Kesim shaklining ratsionalligi o'lichov birliksiz xarakteristikaga ega bo'lgan solishtirma qarshilik momenti bilan baholanadi

$$\omega_Y = \frac{W_p}{\sqrt{A^3}}$$

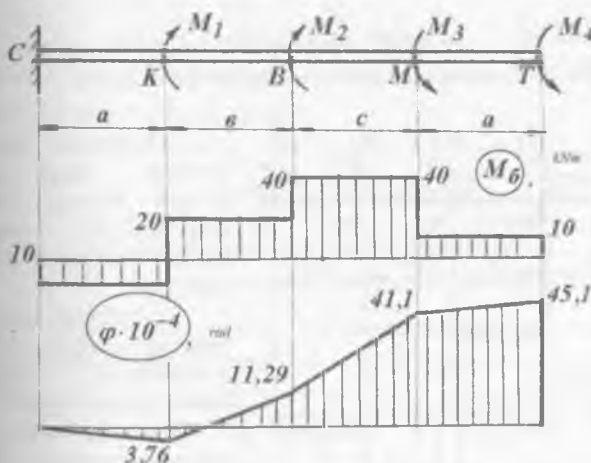
kesim	C	I				t
			$\frac{h}{b} = 2$		$c = 0,7$	$\frac{s}{t} = 10$
ω_X	0,04-0,05	0,05-0,07	0,18	0,21	0,37	1,16

Bu yerda yopiq yupqa devorli kesim ratsional hisoblanadi.

SAVOLLAR

1. Qanday konstruktsiya qismlari buralishga uchraydi.
 2. Burovchi moment deb nimaga aytildi?
 3. Sterjenni buralishida qanday kuchlanish hosil bo'ladi.
 4. Urinma kuchlanish sterjen kesim yuzasida qanday qonuniyat bilan tarqaladi.
 5. Buralishda mustahkamlik shart formulasini yozing.
 6. Buralish burchagi formulasini yozing.
 7. Buralishda bikrlik sharti formulasini yozing
 8. Buralishda mustahkamlik shardan foydalanim foydalanib doiraviy kesimli sterjenni diametrini toping.
 9. Vintsimon prujinaning kesim yuzasida qanday kuchlanish hosil bo'ladi.
 10. Vintsimon prujinaning deformatsiyasini toping.

misol -1 . $M_1 = 30\kappa Nm; M_2 = 20\kappa Nm; M_3 = 30\kappa Nm; M_4 = 10\kappa Nm;$ momentlar bilan yuklangan doiraviy kesimli sterjenni, buralishdagı mustahkamlik sharti asosida $[\tau] = 90mPa$, diametrini aniqlang (5.20-rasm).



$$a = 1m; b = 2m;$$

$$c = 2m;$$

$$G = 8 \cdot 10^7 \frac{\kappa N}{m^2}$$

5.20 – rasm.
Sterjenni yuklanish
sxemasi va
burovchi moment va
buralish
burchagining
epyuralari.

Yechish: 1) Sterjenni tayanch kesimidagi M_s reaktiv momentini topamiz
 $\sum M_c = -M_c + M_1 + M_2 - M_3 - M_4 = 30 + 20 - 30 - 10 = 10 \text{ kNm}$ Sterjenni uzunligi bo'ylab burovchi momentini o'zgarishini topamiz

$$I-I \text{ oraliq } M_{61} = -M_6 = -10 \kappa Nm$$

$$\text{II - II oraliq } M_{\text{II}} = -M_c + M_1 = -10 + 30 = 20 \kappa Nm$$

$$\text{III - III оралық } M_{63} = -M_c + M_1 + M_2 = -10 + 30 + 20 = 40 \text{ kNm}$$

IV – IV оралық

$$M_{64} = -M_C + M_1 + M_2 - M_3 = -10 + 30 + 20 - 30 = 10 \text{ kNm}$$

2) Буралышдаги mustahkamlik шартына көрінісін диаметрini aniqlaymiz

$$d = \sqrt{\frac{16 \cdot M_{\max}}{\pi[\tau]}} = \sqrt{\frac{16 \cdot 40}{3,14 \cdot 90 \cdot 10^3}} = 0,131 \text{ m};$$

$d = 135 \text{ mm}$ qabul qilamiz.

3) Sterjenni буралыш бурчагини aniqlaymiz $\varphi_s = 0$;

$$\varphi_K = \frac{M_{61} \cdot a}{G I_p} = -\frac{10 \cdot 1}{8 \cdot 10^7 \cdot 0,1 d^4} = \frac{-10}{8 \cdot 10^6 \cdot (0,135)^4} = -3,763 \cdot 10^{-3} \text{ rad}$$

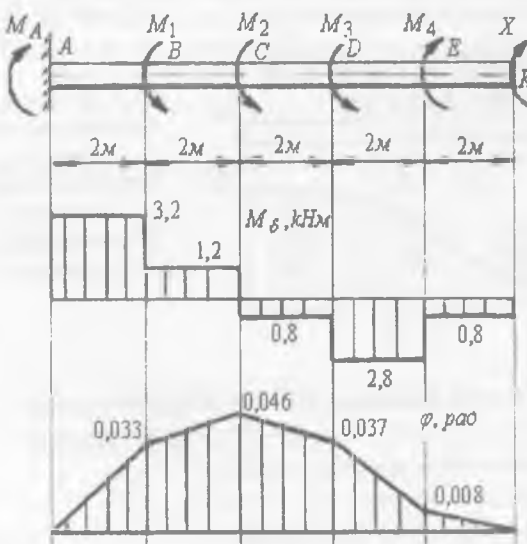
$$\varphi_B = -3,76 \cdot 10^{-3} + \frac{20 \cdot 2}{2657 \cdot 10^3} = 11,29 \cdot 10^{-3} \text{ rad}$$

$$\varphi_M = 11,29 \cdot 10^{-3} + \frac{40 \cdot 2}{2657 \cdot 10^3} = 41,16 \cdot 10^{-3} \text{ rad}$$

$$\varphi_T = 41,16 \cdot 10^{-3} + \frac{10 \cdot 1}{2657 \cdot 10^3} = 45,16 \cdot 10^{-3} \text{ rad}$$

Буралыш бурчагининг (φ) епураси 5.10-рasmда күрсатылған.

misol -2. Po'lotdan tayyorlangan val to'rtta o'zaro teng $M_1 = M_2 = M_3 = M_4 = M$ momentlar bilan yuklangan $M = 2 \text{ kNm}$



1) K kesimni buralish burchagi nolga teng bo'lgan holatga to'g'ri keluvchi X momentni qiymati topilsin (5.21 rasm).

2) burovchi moment epyuralari qurilsin va valni mustahkamlik шартына асосан диаметри topilsin;

3) buralish burchagi epyuralari qurilsin.

5.21-rasm. Sterjenni burovchi moment va buralish burchagining epyurlari.

Yechish. K kesimiga noma'lum X momenti qo'yilgan va A kesimi biki mahkamlangan statik aniq sistema statik noaniq masalaga ekvivalent. Masalani shartiga ko'ra noma'lum moment X -ni topiladigan qiymatida K kesimni buralish burchagi ($\varphi_k = 0$) nolga teng. Kuchlarni ta'sir qilishdagi va qo'shishdagi xalal bermaslik printsipiiga asosan, K kesimni to'liq buralish burchagini qo'yilgan har qaysi momentlar ta'siridagi buralish burchaklari yig'indisiga teng deb qaraymiz,

$$ya'ni: \quad \varphi_k = \varphi_{kM_1} + \varphi_{kM_2} + \varphi_{kM_3} + \varphi_{kM_4} + \varphi_{kx} = 0$$

Faqat M_1 momenti ta'sirida K kesimni buralish burchagi

$$AV$$
 oraliqni buralish burchagiga teng, ya'ni: $\varphi_{kM_1} = \varphi_{AB} = \frac{M_1 \cdot 2}{G \cdot I_p}$

va qolgan momentlar ta'siridagi buralish burchaklari

$$\varphi_{kM_2} = \varphi_{AC} = \frac{M_2 \cdot 4}{G \cdot I_p}; \quad \varphi_{kM_3} = \varphi_{AD} = \frac{M_3 \cdot 6}{G \cdot I_p};$$

$$\varphi_{kM_4} = \varphi_{AE} = \frac{M_4 \cdot 8}{G \cdot I_p} \quad ea \quad \varphi_{kx} = \varphi_{AK} = -\frac{X \cdot 10}{G \cdot I_p}$$

buralish burchaklarini (13) tenglamaga keltirib qo'ysak:

$$\frac{M_1 \cdot 2}{G \cdot I_p} + \frac{M_2 \cdot 4}{G \cdot I_p} + \frac{M_3 \cdot 6}{G \cdot I_p} - \frac{M_4 \cdot 8}{G \cdot I_p} - \frac{X \cdot 10}{G \cdot I_p} = 0$$

yoki $X = 0,8 \text{ kNm}$ hosil bo'ladi. Sistemani muvozanat tenglamasidan A kesimdagi reaktiv moment M_A ni topamiz:

$$\sum M_A = -M_1 - M_2 - M_3 + M_4 + x + M_A = 0 \quad yoki$$

$$M_A = 2 + 2 + 2 - 2 - 0,8 = 3,2 \text{ kNm}$$

Valni A kesimidan o'ngga qarab uchastkalarga bo'lamiz va oraliq masofalarda burovchi moment qiymatlarini topamiz.

I – I uchastok oraliq'idagi valga M_A reaktiv va M_{B_1} burovchi momentlari ta'sir qiladi. Demak, valni I – I uchastkasida muvozanat sodir bo'lishi uchun, $M_A = M_{B_1}$ shart bajarilishi kerak, ya'ni ajratilgan sistemaga qo'yilgan tashqi momenti miqdor jihatdan valni ichki kuch momentlari yig'indisiga teng bo'lishi kerak.

$$I - I \text{ oraliq: } M_A = M_{B_1} = -3,2 \text{ kNm}$$

$$II - II \text{ oraliq: } M_{B_2} = -M_A + M_1 = -3,2 + 2 = -1,2 \text{ kNm}$$

$$III - III \text{ oraliq: } M_{B_3} = -M_A + M_1 + M_2 = -3,2 + 2 + 2 = 0,8 \text{ kNm}$$

$$IV - IV \text{ oraliq: } M_{B_4} = -M_A + M_1 + M_2 + M_3 = -3,2 + 6 = 2,8 \text{ kNm}$$

$$V - V \text{ oraliq: } M_{B_5} = -M_A + M_1 + M_2 + M_3 - M_4 = 2,8 - 2 = 0,8 \text{ kNm}$$

Burovchi momentni eng katta qiymati I – I uchastkada hosil bo'ladi.

Buralishda mustahkamlik sharti $\tau_{max} = \frac{M_{B_{max}}}{W_p} \leq [\tau]$ dan valning diametrini topamiz.

$$[\tau] = 60 \text{ mPa} - \text{val uchun urinma kuchlanishning ruxsat etilgan qiymati.}$$

$$d = \sqrt[3]{\frac{16M_{b_{\max}}}{\pi[\tau]}} = \sqrt[3]{\frac{16 \cdot 3,2}{3,14 \cdot 60 \cdot 10^3}} = 0,065 \text{ m} = 65 \text{ mm}$$

$d = 70 \text{ mm}$ qabul qilamiz.

Valni har bir oraliq idagi buralish burchagini $\varphi = \int_0^l \frac{M_x dx}{G \cdot I_p}$ formula orqali qo'zg'almas tayanchdan boshlab topamiz. Bu erda G - siljish modulij va I_p - val kesimini qutb inertsiya momenti:

$$I_p = \frac{\pi d^4}{32} \approx 0,1 \cdot d^4 = 0,1(0,070)^4 = 24 \cdot 10^{-7} \text{ m}^4$$

I - I oraliq $0,6 \leq x_1 \leq 2 \text{ m}$

$$\varphi_1 = \frac{M_{E_1} \cdot x_1}{G \cdot I_o} = -\frac{3,2 \cdot x_1}{8 \cdot 10^7 \cdot 24 \cdot 10^{-7}} = -\frac{3,2 \cdot x_1}{192}$$

agar $x_1 = 0$ bo'lsa $\varphi_1 = \varphi_A = 0$; agar $x_1 = 0$ bo'lsa

$$\varphi_1 = \varphi_B = -\frac{3,2 \cdot 2}{192} = -0,033 \text{ rad.} \quad \varphi_B = -0,033 \cdot \frac{180^\circ}{\pi} = -0,033 \cdot \frac{180^\circ}{3,14} = -2^\circ 31'$$

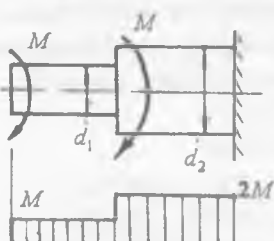
$$\varphi_2 = \varphi_c = \varphi_{AB} + \varphi_{BC} = -0,033 + \frac{M_{E_2} \cdot x_2}{G \cdot I_p} = -0,033 - \frac{1,2 \cdot 2}{8 \cdot 10^7 \cdot 24 \cdot 10^{-7}}$$

$$\varphi_c = -0,046 \text{ radian} \quad \text{yoki} \quad \varphi_c = -3^\circ$$

$$\varphi_3 = \varphi_D = \varphi_c + \varphi_{BC} = -0,046 + \frac{M_{E_3} \cdot x_3}{G \cdot I_p} = -0,033 + \frac{0,8 \cdot 2}{8 \cdot 10^7 \cdot 24 \cdot 10^{-7}} = -0,037 \text{ rad}$$

$$\varphi_4 = \varphi_E = \varphi_D + \varphi_{DE} = -0,037 + \frac{M_{E_4} \cdot x_4}{G \cdot I_p} = -0,037 + \frac{2,8 \cdot 2}{8 \cdot 10^7 \cdot 24 \cdot 10^{-7}} = -0,0083 \text{ rad}$$

$$\varphi_5 = \varphi_k = \varphi_E + \varphi_{EK} = -0,008 + \frac{M_{E_5} \cdot x_5}{G \cdot I_p} = -0,0083 + \frac{0,8 \cdot 2}{8 \cdot 10^7 \cdot 24 \cdot 10^{-7}} = 0$$



5.22 - rasm

misol - 3. Bir tomoni qistirib mahkamlangan o'zgaruvchan kesimli sterjenga bir xil juft kuch momenti qo'yilgan. Sterjenning kichik diametri $d_1 = 40 \text{ mm}$ va katta diametri $d_2 = 60 \text{ mm}$ (5.22- rasm) Sterjenning o'ng pog'onasidagi eng katta urinma kuchlanish 80 mPa. Sterjenning chap pog'onasidagi urinma kuchlanishni toping.

Yechish. Sterjenning o'ng pog'onasidagi eng katta urinma kuchlanish formulasini yozamiz.

$$\tau_z = \frac{M_{E_5}^B}{W_z^B} = 80 \text{ mPa}$$

Burovchi momentni topamiz:

$$M_b^I = 800 \cdot W_\rho = 800 \frac{\pi \cdot d^3}{16} = 800 \frac{3,14(6)^3}{16} = 33912 \kappa Gsm$$

Sterjenning uzunligi bo'ylab burovchi moment epyurasini quramiz. Sterjenning II-II qirqim bilan ajratib olingan qismida burovchi moment tashqi momentlarning yig'indisiga teng, ya'ni $M_b^{II} = 2M$. Unda, I-I qiqimdagagi ya'ni sterjenning chap pog'onasidagi burovchi moment miqdor jihatdan tashqi momentga teng $M_b^I = M$.

Chap pog'onadagi eng kata urinma kuchlanishni topamiz:

$$\tau_1 = \frac{M_b^I}{W_\rho^I} = \frac{33912}{2 \cdot 12,56} = 1350 \frac{\kappa G}{sm^2}$$

$$\text{bu erda } W_\rho^I = \frac{\pi \cdot d^3}{16} = \frac{3,14(4)^3}{16} = 12,56 sm^3$$

misol - 4. Diametri $d = 90 mm$ bo'lgan val 90 ot kuch quvvatini uzatadi. Val materialining ruxsat etilgan kuchlanishi $[\tau] = 60 \frac{\kappa G}{sm^2}$ bo'lsa, valning bir minutdagi aylanishlari soni topilsin.

Yechish: burovchi moment, uzatilayotgan quvvat N va valning aylanishlari soni o'zaro bog'lanishda:

$$M_b^I = 71620 \frac{N}{n} \kappa Gsm$$

Burovchi momentni valning mustahkamlik shartidan aniqlaymiz:

$$M_b^I = W_\rho [\tau] = \frac{\pi \cdot d^3}{16} [\tau] = \frac{3,14(9)^3}{16} \cdot 600 = 85839,7 \kappa Gsm$$

Unda valning bir minutdagi aylanishlari soni

$$n = 71620 \frac{N}{M_b^I} = 75 \frac{avl}{min}$$

misol - 5. Avtomobilning kardanli vali ikki xil rejimda bir xil quvvatni uzatadi ($N = 23$ ot kuchi). Valni bir minutdagi aylanishlari soni, bir holatda $n_1 = 108$ avl/min ; ikkinchi holatda $n_2 = 60$ avl/min

Val materialining ruxsat etilgan kuchlanishi $[\tau] = 400 \frac{\kappa G}{sm^2}$ bo'lsa, valning tashqi va ichki diametrlarini ($d_0 = 0,9 d$) toping.
Yechish. Kardanli valning ikki rejimiga to'g'ri keluvchi burovchi momentni topamiz:

$$M_b^I = 71620 \frac{23}{108} = 15252,4 \kappa Gsm, \quad M_b^{II} = 71620 \frac{23}{60} = 27454,3 \kappa Gsm$$

Valning diametri o'zgarmas bo'lsa, eng katta kuchlanish M_b^{II} momenti ta'sirida hosil bo'ladi. Val kesimining qutb inertsiya momentini topamiz:

$$I_{\rho} = \frac{\pi \cdot d^4}{32} - \frac{\pi \cdot d_0^4}{32} = \frac{\pi \cdot d^4}{32} (1 - 0,656) = 0,033755d^4$$

Urinma kuchlanish va kesimining chetki nuqtasida, ya' ni kesim markazidagi $0,5d$ masofada joylashgan nuqtasida hosil bo'ladi.

$$\tau_{\max} = \frac{M_6^{11} \cdot 0,5d}{I_{\rho}} = \frac{M_6^{11} d}{2 \cdot 0,033755d} \leq [\tau] \text{ yoki}$$

$$d = \sqrt[4]{\frac{M_6^{11}}{0,06751[\tau]}} = 10sm$$

Unda valning ichki diametri $d_0 = 9 cm$

misol - 6. Po'latdan tayyorlangan halqasimon kesimi val $100 ob/min$ tezlik bilan aylanib $N = 75 kVt$ quvvatni uzatadi. Val kesimi devorining qalinligi o'rtacha diametrining $1/50$ qismini tashkil etadi. Valning $3m$ uzunligiga to'g'ri keluvchi buralish burchagi $\varphi = 1^\circ$ dan oshmaslik sharti bilan, uning o'rtacha diametrini toping. Urinma kuchlanish nimaga teng?

Yechish: Valning tashqi va ichki diametrlarini uning devorini qalinligi bilan bog'liq:

$$d = d_y + t = d_y + \frac{d_y}{50} = \frac{51d_y}{50}; \quad d_0 = d_y - t = d_y - \frac{d_y}{50} = \frac{49d_y}{50}$$

Val kesimining qutb inertsiya momentini aniqlaymiz:

$$I_{\rho} = \frac{\pi}{32} [d^4 - d_0^4] = \frac{\pi}{32} \left[\left(\frac{51d_y}{50} \right)^4 - \left(\frac{49d_y}{50} \right)^4 \right] = 0,0157d_y^4$$

Valning buralishdagi bikrlik shartini yozamiz: $\frac{M_6 \cdot \ell}{G \cdot 0,0157d_y^4} = 1^\circ$

$$\text{bu erda: } G = 8 \cdot 10^5 \frac{\text{kg}}{\text{sm}^2} \text{ va } M_6 = 97360 \frac{\text{N}}{\text{n}} = 97360 \frac{75}{100} = 73020 \text{ kGsm}$$

O'rtacha diametni topamiz:

$$d_y = \sqrt[4]{\frac{M_6 \ell}{G \cdot 0,0157 \cdot 1^\circ}} = \sqrt[4]{\frac{73020 \cdot 300}{8 \cdot 10^5 \cdot 0,0157 \cdot \frac{314}{180}}} = 17,8sm$$

$$\text{Unda } d = \frac{51 \cdot 17,8}{50} = 18,156sm; \quad d_0 = \frac{49 \cdot 17,8}{50} = 17,45sm$$

Kesimning qutb inertsiya momenti:

$$I_{\rho} = 0,0157d_y^4 = 0,0157(17,8)^4 = 1576sm^4$$

Eng katta urinma kuchlanishni topamiz:

$$\tau_{\max} = \frac{M_6 \cdot 0,5d}{I_{\rho}} = \frac{73020 \cdot 9}{1576} = 417 \frac{\text{kg}}{\text{sm}^2}$$

misol - 7. Umumiyligi $a+b=3,3 m$, chap qismining diametri $d_1 = 6 sm$ o'ng qismining diametri $d_2 = 5 sm$ bo'lgan sterjen uchi bilan qistirib - bikr mahkamlangan. Sterjenning ikki qismida ham bir xil kuchlanish hosil bo'lsa A va B uzunliklar topilsin (5.23 - rasm)

Yechish. Sterjenning S va V tayanchlaridagi reaktiv M_c va M_B momentlarni topish uchun, uni muvozanat tenglamasini tuzamiz:

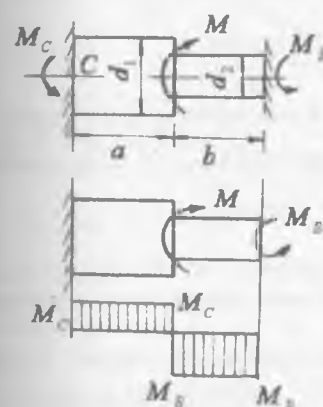
$$\sum M_x = -M_c + M - M_B = 0$$

Muvozanat tenglamasidan ko'rinishicha, sterjen statik noaniq sistema ekan. Shuning uchun, asosiy sistemani tanlaymiz va qo'shimcha tenglama tuzamiz:

$$\varphi_B = \varphi_{BM} + \varphi_{BM_B} = 0,$$

ya'ni B tayanch kesimini buralish burchagi nolga teng.

$$\text{Bu erda } \varphi_{BM} = \frac{M \cdot a}{G \cdot I_{\rho_1}} \quad \text{va } \varphi_{BM_B} = -M_B \left(\frac{a}{G \cdot I_{\rho_1}} + \frac{b}{G \cdot I_{\rho_2}} \right)$$



5.23 - rasm. Statik noaniq pog'onali brus va burovchi moment epyurasи

B kesimning tegishli M_c va M_B momentlari ta'siridan buralish burchaklarini qo'shimcha tenglamaga keltirib qo'yamiz,

$$\text{unda } \frac{M \cdot a}{G \cdot I_{\rho_1}} = M_B \left(\frac{a}{G \cdot I_{\rho_1}} + \frac{b}{G \cdot I_{\rho_2}} \right)$$

$$\text{va } M_B = \frac{Ma}{a + b} \frac{I_{\rho_1}}{I_{\rho_2}}$$

sterjenning muvozanat tenglamasiga keltirib qo'ysak, M , tayanch momentini topamiz:

$$M_c = M - M_B = \frac{M \cdot b \cdot \frac{I_{\rho_1}}{I_{\rho_2}}}{a + b \cdot \frac{I_{\rho_1}}{I_{\rho_2}}}$$

Sterjenning uzunligi bo'ylab burovchi moment epyurasini quramiz (5.23 - rasm) va chap va o'ng qismlarini ko'ndalang kesimi dagi urinma kuchlanishlarni topamiz.

$$\tau_1 = \frac{M_c}{W_{\rho_1}} = \frac{M \cdot b \cdot \frac{I_{\rho_1}}{I_{\rho_2}}}{\left(a + b \cdot \frac{I_{\rho_1}}{I_{\rho_2}} \right) \frac{\pi \cdot d_1^3}{16}} \quad \text{va} \quad \tau_2 = \frac{M_B}{W_{\rho_2}} = \frac{M \cdot a}{\left(a + b \cdot \frac{I_{\rho_1}}{I_{\rho_2}} \right) \frac{\pi \cdot d_2^3}{16}}$$

Masalani shartiga ko'ra $\tau_1 = \tau_2$

$$\text{Unda } \frac{M \cdot b \cdot \frac{I_{\rho_1}}{I_{\rho_2}}}{\left(a + b \cdot \frac{I_{\rho_1}}{I_{\rho_2}} \right) \frac{\pi \cdot d_1^3}{16}} = \frac{M \cdot a}{\left(a + b \cdot \frac{I_{\rho_1}}{I_{\rho_2}} \right) \frac{\pi \cdot d_2^3}{16}} \quad \text{yoki} \quad \frac{I_{\rho_1}}{I_{\rho_2}} bd_1^3 = a \cdot d_2^3$$

hosil bo'ladi. Bu erda $I_{\rho_1} = \frac{\pi \cdot d_1^4}{32} = \frac{\pi(6)^4}{32} = \frac{\pi \cdot 1296}{32}$ va

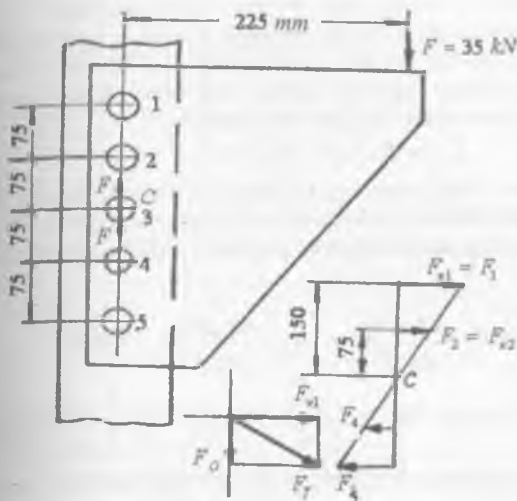
$$I_{\rho_2} = \frac{\pi \cdot d_2^4}{32} = \frac{\pi(5)^4}{32} = \frac{\pi \cdot 625}{32}$$

Sterjenni chap va o'ng qismlarining kesim yuzalarining qutb inertsiya momentlarini hisobga olsak, $\frac{6}{5}b = a$ hosil bo'ladi. $a + b = 3,3M$ tenglikdan
 $b = 1,5M$ va $a = 1,8M$ topamiz.

masala – 8. 5.24 rasmida ko'rsatilgan diametri $d=0,7874 \text{ dyuymli}$ bo'lgan, bir qirqimli parchin mixli birikma $F=35kN$ kuch ta'sirida. Eng xavfli parchin mixdag'i urinma kuchlanishni toping.

Yechish. G' kuchning parchin mixli birikmaning markazi S nuqtiga ko'chiramiz. Bitta chiziqchali kuchlar $M_6 = F\ell$ burovchi momentini hosil qiladi. Parchin mixli birikma M_b momenti ta'sirida bo'ladi. G' kuch ta'siri beshta parchin mix orasida teng tarqaladi.

Har bir parchin mixga $F_0 = F : 5 = 3500 : 5 = 700 \kappa G$ qirquvchi kuch ta'sir qiladi. M_b burovchi momenti ta'sirida har bir parchin



mixda F_k kuchi hosil bo'ladi va u C nuqtadan o'tgan to'g'ri chiziqga perpendikulyar yo'naladi (5.24 - rasm) dan

$$\frac{F_{k1}}{15} = \frac{F_{k2}}{7,5} \text{ va } F_{k1} = 2F_{k2}$$

ni hosil qilamiz va $F_{k1} = F_{k5}$ va $F_{k2} = F_{k4}$ ekanligini aniqlab olamiz.

5.24 - rasm. Buralish va siljishga oid masala.

Birikmani burovchi momenti

$$3500 \cdot 22,5 = 2F_{k1} \cdot 15 + 2F_{k2} \cdot 7,5; \quad 78750 = 4F_{k2} \cdot 15 + 2F_{k2} \cdot 7,5$$

va bu erdan $2F_{k2} = 1050\kappa G$ kuchni hosil qilamiz.

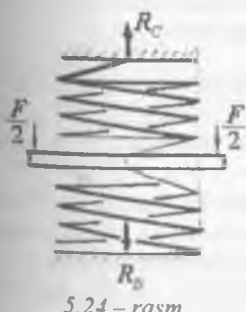
$$F_{k1} = 2F_{k2} = 2100\kappa G$$

Demak, birikmani chetki, parchin mixlari ko'proq xavfli holatda ekan.1 va 5 parchin mixlardagi to'liq kuchni topamiz (5.24 - rasm).

$$F_{s_7} = F_{l_7} = \sqrt{F_{k1}^2 + F_0^2} = \sqrt{(2100)^2 + (700)^2} = 2213\kappa G$$

Chetki parchin mixlarda hosil bo'lidan urinma kuchlanishlarni topamiz:

$$r_{\max} = \frac{F_{l_7}}{A_K} = \frac{2213}{3,14 \frac{d^2}{4}} = \frac{2213}{3,14 \frac{(2)^2}{4}} = 704 \frac{\kappa G}{sm^2}$$



5.24 - rasm.

misol - 9. O'rtacha radiuslari $R = 10 sm$, o'ramning diametri $d=2sm$ bo'lgan po'latdan tayyorlangan ikkita prujinalar S va V nuqtalarda tayanchlarga tayangan. Yuqori prujinada $n_1 = 4$ ta va pastki prujinada $n_2 = 5$ ta o'ramlari bor. Ikkala prujinalar o'rtasiga $F=450 kg$ kuch qo'yilgan plita o'matilgan. Prujinalarga taqsimlangan kuchning miqdori, yuk o'matilgan plitaning vertikal ko'chishi, prujina sterjenida hosil bo'lgan urinma kuchlanish topilsin.

Yechish: F kuch ta'sirida yuqori prujina cho'ziladi, pastki prujina siqiladi. C va B tayanchlarda R_c va R_B reaktsiya kuchlari hosil bo'ladi. R reaktsiya kuchi miqdor jihatdan yuqori prujinadagi cho'zuvchi kuchga, R_B reaktsiya kuchi pastki prujinadagi siquvchi kuchga teng buladi. R_c va R_B kuchlarni topish uchun sistemaning muvozanat tenglamasini tuzamiz.

$$\Sigma y = R_c - F - R_B = 0$$

Bitta tenglamada ikkita noma'lum kuchlar bor. Demak, masala statik noaniq. Shuning uchun qo'shimcha deformatsiya tenglamasini tuzamiz. F kuch ta'sirida yukori prujinaning chuzilishi pastki pogonani siqilishigateng, ya'ni

$$\lambda_1 = \lambda_2$$

$$\text{bu erda } \lambda_1 = \frac{4R_c R^3 n_1}{G \cdot r^4} \text{ va } \lambda_2 = \frac{4R_B R^3 n_2}{G \cdot r^4}, \text{ unda}$$

$$\frac{4R_c R^3 n_1}{G \cdot r^4} = \frac{4R_B R^3 n_2}{G \cdot r^4} \text{ yoki } R_c = R_B \frac{n_2}{n_1} \text{ va } R_c = R_B \frac{5}{4} \quad \text{ifodani}$$

muvozanat tenglamasiga keltirib qo'syak R_B kuchni topamiz:

$$R_B = \frac{F \cdot 4}{9} = \frac{450 \cdot 4}{9} = 200 \kappa G; \quad R_c = \frac{4F}{9} \cdot \frac{5}{4} = \frac{450 \cdot 4}{9} = 250 \kappa G$$

Plitaning vertikal ko'chishini topamiz

$$\lambda = \frac{4R_c R^3 h_1}{G \cdot r^4} = \frac{4 \cdot 250 \cdot 10^3 \cdot 4}{8 \cdot 10^5 \cdot 1^3} = 5 \text{ sm}$$

Yuqori prujina sterjenidagi kuchlanish

$$\tau_1 = \frac{R_c \cdot 4}{\pi \cdot d^3} + \frac{2R_c \cdot R}{\pi \cdot r^3} = \frac{250 \cdot 4}{\pi \cdot (2)^2} + \frac{2 \cdot 250 \cdot 10}{\pi \cdot 1^3} = 1672 \frac{\kappa G}{sm^2}$$

Pastki prujina sterjenidagi kuchlanish

$$\tau_2 = \frac{R_B \cdot 4}{\pi \cdot d^3} + \frac{2R_B \cdot R}{\pi \cdot r^3} = \frac{200 \cdot 4}{\pi \cdot (2)^2} + \frac{2 \cdot 200 \cdot 10}{\pi \cdot 1^3} = 1338 \frac{\kappa G}{sm^2}$$

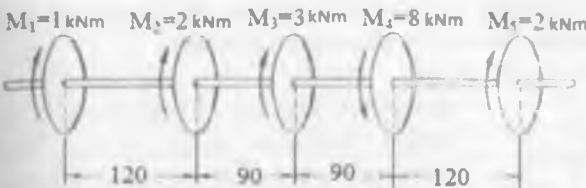
Mustaqil ish uchun misollar

misol-10. Diametri 10 sm va uzunligi 6 m bo'lgan yaxlit po'lat val 4° burchakka buralgan. Eng katta urinma kuchlanish nimaga teng?

javob: 46,5 MPa.

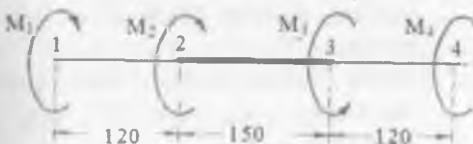
misol-11. Agar ruxsat etilgan kuchlanish $[\tau] = 10 \text{ MPa}$ bo'lsa, diametri 20 mm bo'lgan dumaloq kesimli po'lat sterjenning yuk ko'taruvchanligi $[M_b]$ ni aniqlang. Sterjenning 100 sm uzunlikdagi uchastkasining buralish burchagi qiymati nimaga teng?

misol-12. Po'lat valga beshta shkiv orqali rasmda ko'rsatilgan just kuchlar ta'sir qiladi. $[\tau] = 9000 \text{ N/sm}^2$ bo'lganda val diametrini tanlang va valning o'ngdag'i oxirgi kesimining chapdag'i kesimiga nisbatan buralish burchagini aniqlang. So noga birinchini va to'rtinchini just kuchlarning o'mini almashtiring va shu hol uchun masalani eching. Rasmidagi uzunlik o'chamlari sm larda berilgan.



5.25-rasm.

Javob: 7 sm; 0,366 rad, 7,7 sm; 0,073 rad



5.26-rasm.

Misol-13.(5.26-rasm) Po'lat valga burovchi juft kuchlar qo'yilgan: $M_1 = 114,20 \text{ kNm}$, $M_2 = 271,6 \text{ kNm}$, $M_3 = 500 \text{ kNm}$. Val uchastkalarning uzunliklari sm.da ko'rsatilgan. Valning chetki uchastkalari diametri 40 mm, o'rta uchastkasi diametri 60 mm.

Valning chapki torets kesimi 1 dan hisoblanadigan burovchi moment epyurasini va buralish burchagini o'sish grafigini yasang. Valning har qaysi uchastkasi sirtida urinma kuchlanishlar hamda 2 va 4 kesimlar orasidagi buralish burchagini hisoblang.

Javob: Barcha uchastkalarda 9100 N/sm^2 , $0,0113 \text{ rad}$.

Misol-14. Uzunligi 1,8 m bo'lган ichi bo'sh po'lat val uchlariga $M=6 \text{ kN m}$ momentli ikki juft kuchlar yuklangan. Agar buralish burchagi 2° dan oshishi mumkin bo'lmasa, urinma kuchlanish 7000 N/sm^2 bo'lsa, valning tashqi va ichki diametrlerini aniqlang.

Javob: 90,4 mm, 72,4 mm.

Misol-15. Diametri 90 mm bo'lган val 90 ot kuchi quvvat uzatadi. Agar ruxsat etiladigan urinma kuchlanish 6000 N/sm^2 bo'lsa, valning chegaraviy aylanishlar sonini aniqlang.

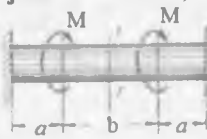
Javob: Kamida 75 ayl/min.

Misol-16 Agar valdag'i urinma kuchlanish 6000 N/sm^2 , uning ichki diametri tashi diametrining 0,6 ulushicha bo'lsa, 100 ayl/min tezlikda 7000 kvt quvvat uzatadigan ichi bo'sh po'lat valning diarnetrini aniqlang.
Javob: 40,5 sm va 24,8 sm.

Misol-17. Turbina quvvatini aniqlaganda u aylantiradigan po'lat valning buralish burchagi o'lchab ko'rildi. Valning 6 m uzunligida bu burchak $1,2^\circ$ ga

teng bo'ladi. Valning tashqi va ichki diametrlari 25 sm va 17 sm. Valning aylanish tezligi 250 ayl/min. Val po'latdan yasalgan. Val kzatadigan quvvatni va unda hosil bo'ladigan urinma kuchlanishlarni aniqlang.

javob: 2160 kvt; 3490 N/sm^2 .



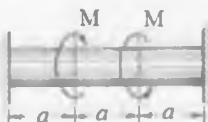
5.27-rasm

misol-18. Uchlaridan qisilgan dumaloq kesimli sterjen bir-biriga teng va bir tomonga yshnalgan juft kuchlar ta'sirida. Ulardan har birining momenti 8000 N m dan (rasmiga qarang).

Stattik aniqlanmaslikni isbot qiling va sterjenning o'rta kesimi 1-1 ning buralish burchagini aniqlang.

Sterjenning diametri 10 sm, har qaysi chekka uchastkaning uzunligi $a = 60 \text{ sm}$, o'rta uchastkaning uzunligi $b = 80 \text{ sm}$.

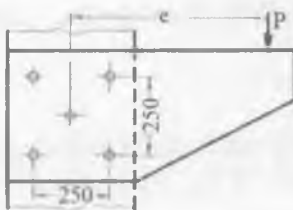
javob: $M_A = M_V = 8000 \text{ N/m}$; 21.



5.28-rasm

misol-19. Uchlaridan qisigan dumaloq kesimli sterjenga bir-biriga teng va qarama-qarshi tomonga yo'nalgan juft kuchlar qo'yilgan. Har qaysisining momenti $10\,000 \text{ Nm}$ dan. Agar ruxsat etiladigan kuchlanish (siljish) 6000 N/sm^2 bo'lsa, sterjenning diametrini aniqlang. Sterjen o'rta kesimining buralish burchagi nimaga teng.

javob: $8,27 \text{ sm}$; 0.

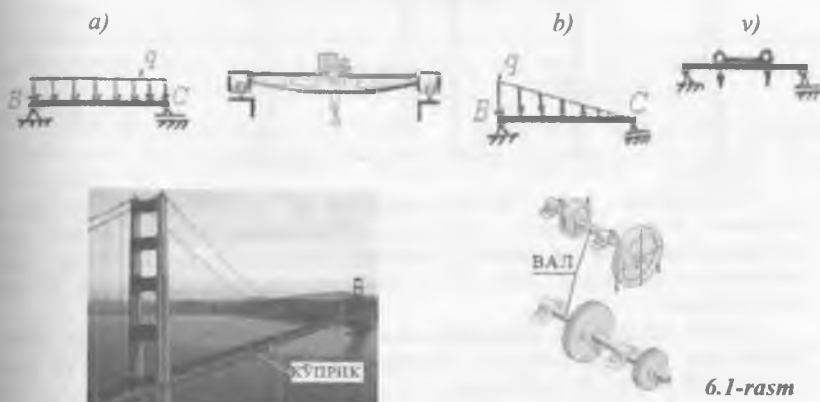


5.29-rasm

misol-20. Qalin po'lat listdan tayyorlangan kronshteyn po'lat ustunga vertikal kuch $R=30000 \text{ N}$ ni rasmida ko'rsatilgan boltli birikma orqali uzatadi. Boltlar yakka qirqilishga ishlaydi, ularning diametri 23 mm. Qirqilishga ruxsat etiladigan kuchlanish 10000 N/sm^2 . Konsolning ruxsat etiladigan o'lchami kancha?

VI - BOB. EGILISH

Amaliyotda – ko'priklarning ramalari, imoratlarning ayrim qismlari, vagonning o'qlari va h.k. egilish deformatsiyasiga uchraydi. Ikki tayanchga tayangan va egilish deformatsiyasiga uchray digan brus – balka deyiladi. Ayrim balkalarning ko'rinishlarini keltiramiz (6.1-rasm): ko'p qavatli uylarning qavatlari orasidagi ulyaydigan balkalar teng taqsimlangan kuchlar bilan yuklangan (6.1 – rasm, a), suv omboridagi platinaning ustuni (uvni bosimi) taqsimlangan kuch intensivligi bilan yuklangan. Bu kuchning qiymati noldan q - gacha o'zgaradi (6.1 – rasm, b). Ko'priknинг asosiy balkasi, lokomativ g'ildiraklarining bosimi ta'sirida bo'ladi (6.1 – rasm, v).



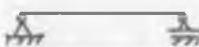
6.1-rasm

Egilishga qarshilik ko'rsatuvchi bruslar balka deyiladi. Ikki tayanchga tayangan va egilish deformatsiyasiga uchraydigan brus – balka deyiladi. Balkalarning turlari:

konsol



ikki tayanchli balka



rama

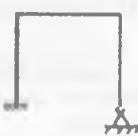
bitta konsolli balka



ikki konsolli balka



uzhuksiz balka



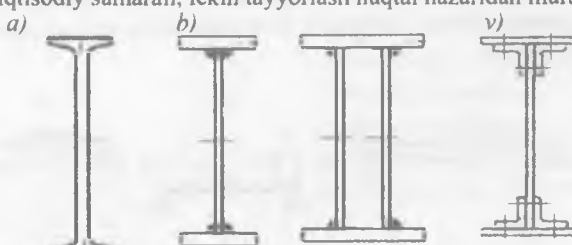
Konsol deb tayanchdan bir tomonda joylashgan balkaning bir qismiga deyiladi. O'zaro bikr yoki sharnirlar vositasida biriktirilgan siniq chiziqli sterjenlar tuma deyiladi. Uzhuksiz balka deb, kamida uchta tayanchga tayanuvchi va oraliq sharnirlar bo'limgan balkaga deyiladi. Ikkita tayanch orasidagi masofa balka proleti deyiladi

Balkalar va balkali konstruktsiyalar. Balka deb, egilishga ishlovchi to'liq kesimli konstruktiv elementlarga aytildi.

Oddiyligi va tayyorlanishdagi kam xarajatligi, konstruktiv shaklini qulayligi va qurilishdagi uncha katta bo'limgan balandligi evvaziga ko'ra balkalar turli yopuvchi inshootlarda, estakadalarda, ko'priklarda va qurilish konstruktsiyalarida keng ko'lamda qo'llaniladi.

Metall balkalarning quyidagi turlari mavjud [32]:

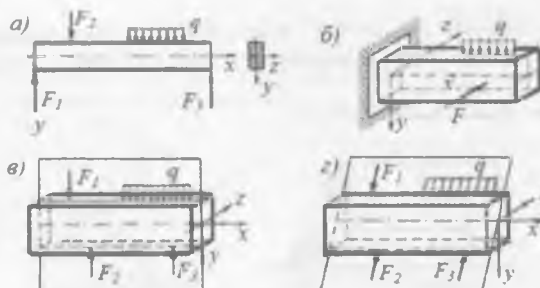
- statik sxemaga ko'ra konsol, uzlukli va uzlucksiz. Metall konstruktsiyalarda erkin tayanuvchi (bikr mahkamlanmagan) uzlukli balkalar ishlataladi. Uzlucksiz va bir prolyotli bikr mahkamlan-gan balkalar metall miqdori yoki sarfi jihatidan iqtisodiy samarali, lekin tayyorlash nuqtai nazaridan murakkab.



Balka kesimlarining turlari:
 a) prokat;
 b) payvandlangan tarkibiy
 v) xomutlangan

Kesimining turiga ko'ra metall balkalar prokat va tarkibiy balkalarga bo'linadi. Prokat balkalar (*rasm, a*) odiy arzon. Lekin prokat balkalar sortamentining kamligi tarkibiy balkalarni tadbiq etishga olib keladi. Tarkibiy balkalar payvandlangan (*rasm, b*) va boltli yoki xomutlangan (*rasm, v*) shaklda hosil qildinadi

Egilish nazariyasini o'rGANISH uchun egilish gepotezalarini bilish kerak. Bu gepotcilar egilishga ishlovchi konstruktsiyalarni mustahkamlikka va bikrlikka tekshirishda amaliy ahamiyatga ega



Egilishning turlari:
 a) taqi kuchlar;
 b)fazoviy egilish;
 v) tekis to'g'ri egilish
 g)tekis qayshiq egilish

Egilish deb, sterjenni shunday deformatsiyalanishiga aytildik, bunda tashqi kuchlar (to'planma, taqsimlangan, juft kuch) uning bo'ylama o'qiga perpendikulyar ta'sir etadi.

Tashqi kuchlarni qo'yilish usuliga ko'ra egilishni turli shakllari mavjud. Yukla turli tekisliklarda ta'sir qilsa fazoviy egilish deyiladi (*rasm, b*). Agar tashqi kuchlar bir tekislikda ta'sir qilsa tekis egilish deyiladi. Tashqi kuchlarning ta'sir chizig'i birorta bosh markaziy o'qlardan o'tsa tekis to'g'ri egilish deyiladi (*rasm, c*). Tashqi kuchlarning ta'sir chizig'i birorta bosh markaziy o'qlarda joylashmasi

tekis qiyshiq egilish deyiladi (rasm, b).

Fazoviy va tekis qiyshiq egilishda balkaning ko'ndalang kesim yuzasida ikkita eguvchi moment va ikkita ko'ndalang kuchlar hosil bo'ladi. Tekis to'g'ri egilishda ikkita ichki kuch faktori eguvchi moment va ko'ndalang kuch hosil bo'ladi. Ushbu bobda tekis to'g'ri egilish o'rganiladi.

tekis egilish gepotezalari:

1. Balka kesimining, hech bo'limganda bitta simmetriya o'qi bor.
2. Barcha tashqi kuchlar balkaning simmetriya o'qi tekisligida joylashgan.
3. Balkaga ta'sir etuvchi barcha kuchlar, shu jumladan reaktsiya kuchlari ham simmetriya o'qi tekisligida yotganligi uchun, balkaning egilgan o'qi ham shu tekislikda yodadi. Bunday egilish tekis egilish deyiladi.

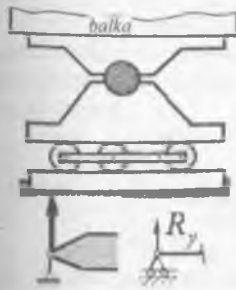
6.1.Tayanch va tayanch turlari

Jism harakatini chekllovchi sabab bog'lanish deyiladi. Bog'lanishlar tayanch vazifasini bajaradilar. Tayanchlar imoratlarning asoslari, valni dvigatel korpusiga, shkiv va yulduzchalarini valga o'matishda va h.k larda hosil bo'ladi.

Sharnirli tayanchlar to'g'risida tushuncha. Sharnirli tayanchlar ko'priksozlik va qurilish konstruktsiyalarida, mashina va mexanizmlarda keng qo'llaniladi.

Uch xil sharnirli tayanch turlari mavjud:

- 1.Qo'zg'aluvchan sharnirli tayanch.
2. Qo'zg'almas sharnirli tayanch.
3. Bikr mahkamlangan tayanch.

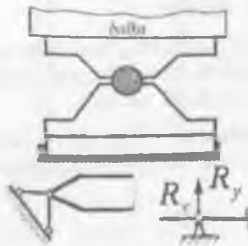


6.2-rasm. Qo'zg'aluvchan sharnirli tayanch

1) **qo'zg'aluvchi sharnirli tayanch,** sterjenning tayanch kesimini sharnir uqi atrofida aylanish burchagini va sterjenning gorizontall tekislikdagi harakatini cheklamaydi. Bir chiziqli bog'lanish yoki qo'zg'aluvchan sharnirli tayanch, bog'lanish tekisligida tayanch nuq-tasining harakatini cheklaydi. Tayanch kesim ikkita erkinlik darajaga ega, bitta reaktsiya hosil bo'ladi (6.2-rasm)

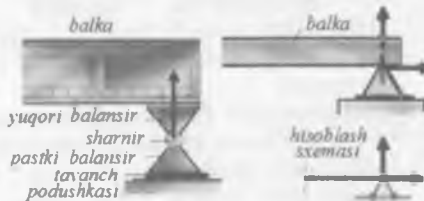


Qo'zg'aluvchan
sharnirli
tayanch
konstruktsiyasi



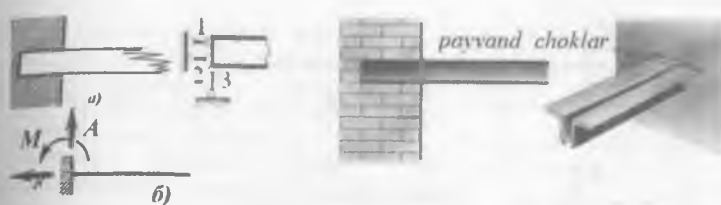
6.3-rasm. Qo'zg'almas sharnirli tayanch

2) quzg'almas sharnirli tayanch. Ikki bog'lanishli tayanch yoki qo'zg'almas sharnirli tayanch sterjen tayanch kesimining vertikal va gorizonttal tekisliklardi harakatini chegaralaydi; kesimni aylanish burchagini cheklamaydi. Bu tayanchda vertikal va gorizonttal reaksiya kuchlari hosil bo'ladi. Tayanch kesim bitta erkinlik darajaga ega va unda ikkita reaksiya kuchi hosil bo'ladi



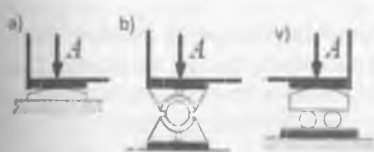
Qo'zg'almas
sharnirli tayanch
konstruktsiyasi

3) Quzg'almas bikr mahkamlangan tayanch. Uch bog'lanishli tayanch hamma erkinlik darajani cheklaydi. Sterjen 3 vertikal tekislikdagi harakatni, 1 va 2 sterjenlar esa gorizonttal tekislikdagi harakatni va kesimni aylanishini cheklaydi. Tayanchda uchta reaksiya vertikal, gorizonttal reaksiya kuchlari va reaktiv moment hosil buladi (6.4-rasm, a-b).



6.4-rasm. Bikr mahkamlangan tayanchlar

Fermalarni tayanchlarida juda katta reaksiyalar hosil bo'ladi, ularni ferma uzelining o'qi bo'yicha qabul qilinmasa qo'shimcha kuchlanishlar yuzaga keladi.

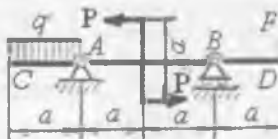


Ko'p proletli fermalarning maxsus tayanchlari [32].

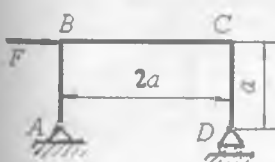
a) tangentsial; b) balansirli;
v) katokli.

Reaksiyalarni aniq uzatish uchun tangaentsial va maxsus balansirli tayanchlardan foydalanish lozim (rasm, a-b). Prolyot uzunligi 60...90 m. bo'lsa fermani salqiligi va temperaturaviy deformatsiya natijasida tayanchlarni o'zarो siljishi kuzatiladi. Bunda gorizontal ko'chishni cheklamaslik uchun bitta tayanch katokli bo'lishi mumkin (rasm, v).

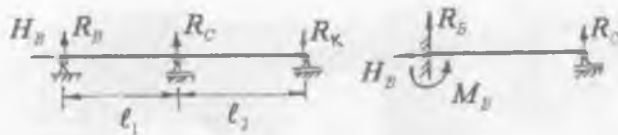
Statikaning tenglamalari orqali reaksiya kuchlarni topish mumkin bo'lgan balkalar statik aniq sistemalarga kiradi. Bunday masalalarga ko'p prolyotli va oraliq sharnirlar ham misol bo'ladi.



Ikki tayanchli balkalar

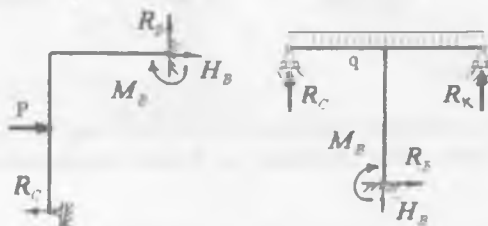


Ikki tayanchli va oralik sharnirlar ramalar



6.5 – rasm
Statik
noaniq

balkalar va ramalalar

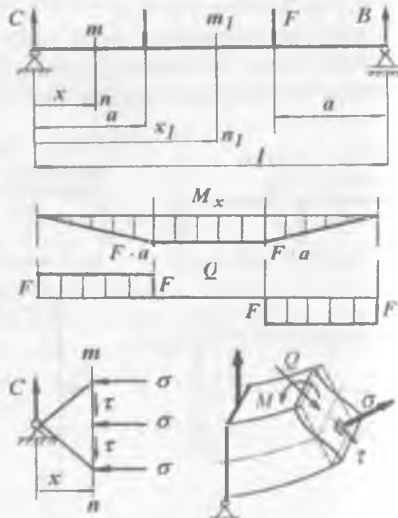


Ayrim hollarda balka bir nechta tayanchlarga tayanishi mumkin. Bu xildagi balkalarda reaktsiya kuchlarining soni kamida to'rtta bo'ladi va barcha reaktsiya kuchlari bir tekislikda joylashganligi uchun, butun sistemaning muvozanat holatini ifodalovchi statikaning uchta tenglamasini tuzish mumkin. Bu balkalarda reaktsiya kuchlari soni statikaning tenglamalari sonidan ko'p (6.5 – rasm). Shuning uchun bu balkalarda reaktsiya kuchlarini statikaning tenglamalari bilan topib bo'lmaydi. Bunday balkalar statik noaniq. Statik noaniq masalalarni Yechish usuli, keyinroq maxsus mavzu sifatida ko'rib chiqiladi.

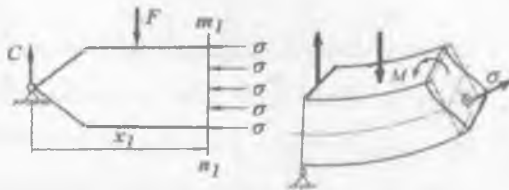
6.2. EGILISHDA NORMAL KUCHLANISH

Egilishda brusning ko'ndalang kesim yuzasida eguvchi moment va ko'ndalang kuch hosil bo'ladi. O'zaro teng F kuchlar bilan yuklangan balkani $m - n$ kesimida, pastga yo'nalgan ichki kuch Q ta'sir qiladi. Ko'ndalang kuch Q balkani kesilgan yuzasiga, $m - n$ tekislikka urinma bo'lib yo'nalgan. Shuning uchun bu yuzada urinma kuchlanish τ hosil bo'ladi (6.6 – rasm).

Vertikal tekislikda joylashgan C va Q kuchlari balkani x oraliqda $M = Sx$ just kuch momentini hosil qildi. Just kuch momenti M balkani $m-n$ tekisligidagi – kesim yuzasida normal kuchlanishlar σ – ni keltirib chiqaradi.



Demak, balkani C tayan chidan x masofada joylashgan kesim yuzasida τ va σ kuchlanishlari hosil bo'lib, bu kuchlanishlar balkani bir kesimidan ikkinchi kesimiga uzatila-di (6.6 – rasm).

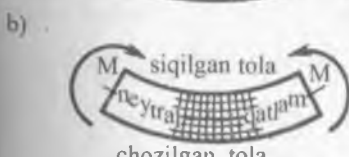
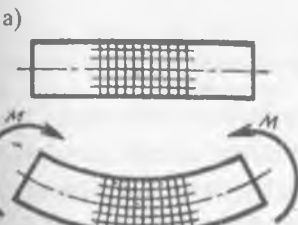


6.6 – rasm. Egilishda ichki kuch faktorlari va kuchlanishlar.

Berilgan balkaning $m - n$ kesimidan normal kuchlanish σ -ni topish uchun, shu kesimindagi urinma kuchlanishni qiymatini, uning kesim yuzasidagi tarqalish xususiyatini bilishimiz kerak. Kesim yuzasidagi τ noma lum bo'lganligi uchun, normal kuchlanishni balkaning bu kesimidagi kuchlanganlik holatidan foydalaniib topa olmaymiz, chunki σ va τ o'zaro bog'lanishda. Demak, ikkita kuchlanishdan bittasini topish uchun, ularning bittasi berilgan bo'lishi yoki nolga teng bo'lishi kerak. Balkaning x_1 oraliq'idagi $m_1 - n_1$ kesimida $Q = C - F = F - F = 0$ yoki $\tau = 0$ bo'lganligi uchun bu kesimda faqat $M = Fa$ eguvchi moment yoki normal kuchlanishlar σ ta sir qiladi. Egilishdagi kuchlanish holatining ko'ndalang kuch nolga teng bo'lgan ($Q=0$) xususiy holi, sof egilish deyiladi.

Demak, urinma kuchlanish nolga teng bo'lib, faqat normal kuchlanishlar ta'siridagi balkani deformatsiyasi – sof egilish ekan. Normal kuchlanishni sof egilish holatidan foydalaniib topamiz.

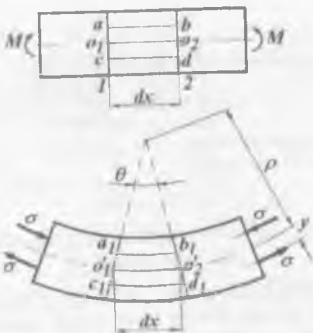
Buning uchun quydagi gipotezalardan foydalananamiz:



6.7 – rasm. Neytral qatlarni aniqlashga oid sxema

tola cho'zilmaydi ham, sizilmaydi ham. Shuning uchun $O_1O_2 = O'_1O'_2 = dx$, ya'ni O_1O_2 tolani uzunligi o'zgarmaydi. Balkaning deformatsiyalanishida, o'z uzunligi ni o'zgartirmaydigan material tolasi neytral qatlarni deyiladi. Neytral qatlarni bilan ko'ndalang kesimning kesishishidan hosil bo'lgan chiziq neytral o'q d'yildi.

6.7 – rasm (a)dan cd tolaning nisbiy uzayishini topamiz:



$$\varepsilon = \frac{\Delta_{cd}}{cd} = \frac{c_1 d_1 - cd}{cd} = \frac{c_1 d_1 - dx}{dx} \text{ Bu erda}$$

$$dx = \theta \cdot \rho \cdot \text{Unda} \quad \varepsilon = \frac{y}{\rho} \quad \text{ifodani}$$

$$\sigma = \varepsilon \cdot E$$

Guk qonuniga keltirib qo'yilsa

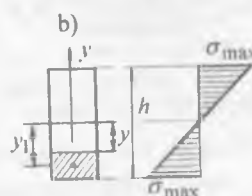
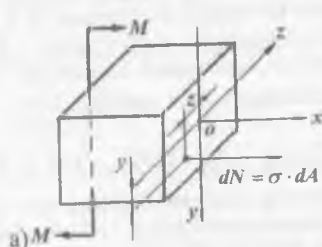
$$\sigma = \frac{y}{\rho} E \quad (6.6) \text{ hosil bo'ldi}$$



6.8 – rasm. Egilish. a) egilish xarakteri;
b) eguvchi moment va normal kuchlanishni
targalish qonuniyati

Demak, normal kuchlanish kesimining markazida, ya'ni neytral o'qda nolga teng va kesimning sirtida, ya'ni kesimning neytral o'qdan eng uzoqda joylashgan nuqtasida katta qiymatga erishadi. (6.6) formuladan σ ni topish uchun, uni tashqi kuch yoki eguvchi moment bilan bog'lashimiz (6.9-rasm,a) kerak. Buning uchun, balkadan ajratib olingan dx uzunlikdagi kesimini tashqi kuch momenti M va ichki bo'ylama kuch dN ta'siridagi muvozanatini statikaning tenglamalari yordamida tekshiramiz. Sof egilishda – kesim yuzasidagi elementar dN bo'ylama kuchlarining ta'sir etuvchisi nolga teng bo'ladi

$$\sum_A X = N = \int \sigma \cdot dA = 0 \quad \text{va} \quad \int_A \frac{E}{\rho} y dA = 0$$



6.9 – rasm. Sof egilishdan ajratib olingan balka bo'lagining (a) yuklanish sifatasi; b) to'g'ri turtburchak yuzasida normal kuchlanish epyurasi

284

Integral ostidagi $\frac{E}{\rho}$ qiymat o'zgarmas miqdor va nolga teng bo'lmasligi uchun, uni integral ishorasi oldiga chiqaramiz va butun tenglikni shu qiymatga qisqartiramiz. Unda integral $\int y dA = 0$ kesim yuzasining neytral o'qi oz ga nisbatan statik momenti bo'lib, nolga teng. Shuning uchun oz o'q kesim yuzasining og'irlik markazidan o'tadi. Ichki bo'ylama kuch va moment M kesim yuzasini y va Z o'qlariga proektsiya bermaydi. Shuning uchun $\sum Z = 0; \sum y = 0$ tenglamalaridan foydalanmaymiz. Shuningdek, dN va M ni kesim yuzasini Ox va Oy o'qlariga nisbatan momentlari ham ayniyatga aylanganligi uchun $\sum M_x = 0, \sum M_y = 0$ tenglamalaridan foydalanmaymiz. Unda $\sum M_z = 0$ tenglamani tuzamiz:

$$M_z = \int_A dN \cdot y = \int_A \sigma \cdot dA \cdot y = \int_A \frac{E}{\rho} y^2 dA = \frac{E}{\rho} \int_A y^2 dA$$

Bu ifodadagi integral balka kesim yuzasining Oz o'qga nisbatan inertsiya momentini bildiradi - $\int_A y^2 dA = I_z$. Unda $M_z = \frac{E}{\rho} \cdot I_z$ ni hosil qilamiz. Bu

tenglikdan $\frac{1}{\rho} = \frac{M_z}{EI_z}$ - neytral qatlam egriliginini (6.6) formulaga qo'yib egilishda normal kuchlanish formulasini topamiz

$$\sigma = \frac{M_z \cdot y}{l_z} \quad (6.7)$$

(6.7) formula balka ko'ndalang kesim yuzasida neytral o'qdan y-masofadagi gorizontall chiziqdagi (6.9 - rasm, b) yotuvchi istalgan nuqtadagi kuchlanishni topish uchun ishlatalidi.

Agar, $\gamma = \gamma_{max}$ va $M_z = M_{max}$ bo'lsa

$$\sigma = \sigma_{\max} = \frac{M_{\max} \cdot Y_{\max}}{I_z} \quad \text{eku} \quad \sigma_{\max} = \frac{M_{\max}}{\frac{I_z}{y_{\max}}} = \frac{M_{\max}}{W_z} \quad (6.8)$$

bu erda, W_z – kesimning *oz* o'qqa nisbatan qarshilik momenti

Egilishda normal kuchlanish bo'yicha mustahkamlik shart

$$\sigma_{\max} = \frac{M_{\max}}{W} \leq [\sigma] \quad (6.9)$$

(6.9) formula asosida, materiallar qarshiligidagi uch xil masala echilishi

mumkin.

1. Konstruktsiyaga qo'yilishi mumkin bo'lgan yukning qiymati topiladi:

$$M_{\max} = [\sigma] \cdot W$$

2. Konstruktsiyaning kesimi tanlanadi: $W \geq \frac{M_{\max}}{[\sigma]}$

3. Konstruktsiyaning mustahkamlik sharti tekshiriladi:

$$\sigma_{\max} = \frac{M_{\max}}{W} \leq [\sigma]$$

Agar, balkaning materiali cho'zilish va siqilishga har xil qarshilik ko'rsatsa, ya'ni $[\sigma]_u \neq [\sigma]_c$ bo'lsa, unda

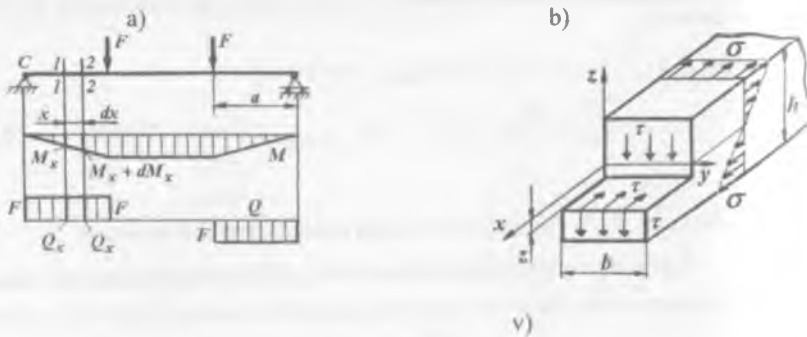
$$\sigma_{\max,u} = \frac{M_{\max}}{W_1} \leq [\sigma]_u \quad \text{da} \quad \sigma_{\max,c} = \frac{M_{\max}}{W_2} \leq [\sigma]_c \quad (6.10)$$

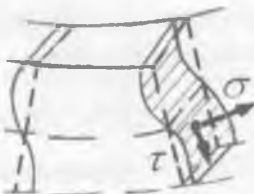
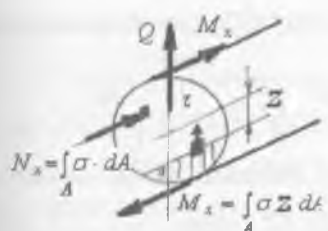
6.3. EGILISHDA URINMA KUCHLANISH

Shakli to'g'ri burchakli kesimning bo'ylama o'qiga perpendikulyar bo'lgan ko'ndalang yuzadagi urinma kuchlanishni topamiz (6.10 - rasm). Sof egilishdan farqli bu yuzada normal σ va urinma kuchlanish τ hosil bo'ladi, chunki balkani shu oraliq'ida eguvchi moment ham, ko'ndalang kuch ham nolga teng emas. Urinma kuchlanish to'g'risida quyidagi fikrlami yuritamiz:

1. Ko'ndalang kuch Q barcha ichki urinma kuchlanishlarning teng ta'sir qiluvchisi. Urinma kuchlanishlarning yo'naliishi ko'ndalang kuch yo'naliishi bilan mos tushadi.

2. Kesimning neytral o'qidan bir xil masofada joylashgan yuzalardagi urinma kuchlanishlar o'zaro teng (6.10-rasm, b). Urinma kuchlanishlarning juftlik alomatiga ko'ra, balkani ko'ndalang kesimiga perpendikulyar bo'lgan bo'ylama kesimida urinma kuchlanishlar hosil bo'ladi (6.10- rasm, b), ya'ni: $\tau = -\tau^1$.





6.10 – rasm. Egilishda urinma kuchlanish: a) balka uchun ko'ndalang kuch va eguvchi moment epyuralari; b) urinma kuchlanishlar; v) egilishdu balka kesim yuzasining egrilanishi.

Demak, balkaning bo'ylama o'qi yo'nalishida ham, urinma kuchlanishlar

τ^1 hosil bo'ladi, ular balka tolalarini bir-biriga nisbatan siljitadi.

3.Tekis ko'ndalang egilish gipotezasiga asosan, deformatsiyagacha tekis bo'lgan ko'ndalang kesim yuzalar deformatsiyadan keyin qisman egrilanadi (6.10 – rasm, v). Ko'ndalang kesimning bunday qisman egrilanishi normal kuchlanishning tarqalish qonuniyatiga ta'sir qilmaydi. Shuning uchun egilishda urinma kuchlanishni topishda tolalarning siljishi gipotezasi hisobga olinmaydi. Egilishda urinma kuchlanish formulasini keltirib chiqarish uchun, balkani C tayanch nuqtasidan x va kesimning neytral qatlamidan Z masofada joylashgan dx elementar uzunlikdagi qismini ajratib olamiz (6.11 – rasm). Ajratib olingan to'g'ri burchakli elementning gorizontal $BB_1O_1^1O_2^1$ yuzasi τ^1 urinma kuchlanishlari; vertikal BKO_1^1I yuzasi N_1 va unga parallel yuzada N_2 ichki bo'ylama kuchlari ta'sirida bo'ladi (6.11 – rasm). $BB_1O_1^1O_2^1$ yuzadagi τ^1 urinma kuchlanishlarining teng ta'sir qiluvchisi $dT = \tau b dx$ balkani bo'ylama o'qiga parallel yo'naladi. BO_1^1 qirraga ta'sir qilayotgan N_1 bo'ylama kuch BKO_1^1I yuzadagi σ_x normal kuchlanishlarning teng ta'sir qiluvchisi, ya'ni:

$$N_1 = \int_0^A \sigma_x dA = \frac{M_x}{I_y} \int_0^A Z_1 dA$$

Bu erda integral $\int_0^A Z_1 dA$ balkaning neytral qatlamidan Z masofada

ajratib olingan BKO_1^1I yuzanining neytral o'q u - ga nisbatan statik momenti,

ya'ni: $S_y^0 = \int_0^A Z_1 dA$. Unda $N_1 = \frac{M_x}{I_y} \cdot S_y^0$ hosil bo'ladi $B_1O_2^1$ qirraga ta'sir

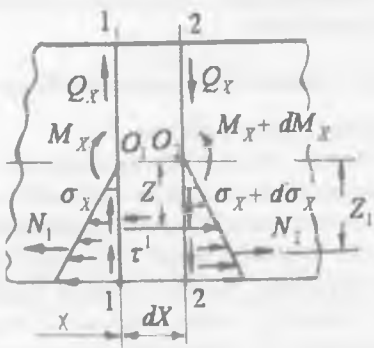
qilayotgan N_2 ichki bo'yla ma kuch $\sigma_x + d\sigma_x$ normal kuchlanishlarning teng ta'sir qiluvchisi, ya'ni:

$$N_2 = \int_0^A (\sigma_x + d\sigma_x) dA = \frac{M_x + dM_x}{I_y} \int_0^A Z_1 dA = \frac{M_x + dM_x}{I_y} S_y^0$$

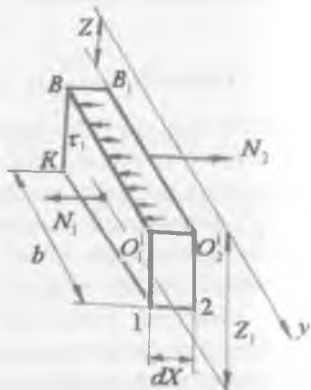
Ajratilgan olingan elementni muvozanat shartini yozamiz:

$$\sum x = N_1 + dT - N_2 = 0 \quad \text{va} \quad \frac{M_x}{I_y} \cdot S_y^0 + \tau^1 b dx - \frac{(M_x + dM_x)}{I_y} \cdot S_y^0 = 0$$

a)



b)



6.11 – rasm. Balkaning elementar oraliqdagi (a) ichki kuch faktorlari va cho'zvchi kuchlanishlar; b) urinma kuchlanishni topish sxemasi.

Ayrim soddalashtirishlardan keyin: $\tau = \frac{dM_x}{dx} \cdot \frac{S_y^0}{I_y \cdot b}$ hisol bo'ladi.

Agar, $\frac{dM_x}{dx} = Q_x$ (Juravskiy formulasi) differentsiyal bog'lanishni hisobga

olsak, egilishda urinma kuchlanish formulasi kelib chiqadi.

$$\tau = \frac{Q_x \cdot S_y^0}{I_y \cdot b} \quad (6.11)$$

bu erda: S_y^0 – ajratib olingan elementning BKO_1 l yuzasini, ya'ni balkaning neytral o'qidan Z masofadan pastda va balka kesimining chetki 1 nuqtasidan yuqorida qolgan BKO'_1 l yuzasini neytral o'q - ga nisbatan statik momenti;

b - kuchlanishi tekshirilayotgan nuqta joylashgan kesim yuzasining eni

I_y - balka kesim yuzasining neytral o'q u - ga nisbatan inertsiya momenti.

(6.11) formula Juravskiy formulasi deyiladi. Demak, egilishda urinma kuchlanish ($Q_x = \text{const}$; $I_y = \text{const}$) kesimning balandligi bo'ylab kuchlanishi tekshirilayotgan nuqtaning o'rniga va shu nuqta joylashgan kesimning eni b -ga bog'liq. Amaliyotda, hamma konstruktsiya qismlarining kesimi ham balandligi bo'ylab o'zgarmas enli bo'lavermaydi. O'zgaruvchan enli kesimlarda τ , kesim enining o'zgarish nuqtasida ikki xil qiymatga ega bo'ladi.

(6.11) formulaga asosan, τ kesimning balandligi bo'ylab egri chiziqli qonuniyat bilan o'zgaradi. 6.11 – rasmdan ko'rinishicha Z masofa qanchalik kichik bo'lsa, BKO_1 yuza shuncha kattalashadi, unda yuzani u - o'qiga nisbatan statik momenti ham qatnashadi. Demak, kuchlanishi tekshirilayotgan nuqta neytral o'qqa yaqinlashsa, undagi urinma kuchlanish τ ham kattalashadi. Agar, kuchlanishi tekshirilayotgan nuqta B yoki O_1 nuqtalar neytral o'qdan eng uzoqda joylashsa, ya'ni B nuqta O_1 nuqta bilan ustma-ust tushsa, unda ajratilgan elementning yuzasi nolga teng bo'ladi, BKO_1 yuzani u - o'qiga nisbatan statik momenti ham nolga teng bo'ladi.

Demak, $Z = Z_{\max}$ nuqtada, ya'ni kesimning chetki nuqtasida urinma kuchlanish nolga teng bo'ladi.

Urinma kuchlanish kesimning neytral qatlamida eng katta qiymatga va kesimning chetki nuqtalarida nol qiymatga erishadi.

To'g'ri to'rtburchak kesimida urinma kuchlanishning tarqalish qonuniyatini

$$\text{aniqlash uchun Juravskiy formulasidan foydalanamiz} \quad \tau = \frac{QS_v^0}{I_y b}$$

bu erda: S_v^0 - to'g'ri to'rtburchakning kesim yuzasidan ajratilgan $BKCD$ shtrixlangan yuzanining u - o'qiga nisbatan statik

$$\text{momenti, ya'ni: } S_v^0 = A_{BKCD} \cdot Z_1 \quad (6.10-\text{rasm})$$

$$A_{BKCD} = \sigma \left(\frac{h}{2} - Z \right) \text{-ajratilgan VKSD shtrixlangan yuza;}$$

$$Z_1 = \frac{h}{2} - \frac{1}{2} \left(\frac{h}{2} - Z \right) \text{-ajratilgan BKCD yuzanining og'sirlik markazidan neytral}$$

o'qigacha bo'lgan masofa.

$$\text{Unda } S_y^0 = b \left(\frac{h}{2} - Z \right) \left[\frac{h}{2} - \frac{1}{2} \left(\frac{h}{2} - Z \right) \right] = \frac{b}{2} \left(\frac{h^2}{4} - Z^2 \right)$$



6.12-rasm. Urinma kuchlanishni targalish qonuniyati

$I_y = \frac{bh^3}{12}$ - to'g'ri to'rtburchakning markaziy o'qiga nisbatan inertsiya momenti.

$$\tau = \frac{Q \cdot \frac{b}{2} \left[\frac{h^2}{4} - Z^2 \right]}{\frac{bh^3}{12} \cdot b} = \frac{6Q \left[\frac{h^2}{4} - Z^2 \right]}{bh^2} \quad (6.12)$$

Bu erda, agar $Z = 0$ bo'lsa $\tau = \tau_{\max} = \frac{3Q}{2bh}$
va $Z = \frac{h}{2}$ da $\tau = 0$

(6.12) formulada Z masofa ikkinchi darajada, shuning uchun τ to'g'ri to'rtburchakning balandligi bo'ylab parabola qonuniyati bilan o'zgaradi, to'g'ri to'rtburchakning chetki nuqtalarida τ -nol qiymatga va neytral qatlamida eng katta qiymatga erishadi.

Normal va urinma kuchlanish formulalarini turli kesimlarga tadbiq etish

1. Uchburchak. Kesimning 1 va 2 nuqtalari neytral o'qdan uzoqda bo'lib, 1 nuqta cho'zilish va 2 nuqta siqilish tolalarida joylashgan.

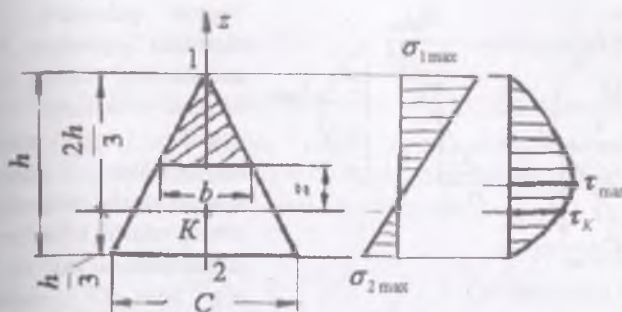
Mustahkamlik shart: $\sigma_{1\max} = \frac{M_{\max}}{W_x^1} \leq [\sigma]; \quad \sigma_{2\min} = \frac{M_{\max}}{W_x^{11}} \leq [\sigma]$

buerda: $W_x^1 = \frac{bh^2}{24}$ va $W_x^{11} = \frac{bh^2}{12}$ qarshilik momentlar

Uchburchakning kesimida urinma kuchlanishning tarqalish qonuniyatini aniqlash uchun Juravskiy formulasidan foydalanamiz: $\tau = \frac{QS_y^0}{I_y b}$

Uchburchakdan ajratilgan (shtrixlangan) yuzaning U - o'qqa nisbatan statik momentini yozamiz: $S_y^0 = \frac{b}{3} \left(\frac{2h}{3} - Z \right) \left(\frac{h}{3} + Z \right)$

*Uchburchak
yuzasining
balandligi
bo'yicha normal
va urinma
kuchlanishlarni
o'zgarish
epyurasi*



Uchburchakning og'irlik markazidan o'tgan o'q y -ga nisbatan inertsiya momenti $I_y = \frac{ch^4}{36}$ va statik momentni Juravskiy formulasiga keltirib qo'yamiz:

$$\tau = \frac{QS_y^0}{I_y b} = \frac{Q \cdot \frac{b}{3} \left(\frac{2h}{3} - Z \right) \left(\frac{h}{3} + Z \right)}{\frac{ch^3}{36} b} = \frac{12Q \left(\frac{2h}{3} - Z \right) \left(\frac{h}{3} + Z \right)}{ch^3}$$

bu erda: $-\frac{h}{3} \leq Z \leq \frac{2h}{3}$.

Agar: $Z = -\frac{h}{3}$ bo'lsa, $\tau = 0$ (pastki chetki nuqta)

$Z = \frac{2h}{3}$ bo'lsa, $\tau = 0$ (yuqori chetki nuqta)

$Z = 0$ bo'lsa, $\tau = \frac{8}{3} \cdot \frac{Q}{ch} = \tau_k$

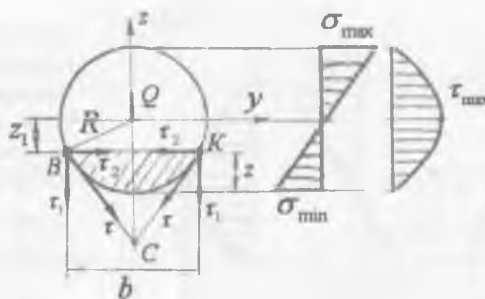
$Z = \frac{h}{6}$ masofada $\tau = \tau_{max} = \frac{3Q}{ch}$

Uchburchak kesimida urinma kuchlanish neytral qatlamdan

$\frac{h}{6}$ masofada joylashgan nuqtada maksimal qiymatga erishadi.

2. Doiraviy kesim. Kesimning qarshilik momenti: $W_x = W_y = \frac{\pi \cdot d^3}{32}$

Mustahkamlilik sharti $\sigma_{max} = \frac{32M_{max}}{\pi \cdot d^3} \leq [\sigma]$



*Doiraviy kesimning diametri
balandligi bo'yicha normal va urinma
kuchlanishlarni o'zgarish epyurasi*

Kesimning B va K nuqtalaridagi gorizontal urinma kuchlanishlari (τ_2) o'zaro muvozanatlashadi, τ_1 urinma kuchlanishlarning yig'indisi esa ko'ndalang kuch Q ga tenglashadi. Demak, doiraviy kesimdagagi τ_1 urinma kuchlanishlari to'g'ri burchakli kesimdagagi to'liq urinma kuchlanish τ bilan bir xil funktsiyada bo'ladi. Shuning uchun, doiraviy kesimlardagi urinma kuchlanishni topish uchun

$$\text{ham Juravskiy formulasidan foydalanamiz, ya'ni: } \tau = \frac{QS_y^0}{I_y b} \quad (6.13)$$

bu erda: S_y^0 - doiraviy kesimning Z - masofa va kesimning chetki nuqtasi bilan chegaralangan ajratilgan yuzasining neytral o'qqa nisbatan statik momenti.

$$S_y^0 = \frac{2}{3}(R^2 - Z^2)^{\frac{3}{2}} \quad \text{ba} \quad b = 2\sqrt{(R^2 - Z^2)}$$

$$\text{Doiraviy kesimning neytral o'qqa nisbatan inertsiya momenti } I_y = \frac{\pi \cdot R^4}{4},$$

ajratilgan yuzaning statik momenti S_y^0 va kesimning eni b ni (6.13) formulaga

$$\text{qo'yamiz: } \tau = \frac{Q \frac{2}{3}(R^2 - Z^2)^{\frac{3}{2}}}{\frac{1}{4}\pi \cdot R^4 \cdot 2\sqrt{(R^2 - Z^2)}} = \frac{4Q}{3\pi \cdot R^2} (R^2 - Z^2) \quad (6.14)$$

bu erda $0 \leq Z \leq \pm R$ oraliqda o'zgaradi.

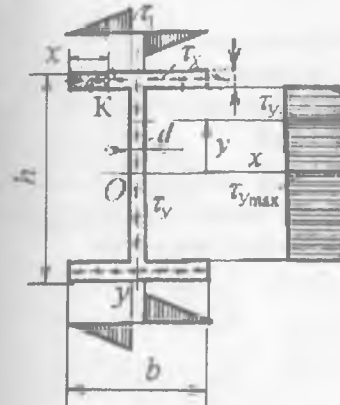
Neytral qatlamdan Z_1 masofada joylashgan B, K nuqtalaridagi urinma kuch lanishni topamiz. Bu nuqtalar dagi urinma kuchlanishlar doiraviy kesimning shu nuqtasidagi urinma tekislik bilan bir xil yo'nalishda bo'ladi va Z o'qi bilan C nuqtada kesishadi. B va K nuqtalaridagi τ urinma kuchlanishlarni τ_1 va τ_2 kuchlanishlariiga ajratish mumkin.

$$\text{Agar, } Z = 0 \text{ bo'lsa } \tau = \tau_{max} = \frac{4Q}{3\pi \cdot R^2} \text{ ya'ni urinma kuchlanish}$$

doiraviy kesimning neytral o'qida maksimal qiymatga erishadi.

Agar, $Z = R$ bo'lsa $\tau = 0$ ya'ni doiraviy kesimning chetki nuqtasida urinma kuchlanish nolga teng bo'ladi. (6.14) formulaga asosan, τ doiraviy kesimni diametri bo'ylab parabola qonuni bilan o'zgardi.

3.Qo'shtavrli kesim



Qo'shtavr kesimining balandligi va polkasining eni bo'yicha urinma kuchlanish epyurasi

Qo'shtavrning supachasi neytral o'qdan uzoq masofada joylashganligi uchun, bu yuza asosan normal kuchlanishlar ta'sirida bo'ladi. Qo'shtavr devoriy qismidan neytral o'qqa yaqinlashgan sayin normal kuchlanish kichiklashib keladi va neytral o'q ustida $\sigma = 0$. Qo'shtavr devorida urinma kuchlanishni topish uchun ushbu nuqta bilan kesimning chetki nuqtasi orasidan ajratib olingan yuzanining statik momentini yozamiz.

$$S_x^0 = bt \left(\frac{h-t}{2} \right) + \frac{d}{2} \left(\frac{h_t^2}{4} - v^2 \right)$$

Bu yerda, $h_t = h - 2t$ qo'shtavr devorining balandligi

$$\text{Urinma kuchlanish: } \tau = \frac{Q}{2I_x d} \left[bt(h-t) + d \left(\frac{h_t^2}{4} - v^2 \right) \right] \quad (6.16)$$

$$\text{bu erda: } I_x = \frac{d \cdot h_t^3}{12} + 2 \left[\frac{b \cdot t^3}{12} + bt \left(\frac{h-t}{2} \right)^2 \right] \quad \text{- qo'shtavr kesimining}$$

neytral o'q x - ga nisbatan inertsiya momenti,

d - kuchlanish tekshirilayotgan nuqta joylashgan kesimning eni.

(6.16) formulaga asosan, qo'shtavr devorining balandligi bo'ylab τ parabola qonuniyiati bilan o'zgaradi.

$$\text{Agar, } u = 0 \text{ bo'lsa } \tau = \tau_{\max} = \frac{Q}{2I_x d} \left[bt(h-t) + \frac{d^2}{4} \right] \text{ va}$$

$$y = \frac{h}{2}; \tau = \tau_1 = \frac{Qbt(h-t)}{2I_x d}$$

Qo'shtavr devorining balandligi bo'ylab urinma kuchlanish egri chiziq qonuni bilan tarqaladi (τ -epyurasidagi punktir chiziq).

Qo'shtavrning supachasiga nisbatan devorida y -ni turli qiymatida S_x^0 kichik chegarada o'zgaradi. Shuning uchun, qo'shtavrni devorida urinma kuchlanish juda katta. Demak, qo'shtavrnning devori asosan urinma kuchlanishlar ta'sirida. Bu kuchlanishlar y o'qiga parallel yo'nالishda bo'ladi.

Urinma kuchlanishlarning juftlik alomatiga ko'ra, qo'shtavrning devoriga perpendikulyar yuza - supachada ham kesimni neytral o'qiga parallel yo'nالigan urinma kuchlanishlar hosil bo'ladi va quyidagi formula bilan topiladi:

$$\tau_n = \frac{QS_x^0}{I_x t_n}$$

Kesim eni b o'miga t olindi.

Qo'shtavr supachasidan ajratib olingan, x -uzunlikdag'i shtrixlangan yuzanining statik momentini topamiz:

$$S_x^0 = t \cdot x \cdot \left(\frac{h-t}{2} \right)$$

Qo'shtavrnning supachasidan ajratib olingan yuzadagi K nuqtaning kuchlanishi quyidagicha topiladi:

$$\tau_K = \frac{Q \cdot x \cdot (h-t)}{2I_x}$$

Bu kuchlanish supachanining erkin uchidagi nuqtada nolga teng bo'lib kesimning vertikal o'qiga tomon qiya to'g'ri chiziq bo'yicha o'sib boradi. Eng

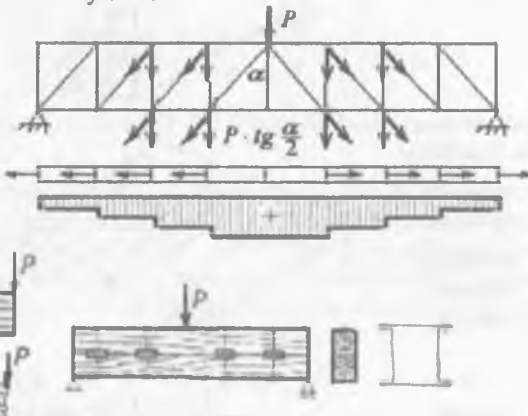
katta gorizontal urinma kuchlanish $x = \frac{1}{2}(b-d)$ bo'lgan vertikal chiziqda, ya'ni devor chiziqi supachani kesib nuqtasida hosil bo'ladi:

$$\tau_{\max} = \frac{Q(b-d)(h-t)}{4I_x}$$

DMITRIY IVANOVICH JURAVSKIY

(1821 – 1891)

D.M.Juravskiy dunyo amaliyotida birinchi bo'lib ferma elementlaridagi zo'rqiш kuchlarni aniqlash usulini yaratdi



Yog'ochdagи siljituвchi kuchlanishlarni o'rganish asosida ko'ndalang egilishda urinma kuchlanish formulasini yaratdi
D.M. Juravskiy Peterburg yo'llar aloqasi injelerlar institutini tamomlab 21yoshida Moskva – Peterburg yo'lida ikki tarmoqli Verebin ko'prigini loyihalaydi va ko'priki qurilishiga rahbarlik qiladi.

$$\tau = \frac{Q \cdot S}{I \cdot b} \quad Q = \frac{dM}{dx}$$

Ko'priki proleti 51.2 m., suv sathidan 40.4 m. balandlikda

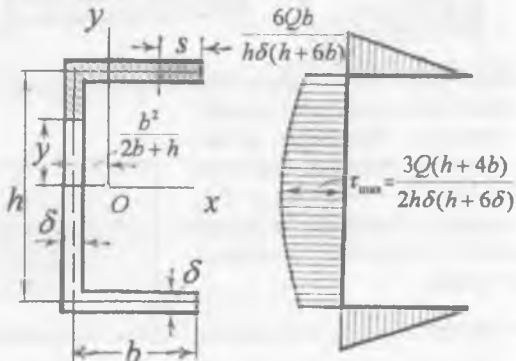
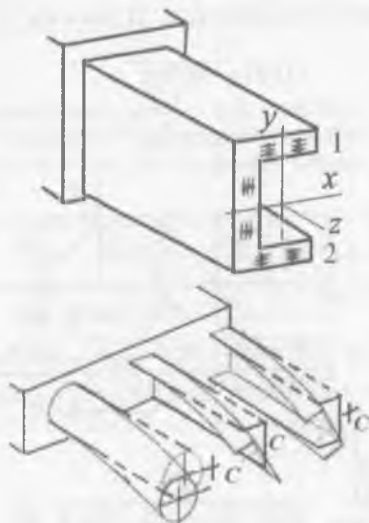


6.4. Egilish markazi

a) urinma
kuchlanishlar
potoki va
ularnig
yo'nalishi

b) urinma
kuchlanishlar
momenti
ta'sirida
profilning
deforma-
tsiyasi

v)
urinma
kuchlanishni
aniqlash
va uning
tarqalish
qonuniyati-ga
oid
6.13 – rasm



Natijada, kuchlanishlar to'plami kesimning og'irlilik markaziga nisbatan M_δ - moment hosil qiladi.: $M_\delta = QX + T(h-t)$,

bu erda X – shveller devorining qalinligi - δ ning yarmidan og'irlilik markazi O nuqtagacha bo'lgan masofa (6.13-rasm, v)

$$X = \frac{b^2}{2b+h} \cdot \text{va } T = \frac{\tau_{\max,n} + 0}{2} tb_1 = \frac{Qb_1^2(h-t)}{4I_y} t - \text{ shveller supachasidagi}$$

urinma kuchlanishlarning teng ta'sir qiluvchisi.

Ayrim profil-
lar da urinma
kuchlanishlarning
oqimi kesim yuzaning
markazidan o'tadi.

Masalan: doira,
to'rburchak,
qo'shtavr, uchburchak.
Ochiq profilli ayrim
kesimlarda (shveller,
burchak, halqasimon
kesim va h.k.) urinma
kuchlanishlar to'plami

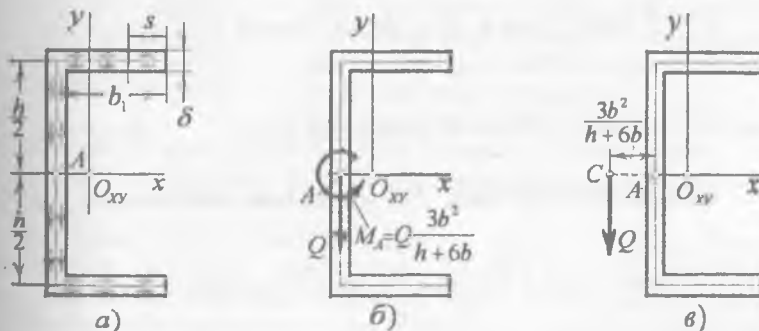
(6.13 – rasm, a)
profilning og'irlilik
markazidan o'tmaydi

M_δ - burovchi moment ta'sirida ochiq profilli element buraladi. Natijada element egilish bilan birga buralishga (6.13-rasm, b) ham uchraydi. Ochiq profilli elementning kuchlanganlik holati murakkablashadi. Agar urinma kuchlanishlarning teng ta'sir qiluvchilar - Q ko'ndalang kuch va T tangentsial kuchlarning kesimdan tashqaridagi biror nuqtaga nisbatan momentlarini nolga tenglashtirib, M_δ burovchi momentni muvozanatlashtirilsa ochiq profilli elementning buralishini cheklab qo'yish mumkin.

$$\sum M_s = Q\ell - T(h-t) = 0 \quad \text{va} \quad \ell = \frac{T(h-t)}{Q} = \frac{b_1^2(h-t)(h-t)}{4 \cdot I_y} t \quad (6.18)$$

Bu nuqta egilish markazi deyiladi va Q ko'ndalang kuchdan ℓ - masofada joylashadi (6.14-rasm).

Egilish markazi deb, ichki kuch momentlarining yig'indisi nolga teng bo'lgan nuqtaning holatiga aytildi. Egilish markazi kesim yuzasidan tashqarida joylashadi. Egilish markaziga shunday kuch qo'yiladiki, bu kuch ichki kuchlarning profil kesimining og'irlilik markaziga nisbatan momentlarini muvozanatlashtiradi. Demak, egilish markaziga nisbatan tashqi va ichki kuchlar momentlarining yig'indisi nolga teng bo'ladi



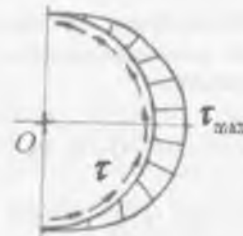
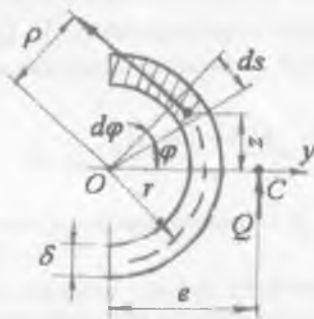
6.14 – rasm. Egilish markazini aniqlash sxemalari: a) urinma kuchlanishlar ogimi; b) urinma kuchlanishlarning teng ta'sir qiluvchilar; v) egilish markazining koordinatasasi.

misol. – 4. Vertikal tekislikda egilishga uchraydigan yupqa devorli halqasimon kesimli balkaning og'irlilik markazi topilsin. Yarim halqasimon kesimning radiusi $r = 25 \text{ sm}$, qalintigi $\delta = 0,25 \text{ sm}$. $Q = 70 \text{ kN}$ ko'ndalang kuch ta'siridan kesimning urinma kuchlanish epyurasini quring (6.15 - rasm).

Yechish. Kesimdag'i barcha urinma kuchlarning teng ta'sir qiluvchisini ko'ndalang kuch Q deb qabul qilamiz. Yarim halqasimon kesimdan ajratilgan elementlar yuzachadagi urinma kuch: $dT = \tau \cdot dA = \tau \cdot \delta dS$ ni O nuqtaga

nisbatan momenti Q kuchning shu nuqtaga nisbatan momentiga teng bo'ladi,

$$\text{ya'ni: } Q\ell = \int dT \cdot \rho = \int \tau \cdot \delta \cdot dS \rho = \int \frac{S Q S_y^0}{I_y \delta} \delta \cdot \rho \cdot dS.$$



6.15 - rasm. Yarim xalqasi-mon kesimda urinma kuchla-nishlar oqimi va tarqalish qonuniyati

Chizmadan (6.15 - rasm) $\rho = r$; $dS = rd\varphi$ va ajratilgan elementar yuzaning y o'qiga nisbatan statik momenti:

$$S_y^0 = \int_{\varphi}^{\frac{\pi}{2}} Z dA = \int_{\varphi}^{\frac{\pi}{2}} r \sin \varphi \cdot \delta \cdot r \cdot d\varphi = r^2 \delta \cos \varphi$$

$$\text{va } \ell = \frac{1}{I_y} \int_y S_y^0 \rho \cdot dS. \text{ Chizmadan } \rho = r, \quad ds = r \cdot d\varphi \quad \text{va}$$

ajratilgan elementar yuzani y o'qiga nisbatan statik momenti

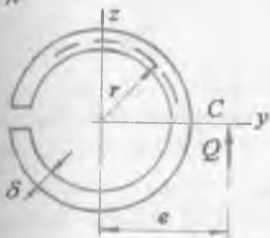
$$S_y = \int_{\varphi}^{\frac{\pi}{2}} z \cdot dA = \int_{\varphi}^{\frac{\pi}{2}} r \cdot \sin \varphi \cdot \delta \cdot r \cdot d\varphi = r^2 \cdot \delta \cdot \cos \varphi$$

Yarim halqasimon kesimning y - o'qiga nisbatan inertsiya momenti:

$$I_y = \int_0^{\frac{\pi}{2}} Z^2 dA = 2 \int_0^{\frac{\pi}{2}} (r \sin \varphi)^2 \delta \cdot r d\varphi = \frac{\pi \cdot r^3 \delta}{2}$$

$$\text{Unda } \ell = \frac{1}{I_y} \int_y S_y^0 \rho dS = \frac{2}{I_y} \int_0^{\frac{\pi}{2}} r^2 \delta \cos \varphi \cdot r \cdot r d\varphi = \frac{2r^4 \delta}{I_y} = \frac{4r}{\pi}$$

Demak, yarim halqasimon kesimning egilish markazi O nuqtadan $\ell = \frac{4r}{\pi}$ masofada joylashgan C nuqtada bo'ladi.



Kesimning istalgan nuqtasidagi urinma kuchlanishni topamiz:

$$\tau = \frac{QS_y^0}{I_y \delta} = \frac{Q \cdot r^2 \cos \varphi}{I_y} = \frac{2Q \cos \varphi}{\pi \cdot r \delta}$$

Eng katta urinma kuchlanish:

$$\tau_{\max} = \frac{2Q}{\pi \cdot r \delta} = \frac{2 \cdot 7000}{3,14 \cdot 25 \cdot 0,25} = 715 \text{ кг/см}^2$$

Kesilgan halqa uchun ℓ ni topamiz:

$$S_y = r^2 \delta (1 - \cos \varphi); \quad I_y = \pi \cdot r^3 \delta$$

Unda $\ell = 2r$ hosil bo'ladi.

Doiraviy kesimli ochik profilning egilish markazini tajribada aniqlash

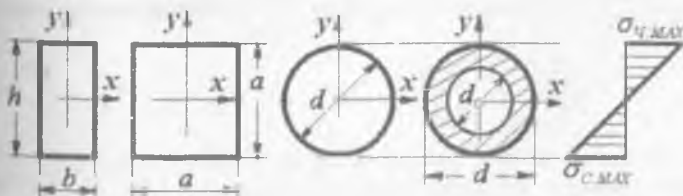
Laboratoriya sharoitida egilish markazini tajriba asosida CM qurilmasida quyidagi tartibda topiladi:

Yuk qo'yilgunga qadar indikatorlarning ko'rsatkichi nolga keltiriladi. Yuk osilgandan indikatorlarning ko'rsatkichlari har xil bo'ladi. bu ko'rsatkichlar yozib olinadi.

Yukni shkalali ushlagichda harakatlantirilib ikkala indikatorlarning ko'rsatkichi bir xil qiymatga keltiriladi. Indikatorlarni bu holatiga to'g'ri keluvchi yukni o'rni – egilish markazining tajribaviy qiymatini bildiradi.

Ratsional kesim. Qarshilik moment – egilishga ishlovchi brusni mustahkamlikka geometrik xarakteristikasi. Qarshilik moment qancha katta bo'lisa, ko'ndalang kesimdagagi kuchlanish shuncha kichiklashadi (bir xil yukanishda) va berilgan ruxsat etilgan kuchlanishda katta kuchni qabul qilib xavfsiz ishlashi mumkin.

To'g'ri burchak, kvadrat, aylana va xalqali kesimlarning qarshilik momentlarini bosh markaziy inertsiya momentlaridan foydalananib topamiz:



$$\text{to'g'ri to'rburchak } W_x = \frac{b \cdot h^3}{6}, \quad \text{kvadrat } W_x = \frac{a^3}{6},$$

$$\text{aylana } W_x = \frac{J_x}{d} = \frac{\pi \cdot d^3}{32} \quad \text{va} \quad \text{xalqa } W_x = \frac{I_x}{d} = \frac{\pi \cdot d^3}{32} (1 - c^4)$$

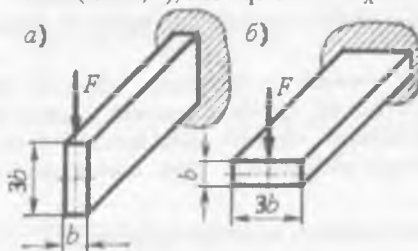
h - to'g'ri to'rburchak inertsiya momenti olingan x -o'qiga perpendikulyar joylashgan kesimni balandligi. Kesimi simmetrik bo'lgan plastik materiallardan tayyorlangan balkalar cho'zilish va siqlishga bir xil qarshilik ko'rsatadi, shuning uchun bu kesim-larda $\sigma_{x,\max} = \sigma_{C,\max}$. Amalda hamma simmetrik kesimlar ham ratsional emas. Masalan, doiraviy kesimda materialning asosiy qismi kam yuklangan - kichik kuchlanishli neytral qatlarni atrofida joylashadi. Bu material to'liq foydalanimaydi. Bu masalada kvadrat kesim ozroq qulaydir. Qo'shtavr profilining kesimi ratsional, chunki materialni asosiy qismi polkada, ya'ni eng katta kuchlanishlar tomonida joylashgan. Qo'shtavr devorining asosiy vazifasi kesimning monolitligini ta'minlashdir.

Berilgan uzunlikdagi balka materialining sarfi ko'ndalang kesim yuzaga to'g'ri proporsionaldir. Shuning uchun, W_x - qancha katta va kesim yuza kichik bo'lsa, balka kesimining shakli ratsional. Kesimni ratsionalligini baholovchi o'lchov birliksiz xarakteristika qabul qilamiz:

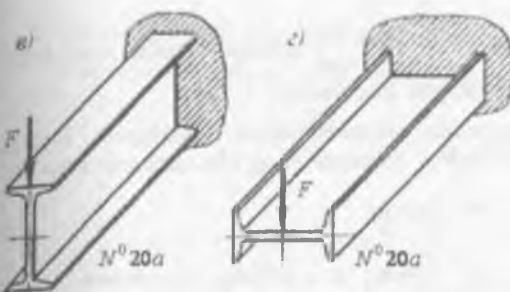
$$\omega_x = \frac{W_x}{\sqrt{A^3}}$$

Buerda ω_x - solishtirma qarshilik momenti; A - kesim yuza.

Solishtirma qarshilik momenti aylana uchun $\omega_x = 0,141$; xalqa uchun $\omega_x = 0,294$ ($s = 0,7$); №10 qo'shtavr $\omega_x = 0,955$ va №20 qo'shtavr $\omega_x = 1,33$



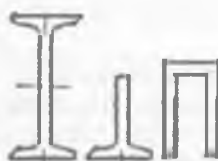
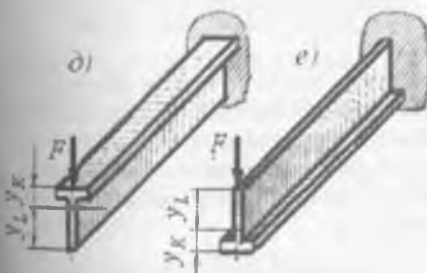
Kesimni tashqi kuchning ta'sir chiziqiga nisbatan joylashuviga ko'ra mustahkamlik o'zgaradi (yuk o'zgarmas). Masalan, $h:b = 3$ nisbatda bo'lgan to'g'ri to'rburchak brus uchun ruxsat etilgan yuk, kesimni 90° ga aylan-tirgandagi holatiga



a), b) to'rtburchak va v), g) qo'shtavr

Mashinasozlik konstruktsiyalarida, masalan har xil ramalar, stanoklar, podshipniklarning podveskalarini tayyorlashda mo'rt material – kulrang cho'yon ishlataladi. Kul rang cho'yon cho'zilishga nisbatan siqilishga ko'proq qarshilik ko'rsatadi. Shuning uchun $\frac{[\sigma_c]}{[\sigma_s]} = 3 \dots 4,5$. Bunda, simmetrik kesimdan

foydalanish noqulay, chunki siqiladigan tomon materiali kam yuklanadi va ortiqcha material sarflanishiga olib keladi. Shuning uchun mo'rt materiallardan tayyorlangan konstruktsiya elementining kesimi nosimmetrik tavrli, Π – shakkili va nosimmetrik qo'shtavr bo'lishi kerak.



Bunday kesimlarni shunday joylashtirish kerak-ki, materialni asosiy qismi cho'ziladigan tomonda joylashsin. Masalan, d – rasmida ko'rsatilgan tavrli kesim e – rasmida ko'rsatilgan tavrli kesimdan 2,22 marotaba ko'p yukni ko'taradi. Bu holatni aniqlash uchun $\frac{y_K}{y_C} = \frac{[\sigma_y]}{[\sigma_c]}$ tenglikdan foydalanildi:

$$\sigma_{\max.s} = \frac{M_{\max}}{I_x} \cdot y_K \leq [\sigma], \quad \text{va} \quad \sigma_{\max.c} = \frac{M_{\max}}{I_x} \cdot y_C \leq [\sigma]$$

Bu shart balka uzunligi bo'yicha eguvchi moment o'zgarmas bo'lsa qamarali bo'ladi. Balkani uzunligi bo'ylab eguvchi moment o'zgaruvchan bo'lgan hol uchun misol echamiz.

nisbatan uch barobar ko'p. Shunga o'xshash №20 qo'shtavr uchun ham profilni 90° ga aylan tiliganda 7,2 marotaba kam kuchni qabul qiladi. Demak, kuch chiziqi minimal inertsiya o'qi bilan ustma – ust tushishi kerak ekan. Shunda egilish – katta bikrlik tekisligida hosil bo'ladi.

misol. $[\sigma_y] = 40 \frac{\text{Н}}{\text{мм}^2}$, va $[\sigma_c] = 120 \frac{\text{Н}}{\text{мм}^2}$ kuchlanishlardan foyda-lanib cho'yon balka uchun ruxsat etilgan yuk hisoblansin.

Yechish. 1.Kesimni geometrik xarakteristikalarini hisoblaymiz. Buning uchun uni ikkita to'g'ri to'rtburchakka ajratamiz va og'irlik markazini topamiz:

$$y_C = \frac{A_1 \cdot y_1 + A_2 \cdot y_2}{A_1 + A_2} = 11sm \text{ bu erda:}$$

$$h_1 = 120\text{mm}; b_1 = 15\text{mm}; h_2 = 30\text{mm}; b_2 = 120\text{mm}; y_1 = 60\text{mm};$$

$$y_2 = 135 \text{ mm}; A_1 = 1,5 \cdot 12 = 18 \text{ sm}^2 \text{ va } A_2 = 3 \cdot 12 = 36 \text{ sm}^2$$

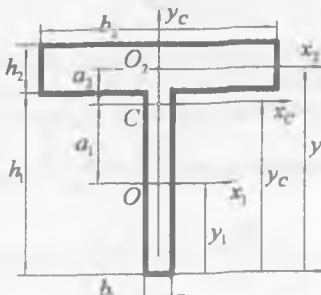
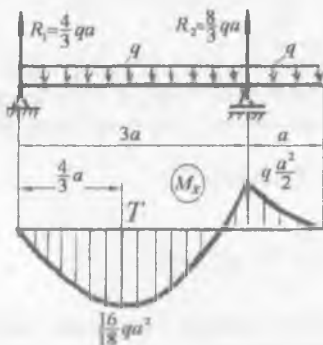
x_C, y_C - bosh markaziy o'qlarga nisbatan kesimni inertsiya momentini hisoblaymiz:

$$I_y = I_{y1}^1 + I_{y2}^{11} = \frac{b_1^3 \cdot h_1}{12} + \frac{b_2^3 \cdot h_2}{12} = \frac{12 \cdot (1.5)^3}{12} + \frac{3 \cdot (12)^3}{12} = 435 \text{sm}^4$$

$$I_X = I_{x1}^1 + a_1^2 \cdot A_1 + I_{x2}^{11} + a_2^2 \cdot A_2 = \frac{b_1 \cdot h_1^3}{12} + (5)^2 \cdot 1,5 \cdot 1,2 + \frac{b_2 \cdot h_2^3}{12} + (2,5)^2 \cdot 12 \cdot 3 = \\ = \frac{1,5 \cdot (12)^3}{12} + 450 + \frac{12 \cdot (3)^3}{12} + 225 = 918 \text{sm}^4$$

$$\text{buerda: } a_1 = y_C - y_1 = 11 - 6 = 5 \text{ sm; } a_2 = y_2 - y_C = 13,5 - 11 = 2,5 \text{ sm}$$

2. Balkani xavfli va ratsional kesimini tanlaymiz. Eng katta eguvchi moment T -kesimda hosil bo'ladi. Bu kesimda yuqori qatlam materiali siqiladi. Kesimni neytral o'qiga nisbatan polka tomondagi materialning og'irligi $112,5 \text{ kG}$ bo'lib, polkaga qarama – qarshi tomonda joylashgan materialning og'irligidan ($49,5 \text{ kG}$) $- 2,273$ marotaba katta. Shuning uchun kesimning polkasini pastda joylashtirish lozim. Bu holatda materialni ko'p



Berilgan balkan ning kesim yuzasi

qismi cho'ziladigan tomonda joylashadi.

Cho'ziladigan tola bo'yicha ruxsat etilgan yukni hisoblaymiz:

$$\sigma_{\max,q} = \sigma_K = \frac{M_T}{I_X} \cdot y_K \leq [\sigma]_K \quad \text{bu erda} \quad M_T = \frac{16}{18} q \cdot a^2$$

$$\text{unda} \quad \sigma_{\max,q} = \frac{16q \cdot a^2}{18 \cdot I_X} \cdot y_K \leq [\sigma]_K \quad \text{va}$$

$$q = \frac{18 \cdot [\sigma]_K \cdot I_X}{16 \cdot a^2 \cdot y_K} = \frac{18 \cdot 40 \cdot 918 \cdot 10^4}{16 \cdot (1000)^3 \cdot 40} = 10,33 \frac{N}{mm}$$

T – kesimdagи siquvchi va cho'zuvchi kuchlanishlar:

$$\sigma_C = \sigma_L^T = \frac{M_T}{I_X} \cdot y_L = \frac{\frac{16}{18} \cdot 10,33 \cdot 10^6 \cdot 110}{918 \cdot 10^4} \approx 110 \frac{N}{mm^2}$$

$$\sigma_q = \sigma_K^T = \frac{M_T}{I_X} \cdot y_K = \frac{\frac{16}{18} \cdot 10,33 \cdot 10^6 \cdot 40}{918 \cdot 10^4} \approx 40 \frac{N}{mm^2}$$

Balkani B - tayanch kesimida neytral o'qdan yuqori qatlam materiali cho'ziladi, pastki qatlam materiali siqiladi. Unda polka siqiladigan material tomonida joylashadi. Bu kesimda eguvchi moment $M_B = q \cdot \frac{a^3}{2}$ ga teng. Mustahkamlit shart cho'ziladigan material uchun quyidagicha yoziladi

$$\sigma_{\max,q} = \frac{M_B}{I_X} \cdot y_L \leq [\sigma]_L \quad \text{yoki} \quad \sigma_{\max,q} = \frac{q \cdot a^2}{2 \cdot I_X} \cdot y_L \leq [\sigma]$$

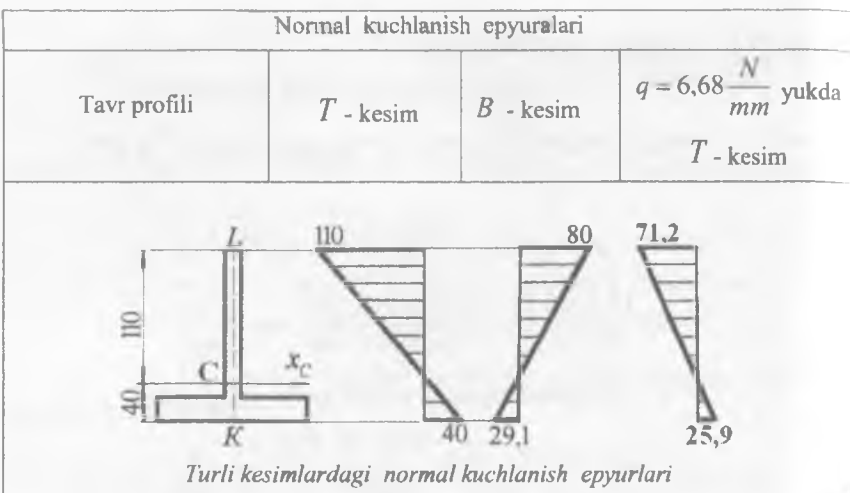
$$\text{buerdan} \quad q = \frac{2 \cdot [\sigma]_L \cdot I_X}{a^2 \cdot y_L} = \frac{2 \cdot 918 \cdot 10^4}{16 \cdot 110} = 6,68 \frac{N}{mm}$$

B – kesimdagи siquvchi va cho'zuvchi kuchlanishlar:

$$\sigma_C = \sigma_K^B = \frac{M_B}{I_X} \cdot y_K = \frac{6,68 \cdot 10^6 \cdot 40}{918 \cdot 10^4} \approx 29,1 \frac{N}{mm^2}$$

$$\sigma_q = \sigma_L^B = \frac{M_B}{I_X} \cdot y_L = \frac{6,68 \cdot 10^6 \cdot 110}{918 \cdot 10^4} \approx 80 \frac{N}{mm^2}$$

Normal kuchlanish epyuraları



Turli kesimlarda normal kuchlanish epyurlari

Ushbu nuqtalardagi kuchlanishlarni $q = 10,33 \frac{N}{mm}$ kuch ta'sirida hisoblansa $\sigma_L^B = 123,75 \frac{N}{mm^2} \succ [\sigma_C]$ va $\sigma_K^B = 45 \frac{N}{mm^2} \succ [\sigma_q]$ hosil bo'ladi. Ruxsat etilgan yukni $q = 6,68 \frac{N}{mm}$ qabul qilamiz.

3.Qo'shtavr profilining polkasini yuqorida joylashgan holat uchun ruxsat etilgan yukni hisoblaymiz.

Cho'ziladigan tola bo'yicha ruxsat etilgan yukni hisoblaymiz:

$$\sigma_{\max,q} = \sigma_L = \frac{M_L}{I_X} \cdot y_L \leq [\sigma], \quad \sigma_{\max,q} = \frac{16q \cdot a^2}{18 \cdot I_X} \cdot y_L \leq [\sigma],$$

$$\text{buerdan } q = \frac{18 \cdot [\sigma_q] \cdot I_X}{16 \cdot a^2 \cdot y_L} = \frac{18 \cdot 40 \cdot 918 \cdot 10^4}{16 \cdot (1000)^3 \cdot 110} = 3,76 \frac{N}{mm}$$

T - kesimdagi siquvchi va cho'zuvchi kuchlanishlar:

$$\sigma_C = \sigma_K^T = \frac{M_T}{I_X} \cdot y_K = \frac{\frac{16}{18} \cdot 3,76 \cdot 10^6 \cdot 40}{918 \cdot 10^4} = 14,56 \frac{N}{mm^2}$$

$$\sigma_u = \sigma_L^T = \frac{M_T}{I_X} \cdot y_L = \frac{\frac{16}{18} \cdot 3,76 \cdot 10^6 \cdot 110}{918 \cdot 10^4} = 40 \frac{N}{mm^2}$$

Balkani B -tayanch kesimida neytral o'qdan yuqori qatlama materiali cho'ziladi. Unda polka cho'ziladigan material tomonida joylashadi. Mustahkamlik shart cho'ziladigan material uchun quyidagicha yoziladi

$$\sigma_{\max,q} = \frac{M_B}{I_X} \cdot y_K \leq [\sigma], \quad \text{yoki} \quad \sigma_{\max,q} = \frac{q \cdot a^2}{2 \cdot I_X} \cdot y_K \leq [\sigma],$$

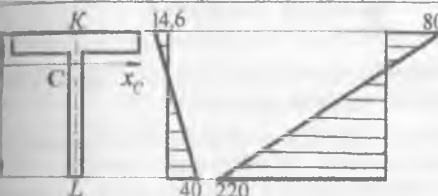
$$\text{buerdan } q = \frac{2 \cdot [\sigma_q] \cdot I_X}{a^2 \cdot y_K} = \frac{2 \cdot 918 \cdot 10^4}{16 \cdot 40} = 18,36 \frac{N}{mm}$$

B -kesimdagisi siquvchi va cho'zuvchi kuchlanishlar:

$$\sigma_q = \sigma_K^B = \frac{M_B}{I_X} \cdot y_K = \frac{18,36 \cdot 10^6 \cdot 40}{918 \cdot 10^4} \approx 80 \frac{N}{mm^2} > [\sigma_q]$$

$$\sigma_C = \sigma_L^B = \frac{M_B}{I_X} \cdot y_L = \frac{18,36 \cdot 10^6 \cdot 110}{918 \cdot 10^4} \approx 220 \frac{N}{mm^2} > [\sigma_C]$$

Normal kuchlanish epyuralari

Tavr profili	T -kesim	B -kesim
		

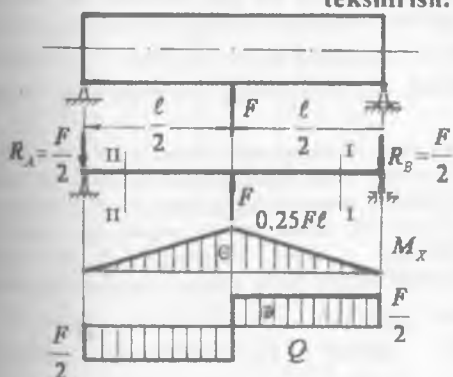
Ushbu nuqtalardagi

kuchlanishlarni $q = 3,76 \frac{N}{mm}$
kuch ta'sirida hisoblaymiz

$$\sigma_L^B = 45 \frac{N}{mm^2} < [\sigma_C]$$

$$\sigma_K^B = 16,4 \frac{N}{mm^2} < [\sigma_q]$$

6.5. Balka mustahkamligini bosh kuchlanishlar buyicha tekshirish.



6.14 - rasm. Balkani berilgan yuklanish sxemasi uchun eguvchi moment va ko'ndalang kuch epyuralari

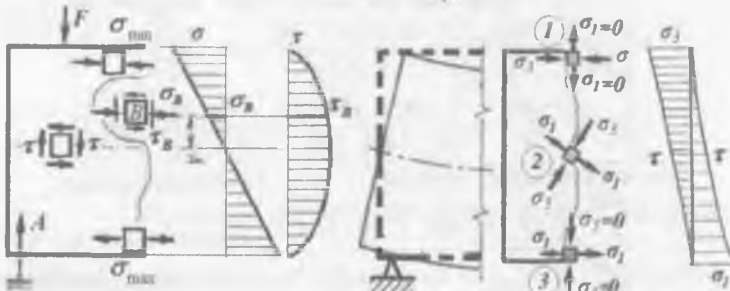
Egilayotgan balkanining ko'ndalang kesim yuzasida normal σ va urinma kuchlanish τ hosil bo'lishini ko'rib o'tgan edik. Normal kuchlanishning eng katta qiymati balka kesimining neytral o'qidan eng uzoqda joylashgan nuqtalarida, ya ni kesimning chetki nuqtalarida hosil bo'ladi. Bu nuq talarda urinma kuchlanish nolga teng. Urinma kuchlanish eng katta qiymatga erishgan balkanining neytral qatlama joylashgan materialda normal kuchlanish nolga teng.

Shuning uchun kesimning neytral o'qidan eng uzoqda joylashgan tolalarining mustahkamligi normal kuchlanishlar bo'yicha ta'minlanadi:

$$\sigma_{\max} = \frac{M_{\max}}{W} \leq [\sigma]$$

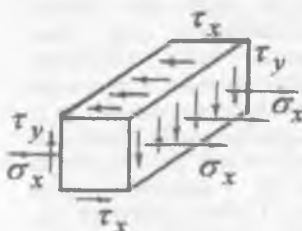
Balka kesimining neytral qatlamida joylashgan materialning mustahkamligi urinma kuchlanishlar bo'yicha ta'minlanadi:

$$\tau_{\max} = \frac{Q_{\max} \cdot S_{\max}}{I_r d} \leq [\tau]$$



6.16 – rasm. Balka kesimining balandligi bo'ylab normal va urinma hamda bosh normal kuchlanishlarni tarqalish qonuniyati

Balka kesimining neytral o'qidan u masofada joylashgan materialining (B element) (6.16-rasm) mustahkamligini normal kuchlanishlar bo'yicha ham urinma kuchlanishlar bo'yicha ham ta'minlash mumkin emas. Chunki B elementning yuqorida keltirilgan egilishdagi normal va urinma kuchlanishlar bo'yicha mustahkamlik shartlariga bo'yusunmaydi. Ajratilgan B elementning old qismi balkaning yon sirtiga ustma - ust tushadi va bu yuza normal va urinma kuchlanishlardan ozod, shuning uchun bu yuzacha bosh yuza. B elementning kuchlanganlik holati murakkab



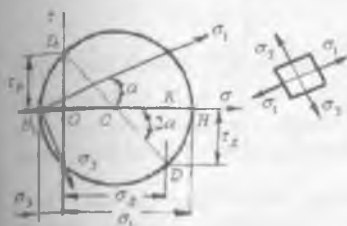
6.17 – rasm

bo'lib, tekis kuchlanganlik holatiga to'g'ri keladi (6.17-rasm). Tekis kuchlanganlik holatida bo'lgan elementning mustahkamligi bosh kuchlanishlarga bog'liq bo'lib, mustahkamlik nazariyalari asosida tekshiriladi. Tekis kuchlanganlik holatidagi elementda uchta bosh normal kuchlanishlardan bittasi (masalan $\sigma_z = 0$) nolga teng. σ_1 va σ_2 bosh normal kuchlanishlarni, berilgan

$$\sigma_x; \tau_x = -\tau_y$$

kuchlanishlari yordamida Mor doirasini qurish usuli bilan topamiz (6.18-rasm). Buning uchun σ - τ koordinata sistemasini olamiz.

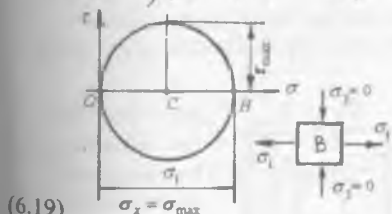
Koordinata boshidan (O nuqtadan) kuchlanishlar masshtabida $\sigma = OK$ masofani, K nuqtadan σ o'qiga perpendikulyar tekislikda musbat ishorali urinma kuchlanish $\tau_x = KD$ joylashtiriladi. B elementning gorizontal yuzadagi normal kuchlanish $\sigma_y = 0$ bo'lganligi uchun bu kuchlanish $\sigma \tau$



bo'lganligi uchun kuchlanishlar doirasi $CD=R$ radiusi bilan chiziladi (6.18 - rasm) Mor doirasi σ o'qining N va N_1 nuqtalarda kesib o'tadi. Kuchlanishlar masshtabida ON masofa σ , eng katta bosh normal kuchlanishga, ON_1 masofa esa - σ_3 bosh normal kuchlanishga teng.

quyidagi formula bilan topiladi.

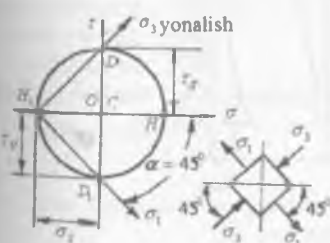
$$\sigma_{1,3} = \frac{1}{2} \left[\sigma_x \pm \sqrt{\sigma_x^2 + 4\tau_x^2} \right]$$



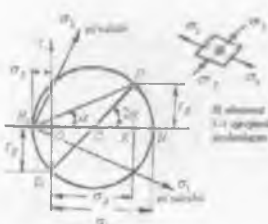
koordinata sistemasining O nuqtasida joylashadi. O nuqtadan τ o'qining manfiy tomoniga $\tau_v = OD_1$ kuchlanishini joylashtirib, D va D_1 nuqtalarni birlashtirsak Mor doirasining markazi C nuqta hosil bo'ladi D va D_1 nuqtalar Mor doirasining chetki nuqtalari

va σ_3 bosh normal kuchlanishlar

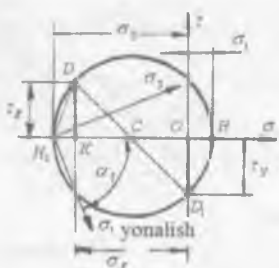
σ_1 va $\tau_x = -\tau$, kuchlanishlarning qiyatlariga bog'liq ekan. σ_x normal va $\tau_y = -\tau$, urinma kuchlanishlar esa B element balka kesimining neytral qatlidanidan qanday masofada joylashishiga bog'liq. Agar $u = u_{max}$ bo'lsa, $\sigma_x = \sigma_{max}$ va $\tau_x = 0$. Unda Mor doirasi σ o'qining musbat tomonida bo'ladi (6.19-rasm). Ajratilgan B element faqat cho'zuvchi σ_1 bosh normal kuchlanish ta'sirida bo'ladi, chunki bu nuqta siqilmaydi: $\sigma_3=0$. Agar, $y=0$ bo'lsa $\sigma_x = 0$ va $\tau_x = \tau_{max}$ soj siljish hosil bo'ladi. Bu holatda Mor doirasi $\tau_x = -\tau$, urinma kuchlanishlarning qiyatlarida chiziladi. Mor doirasining markazi C nuqta koordinata boshi O



6.19-rasm

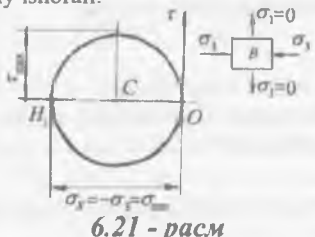


6.18 - rasm



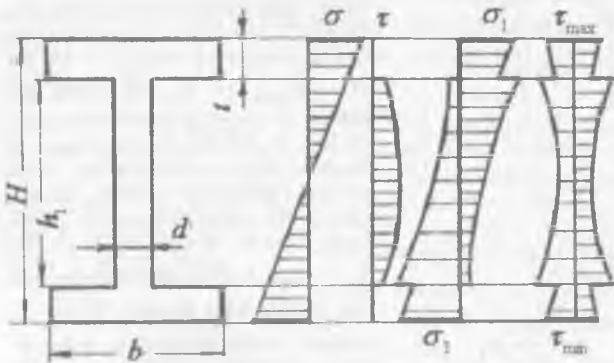
6.20 - rasm

σ_1 bosh kuchlanish ta'sirida V element cho'ziladi. ON , masofa eng kichik bosh normal kuchlanish σ_3 - ga teng. $\sigma = \sigma_{\min}$ va $\tau_x = 0$ bo'lgan nuqta atrofida ajratilgan elementga ta'sir qilayotgan bosh normal kuchlanishlarni topamiz. Bu element siqiladigan tolalarda joylashganligi uchun normal kuchlanish manfiy ishorali.



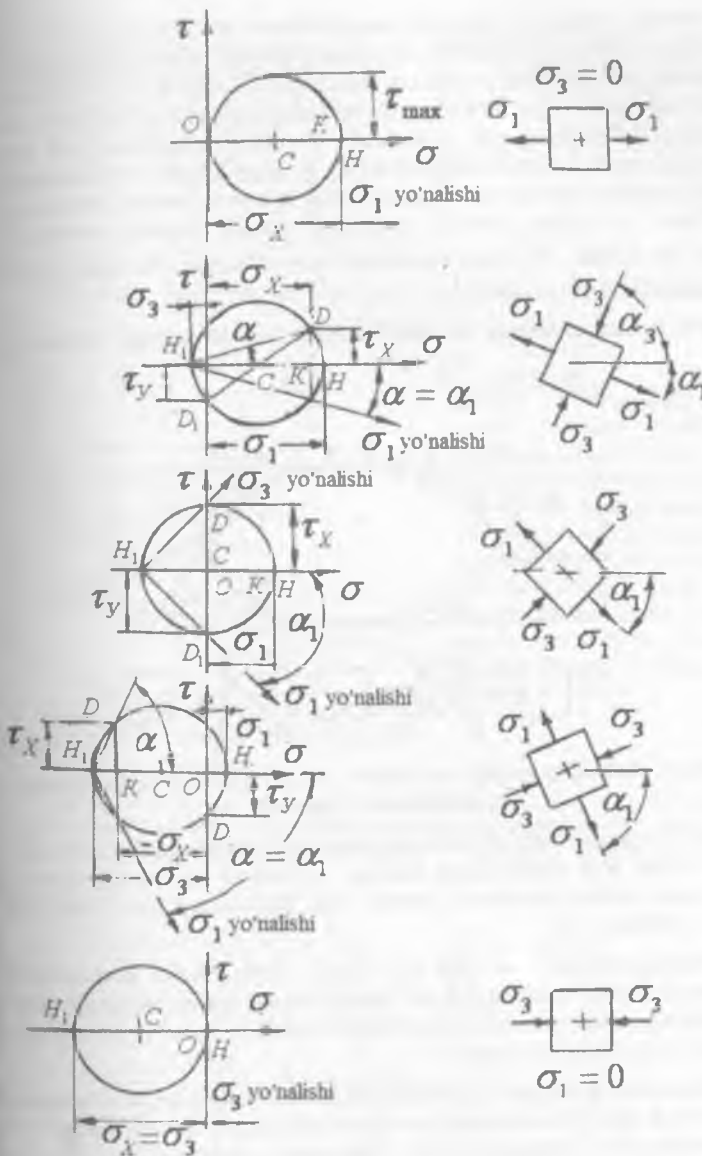
6.21 - pacm

balandligi bo'ylab o'zgarmas bo'lsa, bosh normal kuchlanishlarning epyurasi silliq o'zgaruvchi egri chiziqdandan iborat bo'ladi. Agar, balka kesimining eni uning balandligi bo'ylab o'zgaruvchan bo'lsa,



masalan: qo'shatavr, shveller, burchaksimon element va h.k. kesim enining o'zgarish nuqtasida σ_1 va σ_3 epyuralarida sakrash bo'ladi

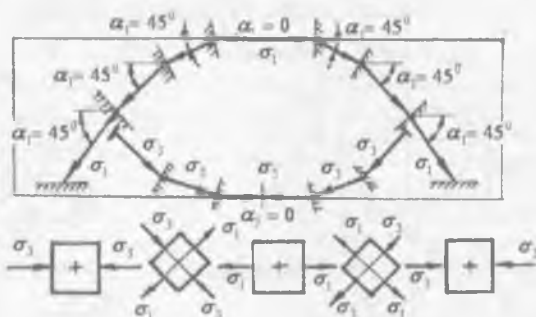
6.22 - rasm .



6.23 – rasm. Balka kesimining balandligi bo'yicha σ_1 , bosh normal kuchlanish yo'nalishining o'zgarishi

Yuqorida keltirilgan balkanining yuqori tolalari cho'zilishga, pastki tolalari esa siqilishga uchrayapti. Shuning uchun musbat ishorali normal kuchlanish va σ_1 bosh normal kuchlanish epyuralari 1-1 chiziqning (6.16 va 6.17 – rasmlar) o'ng tomonida joylashadi. Agar, balka kesimining yukori tolalari cho'zilsa, Mor doirasi σ o'qining musbat tomonida joylashadi. Bu nuqta faqat σ_1 bosh normal kuchlanishi ta'sirida bo'lib, bu nuqtada $\sigma_3 = 0$. Kuchlanishi tekshirilayotgan nuqta cho'ziladigan toladan siqiladigan tolalar tomoniga harakat qilaversa. Mor doirasi ham σ o'qning musbat tomonidan manfiy ishorali tomoniga o'ta boshlaydi. Bu holatda σ_1 bosh kuchlanish kamayib boradi, σ_3 bosh kuchlanish esa kattalashadi (6.23 – rasm).

Bosh kuchlanishlarning yo'naliishi analitik usulda quyidagi formula bilan topiladi:

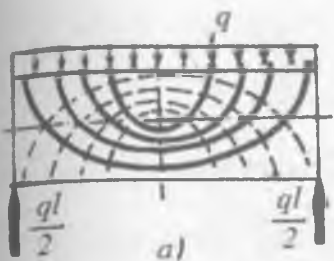
$$\operatorname{tg} 2\alpha = -\frac{2\tau_y}{\sigma_x} \quad (6.20)$$


6.24 – rasm . Balkaning uzunligi bo'ylab σ_1 va σ_3 bosh normal kuchlanishlar traektoriyasini o'zgarishi

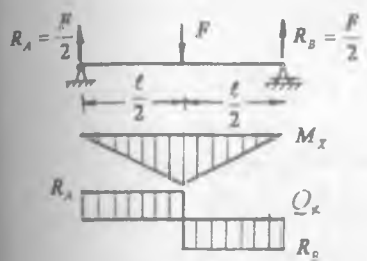
Agar α burchak manfiy bo'lsa, eng katta bosh normal kuchlanishning (σ_1) abtsissa o'qidan soat strelkasining harakat yo'naliishi bo'ylab joylashtiriladi. Balkani yuqori tolalari cho'zilsa α mansiy. Agar balkanining yuqori tolalari siqilsa burchak α musbat.

Balkanining uzunligi bo'ylab σ_1 va σ_3 , bosh normal kuchlanishlarini traektoriyasini aniqlash mumkin (6.24 – rasm). Buning uchun, balkanining uzunligi bo'ylab bir nechta nuqtalarning o'rinnari tanlab olinadi. Nuqtalar neytral qatlardan turli masofalarda joylashishi kerak.

Bitta nuqtada topilgan bosh kuchlanishning yo'naliishi ikkinchi nuqtagacha davom ettiriladi. Ikkinci nuqtadagi bosh kuchlanishning yo'naliishi, keyingi nuqta bilan tutashtiriladi. Shunday qilib, balkanining uzunligi bo'yicha bosh kuchlanishlarning yo'naliishini traektoriyasi topiladi. Bu masala xavfli kesimga nisbatan amalga oshirilsa – osonroq echiladi (6.25 – rasm).

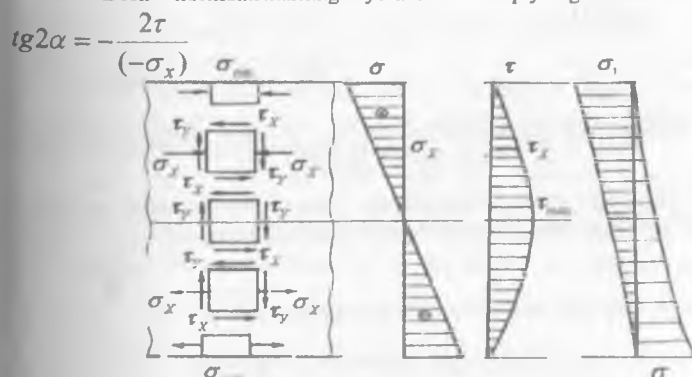


6.25 – rasm. Balkaning uzunligi bo'yicha bosh kuchlanishlar yo'nalishining traektoriyasi

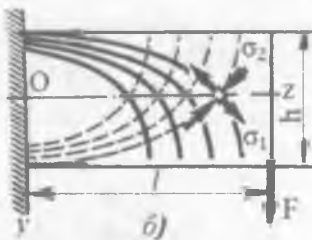


6.26 – rasm. Berilgan balkani yuklanish sxemasi uchun eguvchi moment va ko'ndalang kuch epyuralari

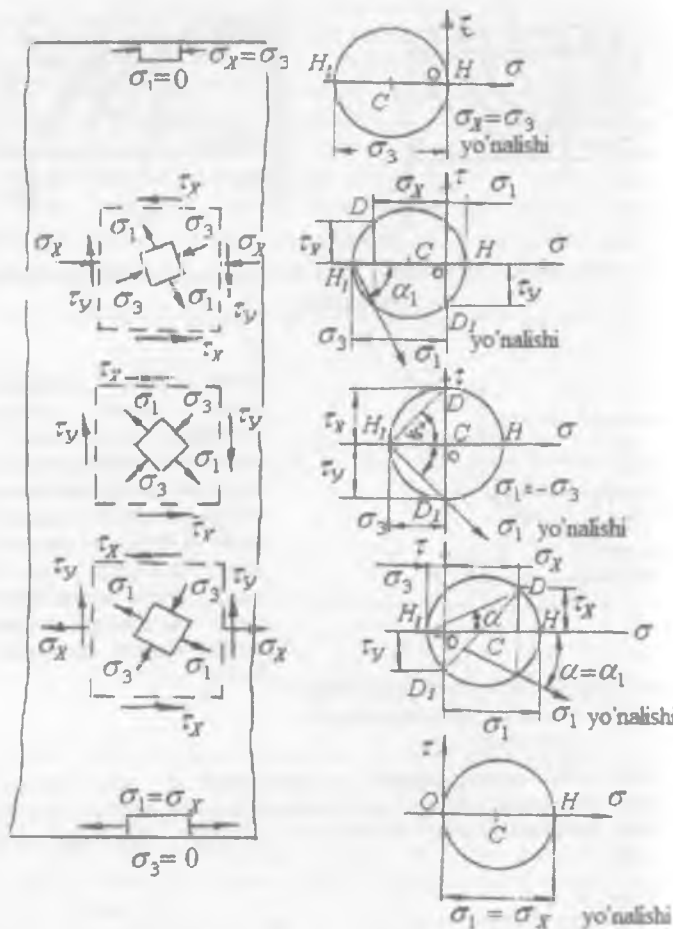
Urinma kuchlanishning ishorasi ko'ndalang kuch Q - ning ishorasiga mos ravishda topiladi. Balkaning o'ng tomonida urinma kuchlanish manfiy, chap tomonida musbat. Bosh kuchlanishlarning yo'nalishi quyidagi formuladan aniqlandi:



6.27 – rasm. Balka kesimining balandligi bo'ylab normal va urinma hamda bosh normal kuchlanishlarni torgalish qonuniyati



Yuqori tolalari siqiladigan va pastki tolalari cho'ziladigan balkaning (6.26-rasm) xavfli kesimining balandligi bo'ylab bosh kuchlanishlarning qiymatlarini Mor doirasi yordamida topamiz (6.26-rasm) va epyurasini quramiz (6.27-rasm). Balkaning yuqori tolasida manfiy ishorali normal kuchlanish, pastki cho'ziladigan tolasida esa musbat ishorali kuchlanish hosil bo'ladi.



6.28 – rasm. Balka kesimining balandligi bo'yicha σ , bosh normal kuchlanish yo'nalishining o'zgarishi

Balka kesimining turli nuqtalaridagi bosh kuchlanishlarni aniqlab, mustahkamlik nazariyalari asosida mustahkamlik shartlarini tuzamiz:

I – nazariya Eng katta normal kuchlanishlar nazariyasi:

$$\sigma_1 \leq [\sigma] \quad \frac{1}{2} \left[\sigma_x + \sqrt{\sigma_x^2 + 4\tau^2} \right] \leq [\sigma]$$

II – nazariya. Eng katta nisbiy deformatsiyalar nazariyasi:

$$[\sigma_1 - \mu(\sigma_2 + \sigma_3)] \leq [\sigma]$$

Bu erda $\sigma_2 = 0$ va $\sigma_1 = \sigma_3$ bosh kuchlanishlarni hisobga

olsak: $\left[\frac{1-\mu}{2} \sigma_x + \frac{1+\mu}{2} \sqrt{\sigma_x^2 + 4\tau^2} \right] \leq [\sigma]$

III – nazariya. Eng katta urinma kuchlanishlar nazariysi.

$$\sigma_1 - \sigma_3 \leq [\sigma] \quad \text{yoki} \quad \sqrt{\sigma_x^2 + 4\tau^2} \leq [\sigma]$$

IV – nazariya. Shakl o'zgarishdagi potentsial energiya.

$$(\sigma_1 - \sigma_2)^2 + (\sigma_2 - \sigma_3)^2 + (\sigma_3 - \sigma_1)^2 = 2[\sigma]^2 \text{ va } \sqrt{\sigma^2 + 3\tau^2} \leq [\sigma]$$

Balkani urinma kuchlanish bo'yicha tekshirish

Ichki juft elkasi. Balka kesimining o'lchamlari eng katta eguvchi moment ta'siridan $W \geq \frac{M_{\max}}{[\sigma]}$ shart asosida belgilanadi. Eng katta urinma kuchlanish kesimni neytral o'qida hosil bo'ladi. Bu kuchlanish ta'siridan kesim o'lchamlarini tanlash uchun $\tau_{\max} = \frac{Q_{\max} S_x^0}{I_x \cdot b} \geq [\tau]$ shartdan foydalanish va balka kesimining yarim yuzasini neytral o'qga nisbatan statik momentini hisoblash lozim. Balkani uzunligi va kesimning balandligi orasidagi bog'lanishga ko'ra urinma kuchlanish balkani xisoblashda turlicha ahamiyatga ega bo'lishi mumkin. Masalan, prokat balkalarda kesim devorining qalinligi ancha katta bo'lganligi uchun τ_{\max} ruxsat etilgan urinma kuchlanishdan nezilarli kichik bo'ladi.

Parchin mixli eki payvand tarkibiy balkalarda kesimni balandligi katta va qalinligi kichik bo'ladi. Shuning uchun tarkibiy balka kesimining o'lchamlarini urinma kuchlanish ta'siridan tekshirish lozim.

Yog'ochni tolalari bo'ylab sirpanishga qarshiligi, tolalarni ko'ndalang qirqilishga qarshiligidan ancha kichik. Shuning uchun yogoch balkalarni egilishida neytral qatlama bo'ylama sirpanish kuchlanishlari hosil bo'ladi. Sosna uchun bu yo'naliшda, ya'ni egilishda sirpanishga ruxsat etilgan kuchlanish $[\tau] = 20 \frac{\kappa G}{sm^2}$ belgilanadi.

Balkalarni egilishga hisoblashda quyidagi hollarda urinma kuchlanish bo'yicha tekshiriladi.



1. Ko'ndalang kuch ta'siri eguvchi moment ta'siriga nisbatan xavfli (kichik proletli yoki yuqori yuklanishda).

2.O'ta yuqori yuklanish tayanch yaqinida (masalan, yog'ochdan tayyorlangan temir yo'l ko'prigidagi ko'ndalang brus). Bunday hollarda eng katta eguvchi moment ta'siridan hisoblangan kesim o'lchami egilishdagi bo'ylama sirpanish kuchlanishni ko'tara olmasligi mumkin. Bo'ylama siljutuvchi kuchni bir birlik

uzunlikka to'g'ri keladigan qiymati $T = \frac{Q \cdot S_x}{I_x}$ formula bilan topiladi. Agar,

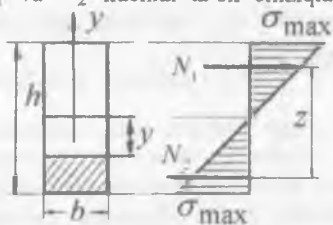
balkani biror oraligida $Q = const$ bo'lsa siljutuvchi kuch $T = t_F \cdot a$ bo'ladi.

agar Q kuch o'zgaruvgan bo'lsa $T = \frac{Q}{S_x} \int_{x_1}^{x_2} Q \cdot dx$ hosil bo'ladi. X_1 va X_2

oraliq boshlanish va oxirgi nuqtalarining koordinatalari. Oraliqni boshi va oxiridagi momentlarni M_1 va M_2 bilan belgilasak $T = \frac{S_x}{I_x} (M_1 - M_2)$ hosil

bo'ladi. Cho'zuvchi va siquvchi normal kuchlanishlarning teng ta'sir qiluvchilari

N_1 va N_2 kuchlar ta'sir chiziqlari orasidagi



masofa $z = \frac{I_x}{S_x}$ ga teng. Ichki

kuch elkasi, kesim inertsiya momentini statik momentga bo'linmasiga teng. Bu kesimda

$$\tau_{\max} = \frac{Q}{b \cdot z}.$$

To'g'ri burchak uchun $S = \frac{b \cdot h^2}{8}$ va $z = \frac{2}{3}h$ va doiraviy kesim uchun

$$S = \frac{2R^3}{3} \text{ va } z = 0,6 \cdot d$$

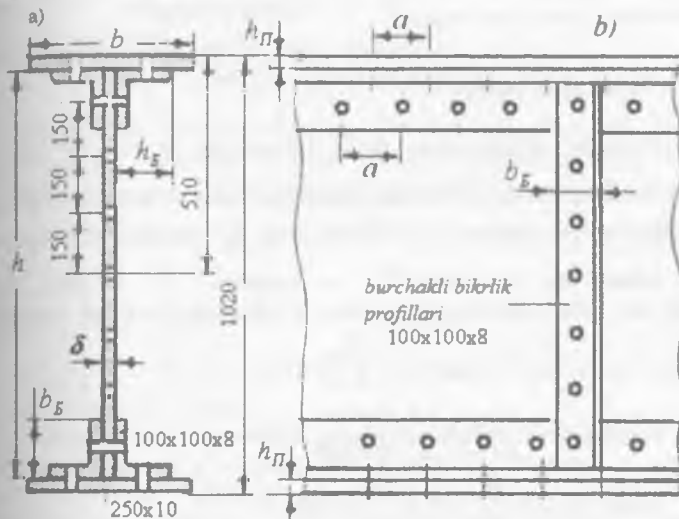
Tarkibiy balkalar[!]. Tarkibiy balkalar deb, tarkibidagi barcha elementlar (detallar) o'zaro parchin mix yoki payvand birikmalar bilan biriktirilgan murakkab shaklli kesimni tashkil qiluvchi balkaga aytiladi.

Tarkibiy balkalarni hisoblashda, biriktiruvchi elementlar biriktiriluvchi detallarni bikr bog'lanishini hosil qilib bir butun balka kabi ishlashni ta'minlaydi deb qabul qilinadi. Shuning uchun balkalarda kuchlanishlarni aniqlash uchun bir butun balkalarni mustahkamlikka hisoblash formulalaridan foydalananamiz.

Parchin mix o'mni uchun tayyorlangan teshik tarkibiy balka kesimini zaiflashadiradi, shuning uchun tarkibiy balkalarni hisoblashda balka kesimining

I_{netto} inertsiya momenti quyidagicha aniqlanadi:

$$I_{netto} = I_{brutto} - I_T$$



6.29 - rasm. Tarkibiy kesim

bu erda, I_{EPYTTO} - balka zaiflashgan kesimining to'liq inertsiya momenti.

I_T - parchin mix o'mni uchun tayyorlangan teshik kesimining inertsiya momenti.

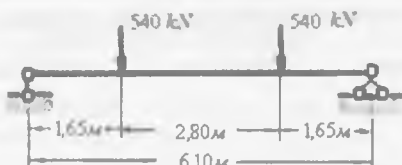
Parchin mixli biriktirilgan tarkibiy balka (6.29-rasm) tarkibida vertikal devor to'rtta teng tomonli burchak, bitta yoki bir nechta gorizontal list bor. Kesimlardagi kuchlanishlarni tekshirish va burchak va balka devorini biriktiruvchi parchin mixlar qadamini aniqlaymiz. Tayanchlarga nisbatan simmetrik 540 kN kuch bilan yuklangan tarkibiy balkani hisoblaymiz (6.30-rasm).

Balka materiali uchun ruxsat etilgan kuchlanishlar: $[\sigma] = 1600 \frac{\kappa G}{sm^2}$ va

$$[\tau] = 1000 \frac{\kappa G}{sm^2}$$

Parchin mix uchun ruxsat etilgan kuchlanish:

$$[\sigma]_{33} = 2800 \frac{\kappa G}{sm^2} \text{ va } [\tau] = 1000 \frac{\kappa G}{sm^2}$$



6.30 -rasm. Balka

Balka kesimini tanlash uchun uning balandligini $h = 1,2 \sqrt{\frac{W}{\delta}}$ taqrifiy formuladan topamiz. Balka devorining qalinligini urinma kuchlanish bo'yicha mustahkamlit shartidan tanlanadi. Ko'ndalang kuch Q butunlay devorga tasir qilganligi uchun uni balandligi h va qalinligi δ bo'lgan to'g'ri to'rburchak deb qabul qilib, shartli ravishda quyidagicha hisoblash mumkin:

$$\tau_{\max} = \frac{3}{2} \cdot \frac{Q_{\max}}{h \cdot \delta} \leq [\tau]$$

$$\text{buerdan } \delta \geq \frac{3Q_{\max}}{2[\tau] \cdot h} = \frac{3 \cdot 540000}{2 \cdot 1000 \cdot 100} = 0,81 \text{ sm}$$

$$\text{Unda: } h = 1,2 \sqrt{\frac{W}{\delta}} = 1,2 \sqrt{\frac{5570}{0,8}} \approx 100 \text{ sm}.$$

Biz $h = 102 \text{ sm}$ va $\delta = 0,8 \text{ sm}$ qabul qilamiz. Balka kesimining har bir tokchasida bittadan qalinligi 10 mm bo'lgan gorizontal list o'matiladi. Unda talab qilingan netto inertsiya momenti:

$$I_{\text{NETTO}} = W \cdot \frac{h}{2} = 5570 \cdot 51 = 284000 \text{ mm}^4$$

Parchin mix o'rni uchun tayyorlangan teshiklar balka kesimini taxminan 15%ga zaiflashtiradi. Unda kerak bo'lgan brutto inertsiya momenti:

$$I_{\text{BUTTO}} = \frac{284000}{0,85} = 334000 \text{ mm}^4$$

Balka tokchalarining kesimini tanlaymiz. Tokchaga biriktiriluvchi burchak tomonlarining o'lchamlari balka balandligiga taxminan $\frac{1}{10}$ nisbatda olinadi. Unda $100 \times 100 \times 8 \text{ mm}$ teng tomonli burchak qabul qilamiz. Teng tomonli burchakning geometrik xarakteristikalarini yozamiz: kesim yuzasi $A_\delta = 15,6 \text{ sm}^2$, inertsiya momentlari $I_{x\delta} = 147 \text{ sm}^4$, $I_{xO} = 233 \text{ sm}^4$, $I_{wO} = 60,9 \text{ sm}^4$, $I_{x1} = 265 \text{ sm}^4$ og'irlilik markazining koordinatasi $z_O = 2,75 \text{ sm}$. Devor va burchak

Yuk osilgan kesimda

$$Q_{\max} = 540 \text{ kN} \quad \text{va}$$

$$M_{\max} = 540 \cdot 1,65 = 891 \text{ kN} \cdot \text{m}$$

Balka uchun talab etilgan karshilik momenti:

$$W = \frac{M_{\max}}{[\sigma]} = \frac{8910000}{1600} = 5570 \text{ sm}$$

$$h = 1,2 \sqrt{\frac{W}{\delta}}$$

taqrifiy

formuladan topamiz. Balka devorining qalinligini urinma kuchlanish bo'yicha

mustahkamlit shartidan tanlanadi. Ko'ndalang kuch Q butunlay devorga tasir

qilganligi uchun uni balandligi h va qalinligi δ bo'lgan to'g'ri to'rburchak deb qabul qilib, shartli ravishda quyidagicha hisoblash mumkin:

$$\tau_{\max} = \frac{3}{2} \cdot \frac{Q_{\max}}{h \cdot \delta} \leq [\tau]$$

$$\text{buerdan } \delta \geq \frac{3Q_{\max}}{2[\tau] \cdot h} = \frac{3 \cdot 540000}{2 \cdot 1000 \cdot 100} = 0,81 \text{ sm}$$

$$\text{Unda: } h = 1,2 \sqrt{\frac{W}{\delta}} = 1,2 \sqrt{\frac{5570}{0,8}} \approx 100 \text{ sm}.$$

Biz $h = 102 \text{ sm}$ va $\delta = 0,8 \text{ sm}$ qabul qilamiz. Balka kesimining har bir tokchasida bittadan qalinligi 10 mm bo'lgan gorizontal list o'matiladi. Unda talab qilingan netto inertsiya momenti:

$$I_{\text{NETTO}} = W \cdot \frac{h}{2} = 5570 \cdot 51 = 284000 \text{ mm}^4$$

Parchin mix o'rni uchun tayyorlangan teshiklar balka kesimini taxminan 15%ga zaiflashtiradi. Unda kerak bo'lgan brutto inertsiya momenti:

$$I_{\text{BUTTO}} = \frac{284000}{0,85} = 334000 \text{ mm}^4$$

Balka tokchalarining kesimini tanlaymiz. Tokchaga biriktiriluvchi burchak tomonlarining o'lchamlari balka balandligiga taxminan $\frac{1}{10}$ nisbatda olinadi. Unda $100 \times 100 \times 8 \text{ mm}$ teng tomonli burchak qabul qilamiz. Teng tomonli burchakning geometrik xarakteristikalarini yozamiz: kesim yuzasi $A_\delta = 15,6 \text{ sm}^2$, inertsiya momentlari $I_{x\delta} = 147 \text{ sm}^4$, $I_{xO} = 233 \text{ sm}^4$, $I_{wO} = 60,9 \text{ sm}^4$, $I_{x1} = 265 \text{ sm}^4$ og'irlilik markazining koordinatasi $z_O = 2,75 \text{ sm}$. Devor va burchak

brutto inertsiya momentlarini hisoblaymiz:

$$I_{cr} = \frac{\delta \cdot h^3}{12} = \frac{0,8 \cdot (100)^3}{12} = 66700 \text{ sm}^4$$

$$I_{vr} = 4[I_{x\delta} + A_\delta \cdot y_\delta^2] = 4 \cdot [147 + 15,6 \cdot (47,2)^2] = 142400 \text{ sm}^4$$

buerda $y_\delta = \frac{h}{2} - z_0 = \frac{100}{2} - 2,75 = 47,25 \text{ sm}$

Gorizontal listlarning inertsiya momenti

$$I_{J} = I_{SEYTTO} - I_{cr} - I_{vr} = 334000 - 66700 - 142400 = 124900 \text{ sm}^4$$

Qalinligi $h_n = 10 \text{ mm}$ bo'lgan har bir list kesimining eni- b -ni tokcha kesim yuzasini balkaning neytral o'qiga nisbatan inertsiya momentidan foydalaniib xisoblaymiz. Polka kesimining enini $b = 250 \text{ mm}$ qabul qilamiz

$$I_{J} = 2 \cdot \left[\frac{b \cdot h_n^3}{12} + b \cdot h_n \cdot (y_n)^2 \right] = 2 \cdot \left[\frac{25 \cdot 1^3}{12} + 25 \cdot 1 \cdot (50,5)^2 \right] = 127516 \text{ sm}^4$$

buerda $y_n = \frac{h}{2} + \frac{h_n}{2} = \frac{100}{2} + \frac{1}{2} = 50,5 \text{ sm}$

$$I_{SEYTTO} = I_{J} + I_{cr} + I_{vr} = 127516 + 66700 + 142400 = 336616 \text{ sm}^4$$

inertsiya momentini topamiz.

Kesimning zaiflashganini va xavfli kesimdag'i kuchlanishni xisoblaymiz. Parchin mix diametrini $d = 20 \text{ mm}$ qabul qilamiz. Parchin mix teng tomonli burchakni balkaning gorizontal tokchasi va vertikal devorlarini biriktirish uchun ishlataladi. Teng tomonli burchakni vertikal qismi balka devoriga bikrlik qirrasi rolini o'ynaydi. Kesimni zaiflashishi parchin mix o'mni uchun tayyorlangan teshiklar hisobiga balka kesim yuzasini va uning inertsiya momentini keskin kamayishi bilan belgilanadi. Inertsiya momentini kamayishi balka kesimini I_{brutto} - inertsiya momentidan teshiklar kesim yuzalarini neytral o'qga nisbatan inertsiya momentini - I_{OTB} ayirmasiga teng

$$I_{brutto} = I_{brutto} - I_{otv} = 336616 - 46200 = 290416 \text{ sm}^4$$

buerda

$$I_{otv} = 4d(h_n + t_\delta) \left[\left(\frac{h}{2} + h_n \right) - \frac{1}{2} \left(\frac{h}{2} + t_\delta \right) \right]^2 + 2d \cdot \delta (15^2 + 30^2 + 45^2) =$$

$$4 \cdot 2 \cdot 1,8 \cdot (50,1)^2 + 2 \cdot 2 \cdot 0,8 \cdot 3150 = 46200 \text{ sm}^4$$

buerda b_i, h_i, t_i - teng tomonli burchakning o'lchamlari

Ushbu inertsiya momentini hisoblashda teng tomonli burchakning vertikal qirrasidagi teshik kesim yuzasi e'tiborga olinmadidi, chunki bu teshik yuzasining markaziy o'qida normal kuchlanishning qiymati tarkibiy balka xavfli kesimdag'i

kuchlanishdan kichik. Zaiflashgan kesimning qarshilik momenti:

$$W = \frac{I_{\text{netto}}}{\frac{h}{2} + h_n} = \frac{290416}{\frac{100}{2} + 1} = 5694 \text{ sm}^3$$

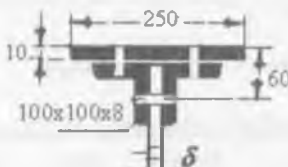
Balka xavfli nuqtasidagi eng katta kuchlanish

$$\sigma_{\max} = \frac{M_{\max}}{W} = \frac{8190000}{5694} = 1564 < 1600 \frac{\kappa G}{\text{sm}^2}$$

Balka kesimning devoridagi urinma kuchlanishni tekshiramiz. Buning uchun balka kesimining neytral o'qidan bir tomonda joylashgan yuzasining brutto statik momentini xisoblaymiz:

$$S_{OB} = b \cdot h_n \left(\frac{h + h_n}{2} \right) + 2A_E \left(\frac{h}{2} - z_O \right) + \delta \cdot \frac{h}{2} \cdot \frac{h}{4} = \\ = 25 \cdot 1 \cdot 50,5 + 2 \cdot 15,6 \cdot 47,2 + 50 \cdot 0,8 \cdot 25 = 3735 \text{ sm}^3$$

Neytral qatlamdagagi urinma kuchlanish $\tau_{\max} = \frac{Q \cdot S_{OB}}{I_{\text{brutto}} \cdot \delta} = \frac{540000 \cdot 3735}{336616 \cdot 0,8} = 745 \frac{\kappa G}{\text{sm}^2}$



Parchin mixni
xisoblash sxemasi

keluvchi kuch $t_F = \frac{Q \cdot S_1}{I}$ formuladan topiladi.

Parchin mix qadamini α - bilan belgilaymiz. Balkaning chetki oraliqlarida ko'ndalang kuch o'zgarmas bo'lganligi uchun, kesuvchi kuch gorizontal kesimda -tokchada teng taqsimlanadi. Bitta parchin mixdagagi kesuvchi kuch $T = t_F \cdot \alpha = 438,75 \kappa G$. Bu shart parchin mixni qirqilishiga va ezilishga qarshilik kuchidan ortib ketmasligi kerak. α -ni hisoblash uchun 2 ta shartdan foydalanamiz:

1) $T \leq 2 \cdot \frac{\pi \cdot d^2}{4} [\tau]$ - ikki qirqimli parchin mixni qirqilishga

2) $T \leq d \cdot \delta \cdot [\sigma]_{sm}$ - ezilishga

Birinchi shartdan $a \leq 2 \cdot \frac{3,14 \cdot 2^2}{438,75 \cdot 4} \cdot 1000 = 14,31 sm$

Ikkinci shartdan $a \leq \frac{2 \cdot 0,8 \cdot 2800}{438,75 \cdot 4} = 10,21 sm$

Gorizontal va vertikal parchin mixlar uchun $a = 100\text{mm}$ qabul qilamiz. Bosh kuchlanishlarni tekshirish balka devorini teng tomonli burchak bilan biriktirilgan kesimida bajariladi, chunki shu kesimda tokchadan devorga kesuvchi kuch uzatiladi.

$$\text{Normal kuchlanish } \sigma = \frac{M \cdot y}{I_{\text{NETTO}}} = \frac{8910000 \cdot 45}{290416} = 1380 \frac{\kappa G}{\text{sm}^2}$$

$$\text{Urinma kuchlanish } \tau = \frac{Q \cdot S}{I_{\text{NETTO}} \cdot \delta} = \frac{540000 \cdot 2925}{336616 \cdot 0,8} = 586 \frac{\kappa G}{\text{sm}^2}$$

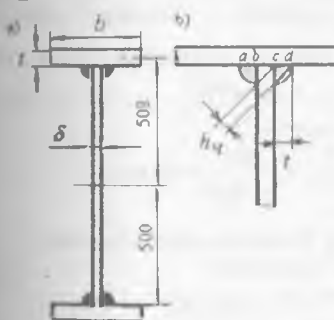
$S = 2735 + 0,8 \cdot 5 \cdot 47,5 = 2925 \text{sm}^3$ -bosh kuchlanishlarni tekshirish nutasidan yuqorida qolgan balka kesim yuzasini neytral o'qga nisbatan statik momenti. Bosh kuchlanish

$$\sigma_{\text{max}} = \frac{\sigma}{2} + \sqrt{\left(\frac{\sigma}{2}\right)^2 + \tau^2} = \frac{1380}{2} + \sqrt{\left(\frac{1380}{2}\right)^2 + (586)^2} = 1595 \frac{\kappa G}{\text{sm}^2}$$

Payvand balkalar. Payvand balkalarni tokchasi qalinligi kataroq bo'lgan gorizontal list tayyorlanib, devor bilan ikkita burchakli chok yordamida payvandlanadi.

Payvand balkalarda kesimni tanlash parchin mixli balkalardagi kesimni flashmagan. Rasmida ko'rsatilgan balka uchun payvand tarkibli kesim tanlansin.

Balkani devori $1000 \times 8\text{mm}$ inertsiya momenti $I_{CT} = 66700 \text{sm}^4$



Gorizontal listni qalinligini $h_n = 16\text{mm}$ qabul qilamiz, uning eni - b - ni topish uchun tokchani inertsiya momentini hisoblaymiz

6.31 - rasm

$$I_{Ip} = \frac{1}{2} (I_{\text{netto}} - I_{st}) = \frac{1}{2} (290416 - 66700) = 111858 \text{sm}^4$$

Polka kesim yuzasini neytral o'qga nisbatan inertsiya momenti formulasidan (o'zining markaziy o'qiga nisbatan inertsiya momentini e'tiborga olinmasdan) polka kesim yuzasining enini topamiz:

$$b \cdot h_n \cdot (50,8)^2 = 111858 \text{sm}^4 \text{ va } b = 27,0 \text{sm}. \text{ Balkani inertsiya momenti}$$

$$I = 2 \cdot b \cdot h_n \cdot \left(\frac{h}{2} + \frac{h_n}{2}\right)^2 + \frac{\delta \cdot h^3}{12} = 2 \cdot 27 \cdot 1,6 \cdot (50,8)^2 + \frac{0,8 \cdot (100)^3}{12} = 289634 \text{sm}^4$$

$$\text{va qarshilik momenti } W = \frac{I}{\frac{h}{2} + h_n} = \frac{289634}{51,6} = 5613 \text{ sm}^3$$

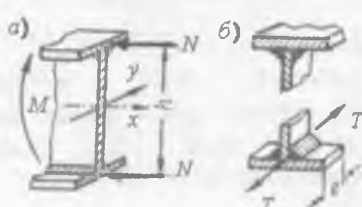
$$\sigma_{\text{max}} = \frac{M_{\text{max}}}{W} = \frac{8190000}{5613} = 1587 \frac{\kappa G}{\text{sm}^2}$$

Chok kalinligini payvand uchun $[\tau] = 800 \frac{\kappa G}{\text{sm}^2}$ ruxsat etilgan kuchlanishdan foydalanib topamiz. Tokcha bilan devor orasidagi bir birlik uzunlikka to'g'ri keluvchi kesuvchi kuch $t_F = \frac{Q \cdot S_f}{I}$. Tokcha kesim yuzasining statik momenti

$$S_n = b \cdot h_n \left(\frac{h + h_n}{2} \right) = 27 \cdot 1,6 \cdot \left(\frac{100 + 1,6}{2} \right)^3 = 2195 \text{ sm}^3$$

$$t_F = \frac{54000 \cdot 2195}{289634} = 409 \frac{\kappa G}{\text{sm}}$$

Bu kuch chokni ab, cd yuzalarida ta'sir etadi



6.32 – rasm. Payvand birikmali kesimlar

Amalda burchakli chokni qalinligi 6 mm dan kichik olinmaydi. Payvand balkalarda bosh kuchlanishlar chok qatlamida tekshiriladi.

$$\text{Normal kuchlanish } \sigma = \frac{M \cdot y}{I} = \frac{8910000 \cdot 50}{289634} = 1538 \frac{\kappa G}{\text{sm}^2}$$

$$\text{Urinma kuchlanish } \tau = \frac{t_F}{\delta} = \frac{409}{0,8} = 511 \frac{\kappa G}{\text{sm}^2}$$

Bosh kuchlanish

$$\sigma_{\text{max}} = \frac{\sigma}{2} + \sqrt{\left(\frac{\sigma}{2}\right)^2 + \tau^2} = \frac{1538}{2} + \sqrt{\left(\frac{1538}{2}\right)^2 + (511)^2} = 1692 \frac{\kappa G}{\text{sm}^2}$$

O'ta kuchlanish 5,75% ni tashkil etadi, bunga yo'l qo'yish mumkin emas. Buning uchun tokcha (list) qalinligini to'g'ri tanlash lozim.

Tokcha kesimning o'lchamlarini taxminiy belgilash uchun tokchalarga eguvchi moment elkasi h -ga teng bo'lgan (80-85%) just kuchlar N tarzda

Burchakli choklar uchun hisoblashda $h = 0,7 \cdot t$ o'lcham ishlatalidi. Shuning uchun chokni qalinligi h -ni $t_F = 1,4 \cdot h \cdot [\tau]$ tenglikdan topamiz:

$$h_u = \frac{409}{1,4 \cdot 800} = 0,365 \text{ sm}$$

ta'sir qiladi deb taxmin qilinadi (6.32-rasm). Demak, $N = \frac{0,8 \cdot M}{h}$. Kuch tokchalarini cho'zilishiga va sifilishiga sabab buladi. Shuning uchun tokcha kesimining yuzasi

$$A_{tokcha} \geq \frac{N}{[\sigma]} = \frac{0,8 \cdot M}{h \cdot [\sigma]} = \frac{0,8 \cdot 8910000}{100 \cdot 1600} = 44,6 \text{ sm}^2$$

Konstruktiv mulohazalarga ko'ra tokchalarning enini $b = (0,3 \dots 0,4)h$ deb olinadi. Bizda $b = (0,3 \dots 0,4) \cdot 100 = 100 \dots 25 \text{ sm}$ yoki $b = 27 \text{ sm}$ deb olib tokchaning qalinligini topamiz $h_n = \frac{A_{tokcha}}{b} = \frac{44,6}{27} = 1,65 \text{ sm}$. $h_n = 1,8 \text{ sm}$ qabul qilamiz. belgilangan o'lchamlar asosida kesimning markaziy o'qqa nisbatan inertsiya momentini hisoblaymiz:

$$I = 2 \cdot b \cdot h_n \cdot \left(\frac{h+h_n}{2} \right)^2 + \frac{\delta \cdot h^3}{12} = 2 \cdot 27 \cdot 1,8 \cdot (50,9)^2 + 66667 = 318494 \text{ sm}^4$$

Balka kesimining karshilik momenti

$$W = \frac{I}{\frac{h}{2} + h_n} = \frac{318494}{51,8} = 6148 \text{ sm}^3$$

$$\text{Kuchlanish } \sigma = \frac{8910000}{6148} = 1450 \frac{\kappa G}{\text{sm}^2}$$

Tokcha kesim yuzasining statik momenti

$$S_n = 27 \cdot 1,8 \cdot \left(\frac{100+1,8}{2} \right)^3 = 2473 \text{ sm}^3$$

$$\text{va urinma kuch } t_F = \frac{54000 \cdot 2473}{318494} = 419 \frac{\kappa G}{\text{cm}}$$

$$\text{Chokni qalinligi } h_q = \frac{419}{1,4 \cdot 800} = 0,374 \text{ sm}$$

$$\text{Normal kuchlanish } \sigma = \frac{M \cdot y}{I} = \frac{8910000 \cdot 50}{318494} = 1400 \frac{\kappa G}{\text{sm}^2}$$

$$\text{Urinma kuchlanish } \tau = \frac{t_F}{\delta} = \frac{419}{0,8} = 524 \frac{\kappa G}{\text{sm}^2}$$

Bosh kuchlanish

$$\sigma_{max} = \frac{\sigma}{2} + \sqrt{\left(\frac{\sigma}{2}\right)^2 + \tau^2} = \frac{1400}{2} + \sqrt{\left(\frac{1400}{2}\right)^2 + (524)^2} = 1574 \frac{\kappa G}{\text{sm}^2}$$

VII. BOB. EGILISHDA BALKALARING KO'CHISHINI ANIQLASH

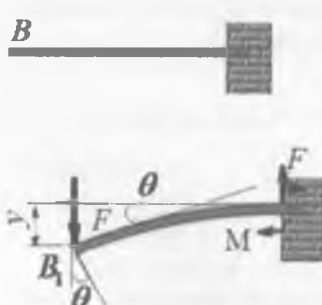
Muxandislik inshootlari yoki mashina va mexanizm elementlarini englishida kesim yuzadagi kuchlanishlarni hisoblash va tarqalish qonuniyatini o'rganishda-egilish deformatsiyasiga kuchlanishni aniqlash nuqtai nazaridan e'tibor bergen edik.

Hisoblangan kuchlanishlar konstruktsiyaning mustahkamligini tekshirish imkonini beradi. biroq mustahkamligi etarli bo'lgan balkalar bikrliqi etarli darajada bo'lmasligi tufayli foydalanishga yaroqsiz bo'lishi mumkin. Masalan, tommi yopuvchi plitalarni ko'taradigan balkalar, ko'priklari kranlarni asoslari (balkasi), ko'priklarni ramalari, uzatmalarni vallari va h.k.



Agar balka ushbu balka uchun belgilangan chegaraviy egilishdan ko'proq egiladigan bo'lsa, inshootdan foydalanishda qo'shimcha qiyinchiliklar paydo bo'ladi.

Balkaning bikrligini tekshirish uchun uning o'qida yetuvchi ayrim nuqtalarining ko'chishlarini topishni o'rganish lozim



7.1 – rasm. Egilish

7.1. Salqiliq va kesimning aylanish burchagi.

Balkani biror inertsiya o'qi tekisligida tashqi kuch bilan yuklansa, uning o'qi shu inertsiya o'qi tekisligida egri bo'ladi, ya'ni tekis egilish sodir bo'ladi. Unda B nuqta B_1 holatga ko'chadi (7.1 – rasm). Bu ko'chish F kuch yo'naliishida sodir bo'lib, balkaning salqiligi deyiladi

Salqilik- y bilan belgilanadi. Balka egri o'qining tenglamasi $y = f(x)$. Aslida, balkaning o'qi neytral qatlamda yotgani uchun uning uzunligi o'zgarmagani sababli B_1 nuqta vertikal chiziqdandan bir tomonga qochishi kerak, biroq balkaning uzunligiga nisbatan salqilik juda kichik miqdor va ikkinchi tartibli kichik miqdor bo'lganligi uchun u e'tiborga olinmaydi.

Egilishgacha tekis bo'lgan balkaning kesimi, deformatsiyadan keyin ham tekisligicha qolib, o'zining boshlang'ich holatiga nisbatan θ burchakka aylanadi. Shuning uchun θ burchak balka kesimini aylanish burchagi deyiladi. y va θ abstsissanning funksiyasi. Balkaning har bir kesimi uchun y bilan θ

orasida matematik bog'lanish bor:

$$\operatorname{tg} \theta = \frac{dy}{dx}$$

Burchak θ ni juda kichik miqdor ekanligini hisobga olsak,

$$\operatorname{tg} \theta = \theta \quad \text{yoki} \quad \theta = \frac{dy}{dx} \quad (7.1)$$

Demak, balka har bir kesimining aylanish burchagi θ shu kesimdagi salqilik y dan abtsissa bo'yicha olingan birinchi tartibli hosilaga teng.

Balka bikrligini tekshirish uchun eng katta salqilik $y_{\max} = f$ balka prolyotining qandaydir ulushidan oshib ketmaganligini aniqlashdan iborat $f = \frac{1}{300...1000}$. Mas'uliyatli inshootlar, masalan temir yo'l ko'priklari uchun $f = \frac{\ell}{1000}$ olinadi. Bundan ko'rinish turibdiki, egilishda salqilik balka prolyotiga nisbatan juda kichik bo'ladi.

Egilishda ko'chishni aniqlashni ikkita maqsadi bor:

1) yuklanish ta'sirida balkaning elastik deformatsiyasini naqadar kichik bo'lishini ta'minlash;

2) statik noaniq masalalarni, masalan uzluksiz balkalar va statik noaniq ramalarni Yechish.

Salqilik va kesimni aylanish burchagini analitikaviy va tajriba usullari bilan aniqlash mumkin. Analitikaviy usullar quyidagilardan iborat:

- 1) balka egilgan o'qining taqribi tenglamasini uzluksiz integrallash usuli;
- 2) boshlang'ich parametrlar usuli;
- 3) grafoanalitik usul;
- 4) energetik usul.

Balkaning deformatsiyasini o'rganish, uni egilgan o'qining tenglamasini tuzish va hosil bo'lgan tenglamani differentsiyalash usuli bilan balkaning istalgan kesimini aylanish burchagi θ ni topish mumkin.

7.2. Balka egilish o'qining differentsiyal tenglamasi

Salqilik y ni abtsissa funktsiyasi ko'rinishida hosil qilish uchun, balkani deformatsiyasini tashqi kuch bilan bog'lash kerak. Shunday bog'lanish, birinchidan balkaning egrilik radiusi bilan eguvchi moment, balka materialining elastiklik modulli va balka kesimining inertsiya momenti orasidagi bog'lanish va ikkinchidan egrilik radiusi ρ bilan uning x va y koordinatalari orasidagi bog'lanish, ya'ni $\frac{1}{\rho} = \frac{M}{EI}$; (7.2)

$$\frac{1}{\rho} = \pm \sqrt{\frac{d^2y}{dx^2}} \quad (7.3) \quad \text{unda} \quad \frac{M}{EI} = \pm \sqrt{\frac{d^2y}{dx^2}} \quad (7.4)$$

(7.4) formula balka egilgan o'qining differentsiyal tenglamasi. Amaliyotda burchak $\theta = \frac{dy}{dx}$ kichik miqdor, shuning uchun uning kvadrati yana ham kichik bo'ladi. Demak, (7.4) formuladagi $\left(\frac{dy}{dx}\right)^2$ ifodani birga nisbatan hisobga

$$\text{olmasak ham bo'ladi. Unda } \pm \frac{d^2y}{dx^2} = \frac{M}{EI} \text{ yoki } EI \frac{d^2y}{dx^2} = \pm M \quad (7.5)$$

Bu formula balka egilgan o'qining taqribiylar differentsiyal tenglamasi deyiladi. (7.5) tenglamaning ishorasi M eguvchi momentning ishorasiga bog'liq.

Balka egilgan o'qining taqribiylar differentsiyal tenglamasini integrallash usuli. Balka egilgan o'qining differentsiyal tenglamasidan salqilik tenglamasi $y = f(x)$ ni hosil qilish uchun, (7.5) tenglamani integrallash kerak:

$$\text{birinchi tartibli integrali: } EI \frac{dy}{dx} = \int M dx + C$$

va ikkinchi tartibli integrali: $EI \cdot y = \int dx \int M dx + CX + D$ ko'rinishda bo'ladi.

Unda kesimni aylanish burchagi $\theta = \frac{1}{EI} \left[\int M dx + C \right]$ va salqilik

$$y = \frac{1}{EI} \left[\int dx \int M dx + CX + D \right] \quad (7.6) \quad \text{tenglamalarini hosil qilamiz.}$$

bu erda S va D – integrallash doimiyliklari, ulami

balka uchlarini tayanchlarga tayanish shartlarida topamiz
Agar, $M = -FX$ bo'lsa aylanish burchagi va

salqilik tenglamalari quyidagicha ko'rinishga keladi:



$$\theta = \frac{1}{EI} \left[-F \frac{x^2}{2} + C \right] \quad \text{a)} \quad y = \frac{1}{EI} \left[-F \frac{x^3}{6} + CX + D \right] \quad \text{b)}$$

Integrallash doimiyları S va D ni topamz:

agar, $x = 0$ bo'lsa, a) tenglamadagi kesimni aylanish burchagi θ balka V kesimining, ya'ni boshlang'ich kesimining aylanish burchagi θ_0 ga teng bo'ladi.
 θ_0 nolga teng emas, shuning uchun

$$\theta = \theta_0 = \theta_0 = \frac{C}{EI} \quad \text{yoki} \quad C = \theta_0 EI \quad (\text{v})$$

hosil bo'ladi.

Demak, integrallash doimiysi S balka boshlang'ich kesimining aylanish burchagi θ_0 ni balkaning bikrligi EI ga ko'paytmasiga teng ekan.

(b) tenglamadan kesimni aylanish burchagi y balka V nuqtasining, ya'ni boshlang'ich nuqtasining salqidligi y_0 ga teng bo'ladi. y_0 nolga teng emas, shuning uchun

$$y = y_B = y_0 = \frac{D}{EI} \quad \text{va} \quad D = y_0 EI \quad (\text{g})$$

Demak, integrallash doimiysi D balka boshlang'ich nuqtasining salqiligi y_0 ni balkaning bikrligi EI ga ko'paytmasiga teng.

Agar, $x = \ell$ bo'lsa, K tayanch kesim qo'zg'almas bo'lganligi uchun, bu nuqtaning salqiligi nolga teng, unda (a) tenglamadan $\theta = \theta_K = 0$ va (b) tenglamadan $y = y_K = 0$ hosil bo'ladi.

$$(a) \text{ tenglamadan } C = \frac{F\ell^2}{2} \text{ ifodani (b) tenglamaga keltirib qo'yamiz va}$$

$$D = \frac{F\ell^3}{6} - \frac{F\ell^2}{2} \cdot \ell = -\frac{F\ell^3}{3} \text{ ifodani hosil qilamiz.}$$

S va D integrallash doimiyalarini (a) va (b) tenglamalarga keltirib qo'ysak:

$$\theta = \frac{1}{EI} \left[-F \frac{x^2}{2} + F \frac{\ell^2}{2} \right] \quad \text{va} \quad y = \frac{1}{EI} \left[-F \frac{x^3}{6} + F \frac{\ell^3}{2} x - \frac{F\ell^3}{3} \right]$$

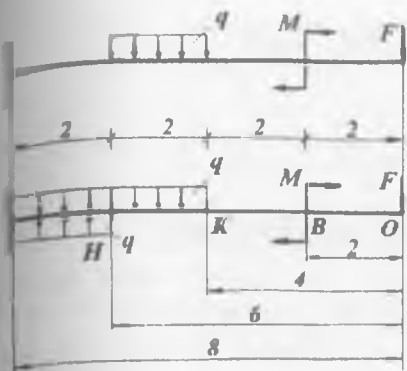
hosil bo'ladi. Bu tenglamalardan x ni turli qiymatlarida balkanining uzunligi bo'ylab kesimni aylanish burchagi θ va salqilik y - topiladi.

7.3. Boshlang'ich parametrlar usuli

Uzunligi bo'ylab bir nechta oraliqlardan iborat bo'lgan har qanday balka uchun ham θ va y - larni aniqlashda, taqrribi differentsial tenglamani tadbiq etish foydali bo'lavermaydi. Chunki, n - ta oraliqdan iborat balkani deformatsiyasini aniqlash uchun n - ta taqrribi differentsial tenglama tuzish kerak. Bu tenglamalarni integrallash natijasida $2n$ -ta integrallash doimiyliklari hosil bo'ladi va masalani Yechish murakkablashadi. Shuning uchun, uzunligi bo'ylab ikkita va undan ko'proq oraliqlardan iborat balkalarda elastik egilgan o'qning differentsial tenglamasini tadbiq etish va undagi doimiyarni aniqlash ancha murakkab va noqulay.

Agar, balkani deformatsiyasiga ta'sir qilmagan holda uning sxemasini o'zgartirishda va elastik egilgan o'qning differentsial tenglamasini integrallashda ayrim cheklanishlarni qabul qilsak, differentsial tenglamalardagi $2n$ - ta noma'lumni 2-taga qadar kamaytirish mumkin. Buning uchun quyidagi cheklanishlarni qabul qilamiz:

- 1) balkani XOU koordinata sistemasiga joylashtiramiz va balkani boshlang'ich nuqtasini aniqlaymiz;
- 2) balkaning oraliq masofalarini, koordinata boshidan ma'lum tartibda joylashtiramiz;
- 3) Balkaning biror oraliqdagi taqsimlangan kuch intensivligini ta'siri, balkani oxirigacha davom etmasa, balkani shu oraliqlarini o'zar teng va qarama-qarshi yo'nalgan taqsimlangan kuch intensivligi bilan to'ldiramiz;
- 4) Juft kuch momentini MX^0 - ko'rinishda yozamiz;



7.2 - rasm. Universal formulani hosil qilish sxemasi

OV - qirqim. $0 \leq x_1 \leq 2M$ oraliq uchun taqrifiy differenttsial tenglama $EI \cdot y_1'' = -Fx_1$ Ushbu tenglamani birinchi tartibli integrali

$$EI \cdot y_1' = -F \frac{x_1^2}{2} + C_1$$

$$\text{va ikkinchi tartibli integrali } EI \cdot y_1 = -F \frac{x_1^3}{6} + C_1 x_1 + D_1$$

OK - qirqim. $2 \leq x_2 \leq 4M$ oraliq uchun taqrifiy differenttsial tenglama $EI \cdot y_2'' = -Fx_2 - M(x_2 - 2)^0$;

Ushbu tenglamani birinchi tartibli integrali

$$EI \cdot y_2' = -F \frac{x_2^2}{2} - M(x_2 - 2)' + C_2$$

$$EI \cdot y_2 = -F \frac{x_2^3}{6} - M \frac{(x_2 - 2)^2}{2} + C_2 x_2 + D_2$$

va ikkinchi tartibli integrali

ON - qirqim. $4 \leq x_3 \leq 6M$ oraliq uchun taqrifiy differenttsial tenglama $EI \cdot y_3'' = -Fx_3 - M(x_3 - 2)^0 - q \frac{(x_3 - 4)^2}{2}$

Ushbu tenglamani birinchi tartibli integrali

5) Differenttsial tenglamani integrallashda – qavslarni ochmaymiz. Integrallashni quyidagicha bajaramiz:

$$\int (x-a)^n dx = \frac{(x-a)^{n+1}}{n+1}$$

Balkani har bir oraliqlari uchun egilgan o'qning differenttsial tenglamasini tuzamiz va integrallaymiz:

$$EI \cdot y_3' = -F \frac{x_3^3}{2} - M(x_3 - 2)' - q \frac{(x_3 - 4)^3}{6} + C_3$$

va ikkinchi tartibli integrali

$$EI \cdot y_3 = -F \frac{x_3^3}{6} - M \frac{(x_3 - 2)^2}{2} - q \frac{(x_3 - 4)^4}{24} + C_3 x_3 + D_3$$

OJ – qirqim. $6 \leq x_4 \leq 8 \text{ m}$ oraliq uchun taqrifiy differentialsial tenglama

$$EI \cdot y_4'' = -F x_4 - M(x_4 - 2)^0 - q \frac{(x_4 - 4)^2}{2} + q \frac{(x_4 - 6)^2}{2}$$

Ushbu tenglamani birinchi tartibli integrali

$$EI \cdot y_4' = -F \frac{x_4^3}{2} - M(x_4 - 2)' - q \frac{(x_4 - 4)^3}{6} + q \frac{(x_4 - 6)^3}{6} + C_4$$

va ikkinchi tartibli integrali

$$EI \cdot y_4 = -F \frac{x_4^3}{6} - M \frac{(x_4 - 2)^2}{2} - q \frac{(x_4 - 4)^4}{24} + q \frac{(x_4 - 6)^4}{24} + C_4 x_4 + D_4$$

Integrallash doimiyliklarini aniqlaymiz:

$x_1 = 2 \text{ m}$ va $x_2 = 2 \text{ m}$ bo'lsa $y_1' = y_2'$ va $y_1 = y_2$ hosil bo'ladi, ya'ni OV oraliqdan KV oraliqga o'tish kesimidagi aylanish burchaklari va salqiliklari teng:

$$-F \frac{4}{2} + C_1 = -F \frac{4}{2} + C_2 \quad \text{va} \quad -F \frac{8}{6} + C_1 \cdot 2 + D_1 = -F \frac{8}{6} + C_2 \cdot 2 + D_2$$

Shuning uchun $S_1 = S_2$ va $D_1 = D_2$.

Shu usul bilan $x_2 = 4 \text{ m} = x_3$ nuqtada $y_2' = y_3'$ va $u_2 = u_3$ tengliklar asosida $S_3 = S_2$ va $D_2 = D_3$ lar; $x_3 = 6 \text{ m}$ $x_4 = 6 \text{ m}$ nuqtada $y_3' = y_4'$ va $u_3 = u_4$. Shuning uchun $S_3 = S_4$ va $D_3 = D_4$ tengliklar hosil qilinadi.

Demak, $S_1 = S_2 = S_3 = S_4 = S$ va $D_1 = D_2 = D_3 = D_4 = D$ ko'rinishda hamma integralash doimiyliklari o'zaro teng ekanligi kelib chiqadi. To'rtta oraliqdan iborat balkani differentialsial tenglamalarini integralashda hosil bo'lgan sakkizta noma'lum integralash doimiyliklari ikkita keltiriladi. Bu doimiyliklarni: $C = EI \cdot \theta_0$ va $D = EI \cdot y_0$ ko'rinishda, ya'ni balkani boshlang'ich kesimini aylanish burchagi θ_0 va salqiligi u_0 orqali ifodalash mumkin. Barcha integralash doimiyliklari tengligidan foydalanim balkanining oxirgi oraliqlari uchun differentialsial tenglamani quyidagicha ko'rinishda yozamiz:

$$\theta = \theta_0 + \frac{1}{EI} \left[-F \frac{x^2}{2} - M(x-2)' - q \frac{(x-4)^3}{6} + q \frac{(x-6)^3}{6} \right] \quad (7.7)$$

$$y = y_0 + \theta_0 x + \frac{1}{EI} \left[-F \frac{x^3}{6} - M \frac{(x-2)^2}{2} - q \frac{(x-4)^4}{24} + q \frac{(x-6)^4}{24} \right] \quad (7.8)$$

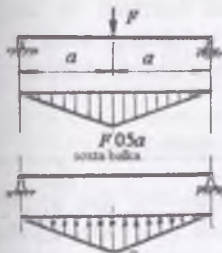
Hosil bo'lgan tenglamalar (7.7) va (7.8) universal formulalar deyiladi. Formulaning universalligi, uning balkani uzunligi bo'ylab barcha oraliqlarini hisobga olishida. Balkani qaysi oraliqining deformatsiyasini o'rganish kerak bo'lisa, universal formulada – shu oraliqdagi kuchlar qoldiriladi; boshqa kuchlar esa tashlab yuboriladi. Balkaning barcha oraliqlari uchun θ_0 va y_0 lar umumiy.

7.4. Egilishda ko'chishni topishning grafoanalitik usuli

Grafoanalitik usul bilan balkani tanlangan kesimining salqiligi va aylanish burchagini aniqlash mumkin. Bu usulni analitik tomoni balka egilgan o'qining taqrifiy differentials tenglamasiga asoslangan, ya'ni:

$$\frac{d^2(EI \cdot y)}{dx^2} = EI \frac{d^2y}{dx^2} = M \quad (7.9)$$

bu erda: M – berilgan balkanining eguvchi momenti (7.3 –rasm)



7.3 – rasm. Haqiqiy va soxta balkalar

soxta kuch intensivligi q_f – haqiqiy balkanining eguvchi momenti qonuniyat bilan o'zgaradi. Soxta kuch intensivligi bilan soxta eguvchi moment orasidagi differentials bog'lanishni haqiqiy balkadagi M va q orasidagi bog'lanish asosida yozamiz:

$$\frac{d^2M_f}{dx^2} = q_f. \quad (7.10)$$

$M = q$, tenglikni hisobga olsak, (7.9) va (7.10) tenglamalarni solishtirib quyidagi formulani hosil qilamiz:

$$\frac{d^2(EI \cdot y)}{dx^2} = \frac{d^2M_f}{dx^2} \quad (7.11)$$

(7.11) formulani integrallab, ixtiyoriy o'zgarmas chap va o'ng tomon integrallash doimiylarini o'zaro tenglashtirsak, quyidagini hosil qilamiz:

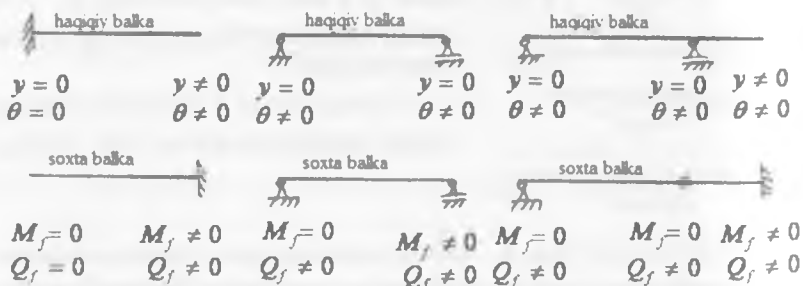
$$\frac{d(EI \cdot y)}{dx} = EI\theta \frac{dM_f}{dx} \quad \text{va} \quad EI \cdot y = M_f$$

Berilgan tashqi kuch ta'sirida haqiqiy balkani ixtiyoriy kesimining aylanish burchagi - θ , soxta balkani shu kesimidagi ko'ndalang kuchning haqiqiy balkani bikrligiga bo'linmasiga teng: $\theta = \frac{Q_f}{EI}$ (7.12)

Berilgan tashqi kuch ta'sirida haqiqiy balkaning ixtiyoriy nuqtasining salqiligi - u , soxta balkaning shu nuqtasidagi eguvchi moment M_f -ning haqiqiy balkaning bikrлиgi bo'linmasiga teng:

$$y = \frac{M_f}{EI} \quad (7.13)$$

Haqiqiy balkani tanlangan kesimining aylanish burchagi va salqiligini aniqlash uchun soxta balkani shu kesimidagi soxta ko'ndalang kuch va soxta eguvchi momentini aniqlash kerak ekan. Soxta balkani tanlash shartlari 7.4 rasmida ko'rsatilgan.

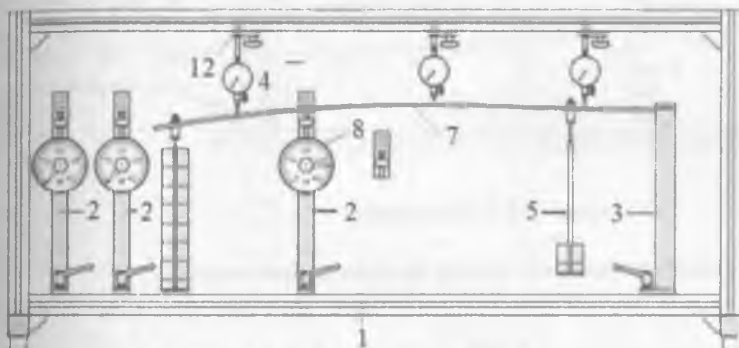


7.4 – rasm. Soxta balkani tanlash shartlari

To'g'ri balkaning deformatsiyalanishini tajribada [33] o'rghanish

Ishning maqsadi: egiluvchi to'g'ri balkalarning deformatsiyasiga doir tajribalar o'tkazish.

1. Tajriba o'qituvchi ko'rsatmasi asosida o'tkaziladi.
2. Namunaning ko'ndalang kesimini o'lchash lozim.
3. Indikatorlar strelkasini "0" ga qo'ying.
4. Balkani boshlang'ich yuk bilan yuklantiring.
5. Har xil indikator shkalasidagi boshlang'ich hisobotlarini qayd qiling.
6. Pog'onali yuk qiymatini aniqlang. Bitta osilgan yukning katta qiymati $50N$ oshmasligi kerak.



7.5- WR 950 qurilmasi va uning tarkibi

(5) yuklar (6) harakatlanuvchi polzunlar orqali (7) balkaga qo'yilgan. Polzunlarni qo'yilgan nuqtasiga qo'zg'almas qilib o'rnatish ham mumkin. Polzun va tutqichning birgalidagi og'irligi $2.5 N$.

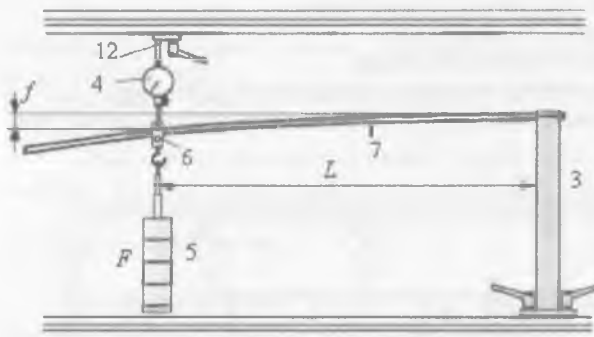
Tajriba WR 950 qurilmasida bajariladi. Ushbu uskuna engil, mustahkam qilib yasalgan alyuminiy rama (1), ramaning pastki qismiga qisqichlar yordamida mahkamlangan (2,3) tayanchlar va ramaning yuqori qismiga mahkamlangan (4) o'lchov asboblaridan iborat.

Kuchning qymatini $2.5 N$ va $5 N$ yuklar yordamida o'zgarti-rish mumkin. Sharinli (2) tayanchlarga (8) dinamometrlar o'rma-tilgan. Tayanchning balandligi rezbali shpindel bilan o'zgartiri-lishi mumkin. Tayanch (10) vint bilan qimirlamaydigan qilib mahkam-lanishi mumkin. Bu balkaning xususiy og'irligi ta'sirida egilishi va dinamometr prujinasi siljishi natijasida tayanch og'ishining oldini oladi.

Statik aniqmas sistemalarda kuchning taqsimlanish tayanch siqi-lishiga ta'sirini ko'rsatish mumkin. (8) dinamometrning shkalalari to'g'rilash uchun aylanuvchi qilib yasalgan (7) balka (3) qisqichli tayanchga (11) qisuvchi plastinalar yordamida mahkamlanadi.

(4) o'lchov asbobining balandligi (12) tutqichlaridagi moslama yordamida sozlanadi.

Tajribalar. Quyida WR 950 uskunasi yordamida ba'zi tajribalarni o'tkazish tartibi keltirilgan. Ular bu uskuna yorda-mida bajarish mumkin bo'lgan tajribalarning kam sonini tashkil etadi va boshqa tajribalar uchun asos bo'ladi



Konsol balkaning egilishi

Tajribani o'tkazish uchun quyidagilar talab qilinadi: O'lchamlari $6 \times 20 \times 1000$ nun bo'lgan po'lat balka (7); yuk uchun polzon (6); yuk tutqich (5); yuk tutqich (5);

7.6- rasm. WR 950 qurilmasi

o'lchov asbobi tutqichi bilan (4, 12); qisqichli tayanch ustuni (3)

F kuch qo'yilgan nuqtadagi ko'chish



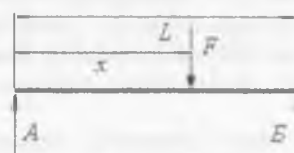
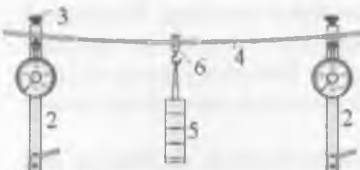
$$\text{quyidagicha aniqlanadi } f = \frac{FL^3}{3EI}$$

Tajriba o'tkaziluvchi balka po'latdan yasalgan

(elastiklik moduli $E = 210000 \frac{\text{N}}{\text{mm}^2}$) ko'ndalang kesimining o'lchamlari 20×6

$$\text{mm}^2, \text{ inertsiya momenti } I_y = \frac{bh^3}{12} = \frac{20 \cdot 6^3}{12} = 360 \text{ mm}^4$$

Ikki tayanchdagi balka. Tayanch reaktsiyalarini o'lchash



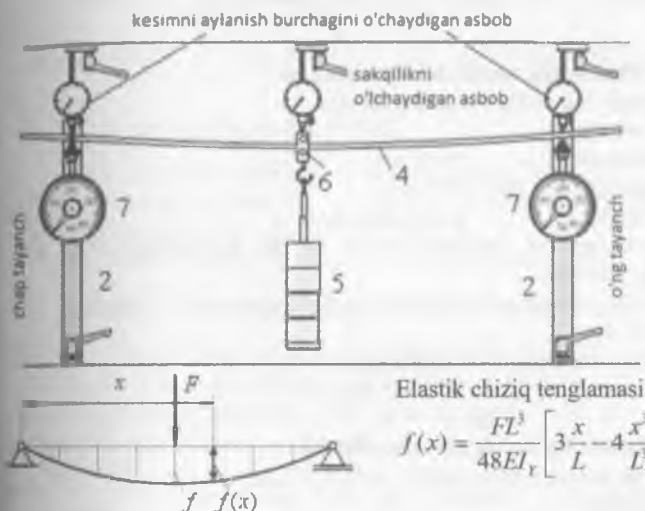
$$\text{A nuqtadagi tayanch reaktsiyasi } A = F\left(1 - \frac{x}{L}\right)$$

V nuqtadagi tayanch reaktsiyasi

$$B = F \cdot \frac{x}{L}$$

Tajriba uchun quyidagilar talab qilinadi: po'lat balka $6 \times 20 \times 1000$ mm (4); yuk uchun polzun (6); yuk tutqich(5); 5N li 3 ta yuk, 2.5N li 1 ta yuk; 2 ta sharnirli tayanch (2), dinamometr (7) bilan; 20 N kuch.markaziy $x=5$ mm nuqtaga qo'yilgan

Markaziy kuch ta'siridagi elastik chiziq



7.7- rasm.
Tajriba
qurilmasi

Elastik chiziq tenglamlasi

$$f(x) = \frac{FL^3}{48EI_y} \left[3\frac{x}{L} - 4\frac{x^3}{L^3} \right]$$

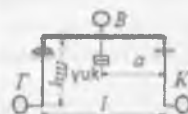
Tajribani o'tkazish tartibi: Hisoblangan va tajriba natijalarini quyidagi jadvalga kiriting

Ikki tayanchli balkanining salqiligi, mm		
x, mm	O'lchanigan, hisoblangan	
0	0	0
100	1.3	1.63
200	2.8	3.13
300	4.0	4.36
400	4.6	5.20
500	5.1	5.51

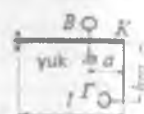
Egilishda ko'chishni aniqlash. Tajriba ishi SM-4A markali ikki tayanchli balka va SM-7A markali bir tomoni qistirib mahkamlangan konsolda olib boriladi.



SM - 4A qurilmasi



SM-7A qurilmasi



SM - 4A qurilmasining texnik xarakteristikasi

Qurilma montaji – oliv o'quv yurti tajriba stoli

Sinaladigan namuna

- a) ko'ndalang kesim - $6 \times 40 \text{ mm}$
- b) prolyot uzunligi - $700 \div 1000 \text{ mm}$
- 4. Namuna materiali - polat markasi St. 3
- 5. Aylanish burchagi va salqilikni topish usullari ko'rsatkichi $0,01 \text{ mm}$ bo'lgan soat turidagi indikator

6. Indikator ko'rsatkichidagi eng katta salqilik va aylanish burchagi qiymatlari - 10 mm

7. Gabarit o'lchamlari (uzunligi, eni va balandligi) -

$$1225 \times 240 \times 415 \text{ mm}$$

8. Massasi - 52 kg

SM 7B qurilmasining texnik xarakteristikasi .

Katta bo'limgan ruxsat etilgan kuch..... $118 \text{ N} (12 \text{ kG})$

Sinaladigan namuna

- a) ko'ndalang kesim... $10 \times 50 \text{ mm}^2$
- b) konsolning ishchi qismi.... 600 mm
- 3. Kesimning aylanish burchagi va salqiliqi indikator bo'linmasi $0,01 \text{ mm}$ bo'lgan soat turidagi indikatorlar yordamida aniqlanadi

5. Gabarit o'lchamlari: $900 \times 540 \times 1155 \text{ mm}$

6. Massasi 92 kg

Qurilmaning pastki tomoniga yo'nalgan balkaga uzunligi 300 mm bo'lgan sterjen bikr ulangan. Balkaning yuqori tomoniga o'rnatilgan indikator shu nuqtaning vertikal ko'chishini, pastdag'i indikator shu kesimning aylanish

burchagini aniqlaydi $y_c = \delta_c \cdot 0.01$ $\hat{\theta}_c = \frac{\delta_p \cdot 0.01}{300}, \text{ rad}$

Umumiy tushunchalar. Nazariy usulda ikki tayanchli balka F kuch qo'yilgan o'rta kesimining salqiligi $y_{\max} = -\frac{Fl^3}{48EJ}$ va tayanch kesimlarining

aylanish burchagi $\theta_b = -\theta_a = \frac{Fl^2}{16EJ}$ formulalar bilan hisoblanadi.

$I_x = \frac{b \cdot h^3}{12}$ balka kesimini neytral o'qqa nisbatan inertsiya momenti.

Bir tomoni qistirib mahkamlangan balkaning F kuch qo'yilgan erkin uchidagi salqilik $y_{\max} = -\frac{Fl^3}{3EJ}$ va shu kesimning aylanish burchagi $\theta = \frac{Fl^2}{2EJ}$ formulalar bilan hisoblanadi.

Ikki tayanchli balkaning deformatsiyasini $SM - 4A$ turidagi qurilmada o'rganish mumkin. Salqilik va tayanch kesimidagi aylanish burchagining qiymatiquyidagi ketma-ketlikda aniqlanadi:

Bu qurilma ikki uchi sharnirli mahkamlangan, uzunligi $L = 1m$, ko'ndalang kesimi to'g'ri burchakli pulat balkadan iborat, elastiklik moduli $E = 2 \cdot 10^{11} \frac{H}{M^2}$.

Balkaga F kuch bilan yuklash uchun tarozi toshlaridan foydalaniadi. Tosh osiladigan moslamani balkaning uzunligi bo'ylab istalgan nuqtaga surish mumkin. Balkaning tayanch uchlariiga bikr qilib uzunligi 150 mm bo'lgan sterjenlar o'matilgan va ularning aylanishi, aynan shu kesimlarni aylanish burchagi $\theta = \frac{\delta_k \cdot 0,01}{150}$ ni aniqlaydi. Har bir yuklanish bosqichiga mos keladigan indikatorlarning ko'rsatkichlari quyidagi jadvalga yozib boriladi. Balkani nuqtasining salqiligi $y_c = \delta_k \cdot 0,01$

Balkadagi har bir yuklanishlardagi chiziqli va burchak ko'chishlarni indikator shkalalarida qayd qiling. Tajriba oxirida balkani yuksizlantirib indikator ko'rsatkichlarini boshlang'ich ko'rsatkichlar bilan tenglashtiring.

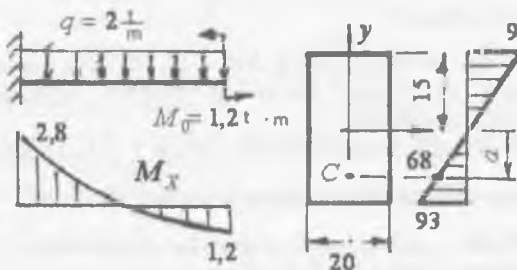
Δv_{yp} - o'rtacha arifmetik salqilikni hisoblang. Tajribada aniqlangan kesimning aylanish burchagini hisoblang.

SAVOLLAR

Sof egilish deb nimaga aytildi?

1. Sof egilishga misollar keltiring?
2. Neytral qatlam deb qanday materialga aytildi?
3. Egilishda normal kuchlanish formulasini yozing?
4. Egilishda normal kuchlanish balka kesimini yuzasida qanday qonuniyat bilan o'zgaradi?

5. Egilishda urinma kuchlanish formulasini yozing?
6. Egilishda urinma kuchlanish balka kesimini yuzasida qanday qonuniyat bilan o'zgaradi?
7. Egilishda normal kuchlanish bo'yicha mustahkamlik shart formulasini yozing?
8. Egilishda urinma kuchlanish bo'yicha mustahkamlik shart formulasini yozing?
9. Teng qarshilik ko'rsatuvchi balkalar deb nimaga aytildi?
11. Balka kesimini aylanish burchagi va salqiligi nima?
12. Egilish deformatsiyasi qanday usullar bilan topiladi?
13. Balka egilgan o'qining taqrifiy differentsiyal tenglamasini yozing?
14. Universal formulani yozing?



misol - 1.

Berilgan balkaning xavfli kesimidagi eng katta normal kuchlanish va shu kesimdagisi nuqtaning kuchlanishi topilsin

7.8-rasm

$$\text{Y Yechish. } M_x = M_0 - \frac{q x^2}{2} \text{ tenglamadan } x = 0 \text{ da } M_x = 1,2 \text{ tm.}$$

$$x = 1,09 \text{ m}, \quad M_x = 0 \text{ va } x = 2 \text{ m}; \quad M_x = 2,5 \text{ tm} \text{ hosil qilamiz.}$$

Kesimning x o'qiga nisbatan qarshilik momentini topamiz:

$$W_s = \frac{bh^3}{6} = \frac{0,2(0,5)^3}{6} = 3 \cdot 10^{-3} \text{ m}^3$$

Eng katta eguvchi moment balkaning tayanch kesimida hosil bo'ladi:

$$M_{\max} = 28 \text{ kNm} \quad \text{va}$$

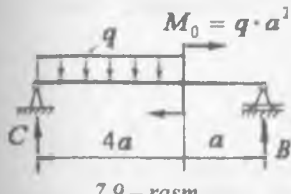
$$\sigma_{\max} = \frac{M_{\max}}{W_s} = \frac{2,8}{3 \cdot 10^{-3}} = 9,3 \cdot 10^3 \frac{\text{kN}}{\text{m}^2}$$

$$S \text{ nuqta balka kesimining } x \text{ o'qidan} \quad y - a = \frac{h}{2} - 4 = 0,1 \text{ m}$$

masofada joylashgan.

$$\sigma_c = \frac{-M_{\max} \cdot 0,11}{I_s} = \frac{25 \cdot 0,11}{4,5 \cdot 10^{-4}} = -0,684 \cdot 10^4 \frac{\text{kN}}{\text{m}^2}$$

bu erda $I_x = \frac{bh^3}{12} = \frac{0,2(0,3)^3}{12} = 4,5 \cdot 10^{-4} m^4$



7.9 - rasm.

$\sigma_{\max} = 1,21 \frac{\kappa N}{m^2}$ -dan foydalanib, taqsimlangan kuch intensivligi - q topilsin.

Yechish: Reaksiya kuchlarini topamiz:

$$\sum M_c = q4a \cdot \frac{4a}{2} + M_0 - B5a = 0; \quad B = \frac{9}{5}q \cdot a$$

$$\sum M_B = C \cdot 5a - q4a \left(\frac{4a}{2} + a \right) + M = 0; \quad C = \frac{11}{5}q \cdot a$$

M_x va Q tenglamalarini tuzamiz:

$$M_x = c \cdot x - q \frac{x^2}{2} \quad \text{va} \quad Q = c - qx$$

Balkani $Q = 0$ bo'lgan nuqtasida $M_x = M_{\max}$. Shuning uchun, $Q = 0$ nuqtanining koordinatasi x -ni topamiz. $C - qx = 0$ yoki

$$x = \frac{c}{q} = \frac{11 \cdot q \cdot a}{5q} = \frac{11a}{5}; \quad \text{unda} \quad M_{\max} = C \cdot \frac{11a}{5} - a \frac{\left(\frac{11a}{5}\right)^2}{2} = 2,42qa^2$$

Balka xavfli kesimining mustahkamlik shartini yozamiz:

$$\sigma_{\max} = \frac{M_{\max}}{W} = \frac{2,42qa^2}{bh^2} = 1,21 \frac{\kappa N}{m^2}$$

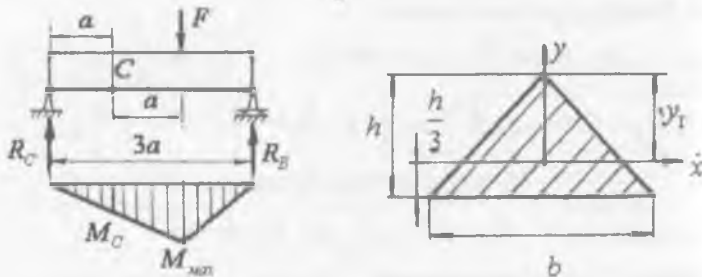
$$\text{Bu yerdan } q = \frac{1,21 \cdot b \cdot h^2}{2,42 \cdot 6 \cdot a^2} = \frac{1,21 \cdot 0,12 \cdot (0,2)^2}{2,42 \cdot 6 \cdot 1} = 4 \cdot 10^{-4} \frac{\kappa N}{m}$$

misol - 3. G' kuch ta'siridan balka kesimining S nuqtasida hosil bo'lgan normal kuchlanish $\sigma_c = 3 \frac{\kappa N}{m^2}$. Balkaning $M = M_{\max}$ bo'lgan xavfli kesimidagi absolyut qiymati eng katta bo'lgan normal kuchlanish topilsin.

Yechish. Reaksiya kuchlari $R_c = \frac{F}{3}$ va $R_B = \frac{2F}{3}$. Eguvchi moment epyurasidan $M_c = R_c \cdot a = \frac{Fa}{3}$ va $M_{\max} = \frac{2}{3} Fa$ hosil qilamiz. Nuqta uchun balkaning mustahkamlik sharti $\sigma_c = \frac{M_c}{W}$ dan

$$M_c = \sigma_c \cdot \frac{I_x}{y} = \sigma_c \cdot \frac{bh^3 \cdot 3}{12 \cdot h} = 0,75bh^2$$

Eguvchi moment epyurasidan va mustahkamlik shartidan kelib chiqqan M , momentlarini solishtirsak, $F = \frac{2,25bh^2}{a}$ ni hosil qilamiz.



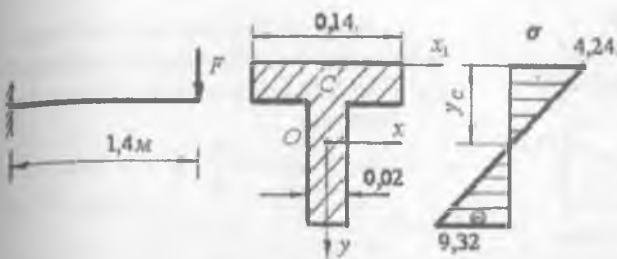
7.10 – rasm. Berilgan balka va uning kesimi

$$\text{Unda } M_{\max} = \frac{2}{3} \cdot \frac{2,25bh^2 \cdot a}{a} = 1,5bh^2.$$

Balkaning xavfli kesimidagi eng katta normal kuchlanish

$$\sigma_{\max} = \frac{M_{\max} \cdot y_1}{I_x} = \frac{1,5bh^2}{bh^3} \cdot \frac{2}{3} h = \frac{1,5 \cdot \frac{2}{3}}{\frac{1}{12}} = 12 \frac{kN}{m^2}$$

misol – 4. Uzunligi $\ell = 1,4m$ konsol balkanining xavfli kesimidagi cho'zuvchi normal kuchlanish $\sigma = 4,24 \frac{kN}{m^2}$. Balkaga qo'yilgan G' kuch va siquvchi normal kuchlanish topilsin



Konsolni
yuklanish
sxemasi, kesimi
va normal
kuchlanish
epyurasi

Yechish. Balkaning tayanch kesimi eng xavfli hisoblanadi, chunki bu kesimda $M_x = M_{\max} = -F \cdot \ell = -1,4F$. G' kuch ta'siridan balkani egilishida yuqori tolalar cho'ziladi, pastki tolalari esa siqiladi. Yuqori tolalardagi eng katta cho'zuvchi kuchlanish bo'yicha balkani xavfli holatidagi materialining

mustahkamlik sharti:

$$\sigma_{\max} = \frac{M_{\max} \cdot y_0}{I_x} = 4,24 \frac{\kappa N}{m^2}$$

Bu erda: $y_0 = \frac{\sum Sx}{\sum A}$ – balka kesimining neytral o'qidan S nuqttagacha bo'lgan masoфа:

I_x - balka kesimning neytral o'qqa nisbatan inertsiya momenti;

S_{x_1} - balka kesimining x_1 o'qiga nisbatan statik momenti

$$\sum S_{x_1} = 0,14 \cdot 0,02 \cdot 0,01 + 0,14 \cdot 0,02 \left(\frac{0,14}{2} + 0,02 \right) = 2,8 \cdot 10^{-4} m^3;$$

$$\sum A = 2 \cdot 0,14 \cdot 0,02 = 5,6 \cdot 10^{-3} m^2;$$

Unda $y_0 = \frac{2,8 \cdot 10^{-4}}{5,6 \cdot 10^{-3}} = 0,05 m$

$$I_x = \frac{0,14(0,02)^3}{12} + 0,14 \cdot 0,02(y_0 - 0,01)^2 + \frac{0,02(0,14)^3}{12} + \\ + 0,02 \cdot 0,14(0,02 + 0,07 - y_0)^2 = 1,3623 \cdot 10^{-5} m^4$$

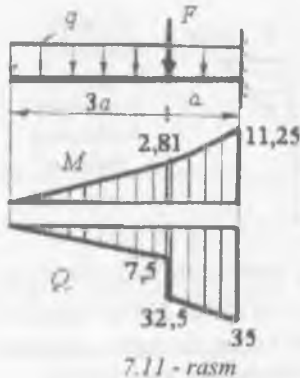
formuladan foydalanib F kuchni topamiz: $\frac{1,4Fy_0}{I_x} = 4,24 \frac{\kappa N}{m^2}$ va

$$F = \frac{4,24 \cdot I_x}{1,4 \cdot y_0} = \frac{4,24 \cdot 1,3623 \cdot 10^{-5}}{1,4 \cdot 0,05} \approx 8,25 \cdot 10^{-3} \kappa N$$

Kesimni V nuqtasidagi normal kuchlanishni topamiz:

$$M_{\max} = 82,5 \cdot 10^{-5} \cdot 1,4 = 115,5 \cdot 10^{-5} \kappa N \cdot m$$

$$\sigma_B = \frac{115,5 \cdot y_B \cdot 10^{-5}}{1,3623 \cdot 10^{-5}} = -\frac{115,5 \cdot 10^{-5} (0,16 - 0,05)}{1,3623 \cdot 10^{-5}} = 9,32 \frac{\kappa N}{m^2}$$



1 – qirqim $0 \leq x_1 \leq 0,75m$

$$Mx_1 = -q \frac{x_1^2}{2} \quad 6a \quad Q_1 = -qx_1$$

II – qirqim $0,75 \leq x_2 \leq 1m$

$$Mx_2 = -q \frac{x_2^2}{2} - F(x_2 - 0,75) \quad 6a \quad Q_2 = -qx_2 - F$$

Balkaning xavfli kesimi tayanch nuqtasida ekan, chunki bu kesimda eguvchi moment va ko'ndalang kuch maksimal qiymatga erishadi:

$$M_{\max} = -11,25 \kappa Nm \quad \text{va} \quad Q_{\max} = -35 \kappa N.$$

Xavfli kesim uchun normal va urinma kuchlanishlar bo'yicha mustahkamlik shartlar:

$$\sigma_{\max} = \frac{M_{\max}}{W_x} \leq [\sigma] \quad \text{va} \quad \tau_{\max} = \frac{Q_{\max} \cdot S_x}{I_x \cdot b} \leq [\tau].$$

Bu erda: $W_x = \frac{bh^2}{6}$ kesimning x o'qiga nisbatan qarshilik momenti (m^3) ,

$S_x = b \cdot \frac{h}{2} \cdot \frac{h}{4} = \frac{bh^2}{8}$ kesimning x o'qiga nisbatan statik momenti va

$I_x = \frac{bh^3}{12}$ kesimni x - o'qiga nisbatan inertsiya momenti. Kesimning

o'lchamlarini normal kuchlanish bo'yicha mustah-kamlik shartidan $\frac{M_{\max}}{hb^2} = [\sigma]$ foydalanimiz topamiz:

$$b = \sqrt[3]{\frac{\sigma \cdot M_{\max}}{1,5[\sigma]}} = \sqrt[3]{\frac{6 \cdot 11,25}{1,5 \cdot 10^4}} = 0,165m$$

va $h = 1,5b$ ni hisobga olsak: $h = 1,5 \cdot b = 1,5 \cdot 0,165 = 0,2475m$

misol -5. Yog'ochdan tayyorlangan balka uchun $h = 1,5b$ nisbatdan foydalanimiz to'g'ri burchakli kesim tanlansin (7.11-rasm). Berilgan:

$$a = 0,25m; \quad q = 10 \frac{\kappa N}{m}; \quad F = 10qa = 25 \kappa N$$

$$[\sigma] = 10 \frac{\kappa N}{m^2}; \quad [r] = 0,12 \frac{\kappa N}{m^2}$$

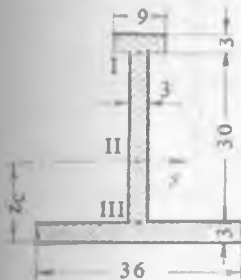
YYechish: Bir tomoni qistirib mahkamlangan balkaning xavfli kesimidagi eguvchi moment va ko'ndalang kuchini topamiz.

$$\text{Kesimning o'lchamlarini } \tau_{\max} = \frac{Q_{\max} \cdot \frac{bh^2}{2}}{\frac{bh^3}{12} \cdot b} \leq [\tau] \quad \text{urinma kuchlanishiga}$$

bog'lab aniqlaymiz: $b = \sqrt{\frac{Q_{\max}}{[\tau]}} \approx 0,17M$

$$h = 1,5 \cdot b = 1,5 \cdot 0,17 = 0,255m; \quad b = 0,17M \quad \text{va} \quad h = 0,255M$$

o'lchamlarni qabul qilamiz



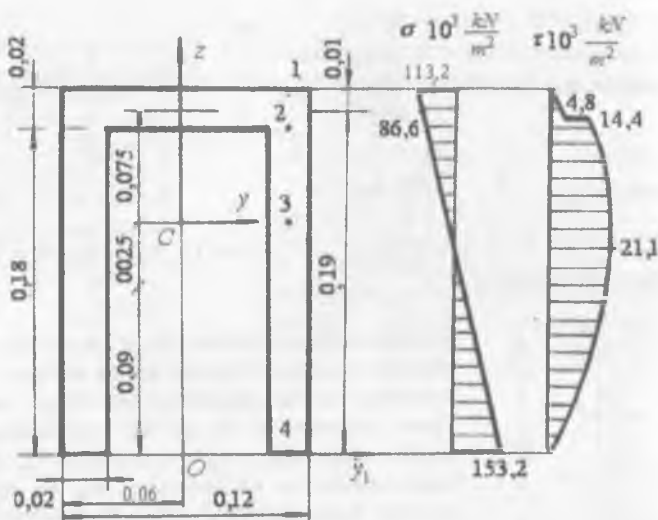
7.12-rasm

Javob: $z_s = 12 \text{ sm}$; $\tau_{x,I} = 10,2 \text{ MPa}$; $\tau_{x,II} = 21,2 \text{ MPa}$,
 $\tau_{x,III} = 19,1 \text{ MPa}$; $\tau_{u,I} = 5,1 \text{ MPa}$; $\tau_{u,III} = 9,5 \text{ MPa}$

Misol - 7. P - shaklli profilning (7.13 - rasm) devorlar balandligi bo'y lab normal σ va urinma τ kuchlanishlarning tarqalish qonuniyati grafikasini quring.

Berilgan: $Q_{\max} = 120 \text{ kN}$; $M_{\max} = 50 \text{ kNm}$

Yechish: Kesim neytral o'qining holatini aniqlaymiz. Neytral o'q kesimning og'irlilik markazidan o'tadi. Shuning uchun P-shaklli kesim og'irlilik markazining koordinatalarini aniqlaymiz.



7.13 – rasm. P-shaklli profil kesimining balandligi bo'yicha normal va urinma kuchlanishlarning epyuralalari

Kesim Z o'qiga nisbatan simmetrik bo'lganligi uchun

$$y_C = 0, \text{ unda} \quad Z_c = \frac{\sum S_{y_1}}{\sum A} = \frac{11,04 \cdot 10^{-4}}{9,6 \cdot 10^{-3}} = 0,115 \text{ m}$$

$\sum S_y$ - kesimning y_1 o'qiga nisbatan statik momenti, m^3

$\sum A$ - shaklning kesim yuzasi, m^2

$$\sum S_y = 0,02 \cdot 0,12 \cdot 0,19 + 2 \cdot 0,18 \cdot 0,02 \cdot 0,09 = 11,04 \cdot 10^{-4} \text{ m}^4$$

$$\sum A = 2 \cdot 0,02 \cdot 0,18 + 0,02 \cdot 0,12 = 9,6 \cdot 10^{-3} \text{ m}^2$$

Parallel o'qlarga nisbatan inertsiya momentlari formulasidan foydalanib kesimni y -o'qiga nisbatan inertsiya momentini topamiz.

$$I_y = 2 \left[\frac{0,02 \cdot [0,18]^3}{12} + (0,025)^2 \cdot 0,02 \cdot 0,18 \right] + \frac{0,12(0,02)^3}{12} + 0,75^2 \cdot 0,02 \cdot 0,12 = 37,52 \cdot 10^{-6} \text{ m}^4$$

$$\sigma = \frac{M_{\max} \cdot Z}{I_y} \text{ - formuladan foydalanib kesimning balandligi bo'ylab}$$

normal kuchlanishning o'zgarishini topamiz:

bu erda: Z - kuchlanish tekshirilayotgan nuqtadan kesimning neytral o'qigachabo'lganmasofa, m

$$1. \text{ nuqta } (Z_1 = 0,085 \text{ m}); \quad \sigma' = \frac{-50 \cdot 0,085}{37,52 \cdot 10^{-6}} = -113,273 \cdot 10^3 \frac{\text{kN}}{\text{m}^2}$$

$$2. \text{ nuqta } (Z_2 = 0,065m) \quad \sigma^{\text{II}} = \frac{-50 \cdot 0,065}{37,52 \cdot 10^{-6}} = -86,62 \cdot 10^3 \frac{\kappa N}{m^2}$$

$$3. \text{ nuqta } (Z_3 = 0) \quad (\sigma^{\text{III}} = 0)$$

$$4. \text{ nuqta } (Z_4 = 0,115m) \quad \sigma^{\text{IV}} = \frac{50 \cdot 0,115}{37,52 \cdot 10^{-6}} = -153,25 \cdot 10^3 \frac{\kappa N}{m^2}$$

Masalaning berilishda eguvchi momentning ishorasi musbat. Demak, kesimning 1 va 2 nuqtalar joylashgan qismi sicilishga va 4 nuqta joylashgan tomoni cho'zilishga ishlaydi. Kesimning balandligi bo'ylab urinma kuchlanish o'zgarishini aniqlaymiz:

$$\tau = \frac{Q_{\max} \cdot S_y}{I_y b(d)}$$

buerda: S_y – kesimning chetki nuqtasidan pastda va kuchlanish tekshiriladigan nuqtadan yuqorida joylashgan yuzasini neytral o'qqa nisbatan statik momenti.

$$1. \text{ nuqta uchun} \quad S_1 = 0 \quad \text{va} \quad \tau_1 = 0$$

$$2. \text{ nuqta uchun} \quad S_2 = 0,02 \cdot 0,12 \cdot 0,075 = 1,8 \cdot 10^{-4}, m^3$$

$$\tau_2 = \frac{120 \cdot 1,8 \cdot 10^{-4}}{37,52 \cdot 10^{-6} \cdot 0,12} = 4,8 \cdot 10^3 \frac{\kappa N}{m^2}$$

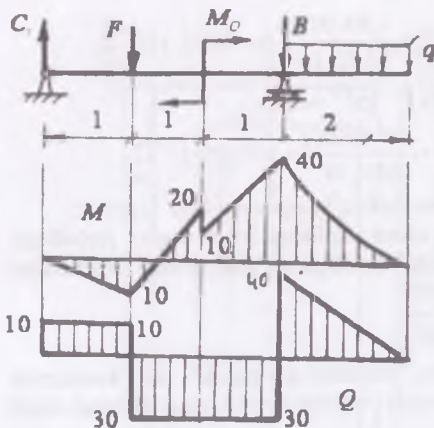
2 nuqta kesimning supachasidan devoriga o'tish qismida joylashgani uchun kesimning eni 0,12 metrdan 0,02 metrga qadar kamayadi. Shuning uchun

$$\tau_2^1 = \frac{120 \cdot 1,8 \cdot 10^{-4}}{37,52 \cdot 10^{-6} \cdot 2 \cdot 0,02} = 14,4 \cdot 10^3 \frac{\kappa N}{m^2}$$

$$3. \text{ nuqta uchun} \quad S_3 = 1,18 \cdot 10^{-4} + 2 \cdot 0,02 \cdot 0,065 \cdot \frac{0,065}{2} = 26,45 \cdot 10^{-5} m^3$$

$$\tau_3 = \frac{120 \cdot 2,645 \cdot 10^{-4}}{37,52 \cdot 10^{-6} \cdot 2 \cdot 0,02} = 21,15 \frac{\kappa N}{m^2}$$

$$4. \text{ nuqta uchun} \quad S_4 = 0 \quad \text{ba} \quad \tau_4 = 0$$



7.14 – rasm

Yechish: Reaksiya kuchlarini topamiz:

$$\sum M_c = F \cdot 1 + M_0 - B \cdot 3 + q \cdot 2 \left(\frac{2}{2} + 3 \right) = 0; \quad B = 70 \text{ kN}$$

$$\sum M_B = C \cdot 3 - F \cdot 2 + M_0 + q \cdot 2 \left(\frac{2}{2} \right) = 0; \quad C = 10 \text{ kN}$$

Balkani uzunligi bo'yicha eguvchi moment M_x va ko'ndalang kuch Q - tenglamalarini tuzamiz va hisoblaymiz.

$$\text{I} - \text{I} \text{qirqim } 0 \leq x_1 \leq 1m \text{ va } M_{x_1} = C \cdot x_1 \quad Q_1 = C = 10 \text{ kN}$$

$$\text{II} - \text{II} \text{qirqim } 0 \leq x_2 \leq 1m$$

$$M_{x_2} = C(1+x_2) - Fx_2; Q_2 = C - F = -30 \text{ kN}$$

$$\text{III} - \text{III} \text{qirqim} \quad 0 \leq x_3 \leq 1m$$

$$M_{x_3} = C(2+x_3) - F(1+x_3) + M_0; \quad Q_3 = C - F = 10 - 40 = -30 \text{ kN}$$

$$\text{IV} - \text{IV} \text{qirqim} \quad 0 \leq x_4 \leq 2m$$

$$M_{x_4} = -qx_4 \frac{x_4}{2} + 6a \quad Q_4 = qx_4$$

Balkaning V tayanch kesimi xavfli holatda $M_{\max} = -40 \text{ kNm}$ va $Q_{\max} = 40 \text{ kN}$

Normal kuchlanish bo'yicha mustahkamlilik sharti $\sigma_{\max} = \frac{M_{\max}}{W_y} \leq [\sigma]$ asosida

balkaning kesimini tanlaymiz:

misol-7. Berilgan po'lat materialidan tayyorlangan balka uchun qo'shtavrli kesim tanlansin. Balkani xavfli kesimi III-mustahkamlilik nazariyasi asosida to'liq tekshirilsin. Balka materialining ruxsat etilgan urinma $[\tau] = 100 \text{ mPa}$ va normal kuchlanishi $[\sigma] = 160 \text{ mPa}$

Berilgan:

$$F = 40 \text{ kN}; M_0 = 10 \text{ kNm}; q = 20 \frac{\text{kN}}{\text{m}}$$

$$W_x = \frac{M_{\max}}{[\sigma]} = \frac{40}{160 \cdot 10^3} = 0,25 \cdot 10^{-3} m^3 \quad \text{va} \quad W_I = 0,254 \cdot 10^{-3} m^3 \quad \text{qarshilik}$$

momentli N-22a qo'shtavmi qabul qilamiz. Tanlangan qo'shtavrli kesimda normal kuchlanish bo'yicha mustahkamlik shartini tekshiramiz.

$$\sigma_{\max} = \frac{40}{0,254 \cdot 10^{-3}} = 157,48 \cdot 10^3 \frac{N}{m^2} \prec [\sigma]$$

Kesimdag'i eng katta normal kuchlanish, σ_{\max} balkaning materiali uchun ruxsat etilgan kuchlanishidan kichik. Shuning uchun $W_I = 0,254 \cdot 10^{-3} m^3$ qarshilik momentli N-22a qo'shtavmi qabul qilamiz:

$$h = 0,22m; \quad b = 0,12m; \quad d = 0,0054m; \quad t = 0,0089m;$$

$$I_x = 2790 \cdot 10^{-5} m^4; \quad W_x = 0,254 \cdot 10^{-3} m^3 \quad S_x = 143 \cdot 10^{-6} m^3.$$

Balka mustahkamligini urinma kuchlanish bo'yicha tekshi-ramiz:

$$\tau_{\max} = \frac{Q_{\max} \cdot S_x}{I_x \cdot d} = \frac{40 \cdot 143 \cdot 10^{-6}}{2790 \cdot 10^{-5} \cdot 0,0054} = 3,87 \cdot 10^3 \prec [\tau]$$

σ va τ qo'shtavning balandligi bo'yicha o'zgarish tavsifini aniqlaymiz. Buning uchun qo'shtavning balandligi bo'yicha to'qqizta nuqtaning normal va urinma kuchlanishlarini topamiz.

Normal kuchlanish $\sigma = \frac{M_{\max}}{I_x} \cdot y$ formula bilan topiladi.

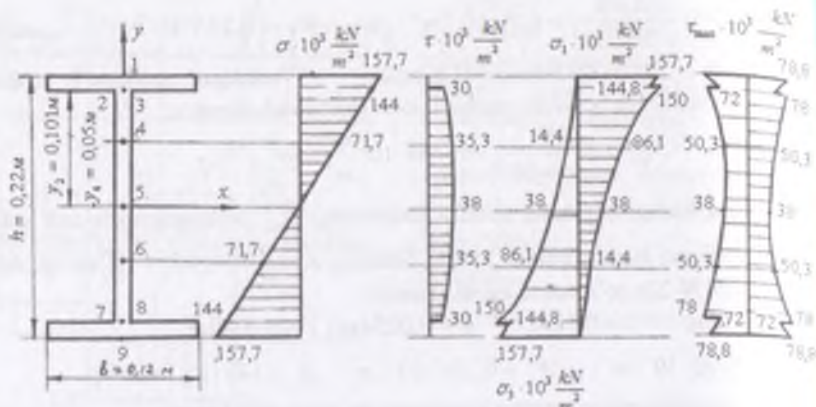
Bu yerda, y - kuchlanish tekshirilayotgan nuqtadan qo'shtavr kesimining neytral o'qigacha bo'lган masofa, m

$$y_1 = \frac{h}{2} = \frac{0,22}{2} = 0,11m; \quad y_{2,3} = \frac{h}{2} - t = \frac{0,22}{2} - 0,0089 = 0,101m$$

$$y_4 = \frac{h_0}{4} = \frac{h - 2t}{4} = \frac{0,22 - 2 \cdot 0,009}{4} = 0,05m$$

$$y_5 = 0; \quad y_6 = -0,05m; \quad y_{7,8} = -0,101m; \quad y_9 = -0,11m$$

Urinma kuchlanish $\tau = \frac{Q_{\max} \cdot S_x^0}{I_x b(d)}$ formuladan topiladi



7.15 rasm. Qo'shtavrning balandligi bo'ylab normal kuchlanish, urinma kuchlanish, bosh normal kuchlanish vabosh urinma kuchlanishlarni targaish epyuralari.

S_x^0 - qo'shtavr kesimining chetki nuqtasi bilan kuchlanishi tekshi-rilayotgan nuqta orasidagi yuzasini neytral o'qqa nisbatan statik momenti, m^3

I_x -qo'shtavr kesimining neytral o'qga nisbatan inertsiya momenti, m^4

$b(d)$ - kuchlanish tekshirilayotgan nuqta joylashgan kesimning eni, m .

Qo'shtavrning balandligi bo'yicha τ - ning o'zgarishi S_x^0 ga bog'liq.

$$S_x^I = 0$$

$$S_x^{II} = S_x^{III} = b \cdot t \frac{h-t}{2} = 0,12 \cdot 0,0089 \frac{0,22 - 0,0089}{2} = 1,13 \cdot 10^{-4} m^4$$

$$S_x^{IV} = 1,13 \cdot 10^{-4} + \frac{d}{2} \left(\frac{h_0^2}{y} - y^2 \right) = 1,13 \cdot 10^{-4} + \frac{0,0054}{2} \left[\frac{(0,2022)^2}{4} - (0,05)^2 \right] = 1,33 \cdot 10^{-4} m^3$$

$$S_x^{V} = 1,33 \cdot 10^{-4} + \frac{0,0054}{2} \cdot \frac{(0,2022)^2}{4} = 1,4 \cdot 10^{-4} m^3 \approx S_x$$

σ va τ - kuchlanishlarning hisoblangan qiymatlari asosida ularning epyuralari quriladi (7.15 - rasm).

Bosh kuchlanishlarni quyidagi formulalar bilan aniqlaymiz:

$$\sigma_{1,2} = \frac{1}{2} [\sigma \pm \sqrt{\sigma^2 + 4\tau^2}] \quad \text{va} \quad \tau_{\max} = \pm \frac{1}{2} \sqrt{\sigma^2 + 4\tau^2}$$

Bosh normal kuchlanishlarning yo'naliishi: $\operatorname{tg} 2\alpha = -\frac{2\tau}{\sigma}$

misol - 8. Berilgan balka (7.16-rasm) tayanch kesimlarining aylanish burchaklari, S va D nuqtalarning salqiliklari topilsin. $EI = 4 \cdot 10^3 \text{ kNm}^2$

Yechish. Balkan reaksiya kuchlarini topamiz.

$$\sum M_A = -F \cdot 1 - R_B \cdot 4 + F \cdot 5 = 0; \quad R_B = F = 40 \text{ kN}$$

$$\sum M_B = -F \cdot 5 - R_A \cdot 4 + F \cdot 1 = 0; \quad R_A = 40 \text{ kN}$$

Eguvchi moment tenglamalarini tuzamiz va epyurasini quramiz.

$$I - I \text{ qirqim} \quad 0 \leq x_1 \leq 1m \quad M_{x_1} = -Fx_1;$$

$$II - II \text{ qirqim} \quad 1 \leq x_2 \leq 5m \quad M_{x_1} = -Fx_2 + R_A(x_2 - 1)$$

$$III - III \text{ qirqim} \quad 5 \leq x_3 \leq 6m$$

$$M_{x_3} = -Fx_3 + R_A(x_3 - 1) + R_B(x_3 + 5)$$

Universal formulani tuzamiz: Kesimning aylanish burchagi

$$\theta = \theta_0 + \frac{1}{EI} \left[-F \frac{x^2}{2} + R_A \frac{(x-1)^2}{2} + R_B \frac{(x-5)^2}{2} \right] \quad (a)$$

va salqilik tenglamasi

$$y = y_0 + \theta_0 x + \frac{1}{EI} \left[-F \frac{x^3}{6} + R_A \frac{(x-1)^3}{6} + R_B \frac{(x-5)^3}{6} \right] \quad (b)$$

Universal formuladagi noma'lum θ_0 va y_0 larni topish uchun balka uchlarining tayanish shartidan foydalanamiz:

$$x = 1m \text{ bo'lsa, } \theta = \theta_A \neq 0; \quad y = y_0 = 0$$

$$\text{unda (b) tenglamadan } y_0 + \theta_0 \cdot 1 - \frac{F \cdot 1^3}{6EI} = 0 \quad (\text{v}) \text{ hosil bo'ladi.}$$

$$x = 5m \text{ bo'lsa, } \theta = \theta_B \neq 0; \quad y = y_B = 0 \quad \text{unda (b) tenglamadan}$$

$$y_0 + 5\theta_0 + \frac{1}{EI} \left[-F \frac{125}{6} + R_A \frac{64}{6} \right] = 0 \quad \text{tenglama hosil bo'ladi.}$$

(v) va (g) tenglamalarni sistema qilib echaniz:

$$y_0 + \theta_0 - \frac{F}{6EI} = 0;$$

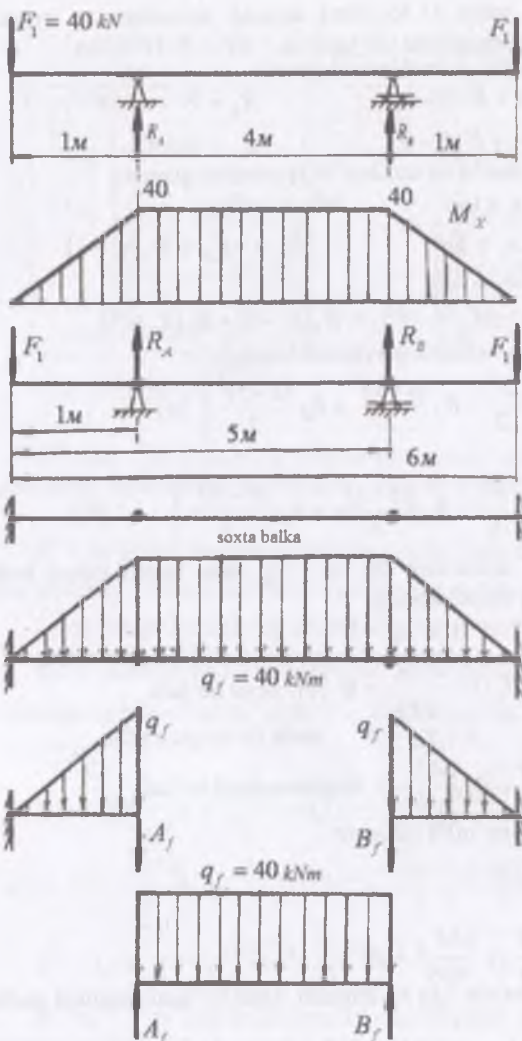
$$y_0 + 5\theta_0 - \frac{125F}{6EI} + \frac{64R_A}{6EI} = 0$$

Yuqoridagi tenglamani minus 1ga ko'paytirib, hosil bo'lgan tenglikni pastki tenglamaga qo'shamiz:

$$4\theta_0 - \frac{124F}{6EI} + \frac{64R_A}{6EI} = 0$$

$$\text{bu erdan } \theta_0 = \frac{124F - 64R_A}{24EI} = \frac{124 \cdot 40 - 64 \cdot 40}{24EI} = \frac{100}{EI}$$

$$\theta_0 = \frac{100}{EI} \quad \text{ifodani (v) tenglamaga qo'yib } U_0 \text{- ni topamiz}$$



7.16- rasm. Berilgan balkadan soxta balkani tanlash va ularning yuklanish sxemalari

$$Y_0 = \frac{F}{6EI} - \theta_0 = \frac{40}{6EI} - \frac{100}{EI} = -\frac{560}{6EI}$$

Topilgan θ_0 va Y_0 larni universal formulaga keltirib qo'yamiz:

$$\theta = \frac{100}{EI} + \frac{1}{EI} \left[-F \frac{x_2}{EI} + R_A \frac{(x-1)^2}{2} + R_B \frac{(x-5)^2}{2} \right]$$

$$Y = -\frac{560}{6EI} + \frac{100x}{6EI} + \frac{1}{EI} \left[-F \frac{x^3}{6} + R_A \frac{(x-1)^3}{6} + R_B \frac{(x-5)^3}{6} \right]$$

Balkaning A tayanch kesimining aylanish burchagi:

$$\theta = \theta_A = \frac{100}{EI} - \frac{F \cdot 1^2}{2EI} = \frac{100}{EI} - \frac{20}{EI} = \frac{80}{EI} = \frac{80}{4 \cdot 10^3} = 0,02 \text{ rad}$$

B tayanch kesimining aylanish burchagi

$$\theta = \theta_B = \frac{100}{EI} + \frac{1}{EI} \left[-F \frac{25}{5} + R_A \frac{16}{2} \right] = \frac{100}{EI} - \frac{80}{EI} = -\frac{20}{4 \cdot 10^3} = -0,02 \text{ rad}$$

Snuqtaning salqiligini topamiz $x = 3 \text{ m}$

$$Y_C = -\frac{560}{6EI} + \frac{100 \cdot 3}{EI} - \frac{27F}{6EI} + \frac{8R_A}{6EI} = \frac{-560 + 1800 - 1080 + 320}{6EI} = \frac{480}{24 \cdot 10^3} = 0,02 \text{ m}$$

D nuqtaning salqiligini topamiz: ($x = 6 \text{ m}$)

$$Y_D = -\frac{560}{6EI} + \frac{100 \cdot 6}{EI} + \frac{1}{EI} \left[-F \frac{216}{6} + R_A \frac{125}{6} + R_B \frac{1}{6} \right] = \\ = \frac{-560 + 3600 - 8640 + 5000 + 40}{24 \cdot 10^3} = -\frac{560}{24 \cdot 10^3} = -0,0233 \text{ m}$$

Balkaning deformatsiyasini grafoanalitik usul bilan aniqlash uchun, haqiqiy balkadan soxta balkani tanlaymiz ($7,16 - \text{rasm}$) va uni soxta kuch bilan yuklaymiz. Haqiqiy konsol balkanining tayanch nuqtalari soxta balkada sharnirlar bilan almashtiriladi. Sharnirli kesimlarda momentni ta'siri nolga teng bo'lganligi uchun, soxta balkanining uchta oddiy balkalarga ajratamiz. O'rta soxta balkanining reaksiya kuchlarini topamiz.

$$\sum M_A = q_f \cdot \frac{4^2}{2} - B_f \cdot 4 = 0 \quad \text{yoki} \quad B_f = 2 \cdot 40 = 80 \text{ kNm}^2$$

$$\sum M_B = -q_f \cdot 8 + A_f \cdot 4 = 0 \quad \text{yoki} \quad A_f = 80 \text{ kNm}^2$$

$$\text{Akesimning aylanish burchagi: } \theta_A = \frac{\theta_f}{EI} = \frac{A_f}{EI} = \frac{80}{4 \cdot 10^3} = 0,02 \text{ rad}$$

$$\text{Bkesimning aylanish burchagi: } \theta_B = \frac{\theta_f}{EI} = \frac{B_f}{EI} = -\frac{80}{4 \cdot 10^3} = -0,02 \text{ rad}$$

$$\text{Snuqtaning salqiligi: } y_C = \frac{M_f^c}{EI} = \frac{80}{4 \cdot 10^3} = 0,02 \text{ m}$$

$$\text{bu erda } M_f^c = A_f \cdot 2 - q_f \frac{2^2}{2} = 80 \cdot 2 - 40 \cdot 2 = 80 \text{ kNm}^3$$

D nuqtaning salqiligini topish uchun B - D uzunlikdagi soxta balkani o'rGANAMIZ:

$$y_D = \frac{M_f^D}{EI} = \frac{-\omega \frac{2}{3} \cdot 1 - B_f \cdot 1}{EI} = \frac{-\frac{40}{3} - 80}{4 \cdot 10^3} = -0,023 \text{ m}$$

$$\text{bu erda } \omega = \frac{1}{2} q_f \cdot 1 = \frac{40}{2} = 20 \text{ kNm}^2$$

misol - 9. Bir uchi kistirib mahkamlangan balka kesimlarining aylanish burchagi θ va B nuqtalarining salkiligi boshlangich parametrlar va grafonalitik usullar bilan toping

Yechish: Balkaning oraliqlarga bo'lib eguvchi momentning tenglamalarini tuzamiz va epyurasini quramiz (7.17 - rasm).

$$I - I \text{ qirqim } 0 \leq x_1 \leq 1m \quad M_{x_1} = -Fx_1;$$

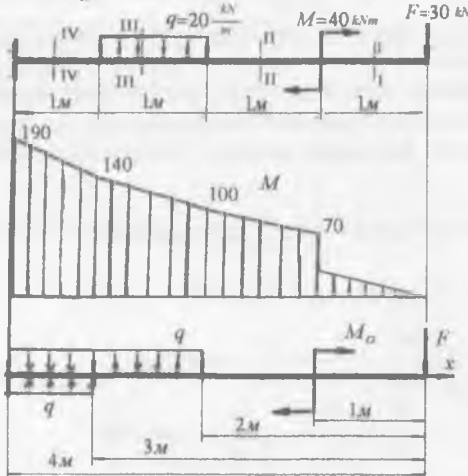
$$II - II \text{ qirqim } 1 \leq x_2 \leq 2m \quad M_{x_2} = -Fx_2 - M$$

$$III - III \text{ qirqim } 2 \leq x_3 \leq 3m \quad M_{x_3} = -Fx_3 - M - q \frac{(x_3 - 2)^3}{2};$$

$$IV - IV \text{ qirqim } 3 \leq x_4 \leq 4m \quad M_{x_4} = -Fx_4 - M - q \cdot l(x_4 - 2,5);$$

Balka uchun universal formulani tuzamiz:

$$\theta = \theta_0 + \frac{1}{EI} \left[-F \frac{x^2}{2} - M(x-1)^l - q \frac{(x-2)^3}{6} + q \frac{(x-3)^3}{6} \right]$$



7.17 - rasm. Berilgan balka uchun eguvchi moment epyurasasi va universal formulani tuzish sxemasi

$$y = y_0 + \theta_0 x + \frac{1}{EI} \left[-F \frac{x^3}{6} - M \frac{(x-1)^2}{2} - q \frac{(x-2)^4}{24} + q \frac{(x-3)^4}{24} \right]$$

Universal formuladagi θ_0 va y_0 noma'lumlarni balka uchlarining tayanish shartidan foydalanib topamiz:

$$x = 0 \text{ nuqta tayanchdan ozod, bu kesimda } \theta = \theta_0 \neq 0 \text{ va } y = y_0 \neq 0$$

Shuning uchun, $x = 0$ shartdan foydalanib bo'lmaydi.

$x = 4 \text{ m.}$ masofadagi tayanch kesimning barcha yo'nalishdagi ko'chishlari cheklangan. Shuning uchun $x = 4 \text{ m.}$ bo'lsa $\theta = 0$ va $y = 0$

Unda

$$\theta_0 = \frac{1}{EI} \left[F \frac{16}{2} + M \cdot 3 + q \frac{8}{6} - q \frac{1}{6} \right] = \frac{2300}{6EI},$$

$$y_0 = -\frac{2300 \cdot 4}{6 \cdot EI} + \frac{1}{EI} \left[F \frac{64}{6} + M \cdot \frac{9}{2} + q \frac{16}{24} - q \frac{1}{24} \right] = -\frac{24500}{24EI}$$

hosil bo'ladi. Topilgan θ_0 va y_0 – larni universal formulaga keltirib qo'yamiz.

$$\theta = \frac{2300}{6EI} + \frac{1}{EI} \left[-F \frac{x^2}{2} - M(x-1)^1 - q \frac{(x-2)^3}{6} + q \frac{(x-3)^3}{6} \right]$$

$$y_x = -\frac{24500}{24EI} + \frac{2300}{6EI} \cdot x + \frac{1}{EI} \left[-F \frac{x^3}{6} - M \frac{(x-1)^2}{6} - q \frac{(x-1)^4}{24} + q \frac{(x-3)^4}{24} \right]$$

O nuqtani salqılıgi $x = 0$ nuqtaga to'g'ri kelib $y = y_0$ hosil bo'ladi.

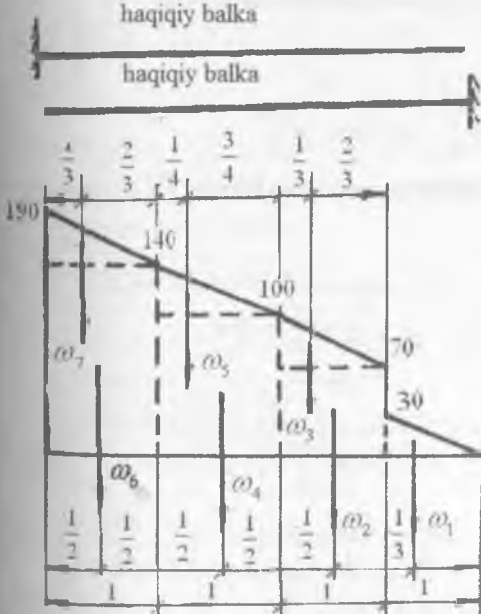
$$y_0 = -\frac{24500}{24 \cdot 10^5} = -0,0102m$$

B nuqtanıng salqılıgını topamız ($x = 2 m$)

$$y_2 = -\frac{24500}{24EI} + \frac{2300 \cdot 2}{6EI} - \frac{240}{6EI} - \frac{40}{2EI} \approx -3,14 \cdot 10^{-3} m$$

Balkanıng deformatsiyasını grafoanalitik usul bilan aniqlaymiz. Buning uchun haqiqiy balkadan soxta balkani tanlaymiz. Soxta balkani haqiqiy balkanıning eguvchi momenti bilan yuklaymiz. Soxta balkada notekeis tarqalgan soxta kuchlar hosil bo'ladi. Soxta balkanıng har bir nuqtasidagi soxta kuch miqdor jihatdan haqiqiy balkanıng shu nuqtasidagi eguvchi momentga teng bo'ladi ($q_i = M_i$) soxta kuch intensivligi bilan yuklangan kuch yuzalarini topamız (7.18 – rasm).

7.18 – rasm. Soxta kuch yuzalarini hisoblash sxemasi.



$$\omega_1 = \frac{1}{2} \cdot 30 \cdot 1 = 15 \kappa Nm^2;$$

$$\omega_2 = 70 \kappa Nm^2;$$

$$\omega_3 = \frac{1}{2} (100 - 70) \cdot 1 = 15 \kappa Nm^2;$$

$$\omega_4 = 100 \cdot 1 = 100 \kappa Nm^2;$$

$$\omega_5 = \frac{1}{3} (140 - 100) \cdot 1 = \frac{40}{3} \kappa Nm^2;$$

$$\omega_6 = 140 \cdot 1 = 140 \kappa Nm^2;$$

$$\omega_7 = \frac{1}{2} (190 - 140) \cdot 1 = 25 \kappa Nm^2$$

C nuqtaning salqiligini topamiz:

$$M_J^0 = -\omega_7 \left(\frac{2}{3} \cdot 1 + 3 \right) - \omega_6 \left(\frac{2}{3} \cdot 1 + 3 \right) - \omega_5 \left(\frac{3}{4} \cdot 1 + 2 \right) - \omega_4 \left(\frac{1}{2} \cdot 1 + 2 \right) - \\ - \omega_3 \left(\frac{2}{3} \cdot 1 + 1 \right) - \omega_2 \left(\frac{1}{2} \cdot 1 + 1 \right) - \omega_1 \left(\frac{2}{3} \cdot 1 \right) = -25 \frac{11}{3} - 140 \frac{7}{2} - 40 \frac{11}{3} - \\ - 100 \frac{5}{2} - 15 \frac{5}{3} - 70 \frac{3}{2} - 15 \frac{2}{3} = -\frac{3025}{3} \text{ kNm}^3$$

$$y_0 = \frac{M_J^0}{EI} = -\frac{3025}{3 \cdot 10^5} = -0,0101 \text{ m}$$

misol – 10. Ikkita sharnirli tayanchga tayangan, uzunligi $\ell = 1$. balkaning o'rta kesimida salqilik $f = 6,25 \text{ mm}$. Balkaning kesimi, tomonlari $b = 0,06 \text{ m}$ va $h = 0,04 \text{ m}$ bo'lgan to'g'ri burchakli. Balka materialining elastiklik moduli va bo'ylama o'qining egrilik radiusi topilsin. $\sigma_{\max} = [\sigma] = 10 \cdot 10^3 \frac{\kappa N}{m^2}$

Yechish: Balkaning normal kuchlanish bo'yicha mustahkamlik shartini yozamiz: $\sigma_{\max} = \frac{M \cdot y_{\max}}{I_x} = [\sigma]$. Bu erda $y_{\max} = \frac{h}{2}$ va M balkaning xavfli kesimidagi eguvchi momenti. M - momentli balkaning eng katta salqiligini f bilan belgilaymiz.

$f = \frac{M \ell^2}{8EI_x}$ va $M = \frac{fEI_x \cdot 8}{\ell^2}$ mustahkamlik sharti quyidagicha yoziladi:

$$\frac{fEI_x \cdot 8 \cdot \frac{h}{2}}{I_x \cdot \ell^2} = [\sigma] \text{ va } E = \frac{[\sigma] \ell^2}{f \cdot 8 \cdot \frac{h}{2}} = \frac{1 \cdot 10^4}{6,25 \cdot 10^{-3} \cdot 8 \cdot \frac{0,04}{2}} = 1 \cdot 10^7 \frac{\kappa N}{m^2}$$

Egrilik radiusi ρ bilan M va balkaning egilishdagi bikrili EI_x orasidagi bog'lanishni yozamiz: $\frac{1}{\rho} = \frac{M}{EI_x}$

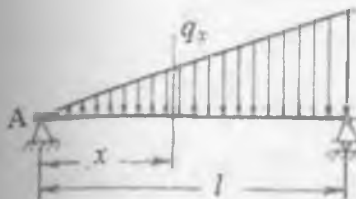
$$\text{bu yerdan } \rho = \frac{EI_x}{M} = \frac{EI_x \ell^2}{fEI_x \cdot 8} = \frac{\ell^2}{f \cdot 8} = \frac{1^2}{6,25 \cdot 10^{-3} \cdot 8} = 20 \text{ m}$$

B nuqtaning salqiligini topamiz:

$$M_B^f = -\omega_7 \left(\frac{2}{3} \cdot 1 + 1 \right) - \omega_6 \left(\frac{2}{3} \cdot 1 + 1 \right) - \omega_5 \left(\frac{3}{4} \cdot 1 \right) - \omega_4 \frac{1}{2} \cdot 1 = \\ = -25 \frac{5}{3} - 140 \frac{3}{2} - 40 \frac{3}{3} - 100 \frac{1}{2} = -\frac{935}{3} \text{ kNm}^3$$

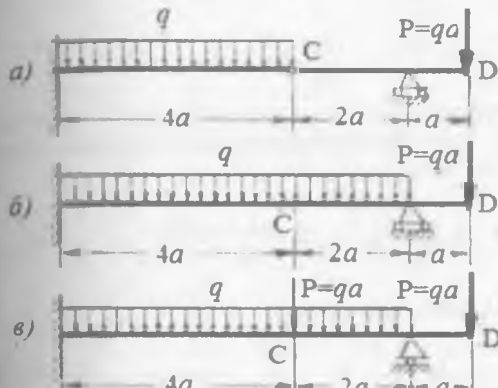
$$y_B = \frac{M_B^f}{EI} = -\frac{935}{3 \cdot 10^5} = 3,11 \cdot 10^{-3} \text{ m}$$

Mustaqil ish uchun misollar



7.19-rasm.

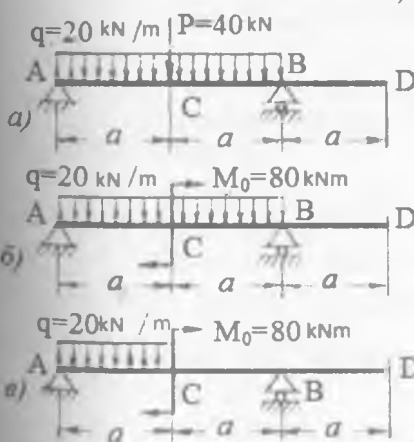
misol-11. Uchburchak bo'yicha teng taqsimlangan yuk ta'sirida (7.19-rasmga qarang). Boshlangich parametrlar usulida balkadagi eng katta salqilik (f_{\max}) ni, shuningdek prolet o'rtasidagi salqilik (f_c) ni aniqlang. ko'rsatma. Yuk intensivligi $q(x) = -q \frac{l}{l} x$.



misol-12. Sharnirli balkalar uchun kuch qo'yilgan kesimlardagi (f_D) va sharnirlardagi (f_c) salkiliklarni aniqlang (rasmga qarang). Kesim butun uzunlik bo'yicha bir xil deb hisoblansin.

D 7.20-rasm

Javob: a) $f_c = -\frac{64 qa^4}{3 EJ}$, $f_D = \frac{29 qa^4}{3 EJ}$; b) $f_c = -\frac{128 qa^4}{3 EJ}$, $f_D = \frac{62 qa^4}{3 EJ}$;
v) $f_c = -\frac{64 qa^4}{3 EJ}$, $f_D = \frac{94 qa^4}{3 EJ}$.



misol-13. Rasmda tasvirlangan balkalar uchun prolet o'rtasidagi (f_c) va konsolning erkin uchidagi (f_D) salkiliklar grafoanalitik usulda aniqlang. Agar $a = 2 m$, $EJ = 10 \cdot 10^{10} \text{ sm}^2$ bo'lsa, chap tayanch va o'ng oxirgi kesimlar (Θ_A va Θ_V) ning aylanish burchaklarini ham toping.

7.21-rasm

misol – 14. Balkani egilishga to'liq hisoblash. (rasm – 7.22)

1) Balkaning reaksiya kuchlarini xisoblaymiz.

$$\Sigma M_B = 0; \quad -6A + q \cdot 2 \left(\frac{2}{2} + 4 \right) - 4F + M = 0 \quad \text{va} \quad A = \frac{100}{6} kN$$

$$\Sigma M_A = 0; \quad 2F - q \cdot \frac{(2)^2}{2} + M + 6B = 0 \quad \text{va} \quad B = -\frac{100}{6} kN$$

$$\text{Tekshirish: } \Sigma Y = A + F + B - 2q = 0 \quad \text{va} \quad \frac{100}{6} + 40 - \frac{100}{6} - 2 \cdot 20 = 0$$

Balkani har bir oraliqlari uchun eguvchi moment va kundalang kuch tenglamalarini tuzamiz, hisoblaymiz va epyularini quramiz.

$$M_{x_1 \max} = \frac{100}{6} \cdot \frac{5}{6} - 20 \cdot \frac{\left(\frac{5}{6}\right)^2}{2} = \frac{125}{18} \kappa Nm$$

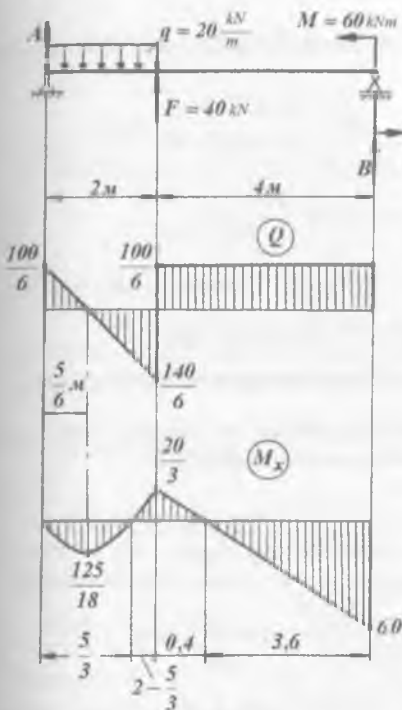
Birinchi va ikkinchi oraliklarda eguvchi moment ishorasini o'zgartiradi, ya'ni abstsissani kesib o'tadi. Eguvchi momentning epyurasi abstsissani kesib o'tish nuqtalarida nolga teng bo'ladi.

$$\text{Birinchi oraliq uchun } M_{x_1} = A_{x_1} - q \frac{x_1^2}{2} = 0 \quad \text{va bu erdan}$$

$$x_1 = \frac{100}{60} = \frac{5}{3} m \quad \text{hamda ikkinchi oraliq uchun}$$

$$M_{x_2} = A(2+x_2) - q \cdot 2 \left(\frac{2}{2} + x_2 \right) + Fx_2 = 0 \quad \text{va buerdan } x_2 = 0,4 m$$

nuqtalarda M_x ishorasini o'zgartiradi.



7.22 -rasm. Berilgan balka uchun ko'ndalang kuch va eguvchi moment epyuralari.

I-loraliq. $0 \leq x_1 \leq 2 \text{ m}$

$$Q_1 = A - qx_1$$

$$M_{x_1} = A_{x_1} - q \frac{x_1^2}{2}$$

$Q_1 = 0$ bo'lqanda nuqtada M_{x_1} eguvchi moment maksimumga erishadi.

$$Q_1 = A - qx_1 = 0;$$

$$x_1 = \frac{A}{q} = \frac{100}{6 \cdot 20} = \frac{5}{6} \text{ m}$$

2. Balkani xavfli kesimi uchun normal kuchlanish bo'yicha mustahkamlilik sharti

$$\sigma_{\max} = \frac{M_{\max}}{W_x} \leq [\sigma]$$

dan qo'shtavrli profil tanlaymiz.

Bu erda. $M_{\max} = 60 \text{ kNm}$ - balkani V xavfli kesimidagi eguvchi moment;

$$[\sigma] = 160 \text{ MPa}, - \text{balkaning materiali uchun ruxsat etilgan kuchlanish},$$

Mustahkamlilik shartdan xavfli kesimni talab etilgan qarshilik momentini xisoblaymiz.

$$W_x = \frac{M_{\max}}{[\sigma]} = \frac{60}{160 \cdot 10^3} = 0,375 \cdot 10^{-3} \text{ m}^3$$

Qo'shtavrli kesimning tartib raqamini tanlaymiz:

$$W_T = 0,371 \cdot 10^{-3} \text{ m}^{-3} \quad \text{qarshilik momentli} \quad \text{№ 27} \quad \text{va}$$

$$W_T = 0,407 \cdot 10^{-3} \text{ m}^{-3} \quad \text{qarshilik momentli - №27a}$$

Tanlangan - $\frac{W}{T}$ qarshilik momentlar asosida - mustahkamlik shartini tekshiramiz.

$$\sigma_{\max}^{27} = \frac{M_{\max}}{W_x} = \frac{60}{0,371 \cdot 10^{-3}} = 161,725 \cdot 10^{-3} \frac{kN}{m^2} > [\sigma]$$

$$\sigma_{\max}^{27a} = \frac{60}{0,407 \cdot 10^{-3}} = 147,42 \cdot 10^{-3} \frac{kN}{m^2} < [\sigma]$$

$$\text{№ 27 - raqamli qo'shtavr} - \frac{161,725 - 160}{160} \cdot 100\% = 1,08\%$$

yuqori kuchlanishda va № 27a - raqamli qo'shtavr

$$\frac{147,42 - 160}{160} \cdot 100\% = -7,86\% \text{ to'liq yuklanmagan vaziyatda ishlaydi.}$$

Qo'shtavrlar mustahkamligini balkani ko'ndalang kuch bo'yicha xavfli kesimidagi urinma kuchlanishlar asosida tekshiramiz.

$$\tau_{\max}^{27} = \frac{Q_{\max} \cdot S_{\max}}{I_x} = \frac{\frac{140}{6} \cdot 100 \cdot 210}{5010 \cdot 0,6} = 163 \frac{kg}{sm^2} < [\tau]$$

$$\tau_{\max}^{27a} = \frac{Q_{\max} \cdot S_{\max}}{I_x \cdot d} = \frac{\frac{140}{6} \cdot 100 \cdot 229}{5500 \cdot 0,6} = 162 \frac{kg}{sm^2} < [\tau]$$

Bu yerda $Q_{\max} = \frac{140}{6} \cdot 100 \kappa G$ - balkadagi eng katta ko'ndalang kuch;

S_{\max}, I_{\max} va d - qo'shtavrli kesimni tegishli geometrik xarakteristikalarini.

Balkani xavfli kesimida mustahkamlikni ta'minlash uchun № 27a - qo'shtavrni tanlaymiz va uning geometrik xarakteristikalarini yozamiz:

$$h = 270mm, \quad s = 135mm, \quad d = 6mm, \quad t = 10,2mm \quad I_x = 5500sm^4$$

$$S_x = 229sm^3 \quad W_t = 407sm^3$$

Qo'shtavrli kesimni balandligi bo'yicha normal - σ - va τ - kuchlanishlarini hisoblaymiz.

- normal kuchlanish: $\sigma = \frac{M_{\max}}{I_x} \cdot y$ formula bilan hisoblanadi.

buerda y qushtavrli kesimni x neytral o'qidan tegishli kuchlanishini tekshirishga tanlangan nuqtalargacha bo'lgan masofa.

$$1 - \text{nuqta} - \quad y_1 = y_9 = \frac{h}{2} = \frac{27}{2} = 13,5sm; \quad \sigma_1 = -1472,7 \frac{\kappa G}{sm^2}$$

$$2\text{-nuqta} - y_{2,3} = y_{7,8} = \frac{h}{2} - t = \frac{27}{2} - 1,02 = 12,48 \text{ sm}$$

$$\sigma_2 = -1361,45 \frac{\kappa G}{sm^2}$$

$$4\text{- nuqta. } y_{4,6} = \frac{1}{2} \left(\frac{h}{2} - t \right) = \frac{1}{2} \left(\frac{27}{2} - 1,02 \right) = 6,24 \text{ sm}$$

$$\sigma_4 = -680,73 \frac{\kappa G}{sm^2}$$

5- nuqta - $y_5 = 0$; va $\sigma_5 = 0$

Balka kesimining neytral o'qidan yuqorida joylashgan materiali siqilishga va pastki qatlarm materiali cho'zilishga qarshilik ko'rsatganligi uchun 1, 2, 3 va 4 nuqtalarda normal kuchlanish ishorasi manfiy.

$$\text{Urinma kuchlanish } \tau = \frac{Q_{\max} \cdot S_x^0}{I_x \cdot b(d)} \text{ formuladan hisoblanadi}$$

Buerda S_x - qushtavrli kesimning chetki va kuchlanishi hisoblanishi lozim bo'lган - tanlangan nuqtalar orasidan ajratilgan yuzani neytral o'qga nisbatan statik momentni va u quyidagicha hisoblanadi.

$$1\text{- nuqta} - S_x^{01} = 0; \quad \text{demak } \tau_{1,9} = 0$$

$$2\text{- nuqta} - S_x^{02} = \left(\frac{h-t}{2} \right) \cdot t \cdot b = \left(\frac{27-1,02}{2} \right) \cdot 1,02 \cdot 13,5 = 178,9 \text{ sm}^3$$

Qushtavrni 2 va 3 nuqtalari joylashga kesimining eni $b = 13,5 \text{ sm}$ dan $d = 0,6 \text{ sm}$ ga qadar kichiklashadi. Shuning uchun bu nuqta-lardagi kuchlanishlar bir - biridan tubdan farq qiladi:

$$\tau_2 = \frac{14000 \cdot 178,9}{6 \cdot 5500 \cdot 13,5} = 5,62 \frac{\kappa G}{sm^2} \quad \text{va} \quad \tau_3 = \frac{14000 \cdot 178,9}{6 \cdot 5500 \cdot 0,6} = 126,5 \frac{\kappa G}{sm^2}$$

$$4\text{- nuqta uchun} \quad S_x^{04} = 178,9 + \frac{d}{2} \left(\frac{h_c^2}{4} - y^2 \right), \quad \text{bu erda}$$

$$h_c = h - 2t = 27 - 2 \cdot 1,02 = 24,96 \text{ sm} \quad \text{va} \quad y = y_4 = \frac{h_c}{4} = 6,24 \text{ sm}.$$

$$\text{Unda, } S_x^{04} = 213,9 \text{ sm}^3 \quad \text{va} \quad \tau_4 = \frac{14000 \cdot 213,9}{6 \cdot 5500 \cdot 0,6} = 151,2 \frac{\kappa G}{sm^2}$$

$$5\text{- nuqta uchun} \quad S_x^{05} = S_{\max} = 229 \text{ sm}^3; \quad \text{va} \quad \tau_{\max} = 162 \text{ kg/sm}^2$$

4. Balka mustahkamligini bosh kuchlanishlar bo'yicha tekshirish uchun qushtavrli kesimni har bir nuqtasidagi bosh normal kuchlanishlar topiladi:

$$\sigma_{1,3} = \frac{1}{2} \left[\sigma \pm \sqrt{\sigma^2 + 4\tau^2} \right]$$

$$1 - \text{nuqta uchun} \quad \sigma_1 = 0 \quad \text{va} \quad \sigma_3 = -1472,7 \frac{\kappa G}{sm^2}$$

2 - nuqta.

$$\sigma_{1,3} = \frac{1}{2} \left[-1361,4 \pm \sqrt{(1361,4)^2 + 4 \cdot (5,62)^2} \right] = \frac{1}{2} (-1361,4 \pm 1361,44)$$

$$\text{buerdan} \quad \sigma_1 = 0,02 \frac{\kappa G}{sm^2} \quad \text{va} \quad \sigma_3 = -1361,42 \frac{\kappa G}{sm^2}$$

3 - nuqta.

$$\sigma_{1,3} = \frac{1}{2} \left[-1361,4 \pm \sqrt{(1361,4)^2 + 4 \cdot (126,5)^2} \right] = \frac{1}{2} (-1361,4 \pm 1384,7);$$

$$\text{buerdan} \quad \sigma_1 = 11,7 \frac{\kappa G}{sm^2} \quad \sigma_3 = -1373,4 \frac{\kappa G}{sm^2}$$

$$4 - \text{nuqta. } \sigma_{1,3} = \frac{1}{2} \left[-681,7 \pm \sqrt{(681,7)^2 + 4 \cdot (151,2)^2} \right] = \frac{1}{2} (-681,7 \pm 745,8)$$

$$\text{buerdan} \quad \sigma_1 = 32 \frac{\kappa G}{sm^2} \quad \text{va} \quad \sigma_3 = -713,8 \frac{\kappa G}{sm^2}$$

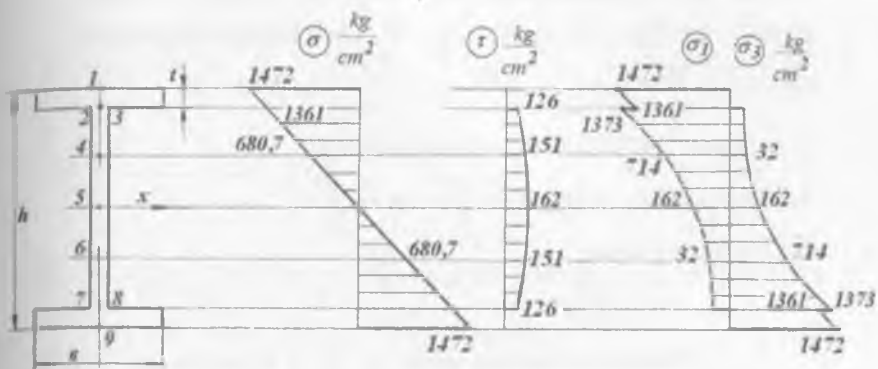
$$5 - \text{nuqta} \quad \sigma_{1,3} = \pm 162 \frac{\kappa G}{sm^2}$$

Neytral o'qdan pastki qatlam materiali cho'zilish deformatsiyasiga qarshilik ko'rsatadi, shuning uchun bu qatlamda normal kuchlanish musbat ishorali bo'ladi Demak, 6,7,8 va 9 nuqtalardagi $\sigma_{1,3}$ - bosh normal kuchlanishlarini hisoblashda normal kuchlanish - σ musbat ishora bilan olinadi.

Bosh urinma kuchlanishni maksimal va minimal qiymati kesimni har bir nuqtasi uchun $\tau_{\max} = \pm \frac{1}{2} \sqrt{\sigma^2 + 4\tau^2}$ formula bilan hisoblanadi.

$$\text{Bosh normal kuchlanishlarni yo'nalishlari} \quad ig^2 \alpha_0 = -\frac{2\tau}{\sigma}$$

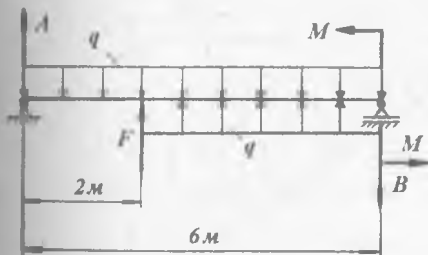
Bosh kuchlanishlarning yo'nalishlari Mor doirasining qurish usuli bilan topiladi. Mor doirasini qurishda σ va τ kuchlanishlarining qiymatlaridan foydalanamiz



7.23-rasm. Qo'shtavrning balandligi bo'ylab normal kuchlanish, urinma kuchlanish, bosh normal kuchlanish epyuralari.

5.Balkani egilishdagi ko'chishini boshang'ich parametrlar usuli bilan hisoblaymiz.

- balkaning berilgan sxemasini 7.24-rasmda ko'rsatilganidek chizamiz va universal formulani tuzamiz.



7.24-rasm. Universal formulani

tuzishga moslashtirilgan balka

Universal formulani tuzish shartlari oldingi mavzularda to'lqligicha berilgan.

-Kesim aylanish burchagini formulasi:

$$\theta = \theta_0 + \frac{1}{EI} \left[A \frac{x^2}{2} - q \frac{x^3}{6} + F \frac{(x-2)^2}{2} + q \frac{(x-2)^3}{6} \right]$$

va salqilik formulasi

$$y = y_0 + \theta_0 x + \frac{1}{EI} \left[A \frac{x^3}{6} - q \frac{x^4}{24} + F \frac{(x-2)^3}{6} + q \frac{(x-2)^4}{24} \right]$$

Balka boshlang'ich kesimining aylanish burchagi θ_0 va salqiliqi y_0 larni balka uchlarining tayanish shartlariga bog'liq ravishda aniqlaymiz.

Masalan, $x_0 = 0$; $\theta = \theta_A = \theta_0 \neq 0$; $y = y_A = y_0 = 0$, ya'ni A tayanch kesimning aylanish burchagi nolga teng emas, lekin vertikal ko'chishi cheklangan.

Shuning uchun bu tengliklardan $y_0 = 0$ va θ_0 -ni topib bo'lmaydi. $x = 6m$, bo'lsa $\theta = \theta_B \neq 0$ va $y = y_B = 0$. Unda ikkinchi tenglamadan

$$6\theta_0 + \frac{1}{EI} \left[\frac{100}{6} \frac{6^3}{6} - 20 \frac{6^4}{24} + 40 \frac{(4)^3}{6} + 20 \frac{(4)^4}{24} \right] = 0 \quad \text{yoki} \quad \theta_0 = \frac{-26,7}{EI}$$

Unda balka kesimini aylanish burchagi

$$\theta = \theta_0 + \frac{1}{EI} \left[A \frac{x^2}{2} - q \frac{x^3}{6} + F \frac{(x-2)^2}{2} + q \frac{(x-2)^3}{6} \right]$$

va salqilik tenglamasi

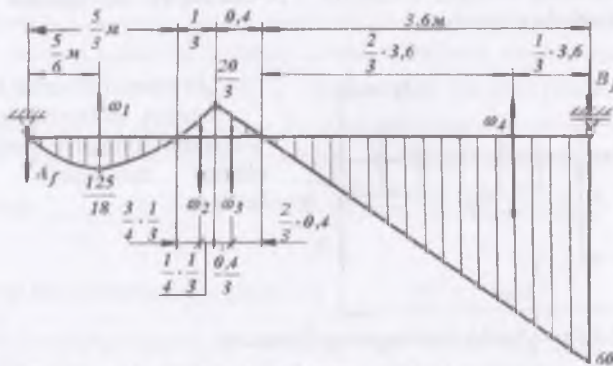
$$y = \frac{-3840}{144EI} x + \frac{1}{EI} \left[A \frac{x^3}{6} - q \frac{x^4}{24} + F \frac{(x-2)^3}{6} + q \frac{(x-2)^4}{24} \right]$$

Balkani turli kisimlar uchun y va θ ni hisoblaymiz.

$$x = 2m, \text{ bo'lsa} \quad y = \frac{-3840 \cdot 2}{144EI} + \frac{1}{EI} \left[\frac{100}{6} \frac{8}{6} - 20 \frac{16}{24} \right] = \frac{44,4}{EI}$$

$x = 6m$, bo'lsa

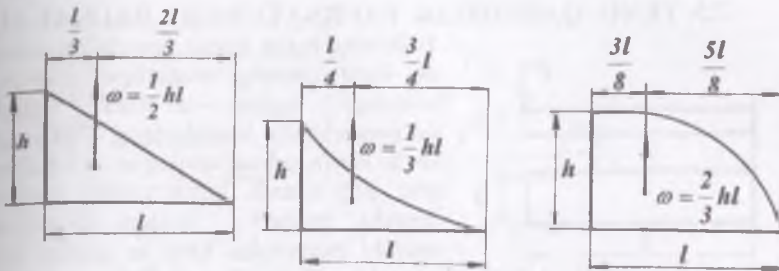
$$\theta_B = \frac{-3840}{144EI} + \frac{1}{EI} \left[\frac{100}{6} \frac{36}{2} - 20 \frac{216}{6} + 40 \frac{16}{2} + 20 \frac{64}{6} \right] = \frac{86,63}{EI}$$



7.25 - rasm. Soxta balkanining kuch yuzasi

6. Balkani egilishdagagi ko'chishini grafoanalitik usul bilan hisoblaymiz. Balkani berilgan sxemasi uchun soxta balka tanlaymiz. Soxta balkani berilgan balka uchun qurilgan eguvchi moment epyurasi bilan yuklaymiz (7.25 -rasm).

Soxta kuch $q_f = M_x$ - soxta balkani uzunligi buylab to'g'ri chiziqli yoki parabola qonuniyatini bilan o'zgarishi mumkin, yoki soxta balkani ma'lum oraliqida o'zgarmas bo'lishi mumkin. 7.26 -rasmda har xil kuch yuzalar va ularning og'irlik markazlari koordinatalarining hisoblash formulalari keltirilgan.



7.26 – rasm. Turli shaklli kesim yuzalar og'irlilik markazlarining koordinatalari

Soxta balkani reaksiya kuchlarini topamiz

$$\sum M_b = 0 \quad A_f \cdot 6 - \omega_1 \left(6 - \frac{5}{6} \right) + \omega_2 \left(4 + \frac{1}{12} \right) + \omega_3 \left(3,6 + \frac{0,8}{3} \right) - \omega_4 \frac{3,6}{3} = 0$$

buerda $\omega_1 = \frac{2}{3} \cdot \frac{4}{3} \cdot \frac{125}{18} \approx 7,71605 \text{ kNm}^2$ $\omega_2 = \frac{1}{3} \cdot \frac{20}{3} \cdot \frac{1}{3} = \frac{20}{27} \text{ kNm}^2$

$$\omega_3 = \frac{1}{2} \cdot \frac{20}{3} \cdot 0,4 = \frac{4}{3} \text{ kNm}^2 \quad \omega_4 = \frac{1}{2} \cdot 60 \cdot 3,6 = 108 \text{ kNm}^2$$

Unda $A_f \cdot 6 - \frac{156770}{972} = 0$; va $A_f = \frac{156770}{6 \cdot 972} \approx 26,9 \text{ kNm}^2$

Soxta balkanining B tayanch reaksiya kuchini aniqlaymiz.

$$\sum M_A = -\omega_1 \cdot \frac{5}{6} - \omega_2 \left(\frac{5}{3} + \frac{3}{4} \cdot \frac{1}{3} \right) - \omega_2 \left(2 + \frac{0,4}{3} \right) + \omega_1 \left(2,4 + \frac{2}{3} \cdot 3,6 \right) - B_f \cdot 6 = 0$$

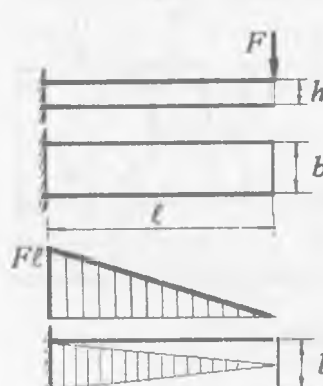
$$B_f = 86,76 \text{ kNm}^2;$$

Balkani tanlangan nuqtalaridagi salqilik va kesimni aylanish burchaklarini aniqlaymiz $y_k = \frac{M_f^k}{EI} = \frac{-44,8}{EI}$ bu erda

$$M_f^k = -A_f \cdot 2 + \omega_1 \left(\frac{5}{6} + \frac{1}{3} \right) - \omega_2 \frac{1}{12} = -26,9 \cdot 2 + 7,716 \cdot \frac{7}{6} - 0,74 \frac{1}{12} = -44,8 \text{ kNm}^3$$

B tayanch kesimning aylanish burchagi $\theta_B = \frac{Q_f^B}{EI} = \frac{B_f}{EI} = \frac{86,76}{EI}$

7.5. TENG QARSHILIK KO'RSATUVCHI BALKALAR



7.27 - rasm

Balkaning kesim yuzasi eguvchi momentning eng katta qiymatiga erishadigan ya'ni xavfli holatdagi kesimi bo'yicha tanlanadi. Ko'pincha balka kesimlarining o'lchamlari - xavfli kesim uchun tanlangan o'lchamlarga teng qilib olinadi. Lekin xavfli kesimdagagi eguvchi moment boshqa kesimlarda eguvchi momentdan katta bo'lganligi uchun normal kuchlanish ham xavfli kesimda boshqa kesimlarga nisbatan katta bo'ladi. Masalan:

$M_x = 0$ bolsa $\sigma = 0$ (7.27 - rasm), tayanch kesimda eguvchi moment eng katta qiymatga erishadi. Demak shu kesimda normal kuchlanish ham eng katta qiymatga erishadi. Balkaning uzunligi bo'ylab kesimlarda kuchlanish notekis tarqaladi, material kuchlanish

bilan to'liq yuklanmaydi. Masalan, kesim yuzanining eni o'zgarmas bo'lgan balkaning materiali eguvchi moment epyurasining o'zgarish qonuniyatiga mos yuklangan deb qabul qilsak (7.27-rasm, shtrixlangan soha), epyuradan tashqaridagi material kuchlanishlar ta'siridan ozod bo'ladi va bu material ortiqcha material hisoblanadi. Balka kesimining o'lchamlarini shunday tanlash mumkin-ki, bunda balka materialining har bir zarrachasi kuchlanishlar bilan miqdor jihatdan o'zaro teng bo'lgan bir xil, materiali uchun xos va mos bo'lgan ruxsat etilgan kuchlanishga teng kuchlanishlar ta'sirida bo'ladi.

Uzunligi bo'ylab barcha kesim yuzalaridagi kuchlanishlar balkaning materiali uchun belgilangan ruxsat etilgan kuchlanishga teng bo'lgan balkalar teng qarshilik ko'rsatuvchi balkalar deyiladi.

Teng qarshilik ko'rsatuvchi balkani tanlash uchun, kesim yuzasi to'g'ri to'rtburchak ko'rinishida va balandligi o'zgarmas bo'lgan balkaning xavfli kesimi va erkin uchidan x masofada joylashgan kesimi uchun mustahkamlik shartlarini yozamiz:

Balkaning xavfli kesimi uchun mustahkamlik shart

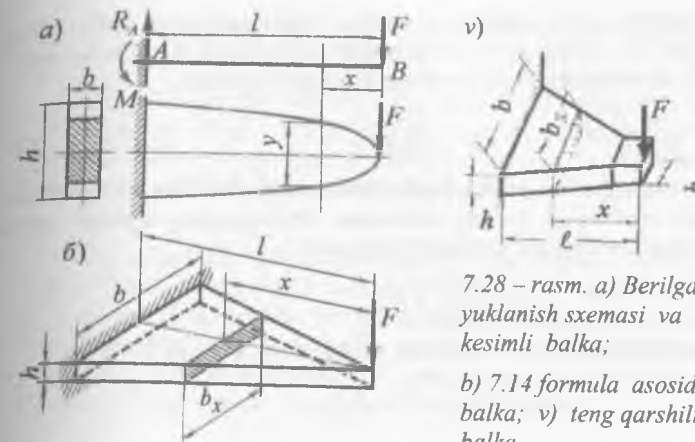
$$\sigma_{\max} = \frac{M_{\max}}{W} = \frac{F\ell}{bh^2} \leq [\sigma]$$

6

va balka uchidan ixtiyoriy masofada joylashgan kesim uchun mustahkamlik shart

$$\sigma_x = \frac{M_x}{W_x} = \frac{Fx}{b_x h^2} \leq [\sigma],$$

6



7.28 - rasm. a) Berilgan balkani yuklanish sxemasi va o'zgaruvchan kesimli balka;

b) 7.14 formula asosida tayyorlangan balka; v) teng qarshilik ko'rsatuvchi balka

Har ikkita mustahkamlik shartning o'ng tomonlari o'zaro teng.

$$\text{Shuning uchun } \frac{6F\ell}{bh^2} = \frac{6Fx}{b_x h^2} \text{ va buerdan } b_x = b \cdot \frac{x}{\ell} \quad (7.14)$$

M_{\max} - qistirib mahkamlangan tayanch kesimdagagi moment;

M_x - balkaning erkin uchidan x -masofada joylashgan kesimining momenti;

W - qistirib mahkamlangan tayanch kesimning qarshilik momenti;

W_x - balkaning x masofadagi kesimining qarshilik momenti.

(7.14) formuladagi b_x teng qarshilik ko'rsatuvchi balkaning uzunligi bo'yicha kesimning eni balkaning uzunligi bo'ylab to'g'ri chiziqli qonuniyat bilan o'zgaradi;

x - masofadagi kesimning qarshilik momenti.

$$W_x = \frac{b_x h^2}{6} = \frac{bh^2}{6} \cdot \frac{x}{\ell} = W \frac{x}{\ell}$$

Bu kesimdagagi kuchlanishni tekshiramiz

$$\sigma_x = \frac{M_x}{W_x} = \frac{Fx}{W \frac{x}{\ell}} = \frac{F\ell}{W} = \sigma_{\max} = \text{const}$$

Shunday qilib, balkaning barcha kesimlarida eng katta normal kuchlanishlar bir xil. Tashqi yukni ko'taradigan kesimning minimal enini urinma kuchlanish bo'yicha mustahkamlik shartidan foydalanimiz topamiz

$$\tau_{\max} = \frac{3Q}{2b_{\min}h} \leq [\tau], \quad b_{\min} = \frac{3Q}{2M[\tau]}$$

O'zgaruvchan kesimli balkalarda ko'chishlar. O'zgaruvchan kesimli balkalarning bikrili x -ning funktsiyasi. Shuning uchun egilgan o'qning taqrifi tenglamasi quyidagicha yoziladi (7.28-rasm):

$$EI_x \frac{d^2y}{dx^2} = M_x$$

Bu erda: I_x - balka o'zgaruvchan kesimining inertsiya momenti, ya'ni:

$$I_x = \frac{b_x h^3}{12} = \frac{bh^3}{12} \cdot \frac{x}{\ell} = I \frac{x}{\ell}$$

$$\text{Unda } EI \frac{x}{\ell} \cdot \frac{d^2y}{dx^2} = -Fx \quad \text{yoki} \quad EI \frac{d^2y}{dx^2} = -\frac{F\ell}{x} = -F\ell \quad (7.15)$$

(7.15) tenglarnani integrallaymiz:

$$EI \frac{dy}{dx} = -F\ell x + C \quad \text{va} \quad Ely = -F\ell \frac{x^2}{2} + Cx + D$$

$$x = \ell \text{ bo'lsa, salqilik } y = 0 \text{ va aylanish burchagi: } \frac{dy}{dx} = \theta = 0$$

$$\text{Unda } 0 = -F\ell^2 + C \quad \text{va} \quad 0 = -F \frac{\ell^3}{2} + C\ell + D$$

$$\text{Bu erdan: } C = F\ell^2 \quad \text{va} \quad D = -\frac{F\ell^3}{2}$$

θ va y tenglamalari quyidagicha ko'rinishga keladi:

$$\theta = -\frac{F\ell}{EI}x + \frac{F\ell^2}{EI} = \frac{F\ell^2}{EI} \left(1 - \frac{x}{\ell} \right)$$

$$y = -\frac{F\ell x^2}{2EI} + \frac{F\ell^2 x}{EI} - \frac{F\ell^3}{2EI} = -\frac{F\ell^3}{2EI} \left(1 - 2\frac{x}{\ell} + \frac{x^2}{\ell^2} \right)$$

Eng kata salqilik balkaning erkin uchida hosil bo'ladi:

$$x = 0 \text{ bo'lsa} \quad y_{\max} = f = -\frac{F\ell^3}{2EI} \quad \text{Agar, balka uzunligi bo'ylab}$$

o'zgarmas kesimli bo'lsa, eng katta salqilik $f = -\frac{F\ell^3}{3EI}$ formula bilan topiladi.

Demak, o'zgaruvchan kesimli balkalarning egiluvchanligi katta ekan.

7.6. Egilishda ko'chishlarni topishning energetik usullari

Yuqorida, to'g'ri sterjenning ko'ndalang egilishdagi ko'chishini aniqlashni turli usullarini ko'rib o'tdik. Balka egilgan o'qining taqrifiy differentials tenglamasini integrallash usuli, boshlang'ich parametrlar va grafoanalitik usullarni tadbiq etish usullari bilan balkaning egilishini oddiy ko'rinishlarida, uni aniqlash yoki hisoblash qulay.

Egilishga uchraydigan konstruktsiya qismlarining ayrim murakkab shakl yoki ko'rinishlari mavjudki, bu xildagi konstruktsiya qismlarining ko'chishlarini aniqlash uchun egilishdagi deformatsiyaning energiyasiga asoslangan Mor yoki Vereshagin usullarini tadbiq etish osondir. Mor yoki Vereshagin usullari bilan to'g'ri sterjenlarning cho'zilish yoki siqilish, buralish va egilishdagi ko'chishlarini aniqlash va statik noaniq masalalarni Yechish mumkin.

7.6.1. Egilish deformatsiyasining potentsial energiyasi

Balkaga o'sib boruvchi elementar kichik dF yuk bilan ta'sir qilinsin (7.29 – rasm). Yuk dF miqdorga ortganda balkaga yuklangan oldingi yuk pastga tushadi va uning potentsial energiyasi (U_F) kamayadi, balka deformatsiyasining energiyasi (U) esa tegishlicha ortadi. Balkani har bir dF miqdordagi yuklanganida, zarrachalarining harakat xususiyati o'zgarmaydi.



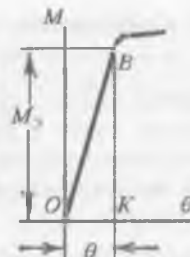
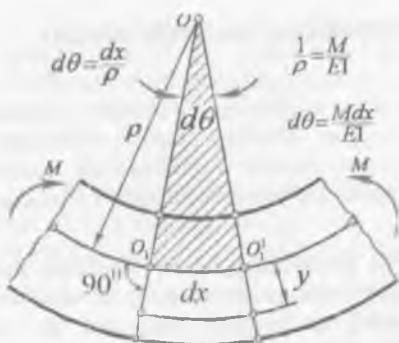
7.29 – rasm

Shuning uchun, har bir yuklashda balkani hamma qismida muvozanat holati sodir bo'ladi. Demak, balkani deformatsiyasi uni muvozanat holatini buzmasdan hosil bo'lar ekan. Shuning uchun balkaning har bir yukanish holatida, $U_F = U$ tenglik kelib chiqadi, ya'ni yukning potentsial

energiyasi U_F balka deformatsiyag' sining potentsial energiyasiga to'liq o'tadi. Boshqa turga aylangan energiyaning o'lchami sifatida, konstruktsiyaga ta'sir qiluvchi tashqi kuchni bajargan ishi qabul qilinadi.

Unda U_F tashqi kuchning musbat ishorali ishi A_F bilan o'lchanadi; deformatsiyaning potentsial energiyasi esa ichki kuchlarning manfiy ishorali ishi (A) bilan o'lchanadi. Ichki kuchlar balka nuqtalarini ko'chishiga teskari tomonga yo'nalganligi uchun, (A) ish manfiy.

Demak, $A_F = 0$, ya'ni muvozanat buzilmagan holatdagi ko'chishda tashqi va ichki kuchlarning bajargan ishlarning yig'indisi nolga teng. Yuqoridagi tenglikka asosan, deformatsiyaning potentsial energiyasi U tashqi kuchning bajargan ishi A ga teng: $U = A_F$



7.30 – rasm. Egrilik radiusi va eguvchi moment orasidagi bog'lanish

Balkaning sof egilishda bo'lgan qismidan ajratilgan dx uzunlikdagi bo'lagini deformatsiyasini tekshiramiz (7.30-rasm). Balka o'qining egrilinishida, uning kesimlari $d\theta$ burchakka aylanadi. Egrilik radiusi ρ eguvchi moment va $d\theta$ burchak orasidagi bog'lanish 7.30 – rasmda ko'rsatilgan.

Balka egilishining proporsionallik chegarasida eguvchi momentning bajargan ishi OVK uchburchakning yuzasi bilan o'lchanadi (7.30 – rasm):

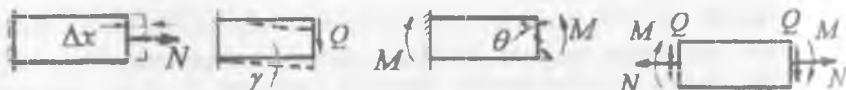
$$dA = \frac{Md\theta}{2} = \frac{M^2 dx}{2EI} \quad \text{yoki} \quad dU = dA = \frac{M^2 dx}{2EI}$$

Agar balkaning uzunligi bo'ylab $M = \text{const}$ va $EI = \text{const}$ bo'lsa, ya'ni bir jinsli deb qaralsa:

$$U = \int_0^\ell \frac{M^2 dx}{2EI} = \frac{M^2 \ell}{2EI} \quad (7.16)$$

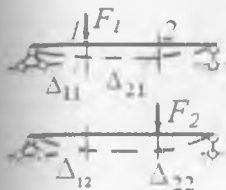
Egilayotgan balkaning ko'ndalang kesimida M , Q va N ichki kuch faktorlari hosil bo'ladi (7.31 – rasm). U paytda to'liq potentsial energiya quyidagicha yoziladi:

$$U = \sum_0^\ell \frac{M^2 dx}{2EI} + \sum_0^\ell \frac{N^2 dx}{2EI} + \sum_0^\ell \frac{Q^2 dx}{2GA}$$



7.31 – rasm. Ichki kuch faktorlari va deformatsiya

Ko'ndalang kuch va bo'ylama kuchlar ta'siridagi deformatsiyalar, eguvchi moment ta'siridagi deformatsiyaga nisbatan kichik miqdor bo'lganligi uchun, Q va N ta'siridan hosil bo'lgan ishlarni e'tiborga olmasak ham bo'ladi.



7.32-rasm. Ketma-ket qo'yilgan kuchlar ta'sirida balkani egilishi

7.6.2. Ishlar orasidagi bog'lanishlar teoremasi.

Ko'chishlar orasidagi bog'lanishlar teoremasi

Balkani tashqi kuch bilan yuklanishida to'rt xil holatni ko'ramiz.

I-holat. Balka 1 nuqtada F_1 kuch bilan yuklangan. 1 va 2 nuqtalarning F_1 kuch ta'siridagi ko'chishlarini Δ_{11} va Δ_{21} - bilan belgilaymiz

II-holat. Balkaning 2 nuqtasiga F_2 kuch qo'yiladi. 1 va 2 nuqtalarning F_2 kuch ta'siridagi ko'chishini Δ_{12} - va Δ_{22} bilan belgilaymiz.

buerda: Δ_{11} - birinchi nuqtani F_1 kuch ta'sirida shu kuch yo'naliishi bo'yicha ko'chishi.

Δ_{21} - birinchi nuqtani F_1 kuch ta'sirida F_2 kuch yo'naliishi ko'chishi;

Δ_{12} - ikkinchi nuqtani F_2 kuch ta'sirida shu kuch yo'naliishi ko'chishi.

F_1 va F_2 tashqi kuchlarning bajargan ishlarni Klapayron formulasi bilan aniqlaymiz: $A_{11} = \frac{F_1 \Delta_{11}}{2}$ va $A_{22} = \frac{F_2 \Delta_{22}}{2}$

A_{11} va A_{22} ishlarni, balkaning ko'ndalang kesimida hosil bo'ladigan ichki omil, eguvchi moment yordamida ham aniqlash mumkin:

$$A_{11} = \sum_0^L \frac{M_1^2 dx}{2EI} \quad \text{va} \quad A_{22} = \sum_0^L \frac{M_2^2 dx}{2EI}$$

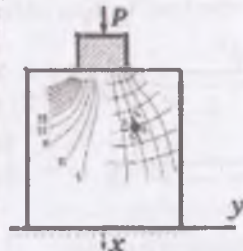
III – holat. Balkani ketma-ket, avval F_1 kuch bilan, keyin F_2 kuch bilan yuklaymiz (7.33-rasm,a). F_2 kuch nol qiymatdan – eng katta qiymatga o'sishi davomida, F_1 kuch o'zgarmas bo'ladi va Δ_{12} miqdorga ko'chishida $A_{12} = F_1 \Delta_{12}$ ishni bajaradi.

Bu paytda F_2 kuch A_{22} ishni bajaradi. Unda, balkani F_1 va F_2 kuch bilan ketma-ket yuklanganda bajarilgan to'liq ish:

$$A = A_{11} + A_{12} + A_{22} = \frac{F_1 \Delta_{11}}{2} + F_1 \Delta_{12} + \frac{F_2 \Delta_{22}}{2} \quad (7.17)$$

D.K.MAKSVELL

(1831-1879)

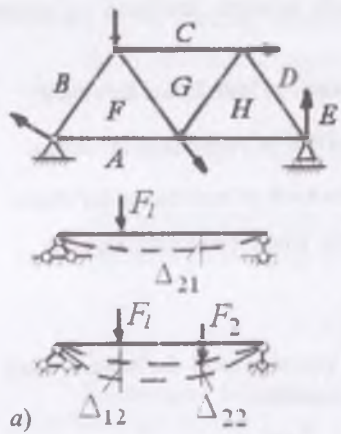


1850 yilda Maksvell poliarizatsion – optik usulini yaratdi. Kuchlanishning funksiysi $v^2(v^2 \cdot \varphi) = 0$ tenglamani qanoatlantirishi kerak deb, Maksvell elastiklik nazariyasida kuchlanishni aniqlashni tekis masalasining echimini tugatdi. Statik aniq

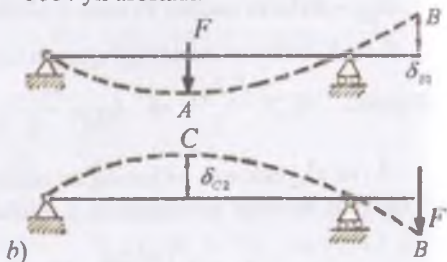
fermalardagi kuchlarni aniqlashning grafik usuli (1864) Maksvell-Kremon diagrammasi. Fermada ko'chishni aniqlash formulasasi

$$\Delta_{1p} = \sum \frac{N_1 N_i}{EF} l_i$$

Ko'chishlar orasidagi bog'lanishlar teoremasini 1864 yil asosladidi.



a)



b)

7.33 –rasm. a) ketma-ket qo'yilgan kuchlar ta'sirida balkani egilishi; b) Maksvell teoremasiga oid

Boshqa tomonidan to'liq ishni, F_1 va F_2 kuchlarni tegishli ko'chishlarga ko'paytmalari yig'indsining yarmiga teng deb qabul qilish mumkin:

$$A = \frac{F_1(\Delta_{11} + \Delta_{12})}{2} + \frac{F_2(\Delta_{21} + \Delta_{22})}{2} \quad (7.18)$$

(7.17) va (7.18) tenglamalarni o'zaro tenglashtirsak, $F_1\Delta_{12} = F_2\Delta_{21}$ hisob bo'ladi. Bu erda $A_{12} = F_1\Delta_{12}$ bo'lib, F_2 kuch ta'sirida 1 nuqtaning ko'chishda F_1

kuchni o'z yo'nalishida bajargan ishi. Unda, $A_{21} = F_2 \Delta_{21}$ ish F_1 kuch ta'sirida 2 nuqtaning ko'chishida F_2 kuchni o'z yo'nalishida bajargan ishi (7.32- rasm, a))

Demak, $A_{12} = A_{21}$ ikkinchi kuch ta'sirida birinchi kuch qo'yilgan nuqtani shu kuchning yo'nalishidagi ko'chishida bajargan ishi miqdor jixatdan, birinchi kuch ta'siridan ikkinchi kuch qo'yilgan nuqta yo'nalishidagi ko'chishda bajargan ishiga teng. Bu ta'rif ishlar orasidagi bog'lanishlar teoremasi bo'lib, Betti teoremasi deyiladi.

To'liq A - ishni eguvchi momentlar orqali ifodalaymiz:

$$A = \sum_0^l \frac{(M_1 + M_2)^2 dx}{2EI} \quad (7.19)$$

bu erda: - M_1 va M_2 ichki kuch faktorlari, F_1 va F_2 ta'sirida balkaning ko'ndalang kesimida hosil bo'lgan eguvchi momentlari. (7.17) tenglikdan A_{12} ishni topamiz: $A_{12} = A - A_{11} - A_{22}$ yoki

$$A_{12} = \sum \int \frac{(M_1 + M_2)^2 dx}{2EI} - \sum \int \frac{M_1^2 dx}{2EI} - \sum \int \frac{M_2^2 dx}{2EI}$$

bu yerdan: $A_{12} = \sum \int \frac{M_1 M_2 dx}{EI}$ va $A_{21} = \sum \int \frac{M_2 M_1 dx}{EI}$

IV – hol. $F_1 = F_2 = I$ birlik kuch deb qabul qilsak,

$$1 \cdot \Delta_{12} = 1 \cdot \Delta_{21} \text{ eku } \delta_{12} = \delta_{21} \quad (7.20)$$

hosil bo'ladi, ya'ni birinchi birlilik kuch ta'siridan ikkinchi birlilik kuch yo'nalishidagi ko'chishi δ_{12} miqdor jihatdan, ikkinchi birlilik kuchi ta'siridan birinchi birlilik kuchi yo'nalishidagi ko'chishi δ_{21} -ga tengdir. Bu ta'rif Maksell teoremasi deyiladi va ko'chishlar orasidagi bog'lanishlar teoremasi bo'ladi. Ushbu ta'rifga asosan Kastiliano teoremasi quyidagicha yoziladi:

$$\delta_{B1} = \delta_{C2}$$

va ta'riflanadi (7.33 – rasm, b) : B nuqtaga qo'yilgan F ta'siridagi C nuqtaning ko'chishi C nuqtaga qo'yilgan F ta'siridagi B nuqtaning ko'chishiga miqdor jihatdan teng

7.6.3. Egilishda ko'chishlarni aniqlashning Mor integrali

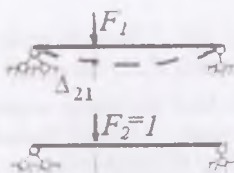
Balka yuklanishining 2 xil holatini ko'ramiz: Birinchi holda balkaga F_1 tashqi kuch, ikkinchi holda $F_2 = I$ birlik kuch qo'yilgan bo'lsin (7.34 – rasm).

Δ_{21} ko'chishda $F_2 = I$ birlik kuchning bajargan ishi A_{21} -ni aniqlaymiz.

$$A_{21} = F_2 \Delta_{21} = 1 \cdot \Delta_{21} = \Delta_{21}$$

A_{21} ishning ichki kuch omili eguvchi moment bilan ifodalanadi

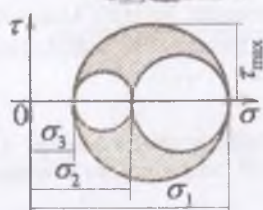
$$A_{21} = \Delta_{21} = \int_0^l M_2 \frac{M_1 dx}{EI} \quad (7.21)$$



7.34 – rasm. Tashqi va birlik kuchlar ta'siridagi balkalar.

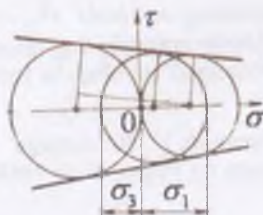
moment ta'sir qildiriladi. bilan mos tushishi kerak.

OTTO MOR (1835 – 1918)



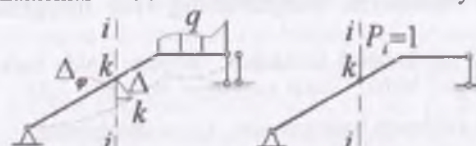
Kuchlanishlar doirasasi

Gonnover politexnika institutini tamomlab temir yo'l inshooti qurilishida injener –quruvchi bo'lib ishlaydi. Germaniyada birinchi po'latdan qurilgan ferma konstruktsiyasini loyihaladi. 32 yoshligida Shtutgart politexnikumiga professor lavozimiga taklif qilinadi. 1873 yil Dresden politexnikumi professori. Qurilish mexanikasini rivojlanishiga katta hissa qo'shgan; grafoanalitik usulni rivojlantirdi, kuchlanganlik holatni



mustahkamlilik nazariyasi

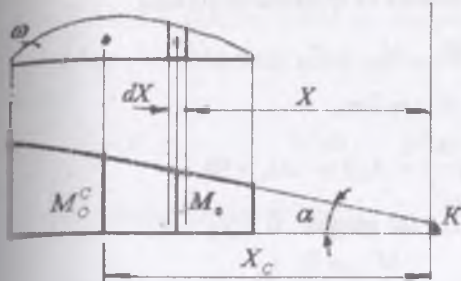
grafik tushuntirdi; mustahkamlilik nazariyasi yaratdi; birinchi bo'lib bog'lanish chizig'i tadbiq etdi.



$$\Delta_{ip} = \int_s \frac{M_i M_p}{EI} ds + \int_s \frac{N_i N_p}{EA} ds + \int_s k \frac{Q_i Q_p}{GA} ds$$

Lagranj pritsipi asosida ko'chishni aniqlashni
Maksvell – Mor formulasini ishlab chiqdi

Vereshagin qoidasi. Birlik kuch to'planma kuch yoki moment bo'lishidan qat'iy nazar, bu momentning epyurasi to'g'ri chiziq. Tashqi kuch momentining epyurasi to'g'ri chiziqli ham, egri chiziqli ham bo'lishi mumkin. Faraz qilaylik, tashqi kuch momenti M -ning epyurasi egri chiziqli, birlik kuch momenti M_O -ni epyurasi to'g'ri chiziqli bo'lzin (7.35 - rasm).



7.35-rasmdan $M = x \cdot \operatorname{tg} \alpha$ bo'lsa, $\int_0^l MM_0 dx = \int_0^l d\omega \cdot x \cdot \operatorname{tg} \alpha$ kelib chiqadi. Bu erda: $M dx = d\omega$ - eguvchi moment M epyurasidan ajratilgan elementar yuza, $-\int_0^l d\omega \cdot x = \omega \cdot x_c = S_k$ - eguvchi moment epyurasini K nuqtaga nisbatan statik momenti. Unda $\omega \cdot x_c \cdot \operatorname{tg} \alpha = \omega \cdot M_O^C$; bu erda $M_O^C = x_c \cdot \operatorname{tg} \alpha$ eguvchi moment M epyurasining og'irlilik markaziga to'g'ri keluvchi birlik kuch momentining ordinatasi. Unda Vereshagin formulasi quyidagicha yoziladi:

$$\delta = \frac{\omega \cdot M_O^C}{EI} \quad (7.22)$$

Vereshagin usuli bilan egilishda ko'chishlarni topish uchun, berilgan balka eguvchi momentining epyurasi ostida birlik kuch momenti epyurasi qurilishi kerak, keyin epyuralar o'zaro ko'paytiriladi.

Ramalarda ko'chishlarni hisoblashga oid misollar

misol - 1. Berilgan ramani B tayanchining gorizontal ko'chisi, C nuqtani vertikal kuchishi va D kesimni aylanish burchagi topilsin (7.36 - rasm). Berilgan: $q=20 \text{ kN/m}$; $a=2 \text{ m}$; $n=3 \text{ m}$; $EI = \text{const}$

Yechish: 1. Ramani tayanch kuchlarini aniqlaymiz.

$$\sum x = -H_A + qh = 0; H_A = 60 \text{ kN}; \text{ va}$$

Unda integral $\int_0^l MM_0 dx$ - moment M -ning har qanday holatida $\omega \cdot M_O$ ifoda bilan almashtirish mumkin.
7.35 - rasm Vereshagin qoidasiga sxema

$$\sum M_A = 0; Ba - q \frac{h^2}{2} = 0 \text{ bu erdan } B = q \frac{h^2}{2a} = 45kN$$

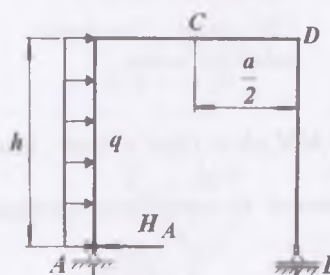
$$\sum M_B = 0 Aa - q \frac{h^2}{2} = 0 \text{ tenglamadan } A = q \frac{h^2}{2a} = 45kN$$

2. Eguvchi moment tenglamalarini tuzamiz va epyuralarini quramiz.

I-I qirqim. $0 \leq y_1 \leq h = 3m$ $M_{x_1} = H_A \cdot y_1 - q \frac{y_1^2}{2}$.

II - IIqirqim. $0 \leq x_1 \leq a = 2m$.

$$M_{x_1} = -Ax_1 - q \frac{h^2}{2} + A_A h = -Ax_1 + 90$$



7.36 – rasm. Berilgan rama

III - III qirqim. $0 \leq y_2 \leq h$;

$$M_{x_3} = 0$$

Masalani shartida talab qilingan ko'chishlarni Vereshagin usuli bilan aniqlaymiz.

Berilgan balkani eguvchi momenti epyurasining yuzalarini hisoblaymiz. (7.37 - rasm,

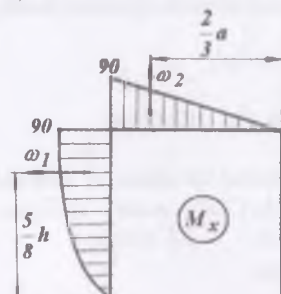
a). $\omega_1 = \frac{2}{3} \cdot 90 \cdot 3 = 180kNm^2$;

b). $\omega_2 = \frac{1}{2} \cdot 90 \cdot 2 = 90kNm^2$;

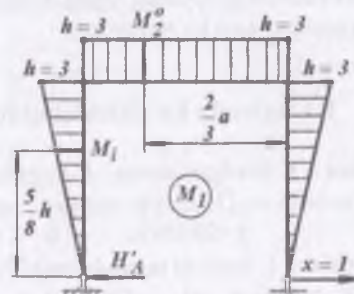
Ramani $x=1$ birlik kuchi ta'siridan eguvchi moment epyurasini quramiz. ω_1 va ω_2 kuch yuzalarining og'irlilik markaziga to'g'ri keluvchi birlik kuch momenti epyurasining ordinatasini topamiz.

$$M_1^0 = \frac{5}{8}h \text{ va } M_2^0 = h = 3 \quad (7.37 - rasm, b)$$

a)



b)



7.37 – rasm. Eguvchi moment epyuralari: a) tashqi kuch va

b) birlik kuch ta'siridan

B nuqtani gorizontal ko'chishi

$$\Delta_B = \frac{\omega_1 M_1^0}{EI} + \frac{\omega_2 M_2^0}{EI} = \frac{180 \cdot \frac{5}{8} \cdot 3}{EI} + \frac{90 \cdot 3}{EI} = \frac{4860}{8EI}$$

C nuqtani vertikal ko'chishini aniqlash uchun, ramani shu nuqtasiga $x_1 = 1$ birlik kuchini qo'yamiz va eguvchi moment epyurasini quramiz (7.38-rasm). $x_1 = 1$ birlik kuch rama gorizontal qismining o'rta sida ta'sir qilganligi uchun

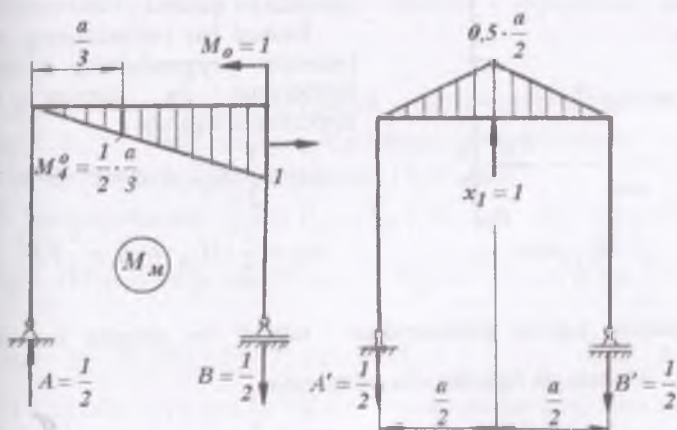
$$A' = B' = \frac{1}{2}. \quad \text{Unda} \quad M_c = -A' \frac{a}{2} = -\frac{1}{2} \cdot \frac{a}{2} = -\frac{1}{2}m$$

$$C \text{ nuqtani vertikal ko'chishi} \quad \Delta_C = \frac{\omega_2 M_2^0}{EI} = \frac{\omega_{x1} M_q^0}{EI}$$

$$\text{buerda} \quad \omega_{x1} = \frac{1}{2} \cdot 0,5 \cdot \frac{a}{2} \cdot a = \frac{1}{2} \cdot 0,5 \cdot \frac{2}{2} \cdot 2 = \frac{1}{2} m^2$$

$M_q^0 = B' \cdot \frac{a}{2} = 45 \cdot \frac{2}{2} = 45 \text{ kNm}$ – berilgan ramaning gorizontal qismidagi eguvchi moment epyurasini $x_1 = 1$ birlik kuchi momenti epyurasining yuzi ω_{x1} ni og'irlik markaziga to'g'ri keluvchi ordinatasi.

$$\text{Unda} \quad \Delta_C = \frac{\frac{1}{2} \cdot 45}{EI} = \frac{22,5}{EI}$$



7.38 – rasm. Eguvchi moment epyurlari: a) birlik momenti va b) birlik kuch ta'siridan

D kesimni aylanish burchagini aniqlash uchun ramani shu nuqtada $M_0 = 1$ birlik momenti bilan yuklaymiz (7.38 - rasm) va reaktsiya kuchlarini aniqlaymiz: $A = -B = \frac{M}{a} = \frac{1}{2} \left(\frac{1}{M} \right)$ birlik momenti (M_M) epyurini quramiz. *D* kesimni aylanish burchagi:

$$\theta_D = \frac{\omega_2 \cdot M_4^0}{EI} = \frac{90 \cdot \frac{1}{2} \cdot \frac{2}{3}}{EI} = \frac{30}{EI}$$

misol-2. Berilgan rama (7.39-rasm) *A* kesimining vertikal, *B* kesimining gorizontallik ko'chishlari va *C* kesimning aylanish burchaklari topilsin. Ramani gorizontal va vertikal sterjenlari uchun $EI = \text{const}$.

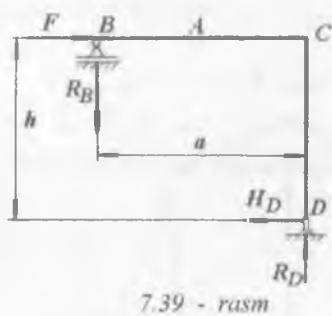
Yechish: Ramani *D* va *B* tayanchlaridagi R_D va R_B reaktsiya kuchlarini aniqlaymiz (7.39 - rasm).

$$\Sigma x = 0 \quad F - H_D = 0 \quad \text{va} \quad H_D = F$$

$$\Sigma M_B = -H_D \cdot h + R_D \cdot a = 0 \quad \text{va} \quad R_D = \frac{H_D \cdot h}{a} = \frac{F \cdot h}{a}$$

$$\Sigma M_D = -F \cdot h + R_B \cdot a = 0 \quad \text{va} \quad R_B = \frac{Fh}{a}$$

$$\text{Tekshirish.: } \Sigma y = R_D - R_B = 0 \quad \text{yoki} \quad \frac{F \cdot h}{a} - \frac{F \cdot h}{a} = 0$$



1) Ramani eguvchi momenti epyuralarini quramiz (7.40-rasm).

Ramani har bir oraliqidagi eguvchi momenti epyuralarining yuzalarini hisoblaymiz va ularning og'irlilik markazlarini topamiz.

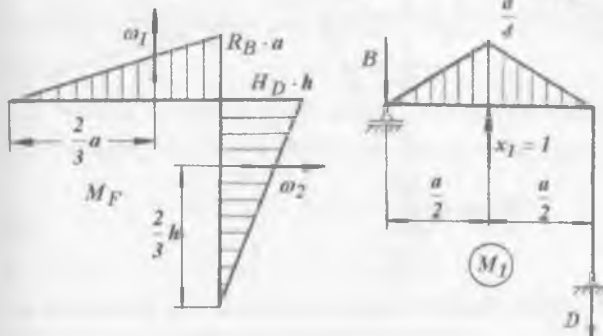
$$\omega_1 = \frac{1}{2} \cdot R_B \cdot a \cdot a = F \cdot h \cdot a \cdot \frac{1}{2};$$

$$\omega_2 = \frac{1}{2} \cdot H_D \cdot h \cdot h = \frac{1}{2} Fh^2$$

Ramaning tegishli kesimlaridagi salqilik va aylanish burchaklarini $\Delta = \frac{\omega \cdot M^0}{EI}$ Vereshagin formulasidan aniqlaymiz.

A kesimni vertikal ko'chishini aniqlash uchun ramani shu nuqtasidan $x_1 = 1$ birlik kuch bilan yuklangan soxta ramaning reaktsiya kuchlarini aniqlaymiz va birlik kuch eguvchi momenti epyurasini quramiz (7.40 - rasm).

$$\sum M_D = Ba - x_1 \frac{a}{2} = 0 \quad \text{va} \quad B = \frac{x_1}{2} M_A = -B \frac{a}{2} = \frac{-x_1 a}{4} = -\frac{a}{4}$$



7.40 - rasm. Eguvchi moment epyurlari: a) tashqi kuch va
b) birlik kuch ta'siridan

$$A \text{ kesimni vertikal ko'chishi } \Delta_A = \frac{\omega_1 M_F^0}{EI} = \frac{\frac{1}{2} a \cdot \frac{a}{4} \cdot \frac{Fh}{2}}{EI} = \frac{Fha^2}{16EI}$$

buerda $\omega_1 = \frac{1}{2} \cdot a \cdot \frac{a}{4} = \frac{a^2}{8}$ birlik kuch eguvchi momenti epyurasining yuzasi;

M_F^0 - birlik kuch eguvchi momenti epyurasi yuzasining og'irlilik markaziga to'g'ri keluvchi tashqi kuch eguvchi momenti epyurasining ordinatasi,

$$M_F^0 = R_B \cdot a = \frac{Fh}{2}$$

B kesimni gorizontal ko'chishini aniqlash uchun ramani shu nuqtasiga gorizontal $x_2 = 1$ birlik kuchini joylashtiramiz va soxta ramani $x_2 = 1$ birlik kuchi eguvchi momenti epyurasini quramiz (7.41-rasm)

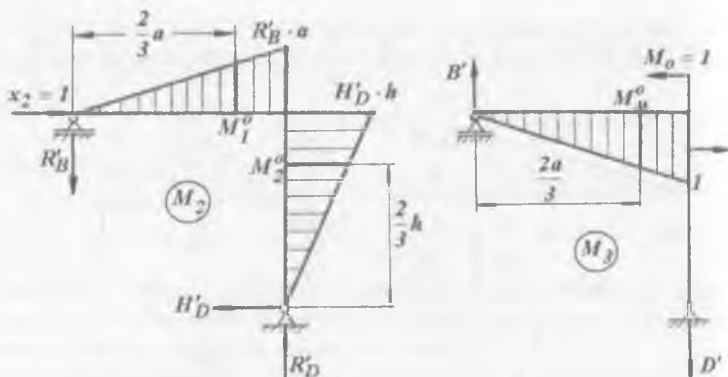
$$- Reaksiya kuchlari \sum x = x_2 - H_D^l = 0; \quad H_D^l = x_2 = 1$$

$$\sum M_B = -H_D^l \cdot h + R_D^l \cdot a = 0 \quad \text{va} \quad R_D^l = \frac{H_D^l h}{a} = \frac{x_2 h}{a} = \frac{h}{a}$$

$$\sum M_D = -x_2 \cdot h + R_B^l \cdot a = 0 \quad \text{va} \quad R_B^l = \frac{h}{a}$$

V kesimning gorizontal ko'chishini Vereshagin formulasi bilan aniqlaymiz:

$$\Delta_B = \frac{\omega_1 M_1^0 + \omega_2 M_2^0}{EI}$$



7.41 - rasm. Eguvchi moment epyuralari: a) birlik kuch va
b) birlik moment ta'siridan

buerda $\omega_1 = \frac{Fha}{2}$ va $\omega_2 = \frac{Fh^2}{2}$ - tashqi kuch eguvchi momenti

epyuralarining yuzalari (7.39 - rasm)

M_1^0 va M_2^0 - tashqi kuch eguvchi momenti epyuralarining (ω_1 va ω_2) og'irlik markazlariga to'g'ri keluvchi $x_2 = 1$ birlik kuchi eguvchi momenti epyurasining ordinatasi.

$$M_1^0 = R_B^1 \cdot \frac{2}{3}a = \frac{h}{a} \cdot \frac{2a}{3} = \frac{2h}{3}; \quad M_2^0 = H_D^1 \cdot \frac{2h}{3} = 1 \cdot \frac{2h}{3} = \frac{2h}{3}$$

$$\text{Unda } \Delta_B = \frac{1}{EI} \left(\frac{Fha}{2} \cdot \frac{2h}{3} + \frac{Fh^2}{2} \cdot \frac{2h}{3} \right) = \frac{Fh^2}{3}(a+h)$$

Skesimni aylanish burchagini Vereshagin usuli bilan aniqlash ramani shu nuqtasini $M_0 = 1$ birlik momenti bilan yuklaymiz va eguvchi moment epyurasini quramiz (7.41 - rasm). Soxta ramani tayanch nuqtalaridagi B' va D' - reaksiya kuchlarini hisoblaymiz.

$$\Sigma M_D = -B' \cdot a + M^0 = 0 \quad \text{va} \quad B' = \frac{M^0}{a} = \frac{1}{a}$$

$$\Sigma M_D = -B' \cdot a + M^0 = 0 \quad \text{va} \quad D' = \frac{M^0}{a} = \frac{1}{a}$$

$$\text{tekshirish: } \Sigma y = B' - D' = 0 \quad \text{yoki} \quad \frac{1}{a} - \frac{1}{a} = 0$$

$$S \text{ nuqtadagi eguvchi momenti } M_c = B' \cdot a = \frac{1}{a} \cdot a = 1$$

$$\text{Kesimni aylanish burchagini formulyasi} \quad \theta_e = \frac{\omega_1 \cdot M_M^0}{EI}$$

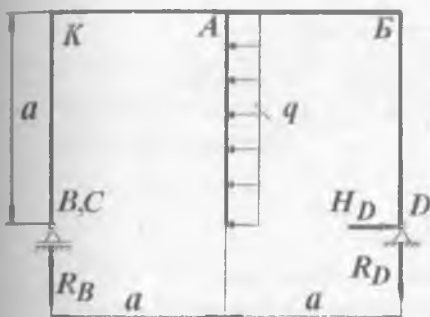
Buerda $\omega_1 = \frac{Fha}{2}$ - tashqi kuch eguvchi momenti epyurasining yuzasi

(7.41 -rasm);

M_M^0 - tashqi kuch eguvchi momenti epyurasini yuzasining (ω_1) og'irlik markaziga to'g'ri keluvchi $M_0=1$ birlik momenti epyurasining ordinatasi,

$$M_M^0 = B^I + \frac{2}{3} \cdot a = \frac{1}{a} \cdot \frac{2a}{3} = \frac{2}{3}$$

$$\text{Unda} \quad \theta_C = \frac{F \cdot h \cdot a \cdot 2}{2 \cdot EI \cdot 3} = \frac{F \cdot h \cdot a}{3 \cdot EI}$$



7.42 - rasm

misol - 3. Berilgan rama A kesimining vertikal, B kesimining gorizontal ko'chishlari va C kesimining aylanish burchagi topilsin. Ramani gorizontal va vertikal sterjenlari uchun $EI = \text{const}$ (7.42 - rasm)

Yechish.

1). Ramani tayanch nuqtalaridagi R_B va R_D reaktsiya kuchlarini hisoblaymiz

$$\sum x = H_D - qa = 0 \quad \text{va} \quad H_D = qa$$

$$\sum M_D = -R_B 2a + q \frac{a^2}{2} = 0 \quad \text{va} \quad R_B = \frac{qa}{4}$$

$$\sum M_B = -R_D 2a + q \frac{a^2}{2} = 0 \quad \text{va} \quad R_D = \frac{qa}{4}$$

2) Ramanning eguvchi moment epyurasini quramiz. Buning uchun ramani B, K, A, B va D nuqtalaridagi momentlarini hisoblaymiz (7.43 - rasm)

BK - oraliq. $M_B = 0 ; M_K = 0 ;$

AK - oraliq. $M_A = R_B \cdot a = q \frac{a^2}{4}$

AF - oraliq. $M_F = 0 ; M_A = -q \frac{a^2}{2} ;$

$$AE - \text{oraliq. } M_A = H_D a - R_D a = \frac{3}{4} q a^2$$

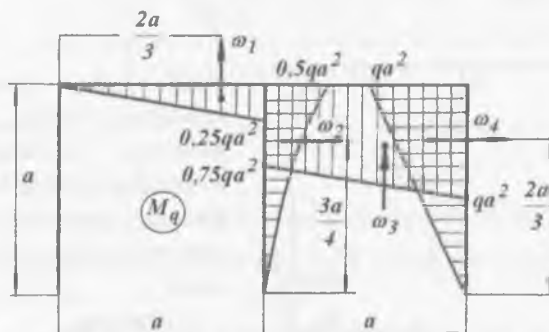
$$DE - \text{oraliq. } M_D = 0; \quad M_E = H_D a = q a = q a^2$$

Ramaning har bir oraliq eguvchi momentlari epyuraralarining yuzalari:

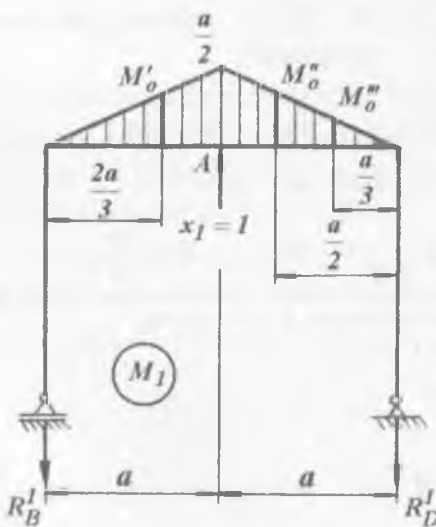
$$\omega_1 = \omega'_3 + \omega''_3 = 0,75 q a^2 a + \frac{1}{2} (q a^2 - 0,75 q a^2) \cdot a = \frac{7}{8} q a^3;$$

$$\omega_4 = \frac{1}{2} \cdot q a^2 a = \frac{q a^3}{2}; \quad \omega = \frac{1}{2} \cdot 0,25 q a^2 a = \frac{q a^3}{8}$$

$$\omega_2 = \frac{1}{3} \cdot 0,5 q a^2 a = \frac{q a^3}{6}$$



7.43 - rasm. Tashqi kuch ta'siridan eguvchi moment epyurasasi.



3) B, C va A- kesimlarning ko'chishlari va aylanish burchaklarini Vereshagin qoidasi bilan topamiz. A- kesimni vertikal ko'chishini aniqlash uchun ramani shu nuqtasidan $x_1 = 1$ birlik kuch bilan yuklaymiz va eguvchi moment epyurasini quramiz.

7.44 - rasm. Birlik kuch momenti

Soxta ramaning reaktsiya kuchlari va eguvchi moment epyurasi (7.44 - rasm)

$$\Sigma M_D = R'_B \cdot 2a - x_1 \cdot a = 0 \quad \text{va} \quad R'_B = \frac{x_1 a}{2a} = \frac{x_1}{2} = \frac{1}{2}$$

$$\Sigma M_B = -R'_D \cdot 2a + x_1 \cdot a = 0 \quad \text{va} \quad R'_D = \frac{1}{2}$$

A kesimdagи $x_1 = 1$ kuch eguvchi momenti $M_{1A} = -R'_B \cdot a = \frac{a}{2}$ (m)

$$\text{va} \quad \text{vertikal} \quad \text{ko'chish} \quad \Delta_A = -\frac{\omega_1 \cdot M'_o + \omega'_3 \cdot M'' + \omega''_3 \cdot M'''}{EI} = \\ = \frac{\frac{qa^3}{8} \cdot \frac{a}{3} + 0,75qa^3 \cdot \frac{a}{4} + \frac{1}{2}(qa^2 - 0,75qa^2) \cdot a \frac{a}{6}}{EI} = -\frac{qa^4}{4}$$

Bu erda M'_o - berilgan ramani tashqi kuch eguvchi moment epyurasi ω_1 - yuzasining og'irlik markaziga to'g'ri keluvchi $x_1 = 1$ birlik kuch momenti M_1 - epyurasining ordinatasи.

$$M'_o = R'_B \cdot \frac{2a}{3} = \frac{1}{2} \cdot \frac{2a}{3} = \frac{a}{3};$$

$$M''_o = R'_D \cdot \frac{a}{2} = \frac{1}{2} \cdot \frac{a}{2} = \frac{a}{4}; \quad M'''_o = R'_D \cdot \frac{a}{3} = \frac{1}{2} \cdot \frac{a}{3} = \frac{a}{6};$$

Ramani AB - oraliqda eguvchi moment epyurasining yuzasi trapetsiya shaklida bo'lib, uni balandligi $0,75qa^2$ va asosini eni - a bo'lган to'g'ri to'rtburchak hamda balandligi $(qa^2 - 0,75qa^2)$ va asosi - a bo'lган uchburchakdan tashkil topgan.

M''_o - to'g'ri to'rtburchak yuzasi ω'_3 ning og'irlik markaziga to'g'ri keluvchi $x_1 = 1$ birlik kuch eguvchi momentni epyurasining ordinatasи.

M'''_o - uchburchak yuzasi - ω''_3 ning og'irlik markaziga to'g'ri keluvchi $x_1 = 1$ birlik kuch eguvchi momenti epyurasining ordinatasи

V kesimni gorizontal ko'chishini hisoblash uchun ramani shu nuqtasidan $x_2 = 1$ birlik kuch bilan yuklaymiz va eguvchi moment epyurasini quramiz. Soxta ramani D nuqtasidagi H'_D reaktsiya kuchini topamiz (7.45 - rasm)

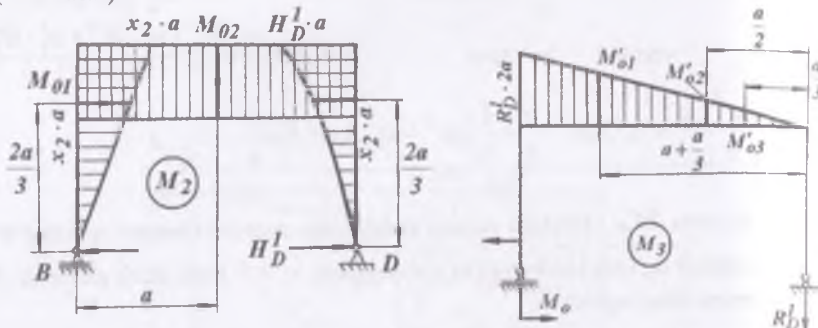
$$\Sigma x = -x_2 + H'_D = 0 \quad \text{va} \quad H'_D = x_2 = 1$$

V kesimni gorizontal ko'chishi. $\Delta_B = \frac{1}{EI} (\omega_1 \cdot M_{02} + \omega'_3 \cdot M_{02} + \omega''_3 \cdot M_{03})$

$$\text{bu erda: } M_{02} = x_2 \cdot a = a \quad \text{va} \quad M_{03} = H'_D \cdot \frac{2a}{3} = \frac{2a}{3}$$

$$\Delta_B = \frac{1}{EI} \left(\frac{qa^3}{8} \cdot a + \frac{7}{8} qa^3 \cdot a + q \frac{a^3}{2} \cdot \frac{2a}{3} \right) = \frac{4}{3} qa^4$$

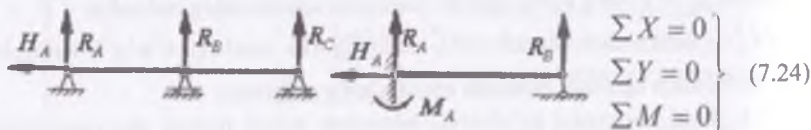
C kesimni aylanish burchagini aniqlash uchun ramani shu kesimidan $M_0 = 1$ birlik momenti bilan yuklaymiz va eguvchi moment epyurasini quramiz (7.44-rasm).



7.43 – rasm. Birlik kuch momenti epyurasi 7.44 - rasm. Birlik moment epyurasi

7.7. Statik aniqmas sistemalar

Ayrim konstruktsiyalarning ish sharoitiga ko'ra, undagi tayanch sonini ko'paytirish kerak. Tayanch soni, konstruktsiya qismlarining ayrim nuqtalaridagi ko'chishini cheklash uchun ham ko'paytiriladi. Bunday hollarda sistemada ortiqcha bog'lanishlar paydo bo'ladi (7.45 – rasm). Ortiqcha bog'lanishlar sistemada qo'shimcha noma'lum – reaktsiya kuchlarini keltirib chiqaradi ($N_A, R_A, R_B, R_C, H_B, M_A, M_B$). Noma'lum reaktsiya kuchlarini topish uchun statikaning tenglamalaridan foydalanamiz:



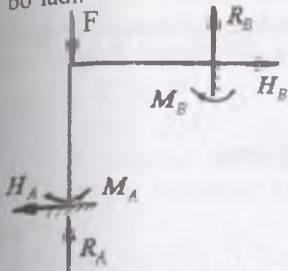
Statikaning tenglamalaridan va rasmdan ko'rinib turibdiki, har bir sistemadagi noma'lum reaktsiya kuchlarining soni statikaning tenglamalari sonidan ortiqcha. Bunday sistemalar statik noaniq sistemalar, noma'lum reaktsiya kuchlarini aniqlash statik noaniq masalalar deyiladi. Statik noaniq sistemalarni hisoblash uchun, avval uni aniqmaslik darajasi topiladi:

$$S = n - 3$$

S – statikaning muvozanat tenglamalari soni;

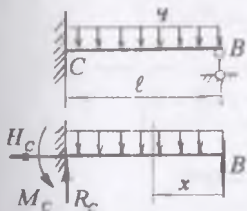
n – sistemadagi noma'lumlar soni;

Sistemaning aniqmaslik darajasi – uning ortiqcha bog'lanishlari soniga teng bo'ladi.



7.45 – rasm. Statik noaniq rama

- 1) balka egilgan o'qining differentsiyal tenglamasi;
- 2) ko'chishlarni taqqoslash;
- 3) Mor integrali yoki Vereshagin formulasini tadbiq etish;
- 4) Uch moment teoremasini tatbiq etish;
- 5) Kuchusuli. Kanonik tenglama tuzish.



7.46 – rasm. Statik noaniq balka

Balka egilgan o'qining differentsiyal tenglamasini tatbiq etish. Ortiqcha bog'lanish yoki ortiqcha noma'lum sifatida V tayanchdag'i reaktsiya kuchi tanlaymiz. V noma'lum reaktsiya kuchi va q bilan yuklangan sistema statik noaniq sistema bo'lib asosiy cistema deyiladi. Asosiy sistema berilgan sistemaga- ekvivalent. Noma'lum reaktsiya kuchlarini topish uchun statikaning muvozanat tenglamalarini tuzamiz:

$$\sum X = -H_A = 0 \quad a)$$

$$\sum Y = -R_c - q\ell + B = 0 \quad b)$$

$$\sum M_C = -M_C + q \frac{\ell^2}{2} - B\ell = 0 \quad c)$$

a), (b) va (c) tenglamlardan ko'rinish turibdiki, noma'lum reaktsiya kuchlarining soni statikaning muvozanat tenglamalaridan ortiqcha. Shuning uchun, bu masala statik noaniq. Sistemaning aniqmaslik darajasini topamiz:

$$S = n - 3 = 4 - 3 = 1$$

Sistemaning aniqmaslik darajasi birga teng, ya'ni $S = 1$.

Sistemaning aniqmaslik darajasi birinchida, sistemadagi ortiqcha bog'lanishlar sonini bildiradi; ikkinchidan noma'lum reaktsiya kuchlarini topish uchun tuzilishi lozim bo'lgan qo'shimcha tenglamalar sonini bildiradi.

Sistemaning aniqmaslik darajasini ochish uchun ortiqcha bog'lanish yo'qotiladi, ya'ni ortiqcha bog'lanishning ta'siri noma'lum reaktsiya kuchi bilan

almashiriladi. Bunda tayanch nuqtasining noma'lum reaktsiya kuchining ta'sir yo'naliishidagi ko'chishi nolga teng bo'lish sharti ta'minlanishi lozim.

Sistemani aniqlaslik darajasini ochish uchun bitta qo'shimcha tenglamasi foydalananamiz.

$$EI \cdot y^{11} = Bx - q \frac{x^2}{2}$$

Differentsial tenglamani ikki marotoba integrallaymiz:

$$EI \cdot y^1 = B \frac{x^2}{2} - q \frac{x^4}{6} + C \quad (c)$$

$$EI \cdot y = B \frac{x^3}{6} - q \frac{x^5}{24} + CX + D \quad (d)$$

Integrallash doimiyliklari C va D hisobiga noma'lumlar soni ikkitaga ortdi. Lekin, balka uchlarining tayanchlarga tayanish shartlariga ko'ra: $x = 0$ da $u = 0$ va $D = 0$ hamda $X = \ell$ da $a = 0$, $y = 0$, $y^1 = 0$

unda

$$\left. \begin{array}{l} B \frac{\ell^2}{2} - q \frac{\ell^3}{6} + C = 0 \\ B \frac{\ell^3}{6} - q \frac{\ell^5}{24} + C\ell = 0 \end{array} \right\} \quad (d)$$

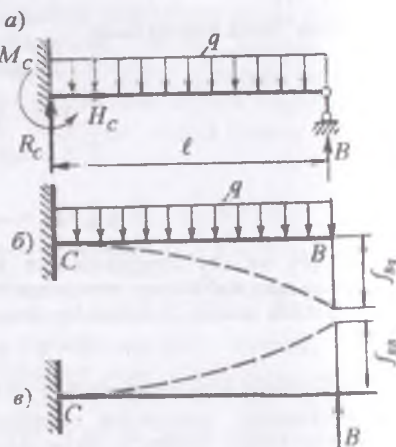
(e) tenglamalar sistemidan $B = \frac{3}{8}q\ell$ kelib chiqadi.

Ko'chishlarni taqqoslash usuli. Asosiy sistemadagi B nuqtaning salqiligi q va B reaktsiya kuchlari ta'siridagi salqiliklarning yig'indisiga teng bo'ladi (7.47 - rasm), ya'ni

$$f_B = f_{Bq} + f_{BB} = 0;$$

$$\text{bu erda: } f_{Bq} = -\frac{q\ell^4}{8EI}$$

7.47 – rasm. Ko'chishlarni taqqoslash sxemasi

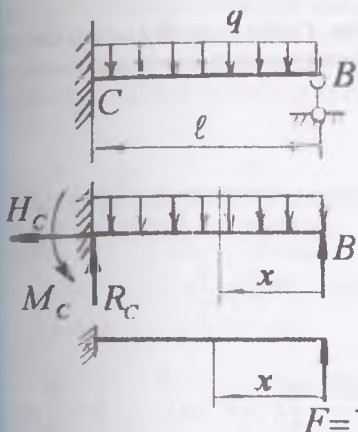


B nuqtaning q kuchi ta'siridan salqiligi.

$$f_{BB} = \frac{B\ell^3}{3EI} - B \text{ nuqtani B reaktsiya ta'siridan ko'chishi}$$

$$\text{Unda } -\frac{q\ell^4}{8EI} + \frac{B\ell^3}{3EI} = 0 \quad \text{va} \quad B = \frac{3q\ell}{8}$$

B reaktsiya kuchining qiymatini shunday hisoblab topildiki, bu holatda q va B kuchlar ta'siridagi ko'chishlar o'zaro teng bo'lди.



Mor integralini tadbiq etish. Bu usulda berilgan balkaning ostida asosiy va birlik kuch bilan yuklangan soxta balkalar chiziladi. Asosiy va soxta balkalarning X oraliq uchun moment tenglamalari yoziladi (7.48 – rasm).

7.48 – rasm. Tashqi va birlik kuch bilan yuklangan balkalar

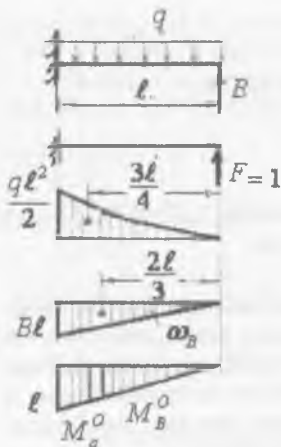
eguvchi moment tenglamasi $M_o = Fx = 1 \cdot x = x$

B nuqtaning salqiligi nolga teng, ya'ni: $f_B = 0$ yoki

$$f_B = \int_0^\ell \frac{M_x M_o dx}{EI} = \int_0^\ell \frac{(Bx - q \frac{x^2}{2}) \cdot x}{EI} dx = 0;$$

bu erda $\frac{1}{EI} \neq 0$, shuning uchun $\int_0^\ell \left(Bx - q \frac{x^2}{2} \right) \cdot dx = 0$

va integrallashdan keyin $B = \frac{3}{8} q\ell$



Vereshagin formulasini tadbiq etish. Berilgan kuch $-q$, noma'lum reaktsiya kuchi $-B$ va $F = 1$ birlik kuchi ta'siridan hosil bo'lgan eguvchi momenti epyuralarini kuramiz. Har qaysi eguvchi moment epyurasini yuzalarini topamiz:

$$\omega_q = \frac{1}{3} q \frac{\ell^2}{2} \ell = q \frac{\ell^3}{6}, \quad \omega_B = \frac{1}{2} B \ell \cdot \ell = \frac{B \ell^2}{2}$$

7.49 –rasm. Tashqi va birlik kuch ta'siridan qurilgan eguvchi moment epyuralari

Ushbu yuzalarining og'irlilik markazlariga to'g'ri keluvchi birlik kuchi momenti epyurasining ordinatasini topamiz:

$$M_q^o = \frac{3}{4} \ell \quad \text{ba} \quad M_B^o = \frac{2}{3} \ell$$

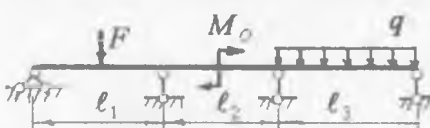
B nuqtaning ko'chishini yozamiz:

$$f_B = \frac{\omega_q \cdot M_q^o + \omega_B \cdot M_B^o}{EI} = \frac{1}{EI} \left(-q \frac{\ell^3}{6} \cdot \frac{3}{4} \ell + \frac{B \ell^2}{2} \cdot \frac{2}{3} \ell \right) = 0 \quad \text{va} \quad B = \frac{3}{8} q \ell$$

Ortiqcha noma'lum reaktsiya kuchi B topilgan balkaning eguvchi moment va ko'ndalang kuch epyuralari statik aniq balkadagi kabi quriladi.

7.8.Uzluksiz balkalar. Uch moment teoremasi

Statik aniqmas konstruktsiyalarning asosiy ko'rinishlaridan biri uzluksiz balkalardir. *Uzluksiz deb, kamida uchta tayanchga tayanuvchi va oraliq sharnirlar bo'lmagan balkaga aytildi.* Uzluksiz balkaning chetki kesimlari sharnirli yoki qistirib mahkamlangan tayanchlarga tayanadi.



7.50 –rasm Uzluksiz balka

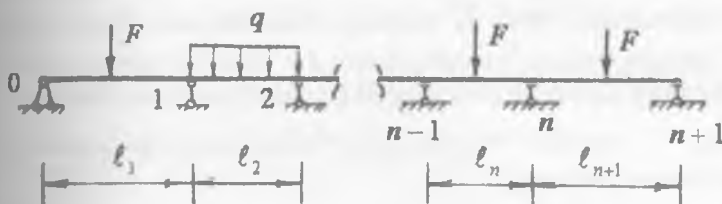
Bo'ylama kuchni qabul qilish uchun uzluksiz balkaning bitta tayanchi qo'zg'almas sharnirli bo'lishi kerak. Harorat ta'sirida uzunligi ni o'zgartirishi uchun uzluksiz balkaning qolgan tayanchlarini qo'zg'aluvchan sharnirli qabul qilinadi.

Agar balka $n + 1$ ta sharnirli tayanchga tayansa, unda gorizontal reaktsiya kuchini hisobga olmaganda, shuncha vertikal yo'nalган reaktsiya kuchlari hosil

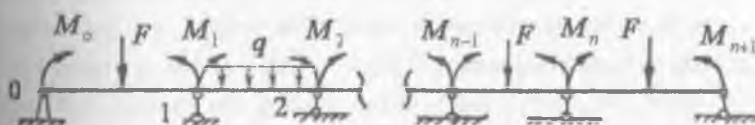
bo'ladı. Berilgan uzlusiz balka uchun ikkita muvozanat shartini tuzish mumkin bo'lganligi uchun, bu balka $n-1$ marotaba noaniqidir (7.51-rasm).

Balkaning tayanchlari chapdan o'ngga qarab $0; 1; 2; \dots; n-1$ va $n+1$ sonlari bilan belgilanishi mumkin. Tayanchlar orasidagi masofalar $\ell_1, \ell_2, \ell_3, \dots, \ell_n$ va ℓ_{n+1} bilanbelgilanadi. Har bir oraliq uzunligining indeksi o'ng tayanch nomeriga to'g'ri keladi.

Balkaning uzunligi bo'ylab kesimning inertsiya momenti bir xil bo'lsin. Uzlusiz balkaning aniqmaslik darajasini ochish uchun uch moment teoremasidan foydalanamiz. Buning uchun uzlusiz balkaning asosiy sistemasini tanlaymiz. Asosiy sistemada oraliq sharnirlar ustiga sharnirlar, noma'lum reaktsiya kuchlari o'mniga esa noma'lum tayanch momentlari qabul qilingan (7.52-rasm).



7.51 – rasm Uzlusiz balkani hisoblash sxemasi



7.52 – rasm . Noma'lum momentlar bilan yuklangan uzlusiz balka

Bunday asosiy sistemada har bir tashqi kuch, o'zi qo'yilgan oraliqqa ta'sir qiladi, ya'ni tashqi kuch balkaning boshqa oraliqlariga ta'siri noma'lum tayanch momentida ifodalanadi.

Demak, asosiy sistema – sharnirlarga tayangan, tashqi kuch va noma'lum momentlar bilan yuklangan oddiy – balkalar ekan. Oddiy ikki tayanchli balkalardagi har bir tayanch kesimining ko'chishi (aylanish burchagi) shu oraliqdagi tashqi kuchga va noma'lum tayanch momentiga bog'liqidir (7.54-rasm).

Q_n va Q_{n+1} -ifodalarni (7.25) va (7.26) -larni o'zaro tenglashtirsak:

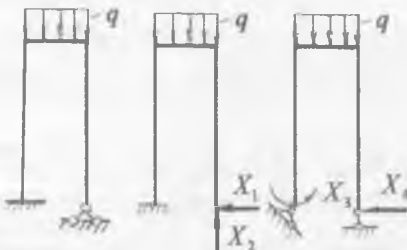
$$M_{n-1}\ell_n + 2M_n(\ell_n + \ell_{n+1}) + M_{n+1}\ell_{n+1} = -6\left(\frac{\omega_n a_n}{\ell_n} + \frac{\omega_{n+1} a_{n+1}}{\ell_{n+1}}\right) \quad (7.27)$$

ω_n va ω_{n+1} - tashqi F kuch eguvchi momenti epyurasining yuzasi
(kuch yuzasi) uch moment tenglamasi hosil bo'ladi.

Uzluksiz balkada uch moment tenglamasining soni, undagi oraliq tayanchlarining soniga tengdir. Barcha uch moment tenglamalari sistema ko'rinishda hisoblansa, noma'lum reaktsiya momentlari topiladi. Uzluksiz balkaning har bir oralig'i – alohida ikki tayanchli balka deb qabul qilinsa va eguvchi moment va ko'ndalang kuch epyuralari qurilsa bo'ladi.

7.9. Statik aniqmas ramalar

Ramali (birikmalar) konstruktsiyalar o'zaro bikr qilib biriktirilgan ster jenlardan tashkil topgan. Ulardan bittasining deformatsiyasi unga yondashgan boshqalarining deformatsiyasiga sabab bo'ladi. Bunday statik noaniq



7.56 – rasm. Berilgan statik noaniq rama va unga ekvivalent hisoblangan asosiy sistemalarning mumkin bo'lган variantlari.

sistemalarni kuch usuli bilan hisoblashda ham asosiy sistemani tanlab olish kerak. Sistema bir necha variantda tanlab olinadi. Asosiy sistemani tanlashda ortiqcha bog'lanishlar ortiqcha noma'lumlar X bilan almashtiriladi. Asosiy sistemada statik noaniq sistema sodda va statik aniq ko'rinishga ega bo'lishi, geometrik o'zgarmas bo'lishi kerak.

Ikki marta statik noaniq rama uchun asosiy sistemaning ikkita varianti va bir marta statik noaniq ramaning asosiy sistemasi 7.56 – rasmida ko'rsatilgan. Asosiy sistemalarning qaysi variantda noma'lum bog'lanishlarning birlik qiymatida ($X_1=I; X_2=I$) va tashqi kuch ta'sirida eguvchi moment epyulararini qurish) oson bo'lsa, o'sha variant qabul qilinadi. Asosiy sistemani tanlashda ham chiziqli, ham burchakli bog'lanishlar tashlab yuboriladi.

Asosiy sistema variantlaridan biri (7.56 – rasm) ga ko'ra B tayanch qo'zg'almas – sharnirli bo'lib, noma'lum reaktsiya kuchlari X_1 va X_2 birlik kuchlar bilan almashtirilgan. Kuchlar ta'sirining mustaqillik alomati asosida har bir kuch

ta'siridan ko'chishlar topiladi, so'ngra ular qo'shiladi, bularning yig'indisi nolga teng bo'lishi kerak, chunki B nuqtaning barcha kuchlar ta'siridan gorizontal va vertikal ko'chishlari cheklangandir, ya'ni:

$$\Delta_\beta(q; x_1, x_2) = 0.$$

Deformatsiya tenglamalari bu holda quyidagicha yoziladi:

$$\Delta_\beta = \Delta_{\beta x_1} + \Delta_{\beta x_2} + \Delta_{\beta q} = 0 \quad (\text{gorizontal ko'chish})$$

$$\Delta_\beta = \Delta_{\beta x_1} + \Delta_{\beta x_2} + \Delta_{\beta q} = 0 \quad (\text{vertikal ko'chish})$$

X_1 va X_2 noma'lumlardan hosil bo'ladigan ko'chishlarni quyidagicha yozish mumkin: $\Delta_{\beta x_1} = \delta_{\beta x_1} x_1 - \sigma a$ $\Delta_{\beta x_2} = \delta_{\beta x_2} x_2$

Bu erda $\delta_{\beta x_1}$ σa $\delta_{\beta x_2}$ - asosiy sistema V tayanchini $X_i = l$,

$X_2 = l$ birlik kuchlari ta'siridan ko'chishdir. Gorizontal ko'chishda $\Delta_\beta = \Delta_1$ va vertikal ko'chishda $\Delta_\beta = \Delta_2$ deb qabul qilinsa, yuqoridagi tenglama quyidagicha yoziladi:

$$\left. \begin{aligned} \delta_{11} x_1 + \delta_{12} x_2 + \Delta_{1q} &= 0 \\ \delta_{12} x_1 + \delta_{22} x_2 + \Delta_{2q} &= 0 \end{aligned} \right\} \quad (7.28)$$

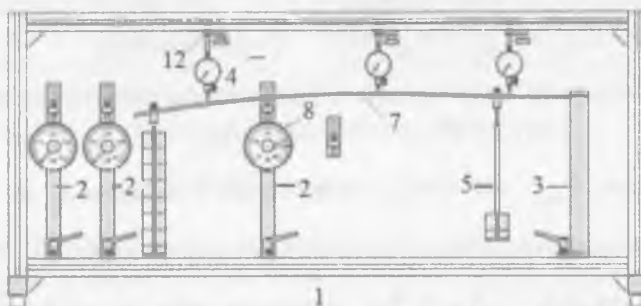
Hosil bo'lgan tenglama kuch usulining kanonik tenglamalari deyildi. Ularning soni sistemaning statik noaniqlik darajasiga teng bo'ladi. Kanonik tenglamalardagi ko'chishlarni topish uchun asosiy sistemada $X_1 = X_2 = l$ noma'lum birlik kuchlardan va tashqi kuchdan eguvchi moment epyuralari quriladi. Mor formulasi yoki Vereshagin qoidasi bo'yicha kerakli epyuralar o'zaro ko'paytirilib, kanonik tenglamaning birlik kuch va berilgan tashqi kuch ta'siridan bo'ladigan ko'chishlari topiladi. Kanonik tenglamalarni hisoblab X_1 va X_2 noma'lumlar aniqlanadi. Noma'lumlar topilgach, balka statik aniq ko'rinishga keladi.

SAVOLLAR

1. Balka egilishining potentsial energiyasi nimaga teng?
2. Ishlar orasidagi bog'lanishlar teoremasini aytинг?
3. Ko'chishlalar orasidagi bog'lanishlar teoremasini aytинг?
4. Mor integralini yozing?
5. Vereshagin formulasini yozing?
6. Statik noaniq sistema deb nimaga aytildi?
7. Statik noaniq sistemalar qanda usullar bilan echiladi?
8. Uch moment tenglamasini yozing?
9. Kanonik tenglamani yozing?

Statik aniqmas sistemalarda tayanch reaktsiyalarini tajribada aniqlash [33]

Tajriba WR 950 qurilmasida bajariladi. Ushbu uskuna engil, mustahkam qilib yasalgan alyuminiy rama (1), ramaning pastki qismiga qisqichlar yordamida mahkamlangan (2,3) tayanchlar va ramaning yuqori qismiga mahkamlangan (4)o'lchov asboblaridan iborat.



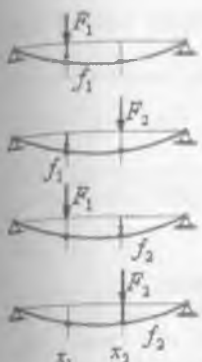
7.57- WR 950 qurilmasi va uning tarkibi. (5) yuklar (6) harakatlanuvchi polzunlar orqali (7) balkaga qo'yilgan. Polzunlarni qo'yilgan nuqtasiga qo'zg'almas qilib o'rnatish ham mumkin. Polzun va tutqichning birgalikdagi og'irligi 2.5 N.

Kuchning qymatini 2,5 N va 5 N yuklar yordamida o'zgartirish mumkin. Sharnirli (2) tayanchlarga (8) dinamometrlar o'rnatilgan.

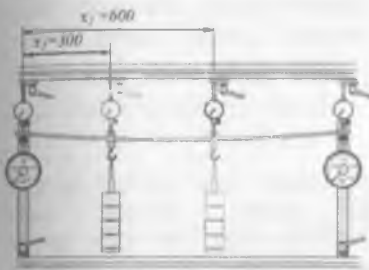
Tayanchning balandligi rezbali shpindel bilan o'zgartirilishi mumkin. Tayanch (10) vint bilan qimirlamaydigan qilib mahkamlanishi mumkin. Bu balkaning xususiy og'irligi ta'sirida egilishi va dinamometr prujinasi siljishi natijasida tayanch og'ishining oldini oladi.

Statik aniqmas sistemalarda kuchning qo'yilish nuqtasi tayanchga turliha ta'sir ko'rsatadi. (8) dinamometrnning shkalalari to'g'rilash uchun aylanuvchi qilib yasalgan (7) balka (3) qisqichli tayanchga (11) qisuvchi plastinalar yordamida mahkamlanadi. (4) o'lchov asbobining balandligi (12) tutqichlaridagi moslama yordamida sozlanadi.

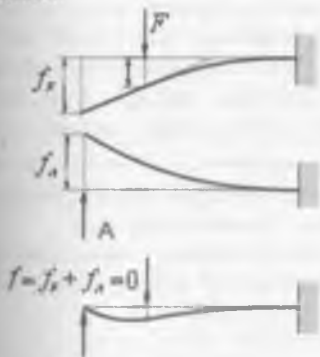
Tajribalar. Quyida WR 950 uskunasi yordamida ba'zi tajribalarni o'tkazish tartibi keltirilgan. Ular bu uskuna yordamida bajarish mumkin bo'lgan tajribalarning kam sonini tashkil etadi va boshqa tajribalarni uchun asos bo'ladi



Betti teoremasiga oid



x_1 va x_2 nuqtalardagi ko'chishlar o'lchov asboblari yordamida aniqlanadi.



7.58 - rasm. Superpozitsiya usuli ni aniqlash mumkin. Balkaning uchidagi noma'lum tayanch reaktsiyasini aniqlash uchun bu tayanchda to'liq deformatsiya nolga tengligidan foydalaning. A tayanch reaktsiya kuchi ta'sirida yuzaga keluvchi deformatsiyadan F kuch

Maksvel-Betti qonuni

Maksvell-Betti qonuniga ko'rta x_1 nuqtaning x_2 nuqtaga qo'yilgan kuch ta'sirida ko'chishi x_2 nuqtaning x_1 nuqtaga qo'yilgan kuch ta'sirida ko'chishiga teng. $f_2 = f_1$

Bu mulohazani quyidagi formula bilan ifodalish mumkin

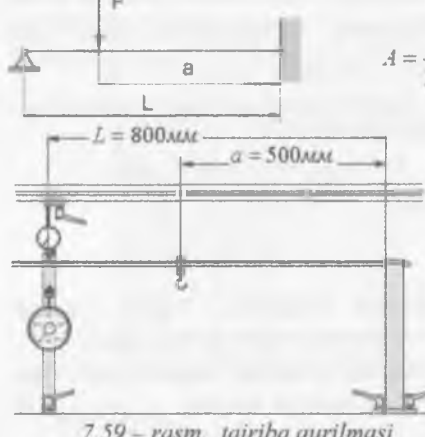
$$f_1 = a_{12}F_2 = f_2 = a_{21}F_1 \text{ yoki}$$

$$a_{12} = a_{21}$$

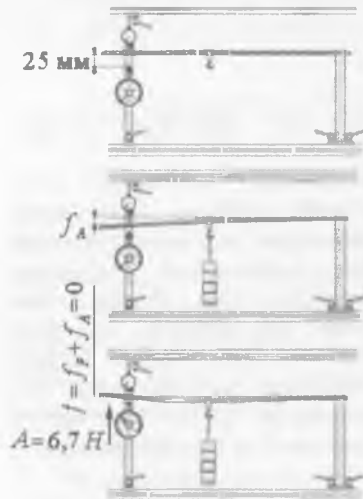
Tajribani o'tkazish. Tajriba o'tkazish tartibi quyidagi chizmada keltirilgan. Tayanchlar orasidagi masofa 1000 mm. 20N li o'zgarmas kuchlar $x_1=300\text{mm}$ va $x_2=600\text{mm}$ nuqtalarga qo'yiladi.

Superpozitsiya printsipiga ko'rta individual kuchlar ta'siridagi deformatsiyalar yig'indisi individual kuchlar kombinatsyasi natijasidagi deformatsiyaga teng. Shuning uchun bir-biriga bog'lanmagan individual kuchlar ta'sirida hosil bo'lgan deformatsiyalar yig'indisi orqali bu kuchlarning bir paytda ta'sir qilishi natijasida hosil bo'lgan deformatsiya-

ta'sirida yuzaga keluvchi qarama-qarshi yo'nalishdagi deformatsiya katta bo'lishi kerak tayanch reaktsiyasini topamiz



7.59 - rasm. tajriba qurilmasi



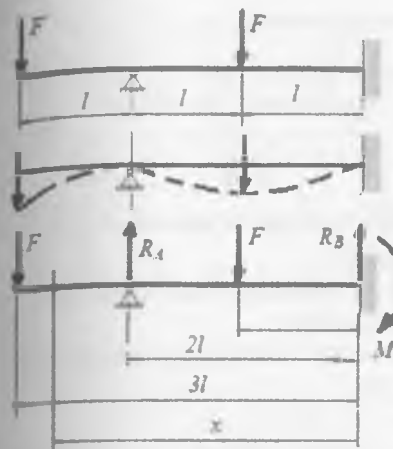
Matematik hisoblash natijalariga ko'ra olingan natija 6.96 N bo'lib, ular bir-biriga juda yaqin.

$$A = \frac{F}{2L^3} (3La^2 - a^3)$$

$$A = \frac{15}{2 \cdot 800^3} (3 \cdot 800 \cdot 500^2 - 500^3) = 6.96 \text{ N}$$

Tajribani o'tkazish

Quyidagilar talab qilinadi: po'lat balka $6 \times 20 \times 1000$ mm; yuk uchun polzun; yuk uchun polzun; 5 N li 2 ta yuk, 2.5N li 1 ta yuk; 1 ta sharnirli tayanch, dinamometr bilan tayanch ustuni qisqich bilan o'lchov asbobi



misol. Berilgan 7.60-rasmidagi WR 950 qurilmasi sxemasi. Statik noaniq balkaning tayanch reaktsiyalari va tashqi F kuchlar ko'yilgan nuqtalarning salqiliklari topilsin.

7.60-rasm. statik noaniq balka uning deformatsiyasi va yuklanish sxemasi

Yechish. Balkani qo'zg'aluvchan sharnirli tayanchiga nisba-tan muvozanat tenglamasini tuzamiz:

$$\sum M_A = 0 \quad Fl - Fl + R_B 2l - M_B = 0$$

$$\text{buerdan} \quad M_B = R_B 2l \quad (1)$$

Bikr qo'zg'almas tayanchni balkaning boshlang'ich nuqtasi deb salqilik tenglamasini tuzamiz:

$$y = y_0 + \theta_0 x + \frac{1}{EI} \left[-M_B \frac{x^3}{2} + R_B \frac{x^3}{6} - F \frac{(x-l)^3}{6} + R_A \frac{(x-2l)^3}{6} \right] \quad (2)$$

Integrallash doimiyliklari y_0 va θ_0 larni balka uchlarini tayanish shartlaridan topamiz.

$x = 0$ bo'lsa $y_0 = 0$ va $\theta_0 = 0$ bo'ladi va $x = l$ bo'lsa $y = y_A = 0$ bo'ladi. Unda ikkinchi tenglamadan quyidagini qilamiz:

$$0 = \frac{1}{EI} \left[-M_B \frac{4l^2}{2} + R_B \frac{8l^3}{6} - F \frac{l^3}{6} \right] \text{ buerda } \frac{1}{EI} \neq 0, \text{ shuning}$$

$$\text{uchun} \quad -M_B \frac{4l^2}{2} + R_B \frac{8l^3}{6} - F \frac{l^3}{6} = 0 \quad M_B = R_B \frac{4}{3}l - F \frac{l}{6} \quad (3)$$

(1) va (3) tenglamalarni solishtirib R_B reaktsiya kuchini topamiz: $R_B = -\frac{F}{4}$ va tenglamadan $M_B = -F \frac{l}{2}$.

R_A - reaktsiya kuchini topish uchun barcha kuchlarni bikr qo'zg'almas tayanchga nistbatan muvozanat tenglamasini tuzamiz:

$$\sum M_B = 0 \text{ yoki } F3l - R_4 2l + Fl - M_B = 0 \text{ va } R_4 = \frac{9F}{4}$$

Ikkinci tenglikdan V nuqtaga nisbatan $x = l$ va $x = 3l$ masofalarda joylashgan nuqtalarining salqiliklarini hisoblaymi: $x = l$ bo'lsa $y = f = \frac{5Fl^3}{24EI}$ va $x = 3l$ bo'lsa $y = f = \frac{43Fl^3}{24EI}$

Ramalarning deformatsiyalanishini tajribada o'rganish [33]

Ishning maqsadi:

- ramaga kuchning qo'yilish va deformatsiyasi orasidagi munosabat;
- statik aniq va statik aniqmas ramalarning farqi;
- statik aniq va aniqmas sistemalar uchun elastiklik nazariyasi bilan tanishish;
- superpozitsiya printsipini qo'llash;
- statik aniq va aniqmas ramalarga virtual (mumkin bo'lган) ish printsipini qo'llash;
- virtual kuchlar printsipidan foydalanib deformatsiyani aniqlash;
- virtual (mumkin bo'lган) ko'chishlar printsipidan foydalanib kuchni aniqlash;
- hisoblangan va o'lchanigan deformatsiyalarini taqqoslash.

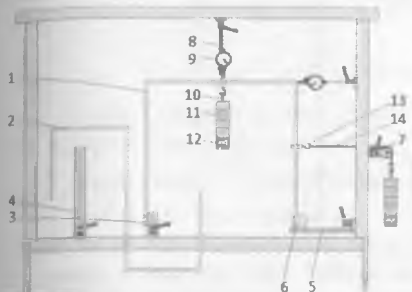
Rama burchaklari bikr mahkamlangan egiluvchan balkalardan tashkil topgan konstruktsiya. SE 110.20 tajriba o'tkazish uskunasi "P" ko'rinishidagi ramadan iborat, misol sifatida katta zallarning konstruktsiyasini ko'rsatish mumkin. Uning bir uchi qistirib mahkamlangan. ikkinchi uchi ixtiyoriy bo'lishi mumkin. Qistirilmagan uchi erkin bo'lsa statik aniq sistema sifatida qaraladi. Agar shu uch sharnirli tayangan bo'lsa statik aniqmas sistemani hosil qiladi. Rama kuchning qo'yilish nuqtalari o'zgaruvchan bo'lган ikki turdag'i kuchlar ta'siri ostida bo'lishi mumkin. Ikkita o'lchov asbobi yuklanish ta'siri ostidagi ramaning deformatsiyasini ko'rsatib turadi.

Bu uskunada ramalarning deformatsiyalanishini tajribalarda tekshirish mumkin.

Turli yuklanishlar

- Deformatsiyani o'lchash
- Yuklanish va deformatsiya orasidagi munosabatlar
- Superpozitsiya printsipi
- Elastiklik nazariyasini statik aniq va statik aniqmas sistemalarga qo'llash

Uskunaning tuzilishi



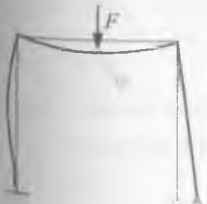
SE 10.20 Ramalarning deformatsiyalanishi tajriba uskunasi SE-110 ramasi bilan bir-galikda foydalanishga moslash-tirib tayyorlangan

7.61-rasm. Tajriba qurilmasi

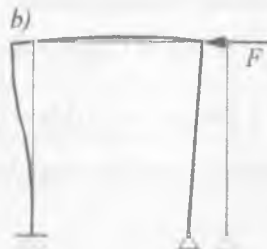
Element nomi	
1	U shakldagi rama 600mm x 600mm,ko'ndalang kesimi 10x20 mm,
2	S shakldagi rama 600 mm x 600 mm,ko'ndalang kesimi 10x20 mm,
3	Kalta mahkamlash ustunchasi
4	Uzun mahkamlash ustunchasi
5	Tayanch plitasi
6	Qo'zg'aluvchan shkivli erkin tayanch
7	Shkiv
8	O'Ichov asbobining kalta tutqichi
9	O'Ichov asbobi,0...20mm
10	Yuk tutqich, xususiy og'irligi 1N
11	Yuk,5N
12	Yuk,1N
13	Qo'zg'aluvchan ilgak
14	Tros

Asosiy tushunchalar. F kuch ramaning yuqori o'ng uchiga gorizontal qo'yiladi. Shu nuqtadagi f ko'chish aniqlaymiz. Hisoblashlar virtual ish printsipliga asoslangan. Dastlab, tayanchdag'i noma'lum kuch A ni aniqlashimiz kerak. Buning uchun A virtual kuch kiritiladi. Haqiqiy kuchlar ta'siridagi virtual ish, eguvchi moment gradienti mos virtual kuchlarga bog'lab aniqlanadi.

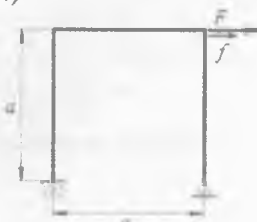
a)

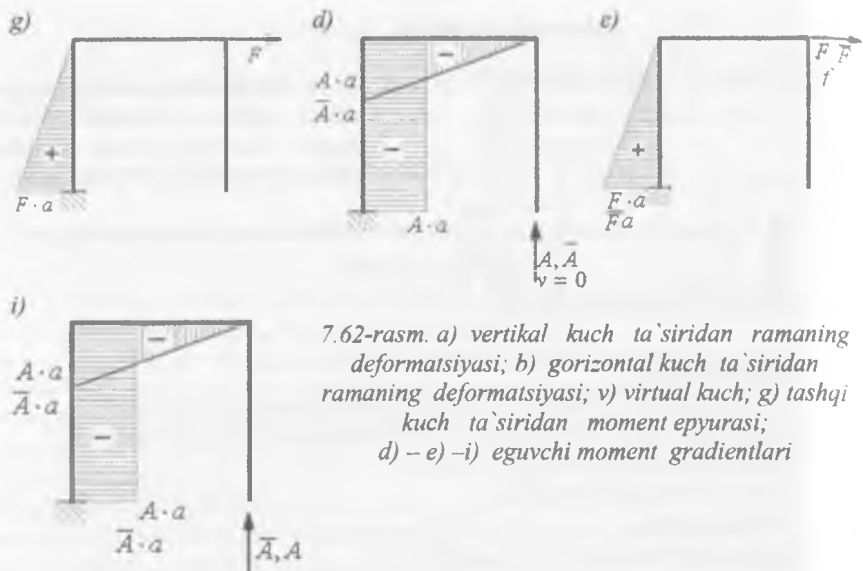


b)



v)





7.62-rasm. a) vertikal kuch ta'siridan ramaning deformatsiyasi; b) gorizontal kuch ta'siridan ramaning deformatsiyasi; v) virtual kuch; g) tashqi kuch ta'siridan moment epyurasi;
d) – e) – i) eguvchi moment gradientlari

Virtual ish tayanchning v haqiqiy ko'chishi va tayanchdagji virtual kuch orqali ifodalanadi, hamda tayanchning ko'chishi nolga teng bo'lganda u ham nolga teng bo'lishi kerak (7.62-rasm).

Bo'ylama va ko'ndalang kuchlarning ishi hisobga olinmaydi, chunki ularga qarama-qarshi kuchlar etarli darajada kichik.

Chizmaga ko'ra eguvchi moment gradienti

$$v \cdot \bar{A} = \frac{1}{E \cdot I} \left(\frac{1}{3} \cdot A \cdot \bar{A} \cdot a^3 + A \cdot \bar{A} \cdot a^3 - \frac{1}{2} \cdot F \cdot \bar{A} \cdot a^3 \right) = 0$$

$$\text{Bu tenglamadan tayanch reaksiyasini aniqlaymiz } A = \frac{3}{8} \cdot F$$

Aniqlangan reaksiya kuchidan foydalanim kuch qo'yilgan nuqtadagi f ko'chishni topish mumkin. Buning uchun \bar{F} virtual kuch yo'naliшини ko'chish yo'naliши bilan bir xil qilib tanlaymiz.

Virtual ish quyidagi formula bilan hisoblanadi

$$f \cdot \bar{F} = \frac{1}{E \cdot I} \cdot \int \{M(x) \cdot \bar{M}(x)\} dx = 0$$

$$v \cdot \bar{A} = \frac{1}{E \cdot I} \cdot \int \{M(x) \cdot \bar{M}(x)\} dx = 0$$

Eguvchi moment gradientini keltirilgan integralga olib borib qo'yamiz:

$$f \cdot \bar{F} = \frac{a^3}{E \cdot I} \cdot \left(\frac{1}{3} \cdot F \cdot \bar{F} - \frac{1}{2} \cdot A \cdot \bar{F} - \frac{1}{2} \cdot F \cdot \bar{A} + A \cdot \bar{A} + \frac{1}{3} \cdot A \cdot \bar{A} \right) = 0$$

$$\text{Bundan ko'chishni topamiz } f = \frac{7}{48} \cdot \frac{F \cdot a^3}{E \cdot I}$$

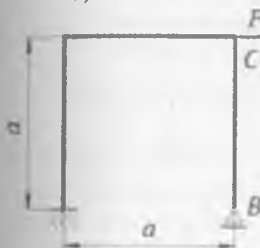
Xuddi shunday boshqa yuklanish hollari yoki boshqa nuqtadagi ko'chishlarni hisoblash mumkin.

Kuch usuli. F kuch ramaning yuqori o'ng uchiga gorizontal qo'yiladi (7.63-rasm, a). Shu nuqtadagi f ko'chish (7.63-rasm, b) aniqlaymiz. Hisoblashlar kuch usuliga asoslangan kanonik tenglamalar tuzish bilan olib boriladi.

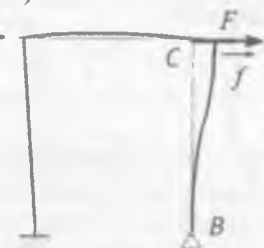
Yechish. Berilgan sistemaga ekvivalent bo'lgan asosiy sistemani tanlaymiz (7.63-rasm, v). Asosiy sistema uchun kanonik tenglamani tuzamiz:

$$\Delta_B = X_1 \delta_{11} + \Delta_{F1} = 0$$

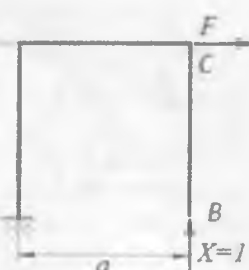
a)



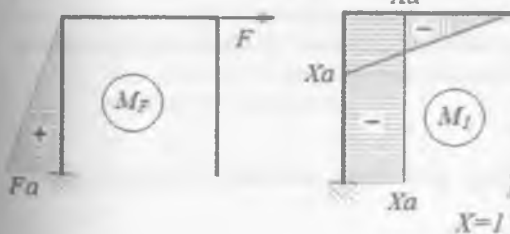
b)



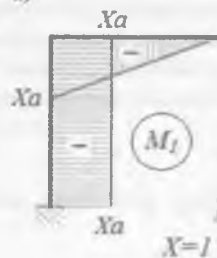
v)



g)



d)



7.63- rasm. Rama:
 a) yuklanish sxemasi;
 b) deformatsiyalanishi
 v) asosiy sistema;
 g) tashqi kuch va
 d) birlik kuch ta'siridan
 egyptchi moment epyuralari

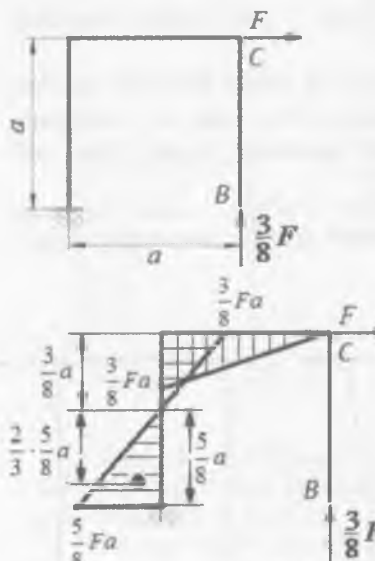
Tenglamadagi ko'chishlar Mor integralini Vereshagin qoidasini tadbiq etish usuli bilan topiladi.

Buerda, $\delta_{11} = \frac{1}{EI} \left(\frac{1}{2} \cdot a \cdot a \cdot \frac{2}{3} a + a \cdot a \cdot a \right) = \frac{4a^3}{3EI}$ - V nuqtani birlik kuch ta'siridan ushbu kuch yo'nalişidagi ko'chishi;

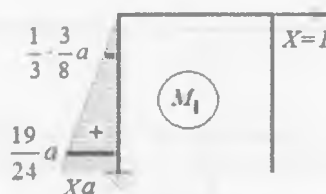
$$\Delta_{F1} = -\frac{1}{EI} \cdot \frac{1}{2} Fa \cdot a \cdot a = -\frac{Fa^3}{2EI}$$

B nuqtani tashqi kuch ta'siridan ushbu kuch yo'nalishidagi ko'chishi. Ushbu ifodalarni kanonik tenglama keltirib qo'yamiz:

$$\Delta_B = X_1 \cdot \frac{4a^3}{3EI} - \frac{Fa^3}{2EI} = 0 \quad \text{buerdan, } X_1 = \frac{3}{8}F$$



7.64-rasm. Ramani yuklanish sxemasi (a), tashqi va reaktsiya kuchi ta'siridan eguvchi moment epyurasi (b) hamda birlik kuch momenti epyurasi.



Tashqi va birlik X_1 reaktsiya kuchi ta'siridan (7.64-rasm, a) rama uchun eguvchi moment epyurasini quramiz (7.64 rasm, b). Chap tomon vertikal sterjenda eguvchi moment ishorasini o'zgartiradi. Epyura sterjen o'qini kesib o'tish nuqtasida nolga teng bo'ladi (7.64rasm, b). Ushbu nuqtaga nisbatan tashqi va reaktsiya kuchlarining momentlari nolga teng:

$$\frac{3}{8}Fa - Fy = 0 \quad \text{buerdan} \quad y = \frac{3}{8}a$$

Eguvchi moment nolga teng nuqtasidan ramaning bikr tayanchigacha bo'lgan masofa $a - \frac{3}{8}a = \frac{5}{8}a$

C nuqtaning ko'chishi

$$\Delta_C = \frac{1}{EI} \left(-\frac{1}{2} \cdot \frac{3}{8}Fa \cdot \frac{3}{8}a \cdot \frac{1}{3} \cdot \frac{3}{8}a + \frac{1}{2} \cdot \frac{5}{8}Fa \cdot \frac{5}{8}a \cdot \frac{19}{24}a \right)$$

$$\text{buerdan } \Delta_C = \frac{0,146Fa^3}{EI}$$

Vertikal tekislikda yuklanish (7.65-rasm). Nazariy usul bilan rama deformatsiyasini o'rGANISH tajriba qurilmasida o'lchov asboblarini o'matilish

sxemasiga mos olib boriladi. Bunda berilgan ramaning yuklanish sxemasiga (7.65-rasm, a,b) oid ko'rsatilgan nuqtalardagi vertikal va gorizontall ko'chishlarni aniqlashga oid misol echiladi.

Yechish. Berilgan sistemaga ekvivalent bo'lgan asosiy sistemani tanlaymiz (7.65-rasm, v). Asosiy sistema uchun kanonik tenglamani tuzamiz:

$$\Delta_B = X_1 \delta_{11} + \Delta_{F1} = 0$$

Tenglamadagi ko'chishlar Mor integralini Vereshagin qoidasini tadbiq etish usuli bilan topiladi.

$$\delta_{11} = \frac{1}{EI} \left(\frac{1}{2} \cdot a \cdot a \cdot \frac{2}{3} a + a \cdot a \cdot a \right) = \frac{4a^3}{3EI} - B \text{ nuqtani birlik kuch ta'siridan ushbu kuch yo'nalişidagi ko'chishi (7.65-rasm,d);}$$

$$\Delta_{F1} = -\frac{1}{EI} \left(-\frac{1}{2} \cdot \frac{Fa}{2} \cdot \frac{a}{2} \cdot \frac{5}{6} a - \frac{Fa}{2} \cdot a \cdot a \right) = -\frac{29Fa^3}{48EI} \text{ B nuqtani tashqi kuch ta'siridan ushbu kuch yo'nalişidagi ko'chishi.}$$

Ushbu ifodalarni kanonik tenglama keltirib qo'yamiz:

$$\Delta_B = X_1 \cdot \frac{4a^3}{3EI} - \frac{29Fa^3}{48EI} = 0 \text{ buerdan, } X_1 = \frac{29}{64} F$$

Kuch qo'yilgan K nuqtani vertikal ko'chishi va S nuqtaning gorizontal ko'chishini aniqlaymiz. Buning uchun berilgan kuch va $X_1 = \frac{29}{64} F$ reaktsiya kuchi ta'siridan eguvchi moment epyurasini quramiz. Qaysi nuqtaning ko'chishi topilishi lozim bo'lsa o'sha nuqta ko'chishining yo'nalişida birlik kuch qo'yiladi va ushbu birlik kuchlar ta'siridan eguvchi moment epyuralari quriladi.

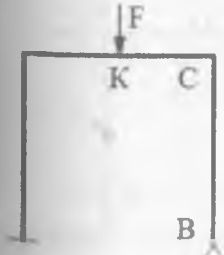
Ko'chishlarni topish uchun tashqi kuchlardan qurilgan moment epyuralari birlik kuch momenti epyuralari bilan ko'paytiriladi.

Bunda Vereshagin formulasi va kuch yuzalaridan foydalilanadi. Epyuralarni ko'paytirib ko'chishlarni topamiz:

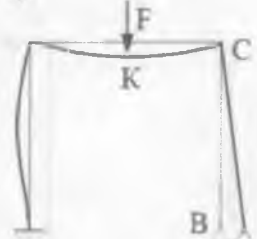
1. M_F epyurasi bilan M_1 epyurasini ko'paytirib K nuqtani vertikal ko'chishini hisoblaymiz:

$$\Delta_K = \frac{1}{EI} \left(\frac{1}{2} \cdot \frac{29}{128} Fa \cdot 0,4143a \cdot \frac{1}{3} \cdot 0,4143a \cdot \frac{1}{2} \cdot \frac{3}{64} Fa \cdot 0,086a \cdot 1,41487a - \frac{3Fa}{64} \cdot a \cdot a \right)$$

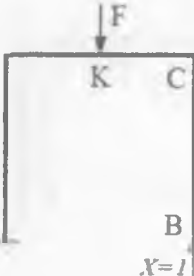
a)

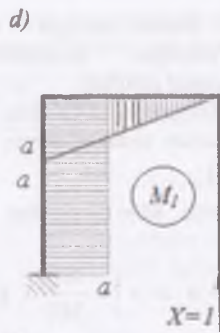
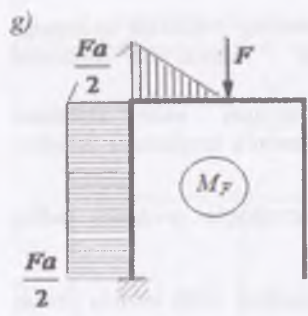


b)

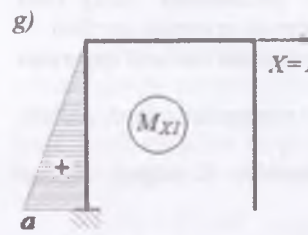
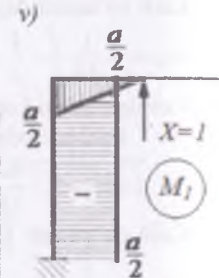
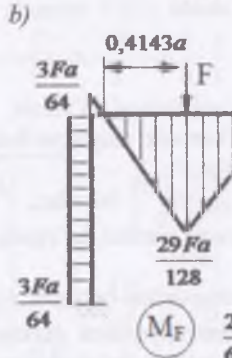
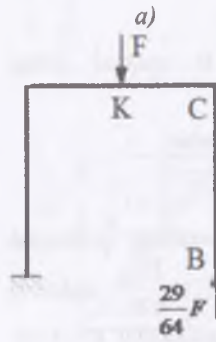


v)

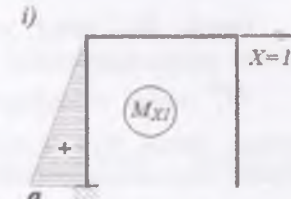
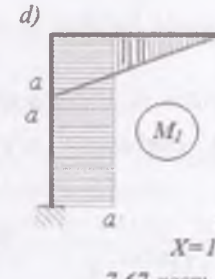
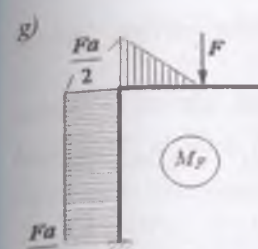
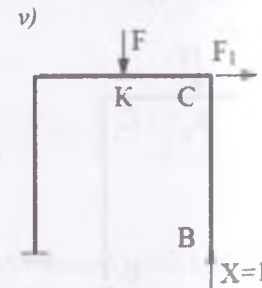
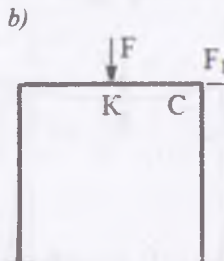




7.65-rasm. Rama, vertikal kuch bilan yuklangan(a), deformatsiyalangan(b), asosiy sistema(v) sxemalari, tashqi kuch (g) va (d) birlik kuch momentlарining epyuralari



7.66-rasm. Ramani yuklanish sxemasi(a) tashqi va reaktsiya kuch ta'siridan eguvchi moment epyurasi(b), K nuqta ko'chishi yo'nali shida qo'yilgan birlik kuch momen-tining epyurasi(v), S nuqta ko'chishi yo'nali shida qo'yilgan birlik kuch momentining epyurasi(g).



7.67-rasm.

$$\text{va } \Delta_K = -\frac{1}{EI} \frac{2,291Fa^3}{128}$$

2. M_F epyurasini bilan M_{XI} epyurasini ko'paytirib S nuqtani gorizontal ko'chishini hisoblaymiz: $\Delta_C = \frac{1}{EI} \frac{3Fa^3}{128}$

SE 110.20 uskunasida bir vaqtning o'zida K nuqtadagi vertikal va C nuqtadagi gorizontal ko'chishlarni tajribada aniqlash mumkin. Shuning uchun tajrib qurilmasini bunday yuklanish sxemasi (7.67-rasm,a) bo'yicha ham ko'chishlarni aniqlash masalasini echamiz.

1.Ramani B tayanch reaktsiya kuchini (7.67-rasm, b) topamiz.

2.Berilgan rama uchun asosiy sistemani tanlaymz (7.67-rasm, v)

Asosiy sistema uchun kanonik tenglamani tuzamiz:

$$\Delta_B = X_1 \delta_{11} + \Delta_F + \Delta_{F_1} = 0$$

Kanonik tenglamaning koeffitsientlarini hisoblaymiz:

7.67-rasm, (d) epyurasidan

$$\delta_{11} = \frac{1}{EI} \left(\frac{1}{2} \cdot a \cdot a \cdot \frac{2}{3} a + a \cdot a \cdot a \right) = \frac{4a^3}{3EI}$$

7.67-rasm (g va d) epyuralaridan

$$\delta_{1F} = \frac{1}{EI} \left(-\frac{1}{2} \cdot Fa \cdot \frac{a}{2} \cdot \left(\frac{a}{2} + \frac{2}{3} \cdot \frac{a}{2} \right) - \frac{Fa}{2} \cdot a \cdot a \right) = -\frac{29Fa^3}{48EI}$$

7.67 - rasm (g va i) epyuralaridan

$$\delta_{1F_1} = -\frac{1}{EI} \frac{1}{2} F_1 a \cdot a \cdot a = -\frac{F_1 a^3}{2EI}$$

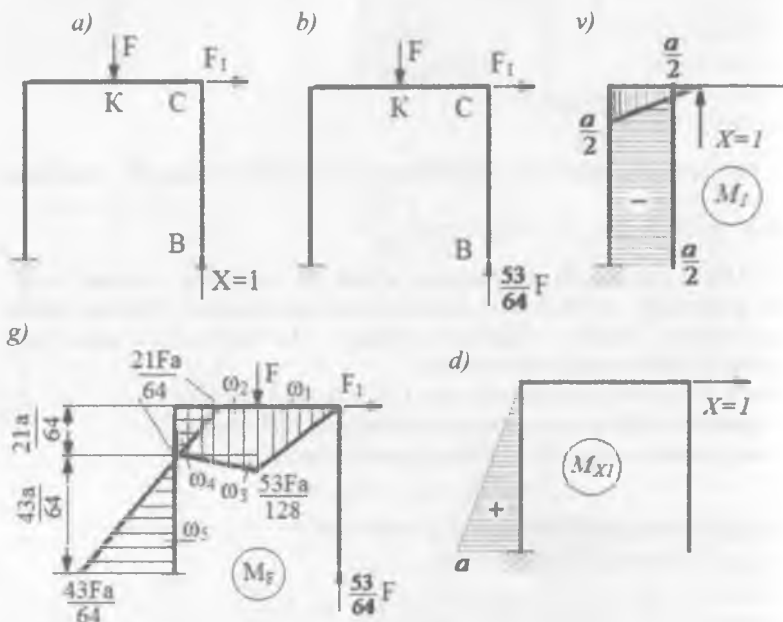
Hisoblangan koeffitsientlarni kanonik tenglamaga keltirib qo'yamiz:

$$\Delta_B = X_1 \frac{4a^3}{3EI} - \frac{29Fa^3}{48EI} - \frac{F_1 a^3}{2EI} = 0 \quad \text{bu erdan} \quad X_1 = \frac{53}{64} F$$

Rama K nuqtasining ko'chishini $\Delta_K = \frac{\omega_F \cdot M_1^0}{EI}$ Vereshagin formulasidan hisoblaymiz.

buerda ω_F - tashqi va reaktsiya kuchlari ta'siridan qurilgan eguvchi moment epyurasining yuzasi;

M_1^0 - tashqi va reaktsiya kuchlari ta'siridan qurilgan eguvchi moment epyurasini yuzasi ω_F ning og'irlik markaziga to'g'ri keluvchi birlik kuch momenti epyurasining ordinatasи.



7.68-rasm. Ekvivalent sxema (a), ramani hisoblash sxemasi (b), birlik kuch momenti epyurasini (v), gorizontallik birlik kuch momenti epyurasini (d), rama uchun eguvchi moment epyurasini

Berilgan masala uchun (7.68-rasm,a) Vereshagin formulasini yozamiz:

$$\Delta_K = \frac{\omega_F \cdot M_1^0}{EI} = \frac{1}{EI} (\omega_1 \cdot M_1^{01} + \omega_2 \cdot M_1^{02} + \omega_3 \cdot M_1^{03} + \omega_4 \cdot M_1^{04} - \omega_5 \cdot M_1^{05})$$

buerda: $\omega_1 = \frac{1}{2} \cdot \frac{53Fa}{128} \cdot \frac{a}{2} = \frac{53Fa^2}{512}$, $M_1^{01} = 0$

$$\omega_2 = \frac{21Fa}{64} \cdot \frac{a}{2} = \frac{21Fa^2}{128}, \quad M_1^{02} = \frac{1}{2} \cdot \frac{a}{2} = \frac{a}{4}$$

$$\omega_3 = \frac{1}{2} \left(\frac{53Fa}{128} - \frac{21Fa}{64} \right) \cdot \frac{a}{2} = \frac{11Fa^2}{256}, \quad M_1^{03} = \frac{1}{3} \cdot \frac{a}{2} = \frac{a}{6}$$

$$\omega_4 = \frac{1}{2} \cdot \frac{21Fa}{64} \cdot \frac{21a}{64} = \frac{441Fa^2}{4096} \quad M_1^{04} = \frac{a}{2}$$

$$\omega_5 = \frac{1}{2} \cdot \frac{43Fa}{64} \cdot \frac{43a}{64} = \frac{1849Fa^2}{8192} \quad M_1^{05} = \frac{a}{2}$$

Hisoblangan kuch yuzalari va birlik kuch momenti qiyatla-rini Vereshagin formulasiga keltirib qo'yamiz

$$\Delta_K = \frac{1}{EI} \left(\frac{21Fa^2}{128} \cdot \frac{a}{4} + \frac{11Fa^2}{256} \cdot \frac{a}{6} + \frac{441Fa^2}{4096} \cdot \frac{a}{2} - \frac{1849Fa^2}{8192} \cdot \frac{a}{2} \right) = -\frac{0,01844Fa^3}{EI}$$

S nuqtani gorizontal ko'chishini hisoblaymi:

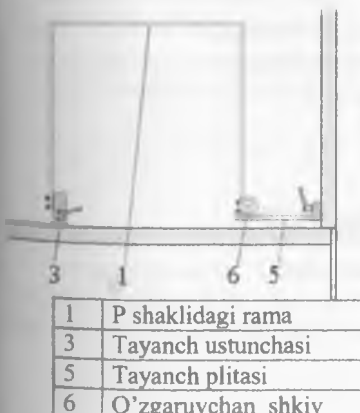
$$\Delta_K = \frac{\omega_F \cdot M_1^0}{EI} = \frac{1}{EI} (+\omega_4 \cdot M_1^{06} - \omega_5 \cdot M_1^{07})$$

buerda, $M_1^{06} = \frac{1}{3} \cdot \frac{21a}{64} - \omega_4$ kuch yuzasining og'irlilik marka-ziga to'g'ri keluvchi M_{X1} birlik kuch momenti (7.68-rasm, d) epyurasining ordinatasasi $M_1^{07} = \frac{21a}{64} + \frac{2}{3} \cdot \frac{43a}{64} = \frac{171a}{192} - \omega_5$ kuch yuzasining og'irlilik markaziga to'g'ri keluvchi M_{X1} birlik kuch momenti (7.68-rasm,d) epyurasining ordinatasni

$$\Delta_C = \frac{1}{EI} \left(-\frac{1}{2} \cdot \frac{21Fa}{64} \cdot \frac{21a}{64} \cdot \frac{1}{3} \cdot \frac{21a}{64} + \frac{1}{2} \cdot \frac{43Fa}{64} \cdot \frac{43a}{64} \cdot \frac{171a}{192} \right) = \frac{0,1951332Fa^3}{EI}$$

Tajribalar. Qurilmaga individual komponentlarning o'rnatilishi, eksperimental ko'nigmalar va sharoitlardan bog'liq ravishda boshqa tajribalarni turli yuklanishlarda ham o'tkazish mumkin [33].

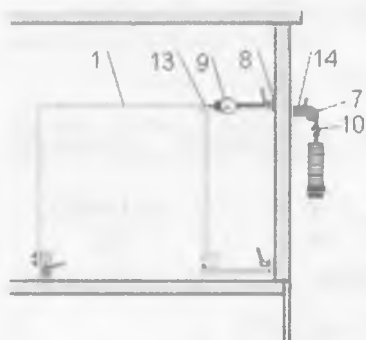
Tajriba o'tkazish uskunasi: gorizontal yuklanish qo'yilgan



Π shaklidagi rama.

Tajribani o'tkazish hisoblashi

- mahkamlash ustunchasi (3) ni rama-ning pastki qismiga o'ng tomonidan 750 mm masfoda qistiring.- Π -shakldagi (1) ramaning (6) shkiv bo'limgan uchini unga o'rnatiting. Π -shakldagi (1) ramani (3) tayanch ustunchasiga bolt bilan biriktiring. (5) tayanch plitasini ramaning o'ng tomoniga shkiv engil harkatlanadigan qilib mahkamlang



7.69- rasm. 1- Π shakldagi rama; 7- shkiv; 8-9- O'ichov asbob; 10-Yuk tutqich; 13-ilgak; 14-tros.

Tajribani o'tkazilishi

- yuk tutqichni ajratib oling
- o'ichov asbobini nolga keltiring;
- yuk tutqichga $3x5N$ va $4 \times 1N$ yuqlarni qo'ying (umumiy yuk $20N$);
- yuk tutqichni ildiring
- o'ichov asbobini o'qing va ko'chishni belgilab qo'ying
- Tajribalar kuchni boshqa nuqtaga qo'yib davom ettirilishi mumkin

Tajribani baholash

O'lchanan va hisoblangan ko'chishlar qiymati taqqoslanadi
Kuch qo'yilgan nuqtada o'lchanan ko'chish: $f = 2,02 \text{ mm}$
Hisoblashlar uchun quyidagilarni qabul qilish mumkin:
Elastiklik moduli: $E = 205000 \text{ N/mm}^2$

Π shaklidagi rama tomonlarining uzunligi: $a = 600 \text{ mm}$
Inertsiya momenti, ko'ndalang kesim $10 \text{ mm} \times 20 \text{ mm}$:

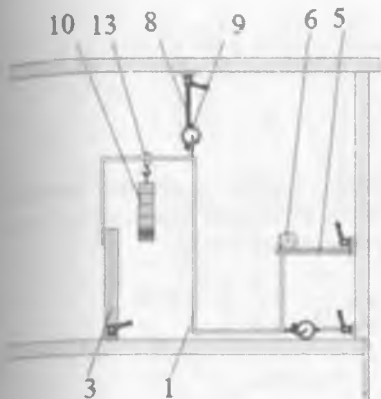
$$I = \frac{bh^3}{12} = \frac{20 \cdot 10^3}{12} = 1667 \text{ mm}^4$$

Kuch qo'yilgan nuqtaning ko'chishi

$$f = \frac{7 Fa^3}{48 EI} = \frac{7 \cdot 20 \cdot 600^3}{48 \cdot 210000 \cdot 1667} = 1,84 \text{ mm} .$$

Natijalar bir-biriga yaqin. Farq 10% ni tashkil etadi.

Gorizontal yuklanishning qo'yilishi.
Qo'zg'aluvchan (7) shkivni ramaning tashqi tomo-niga kuch qo'yiluvchi nuqta bilan bir xil balandlikda o'rnatiling (13) ilgakni kuch qo'yiladigan nuqtaga o'rnatting, unga (14) trosni (10) yuk tutqich bilan birga ildiring. (7) shkivni tros gorizontal holatda turadi-gan qilib to'g'rilang, (9) o'ichov asbobini (8) tutqichi bilan birga ramaning ichki tomoniga kuch qo'yilgan nuqta bilan bir xil balandlikda o'rnatiling. O'ichov asbobini kuch qo'yilgan nuqta bilan to'g'rilang



Vertikal yuklanish qo'yilgan S shaklidagi rama [33]

7.70- rasm. S-shakldagi rama;
 3-mahkamlanish ustunchasi;
 5-tayanch plitasi; 6-o'zgaruvchan shkiv; 8-
 o'lchov asbobining tutqichi;
 9- o'lchov asbobi; 10-yuk tutgichi;
 13-ilgak.

(3) uzun mahkamlash ustunchasini ramaning pastki qismiga o'ng tomonidan 750 mm masofa qoldirib qistiring S shaklidagi (1) ramaning (6) shkivli uchidan boshqa tmonini mahkamlash ustuniga o'mating. S shaklidagi (1) ramani (3) mahkamlash ustuniga bolt bilan biriktiring. (5) tayanch plitasini ramaning o'ng vertikal tomoniga shunday o'rnatiting-ki, S shaklidagi rama uning tirqishidan o'tib shkiv yuqori tomonidan erkin harakatlanadigan bo'lib tayanib tursin

Vertikal yuklanish uchun (13) ilgakni kuch qo'yiladigan nuqtaga o'rnatning va unga (10) yuk tutqichni o'rnatning

misol -1. 1) Berilgan statik aniqmas balkaning B tayanchdagi reaktiv moment M_B topilsin;

2) M_x va Q_x epyuralari qurilsin

3) Balkanig uzunligi bo'ylab salqilik epyurasi qurilsin. $\alpha = 1,0$

Yechish: Berilgan sistemaning ekvivalent sxemasini tanlaymiz. (7.71 - rasm). Agar balkanig A tayanchdan keyingi oralig'iда taqsimlangan kuch intensivligi ta'sir qilmasa, asosiy (ekvivalent) sxemani tanlashda, balkanig shu qismi bir-biriga teng va qarama - qarshi yo'nalgan q - kuchlar bilan to'ldiriladi. Birinchi savolga javob topish uchun barcha kuchlardan A tayanch nuqtaga nisbatan olingan momentlar yig'indisini nolga tenglashtiramiz:

$$\begin{aligned} \sum M_A &= M_B + B \cdot 2\ell - P\ell - P\ell - q\ell^2 + q \frac{\ell^2}{2} = 0 \quad \text{yoki} \\ M_B &= 2B\ell - 2P\ell - q \frac{\ell^2}{2} \quad (a) \end{aligned}$$

(a) tenglamada ikkita noma'lum bo'lib. B-ni topish uchun qo'shimcha tenglama tuzishga to'g'ri keladi. Qo'shimcha tenglama sifatida balkanig istalgan kesimini salqiligini ifodolovchi universal formulani tuzamiz.

$$f = y_0 + Q_0 x + \frac{1}{EI} \left[B \frac{x^3}{6} - M_B \frac{x^2}{2} - q \frac{(x-\ell)^4}{24} + A \frac{(x-2\ell)^3}{6} + q \frac{(x-2\ell)^4}{24} - P \frac{(x-\ell)^3}{6} \right] \quad (6)$$

U_0 va Q_0 balkaning boshlang'ich B kesimining salqiligi va aylanish burchagi
(b) tenglamadagi $x = 0$ va balkaning B kesimida tayanishga asosan nolga teng.
 $x = 2\ell$ bo'sha balkaning A tayanchida salqilik nolga teng bo'ladi.

$$\text{Demak, } f = f_A = \frac{1}{EI} \left[B \frac{8\ell^3}{6} - M_B \frac{4\ell^2}{2} - q \frac{\ell^4}{24} - P \frac{\ell^3}{6} \right] = 0 \text{ yoki}$$

$$\frac{8B\ell^3}{6} - \frac{4M_B\ell^2}{2} - \frac{P\ell^3}{6} - \frac{q\ell^4}{24} = 0 \quad \text{bu erdan}$$

$$M_B = \frac{1}{2} \left(\frac{8B\ell^3}{6} - q \frac{\ell^3}{6} - q \frac{\ell^2}{24} \right) = \frac{4B\ell}{6} - \frac{5 \cdot q \cdot \ell^2}{48} \quad (8)$$

(a) va (v) tenglamalarni o'zaro tenglashtirib B reaksiya kuchini topamiz:

$$2B\ell - 2P\ell - q \frac{\ell^2}{2} = 4B\ell - \frac{5q\ell^2}{48}$$

$$\text{bu erdan } B = \frac{115 \cdot 6}{48 \cdot 8} q\ell^4 = \frac{115}{64} q\ell^4 \text{ ifodani (a) tenglamaga qo'ysak, } M_B$$

$$\text{momentni topamiz: } M_B = 2 \cdot \frac{115}{64} q\ell^2 - 2q\ell^2 - q \frac{\ell^2}{2} = \frac{70}{64} q\ell^2$$

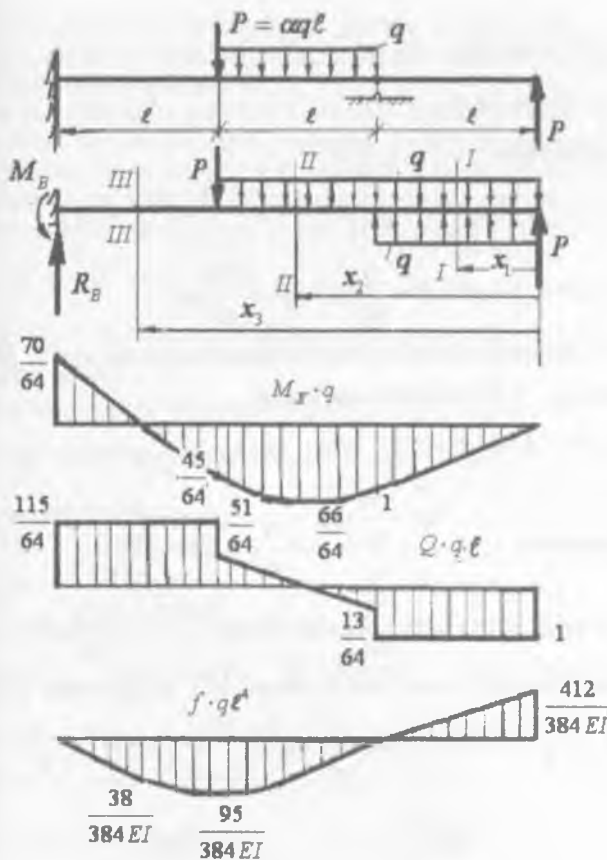
Endi barcha kuchlardan B nuqtaga nisbatan moment tenglamasini tuzamiz
va A tayanch kuchini topamiz:

$$\sum M_B = -M_B + P\ell + q2\ell \left(\frac{2\ell}{2} + \ell \right) - A \cdot 2\ell - P \cdot 3\ell - q\ell \left(\frac{\ell}{2} + 2\ell \right) = 0$$

$$A = \frac{-M_B + P\ell + 4q\ell^2 - 3P\ell - 2,5q\ell^2}{2\ell} = -\frac{102}{128} q\ell$$

$$\text{tekshirish: } \sum y = B - P - 2q\ell + A + q\ell + P = 0 \quad \text{yoki}$$

$$B + A - q\ell = \frac{115}{64} - \frac{102}{128} - 1 = 0; \quad 0 = 0$$



7.71 – rasm. Statik noaniq balka uchun eguvchi moment, ko'ndalang kuch va salqilik epyurlari

Balkani uchta oraliqga bo'lib M_x va Q_x epyuralarni quramiz:

I – I qirqim.

$$M_{x_1} = Px_1 = q\ell x_1 \quad \text{sa} \quad Q_{x_1} = -P = -ql$$

$$0 \leq x_1 \leq \ell$$

M_x va Q_x tenglamalarini tuzishda balkaning $0 \leq x_1 \leq \ell$ oraliqdagi taqsimlangan kuch intensivligi q -ning ta'sirini hisobga olmadik. Chunki qkuch faqat (δ) tenglamani keltirib chiqarishda va f salqilikni topishda ishlataladi.

$$x_1 = 0 \text{ bo'sha } M_{x_1} = 0 \text{ va } x_1 = \ell \text{ da } M_{x_1} = q\ell^2$$

II – II qirqim. $\ell \leq x_2 \leq 2\ell$

$$M_{x_2} = P \cdot x_2 + A(x_2 - \ell) - q \frac{(x_2 - \ell)^2}{2}$$

$$Q_{x_2} = -P - A + q(x_2 - \ell)$$

III – III qirqim. $2\ell \leq x_1 \leq 3\ell$

$$M_{x_1} = P_{x_1} + A(x_1 - \ell) - q\ell \left[x_1 - \left(\ell + \frac{\ell}{2} \right) \right] - P(x_1 - 2\ell)$$

$$Q_{x_1} = -P - A + q\ell + P = \frac{51}{64}q\ell + q\ell = \frac{115}{64}q\ell$$

III – III qirqimda ko'ndalang kuch o'zgarmas qiymatga ega M_{\max} -ni II – II qirqimdan $Q_{x_1} = 0$ kesimdan aniqlaymiz

$$O = -P - A + q(x_1 - 2) \quad \text{yoki} \quad O = -q\ell + \frac{51}{64}q\ell + qx_1 - q\ell$$

$$\text{tenglamadan} \quad x_1 = \frac{2q\ell - \frac{51}{64}q\ell}{q} = \frac{77}{64}q \approx 1,2\ell$$

$$M_{x_2} = M_{\max} = q\ell \cdot 1,2\ell - \frac{51}{64}q \cdot 0,2\ell^2 - q \frac{0,04\ell^2}{2} = \frac{65,5}{64}q\ell^2$$

Uchinchi savolga javob berish uchun (δ) tenglamadan foydalanamiz:

$$f = \frac{1}{EI} \left[B \frac{x^3}{6} - P \frac{(x-\ell)^3}{6} - M_B \frac{x^2}{2} - q \frac{(x-\ell)^4}{24} + \frac{(x-2\ell)^3}{6} + q \frac{(x-2\ell)^4}{24} \right]$$

$$x = 0,5\ell, \quad f = -\frac{38,1q\ell^4}{384EI} \quad x = \ell, \quad f = -\frac{95q\ell^4}{384EI}$$

$$x = 1,5\ell, \quad f = -\frac{93,37q\ell^4}{384EI}; \quad x = 2\ell; \quad f = 0; \quad x = 3\ell; \quad f = \frac{412}{384}q\ell^4$$

misol – 2. Ikki oraliqli balka, sxemada ko'rsatilganidek yuklangan. Balkaning statik noaniqlik darajasi topilsin: reaksiya kuchlari aniqlansin: M va Q epyuralari qurilsin va $h:b=2$ nisbatdan foydalanib balka kesimining o'lchamlari topilsin. Balkaning materiali - po'lat $[\sigma] = 160 \text{ mPa}$ (7.73-rasm)

Yechish: Berilgan uzluksiz balka uchun statikaning tenglamalaridan quyidagilarni hosil qilamiz (7.73-rasm).

$$\sum x = -x_0 = 0 \tag{1}$$

$$\sum y = R_0 - F + R_B + R_c - F = 0 \tag{2}$$

$$\sum M_0 = -F \cdot 2 - R_B \cdot 4 + F \cdot 6 - R_c \cdot 8 = 0 \tag{3}$$

Uchta tenglamada to'rtta noma'lum. Demak, uzlusiz balka bir marotaba statik noaniq. Uzlusiz balkaning statik noaniqlik darajasini ochish uchunuch moment tenglamasidan foydalanamiz.

Uzlusiz balkadagi noma'lum reaksiya kuchlarini noma'lum tayanch momentlari bilan almashtirib, asosiy sistemani hosil qilamiz. Asosiy sistemada o'rta (1) tayanchni ortiqcha bog'lanish deb sharnir bilan almashtiramiz. Sharnir uzlusiz balkani 2 ta oddiy balkalarga ajratadi. Oddiy balkalar uchun eguvchi moment epyularini quramiz va ularni kuch yuzalari deb qabul qilamiz.

$$\omega_1 = \omega_2 = \frac{1}{2} \cdot 10 \cdot 4 = 20 \text{ rad/s}$$

ω_1 va ω_2 - dan balkalarning chetki tayanchlarigacha bo'lgan masofalarni a, b deb qabul qilamiz

Keyingi uch moment tenglamasini tuzamiz (7.55 - rasm)

$$M_0 \cdot \ell_1 + 2M_1(\ell_1 + \ell_2) + M_2 \cdot \ell_2 = -6 \left(\omega_1 \frac{a}{\ell_1} + \omega_2 \frac{b}{\ell_2} \right)$$

Uch moment tenglamasida

$$M_0 = 0; \quad M_2 = 0; \quad \ell_1 = 4m; \quad \ell_2 = 4m$$

$$a = 2m; \quad b = 2m \quad \text{unda, } M_1 = -7,5 \text{ kNm}$$

Oddiy balkalarni M_1 - momenti bilan yuklaymiz (7.73 g - rasm) har bir oddiy balkaning G ' tashqi kuchi va M_1 momenti ta'siridan reaksiya kuchlarini topamiz.

Chap balka (7.73 g - rasm)

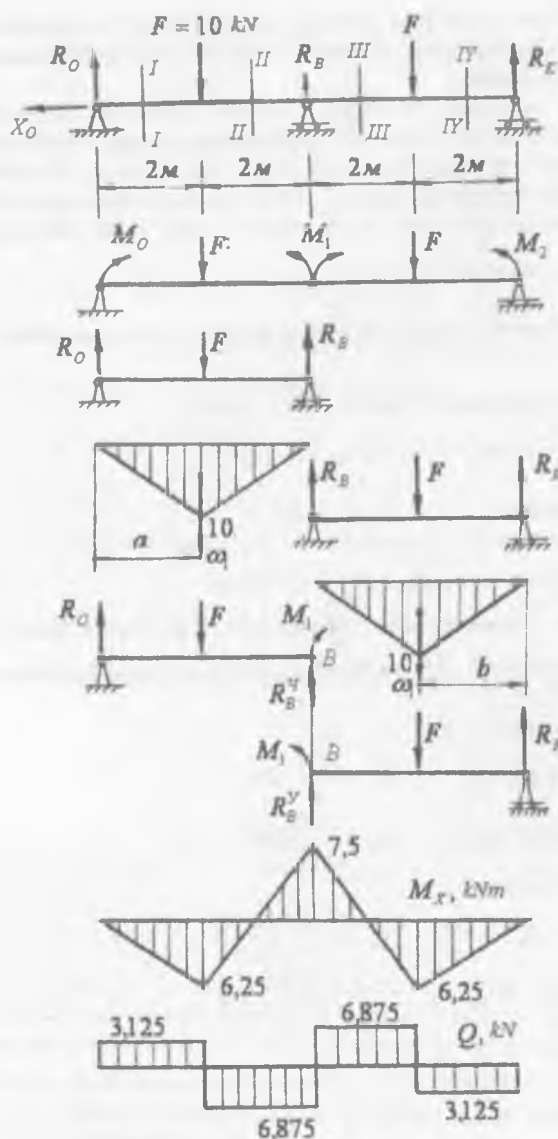
$$\sum M_0 = F \cdot 2 - R_B^y \cdot 4 + M_1 = 0; \quad R_B^y = \frac{27,5}{4}, \text{kN.}$$

$$\sum M_B = R_0 \cdot 4 - F \cdot 2 + M_1 = 0; \quad R_0 = \frac{12,5}{4}, \text{kN}$$

O'ng balka (7.55 g - rasm)

$$\sum M_B = -M_1 + F \cdot 2 - R_c \cdot 4 = 0; \quad R_c = \frac{12,5}{4}, \text{kN.}$$

$$\sum M_c = -M_1 + R_B^y \cdot 4 - F \cdot 2 = 0; \quad R_B^y = \frac{27,5}{4}, \text{kN}$$



7.73 – rasm.
Uzluksiz balkada
eguvchi moment va
ko'ndalang kuch
epyuralarini kurish

Uzluksiz balkaning reaksiya kuchlarini yozamiz:

$$R_O = \frac{12,5}{4} = 3,125 \text{ kN}; \quad R_E = \frac{12,5}{4} = 3,125 \text{ kN}$$

$$R_B = R_B^* + R_B^{\circ} = \frac{27,5}{4} + \frac{27,5}{4} = 13,75 \kappa N$$

Uzluksiz balkani oraliqlarga bo'lib, M va Q tenglamalarini tuzamiz:

I – I qirqim.

$$0 \leq x_1 \leq 2m$$

$$M_{x_1} = R_0 x_1; \quad Q_1 = R_0 = 3,125 \kappa N;$$

$$x_1 = 0; \quad M_1 = 0; \quad x_1 = 2m; \quad M_1 = 6,25 \kappa Nm$$

II – II qirqim.

$$0 \leq x_2 \leq 2m$$

III – III qirqim.

$$0 \leq x_3 \leq 2m$$

$$M_{x_3} = R_0(4 + x_3) - F(2 + x_3) + R_B x_3;$$

$$Q_3 = R_0 - F + R_B = 3,125 - 10 + 13,75 = 6,875 \kappa N;$$

$$x_3 = 0; \quad M_3 = -7,5 \kappa Nm; \quad x_3 = 2m; \quad Mx_3 = 6,25 \kappa Nm$$

IV – IV qirqim.

$$0 \leq x_4 \leq 2m$$

$$M_{x_4} = R_0(6 + x_4) - F(4 + x_4) + R_B(2 + x_4) - Fx_4;$$

$$Q_4 = R_0 - 2F + R_B = 3,125 - 10 + 13,75 - 10 = -3,125 \kappa N;$$

$$x_4 = 0; \quad Mx_4 = 6,25 \kappa Nm; \quad x_4 = 2m; \quad Mx_4 = 0$$

Eng katta eguvchi moment V tayanchda hosil bo'ladi: $M_{\max} = 7,5 \kappa Nm$.

Egilishda mustahkamlik shartiga asosan

$$W_x = \frac{M_{\max}}{[\sigma]} = \frac{7,5}{160 \cdot 10^3} = 4,7 \cdot 10^{-5} m^3. \text{ Bu erda } W_x = \frac{bh^2}{6} \text{ va } h = 2b$$

$$\text{Unda } b = \sqrt[3]{\frac{6 \cdot 4,7 \cdot 10^{-5}}{4}} = 0,0413m; \quad h = 2 \cdot 0,0413 = 0,086m$$

misol-3. Uch oraliqli uzluksiz balka uchun eguvchi moment va ko'ndalang kuch epyuralari qurilsin.

Yechish. Uzluksiz balka ikki marotaba statik noaniq. Shuning uchun uzluksiz balkanining ikkita oddiy ikki oraliqli, bir marotaba statik noaniq balkalarga ajratamiz.

Har qaysi ikki oraliqli uzluksiz balkalalarni oddiy ikki tayanchli balkalarga ajratib, tashqi kuch ta'siridan eguvchi moment epyurlarini quramiz. Kuch yuzalarining teng ta'sir qiluvchilarini topamiz (7.74, v, g-rasm).

$$\omega_1 = \omega_2 = \frac{1}{2} \cdot 87 \cdot 5,8 = 252,3 \kappa Nm^2; \quad a_1 = b = 2,9m$$

Har qaysi ikki oraliqli uzluksiz balka uchun uch moment tenglamasini tuzamiz:

$$M_0 \cdot 4,6 + 2M_1(4,6 + 5,6) + M_2 \cdot 5,8 = -6 \frac{\omega_1 \cdot a_1}{5,8}$$

$$M_1 \cdot 5,8 + 2M_1(5,8 + 4,6) + M_3 \cdot 4,6 = -6 \frac{\omega_2 \cdot b}{5,8}$$

$$\left. \begin{array}{l} 20,8M_1 + 5,8M_2 = -6 \frac{\omega_1 a_1}{5,8} \\ 5,8M_1 + 20,8M_2 = - \frac{\omega_2 \cdot b}{5,8} \end{array} \right\} \begin{array}{l} \cdot (-20,3) \\ \cdot (5,8) \end{array}$$

bu erda $M_0 = 0$ $M_3 = 0$

$$\left. \begin{array}{l} -432,64M_1 - 120,64M_2 = 124,8 \frac{\omega_1 \cdot a_1}{5,8} \\ 33,64M_1 + 120,64M_2 = -34,8 \frac{\omega_2 \cdot b}{5,8} \end{array} \right\} \begin{array}{l} -399M_1 = 124,8 \frac{252,3 \cdot 2,9}{5,8} \\ -34,8 \frac{252,8 \cdot 2,9}{5,8} \end{array}$$

Ikkala tenglamani qo'shsak,

Buerdan $M_1 = -28,45 \text{ kNm}$ hosil bo'ladi va

$$20,8(-28,45) + 5,8M_2 = -6 \frac{252,3 \cdot 2,9}{5,8}$$

$$\text{tenglamadan } M_2 = -28,45 \text{ kNm}$$

Oddiy ikki tanyachli balkalarni M_1 va M_2 momentlari bilan yuklaymiz (7.74 – rasm).

Har bir oddiy balkaning reaksiya kuchlarini topamiz:

1 balka

$$\sum M_0 = M_1 - R_1^u \cdot 4,6 = 0; \quad R_1^u = 6,2 \text{ kN}$$

$$\sum M_1^u = -R_0 \cdot 4,6 + M_1 = 0; \quad R_0 = 6,2 \text{ kN}$$

2 balka

$$\sum M_1^u = F \cdot 2,9 - M_1 + M_2 - R_2^u \cdot 5,8 = 0; \quad R_2^u = 30 \text{ kN}$$

$$\sum M_2^u = R_1^u \cdot 5,8 - M_1 + M_2 - F \cdot 2,9 = 0; \quad R_1^u = 30 \text{ kN}$$

3 balka

$$\sum M_2^u = R_3 \cdot 5,8 - M_2 = 0; \quad R_3 = 6,2 \text{ kN}$$

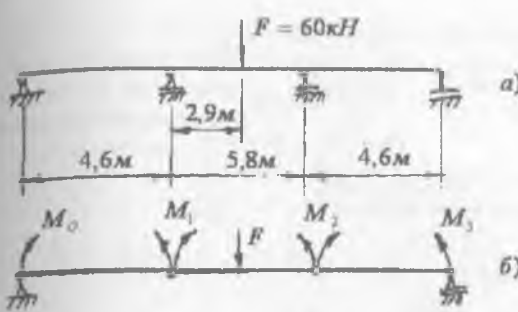
$$\sum M_3 = R_2^u \cdot 5,8 - M_2 = 0; \quad R_2^u = 6,2 \text{ kN}$$

Uzluksiz balkaning reaksiya kuchlari:

$$R_0 = 6,2 \text{ kN}; \quad R_3 = 6,2 \text{ kN}$$

$$R_1 = R_1^u + R_1^s = 6,2 + 30 = 36,2 \text{ kN};$$

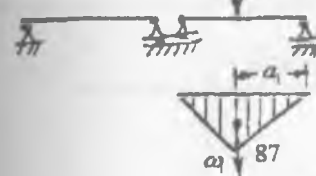
$$R_2 = R_2^u + R_2^s = 30 + 6,2 = 36,2 \text{ kN}$$



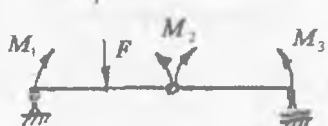
a)



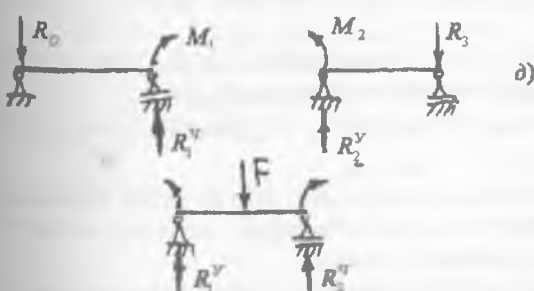
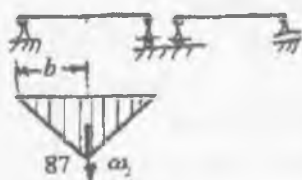
b)



c)



d)



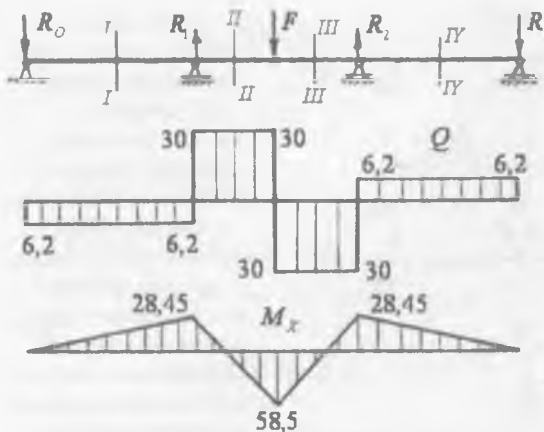
d)

7.74 - rasm
Uzluksiz balkani oddiy
balkalarga ajratish
tartibi.

a) uzluksiz balka;
b) oralıq sharnirlar
o'rnatilgan va noma'-lum
yuklangan uzluksiz balka;
v) uzluksiz balkadan
ajratib olingan chap
tomon ikki prolyotli
balkaning variantlari va
eguvchi moment epyurasi;

g) uzluksiz balkadan
ajratib olingan o'ng
tomon ikki prolyotli
balkaning variantlari va
eguvchi moment epyurasi;

d) uzluksiz balkadan
ajratib olingan va
qiymatlari va yo'naliishlari aniqlashtirilgan
 M_1 va M_2 momentlar
bilan yuklangan ikki
tayanchli balkalar.



7.75 – rasm. Uzluksiz balka uchun ko'ndalang kuch va eguvchi momenti epyuralari

Uzluksiz balkani oraliqlarga bo'lib ko'ndalang Q va eguvchi momenti M tenglamalarini tuzamiz (7.75 – rasm).

I – I qirqim.

$$0 \leq x_1 \leq 4,6m$$

$$Q_1 = -R_0 = -6,2kN;$$

$$M_{x_1} = -R_0 x_1$$

II – II qirqim.

$$4,6 \leq x_2 \leq 7,5m$$

$$Q_2 = -R_0 + R_1 = -6,2 + 36,2 = 30kN;$$

$$M_{x_2} = -R_0 x_2 + R_1 (x_2 - 4,6)$$

III – III qirqim.

$$7,5 \leq x_3 \leq 10,4m$$

$$Q_3 = -R_0 + R_1 - F = -6,2 + 36,2 - 60 = -30kN;$$

$$M_{x_3} = -R_0 x_3 + R_1 (x_3 - 4,6) - F (x_3 - 7,5)$$

IV – IV qirqim.

$$10,4 \leq x_4 \leq 15m$$

$$Q_4 = -R_0 + R_1 - F + R_2 = -6,2 + 36,2 - 60 + 36,2 = 6,2kN$$

$$M_{x_4} = -R_0 x_4 + R_1 (x_4 - 4,6) - F (x_4 - 7,5) + R_2 (x_4 - 10,4)$$

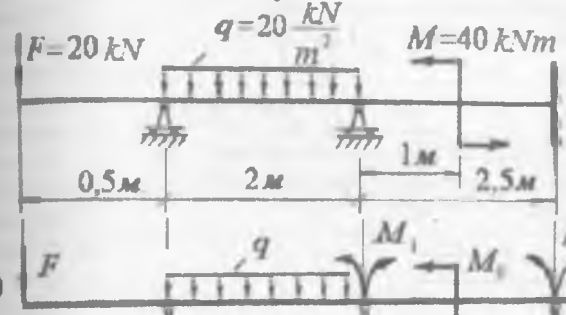
misol-4. Uzluksiz balka uchun M va Q epyuralari qurilsin (7.76 – rasm)

Yechish. Uzluksiz balka K va B nuqtalarda qo'zg'aluvchan sharnirli tayanchlarga tayanadi; S nuqtada esa bikr mahkamlangan. Bikr mahkamlangan tayanch o'rniiga bir-biridan $\ell_3 = 0$ masofada joylashgan – ikkita tayanch qabul qilamiz (7.76 – rasm, a).

Hosil bo'lgan uzluksiz balkani ikkita oddiy ikki tayanchli balkalarga ajratamiz (7.76, b,v – rasm). Har qaysi balka uchun reaksiya kuchlarini topib, M – eguvchi moment epyuralarni quramiz.

Birinchi balka: (7.76-a,rasm) M epyurasining oddiy ko'rinishini hosil

qilish va uni og'irlik markazining koordinatalarini hisoblashni osonlashtirish uchun G' kuch ta'sirini olmaymiz.



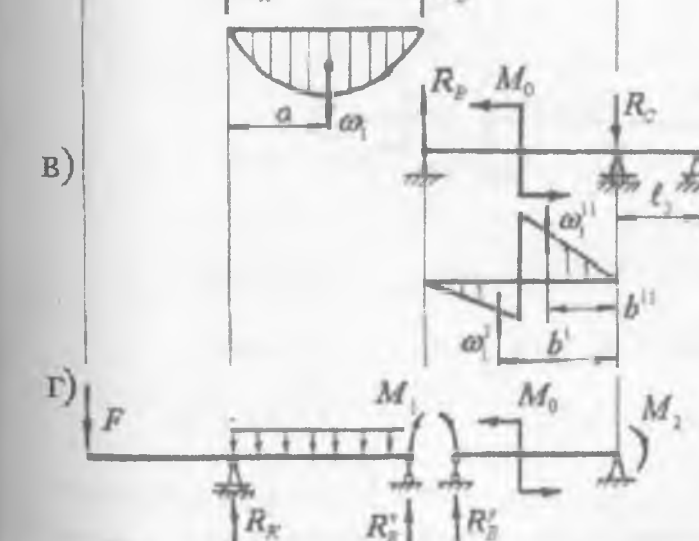
a)

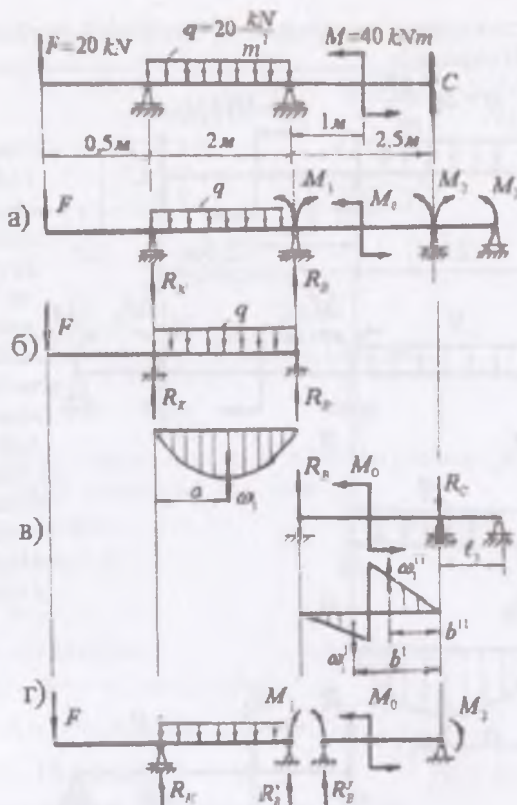
b)

B)

C)

7.76-rasm.
Uzluksiz balka:
a) asosiy sistema;
b) – v) – u
M₁, M₂, M₃ uzluksiz balkadan ajratilgan ikki tayanchli balkalar;
g) noma'lum momentlar bilan yuklanganoddiy balkalar.





Birinchi balka

$$\sum M_B = R_k \cdot \ell_1 - q \frac{\ell_1^2}{2} = 0; \quad R_k = 20 \text{ kN};$$

$$\sum M_C = -R_g \cdot \ell_1 + q \frac{\ell_1^2}{2} = 0; \quad R_g = 20 \text{ kN};$$

$$M_x = R_k \cdot x_1 - q \frac{x_1^2}{2}; \quad 0 \leq x_1 \leq \ell_1$$

$$x_1 = 0; M_x = 0; \quad x_1 = \ell_1; \quad M_x = 0; \quad x_1 = \frac{\ell_1}{2}; \quad M_x = 10 \text{ kNm}$$

Ikkinchchi balka: (7.76, b - rasm) ikkinchi balkada faqat B va C tayanchlar qoladi. Demak, ikkinchi balka ikki tayanchli va M_0 – juft kuch momenti bilan yuklangan.

$$\sum M_B = -M_0 + R_c \cdot 2,5 = 0; \quad R_c = 16 \text{ kN}$$

$$\sum M_A = -M_0 + R_B \cdot 2,5 = 0; \quad R_B = 16 \text{ kN}$$

7.76-rasm.
Uzluksiz
balka:
a) asosiy
sistema;
b) – v)
uzluksiz
balkadan
ajratilgan ikki
tayanchli
balkalar;
g) noma'lum
momentlar
bilan
yuklanganodd
iy balkalar.

1-1 qirqim.

$$M_{x_1} = R_B \cdot x_1; \quad 0 \leq x_1 \leq 1m$$

$$x_1 = 0; M_{x_1} = 0; \quad x_1 = 1m; \quad M_{x_1} = 16\kappa Nm$$

II-II qirqim.

$$M_{x_2} = -R_c \cdot x_2; \quad 0 \leq x_2 \leq 1,5m$$

$$x_2 = 0; M_{x_2} = 0; \quad x_2 = 1,5m; \quad M_{x_2} = -24\kappa Nm$$

Ikkita oddiy balkalardagi kuch yuzalarining topamiz.

$$\omega_q = \frac{2}{3} \cdot 10 \cdot \ell_1 = \frac{2}{3} \cdot 10 \cdot 2 = \frac{40}{3} \kappa Nm^2; \quad a_q = 1m$$

$$\omega_1^1 = \frac{1}{2} \cdot 16 \cdot 1 = 8\kappa Nm^2; \quad b^1 = \frac{1}{3} \cdot 1 + 1,5 = \frac{5,5}{3} m;$$

$$\omega_1^{II} = \frac{1}{2} \cdot 24 \cdot 1,5 = 18\kappa Nm^2; \quad b^{II} = \frac{2}{3} \cdot 1,5 = 1m;$$

7.76, v - rasmiga asosan, uch moment tenglamarini tuzamiz

$$\left\{ \begin{array}{l} M_k \ell_1 + 2M_1(\ell_1 + \ell_2) + M_2 \ell_2 = -6 \left(\frac{\omega_q \cdot a_q}{\ell_1} + \frac{\omega_1^1 b_1^1 + \omega_1^{II} b^{II}}{\ell_2} \right) \\ M_1 \ell_2 + 2M_2(\ell_2 + \ell_3) + M_3 \ell_3 = -6 \left(\frac{\omega_1^1 \frac{2}{3} \cdot 1 - \omega^{II} \left(1 + \frac{1,5}{3} \right)}{\ell_2} + \frac{\omega_3 \cdot a_3}{\ell_3} \right) \end{array} \right.$$

$$M_k = -F \cdot 0,5 = -10\kappa N; \quad M_3 = 0; \quad \omega_3 = 0;$$

Bu erda:

$$a_3 = 0; \quad \ell_3 = 0$$

Unda $-10 \cdot 2 + 9M_1 + 2,5M_2 = -6 \left(\frac{40 \cdot 1}{6} + \frac{8 \cdot \frac{5,5}{3} - 18 \cdot 1}{2,5} \right)$

$$M_1 2,5 + 5M_2 = -6 \left[\frac{16}{7,5} - \frac{18 - 1,5}{2,5} \right] \quad \text{va}$$

$$\left. \begin{aligned} -20 + 9M_1 + 2,5M_2 &= -32 \\ 2,5M_1 + 5M_2 &= 52 \end{aligned} \right\} \quad \text{yoki} \quad \left. \begin{aligned} 9M_1 + 2,5M_2 &= -12 \\ 2,5M_1 + 5M_2 &= 52 \end{aligned} \right|$$

Ikki noma'lumli, ikkita tenglamalar sistemasi hosil bo'ldi.

Bu erda: $M_1 = -4,9\kappa Nm$ va $M_2 = 12,84\kappa Nm$, hosil bo'ladi.

M_1 va M_2 - momentlarning qiymatlarini va ishoralarini hisobga olib, oddiy ikki tayanchli balkalarining reaksiya kuchlarini topamiz (7.76 g - rasm).

$$\text{Chap balka } \sum M_k = -F \cdot 0,5 + q \frac{\ell_1^2}{2} + M_1 - R_B^y \cdot \ell_1 = 0; \quad R_B^y = 17,45 \kappa N$$

$$\sum M_B = -F \cdot (0,5 + \ell_1) - q \frac{\ell_1^2}{2} + M_1 - R_k \cdot \ell_1 = 0; \quad R_k = 42,25 \kappa N$$

$$\text{O'ng balka } \sum M'_B = -M_1 - M_0 - M_2 + R_c \cdot \ell_2 = 0; \quad R_c = 23,096 \kappa N$$

$$\sum M_c = -M_1 - M_0 - M_2 + R_B^y \cdot \ell_2 = 0; \quad R_B^y = 23,096 \kappa N$$

Uzluksiz balkaning reaktsiya kuchlari:

$$R_k = 42,55 \kappa N; R_c = 23,096 \kappa N$$

$$R_B = R_B^y + R_B^x = 17,45 + 23,096 = 40,545 \kappa N$$

Uzluksiz balkaning S qo'zg'almas tayanch nuqtasidagi reaktsiya kuchi $R_c = 23,096 \kappa N$ va tayanch momenti $M_2 = M_c = 12,84 \kappa Nm$

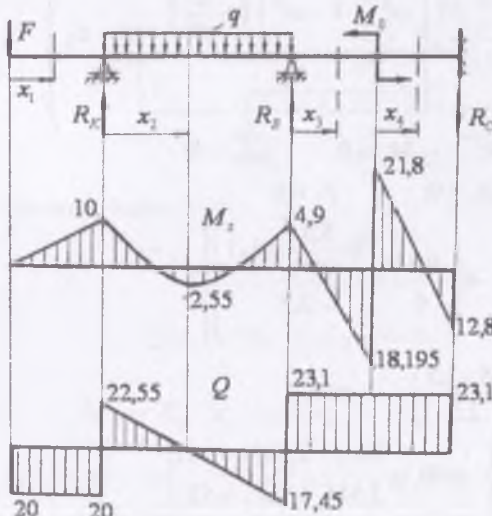
Balkani (7.77-rasm) oraliqlarga bo'lib M va Q tenglamalari rini topamiz.

I – I qirqim. $0 \leq x_1 \leq 0,5m$

$$M_{x_1} = -Fx_1; \quad Q_1 = -F = -20 \kappa N;$$

II – II qirqim. $0 \leq x_2 \leq 2m$

$$M_{x_2} = -F(0,5 + x_2) + R_k x_2 - q \frac{x_2^2}{2}; \quad Q_2 = -F + R_k - qx_2$$



7.77 – rasm. Uzluksiz balka uchun eguvchi moment va ko'ndalang kuch epyurlari

Q - ko'ndalang kuch abtsissa o'qini kesib o'tish nuqtasida nolga teng bo'ladi. Shu nuqtada balkaning ikkinchi qirqimdagidan cho'ziladigan tolaalarida $M_{x_2} = M_{\max}$, eguvchi moment eng kata qiymatga erishadi. $-F + R_k - qx_2 = 0$ yoki $x_2 = \frac{R_k - F}{q} = 1,1275 m$

unda

$$M_{x_2} = M_{x_{\max}} = -20 \cdot 1,1275 + 42,55 \cdot 1,1275 - 20 \frac{(1,1275)^2}{2} = 2,71 \kappa Nm$$

III – III qirqim.

$$0 \leq x_3 \leq 1m$$

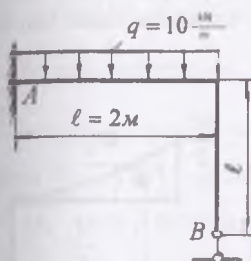
$$M_{x_3} = -F(2,5 + x_3) + R_k(2 + x_3) - q \cdot 2(1 + x_3) + R_B x_3$$

$$Q_3 = -F + R_k - 2q + R_B = 23,096 \text{ kN}$$

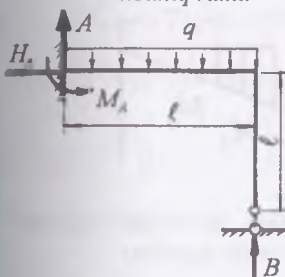
IV – IV qirqim. $0 \leq x_4 \leq 1,5m$

$$M_{x_4} = -F(3,5 + x_4) + R_k(3 + x_4) - q \cdot 2(2 + x_4) + R_B(1 + x_4) - M_0$$

$$Q_4 = -F + R_k - 2q + R_B = 23,096 \text{ kN}$$



7.78-rasm Statik noaniq rama



7.79 – rasm. Statik noaniq masala

misol – 5. Statik noaniq ramaning M , Q va N epyuralari qurilsin:

Yechish. Ramaning A kesimi bikr mahkamlangan tayanchga B kesimi qo'zg'aluvchan sharnirli tayanchga tayanadi. Shuning uchun A kesimda uchta, B kesimda bitta reaktsiya kuchlari hosil bo'ladi. Sistemada to'rtta noma'lum reaktsiya kuchlari hosil bo'lib, ularni topish uchun statikaning uchta muvozanat tenglamalarini tuzish mumkin (7.79 – rasm):

$$\sum x = 0; \quad H_A = 0$$

$$\sum y = 0; \quad A - q\ell + B = 0$$

$$\sum M_A = 0; \quad -M_A + q \frac{\ell^2}{2} - B\ell = 0$$

Sistemadagi noma'lum reaktsiyalar soni, statikaning tenglamalari sonidan bittaga ko'p. Sistema bitta ortiqcha bog'lanishga ega. Ortiqcha bog'lanishlari bo'lgan sistemalarda barcha reaktsiyalarni statikaning muvozanat tenglamalari yordamida topib bo'lmaydi.

Bunday sistemalar statik noaniq sistemalar deyiladi. Ortiqcha noma'lumlar soni sistemaning noaniqlik daraja-sini bildiradi:

$$S = m - 3 = 4 - 3 = 1$$

m - sistemadagi noma'lum reaktsiyalar soni.

Statik noaniq masalanı Yechish uchun berilgan sistemadan asosiy sistemaga o'tiladi. Asosiy sistema, bu noma'lum reaktsiyani noma'lum bog'lanish kuchi X bilan almashirtilgan holati yoki statik noaniq sistemani statik aniq ko'rinishga keltirilishi (7.80 – rasm). Asosiy sistemaga qo'yilgan noma'lum ortiqcha bog'lanish kuchi- X birlik kuch deyiladi. Berilgan sistemada q va B kuchlari ta'siridan B nuqtanining ko'chishi nolga teng, ya'ni $\Delta_B = 0$ edi. Asosiy sistemada V nuqtanining ko'chishi q va x_1 kuchlaridan nolga teng deb qabul qilinadi:

$$\Delta_B = x_1 \delta_{11} + \Delta_{1q} = 0 \quad \text{yoki} \quad \delta_{11} + \Delta_{1q} = 0$$

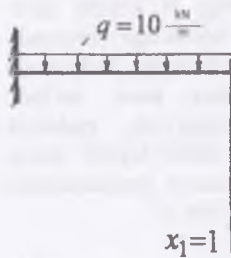
tenglama kanonik tenglama

Sistemaning noaniqlik darajasi qancha bo'lsa kanonik tenglamalar soni ham shuncha bo'ladi.

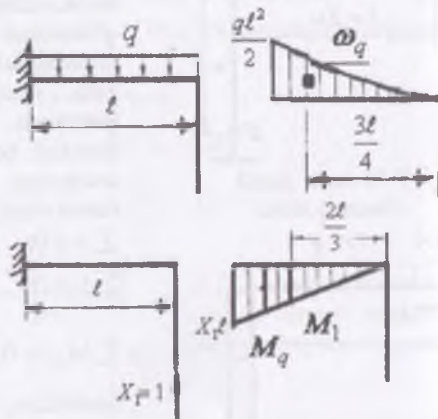
bu erda δ_{11} - asosiy sistema B nuqtasining x_1 kuch yo'nalishida $x_1 = 1$ kuch ta'siridan ko'chishi;

Δ_{1q} - B nuqtaning noma'lum x_1 kuch yo'nalishidaq kuch ta'siridan ko'chishi.

δ_{11} va Δ_{1q} ko'chishlarni topish uchun asosiy sistemada noma'lum birlik kuchlardan va tashqi kuch q dan eguvchi moment



7.80 – rasm . Tashqi va birlik kuch bilan yuklangan rama



7.81 – rasm. Tashqi va birlik kuchlari ta'siridan eguvchi moment epyurlari

epyuralari quriladi. δ_{11} va Δ_{1q} - larni Mor – Maksvell yoki Vereshagin formulalari bilan topish mumkin:

$$\text{Mor-Maksvell formulasi: } \delta_{11} = \int_0^l \frac{M_1^2}{EI} dx, \quad \text{va} \quad \Delta_{1q} = \int_0^l \frac{M_q M_1 dx}{EI}$$

bu erda: M_1 - asosiy sistema uchun $x_1 = 1$ kuchidan qurilgan eguvchi momentning epyurasi;

M_q - asosiy sistema uchun q kuchidan qurilgan eguvchi moment epyurasi;
 EI - balkaning bikrлиgi.

$$\delta_{11} = \int_0^{\ell} \frac{x \cdot x dx}{EI} = \frac{1}{EI} \int_0^{\ell} x^2 dx = \frac{\ell^3}{3EI} = \frac{8}{3EI};$$

$$\Delta_{1q} = - \int_0^{\ell} q \frac{x^2}{2} x \cdot dx = -q \frac{\ell^4}{8EI} = -\frac{20}{EI};$$

δ_{11} va Δ_{1q} - larni kanonik tenglamaga qo'yib x_1 noma'lum kuchni topamiz: $x_1 \cdot \frac{\ell^3}{3EI} - q \frac{\ell^4}{8EI} = 0$ yoki $x_1 = \frac{3}{8} q \ell$; $x_1 = \frac{60}{8} = 7,5 \text{ kN}$

$$\text{Vereshagin formulasi: } \delta_{11} = \frac{\omega_1 \cdot M_1}{EI} \quad \text{va} \quad \Delta_{1q} = \frac{\omega_q \cdot M_{1q}}{EI}$$

bu erda: ω_1 va ω_q - asosiy sistema uchun $x_1 = 1$ va q kuchlardan qurilgan M_1 va M_{1q} eguvchi moment epyurlarining yuzasi (7.81 - rasm);

M_1 - (δ_{11} ko'chish uchun) ω_1 yuzaning og'irlik markaziga to'g'ri keluvchi birlik kuch momentining ordinatasi, $M_1 = \frac{2\ell}{3} X_1 = \frac{2\ell}{3}$

M_{1q} - (Δ_{1q} ko'chish uchun) ω_q yuzaning og'irlik markaziga to'g'ri keluvchi birlik kuch momentining ordinatasi, $M_{1q} = \frac{3\ell}{4} X_1 = \frac{3\ell}{4}$.

$$\delta_{11} = \frac{1}{EI} \left(\frac{1}{2} \cdot 2 \cdot 2 \right) \left(\frac{2}{3} \cdot 2 \right) = \frac{8}{3EI} \quad \Delta_{1q} = -\frac{1}{EI} \left(\frac{1}{3} \cdot 20 \cdot 2 \right) \left(\frac{3}{4} \cdot 2 \right) = -\frac{20}{3EI}$$

Kanonik tenglamadan $x_1 \cdot \frac{8}{3EI} - \frac{20}{EI} = 0$ yoki $x_1 = \frac{60}{8} = 7,5 \text{ kN}$

Demak, $x_1 = B = 7,5 \text{ kN}$.

$B = 7,5 \text{ kN}$ kuch yordamida berilgan balka uchun eguvchi moment M_e , ko'ndalang kuch Q va bo'ylama kuch N epyurlarini quramiz

I - I qirqim (BC oraliq)

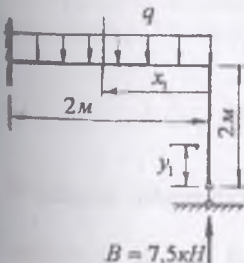
$$(7.82 - \text{rasm}) \quad 0 \leq y_1 \leq 2m$$

$$M_{y_1} = 0; \quad Q_1 = 0; N_1 = -B = -7,5 \text{ kN}$$

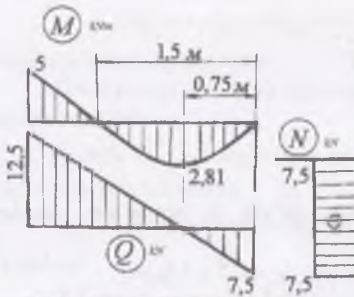
II - II qirqim (CA oraliq).

$$0 \leq x_1 \leq 2m$$

$$M_{x_2} = Bx_1 - q \frac{x_1^2}{2}$$



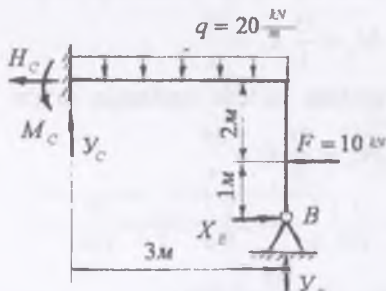
7.82 - rasm. Statik
aniq rama



7.83-rasm. Eguvchi moment, ko'ndalang va bo'ylama kuch epyuralari.

$$\text{yoki } x_1 = \frac{B}{q} = 0,75m \quad M_2 = 7,5 \cdot 0,75 - 10 \frac{(0,75)^2}{2} = 2,8125 \text{ kNm};$$

$M_{\infty} = 0$ nuqtani topamiz: $M_{\infty} = 7,5x_1 - 10 \frac{x_1^2}{2} = 0; \quad x_1 = 1,5m$



7.84-rasm Statik noaniq rama

$$\sum M_C = 0 \quad M_C - q \frac{3^2}{2} - 2F + Y_B \cdot 3 + X_B \cdot 3 = 0$$

$$\sum Y = 0 \quad Y_C - 3q + Y_B = 0$$

$$\sum X = 0 \quad -H_C - F + X_B = 0$$

Noma'lum reaktsiya kuchlarining soni muvozanat tenglamalari sonidan 2 taga ko'p. Masala ikki marotaba statik noaniq.

Masalani statik noaniqligini ochish uchun kuch usuliga asoslangan kanonik tenglamalardan foydalanamiz. Buning uchun berilgan statik noaniq ramaga ekvivalent bo'lgan asosiy sistemani tanlaymiz. Asosiy sistemani tanlash uchun ramadagi ortiqcha bog'lanishlarni yo'qotishimiz kerak. Bunda ortiqcha bog'lanish reaktsiyasi yo'nalişidagi ko'chish nolga teng bo'lishi shart.

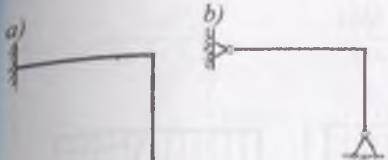
$$Q_2 = -B + qx_2; \quad \text{ba} \quad N_2 = 0$$

SA - oraliqda eguvchi moment M_{∞} , egrini chiziqli Q_2 to'g'ri chiziqli qonuniyat bilan o'zgaradi Q_2 kuch C nuqtada manfiy ishorali, A nuqtada musbat ishorali qiymatga ega. Ko'ndalang kuch abtsissa o'qini kesib o'tish nuqtasida, ya'ni $Q_2 = 0$ nuqtada M_{∞} ekstremal qiymatga erishadi:

$$Q_2 = -B + qx_1 = 0$$

misol-6. Berilgan statik noaniq rama uchun M , Q va N epyuralari qurilsin (7.84-rasm).

A tayanch (zadelka) uchta tayanch reaktsiyasiga ega. B tayanchda ikkita reaktsiya kuchi bor. Demak, ramada beshta reaktsiya kuchi mavjud. Ushbu reaktsiyalarni topish uchun tekislikdagi kuchlar sistemasining uchta muvozanat tenglamalarini tuzish mumkin.



7.85-rasm. Asosiy sistemalar:

- a) qo'zg'almas sharnirlar va
- b) bikr qo'zg'almas tayanchlarda ortiqcha bog'lanishlar yo'qotilgan sxemalar

7.85-rasmida ikii marotaba statik noaniq rama uchun asosiy sistemaning ikkita varianti ko'rsatilgan. Har ikkita variantda ham ikitadan ortiqcha hisoblangan bog'lanishlar yo'qotilgan.

Ikkita variantdan ish hajmi kam bo'lgan birinchi variantni tanlaymiz (7.85-rasm). Bunda X_1 va X_2 birlik kuchlari va tashqi kuchlar ta'siridan B nuqtaning gorizontal va vertikal ko'chishlari nolga teng bo'lishi kerak.

Asosiy sistema uchun kanonik tenglama tuzamiz:

$$x_1 \delta_{11} + x_2 \delta_{12} + \Delta_{1F} + \Delta_{1q} = 0$$

$$x_1 \delta_{21} + x_2 \delta_{22} + \Delta_{2F} + \Delta_{2q} = 0$$

Koeffitsientlarni Mor integralidan

$$\text{topamiz: } \delta_{ik} = \sum \int \frac{\overline{M}_1 \cdot \overline{M}_k}{EI} dx$$

va

$$\delta_{ik} = \sum \int \frac{\overline{M}_1 \cdot \overline{M}_k}{EI} dx$$

Mor integralini Vereshagin qoidasidan foydalanib echanamiz.

M_1 - birlik kuch X_1 ta'siridan eguvchi moment;

M_2 - birlik kuch X_2 ta'siridan eguvchi moment;

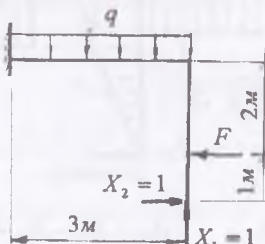
Kanonik tenglamadagi koeffitsientlarni topish uchun epyuralarini ko'paytirish (7.87-rasm) usulidan foydalanamiz:

$$\delta_{11} = \frac{1}{EI} \cdot \frac{1}{2} \cdot 3 \cdot 3 \cdot \frac{2}{3} \cdot 3 = \frac{9}{EI}; \quad \delta_{22} = \frac{1}{EI} \left(\frac{1}{2} \cdot 3 \cdot 3 \cdot \frac{2}{3} + 3 \cdot 3 \cdot 3 \right) = \frac{36}{EI}$$

$$\delta_{12} = \delta_{21} = \frac{1}{EI} \left(\frac{1}{2} \cdot 3 \cdot 3 \cdot 3 \right) = \frac{27}{2EI} \quad \Delta_{2q} = \frac{\omega_q \cdot \overline{M}_2}{EI} = -\frac{\frac{1}{3} \cdot 90 \cdot 3 \cdot 3}{EI} = -\frac{270}{EI}$$

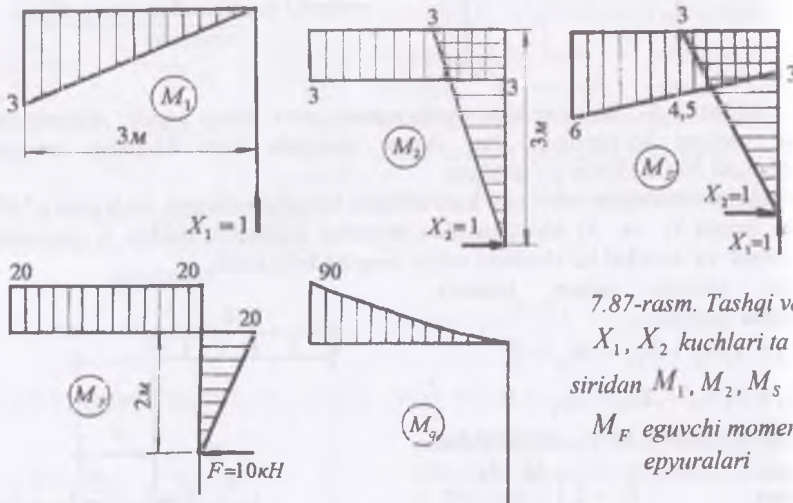
$$\delta_s = \frac{1}{EI} \left[\frac{1}{2} \cdot 3 \cdot 3 \cdot \frac{2}{3} \cdot 3 + 3 \cdot 3 \cdot 4,5 + \frac{1}{2} \cdot 3 \cdot 3 \left(3 + \frac{2}{3} \cdot 3 \right) \right] = \frac{72}{EI}$$

$$\Delta_{1F} = \frac{\omega_F \cdot \overline{M}_1}{EI} = -\frac{20 \cdot 3 \cdot \frac{3}{2}}{EI} = -\frac{90}{EI}; \quad \Delta_{1q} = \frac{\omega_q \cdot \overline{M}_1}{EI} = -\frac{\frac{1}{3} \cdot 90 \cdot 3 \cdot \frac{3}{4} \cdot 3}{EI} = -\frac{810}{4EI}$$



7.86-rasm. Asosiy sistema

$$\Delta_{2F} = \frac{\omega_F \cdot M_2}{EI} = -\frac{1}{EI} \left(\frac{1}{2} \cdot 20 \cdot 2 \cdot \frac{7}{3} + 20 \cdot 3 \cdot 3 \right) = -\frac{680}{3EI}$$



7.87-rasm. Tashqi va X_1, X_2 kuchlari tasiridan M_1, M_2, M_S va M_F eguvchi moment epyuralari

tekshirish:

$$\delta_{11} + \delta_{12} - \delta_{21} + \delta_{22} = \delta_S$$

$$\frac{9}{EI} + \frac{27}{2EI} + \frac{27}{2EI} + \frac{36}{EI} = \frac{72}{EI}; \quad \frac{72}{EI} = \frac{72}{EI}$$

$$\Delta_{1q} + \Delta_{1F} + \Delta_{2F} + \Delta_{2q} = -\frac{202,5}{EI} - \frac{90}{EI} - \frac{680}{3EI} - \frac{270}{EI} = -\frac{789,1}{EI}$$

$$\sum \frac{M_s(M_s + M_F)}{EI} = -\frac{1}{EI} \left(-\frac{1}{2} \cdot 20 \cdot 2 \cdot \frac{7}{3} - 20 \cdot 3 \cdot 4,5 - \frac{1}{3} \cdot 90 \cdot 3 \cdot \frac{21}{4} \right) = -\frac{789,17}{EI}$$

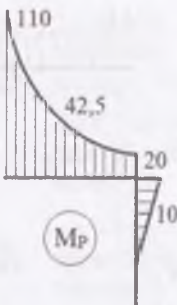
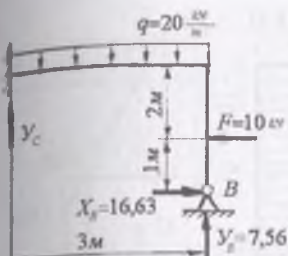
$\delta_{11}, \delta_{12}, \delta_{21}, \delta_{22}, \Delta_{1F}, \Delta_{2F}, \Delta_{1q}, \Delta_{2q}$ koefitsientlarning topilgan qiymatlarida kanonik tenglamani echib noma'lum reaktsiya kuchlarini topamiz $x_1 = 7,56kN$ va $x_2 = 16,63kN$.

Superpozitsii usulidan foydalanib yig'indi eguvchi moment M_C epyurasini quramiz.

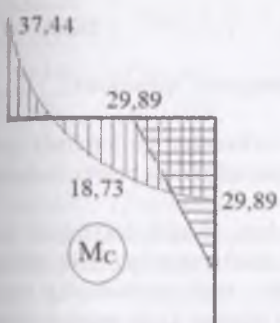
Unda $M_C = M_p + X_1 \overline{M_1} + X_2 \overline{M_2}$ buerda X_1 va X_2 - kuch usulida hisoblangan noma'lumlar.

$\overline{M_1}, \overline{M_2}$ - birlik kuchlar tasiridan qurilgan moment epyuralari

Asosiy sistema uchun tashqi kuch tasiridan eguvchi moment epyurasini quramiz (7.88-rasm.). Superpozitsiya usuli bilan hisoblangan eguvchi moment epyurasini quramiz (7.89-rasm).



7.88-rasm. Tashqi kuch bilan yuklangan asosiy sistema va eguvchi moment epyurasi



Eguvchi moment ta'siridan hosil bo'lgan eng katta normal kuchlanish bo'yicha mustahkamlilik shartidan qo'shtavrli kesimni tanlaymiz:

$$\sigma_{\max} = \frac{M_{\max}}{W} = [\sigma]$$

$$W \geq \frac{M_{\max}}{[\sigma]} = \frac{37.43 \cdot 10^4}{1600} \approx 240 \text{ sm}^3$$

7.89-rasm. Eguvchi moment epyurasi

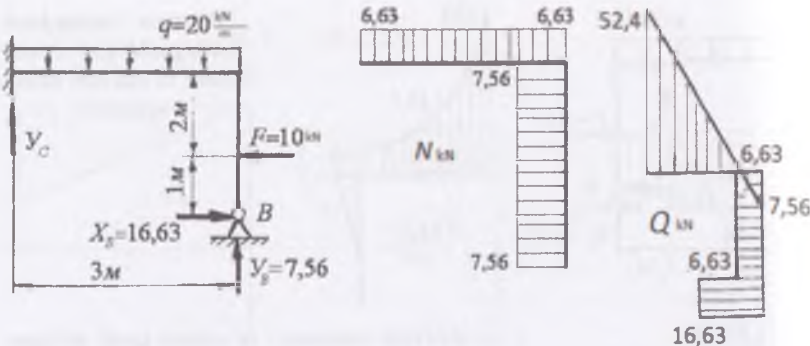
Sortamet jadvalidan $I_x = 2790 \text{ sm}^4$ inertsiya momentli №22 qo'shtavrni tanlaymiz. Masalani to'g'ri echilganligini aniqlash uchun V nuqtaning vertikal ko'chishini nolga tengligini tekshiramiz

$$\Delta_B = \frac{1}{EI} \left(-\frac{1}{3} \cdot 37.4445 \cdot 0.93 \left(\frac{3}{4} \cdot 0.93 + 2.07 \right) + \frac{2}{3} \cdot 29.89 \cdot 2.07 \cdot \frac{3}{8} \cdot 2.07 \right) = \\ = \frac{0.106728}{EI} = \frac{0.106728 \cdot 10^8}{2 \cdot 10^4 \cdot 2790} \approx 0.0019 \text{ sm}$$

Hisoblangan Δ_B cheksiz kichik miqdor. Uni xatolik bilan kelib chiqganligini Δ_B ni hisoblash jarayonidagi yaxlitlash bilan bog'liq deb qabul qilamiz. Shuning uchun Δ_B ko'chish nolga teng deb hisoblaymiz.

Ichki bo'ylama kuch va ko'ndalang kuch epyuralarini quramiz. Buning uchun asosiy sistemaga F, q va hisoblangan X_1 va X_2 kuchlarni keltirib qo'yamiz.

Bo'ylama kuchni aniqlash uchun kesim markazidan bir tomonda qolgan kuchlarni ramaning bo'ylama o'qiga proektsiyalari-ning algebraik yig'indisini topamiz (7.90-rasm).



7.90-rasm. Rama uchun bo'ylama kuch va ko'ndalang kuch epyuralari.

Ko'ndalang kuchni aniqlash uchun kesim markazidan bir tomonda qolgan kuchlarni ramaning bo'ylama o'qiga perpendikulyar tekislikga proektsiyalarining algebraik yig'indisini topamiz.

Ko'ndalang kuch ishorasini aniqlash uchun kesish tekisligini shartli ravishda qo'zg'almas deb qabul qilamiz. Agar kuch ramaning olib qolning qismini shartli qo'zg'almas tekislikka nisbatan soat strelkasining harakat yo'nali shiga mos yo'nali shiga siljitimishga intilsa ko'ndalang kuch musbat ishorali, aks holda kuch ramaning olib qolning qismini shartli qo'zg'almas tekislikka nisbatan soat strelkasining harakat yo'nali shiga teskari yo'nali shiga siljitimishga intilsa ko'ndalang kuch manfiy ishorali qabul qilinadi.

I – I uchastka. Vertikal stoyka $0 \leq x_1 \leq 1\text{ m}$

$$\text{Ko'ndalang kuch} \quad Q_1 = -x_B = -16,63 \text{ kN}$$

$$\text{Bo'ylama kuch} \quad N_1 = -y_B = -7,56 \text{ kN}$$

II – II uchastka. Vertikal stoyka $0 \leq x_2 \leq 2\text{ m}$

$$\text{Ko'ndalang kuch} \quad Q_2 = -x_B + F = -6,63 \text{ kN}$$

$$\text{Bo'ylama kuch} \quad N_2 = -y_B = -7,56 \text{ kN}$$

III – III uchastka. Rigel $0 \leq x_3 \leq 3\text{ m}$;

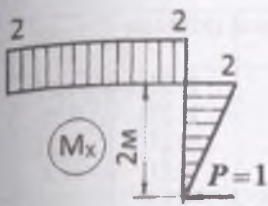
$$\text{Ko'ndalang kuch} \quad Q_3 = -y_B + qx_3;$$

$$\text{Bo'ylama kuch} \quad N_3 = x_B - F = 6,63 \text{ kN}$$

N epyurasida asosan vertikal stoyka siqiladi, gorizonttal qism cho'ziladi.

AC oraliqda ko'ndalang kuch to'g'ri chiziqli qonuniyat bilan o'zgaradi,

ya'ni $Q_3 = -y_B + qx_3 = 0$ va $x_3 = \frac{y_B}{q}$ masofada abstsissani kesib o'tadi. Shu nuqtada eguvchi moment maksimumga erishadi



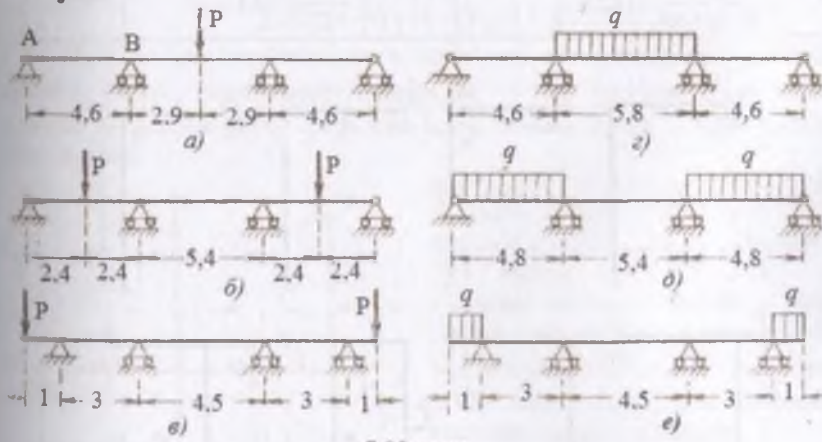
7.91-rasm. Rama uchun eguvchi moment epyurasasi.

$$\Delta_x = \frac{1}{EI} \left[-\frac{1}{2} \cdot 29.89 \cdot 2 \cdot \frac{2}{3} \cdot 2 - \frac{2}{3} \cdot 29.89 \cdot 2.07 \cdot 2 + \frac{1}{3} \cdot 37.44 \cdot 0.93 \cdot 2 \right] = \\ = \frac{99.134}{EI} = \frac{99.134 \cdot 10^6}{2 \cdot 10^6 \cdot 2790} = 1.77 \text{ sm}$$

Mustaqil ish uchun misollar

misol-7. Qirqilmagan qo'shtavr balkalar 7.92-rasmida ko'rsatilgandek simmetrik yuk bilan yuklangan. $R=60 \text{ kN}$, $q=40 \text{ kN/m}$. Istalgan usulda statik aniqlaslikni oching, tayanch reaktsiyalarni xisoblang, Q va M epyuralarni kuring, $[\sigma] = 160 \text{ MPa}$ bo'lqanda qo'shtavr nomerini tanlang va balkaning o'rta kesimidagi salkilikni xisoblang.

javob:



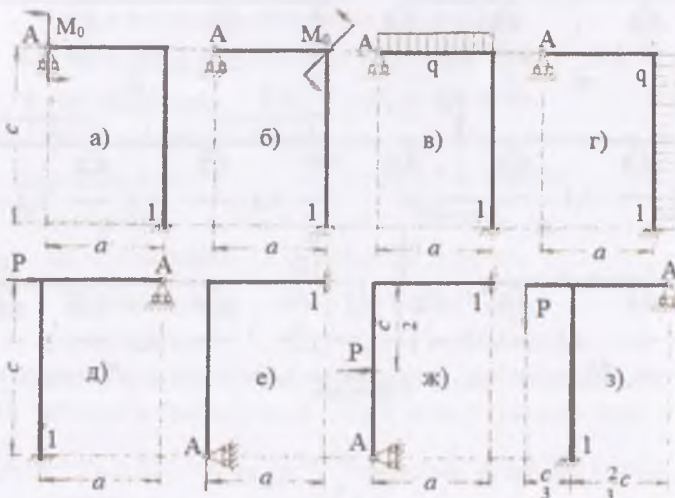
7.93-rasm.

Sxema	a, kN	V, kN	M_{\min}, kNm	M_{\max}, kNm	Qo'shtavr	y, sm
a	6,2	36,2	-28,5	58,5	N 27	-1,23
b	25,8	34,2	-20,1	61,9	N 27	0,72
v	83,1	-23,1	-60	9,2	N 27	-0,23
g	16,0	13,20	-73,4	94,8	N 33	-1,4
d	87,1	104,9	-42,9	94,9	N 33	0,79
e	47,7	-7,7	-20	3,1	N 18	-0,30

misol-8. 7.94-rasmida ko'rsatilgan ramalarning statik aniqligini ko'rsating va $R = 40 \text{ kN}$, $M = 40 \text{ kNm}$, $q = 20 \text{ kN/m}$, $a = 2 \text{ m}$, $s=3 \text{ m}$ hol uchun normal kuch, ko'ndalang kuch va eguvchi moment epyuralarini kuring. Ramaning bikrligi o'zgarmas bo'lib, ikkala uchastkada bir xil.

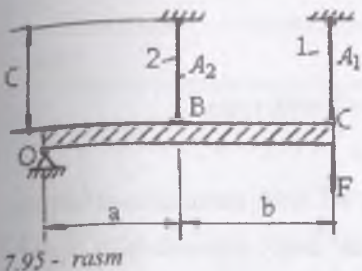
javob:

Sxema	A, kN	M_1, kNm	Sxema	A, kN	M_1, kNm
a	$\frac{3M_0(a+2c)}{2a(a+3c)} = 21,82$	3,64	d	$\frac{3Pc^2}{2a \cdot (a+3c)} = 24,5$	-71
b	$\frac{3M_0c}{a \cdot (a+3c)} = 16,36$	-7,28	e	$\frac{3Pa^2}{2c \cdot (3a+c)} = 8,9$	-53,3
v	$\frac{3qa \cdot (a+4c)}{8(a+3c)} = 19,09$	-1,82	j	$\frac{P((24a+5c)}{16 \cdot (3a+c)} = 17,5$	-7,5
g	$\frac{qc^3}{2a \cdot (a+3c)} = 12,27$	-65,46	z	$-\frac{9P}{22} = -16,4$	-7,2

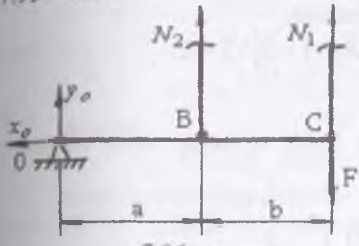


7.94-rasm.

Mor integrali tadbiqu etiladigan misollar



7.95 - rasm



7.96 - rasm

Cho'zilish va siqilish: Berilgan OC bikr brus O nuqtada qo'zg'almas sharnirli tayanchga tiraladi va 1 va 2 sterjenlarga osilgan. Sterjenlardagi kuchlanishlar va ularga qo'yilgan kuchning ruxsat etilgan qiymati topilsin. Sterjenlarning materiali po'lat

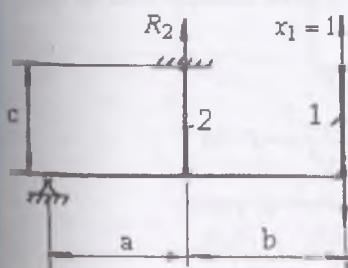
Yechish. Konstruktsiyani barcha o'lchamlari, reaktsiya va ichki kuchlari ko'rsatilgan hisoblash hisemasini chizamiz (7.96 - rasm).

Masalani shartiga ko'ra N_1 va N_2 ichki kuchlari yordamida F kuchni Ruxsat etilgan qiymati topilishi kerak.

N_1 va N_2 kuchlarni aniqlashda sharnirdagi x_O va y_O reaktsiya kuchlarini topish shart emas. Muvozanat tenglamasini tuzamiz:

$$\sum M_O = -N_2 \cdot 1 - N_1 \cdot 2 + F \cdot 2 = 0$$

Hosil bo'lgan tenglamada noma'lumlar soni, muvozanat tenglama sonidan ortiqcha. Demak, masala statik noaniq N_1 va N_2 kuchlarni topish uchun, masalani aniqmaslik darajasini ochish kerak. Buning uchun – kuch usulidan foydalananamiz.



7.97 - rasm

Kanonik tenglamalarning soni, sistemadagi yo'qotilgan ortiqcha bog'lanishlar soniga teng bo'ladi.

Kuch usuli – sistemani aniqmaslik darajasini ochishni umumiy usuli bo'lib, quyidagi tartibda amalga oshiriladi (7.97 - rasm).

1) asosly sistemani tanlash – statik noaniq sistemadagi bitta ortiqcha bog'lanishni ta'sirini $x_1 = 1$ birlik kuch ta'siri bilan almashtirish. Sistemani kanonik tenglamasini tuzamiz.

soni, sistemadagi yo'qotilgan ortiqcha $\delta_{11}X_1 + \Delta_{1F} = 0$

Kanonik tenglamadagi δ_{11} va Δ_{1F} ko'chishlarni Mor integrali yordamida topamiz:

$$\delta = \sum \int_0^{\ell} \frac{N \cdot N dx}{AE}.$$

$\delta_{11} = \int \frac{\bar{N} \cdot \bar{N} dx}{2AE}$ – birinchi sterjenni $x_1 = 1$ birlik kuchi ta'siridan shu kuch yo'nalihidagi ko'chishi.

\bar{N} – birinchi va ikkinchi sterjenlardagi $x_1 = 1$ birlik kuchidan hosil bo'lgan ichki bo'ylama kuch. \bar{N} – kuchni aniqlash uchun, asosiy sistemani faqat $x_1 = 1$ birlik kuchi ta'siridan muvozanat tenglamasini tuzamiz.

$$\sum M_o = -R_2 \cdot 1 - x_1 \cdot 2 = 0,$$

$$\text{bu erdan } R_2 = -2x_1 = -2$$

R_2 – ikkinchi sterjendagi $x_1 = 1$ birlik kuch ta'siridan hosil bo'lgan bo'ylama kuch.

Unda

$$\delta_{11} = \frac{\bar{R}_2 \cdot \bar{R}_2 \cdot \ell_2}{A_2 E} + \frac{x_1 \cdot x_1 \cdot \ell_1}{A_1 E} = \frac{(-2)(-2) \cdot 1}{4E} + \frac{1}{2AE} = 1,125 \cdot 10^{-4} \text{ m}$$

$\Delta_{1F} = \int \frac{N \cdot N dx}{AE}$ – birinchi sterjenni tashqi F kuch ta'siridan $x_1 = 1$ birlik kuch yo'nalihidagi ko'chishi.

bu erda N – birinchi va ikkinchi sterdenlardagi F kuch ta'siridan hosil bo'lgan bo'ylama kuch. N – kuchni topish uchun sistemani faqat F kuch ta'siridan muvozanat tenglamasini tuzamiz.

N – birinchi va ikkinchi sterjenlardagi $x_1 = 1$ birlik kuchidan hosil bo'lgan bo'ylama kuchi ($\bar{N} = -2$).

$$\sum M_o = -R_2 \cdot 1 + 2F = 0 \quad \text{va} \quad R_2 = 2F$$

$$\text{Unda} \quad \Delta_{1F} = \frac{R_2 \cdot \bar{N} \cdot \ell_2}{A_2 E} = \frac{2F(-2) \cdot 1}{2 \cdot 10^{-4} \cdot 2 \cdot 10^8} = -F \cdot 10^{-4}$$

δ_{11} va Δ_{1F} – ko'chishlarni kanonik tenglamaga keltirib qo'yamiz.

$$1,125 \cdot 10^{-4} \cdot x_1 - F \cdot 10^{-4} = 0 \quad \text{va} \quad x_1 = \frac{F}{1,125}, \text{ kN}$$

$$\text{Shunday qilib, } N_1 = x_1 = \frac{F}{1,125}, \text{ kN} \quad \text{kuchni muvozanat sistemani}$$

tenglamasiga keltirib qo'yib N_2 – kuchni topamiz.

$$-N_2 \cdot 1 - 2 \frac{F}{1,125} + 2F = 0 \quad \text{va} \quad N_2 = \frac{0,25F}{1,125}.$$

Sterjenlarni mustahkamlik shartidan foydalanib ruxsat etilgan kuchni topamiz:

Birinchi sterjenni mustahkamlik sharti

$$\sigma^I = \frac{N_1}{2A} = \frac{F}{2,25A} = \frac{F}{4,5 \cdot 10^{-4}} \leq [\sigma]$$

$$\text{bu erdan } F_{p1x} = 4,5 \cdot 10^{-4} \cdot 160 \cdot 10^3 = 72 \text{ kN}$$

Ikkinchi sterjenni mustahkamlik sharti

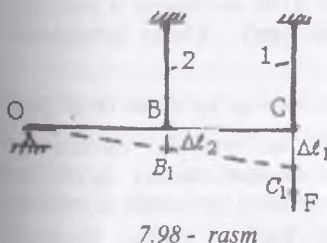
$$\sigma^{II} = \frac{N_2}{A} = \frac{0,25 \cdot F}{2,25 \cdot 10^{-4}} \leq [\sigma]$$

$$F_{p2x} = \frac{2,25 \cdot 10^{-4} \cdot 160 \cdot 10^3}{0,25} = 144 \text{ kN}$$

bu erdan:

$$F_{p2x} = 72 \text{ kN} \text{ kuchni qabul qilamiz.}$$

Statik noaniqlikni ochishni – sistemani deformatsiya tenglamasini tuzish usuli. Qo'shimcha – deformatsiya tenglamani tuzish uchun sistemani deformatsiyasini o'rGANAMIZ. F kuch ta'sirida birinchi va ikkinchi sterjenlarda N_1 va N_2 bo'ylama kuchlar hosil bo'ladi. N_1 va N_2 kuchlar ta'sirida birinchi sterjen $\Delta\ell_1$ va ikkinchi sterjen $\Delta\ell_2$ miqdorga uzayadi. Natijada OBC brus O nuqta atrofida aylanadi. B nuqta B_1 holatga va C nuqta C_1 holatga ko'chadi (7.98 - rasm).



Sxemada $\triangle OBB_1 \sim \triangle OCC_1$ hosil bo'ladi.

$$\text{Unda } \frac{BB_1}{OB} = \frac{CC_1}{OC}$$

$$\text{Bu erda: } BB_1 = \Delta\ell_2 = \frac{N_2 \ell_2}{E_2 A_2};$$

$$OB = 1 \text{ m}; \quad CC_1 = \Delta\ell_1 = \frac{N_1 \ell_1}{E_1 A_1}$$

$$\text{va } OC = 2 \text{ m}$$

$$\frac{N_2 \ell_2}{E_2 A_2} = \frac{N_1 \ell_1}{2 \cdot E_1 A_1} \quad \text{va} \quad \frac{N_2 \cdot 1}{EA} = \frac{N_1 \cdot 1}{2E2A}, \quad \text{bu erdan}$$

Sistemani deformatsiyasini o'rGANISH natijasida $N_2 = N_1 \frac{1}{4}$ – tenglamani hosil qildik. Bu tenglikni sistemani muvozanat tenglamasi bilan birlgilikda ehib N_1 va N_2 kuchlarni topamiz:

$$-N_2 - 2N_1 + 2F = 0 \text{ va } -\frac{N_1}{4} - 2N_1 + 2F = 0. \quad \text{Unda } N_1 = \frac{8F}{9}$$

Sterjenlardagi bo'yilama kuchlar har xil bo'lsa ham, ulardagi kuchlanishlar bir xil va o'zaro teng $\sigma^I = \sigma = 0,2 \cdot 10^4 F$.

Sterjenlardagi qo'yilishi mumkin bo'lgan chekli yuk F_{ok}^{uek} ta'sirida eng avval ikkinchi sterjenda oquvchanlik chegarasi boshlanadi (plastik deformatsiya hosil bo'ladi). Unda ikkinchi sterjendagi bo'yilama kuch $N_2 = \sigma_{ok} \cdot A - ga$ teng bo'ladi.

Konstruktsiyani to'liq yuk ko'tarish qobiliyati yo'qolishi uchun birinchi sterjenda ham oquvchanlik chegarasi boshlarishi yoki plastik deformatsiya hosil bo'lishi kerak. Unda birinchi sterjendagi buylama kuch $N_1 = \sigma_{ok} \cdot A - ga$ teng bo'ladi. Chekli yuk F_{ok}^{uek} - ni topish uchun $\sum M_0 = 0$ muvozanat tenglamasidan foydalananamiz:

$$\sum M_0 = -N_1 \cdot 1 - N_2 \cdot 2 + 2F_{ok} = 0$$

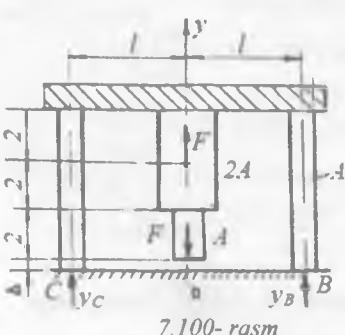
$$\text{Bu yerdan } F_{ok}^{uek} = \frac{5\sigma_{ok} \cdot A}{2} = \frac{5 \cdot 240 \cdot 10^3 \cdot 2 \cdot 10^{-4}}{2} = 120 \text{ kN}$$

Ruxsat etilgan kuchni ehtiyyotlik koefitsienti $K = 1,5$ - dan foydalanimiz.

$$F_{p_{yx}} = \frac{F_{ok}}{K} = \frac{120}{1,5} \approx 80,0 \text{ kN}$$

Demak, sistemani mustahkamlit sharti va chekli kuchlanishi bo'yicha ruxsat etilgan kuchlari bir xil ekan.

2 – misol. Qo'zg'almas tayanchga tiraluvchi ikkita sterjenlarga o'matilgan brusni o'rtasiga pog'onali sterjen osilgan (7.100-rasm). Chetki sterjenlarni ko'ndalang kesim yuzasi $A = 20 \cdot 10^{-4} m^2$:



pog'onali brus qo'zg'almas tayanchga
 $\Delta = 3 \cdot 10^{-5} m$ masofa etishmaydi.
 Pog'onali sterjenni xususiy og'irligini hisobga olmasdan, F kuchni qiyamatida Δ - zazor yopilishi topilsin. Berilgan F - kuch ta'siridan pog'onali sterjenni pastki assosida va o'rta pog'onali sterjen uchun buylama kuch epyurasi qurilsin.

Berilgan F -kuch ta'siridan pog'onali sterjenni pastki asosida hosil bo'lgan reaktsiya nolga teng bo'lishi uchun, o'rtacha pog'onali sterjenni necha gradusga sovutilishi aniqlansin.

$$\text{Berilgan } E = 2 \cdot 10^8 \frac{\text{kN}}{\text{m}^2}, F = 19 \text{ kN}$$

Yechish: C va B nuqtalardagi reaktsiya kuchlarini topamiz:

$$\sum Y = Y_A - F + F + Y_B = 0$$

$$\sum M_c = F\ell - F\ell - Y_B 2\ell = 0$$

Ikkita tanglamadan $Y_A = Y_B = 0$ hosil bo'ladi. Chetki sterjenlar deformatsiyaga uchraymadi. Δ -zazor faqat pog'onali sterjenni deformatsiyasi natijasida yopiladi. Δ -zazor yopilish shartidan foydalanim F kuchni topamiz:

$$\Delta = \frac{-F \cdot 2}{E2A} + \frac{F \cdot 4}{E2A} + \frac{F \cdot 2}{EA} = \frac{F}{EA}$$

$$-\frac{F \cdot 2}{E2A}$$

Bu yerda: $E2A$ pog'onali sterjenni yuqoriga yo'nalган F kuch ta'siridan hosil bo'lgan deformatsiyasi;

$\frac{F \cdot 4}{E2A} + \frac{F \cdot 2}{E2A} -$ pog'onali sterjenni pastga yo'nalган F kuch ta'siridan hosil bo'lgan deformatsiyasi.

$$\text{Unda } F = \Delta EA = 3 \cdot 10^{-5} \cdot 2 \cdot 10^8 \cdot 20 \cdot 10^{-4} = 12 \text{ kN}$$

Agar, F kuchlar bir tomoniga masalan pastga yo'nalsa C va B nuqtalardagi reaktsiyalar $Y_c = Y_b = F$ bo'ladi. F kuchni qo'yidagi tenglamadan topamiz.

$$\Delta = \frac{F \cdot 2}{E2A} + \frac{F \cdot 4}{E2A} + \frac{F \cdot 2}{EA} = \frac{5F}{EA}.$$

Yuqoridagi hisoblash natijasiga ko'ra, berilgan F kuch, Δ -zazor yopilishi uchun kerak bo'lgan F kuchdan katta ekanligi aniqlandi. Demak, zazor yopiladi, natijada o'rta va chetki ster-jenlarni asosida Y_c , Y_0 va Y_b - reaktsiya kuchlari hosil bo'ladi. Reaktsiya kuchlarni sistemani muvozanat tenglamalaridan topamiz (7.100-rasm):

$$\sum M_c = F\ell - F\ell + Y_0\ell - Y_B 2\ell = 0$$

$$\text{Muvozanat tenglamalaridan } Y_c = Y_b = \frac{Y_0}{2} - ni \text{ hosil qilamiz.}$$

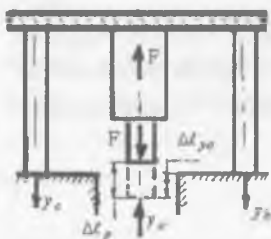
Demak, muvozanat shartlaridan reaktsiya kuchlarini topish mumkin emas. Masala statik noaniq.

I. Statik noaniqlikni ochishni - sistemani deformatsiya tenglamasini tuzish usuli.

Pog'onali sterjenni berilgan F kuch ta'siridagi deformatsiyasidan pog'onali sterjenlarni Y_0 - reaktsiya ta'siridagi deformatsiyasini ayirmsasini $\Delta - zazorga$ tenglashtiramiz (7.101-rasm), ya'ni $\Delta\ell_H - \Delta\ell_{y_0} = \Delta$

$$\text{buerda } \Delta\ell_H = -\frac{F \cdot 2}{EA} + \frac{F \cdot 4}{E2A} + \frac{F \cdot 2}{EA} = \frac{3F}{EA}$$

$$\text{va } \Delta\ell_{y_0} = \frac{Y_0 \cdot 2}{EA} + \frac{Y_0 \cdot 4}{E2A} + \frac{Y_0 \cdot 6}{EA} = \frac{7Y_0}{EA}$$



$$\text{Unda } \frac{3F}{EA} - \frac{7Y_0}{EA} = \Delta \text{ tenglamadan}$$

$$Y_0 = \frac{3F - \Delta EA}{7} = 6.43 \text{ kN}$$

$$Y_c = Y_b = \frac{Y_0}{2} = \frac{6.43}{2} = 3.215 \text{ kN}$$

7.101 - rasm

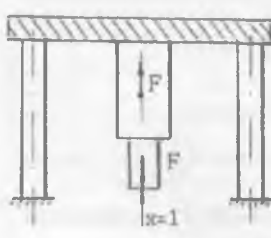
II. Statik noaniqlikni ochishning – kuch usuli

Asosiy sistemani hosil qilish uchun statik noaniq sistemasidan ortiqcha bog'lanishni yo'qotamiz (7.102-rasm,a). Berilgan sxemada O kesimni tayanchdan ozod etib, tayanch ta'sirini $X=1$ birlik kuch ta'siri bilan almashtiramiz. Asosiy sistema – uchun berilgan F kuch va birlilik kuchlar ta'siridan bo'ylama kuch epyuralarini quramiz (7.102 - rasm, b va 7.103 - rasm).

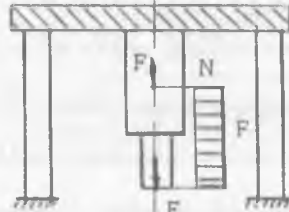
Agar, F kuchlar bir tomonga – pastga yo'nalsa, bo'ylama kuch epyurasi chetki sterjenlarda ham quriladi (7.102 - rasm, b), chunki pastga yo'nalган F kuchlar chetki sterjenlarni siqadi. Natijada chetki sterjenlarda ham ichki zuriqish kuchlari hosil bo'ladi. Kanonik tenglamani tuzamiz

$$\delta_{11}x_1 + \Delta_{1H} = -\Delta$$

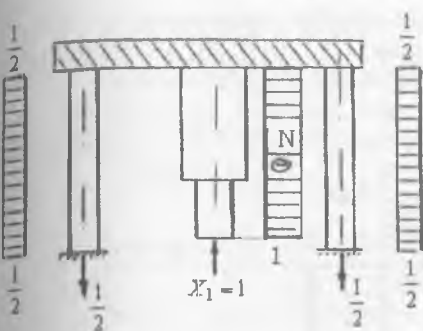
Kanonik tenglamani o'ng tomoniga – zazor $-\Delta$ – kiritildi, chunki pog'onali brusni pastki kesimidagi ko'chish nolga emas, balki zazor Δ – ga teng.



a)



b)



7.103 - rasm

Kanonik tenglamada Δ - zazorni oldingi tomoniga minus ishora qo'yildi.
 $X_1 = 1$ kuchni yo'nalishi pog'onali sterjenni pastki qismi ko'chishining
yo'nalishiga teskari.

δ_{II} va Δ_{IF} - ko'chishlarini topishda Vereshagin formulasidan foydalanamiz:

$$\delta = \sum \frac{\omega \cdot y}{AE}$$

buy erda: ω - bo'ylama kuch epyurasining yuzasi

y - bo'ylama kuch epyurasining yuzasi ω - ni og'irlik
markaziga to'g'ri keluvchi, birlik kuch epyurasining ordinatasasi;

AE - sterjenni o'rganilayotgan uchastkasining bikrliqi

δ_{II} - ko'chishni topish uchun birlik kuch epyurasini o'zini o'ziga
ko'paytiramiz (7.103 - rasm)

$$\delta_{II} = \frac{1 \cdot 2 \cdot 1}{AE} + \frac{1 \cdot 4 \cdot 1}{2AE} + \frac{\frac{1}{2} \cdot 6 \cdot \frac{1}{2}}{AE} + \frac{\frac{1}{2} \cdot 6 \cdot \frac{1}{2}}{AE} = \frac{7}{AE} \frac{7}{20 \cdot 10^4 \cdot 2 \cdot 10^8} = \frac{7}{40} \cdot 10^{-4} \text{ m}$$

Δ_{IF} - ko'chishni topish uchun tashq kuchdan qurilgan epyura yuzasi ω -
ni birlik kuch epyurasiga ko'paytiramiz

$$\Delta_{IF} = \frac{F \cdot 2(-1)}{AE} - \frac{F \cdot 2(-1)}{2AE} = -\frac{3F}{AE} = -\frac{3 \cdot 19}{20 \cdot 10^4 \cdot 2 \cdot 10^8} = -\frac{57}{40} \cdot 10^{-4} \text{ m}$$

Topilgan δ_{II} va Δ_{IF} - ko'chishlarni qiymatlarini kanonik tenglamaga
keltirib qo'yamiz: $\frac{7}{40} \cdot 10^{-4} \cdot x - \frac{57}{40} \cdot 10^{-4} = -3 \cdot 10^{-5}$

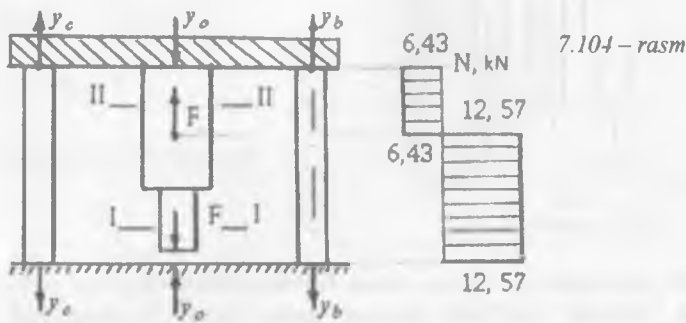
bu erdan $x = 6.43 \text{ kN}$ demak

$$y_c = y_B = \frac{y_a}{2} = \frac{6.43}{2} = 3.215 \text{ kN} \quad x = y_o = 6.43 \text{ kN}$$

va Pog'onali sterjendagi bo'ylama kuchni topamiz:

I - I uchastka $N_1 = F - y_o = 19 - 6.43 = 12.57 \text{ kN}$ (cho'zuvchi)

II - II uchastka $N_2 = F - F - y_o = -6.43 \text{ kN}$ (siquvchi)



Chetki sterjenlardagi kuchlanish.

$$\sigma = \frac{y_c}{A} = \frac{3.215}{20 \cdot 10^{-4}} = 0.16075 \cdot 10^4 \frac{\text{kN}}{\text{m}^2}$$

O'rta pog'onali sterjenni qancha darajaga sovutilganda pastki O kesimdag'i reaksiya kuchi $-y_o$ berilgan F kuchi ta'sirida nolga teng bo'ladi.

$$\Delta\ell_F - \Delta\ell_t = \Delta \quad \text{yoki} \quad \frac{3F}{EA} - \alpha \cdot \Delta t \cdot \ell = \Delta,$$

bu erda $\Delta\ell_F = \frac{3F}{EA}$ - pog'onali sterjenni F kuchlari ta'siridan deformatsiyasi;

$\Delta\ell_t = \alpha \cdot \Delta t \cdot \ell$ - pog'onali sterjenni temperatura ta'siridan deformatsiyasi;

α - sterjen materialini temperatura ta'siridan chiziqli kengayish koefitsienti;

Δt - temperaturalar farqi;

$\ell = 6 \text{ m}$ - pog'onali sterjenni uzunligi.

Pog'onali sterjen sovutilsa - qisqaradi. Shuning uchun $\Delta\ell_t$ - deformatsiya minus ishora bilan yozilgan

$$\frac{3 \cdot 19}{2 \cdot 10^4 \cdot 20 \cdot 10^{-4}} - 125 \cdot 10^{-7} \cdot \Delta t \cdot 6 = 3 \cdot 10^{-5}, \quad \text{va} \quad \Delta t = \frac{\left(\frac{570}{40} - 3 \right)}{7,5} \cdot \frac{10^{-5}}{10^{-5}} = 1,5^\circ$$

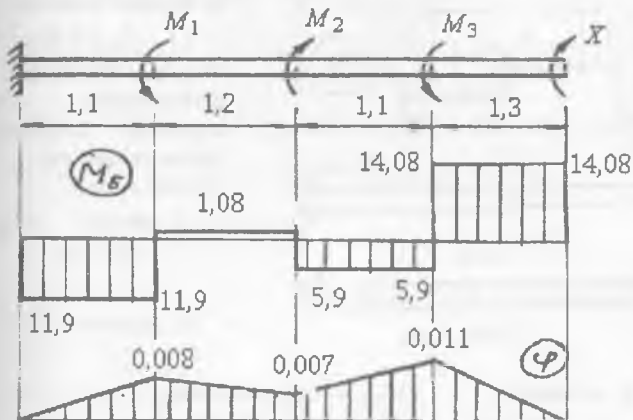
Buralish. Po'loldan tayyorlangan valga uchta moment $M_1 = 13 \text{ kNm}$ $M_2 = 7 \text{ kNm}$ $M_3 = 20 \text{ kNm}$ qo'yilgan (7.105 - rasm):

Masalani aniqmaslik darajasi ikki xil usul (deformatsiyani taqqoslash va kuch usullari) bilan ochilsin:

x -momentni qaysi qiymatida valni o'ng kesimining buralish burchagi nolga teng bo'ladi:

x -momentni topilgan qiymatida burovchi momentni epyurasi qurilsin;

Val materialini buralishsga mustahkamlit shartidan foydalananib, valni diametrini tanlang ($[\tau] = 50 \text{ MPa}$); buralish burchagi epyurasi qurilsin



7.105 – rasm

Deformatsiyani taqqoslash usuli

Yechish: Masalani shartiga asosan noma'lum x -momentni qiymati shunday tanlanishi kerak-ki, K kesimni O kesimga nisbatan buralish burchagi nolga teng bo'lsin. Buning uchun valga qo'yilgan barcha momentlar va x -moment ta'siridan K kesimni O kesimga nisbatan buralish burchaglarining yig'indisini nolga tenglashtiramiz:

$$\varphi_k = \varphi_{KM_1} + \varphi_{KM_2} + \varphi_{KM_3} + \varphi_{KX} = 0,$$

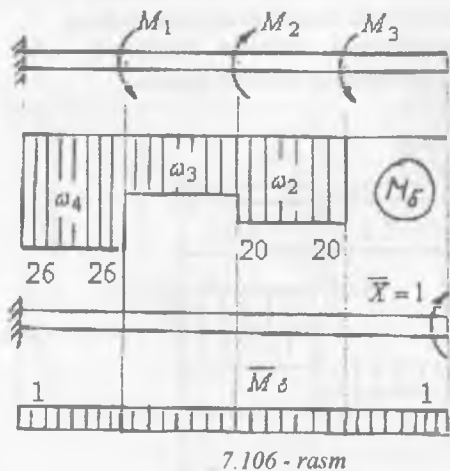
$$\text{bu erda } \varphi_{KM_1} = \frac{-M_1 \cdot 1,1}{GI_\rho}; \quad \varphi_{KM_2} = \frac{M_2 \cdot 2,3}{GI_\rho}$$

$$\varphi_{KM_3} = \frac{-M_3 \cdot 3,4}{GI_\rho}; \quad \varphi_{KX} = \frac{x \cdot 4,7}{GI_\rho} \quad \text{unda}$$

$$\frac{-M_1 \cdot 1,1}{GI_\rho} + \frac{M_2 \cdot 2,3}{GI_\rho} - \frac{M_3 \cdot 3,4}{GI_\rho} + \frac{x \cdot 4,7}{GI_\rho} = 0 \quad \text{bu erdan } x = 14.085 \text{ kNm}$$

Statik aniqmaslikni ochishni kuch usuli. Valdan ortiqcha bog'lanishni tashlab yuboramiz va asosiy sistemani hosil qilamiz. Valni ortiqcha bog'lanishi

deb. K - kesimni buralishiga haqiqiy berayotgan x -momentni qabul qilamiz (7.106 - rasm).



7.106 - rasm

$$\text{II - II uchastka} \quad M_{2\delta} = -M_3 = -20 \text{ kNm}$$

$$\text{III - III uchastka} \quad M_{3\delta} = -M_3 + M_2 = -20 + 7 = -13 \text{ kNm}$$

$$\text{IV - IV uchastka} \quad M_{4\delta} = -M_3 + M_2 - M_1 = -26 \text{ kNm}$$

Valni uzunligi bo'ylab $x=1$ birlik kuch ta'siridan hosil bo'lgan $\bar{M}_\delta = 1$ birlik moment epyurasini quramiz (7.106 - rasm).

Kanonik tenglamadagi koefitsientlarni har bir oraliq uchun Vereshagin formulasidan topamiz.

$$\text{I - I uchastka} \quad \varphi_I = \int_0^{1,3} \frac{M_{1\delta} \cdot \bar{M}_\delta}{GI_p} dx = 0$$

$$\text{II - II uchastka} \quad \varphi_{II} = \int_0^{1,1} \frac{M_{2\delta} \cdot \bar{M}_\delta}{GI_p} = \frac{\omega_2 \cdot \bar{M}_\delta}{GI_p}$$

bu erda $\omega_2 = 20 \cdot 1,1 = 22 \text{ kNm}^2$ valni ikkinchi uchastkasidagi kuch yuzasi (7.106 - rasm).

M_δ -ikkinchi uchastka kuch yuzasining og'irlik markazi ostida joylashgan birlik moment epyurasining ordinatasi, $\bar{M}_\delta = 1$.

$$\text{Unda } \varphi_{II} = \frac{22 \cdot 1}{GI_p} = -\frac{22}{GI_p}$$

$$\text{III - III uchastka } \varphi_{III} = \frac{\omega_3 \cdot \bar{M}_\delta}{GI_p} = \frac{-13 \cdot 1,2 \cdot 1}{GI_p} = -\frac{15,6}{GI_p}$$

Masalani shartiga asosan K - kesimni buralish burchagi nolga teng bo'lishi kerak. Ana shu shartni kanonik tenglama ko'rinishida yozamiz.

$$\delta_{II}x + \Delta_{IM} = 0.$$

Asosiy sistemada tashqi momentlardan burovchi momentni aniqlaymiz va epyurasini quramiz (7.106 - rasm).

$$\text{I - I uchastka} \quad M_{I\delta} = 0$$

$$\text{IV - IV uchastka} \quad \varphi_{IV} = \frac{\omega_4 \cdot \bar{M}_\delta}{GI_p} = \frac{-26 \cdot 1,1 \cdot 1}{GI_p} = -\frac{28,6}{GI_p}$$

$$\text{Unda } \Delta_{IM} = \varphi_I + \varphi_{II} + \varphi_{III} + \varphi_{IV} = \frac{-22}{GI_p} - \frac{15,6}{GI_p} - \frac{28,6}{GI_p} = -\frac{66,2}{GI_p}$$

δ_{II} - ko'chishni topish uchun Vereshagin usulidan foydalananamiz

$$\text{I - I uchastka } \varphi^1 = \int_0^{1,3} \frac{\bar{M} \cdot \bar{M}}{GI_p} dx = \frac{\omega \cdot \bar{M}}{GI_p}$$

bu erda ω - birlik moment epyurasini birinchi uchastkadagi yuzasi;

$$\omega = 1 \cdot 1,3 = 1,3; \quad \text{va} \quad \bar{M} = 1. \quad \text{Unda } \varphi^1 = \frac{1,3}{GI_p}$$

$$\text{II - II uchastka} \quad \varphi^{II} = \frac{1,1}{GI_p}$$

$$\text{III - III uchastka} \quad \varphi^{III} = \frac{1,2}{GI_p}$$

$$\text{IV - IV uchastka} \quad \varphi^{IV} = \frac{1,1}{GI_p}$$

$$\text{Unda } \delta_{II} = \varphi^I + \varphi^{II} + \varphi^{III} + \varphi^{IV} = \frac{1,3}{GI_p} + \frac{1,1}{GJ_p} + \frac{1,2}{GJ_p} + \frac{1,1}{GJ_p} = \frac{4,7}{GJ_p}$$

Topilgan koefitsientlarni kanonik tenglamaga keltirib qo'yamiz:

$$\frac{4,7}{GI_p} \cdot x - \frac{66,2}{GI_p} = 0, \quad \text{bu erdan} \quad x = -\frac{\Delta_{IM}}{\delta_{II}} = \frac{66,2}{4,7} = 14.085 \text{ kNm}$$

Endi berilgan sistema uchun (7.106 - rasm) burovchi moment epyurasini quramiz

$$\text{I - I uchastka} \quad M_\delta = x = 14.085 \text{ kNm}$$

$$\text{II - II uchastka} \quad M_\delta = x - M_3 = 14.085 - 20 = -5,915 \text{ kNm}$$

$$\text{III - III uchastka} \quad M_\delta = x - M_3 + M_2 = 14.085 - 20 + 7 = 1,085 \text{ kNm}$$

$$\text{IV - IV uchastka}$$

$$M_\delta = x - M_3 + M_2 - M_1 = 14.085 - 20 + 7 - 13 = -11,915 \text{ kNm}$$

Burovchi moment epyurasidan valni eng xavfli kesimini tanlaymiz: $M_{\delta_{\max}} = 14.085 \text{ kNm}$.

Val diametrini topamiz.

$$d = \sqrt[3]{\frac{16M_{\delta_{\max}}}{\pi[\tau]}} = \sqrt[3]{\frac{16 \cdot 14.085}{3.14 \cdot 50 \cdot 10^3}} = 0.113 \text{ m}$$

$$d = 0.12 \text{ m} = 120 \text{ mm} \text{ qabul qilamiz.}$$

Buralish burchagini Guk qonuniga asosan topamiz.

$$\varphi = \frac{M_\delta \cdot \ell}{G I_\rho},$$

bu erda $G = 8 \cdot 10^7 \frac{\text{kN}}{\text{m}^2}$ val materialining siljish moduli; $I_\rho = \frac{\pi d^4}{32}$ - val kesimini qutb inertsiya momenti.

$$\text{Unda, } GI_\rho = 8 \cdot 10^7 \cdot \frac{3.14 \cdot (0.12)^4}{32} = 1627.8 \text{ kNm}^2$$

$$I - I \text{ uchastka } \varphi_1 = \frac{14.085x_1}{1627.8}; \quad 0 \leq x_1 \leq 1.3 \text{ m}$$

$$x_1 = 0 \text{ bo'lsa } \varphi_1 = \varphi_k = 0.$$

$$x_1 = 1.3 \text{ m} \text{ bo'lsa } \varphi_1 = \varphi_B = 0.01125 \text{ rad}$$

$$II - II \text{ uchastka } 0 \leq x_2 \leq 1.1 \text{ m} \quad \varphi_{II} = 0.01125 - \frac{5.915 \cdot x_2}{1627.8}$$

$$x_2 = 0 \text{ bo'lsa } \varphi_{II} = \varphi_B = 0.01125 \text{ rad.}$$

$$x_2 = 1.1 \text{ m} \text{ bo'lsa } \varphi_{II} = \varphi_C = 7.25 \cdot 10^{-3} \text{ rad}$$

$$III - III \text{ uchastka } 0 \leq x_3 \leq 1.2 \text{ m} \quad \varphi_{III} = 0.00725 + \frac{1.085 \cdot x_3}{1627.8}$$

$$x_3 = 0 \text{ bo'lsa } \varphi_{III} = \varphi_C = 0.00725 \text{ rad.}$$

$$x_3 = 1.2 \text{ m} \text{ bo'lsa } \varphi_{III} = \varphi_D = 0.00805 \text{ rad}$$

$$IV - IV \text{ uchastka } 0 \leq x_4 \leq 1.1 \text{ m} \quad \varphi_{IV} = 0.00805 - \frac{11.915 \cdot x_4}{1627.8}$$

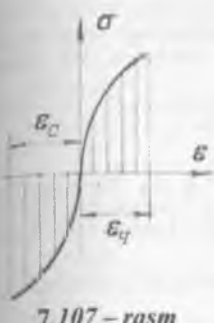
$$x_4 = 0 \text{ bo'lsa } \varphi_{IV} = \varphi_D = 0.00805 \text{ rad.}$$

$$x_4 = 1.1 \text{ m} \text{ bo'lsa } \varphi_{IV} = \varphi_O = 0.00805 - 0.00805 = 0 \text{ rad}$$

7.10. Materiali GUK qonuniga bo'ysunmaydigan balkalarning engilishi

Yuqorida keltirilgan engilishdag'i, mustahkamlikka va bikrlikka hisoblashlari cho'zilish va siqilishda elastiklik moduli bir xil bo'lgan, ya'ni materiali Guk qonuniga bo'ysunadigan materiallar uchun o'rinnlidir. Guk qonuni kuchlanish proporsionallik chegarasidan oshmaganda ahamiyatga ega. Ayrim hollarda mustahkamlikka hisoblash yuqori kuchlanishli plastik deformatsiya sodir bo'lgan sharoitiga to'g'ti keladi. Motti materiallar - cho'yan, tosh, beton, ayrim plastmassalarining elastiklik chegarasida ham

kuchlanish bilan deformatsiya orasidagi bog'lanishi to'g'ri chiziqli emas, ayrim materiallarni cho'zilish va siqlishdagi elastiklik modullari bir xil emas.



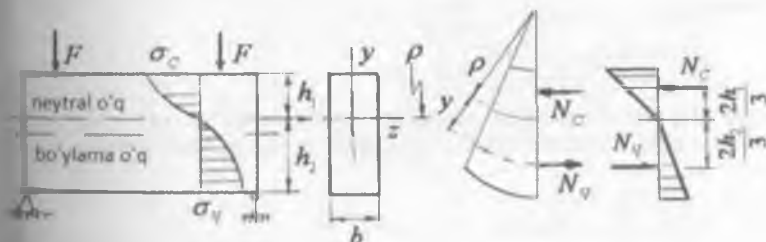
7.107 – rasm

Shuning uchun materiali Guk qonuniga bo'y sunmaydigan balkalarni egilishda mustahkamlikka hisoblash ahamiyatga ega. Yuklanish davrida materiali Guk qonuniga bo'y sunmaydigan ko'ndalang kesim yuzasi to'g'ri to'rtburchakli balkaning egilishdagi normal kuchlanishni aniqlaymiz.

Balka sof egilishda bo'lsin. Agar, kuch yo'nali shida tolalar o'zaro bir-biriga bosim ta'sirini o'tkazmasa, balkaning materiali oddiy cho'zilish va siqlishda bo'ladi. (7.107 – rasm).

ε_c bo'ylama uzayish.

ε_c bo'ylama qisqarish diagrammasiga asosan, cho'zilishda kuchlanishning o'sishi deformatsiyaning o'sishidan kam. Bu erda $\varepsilon_c < \varepsilon_y$. Bu holat egilishda balka kesimining neytral qatlaminining egrilik markazi tomon siljitaldi.



7.108 – rasm. Balka neytral qatlaming holati va kuchlanishning tarqalish qonuniyati

Balkaning neytral qatlamdan y - masofada joylashgan qatlamning nisbiy uzayishi $\varepsilon = \frac{y}{\rho}$ va $\sigma_c = \frac{y}{\rho} E$ va $\sigma_c = \frac{y}{\rho} E_c$ (1)

Neytral qatlamdan -u masofada joylashgan tolaning kuchlanishi

7.108 – rasmida balka neytral qatlaming holati va kuchlanishning tarqalish qonuniyati ko'rsatilgan. Neytral qatlamning holati quyidagi formuladan topiladi.

$$h_1 = \frac{h\sqrt{E_c}}{\sqrt{E_u} + \sqrt{E_c}} \quad \text{ba} \quad h_2 = \frac{h\sqrt{E_u}}{\sqrt{E_u} + \sqrt{E_c}} \quad (2)$$

Cho'zilish va siqilish sohasining chekka tolalardagi teng ta'sir qiluvchi bo'ylama kuchnich o'zilayotgan va siqilayotgan tolalardagi teng ta'sir qiluvchi bo'ylama cho'zuvchi N_{ch} va siquvchi N , kuchlarni kuchlanish epyurasidan aniqlaymiz:

$$N_u = \frac{\sigma_u b h_1}{2}; \quad N_c = \frac{\sigma_c b h_2}{2}; \quad (3)$$

N_{ch} va N , kuchlar balkaning neytral qatlamdan $\frac{1}{3}h$, va $\frac{1}{3}h$, masofada joylashadi. Ko'ndalang kesim yuzada ichki kuchlar juft kuchga keltirilgani uchun $N_{ch} = N_c$, kuchlar orasidagi masofa $\frac{1}{3}h$, unda juft kuch momenti:

$$M = N_u \frac{2}{3}h \quad \text{ba} \quad M = N_c \frac{2}{3}h \quad (3) \text{ bog'lanishlarni hisobga olsak,}$$

$$M = \frac{\sigma_u \cdot b \cdot h_1 \cdot h}{3} = \frac{\sigma_u b h^2}{3} \cdot \frac{\sqrt{E_c}}{\sqrt{E_u} + \sqrt{E_c}} \text{ va}$$

$$M = \frac{\sigma_c \cdot b \cdot h_2 \cdot h}{3} = \frac{\sigma_c b h^2}{3} \cdot \frac{\sqrt{E_u}}{\sqrt{E_u} + \sqrt{E_c}}$$

$$\text{Bu erdan} \quad \sigma_u = \frac{3M}{bh^2} \left(1 + \frac{\sqrt{E_u}}{\sqrt{E_c}} \right) \quad (4)$$

$$\text{va} \quad \sigma_c = \frac{3M}{bh^2} \left(1 + \frac{\sqrt{E_c}}{\sqrt{E_u}} \right) \quad (5)$$

Agar E_{ch} va E_c elastiklik modullari berilgan bo'lsa (4) va (5) formulalardan eng katta cho'zuvchi va siquvchi kuchlanishlar topiladi.

$$\frac{\sqrt{E_u}}{\sqrt{E_c}} = \frac{h}{h_1} = \frac{\rho}{h_1} = \frac{\varepsilon_c}{\varepsilon_u} \quad \text{ni}$$

$$\text{hisobga olsak,} \quad \sigma_u = \frac{3M}{bh^2} \left(1 + \frac{\varepsilon_c}{\varepsilon_u} \right) \quad (6)$$

$$\text{va} \quad \sigma_c = \frac{3M}{bh^2} \left(1 + \frac{\varepsilon_u}{\varepsilon_c} \right) \quad (7)$$

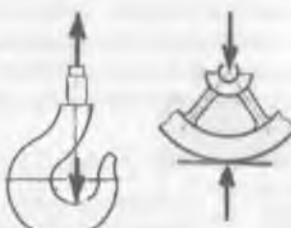
Balka chekka tolalarining nisbiy deformatsiyalari tenzometr bilan aniqlansa, (6) formula o'rini.

VIII-BOB. EGRI STERJENLAR

Ayrim konstruktsiya va mexanizmlardagi elementlarda egrilik markazidan o'tuvchi o'qlar egril bo'ladi.



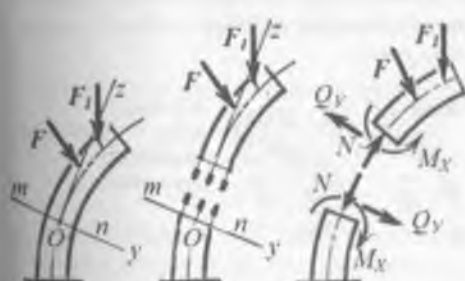
*8.1 – rasm
Zanjirli uzatmaning
bo'g'ini, kryuk va
g'ildirak*



Shuning uchun egril o'qli sterjenning kesimida kuchlanishlarning tarqalish qonuniyati, egril sterjenlarni mustahkamlikka hisoblashni bilish kerak.

Egril sterjenlarni mustahkamlikka hisoblashda quyidagi cheklanishlarga roya qilamiz:

sterjen kesimining simmetriya o'qi bor;
sterjenning o'qi tekis egril bo'lib, simmetriya tekisligida yotadi;
tashqi kuchlar simmetriya tekisligida ta'sir qiladi;
deformatsiyagacha tekis bo'lgan kesim yuzasi sterjenning deformatsiyasidan keyin ham tekisligicha qoladi.



*8.2-rasm. Egril sterjenda ichki kuchlarni aniqlash.
Kesish usuli*

Masalan: zanjirning bug'lnlari, ilgaklar, arklar va h.k. Bundan tashqari amaliyotda uchraydigan barcha sterjenlarni ideal tekis bo'lmasdan, qandaydir darajada notejislik-larga yoki egriliklarga ega.

Egril sterjenlarda ichki kuch faktorlari. Egril sterjenlarning istalgan kesim yuzasida uchta ichki kuch hosil bo'ladi:

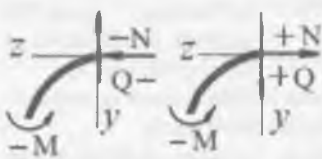
N – ichki bo'ylama kuch, Q_y – ko'ndalang kuch va M – eguvchi moment.

N – ichki bo'ylama kuch, Q_y – ko'ndalang kuch va M – eguvchi momentlarning qiymatlarini kesish usulidan foydalaniib anqlanadi.

Rasmida kesish usuli ko'rsatilgan. Egril sterjen simmetriya tekisligida yotuvchi F, F_1 kuchlar ta'sirida muvozanatda bo'lsin. Egril sterjenni biror kesimidagi ichki kuchlarni aniqlash uchun uni shu kesimidan $m-n$ tekislik bilan kesaniz (8.2-rasm). Ulardan birinchi bo'lagini qoldirib, qolgan bo'lakka tashlangan qismining ta'sirini zo'riqish kuchlari bilan almashtiramiz. Bu kuchlar tashlangan qismning qolgan qismiga ko'rsatgan ta'sirini almash-tiruvchi va $m-n$

kesim bo'yicha taqsimlangan ichki kuchlarni muvozanatlaydi. Ushbu zo'riqish kuchlarini egri sterjenning bo'ylama va unga perpendikulyar o'qlaridagi tashkil etuvchilarini va kesilgan yuzaning kesim markaziga nisbatan momentlarini aniqlash mumkin. Zo'riqish kuchlarini z o'qiga proektsiyasini ichki bo'ylama kuch N va u o'qiga proektsiyasini Q ko'ndalang deb qabul qilamiz.

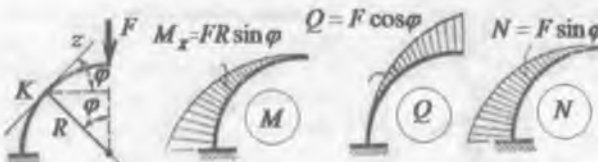
Bo'ylama kuch kesimdan bir tomonda qolgan barcha tashqi kuchlarni kesim normaliga (z o'qi) tushirilgan proektsiyalarining algebraik yig'indisiga teng. Agar bo'ylama kuch egri sterjenning qoldirilgan qismini tashlangshan qismidan ajratishga intilsa musbat, yaqinlashtirishga intilsa manfiy ishorali olinadi.



8.3-rasm. Ichki kuch faktorlarining ishorasini tanlashga oid

Agar, ko'ndalang kuch bo'ylama kuchni soat strelkasi yurishiga qarab 90° aylantirish natijasida hosil qilinsa musbat, unga teskari tomon aylantirishdan hosil qilinganda manfiy olinadi (8.3-rasm).

Eguvchi moment kesimdan bir tomonda qolgan barcha tashqi kuchlardan kesimning O nuqtasiga (8.3-rasm) nisbatan olingan momentlarining algebraik yig'indisiga teng. Agar eguvchi moment sterjenning egiriligidini oshirsa musbat, kamaytirganda manfiy hisoblanadi (8.3-rasm).



8.4-rasm.
Ichki kuch faktorlarining epyuralari

8.1. Ko'ndalang va bo'ylama kuchlar bilan bog'liq bo'lган kuchlanishlar

Egri sterjenlarda urinma kuchlanislarning tarqalish qonuniyatini to'g'ri chiziqli sterjenlardagi urinma kuchlanislarni tarqalish qonuniyatiga yaqin bo'lishini ko'rsatadi. Shuning uchun, egri sterjenlarda ham kesimdagagi urinma kuchlanishni Juravskiy formulasi bilan aniqlaymiz:

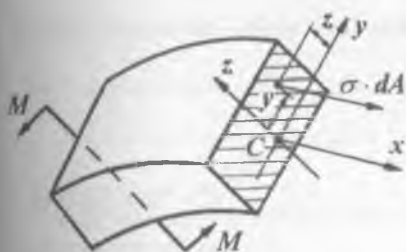
$$\tau = \frac{QS_x}{I_x b} \leq [\tau]$$



Egri sterjenden ajratilgan element oddiy cho'zilish yoki siqilishga uchraydi. $\sigma_v = \frac{N}{A}$

8.2. Eguvchi moment bilan bog'liq bo'lgan kuchlanishni aniqlash

Eguvchi moment bilan bog'liq bo'lган kuchlanishni aniqlash uchun sof egilish holatidan foydalanamiz (8.5-rasm). Egri sterjenning ajratib olingan qismi eguvchi moment va bo'ylama kuch $N = \sigma \cdot dA$ ta'sirida bo'ladi.



8.5 - rasm. Sof egilishdagi egri sterjenning yuklanish sxemasi

Egri sterjenga qo'yilgan kuchlar egrilik tekisligida yotganligi uchun tekislik sistemasining birinchi muvozanat sharti quyidagicha yoziladi:

$$\sum x = 0; \quad \int \sigma \cdot dA = 0$$

Bu tenglamadan normal kuchlanishni aniqlash mumkin emas, chunki juft momenti va $\sigma \cdot dA$ elementar kuchni o'zaro bog'lanishini ifodalovchi tenglamani tuzib bo'lmaydi.

$$\sum z = 0 \quad sa \quad \sum y = 0$$

Tenglamalarni ham tuzib bo'lmaydi, chunki juft momenti va $\sigma \cdot dA$ elementar kuchni z va y o'qlariga proektsiyalab bo'lmaydi

$$\sum M_x = 0 \quad sa \quad \sum M_z = 0$$

Juft momentining va $\sigma \cdot dA$ elementar kuchni x va z o'qlariga nisbatan momenti ayniyatga aylanadi. Oltinchi muvozanat shart.

$$\sum M_y = M - \int \sigma \cdot dA \cdot z = 0. \quad M = \int_0^A \sigma \cdot dA \cdot z \quad (8.1)$$

Egri sterjenning egilishida normal kuchlanishni aniqlash uchun oltita muvozanat shartlaridan faqat $\sum x = 0$ va $\sum M_z = 0$ tenglamalardan foydalish mumkin. Lekin, bu tenglamalardan σ -ni sterjen kesimining balandligi bo'ylab o'zgarish qonuniyatini aniqlab bo'lmaydi. Demak, normal kuchlanishni topish noaniq

Shuning uchun egri sterjenning deformatsiyasini o'rganamiz. Sterjenning egilishida ko'ndalang kesimda yuzalar tekisligicha qolib, oldingi holatiga nisbatan α burchakka aylanadi. Sterjen C_1, C_2 tolasining uzunligi o'zgarmaydi; KB tola esa BB_1 miqdorga uzayadi. KB tolaning uzayishi Guk qonuniga bo'yusunadi, ya'ni (8.6 -rasm)

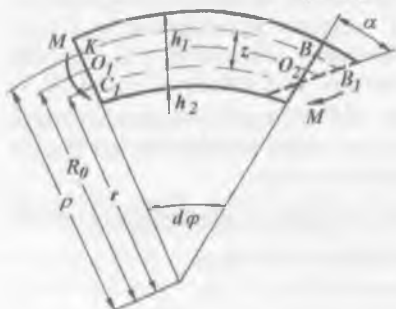
$$\sigma = \varepsilon_{KB} \cdot E \quad (8.2)$$

buerda: ε_{KB} - neytral qatlamdan z masofada joylashgan KB tolaning nisbiy uzayishi

$$\varepsilon_{KB} = \frac{BB_1}{KB} = \frac{z\alpha}{\rho \cdot d\varphi}$$

unda sof egilishdagi material uchun Guk qonuni quyidagicha yoziladi

$$\sigma = \frac{z\alpha}{\rho \cdot d\varphi} \cdot E \quad (8.3)$$



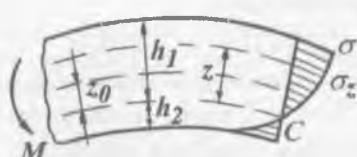
8.6 -rasm. Eguvchi moment bilan bog'liq kuchlanishni aniqlash sxemasi

Sterjenning har bir kesimi uchun $\frac{\alpha}{d\varphi}$ va E o'garmas bo'lganligi uchun, σ - ning qiymati Z va ρ masofaga bog'liqbo'ladi.

ρ - cterjenning egrilik radiusi;

$\rho = r + z$ va r - cterjen neytral qatlamining egrilik radiusi.

(8.2) formulaga asosan egri sterjenda kuchlanish giperbola qonuniyat bilan o'zgaradi. Egilishga qadar egri sterjen tashqi tolalarining uzunligi ichki tolalarining uzunligidan katta edi, shuning uchun egri brusning materialining tashqi tolasidagi normal kuchlanish materialning ichki tolasidagi normal kuchlanishdan kichik bo'ladi (8.7 - rasm). (8.1) formuladan σ - ning ifodasini, (8.2) formulaga keltirib qo'yamiz.



8.7 - rasm. Normal kuchlanishni tarqalish qonuniyat

$$\int_0^A \sigma \cdot dA = \int_0^A E \frac{z\alpha}{\rho \cdot d\varphi} dA = 0 \quad bu$$

erda: $E \frac{\alpha}{d\varphi} \neq 0$.

$$Shuning uchun \int_0^A \frac{z}{\rho} dA = 0$$

Lekin $z = \rho - r$, unda: $\int_0^A \frac{\rho - r}{\rho} dA = \int_0^A dA - r \int_0^A \frac{dA}{\rho} = 0$

bu erdan $r = \frac{A}{\int_A \frac{dA}{\rho}}$ (8.3)

neytral qatlam tenglamasi.

(8.2) formuladan σ -ning ifodasini (8.1) formulaga keltirib qo'yamiz:

$$M = E \frac{\alpha}{d\varphi} \int_0^A z \cdot z \cdot dA,$$

bu erda integralni alohida hisoblaymiz.

$$\int_0^A \frac{z}{\rho} \cdot z \cdot dA = \int_0^A \frac{\rho - r}{\rho} \cdot z \cdot dA = \int_0^A z \cdot dA - r \int_0^A \frac{z}{\rho} dA$$

Bu hisoblashga asosan oxirgi integral: $\int_0^A \frac{z}{\rho} dA = 0$;

birinchi $\int_0^A z \cdot dA$ integral esa, sterjen kesim yuzasining neytral o'qqa nisbatan statik momenti, ya'ni: $S = A \cdot Z$, unda $M = E \frac{\alpha}{d\varphi} \cdot S$ va

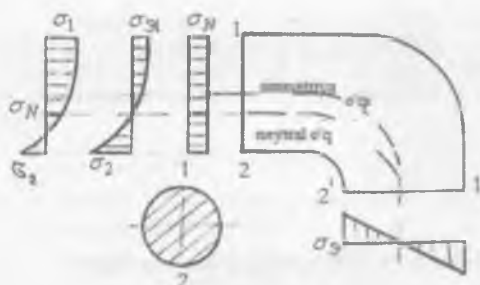
$$\frac{\alpha}{d\varphi} = \frac{M}{ES} \quad (8.4)$$

formulani (8.2) ga keltirib qo'ysak egri sterjenning kesimida eguvchi moment ta'siridagi normal kuchlanish formulasi hosil bo'ladi:

$$\sigma_3 = \frac{MZ}{Sp} \quad (8.5)$$

Shunday qilib, egri sterjenning ko'ndalang kesimida eguvchi moment ta'siridan hosil bo'ladi normal kuchlanish σ_3 , kesimning neytral qatlamidan kuchlanishi tekshirilayotgan nuqtagacha bo'lgan masofa Z - ga va sterjenning egrilik radiusi ρ - ga bog'liq ekan. Kesimning neytral qatlamidan eng uzoqda joylashgan chetki nuqtalarida σ_3 eng katta qiymatga erishadi (8.7-rasm), ya'ni:

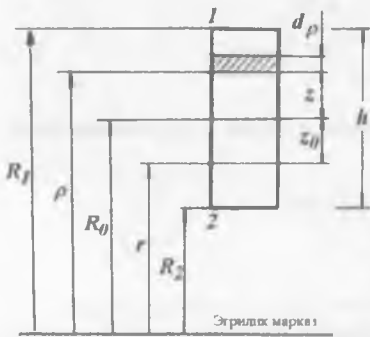
$$Z = Z_{1,2} \text{ va } \rho = \rho_{1,2} \text{ bo'lsa} \quad \sigma_3 = \sigma_{\max} = \pm \frac{MZ_{1,2}}{Sp_{1,2}}$$



8.8 – rasm. Egri sterjenning kesimidagi bo'ylama kuchga eguvchi momentiga bog'liq hamda to'liq kuchlanish

Egri sterjenning ko'ndalang kesimida ichki bo'ylama kuch N ta'sirida ham normal kuchlanish hosil bo'ladi. Unda kesimning to'liq normal kuchlanishi eguvchi moment va bo'ylama kuch ta'sirida hosil bo'lgan normal kuchlanishlar yig'indisidan iborat bo'ladi.

$$\sigma_{1,2} = \frac{N}{A} \pm \frac{M Z_{1,2}}{S \rho_{1,2}} \quad (8.6)$$



8.9 – rasm. To'rtburchak kesimining neytral o'qini aniqlash sxemasi

Ko'ndalang kesim yuzasi to'g'ri to'rtburchak bo'lgan egri sterjen neytral o'qining egrilik radiusini topamiz (8.7-rasm). Neytral o'q tenglama-sini yozamiz:

$$r = \frac{A}{\int_0^R \rho}$$

bu erda $dA = b \cdot d\rho$ to'g'ri to'rtburchakli kesimdan ajratilgan elementar yuza:

ρ - sterjenning egrilik markazidan elementar yuzagacha bo'lgan masofa;

$A = bh$ – egri sterjenning ko'ndalang kesim yuzasi.

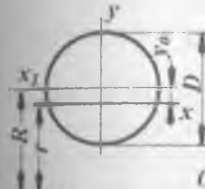
Unda $r = \frac{bh}{\int_0^R \rho} = \frac{h}{\ln \frac{R_1}{R_2}}$

Rasmdan $Z_0 = R_0 - r = R_0 - \frac{h}{\ln \frac{R_1}{R_2}}$

Taxminiy hisoblashlar uchun Z_0 quyidagicha topilish mumkin:

$$Z_0 = \frac{I_s}{R_0 A} \quad (8.7)$$

$$\text{To'g'ri to'rtburchak kesimi uchun: } Z_0 = \frac{12}{R_0 b h} = \frac{h^2}{12 R_0}$$



Doiraviy kesimneyntral o'qining egrilik radiusi:
 $r = \frac{D^2}{8 \left(R - \sqrt{R^2 - \frac{D^2}{4}} \right)}$ va $y_0 = \frac{D^2}{16R}$

8.4. Egri sterjenlarda mustahkamlik shart

Oldingi mavzulardan aniqki, normal kuchlanish sterjen kesimining neytral o'qidan eng uzoqda joylashgan nuqtalarida hosil bo'ladi. Agar egri sterjenning materiali cho'zilish va siqilishga bir xil qarshilik ko'rsatsa

$$\sigma_{\max} = \pm \frac{N}{A} \pm \frac{M Z_{1,2}}{S R_{1,2}} \leq [\sigma] \quad (8.8)$$

(8.8) formuladagi σ_{\max} - ni hisoblashda sterjenning egilishiga e'tibor berilishi kerak, chunki egriligi katta yoki kichik sterjenlar mavjud. Masalan:

$\frac{R_0}{h} \leq 5$, egriligi katta sterjenlar (ilgak, halqa va h.k. $\frac{R_0}{h} \geq 5$ egriligi kichik

sterjenlar. Bu sterjenlarda $\frac{\rho}{\rho}$ - nicbatni hisobga olmasa ham bo'ladi.

Shuning uchun egri sterjenning M ta'siridagi normal kuchlanish formulasini to'g'ri sterjenlar uchun topilgan normal kuchlanish formulasidan kam farq qiladi.

$R_0 = S h b o'lsa$

$$r = \frac{h}{\ln \frac{R_0 + 0.5h}{R_0 - 0.5h}} = \frac{h}{\ln \frac{5.5}{4.5}} = \frac{h}{0.20067} = 4.9833h$$

$Z_0 = R_0 \cdot r = 5h - 4.9833h = 0.0167$ eku $Z_0 = 0.00334R_0$
ya'ni neytral o'q kesimini og'irlik markazidan
 $Z_1 = 0.5167h, Z_2 = 0.4833h$ birlikka farq qiladi.

Unda:

$$\sigma_1 = \frac{M Z_1}{S_y R_1} = \frac{M \cdot 0.5167h}{b_n \cdot 0.0167h \cdot 5.5h} = \frac{0.5167M \cdot 6}{0.5511bh^2} = 0.935 \frac{M}{W}$$

$$\sigma_2 = \frac{M Z_2}{S_y R_2} = \frac{M \cdot 0.4833h}{b_n \cdot 0.0167h \cdot 4.5h} = \frac{0.4833M \cdot 6}{0.4809bh^2} = 1.071 \frac{M}{W}$$

$R_0 = 5h$ o'rtacha egrilikdagi sterjenlarda normal kuchlanish to'g'ri sterjenlardagi normal kuchlanishdan 7% gafarqqiladi.

8.5. Egri sterjenlarning deformatsiyasi

Egri sterjen nuqtalarining tashqi kuchlar ta'sirida ko'chishini Kastilyano teoremasidan yoki Mor usulidan foydalaniman aniqlash eng qulaydir. Kastilyano teoremasidan foydalinish uchun egri sterjen deformatsiyasi potentsial energiyasining ifodasini aniqlash zarur. Buning uchun bir-biriga cheksiz yaqin ab va cd kesimlar bilan egri sterjendan bir element ajratib olamiz (8.10-rasm). Eng umumiy holda bu elementga eguvchi moment M , normal kuch N va kesib o'tuvchi kuch Q ta'sir qiladi. Bu kuchlar bajaradigan ishlarning ifodasini tuzamiz. Ajratilgan element ob va cd kesimlarining bir-biri bilan tuzgan burchagi $d\varphi$ moment M ta'sirida α ga o'zgaradi; buning natijasida M

8.10-rasm

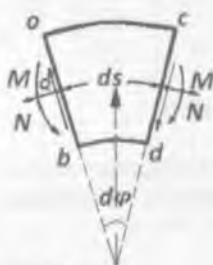
momentning bajargan ishi $\frac{M + \alpha}{2}$ ga teng bo'ladi. Elementar burchakning

orttirmasi α ning qiymatini e'tiborga olsak $\frac{M\delta(d\varphi)}{2} = \frac{M^*d\varphi}{2SE} = \frac{M^*ds}{2SE\rho}$ (a)

bo'ladi.

Normal zo'riqish elementni sterjenning o'qi bo'yicha cho'zadi, uning bajargan ishi: $\frac{N^2 ds}{2EA}$ (b)

ga teng. Bundan tashqari, normal kuch elementar burchak $d\varphi$ ni α miqdorga o'zgartiradi va bu o'zgarishda M qo'shimcha ish bajaradi, α ning qiymati (8.4)



formuladan topiladi. Demak, eguvchi momentning shu ko'chishda bajargan ishi

$$M - \alpha = \frac{MN}{EA} d\varphi = \frac{MNds}{EA\rho}. \quad (c)$$

quyidagi formula bilan aniqlanadi:

Kesib o'tuvchi kuch Q ning ishi, to'g'ri sterjen uchun qanday bo'lsa, bu holda ham xuddi shunday bo'ladi. Son jihatdan bu ishga teng bo'lган energiyani va (a), (b), (c) formulalar bilan ifodalananuvchi energiyalarini o'zar o qo'shib, ajratilgan elementda to'plangan energiyani hisoblaymiz:

$$dU = \frac{M^2 ds}{2ES\rho} + \frac{N^2 ds}{2EA} + \frac{MN ds}{EA\rho} + k \frac{Q^2 ds}{2GA}$$

Egri sterjenda to'plangan to'la energiyani hisoblash uchun buni integrallaymiz:

$$U = \int_0^s \left(\frac{M^2}{2ES\rho} + \frac{N^2}{2EA} + \frac{MN}{EA\rho} + k \frac{Q^2}{2GA} \right) ds. \quad (8.9)$$

Amalda deformatsiyani aniqlash masalasi ko'pincha «kichik egrilikli» sterjenlar uchun talab qilinadi

$$\text{U holda: } U = \int_0^s \left(\frac{M^2}{2EI} + \frac{N^2}{2EA} \right) ds$$

Bu taqrifiy formulaning qanchalik aniqligini xususiy hollarni tekshirishda ko'rib o'tamiz. Endi Kastilyano teoremasidan foydalaniman, biror kesim markazining shu kesimga qo'yilgan p kuch yo'nalishidagi ko'chishini va ayni kesimning unga qo'yilgan M_0 moment ta'sirida aylanishini aniqlaysiz:

$$\left. \begin{aligned} \delta &= \frac{\partial U}{\partial P} = \int_0^s \left(\frac{M}{EI} \frac{\partial M}{\partial P} + \frac{N}{EA} \frac{\partial N}{\partial P} \right) ds; \\ \theta &= \frac{\partial U}{\partial M_0} = \int_0^s \left(\frac{M}{EI} \frac{\partial M}{\partial M_0} + \frac{N}{EA} \frac{\partial N}{\partial M_0} \right) ds. \end{aligned} \right\} \quad (8.10)$$

$\frac{\partial M}{\partial P}, \frac{\partial M}{\partial M_0}$ ni birlik kuch va birlik juftning momenti deb,

$$\frac{\partial N}{\partial P}$$

$$\frac{\partial N}{\partial M_0}$$

ni birlik kuch va birlik juftdan hosil bo'lган normal zo'riqish deb qarasak, ularni tegishlichcha M^0 va N^0 orqali helgilab, (10.10) ni Mor formulasi bilan almashtirishimiz mumkin:

$$\delta = \int_0^s \left(\frac{\bar{M}M^0}{EI} + \frac{\bar{N}N^0}{EA} \right) ds. \quad (10.11)$$



8.11-rasm

Bu formulalarni xususiy hollar uchun tadbiq qilamiz. Misol uchun, markaziy o'qining radiusi R bo'lgan va bir uchi A qistirib tiralgan chorak aylana shaklidagi sterjenni olamiz (8.11-rasm). Uning erkin uchiga vertikal yo'nalgan P kuch qo'yilgan bo'lsin. B nuqtaning vertikal ko'chishini aniqlaymiz. Kuch yo'nalishi ko'chish yo'nalishiga mos kelgani uchun (8.10) formulaning birinchi qismidan bevosita B nuqtaning vertikal ko'chishini aniqlaymiz. Buning uchun oldin M va N ni hamda ularning hosilalarini hisoblaymiz:

$$M = PR \sin \varphi;$$

$$\frac{\partial M}{\partial P} = R \sin \varphi; \quad N = -P \sin \varphi;$$

$$\frac{\partial N}{\partial P} = -\sin \varphi; \quad dS = Rd\varphi.$$

Egri sterjenning hamma kesimlarida M va N bitta tenglama bilan ifodalangani uchun integrallash bitta uchastkada – 0 bilan $\frac{\pi}{2}$ chegaralarda olinadi.

Aniqlangan miqdorlarni (8.10) ga qo'yamiz:

$$\delta = \int_0^{\frac{\pi}{2}} \frac{PR^2 \cdot \sin^2 \varphi d\varphi}{EI} + \int_0^{\frac{\pi}{2}} \frac{PR^2 \cdot \sin^2 \varphi d\varphi}{EA} = \left(\frac{PR^2}{EI} + \frac{PR}{EA} \right) \int_0^{\frac{\pi}{2}} \sin^2 \varphi d\varphi = \\ = \left(\frac{PR^3}{EI} + \frac{PR \pi}{EA} \right) = \frac{\pi PR^3}{4EI} \left(1 + \frac{r_0^2}{R^2} \right);$$

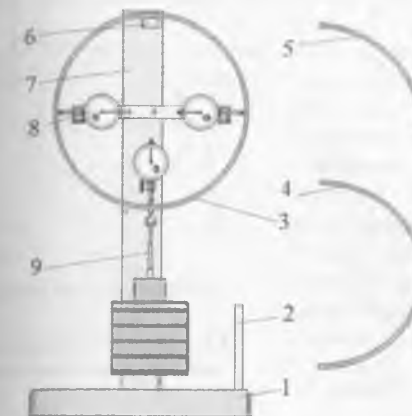
bu erda r_0 – ko'ndalang kesim yuzasining inertsiya radiusi.

Qavs ichidagi ikki haddan birinchisi B nuqtaning pasayishiga eguvchi momentning hissasini ifodalasa, ikkinchi had $\frac{r_0^2}{R^2}$ normal zo'riqishning hissasini ifodalaydi. $\frac{r_0^2}{R^2}$ nisbat, ko'pincha, juda kichik son bo'lgani uchun, uni hisobga olmasa ham bo'ladi.

Egri o'qli sterjenning deformatsiyalanishini tajribada o'rganish

Ishning maqsadi: egriligi kichik bo'lgan aylana, yarim aylana va chorak aylana shaklidagi sterjenlarning deformatsiya lanishini tekshirish.

Tajriba ishi FL 170 uskunasida bajariladi. FL 170 uskunasi bilan ham amaliy tajribalar o'tkazish, ham demonstratsion maqsadda foydalanish mumkin.



8.12 – rasm. Uskunaning sxemasi, old tomondan ko'rinishi

Asosiy tushunchalar. O'rganilayotgan sterjenlarning egriligi kichik, ya'ni sterjenlarning ko'ndalang kesimi o'lchamli radiusga nisbatan kichik

Sterjen alohida nuqtasining tashqi kuch ta'sirida ko'chishini aniqlash usullaridan biri virtual ko'chish printspidir. Uning mohiyati shundan iboratki sistemaning ixtiyoriy (virtual) ko'chishida $\delta f^{(i)}$ ichki va $\delta f^{(e)}$ tashqi kuchlarning bajargan ishlari yig'indisi nolga teng:

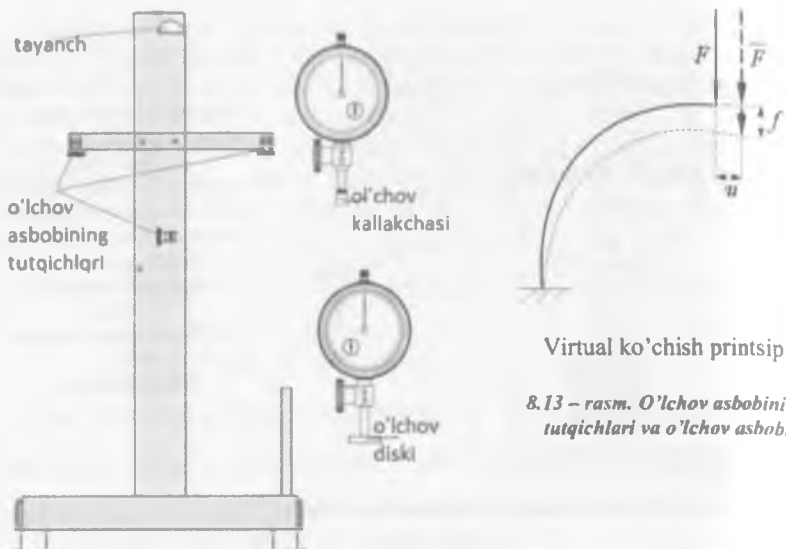
$$\delta f^{(i)} + \delta f^{(e)} = 0 \quad (8.12)$$

Agar qo'shimcha kuch $\bar{F}_f = 1$ tashqi kuch sifatida tanlansa va haqiqiy siljish virtual ko'chish sifatida olinsa (8.12) dan quyidagi kelib chiqadi:

$$\bar{F}_f = 1 \cdot f = \int \frac{\bar{M}_b \cdot M_b}{E \cdot I_y} ds$$

Turli sterjenlar uchun ko'chishlar quyidagicha aniqlanadi (f – vertikalko'chish, u -gorizontal ko'chish).

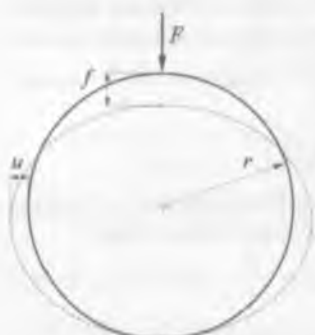
Shkvli blok (chorak aylana shaklidagi sterjen biriktiriladigan) o'chov asbobi o'rnatilgan ustunga nisbatan vertikal va gorizontal yo'nalishda siljigani sababli tuzatish koeffitsientini kiritish kerak bo'ladi.



Virtual ko'chish printsiplari

8.13 – rasm. O'lichov asbobining tutqichlari va o'lichov ashobi

FL 170 uskunasi uchun ular quyidagicha: $k_f = 1,45$ $k_u = 1,80$



Aylana shaklidagi sterjen

$$f = \frac{2F \cdot r^3}{E \cdot I_y} \cdot \left(\frac{\pi}{8} - \frac{1}{\pi} \right)$$

(u ko'chish aniqlanmagan)



Yarim aylana shaklidagi sterjen

$$f = \frac{\pi \cdot F \cdot r^3}{2E \cdot I_y}$$

$$u = \frac{2 \cdot F \cdot r^3}{E \cdot I_y}$$



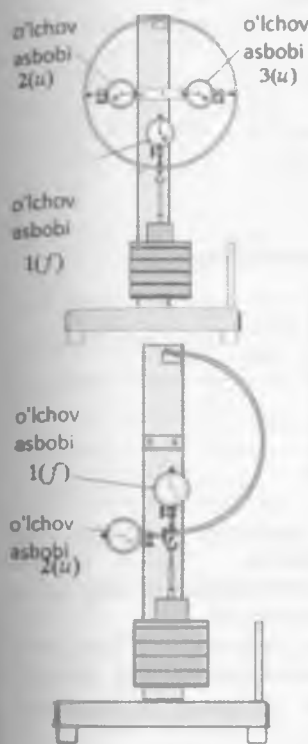
Chorak aylana shaklidagi balka

$$f = \frac{\pi \cdot F \cdot r^3}{4E \cdot I_y} k_f$$

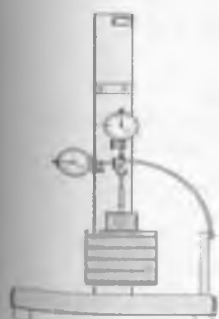
$$u = \frac{F \cdot r^3}{2 \cdot E \cdot I_y} k_u$$

Tajribalar. Tanlangan tajriba sinovi to'liq emas, lekin individual tajribalarni o'tkazishda foydalanishga mo'ljallangan. Tajribalar namuna sifatida keltirilgan. Qurilmaga individual komponentalarning o'rnatilishi, eksperimental

ko'nikmalar va sharoitlardan bog'liq ravishda boshqa tajribalarni ham o'tkazish, hamda qonuniyatlar aniqroq ko'rsatilishi mumkin.



Yarim aylana shaklidagi sterjenda tajriba o'tkazish uskunasi



Chorak aylana shaklidagi sterjen. O'lchov asbobi tutqichlarini mahkamlang. Vertikal yo'naliشدagi ko'chishni (f ni) aniqlovchi 1 o'lchov asbobini o'rnatung, 1 o'lchov asbobidan o'lchov golovkachasini oling; 1 o'lchov asbobini tutqichga o'rnatung; 1 o'lchov asbobiga o'lchov diskini o'rnatung; 1 o'lchov asbobini tutqichga o'rnatung.

8.14-chizma. Chorak aylana shaklidagi sterjenda tajriba uskunasi

Gorizontal yo'nalishdagi ko'chishni (U ni) aniqlovchi 2 o'lchov asbobini tutqichga o'mating. Ilgakni chorak aylana shaklidagi sterjenga o'mating. Yarim aylana shaklidagi sterjenni shkivli blokka mahkamlang

Tajribani o'tkazish. O'lchov asboblarini to'g'rilang va qiymatlarini yozib boring

MA'LUMOT

Maksimal yuklanish:

Aylana:	100N
Yarim aylana:	70N
Chorak aylana:	100N

Balka uchun hisoblash va o'lchash natijalarini taqqoslash

F kuch,N	$f_{o'lch}$, mm	f_{his} .mm	Farq, %	$U_{o'lch}$, mm	U_{his} .mm	Farq, %
5						
10						
20						

Deformatsiyalami hisoblash birinchi tartibli nazariyaga asoslangan, ya'ni deformatsiyalanmaydigan sistemalar olingan. Ikkinci tartibli nazariya deformatsiyalanuvchi sistemalardagi kuchlar hisobga olinmagan. Shuning uchun hisoblashlardagi natijalarning qiymati o'lchanganlardan kichik.

Kuchning qiymati ortishi bilan sistemaning deformatsiyasi ham oshib boradi. Lekin bu hisoblashlar orqali topiluvchi deformatsiyalarga ta'sir qilmaydi. Shuning uchun kuchning qiymati ortishi bilan o'lchangan va hisoblagan deformatsiyalar orasidagi farq qattalashib boradi

Texnik ma'lumotlar

O'lchamlari

Bo'y x Eni x Balandligi 350x 150 x 660

Umumiyoq irligitaqr. 17kG

Tutqich 1x1 N

Yuklar to'plami 2x2 N, 1x5 N, 1x10 N, 4x20 N

Sterjenlar

Shakli aylana, yarim aylana

Ko'ndalang kesimi b=20 mm, h=5 mm

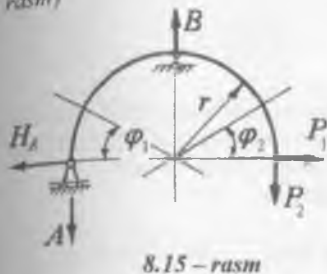
Material St.37, nikel

Elastiklik moduli taqr. 200.000N/mm^2

Inertsiya momenti $I = \frac{bh^3}{12} = 280,33 \text{ mm}^3$

Neytral o'qi r= 150mm

misol-1. Egri sterjenni xavfli kesim normal kuchlanishini toping (8.15 - rasm)



8.15 - rasm

Berilgan:

$$P = 1100 \text{ N}; \quad d = 5,0 \text{ sm}$$

$$r = 16 \text{ sm}; \quad P_1 = P_2 = P$$

Yechish: Egri sterjen A va B tayanchlarga tayanadi. Reaksiya kuchlarini topamiz:

$$\sum x = 0; \quad -H_A + P_1 = 0$$

$$\text{yoki } H_A = P_1 = 1100 \text{ N}; \quad \sum M_A = 0$$

$$P_2 \cdot 2r - Br = 0$$

$$\text{bu erdan } B = 2P_2 = 2200 \text{ N}$$

$$\sum M_B = 0; \quad H_A \cdot r - A \cdot r + P_1 \cdot r - P_2 r = 0$$

$$\text{buerdan } A = \frac{H_A \cdot r}{r} = H_A = 1100 \text{ N}.$$

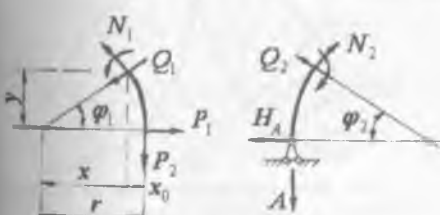
$$\text{Tekshirish: } \sum y = -A - B - P = 0$$

$$1 - 1 \text{ qirqim. } 0 \leq \varphi_1 \leq 90^\circ$$

Eguvchi moment tenglamarasini tuzamiz: $M_1 = P_2 x_0 - P_1 y$.

$$\text{Bu erda } x_0 = r - x = r - r \cdot \cos \varphi = r(1 - \cos \varphi); \quad y = r \cdot \sin \varphi$$

$$\text{Unda } M_1 = P_2 r(1 - \cos \varphi_1) - P_1 r \sin \varphi_1$$



8.16 - rasm

$$Q_1 = P_2 \sin \varphi_1 - P_1 \cos \varphi_1 \quad \text{va} \quad N_1 = P_2 \cos \varphi_1 - P_1 \sin \varphi_1$$

Hisoblashni guyidagi jadvalda bajarish qulay

Burchak	Eguvchi moment	Ko'ndalang kuch	Bo'ylama kuch
0	0	- 1,1	- 1,1
30	- 0,0644	- 0,4026	- 1,5026
45	- 0,0704	0	- 1,54
60	- 0,0644	0,4026	- 1,5026
90	0	1,1	- 1,1

II – II qirqim. $0 \leq \varphi_2 \leq 90^\circ$

$$M_2 = Ar(1 - \cos \varphi_2) - H_A \cdot r \cdot \sin \varphi_2,$$

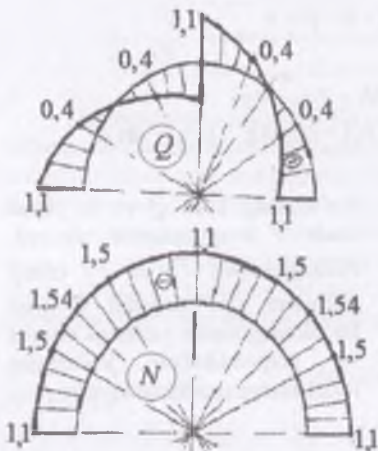
$$Q_2 = -H_A \cdot \cos \varphi_2 + A \cdot \sin \varphi_2$$

$$N_2 = -A \cos \varphi_2 - H_A \cdot \sin \varphi_2$$

Eguvchi moment epyurasini egri sterjenning cho'ziladigan tolalari tomoniga quriladi. Q va N kuchlarni musbat ishorali qiymatini sterjenning tashqi tomoniga, manfiy ishorali qiymatini ichki tomoniga joylashtiramiz (8.16 – rasm).

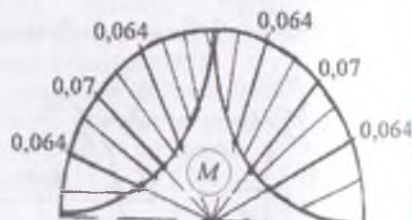
Hisoblashni jadvalda bajaramiz.

Burchak	Moment	Ko'ndalang kuch	Bo'ylama kuch
0	0	- 1,1	- 1,1
30	- 0,0644	- 0,4026	- 1,5026
45	- 0,0704	0	- 1,54
60	- 0,0644	0,4026	- 1,5026
90	0	1,1	- 1,1



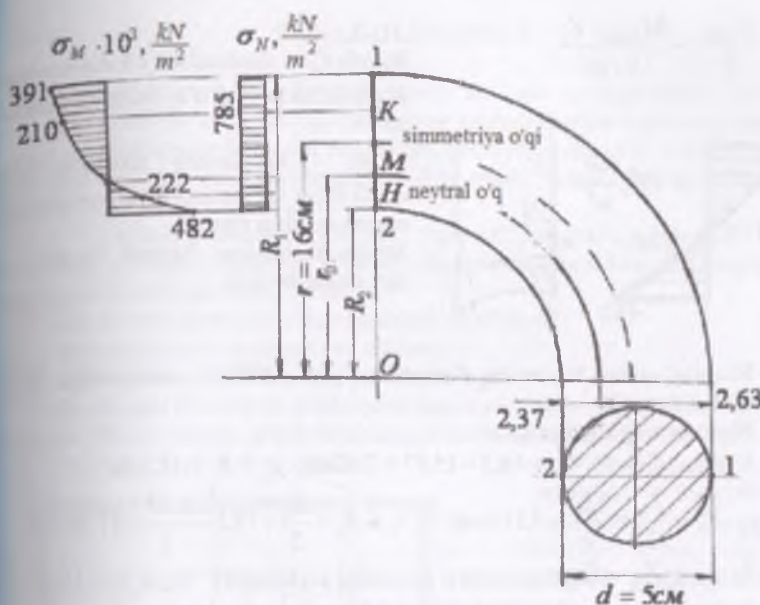
Sterjenning xavfli kesimi $\varphi = 45^\circ$ da joylashadi:

$$M_{\max} = 0,07 \text{ kNm}; \quad N_{\max} = 1,54 \text{ kNm}$$



8.16 – rasm. Egri sterjen uchun ko'ndalang kuch, eguvchi momenti va bo'ylama kuch epyurlari.

Xavfli kesimidagi normal kuchlanishni topish uchun quyidagi sxeman ni chizamiz (8.17 – rasm).



8.17 - rasm

Sxemadan

$$R_1 = r + \frac{d}{2} = 16 + 2,5 = 18,5 \text{ sm}; \quad R_2 = r - \frac{d}{2} = 16 - 2,5 = 13,5 \text{ sm}$$

R_1 va R_2 - egrilik markazi O nuqtadan 1 va 2 nuqtalargacha bo'lgan masofa, sm:

$$F = \frac{\pi \cdot d^2}{4} = \frac{3,14 \cdot 25}{4} = 19,625 \text{ sm}^2 \quad \text{- sterjenning ko'ndalang kesim yuzasi.}$$

Neytral o'qning egrilik radiusini topamiz:

$$r_0 = \frac{d}{\ell} = \frac{5}{\frac{R_1}{R_2}} = \frac{5}{\frac{18,5}{13,5}} = \frac{5}{0,315} = 15,87 \text{ sm}$$

Simmetriya o'qi - u - bilan neytral o'q orasidagi masofa:

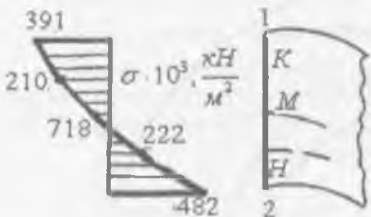
$$Z_0 = r - r_0 = 16 - 15,87 = 0,13 \text{ sm}$$

Kesimning neytral o'qga nisbatan statik momenti:

$$S = F \cdot Z_0 = 19,625 \cdot 0,13 \approx 2,55 \text{ sm}^3$$

Xavfli kesimning M va N ta'siridan hosil bo'lgan to'liq normal kuchlanishini quyidagi formuladan topamiz:

$$\sigma = \frac{N_{\max}}{F} - \frac{M_{\max} \cdot Z_i}{S \cdot \rho_i}$$



Buerda Z_i - kuchlanishi tekshirilayotgan nuqta bilan neytral o'q orasidagi masofa, sm

ρ_i - kuchlanishi tekshirilayotgan nuqta bilan sterjenning egrilik markazi Q nuqta orasidagi masofa.
Sterjen kesimining diametri bo'ylab σ egrisi chiziq bo'ladi.

Shuning uchun kesimning diametri bo'ylab $IKMN2$ nuqtalaridagi to'liq kuchlanishni topamiz.

Nuqtalarning koordinatalari:

$$1 \text{ nuqta } Z_1 = R_1 - r_0 = 18,5 - 15,87 = 2,63 \text{ sm}; \rho_1 = R_1 = 18,5 \text{ sm}$$

$$K \text{ nuqta } Z_k = \frac{Z_1}{2} = \frac{2,63}{2} = 1,315 \text{ sm}; \rho_k = R_1 - \frac{Z_1}{2} = 18,5 - \frac{2,63}{2} = 17,185 \text{ sm}$$

$$M \text{ nuqta } Z_M = 0 \text{ (nuqta neytral o'q ustiga joylashgan)} \quad \rho_M = r_0 = 15,87 \text{ sm}$$

$$2 \text{ nuqta } Z_2 = r_0 - R_2 = 15,87 - 13,5 = 2,37 \text{ sm}; \rho_2 = R_2 = 13,5 \text{ sm}$$

$$H \text{ nuqta } Z_H = \frac{Z_2}{2} = 1,185 \text{ sm}; \rho_H = r_0 - \frac{Z_2}{2} = 15,87 - 1,185 = 14,685 \text{ sm}$$

Nuqtalarning kuchlanishlarini topamiz:

$$\sigma_1 = -\frac{1,54}{19,625 \cdot 10^{-4}} - \frac{0,07 \cdot 10^2 \cdot 2,63 \cdot 10^{-2}}{2,55 \cdot 10^{-6} \cdot 18,5 \cdot 10^{-2}} = -391 \cdot 10^3 \frac{\kappa N}{m^2}$$

$$\sigma_k = -\frac{1,54}{19,625 \cdot 10^{-4}} - \frac{0,07 \cdot 10^2 \cdot 1,315 \cdot 10^{-2}}{2,55 \cdot 10^{-6} \cdot 17,185 \cdot 10^{-2}} = -210,84 \cdot 10^3 \frac{\kappa N}{m^2}$$

$$\sigma_M = -\frac{1,54}{19,625 \cdot 10^{-4}} = -784,7 \frac{\kappa N}{m^2}$$

$$\sigma_2 = -\frac{1,54}{19,625 \cdot 10^{-4}} - \frac{0,07 \cdot 10^2 \cdot 1,185 \cdot 10^{-2}}{2,55 \cdot 10^{-6} \cdot 14,685 \cdot 10^{-2}} = -222,3 \cdot 10^3 \frac{\kappa N}{m^2}$$

$$\sigma_H = -\frac{1,54}{19,625 \cdot 10^{-4}} - \frac{0,07 \cdot 10^2 \cdot 2,37 \cdot 10^{-2}}{2,55 \cdot 10^{-6} \cdot 13,5 \cdot 10^{-2}} = -482,7 \cdot 10^3 \frac{\kappa N}{m^2}$$

PARABOLIK ARKA

Geometrik o'qi egri chiziqdan iborat bo'lgan va tayanchlari vertikal yo'nalgan yuklar ta'sirida vertikal yo'nalgan reaksiyalardan tashqari gorizontal yo'nalgan reaksiyalar ham hosil bo'ladigan konstruktsiyalar arka deb ataladi. Bu gorizontal reaksiya reaksiya kuchi deb ataladi. Arkalar balkaga qaraganda iqtisodiy jihatdan afzal hisoblanadi.

Ishning maqsadi: Qurilma omborlar, ko'priklar, fermalar va shu kabilardagi yuklangan parabolik arkalarni eksperimental usul bilan tekshirishga va quyidagilarni topishga imkon beradi:

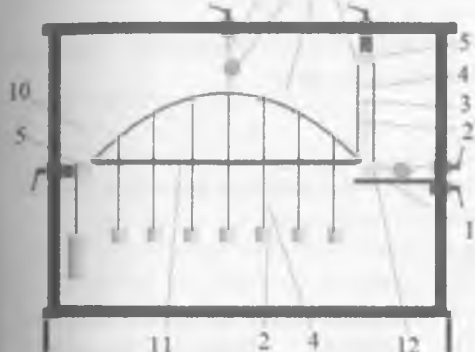
yuk ko'tara olish qobiliyatini hisoblash va o'lchash;

deformatsiyalarni hisoblash va o'lchash;

to'plangan kuch yoki chiziqli yuklanishning ta'siri.

Tajriba ishi SE 110.16 qurilmasida bajariladi. Parabolik arka eksperimental qurilmasi SE 112 montaj ramasi bilan birgalikda foydalanishga mo'ljallangan.

9 8 7 6



11-Tros, 1250mm; 12- Qo'zg'aluvchan sharnir

8.35-rasm. SE 110.16

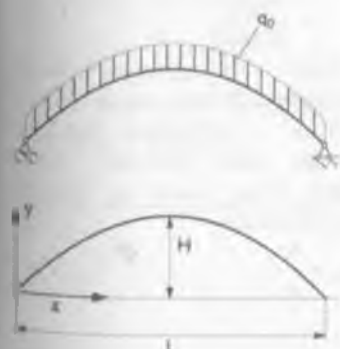
qurilmasi: 1-Tayanch

plitasi; 2-Yuk, 5N;

*3-Yuk, IN; 4-Yuk ilgich,
og'irligini; 5- Qo'zg'almas
tayanch; 6- Tros, 630mm;*

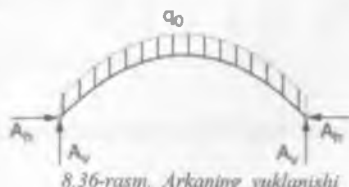
*7-Arka, po'lat, 6 x 20mm,
latun -960mm:nikel -262mm;
8-O'lchov asbobi, 0...20 mm*

*; 9- Kalta tutqich, o'lchov
asbobi uchun;
10- Turli uzunlikdag
tyagalar;*



Asosiy tushunchalar.

Parabolik arkalar ko'priklar, to'sinlar va panjaralar qurilishida asosiy element sifatida qatnashadi.



8.36-rasm. Arkaning yuklanishi

Parabolik arkalarining xarakterli xususiyati shundan iboratki, ularning uchlari mahkamlangan holda tekis taqsimlangan kuch ta'sirida ko'ndalang yo'nalihsda qirquvchi paydo bo'lmasdan, normal kuch va eguvchi momentlar yuzaga keladi. Shunday qilib arka bloklarini bir-biriga nisbatan ixtiyoriy joylashtirish mumkin. Bunga yaqqol misol sifatida ming yillardan buyon mavjud bo'lgan ko'priklarni ko'rsatish mumkin. Parabolik arkaning balandligi x va uzunligi y orasidagi munosabat quyidagicha aniqlanadi:

$$y(x) = 4H \left[\frac{x}{L} - \frac{x^2}{L^2} \right] \text{ bu erda } L \text{ umumiy uzunlik, } H \text{ eng katta balandlik (}$$

$x = \frac{L}{2}$ bo'lganda). Arka uchlardagi og'ish burchagi 45° bo'lganda H

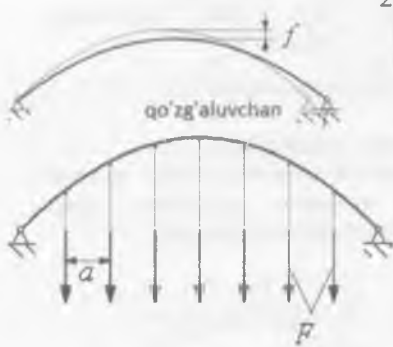
balandlik uzunlikning to'rtadan bir qismiga teng bo'ladi. Uchlarda eguvchi moment yo'qoladi va faqat normal kuch ta'sir qiladi, reaktsiya kuchi normal kuchga teng bo'ladi. Shuning uchun uning vertikal va gorizontal tuzuvchilari o'zaro teng bo'lishi kerak.

Tekis taqsimlangan vertikal yuklanishda tayanchdagi reaktsiya kuchining vertikal tuzuvchisi quyidagicha aniqlanadi

$$\sum F_v = q_0 L - 2A_r = 0 \text{ va } A_r = \frac{q_0 L}{2}$$

Reaktsiya kuchining gorizontal tuzuvchisi A_h reaktsiya kuchining vertikal tuzuvchisiga teng bo'lishi kerak.

$$\text{Bundan } A_h = A_r = \frac{q_0 L}{2}$$



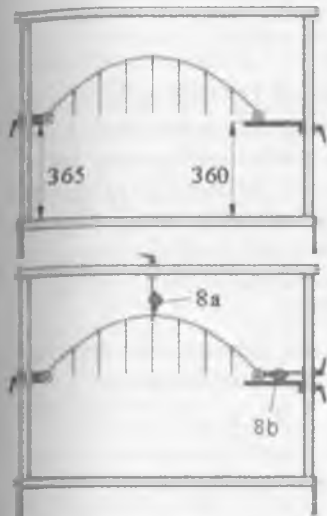
masofa a ga teng bo'lsa, taqsimlangan kuch $q_0 = \frac{F}{a}$

Uchlari erkin bo'lganda o'rtadagi egilishni quyidagi formuladan aniqlash mumkin

$$f'' = \frac{5q_0 L^4}{384EI}$$

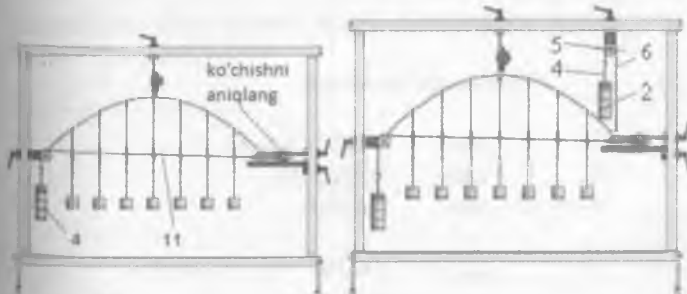
Tekis taqsimlangan kuch eksperimentlarda teng maso-falarda joylashgan to'plangan kuchlar yordamida hosil qili-nadi. Agar qiymati F ga teng to'plangan kuchlar orasidagi

Arkaning qurilishi



Tajribani o'tkazish. (8a,b) o'lchov asboblarini yuklanishsiz arkaga o'matib nol holatga keltiring.

• Arkaga $7 \times 6N$ kuchlarni qo'ying. Bunday yuklanish (4) yuk ilgich va (2) yuklarni tyagaga ilish bilan hosil qilinadi. O'lchov asboblaridan vertikal va gorizonttal ko'chishlarni aniqlang. Gorizonttal reaktsiyani aniqlash uchun ikkita uzun (11) trosni qo'zg'aluvchan sharnirning o'qiga ildiring, ikkinchi uchini qo'zg'almas tayanch shkivining ustidan o'tkazing.



(1) tayanch plitani ramaning vertikal tomoniga 360 mm balandlikka o'rnatiting. (5) qo'zg'almas tayanchni qarama-qarshi tomonga 365 mm balandlikka o'rnatiting. arkaning uchiga (12) qo'zg'aluvchan tayanchni o'rnatiting. arkaning boshqa uchini qo'zg'almas tayanchga biriktiring va qo'zg'aluvchan sharnirmi tayanch plitaga joylashtiring.

(10) tyagalarini bir xil masofalarda joylashtiring; vintlarni o'tkazib mahkamlang. Tyagalar kichik masofalarda harakatlanishi mumkin. (8) o'lchov asboblarini tutqichlariga o'rnatiting. (8a) vertikal ko'chishni o'lchovchi asbobni ramaning yuqori qismiga o'rnatiting. Qo'zg'aluvchan tayanchning gorizonttal ko'chishni o'lchovchi (8b) asbobni tayanch plitaga o'rnatiting.



- Troslar uchiga (4) yuklarning tutqichini ildiring; (2)yukni qo'zg'aluvchan sharnirning gorizontall ko'chishi dastlabki O holatga kelguncha oshirib boring. Trosga osilgan yukning qiymati A_h gorizontall reaksiya kuchiga teng bo'ladi. Vertikal reaksiyani aniqlash uchun ikkita kaltaroq (6) trojni qo'zg'aluvchan sharnirning o'qiga ildiring, ikkinchi uchini ramaning yuqori qismiga o'rnatilgan (5) shkivdan oshiring. (4) yuk tutqichni troslarga ildiring (2) yukni o'ng tomondagi shkiv yuqoriga ko'tarilib boshlaguncha oshirib boring. Bu yuk A_V vertikal reaksiya kuchiga teng bo'ladi.

Tajribani baholash. Yuklangan balkada birinchi shart bajarilishi uchun $2 \times 11N$ yuk kerakbo'ladi, shuning uchun gorizontall reaksiya

$$A_h = A_V = \frac{7F}{2} = \frac{7 \cdot 6}{2} = 22 \text{ N}$$

Hisoblash natijasi eksperimental va hisoblash natijalari bir xil
Maksimal egilish $f = 8,5 \text{ mm}$

$$\text{Taqsimlangan kuch } q_0 = \frac{F}{a} = \frac{6}{120} = 0,05 \frac{\text{N}}{\text{m}}$$

Uzunlik $L = 960 \text{ mm}$ va inertsiya momenti $I = 360 \text{ mm}^4$ bo'lganda hisoblash orqali topilgan egilish

$$f = \frac{5q_0L^4}{384EI} = \frac{5 \cdot 0,05 \cdot 960^4}{384 \cdot 210000 \cdot 360} = 7,31 \text{ mm}$$

Bu qiymat tajribada aniqlanganida kichik. Bunga sabab shkivlarning elastikligi

Texnik ma'lumotlar

Uzunligi:	960	mm	O'lchov asbobi
Balandligi:	262	mm	Diapazoni:
Ko'ndalang kesimi	20mm x 6	mm	Shkalasi:
Inertsiya momenti	360	mm ⁴	Yuklar to'plami
Elastiklik moduli:	210000	N/mm ²	16x1 N 19x5 N

IX-BOB. MURAKKAB QARSHILIKLAR

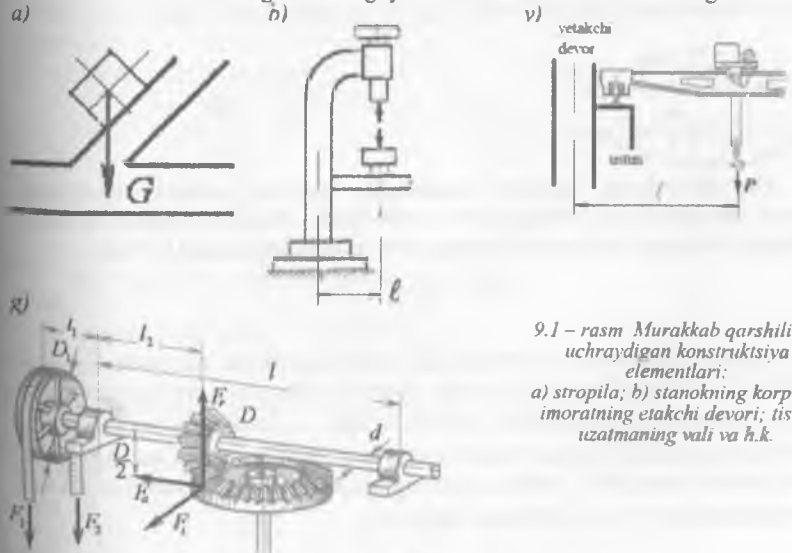
Texnikada ishlaydigan hamma detallar ham oddiy deformatsiyalar, ya'ni cho'zilish va siqilish, siljish, buralish yoki egilish deformatsiyalariga uchramasdan, balki bir paytda shu oddiy deformatsiyalarining kamida ikkitasi ta'sirida bo'lishi mumkin. Bunday holda konstruktsiya qismi murakkab deformatsiyaga duch keladi. Shuning uchun, mashina yoki inshoot qismlarining ko'ndalang kesimida bir vaqtida ikkita va undan ortiq ichki kuch faktorlari hosil bo'ladi. Natijada kesim yuzasida shunday murakkab kuchlanganlik holati kelib chiqadiki, kuchlarning mustaqillik alomatiga asosan bu kuchlanganlik holati oddiy kuchlanganliklar yig'indisidan iborat deb qarash mumkin. Kuchlarning mustaqillik alomatini murakkab deformatsiyaga tadbiq etish uchun, elementning deformatsiyasi kichik va uning materiali Guk qonuniga bo'y sunishi kerak. Quyidagi rasmlarda murakkab qarshilik holatidagi ayrim konstruktsiya elementlari ko'rsatilgan.

9.1-rasm,a.-da imoratlarning tomiga o'rnatilagan stropila ko'rsatilgan. Stropila shifer, yomg'ir, shamol va qorning bosimi ta'sirida bo'ladi. Vertikal pastiga yo'nalgan G -og'irlilik kuchi stropila kesimining birorta ham (markaziy) simmetriya o'qi tekisligida yotmaydi. Unda stropila G -kuchning ta'sir chiziqiga va $x, y - o'qlari bilan mos tushmaydigan teksilikda egiladi. Murakkab - qiyshiq egilish hosil bo'ladi.$

9.1-rasm, b.da detalni parmalaydigan stanok ko'rsatilgan. Uning vertikal korpusi parmalashda hosil bo'lgan bosim kuchi ta'sirida markazlashmagan cho'zilish va siqilishda bo'ladi.

9.1-rasm, v.da, ko'priklı kran va undagi yukning og'irligi ta'siridan markazlashmagan cho'zilish va siqilishga qarshilik ko'rsatayotgan yotakchi devor ko'rsatilgan. Devorning kesimida cho'zilish yoki siqilishdag'i va egilishdag'i normal kuchlanishlar hosil bo'ladi.

9.1-rasm, g.da tasmali uzatma harakatni elektrodvigateldan olib val orgali konussimon tishli uzatmaga va uning yordamida ikkinchi vertikal valga uzatadi

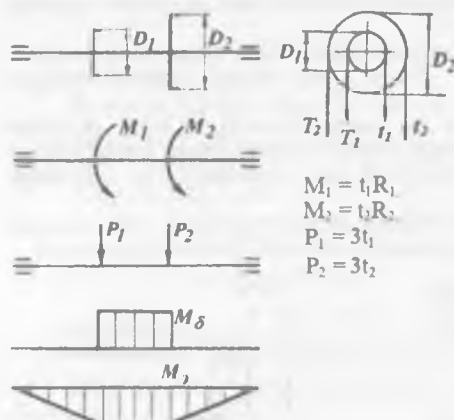


9.1 – rasm Murakkab qarshilikka uchraydigan konstruktsiya elementlari:
a) stropila; b) stanokning korpusi; imorating etakchi devori; tishli uzatmaning vali va h.k.

Tasmalarni bosim kuchi ta'sirida va uzatmaning shesternya va g'ildirak ilashmasida hosil bo'lgan doiravi F , radial F_r va bo'ylama F_a - kuchlar ta'siridan esa val egilish deformatsiyasiga, tasma va uzatma orasidagi aylantiruvchi moment ta'sirida esa buralish deformatsiyasiga uchraydi. Demak, val bir vaqtda buralish va egilish deformatsiyalariga uchraydi. Valni kesim yuzasida buralishdagi urinma va egilishdagi normal kuchlanish hosil bo'ladi

9.1. Egilish bilan buralishning birgalikdagi ta'siri

Buralishga ishlaydigan sterjen val deyiladi. Val mashina, stanok va mexanizmlarning harakatga keltiruvchi asosiy elementi bo'lib, ko'pincha buralish bilan egilish deformatsiyalarining ta'siri natijasida ishlaydi. Shkivga o'rnatilgan remenlarning taranglik kuchlarining valga bosimi (R) (9.2-rasm) ta'sirida egilish deformatsiyasi, remenni etaklovchi va etaklanuvchi qismlarining taranglik kuchlari val kesimining markaziga nisbatan momentlari (M_1, M_2) ta'sirida buralish deformatsiyasi hosil bo'ladi.

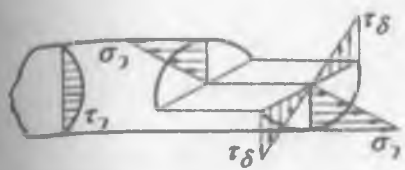


9.2-rasm. Tasmali uzatma, M_1, M_2 aylantiruvchi momentlar, R_1, R_2 tasmalarni valar- ga bosim kuchlari, M_6 burovchi va M_E eguvchi momentlari bilan yuklangan val

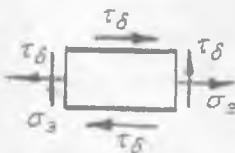
Demak, valning kesimida buralishdagi burovchi moment; eg-lishdagi eguvchi moment va ko'ndalang kuch hosil bo'ladi. Burovchi moment ta'sirida, valning ko'ndalang kesimida buralishdagi urinma kuchlanishi hosil bo'ladi:

$$\tau_6 = \frac{M_6}{W_p} \quad (9.1)$$

Urinma kuchlanish val kesimining chetki nuqtalarida eng katta qiymatga erishadi. Ko'ndalang kuch Q ta'siridagi urinma kuchlanish, burovchi momentdan hosil bo'lgan urinma kuchlanishiga nisbatan kichik. τ_3 kuchlanish val kesimining markazida eng katta qiymatga erishadi. Lekin valni hisoblashda, bu kuchlanishning ta'siri sezilarli emas (9.3 - rasm). Shuning uchun ko'ndalang kuch Q ta'siridagi urinma kuchlanish τ_3 ni e'tiborga olmaymiz.



9.3 – rasm. Valning kesimidagi kuchlanishlar.



9.4-rasm. Val sirtidan ajratilgan material tekis kuchlanganlik holatida

Eguvchi moment ta'sirida valning ko'ndalang kesimda egilishdagi normal kuchlanish hosil bo'ladi.

$$\sigma_3 = \frac{M_x}{W_x} \quad (9.2)$$

Normal kuchlanish val kesimining chetki nuqtalarida eng katta qiymatga erishadi va kesim markazida nolga teng.

Demak, val kesimining chetki nuqtasida $\tau_\delta = \tau_{\max}$ va $\sigma_3 = \sigma_{3\max}$ bo'lib, bu nuqta atrofida ajratilgan elementar yuza xavfli holatda va tekis kuchlanganlik holatida (9.4-rasm). Ajratilgan elementning old qismi va unga parallel bo'lган orqa tomoni har qanday kuchlanishlar ta'siridan ozod. Shuning uchun bu yuza bosh yuza va bu yuzadagi bosh normal kuchlanish nolga teng. Uchta bosh kuchlanishlardan bittasi nolga teng bo'lган holatdagi elementning kuchlanganlik holati tekis kuchlanganlik. Murakkab kuchlanganlik holatidagi valning mustahkamligi, mustahkamlik nazariyalarini asosida tekshiriladi. Po'latdan mayorlangan valning mustahkamligi III va IV mustahkamlik nazariyalarini bo'yicha tekshiriladi.

$$\text{III nazariya} \quad \sigma_1 - \sigma_3 \leq [\sigma] \quad (9.3)$$

Agar $\sigma_3 = \frac{M_3}{W} \neq a$ $\tau_\delta = \frac{M_6}{W_F} = \frac{M_6}{2W}$ kuchlanishlarni III nazariyaga

keltirib qo'ysak: $\frac{\sqrt{M_3^2 + M_6^2}}{W} \leq [\sigma] \quad (9.4)$

bu erda $\sqrt{M_3^2 + M_6^2} = M$ keltirilgan moment.

$$\text{Mustahkamlik shart} \quad \frac{M_{\text{kez}}}{W} \leq [\sigma]. \quad (9.5):$$

Bal kesimining o'lchamlari quyidagicha topiladi $W = \frac{M_{\text{kez}}}{[\sigma]}$ yoki agar

$$W = \frac{\pi \cdot d^3}{32} \text{ bo'lsa, valning diametri:}$$

$$d = \sqrt[3]{\frac{32M_{\text{kes}}}{\pi \cdot [\sigma]}} \quad (9.6)$$

IV nazariya $\sqrt{\sigma_s^2 + 3\tau_6^2} \leq [\sigma]$ va σ_s, τ_6 larni hisobga olsak,

$$\frac{\sqrt{M_s^2 + 0,75M_6^2}}{W} \leq [\sigma] \quad \text{ba} \quad W = \frac{\sqrt{M_s^2 + 0,75M_6^2}}{[\sigma]} = \frac{M_{\text{kes}}}{[\sigma]} \quad (9.7)$$

9.2. QIYSHIQ EGILISH

Amaliyotda shunday konstruktsiya qismlari uchraydiki, bu holatda elementga qo'yilgan tashqi kuchning ta'sir chizig'i elementning bo'ylama o'qiga perpendikulyar joylashib, uning ko'ndalang kesimining birorta ham bosh inertsiya o'qlari tekisligidan o'tmaydi. Bunday sterjenning egilishi tashqi kuchning ta'sir qilish tekisligida yotmaydi. Qiysiq egilish sodir bo'ladi. Masalan, bino tomidagi tunuka ostiga qoqiladigan taxtalar qiysiq egilishga ishlaydi (9.5-rasm,a). F kuch u'bosh inertsiya o'qiga nisbatan φ burchak ostida joylashgan. F kuchning x va u o'qlaridagi ajratuvchilarini topamiz $F_y = F \cos \varphi$ va $F_x = F \cdot \sin \varphi$

Ixtiyoriy Z masofada joylashgan bosh inertsiya o'qlari (X_I va U_I) ga nisbatan F_X va F_Y kuchlarining eguvchi momentlari quyidagicha yoziladi:

$$M_{yI} = -F_z \cdot z = -F \cdot z \cdot \sin \varphi$$

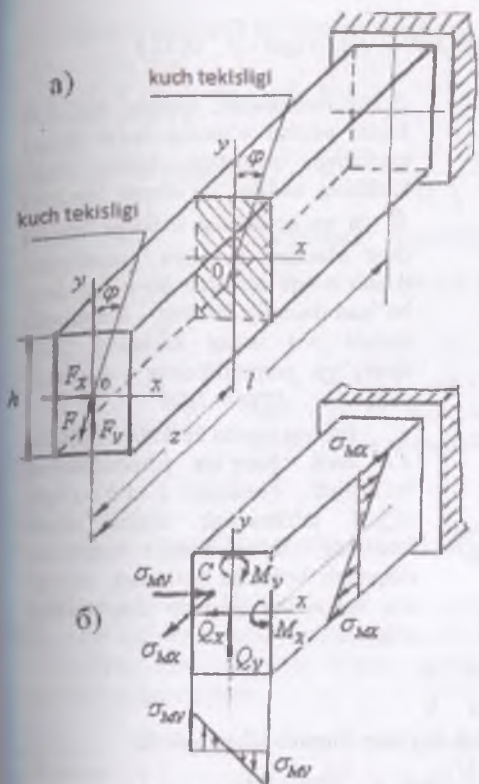
$$M_{xI} = -F_y \cdot z = -F \cdot z \cdot \cos \varphi$$

$M = F \cdot z$ deb qabul qilsak, $M_X = M \cdot \sin \varphi$ va $M_Y = M \cdot \cos \varphi$ hosil bo'ladi. Demak, sterjenning ko'ndalang kesimida ikkita eguvchi moment paydo bo'ladi va bu momentlar sterjenni ikkita bosh inertsiya tekisliklarida egadi. Sterjenning kesim yuzasidan tanlangan ixtiyoriy S nuqta kuchlanishining formulasini yozamiz:

$$\sigma_C = -\frac{M_Y \cdot X_C}{I_Y} - \frac{M_X \cdot Y_C}{I_X} = -M \left(\frac{\cos \varphi \cdot X_c}{I_Y} + \frac{\sin \varphi \cdot Y_c}{I_X} \right) \quad (9.8)$$

bu erda: I_Y va I_X sterjen kesimining u va x o'qlariga nisbatan inertsiya momenti.

x_C va y_C sterjen kesimidan ajratilgan C nuqtaning koordinatalari. C nuqta sterjenning siqiladigan tolalari tomonida joylashganligi uchun σ_c normal kuchlanishning ishorasi manfiy. Agar, C nuqtani koordinata o'qlarining manfiy tomoniga yoki sterjen materialining cho'ziladigan tolalariga o'tkazsak, normal kuchlanishning ishorasi musbat bo'ladi. Tekis ko'ndalang egilishdagidek, qiysiq egilishda ham normal kuchlanishning qiymati, asosan u va x koordinatalariga bog'liq.



9.5-rasm. Qiysiq egilish:
a) brusni yuklanishi;
b) kesimdagagi kuchlanishlari.

Qiysiq egilishda kesimning aylanishida neytral o'qdan eng uzoqda joylashgan tolasi eng katta deformatsiyaga uchraydi. Shuning uchun, qiysiq egilishda xavfli holatdagi nuqtani aniqlash uchun, avvalo sterjenning kesimida neytral o'qning holati va undan eng uzoqda joylashgan nuqta topiladi.

Tekis ko'ndalang egilishdan ma'lumki, normal kuchlanish neytral qatlarda nolga teng, ya'ni

$$O = -M \left(\frac{\cos \varphi \cdot X_o}{I_y} + \frac{\sin \varphi \cdot Y_o}{I_x} \right) \quad M \neq 0 \text{ bo'lmasani uchun}$$

$$\frac{\cos \varphi \cdot X_o}{I_y} + \frac{\sin \varphi \cdot Y_o}{I_x} = 0 \quad (9.9)$$

bu erda: X_o va Y_o normal kuchlanishi nolga teng bo'lgan holatga to'g'ri keluvchi nuqtaning koordinatalari.

(9.9) formulaga asosan, neytral o'q koordinata boshidan o'tuvchi to'g'ri chiziq. Neytral o'q u - o'qiga α burchak ostida joylashgan (9.6 - rasm). (9.9)

formulad

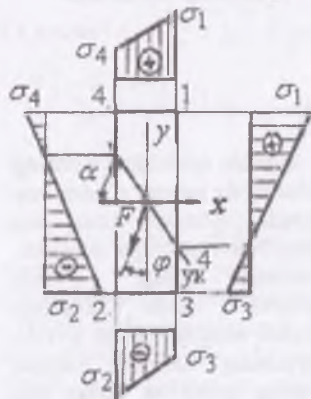
$$\left[\frac{X_o}{Y_o} \right] = \operatorname{tg} \varphi \cdot \frac{I_y}{I_x} \quad (9.10)$$

hosil qilamiz. 9.6 - rasmdan

$$\left[\frac{X_o}{Y_o} \right] = \operatorname{tg} \alpha$$

(9.10) formulani quyidagicha yozamiz:

$$\operatorname{tg}\alpha = \operatorname{tg}\varphi \frac{I_y}{I_z} \quad (9.11) \text{ yoki } \operatorname{tg}\varphi = \operatorname{tg}\alpha \cdot \frac{I_z}{I_y} \quad (9.12)$$



9.6 – rasm. Brus kesimining tomonlari kuchlanishlarni tarqalish qonuniyati

(9.11) formuladan, qiyshiq egilishda kesim neytral o'qining holati tashqi kuchning qiymatiga emas, balki kuchning uo'qiga og'ishgan burchagi φ ga va kesimning shakliga bog'liq ekan Masalan: inertsiya momentlari ikkala o'qqa nisbatan bir-biriga teng bo'lgan doiraviy, kvadrat – kesimlarda neytral o'q tashqi kuchning ta'sir chizig'iga perpendikulyar joylashadi, ya'ni $\operatorname{tg}\alpha = \operatorname{tg}\varphi$

Boshqa barcha kesimlarda neytral o'q kuch chizig'iga perpendikulyar bo'lmaydi. Tomonlari h va b bo'lgan to'g'ri to'rburchak kesim uchun kuchning ta'sir chizig'i kesimning diagonalini bo'yicha joylashsa, neytral o'q kesimning ikkinchi diagonalidan o'tadi.

$$\operatorname{tg}\varphi = \frac{bh^3 \cdot 12}{b^3 h \cdot 12} \cdot \frac{b}{h} = \frac{h}{b}$$

Qiyshiq egilishda normal kuchlanish quyidagi formula bilan topiladi:

$$\sigma = \pm M \left(\frac{\cos \varphi \cdot x}{I_y} + \frac{\sin \varphi \cdot y}{I_z} \right) \quad (9.13)$$

Kesimning neytral o'qda joylashgan I va II nuqtalarida kuchlanish maksimal qiymatga, neytral o'q ustidagi barcha nuqtalarida nolga teng va neytral o'qga yaqin joylashgan nuqtalarda (3 va 4) minimal bo'ladi. Kesimni turli nuqtalari uchun topilgan kuchlanishlarning qiymatlari yordamida qiyshiq egilishdagi kuchlanish epyurasini qurish mumkin. (9.13) formulada ko'pincha

$$\frac{I_y}{x_{\max}} = W_y \text{ va } \frac{I_x}{y_{\max}} = W_x \text{ ifoda bilan almashtiriladi}$$

$$\sigma = \pm M \left(\frac{\cos \varphi}{W_y} + \frac{\sin \varphi}{W_z} \right) \quad (9.14)$$

Qiyshiq egilishda mustahkamlik sharti.

$$\sigma_{\max} = M_{\max} \left(\frac{\cos \varphi}{W_y} + \frac{\sin \varphi}{W_z} \right) \leq [\sigma] \quad (9.15)$$

Qiyshiq egilishda ko'chishni aniqlash. Kuchlarning mustaqillik alomatiga

$$\text{asosan: } f_z = \frac{F_z \ell^3}{3EI_y} \quad \text{ba} \quad f_y = \frac{F_y \ell^3}{3EI_z} \quad (9.16)$$

$$\text{Unda to'liq ko'chish } f = \sqrt{f_z^2 + f_y^2} = \frac{F \ell^3}{3E} \sqrt{\frac{\cos^2 \varphi}{I_y^2} + \frac{\sin^2 \varphi}{I_z^2}}$$

Yuqoridagi formulalardan ko'rinishicha ster-jenning egilishi uning bikrligiga bog'liq $\frac{f_y}{f_z} = \operatorname{tg}\varphi = \operatorname{tg}\alpha \cdot \varphi \frac{I_y}{I_z}$ va

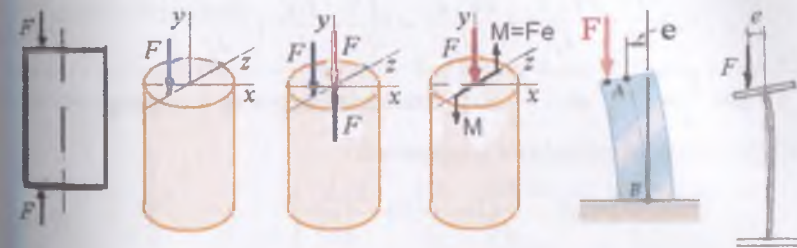
$$f = \frac{f_y}{\sin y} = \frac{f_z}{\sin z}$$

*Qiyshiq egilishda
ko'chish*

hosil qilamiz. Agar $\alpha = \varphi$ bo'lsa, sterjenning egilishi neytral o'qga perpendikulyar tekislikda sodirbo'ladi

9.3 MARKAZLASHMAGAN SIQILISH (CHO'ZILISH)

Markaziy bo'lмаган cho'zilish yoki siqilish deb - bo'ylama o'qiga parallel kuch ta'sirida cho'zilish (siqilish) ga uchraydigan va ko'ndalang kesimining birorta ham bosh inertsiya o'qlari tekisligida egilmaydigan brusning deformatsiyasiga aytildi

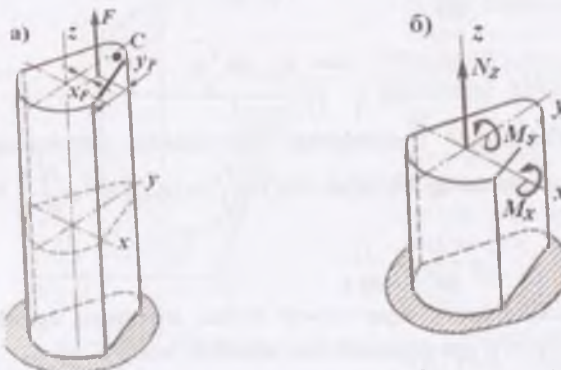


Brusni markazlashmagan siqilishiga oid

Markazlashmagan siqilish (cho'zilish) qurilishda bino ustunlarini hisoblashda ko'p uchraydi. XOY o'qlariga nisbatan X_F va Y_F masofalarda joylashgan F kuch ta'siridagi brusning markazlashmagan siqilshini (9.7-rasm) ko'rib chiqaylik. F kuch ta'sirida brusning istalgan kesimida $N_z = -F$ siquvchi bo'ylama kuch va $M_x = -Fy$ va $M_y = -Fx$ eguvchi momentlari hosil bo'ladi.

Brus F kuch ta'sirida siqiladi, M moment ta'sirida egilishga uchraydi. Brus M_y eguvchi momenti ta'sirida OY o'q atrofida OX tekisligida egiladi.

$M_x = Fy$ momenti ta'siridan brus OY tekisligida OX o'q atrofida egiladi (9.7 - rasm).



9.7 - rasm . Markazlashmagan cho'zilish va sifilish: a) brusni yuklanish sxemasi; b) kesimdag'i ichki kuch faktorlar

C nuqta brusning cho'ziladigan tolalarida joylashgan. Shuning uchun normal kuchlanish – musbat ishorali. Unda S nuqtadagi kuchlanish quyidagicha

$$\sigma_c = \frac{F}{A} + \frac{FY_F \cdot Y_c}{I_x} + \frac{FX_F X_c}{I_y} = F \left(\frac{1}{A} + \frac{Y_c Y_F}{I_x} + \frac{X_c X_F}{I_y} \right) \quad (9.17)$$

Agar $\frac{I_x}{A} = i_x^2$ $6a$ $\frac{I_y}{A} = i_y^2$ brus kesimining X va Y o'qlariga nisbatan inertsiya radiuslarini hisobgaolsak:

$$\sigma_c = \frac{F}{A} \left(1 + \frac{Y_c Y_F}{i_x^2} + \frac{X_c X_F}{i_y^2} \right) \quad (9.18)$$

(9.18) formuladan brus istalgan nuqtasining kuchlanishini topish mumkin. Buning uchun nuqtaning koordinatalari X va Y ishoralarini hisobga olish kerak. Masalan: kesimdan ixtiyoriy tanlangan koordinatalari X_B va Y_B bo'lган

B nuqta brusning sifiladigan tolalarida joylashsa nuqtadagi kuchlanishning ishorasi manfiy bo'ladi.

$$\sigma_B = -\frac{F}{A} \left(1 - \frac{Y_F Y_B}{i_x^2} - \frac{X_F X_B}{i_y^2} \right)$$

Demak, markazlashmagan siqilishda ham oddiy ko'ndalang yoki qiyishiq egilishdagi kabi normal kuchlanish nuqtaning qaysi chorakida yoki qaysi tolalarida joylashganligiga bog'liq ekan. Markazlashmagan siqilishda brusning xavfli holatidagi materialni aniqlash uchun, avvalo brus kesimidagi neytral o'qning holati va undan eng uzoqda joylashgan nuqtasini topamiz. Ko'ndalang egilishdan ma'lum-ki, neytral o'qda normal kuchlanish nolga teng, ya'ni

$$\sigma = -\frac{F}{A} \left(1 + \frac{X_F X_o}{i_y^2} + \frac{Y_F \cdot Y_o}{i_x^2} \right) = 0$$

bu erda X_o va Y_o - neytral o'q ustida joylashgan nuqtaning koordinatalari. $\frac{F}{A} \neq 0$ bo'limganligi uchun

$$1 + \frac{X_F X_o}{i_y^2} + \frac{Y_F \cdot Y_o}{i_x^2} = 0 \quad (9.19)$$

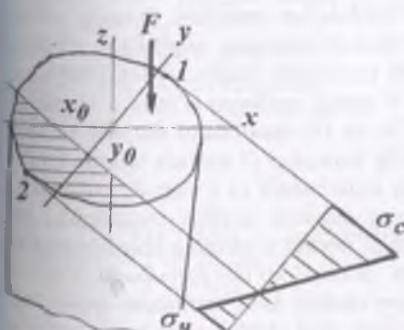
(9.19) tenglama neytral o'q tenglamasi. Neytral o'q koordinata boshidan o'tmaydigan to'g'ri chiziq. Bu tenglamadan XOY koordinata boshidan neytral o'qgacha bo'lgan masofalar X_o va Y_o larni topish mumkin.

$Y_o = 0$ bo'lsa, (9.19) dan $1 + \frac{X_F X_o}{i_y^2} = 0$ ifodani olamiz.

Shuningdek, $X_o = 0$ bo'lsa $1 + \frac{Y_F \cdot Y_o}{i_x^2} = 0$ hosil bo'ladi.

$$\text{Bu tenglamalarni echib } X_o = -\frac{i_y^2}{X_F} \text{ va } Y_o = -\frac{i_x^2}{Y_F} \quad (9.20)$$

neytral o'q koordinata o'qlarining kesishidan hosil bo'lgan kesmalarni topamiz.



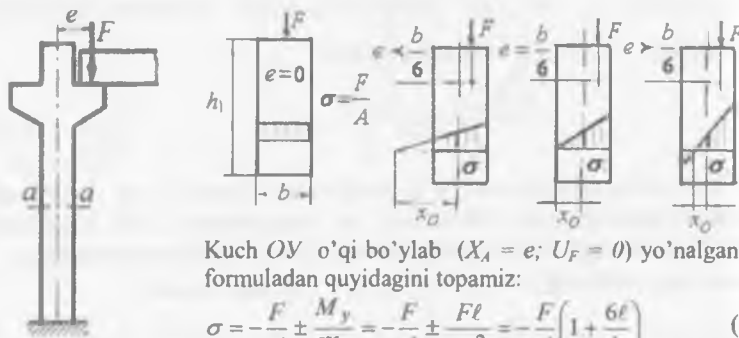
9.8-rasm. Kesim yuzada normal kuchlanishni tarqalish qonuniyati

Demak, neytral o'q X va Y o'qlarini X_o va Y_o masofalardan kesib o'tadi (8.8-rasm). Neytral o'q kesim yuzasini ikki qismiga, cho'ziladigan va siqiladigan tolalarga ajratadi. Agar kesimning konturiga neytral o'qga parallel urinmalar o'tkazsak, brus kesimining neytral o'qdan eng uzoqda joylashgan nuqtalarini (1 va 2) aniqlaymiz. Kesimdag'i eng katta cho'zuvchi va siquvchi normal kuchlanishlar 1 va 2 nuqtalarda hosil bo'ladi 1 nuqta brusning cho'zilgan tolasida joylashganligi

uchun (9.8-rasm) normal kuchlanish musbat, 2 nuqtada manfiy. Normal kuchlanish kesim yuzasida to'g'ri chiziqli qonuniyat bilan o'zgaradi va kesimning konturida eng katta qiymatga erishadi

$$\sigma_{32} = \pm \frac{F}{A} \left(1 \pm \frac{X_F \cdot X_{12}}{I_F^2} \pm \frac{Y_F \cdot Y_{12}}{I_F^2} \right)$$

Kesim yuzasi to'g'ri to'rburchakdan iborat bo'lgan brusning markazlashmagan siqilishida, kesimning neytral o'qini turli hollarda o'zgartirib ko'ramiz (8.7 - rasm).



Kuch OY o'qi bo'ylab ($X_A = e; U_F = 0$) yo'nalgan (9.18) formuladan quyidagini topamiz:

$$\sigma = -\frac{F}{A} \pm \frac{M_y}{W_y} = -\frac{F}{A} \pm \frac{F\ell}{hb^2} = -\frac{F}{A} \left(1 + \frac{6e}{b} \right) \quad (9.21)$$

Bu formuladan ko'rilib turibdiki, $e = 0$ bo'lganda kesimning barcha nuqtalarida bir xil kuchlanish paydo bo'ladi (9.9 - rasm).

Kesim yadrosi. Texnikada va qurilishda uchraydigan ayrim materiallar (beton, kирпич, ўог'оҷ, чо'ян, шиша) cho'зилиш ва siqilishga bir xil qаршилик ko'rsata olmaydi. Bunday materiallarning kesim yuzasida ikki xil ishorali kuchlanish hosil bo'lishi noqulaydir, ya'ni maqsadga muvofiq emas. Masalan: mo'т materiallar siqilishga nisbatan cho'зилишда tez emirliladi. Shuning uchun mo'т materialdan tayyorlangan brus markazlashmagan siqilishga uchrasa, ko'ndalang kesim yuzasida bir xil ishorali kuchlanish (siqvchi) hosil bo'lgani ma'qul. Buning uchun kesimning neytral o'qining egallagan o'mini o'zgartirish kerak. Masalan: (9.20) formulaga asosan X_0 va U_0 masofalarni shunday tanlash mumkinki, bu holatda neytral o'q kesimning konturiga D nuqtada urinma bo'lib qoladi. Unda G' kuch kesimning markaziga yaqinlashadi va 2 nuqtada joylashadi. Xuddi shunday 3,4,5 nuqtalarni kesimning markazi atrofida aylantirsak, bu nuqtalarga mos ravishda 3,4,5 chiziqlar, ya'ni neytral o'qlarning holatlari to'g'ri keladi. Neytral o'qlar kesimning sirtiga urinma bo'lib joylashadi. *Neytral o'qlarning bu holatlariiga to'g'ri keladigan cheksiz kuch nuqtalarni kesimning markazi atrofida aylantirilishida hosil bo'lgan egri chiziqli soxa-kesim yadrosi deyiladi.* Kesim yadrosi ichiga qo'yilgan har qanday tashqi kuch kesim yuzasida bir xil ishorali kuchlanishni yuzaga keltiradi. Masalan: Tomonlari b va h bo'lgan to'g'ri to'rburchakli kesim uchun kesim yadrosini topamiz. Buning uchun

kesimining tomonlariga urinmalar o'tkazamiz (9.9 - rasm), I-I urinmani XOY koordinata sistemasidagi koordinatalari: $X_o = -\frac{i_y^2}{x_s}$ va $Y_o = -\frac{i_x^2}{y_s}$

formulalaridan foydalanib kesim yadrosini koordinatalarini topamiz:

$$X_F = X_s = -\frac{i_x^2}{\infty} \quad \text{ea} \quad Y_F = Y_s = -\frac{i_x^2}{h} = -\frac{2I_x}{hF} = -\frac{2bh^3}{12bh^2} = -\frac{h}{6}$$

$$X_s = Y_s = \pm \frac{i_x^2}{R} = \pm \frac{I_x}{FR} = \pm \frac{\pi \cdot R^4}{4\pi \cdot R^2 R} = \pm \frac{R}{4}$$

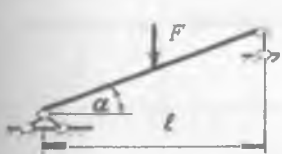
Shunday qilib, I-I urinmaga to'g'ri keluvchi kesim yadrosini I nuqtasi O' o'qida OX o'qidan $Y_{s\sigma} = -\frac{h}{6}$ masofada joylashadi.

III-III urinmaga to'g'ri keladigan kesim yadrosining 3 nuqtasi ham OV o'qida OX o'qdan $Y_{3\sigma} = -\frac{h}{6}$ masofada joylashadi. II-II va IV-IV

urinmalar uchun $Y_{3\sigma} = 0$ va $X_s = \pm \frac{h}{6}$ hosil bo'ladi. 1, 2, 3, 4 nuqtalarni to'g'ri chiziglar bilan tutashtirsaq, romb hosil bo'ladi (9.10 - rasm). Doiraviy kesim uchun kesim yadrosi doiraning markazi atrofsida joylashgan va radiusi

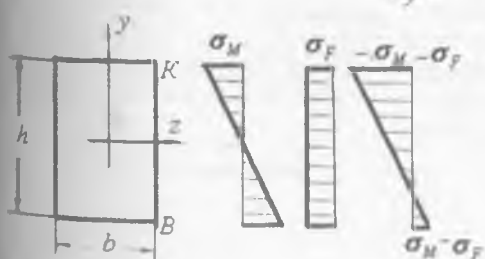
$$r = \frac{R}{4} \text{ bo'lgan doira bo'ladi.}$$

9.10 - rasm. Kesim yadrosini aniqlash sxemasi



Tashqi F kuch bilan yuklangan balka sharnirli tayanchga tayangan va gorizontga nisbatan α burchakda joylashgan F kuchni balka kesimining bo'ylama o'qiga va normaliga proektsiyalaymiz

$$F_y = F \cos \alpha \quad \text{ea} \quad F_x = F \sin \alpha$$



9.11 - rasm. Kuchlanishlar

F_x kuch ta'sirida balka oddiy ko'ndalang egilishda bo'ladi Natijada balkaning ko'ndalang kesimida egilishdagi, ya'ni eguvchi moment ta'siridagi normal kuchlanish hosil bo'ladi. F_x - kuch ta'sirida balka siqiladi va balkaning ko'ndalang kesim yuzasida teng tarqalgan siquvchi normal kuchlanish hosil

$$\text{bo'ladi: } \sigma_F = -\frac{F}{A}.$$

Balka kesimining chetki nuqtalaridagi to'liq kuchlanish

$$\sigma = \pm \frac{M}{W_z} \pm \frac{F}{A} \quad \text{e}ku \quad \sigma_k = -\frac{M}{W_z} - \frac{F}{A} \quad \text{sa} \quad \sigma_B = \frac{M}{W_z} - \frac{F}{A}$$

SAVOLLAR

1. Murakkab qarshiliklar nima?
2. Murakkab qarshiliklar turlarini ayting?
3. Valni buralish bilan egilishida kesim yuzasida qanday kuchlanishlar hosil bo'ladi?
4. Buralish bilan egilishda mustahkamlik shartni yozing?
5. Valni diametrini aniqlang?
6. Qiyshiq egilish sxemasini chizing?
7. Qiyshiq egilishda neytral o'q tenglamasini yozing?
8. Qiyshiq egilishda mustahkamlik shart formulasini yozing?
9. Qiyshiq egilishda mustahkamlik shart formulasidan foydalanib kesimni tanlang?
10. Markaziy bo'limgan cho'zilish va siqilishda normal kuchlanish formulasini yozing?
11. Markaziy bo'limgan cho'zilish va siqilishda kesimni neytral o'q tenglamasini yozing?
12. Markaziy bo'limgan cho'zilish va siqilishda mustahkamlik shart formulasini yozing?
13. Kesim yadrosi nima?
14. Markaziy bo'limgan cho'zilish va siqilishda deformatsiya qanday aniqlanadi?
15. Markaziy bo'limgan cho'zilish va siqilishda normal kuchlanish sterjen kesim yuzasida qanday qonuniyat bilan o'zgaradi?

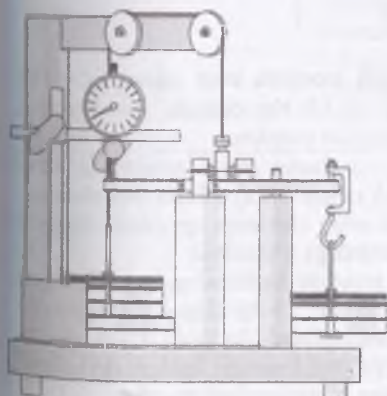
Kuchlanganlik holatini tajribada tekshirish

Ishning maqsadi: sof egilish yoki sof buralish yoki ularning kombinatsiyasini namunada tekshirish

Didaktik maqsad. Materiallar qarshiligi fanidagi turli mustahkamlik nazariyalariga mos ruxsat etilgan kuchlanishlar WP 130 sinov uskunasi yordamida aniqlanishi mumkin. Tadqiqotchiga materiallar qarshiligining bu nazariy va tushunarsiz qismi tajriba orqali tushunarli bo'ladi.

Ruxsat etilgan kuchlanishlardan materialdag'i kombinatsiyalashgan normal va urinma kuchlardan hosil bo'lgan kuchlanishni topishda foydalilanadi. Chunki materialning xususiyatlarini faqat bir o'qli kuchlanganlik holatida (uzilishdagi mustahkamlik chegarasi, oquvchanlik chegarsi) aniqlash mumkin, unga mos ruxsat etilgan kuchlanishlar ikki yoki uch o'qli kuchlanganlik holatida aniqlanishi zarur.

Normal va urinma kuchlanishlar ruxsat etilgan kuchlanishlar kriteriyasini isbotlash uchun namunaning aynan bitta nuqtasida qaralishi kerak. Urinma kuchlar bu erga ta'sir qilmaydi, chunki ular maksimum qiymatga o'rta kesimda erishadi. Bu sinov uskunasida namunaning kuchlanganlik-deformatsiyalanganlik holati egilish va buralishdan iborat bo'ladi. Ular sodda mexanik vositalar yordamida amalga oshiriladi. Sinov uskunasi sof egilish yoki sof buralish yoki ularning kombinatsiyasini namunada tekshirish uchun mo'ljallangan. Tajriba WP130 sinov qurilmasida bajariladi.

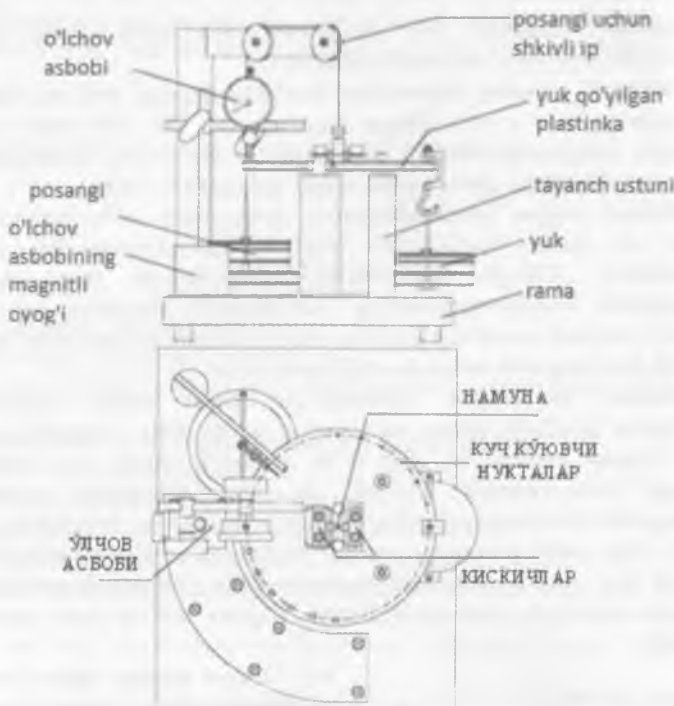


WP130 qurilmasi

WP130 sinov uskunasi sodda ko'rinishda va aniq ishlaydi. Sodda ko'rinishdagi namunalardan foydalilanildi.

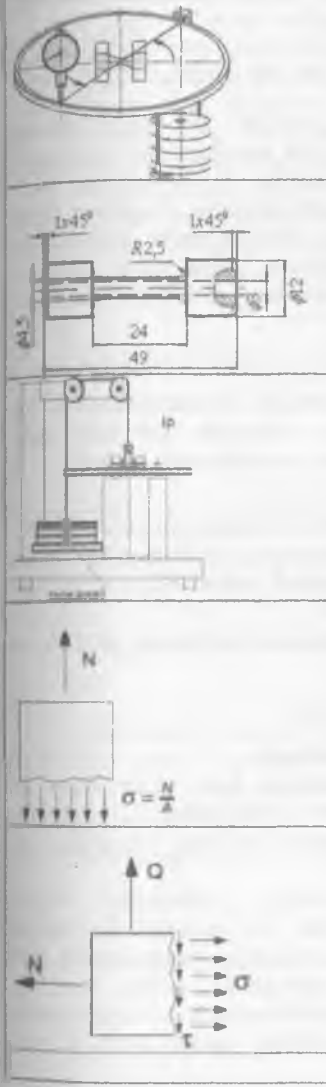
Namunaning bir uchi qo'z-g'almas ramaga ikkinchi uchi esa doiraviy plastinkaga mahkamlanadi. Yuk doiraviy plastinkaning chetiga talab qilingan ixtiyoriy burchak bilan qo'yilishi mumkin. Bu esa namunada hohlagan ko'p o'qli kuchlanganlik holatini yuzaga keltiradi. Namunaning deforma-tsiyasi o'lchov asbobida ko'riniib turadi. Tadqiqotchi deformatsiyani o'lchashda qaysi mexanik vosita-lardan foydalinish va sinovlarni qanday o'tkazishni o'rganadi

Sinov uskunasining ko'rinishi



Sinov uskunasining funksiyasi. Kuch momenti kuch elkasi va yuklar yordamida hosil qilinadi. Kuch momenti 0 va 3.0 Nm oraliqda yuk diskitidagi bo'linishlarga mos ravishda 0.1 Nm dan o'zagarishi mumkin.

	<p>Doiraviy plastinkadan kuch momentini hosil qilishda kuch richag (elka) sifatida foydalaniladi. Yuk plastinkaning chetlariga qo'yiladi. Namuna esa uning markaziga o'rnatiladi. Eguvchi va burovchi kuchlarning kombinatsiyasi kuch qo'yiluvchi belgi-langan nuqtalardan foydalanib hosil qilinadi. Bu holda 0° sof eguvchi momentga, 90° sof burovchi kuchga ekvivalent. Kuch 15° bilan siljitim borilishi mumkin. Deformatsiya kuch qo'yilgan nuqtaga diametrial qarama-qarshi nuqtada o'lchanadi. Bu esa deformatsiya eng katta qiymatga erishgan nuqtada o'lchanishiga imkon beradi. Bu holda</p>
--	---



plastinkaning kuchlanmagan qismida deformatsiya o'lchanib xatolik mukammallashtiriladi

Namunaning ko'ndalang kesimi doiraviy bo'lib, u friktzion qisqichlar yordamida mahkamlanadi

Namunaga plastinkaning xususiy og'irligi va yuk og'irligi kompenса-tsiyalangan bo'lib ular ta'sirida yuzaga keluvchi ko'ndalang kuchlar ta'sir qilmaydi. Statik aniqlikni ta'minlash va qisqichlardagi oldindan kuchlanganlikdan qochish maqsadida kuch plastinkasi posangiga egiluvchan ip orqali bog'langan.

Nazariy ma'lumotlar

Bir o'qli kuchlanganlik holati, ya'ni soф cho'zilish yoki siqilishda oquvchanlik holatidagi kuchlanishni aniqlash kerak. Bu cho'zilish yoki siqilish kuchlanishiga mos keladi. Chegaraviy kuchlanish cho'zilish yoki siqilishda oson aniqlanishi mumkin

Normal va urinmakuchlanishlar yuzaga keluvchi **ko'p o'qli kuchlanganlik holati** normal va ko'ndalang yoki eguvchi kuchlar ta'sirida yuzaga keladi. Kuchlanishlarning bunday kombina-tsiyasi emirilishga olib kelishi mumkin. Faqt bir o'qli kuchlanganlik holatida ya'ni cho'zilishga sinashda materialning mustahkamligi aniqlanishi mumkin. Xuddi shunday ruxsat etilgan kuchlanish ko'p o'qli kuchlanganlik holatida ham aniqlanishi mumkin. Turli vaqtarda har xil mustah-kamlik nazariyalari taklif etildi va ularga mos ruxsat etilgan kuchlanishlar aniqlandi. Ularning asosiy uchtasi quyidagilar:



Bosh kuchlanishning maksimum kriteriyisi (RENNIN)

$$\sigma_r = \frac{1}{2}(\sigma_x + \sigma_y) + \frac{1}{2}\sqrt{(\sigma_y - \sigma_x)^2 + 4\tau^2}$$

Bunga ko'ra material eng katta normal kuchlanish ta'sirida emirladi. Bu holat mo'rt uzhilishda foydalaniladi. Uzhilish tekisligi kuch yo'nalihsiga perpendikulyar. Tajribalar shuni ko'rsatadiki bu kriteriya **mo'rt materiallar**, misol uchun cho'yan uchun yaxshi ishlaydi. Urinma kuchlanishning maksimum kriteriyisi (MOR)

$$\sigma_r = 2\tau_{max} = \sqrt{(\sigma_y - \sigma_x)^2 + 4\tau^2}$$

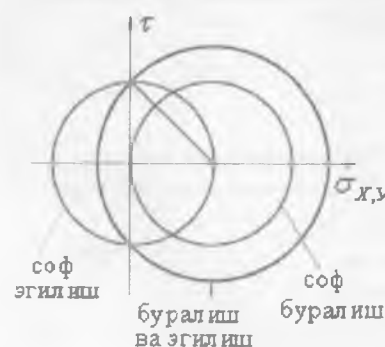
Unga ko'ra materialda urinma kuchlanish eng katta qiymatga erishganda emiriilish sodir bo'ladi. siljishdagidagi yorilish paydo bo'ladi.

Eng katta urinma kuchlanish eng katta bosh kuchlanish yo'nalihsiga 45° burchak ostida yuzaga keladi, yorilish tekisligi asosiy kuch yo'nalihsiga 45° ostida paydo bo'ladi. Bu kriteriya asosan **mustahkam, plastik materiallar**, masalan mis. yumshoq po'lat va alyuminiy kabi materiallar uchun o'rinni.

Siljish deformatsiyasi energiyasining maksimum kriteriyisi (MIZES va GENKA nazariyalari)

$$\sigma_r = \sqrt{\sigma_x^2 + \sigma_y^2 - \sigma_x \sigma_y + 3\tau^2}$$

Bu kriteriyaga ko'ra elastik energiya biror qiymatdan oshgandan so'ng material emirladi. Agar jismga kuch ta'sir qilsa u deformatsiyalani. Bu deformatsiya hosil bo'lishi uchun tashqi kuch elastik energiyaga teng ish bajarishi kerak. Deformatsiya hajmning o'zgarishi va shaklning o'zgarishi bo'lishi mumkin.



Elastik energiya kriterisiga ko'ra emiriilish shakl o'zgarishi deformatsiyasi juda katta bo'lganda yuzaga keladi. Bu kriteriy materialning turidan bog'liq bo'lмаган holda dinamik va o'zgaruvchan kuchlar ta'siridagi jismlar uchun o'rinni

Ruxsat etilgan kuchlanishlar bosh kuchlanishlar va urinma kuchlanishlar orqali ifodalanadi. Bu ikki kuchlanish orasidagi bog'lanishni Mor doirasini yordamida grafik ko'rinishda ifodalanish mumkin. Bunda urinma kuchlanish

480

normal kuchlanish orqali ifodalanigan.

- Sof egilishda kuchlanish doirasi koordinata o'qidan o'ng tomonda joylashadi. Urinma kuchlanish ikkinchi bosh kuchlanish yo'nalihsida nolga teng bo'ladi. Sof buralishda ikkita bosh kuchlanish ham nolga teng bo'ladi. Kuchlanish doirasining markazi koordinata boshida joylashgan bo'ladi.

- Egilish bilan buralishning bir paytda sodir bo'lishi kuchlanish doirasi ikkita sof kuchlanganlik holatlaridagi doiralar oralig'ida bo'ladi.

Eguvchi va burovchi kuchlanishlar kombinatsiyasi. Quyida egilish va buralishdagi ruxsat etilgan kuchlanish va tashqi kuch orasidagi bog'lanish ifodalanigan. Namuna sifatida bikr materialdan foydalaniladi va siljish deformatsiyasi kriteriyasi o'rinni bo'ladi

$$\sigma_r = 2\tau_{max} = \sqrt{(\sigma_y - \sigma_x)^2 + 4\tau^2}$$

Egilishda namuna o'qiga perpendikulyar yo'nalihsda normal kuchlanishlar bo'lmaydi Bunda $\sigma_y = 0$ va $\sigma_r = 2\tau_{max} = \sqrt{\sigma_x^2 + 4\tau^2}$



Eguvchi va burovchi kuchlar ta'siridagi namuna Namunani 130 sinov uskusinasiga o'rnatish

Namunaning uchidagi maksimal normal kuchlanish eguvchi moment va geometrik inertsiya momenti orqali quyidagicha ifodalanadi

$$\sigma_x = \frac{M_b \cdot d}{I_b} \cdot \frac{d}{2}$$

Maksimal urinma kuchlanish namunaning uchida yuzaga keladi

$$\tau = \frac{M_t \cdot d}{I_t} \cdot \frac{d}{2}$$

Doiraviy ko'ndalang kesim uchun geometrik inertsiya momentlari

$$I_b = \frac{\pi \cdot d^4}{64} \quad I_t = \frac{\pi \cdot d^4}{32} = 2I_b$$

Tashqi eguvchi moment M_b , burovchi moment M_t , burchak φ va F kuch orqali ifodalanadi: $M_b = F \cdot r \cdot \cos \varphi$ va $M_t = F \cdot r \cdot \sin \varphi$

Agar eguvchi va burovchi momentlarning ifodalarini e'tiborga olsak

$$\sigma_r = \frac{F \cdot r \cdot d}{2 \cdot I_t} \sqrt{\cos^2 \varphi + \sin^2 \varphi}$$

Ruxsat etilgan kuchlanish burchakdan bog'liq emas

$$\sigma_r = \frac{F \cdot r \cdot d}{2 \cdot I_b} = \text{const} \tan t$$

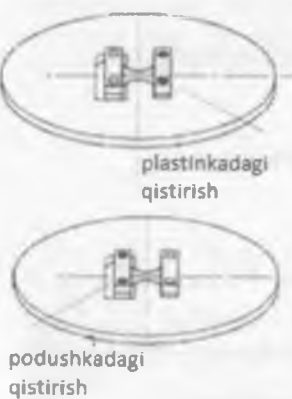
Bu tajribalar uchun shuni anglatadiki, F kuchning qiymati materialni emirilishiga olib keladi, hamda eguvchi va burovchi momentlardan bog'liq emas. Bu mulohaza urinma kuchlanish kriteriyidan foydalanganda o'rinni. Boshqa kriteriyalar qo'llanilganda eguvchi moment va burovchi momentdan bog'liq bo'ladi.

Sinov tajribasi. Oquvchanlik chegarasi namunalardan foydalangan holda yuklanish elastiklik chegarasidan oshganda aniqlanadi. Bunda namunada plastik deformatsiyalanish sodir bo'ladi. Ketma-ket tajribalar o'tkazilishida materialda puxta-lanish yuzaga kelib, oquvchanlik chegarasi juda katta kuchlanishlarda yuzaga keladi. Bu xatolikni kamaytirish uchun ikkita usul mavjud.

- Har bir sinovda yangi namunadan foydalanish kerak. Bunda namunalar aynan bir xil materialdan tayyorlangan va o'lchamlari ham bir xil bo'lishi shart.

- Turli kriteriyalar bo'yicha tekshirishda bitta namunadan foydalaniladi, faqat yangi namunada tajribalar teskari yo'nalishda takrorlanadi. Ularning birida sinov sof eguvchi moment bilan boshlanib sof burovchi moment bilan tugasa, boshqasida sof burovchi moment bilan boshlanib sof eguvchi moment bilan tugaydi. Ikkiti sinovdagagi farqlar o'lchanib puxtalanish yo'qotiladi.

Doiraviy diskning chorak qismidagi 7 ta 15° dan o'zgarib boruvchi nuqtaga burovchi va eguvchi kuchlar kombinatsiyasini qo'yishimiz mumkin. Har bir kesimdagagi yuklanish o'lchanayotganda diskdagagi yukni qo'shib yoki kamaytirib ruxsat etilgan kuchlanish aniqlanadi.



Oquvchanlik chegarasini aniq topish uchun sinov davomida qoldiq deformatsiya uzlusiz o'lchanib borilishi kerak. Deformatsiya va kuchlanish orasidagi proporsionallik chiziqlimas holga (oquvchanlik chegarasi o'tishi bilan sinov to'xtatilishi kerak).

Puxtalanish effektidan imkon boricha ochish uchun plastik deformatsiya-tsiyalanmagan bo'lishi kerak. Plastinkadan o'lchov asbobini magnitli tutqich bilan birga oling.

- Yukni ham oling. Posangi ilgagini chiqarib plastinkani tayanch ustuniga o'rnating.

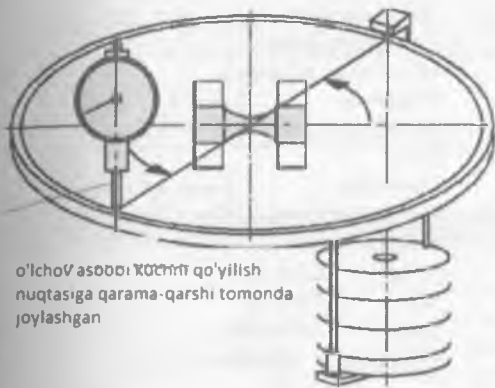
- Namunani plastinkadagi qisqichlarga o'rnating va qisqich vintlarini ehtiyojkorlik bilan mahkamlang. Posangini ildiring (qo'shimcha yuklarsiz).



- Namunaning boshqa uchini ustunchadagi tutqichga o'rnatning.

Muhim! Qisqichlar qimirlamay qolguncha namunani silji-ting. Plastinka aniq gorizontal holda tursin. Plastinka tayanch ustunlari ustki yuzasiga parallel bo'lsin. Qisqichlar va namuna toza hamda moylanmagan bo'lsin. Qisqichlarni to'g'ri mahkamlang

O'lchashlarni olib borish. Oquvchanlik chegarasi kamida 3 ta turli burchaklarda ikki martadan aniqlanadi. Puxtalanish ham ikkita sinov natijalariga ko'ra etarli darajada yo'qotiladi. Yuk og'irligini posangi bilan kompensatsiyalang. Namunalar uchun quyidagilar olinadi



Po'lat:	14 N
- Mis:	8 N
- Latun:	11 N
- Alyuminiy:	12 N

O'lchov asbobini yuk qo'yilgan nuqtaga diametrik qarama-qarshi nuqtaga o'rnatning va nolga keltiring.

Buning uchun plastinkaning kuch qo'yilgan nuqtasini barmoq bilan sekin ko'taring.

O'lchov asbobini yuksizlanishdan so'ng nolni ko'rsatsin

- Yukni 1 N dan oshirib boring (po'lat uchun 2N) . Yukni va ilgakni plastinkadan olib yuklanishni qaytdan takrorlang. O'lchov asbobidan deformatsiyani har bir yuklanish uchun 1-ishchi varaqqa yozib boring. Yuk olingandan keyingi qoldiq deformatsiyani o'lchov asbobidan aniqlang (o'lchov asbobidagi ko'rsatkich nolga qaytmaydi) va yozib qo'ying. Shundan so'ng plastinkani barmoq bilan sekin yuksizlantiring. Bu siljib ketish va ishqalanishning oldini oladi.

Proportsional xarakteristikalarining emirilishi qoldiq deformatsiya 10/100 mm dan oshganda paydo bo'ladi va sinov to'xtatilishi kerak. Oquvchanlik chegarasi grafikdan qoldiq deformatsiya 10/100 bo'lgan nuqtadagi qiymatga teng bo'ladi Bunda kuchlanishning oshib borishi bilan puxtalanish oshib borishini ko'rish mumkin.

Oquvchanlik chegarasi yuk biror nutaga qo'yilib yukni oshirib borish bilan aniqlanadi. 90°da (sof buralish) o'lchab bo'lgach, yangi xuddi shunday

materialdan yasalgan namunada 90° dan 0° ga tomon o'zgaruvchi teskari yo'nalishda sinovni davom ettirish kerak

Baholash. Oquvchanlik chegarasi barchaklarda aniqlanadi va ikkala yo'nalishdagi qiymatlar sof egilish (0°) dagi qiymatiga bo'linadi. Bu qiymatlar grafikda belgilanadi. Agar natijalarning grafiklari gorizontal bo'lsa uning uchun urinma kuchlanish gipotezasi o'rini. Agar oquvchanlik chegarasi sof buralishdagidan ikki marta katta bo'lsa normal kuchlanish gipotezasi o'rini.

Texnik ma'lumotlar

O'lchamlari	Namunalar:
Bo'yি 390 mm	Uzunligi 49 mm
Eni 325 mm	Qisish diametri 12 mm
Balandigi 325 mm	Qisish uzunligi 11,5 mm
Og'irligi 17 kG	Ko'ndalang kesim
Kuch uskunasi	Mis, Latun, Alyuminiy
Kuch momentlari 0...3,0 Nm	Diametrler 3 mm; 4,5 mm
Bo'linish oralig'i 0,1 Nm	Ko'ndalang kesim yuzi 8,8 mm ²
Yo'nalishi: sof egilish va	Po'lot
sof buralish oraligida	Diametrler 3 mm; 4,0 mm
Kuch elkasi 100 mm	Ko'ndalang kesim yuzi 5,5 mm ²
Yuklar 1N, 2N, 4N, 8N	Namuna materiali
Maksimum - 30 N	Po'lat S 235 JR
O'lchov asbobida deformatsiyani	Mis Cu-ETP
o'lchash:	Latun CuZn39Pb3
O'lchash diapazoni 0...10 mm	Alyuminiy AlMgSi 0,5 F22

NOSIMMETRIK EGILISH

Ishning maqsadi. Turli profilli balkalarni nosimmetrik egilishini tajribada tekshirish

Tajriba ishi FL-160 qurilmasida bajariladi.

Balka namunalarining bir uchi qattiq qolonkaga (6) qistiriladi. Siqish richagi (8) balkalarning siqilgan holatda buralishiga va kerakli holatga keltirishga imkon beradi. Burchak holatini transportirdan (7) ko'rish mumkin. Kuch nuqtasi yuklash diski (4) yordamida balka namunasining ochiq uchiga qo'yiladi. Bir joyga to'plangan kuchlanishlar tarozi to'plami yordamida tartibga solinadi.

Kuchlanishni qo'yish nuqtasi kuchlanish richagi yordamida balka liniyasi o'qidan ± 25 mm ko'chirilishi mumkin, bu bilan zarurat tug'ilganda, masalan, siljitim markazini tadqiqot qilganda, kuchni ekstsentrifik holatda o'matish va kombinatsiyalangan buralish -egilish kuchlanishini ta'minlash mumkin.

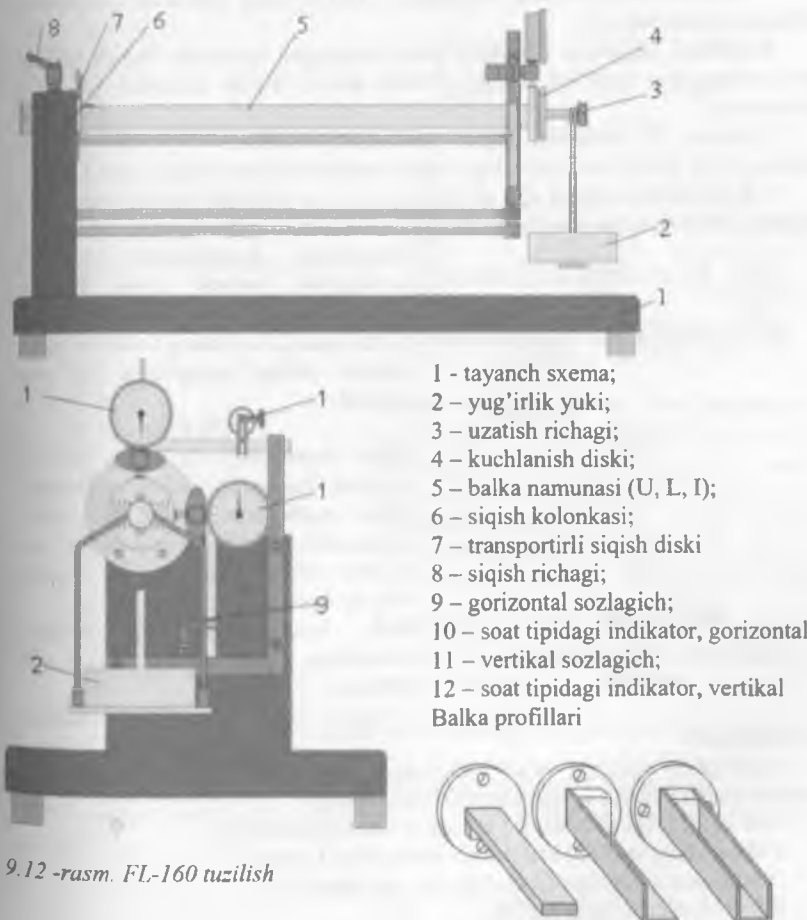
Balkaning ochiq uchini vertikal va gorizontall siljishi rejimlar selektori ikki datchigi (11,12) yordamida o'chanadi.

Aniq balanslash strelkali tipdagi sterjenlarning indiikatorini rostlashni (9,11) yo'li bilan amalgalash mumkin.

Diskni yuklash (4) 90°ga burilgan holda mahkamlash orqali amalgalash mumkin

Balka namunasini o'rnatish. Uskunaning 9.12-rasmida ko'rsatilgan komponentlari va tarkibi

- To'plamning ikkala o'lchash uskunasini (10,12) dastak yordamida sterjenlardan echib oling.



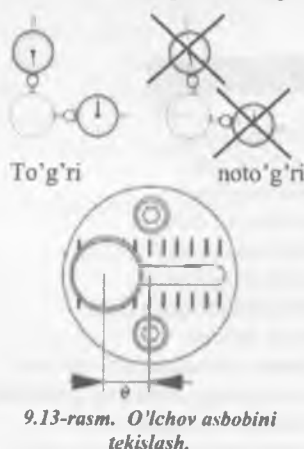
9.12 -rasm. FL-160 tuzilish

- Olti burchakli SW klyuchi (5) yordamida vint va ortish tokchasi (4) burang va diskni yuklanishdan echib oling.
- Richagning bo'sh qisqichini (8) va I-simon balkani siqib turadigan diskdan (7) torting.
- Balkanizing istalgan namunasini (5) siqish flanetsiga (7) qo'ying
- Balka namunasining to'g'ri holatda o'matilganligiga e'tibor bering.
- Qisqich richagini (8) qotirib qo'ying
- Olti burchakli SW klyuch (5) yordamida balka namunasidagi flanets (4) kuchlanishini ikki tomonidan ham vint bilan burang.
- Ekstsentristsitetning gorizontall rostlanishiga e'tibor qarating.
- Datchiklarning ikkala to'plamini (10,12) ham dastaklar yordamida sterjenga mahkamlang.

Tajribani bajarish. 1. Balkani talab etilayotgan burchakka burish uchun, siqish richagining uchi (8) ochiq bo'yicha kerak. Siqish richagini yangidan mahkamlang.

2. Dastak va roslagich (9,11) yordamida datchiklar to'plamini (10,12) tekislang. Soat tipidagi indikatorning o'qlari markaziy balkani kesib o'tishi kerak.

3. Kuchlanish richagini soat srelkasiga qarshi yo'nalishda burab, richagni (3) istalgan ekstsentristsitetga o'rnateng va uni soat streklasi bo'yicha burang.



(kuchlanishsiz)

Kuchlanish ilgagida talab etilayotgan kuchlanishni (2) o'rnateng va yuklanish ilgagini richag uzatgichiga (3) ilib qo'ying

Soat tipidagi (kuchlanishli) indikatori (10,12) hisoblang

Yuklanish ilgagini (2) kuchlanish richagidan (3) oling.

O'lchangan qiymatlardan quyidagilar aniqlanadi:

Kuchlanish ta'siridagi egilish:

yuklanishli o'lchangan qiymatni;

4. Dastlabki kuchlanishni balkaga sozlanishini bartaraf eting. Buning uchun maksimal kuchlanishni iloji bo'lsa ilgak (2) o'rnateng va kuchlanish ilgagini richag uzatgichiga (3) ilib qo'ying

TAVSIYA

Balka namunasini va siqish flanetsi ortiqcha yuklansa deformatsiyalanadi. Balka namunasini 20N dan ortiq yuklamang. Ilgak kuchlanishi va og'irlilik balansi birlgilikda 20 N dan ortiq bo'lmasligi kerak.

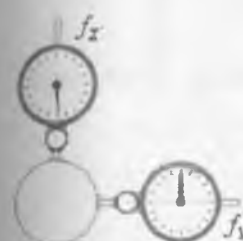
Ilgak kuchlanishini (2) yuklash richagining uzatgichidan (3) olib tashlang;

To'plam datchigini (10,12) sanang

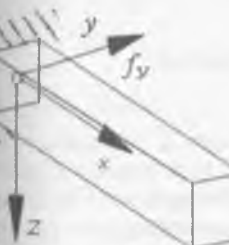
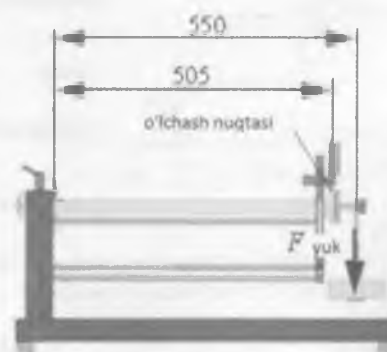
yuklanishsiz o'lchangan qiymatni.
O'lchangan qiymatlar va xatolarni tuzatish

Kuchni qo'yilish nuqtasi datchikni o'lchash nuqtasiga mos tushmaganligi sababli. Kuch quyidagi formula yordamida qo'shimcha tarzda qayta o'zgartirilishi kerak: $F_{corr} = \frac{550}{505} \cdot F = 1,09F$

20N kuchlanish 21,8N nuqtasidagi bog'lamning ekvivalentli kuchlanishiga mos keladi.



9.14-rasm. Vertikal siljish f_x va gorizonttal siljish f_y



9.15-rasm. koordinata sistemasi

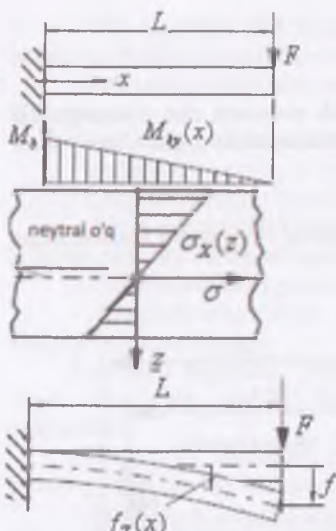
K oordinata sistemasining yo'nalishlarini tanlangan:

x - balkanizing bo'ylama o'qi;

u - gorizontal bo'yicha balka o'qiga perpendikulyar bo'lgan o'q;

z - kuch tekisligi, x bilan vertikali bo'yicha balka o'qiga perpendikulyar bo'lgan o'q.

Balkani eguvchi moment bilan yuklash, uni egilishini ta'minlash uchun kerak. To'planma kuch bilan yuklangan balkanizing erkin uchi



tomondan qaragandagi kesimidagi eguvchi moment quydagicha topildi:
 $M_{by}(x) = F(L - x)$

Eguvchi moment $x = 0$ nuqtada, ya'ni tayanch kesimda maksimumga erishadi

Balka kesimining balandligi bo'ylab

$$\sigma_x = \frac{M_{by}(x)}{I_y} \cdot z \quad \text{normal kuchlanish to'g'ri qonuniyat bilan o'zgaradi.}$$

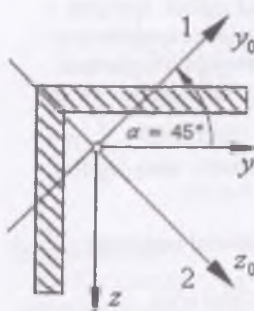
Balka egilgan o'qining differentsiyal tenglamasi $\frac{d^2 f_z(x)}{dx_2} = -\frac{1}{EI_y} M_{by}(x)$

9.16-rasm.

Eguvchi moment qiymatini e'tiborga olib, hosil bo'lgan tenglikni berilgan chegaraviy shartlarda integrallasak

$$f_z(x) = \frac{FL^3}{EI_y} \left(1 - \frac{3x}{2L} + \frac{x^3}{2L^3}\right) \quad \text{hosil bo'ladi.}$$

$x = L$ da $f_z = \frac{FL^3}{3EI_y}$ balkaneng eng katta salqiligi hosil bo'ladi



9.17-rasm. Bosh inertsiya o'qlari.

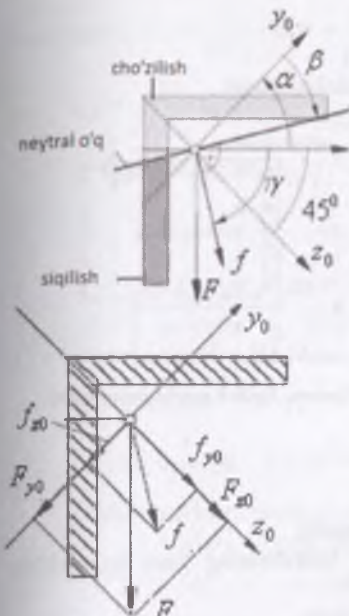
tashkil etuvchilarga ajratiladi

Qiyshiq egilish. Agar F kuchning ta'sir chizig'i birorta ham bosh inertsiya o'qlari (z, y) ning yo'nalishiga mos bo'lmasa, qiyshiq egilish sodir bo'ladi. Qiyshiq egilish balkaga ta'sir etayotgan kuchning ta'sir chizigiga burchak ostida hosil bo'ladi. Demak, qiyshiq egilish va kuchning ta'sir chiziqlari ustma-ust tushmaydi. Balka Z o'qi yo'nalishida F kuch bilan yuklansa, y o'qi tekisligida M_{by} eguvchi momenti hosil bo'ladi.

Ushbu M_{by} momenti z_0, y_0 o'qlaridagi

$$M_{by_0} = M_{by} \cos \alpha \text{ va } M_{bz_0} = M_{by} \sin \alpha$$

$$\text{Normal kuchlanish } \sigma_x = \frac{M_{by}}{I_{y_0}} z_0 + \frac{M_{bz}}{I_{z_0}} y_0$$



9.18 - rasm. Egilish

Egilish markazi. Ayrim kesim yuzalardagi urinma kuchlanishlarning teng ta'sir qiluvchisi, kesimning og'irlilik markazidan o'tmaydi. Masalan: shveller, teng yonli yoki teng yonli bo'limgan burchaklar, ochik profilli doiraviy kesimlar va x.k Bunday elementlarda ichki kuchlar kesimni og'irlilik markaziga nisbatan burovchi momentni (M_b) hosil qildi. Moment M_b ta'sirida element kesimni og'irlilik markazidan o'tgan o'q atrofida buraladi. Demak, konstruktsiya egilishdan tashqari buralish deformatsiyasiga ham uchraydi. Buralishni muvozanatlashtirish uchun ichki kuchlarni og'irlilik markaziga nisbatan momentini nol qiymatga olib kelish kerak. Buning uchun, kesimni og'irlilik markazidan tashqarida biror nuqta tanlanishi kerak-ki, bu nuqtaga nisbatan tashqi va ichki urinma kuchlarning momentlari nolga teng bo'lishi kerak. Bu nuqtaga egilish markazi deyiladi

$$\text{Tyanch deb olinadigan O nuqtadagi moment } M_s = \frac{b^2 h^2 s}{4 I_o} Q_z$$

σ_x -normal kuchlanishni nolga tenglashtirib y_0 o'qiga nisbatan soat strelkasining yo'nalishiga teskari aylanishda β burchak ostida hosil bo'lgan neytral o'q tenglamasi keltirib chiqarildi: $\tan \beta = \frac{I_{z_0}}{I_{y_0}} \tan \alpha$

Egilishga hisoblashda kuchni z_0, y_0 o'qlaridagi tashkil qiluvchilariga ajratiladi

$$F_{y_0} = F \cdot \cos \alpha \text{ va } F_{z_0} = F \cdot \sin \alpha$$

$$\text{Salqiliklar: } f_{y_0} = \frac{FL^3}{3EI_{y_0}} \cos \alpha$$

$$\text{va } f_{z_0} = \frac{FL^3}{3EI_{z_0}} \sin \alpha$$

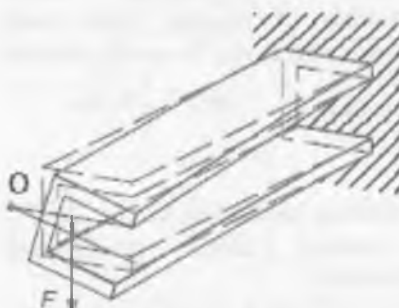
$$\text{To'liq salqilik } f = \sqrt{F_{z_0}^2 + F_{y_0}^2}$$

$$\beta = \arctan \frac{f_{y_0}}{f_{z_0}} \text{ va } \gamma = \arctan \frac{f_z}{f_y}$$

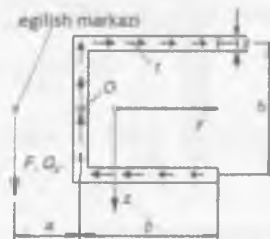
Egilish markaziga qo'yilgan F kuch ham ushbu nuqtaga nisbatan
 $M_s = F \cdot a$ - momentni hosil qiladi.

Ikkita tenglamalardan $a = \frac{b^2 h^2 s}{4I_y}$

Tajribalar. Tajribalarning ta'lim maqsadlari:
 -balkalar kesimlariining geometrik tavsiflarini aniqlash;



9.19-rasm. Yopqa devorli balkani deformatsiyalanishi



9.20-rasm. Egilish markazining holati

- yassi kesimlar gipetezasini tekshirish (Bernulli);
- ikki tavrli, burchkli, shvellerli kesishuv balkalarining yassi ko'ndalang egilishi;
- burchakli kesimli balkalarining qiyshiq egilishi;
- kesim neytral o'qiing holatini belgilash;
- to'planma kuchni ektsentrik qo'yishusulida buralish bilan egilishni sinovdan o'tkazish;
- shvellerli kesim balkasidagi egilish markazini aniqlash;
- balkanig kesimida ko'ndalang kuch ta'siridan kuchlanishlarni taqsimlanish xarakteri bilan tanishish;
- hisobiy va tajriba natijalarini taqqoslash.

To'g'ri chiziqli sof egilish. Hisoblash:

Birinchi qadam kutilayotgan balka salqiligini hisoblashdan iborat. To'g'ri burchak kesimli alyuminiy namunasi (o'lchamlari texnik ma'lumotlarda keltirilgan)

Qurilmaning gorizontalholati uchun hisobiy salqilik

$$f_z = \frac{1,09FL^3}{3EI_z} = \frac{1,09 \cdot 20 \cdot (500)^3}{3 \cdot 70000 \cdot 2083} = 6,23 \text{ mm}$$

Qurilmaning vertikalholati uchun hisobiy salqilik

$$f_y = \frac{1,09FL}{3EI_y} = \frac{1,09 \cdot 20 \cdot (500)}{3 \cdot 70000 \cdot 13020} = 1,00 \text{ mm}$$

Demak balkaning vertikal holatida bikrlik katta

Qiyshiq egilish. Foydalaniadigan L-balka alyuminiyidan tayyorlangan. Dastlab balka namunasining kutilayotgan deformatsiyasi hisoblanadi. Qo'shilgan balkaga yuklanish 10N.

$$\text{Salqiliklar: } f_{y0} = \frac{FL^3}{3EI_{y0}} \cos \alpha = \frac{1,09 \cdot 10 \cdot (500)^3}{3 \cdot 70000 \cdot 13030} \cos 45^\circ = 0,35 \text{ mm}$$

$$\text{va } f_{z0} = \frac{FL^3}{3EI_{z0}} \sin \alpha = \frac{1,09 \cdot 10 \cdot (500)^3}{3 \cdot 70000 \cdot 3370} \sin 45^\circ = 1,36 \text{ mm}$$

$$f = \sqrt{F_{z0}^2 + F_{y0}^2} = \sqrt{(0,35)^2 + (1,36)^2} = 1,41 \text{ mm}$$

$$\beta = \arctan \frac{f_{y0}}{f_{z0}} = \arctan \frac{0,35}{1,36} = 14,50^\circ$$

$$\gamma = \beta + 45^\circ = 14,50^\circ + 45^\circ = 59,50^\circ$$

Tajriba natijalari: L- balka 10 N kuch bilan yuklanganda salqiliklar $f_z = 1,26 \text{ mm}$ va $f_y = 0,62 \text{ mm}$ -ni tashkil etadi.

$$\text{To'liq salqilik } f = \sqrt{F_z^2 + F_y^2} = \sqrt{(1,26)^2 + (0,62)^2} = 1,40 \text{ mm}$$

$$\text{Tegishli burchak } \gamma = \arctan \frac{f_z}{f_y} = \arctan \frac{1,26}{0,62} = 63,80^\circ$$

Egilish markazi. Birinchi navbatda berilgan profil uchun egilish markazini hisoblaymiz: $a = \frac{b^2 h^2 s}{4I_y} = \frac{23,5^2 \cdot 220^2 \cdot 3}{4 \cdot 19970}, = 10,03 \text{ mm}$

O nuqtadan og'irlik markazigacha $y_s = 7,97 \text{ mm}$, unda ekstsentre sitet $e = a + y_s = 10,03 + 7,97 = 18,00 \text{ mm}$



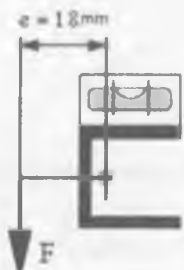
Keyingi tajriba ushbu qiymatlarni tekshirishga qaratilgan. Balkani zajimi shunday-ki, u boshqa tomonda ochiq. Yuklash richagi markazgacha o'matiladi ($e = 0 \text{ mm}$)

Urovanni kerakli vaziyatda joylashtiriladi

Balkani ekstsentsritetsiz yuklash. Balkaga 20 N yuk o'matiladi va u ochiq tomonga aylanadi



Balka $e = 25\text{ mm}$ ekstsentritesit bilan yuklanadi. Yuk chap tomoniga harakatlan-tiriladi. Balka qarama-qarshi tomoniga aylanadi

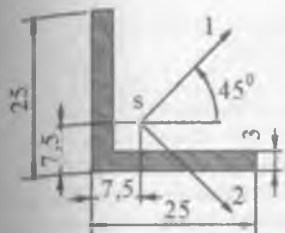


Balka $e = 18\text{ mm}$ ekstsentritesit bilan yuklanadi. Yuklash richagini egilish markaziga $e = 18\text{ mm}$ o'matamiz. Balka aylanmaydi va gorizontal vaziyatda qoladi. Shunday qilib ushbu tajriba egilish markazi nazariyasini isbotlaydi.

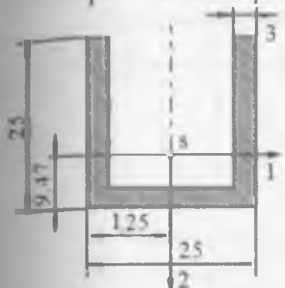
Texnik ma'lumotlar.

Gabarit o'chamlari:	
uzunligi x eni x balandligi	700 x 350 x 400 (mm)
Og'irligi	25 kG
Yuk - 2,5 N, plastinali 2,5 N va 5 N	
Strelkalik indikator	
O'chash diapazoni	0...10 mm
Burchak o'chagich	
O'chash diapazoni	0...360°
Texnik ko'rsatkichlar	
Balkalarni materiali – alyumin qorishmasi	
Balkaning konsol uzunligi	500 mm
Yuk qo'yish ekstsentretitening diapazoni	0..25 mm
Ruxsat etilgan yuk	20 N
Bikr mahkamlangan qismi balkani xohlagan yo'naliishda aylanadi	
Material alyumin AlMgSi0,5 F22	
Elastiklik moduli -70000 N/mm ²	
Ko'ndalang kesim 25 mm x 10 mm	
A – yuza 250 mm ²	
Inertsiya momenti $I_1 = 13020\text{ mm}^4$	
$I_2 = 2083\text{ mm}^4$	





Material alyumin AlMgSi0,5 F22
Elastiklik moduli -70000 N/mm²
Ko'ndalang kesim 25 x 25x 3
A - .pf 141 mm²
Inertsiya momenti
 $I_1 = 13030 \text{ mm}^4$ $I_2 = 3370 \text{ mm}^4$



Material Alyumin AlMgSi0,5 F22
Elastiklik moduli -70000 N/mm²
Ko'ndalang kesim 25 mm x 10 mm
A - yuza 207 mm²
Inertsiya momenti
 $I_1 = 19970 \text{ mm}^4$ $I_2 = 12890 \text{ mm}^4$

misol-1. Berilgan $P = 15 \text{ kN}$; $\ell = 2 \text{ m}$; $h : b = 2,5$ Balka kesimining o'lchamlari aniqlansin va xavfli nuqtalardagi kuchlanishlar topilsin. Balkaning tayanch kesimidagi M_x va M_y eguvchi momentlarni aniqlaymiz va epyurasini quramiz. $M_x = 2R = 30 \text{ kNm}$; va $M_y = R = 15 \text{ kNm}$.

Balkaning mustahkamlik shartini yozamiz

$$\sigma_{\max} = \frac{M_x}{W_x} + \frac{M_y}{W_y} \leq [\sigma] \quad \text{va} \quad \frac{6M_x}{bh^2} + \frac{6M_y}{b^2h} \leq [\sigma]$$

Agar $h = 2,5$ b ni va M_x va M_y momentlarning qiymatlarini hisobga olsak, mustahkamlik shartidan kesimning eni b -ni topamiz:

$$b = \sqrt[3]{\frac{405}{6,25 \cdot 8 \cdot 10^3}} \approx 0,2 \text{ m}$$

Kesimning balandligi $h = 2,5 \cdot 0,2 = 0,5 \text{ m}$.

Neytral o'qning holatini aniqlaymiz: $|\operatorname{tg} \varphi| = \left| \frac{M_y}{M_x} \cdot \frac{I_x}{I_y} \right| = \operatorname{tg} \beta \frac{I_x}{I_y}$

Bu erda $I_x = \frac{bh^3}{12}$ ea $I_y = \frac{b^3h}{12}$ kesimning X va Y o'qlariga nisbatan inertsiya momentlari;

$$I_x = \frac{0,2 \cdot (0,5)^3}{12} = 2,1 \cdot 10^{-3} \text{ m}^4; \quad I_y = \frac{0,5 \cdot (0,2)^3}{12} = 3,4 \cdot 10^{-4} \text{ m}^4$$

$$\operatorname{tg} \varphi = \frac{2,1 \cdot 10^{-3}}{3,4 \cdot 10^{-4}} \cdot 0,5 = 4,242 \quad \text{yoki} \quad \varphi = 76^\circ$$

Agar kuchni ta'sir chizig'i I – III choraklardan o'tsa, neytral o'q II – IV choraklardan o'tishi kerak; agar kuchni ta'sir chiziqi II – IV choraklardan o'tsa neytral chiziq I – III choraklardan o'tishi kerak. Kesimning C va K nuqtalari neytral o'qdan eng uzoqda joylashganligi uchun normal kuchlanish katta qiymatga erishadi. Ikkita nuqtadan C nuqta eng xavfli holatda, chunki bu nuqtada cho'zuvchi kuchlanish hosil bo'ladi. S nuqta koordinatlari.

$$x_c = \frac{b}{2} = 0,1m, \quad y_c = \frac{h}{2} = 0,25m$$

$$\sigma_c = \frac{M_x}{I_x} \cdot y_c + \frac{M_y}{I_y} \cdot x_c, \quad \text{va} \quad \sigma_c = -7982 \frac{kN}{m^2}$$

Balka erkin uchining (A nuqta) to'liq salqiligini topamiz

$$f = \sqrt{f_x^2 + f_y^2} = \sqrt{\left(\frac{P\ell^3}{3E8I_y}\right)^2 + \left(\frac{P\ell^3}{3EI_x}\right)^2} = \frac{P\ell^3}{3E} \sqrt{\frac{1}{(8I_y)^2} + \frac{1}{(I_x)^2}} = \\ = \frac{15 \cdot 8}{3 \cdot 2 \cdot 10^8} \sqrt{\frac{1}{(8 \cdot 0,00034)^2} + \frac{1}{(0,0021)^2}} = 33,34 \cdot 10^{-5} m.$$

misol –2. Po'latdan tayyorlangan val minutiga $n = 900$ marotaba aylanadi va etaklanuvchi shkivlari bilan $N_2 = 10kV$ va $N_3 = 20kVt$ quvvat uzatadi. Valning diametri topilsin. Berilgan:

$$D_1 = 0,6m; D_2 = 0,2m; D_3 = 0,4m; a = 1m; \alpha_1 = 0^\circ; \alpha_2 = 60^\circ; \alpha_3 = 180^\circ$$

Yechish: Etaklovchi shkivning uzatayotgan quvvati etaklanuvchi shkivlar quvvatlarining yig'indisiga teng bo'ladi:

$$N_1 = N_2 + N_3 = 10 + 20 = 30kVt$$

Shkivlardagi aylantiruvchi momentlarni topamiz.

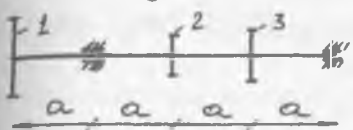
$$M_1 = 9736 \frac{N_1}{n} = 9736 \frac{30}{900} = 324,5 Nm$$

$$M_2 = 9736 \frac{N_2}{n} = 9736 \frac{10}{900} = 108,2 Nm$$

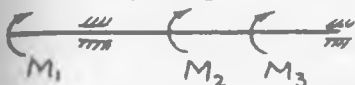
$$M_3 = 9736 \frac{N_3}{n} = 9736 \frac{20}{900} = 216,3 Nm$$

Aylantiruvchi momentlarning yo'nalishlari etaklovchi remenlarning tortishish kuchlarining yo'nalishlari bilan mos. Shkivlardagi momentlar etaklanuvchi remenning tortishish kuchlari bilan quyidagicha bog'lanishda

Berilgan sxema



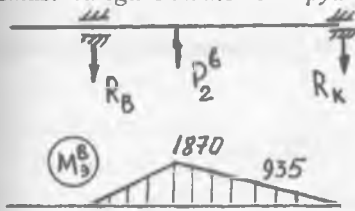
Shkivlardagi aylantiruvchi momentlar bilan yuklangan val



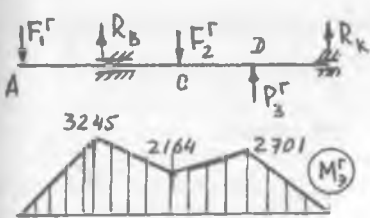
Burovchi moment epyurasi



Valni vertikal tekislikda yuklanish sxemasi va eguvchim moment epyurasi



Valni gorizontal tekislikda yuklanish sxemasi va eguvchim moment epyurasi



9.22 – rasm. Valni buralish bilan egilishga hisoblash

$$M_1 = M_2 = t \cdot \frac{D}{2}$$

$$t_1 = \frac{2M_1}{D_1} = \frac{2 \cdot 324,5}{0,6} = 1081,6N$$

$$t_2 = \frac{2M_2}{D_2} = \frac{2 \cdot 108,2}{0,2} = 1081N$$

$$t_3 = \frac{2M_3}{D_3} = \frac{2 \cdot 216,3}{0,4} = 1081N$$

buerdan etaklovchi va etaklanuvchi remenlarning tortishish kuchlarining valga nisbatan bosim kuchini aniqlaymiz:

$$P_1 = 3t_1 = 3 \cdot 1081,67 = 3245N;$$

$$P_2 = 3t_2 = 3 \cdot 1081 = 3243N;$$

$$P_3 = 3t_3 = 3 \cdot 1081 = 3245N;$$

Remenlar shkivga turli burchaklar ostida joylashtirilgani uchun, tortishish kuchlarining valga nisbatan bosimi ham shu burchak ostida yo'naladi.

R_1 , R_2 va R_3 kuchlarning vertikal

$$P_1^B = 0; P_3^B = 0$$

$$P_2^B = P_2 \cdot \sin 60^\circ = 2805,8N$$

va gorizontal tekislikda ajratuvchilarni topamiz:

$$P_1^H = P_1 = 3245N;$$

$$P_3^H = -P_3 = -3245N;$$

$$P_2^H = P_2 \cdot \cos 60^\circ = 1621,5N$$

Vertikal tekislikda eguvchi moment epyurasini qaramiz:

$$R_k = \frac{P_2^B \cdot 1}{3} = \frac{2805,81}{3} = 936,3N \quad \text{va}$$

$$R_B = \frac{2 \cdot 2805,8}{3} = 1870,5N$$

Tekshirish:

$$\sum y = -1870,5 + 2805,8 - 936,3 = 0$$

Eguvchi moment M_3^B -ni aniqlaymiz

$$0 \leq x_1 \leq 1m \text{ oraliq} \quad M_u^B = -R_B \cdot x_1 \text{ va}$$

$$0 \leq x_2 \leq 2m \text{ oraliq} \quad M_s^B = -R_k \cdot x_2$$

Gorizontal tekislikda eguvchi moment epyurasini quramiz

$$\sum M_B = 0 \quad \sum M_K = 0$$

$$P_1^F \cdot 1 - P_2^F \cdot 1 + P_3^F \cdot 2 - R_k \cdot 3 = 0;$$

$$P_1^F \cdot 4 - R_B^F \cdot 3 + P_2^F \cdot 2 - P_3^F \cdot 1 = 0;$$

$$R_k = 2701H; \quad R_B = 4326,7N$$

Eguvchi moment M_3^F -ni aniqlaymiz:

$$0 \leq x_1 \leq 1m \text{ oraliq} \quad M_s^F = -P_1 x_1$$

$$0 \leq x_2 \leq 1m \text{ oraliq} \quad M_s^F = -P_1^F (1 + x_2) + P_B x_2$$

$$0 \leq x_3 \leq 1m \text{ oraliq} \quad M_s^F = -P_1^F (1 + x_3) + P_B (1 + x_3) - P_2^F x_3$$

$$0 \leq x_4 \leq 1m \text{ oraliq} \quad M_s^F = -R_k \cdot x_4$$

To'liq eguvchi momentni M_3^B va M_3^F momentlarning yig'indisi sifatida topamiz.

$$M_x^2 = (M_3^B)^2 + (M_3^F)^2$$

$$M_{xA} = 0; \quad M_{xB} = \sqrt{0 + (M_3^F)^2} = 3245Nm;$$

$$M_{xc} = \sqrt{(2164)^2 + (1870,8)^2} = 2862Nm;$$

$$M_{xd} = \sqrt{(2701)^2 + (935,3)^2} = 2862Nm; \quad M_{xw} = 0.$$

Eguvchi va burovchi moment epyuralariga asosan V tayanch kesimi xavfli holatda bo'ladi.

III – mustahkamlıq nazariyasiga asosan, keltirilgan momentni topamiz:

$$M_{xw} = \sqrt{M_x^2 + M_s^2} = \sqrt{(3245)^2 + (324,5)^2} = 3261,2Nm$$

$$\tau_{sw} = \frac{M_{xw}}{W} \leq [\tau] \quad \text{yoki} \quad \frac{32M_{xw}}{\pi \cdot d^3} = [\tau] \quad \text{bu erdan}$$

$$d = \sqrt[3]{\frac{32M_{xw}}{\pi[\tau]}} = \sqrt[3]{\frac{32 \cdot 3261,2}{3,14 \cdot 8 \cdot 10^7}} = 0,0746 = 74,6mm$$

Vallarni hisoblash

Vallarning o'lchamlari dastlabki hisoblashda topiladi va to'liq hisoblashda aniqlashtiriladi.

Dastlabki hisoblash. Etaklovchi val kirish qismining diametri $[r_k] = 25 \text{ mPa}$ ruxsat etilgan kuchlanish va etaklanuvchi val chiqish qismining diametri bo'maytirilgan $[r_k] = 20 \text{ mPa}$ ruxsat etilgan kuchlanish bo'yicha faqat buralishga hisoblanadi

$$d_s = \sqrt{\frac{M}{0,2 \cdot [\tau]}} \quad (9.22)$$

Podshipnik o'rni uchun val diametri $d_n = d_b + (5 \dots 10) \text{ mm}$, g'ildirak o'rni uchun val diametri $d_k = d_n + (5 \dots 10) \text{ mm}$ va bo'rtik diametri

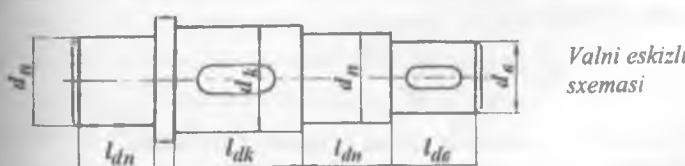
$$d_g = d_k + (5 \dots 10) \text{ mm}.$$

Valni ishchi chizmasi uchun pog'onalar uzunligini quyidagicha qabul qilamiz: val oxirining uzunligi $\ell_{av} = (1,5 \dots 2)d_s$; podshipnik o'rnatiladigan pog'onani uzunligi tanlangan podshipnik xalqasining eniga teng ($\ell_{dn} = B$), val o'rta pog'onasining uzunligi $\ell_m = (1,2 \dots 1,5) \cdot d_k$ - tishli g'ildirak stupitsasining uzunligiga teng.

Hisoblangan o'lchamlar valni to'liq hisoblash va reduktorni komponovkasida aniqlashtiriladi

Burtik uzunligi $\ell_s = 5 \dots 10 \text{ mm}$; reduktor devoridan o'tadigan val pog'onasining uzunligi $\ell_{eK} = \ell_{av} + \ell_n + \ell_s + \ell_g$

bu erda ℓ_{av} - raspor vtulkani uzunligi, ℓ_p - podshipnik qopqog'ini zichlagich bilan uzunligi, ℓ_s - podshipnik qopqog'ini mahkamlash vintlari bosh qismini qalinligini hisobga olish uchun ehtiyyot uzunlik



To'liq hisoblash. Statik mustahkamlikka hisoblashda, ekvivalent kuchlanishlar eng katta qiymatga erishgan, valni toliqishga tekshirliganda esa eguvchi va burovchi momentlar eng katta qiymatga erishgan, val kesimini o'zgarishi va kuchlanishlar kontsentratsiyasi hosil bo'lgan kesimlar xavflidir

$$\text{Mustahkamlikka valni diametri} \quad d \geq \sqrt{\frac{M_{\max}}{0.2[\sigma]}}$$

$[\sigma] = (60 \dots 90) \text{ MPa}$ – egilishga ruxsat etilgan kuchlanish

Bikrlikka hisoblash: $\varphi_{\max} \leq [\varphi]$; $f \leq [f]$

Bu erda: φ – valni buralish burchagi;

f – eng katta salqilik

Val statik mustahkamlikka ruxsat etilgan kuchlanish bo'yicha hisoblanadi:

$$\sigma_{\max} = \frac{M_{\max}}{M_{\min}} \sqrt{\sigma_u^2 + 3\tau_e^2} \leq \frac{\sigma_i}{n_e} \quad (9.23)$$

Toliqishga ruxsat etilgan kuchlanish $\sigma = \sqrt{\sigma_u^2 + 3\tau_K^2} \leq [\sigma_{-1}]$

Mustahkamlikka ehtiyyotlik tekshiriladi:

$$n_{\sigma} = \frac{\sigma_{-1}}{K_{\sigma} \cdot \sigma_a + \psi_{\sigma} \cdot \sigma_m}; \quad n_{\tau} = \frac{\tau_{-1}}{K_{\tau} \cdot \tau_a + \psi_{\tau} \cdot \tau_m};$$

Bu erda: σ_{-1} va τ_{-1} – egilish va buralishda chidamlilik chegarasi;

ψ_{σ} va ψ_{τ} – materialni kuchlanishlarga sezgirligini hisobga oluvchi koefitsientlar

$$\psi_{\sigma} = \frac{2 \cdot \sigma_{-1} - \sigma_o}{\sigma_o} \quad \text{va} \quad \psi_{\tau} = \frac{2 \cdot \tau_{-1} - \tau_o}{\tau_o}$$

σ_o va τ_o – materialni tsikl takrorlanmaydigan vaqt dagi chidamlilik chegaralari.

$$\text{Umumiy chidamlilik koefitsienti } n = \frac{n_{\sigma} \cdot n_{\tau}}{\sqrt{n_{\sigma}^2 + n_{\tau}^2}} \leq [n_{-1}]$$

$[n_{-1}]$ – chidamliga ruxsat etilgan extiyotlik koefitsienti

Valning xafli kesimidagi kuchlanishni aniqlash. Normal kuchlanish simmetrik tsiklda o'zgaradi, bunda kuchlanish amplitudasi egilishdag'i kuchlanishga teng bo'ladi:

$$\sigma_a = \sigma_s = \frac{M \cdot 10^3}{W_{netto}} \quad (9.24)$$

Urinma kuchlanish pulsatsiyali tsiklda o'zgaradi, kuchlanish buralishdagi kuchlanishning yarmiga teng bo'ladi:

$$\tau_a = \frac{\tau_d}{2} = \frac{M_d}{2 \cdot W_{netto}}$$

$$\text{Ekvivalent kuchlanish } \sigma_{eq} = \sqrt{\sigma_a^2 + 3\tau_a^2} \leq [\sigma] \quad (9.25)$$

Vallarni hisoblashda qo'llaniladigan ruxsat etilgan kuchlanishlar:

- toliqish chegaralari $\sigma_{-1} \approx (0,4 \dots 0,5)\sigma_a$; $\tau_{-1} \approx (0,2 \dots 0,3)\tau_a$

$$\tau_u \approx (0,55...0,65)\sigma$$

- ruxsat etilgan kontakt kuchlanishlar:

$$\text{po'lot g'ildirak uchun } [\sigma_K] = 2,6HB \frac{N}{mm^2};$$

$$\text{qora cho'yon } [\sigma_K] = 1,5HB \frac{N}{mm^2};$$

po'lot va cho'yon g'ildirak bilan ilashadigan plastmassa g'ildirak
 $[\sigma_K] = 45...57 \frac{H}{mm^2}$ (tekstolit)

Vallarni bikrlikka hisoblash. Ilashmadagi kuchlar ta'sirida val egilish, buralish deformatsiyalariga uchraydi. Elastik ko'chishlar val bilan bog'liq bo'lgan detallarga salbiy ta'sir ko'rsatadi. Valning salqiliqi tishli ilashmadagi tishning uzunligi bo'ylab yuklanish kontsentratsiyasini hosil qiladi. Yuqori aylanish chastotasida podshipnik bilan val tigilib qoladi yoki ilashish sifati pasayadi. Masalan, metall qirquvchi stanok valining deformatsiyalanishida detalga mehanik ishlov berish sifatini yo'qotadi. Shuning uchun valni har qanday ko'chishi ma'lum chegarada sodir bo'lishi kerak, ya'ni uning bikrligi ta'minlani-shi lozim. Buning uchun val xavfli kesimlarining salqiligi va aylanish burchagi ruxsat etilgan qiymatidan oshib ketmasligi talab etiladi.

Tishli uzatma vallari uchun ruxsat etilgan salqilik $|y| = 0,001 \cdot m, (mm)$ va val kesimining aylanish burchagi

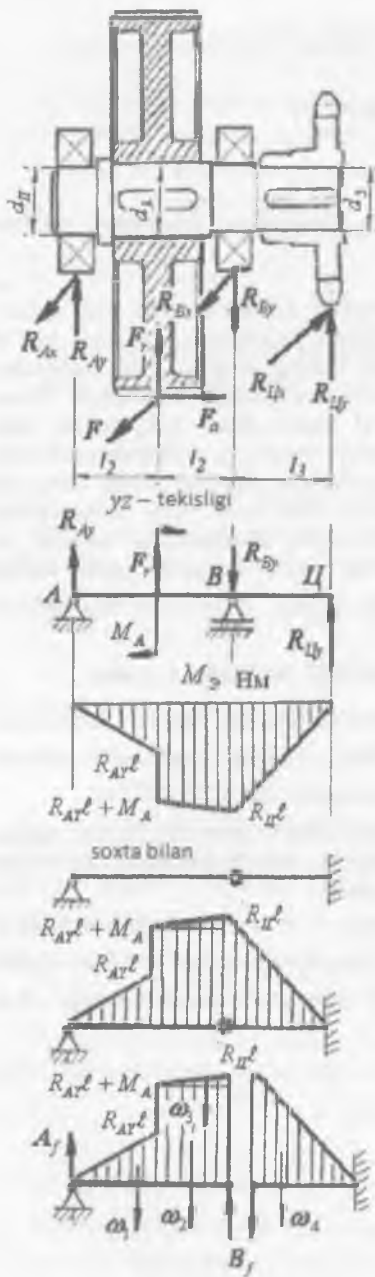
$\theta \leq 0,001 rad$; stanoklarda $|y| = (0,0002...0,0003) \cdot L, (mm)$ va

$\theta \leq 0,001 rad$ qabul qilinadi (L -val tayanchlari orasidagi masofa), konussimon podshipnik o'rnda $\theta \leq 0,0016 rad$, rolikli podshipnik o'rnda $\theta \leq 0,0025 rad$ bir qatorli va sferik podshipniklarda $\theta \leq 0,005 rad$

Bir pog'onali tsilindrik tishli reduktor tishli g'ildirak va zanjirli uzatma yulduzchasi o'rnatilgan kesimlarning salqiligi va aylanish burchagini (8.23-rasm) grafoanalitik usul bilan aniqlashni ko'rib chiqamiz.

Val xz va yz tekisliklarda ilashmadagi F, F_r, F_a va zanjirli uzatmadan F_u kuchlari ta'sirida. Har bir tekislikda ta'sir qiluvchi kuchlar ta'siridan egilish deformatsiyasining parametrlari salqilik $|y|$ va kesimni aylanish burchagi $-\theta$ ni alohida-alohida hisoblaymiz.

9.23 - rasm. Valni yuklanish sxemasi va salqilikni aniqlash metodikasiga oid



Keyin, umumiy salqilik

$$y = \sqrt{y_T^2 + y_B^2} \text{ va kesimni aylanish burchagi } \theta = \sqrt{\theta_T^2 + \theta_B^2} \text{ ni aniqlaymiz.}$$

1. Barcha kuchlar valning o'qiga keltiriladi

2. Valning tayanchlaridagi reaksiya kuchlari topiladi:

$$R_{Ay} = \frac{1}{2}(F_{Ibx} - F_r - F_a \frac{d_k}{2\ell})$$

$$R_{Bx} = \frac{1}{2}(3F_{Ibx} + F_r - F_a \frac{d_k}{2\ell})$$

3. Eguvchi moment epyuralarini quramiz

4. Berilgan haqiqiy balka (val) uchun soxta balka tanlaymiz

5. Soxta balkani haqiqiy balka uchun hisoblangan eguvchi moment bilan yuklaymiz, ya'ni eguvchi moment epyurini soxta balkaning uzunligi bo'ylab tarqalgan kuch deb qabul qilamiz.

Soxta kuch yuzasini oddiy kuch yuzalarga ajratamiz -

6. Soxta kuch yuzalarini hisoblaymiz

$$\omega_1 = \frac{\ell^2}{4}(F_{Ibx} - F_r - F_a \frac{d_k}{2\ell})$$

$$\omega_2 = \frac{\ell}{2}(F_{Ibx}\ell - F_r\ell + F_a \frac{d_k}{2});$$

$$\omega_3 = \frac{\ell}{4}(F_{Ibx}\ell + F_r\ell - F_a \frac{d_k}{2});$$

$$\omega_4 = F_{Ibx} \frac{\ell^2}{2}$$

7. Soxta balka uchun $y_B = M_f^R = 0$ shartidan foydalanib, uni ikkita oddiy balkalarga ajratamiz va A_f , B_f reaktsiya kuchlarini hisoblaymiz

8. A va B tayanch kesimlarining aylanish burchagi :

$$\theta_A = \frac{1}{EI_n} \left(\frac{7}{12} F_{W_8} \ell^2 - \frac{1}{12} F_r \ell^2 + \frac{1}{12} F_a d_k \ell \right)$$

$$\theta_B = \frac{1}{EI_n} \left(\frac{2}{3} F_{W_8} \ell^2 - \frac{1}{4} F_r \ell^2 - \frac{1}{24} F_a d_k \ell \right)$$

C va U nuqtalarning salqiliklari $y_C = \frac{B_f}{EI_K}$ va $y_U = \frac{M_f^U}{EI_f}$

$$y_C = \frac{1}{EI_K} \left(\frac{1}{2} F_{W_8} \ell^3 + \frac{1}{8} F_a d_k \ell^2 \right)$$

misol-3. Uzunligi $\ell = 1,5 \text{ m}$ bo'lgan po'lat sterjen $F = 60 \text{ kN}$ kuch ta'sirida cho'zildi. To'g'ri burchakli kesimning K,C,B,D nuqtalarining kuchlanishlari topilsin.

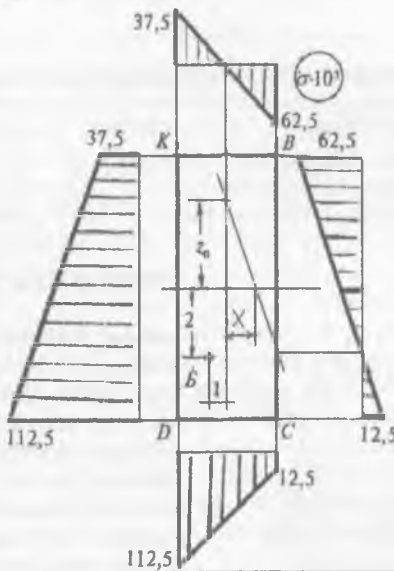
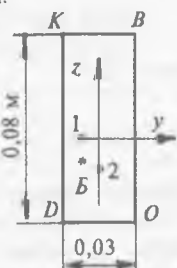
Yechish: Kesim B

nuqtasining koordinatalari

$$y_B = -1 \text{ sm},$$

$$Z_B = -2 \text{ sm}$$

Sterjen ko'ndalang kesim yuzasining geometrik tavsiflarini topamiz:



$$\text{Kesim yuzasi } A = 3 \cdot 8 = 24 \text{ cm}^2 = 2,4 \cdot 10^{-3} \text{ m}^2$$

Inertsiya radiuslari:

$$i_y^2 = \frac{0,03(0,08)^3}{12 \cdot 2,4 \cdot 10^{-3}} = 0,0534 \cdot 10^{-2} \text{ m}^2;$$

$$i_z^2 = \frac{0,08(0,03)^3}{12 \cdot 2,4 \cdot 10^{-3}} = 0,075 \cdot 10^{-3} \text{ m}^2;$$

$$\text{Normal kuchlanish: } \sigma = \frac{F}{A} \left(1 + \frac{y_F y}{i_z^2} + \frac{z_F z}{i_y^2} \right)$$

$$\text{Kesim neytral o'qining tenglamasi. } 1 + \frac{y_F \cdot y_O}{i_z^2} + \frac{z_F \cdot z_O}{i_y^2} = 0;$$

$$\text{agar } Z_O = 0 \text{ bo'sha } y_O = -\frac{i_z^2}{y_F} = \frac{0,075 \cdot 10^{-3}}{0,01} = 7,5 \cdot 10^{-3} m$$

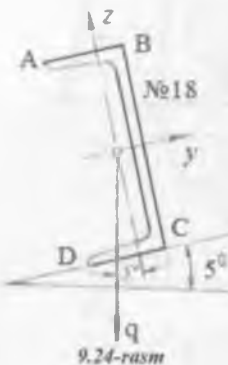
$$\text{agar } y_O = 0 \text{ bo'sha } Z_O = -\frac{i_y^2}{z_F} = \frac{0,0534 \cdot 10^{-2}}{0,02} = 2,67 \cdot 10^{-2} m$$

Demak, neytral o'q kesimning $Z O Y$ koordinata o'qlarining musbat chorakidan y_O va Z_O masofalarda kesib o'tar ekan.

Kesimning $KBCD$ nuqtalaridagi normal kuchlanishlari $\frac{kN}{m^2}$

$z_k = 0,04m$;	$z_B = 0,04m$;	$z_c = 0,04m$;	$z_d = 0,04m$;
$y_k = -0,015m$	$y_B = -0,015m$	$y_c = -0,015m$	$y_d = -0,015m$
$\sigma_k = 37,5 \cdot 10^3$	$\sigma_B = -62,5 \cdot 10^3$	$\sigma_c = 12,5 \cdot 10^3$	$\sigma_d = 112,5 \cdot 10^3$

Mustaqil ish uchun misollar



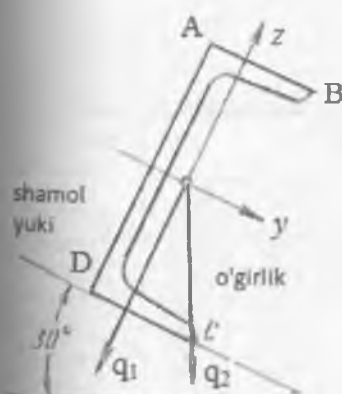
misol-4. Uchlari sharnirli tiralgan 4 m uzunlikdagi balkaga $q=5$ kN/m intensivlikdagi teng tarqalgan yuk ta'sir qiladi. Balkaning ko'ndalang kesimi № 18 li shveller. Shvellerning devori yuklanish ta'sir ta'sir qiladigan tekislikka $\alpha=5^\circ$ qiya (9.24-rasmga qarang). Balkaning xavfli kesimidagi A, B,C va D nuqtalaridagi normal kuchlanishlarni aniqlang va AB, BC va DC chiziqlar bo'yicha shu kuchlanishlar epyurularini yasang. Balkaning eng katta egilish qiyimati va yo'nalishini ham toping. Shvellerning buralishi xisobga olinmaydi.

Javob: $\sigma_A = -309 \cdot 10^5 \text{ N/m}^2$; $\sigma_V = -1019 \cdot 10^5 \text{ N/m}^2$;
 $\sigma_S = 626 \cdot 10^5 \text{ N/m}^2$; $\sigma_D = +1336 \cdot 10^5 \text{ N/m}^2$;
 $f = 1,14 \text{ sm}$; $\alpha = 47^\circ 57'$ (devor tekisligiga).



9.25-rasm

Mustahkamlik sharti qoniqarli bo'lmaydi, maksimal kuchlnish yo'l qo'yiladigan kuchlanishdan 24,4 % katta chiqadi. Shuning uchun qo'shtavrning nomerini kattalashtirish kerak. Endi № 22 li qo'shtavrni olib ko'ramiz, unda $W_u = 232 \text{ sm}^3$ va $W_z = 28,6 \text{ sm}^3$. Endi quyidagi xosil bo'ladi: O'ta kuchlanish 0,1 % ga yo'l qo'yish mumkin. Demak, № 22 li qo'shtavrni tanlaymiz.



9.26-rasm

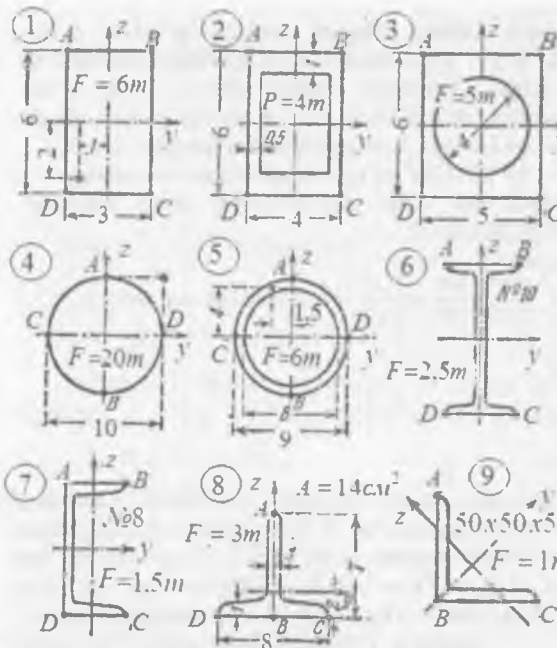
rasm-5. Uchlari sharnirli tiralgan qo'shtavr balka qulochi $l = 5 \text{ m}$ o'rtasiga to'plangan kuch $R = 8000 \text{ N}$ qo'yilgan. Qo'shtavr devori tekisligi yuk ta'sir qiladigan tekislik bilan $\alpha = 20$ burchak tashkil qiladi (rasmga qarang). Yo'l qo'yilgan kuchlanish [σ] = $16 \cdot 10^7 \text{ N/m}^2$ bo'lganda balka kesimini tanlang echimi: Bu holda mustahkamlik sharti quyidagi ko'rinishni oladi:

$$M_{\max} =$$

$$\frac{8000 \cdot 500}{4 \cdot 16 \cdot 10^3} + \frac{21,38}{23,1} = 0,319 + 0,925 = 1,244 > 1$$

misol-6. Tomning stropila tiraklari bir-biridan 3 m narida bo'lib, gorizontga 30 burchak ostida qiya. Ularga № 20 li shvellerdandan 2 m nari joylashgan. Tom tekisligiga perpendikulyar yo'nalgan shamol yuklanishining intensivligi $q = 750 \text{ N/m}$, tomning vertikal ta'sir qiladigan o'z og'irligi intensivligi $q_2 = 500 \text{ N/m}$ (rasmga qarang). Xavfli kesimda A, V, S va D nuqtalardagi normal kuchlanishlarni aniqlang va AV, AD va DC chiziqlari bo'yicha bu kuchlanishlar epyuralarini yasang. Shvellerning buralishi hisobga olinmaydi.

javob: $\sigma_a = -273 \cdot 10^5 \text{ N/m}^2$; $\sigma_v = +105 \cdot 10^5 \text{ N/m}^2$; $\sigma_s = +446 \cdot 10^5 \text{ N/m}^2$; $\sigma_d = +67 \cdot 10^5 \text{ N/m}^2$.

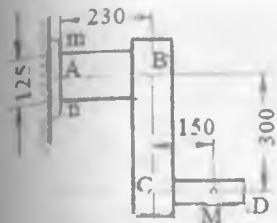


misol-7. Uzunligi
 $l=1,5\text{m}$. bulgan
 kundalang kesim
 yuzasi rasmida
 kursatilgan sm.da)
 (ulchamlari sterjen F kuch
 ta'sirida kesimning
 yulduzcha bilan
 belgilangan nuqtalarida chuziladi.
 Kesim neytral ukining
 vaziyati, A,B,C,D
 nuqtalardagi kuchlanishlar hisoblansin,
 epyuralari qurilsin,
 sterjen proletining
 urtasida salqilik
 topilsin.

9.27-rasm

javoblar:

№	Neytral o'q nuqtalarining koordinatalari		Kesimning nuktalaridagi kuchlanishlar, kG/sm^2					salqilik, $/\text{sm}$
	a_u	a_z	σ_A	σ_r	σ_s	σ_D	σ_{max}	
1	+ 0,75	+ 2,67	+375	-625	+125	+1125	1125	0,49
2	+ 0,96	-1,56	+1672	+281	-1005	+386	1672	0,57
3	-1,15	+1,48	-919	+331	+1493	+243	1493	0,45
4	-1,25	-1,25	+1273	-764	-764	+1273	1695	0,41
5	+ 6,04	-2,27	+1342	-443	+784	+115	1403	0,30
6	-0,54	-3,30	-532	+1580	+949	-1164	1580	0,55
7	-0,53	-2,49	+23	+1283	+747	-514	1283	0,45
8	+ 0,77	+2,17	-280	+412	-700	+1524	1524	0,41
9	-0,63	+1,05	+1415	-454	+10	-	1415	0,54

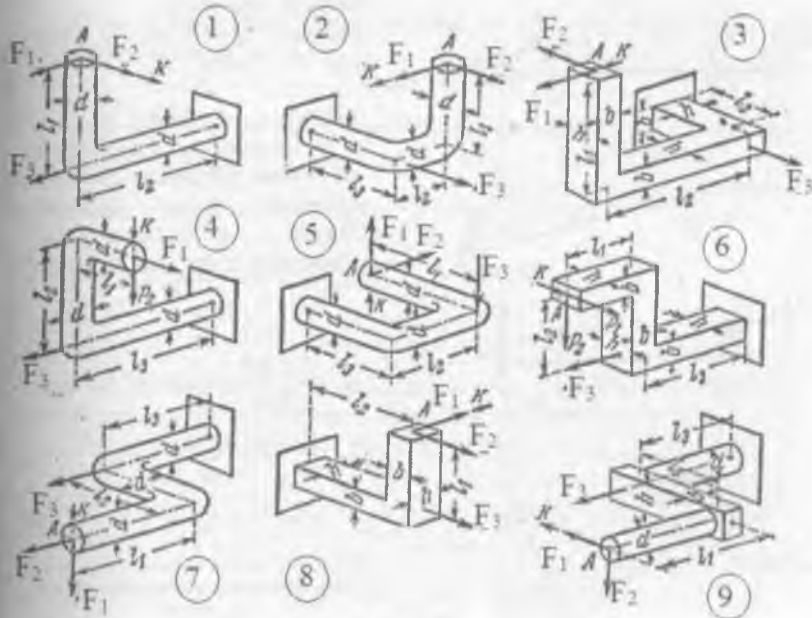


9.28-rasm

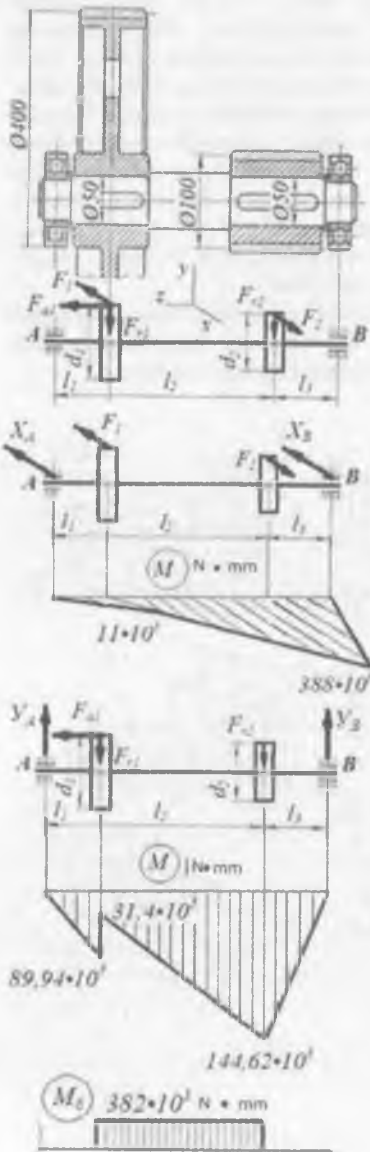
misol-8.8 Po'lat tirsakli sterjen ABC rasmda ko'rsatilgandek makhkamlangan. AB kesimining dumaloq ko'ndalang kesimi diametri 125 mm. 2 kN kuch M nuqtada chizma tekisligiga perpendikulyar qo'yilgan. Ko'ndalang kuchlarning urinma kuchlanishlarini xisobga olmay, eng xavfli nuqtadagi bosh kuchlanishlarni hamda uchinchi va to'rtinchisi mustahkamlik nazariyalari bo'yicha xisobiy kuchlanishlarni aniqlang.

javob: $\sigma_1 = 451 \text{ N/sm}^2$; $\sigma_2 = 54 \text{ N/sm}^2$; $\sigma_{\text{h III}} = 505 \text{ N/sm}^2$, $\sigma_{\text{h IV}} = 480 \text{ N/sm}^2$.

misol-8.9 Pulot kolen vallar uchun burovchi va eguvchi momen epyuralari kurilsin, uchinchi mustahkamlik nazariysi bo'yicha eng katta kuchlanishlar topilsin. A kesim markazining K strelka yunalishdagi kuchishi xisoblansin.



9.29-rasm



misol. Tcilindrik tishli reduktor oraliq valining mustahkamligi tekshirilsin. Valni aylanish

$$chastotasi n = 300 \frac{ayl}{min} da$$

$N = 12kVt$ quvvatni uzatadi. Val St.45 markali po'lotdan tayyorlangan, oquvchanlik chegarasidagi kuchlanish

$$\sigma_{OK} = 240 \frac{N}{mm^2}.$$

Mustahkamlik eng katta urinma kuchlanishlar nazariyasi bo'yicha tekshirilsin.

Berilgan: $l_1 = 60 \text{ mm}$, $l_2 = 180 \text{ mm}$, $l_3 = 70 \text{ mm}$,

$$d_2 = 100 \text{ mm}, d_1 = 400 \text{ mm}.$$

Yechish. rasm, a-da val va tishli g'ildiraklar sxemasi, 9.30-rasm, b-da yuklanish sxemasi ko'rsatilgan. Val uzatayotgan momentni topamiz:

$$M = \frac{N}{\omega}$$

$$M = \frac{12 \cdot 10^3}{31,4} = 382 \cdot 10^3 \text{ N} \cdot \text{mm}$$

$$buerda, \omega = \frac{\pi \cdot n}{30}, \text{ r/s}$$

9.30-rasm. Uzatma valining yuklanish sxemasi va egivchi momentlarining epyuralari

Valga o'rnatilgan tishli g'ildirak va shesternyadagi aylantiruvchi momentlar tekis aylanma harakatda o'zaro teng va qarama-qarshi tomonga yo'nalgan, ya'ni $M = M_1 = M_2$

Tishli g'ildiraklardagi kuchlarni topamiz:

$$\text{Doiraviy kuch } F_1 = \frac{2M_1}{d_1} = \frac{2 \cdot 382 \cdot 10^3}{400} = 1,91 \cdot 10^3 \text{ N}$$

$$F_2 = \frac{2M_2}{d_2} = \frac{2 \cdot 382 \cdot 10^3}{100} = 7,64 \cdot 10^3 \text{ N}$$

$$\text{Radial kuch } F_{r1} = F_1 \frac{\operatorname{tg} \alpha}{\cos \beta} = 1,91 \cdot 10^3 \frac{\operatorname{tg} 20^\circ}{\cos 12^\circ 50'} = 713 \text{ N}$$

$$F_{r2} = F_2 \frac{\operatorname{tg} \alpha}{\cos \beta} = 7,64 \cdot 10^3 \frac{\operatorname{tg} 20^\circ}{\cos 12^\circ 50'} = 2852 \text{ N}$$

Bo'ylama kuch faqat tishli g'ildirakda hosil bo'ladi, chunki unda tishlar qiyshiq joylashgan

$$F_{a1} = F_1 \operatorname{tg} \beta = 1,91 \cdot 10^3 \cdot \operatorname{tg} 12^\circ 50' = 434 \text{ N}$$

Valni yuklanish sxemasini tuzamiz (9.30 -rasm,b). F_1 va F_2 kuchlarni o'ziga parallel holda S va K nuqtalarga ko'chiramiz va ushbu kuchlarni C va K nuqtalarga nisbatan momentlariga teng juft momentlari $M_1 = \frac{F_1 d_1}{2}$ va

$$M_2 = \frac{F_2 d_2}{2} \text{ larni qo'shib qo'yamiz:}$$

$$C \text{ nuqtaga } m_1 = \frac{F_{a1} d_1}{2} \text{ momentlarni qo'yamiz.}$$

Val tayanchlarini A va B nuqtalarni x va y o'qlari bo'yicha chiziqli ko'chishlarini cheklaydigan fazoviy sharnirlar deb qabul qilamiz.

Valni gorizonttal tekislikda muvozanatini (9.30 -rasm, v) tekshiramiz:

$$\sum M_A = 0 \text{ va } F_1 l_1 - F_2 (l_1 + l_2) + x_B (l_1 + l_2 + l_3) = 0$$

$$buerdan x_B = \frac{-F_1 l_1 + F_2 (l_1 + l_2)}{l_1 + l_2 + l_3} = \frac{-1910 \cdot 60 + 7640 \cdot 240}{60 + 180 + 70} = 5545 \text{ N}$$

$$\sum M_B = 0 \text{ va } -F_1 (l_2 + l_3) + F_2 l_3 - x_A (l_1 + l_2 + l_3) = 0$$

$$buerdan x_A = \frac{-F_1 (l_1 + l_3) + F_2 l_1}{l_1 + l_2 + l_3} = \frac{-1910 \cdot 250 + 7640 \cdot 70}{60 + 180 + 70} = 185 \text{ N}$$

tekshirish: $F_1 - F_2 + x_A + x_B = 0$

Valni gorizonttal tekislikda muvozanatini (9.30 -rasm, g) tekshiramiz:

$$\sum M_A = 0 \text{ va } -F_{r1} l_1 + F_{a1} \frac{d_1}{2} - F_{r2} (l_1 + l_2) + y_B (l_1 + l_2 + l_3) = 0$$

$$y_B = \frac{F_{r1}l_1 - F_{al}\frac{d_1}{2} + F_{r1}(l_1 + l_2)}{l_1 + l_2 + l_3} = \frac{713 \cdot 60 - 434 \cdot \frac{400}{2} + 2852 \cdot 240}{60 + 180 + 70} = 2066 N$$

$$\sum M_B = 0 \quad \text{va} \quad F_{r1}(l_2 + l_3) + F_{al}\frac{d_1}{2} + F_{r2}l_3 - y_A(l_1 + l_2 + l_3) = 0$$

$$y_A = \frac{F_{r1}(l_2 + l_3) + F_{al}\frac{d_1}{2} + F_{r2}l_3}{l_1 + l_2 + l_3} = \frac{713 \cdot 250 + 434 \cdot \frac{400}{2} + 2852 \cdot 70}{60 + 180 + 70} = 1499 N$$

$$\text{tekshirish: } -F_{r1} - F_{r2} + y_A + y_B = 0$$

Valning K kesimi xavfli hisoblanadi. Keltirilgan momentni topamiz:

$$M_{ses} = \sqrt{M_x^2 + M_y^2 + M_a^2}$$

$$M_{KEU} = \sqrt{(388192)^2 + (144620)^2 + (382000)^2} = 563,5 \cdot 10^3 N \cdot mm$$

Eng katta kuchlanishni hisoblaymiz:

$$\sigma_{ses} = \frac{M_{KEU}}{W} = \frac{563,5 \cdot 10^3}{\frac{\pi \cdot d^3}{32}} = \frac{563,5 \cdot 10^3}{\frac{\pi \cdot (50)^3}{32}} = 46 \frac{N}{mm^2}$$

misol. -rasmda ko'rsatilgan brusning diametri topilsin. Ruxsat etilgan kuchlanish $[\sigma] = 1600 \frac{kg}{sm^2}$

Ichki kuchlarning epyuralari. Masalaning shartini bajarish uchun konstruktsiyaning xavfli kesimini aniqlashimiz kerak. Buning uchun ichki kuchlarning epyularlarini qurishimiz kerak.

Berilgan sistema fazoviy, chunki yuk va konstruktsiyaning sxemasi bitta tekislikda joylashmagan. Bunday sistemaning kesimida oltita ichki kuchlar hosil bo'lishi mumkin.

Barcha kesimlarda ichki bo'ylama kuch $N = 0$ ko'ndalang kuchlar Q_z va Q_y larning ta'siri kichik bo'lganligi uchun ularni e'tiborga olmaymiz.

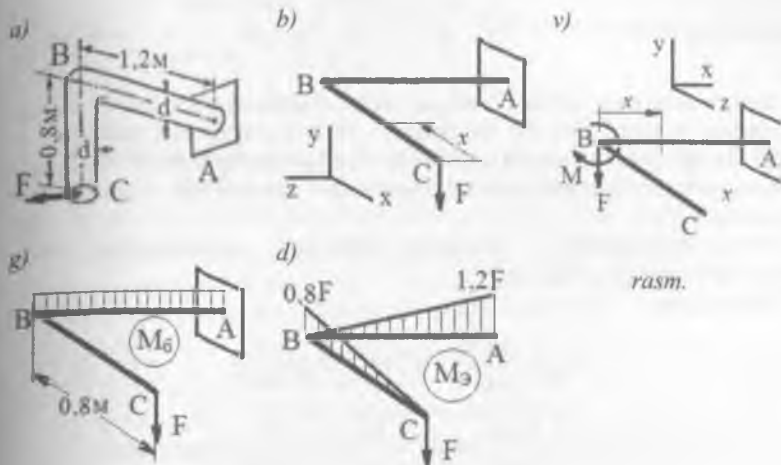
Shuning uchun M_z va M_y eguvchi momentlari va $M_x = M_a$ burovchi moment epyularlarini quramiz.

Rasm, b da konstruktsiyaning har bir uchastkasi uchun koordinata o'qlari ko'rsatilgan; x o'qi uchastkaning bo'ylama o'qi bilan mos tushadi, y va z ko'ndalang keasimning o'qlari hisoblanadi.

CB-oraliq. Eguvchi momentlar M_x , M_z va M_y siniq sterjen qirqilish tekisligidan bir tomonda qolgan kuchlarni kesilgan kesim markazidan o'tgan o'qlarga nisbatan kuch momentlarining yig'indisiga teng

$$0 \leq x \leq 0,8M \quad M_x = 0 \quad M_y = 0 \quad \text{va} \quad M_z = -F \cdot x$$

$$\text{BA-oraliq. } 0 \leq x \leq 1,2M \quad M_x = 0,8F \quad M_y = 0 \quad \text{va} \\ M_z = -F \cdot x$$



rasm.

Ushbu tenglamalar bo'yicha M_x va M_z epyuralari qurilgan.

CB oraliqda faqat eguvchi moment $M_3 = 0,8F$ hosil bo'ladi.

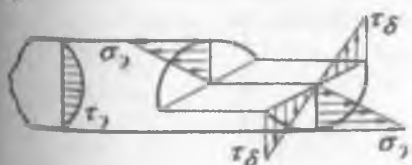
BA oraliqda burovchi moment $M_x = M_6$ va eguvchi moment $M_3 = M_z$ hosil bo'ladi. Siniq sterjenning tayanch kesimida burovchi moment $M_6 = 0,8F$ va eguvchi moment $M_3 = 1,2F$ eng katta qiymatga erishadi.

Bu kesimda burovchi moment ta'siridan buralishdag'i urinma kuchlanish $\tau_\delta = \frac{M_6}{W_p}$ hosil bo'ladi. Urinma kuchlanish sterjen kesimining chetki nuqtalarida

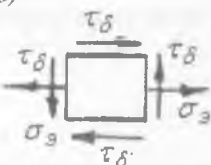
(rasm, a) maksimumga erishadi

$$\tau_\delta = \frac{M_6}{W_p} = \frac{0,8F}{\frac{\pi \cdot d^3}{16}} = \frac{12,8F}{\pi \cdot d^3}$$

a)



b)



rasm

AB oraliqning tayanch kesimida eguvchi moment ta'siridan hosil bo'lgan normal kuchlanish $\sigma_1 = \frac{M_x}{W_x}$ sterjen kesimining chetki nuqtalarida maksimumga erishadi.

$$\sigma_2 = \frac{M_2}{W} = \frac{1,2F}{\pi \cdot d^3} = \frac{38,4F}{\pi \cdot d^3}$$

32

Demak kesimning sirtidan ajratilgan material zarrachasi normal va urinma kuchlanishlar ta'sirida, shuning bu materil tekis kuchlanganlik holatida (*rasm, b*). Chunki sterjen tayanch kesimining sirtidan ajratilgan kubik shaklidagi material zarrachasining o'zaro perpendikulyar uchta yuzasida ham kuchlanishlar ta'sir qilmaydi.

Tekis kuchlanganlik holatidagi kubikning mustahkamligi bosh kuchlanishlar bo'yicha tekshiriladi.

$$\text{III nazariya } \sigma_1 - \sigma_3 \leq [\sigma]$$

$$\sigma_{1,3} = \frac{1}{2} \left[\sigma_{\max} \pm \sqrt{\sigma_{\max}^2 + 4\tau_{\max}^2} \right]$$

$$\sigma_{1,3} = \frac{1}{2} \left[\frac{38,4F}{\pi \cdot d^3} \pm \sqrt{\left(\frac{38,4F}{\pi \cdot d^3} \right)^2 + 4 \left(\frac{12,8F}{\pi \cdot d^3} \right)^2} \right] = \frac{F}{2\pi \cdot d^3} [38,4 \pm 46,6]$$

$$\sigma_1 = \frac{F}{2\pi \cdot d^3} [38,4 + 46,6] = \frac{85F}{2\pi \cdot d^3}$$

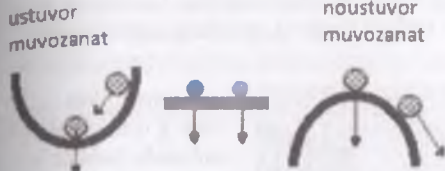
$$\sigma_3 = \frac{F}{2\pi \cdot d^3} [38,4 - 46,6] = -\frac{8,2F}{2\pi \cdot d^3}$$

Agar kuchlanishlarni III nazariyaga keltirib qo'ysak:

$$\frac{85F}{2\pi \cdot d^3} + \frac{8,2F}{2\pi \cdot d^3} \leq [\sigma] \quad \text{yoki} \quad \frac{46,6F}{\pi \cdot d^3} \leq [\sigma] \quad d = \sqrt[3]{\frac{46,6F}{\pi \cdot [\sigma]}}$$

X- BOB. SIQILGAN STERJENLARNI USTUVORLIKKA HISOBBLASH

Ustuvorlik haqida tushuncha. Ko'pgina injenerlik inshootlarini hisoblashda, ularning mustahkamlik sharti bilan bir qatorda ustuvorligi ham ta'minlanishi kerak. Botiq yoki qabariq sirt ustida yotgan sharning muvozanat holati ustuvor yoki noustuvor muvozanatga misol bo'ladi (*10.1 - rasm*).



10.1 – rasm. Ustuvor va noustuvor sharlar

Qabariq sirtda joylashgan shar kichik miqdorga og'dirilganda pastga dumalab ketadi. Shuning uchun bu shar noustuvor. Uzun va ingichka sterjenlar, ingichka qobiq va plastinkalarni ustuvorlikka hisoblash katta ahamiyatga ega.

Sekin-asta o'suvchi kuch ta'sirida sterjen siqilsa, kuchning biror kritik qiymatida sterjen o'zining to'g'ri chiziqli holatini yo'qotadi (10.2-rasm). Sterjenning ustuvor muvozanat holati buziladi.



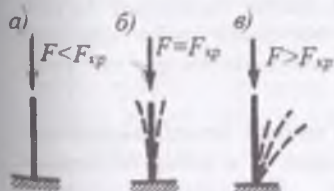
10.2 – rasm. Sterjenni ustuvor va noustuvor holati

Agar, kuchni shu qiymatida ushlab turilsa, sterjenda muvozanat holat yuzaga keladi va sterjenning yangi ustuvor muvozanati sodir bo'ladi. Agar siquvchi kuch kattallashtirilsa, sterjenning noustuvorligi oshadi va yana kuchning qiymati oshsa sterjen emirilishi mumkin. Denak, kritik kuchdan kichik siquvchi kuch ta'sirida sterjen siqiladi, kritik kuchdan katta qiymatda siqilish va egilishga uchraydi, kritik kuch emiruvchi xarakterga ega.

Sterjen to'g'ri chiziqli holatidan chetga chiqishi noustuvordir. Noustuvor sterjen bo'ylama egilish holatida bo'ladi. Bo'ylama egilish juda xavflidir, chunki siquvchi kuch ozgina orttirliganda sterjenni egilishi tez ortadi, chunki salqilik va kuch o'zarо chiziqsiz bog'lanishda. Natijada egilishda bo'ladigan

kuchlanish ham tez ortadi, sterjen emirilishi mumkin.

Siquvchi kuchni kritik qiymatida konstruktsiyaning elementida deformatsiyaning xarakteri o'zgaradi, konstruktsiya ishdan chiqadi. Shuning uchun ustuvorlikga hisoblash konstruktsiyani boshlang'ich shaklida, ya'ni kritik kuchdan kichik yuklanishda ishlashini ta'minlash kerak.



Ustuvor va noustuvor holatlarga oid misollar

Ustuvorlikga hisoblash sterjenni o'lchamlari, materialining xarakteristi-kasi va unga ta'sir qiluvchi kuchni shunday tanlash kerak-ki, bo'ylama egilish xavfli bo'lmasin.



Ustuvorlikka
noto'g'ri hisoblash
oqibatida, juda ko'p
konstruktsiyalarning
emirilishi sodir
bo'lgan. Masalan:
1907 y AQSh da
Shimoliy Lavrentiya
daryosiga qurilgan.

bosh prolyoti 549 m bo'lgan konsol sistemalni katta ko'priq ag'darilib tushgan. 9000 tonnali konstruktsiya butunlay ishdan chiqgan; konstruktsiyaning katta qismi suvga 40 m chuqurlikka cho'kib 74 kishi halok bo'lgan. Shunday voqeja Kvebek daryosidagi ko'priqda ham ikki marotaba sodir bo'lgan. Birinchi halokatdan 9 yil o'tgach, 1916 yil oldingi sxema bo'yicha yangi Kvebek ko'prigi quriladi va ikkinchi marotaba ham osma prolet suvga ag'darilib cho'kib ketadi.

1981 yil may oyida Shveytsariyaning Menxenshteyn qishlog'idagi ko'priqda bo'lgan halokatli hodisa siqilgan sterjenlarning ustuvorlikka puxta hisoblash naqadar zarur va muhimligini ko'rsatuvchi saboqdir. Halokat ro'y bergan paytda ko'priqdan uzunligi 42 m bo'lgan va 12 vagondan iborat bo'lgan passajir poezdi o'tgan. Parovoz ko'priqdan o'tib bo'lib, lekin daryoga qulagan 6ta vagon uni ham tortib ketgan. Falokatda ko'p kishi o'lgan va 200 kishi yarador bo'lgan. Falokat fermaning siqilgan tirgovichlaridan biri ustuvorligini yo'qotish natijasida sodir bo'lgan.

Siquvchi kuchning kritik qiymatida sterjenning ko'ndalang kesimida kritik kuchlanish hosil bo'ladi.

$$\sigma_k = \frac{F}{A} \quad (10.1)$$

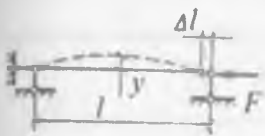
10.1. Kritik kuchni aniqlash. Eyler formulasi

Kritik kuchni aniqlashni Eyler usuli elastik sistema muvozanatni bo'lgan shakllarning qismlari analiziga asoslangan. Muvozanat holat qismlarga ajralayotgan paytga to'g'ri keluvchi siquvchi kuchning kichik qiymati kritik kuch deyiladi.

Ikki uchi sharnirli tayanchga tayangan o'zgarmas kesimli siqilayotgan sterjendagi kritik kuchni topish uchun, sterjen egilgan o'qining differentsiyal tenglamasidan foydalanamiz (*10.3-rasm*). Siqilayotgan sterjenning

deformatsiyasi elastik bo'lib, kritik kuch ta'siridan sterjenning ko'ndalang kesimida hosil bo'lgan kuchlanish sterjen materialining proportionallik chegarasidagi kuchlanishdan katta bo'lmaydi. Bunda sterjen egilgan o'qining

$$\text{differentsial tenglamasi } \frac{d^2y}{dx^2} = -\frac{M}{EI} = -\frac{Fy}{EI}$$



$$\text{Agar, } K^2 = \frac{F}{EI} \text{ belgilash kirtsak}$$

$$\frac{d^2y}{dx^2} + K^2 \cdot y = 0 \quad (10.2)$$

10.3 – rasm. Eyler formulasini aniqlash sxemasi

Bu tenglama matematik mayatnik harakatining differentsial tenglamasiga o'xshaydi. (10.2) differentsial tenglamaning integrali quyidagicha yoziladi:

$$y = \alpha \cdot \sin \kappa x + b \cdot \cos \kappa x \quad (10.3)$$

bu erda: a, v – integrallash doimiyliklari, sterjen uchlarini tayanish shartlaridan topiladi.

Masalan: 1) birinchi shart $X = 0$ bo'lganida, $U = Us = 0$ va $b = 0$ bo'ladi. Unda sterjen egilgan o'qining tenglamasi quyidagicha yoziladi:

$$y = \alpha \cdot \sin \kappa x \quad (10.4)$$

Bu tenglamadan aniq-ki, sterjenni egilgan o'qi sinusoida ekan, ya'ni sterjen sinusoida bo'yicha egiladi

2) ikkinchi shart: $x = \ell \quad \partial a \quad y = y_B = 0 \quad$ bo'ladi. Bu erda $a \neq 0$, demak $\sin \kappa \ell = 0$, bu hol uchun $K\ell = n\pi, 2\pi, \dots, \pi$ ekanligini topamiz.

Agar, $K = \frac{n\pi}{\ell}$ yoki $K^2 = \frac{n^2\pi^2}{\ell^2}$ ni hisobga olsak,

$$F_k = \frac{n^2\pi^2 EI_{\min}}{\ell^2} \quad (10.5)$$

n – har qanday butun son.

Bu formulani (1744 y.) birinchi marotaba L.Eyler olganligidan, uni Eyler formularsi, uning yordamida topiladigan kuchni kritik kuch deyiladi. L.Eyler ta'rifiga ko'ra, kritik kuch deb, sterjenning eng kichik og'ishi uchun kerak bo'ladigan kuchga aytildi. Ustuvorlik yo'qolishida sterjen kichik bikrlik tekisligida egiladi, ya'ni uning ko'ndalang kesimi inertsiya momenti momenti minimal bo'lgan bosh o'qi atrofida aylanadi. Shuning uchun Eyler formulasida I_{\min} qatnashadi.

Shunday qilib, engil egilgan sterjenni muvozanatda ushlaydigan kuch bir nechta qiymatga ega bo'lishi mumkin ekan. Sterjenning bo'ylama – egilishidagi siquvchi kuchni minimal qiymati $n = 1$ to'g'ri keladi.

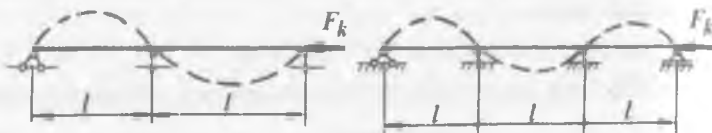
$$\text{Unda } F_k = \frac{\pi^2 EI}{\ell^2} \quad (10.6)$$

G'_k kuchni bu qiymatiga sterjenni yarim to'lqinli sinusoida shaklidagi egilishi to'g'ri keladi. $y = a \cdot \sin \frac{\pi x}{\ell}$ (10.7)

Agar $n = 2$ va $n = 3$ bo'lsa, sterjenni egilishi ikkita va uchta yarim to'lqinli sinusoidal chiziq bo'ladi: (10.4 - rasm) va u noustuvor

$$K = \frac{2\pi}{\ell}; \quad y = a \cdot \sin \frac{2\pi x}{\ell}; \quad F_k = \frac{4\pi^2 EI}{\ell^2}$$

$$K = \frac{3\pi}{\ell}; \quad y = a \sin \frac{3\pi x}{\ell}; \quad F_k = \frac{9\pi^2 EI}{\ell^2}$$



10.4 – rasm. sterjenni ikki va uch yarim to'lqinli (sinusida) noustuvor holatalari

Eyler formulasidan ko'rinishicha, F_k kuch sterjennining bikrligiga to'g'ri va sterjen uzunligi kvadratiga teskari proporsional.

Elastiklik chegarasida ishlaydigan sterjen uchun kritik kuch sterjennining geometrik o'lchamlari va materialning elastiklik moduliga bog'liq: sterjen tayyorlangan materialning mustahkamlik tavsifnomalariga bog'liq emas. Masalan: yumshoq va yuqori sortli po'latlarda E qiymati taxminan bir xil bo'lganligi uchun, ularda kritik kuch ham bir xildir, ya'ni ular bir xil kritik kuchda ustuvorligini yo'qotadi.

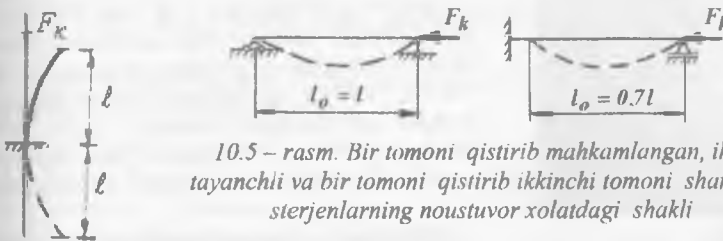
Shunday qilib, siqilishga va cho'zilishga ishlaydigan sterjenlar orasida keskin farq bor. Chegaraviy cho'zuvchi kuch bevosita materialning mustahkamlik xarakteristikalariga bog'liq bo'lganligidan turli sort po'latlar uchun turli. Lekin, elastiklik chegaradagi siqilishda boshqa holni ko'ramiz. Chegaraviy cho'zuvchi kuch sterjennining uzunligiga bog'liq emas, lekin chegaraviy siquvchi kuch qiymati sterjen uzunligi ortishi bilan keskin kamayadi. Siqilgan sterjenlarda bo'ylama egilish to'satdan sodir bo'lganligi uchun xavfli, shuning uchun o'lchamlari noto'g'ri belgilangan konstruktysiylarda uni oldini olish

qiyn. Cho'zilgan sterjenlarda xavfli holat belgilari emirishdan oldin paydo bo'ladi.

Ikkita sharnir tayanchli sterjenning egilishdagi eng katta salqiligi $x = \frac{\ell}{2}$ masofasidagi nuqtasida hosil bo'ladi:

$$v_{\max} = a \sin kx = a \sin \frac{\pi}{\ell} \cdot \frac{\ell}{2} = a$$

Sterjen uchlarini mahkamlanish shartini kritik kuchning qiymatiga ta'sirini aniqlash uchun, har xil tayanchlarga tayangan sterjenlarning bo'ylama egilishdagi deformatsiyalarini ikkita sharnirli tayanchga tayangan sterjenning deformatsiyasi bilan taqqoslaysiz.



10.5 – rasm. Bir tomoni qistirib mahkamlangan, ikki tayanchli va bir tomoni qistirib ikkinchi tomoni sharnirli sterjenlarning noustuvor xolatdagi shakli

Masalan, bir uchi qistirib mahkamlab qo'yilgan sterjen deformatsiyasining uzunligini ikkita uchi sharnirli mahkamlab qo'yilgan sterjen deformatsiyasi uzunligining yarmiga teng. Demak, bir uchi qistirib mahkamlangan, har birining uzunligi ℓ_0 bo'lgan ikkita sterjenlar egilgan o'qlarining shakli erkin uchlari orasida hosil bo'lgan yarim to'lqin (sinusida) uzunligiga teng ekan, ya'ni:

$$\ell_0 = 2\ell.$$

$$\text{Eyler formulasi: } F_k = \frac{\pi^2 EI}{\ell_0^2} \quad \text{yoki} \quad F_k = \frac{\pi^2 EI}{(2\ell)^2} = \frac{\pi^2 EI}{4\ell^2}$$

Sterjen uchlarining mahkamlanish shartlariga ko'ra, kritik kuchning formulalarini yozamiz. $F_k = \frac{\pi^2 EI}{(\mu\ell)^2} \quad (10.8)$

Bu erda μ - keltirilgan uzunlik koefitsienti;

$$\ell_0 = \mu \cdot \ell \text{ - keltirilgan uzunlik.}$$

LEONARD EYLER (1707 - 1783)

Leonard Eyler 5 aprel 1707 yil Bazel shahrida to'g'ilgan 18 sentyabr 1783 yil Peterburgda vafot etgan. 1720 – 1723 yillar Bazel universiteti talabasi, 1727 yil L. Eyler Peterburg keladi. 1733 yil oliy matematika kafedrasining (Peterburg akademiyasi) akademig'i. 1741 – 1766 yillar Berlinda faoliyat ko'rsatadi. 1766 yildan boshlab umrining oxirigacha Peterburg akademiyasida ishlaydi. Ilmiy faoliyatida matematika, mexanika, fizika, astronomiya va texnikaga oid 800 ga yaqin ilmiy ishi bor.



Mexanikaga oid ilmiy ishlari 1728 yildan boshlab chop etildi. « Mexanika yoki harakatni analitik ma'nosи to'g'risidagi fan » (2 том, 980 bet, 1736 y.), « Dengiz naukasi, yoki korabllarni qurish va ularni boshqarish to'g'risidagi traktata » (2 том, 978 bet, 1749 y.), «Maksimum yoki minimumga ega bo'lgan egri chiziqlarni aniqlash usuli» (480 bet, Jeneva, 1744 y.), «Qattiq jism harakatining nazariyasи» (520 bet, Rostok, 1765 y.) va boshqalar.

Differentsial va integral hisoblashni va variatsion hisoblash usulini to'g'ri baholab mexanika masalalariga adekvat bo'lgan muammolarni hal qilish mumkinligini aytgan. Harakat qonunlarini o'rganishda L.Eylerga asosan - oldin nuqta harakati, keyin qattiq jism harakati o'rganiladi.

LEONARD EYLERning faoliyatiga tegishli materiallar	
$F_{KF} = \frac{\pi^2 C}{l^2}$ 	<p>1733 yildan Rossiya Fanlar Akademiyasining akademigi</p>  <p>Peterburg Fanlar Akademiyasi-ning binosi</p>
<p>Siqilgan sterjenda kritik kuchnitopgan</p>	<p>Mustahkamlik ilmida, elastik sistemaning muvozanatlashgan ustuvorligini izlanish usulining muallifi</p>
	<p>Peterburg Fanlar Akademiyasi ilmiy ishlari.</p>

L.Eyler – o'zgaruvchan kesimli sterjenni bo'ylama egilishi, ikki uchi sharnirli bog'lanishda bo'lgan sterjenni xususiy og'irligi ta'siridan egilish masalasi echilgan. Korabni muvozanat va ustuvorlik nazariyasini ishlab chiqilgan. Natijada mexanik sistemaning ustuvorlik nazariyasini yaratildi. L.Eylermi «Oy harakatining yangi nazariyasini» koinot mexanikasida muhim o'rinni egallaydi. Bu masalada L.Eyler Oy harakatini «Uch jism» masalasiga keltiradi va Dekart koordinatasini tadbiq etadi. Mexanikani integrall printsiplini – kam harakat printsipi deb aniq va tushunarli qilib bayon etadi.

Elastik sterjendagi katta ko'chishlarni aniqlash usuli. Arralovchi mashina, o't o'chiruvchi nasos qurilmalari bo'yicha ekspert, Moskva kolokolini ko'tarishda, Niva daryosidagi bir arkali ko'priksi mahkamlashda, dengiz qirg'oqlari qurilishining maslahatchisi bo'lgan.

10.2. Eyler formulasini ishlatish chegarasini aniqlash

Siquvchi kuchni kritik qiymatida ko'ndalang kesimda hosil bo'lgan normal kuchlanish kritik kuchlanish deyiladi.

Kritik kuchni aniqlash uchun Eyler formulasi sterjen materialining Guk qonuni kuchga ega bo'lgan chegarada keltirib chiqarilgan edi. Shuning uchun Eyler formulasi yordamida topilgan kritik kuchlanishni materialning proporsionallik chegarasidagi kuchlanishdan kata bo'lgan hollarda foydalanim bo'lmaydi, ya'ni $\sigma_{kp} \leq \sigma_n$. Unda $\sigma_{kp} = \frac{\pi^2 E}{\lambda^2} \leq \sigma_n$ hosil bo'ladi. Buerdan

$\lambda \geq \pi \cdot \sqrt{\frac{E}{\sigma_n}}$, ya'ni chegaraviy egiluvchanlik materialni fizik-mexanik xossasiga bog'liq, lekin sterjen o'lchamlariga bog'liq emas. Eyler formulasidan kritik kuchlanishni aniqlaymiz:

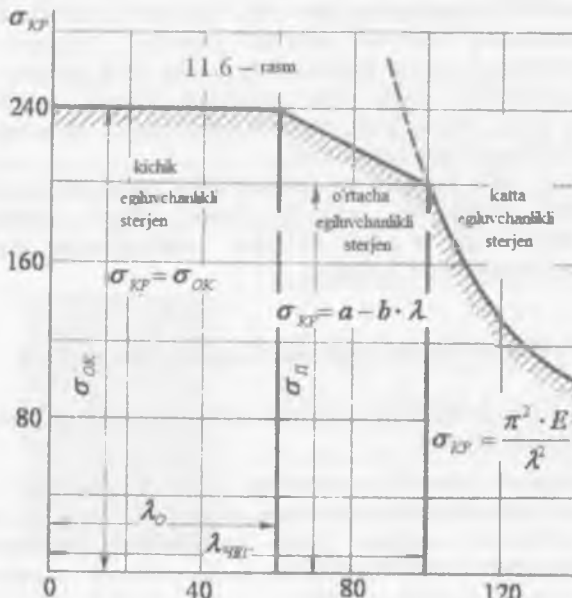
$$\sigma_k = \frac{Fk}{A} = \frac{\pi^2 EI}{Al^2} = \frac{\pi^2 E}{\left(\frac{\mu l}{i}\right)^2} = \frac{\pi^2 E}{\lambda^2} \quad (10.9)$$

buerda: $i^2 = \frac{I}{A}$ - inertsiya radiusi.

Yasinskiy ta'rifidan $\lambda = \mu \frac{\ell}{i}$ - sterjenning egiluvchanligi

λ - siqilgan sterjenni o'lchov birliksiz xarakteristikasi, sterjen ustuvorligini yo'qolishiga qarshilik ko'rsatadi, bir vaqtida sterjen uzunligiga va ko'nda-lang

kesim bikrligini ifodalaydi. $\lambda \geq \lambda_{qER}$, ya'ni chegaraviy egiluvchanlik tushunchasi asosida Eyler formulasini ishlatish chegarasini belgilaymiz.



10.6-rasm. Kritik kuchlanish va egiluvchanlik orasidagi bog'lanishning grafikasi

Eyler formulasi sterjen uchun hisoblangan egiluvchanlik chegaraviy egiluvchanlikga teng yoki undan katta bo'lsa ishlataladi

(10.9) formuladan aniq-ki, σ_k sterjenning egiluvchanligiga bog'liq. Ingichka va uzun sterjenlarda kritik kuchlanish kichik bo'ladi. Mustahkamlik chegarasi $\sigma_B = 40\text{ MPa}$ bo'lgan st.3 po'lat uchun $\lambda = 150$ va $E = 2 \cdot 10^5$

$$mPa bo'lsa: \quad \sigma_k = \frac{\pi^2 \cdot 2 \cdot 10^5}{(150)^2} = 87,7 \text{ MPa} \leq 160 \text{ MPa}$$

$$\lambda = 50 \quad \text{bo'lsa: } \sigma_k = \frac{\pi^2 \cdot 2 \cdot 10^5}{(50)^2} = 300 \text{ MPa} > [\sigma] = 160 \text{ MPa}$$

Siqilayotgan sterjendagi kuchlanish kritik kuchlanishdan kichik kuchlanishda emirilish sodir bo'ladi. Agar $\sigma_k = \sigma$ deb olinsa, (10.10)

$$\text{formuladan egiluvchanlikni chegaraviy qiymatini topamiz: } \lambda_0 = \sqrt{\frac{\pi^2 E}{\sigma}}$$

Agar $\lambda = \lambda_0$ bo'lsa, Eyler formulasidan foydalanish mumkin. St.3 po'lat uchun: $\sigma_n = 200 \text{ mPa}$. $\lambda_0 = \sqrt{\frac{\pi^2 \cdot 2 \cdot 10^5}{200}} \approx 100$

St.5 po'lat uchun $\lambda_0 = 90$. Shunday qilib, egiluvchanligi $\lambda = 100$ sterjenlar uchun Eyler formulasi ishlatalishi mumkin (10.6 - rasm). Egiluvchanlik 0 dan 40-50 gacha bo'lsa, sterjen kalta bo'ladi. Bunday sterjenlar mustahkamlik yo'qolishi bilan emiriladi. Shuning uchun, kritik kuchlanish oquvchanlik (plastik material) yoki mustahkamlik chegarasidagi kuchlanishga (mo'rt material) teng qilib olinadi (10.6 - rasm).

Egiluvchanligi ($50 \leq \lambda \leq \lambda_0$) oraliqda bo'lgan sterjenlar elastik plastik deformatsiyalani, ustuvorligini yo'qotadi. Bunda, kritik kuchlanish sterjen materialining proporsionallik yoki oquvchanlik chegaralaridagi kuchlanishiga teng bo'ladi. Kritik kuchlanishni bunday o'zgarishi to'g'ri chiziq bo'lib, Yasinskiy formulasiga bo'yusunadi va u quyidagicha yoziladi:

$$\sigma_k = a - b\lambda$$

10.3. Siqilgan sterjenning kundalang kesimdagagi ratsional shakli

Siqilgan sterjenlar uchun Eyler formulasini qo'llab, kritik kuchni topganda sterjen uchlarining mahkamlanishiga bog'liq holda bosh tekisliklarda ustuvorlikni yo'qotishning turli shakkari bo'lishi mumkinligini inobatga olish zarur. Bir uchi qistirib mahkamlangan, ikkinchi uchi esa ozod bo'lgan ster-jenning ustuvorligi bikrili kichik bo'lgan

Ayrim materiallar uchun a, b, c koefitsientlar:

Material	λ	a	b	c
St.2, St.3	100	3100	11,4	-
St.5	100	4640	32,6	-
Stal 40	90	3210	11,6	-
Kremniy. stal	100	5890	38,2	-
Sosna	110	193	1,94	-
cho'yan	80	7760	120	0,53

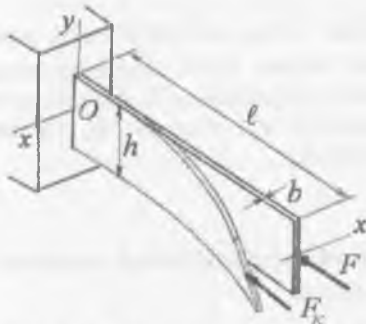
Cho'yan uchun
Yasinskiy formulasi:
$$\sigma_k = a - b\lambda + c\lambda^2$$

tekislikda yo'qoladi, chunki bu tekislikda egilishga mos keluvchi kritik kuch eng kichik bo'ladi (10.7 - rasm).

$$I_y = I_{\min} = \frac{hb^3}{12} \quad \text{va} \quad I_x = \frac{h^3 b}{12} \cdot \text{Egilish } X \text{ o'qi} \quad \text{tekisligida bo'ladi}$$

$$F_{1k} = \frac{\pi^2 EI_x}{(\mu_1 \ell)^2} \quad \text{ea} \quad F_{2k} = \frac{\pi^2 EI_y}{(\mu_2 \ell)^2} \quad \text{deb qabul qilaylik. } I_x > I_y \text{ bo'lganligi}$$

uchun $F_{1k} > F_{2k}$. Sterjen ikkala bosh inertsiya tekisligida ham bir xil egilishi uchun $I_x = I_y$ yoki $\mu_1 = \mu_2$ bo'lishi kerak. Masalan: kesim yuzasi ikkita shvellardan tashkil topgan bo'lsa, ularning ikkala bosh inertsiya tekisligida bir xil ustuvorlikni yo'qotishini ta'minlash uchun $I_x = I_y$ tenglikni hosil qilamiz.



10.7 – rasm. Noustuvor holat

Buninguchun a – masofa shunday tanlanishi kerak-ki,

$$2I_{x1} = 2 \left[I_{y1} + A \left(\frac{a}{2} \right)^2 \right] \text{ shart}$$

bajarilsin. Demak, $P_{1k} = P_{2k}$ tenglik yuzaga keladi, unda quyidagi teng ustuvorlik sharti hosil bo'ladi.

$$\frac{I_x}{\mu_1^2} = \frac{I_y}{\mu_2^2}. \text{ Agar, } \mu_1 = \mu_2 \text{ bo'lsa, ham sterjen}$$

ikkala bosh inertsiya tekisligida ustuvorlikni bir xil yo'qotadi. i_{\min} – minimal inertsiya radiusining eng katta qiymatga olib keladigan yuza ratsional kesim bo'ladi.

O'lchov birligisiz tafsifnoma tanlaymiz:

$$\varsigma = \frac{i_{\min}}{\sqrt{A}} \quad (10.13)$$

Kesimning ratsionalligini ς – ning qiymati yordamida aniqlaymiz:

kvadrat - 0,289; doira - 0,283 ; to'rtburchakli - 0,204

shveller	0,41 - 0,29
----------	-------------

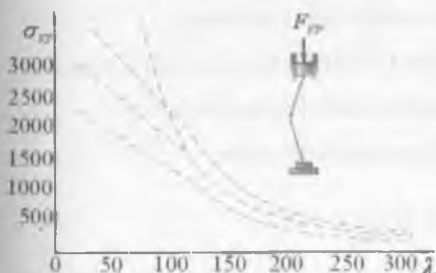
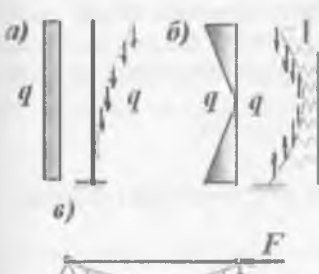
qo'shtavr	0,41 - 0,27
-----------	-------------

burchak	0,5 - 0,3
---------	-----------

trubasimon ($d = 0,7-0,8$)	1,2 - 1,0
------------------------------	-----------

trubasimon ($d = 0,95-0,8$)	2,25 - 1,64
-------------------------------	-------------

FELIKS STANISLAVOVICH YASINSKIY
(1856 – 1899)



F.S. Yasinskiy 1877 yil Peterburg yo'llar aloqasi injelerlar institutni tamomlaydi. 1894 yildan shu institut professori.

Berilgan yuklanish sxemalarida o'rsatilgan sterjenlarni bo'ylama - ko'ndalang egilish va ustuvorligining amaliy echimini topdi. $\sigma = 1028 \frac{kg}{sm^2}$ yuqori poyasda emirilishga sabab bo'lgan kuchlanish $\sigma = 1007 \frac{kg}{sm^2}$ Yasinskiy hisoblagan kritik kuchlanish.(1875) Kiev ko'prigini qulab tushgandan ko'rinishi Yasinskiy yuqori ochiq poyasli ko'prik ustuvorligini ta'minlash usulini yaratdi. Ko'plab sinash asosida empirik formula

$$\lambda = \frac{\mu \cdot l}{i} \quad \text{yaratildi}$$

10.4. Sinqilgan sterjenlarni ustuvorlikka amaliy hisoblash.

Sinqilgan sterjenlarni mustahkamlikda hisoblash o'lchamlarini shunday tanlash kerak-ki, ularni ekspluatatsiya qilish jarayonida kuch ta'siridan ustuvorlikni yo'qotimasligi kerak. Buning uchun sinqilgan sterjenning kesimdag'i normal kuchlanish kritik kuchlanishdan kichik bo'lishi kerak:

$$\sigma = \frac{N}{A_\delta} \prec \frac{F_k}{A_\delta} = \sigma_k \quad (10.14)$$

bu erda: N - siqvuchi kuch;

A_δ - sterjenning zaiflashgan kesim yuzasi.

Kritik kuchlanish materialning oquvchanlik chegarasidan plastik material uchun yoki mustahkamlik chegarasidan mo'rt materiallar uchun, xavfli bo'lishi mumkin. Shuning uchun sterjenni ustuvorlikka amaliy hisoblashda kritik kuchlanishni hosil bo'lishini cheklash kerak, ya'ni ustuvorlikka ehtiyotlik shartini

$$\text{ta'minlash kerak: } \sigma_y = \frac{F_k}{A_\delta} = [\sigma]_y \quad (10.15)$$

Ustuvorlikka ruxsat etilgan kuchlanish $[\sigma]_y$, ustuvorlikka ehtiyotlik koefitsienti (n_y) orqali topiladi:

$$[\sigma]_y = \frac{\sigma_k}{n_y} \quad (10.16)$$

$$\text{Unda } \sigma_y = \frac{F_k}{A_\delta \cdot \varphi} \leq [\sigma] \quad (10.17)$$

Bu shart orqali sterjenning ko'ndalang kesimi tanlanishi mumkin.

Ustuvorlikka ehtiyotlik koefitsienti n_y mustahkamlikka ehtiyotlik koefitsienti n - dan katta qabul qilinadi:

yog'och - $n_y = 2,8 \dots 3,2$; po'lat - $n_y = 1,8 \dots 3,0$; cho'yan $n_y = 5 \dots 5,5$

$[\sigma]$ - sterjenni mustahkamlikka ruxsat etilgan kuchlanishi;

φ - mustahkamlikka ruxsat etilgan kuchlanishni kamaytirish koefitsienti.

Koeffitsient - φ - materialning egiluvchanligiga bog'liq

topiladi. Yog'och uchun koeffitsent φ -quyidagi formuladan

$$\text{topiladi: } \lambda = 75 \text{ bo'lsa, } \varphi = 1 - 0,5 \left(\frac{\lambda}{100} \right)^2$$

Koeffitsient sterjen kesimining o'lchamlariga bog'liq bo'lganligi uchun uni qiymati oldindan berilgan bo'lmaydi. Shuning uchun kesimni o'lchamlari asta-sekin yaqinlashish usuli bilan topiladi. Birinchi marotaba $\varphi = 0,5$ deb olinadi. Keyingi yaqinlashishda λ - ga bog'liq holda koeffitsent φ

$$\text{interpolyatsiya usuli bilan topiladi: } \varphi_1 = \varphi' - \frac{\varphi' - \varphi''}{10} \cdot K$$

Topilgan φ yordamida kuchlanish aniqlanadi va uni ruxsat etilgan qiymat bilan solishtiriladi. Ikkala kuchlanish orasida farq bo'lishi mumkin. Agar $\sigma_y < [\sigma]$ bo'lsa, kesim o'lchamining qiymati kichiklashtirilishi kerak, agar

$\sigma_y > [\sigma]$ bo'lsa, kesim o'lchamlarini oshirish kerak. Hisoblangan kuchlanish

σ bilan kuchlanishning ruxsat etilgan qiymati orasidagi farq 3-5% olib borilishi kerak. Masalani qo'yilishiga ko'ra hisoblash uch xil variantda olib boriladi.

Dastlabki hisoblash – bunda ustuvorlikka ehtiyyotlik koefitsientining haqiqiy qiymati aniqlanadi va talab etilgan qiymati bilan taqqoslab ko'rildi:

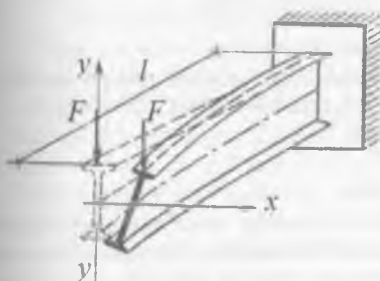
$$n_y = \frac{F_q}{F} \leq [n_y].$$

Ruxsat etilgan yuk hisoblanadi $[F] = \frac{F_q}{[n_y]}$

Loyihaviy hisoblash – sterjen ko'ndalang kesimining talab etilgan o'lchamlari aniqlanadi. Bunda Eyler formulasi yordamida ko'ndalang kesimining minimal inertsiya momenti:

$$I_{\min} \geq \frac{F \cdot [n_y] \cdot (\mu \cdot l)^2}{\pi^2 E}$$

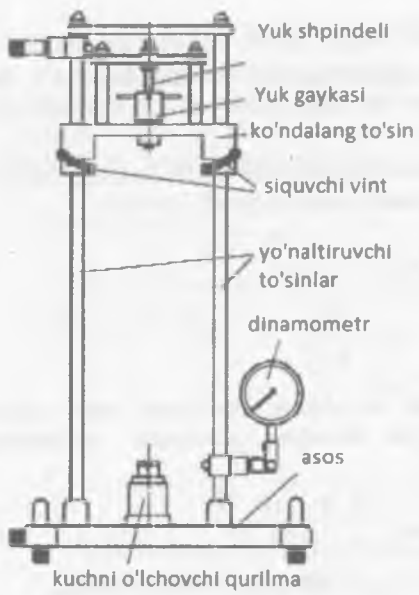
Egiluvchan elementlarning ustuvorligi.



Egiluvchan elementni ustuvorlikni yo'qotishi markaziy siqilgan sterjenlarni ustuvorlikni yo'qotishiga o'xshaydi. Bunda oldin balka kuchning ta'sir chizig'i yo'nalishida egiladi, kuch kritik qiymatiga erishishi bilan ustuvorlikni yo'qotilishi boshlanadi.

Kritik kuchni aniqlash usuliga o'xshash kritik momentni hisoblash mumkin:

$$\sigma_y = \frac{M_k}{W \cdot \varphi} \leq [\sigma]$$



Sterjenlarning ustuvorlikni yo'qotishini tajribada o'rGANISH [33]

Ustuvorlikni yo'qotilishini WR 120 qurilmasi bilan namoyish etish mumkin. Ustuvorlik nazariyasiga oid misollar texnik misollardan sanaladi.

Ustuvorlik nazariyasi texnika va texnologiyaning deyarli barcha sohasida muhim rol o'yнaydi. Bunga oid misollar: qurilish va metall konstruktivalaridagi to'sin va ta'yanchlar, dvigatel konstruktsiyasidagi klapanlar va shatunlar, gidravlik tsilindrлardagi shtoklar. Bosimga bog'liq barcha qismlar ustuvorlikka ta'sirchan bo'ladi. Shuning uchun WR 120 uskuni samarali hisoblanadi. Asosiy ta'limiy maqsadlarga quyidagilar kiradi:

-Eylerning ustuvorlik nazariyasini tekshirish

- Turli xil montaj sharoitlarini sterjenlarning ustuvorligini yo'qolishiga ta'sirini tekshirish

- Sterjen uzunligi va diamterining ta'siri.

-Material parametrlarining ta'siri

Sinov qurilmasining joylashish tartibi

Sinov uskunasi asosan asos, yo'naltiruvchi ustunlar va ko'ndalang to'sindan iborat. Asos sterjenli namuna uchun ostki montaj, sinov kuchini o'lchovchi qurilmasi va turli xil bosimni qabul qiladigan o'rnatish yacheykasidan iborat. Ko'ndalang ustunning balandligini yo'naltiruvchi ustunlar bo'ylab o'zgartirish mumkin. Bu sterjen namunalarining turli xil uzunliklarida ustuvorlikni yo'qotilishini tekshirish imkonini beradi. Ko'ndalang ustun sinov kuchini qabul qiladigan yuk gaykasidan iborat. Yuk gaykasidan foydalaniib kuchni namunaga uzatish mumkin. Yuk gaykasi va siqish detali sterjenlarni buralish kuchlanishi ta'siridan saqlaydi.

Uskuna ham vertikal, ham gorizontal holatda ishlatalishi mumkin. Uskunani gorizontal holatda ishlatalish uchun yo'raltiruvchi ustunlarning biriga asos oyoqlari o'rnatiladi. Kuch indikatori kuzatishga oson bo'lishi uchun 90°burchak ostida o'zgartirilishi mumkin.

Kuchni o'lchash. Sinov qurilmasi gidravlik kuch yordamida o'lchaydi. Sinov kuchi differentials porshen orqali halqa tsilindrli ichida bosim hosil qiladi. Bu bosim indikator yordamida o'lchanadi. Gidravlik uzatma tufayli o'lchov masofasi juda kichik (maks. 0.3 mm).

Sterjenlar namunalari GUNTsterjen namunalarining ikkita jamlanmasi bilan ta'minlaydi. Uskunadan tajriba davomida o'ta samarali foydalanish uchun sterjen namunalari WR 120 uskunasiga qarab moslanadi. Standart jamlanmadan iborat sterjen namunalarini montajlar (tayanch turi), uzunlik va materialning ta'sirlariga bog'liq sinovlarni olib borishda ishlatalish mumkin

Texnik ma'lumotlar

O'lchamlari

Uzunligi: 620 mm; Kengligi: 450 mm; Balandligi: 1150 mm

Og'irligi: 35 kg

Maks. sinov kuchi: 2000 N

Maks. yon tomonlama yuk: 20 N

Maks. yon tomonlama o'zgarish: 20 mm

Max. sterjneli namuna uzunligi: 700 mm

Maks. yuk shpindeli chizig'i: 10 mm

Sterjenli namuna chuqurchasi: 20 mm.

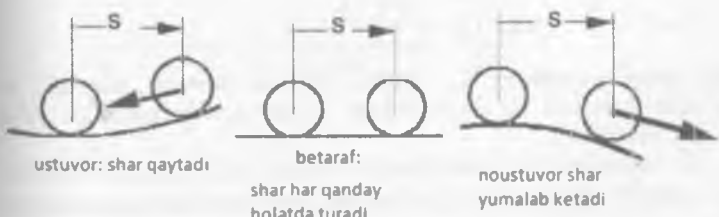
Kuchni o'lhash qurilmasi

O'lchov ko'lami 100...2500 N

Qiymatlar < 100 N ko'rsatilmagan, chunki bu ko'lamda o'lchovning aniqligi juda past

Ustuvorlik nazariyasining kelib chiqishi. Taranglik kuchlariga bog'lik bo'lgan sterjenlardagi maksimum yuk faqat materialning taranglik kuchi bilan chegaralansa, bosimga bog'liq sterjenlar mos siqvchi kuchga erishishdan ancha avval ishlamay qolishi mumkin. Ular to'satdan yon tomonga egiladi, hattoki yuk markazida bo'lsa ham. Egilish xavfi qisqa va baquvvat sterjenlarga qaraganda ingichka, uzun va birmuncha yupqa sterjenlarda ko'proq bo'ladi. To'satdan egilish noustuvorlikka xos va shuning uchun ham bosim ostidagi egilish ustuvor holat sanaladi.

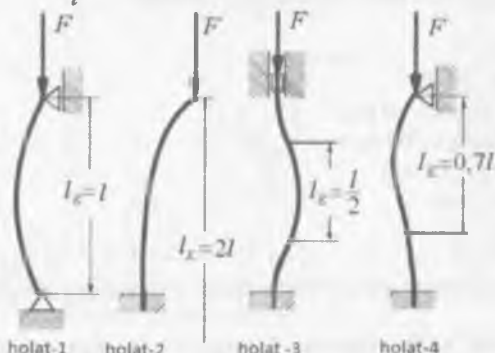
Birinchidan, ustuvorlik atamasи aniqroq tushuntirilishi kerak. Mexanikada sistemaning holati kichik tasodifiy ta'sirlardan so'ng oldingi asl holatiga qaytsagina u ustuvor hisoblanadi. Noustuvor sistemalarda esa aksincha, bir daqiqalik tasodifiy ta'simingga o'zi sistemani bir maromda asl muvozanat holati dan chiqarishga etadi. Ustuvorlikning yana bir holati betaraf deb tasniflangan (10.8-rasm). Bu erda, sistema muvozanat holatining har qanchasida ham bir xil turaveradi. Mazkur muvozanat holatlari quyidagi 10.8-rasmda tasvirlangan.



10.8-rasm:
Ustuvorlik
holatini to'p
misolida tasvir
lanishi

Eyler formulasi. Siquvchi kuch o'zining chegaraviy kritik qiymatiga erishganda sterjen to'satdan egiladi. Shuning uchun ham sterjen ishdan chiqishining o'ta xavfli bu holatidan uzoqroq bo'lish kerak. Sterjen egilishi boshlanishi bilanoq, u emirilguncha shaklini yo'qotadi. Ustuvorlikni yo'qolishiga olib keluvchi F_{KP} kritik kuch sterjenning uzunligi, diamteri va materialga bog'liq bo'ladi. Egiluvchanlikni aniqlash uchun uning koefitsienti λ ni kiritamiz.

$$\lambda = \frac{l_k}{i}$$



10.9-rasm. Ustuvorlik yo'qolishi uchun Eyler vaziyatlari.

Buerda l_k sterjenga xos uzunlik hisoblanadi, sterjenning haqiqiy uzunligini va montaj shartlarini e'tborga oladi. Misol uchun, sterjenni noustuvor qismining uzunligi uning haqiqiy uzunligidan farq qiladi. Egiluvchanlik uchun egilish uzunligi sterjenning haqiqiy uzunligidan kaltaroq bo'ladi. Sterjen tayanchilarining to'rt xil montajida l_k va l uzunliklar bir -biridan sezilarli farq qiladi.

Egiluvchanlik formulasida sterjen diamterini inertsiya radiusi orqali ifodalanadi.

$$i = \sqrt{\frac{I_y}{A}}$$

Kritik kuchga materialning ta'siri bo'ylama bikrlik $E A$ orqali e'tborga olinadi. Bu erda E materialning elastiklik moduli va A ko'ndalang-kesim yuza. Kritik kuchga turli xil omillarning ta'siri "Eyler formulasida" umumlashtiriladi:

$$F_{KP} = \frac{\pi^2 EI_y}{l^2} \quad \text{yoki} \quad F_{KP} = \frac{\pi^2 E \cdot A}{\lambda^2}$$

Ta'sir qiluvchi omillar. E modul, inertsiya momenti, uzunlik va montajning turlari kabi turli xil qiymatlarning egilish xususiyatiga ta'siri Eyler formulasasi orqali tekshiriladi.

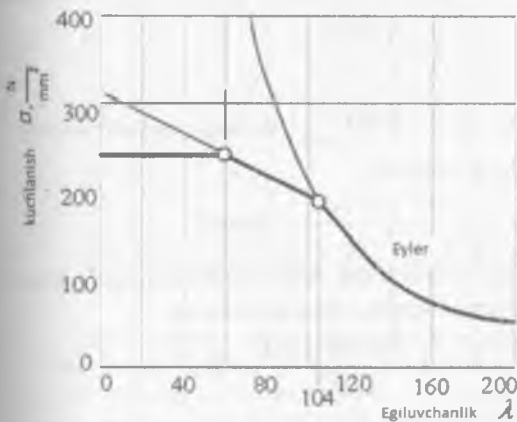
E - modul material bikrligining o'lchovidir. Bikr material ustuvorlik yo'qolishiga qarshilik ko'rsata oladi. Iloji boricha yuqori modulga ega materiallar

ishlatilishi kerak. Mustahkamlik chegarasi $370 \frac{N}{mm^2}$ bo'lgan St.37 markali konstruktiv po'lotga ($E = 210 \frac{kN}{mm^2}$) nisbatan mustahkamlik chegarasi $1270 \frac{N}{mm^2}$ bo'lgan TiAl6Zr5 titan ($E = 105 \frac{kN}{mm^2}$) foydalanishi mumkin.

Inertsiya momenti. Ko'ndalang kesim turlicha bo'lgan sterjenlarda inertsiya momentlari ham turlicha bo'lishi mumkin va bu omil deformatsiyaga ta'sir etadi. Sterjen minimal inertsiya momenti tekisligida ustuvorilikni yo'qotadi. Devorining qalinligi kichik g'ovak sterjenlar monolit sterjenlarga nisbatan qulay bo'lishi mumkin. Masalan, ingichka truba (diametri 52x2) ning kesim yuzasi diametri 20 mm bo'lgan monolit sterjen kesim yuzasi bilan bir xil (314 mm^2). Undan tashqari, ikkita simmetrik kesimli yuzalarda (doira, kvadrat) ikkita inertsiya o'qlari tekisligida ham inertsiya momentlari bir xil.

Uzunlik. Sterjenning haqiqiy uzunligi va montaj turi (tayanch turi) noudstuvor qismning uzunligini aniqlaydi. Eyler formulasida uzunlik ikkinchi tartibda qatnashadi.

Kuchlanish. Kritik kuchni aniqlash uchun Eyler formulasasi sterjen materialining Guk qonuni kuchiga ega bo'lgan chegarada keltirib chiqarilgan edi. Shuning uchun Eyler formulasasi yordamida topilgan kritik kuchlanishni materialning proporsionallik chegarasidagi kuchlanishdan katta bo'lgan hollarda foydalanib bo'lmaydi, ya'ni $\sigma_{kp} \leq \sigma_n$.

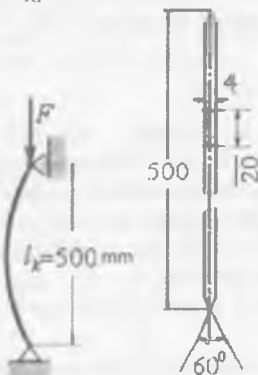


10.10-rasm. Kritik kuchlanish va egiluvchanlik orasidagi bog'lanish

Unda $\sigma_{kp} = \frac{\pi^2 E}{\lambda^2} \leq \sigma_n$ hosil bo'ladi. Buerdan $\lambda \geq \pi \cdot \sqrt{\frac{E}{\sigma_n}}$, ya'ni

cheagaraviy egiluvchanlik materialni fizik-mexanik xossasiga bog'liq, lekin sterjen

o'lchamlariga bog'liq emas. St.37 konstruktiv po'lot uchun $\sigma_n = 192 \frac{N}{mm^2}$ va $\lambda_{KP} = 104$



Sinov 1-holatdagi Eyler holatiga ko'ra har ikkala chetdagi sharnirli montajli sterjen o'q kuchiga sekin asta bog'liq bo'lib boradi. Ma'lum bir yukan yuqorida u yonlamasiga bukiladi. Bu holatda sterjenli namunaning egilishi sterjenning o'rtasida o'lchanadi va jadvalga birgalikdagi kuch bilan qayd etiladi. Kuch/Deformatsiya grafigi mazkur o'lchangani qiyatlardan foyda-langan holda to'ldirib boriladi.

Sinovning natijalari egilish nazariyasining qiyatlari bilan taqqoslanadi. Bu sinovda WR 120 qurilmasini boshqarish va egilish sinovini qay tariqa olib borish namoyish etiladi.

Po'latdan yasalgan S2 sterjenli namunasasi (o'lchami 20 mm x 4 mm x 500 mm) qo'llanilishi kerak. U har ikkala chekkasidan o'tkirlanadi. Har ikkala chet ideal sharnirli montaj hosil qilish uchun sinov mashinasining V shaklda o'yilgan turtish bo'laklariga moslab qo'yilgan bo'ladi.

Kritik kuch va deformatsiyani baholash. Sinovni olib borishdan avval taxmin qilingan egilish kuchini hisoblab chiqish to'g'ri. Bu ayniqsa xususiyati noma'lum boshqa materiallardan tayyorlangan sterjenli namunalarga nisabtan to'g'ri deb hisoblanadi. Egilish kuchini quyidagi formulaga qarab aniqlash

mumkin (Eyler formulasi).

$$F_{KP} = \frac{\pi^2 EI_y}{l_k^2}$$

Po'lat uchun elastiklik modeli . $E = 210000 \frac{N}{mm^2}$ Inertsiya moment kvadrat kesmali qism uchun quyidagicha hisoblanadi:

$$I_y = \frac{bh^3}{12} = \frac{20 \cdot 4^3}{12} = 106,6 \text{ mm}^4$$

Sterjenning uzunligi $l = 500 \text{ mm}$. 1-Eyler holati uchun egilish uzunligi l_k sifatida olinadi. Bu nazariy egilish kuchida quyidagicha natijani beradi:

$$F_{KP} = \frac{\pi^2 EI_y}{l_k^2} = \frac{\pi^2 210000 \cdot 106,6}{500^2} = 883 \text{ N}$$

Egilish elastilik chegaradan tashqarida sodir bo'lmasligini ta'minlash lozim, aks holda sterjen doimo egilib yaroqsiz holga kelib qoladi. Maksimal chetga chiqish egilish bilan siqilishni materialning elastiklik chegarasidan oshib ketganda sodir bo'ladi. $\sigma_p = 300 \text{ N/mm}^2$ po'lat namuna uchun mos keluvchi

$$\text{salqilikni quyidagicha hisoblash mumkin: } f = \frac{\left(\sigma_p - \frac{F_k}{A}\right)I_y}{F_k z_{\max}}$$

$A=20$, $4=8 \text{ mm}^2$, $F_k=883 \text{ N}$ va $Z_{\max}=2 \text{ mm}$ bo'lsa, sterjenning o'rtasidagi salqilik uchun natijalar quyidagicha bo'ladi:

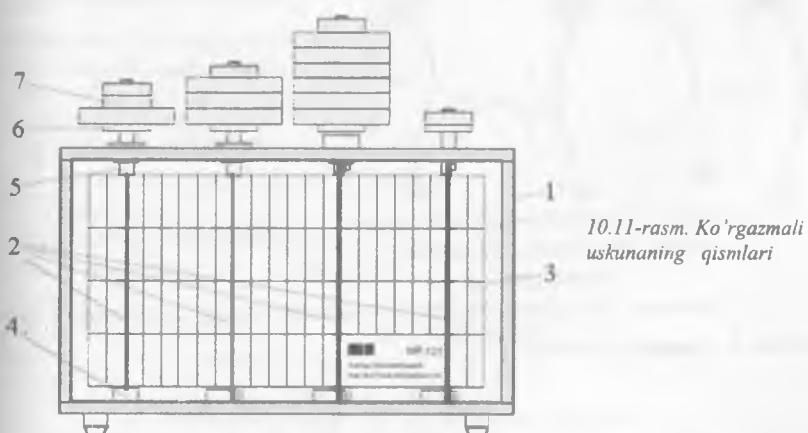
$$f_{\max} = \frac{\left(300 - \frac{883}{80}\right) \cdot 106,6}{883 \cdot 2} = 17,44 \text{ mm}$$

3-xavfsizlik omili bilan $17,44 \text{ mm}/3 = 5,81 \text{ mm} = 6 \text{ mm}$ dan oshib ketmasligi kerak. Salqilik test davomida indikatorda kuzatib borilishi kerak.

Eylerning ustuvorlik nazariyasini tajribada tekshirish. Ishning maqsadi: balkaning o'q bo'ylab qo'yilgan kuch ta'sirida egilishining turli hollarini tekshirish

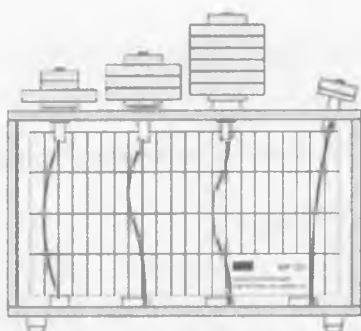
Tajriba ishi WR 121 ko'rgazmali uskunasida bajariladi [33].

Uskuna (1) rama va undagi o'q bo'ylab qo'yilgan kuch ostida egilishga ishlovchi 4 ta sterjenden iborat (2). Ramaga egilishning miqdorini ko'rsatuvchi shkalalarga ajratilgan oq devor (3) ham o'rnatilgan



10.11-rasm. Ko'rgazmali uskunaning qismlari

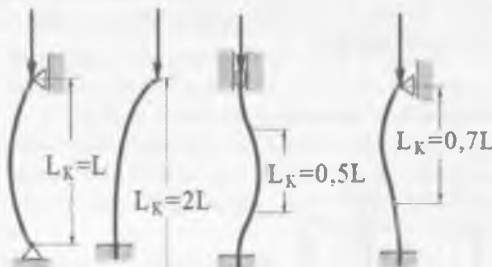
Sterjenlarning uchlari o'q bo'ylab qo'yilgan kuch ta'sirida egilishining barcha turlarini namoyish qilishga moslashtirib tayyorlangan. Pastki(4) uchi ramaga nisbatan qo'zg'almas qilib o'rnatilgan, yuqori (5) uchi esa vertikal yo'nalish bo'yicha (2-holda esa gorizontal yo'nalishda ham) to'g'rilanishi mumkin, hamda ularga yuk qo'yiluvchi tutqichlar ham o'matilgan (6).



Sterjenlarning uchlari qisqichlar yordamida mahkamlangan. Bo'ylama kuch ta'sirida egiluvchi (2) sterjenlar zanglamaydigan po'latdan yasalgan bo'lib, o'lchamlari $0.5 \times 12 \times 180$ mm. Kuch 5N va 1N li (7) yuklar yordamida sterjenga turli qiymatlarda qo'yilishi mumkin.

10.12-chizmada bo'ylama egilishining turlari keltirilgan.

Kritik kuchning qiymati bo'ylama egilish uzunligiga bog'liq. Bo'ylama egilish shakli va uzunligi esa sterjenning uchlardagi mahkamlanish turiga bog'liq. O'q bo'ylab qo'yilgan kuchning F_{kp} kritik qiymati turli hollar uchun Eyler formulasi yordamida hisoblanadi.



10.13-rasm. Turli hollar uchun bo'ylama egilish shakllari va uzunliklari keltirilgan

O'lchamlari $0.5 \times 12 \text{mm}$ bo'lgan ko'ndalang kesimi to'rburchakli sterjen uchun I_y inertsiya momenti

$$I_y = \frac{bh^3}{12} = \frac{12 \cdot 0,5^2}{12} = 0,125 \text{mm}^4$$

Uzunlik $L = 180 \text{mm}$ bo'lganda kritik kuch

$$1\text{-hol uchun: } F_{kp} = \frac{\pi^2 EI_y}{L^2} = \frac{\pi^2 \cdot 210000 \cdot 0,125}{180^2} = 8,0 \text{N}$$

$$2\text{-hol uchun: } F_{kp} = \frac{\pi^2 EI_y}{4L^2} = \frac{\pi^2 \cdot 210000 \cdot 0,125}{4 \cdot 180^2} = 2,0 \text{N}$$

$$3\text{-hol uchun: } F_{kp} = \frac{4\pi^2 EI_y}{L^2} = \frac{4\pi^2 \cdot 210000 \cdot 0,125}{180^2} = 32,0 \text{N}$$

$$4\text{-hol uchun: } F_{kz} = \frac{\pi^2 EI_s}{L^2} = \frac{\pi^2 \cdot 210000 \cdot 0,125}{(0,7180)^2} = 16,3 N$$

Kritik kuchlarning o'zaro nisbatlari 1:1/4:4:2.04 kabi bo'lishi kerak.

Uzunlikva qattiqlikning berilgan qiymatlari uchun kritik kuch faqat uchlarining mahkamlanishidan bog'liq bo'ladi.

Tajribani o'tkazish. Tajribani o'tkazish davomida yuklanish ketma-ket oshirib boriladi. Hisoblashlarda aniqlangan natijalariga yaqinlashgach ustuvorlikni emirilishi, ya'ni bo'ylama egilish nuqtasini aniq ko'rish uchun kuchni kichiq qiymatlar (1N yuklar) bilan oshirib borish kerak. Yuqori tayanchdagi vertikal sozlagich yuklanish oshib ketgan holda ham buzilmaydi.

Tajribalarda aniqlangan kritik kuchlar hisoblashlar natijasida aniqlangan kritik kuchlardan kichik bo'ladi. Buning sababi kichik boshlang'ich deformatsiyadir. Har bir sterjen oldindan egilishga ega bo'ladi. Hisoblashlarda esa bu egilishlarni hisobga olishning imkoniy yo'q.

Kritik kuchni aniqlashda yuk tutqichlarning 1N ga teng og'irligini hisobga olish kerakligini eslab qolish kerak.

Texnik ma'lumotlar

Sterjenning uzunligi: 180mm

Sterjenning ko'ndalang kesimi: $0.5 \times 12 \text{ mm}^2$

Sterjen materiali: Po'lat 1.4310

Hollar: Mahkamlanish:

1- hol Sharnirli /Sharnirli

2- hol Qistirilgan/Erkin

3- hol Qistirilgan/ Qistirilgan

4- hol Qistirilgan

Siquvchi kuchlar: taqriban 2...32N

Yuklar to'plami 10x 5 N va 5x1 N

O'lchamlari:

Uzunligi x eni x balandligi: 380x110x270 mm

Vazni: taqriban 10kg

10.5. Bo'ylama va ko'ndalang egilish

Cho'zilish yoki siqilishni egilish bilan birgalidagi ta'sirida bo'lgan sterjenning ko'ndalang kesimidagi to'liq kuchlanishni, kuchlarning mustaqillik printsipiga asosan cho'zilish yoki siqilishdagi va egilishdagi kuchlanishlarning yig'indisiga teng qabul qilingan:

$$\sigma_{\max} = \frac{N}{A} + \frac{M}{W} \leq [\sigma] \quad (10.18)$$

Bu erda M-faqat ko'ndalang kuch ta'siridagi eguvchi sterjendagi bo'ylama siquvchi kuch sterjenning egilgan o'qini har bir nuqtasiga nisbatan qo'shimcha moment hosil qiladi. Natijada sterjenning ko'ndalang kesim yuzasida qo'shimcha

kuchlanish kelib chiqadi. Xavfli kesimdagi eng katta kuchlanish quyidagicha topiladi:

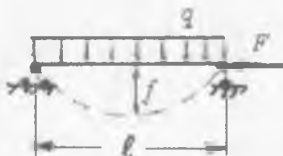
$$\sigma_{\max} = \left| \frac{F}{A} + \frac{M_0}{W} + \frac{F \cdot f}{W} \right| \quad (10.19)$$

f - bo'ylama va ko'ndalang kuchlar ta'siridagi sterjenning eng katta salqiligi.

Bo'ylama kuch cho'zuvchi bo'lsa, f ning qiymati kichik, agar bo'ylama kuch siquvchi bo'lsa, salqilik sezilarli va katta. Bo'ylama va ko'ndalang egilishda to'liq kuchlanishni kuchlarni mustaqillik printsipiga asosan topib bo'lmaydi, chunki f bu alomatga bo'ysunmaydi.

Ingichka va uzun sterjenlarda f ningqiymatini hisobga olmaslik, konstruktsiyaning xavfli holatiga olib kelishi mumkin. Shuning uchun bo'ylama va ko'ndalang egilishga uchrayotgan sterjenning maksimal salqiligini (f) topamiz. Bo'ylama va ko'ndalang egilish ta'siridagi sterjen elastik chiziqning differentials tenglamasi quyidagicha yoziladi:

$$EI_y'' = M_0 - Fy \quad (10.20)$$



bu erda: $M_0 = q \frac{\ell}{2}x - q \frac{x^2}{2}$ ko'ndalang kuch ta'siridagi eguvchi moment.

$$(10.20) \text{ tenglamani} \quad M_0 = EIy_0''$$

- ni hisobga olib quyidagi ko'rinishga olib kelamiz:

$$EIy'' = EI \cdot y_0'' - Fy \quad (10.21)$$

(10.21) tenglananing $x = \frac{\ell}{2}$ nuqta uchun ayrim cheklashlar orqali umumiy echimini yozamiz:

$$f = f_0 \frac{1}{1 - \frac{F}{F_k}} = f_0 \cdot c \quad (10.22)$$

Sterjenning bo'ylama va ko'ndalang egilishdagi eng katta salqiligi (10.22) formuladan ko'rinishicha, siquvchi kuch kritik qiymatga crishsa, salqilik f nazariy jixatdan cheksiz bo'ladi.

$f_0 = \frac{5q\ell^4}{384EI}$ - cterjenning ko'ndalang taqsimlangan kuch ta'siridagi eng katta salqiligi. Endi, bo'ylama va ko'ndalang egilish uchun to'liq kuchlanish formulasini yozamiz.

$$\sigma_{\max} = \frac{F}{A} + \frac{M_0}{W} + \frac{F \cdot f_0 \cdot c}{W} = \frac{F}{A} + \frac{M_0 + F \cdot f_0 \cdot c}{W} = \frac{F}{A} + \frac{M_{\max}}{W} \quad (10.23)$$

Bu erda: $M_{\max} = M_0 + Ff_0c = \frac{q\ell^2}{8} + Ff_0c$ yoki

$$M_{\max} = \frac{q\ell^2}{8} + F \frac{5q\ell^4}{384EI} C = q \frac{\ell^2}{8} \left(1 + \frac{5F\ell^2}{48EI} C \right)$$

Qavsn quyidagicha o'zgartiramiz: $\frac{5\pi^2 F \ell^2}{48\pi^2 EI} = \frac{1,028F}{F_k}$

Unda $M_{\max} = q \frac{\ell^2}{8} \left(1 + \frac{1,028F}{F_k} C \right) = q \frac{\ell^2}{8} \left(1 + \frac{F}{F_k} \cdot \frac{F_k}{F_k - k} \right) = q \frac{\ell^2}{8} \left(1 + \frac{F}{F_k - F} \right) = q \frac{\ell^2}{8} \cdot \frac{F_k}{F_k - F} = q \frac{\ell^2}{8} C = M_0 \cdot C$

Kuchlanish: $\sigma_{\max} = \frac{F}{A} + \frac{M_0}{W} C = \frac{F}{A} + \frac{M_0}{W} \cdot \frac{F_k}{F_k - F}$ (10.24)

Agar, $\frac{F}{F_k}$ nisbat kichik bo'lsa, (10.24) formuladagi C koefitsientning qiymati birga yaqin bo'ladi.

$$\sigma_{\max} = \frac{F}{A} + \frac{M_0}{W} = \frac{F}{A} + \frac{q\ell^2}{8W}$$
 (10.25)

Nosimmetrik kuchlar bilan yuklangan sterjenlarning to'liq ko'chishini (10.24) formula bilan amalda hisoblasak, xatolik 5-7 % bo'ladi. Agar, $F = F_k$ bo'lsa, σ - ning qiymati cheksiz katta bo'ladi, sterjen emirladi. Yuqoridagi formulalardan ko'rinishicha, salqilik va kuchlanish kuchlar bilan chiziqli bog'lanishda emas. Agar, kuch n - marotaba oshsa, kuchlanish undan ko'proq ortadi Mustahkamlilik shart bajarilmaydi. Shuning uchun, bo'ylama va ko'ndalang egilishdagi sterjenning mustahkamligi chekli yuk bo'yicha ta'minlanishi kerak, ya'ni kuch K_o marotaba oshsa, sterjendagi eng katta kuchlanish oquvchanlik chegarasiga erishadi.:

$$\frac{K_o F}{A} + \frac{M_0 K}{W} \cdot \frac{1}{1 - \frac{K_o F}{F_k}} = \sigma_{ok}$$

Bu erda $K_o F$ va $K_o M$ - chekli yuk. Yuqoridagi tenglikni quyidagicha yozarniz:

$$\frac{F}{A} + \frac{q\ell^2}{8W} \cdot \frac{1}{1 - \frac{K_o F}{F_k}} = \frac{\sigma_{ok}}{K_o}$$

Bu erda $\frac{\sigma_{OK}}{K_o} = [\sigma]$ siqilishga ruxsat etilgan kuchlanish

Sterjenning mustahkamlik shartini yozamiz:

$$\frac{F}{A} + \frac{q\ell^2}{8W} \cdot \frac{1}{1 - \frac{K_o F}{F_k}} = [\sigma]$$

Bu erda

$$C_o = \frac{1}{1 - \frac{K_o F}{F_k}} = \frac{F_k}{F - K_o F}$$

bo'ylama kuchning kuchlanishga ta'sirini ifodalovchi koefitsient.

Sterjenning salqiliginini cheklash uchun bikrlik shartini yozamiz:

$$f_{max} = f_o \frac{1}{1 - \frac{K_o F}{F_k}} = f_o \frac{F_k}{F_k - K_o F} \leq [f]$$

$[f]$ - ruxsat etilgan salqilik;

K_o - salqilikning extiyotlik koefitsienti

SAVOLLAR

1. Ustuvorlik nima?
2. Eyler formulasini yozing?
3. Balka uchlarini tiralish shartlarini Eyler formulasiga ta'siri bormi?
4. Kritik kuchlanish qanday formula bilan topiladi?
5. Egiluvchanlik nima?
6. Eyler formulasi qanday egiluvchanlikda ishlataladi?
7. Ustuvorlik shartni yozing?

misol- 1. Kesimi teng yonli bo'limgan ikki burchakni o'zaro biriktirishdan tarkib topgan ferma sterjenidagi siqvchi kuchning ruxsat etilgan miqdori aniqlansin. Sterjen st.3 markali po'latdan tayyorlangan (10.8 - rasm). 140x90x6 teng tomonsiz burchak uchun: $I_{y\delta} = 120sm^4$; $I_{z\delta} = 364sm^4$

$$x_0 = 2,03sm; A = 18sm^2$$

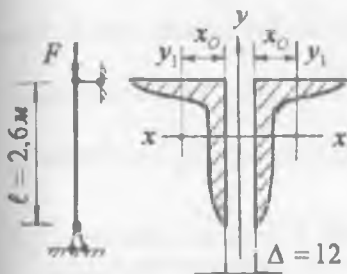
Yechish: Ruxsat etilgan kuchni sterjenning ustuvorlik shartidan foydalanib yozamiz:

$$\sigma_y = \frac{F}{\varphi A} \leq [\sigma], \quad \text{unda} \quad [N] = \varphi A [\sigma]$$

φ - koefitsient miqdorini topish uchun sterjenning egiluvchanligini aniqlash kerak. Bu esa o'z navbatida sterjen kesimini minimal inertsiya momenti va inertsiya radiusini topishni talab etadi. $I_x = 2I_{x\delta} = 2 \cdot 364 = 728 \text{ sm}^3$

$$I_y = 2[I_{y\delta} + (x_0 + 0,5 \cdot \Delta)^2 \cdot A] = 2[120 + (2,03 + 0,5 \cdot 1,2)^2 \cdot 18] = 489 \text{ sm}^2$$

Shunday qilib, $I_y < I_x$ va minimal inertsiya radiusi



$$i_{\min} = \sqrt{\frac{I_y}{A}} = \sqrt{\frac{489}{2 \cdot 18}} = 3,68 \text{ sm}$$

10.8 - rasm

Sterjenning egiluvchanligini aniqlaymiz:

$$\lambda = \mu \frac{l}{i_{\min}} = 1 \cdot \frac{260}{3,68} = 70,65$$

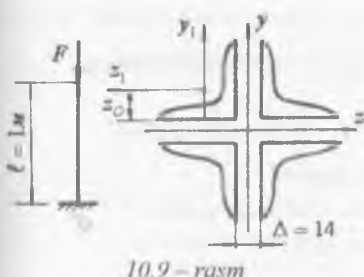
Jadvaldan : $\lambda = 70$ $\varphi = 0,81$

$\lambda = 80$ $\varphi = 0,75$

Qiymatlarni interpolatsiyalab $\lambda = 70,65$ egiluvchanlikka to'g'ri keladigan koefitsient φ -ning qiymatini topamiz.

$$\varphi = 0,81 - \frac{0,81 - 0,75}{10} \cdot 0,65 = 0,806$$

Siquvchi kuchning ruxsat etilgan qiymati
 $[N] = 0,806 \cdot 2 \cdot 18 \cdot 1600 = 46425,6 \text{ kN} = 464,256 \text{ kN}$



misol – 2. Kesimni to'rtta 90 x 90 x 2 teng tomonli burchakdan tashkil topgan st.3 markali po'latdan tayyorlangan ustunning ustuvorlikka extiyotlik koefitsienti $[n_y] = 2$ uchun siquvchi kuchning ruxsat etilgan qiymati topilsin (10.9 – rasm).

90 x 90 x 2 teng tomonli burchak uchun

$$Z_0 = 2,55 \text{ sm}; \quad I_y = 118 \text{ sm}^4; \quad A = 15,6 \text{ sm}^2$$

Yechish: Kesimning inertsiya momentini topamiz:

$$I_x = I_y = 4[I_{z_0} + a^2 \cdot A] = 4[118 + (3,25)^2 \cdot 15,6] = 1131,1 sm^4$$

$$\text{Bu erda } a = Z_0 + 0,5 \cdot \Delta = 2,55 + 0,5 \cdot 1,4 = 3,25 sm$$

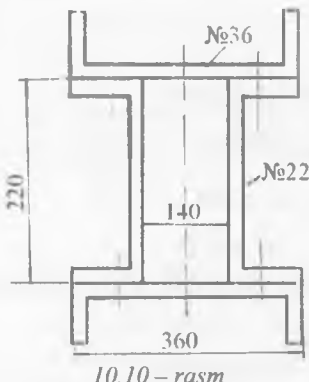
$$\text{Inertsiya radiusi } i_x = i_y = i_{\min} = \sqrt{\frac{I_x}{\sum A}} = \sqrt{\frac{1131,1}{4 \cdot 15,6}} = 4,25 sm$$

$$\text{Ustunning egiluvchanligi } \lambda = \mu \frac{\ell}{i_{\min}} = \frac{2 \cdot 100}{4,25} = 47,05$$

$\lambda < \lambda_{\text{yek}}$ bo'lgani uchun kritik kuchni Eyler formulasidan topib bo'lmaydi. Kritik kuchni Yasinskiy formulasidan aniqlaymiz.

$$F_{np} = \sigma_{np} \cdot A = (a - b\lambda) \sum A = (3100 - 11,4 \cdot 47,05) \cdot 4 \cdot 15,6 = 159970,5 kg$$

$$\text{Ustunga ta'sir etuvchi ruxsat etilgan kuch } [F] = \frac{F_{kp}}{n_y} = \frac{159,97}{2} = 79,985 kN$$



Kolonnaning kesim yuzasini topamiz:

$$A = 2(53,4 + 26,7) = 160,2 sm^2$$

Kesimning minimal inertsiya momentini parallel o'qlarga nisbatan inertsiya momenti formulasidan topamiz:

$$I_x = 2 \left[513 + \left(\frac{22}{2} + 2,68 \right)^2 \cdot 53,4 \right] + 2 \cdot 2110 = 25232,808 sm^4$$

$$I_y = 2 \cdot 10820 + 2 \left[151 + (7 + 2,21)^2 \cdot 26,7 \right] = 26471,607 sm^4$$

$$I_x = I_{\min} = 25232,808 sm^4$$

Kesimning minimal inertsiya radiusini topamiz

$$i_{\min} = \sqrt{\frac{I_{\min}}{A}} = \sqrt{\frac{25232,808}{160,2}} = 12,55 sm$$

$$\text{Kolonnaning egiluvchanligi: } \lambda = \mu \frac{\ell}{l_{\min}} = 1 \cdot \frac{900}{12,55} = 71,713$$

Jadvaldan foydalanib φ -ni qiymatini topamiz:

$$\lambda = 70; \quad \varphi' = 0,81$$

$$\lambda = 80; \quad \varphi'' = 0,75 \quad \varphi = 0,81 - \frac{0,81 - 0,75}{10} \cdot 1,713 = 0,7997$$

Ruxsat etilgan siquvchi kuchni topamiz:

$$[F] = \varphi[\sigma] \cdot A = 0,7997 \cdot 1600 \cdot 160,2 = 206979 \text{ kg}$$

Kolonnaning kesimi to'rtta parchin mix o'rni bilan zaiflashtirilgan.

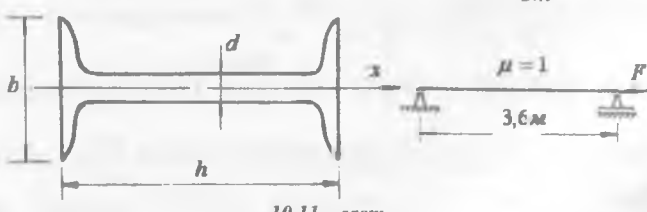
$$A_H = A - 4d(0,95 + 0,75) = 160,2 - 4 \cdot 2 \cdot 1,7 = 146,6 \text{ sm}^2$$

Kolonnaning mustahkamlik sharti $\sigma_{\max} = \frac{F}{A_H} \leq [\sigma]$ dan ruxsat etilgan siquvchi kuchni topamiz.

$$F \leq [\sigma] \cdot A_H = 1600 \cdot 146,6 = 234560 \text{ kg}$$

misol – 4. Po'llatdan tayyorlangan sterjen $G' = 28 \text{ t}$ kuch bilan siqilayapti. Sterjenning uzunligi $\ell = 3,6 \text{ m}$ va ikkita sharnirli tayanchga tayanadi. Sterjenning ustuvorlik shartidan foydalanib kesimi tanlansin.

$$\text{Ruxsat etilgan kuchlanish} \quad [\sigma] = 1600 \frac{\text{kg}}{\text{sm}^2}$$



10.11 – rasim

Yechish: 1 hisoblash sterjenning hisoblangan kesim

$$\text{yuzasini topamiz: } A = \frac{F}{\varphi[\sigma]} = \frac{28000}{\varphi \cdot 1600} = \frac{17,5}{\varphi}; \quad \varphi = 0,5;$$

$$A = \frac{17,5}{0,5} = 35 \text{ sm}^2$$

Kesim yuzasi $A = 35 \text{ sm}^2$ bo'lgan qo'shtavrni katalogdan tanlaymiz.

$$\text{Qo'shtavr 24: } A = 34,8 \text{ sm}^2 \quad \text{va} \quad I_y = 198 \text{ sm}^4$$

$$\text{Kesimning minimal inertsiya radiusi: } l_{\min} = \sqrt{\frac{I_{\min}}{A}} = \sqrt{\frac{198}{34,8}} = 2,385 \text{ sm}$$

$$\text{Sterjenning egiluvchanligi: } \lambda = \mu \frac{\ell}{l_{\min}} = 1 \cdot \frac{360}{2,385} = 150,94$$

Jadvaldan st.3 materiali uchun φ -ni qiymatini topamiz:

$$\lambda = 150; \quad \varphi' = 0,32$$

$$\lambda = 160; \quad \varphi'' = 0,29$$

$$\text{Interpolyatsiya usuli bilan } \varphi_1 = 0,32 - \frac{0,32 - 0,29}{10} \cdot 0,94 = 0,317$$

$$\text{va } \varphi_2 = \frac{\varphi + \varphi_1}{2} = \frac{0,5 + 0,317}{2} = 0,4085 \text{ - ni topdik } \varphi > \varphi_2$$

$$\text{II - hisoblash } A = \frac{17,5}{0,4085} = 42,84 \text{ cm}^2.$$

Kesim yuza 27 a qo'shtavrni kesim yuzasiga yaqin:

$$A = 43,2 \text{ sm}^2; \quad I_y = I_{\min} = 337 \text{ sm}^4.$$

$$\text{Sterjenning egiluvchanligi } \lambda = \frac{360}{\sqrt{\frac{337}{43,2}}} = \frac{360}{2,793} = 128,89$$

$$\begin{array}{ll} \text{Jadvaldan} & \lambda = 120; \quad \varphi' = 0,45 \\ & \lambda = 130; \quad \varphi'' = 0,4 \end{array}$$

$$\text{Unda } \varphi_3 = 0,45 - \frac{0,45 - 0,4}{10} \cdot 8,89 = 0,406.$$

$$\text{Haqiqiy kuchlanishni topamiz: } \sigma_x = \frac{28000}{43,2} = 648,15 \frac{\text{kg}}{\text{sm}^2}. \quad \text{Ruxsat}$$

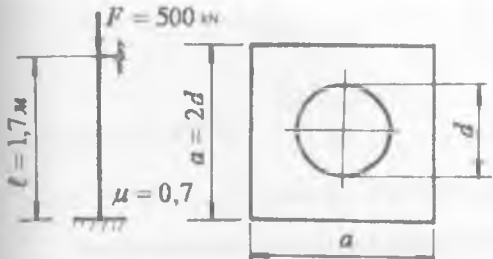
$$\text{etilgan kuchlanish: } [\sigma]_v = \varphi_3 \cdot [\sigma] = 0,406 \cdot 1600 = 649,6 \frac{\text{kg}}{\text{sm}^2}; \quad \sigma_v \prec [\sigma],$$

Shuning uchun 27 a qo'shtavrli kesimni tanlaymiz. Sterjenning egiluvchanligi 100.

Kritik kuchni Eyler formulasi yordamida topamiz:

$$F_{lp} = \frac{\pi^2 EI_{\min}}{\ell^2} = \frac{(3,14)^2 \cdot 2 \cdot 10^6 \cdot 337}{(360)^2} \approx 52006 \text{ kg}$$

$$\text{Koeffitsient: } K_y = \frac{F_k}{F} = \frac{52006}{28000} \approx 1,86$$



10.12 - rasm

misol - 5. Po'latdan tayyorlangan sterjen G kuch bilan siqilayapti:
1) $[\sigma] = 160 \text{ MPa}$ kuchlanishdan foydalabnib sterjen ko'ndalang kesimining geometrik o'lchamlarini toping;

2) kritik kuch aniqlansin

Yechish: Sterjen ko'ndalang kesimining yuzasi:

$$A = a \cdot a - \frac{\pi \cdot d^2}{4} = 2d \cdot 2d - \frac{\pi \cdot d^2}{4} = 3,215d^2$$

Minimal inertsiya moment

$$I_{\min} = I = \frac{a^4}{12} - \frac{\pi \cdot d^4}{64} = \frac{(2d)^4}{12} - \frac{\pi \cdot d^4}{64} = 5,27d^4$$

va inertsiya radiusi $i_{\min} = \sqrt{\frac{5,27d^4}{3,215d^2}} = \sqrt{\frac{5,27(0,0441)^2}{3,215}} = 0,0564m$

1 - hisoblash ($\varphi = 0,5$): $A \geq \frac{P}{\varphi[\sigma]} = \frac{500}{0,5 \cdot 160 \cdot 10^3} = 0,00625m^2$

bo'ladi, unda $d = \sqrt{\frac{0,00625}{3,215}} = \sqrt{0,001944} = 0,0441m$, sterjenning egiluvchanligi

$$\lambda = 0,7 \frac{1,7}{0,0564} = 21,1 \text{ jadvaldan po'lat material uchun:}$$

$$\lambda = 20$$

$$\varphi = 0,96$$

$$\lambda = 30$$

$$\varphi = 0,94$$

topamiz. interpolatsiya usuli bilan

$\lambda = 21,1$ egiluvchanlik uchun φ -ning qiymatini topamiz.

$$\varphi_1 = 0,96 - \frac{0,96 - 0,94}{10} \cdot 1,1 = 0,9578;$$

$$2 \text{ hisoblash } \varphi_2 = \frac{\varphi + \varphi_1}{2} = \frac{0,5 + 0,9578}{2} = 0,7289;$$

$$A \geq \frac{P}{\varphi_2[\sigma]} = \frac{500}{0,7289 \cdot 160 \cdot 10^3} = 0,042872m^2$$

$$d = \sqrt{\frac{F}{3,215}} = \sqrt{\frac{0,0042872}{3,215}} \approx 0,036m;$$

$$l_{\min} = \sqrt{\frac{5,27d^4}{3,215d^2}} = \sqrt{\frac{5,27 \cdot 0,001296}{3,215}} = 0,046.$$

$$\text{Sterjenning egiluvchanligi } \lambda = 0,7 \frac{1,7}{0,046} = 25,87$$

Jadvaldan sterjenning materialiga va egiluvchanligiga qarab

$$\begin{array}{ll} \lambda = 20 & \varphi = 0,96 \\ \lambda = 30 & \varphi = 0,94 \end{array} \quad - \text{ni topamiz},$$

$$\varphi_3 = 0,96 - \frac{0,96 - 0,94}{10} \cdot 5,87 = 0,94826,$$

topilgan $A = 0,0042872 m^2$ kesim yuzasi va $\varphi_3 = 0,94826$ qiymatda ustuvorlikni

ta'minlashi kerak bo'lgan ruxsat etilgan kuchlanishni topamiz:

$$\sigma_y = \frac{P}{\varphi_3 \cdot F} = \frac{500}{0,948 \cdot 0,0043} = 122,6 \cdot 10^3 \frac{kN}{m^2} \leftarrow [\sigma]$$

Demak, sterjen tashqi siquvchi kuch bilan to'liq yuklanmagan φ -ni yangi qiymatini topamiz:

III – hisoblash: Sterjen o'lcharni $d = 0,03 m$ qabul qilamiz.

Unda $A = 3,215d^2 = 3,215(0,03)^2 = 0,00289m^2$ va kesimning inertsiya radiusi:

$$l_{\min} = \sqrt{\frac{5,27d^2}{3,215}} = \sqrt{\frac{5,27 \cdot (0,03)^2}{3,215}} = 0,0384m$$

$$\text{sterjenning egiluvchanligi } \lambda = 0,7 \frac{1,7}{0,0384} = 30,98$$

jadvaldan po'lat sterjen uchun

$$\lambda = 30 \quad \partial a \quad \varphi_4 = 0,94 \quad sa \quad \lambda = 40 \quad \partial a \quad \varphi_4 = 0,92$$

$$\text{Interpolyatsiya usuli bilan } \varphi_4 = 0,94 - \frac{0,94 - 0,92}{10} \cdot 0,98 = 0,938$$

$$\text{IV – hisoblash } \varphi_5 = \frac{\varphi_3 + \varphi_4}{2} = \frac{0,9482 + 0,938}{2} = 0,943$$

Ustuvorlik shartidan sterjenning ko'ndalang kesim yuzasi

$$A = \frac{P}{\varphi_5 [\sigma]} = \frac{500}{0,943 \cdot 160 \cdot 10^3} = 0,00331 m^2 \quad \text{va} \quad \text{o'lcharni}$$

$$d = \sqrt{\frac{A}{3,215}} = \sqrt{\frac{0,00331}{3,215}} = 0,032m.$$

ko'ndalang kesimning inertsiya radiusi

$$i = \sqrt{\frac{5,27d^2}{3,215}} = \sqrt{\frac{5,27(0,32)^2}{3,215}} = 0,0411m$$

sterjenninge iluvchanligi $\lambda = 0,7 - \frac{1,7}{0,0411} = 29,02$

$$\lambda = 20 \quad \delta\alpha \quad \varphi_6^+ = 0,96 \quad \text{ea} \quad \lambda = 30 \quad \delta\alpha \quad \varphi_6^+ = 0,94$$

interpolyatsiya usuli bilan $\varphi_6 = 0,96 - \frac{0,96 - 0,92}{10} \cdot 9,02 = 0,942$

$\varphi_6 = 0,942$ qiymatda ustuvorlikka ruxsat etilgan

kuchlanish $[\sigma]_v = \varphi_6 [\sigma] = 0,942 \cdot 160 = 150,72 MPa$ bo'lib,

$$\sigma_y = \frac{F}{\varphi_6 \cdot A} = \frac{500}{0,942 \cdot 0,00331} = 160,358 MPa, \text{ tenglashadi:}$$

σ_y -ni qiymati oddiy cho'zilish va siqilishga ruxsat etilgan kuchlanishidan 0,22 % katta bo'lib. $[\sigma]_v$ dan esa 9,638 MPa farq qiladi. Shuning uchun sterjenning o'lchami $d = 0,033 m$ olib ko'ramiz.

V – hisoblash

$$d = 0,033m \quad \text{ea} \quad A = 3,215d^2 = 3,215(0,033)^2 = 0,0035m^2$$

Sterjen kesimining inertsiya radiusi

$$i = \sqrt{\frac{5,27d^2}{3,215}} = \sqrt{\frac{5,27(0,033)^2}{3,215}} = 0,04225m \quad \text{va egiluvchanligi}$$

$$\lambda = 0,7 - \frac{1,7}{0,04225} = 28,16 \quad \text{qiymatida jadvaldan } \varphi \text{-ni yangi qiymatini topamiz:}$$

$$\varphi_7 = 0,96 - \frac{0,96 - 0,94}{10} 8,16 = 0,9437$$

ustuvorlikka ruxsat etilgan kuchlanish

$$[\sigma]_v = \varphi_7 [\sigma] = 0,9437 \cdot 160 = 151 MPa$$

$$\sigma_y = \frac{F}{\varphi_7 \cdot A} = \frac{500}{0,9437 \cdot 0,0035} = 151,379 MPa < 160 MPa$$

po'lat materiali uchun egiluvchanlik ($\lambda_{\text{max}} = 100$) dan kichik bo'lsa, kritik kuchni topish uchun empirik formuladan foydalananamiz:

$$F_{kp} = A(a - b\lambda) = 0,0035(310 \cdot 10^3 - 1,14 \cdot 10^3 \cdot 28,18) = 972,65 kN$$

ustuvorlik koefitsienti $n_y = \frac{F_{kp}}{F} = \frac{972,65}{500} = 1,95$ sterjenga qo'yilishi mumkin

bo'lgan kuchni ruxsat etilgan qiymati

$$[F] = \varphi_7 [\sigma] = 0,9437 \cdot 0,0035 \cdot 160 \cdot 10^3 = 528,472 kN.$$

misol-6. Ikki tomoni sharnirli tayanchdagi sterjen, kesimining og'irlik markaziga quyilgan F kuch ta'sirida. Sterjenni materiali – St.3; uzunligi $l = 4 \text{ m}$; kesimi - № 30 – qushtavr. Ruxsat etilgan yuk hisoblansin.

Yechish. Ruxsat etilgan yukni topamiz $[F] = \varphi[\sigma]_y A$.

№30-quştavr: $I_{\min} = I_y = 337 \text{ sm}^4$; $i_{\min} = 2,69 \text{ sm}$; $A = 46,5 \text{ sm}^2$

$$\text{Sterjenni egiluvchanligi } \lambda = \frac{\mu \cdot l}{i_{\min}} = \frac{1 \cdot 400}{2,69} = 148$$

$$\text{Interpolyatsiya usuli bilan } \varphi = 0,36 - \frac{0,36 - 0,32}{10} = 0,328$$

Buerda: $\lambda = 140$ da $\varphi^1 = 0,36$ va $\lambda = 150$ da $\varphi'' = 0,32$

$$\text{Unda } [F] = 0,328 \cdot 160 \cdot 46,5 \cdot 10^2 = 244 \text{ kN}$$

Egiluvchanlik $\lambda > 100$, kritik kuchni Eyler formulasidan topamiz:

$$F_{kp} = \frac{\pi^2 EI_{\min}}{(\mu \cdot l)^2} = \frac{(3,14)^2 \cdot 2 \cdot 10^2 \cdot 337 \cdot 10^4}{(1 \cdot 4000)^2} = 418 \text{ kN}$$

Ustuvorlikka ehtiyyotlik koeffitsienti: $n_y = \frac{F_{kp}}{[F]} = \frac{418}{244} = 1,71$

misol. -7. Fermaning sterjenlarida $F = 352 \text{ kN}$ siquvchi kuch hosil bo'ladi. Sterjenni kesimi ikkita teng tomonli burchakdan tashkil topgan bo'lib tavr shaklida joylashtirilgan. Sterjenni materiali St.3, uzunligi $l = 5310 \text{ mm}$, ikki tomoni sharnirli tayanchda. Sterjen kesimining o'lchamlari topilsin.

Yechish. Hisoblashni buylama egilish koeffitsienti asosida

$$\text{olib boriladi. } A = \frac{F}{\varphi[\sigma]_y} = \frac{352 \cdot 10^3}{0,6 \cdot 160} = 3670 \text{ mm}^2 = 36,7 \text{ sm}^2$$

Dastlabki hisoblashda $\varphi = \varphi_1 = 0,6$ qabul qildik. Bitta teng tomonli burchakni talab etilgan kesim yuzasi

$$A = \frac{A}{2} = \frac{36,7}{2} = 18,4 \text{ sm}^2$$

$100 \times 100 \times 10 \text{ (mm)}$ burchakda $A_1 = 19,2 \text{ sm}^2$, $i_{\min} = i_x = 3,05 \text{ sm}$.

Sterjenni egiluvchanligi $\lambda = \frac{1 \cdot 531}{3,05} = 174$ da interpolyatsiya usuli bilan φ -ni

hisoblaymiz: $\lambda = 170$ da $\varphi^1 = 0,26$ va $\lambda = 180$ da $\varphi'' = 0,23$ va

$$\varphi_T = 0,26 - \frac{0,26 - 0,23}{10} \cdot 4 = 0,248$$

φ_1 va φ_T - koeffitsientlar orasidagi farq katta.

$$\text{Ikkinchি hisoblash: } \varphi_2 = \frac{\varphi_1 + \varphi_T}{2} = \frac{0,6 + 0,248}{2} = 0,424$$

$$A = \frac{3,52 \cdot 10^3}{0,424 \cdot 160} = 5190 \text{ mm}^2 = 51,9 \text{ sm}^2; \quad A_1 = \frac{51,9}{2} \approx 26 \text{ sm}^2$$

$$\text{Burchak } 125 \times 125 \times 12 \text{ (mm)da } A_1 = 28,9 \text{ sm}^2, \quad i_x = 3,82 \text{ sm}$$

$$\text{Sterjenni egiluvchanligi } \lambda = \frac{1 \cdot 531}{3,82} = 139 \quad \varphi_T = 0,36$$

$$\text{Uchinchi hisoblash: } \varphi_3 = \frac{\varphi_2 + \varphi_T}{2} = \frac{0,424 + 0,36}{2} = 0,392$$

$$A = \frac{352 \cdot 10^3}{0,392 \cdot 160} = 5620 \text{ mm}^2 = 56,2 \text{ sm}^2; \quad A_1 = \frac{56,2}{2} \approx 28,1 \text{ sm}^2$$

Agar $125 \times 125 \times 12$ (mm) burchakni qabul qilsak

$$\sigma = \frac{F}{A} = \frac{352 \cdot 10^3}{2 \cdot 2890} = 61 \frac{\text{N}}{\text{mm}^2}$$

$$\text{va } [\sigma]_y = \varphi_r [\sigma] = 0,36 \cdot 160 = 57,6 \frac{\text{N}}{\text{mm}^2},$$

ya'ni sterjen $5,57\%$ zo'riqishda bo'ladi. $140 \times 140 \times 9$ (mm) burchakni tanlaymiz:
 $A_1 = 24,7 \text{ sm}^2; \quad i_x = 4,34 \text{ sm}$.

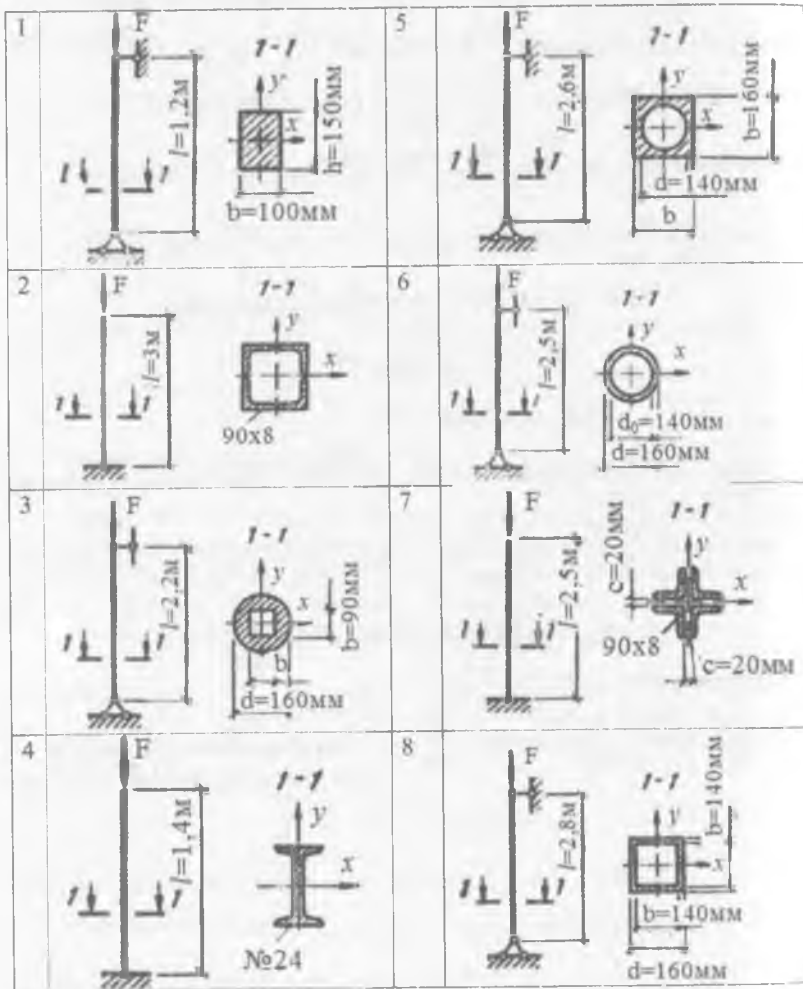
$$\sigma = \frac{F}{A} = \frac{352 \cdot 10^3}{2 \cdot 2470} = 71,2 \frac{\text{N}}{\text{mm}^2} \quad \lambda = \frac{1 \cdot 531}{4,34} = 122 \quad \varphi_T = 0,44$$

$$[\sigma]_y = \varphi_r [\sigma] = 0,44 \cdot 160 = 70,6 \frac{\text{N}}{4 \text{m}^2}$$

Kritik kuchlanish

$$\sigma_{kp} = \frac{\pi^2 E}{\lambda^2} = \frac{(3,14)^2 2,1 \cdot 10^5}{(122)^2} = 139 \frac{\text{N}}{\text{mm}^2} \quad n_y = \frac{\sigma_{kp}}{\sigma} = \frac{139}{71,2} = 1,95$$

misol-8. St.3markali po'lotdan tayyorlangan sterjenlarning ustuvorlik sharti asosida ruxsat etilgan siquvchi kuchning qiymati topilsin. Mustahkamlikka ruxsat etilgan kuchlanish $[\sigma] = 160 \text{ MPa}$.



XI - BOB. DINAMIK KUCHLANISHLAR

Umumiy tushunchalar. Materiallar qarshiligi fanining asosiy masalasi - konstruktsiya qismlarini ko'ndalang kesimining o'lchamlari yoki ularni materialini tanlashni, shu paytgacha faqat statik yuk ta'sirida o'rgandik. Noldan o'zining oxirgi qiyomatiga sekin-asta o'sadigan kuch statik yukga misol bo'ladi. Statik yuk ta'sirida element deformatsiyasining tezligi vaqt oralig'ida sezilarli bo'lmaydi, chunki bunda inshoot qismlarida paydo bo'ladigan harakat tezlanishi juda kichik bo'ladi. O'zgarmas tezlik bilan ko'tarilayotgan yukning kanatga ta'siri statik kuch; agar yuk ma'lum tezlanish bilan ko'tarilsa, dinamik kuch bo'ladi. Dinamik kuch ta'siridagi element zarrachalarining harakat tezlanishi vaqt oralig'ida sezilarli bo'ladi. Dinamik yuk o'zining qiyamatini o'zgartirib turdi.

Dinamik yuk ta'siridagi element Dalamber alomatiga asosan har daqiqa tashqi va inertsiya kuchlari ta'sirida muvozanatda deb qarash mumkin. Inertsiya kuchlari element materialining zarrachalarini harakat tezlanishi asosida qo'shimcha kuch sifatida hosil bo'ladi. Elementning xususiy og'irligi kabi, inertsiya kuchi ham hajmi kuch deb qaralishi mumkin. Har bir zarrachaga ta'sir qiluvchi elementar inertsiya kuchining qiymati dP_i , zarrachaning massasi m - ni uning tezlanishi a ko'paytmasiga teng va tezlanishga teskari tomonga yo'naladi: $dP_i = dm \cdot a$ (11.1)

Elementar zarracha massasi $dm = \frac{dG}{g}$ ni hisobga olsak,

$$dP_i = \frac{dG}{g} \cdot a = \frac{\gamma \cdot dv}{g} \cdot a \text{ hosil bo'ladi.}$$

$dG = \gamma \cdot dv$ zarrachaning xususiy og'irligi;

γ - erkin tushish tezlanishi, $9,81 \text{ m./sek}^2$

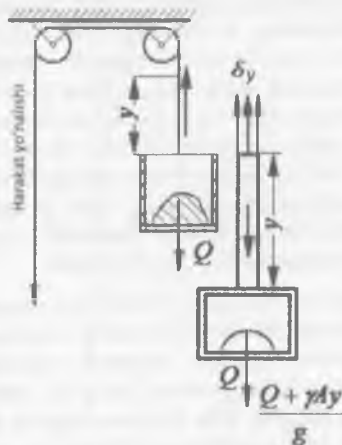
d - materialning solishtirma og'irligi; kn/m^3

v - elementar zarrachaning hajmi, m^3

Sterjenli sistemalarni hisoblashda, hajmiy inertsiya kuchlari, sterjenning o'qi bo'ylab tarqalgan inertsiya kuchlari bilan almashtiriladi. Elementar uzunlik dx bo'ylab tarqalgan inertsiya kuchi $dP_i = \frac{\gamma \cdot A \cdot dx}{g} \cdot a$ formula bilan topiladi

Ichki yonuv dvigatellarining qismlari, tebranra harakatda qatnashuvchi konstruktsiyalar. zarb ta'sirida ishlaydigan mexanizmlar dinamik yuklar ta'sirida bo'ladi.

11.1. Berilgan tezlanishli harakatda kuchlanishni aniqlash



11.1 – rasm. Trosni yuklanish sxemasi

$$\sigma_g = \frac{N_s}{A} = \frac{1}{A} \left(Q + \gamma A y + \frac{Q + \gamma A y}{g} \cdot a \right) = \frac{Q + \gamma A y}{A} \left(1 + \frac{a}{g} \right)$$

$\frac{Q + \gamma A y}{A}$ trosning harakatlanmayotgan, ya'ni yukni qo'zg'almas bo'lган holatiga to'g'ri keluvchi statik kuchlanishni ifodalaydi.

$$\sigma_g = \sigma_{cm} \left(1 + \frac{a}{g} \right) = K_g \cdot \sigma_{cm} \quad (11.2)$$

$K_g = 1 + \frac{a}{g}$ dinamik koeffitsient deyiladi.

Shunday qilib, yukni tekis tezlanishda harakatlantirsak, dinamik kuchlanish statik miqdordan katta bo'lar ekan.

Sistemaning mustahkamlik sharti

$$\sigma_{g\ max} = \sigma_{cm\ max} \cdot K_g \leq [\sigma]$$

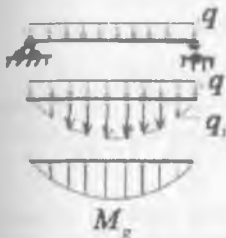
dan quyidagini hosil qilamiz $\sigma_{cm\ max} = \frac{[\sigma]}{K_g}$ (11.3)

Dinamik koeffitsientni nazariy usul bilan topish mumkin bo'lmasa, faqat tajribaviy qiymati ishlatisa, dinamik masalalar statik hisoblash bilan almashtiriladi.

1. Trosni hisoblash. a - tezlanish bilan yuqoriga harakat qilayotgan, og'irligi Q bo'lgan yuk po'latdan tayyorlangan trosga osilgan. Trosni ixtiyoriy u uzunligidan kesib, pastki qismining muvozanat holatini o'rorganamiz (11.1- rasm). Tros o'zining xususiy og'irligi $\gamma A y$, Q yuk va yukni yuqoriga a tezlanish bilan harakat qilishda hosil bo'lgan qo'shimcha inertsiya kuchi $Q + \gamma A y$ a ta'sirida bo'ladi. Trosning g

ixtiyoriy tanlangan ko'ndalang kesimidagi dinamik kuchlanish quyidagicha topiladi:

2. Taqsimlangan kuch intensivligi q - ta'siridagi elementlarda kuchlanishni aniqlash. Teng taqsimlangan kuch intensivligi q ta ciridagi o'zgarmas kesimli balka a tezlanish bilan kran yordamida ko'tariladi. Natijada balkaning uzunligi bo'ylab tarqalgan inertsiya kuchi q , hosil bo'ladi. Balka, taqsimlangan kuch q ta'siridan tashqari, inertsiya kuchidan ham egiladi. Balka taqsimlangan kuch intensivligi — q ta'sirida egilganligi uchun, uni



11.2 – rasm

ko'tarishda har bir kesiini turli tezlanish bilan ko'chadi. Shuning uchun balkaning uzunligi bo'ylab inertsiya kuchining intensivligi o'zgaruv-chan bo'ladi. Xususiy holda balkaning egilishdagi bikrliyi yoki kesimining salqiligi juda katta bo'lsa, a tezlanish orqali inertsiya kuchlari ta'sirida hosil bo'lgan deformatsiyani hisobga olsak ham bo'ladi.

Natijada balkaning hamma kesimlarini ko'chish tezlanishi bir xil inertsiya kuchi q , balkaning uzunligi bo'ylab teng tarqalgandeb qaraladi.

Unda dinamik taqsimlangan $q_g = q + \frac{q}{g}a$ kuch ta'siridagi eguvchi

$$\text{moment } M_g = \frac{q_g \cdot \ell^2}{8} = \left(q + \frac{q}{g}a \right) \frac{\ell^2}{8} = \frac{q\ell^2}{8} \left(1 + \frac{a}{g} \right) = M_c \cdot K_g \text{ va}$$

xavfli kesimdagagi dinamik kuchlanish

$$\sigma_g = \frac{M_g}{W} = \frac{M_c}{W} \cdot K_g = \sigma_c \cdot K_g \quad (11.4)$$

va mustahkamlik sharti

$$\sigma_{g,\max} = \sigma_{c,\max} \cdot K_g = K_g \cdot \frac{q\ell^2}{gW} \leq [\sigma] \quad (11.5)$$

formulalar bilan topiladi. Lokomotivni ikkita g'ildiragini birlashtiruvchi sparnik (tirsakli-sharnirli o'q) dagi eng katta eguvchi moment ham shu usul bilan

aniqlanishi mumkin:

$$M_{\max} = \frac{q_g \ell^2}{8} = \frac{\gamma A \ell^2}{8} \left(1 + \frac{\omega^2 r}{g} \right)$$



11.3 – rasm

Aylanuvchan halqasimon elementda kuchlanish. O'zgarmas kesimli tez aylanayotgan halqaning kuchlanishini topamiz. Halqaning aylanishida, ajratilgan ds uzunlikdagi element o'zgarmas burchak tezlik ω bilan harakat qiladi. Burchak tezlanish $\varepsilon = 0$, shuning uchun tangentsial tezlanish $\omega_t = 0$, markazga intiluvchi

tezlanish $\omega_n = \frac{\omega^2 D}{2}$ halqaning markaziga intiladi. Hosil bo'lgan inertsiya kuchi quyidagicha topiladi:

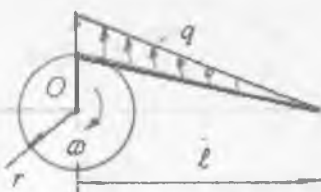
$$qds = \frac{\gamma A \omega^2 D}{g} ds = \omega_n \frac{\gamma A}{g} ds$$

q - halqaning bir birlik uzunligidagi inertsiya kuchining intensivligi.

Halqaning cho'zuvchi kuchi $P = \frac{Dq}{2}$ ni hisobga olsak, dinamik

$$\text{kuchlanishni topamiz: } \sigma_g = \frac{P}{A} = \frac{Dq}{2A} = \frac{D}{2A} \cdot \frac{\gamma A}{g} \cdot \frac{\omega^2 D}{2} = \frac{\gamma \omega^2 D^2}{4g} \quad (11.6)$$

4. Shatunni hisoblash. O'zgarmas burchak tezlikda shatunni A nuqtasida markazga intiluvchi, B nuqtada faqat tangentsial tezlanish hosil bo'ladi. AB (11.4-rasm) shatunni hamma nuqtasida (A va B nuqtalardan tashqari) markazga intiluvchi va tangentsial kuchlanishlar hosil bo'ladi. OA krivoship AB shatunga perpendikulyar bo'lgan holatda, markazdan qochuvchi inertsiya kuchlari



11.4 – rasm. Shatunda dinamik kuch

shatun o'qiga perpendikulyar yo'naladi va AB uzunlikda chiziqli qonuniyat bilan o'zgaradi. A nuqtada $q = q_0$ va V nuqtada $q = 0$. Shatunni ikki tayanchli balka deb qabul qilsak, eng katta eguvchi moment $x = \frac{\ell}{\sqrt{3}}$ masofada hosil bo'ladi:

$$M_{\max} = \frac{q_0 \ell^2}{9\sqrt{3}}, \text{ bu erda } q_i = \frac{A\gamma}{g} \omega^2 r.$$

$$\text{Dinamik kuchlanish } \sigma_n = \frac{M_{\max}}{W} = \frac{q_0^2}{9\sqrt{3}W} = \frac{\gamma A \omega^2 \cdot r \cdot \ell^2}{g 9\sqrt{3}W} \quad (11.7)$$

11.2. Tebranma harakatda kuchlanishni aniqlash

Ayrim konstruktsiya qismlarini ishlash jarayonida tezlanish yo'nalishi va ishorasini o'zgartiradi. Bu holatda kuchlanish va deformatsiyalar ham har davrda ishorasini o'zgartiradi. Masalan: aylanuvchi yuk osilgan mexanizm bilan jixozlangan balka.

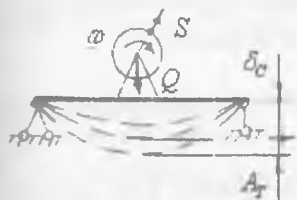


11.5 – rasm

Yukni aylanishida inertsiya kuchi hosil bo'ladi. Inertsiya kuchi balkada har daqiqa ishorasini o'zgartiruvchi kuchlanish va deformatsiyani keltirib chiqaradi. Balka yukning aylanish davriga teng davr bilan tebranadi. Bunday tebranish majburiy tebranish deyiladi.

Agar, erkin va majburiy tebranishlar davrlari tenglashsa, vaqt oralig'ida tebranish amplitudasi juda tez o'sadi va rezonans hodisasi sodir bo'ladi. Rezonans emirilishga sabab bo'ladi. Shuning uchun rezonans hodisasini cheklash lozim. Buning uchun erkin va majburiy tebranishlar davrlari mos tushmasligi kerak. Konstruktsiyani loyixalashda (uvg'otuvchi kuchni) majburiy tebranishni davri berilganligi uchun, erkin tebranishning parametrlari - davr, chastota va amplitudalarini tanlash kerak.

Konstruktsiyaning tebranma harakati elastik muvozanat holatida davom etadi. Konstruktsiyaning statik deformatsiyasi inertsiya kuchi ta'sirida hosil bo'lgan dinamik deformatsiyaga qo'shiladi.



11.6 – rasm

Dinamik deformatsiya tebranma harakatni turiga va amplitudasiga bog'liq. Cho'zuvchi yoki siquvchi kuch ta'siridagi prujinani bo'ylama tebranishi; xususiy og'irligi ta'siridan tebranayotgan balkani harakati oddiydir. Bu holatda sistemaning deformatsiyasi bitta tekislikdagi (koordinata) yoki yo'nalishdagi qiymat bilan o'lchanadi (11.6 – rasm). Bunday tebranma harakat erkinlik darajasi birga teng bo'lgan tebranma harakat deyiladi.

Unda balkaning xavfli kesimidagi eng katta salqiligi quyidagicha topiladi:

$$\delta_n = \delta_c + A_m = \delta_c \left(1 + \frac{A_T}{\delta_c} \right) = K_g \cdot \delta_c \quad (11.8)$$

Balkaning deformatsiyasi elastik bo'lganligi uchun, kuchlanish deformatsiyaga proportionaldir: $\sigma_g = K_g \cdot \delta_c = \left(1 + \frac{A_T}{\delta_c} \right) \cdot \sigma_c \quad (11.9)$

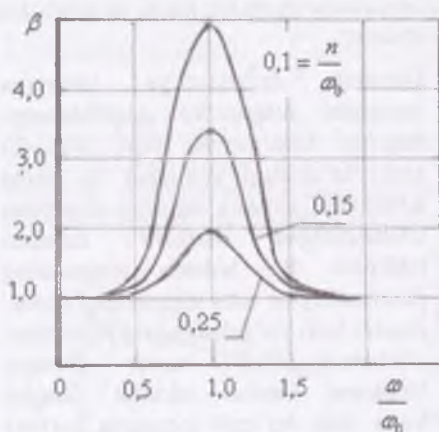
Erkin tebranayotgan Q yuk harakatining differentials tenglamaci $\frac{Q}{g} x^{(1)} + cx = 0$ ni echib, erkin tebranish chastotasi

$$\omega_o = \sqrt{\frac{g \cdot c}{Q}} = \sqrt{\frac{g}{\delta_Q}} \quad \text{va davri} \quad t_o = \frac{2\pi}{\omega_o} \quad \text{topiladi.}$$

Xususiy hol: Egilishdadinamik deformatsiya: ikki tayanchli balka uchun $\delta_Q = f = \frac{Q\ell^3}{48EI}$ va konsol uchun $\delta_Q = f = \frac{Q\ell^3}{3EI}$

Majburiy tebranishni uyg'otuvchi kuchi S aylanish davrida sinusoidal chiziq bilan o'zgaradi. Bu holatda K_g -ning ifodasi ham o'zgaradi:

$$K_g = 1 + \frac{A}{\delta_c} = 1 + \frac{\delta_H}{\delta_c} \cdot \beta \quad (11.10)$$



11.7 – rasm.

$\delta_H = \frac{H}{Q} \delta_Q$ - eng katta uyg'otuvchi kuchi $S_{\max} = A$ ta'siridagi deformatsiya:

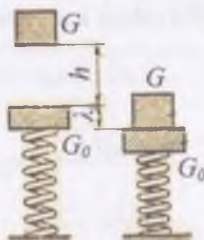
$$\beta = \frac{A}{\delta_H}$$

koeffitsienti. β ni qiymati $\frac{\omega}{\omega_0}$ -nisbatga va tebranishning so'nish koeffitsientiga (n) bog'liq. Agar $\frac{\omega}{\omega_0} = 1$ va tebranishning so'nish koeffitsienti kichiklashsa, tebranish amplitudasi va β ni qiymati kattalashadi.

Demak, dinamik deformatsiya va kuchlanish lar juda tez o'sadi.

Konstruktsiyani xavfli holatini cheklash uchun, unga tebranishning so'ndiradigan turli moslamalarini o'rnatish mumkin.

11.3. Zarb ta'sirida kuchlanish



Konstruktsiya qismining yoki bir bo'laginining juda kichik vaqt davrida, tezligi o'zgarishining hodisasi-zarb ta'sirida sodir bo'ladi. Zarb ta'sirida zarblanuvchi va zarb beruvchi qismlar orasida juda katta bosim hosil bo'ladi. Zarb ta'sirining tezligi qisqa vaqt oralig'ida o'zgaradi va xususiy holda nolga qadar yaqinlashadi.

Chunki zarblanuvchi elementda, zarb beruvchi elementning teskari yo'nalishga harakatini o'zgartiruvchi reaksiya hosil bo'ladi $F_g = \frac{Q}{g} a$, bu erda Q - zarb beruvchi elementning og'irligi. Zarb davomida zarb beruvchi va zarbla nuvchi elementlarda F_g reaksiyalar o'zaro teng. Agar F_g kuch ma'lum bo'lsa, zarblanuvchi elementlarda kuchlanishi topamiz. Lekin, zARBNI davom qilish vaqtida noma'lum bo'lganligi uchun (Q yuknizarb ta'sirining tezligini nolga qadar tushish davri) a - tezlanishi topib bo'lmaydi. Shuning uchun F_g kuchning qiymati ham noma'lum. F_g kuchni topish uchun energiyaning saqlanish qonunidan foydalanamiz.

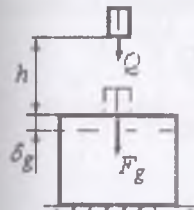
1) zarbning kinetik energiyasi zarblanuvchi element deformatsiyasini potentsial energiyasiga aylanadi, ya'ni

$$T = I_d \quad (11.11)$$

2) kuchlanish va deformatsiyaning zarblanuvchi elementi hajmida teng tarqalgan deb qabul qilinadi.

Zarb ta'sirining oxirida Q yuk $h + \delta_g$ masofani bosib o'tadi. Unda Q yukni kinetik energiyasi bajarilgan ishga teng bo'ladi:

$$T = A_g = (h + \delta_g) Q \quad (11.12)$$



11.8 – rasm. Zarb ta'siri

Zarblanuvchi element deformatsiyasining potentsial energiyasini topish uchun, statik deformatsiyaning potentsial energiyasidan foydalanamiz:

$$N_c = \frac{1}{2} Q \cdot \delta_c \quad (11.13)$$

bu erda: $\delta_c = \frac{Q}{c}$ yoki $Q = c \cdot \delta_c$. C - elementning bikrlik koefitsienti, elementning shakli, o'lchamlari va materiali, deformatsiyasi turiga bog'lik.

$$\text{Unda } N_c = \frac{1}{2} Q \delta_c = \frac{c}{2} \cdot \delta_c^2$$

Zarblanuvchi elementning deformatsiyasi elastik bo'lsa, dinamik kuchlanish materialning proporsionallik chegarasidan katta bo'lmaydi, unda Guk qonunidan foydalanish mumkin:

$$\delta_g = \frac{F_g}{c} \quad \text{ea} \quad U_g = \frac{F_g \cdot \delta_g}{2} = \frac{C}{2} \delta_g^2 = \frac{Q}{2\delta_c} \cdot \delta_g^2;$$

bu erda: $C = \frac{Q}{\delta_c}$. Topilgan T va I_g larning ifodalarini (11.11) formulaga keltirib qo'ysak, $Q = (h + \delta_g) = \frac{Q}{2\delta_c} \delta_g^2$ yoki $\delta_g^2 = 2\delta_c \delta_g - 2h\delta_c = 0$

hosil bo'ladi bu erdan $\delta_g = \delta_c \pm \sqrt{\delta_c^2 + 2h\delta_c}$

va $\delta_g = \delta_c \left[1 + \sqrt{1 + \frac{2h}{\delta_c}} \right] = K_g \delta_c$ (11.14)

Guk qonuniga asosan kuchlanish va kuch deformatsiyasiga proportional,

unda $\sigma_d = \sigma_c \left[1 + \sqrt{1 + \frac{2h}{\delta_c}} \right]$ (11.15)

$$F_d = Q \left[1 + \sqrt{1 + \frac{2h}{\delta_c}} \right] \quad (11.16)$$

bu erda: K_g – dinamik koefitsient $K_g = \left[1 + \sqrt{1 + \frac{2h}{\delta_c}} \right]$ (11.17)

Yuqoridagi formulalardan ko'rinishicha dinamik deformatsiya, kuchlanish va kuch statik deformatsiyaga bog'liq ekan.

Agar $h = \frac{v^2}{2g}$ bilan almashtirilsa, $K_g = 1 + \sqrt{1 + \frac{v^2}{g\delta_c}}$ hosil buladi.

Bu erda v -zarb beruvchi elementning tezligi .

$$\frac{2h}{\delta_c} = \frac{h \cdot Q}{Q\delta_c} = \frac{T_a}{U_c}$$

quyidagicha topiladi $K_g = 1 + \sqrt{1 + \frac{T_a}{U_c}}$ (11.18)

bu erda T_0 – zarb ta'siri boshlangan vaqtidagi yukni kinetik energiyasi: Agar, Q yuq $h = 0$ masofadan tushib zarb bersa, $\delta_g = 2\delta_c$ hosil bo'ladi. $\sigma_g = 2\sigma_c$ esa $F_g = 2Q$

Masofa δ_c deformatsiyadan katta bo'lsa, $\frac{2h}{\delta_c}$ qiymatga nisbatan ildiz ostidagi birni hisobga olmasak ham bo'ladi, ya'ni $K_g = 1 + \sqrt{\frac{2h}{\delta_c}}$ (11.19)

bu erda xatolik 5% dan katta bo'lmaydi.

$$\text{Unda, } \delta_g = \delta_c \left(1 + \sqrt{\frac{2h}{\delta_c}} \right) \quad \text{va} \quad \sigma_g = \delta_c \left(1 + \sqrt{\frac{2h}{\delta_c}} \right)$$

Agar, $\frac{2h}{\delta_c}$ qiymatni juda katta deb qabul qilsak, K_g -ni quyidagi formula bilan topamiz:

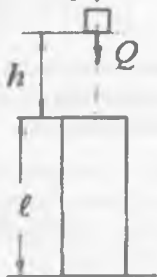
$$K_g = \sqrt{\frac{2h}{\delta_c}} = \sqrt{\frac{T_o}{U_c}} \quad (11.20)$$

Bu erda $\sigma_g = \sigma_c \frac{\sqrt{2h}}{\sigma_c}$ kuchlanishni hisoblashda qo'yilgan xatolik 10 %

oshib ketmasligi kerak $\frac{2h}{\delta_c} > 110$

Zarbni xususiy hollari.

1). Cho'zillish yoki siqilish . Dinamik koefitsientni taqrifiy formula yordamida topaylik.



11.9 - rasm. Zarb ta'sirida siqilish

$$K_g = \sqrt{\frac{T_o}{U_c}} \quad \text{bu erda}$$

$$U_c = \frac{Q\delta_c}{2} = \frac{Q^2\ell}{2EA} = \frac{\sigma_c^2 AE}{2E}; \quad \sigma = \frac{Q}{A}$$

Dinamik kuchlanish:

$$\sigma_g = K_g \sigma_c = \sqrt{\frac{2T_o E}{\sigma_c^2 A \ell}} \cdot \sigma_c = \sqrt{\frac{2T_o E}{A \ell}}. \quad (11.21)$$

Demak, statik kuchdagidek dinamik kuch ta'sirida ham dinamik kuchlanish siqilayotgan sterjenning ko'ndalang kesim yuzasiga bog'liq ekan. Statik kuch sterjenning o'lchamiga bog'liq emas. Dinamik kuch va dinamik kuchlanish,

zarbni ta'sir qilish davomiga, sterjenning materialiga va uzunligiga bog'liq. Dinamik kuch ta'siridagi elementning mustahkamlig shartini yozamiz.

$$\sigma_g \leq [\sigma_g] \quad (11.22)$$

bu erda $[\sigma_g] = \frac{\sigma_{ok}}{K_g}$ ruxsat etilgan dinamik kuchlanish.

$K_g = 1,5 \dots 2,0$ – zarb ta'siriga ehtiyotlik koefitsienti

2) Egillish. Egilishda statik deformatsiya, balka uchlarini mahkamianish shartiga va tashqi kuch bilan yuklanish sxemasiga bog'liq. Masalan: ikkita sharnirlar tayanchga tayangan balka uzunligining o'rtasida Q yuk ta'sirida (11.10-rasm)

$$f_c = \delta_c = \frac{Q\ell^3}{48EI}; \quad \sigma_c = \frac{Q\ell}{4 \cdot W} \quad \text{ba} \quad U_c = \frac{Qf_c}{2} = \frac{Q^2\ell^3}{96EI}$$

$$\text{Dinamik kuchlanish} \quad \sigma_g = K_g \sigma_c = \frac{Q\ell}{4W} \sqrt{\frac{96T_o EI}{Q^2\ell^3}} = \sqrt{\frac{6T_o EI}{W^2\ell^3}}$$

$$\text{Agar, } I = i^2 A \quad \text{ba} \quad W = \frac{I}{Y_{\max}} = \frac{i^2 A}{Y_{\max}} \text{ bo'lsa:}$$

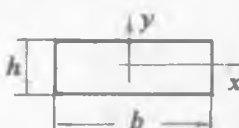


11.10-rasm. Zarb ta'sirida egilish

$$\frac{I}{W^2} = \frac{i^2 A}{\left(\frac{i^2 A}{Y_{\max}}\right)^2} = \left(\frac{Y_{\max}}{i^2}\right)^2 \cdot \frac{1}{A}$$

Unda dinamik kuchlanish:

$$\sigma_g = \frac{y_{\max}}{i} \sqrt{\frac{6TE}{Al}} \quad (11.23)$$



Formuladan, egilishda dinamik kuchlanish balka materialining elastik moduliga, kesimning o'lchamlari va shakliga, balkani tayanish shartiga bog'liq.

$$\text{Masalan: to'g'ri burchakli kesim: } \frac{Y_{\max}}{i} = \frac{\frac{h}{2}}{\sqrt{\frac{bh^3}{12bh}}} = \sqrt{3} \quad \text{va} \quad \sigma_g = \sqrt{\frac{18T_o E}{Al}}$$

$$\text{Doiraviy kesim: } \frac{Y_{\max}}{i} = \frac{\frac{d}{2}}{\sqrt{\frac{\pi \cdot d^4 \cdot 4}{64 \cdot \pi \cdot d^2}}} = 2 \quad \text{va} \quad \sigma_g = \sqrt{\frac{24T_o E}{Al\ell}}$$

Dinamik koefitsientni aniqlash uchun taqribiy formula tadbiq etilmasa, dinamik kuchlanish quyidagicha topiladi:

$$\sigma_g = \frac{Q\ell}{4W} \left[1 + \sqrt{1 + \frac{96T_o EI}{Q^2\ell^3}} \right] \leq [\sigma_g] \quad (11.24)$$

3. Buralish. Aylanayotgan valni bir uchining harakatini qisqa vaqt oralig'ida cheklab qo'ysak, (tormozlansa), ikkinchi uchiga maxovikni ta'siri T qo'yilsa, valda zarb ta'siridagi burovchi moment hosil bo'ladi. Dinamik buralish

burchagi $\delta_g = \varphi_g = K_g \varphi_c$ va kuchlanish $\tau_g = \tau_c \cdot K_g = \tau_c \sqrt{\frac{T_0}{U_c}}$. Bu

$$\text{erda } \varphi_c = \frac{M\ell}{GI_p} \quad \delta_g = \varphi_g = K_g \varphi_c = K_g \frac{M\ell}{GI_p} \quad U_c = \frac{M \cdot \varphi_c}{2} = \frac{M^2 \ell}{2GI_p},$$

$$\text{unda } \tau_g = \tau_c \cdot K_g = \tau_c \sqrt{\frac{T_0}{U_c}} = \frac{M}{W_p} \sqrt{\frac{2T_0 GI_p}{M^2 \ell}} = \sqrt{\frac{2T_0 GI_p}{W_p^2 \ell}},$$

$$\frac{I_p}{W_p^2} = \frac{\pi \cdot d^4}{32} \cdot \frac{1}{\left(\frac{\pi \cdot d^3}{16}\right)^2} = \frac{8}{\pi \cdot d^2} = \frac{2}{\frac{\pi \cdot d^2}{4}} = \frac{2}{A}$$

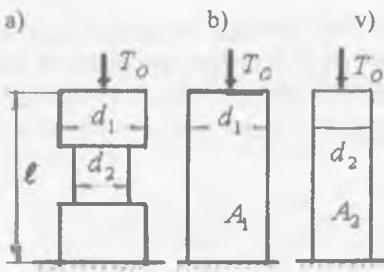
$$\text{Dinamik kuchlanish } \tau_g = 2 \sqrt{\frac{T_0 G}{A \ell}}$$

$$\text{Dinamik deformatsiya: } \varphi_g = \frac{M\ell}{GI_p} \sqrt{\frac{2T_0 GI_p}{M^2 \ell}} = \sqrt{\frac{2T_0 \ell}{GI_p}}$$

11.4. O'zgaruvchan kesimli sterjenlarda zARB TA'SIRIDAGI KUCHLANISH.

Bo'ylama zARB TA'SIRIDA kuchlanishi kamaytirish uchun sterjenning hajmini kattalashtirish kerak, ekanligini oldingi paragrafda ko'rib o'tdik. Bu nazariya, agar sterjenning hajmi uning uzunligi bo'ylab o'zgarmas bo'lsa - o'rinnli. Sterjenning uzunligi bo'ylab ko'ndalang kesim yuzasi o'zgaruvchan bo'lsa, amaliyotda yuqoridagi nazariyalarda o'zgarish bo'lishi mumkin. Masalan: uzunligi bo'ylab $d_1 > d_2$ diametrli kesimning eng katta kuchlanishi d_2 diametrli kesimda hosil bo'ladi. Eng katta kuchlanish sterjenning zaiflashgan kesimi diametriga va uning siquvchanligiga bog'liq. Bu holda sterjenning kuchlanishi ikki xil usul bilan kamaytirilishi mumkin:

1) sterjenni zaiflashgan kesim d_1 diametr bilan tayyorlash: bunda sterjenning kesim yuzasi kattalashadi; siqiluvchanligi kamayadi: inertsiya kuchi bir oz ortadi.



11.11 - rasm. Zarb ta'sirida:
a) pog'onali brus; o'zgarmas kesimli
har xil diametrli
b) - v) bruslar

Kesim yuzasi katalashishi hisobiga kuchlanish kamayadi. Agar sterjen zaiflashgan kesimni taqozo qilsa bu variant kerak emas.

2) Sterjenning mustahkamligini oshirish uchun, uni siqiluvchanligi orttirilishi kerak. Siqiluvchanlik, asosan sterjenning uzunligi bo'ylab d_2 diametr bilan tayyorlash evaziga orttiriladi. Unda dinamik kuch F_g kamayadi, kuchlanish ham kamayadi.

Bu nazariyalarni hisob usuli bilan tekshiramiz 11.11 – rasmida ko'rsatilgan uchta sterjenga ham bir xil $T_0 = Qh$ zarb ta'siri qo'yib quyidagini belgilaylik

$$\frac{A_2}{A_1} = q \quad \text{sa} \quad \frac{\ell_2}{\ell_1} = P$$

Kuchlanishni taqrifiy formula yordamida topamiz:

$$\text{a-sxema uchun (11.11 - rasm)} \quad \sigma_g = \sigma_c \sqrt{\frac{2h}{\Delta\ell}} = \frac{Q}{A_2} \sqrt{\frac{2h}{\Delta\ell}} = \sqrt{\frac{2T_0 Q}{A_2^2 \Delta\ell}}$$

$$\text{Bu erda } \Delta\ell = \frac{Q\ell_2}{EA_2} + \frac{Q(\ell_1 - \ell_2)}{EA_1} = \frac{Q\ell_1}{EA_2} [P + q(1 - P)]$$

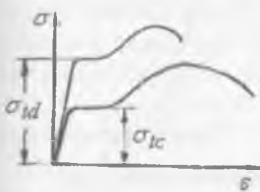
$$\text{Unda } \sigma_g = \sqrt{\frac{2T_0 Q}{A_2^2 \frac{Q\ell^1}{EA_2} [P + q(1 - P)]}} \quad (11.25)$$

$$\text{O'zgarmas kesimli (a) sa b) sterjenlar uchun } \sigma_\delta = \sqrt{\frac{2T_0 E}{A_1 l_1}}$$

$$\text{va } \sigma_B = \sqrt{\frac{2T_0 E}{A_2 l_1}} \text{ va } [P + q(1 - P)] < q < 1, \text{ demak } \sigma_a > \sigma_b > \sigma_\delta$$

Shunday qilib, (a) sxemada – diametrni 20% kichiklashtirilishi, kuchlanishni 50% ga kattalashtiradi, agar sterjenning uzunligi bo'ylab bir xil d₂ diametrda tayyorlansa, kuchlanish 20% ga yaqin kamaytiriladi. O'zgaruvchan kesimli sterjenlarga bo'ylama zarb ta'sirida ishlaydigan boltlarni misol qilish mumkin. Bolt zarb ta'sirini emirilmasdan o'tkazib yuborishi uchun, uni uzunligi

bo'ylab diametrini rezbaning ichki diametriga teng qilib tayyorlash kerak. Buning uchun bolting sirti yo'niladi yoki unda ichki kanal hosil qilinadi. Ko'pincha sterjenning uzunligi kattalashtirilishi evaziga harn kuchlanish kamaytiriladi.



11.12 – rasm. Dinamik siqilish va cho'zilish diagrammasi

a)



b)



11.13 – rasm. Zarbga sinash namunalarini

Zarbga sinash. Tajribalar natijasiga ko'ra, bir xil materialdan tayyorlangan namunalar statik va dinamik kuchlarga har xil qarshilik o'rasisatishi aniqlangan. Masalan: namunalarini cho'zilishga katta tezlikda sinashda olingan diagramma statik kuch ta'siridagi diagrammadan farq qiladi (11.12 – rasm).

1) dinamik kuch ta'sirida materialning oquvchanlik va mustahkamlik chegaralari kattalashadi;

2) emirilishdagi qoldiq deformatsiyasi kamayadi;

3) diagramma σ o'qi tomonga siljiydi;

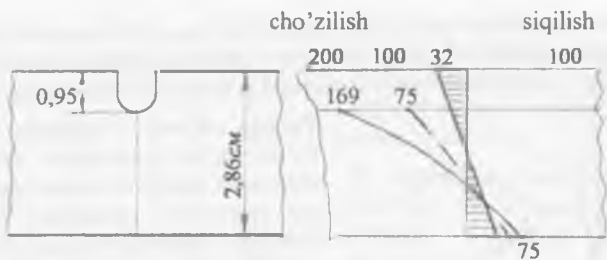
4) oquvchanlik vaqt kamayadi;

5) materialning elastiklik moduli kattalashadi. Zarb ta'siridan plastik materialda mo'rtlik namoyon bo'lishi mumkin, ya'ni plastik material mo'rt materialdek emiriladi. Davidenko N.N. tajribasiga asosan, zarb ta'siridan oquvchanlik chegarasi 20-70% ga, mustahkamlik chegarasi 10-30% ga ortadi.

Materialni zARBga sinash uchun maxsus namuna tayyorlanadi. (11.13-rasm). Materialni og'irroq vaziyatda ishlatalish uchun namunada o'lchamlari 2 mm bo'lgan kanal tayyorlanadi. Mayatnik tipidagi koperda namunaga K nuqtadan zARB beriladi.

Mayatnik h_1 balandlikdan tushib namunani emiradi va ortiqcha qolgan energiya hisobiga $h_2 \leq h_1$ balandlikka ko'tariladi.

Mayatnikning bajargan ishi $W_{uu} = G(h - h_2)$ – ning bir qismi namunani emirishiga sarflanadi. Ishning bir qismi ishqalanishga, havoning qarshiligini engishga sarflanadi.



11.14 – rasm. Zarb ta'sirida materialani mexanik xarakteristikasi

Materialni zarb ta'siriga qarshilik ko'rsatib bilish qobiliyatini zarbga qovushqoqlik tavsiflari aniqlaydi:

$$\alpha = \frac{W_1}{A} = \frac{W - \Delta W}{A} \quad (11.26)$$

α - tavsiflar qancha katta bo'lsa, materialni zarb ta'siriga qarshilik ko'rsatish qobiliyati shuncha yaxshi bo'ladi. α -ning qiymati tajribani o'tkazish sharoitiga, namunali o'lchamlariga bog'liq bo'ladi.

Namunani zaiflashgan kesimida kuchlanishning tarqalish qonuniyati (11.14 – rasm) da ko'rsatilgan.

(a) diagramma namunani kanalcha bo'limgan paytdagi kuchlanish epyurasi. (b) diagramma namunani zarb ta'siridan egilishdagi normal kuchlanish (σ_1) epyurasi. Punktir chiziqli epyura kanal yonida kuchlanishni mahalliy to'plami hosil bo'limgan paytdagi kuchlanishni tarqalish qonuniyati. Diagrammadan ko'rinishicha, namunani balandligini 0,95 sm ga kamaytirganda, kuchlanishning-mahalliy to'plami bilan 5,22 marotaba kattalashadi.

Kanalchaning asosida joylashgan material hajmiy kuchlanganlik holatida bo'ladi. σ_2 kuchlanish namunani o'qiga parallel, σ_1 perpendikulyar joylashadi. Material oquvchanlik chegarasidan katta bo'lgan $\sigma_1 = 1,25\sigma_T$ plastik deformatsiya oladi va mo'ri holatda bo'ladi.

Sharpi zarbli tekshirish usulida materiallarni tekshirish

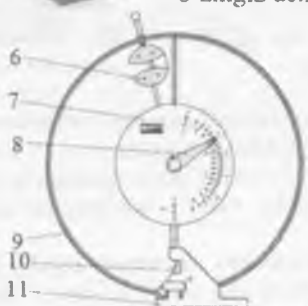
Sharpi zarbli tekshirish usuli materiallarni tekshirishning muhim usullaridan biridir. Sinov qurilmasining fundamental tamoyillari va sino jarayoni standardlashtirilgan. Sinov namunasi tushayotgan mayatnik yoki energiyasi ta'sirida egiladi. Namunaning bu yukga ko'rsatadigan qarshiliqi namuna materialining zarb sinoviga bardoshligi tushuniladi.

Sinov qurilmasining o'qitishdagi avfzalligi shundaki, konstruktiv tuzilishining oddiyligi va tajriba jarayonini tushunishning osonligi.

Tajriba asosan metall namunalarni sinashga mo'ljallangan bo'lsada plastik namunalarni ham sinash mumkin. Materialning kichik emirilishlarga sezgirligining xaraktristik qiymati va baholash kriteriyasi tajribadan olinadi. Bu sinov usuli sanoatda sifat nazoratida ham qo'llaniladi, chunki bu usulda material yoki uning tashkil qiluvchilari asosiy ko'satkichlarini oson va tez aniqlash imkonini beradi.

Sharpi zarbli sinovi usuli, materiallar texnologiyasidagi boshqa fundamental tamoyillar kabi metallar va mashinalar texnologiyasida muhim o'rinn tutadi.

ESALATMA



11.15-rasm. WR 400 Mayatnikli zarbli tekshirish qurilmasi asosiy komponentlari

Doimo xavfsizlik yo'riqnomasiga amal qiling!
Tebranma bolg'a va emiriluvchi namunalar xavf manbai hisoblanadi. Biz qatiy ravishda **WR400.50 Zarbli sinov asbobi himoya g'ilofidan foydalanishni tavsiya qilamiz.** Bu himoya g'ilofisiz qurilmadan foydalanish o'zingiz uchun xavfliligini unutmang

- | | |
|-----------------------------|---|
| 1.Dastak | 5 |
| 2.Tormoz | |
| 3.Tishsimon kristall namuna | |
| 4.Saqlagich ilgak | |
| 5.Bolg'a uchun tirgak | |
| 6.Og'ir diskli bolg'a | |
| 7.Shkala | |
| 8.Maksimum indikatori | |
| 9.Himoya chambaragi | |
| 10.Namuna uchun ustun | |
| 11.Blok tagligi | |

Ishlatish uchun atrof muhit holati va saqlash shart-sharoitlari
Himoyalangan, namlik va iflosliklardan holi xona.

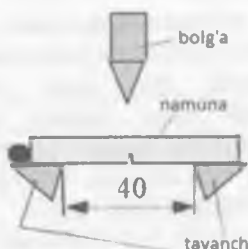
Gorizontal tekis va xavfsiz tayanch

O'rnatilishi. Mayatnikli zarbli sinov asbobi tekis joyga qo'yilishi lozim. Sinov tajribasini boshlashdan oldin sinov qurilmasi namunasiz holda

bolg'a erkin aylanayotganini va asbob ko'rsatkichi bir tekis harakatlanayotganini tekshiring



Ba'zi bir havodagi va aylanuvchi qismlardagi ishqalanishlar hisobga olmaslik darajasida.



11.16-rasm. Namuna qo'yilgan zarbli sinov qurilmasining yuqorida korinishi

Namuna - Turli shaklli va qirqimli hamda turli materiallardan tashkil topgan namunalar **WP 400** etkazib berish komplektiga kiritilgan.

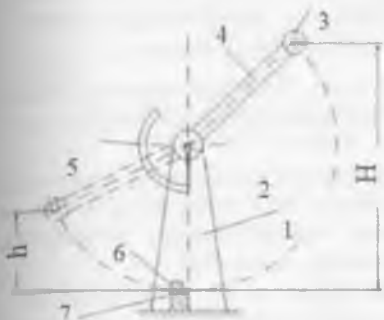
Ish tamoyili - Asosiy ish tamoyili quyida bayon qilingan, bu bayon barcha jihatlarni qamrab olmagan. Qo'shimcha nazariy ma'lumotlar uchun maxsus adabiyotlarga murojat qiling

Sharpi sinovi usuli to'g'risida umumiylar ma'lumot. Jismlar deformatsiyasi turli mexanik kuchlanishlarda turlicha bo'lishi mumkin. Shuning uchun deformatsiya xususiyatini bilish materialni tanlash va baholashda muhim kriteriy hisoblanadi. Ko'pchilik hollarda hajmiy-markazlashtirilgan kubik strukturali materiallarda past temperaturada mo'rt emirilmasligi ko'rildi. Hosil bo'lgan kuchlanish ta'siridagi deformatsiya mo'rt emirilshga olib kelmasligi mumkin. Kritik kuch o'zining chegaraviy xavfli qiymatila mo'rt emirilishga olib keladi. Plastik materiallar bilan boshqacha holatlar yuz beradi.

Sharpi usulida ikki tomoni tayanchga tiraluvchi yacheykali namuna zaiflashgan kesimda bolg'a ta'sirini oladi va deformatsiyalanadi, tayanch tekisligida egiladi. Zarbning ishi nyuton-metrda o'lchanadi va Djoulda ifodalanadi ($1 \text{ Nm} = 1 \text{ Dj}$).

Sharpi usulida tajriba natijalari materialning xossalasi bo'yicha xulosa beradi. Bunday xulosa berish uchun sharoiti va geometrik ekvivalent bo'lgan namunalarda

tajriba bajarilsagina mumkin. Shuning uchun faqat ISO profiligidagi va to'g'ri burchak yacheykali GUNT profilli namunalarda tajribalar o'tkaziladi. Plastiklik va mo'rtlik yuklanish sharoiti, temperatura va zarb tezligi hamda kuchlanishga bog'liq.



Sharpi sinovi ish tamoyili.

Sharpi sinovi mayatnikli zarbli sinov qurilmasida DIN EN ISO 148-1 andozasi asosida amalga oshiriladi.

11.17-rasm. Mayatnikli zarbli sinov

qurilmasi. 1-rama; 2-in-dikator; 3-bolg'a; 4-sterjen; 5-shkala; 6-taglik; 7-tayanch

N - Mayatnikli bolg'a harakati boshlang'ich balandligi

h - Zarbdan keyingi mayatnikli bolg'aning to'qnashuvdan keyingi ko'tarilish balandligi.

Mayatnikka dastakli biriktirilgan bolg'a balandlikdan qo'yib yuborilgandan keyin aylana yoyi bo'ylab harakatlanib barakat traektoriyasining eng quyi nuqtasida o'zining kinetik energiyasini namunaga beradi.

Namunadagi qirqim sohasida zerb barcha o'qlar yo'nalishida mexanik kuchlanishni hosil qiladi.

Tushayotgan bolg'a o'zi bilan birga shkala ko'rsatkichini ham harakatlantiradi, ko'rsatkich zerb ta'sirida bajarilgan maksimum ishni ko'rsatadi. Zerb to'qnashuvi namuna shakliga ham bog'liq bo'lgani uchun namuna shakli ham va belgilab qo'yilishi zarur.

$$W_{nbs\mu COV} = m \cdot g \cdot (H - h) \quad (11.1)$$



Qirqimli brusga berilgan zerb kuchi bajargan ishining va nominal ko'ndalang kesimi yuzasiga nisbatli materialning zerbga chidamliligi deyiladi:

$$\frac{S_{nam}}{A_0} = \frac{W_{zar}}{A_0} \quad (11.2)$$

Zerb sinovi namunasi mustahkamligi namuna shakliga juda kuchli bog'liq. Shuning uchun bir materialdan tayyorlangan va turli shaklli namunalar uchun olingan natijalarini bir biri bilan solishtirib bo'lmaydi.

Emirilish turlari. Quyidagi rasmlarda (11.8-11.9-rasmlar) bir xil materialdan tayyorlangan bir xil o'lchamli har xil haroratlarda zerb sinovi natijasida paydo bo'lgan uch tipdagi sirt emirilishi keltirilgan.

Mo'rt emirilish. Mo'rt emirilish bo'lishi uchun, sirpanish qarshiligi siljituvchi



11.8-rasm. Mo'rt emirilish

Shuning uchun, ham u donador bo'ladi. Emirilish sohasida sezilarli bo'limgan surilish (sujenie) paydo bo'ladi. Bu materialda plastik emirilish -10°S dan past temperaturada sodir bo'ladi.

Plastik emirilish Agar cho'zilish kuchlanishi mustahkamlik chegarasiga etgunicha uzish kuchlanishi siljish qarshiligidan katta bo'lsa namuna chiziqli deformatsiyalanadi. Deformatsiya natjisidagi mustahkamlanish qovushqoqlik kuchlanishiga nisbatan qarshilikning tezroq oshishiga olib keladi.



11.9-rasm. Plastik emirilish



11.10-rasm. Aralash emirilish

Deformatsiya tezligining ta'siri. Siljish va ko'chish devormatsiyasi sodir bo'lishi uchun mexanik kuchlanish ta'sir vaqtiga etarli bo'lishi kerak. Shuning uchun deformatsiya darajasi ma'lum miqdorda devormatsiya tezligiga ham bog'liq bo'ladi. Deformatsiya tezligi ortganda mexanik kuchlanish o'zining kritik qiymatiga ya'ni mustahkamlik chegarasiga tezroq etadi va material kuchsiz deformatsiya ta'sirda ham emirilishi mumkin.

$$V = \sqrt{2gH} \quad (11.3)$$

Didaktik ma'lumotlar va tajriba tavsifi. Barcha tajribalar talabalar uchun mo'ljallangan o'quv tajribalari. Tajriba qurilmasi bilan ikki-uch talabandan iborat kichik guruuhlar bo'lib ishslash foydali.

To'g'ri natijalar olish va barcha funksiyalarini tushunush uchun barcha tajribalar o'qituvchi tomonidan ko'rsatilishi yoki birga o'tkazilishi lozim. WR 400 Mayatnikli zarbli sinov qurilmasi bilan quyidagi standart tajribalarni o'tkazish mumkin:

1-Tajriba: Zarb kuchi bajargan ishining qirqim shakliga bog'liqligi

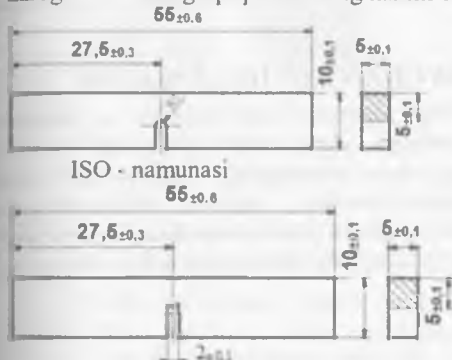
2-Tajriba: Zarb kuchi bajargan ishining material turiga bog'liqligi

3-Tajriba: Namuna ko'ndalang kesimi yuzasi 100% ga oshirilishining ta'siri

4-Tajriba: Zarb kuchi bajargan ishining qirqim burchagiga bog'liqligi.

Zarb kuchi bajargan ishning qirqim shakliga bog'liqligi

Tajriba maqsadi: Bu tajribada zarb kuchi bajargan ishiga va namunaning zarbga chidamliligi qirqim shlining har xil bolishiga qanday bog'liqligi aniqlanadi.



GUNT - namunasasi

ISO-U namuna Ikkala namuna ham 11St 30 materialidan tayyorlangan

Tajribani bajarish

Bolg'ani blokirovkalash

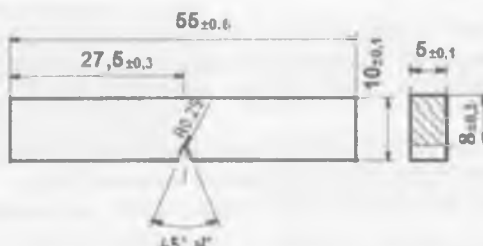
– Bolg'a ilgagini yuqoriga ko'taring va bolg'ani yana zarb yo'nalishi boylab o'q chegaralovchisiga qadar, xavfsilik ilgagigacha harakatlantirib kelging;

– Bo'lgani blokirovka qiling va blokirovka ilgagi bolg'ani o'z joyida mahkam tutishiga e'tibor qiling.

Namunani taglikka qo'ying. Namunaning zarb beriladigan nuqtasi belgilanishi va tutgichga mahkamlanishi zarur. Bolg'ani bo'shating

Tajriba shartlari:

Topshiriqda zarb kuchi bajargan ishining namuna qirqimi shakliga bog'liqligi o'r ganilgani uchun turli qirqim shaklli va bir xil materiallardan tayyorlangan, ko'ndalang kesim yuzasi bir xil bo'lgan namunalarda tajriba o'tkazish zarur. Bu tajriba uchun quyidagi namunalar to'plami tanlangan: GUNT- R5 namuna



11.11-rasm. ISO-V namuna, qirqim burchagi 45°

45° dan 90° gacha 100% ga orttirilishining ta'siri aniqlanadi. **Tajriba shartlari.** Tajriba topshirig'ida zorb kuchi bajargan ishiga qirqim burchagiga bog'liqligini aniqlash uchun bir xil materialdan tayyorlangan namunalar tanlab olinishi zarur.

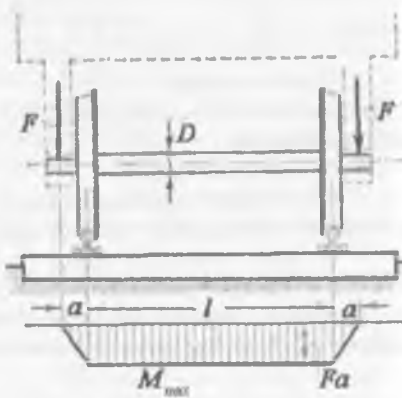
XII – BOB. O'ZGARUVCHAN KUCHLANISHLAR

Materiallarni, sistematik ravishda qiymatini yoki qiymati va ishorasini o'zgartirib turadigan yuklarga qarshiligi, ularni statik yoki zorb ta'siriga qarshiligidan farq qiladi. Shuning uchun materialning o'zgaruvchan yuklar ta'siridagi mustahkamligini o'rghanish masalasi alohida ahamiyatga ega.

Qiymati jihatidan o'zgaruvchan va juda ko'p takrorlanadigan yuklar ta'sirida mashinalarning qismlari, tasodifan va sezilarli darajada qoldiq deformatsiya hosil qilmay emirilishi qiziqtirib qolgan edi.



Ichki yonuv dvigateli – krivoship-porshen gurumi



Poezd g'ildiragining o'qi uchun eguvchi moment epyurasi

O'zgaruvchan yuklar ta'sirida materiallarni strukturasi o'zgaradi, shuning uchun materialda «toliqishi» -- «charchash» hosil bo'lib, emiriladi-plastiklik mo'rtlik bilan almashadi degan fikr paydo bo'lgan edi. XX asmi boshlarida

Zarb kuchi bajargan ishning qirqim burchagiga bog'liqligi
Mazkur tajribada zorb kuchi bajargan ishi va zorbga chidamliligiga qirqim burchagini

metallarning strukturasi va mexanik xossalari o'zgaruvchan kuchlanishlar ta'siridan o'zgarmas ekanligi isbotlanadi.

Masalan: parovoy mashinani shtoki yoki poezd vagonining o'qi uzoq vaqlar o'zgaruvchan kuchlanishlar ta'sirida ishlasa ham, o'zining strukturasi va plastiklik xossalari o'zgartirmaydi. Ko'plab o'tkazilgan tajribalar shuni ko'rsatdiki, o'zgaruvchan yuklar ta'siridagi metalni sirtida mikrodarz (yorilish) paydo bo'ladi. Mikrodarz o'sib, boshqamikrodarzlar bilan qo'shiladi va detalni ichkari tomon rivojlantiradi. O'zgaruvchan yuklar ta'sirida darz ketgan yuzalar o'zaro yaqinlashadi va bir-biriga bosim ta'sirini o'tkazadi.



Tsiklik yuklanishda bo'lgan mexanik uzatmaning tishida va valdag'i darz yorilish. Natijada darz yuzalari sillqlashadi. Yangi rivojlangan darz yuzasi esa qo'pol va donador bo'ladi. Bu holat mo'rt emirishga yaqindir.

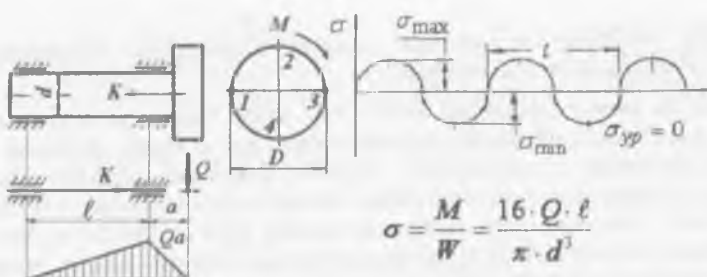
O'zgaruvchan yuklar ta'siridagi emirilishni bunday mexanizmi, darz rivojlanishi bilan detalning kesimi zaifla-shishi va detalni mustahkamligi kamayib borayotganligini to'g'ri tushuntirida. Darzning asosidagi material hajmi kuchlanganlik holati-mahalliy tavsifga ega, chunki darz va kuchlanganlik holati materialning hamma qismida ham hosil bo'lmaydi.

Demak, texnikani, fanni rivojlanishining yangi etapida-materiallami o'zgaruvchan yuklar ta'sirida emirilishiga asosiy sabab, uning «toliqishi»—«charchashi» emas ekan, balki detalning sirtida hosil bo'lgan darz yuzasi ekan. Shuning uchun, toliqish terminida-materiallarni asta-sekin rivojlanadigan mikro-darzlar ta'siridan emirilishi tushuniladi.

12.1. Kuchlanish tsikllarining turlari

Bir uchiga shkv o'matilgan valni sirtidagi kuchlanishni topaylik. Agar, val shkivning og'irligi Q ta'siridan egiladi deb qabul qilsak, valning ko'ndalang kesim yuzasida egilishdagi normal kuchlanishlar hosil bo'ladi. Kesim yuzasidan ajratilgan 1 va 3 nuqtalar (12.1 - rasm) neytral o'qustida joylashadi. Shuning uchun bu nuqtalarda egilishdagi normal kuchlanish nolga teng. 2 va 4 nuqtalar val materialning cho'ziladigan va siqiladigan tolalarida joylashgan. Bu nuqtalardagi normal kuchlanishlar o'zaro teng va qarama-qarshi ishorali.

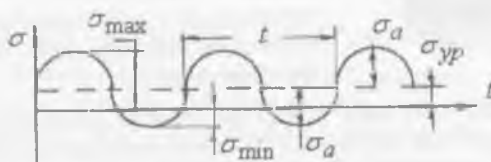
Agar, valning aylanishini hisobga olsak, vaqt oralig'ida, ya'ni ma'lum davrda (T) bu nuqtalarning o'mi almashib turadi. Demak, K nuqtaning holati 1,2,3 va 4 nuqtalar holati bilan mos tushishi mumkin. Natijada, K nuqtaning kuchlanishi vaqt oralig'ida qiymatini va ishorasini o'zgartiradi.



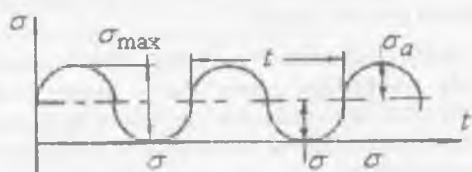
12.1-rasm. Valning kesimida hosil bo'lgan eguvchi moment va tsiklik o'zgarib turuvchi normal kuchlanish

Bir davr ichida kuchlanishning o'zgarishiga kuchlanish tsikli deyildi.

a)



b)



12.2 – rasm. Tsikl turlari:
a) nosimmetrik; b) pulsatsiyali

Konstruktsiya qismalarini ishlash jarayonida kuchlanishlar tsikllari juda ko'p davom etishi mumkin va turlicha bo'ladi (12.2 – rasm). Masalan: 1) Nosimmetrik o'zgaruvchan kuchlanishlar (12.2 – rasm, a,b) maksimal va minimal qiymatlari teng va bir xil ishorali va noldan

boshlanadigan tsiklli bo'ladi. Agar kuchlanishlarni ($\sigma_{\max} = \sigma_{\min}$) maksimal va minimal qiymatlari teng va bir xil ishorali bolsa, o'zgarmas kuchlanishlar deyildi. Simmetrik tsiklli o'zgaruvchan kuchlanishlarni maksimal va minimal qiymatlari bir-biriga teng va har xil ishoralidir. Kuchlanishlarning ishorasini hisobga olganda, minimal kuchlanishni maksimal kuchlanishga nisbatli tsikl tavsiyi

deyildi.

ya'ni:

$$\eta = -\frac{\sigma_{\min}}{\sigma_{\max}}$$

Tciklning o'rtacha kuchlanishi: $\sigma_{\text{od}} = \frac{\sigma_{\max} + \sigma_{\min}}{2}$

Tcikl kuchlanishining amplitudasi: $\sigma_a = \frac{\sigma_{\max} - \sigma_{\min}}{2}$

12.2. Simmetrik siklda chidamlilik chegarasini aniqlash

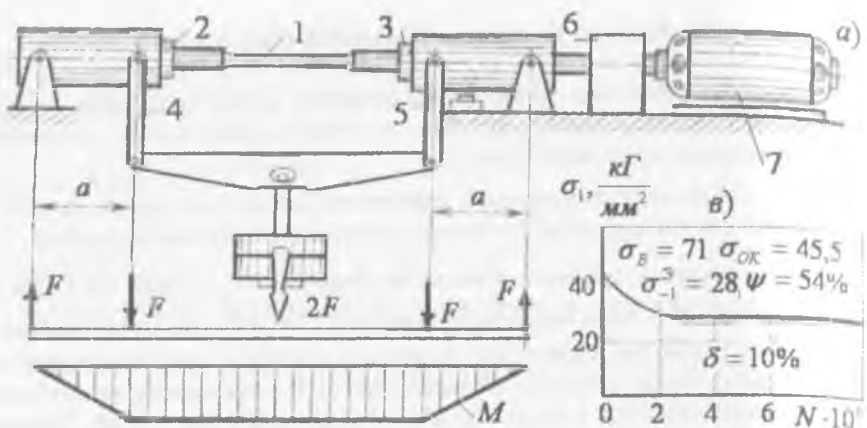
Materialda darz paydo bo'lib emirilishi uchun faqat uning toliqishi kifoya qilmasdan, balki eng katta kuchlanish material ning chidamlilik chegarasidan oshib ketishi kerak.

Chidamlilik chegarasi deb, tsikllar soni juda ko'p bo'lganda, detalni toliqib emirilishiga sabab bo'lmaydigan eng katta kuchlanishga aytildi.

Simmetrik tsikllarda chidamlilik chegarasi σ_{-1} , oddiy cho'zilish va siqilishda σ_{+1} bilan belgilanadi. Simmetrik tsikllarda chidamlilik chegarasi boshqa tsikllardagi chidamlilik chegarasidan kichik va unitajribada aniqlash mumkin. Buning uchun bir xil materialdan 6-10 ta namuna tayyorlab olinadi. Namuna doiraviy kesimli bo'lib, sharkli-podshipnik orqali shunday yuklanadiki, uni o'rta qismi sof egilishga ishlasin (bu holatda $\tau = 0$). Namuna (2000...3000) ayl./min. tezlik bilan aylanadi (12.3 - rasm). Namunada mahalliy kuchlanishlar to'plami hosil bo'lmasligi uchun, uni shakli silliq etib tayyorlanadi.

Birinchi namuna mashinaga o'rnatiladi va tashqi kuch bilan shunday yuklanadiki, uning ko'ndalang kesimidagi eng katta normal kuchlanish, materialning mustahkamlik chegarasidagi kuchlanishni 0,5...0,6 qismini tashkil qilsin. Mashina ishlashi bilan val aylana boshlaydi va $+\sigma$ dan $-\sigma$ -gacha o'zgaruvchi kuchlanishlar ta'sirida bo'ladi. Tajriba namuna emirilguncha davom ettiriladi. Namuna emirilishi bilan mashina to'xtatiladi. Moslamani hisoblash asbobi, namunani emirilishiga qadar aylangan tsikl N_1 sonini ko'rsatadi. Ikkinci namuna σ kuchlanishdan kichik σ'' kuchlanishi bilan yuklanadi va emirilish tsikli N_2 yozib olinadi. Uchinchi namunaga $\sigma''' < \sigma''$ kuchlanishi beriladi va h.k. Har bir tajribada tsikl soni yozib olinadi.

Kuchlanish kamayib borishi bilan tsikl soni ortib boradi, $\sigma' > \sigma'' > \sigma''' > \sigma^{IV} > \dots$ kuchlanishlar uchun $N_1 < N_2 < N_3 < \dots$ tsikllar soni to'g'ri keladi. Kuchlanishlarni kamaytiraverib, shunday tsikl sonini topamiz-ki, bunda namuna emirilmaydi. Agar po'lat materialidan tayyorlangan namuna $N = 10 \cdot 10^6$ tsiklda emirilmasa, $N = 100 \cdot 10^6 - 200 \cdot 10^6$ tsiklda ham emirilmaydi. Tajriba natijalarini, masalan xromnikelli po'lat materiali uchun, grafikda ifodalash mumkin (12.3 – rasm). Buning uchun,

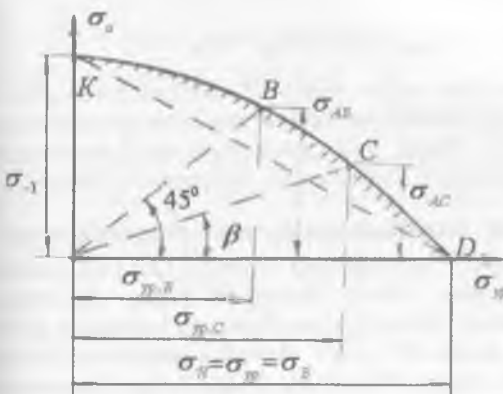


12.3 – rasm. Valni o'zgaruvchan kuchlanishga sinash qurilmasi:

a) qurilma, b) diagramma 1- namuna, 2 – chap support, 3 – o'ng support, 4 va 5 – richag, – indikator, 7 – elektrovdvigatel

ordinataga har bir namuna hosil qilingan kuchlanishlari, abstsissada esa tsikl sonlari joylashtiriladi. Egri chiziqa o'tkazilgan gorizontal urinmani ordinatasi materialning chidamlilik chegarasini aniqlaydi. Po'lat materialini egilishdagi chidamlilik chegarasi oddiy cho'zilish va siqilishdagi mustahkamlik chegarasi bilan bog'liq: $\sigma_{-1}^3 = 0,4\sigma_B$. O'zgaruvchan cho'zvchi yoki siquvchi kuch ta'siridagi po'latni chidamlilik chegarasi σ_{-1}^0 egilishdagi chidamlilik chegarasidan kichik, ya'ni: $\sigma_{-1}^0 = 0,7$; va $\sigma_{-1}^0 = 0,28\sigma_B$, chunki cho'zilish va siqilishda kesimining hamma nuqtasi bir xil kuchlanish ta'sirida bo'ladi. Egilishda eng katta kuchlanish, kesimning chetki tolalarida hosil bo'ladi, qolgan materialda kuchlanishning qiymati kichiklashadi. Buralishda chidamlilik chegarasi $\tau_{-1}^0 = 0,55\sigma_{-1}^3 = 0,22\sigma_B$ va rangli metallar uchun. $\sigma_{-1}^3 = (0,24...0,50)\sigma_B$

12.3. Nosimmetrik tsiklda chidamlilik chegarasini aniqlash



12.4 – rasm. Nosimmetrik tsiklda chidamlilik chegarani aniqlash diagrammasi

Nosimmetrik tsiklda materialning chidamlilik chegarasini aniqlash bir oz murakkab. Chunki namunani egilishi bilan bir qatorda uni cho'zuvchi kuch bilan ham yuklash kerak. Bu holat sinov mashinalarini murakkablashtirishga, qo'shimcha moslamalar tayyorlashga olib keladi. Shuning uchun, nosimmetrik tsikllarda materialni chidamlilik chegarasini aniqlash uchun, tajribalar asosida qurilgan diagrammadan

foydalanamiz (12.4 - rasm). Diagrammani abctsissasida o'rtacha kuchlanish σ_{yp} va ordinatasida kuchlanishlar amplitudasi σ_0 joylashtiriladi. Har xil tsikllardagi kuchlanishlar yordamida $KBCD$ egi chiziq o'tkazilgan. Birorta tsikl tavfsisini qiymati uchun chidamlilik chegarasini topish uchun, koordinatani O nuqtasidan abctsissaga β burchak ostida OC chiziqni o'tkazamiz:

$$\operatorname{tg} \beta = \frac{\sigma_a}{\sigma_{\text{yp}}} = \frac{1-\eta}{1+\eta}$$

CC_1 va OC_1 masofalarni va tegishli σ_{rc} va σ_{\max} kuchlanishlarni yig'indisi, chidamlilik chegarasining qiymatini beradi, ya'ni

$$\sigma_{rc} = \sigma_{\max} = \sigma_{ac} + \sigma_{\text{yp}}.$$

Abctsissasi $\sigma_{\text{yp}} = 0$ bo'lgan K nuqtaning ordinatasi $OK = \sigma_{+1}$ simmetrik tsiklda chidamlilik chegarasini ordinatasi $\sigma = 0$ bo'lgan D nuqtani abctsissasi $OD = \sigma_{\text{yp}} = \sigma_{+1} = \sigma_B$ o'zgarmas kuchlanishdagi chidamlilik chegarasini aniqlaydi. $\beta = 45^\circ$ burchak ostida joylashgan V nuqta noldan boshlanadigan tsiklning chidamlilik chegarasini aniqlaydigan oquvchanlik chegarasi bo'lmanган materiallar uchun chidamlilik chegarasi, statik yuk ta'siridagi mustahkamlik chegarasiga o'xshagan xavfli hisoblanadi. Agar material plastik bo'lsa, statik yuk ta'sirida oquvchanlik chegarasi va o'zgaruvchan kuchlanishlarda chidamlilik chegarasi xavfli hisoblanadi. Bunday materiallarda toliqish emirilishi bilan birga

plastik deformatsiyalar paydo bo'lishi ham xavflidir. Bunda tsiklning eng katta kuchlanishi

$$\sigma_{\max} = \sigma_{\alpha} + \sigma_{yp} = \sigma_{ok}$$

Burchak bilan o'tkazilgan to'g'ri chiziq *KB* chiziqni kesib o'tsa, detal toliqish emirilishiga uchraydi; *BD* chiziqni kesib o'tsa, plastik deformatsiya paydo bo'lishi bilan ishdan chiqadi. Chiziq statik yuklanishda xavfli kuchlanishni va *KBD* chiziq o'zgaruvchan kuchlar ta'siridagi xavfli kuchlanishni bildiradi.

12.4. O'zgaruvchan kuchlanishlarda mustahkamlik sharti

Turli tsikllardagi xavfli kuchlanishning qiymati 12.3-12.4 rasmillardagi diagrammalar asosida topiladi. Mo'rt materiallar uchun 12.14-rasmdagi diagrammani *KD* to'g'ri chiziq'idan tashqarida joylashgan kuchlanish xavfli deb olinadi. Plastik materiallar uchun *KN* to'g'ri chiziqdan tashqaridagi kuchlanish xavfli deb olinadi. Ruxsat etilgan kuchlanishni tanlash uchun diagrammalarini abtsissa va ordinatalari mustahkamlikka bog'liq kamaytirish kerak. O'zgarmas yukda kuchlanishni ruxsat etilgan qiymati quyidagicha topiladi:

$$\text{Plastik material uchun: } [\sigma_{+1}] = \frac{\sigma_{ok}}{K_{ol}} \quad (12.3)$$

$$\text{Mo'rt material uchun: } [\sigma_{+1}] = \frac{\sigma_{\beta}}{K_{02} \cdot \alpha_{kg}}$$

bu erda: K_{01} - oquvchanlik chegaraga nisbatan mustahkamlikka ehtiyyotlik koefitsienti.

K_{02} - mustahkamlik chegaraga nisbatan mustahkamlikka ehtiyyotlik koefitsienti.

α_{kg} - kuchlanishlar kontsentratsiyasining haqiqiy koefitsienti.

Simmetrik tsiklda chidamlilik chegarasida (σ_{-1}) xavfli kuchlanish bo'ladi:

$$\text{Mo'rt material uchun: } [\sigma_{-1}] = \frac{\sigma_{-1}}{K_0 \cdot \alpha_{kg} \cdot \alpha_h} \quad (12.4)$$

Plastik material:

$$[\sigma_{-1}] = \frac{\sigma_{-1}}{K_0 \cdot \alpha_{kg} \cdot \alpha_M \cdot K_T \cdot K_3 \cdot K_g} \quad (12.5)$$

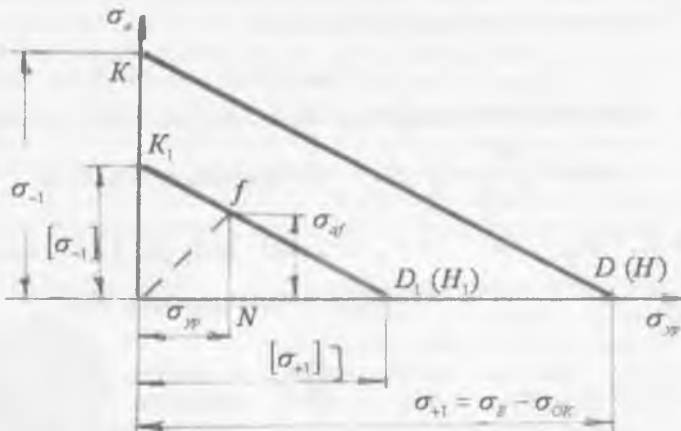
bu erda: K_0 - asosiy mustahkamlikka ehtiyyotlik koefitsienti

K_T - detalni tayyorlashning texnologiyasini kuchlanishga ta'siri;

K_3 - detalni ekspluatatsiya qilish sharoitining kuchlanishiga ta'siri;

K_g - o'zgaruvchan kuchlanishning zarb ta'siri bilan birgalikdagi ta'sirini hisobga oluvchi dinamik koeffitsient.

12.17 - rasmda $\sigma_a = \sigma_{yp}$ koordinatalarida xavfli kuchlanishlar chiziqni KD (KN) va ruxsat etilgan kuchlanishlar chizig'i $K_1 D_1$ ko'rsatilgan. $K_1 D_1$ chiziq AK va $OD_1 = [\sigma_{+1}]$ kuchlanishlar asosida chizilgan.



12.5 – rasm. Ruxsat etilgan kuchlanishni aniqlash,

O'zgaruvchan kuchlanishlarning turli tsikllarda ruxsat etilgan kuchlani-shini aniqlash uchun koordinata boshi O nuqtadan abstsissaga β burchak ostida to'g'ri chiziq o'tkazamiz $\left(\operatorname{tg} \beta = \frac{1-r}{1+r} \right)$ va $K_1 D_1$ chiziq bilan kesishguncha davom ettiramiz. f nuqtaning abstsissasi σ_{ypf} va ordinatasining yig'indisi ruxsat etilgan kuchlanishni beradi: $\sigma_{\max f} = [\sigma_n] = \sigma_{ypf} + \sigma_{af}$ (12.5)

N/D_1 uchburchagini $OK_1 D_1$ uchburchagiga o'xshashligidan:

$$\frac{OD_1}{ND_1} = \frac{OK_1}{Nf} \quad \text{yoki} \quad \frac{[\sigma_{+1}]}{[\sigma_{+1}] - \sigma_{ypf}} = \frac{[\sigma_{-1}]}{\sigma_{af}} \quad \text{va}$$

$$\sigma_{af} [\sigma_{+1}] + \sigma_{ypf} [\sigma_{-1}] = [\sigma_{+1}] [\sigma_{-1}]$$

$$\text{lekin } \sigma_{af} = \frac{1-r}{2} \sigma_{\max,f} = \frac{1-r}{2} [\sigma_2] \text{ va}$$

$$\sigma_{ypf} = \frac{1+r}{2} \sigma_{\max,f} = \frac{1+r}{2} [\sigma_2]$$

unda, $[\sigma_2] = \frac{2[\sigma_{+1}][\sigma_{-1}]}{(1+r)[\sigma_{-1}] + (1-r)[\sigma_{+1}]}$ (12.6)

hosil bo'ladi.

Mustahkamlik sharti quyidagicha yoziladi.

$$\sigma_{\max} \leq [\sigma_r] \quad (12.7)$$

Egilish bilan buralishning birgalikdagi statik yuk ta'sirida mustahkamlik sharti: $\frac{\sigma^2}{[\sigma]^2} + \frac{\tau^2}{[\tau]^2} \leq 1$ va o'zgaruvchan yuk ta'sirida:

$$\sigma = \sigma_a + \sigma_{yp} \quad \text{ea} \quad \tau = \tau_{yp} + \tau_a \text{ yoki} \quad [\sigma] = [\sigma_r^3] \quad \text{ea} \quad [\tau_r^\delta]$$

Materiallarni toliqishga sinash [33]



I26-nash. WR - 140

Ushbu qurilma yordamida toliqishga mustahkamlik sinovlari ni o'tkazishning asosiy qoidalarini ko'rsatish, shu jumladan, kuchlanish-yuklanish davriy miqdori diagrammasini tuzish mumkin. Eksperimental qurilmada namunaga o'zgaruvchanfazada sof eguvchi kuchlanish ta'sir ettiriladi. Namunaning turli shakllari orqali namunadagi ishlov berilgan sirt sifatining toliqishga ta'sirini ko'rsatish mumkin. Ishorasi o'zgaruvchan kuchlanish amplitudasi cheksiz miqdorlarda o'zgartirilishi mumkin. Agar namuna emirilsa mashina avtomatik ravishda o'chiriladi. Yuklanish davrlarining miqdori raqamli sanagich yordamida ko'rsatiladi.

Toliqishga sinash uchun mashina asosan namunalar uchun shpindellardan (2), elektrovdvigateldan (9), yuklantiruvchi qurilmadan (3-7), elektrik boshqarish va sanagichdan, taqsimlovchi shkafdan (10- 3) va himoya qobig'idan (8) tashkil topgan. Sinov sterjeni bir tomonidan patron bilan shpindelda mahkamlanadi va ikkinchi tomoni bilan suriluvchi podshipnikka (3) yo'naltiriladi. Namunani joylashtirish richagli tarozi (5) va suriluvchi podshipniklar yordamida amalga oshiriladi. Dastlab balans prujinalarining kuchlanishi va yuklanishning rostlanishi qadamli vint (6) maxovigi yordamida amalga oshiriladi. O'rnatilgan yuklanish prujinali tarozining shkalasidan yozib olinishi mumkin. Raqamli sanagich (11) yuklanishning davrlar sonini ro'yxat qiladi. Raqamli sanagich bundan tashqari aylanishlar tezligini o'lchash uchun ham foydalanilishi mumkin. Bu holda aylanishlar tezligi aylanish /minutlarda ifodalanadi. Sanagich uchun impulslar kontaktsiz induktiv datchik (1) bilan hosil qilinib, bu datchik dvigatel mustasiga o'rnatilgan. Agarda namuna uzilsa, dvigatel va sanagich avtomatik ravishda yaqinlashish datchigi (7) yordamida ishlashdan to'xtatiladi. Dvigatelni himoyalash uzungichi (13), avariya uzungichi (10) va sanagich (11) taqsimlash shkafining ichida joylashgan. Shpindel korpusli podshipnikka mahkamlangan. Shpindel ishlovchi dvigatel (9) bilan boshqariladi.

Asosiy tamoyillar

yemirilish
yuzasi



12.7-rasm. Namuna tashqi sirtining ko'rinishi

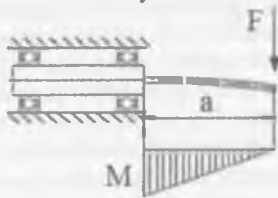
Namuna tarkibiy qismlari va yig'inlari uchun qo'yildigan tebranish (miltillovchi) kuchlanishi, bir marta qo'yildigan statik kuchga nisbatan xavfliroq hisoblanadi. Birinchi galda mumkinlik chegarasida bo'lgan statik kuch uning takroriy ravishda qo'yishlari natijasida mashina qismlari materialining mo'rtligi tufayli emirilishi mumkin.

Kuchning qo'yish davrlari sonining ortishi bilan ruxsat etilgan kuchlanish pasayadi. Hattoki materialning elastiklik zonasida kritik nuqtasidan past darajadagi kuchlanish ham detal ichidagi lokal qoldiq kuchlanishlar hisobidan arzimas deformatsiyalarga olib keladi. Bu effekt doimiy takrorlanishi natijasida materialni asta-sekin emira boshlaydi va oxir – oqibatda materialning uzilishiga olib keladi.

Yuklanishlar davrining absolyut qiymati material emirilishi uchun chastotaga nisbatan ham hal qiluvchiroq ahamiyatga ega bo'lgan faktor hisoblanadi.

WR140 aylantiruvchimashinasi yordamida toliqishga sinash uchun tajribalar o'tkazish orqali materialning toliqishi va mustahkamligini fazani o'zgartiruvchi eguvchi kuchlanish bilan aniqlash mumkin. O'rganilayotgan namunaning egrilik radiusi va sirtining notekislik darajasi orqali namuna ustidagi chiziqlarning namunaning toliqishi vamustahkamligini tadqiq etish ham mumkin.

Namunani yuklantirish



Namunanining yuklangan holati ster-jenning F kuch ta'siri ostida egilgan holatiga mos keladi. Bu namunada eguvchi moment M_b ni hosil qiladi. Eguvchi moment o'zgarmasdan qolib namuna aylangani uchun, u tsiklni o'zgartuvchi sinusoidal eguvchi kuchlanish ta'siri ostida bo'ladi

Eng katta eguvchi kuchlanish namuna elkasida hosil bo'ladi. Bu sof, o'rtacha kuchlanishsiz, tsiklni o'zgartuvchi kuchlanish hisoblanadi. Shu sababli toliqishni tekshirish uchun aylantiruvchi mashina yordamida kuchlanish tsiklni to'la o'zgartirib faqat toliqishda mustahkamlikni aniqlash imkoniyati mavjud. Bu esa toliqish va mustahkamlik holatini ifodalaydi. Eguvchi moment yuklovchi kuch va kuch elkasi yordamida quyidagicha hisoblanadi:

$$M_b = F \cdot a \quad (12.8)$$

Namuna kesimining qarshilik momentidan foydalanib

$$W_b = \frac{\pi \cdot d^3}{32} \quad (12.9)$$

fazali o'zgartuvchan davriy kuchlanish amplitudasini hisoblash mumkin

$$\sigma_e = \frac{M_b}{W_b} = \frac{32a}{\pi \cdot d^3} \cdot F \quad (12.10)$$

Kuchlanish tsiklini to'la o'zgartirgandagi toliqishga mustahkamligi. Kuchlanish tsiklni to'la o'zgartirgandagi mo'rtligi mustahkamligi σ_e bu materialga qo'yilgan yuklanishning hattoki $N=10 \cdot 10^6$ davrdan keyin ham emirilmasdan qoladigan kuch hisoblanadi (po'lat). Aytish mumkin-ki, material chidamlilikli tufayli emirilmaydi va chidamlilik chegarasi cheksiz hisoblanadi

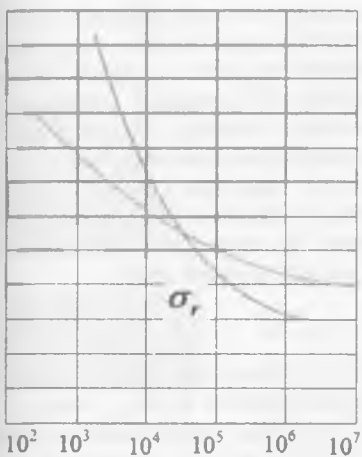
Chidamlilik chegarasi. Materialning yuklanish davrining $10 \cdot 10^6$ qiymatida emirilishga olib keladigan kuchlanishga chidamlilik chegarasi deviladi. Unga mos keluvchi davrlar soni N ni qavs ichida ko'rsatish lozim, masalan

$$\sigma_{(1310)} = 220 \frac{N}{mm^2} \quad (12.11)$$

Chidamlilik chegarasi. Chidamlilik chegara bu ma'lum yuklanishda material emirilmasdan qoladigan davrlarining soniga taalluqli kattalikdir.

Yuklanish kattaligi tsiklni o'zgartiruvchi kuchlanishning o'rtacha qiymati va amplitudasiga mos holda qavs ichida ko'rsatiladi, masalan

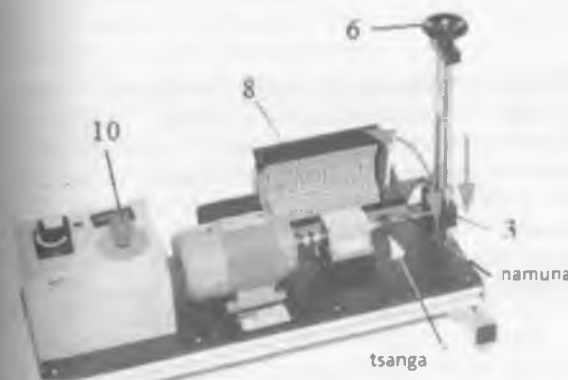
$$N_{(50 \pm 100)} = 2.6 \cdot 10^6 \frac{N}{mm^2}$$



12.8-rasm. Ikki har xil material uchun kuchlanish diagrammasi

Toliqishga sinash uchun aylantiruvchi mashinada o'rtacha kuchlanish nolga teng bo'lgani uchun bu shart avtomatik ravishda bajariladi

Eksperimental qurilma. Qurilma faqat o'quv maqsadlarida foydalanish uchun mo'ljallangan. Nazariy tushunchalarining davomi uchun maxsus adabiyotlardan foydalaning. Quyidagi



vazifalar tajribani boshlangunicha bajarilishi lozim:

Himoya qopqog'ini yoping(8). Yuklanish qurilmasini (6) g'ildirak yordamida bo'shating; (siljuvchi podshipnik (3) ni pastki asosga tomon siljiting. Barcha namunalarni bo'shatib oling

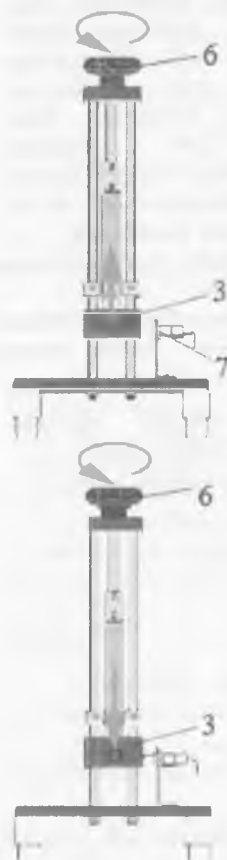


Aylanish tezligini kuzatish
holatiga o'tkazish
knopkasi

(8) himoya qopqog'ini yoping. Qurilma faqat himoya qopqog'i to'g'ri yopilgan holdagini ishga tushirilishi mumkin 10) avariya elektr uzgichini bo'shating.

(11) sanagichni RST tugmasi yordamida nolni ko'rsatgan holga keltiring Shpindel to'g'ri va ohista ishlayotganliginitekshiribko'ring.

Sanagich to'g'ri ishlayotganligini tekshirib ko'ring (taqriban har bir minutda 2800 ta yuklanish davrini sanashi lozim). Bu amalni SEL knopkasini bosish yo'lli bilan ekranda ko'rish mumkin.



Ustanovkani avtomatik ravishda to'xtatish to'g'ri ishlayotganligini tekshirib ko'ring. Buning uchun (6) g'ldirak yordamida (3) suriluvchi podshipnikni ko'taroring. Bu holda dvigatel yaqinlashish datchigi yordamida to'xtatilishi lozim. Qurilmaning barcha komponentalari xavfsiz ishlayotganligi o'rnatilgandan keyingina tajribalarni ,boshlash mumkin.

Tajribani o'tkazish. Tajribani boshlashdan oldin quyidagi tekshiruvlami o'tkazing. Toliqishni tekshiruvchi asbobni tajriba jarayoniga tayyorlash uchun uni elektr tarmogiga ulang. Himoya qopqog'ini oching. Qo'l g'ildiraki yordamida qurilmadagi kuchlarni olib tashlang. O'rnatilgan bo'lishi mumkin bo'lgan har qanday namunalar olib tashlash. Tcanga patronidagi gaykani sekin aylantiring. Himoya qopqog'ini yoping.



Sanagichni nolga keltiring

- Himoya qopqog'ini o'mating va knopka bilan mahkamlang
- Dvigatelni ulang
- Tezda g'ildirakni aylantirib berilgan yuklanishni qo'ying. Yuklanish qiymatini prujinali tarozi shkalasidan o'mating.

MUHIM!

Mashina bo'sh holatda ishlayotganda hech qachon yuklanishni qo'y mang, chunki plastik deformatsiyalanish va noto'g'ri ishlash ehtimoli bor. Yuklanishni imkonli boricha tezroq oxirgacha olib boring, chunki namuna allaqachon o'zgaruvchan yuklanish ostida turibdi, ammo yuklanish davri yuklanish hali

kichik bo'lGANI uchun sanalib bo'lmaydi. Hisoblashni boshlash uchun RST knopkasidan foydalanim sanagichni qaytadan sozlang.

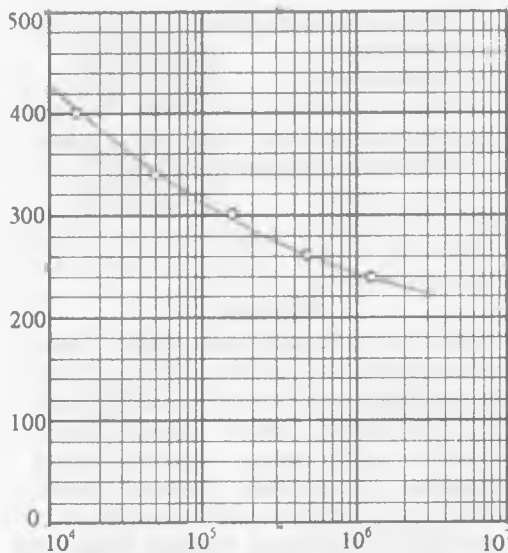
Tajribalarni tugatish. Namuna uzilgan paytda dvigatel avtomatik ravishda to'xtaydi. Namuna yuklanish davrlarining ko'rsatishini yozib oling va bu qiymatni registratsiya qiling.

- Yoki yuklanishning berilgan davrlaridan keyin tajribani qo'l bilan dvigatelni o'chirish yordamida to'xtating.

Namunani qurilmadan oling. Sinov sterjenini o'rnatgandan keyin tajribalarni shu xilda davom ettiring

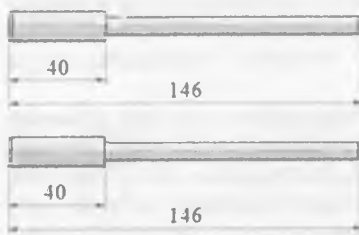
Egrilik radiuslari bir xil bo'lGAN namunalarda sirti tekis bo'lGAN namunada (2 - sinov sterjeni) emirlishga chidamlilik sirti notekis bo'lGAN (3 - sinov sterjeni) namunadagi nisbatan sezilarli darajada yuqori. Shuning uchun tsikl o'zgaruvchi kuchlanishga sinaladigan komponentlarning chiziqlar chuqurligini polirovka yo'lli bilan maksimal mumkin bo'lGAN darajada tekislanshi lozim. Bu tajriba 3- sinov sterjeni ustida o'tkazilgan. Yuklanish $F = 200 \text{ N}$ va unga mos $\sigma_s = 400 \text{ N/mm}^2$ maksimal qiymatlardan asta-sekin kamaytirilib borilgan.

Shuni ta'kidlash lozimki tsikl o'zgaruvchi eguvchi yuklanishda kutilayotgan toliqish mustahkamligi sohasida oshirish uncha katta bo'lmasligi lozim, aks holda tajriba juda uzoq davom etadi yoki hech qanday uzilish sodir bo'lmaydi. Agar sanagich ekran ni o'zining to'liq informatsion imkoniyatini ishlata olsa (maksimal $9,99*10^7$ yuklanish davri) tajriba 593 soat yoki 24,5 sutka davom etadi.



12.9-rasm.C35E dan yasalgan 3 sinov sterjeni uchun Kuchlanish – Miqdor diagrammasi

Kuchlanishning to'liq inversiyasida mo'rtligi mustahkamligiga 240 N/mm^2 da hali erishilmagan. U taqriban 200 N/mm^2 ga teng. Bunday toliqish mustahkamligi past hisoblanadi, chunki Ck 35 sinov sterjenlari materiali uchun mustahkamlik chegarasi $R_m=560\text{ N/mm}^2$ ga teng.



Yuklanish davrlarini sanagichi, 8 raqamli, elektron, aylanish tezligini ko'rsatish holatiga o'tkazilishi mumkin

Sinov sterjenlari WR140.01

Sinov sterjenlari quyma po'lat Ck 35 dan yasalgan, mexanik mustahkamlik xossalari quyidagicha:

$$R_m=560\text{ N/mm}^2, R_{p2}=420\text{ N/mm}^2$$

Texnik ma'lumotlar

Uzunlik - Kenglik - Balandligi

Massa

$920\text{ mm} \times 420\text{ mm} \times 560\text{ mm}$

Ta'minot manbai 230V,50 gerts

Nominal iste'mol quvvati 0,75kW

Dvigatel

Tezlik (50Gts chastotada) taqriban 2800min^{-1}

Tezlik (60Gts chastotada) taqriran 3250min^{-1}

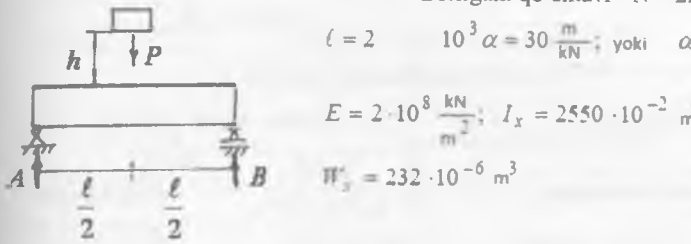
Quvvati 370Vt 370W

Yuklash qurilmasi Kuch 0...300

Namunada faza almashuvchi eguvchi kuch $0 \dots 600 \text{ N/mm}^2$

misol -1. Ikki tayanchli qo'shtavrli balkaga $h = 20 \text{ sm}$ balandlikdan $R = 1500 \text{ N}$ yuk kelib tushadi (12.10 - rasm) Balkaning eng katta dinamik normal kuchlanishini topamiz. O'ng tayanch o'rnnini elastik prujina bilan almashtirib birinchi savolga javob beramiz.

Berilgan: qo'shtavr N = 22



12.10 - rasm

Yechish. Balkaning xususiy og'irligini hisobga olmaymiz. R yuk ta'siridan A va B tayanchlardagi reaktsiya kuchlari $A = B = \frac{P}{2} = 750 \text{ N}$ bo'ladi. Eng katta dinamik kuchlanishi quyidagi formula bilan topiladi: $\sigma_g = k_g \cdot \sigma_{cm}$, bu erda

$K_g = 1 + \sqrt{1 + \frac{2h}{\Delta_{cm}}}$ dinamik koefitsient bo'lib, statik ko'chish Δ_{cm} - ga bog'liq $\Delta_{cm} = f_{cm} = \frac{P\ell^3}{48EI_x}$ balkaning R yuk statik ta'sir qilgandagi to'liq ko'chishi. $\sigma_{cm} = \frac{M_{cm}}{W_r} = \frac{P\ell}{4W_r}$ statik yuk R ta'siridagi eng kata

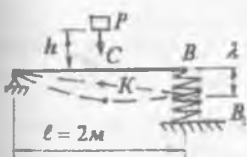
normal kuchlanish. Dinamik kuchlanish

$$\sigma_I = \left[1 + \sqrt{1 + \frac{2h \cdot 48EI_x}{P\ell^3}} \right] \cdot \frac{P\ell}{4W_r}$$

$$\text{yoki } \sigma_I = 0,295 \cdot 10^6 \frac{\text{kN}}{\text{m}}$$

Endi, balkaning o'ng tayanchini prujina bilan almashtramiz. Dinamik kuchlanish

$\sigma_g = \kappa_g \cdot \sigma_{cm}$ formula bilan topiladi. Dinamik koefitsient K_d -ni aniqlashda. Balkaning statik ko'chishi prujinaning o'ng tayanch kuchining deformatsiyasiga bog'liq bo'ladi (12.11-rasm).



12.11 - rasm

$$\Delta_{cm} = \Delta_\delta + \beta \lambda \text{ buerda}$$

$$\Delta_\delta = f_{cm} = \frac{P\ell^3}{48EI_x}$$

$$\lambda = \frac{P}{2} \cdot \alpha = \frac{P}{2} \cdot \frac{30}{10^3} = \frac{1,1 \cdot 30}{2 \cdot 10^3} = 0,0165 \text{ m}$$

Prujinaning B reaktsiya kuchi ta'siridan ko'chishi. β - prujinaning deformatsiyasi bilan balkaning R yuk ta'siridagi to'liq ko'chishi orasidagi bog'lanish.

$$\Delta BB_1 \approx \Delta CK_1 \text{ o'xshashlikdan} \quad CK = \frac{BB_1}{2} = \frac{\lambda}{2} = \beta \lambda$$

$$f_{cm} = \frac{P\ell^3}{48EI_x} = \frac{1,5 \cdot 8}{48 \cdot 2 \cdot 10^3 \cdot 2550 \cdot 10^{-8}} = 4,9 \cdot 10^{-5} \text{ m}$$

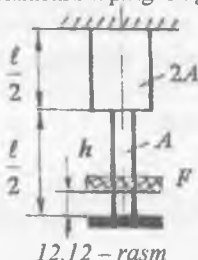
hosil bo'ladi. Demak, $\beta = 0,5$.

$$\text{Natijada } \Delta_{cm} = 4,9 \cdot 10^{-5} + 0,5 \cdot 0,0165 = 8,299 \cdot 10^{-5} \text{ m}.$$

$$\text{Dinamik koefitsient } \kappa_g = 1 + \sqrt{1 + \frac{2 \cdot 0,2}{8,299 \cdot 10^{-5}}} \approx 8 \quad \text{va kuchlanish}$$

$$\sigma_g = \kappa_g \frac{P\ell}{4W_y} = 8 \cdot \frac{1,5 \cdot 2}{4 \cdot 232 \cdot 10^{-6}} = 0,0258 \cdot 10^6 \frac{\text{kN}}{\text{m}^2}$$

misol - 2. Pog'onali brusning K nuqtasi $h = 5 \text{ mm}$ balandlikidan tushayotgan $Q = 400 \text{ kg}$ yuk ta'sirida zARBga uchraydi. Brusning uzunligi $l = 5 \text{ m}$ ko'ndalang kesim yuzasi $A = 2 \text{ sm}$, materiali po'lat. Eng katta normal kuchlanish topilsin. Agar K elementiga zARB ta'sirini yumshatuvchi tsilindrik prujina o'rnatisla, kuchlanishni toping. 1 kg statik yuk ta'sirida prujina $4 \cdot 10^{-3} \text{ mm}$ siqladi.



Yechish: Pog'onali brusning statik kuch ta'siridagi uzayishini va normal kuchlanishini topamiz:

statik uzayish

$$\delta_{cm} = \Delta \ell_{cm} = \frac{F \frac{\ell}{2}}{EA} + \frac{F \frac{\ell}{2}}{E2F} = \frac{3F\ell}{4EA}$$

va kuchlanish

$$\sigma_{cm} = \frac{F}{A} = \frac{400}{2} = 200 \frac{\kappa G}{sm^2}$$

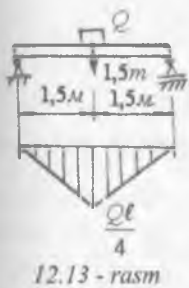
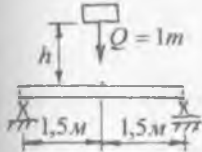
Eng katta dinamik kuchlanishni topamiz

$$\sigma_g = \sigma_{cm} \kappa_g = \sigma_{cm} \left(1 + \sqrt{1 + \frac{2h}{\Delta \ell_{cm}}} \right) = 200 \left(1 + \sqrt{1 + \frac{2 \cdot 0,06 \cdot 16 \cdot 10^6}{3 \cdot 400 \cdot 500}} \right) \text{ va}$$

$$\sigma_g = 1349 \frac{\kappa G}{sm^2}$$

K elementiga tsilindrik prujina o'rnatilganda, δ_{cm} statik deformatsiya pog'onali brusni va prujinani siqlishiga teng bo'ladi, ya'ni $\delta_{cm} = \Delta \ell_{cm} + \lambda_{cm} = \frac{3F\ell}{4EA} + F \cdot 4 \cdot 10^{-4} = \frac{3 \cdot 400 \cdot 500}{4 \cdot 2 \cdot 10^6 \cdot 2} + 400 \cdot 4 \cdot 10^{-4} = 0,1975 \text{ sm}$

Unda dinamik kuchlanish: $\sigma_g = 200 \left(1 + \sqrt{1 + \frac{2 \cdot 0,6}{0,1975}} \right) = 732 \frac{\kappa G}{sm^2}$



12.13 - rasm

misol - 3. N 24 profilli balka ikkita sharnirli tayanchga tayanadi. Yuk balkaning o'rta qismiga $50 sm/sek$ tezlik bilan kelib zarb ta'sir qiladi. Eng katta kuchlanishni toping.

Yechish: Kitobdag'i jadvaldan N-24 qo'shtavrli kesimning ayrim geometrik tavsiflarini yozib olamiz.

$$I_x = 3460 sm^4; W_x = 289 sm^3; A = 34,8 sm^2$$

Ctatik kuchlanishni topamiz:

$$\sigma_{cm} = \frac{M}{W_x} = \frac{Ql}{4W} = \frac{1000 \cdot 300}{4 \cdot 289} = 259,5 \frac{kg}{sm^2}$$

Balkaning eng katta salqiligini topamiz:

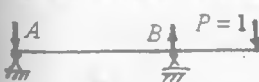
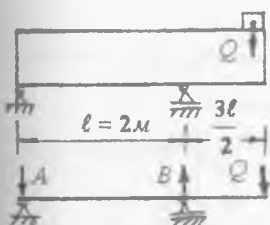
$$f_{cm} = \frac{Ql^3}{48EI} = \frac{1000 \cdot (300)^3}{48 \cdot 2 \cdot 10^6 \cdot 3460} = 0,0813 sm$$

Dinamik kuchlanishni topamiz:

$$\sigma_g = \sigma_{ro} \left(1 + \sqrt{1 + \frac{V^2}{gf_{ro}}} \right) = 259,5 \left(1 + \sqrt{1 + \frac{50^2}{981 \cdot 0,0813}} \right)$$

$$\sigma_g = 259,5 \cdot 6,69 = 1735,4 \frac{\kappa G}{sm^2}$$

Dinamik deformatsiya $f_g = f_{cm} \kappa_g = 0,0813 \cdot 6,69 = 0,544 sm$



12.14 - rasm

misol - 4. Bir minutda n marotaba aylanma harakat qilayotgan, og'irligi Q bo'lgan dvigatel ikkita qo'shtavrli balkaga o'rnatilgan. Dvigatelning aylanma harakat qilayotgan qismlarini markazdan qochma kuchi

$$H = 10 kN; Q = 30 kN$$

1) erkin tebranish chastotasi - ω_0

2) uyg'otuvchi kuch o'zgarishining chastotasi - ω

3) tebranishning o'sish koefitsienti - β

4) dinamik koefitsient Kd

5) eng katta kuchlanish qiymatlari topilsin

Berilgan qo'shtavr N-40

$$n = 200 \frac{ayl}{min}; I_x = 19062 \cdot 10^{-8} m^4,$$

$$E = 2 \cdot 10^8 \frac{kN}{m^2}; W_x = 953 \cdot 10^{-6} m^3$$

Yechish: Berilgan sxemadan asosiy sxemani tanlab olamiz. Buning uchun Q yukni o'miga $P = 1$ birlik kuchini joylashtiramiz. Q yuk ta'siridan hosil bo'lgan eguvchi moment epyurasini quramiz:

a) reaktsiya kuchlarini topamiz:

$$\sum M_B = Q \frac{3\ell}{2} - A\ell = 0; \quad A = \frac{3Q}{2} = 45\kappa N$$

$$\sum M_A = -B\ell + Q \left(\frac{3\ell}{2} + \ell \right) = 0 \quad B = \frac{5}{2}Q = 75\kappa N$$

b) eguvchi moment M_Q - ni topamiz $0 < x_1 < 2m$; $M_Q = -A \cdot x_1$

$$0 < x_2 < \frac{3\ell}{2} = 3m \quad M_Q = -Q \cdot x_2$$

Birlik kuch $R = 1$ ta'siridan hosil bo'lgan eguvchi moment M_R epyurasini quramiz (12.26 - rasm)

a) reaktsiya kuchini topamiz

$$\sum M_B = P \frac{3\ell}{2} - A\ell = 0 \quad \text{yoki} \quad A = \frac{3}{2}P = 1,5\kappa N \quad \text{va}$$

$$\sum M_A = P \frac{5\ell}{2} - B\ell = 0 \quad \text{yoki} \quad B = \frac{5}{2}P = 2,5\kappa N$$

b) eguvchi moment M_p - ni topamiz

$$0 \leq x_1 \leq \ell \quad M_p = -A \cdot x_1$$

$$0 \leq x_1 \leq \frac{3\ell}{2} \quad M_p = -P \cdot x_1$$

Q yuk o'matilgan nuqtaning ko'chishini topamiz

$$\Delta = \frac{\omega \cdot M_p^0}{EI} = \frac{\frac{1}{2} \cdot 90 \left(\ell + \frac{3\ell}{2} \right) \frac{3\ell}{2}}{EI} = \frac{1350\ell^2}{8EI} = \frac{1340 \cdot 4}{8 \cdot 2 \cdot 10^3 \cdot 19062 \cdot 16^3} = 0,0177m$$

ω - tashqi kuch Q dan qurilgan eguvchi moment M_q - ning yuzasi M_p^0 - tashqi kuch Q ta'siridan qurilgan eguvchi moment M_p epyurasi yuzasining og'irlilik markaziga to'g'ri keluvchi birlik kuch momenti M_p epyurasingning ordinatasini. Erkin tebranish chastotasini topamiz:

$$\omega_0 = \sqrt{\frac{g}{\Delta}} = \sqrt{\frac{9,81}{0,0177}} = 23,54 \frac{1}{sek}$$

Uyg'otuvchi kuch o'zgarishining chastotasi

$$\omega = 2\pi \frac{n}{60} = \frac{\pi \cdot n}{30} = \frac{3,14 \cdot 200}{30} = 20,9 \frac{1}{sek}$$

Tebranishning o'sish koeffitsienti

$$\beta = \frac{1}{1 - \left(\frac{\omega}{\omega_0} \right)^2} = \frac{1}{1 - \left(\frac{20,9}{23,54} \right)^2} = 4,717$$

β -qiymati manfiy ishora bilan chiqsqa, keyingi hisoblashlarda $|\beta|$ olinishi kerak.

Dinamik koeffitsientni topamiz:

$$K_g = 1 + \frac{f_H}{f_a} \beta = 1 + \frac{H}{Q} |\beta| = 1 + \frac{10}{30} 4,717 = 2,57$$

Eng katta normal kuchlanishni topamiz:

$$\sigma_g = K_g \sigma_{cr} = K_g \cdot \frac{M}{W_x} = 2,67 \cdot \frac{9}{953 \cdot 10^{-6}} = 0,2427 \cdot 10^6 \frac{\kappa N}{m^2}$$

misol - 5. *CDE* va *KI* siniq sterjenlar bilan *AK* valik *AB* o'q atrofida o'zgarmas burchak tezlik bilan aylanadi. (12.27 - rasm) *CD* va *KI* vertikal hamda *DE* va *HT* gorizontal uchastkalarida hosil bo'lgan inertsiya kuchlari ta'siridagi eguvchi moment epyurasi qurilsin: $[\sigma] = 100 mPa$ shartni bajaradigan valikni bir minutdagi aylanishlar sonini ruxsat etilgan qiymati topilsin.

Yechish: Inertsiya kuchining intensivligi g_i , siniq sterjenning *CD* va *KI* oraliqlarida to'g'ri chiziqli qonuniyat bilan o'zgaradi: *K* va *S* nuqtada $g_i = 0$; *D* va *I* nuqtalarda $q_i = \frac{\gamma A \omega^2}{g} \ell$ ga teng. Sterjenning gorizontal *DE* va *HT* oraliqlarida kuchning intensivligi o'zgarmas va teng tarqalgan $q_i = \frac{\gamma A \omega^2}{g} \ell$

Sistemaning tayanch kuchlarini topamiz:

$$\sum M_A = 0 \quad \text{yoki} \quad q_i 2\ell \frac{2\ell}{2} + q_i 2\ell \left(\frac{2\ell}{\ell} + 3\ell \right) + \frac{1}{2} q_i \ell \cdot 5\ell - B \cdot 3\ell = 0$$

$$\sum M_B = 0; \quad A \cdot 3\ell - q_i \cdot 2 \cdot \ell \left(\frac{2\ell}{2} + \ell \right) - \frac{1}{2} q_i \ell \cdot 2\ell + q_i 2\ell \frac{2\ell}{2} + \frac{1}{2} q_i \ell \cdot \ell = 0$$

$$\text{liqlarida kuchning intensivligi o'zgarmas va teng tarqalgan} \quad q_i = \frac{\gamma A \omega^2}{g} \ell$$

$$\text{bu erdan} \quad B = \frac{25}{6} \cdot \frac{\gamma A \omega^2 \ell^2}{g} \quad \text{va} \quad A = \frac{5}{6} \cdot \frac{\gamma A \omega^2 \ell^2}{g}$$

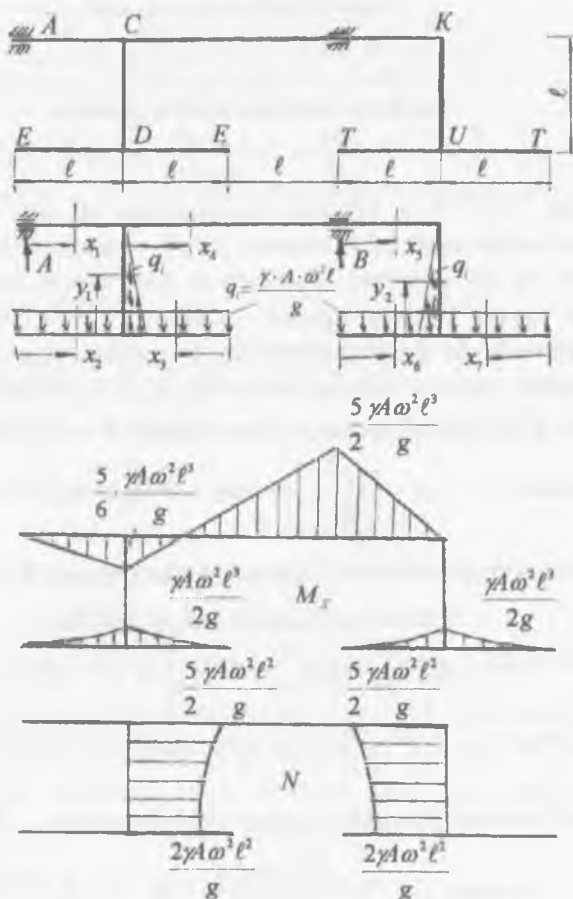
Eguvchi moment qiymatlarini topamiz:

$$1-1 \text{ qirqim. } 0 \leq x_1 \leq \ell \quad M_1 = A \cdot x_1 = \frac{5}{6} \cdot \frac{\gamma A \omega^2 \ell^2}{g} \cdot x_1$$

$$\text{II - II qirqim. } 0 \leq x_2 \leq \ell \quad M_2 = q_i \frac{x^2}{2} = -\frac{\gamma A \omega^2 \ell^2}{g} \cdot \frac{x_2^2}{2}$$

$$\text{III - III qirqim. } 0 \leq x_3 \leq \ell \quad M_3 = -q_i \frac{x_3^2}{2} = -\frac{\gamma A \omega^2 \ell}{g} \cdot \frac{x_3^2}{2}$$

$$\text{IV - qirqim. } 0 \leq y_1 \leq \ell; \quad M_{IV} = 0$$



12.27 - rasm. Berilgan sistema uchun eguvchi moment va bo'ylama kuch epyurlari

V - Vqirqim. $0 \leq x_4 \leq 2\ell$

$$M_5 = A(x_4 + \ell) - \frac{1}{2}q_i \ell \cdot x_4 - q_i \ell \left(\frac{\ell}{2} + x_4 \right) - q_i \ell \left(x_4 - \frac{\ell}{2} \right) =$$

$$= \frac{5}{6} \frac{\gamma A \omega^2 \ell^2}{g} (x_1 + \ell) - \frac{\gamma A \omega^2 \ell^2}{g} x_4 - \frac{\gamma A \omega^2 \ell^2}{g} \left(\frac{\ell}{2} + x_4 \right) - \frac{\gamma A \omega^2 \ell^2}{g} \left(x_4 - \frac{\ell}{2} \right)$$

VI - VIqirqim. $0 \leq x_5 \leq \ell$

$$M_6 = A(3\ell + x_5) - q_i 2\ell \left(\frac{2\ell}{2} + \ell + x_5 \right) - \frac{1}{2} \cdot q_i \ell (2\ell + x_5) + Bx_5$$

$$M_6 = \frac{5\gamma A \omega^2 \cdot 4\ell^3}{6g} - \frac{\gamma A \omega^2 \cdot 2\ell^2 \cdot 3\ell}{g} - \frac{\gamma A \omega^2 \cdot 3\ell^3}{2g} + \frac{25\gamma A \omega^2 \ell^3}{6g} = 0$$

VII - VII qirqim. $0 \leq x_6 \leq \ell$ $M_7 = -q_i \frac{x_6^2}{2} = -\frac{\gamma A \omega^2 \ell}{g} \cdot \frac{x_6^2}{2}$

VIII - VIII qirqim. $0 \leq x_7 \leq \ell$;

$$M_8 = -q_i \frac{x_7^2}{2} = -\frac{\gamma A \omega^2 \ell}{g} \cdot \frac{x_7^2}{2}$$

IX - IX qirqim. $M_9 = 0$ Eng katta eguvchi moment B tayanch kesimida

$$\text{hosil bo'ladi. } M_{\max} = \frac{5}{2} \frac{\gamma A \omega^2 \ell^3}{g}$$

Berilgan sistemaning CD va IK vertikal qismlarida bo'ylama kuch hosil bo'ladi, chunki kuch intensivligi va A va V reaktsiya kuchlari faqat SD va IK sterjen o'qlariga proektsiya beradi.

$$N_1 = 0; \quad N_2 = 0; \quad N_3 = 0; \quad N_4 = q_i 2\ell + \int_0^{y_1=\ell} q_{yi} dy$$

CD uzunlikda q_i - inertsiya kuchi intensivligi to'g'ri chiziqli qonuniyat bilan o'zgaradi. Shuning uchun inertsiya kuchi intensivligini teng ta'sir qiluvchisi

$$q_i - ta'sir chizig'i bilan uni minimal $q_i = 0$ va maksimal $q_i = \gamma A \omega^2 \frac{\ell}{g}$$$

qiymatlaridan hosil bo'lgan uchburchak yuzasi bilan o'lchanadi (12.28 - rasm).

CD uchastkada N kuch o'zgarish qonuniyatini bilishimiz uchun $y = 0$ va $y = \ell$ chegara oraliq'idagi qiymatlarda ham inertsiya kuchini aniqlashimiz lozim.

Masalan: $y = y_1$ bo'lsin, unda $q_1 = q_{yi}$ sxemadan

$$q_i = \frac{\gamma F \omega^2 \ell}{g}$$

12.28 - rasm

q_{yi} – inertsiya kuchining intensivligi $y = y_1$ holatidagi qiymati.

$$\text{Demak } N_4 = q_i \cdot 2\ell + \int_0^{\ell} q_i \left(1 - \frac{y_1}{\ell}\right) dy = \frac{\gamma A \omega^2 \ell}{g} \cdot 2\ell + \int_0^{\ell} q_i dy - \int_0^{\ell} q_i \frac{y_1}{\ell} dy = \\ = \frac{\gamma A \omega^2 \ell}{g} \cdot 2\ell + \frac{\gamma A \omega^2 \ell}{g} \cdot \left| -\frac{\gamma A \omega^2 \ell}{g} \cdot \frac{y_1^2}{2\ell} \right|;$$

$$y_1 = 0 \text{ doernen } N_4 = \frac{\gamma A \omega^2 2\ell^2}{g};$$

$$y_1 = \frac{\ell}{2}; \quad N_4 = \frac{19}{8} \cdot \frac{\gamma A \omega^2 \ell^2}{g}; \quad y_1 = \ell; \quad N_4 = \frac{5}{2} \cdot \frac{\gamma A \omega^2 \ell^2}{g};$$

$$N_5 = 0; \quad N_6 = 0; \quad N_7 = 0; \quad N_8 = 0; \\ 0 \leq y_2 \leq \ell;$$

$$N_9 = q_i 2\ell + \int_0^{y_2=\ell} q_{yi} dy = q_i \cdot 2\ell + \int_0^{y_2} q_i \left(1 - \frac{y_2}{\ell}\right) dy = \frac{\gamma A \omega^2 \ell}{g} 2\ell + \\ + \frac{\gamma A \omega^2 \ell \cdot y_2}{g} - \frac{\gamma A \omega^2 \ell}{g} \cdot \frac{y_2^2}{2\ell};$$

$$y_2 = 0 \quad N_9 = \frac{\gamma A \omega^2 \ell^2}{g}; \quad y_2 = \frac{\ell}{2}; \quad N_9 = \frac{19}{8} \cdot \frac{\gamma A \omega^2 \ell^2}{g};$$

$$y_2 = \ell; \quad N_9 = \frac{5}{2} \cdot \frac{\gamma A \omega^2 \ell^2}{g}; \quad N_{\max} = \frac{5}{2} \cdot \frac{\gamma A \omega^2 \ell^2}{g}$$

Sistemaning xavfli kesimi uchun quyidagi shart bajarilishi kerak:

$$\sigma_{\max} = \frac{N_{\max}}{F} + \frac{M_{\max}}{W} = \frac{N_{\max}}{F} + \frac{32 \cdot M}{\pi d^3} \leq [\sigma]$$

$$\frac{5\gamma A \omega^2 \ell^2}{2Ag} + \frac{32 \cdot 5\gamma A \omega^2 \cdot \ell^2}{2\pi d^3 g} \leq [\sigma] \quad \frac{5\gamma A \omega^2 \ell^2}{2g} + \frac{8 \cdot 5\gamma A \omega^2 \cdot \ell^3}{2dg} = [\sigma]$$

$$\text{Bu erdan } \omega_p = \omega = \sqrt{\frac{[\sigma]}{\frac{5\gamma \ell^2}{2g} + \frac{20\gamma \ell^3}{dg}}} = \sqrt{\frac{100 \cdot 10^3}{\frac{5 \cdot 78 \cdot 0,25}{2 \cdot 9,81} + \frac{20 \cdot 78 \cdot 0,125}{9,81 \cdot 0,02}}} = 10 \frac{1}{\text{sek}}$$

$$\text{Bir minutda valikning aylanish soni } n = \frac{60 \cdot \omega_p}{2\pi} = \frac{60 \cdot \omega_p}{2 \cdot 3,14} = 95,54$$

misol – 6. Mustahkamlik chegarasi $\sigma_B = 600 \text{ MPa}$; oquvchanlik chegarasi $\sigma_T = 300 \text{ MPa}$; po'latdan tayyorlangan, diametri $d = 50 \text{ mm}$ bo'lgan valni xavfli kesimda $M_s = 320 \text{ Nm}$ burovchi va $M_c = 320 \text{ Nm}$ eguvchi momentlar ta'sir qiladi. Egilishdag'i normal kuchlanishning simmetrik tsikldagi: buralishdag'i urinma

kuchlanishning tepkili (pulsiruyushiy) tsikldagi kuchlanishga teng deb qaralib, xavfli kesimuchun extiyotlik koefitsienti topilsin.

yYechish. Eng katta normal kuchlanish:

$$\sigma_{\max} = \frac{M_2}{W} = \frac{32M_2}{\pi d^3} = 0,026 \cdot 10^3 \frac{N}{mm^2}$$

$$\text{Eng katta urinma kuchlanish: } \tau_{\max} = \frac{M_{\delta}}{W} = \frac{16 \cdot M_{\delta}}{\pi d^3} = 0,013 \cdot 10^3 \frac{N}{mm^2}$$

$$\text{Buralishda oquvchanlik chegarasi: } \tau_{-1} = 0,25\sigma_T = 0,25 \cdot 300 = 75mPa$$

Chidamlilik (bardosh berish) chegarasi:

$$\text{Buralishda } \sigma_{-1} = 0,25\sigma_b = 0,25 \cdot 600 = 150mPa$$

$$\text{Egilishda } \sigma_{-1} = 0,43\sigma_b = 0,43 \cdot 600 = 258mPa$$

Kuchlanishlar kontsentratsiyasi

$$K = 1,2 + 0,2 \frac{\sigma_b - 40}{110} = 1,2 + 0,2 \frac{600 - 40}{110} = 2,2$$

$$\text{Masshtab koefitsienti } \beta_m = 1,2 + 0,1(d - 3) = 1,2 + 0,1(5 - 3) = 1,67$$

$$\sigma \text{ va } \tau \text{ bo'yicha extiyotlik koefitsienti } n_{\tau} = \frac{\tau_{\max}}{2} = \frac{13}{2} = 6,5 \text{ va}$$

$$n_{\sigma} = \frac{\sigma_{-1}}{\sigma_{\max}} = \frac{\sigma_{-1}}{k\beta_m \cdot \sigma_{\max}} = \frac{250}{2,2 \cdot 1,67 \cdot 26} = 2,$$

Charchashdan emirilishdagi va oquvchanlikning boshlani-shidagi umumiy extiyotlik koefitsientlarini topamiz:

$$n_{\tau_0} = \frac{\tau_{-1}}{k \cdot n_{\tau} + \beta_m n_{\tau}} = \frac{75}{2,2 \cdot 6,5 + 1,67 \cdot 6,5} = 2,9$$

$$k_{TM} = \beta_m \cdot k = 1,67 \cdot 2,2 = 3,674$$

buralishdagi oquvchanlikka extiyotlik koefitsienti

$$n_{\tau}^{+} = \frac{\tau_T}{\tau_{\max}} = \frac{75}{13} = 5,77$$

Mustahkamlikning umumiy extiyotlik koefitsienti

$$n = \frac{n_{\sigma} \cdot n_{\tau}^{+}}{\sqrt{n_{\sigma}^2 + (n_{\tau}^{+})^2}} = \frac{2,7 \cdot 5,77}{\sqrt{(2,7)^2 + (5,77)^2}} = 2,99$$

Charchashdan emirilishga extiyotlik koefitsienti

$$n = \frac{n_{\sigma} \cdot k_{TM}}{\sqrt{n_{\sigma}^2 + K_{TM}^2}} = \frac{2,7 \cdot 3,674}{\sqrt{(2,7)^2 + (3,674)^2}} = 2,17$$

XIII-BOB. DEFORMATSIYA VA KUCHLANISHLARNI EKSPERIMENTAL TEKSHIRISH

Eksperimental tekshirishning ahamiyati va printsipi.

Materialarning hisoblashlarda foydalaniladigan barcha mustahkamligi, elastiklik moduli, Puasson koefitsienti, proporsionallik chegarasi haqidagi ma'lumotlar juda sodda standart metodika usosida tajriba yo'li bilan olingan.

Mashina va inshoot qismlarida hosil bo'ladigan har qanday kuch, kuchlanish va deformatsiyalarning taqsimlanishini va qiymatini nazariy va tajriba usullari bilan hisoblab bo'lmaydi. Ayniqsa, tashqi kuchlarning simmetriya tekisligi bo'y lab ta'sir etmasligi, vaqtga nisbatan o'zgaruvchanligi, ichki kuchlarning kontsentratsiyalanishi natijasida hosil bo'lgan deformatsiya va kuchlanishlarning o'zgaruvchanligi ularni aniqlashni qiyinlashtiradi. Bundan tashqari, detalning shakli murakkabligi tufayli masalani nazariy usul bilan ehib bo'lmaydi. Bunday hollarda inshoot va uning elementining modelini tajriba yo'li bilan o'rganish katta rol o'ynaydi. Ba'zan modelni emas, natural o'lchamda ob'ektning o'zini tayyorlash va uni laboratoriya yoki ekspluatatsiya sharoitida tekshirish hamda uning o'zini qanday tutishini uzoq muddat kuzatish kerak bo'ladi. Masalan, ko'priklarning tajriba proloyotlari. Shuning uchun ham mashina va inshoot qismlarining mustahkamlik tavsiflarini aniqlashda, hozirgi zamona eksperimental tekshirish usullaridan keng foydalanish zaruriyatini kelib chiqadi.

Eksperimental tekshirish mashina qismlarining bir tomonidan texnik talablariga javob berishini (ish normasini, maxsulotning sifatini, texnik qarov va boshqalarini) aniqlasa, ikkinchi tomonidan uning konstruktsiyasini – bo'g'in bo'laklarining o'lchamlarini va ortiqcha og'ir bo'imasligini, ulardagi haqiqiy kuchlanishni, deformatsiyani va materialni to'g'ri tanlashni o'rgatadi.

Odatda, mashina va inshoot qurilmalari birdaniga yasalmay, bir qancha o'zgartirishlar kiritish natijasida yaratiladi. O'zgartirishlar esa, eksperimental tekshirishning mahsuli eksperimental tekshirish o'zgartirishlar kiritish bilan bir qatorda nazariy hisoblash usullarni aniqlaydi va boyitib boradi. eksperimental tekshirish natijasida mashina bo'laklarining mustahkamligi $[\sigma]$ va $[\tau]$ bir necha marta oshirilib, ehtiyyotlik koefitsienti $[n]$ -ni kamaytiriladi. natijada mashinalarning konstruktsiya qismlarini bir necha marta engillashtirish va arzon material qo'llash mumkinligini aniqlaydi. bu bilan mashinalarning ish qobiliyatları kamaymaydi, balki ularni harakatga keltiradigan energiya sarflari kamaytiriladi va mablag' tejab qolinadi.

Kuchlanishlarni topish uchun, ko'pincha, tenzometriya usulidan foydalaniladi, ya'ni inshootning ayrim nuqtalaridagi kichik deformatsiyalar o'lchanadi va keyinchalik Guk qonunidan foydalanib, ulardagi kuchlanishlar topiladi. Detallardagi teshiklar, o'yiq va yo'nilgan erlar atrofida kuchlanishlarni keskin ortib ketishini optik yoki mo'rt qoplama usullari bilan tekshiriladi.

Murakkab kuchlanish va dinamik yuklama ta'siridagi mashina qismlarining mustahkamligini tekshirish va ta'minlashda eksperimental tekshirish juda katta ahamiyatga ega bo'ladi. Eksperimental tekshirish mexanik va elektrik o'lchash usuli bilan bajariladi.

Mexanik tekshirishlar maxsus sinash mashinalarida universal uzuvchi mashinalar, buralishga sinash mashinalari va boshqalar, hamda asboblar: strelkali indikator, tenzometr va boshqalarda bajariladi. Bunday usulda tekshirishda materialdan maxsus namuna tayyorlanadi. Bu usul materialning umumiy mustahkamlik elastiklik tavsiflarini aniqlashda qo'llaniladi.

Materiallarni hisoblashda foydalilanidan barcha mustahkamligi, elastiklik moduli, Puasson koefitsienti, proporsionallik chegarasi haqidagi ma'lumotlar juda sodda standart metodika usuli asosida tajriba yo'li bilan olingan.

Kuchlanish va deformatsiyani tajribada o'lchash usuli to'g'risida fikr yuritganda, materiallarni mexanik sinash va konstruktsiyani sinash orasidagi farqni aniklash kerak.

Materiallarni sinash-ularni oquvchanlik chegarasi, mustahkamlilik chegarasi, elastiklik moduli va x.k. kabi mexanik xarakteristikalarini aniqlash uchun bajariladi. Bundan tashqari u murukkab kuchlanganlik holatida mustaxkamlilik shartni o'rghanish yoki turli shartlarda materialarning mexanik xossalarini aniqlash uchun ham bajariladi. Materiallarni sinash – o'lchami va shakli o'levor apparatlari (mashinalari) va sinov shartlariga bog'lik bo'lgan namunalarda o'tkaziladi. Material xarakteristikalarini obektivligini ta'minlash uchun namunaning har bir nuqtasidagi kuchlanganlik holat bir xil, ya'ni kuchlanganlik holat bir jinsli shartga amal qilishi kerak. Bu shart, masalan, cho'zilishda, qisman kalta sterjenni siqilishida va yubqa devorli trubani buralishida kuzatiladi. Ushbu sinovlarda materialning xossasi bir vaqtning o'zida namunaning butun hajmi bo'yicha o'zgaradi va miqdoriy baholash qulay bo'ladi.

G'ovak bo'limgan namunaning buralishida va egilishga sinashda kuchlanganlik holat bir xil emas. Ayrim nuqtalarda material xossasini miqdoriy o'zgarishi namuna xarakteristikalarini sezilarli o'rghanishga ta'sir qilmaydi. Materialni xossasi o'rtacha me'yorda baholanadi, bu esa qo'shimcha tajriba o'tkazilishini talab etadi.

Mexanik sinovlarning asosiy ko'rinishlariga – texnologik tekshirish, masalan qattiqlikni aniqlash, zarb ta'siriga sinash, ayrim hollarda toliqish mustahkamligini tekshirish qabul qilinishi mumkin. Konstruktsiyalarni sinash – shartida mashina yoki uning alohida uzellarini mustahkamlikka tekshirish amalga oshiriladi. Bunday sinovlarning asosiy maqsadi, birin-chidan hisoblashlarni aniqligini tekshirish; ikkinchidan uzellarni tayyorlash va yig'ishni texnologik jarayonini to'g'ri tanlangani va bajarilganligini tekshirishdir, chunki noto'g'ri texnologik usullarda konstruktsiyada mahalliy zaiflashish hosil bo'lishi mumkin. Yangi mashina, uning uzellari metalldan yaratilganidan keyin emirilish sodir bo'lganicha statik kuch ta'sirida sinash

jarayonini o'taydi. Statik kuchni emiruvchi qiymati hisobiy kuchning qiymatiga asosan belgilanadi va taqqoslanadi.

Statik kuchdan tashqari dinamik sinov zaruriyati hosil bo'lishi mumkin, masalan vibratsiya sharoitda ishlaydigan priborlar. Bunday sinovlar maxsus vibratsiya beradigan stollarda turli chastota va amplitudalarda olib boriladi, deformatsiya va kuchlanish tekshirilmaydi mustahkamlilik to'g'risidagi xulosa emirilishdan keyin qilinadi. Xavfli uzzellardagi deformatsiya va kuchlanishni aniqlash uchun ayrim hollarda ostsillografdan foydalaniлади. Bunday hollarda kuchlanish izlanishdagi ob'ektning deformatsiyasiga bog'lik ravishda Guk qonuniga asosan topiladi. Plastik deformatsiyada kuchlanish aniqlanmaydi, balki plastik deformatsiya hosil kiluvchi kuch aniqlanadi.

Materiallarni sinash asbob va mashinalari. Cho'zilish va sifilishga sinash tajribasini o'tkazish uchun juda ko'p mashinalar mavjudki, ular namunaga ta'sir qiluvchi kuchni yuqori aniqlikda o'lchay oladi. Deformatsiya mashinadagi maxsus qurilma yoki o'lchagich asbobi bilan aniqlanadi. Yangi turdag'i sinov mashinalarida ta'sir qiluvchi kuch bir necha grammidan bir necha ming tonnagacha olib borilishi mumkin. Bunday mashinalarda cho'zilish va sifilishga ayrim kichik namunalar emas, balki tabiiy o'lchamdag'i inshoot elementlari sinalishi mumkin.

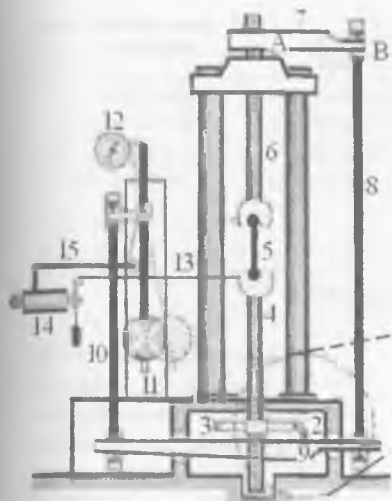
Kunlik amaliyotda quvvati kamrok bo'lgan mashinalarda o'lchamlari kichik namunalar tajriba asosida sinalib ko'rildi. Cho'zilishga sinash uchun quvvati-50 tonnagacha bo'lgan mexanik yoki gidravlik ta'sir qiluvchi mashinalar tadbiq etiladi. Tola va ipni sinash mashinalarida cho'zuvchi kuch grammarda o'lchanadi.

Sifilish bilan bog'lik bo'lgan tajribalar quvvati 30....60 tonnadan 500tonnagacha bo'lgan gidravlik presslarda bajariladi.

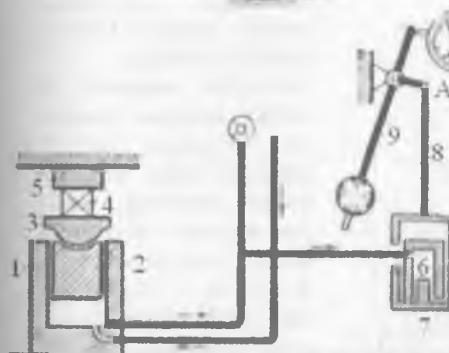
Richagli mashina- cho'zilishda uzuvchi kuchi 5000 Kn.gacha bo'lgan tajribalarda ishlataladi (*13.1- rasm*). Mashina elektrosvigatel - 1 yordamida harakatga keltiriladi. Bunda chervyak - 2 va shesternya-3 yordamida namuna-5 ni ushlab turgan sterjen - 4 ni tortadi. Yuqori sterjen - 6 vint asosida A nuqtada mashina-ning staninasiga tayanib tyaga - 8 bilan V nuqtada sharnirli bog'lanishdagi richag - 7 bilan bog'langan.

Tyaga- 8 mashinaning pastki qismida o'rnatilgan richag - 9 bilan sharnirli bog'lanishda. Richag- 9 mayatnik -11 bilan sharnirli bog'lanishdagi tyaga - 10 ga sharnirli biriktirilgan. Vint - 4 pastga harakatlansa, namunani cho'zilishida sterjen 6 ham pastga tushadi va 7-8-9-10 sharnirli - sterjenli sistemani harakatlantiradi, mayatnik - 11 esa vertikal vaziyatiga nisbatan ma'lum burchakka og'ishadi va sistemani muvozanatlaydi.

13. 1 - rasm Richagli sinov mashinasi



Gidravlik pressning ishlashi (13.2-rasm) uchun pastki statina rezervuari- 1ga truba yordamida moy kiritiladi va porshen- 2 yuqoriga ko'tariladi. Porshenga maxsus tayyorlangan berilayotgan kuchni markazlashtiradigan podushka (o'tirgich) – 3 o'matilgan.

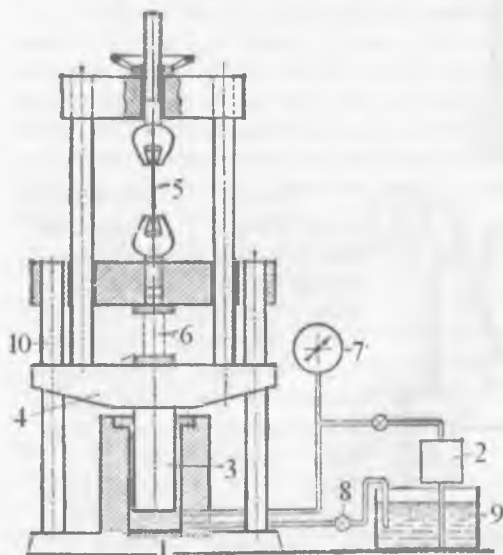
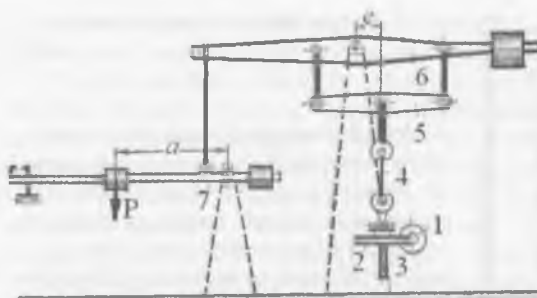


13.2 – rasm Gidravlik sinov mashinasi

Yuqori podushka-5 qo'zg'almas. Podushkalar 1 coraligiga sinaladigan namuna-4 joylashtiriladi. Rezervuar-1 truba yordamida tsilindr – 6 bilan bog'lanadi. Tcilindrga tyaga - 8 bilan birlashtirilgan porshen- 7 o'matilgan. Bosim rezervuardan tsilindrga uzatiladi, natijada porshen – 7 tyaga – 8 pastga harakatlanadi. Tyaga – 8 sharmir – A vositasida mayatnik – 9 bilan bog'lik. Mayatnik og'ishi bilan maxsus shkaladan kuch yozib olinadi.

Richagli mashina (13. 3- rasm) kirmak – 1 qo'l kuchi yoki elektrodvigatel yordamida harakatlantiriladi. Chervyakk g'ildiragi – 2 aylansa kuch vinti – 3 pastga tushadi, namuna – 4 da hosil bulgan kuch 5,6,7 - richaglar yordamida yuk og'irligi R – bilan muvozanatlashadi. Richag-7 da kuch o'lhagich shkalasi mavjud.

13.3 – rasm. Richagli sinov mashinasi



13.4 – rasm. Gidravlik sinov mashinasi

13.4- rasmida cho'zilish va siqilishga gidravlik sinov mashinasi ko'rsatilgan: nasos – 2 yordamida bosim ostida moy tsilindriga uzatiladi, natijada plunjер – 3 ko'tariladi. Cho'zilishga sinaladigan namuna-5 ni ushlab turadigan moslama o'rnatilgan rama-4 plunjerni ustiga joylashdirilgan. Siqilishga sinalagan namuna – 6 ramani pastki qismiga o'rnatiladi. Rama – 10 qo'zg'almas. Kuch monometr – 7 bilan o'lchanadi. Tajriba to'xtatilsa rama – 4 ning og'irligi ta'sirida moy ventil – 8 orqali vanna – 9 ga quyiladi.

Mexanik yuklanib 500 Kn.gacha kuch hosil qiladigan mashinaning pastki ushlagichi bilan bikr bog'langan vintni harakati qo'l kuchi yoki elektrosvigateldan boshqariladi. Yuqori ushlagichdan richagli sistemalar yordamida mayatnikga uzatiladi. Mayatnikning og'ishi kuch o'lchagich qurilmasining strelkasini aylantiradi, natijada cho'zuvchi kuchning qiymati topiladi.

GLOSSARIY

Nº	Atamaning o'zbek tilida nomlanishi	Atamaning ingliz tilida nomlanishi	Atamaning rus tilida nomlanishi	Atamaning ma'nosи
1	Mexanika	Mechanics	Механика	Moddiy jismlarni ta'sirlashushi va mexanik harakati to'g'risidagi fan.
2	Texnika	technics	Техника	Ishlab chiqarishda tadbiq etiladigan va uni boshqarishda qatnashadigan mehnat qurollari, jihozlari, mashinalar
3	Muxandislik inshootlari	engineering structure	Инженерные сооружения	Mashina va mexanizmning ishchi organi harakatlana-di. Bu faktor mashina yoki mexanizmni muxandislik inshootidan farqini belgilaydi. Binolar, ko'priklar, tonnellar, rezervuar va h.k— muxandislik inshootlari
4	Val	shaft	Вал	Aylanma harakat va quvvatni uzatadigan, buralishi va egilish deformatsiyaliga uchraydigan pog'onali brus
5	O'q	axis	Ос	Aylanuvchi g'ildiraqlar bilan harakatni uzatishda qatnashadigan, egilish deformatsiyasiga uchraydigan brus
6	Brus	beam	Брус	Uzunligi qolgan o'lchamlaridan katta bo'lgan jism
7	Sterjen	bar	Стержен	Ingichka brus
8	Balka	beam	Балка	Egilishga qarshilik ko'rsatadigan brus
9	Rama	frame	Рама	Siniq chiziqli brus
10	Plastinka	tablet	Пластишка	Qalinligi qolgan o'lchamlaridan kichik bo'lgan jism
11	Qobiq	casing, cover	Оболочка	Egri shaklli plastinka

12	Mustahkamlik	stiffness	Прочность	Material (detal) tashqi kuch ta'siriga emirilmasdan qarshilik ko'rsata olish qobiliyatি. Mustahkamlikga hisoblashdagi talab kam material sarflab detallarni berilgan yukga bardosh berishlik qibiliyatini oshiradigan o'lchamlarни va shaklini aniqlash imkoniyatini beradi.
13	Bikrlik	steadiness	Жесткость	Konstruktsiya elementlarini deformatsiyasi juda kichik bo'lib, oldindan berilgan qiymatidan oshmasligi
14	Ustivorlik	heat-resistant	Устойчивость	Konstruktsiyaning (inshoot) detali o'zining to'g'ri chiziqli muvozanatlashgan holatini yoki shaklini yo'qotmaslik qobiliyatи.
15	Kuch	force	Сила	Jismlar mexanik ta'sirlashuvining o'lchovidir. Kuch ucta element bilan xarakterlanadi:son qiymati, yo'nalishi, qo'yilish nuqtasi. Kuch vektor kattalik.
16	Kuchning yo'nalishi	line of fiction	Направление силы	Tinch holatda bo'lgan moddiy nuqta shu kuch yo'nalishida harakatlanadi.
17	Kuchni ta'sir chiziqi	line of action of a force	Линия действия силы	Kuch vektori yo'nalgan to'g'ri chiziq.
18	Kuchlar sistemasi	system force	Система сил	Jismga qo'yilgan (F_1, F_2, \dots, F_n) kuchlar to'plami kuchlar sistemasi deyiladi
19	Ekvivalent kuchlar sistemasi	equivalent of system force	Еквивалент-ная система сил	Jismga qo'yilgan kuchlar sistemasi ko'rsatadigan ta'sirni boshqa kuchlar sistemasi bera olsa, bu

				ikki kuch sistemasi ekvivalent kuchlar sistemasi bo'ladi
20	Teng ta'sir etuvchi kuch	resultant (force)	Равнодействующая сила	Kuchlar sistemasining ta'sirini yolg'iz bir kuch beradi.
21	Muvozanatlashgan kuchlar sistemasi	balanced of system force	Уравновешенная система сил	Tinch turgan jism unga qo'yilgan kuchlar sistemasi ta'sirida ham tinch holatda qoladi. Muvozanatlashgan kuchlar sistemasi nolga ekvivalent.
22	To'planma kuch	concentrated force	Сосредоточенная сила	Ikkita jismni o'zaro ta'sirlashuvi nuqta vositasida amalga oshiriladi, ya'ni yukni qo'yilish yuzasining o'lchami konstruktsiya elementlarining o'lchamlaridan juda kichik.
23	Taqsimlangan kuch	distribution force	Распределенная сила	Ikkita jismni o'zaro ta'sirlashuvi yuza yoki uzunlik bo'yicha amalga oshiriladi.
24	Tashqi kuch	external force	Внешняя сила	Tinch – harakatsiz holatda bo'lgan jismga ikkinchi jismni ta'siri
25	Ichki kuch	inherently force	Внутренняя сила	Tashqi kuch ta'sirida jism materiali zarrachalarining o'zaro tortishish kuchlarini aktivlashishi
26	Bog'lanish	bond	Связь	Jismning harakat yoki holatini cheklovchi sabab
27	Qo'zg'aluvchan sharnirli tayanch	shifting bearing	Подвижная опора	Bir chiziqli bog'lanish yoki qo'zg'aluvchan sharnirli tayanch, bog'lanish tekisligida tayanch nuqtasining harakatini cheklaydi. Tayanch kesim ikkita erkinlik darajaga ega, bitta reaksiya hosil bo'ladi

28	Qo'zg'almas sharnirli tayanch	fixed bearing	Неподвижная опора	Bog'lanish yo'nalishlari-da gorizontal va vertikal tekisliklarda tayanch kesimining harakatini cheklaydi. Tayanch kesimining aylanishi cheklanmagan. Tayanch kesim bitta erkinlik darajaga ega va unda ikkita reaktsiya kuchi hosil bo'ladi.
29	Qistirib mahkamlangan tayanch	built-in support	Зашемленная опора	Uch bog'lanishli tayanch, hamma erkinlik darajani cheklaydi. Tayanch kesim jism bilan birgalikda biror tekislikda harakatla-naolmaydi. Tayanchda uchta reaktsiya kuchi hosil bo'ladi
30	Reaktsiya kuchi	force of reactions	Сила реакции	Jismga ta'sir qiladigan bog'lanish kuchi. Jismni harakatlanishiga qarshilik ko'rsatadigan kuch.
31	Aktiv kuch	active force	Активная сила	Jismni harakatlanitradigan kuch.
32	Kuchning o'qdagi pro-ektsiyasi	the projection of forces on the axis	Проектсия сил на ос	Kuch vektorining boshi va ohiridan o'qqa tushirilgan ikkita perpendikulyar orasidagi kesma uzunligi.
33	Kuchni nuqtaga nisbatan momenti	moment force about particle	Момент сил по отношению точки	Kuchni aylantiruvchi -tavsiyi. Kuchning nuqtaga nisbatan momenti – kuch modulini uning elkasiga kupaytmasiga teng.
34	Moment markazi	center of moment	Тцентр момента	Kuch momenti qaysi nuqtaga nisbatan olinsa, shu nuqta moment markazi
35	Kuch elkasi	arm of force	Плечо силы	Moment markazidan kuchning ta'sir chizig'igacha bo'lgan eng qisqa oraliq
36	Juft momenti	Moment pair of force	Момент парных сил	Juftni tashkil etuvchi kuchlardan birining modulini uning elkasiga ko'paytmasi

37	Muvozanat shart	conditions of equilibrium	Условия равновесия	Jismga ta'sir etuvchi fazoda ixtiyoriy joylashgan kuchlar sistemasining Dekart koordinata o'qlarining har biridagi proektsiyalarining algebraik yig'indisini nolga teng bo'lishi va kuchlarning har bir o'qga yoki ixtiyoriy tanlangan nuqtaga nisbatan momentlarining algebraik yig'indisini nolga teng bo'lishini aniqlovchi tenglamalar.
38	Jismning og'irlilik markazi	body center of gravity	Тцентр тяжести тела	Jismga tegishli barcha elementar zarrachalar parallel og'irlilik kuchlarning markazi
39	Geometrik tavsif	geometrical definition	Геометрическое определение	Geometrik – bog'lanishni nazariyasi
40	Statik moment	static moment	Статический момент	Kesim yuza bilan o'q orasidagi masofa ko'paytmasining integrali
41	Kesim yuzanning og'irlilik markazi	center of figure	Тцентр тяжести сечения	Kesim yuzadan hisoblab topilgan shunday nuqtaki, bu nuqta atrofida aylangan kesim yuza nuqtalarining chizgan traktoriyasi avlana bo'ladi.
42	Inertsiya momenti	moment of inertia	Момент инерции	Kesim yuza bilan o'q orasidagi masofa kvadratining ko'paytmasining integrali. Kesim yuzani biror o'qga nisbatan inertsiya momenti
43	Markazdan qochma inertsiya momenti	product of inertia, Centrifugal moment of inertia	Тцентробежный момент инерции	Kesim yuza bilan ikkita o'q orasidagi masofa ko'paytmasining integrali
44	Qutb inertsiya momenti	polar moment of inertia	Полярный момент инерции	Kesim yuza bilan qutb nuqtasi orasidagi masofa kvadratining ko'paytmasi

45	Qarshilik momenti	resisting moment	Момент сопротивления	Kesim o'lchamlarining bog'lanishi, mustahkamlikni ifodalaydigan geometrik tavsif
46	Bosh inertsiya o'qi	The main axis of inertia	Главный оси инерции	Bosh inertsiya o'qlariga nisbatan kesimni markazdan qochma inertsiya momenti nolga teng
47	Bosh inertsiya momenti	principal moment of inertia	Главный момент инерции	Bosh inertsiya o'qlariga nisbatan kesimni inertsiya momenti
48	Inertsiya radiusi	radius of inertia	Радиус инерции	Kesimning biror o'qga nisbatan inertsiya momentini kesim yuzasiga nisbatli bilan topiladi
49	Material	material	Материал	Mexanik va plastiklik xossasiga, ishlov berilish xususiyatiga ega bo'lgan konstruktsiya va inshoot qismlarini tayyorlash mumkin bo'lgan narsa.
50	Qarshilik	Resistance	Сопротивление	Har qanday tashqi ta'sirga ichki aks ta'sirini ko'rsata olishlik
51	Deformatsiya	deformation	Деформация	Tashqi kuch ta'siridan jismda o'lcham yoki shakl o'zgarishi
52	Oddiy deformatsiya	simple deformation	Простая деформация	Tashqi kuch yo'nalishida jismning o'lcham yoki shaklini o'zgarishi
53	Murakkab deformatsiya	hard deformation	Сложная деформация	Bir vaqtda ikkita va undan ko'proq oddiy deformatsiyalarni hosil bo'lishi
54	Elastik deformatsiya	elastic deformation	Еластическая деформация	Tashqi kuch ta'siri yo'qotilgandan keyin jismning boshlang'ich o'lcham va shaklini tiklanishi
55	Plastik deformatsiya	plastic deformation	Пластическая деформация	Qoldiq deformatsiya, ya ni tashqi kuch ta'siri yo'qotilgandan keyin jismning boshlang'ich o'lcham va shaklini tiklanmasligi

56	Absolyut deformatsiya	absolute strain	Абсолютная деформация	Bir birlik uzunlikka to'g'ri keluvchi uzayish
57	Nisbiy deformatsiya	relative deformation	Относительная деформация	Bir birlik uzunlikka to'g'ri keluvchi absolyut uzayish
58	Chiziqli deformatsiya	linear strain	Линейная деформация	Tashqi kuch ta'sirida jismda o'lcham yoki shakl o'zgarishi bir chiziq bo'ylab sodir bo'ladi
59	Burchakli deformatsiya	angular deformation	Угловая деформация	Tashqi kuch ta'siridan jismda o'lcham yoki shakl o'zgarishi burchak ostida sodir bo'ladi jismni kesimi aylanadi
60	Kuchlanish	tension	Напряжение	Ichki kuchni kesim yuzada tarqalish qonuniyatini ifodalaydi, ya'ni bir-birlik yuzaga to'g'ri keluvchi kuch.
61	Normal kuchlanish	normal tension	Нормальное напряжение	Kesim yuzaga tik yo'naladigan kuchlanish
62	Urinma kuchlanish	tangential stress	Касательное напряжение	Kesim yuzaga urinma yo'naladigan kuchlanish
63	To'liq kuchlanish	combined stress	Полное напряжение	Normal va urinma kuchlanishlarni geometrik yig'indisi.
64	Ruxsat etilgan kuch-lanish	working stress	Допускаемое напряжение	Konstruktsiya qismlarining elastik deformatsiya, mustaxkamligi va xavfsiz ishlashini ta'minlash uchun brus materialiga xos bo'lgan cheklangan kuchlanish
65	Kontaktli kuchlanish	contact stress	Контактное напряжение	Tishli g'ildiraklami ilashish nuqtasida (chiziqda) hosil bo'lgan kuchlanish
66	Kuchlanishlar kontsentratsiya	stress concentration	Концентрация напряжений	Teshik, kanavka yoki defekt atrofidagi kuchlanishlar to'plami
67	Qattiqlik	hardness	Твердость	Sirtiga singdirilgan detalga qarshilik ko'sata olish qobiliyati

68	Konstruktsiya	construction	Конструкция	Detal, mashina, qurilma, inshoot mehanizm.
69	Kesish usuli	sectioning method	Метод сечений	Tashqi kuch ta'sirida bo'lgan jismning ixtiyoriy kesim yuzasidagi ichki kuch faktorlarini ko'rish va hisoblash usuli
70	Bo'ylama kuch	longitudinal force	Продолная сила	Brusning kesilgan ko'ndalang kesimidan bir tomonda olib qolangan tashqi kuchlarni ushbu kesimning normal yoki bo'ylama o'qiga proektsiyalarining algebraik yig'indisi
71	Burovchi moment	twisting moment	Крутящий момент	Sterjenning kesilgan kesim yuzasidan bir tomonda joylashgan tashqi momentlarning algebraik yig'indisi
72	Ko'ndalang kuch	transverse force	Поперечная сила	Balkaning ajratib olingan qismidagi barcha kuchlarni balkani kesilgan yuzasidagi kuch chiziqiga proektsiyalarining algebraik yig'indisi
73	Eguvchi moment	bending moment	Изгибающий момент	Balkani ajratib olingan qismidagi barcha kuchlarning, balka kesilgan yuzasining kesim markazi ga nisbatan kuch momentlarning algebraik yig'indisi
74	Epyura	diagram	Епюра	Ichki kuch faktorlarini brusning o'qi bo'ylab o'zgarishimi ifodalovchi ma'lum qonuniyat asosida qurilgan grafikasi
75	Kuch tekisligi	plane of force	Плоскость силы	Egilishda barcha tashqi va reaktsiya kuchlari ta'sir qiladigan yagona tekislik
76	Kuch chiziqi	force line	Линия силы	Kuch tekisligini brusning ko'ndalang kesim yuzasi

				bilan kesishish chiziqi
77	Neytral qatlam	neutral plane	Нейтральный слой	Balkani egilishida cho'zilmaydigan va siqilmaydigan, o'zining boshlang'ich uzunligini o'zgartirmaydigan material qatlarni
78	Neytral o'q	neutral axis	Нейтральная ось	Balkaning ko'ndalang kesim yuzasi bilan neytral qatlamni kesishish chiziqi
79	Cho'zilish	elongating	Растяжение	Tashqi kuch ta'sirida brus uzunligini ortishi va ko'ndalang o'lchamini qisqarishi
80	Siqilish	pressing	Сжатие	Tashqi kuch ta'sirida brus uzunligini qisqarishi va ko'ndalang o'lchamini ortishi
81	Markaziy cho'zilish va siqilish	axial tension and pressing	Трехмерное растяжение и сжатие	Tashqi kuch ta'siridan brusning kesim yuzasidagi material zarrachalari bir xil masofaga ko'chadi, ya'ni brusning kesim yuzasi o'q bo'ylab chiziqli qisqaradi yoki ortadi.
82	Guk qonuni	Hooke's law	Закон Гука	Kuch bilan deformatsiya bog'lanishining grafikasi to'g'ri chiziq qonuniyatga bo'yshunishini tavsiflovchi nazariya
83	Bo'ylama deformatsiya	longitudinal strain	Продольная деформация	Tashqi kuch ta'siridan brus uzunligini o'q bo'ylab chiziqli uzayishini nisbiy (absolyut) miqdori
84	Ko'ndalang deformatsiya	lateral deformation	Поперечная деформация	Tashqi kuch ta'siridan brus ko'ndalang kesim yuzasining o'zgarishini absolyut (nisbiy) miqdori.
85	Elastiklik moduli	modulus of elasticity	Модуль эластичности	Fizik konstanta, materialni turiga bog'liq
86	Puasson koeffitsienti	Poisson ratio	Коэффициент Пуассона	Brus ko'ndalang kesim yuzasining qisqarishini tavsiflaydi.

87	Diagramma	Diagram	Диаграмма	Kuch bilan deformatsiya bog'lanishini koordinata o'qlarida grafikaviy usulda ifodalanishi
88	Mexanik xossa	mechanical properties	Механическая свойства	Material mustahkamligini xarakterlovchi kuchlanishlar to'plami
89	Elastiklik chegara	border of elasticity	Предел эластичности	Brus materialining elastiklik xossasida-deformatsiya so'nuvchan bo'ladi.
90	Proportsiyonallik chegara	border of propotion	Предел пропорциональности	Kuch bilan deformatsiya bog'lanishining grafikasi to'g'ri chiziq, ya'ni Guk qonuniyatiga bo'yunsadि.
91	Oquvchanlik chegara	liquid limit	Предел текучести	Taxminan o'zgarmas kuchlanish ta'sirida brusni uzayishi tez o'sadi.
92	Mustahkamlit chegara	The boundary strength	Предел прочности	Eng katta kuchga to'g'ri keluvchi kuchlanish
93	Mahalliy uzayish	local elongation	Местное удлинение	Brus uzayishini ma'lum bir oraliqda to'planishi yoki sodir bo'lishi
94	Mustahkamlit shart	strength condition	Условия прочности	Xavfli kesimdagи emirilishni cheklaydigan matematik ifoda
95	Ruxsat etilgan yuk	safe load	Допускаемая нагрузка	Konstruktсиya ko'tara olishi mumkin bo'lgan yukning miqdori
96	Kesimni tanlash	Selection of cross-sections	Выбор сечений	Tashqi kuch ta'siriga emirlmasdan qarshilik ko'rsata oladigan, uning mustahkamligini ta'minlay digan kesimning o'lchami
97	Plastiklik xossa	Plastic properties	Пластиклическая свойства	Materialni deformatsiyalaniш xususiyatini belgilovchi xossa
98	Plastiklik	Plasticity	Пластичность	Brusni cho'zilish (sivilish) ga, egilishga va h.k. larga moyilliги, katta qoldiq deformatsiya hosil qilish xususiyati

99	Mo'rtlik	Brittleness	Хрупкост	Materialning plastiklikiga teskarı xossasi
100	Puxtalanish	Hardening	Упрочнение	Birlamchi uzayish evaziga proporsionallik chegarani o'sishi
101	Relaksatsiya hodisasi	Relaxation	Релаксация	Vaqt o'tishi bilan kuchlanish miqdorini kamayishi
102	Kuchlanganlik holat	stressed state	Напряженное состояние	Kubikni tomonlarda va qiya kesim yuzalarida kuchlanishlarni xilma-xilligi va o'zgarishini tahlili
103	Chiziqli kuchlanganlik	linear stresses	Линейная напряженность	Chiziq bo'ylab kubikni ko'ndalang va qiya kesim yuzalaridagi kuchlanishlarni tahlili
104	Tekis kuchlanganlik	plane tensity	Плоская напряженность	Kubikni o'zaro perpendikulyar uchta qirralardan ikkitasining bir vaqtida cho'zilish va sivilishini tahlili
105	Bosh yuza	principal cross-section	Главная площад	Urinma kuchlanishlar ta'siri nolga teng bo'lgan yuzalar
106	Bosh kuchlanishlar	principal stresses	Главные напряжения	Bosh yuzalarga qo'yilgan kuchlanishlar
107	Bosh kuchlanish yo'nalishi	principal stress direction	Направление главного напряжения	Cho'zuvchi va siqvchi kuchlanishlar yo'nalishini aniqlash
108	Hajmiy deformatsiya	volumetric deformation	Объемная деформация	Kubikni o'zaro perpendikulyar uchta qirralarining bir vaqtida cho'zilish va sivilishini tahlili
109	Hajm o'zgarishi	strain energy due to change of volume	Изменения объема	Kubikni deformatsiyalashida barcha qirralarini bir xil miqdorga uzayishi yoki qisqarishi, ya'ni kubik kubikligicha qoladi.
110	Shakl o'zgarishi	mode change	Изменение форм	Kubikni deformatsiyalashida uning qirralarining o'lchamlari bir xil o'zgarmaydi, kubik parallelogramm shaklini egallaydi.

111	Gukni hajmiy qonuni	Hooks volumetric law	Объемный закон Гука	Elastik hajmiy deformatsiyani tavsiflovchi qonuniyatni matematik ifodasi
112	Hajmiy elastiklik modul	Modulus of extensional elasticity	Модул объемной эластичности	Elastik hajmiy deformatsiyadagi fizik konstanta
113	Mustaxkamlik nazariya	theory of strength	Теория прочности	Konstruktisiyalarning mustahkamligi to'g'risidagi turli nazariy va tajribaviy mulohaza va g'oyalarini mujassamlashgan holatini matematik ifodasi
114	Mo'rt emirilish	brittle damage	Хрупкий износ	Materiallarni elastiklik xossasidan tashqarida darz yorilishi.
115	Plastik emirilish	plastic damage	Пластический износ	Materiallarni elastiklik xossasidan tashqaridagi qoldiq deformatsiya
116	Xavfli kesim	dangerous section	Опасное сечение	Eng katta kuchlanish ta'siridan kesim yuzada emirilish sodir bo'lishi mumkin
117	Xavfli nuqta	dangerous point	Опасная точка	Kuchlanishni eng katta qiymati hosil bo'lgan nuqta.
118	Siljish	shift	сдвиг	Tashqi kuch ta'siridan brus kesim yuzalarini bir-biriga nisbatan ko'chishi
119	Absolut siljish	absolute shear	Абсолютный сдвиг	Bir-birlik o'lchamga to'g'ri keluvchi siljish
120	Nisbiy siljish	relative shear	Относительный сдвиг	Bir-birlik o'lchamga to'g'ri keluvchi absolut siljish
121	Qirqilish	section	Срез	Xavfli siljish kesimida kesilishsga qarshilik ko'rsatish qobiliyati
122	Ezilish	crushing	Смятие	Siljish tekisligiga perpendikulyar yuzada material zarrachalarini ko'chishi
123	Siljish moduli	modulus rigidity	Модул сдвига	Siljishda fizik konstanta, ikkinchi tartibli elastiklik moduli

124	Birikma	Compound	Соединение	Ikkita jismni tutashtirish yuzasi va usuli
125	Payvand birikma	welded joint	Сварное соединение	Ikkita element materiallarini suyuq holatda biriktirish usuli
126	Parchin mixli bi-rikma	rivet connection	Заклепочное соединение	Ikkita elementni parchin mix vositasida biriktirish usuli
127	Buralish torsion	torsion	Кручение	Parallel joylashgan ikkita doiraviy kesimlarni bir o'q atrofida va bir-biriga isbatan aylanishi
128	Buralish burchagi	The angle of torsion	Угол кручения	Valning ko'ndalang kesim yuzasini o'q atrofida aylanish burchagini belgilaydi
129	Bikrlik shart	Conditions stiffness	Условие жесткости	Brus deformatsiyasini cheklangan qiymatini belgilovchi matematik ifoda
130	Ko'chish	displacement	Перемещение	Nuqtaning tashqi kuch ta'sirida shu kuch yo'nalishida bir chiziq bo'ylab ko'chishi
131	Differentsial bog'-lanish	Differential bond	Дифферентсияльная связь	Balka kesimining aylanish burchagi bilan salqililik orasidagi bog'lanish
132	Differentsial teng-lama	Differential equation	Дифферентсияльное уравнение	Balka egilgan o'qini tashqi kuch va bikrlik bilan bog'lanishining matematik ifodasi
133	Universal formula	Universal formula	Универсальная формула	Balka ixtiyoriy kesimining aylanish burchagi va salqiligini aniqlashni formulasi
134	Grafoanalitik usul	semigraphical method	Графоаналитический метод	Balka tanlangan kesimi ning aylanish burchagi va salqiligini aniqlashni analistik va grafikaviy usullarini mujassamlangan ko'rinishi
135	Murakkab qarshilik	Complex resistance	Сложное сопротивле-	Konstruktsiyani ikkita va undan ortiq oddiydeforma-

			ние	tsiyalar ta'sirida bo'lishi
136	Qiyshiq egilish	Oblique bending	Косой изгиб	Tashqi kuchning ta'sir chizig'i bo'ylama o'qiga perpendikulyar joylashib, ko'ndalang kesimining birorta ham bosh inertsiya o'qlari tekisligidan o'tmaydigan sterjenning deformatsiyasi
137	Markazlashmag an siqilish	eccentric compression	Внешцентренн ое сжатие	Bo'ylama o'qiga parallel kuch ta'sirida cho'zilish (siqilish)ga uchraydigan va ko'ndalang kesimining birorta ham bosh inertsiya o'qlari tekisligida egilmaydigan (egiladigan) brusning deformatsiyasi
138	Buralish bilan egilishni birgallikdagi ta'siri	Twisting and bending	Кручение и изгиб	Valning kesim yuzasida burovchi va eguvchi momentlarni hosil bo'lishi, ya'ni valni buralish bilan egilish deformatsiyalarining birgalikdagi ta'sirida bo'lishi
139	Keltirilgan moment	The point above	Приведенный момент	Turli mustahkamlik nazarialari asosida hisoblangan burovchi va eguvchi momentlarning yig'indisi
140	Noustuvorlik	Instability	Неустой-чивость	Siquvchi kuch ta'sirida sterjenning to'g'ri chiziqli shaklini saqlab qola olmasligi
141	Kritik kuch	Critical force	Критическая сила	Sterjen ustuvorligini yo'qolishiga sabab bo'lувчи kuch
142	Egiluvchanlik	eligibility	Избираемост	Turli uzunlik va o'lcham-dagi sterjenlarni to'g'ri chiziqli shaklini elastik o'zgartirish xususiyatini ifodalovchi konstanta
143	Ustuvorlik sharti	The stability condition	Условие устойчивости	Ingichka va uzun sterjennlar ustuvor holatini ta'minlovchi shartni

				matematik ifodasi
144	Dinamik kuch	dynamic force	Динамическая сила	Qisqa vaqt oralig'ida qiymatini o'zgartiruvchi kuch
145	Dinamik deformatsiya	dynamic deformation	Динамическая деформация	Dinamik kuch ta'siridagi brusni shakl yoki o'lchamlarini o'zgarishi
46	Zarb ta'siri	Influence of Shot	Влияние удара	Ma'lum balandlikdan tushgan yukni jismga ta'siri
147	Zarbga sinash	Impact test	Испытание на удар	Zarb ta'sirida material xossalariini o'rganish
148	O'zgaruvchan kuchlanish	AC voltage	Переменное напряжение	Vaqt oralig'ida qiymati va ishorasini o'zgartiradigan kuchlanish
149	Materialni toliqishi	Fatigue material	Усталость материала	O'zgaruvchan kuchlanish ta'sirida materialni darz yorilishi
150	Chidamlilik chegara	Stamina border	Граница выносливости	Materiallarning toliqishini cheklaydigan chegara
151	Birikma	joint	Соединение	Detallarni yig'ish vositasi (usuli).

MATERIALLAR QARSHILIGI FANING RIVOJIGAHISSA QO'SHGAN OLIMLAR

M. T. O'ROZBOEV
(1906 - 1971)



Muxammad Toshevich O'rozboev 1906 yil 5 mayda Qo'qon shahrida to'g'ilgan. 1928 yildan Moskva MVTU ni mexanika fakultetida, keyin Moskva to'qimachilik institutining mashinasozlik, Moskva davlat universitetining mexanika-matematika fakultetlarida o'qigan.



1947 yildan texnika fanlari doktori va professor, 1956 yil O'zbekiston Respublikasi Fanlar Akademiyasi akademigi, A.R.Beruniy nomidagi Toshkent politexnika instituti rektori bo'lib ishlagan. 1960 yil O'zbekiston Respublikasida xizmat ko'rsatgan fan va texnika arbobi, 1967 yil Beruniy nomidagi O'zbekiston davlat mukofoti lauriyati.

M.T.O'rozboev «Nazariy mexanika», «Materiallar qarshiligi» (T., «O'qituvchi» nashriyoti, 1973-491bet) fanlaridan o'zbek tilidagi birinchi darsliklarni yozgan

K. M. MANSUROV
(20.09.1908)



K M Mansurov Narimonov nomli pedagogika texnikumi (1928 yil), O'rta Osiyo irrigatsiya injelerlari va texniklari instituti (SANITI, hozirgi TIIIMSX) ni (1932 yil) tugatgan. O'rta Osiyo temir yo'llari injelerlari instituti institutida (1932-37 yy.), To'qimachilik instituti da assistent (1938-52 yy), shu institutda dotsent (1952 yildan), kafedra mudiri (1959 yildan) bo'lib ishlagan.



Ilmiy ishlari materiallar qarshiligi, xususiyturli nagrzkalar ta'siridagi elastik sistemalarning statik va dinamik ustuvorligini hisoblashga oid. "Materiallar qarshiligi" darsligining (T., 1969 y) muallifi.

K.M.Mansurov Materiallar karshiligi kursi: Texnik o'quv yurtlari studentlari uchun darslik-Toshkent. O'qituvchi, 1983.-504 b.



S.A. Yo'doshbekov. Materiallar karshiligi Toshkent, «O'qituvchi » 1983 yil va 1995 yil

"Materiallar karshiligi" darsligi pedagogika institutlarining "Umumtexnika fanlari va mexnat", "Umumtexnika fanlari va fizika", "Chizmachilik, rasm va mexnat" ixtisosliklariga o'qiydigan studentlari uchun qisqartirilgan (70 soatli) programma asosida yozilgan bo'lib, unda materiallar qarshiligi fanining vazifalari, konstruktsiya elementlarida hosil bo'ladigan kuchlanishlar va deformatsiya turlari, mustahkamlik, bikrlik va ustivorlikka hisoblash masalalari keltirilgan

Vosip Qoraboev 1935 yil 13 iyunda Toshkent shahrining Chorsu dahasida tug'ildi. 1953 -1958 Toshkent to'qimachilik institutining mexanika texnologiya fakultetida oqiydi va 1964 yil avval assistent, katta o'qituvchi, 1978 yil dotsent lavozimida ishlaydi. 1995 yil "Qizil tong" fabrikasiga ishga o'tadi.

Vosip Qoraboev o'zbek tilida "Materiallar qarshiligi bo'yicha hisoblash – loyihalash ishlari", 1 qism 1975 yil, 2 qism 1976 yil; "Materiallar qarshiligidan masala Yechishga doir qo'llanma", 1 qism 1978 yil, 2 qism 1979 yil; "Materiallar qarshiligi" 1981 yil; "Materiallar qarshiligidagi ba'zi bir masalalar" 1983 yil; "materiallar qarshiligidan qisqacha kurs" darsligi 1998 yil chop etgan.



B.Q.Qoraboev, Yu.F.Leksashev Materiallar qarshiligi darsligi Oliy texnika o'quv yurtlarining talabalari uchun darslik.– Toshkent, «Fan va texnologiya», 2007, 192 bet

B. Qoraboev, Yu.F. Leksashev «Materiallar qarshiligidan laboratoriya amaliy mashg'ulotlari» © «O'ZBEKISTON» nashriyoti, 2004.

B.Qoraboev, Yu. Leksashev Materiallar qarshiligidan qisqacha kurs: Oliy texnika o'quv yurtlarining talabalari uchun darslik.-Toshkent O'zbekiston, 1998.-208

**SAYDAMIN
MAGRUPOVICH
XASANOV**



S.M. Xasanov 17 fevral 1947 yil Toshkent shaxrida xizmatchi oilasida tug'ilgan. 1964 yili Tula politexnika institutiga kirib 1969 yili Toshkent Politexnika institutining samalyotsizlik fakultetini tugatgan. 1969-1995 yilgacha Toshkent politexnika institutida assistent, katta o'qituvchi va dotsent. 1995-2004 yillarda Toshkent Davlat Aviatsiya institutida fakultet dekani, 2004-2008 yilgacha shu institutda "Loyixalash asoslari"



kafedrasi mudiri, 2008-2012 yillar Toshkent avtomobil yo'llar instituti "Nazariy mexanika va materiallar qarshiligi" kafedrasi mudiri, 2012 yildan hozirgi kungacha Toshkent Davlat Texnika universitetining "Materiallar qarshiligi va mexanika" kafedrasi professori.

S.M. Xasanov , A. Nabiyev oliy ta'lim muassasalari uchun "Materiallar qarshiligi" ("Fan va texnologiya" nashriyoti, Toshkent 2005 yil) darslik muallifi.

S.M. Hasanov, A. Nabiyev Materiallar qarshiligidan masalalar yechish: Oliy texnika o'quv yurtlari talabalari ychun o'quv qo'llanma. Toshkent: O'zbekiston, 2006, 288 b



Абдимутал Набиев

A. Nabiev 1957 yil Samarqand viloyati, Nurota tumanida tavallud topgan. 1973-1978 yillarda Beruniy nomli Toshkent politeknika instituti mexanika fakultetida tahsil olib, "Qishloq xo'jaligi mashinalari" ixtisosligini egallagan.



«Materiallar qarshiligidan misollar Yechish». O'zbekiston nashriyoti, Toshkent, 2006 yil, lotin alifbosida (hammuallif S.M.Hasanov), «Amaliy mexanika», Toshkent « Yangi asr avlodi» nashriyoti va «Materiallar qarshiligi ». Toshkent « Yangi asr avlodi » nashriyoti. Materiallar qarshiligi (lotin alifbosida), «Yangi asr avlodi» nashriyoti Toshkent 2008-380 bet

**БИБУТОВ НАРЗУЛЛА
САЛИМОВИЧ**



H.C.Bibutov 1950 yil 7 iyul Buxoro viloyat Korakoul tumaniida tughilgan. 1972 yil Toshkent irrigация va kishloq xujaligini mechanizatsiyaлаш инженерлари institutini tamomlagan. Tekhnika fanlari nomzodi, dozent.



2003 yil «Materiallar ya羞илиги асослари» darsligini (T. Minxoh nashriёti) chop etган. N.S.Bibutov. A.X.Hojiev Materiallar karshiligi. Oly ta'lim muassasalarini talabalari uchun darslik. Toshkent, Fan va texnologiyalar, 2016 y., 440 bet. N.S.Bibutov. A.X.Hojiev. Materiallar karshiligini o'qitish metodikasi. Oly



ta'lim muassasalari talabalari uchun o'quv qo'llanma. Toshkent, Fan va texnologiyalar, 2017 y. 672 bet.

2002 yil kasb xunaр коллажлари учун "Амалий механика" (Т, Узинкоммарказ нашриёти), 2005 yил "Техник механикадан амалий машгулотлар" (Т, Илм зиё нашриёти) ўкув қўлланмалари, 2008 yил ОТМ лар учун "Амалий механика" дарслиги Янги йўл полиграф сервис нашриёти, 2013 yил "Материаллар каршилигини ўқитиш методикаси" (хаммуаллиф Н.М.Муродов) Б., Дурдона нашриёти, N.S.Bibutov, A.X.Hojiev, H.R.Ro'ziev, S.M.Xasanov "Materiallar qarshiligi. Tajriba ishlari." B. DUNA POLIGRAF xususiy korxonasi, 2019 yил "Механика: тарихи ва тараккиёт йули" (хаммуаллиф М.М.Муродов), Т, Мухаррир нашриёти, 2019 yil N.S.Bibutov va boshqalar "Amaliy mexanika" oquv qollanma . Т. Sano standart nashriyoti chop etildi

Bibutov N.S.,Hojiev A.X va boshqalar:O'zbekiston Respublikasi intellektual mulk agentligining № DGU-05010 ; № DGU-04187; № DGU- 04188; № DGU- 04266; № DGU-04307; № DGU-0364; №DGU-03273; № DGU-03458; № DGU-05960; № DGU-05961; №DGU-05962 guvohnomalarining mualliflari

HOJIEV A.X



Aziz Xolmurodovich Hojiev 1979 yil 13 dekabrda Buxoro viloyatining G'ijduvon tumanida tug'ilgan. 2001 yil Buxoro oziq-ovqat va engil sanoat texnologiyasi institutini Binolar va sanoat inshootlar kurilishi mutaxas-sisligi buyicha bakalavriatni va 2003 yilda «Kurilish konstruktsiyalari, binolar va inshootlar» mutaxassisligi bo'yicha magistraturani bitirgan.

A.X. Xojiev tomonidan 30 dan ortiq ilmiy ishlar chop etilgan: jumladan, , "Materiallar qarshiligi" fanidan 1 ta darslik, 3 ta o'quv qo'llanma, 11 ta elektron darslik va qo'llanma.



A.X. Xojiev- "Materiallar qarshiligi. Amaliy mashg'ulotlar va hisoblash grafik ishlari uchun misollar."

N.S.Bibutov, A.X.Hojiev, H.R.Ro'ziev, S.M.Xasanov
"Materiallar qarshiligi. Tajriba ishlari."

O'zbekiston respublikasi O va O'MTV ning 2018 yil 7 dekabrdagi 1000 sonli

buyrug'iga asosan 5340200 va 5310600 ta'lim yo'nalishlari uchun o'quv qo'llanma sifatida tavsiya etilgan. DUNA

POLIGRAF xususiy korxonasida chop etilgan. Buxoro shahri. O'zbekiston Mustaqilligi ko'chasi 28uy.

N.S.Bibutov, Hojiev A.X va boshqalar "Amaliy mexanika" oquv qollanma . T. Sano standart nashriyoti chop etildi

Bibutov N.S.,Hojiev A.X va boshqalar:O'zbekiston Respublikasi intellektual mulk agentligining № DGU-05010 ; № DGU-04187; № DGU- 04188; № DGU- 04266; № DGU-04307; № DGU-0364; №DGU-03273; № DGU-03458; № DGU-05960; № DGU-05961; №DGU-05962 guvohnomalarining mualliflari



S.P.TIMOSHENKO
(1878-1972)



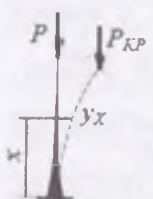
M.T.Ergashev. Materiallar qarshiligi hisoblash-loyihalash ishlari. Toshkent. «Moliya» Qo'llanmada materiallar qarshiligi fanining hamma bo'limgalariga oid hisoblash- loyihalash ishlari va ularni bajarish namunalarini keltirilgan. Qo'llanmadagi masalalardan oliv texnika va o'rta maxsus, kasb – hunar ta'lim muassasalarida o'qitiladigan texni kaviy mexanika fanlarining ayrim bo'limlari bo'yicha amaliyot darslari o'tish va talabalarga mustaqil ishlar berishda ham foydalanish mumkin

Stefan Timoshenko injenerlik ishi va materiallar karshiligi buyicha yirik mutaxassis. S.P. Timoshenko 1901 yil Peterburg yo'llar aloqasi injenerlar institutini tugatgan. Inshootlarning mustahkamlik, ustuvorlikka va dinamikasini juda ko'plab izlanishlar o'tkazgan. Dinamik va statik masalalarda

«Timoshenko balkasi» nomli sterjenni modeli tadbiq etilgan

С.П. Тимошенко. Д.Ж. Гере. Механика материалов. , Москва, «Мир», 1976 год. Книга содержит энциклопедически полное изложение методов расчета материалов на прочность и устойчивость. В ней представлено исследование напряженно-деформированного состояния стержневых систем при самых различных условиях нагружения.





$$P_{KP} = \frac{\int_0^l EI(V'')^2 dx}{\int_0^l (V')^2 dx}$$



Изложение сопровождается хорошо продуманными примерами, наглядными графиками, обстоятельными историческими комментариями.

В. И. ФЕОДОСЬЕВ 1916-1991



В. И. Феодосьев родился 5 мая 1916 года в г. Калуге. В 1941 году окончил Московский механико-машиностроительный институт имени Н. Э. Баумана

Более сорока лет Всеволод Иванович читал лекции по сопротивлению студентам МВТУ. Все это время велась целенаправленная работа над содержанием курса.

Феодосьев В.И. Сопротивление материалов: Учебник для вузов-9-е изд., перераб.-М.:Наука. Гл.ред. Физ.-мат. лит. 1986.-512 с.

М. М. ФИЛОНЕНКО- БОРОДИЧ 1882-1962



Родился 23 мая 1885 года в городе Глухов Черниговской губернии. В 1914 году окончил Московский институт инженеров путей сообщения (МИИТ).

В 1919 году начинается педагогическая деятельность М. М. Филоненко-Бородича: он становится профессором, заведующим кафедрой строительной механики в Московском политехническом институте. С 1930 года преподавал в МГУ, профессор, в 1937—1939 годах — заведующий кафедрой теории



упругости механико-математического факультета МГУ. С 1932 года работал также в Военно-инженерной академии (с 1935 года имени В. В. Куйбышева). Генерал-майор инженерно-технической службы. Умер 30 мая 1962 года в Москве.

Н.М.БЕЛЯЕВ
1890-1944



Николай Михайлович Беляев 24 января 1890, Владимира — учёный в области теории прочности, профессор, член-корреспондент АН СССР. В 1916 году Н. Беляев окончил Петербургский институт инженеров путей сообщения. Остался работать в этом же институте под руководством Степана Прокофьевича Тимошенко на кафедре сопротивления



материалов.

Сопротивление материалов, Н.М. Беляев, Главная редакция физико-математической литературы изд-ва "Наука", Москва, 1976 г., стр.608.

Г. С. ПИСАРЕНКО
1910-2001



Родился 12 ноября 1910 года на хуторе Скрильники Кобеляцкого уезда Полтавской губернии. В 1936 г. закончил с отличием судостроительный факультет Горьковского индустриального института. Академик АН УССР (1964), заслуженный деятель науки УССР (1973), дважды



лауреат Государственной премии УССР в области науки и техники (1969, 1980). Преподавал в Киевском политехническом институте и продолжал фундаментальные исследования нелинейных колебаний механических систем с учетом рассеивания энергии в материале, результаты которых стали основой

успешно защищенной им в 1948 г. докторской диссертации, а затем были удостоены премии им. М. М. Крылова АН УССР.



Г.М.Ицкович.Сопротивление материалов. Учебное пособие для учащихся машиностроительных техникумов. Издание 5-е, М, «Высшая. Школа» 1978-439

Г.М.Ицкович. Методика преподавания сопротивления материалов в техникумах. Учебное методическое пособие. – М.«Высшая школа», 1990- 224 с.ил.

. Материаллар каршилигидан масалалар түплами: Олий техника укув юрт. талабалари учун қулл. [Н.М. Беляев, Л.А. Белявский, Я.И. Купнис ва бошк.; В.К.Качурин таҳрири остида]-Тошкент.: Ўзбекистон, 1993-336 б. Түпламда материаллар каршилиги курсининг барча асосий бўлимлари: чўзилиши-сикилиш, мураккаб зўрликкан ҳолат ва мустаҳкамлик назарияси, силжиш ва эзилиш, буралиш, эгилиш, мураккаб каршилик конструкциялар элементларининг устиворлиги, юкланишларнинг динамик ва узок муддат таъсирига тегишли масалалар берилган.

ADABIYOTLAR

1	M.T.O'rozboev	Materiallar qarshiligi kursi. Toshkent, «O'qituvchi» nashriyoti, 1973-491bet.
2	K.M.Mansurov	Materiallar qarshiligi kursi: Texnik o'quv yurtlari studentlari uchun darslik. Toshkent. O'qituvchi, 1983.-504 b.
3	S.A. Yo'ldoshbekov	Materiallar qarshiligi Toshkent, «O'qituvchi » 1983 yil va 1995 yil
4	N.S.Bibutov	Materiallar qarshiligi asoslari. Oliy ta'lif muassasalari talabalari uchun darslik. Toshkent. Minhoj, 2003- 557 b.
5	N.S.Bibutov. A.X.Hojiev	Materiallar qarshiligi. Oliy ta'lif muassasalari talabalari uchun darslik. Toshkent, «Fan va texnologiyalar», 2016, 440 bet
6	N.S.Bibutov. A.X.Hojiev	Materiallar qarshiligidini o'qitish metodikasi. Oliy ta'lif muassasalari talabalari uchun o'quv qo'llanma.Toshkent, «Fan va texnologiyalar», 2017, 670 bet
7	A.Nabiev, S.M.Xasanov	«Materiallar qarshiligi » o'quv qo'llanmasi. "Fan va texnologiyalar" nashriyoti, Toshkent 2005 yil
8	A.Nabiev	Materiallar qarshiligi (lotin alif-bosida), «Yangi asr avlodni» nashriyoti Toshkent 2008-380 bet
9	S.M.Xasanov A.Nabiev	Materiallar qarshiligidan masalalar y'Yechish: Oliy texnika o'quv yurtlari talabalari ychun o'quv qo'llanma. Toshkent: O'zbekiston, 2006, 288 b
10	B.Q.Qoraboev, Yu.F.Leksashev	Materiallar qarshiligi darsligi Oliy texnika o'quv yurtlarining talabalari uchun darslik.- Toshkent, «Fan va texnologiyalar», 2007, 192 bet
11	B. Qoraboev, Yu.F. Leksashev	«Materiallar qarshiligidan laboratoriya amaliy mashg'ulotlari», Toshkent «O'ZBEKISTON» nashriyoti, 2004
12	B. Qoraboev, Yu.F. Leksashev	Materiallar qarshiligidan qisqa kurs Oliy texnika o'quv yurtlarining talaba-lari uchun darslik.- Toshkent O'zbekiston, 1998.-208 b.
13	M.T.Ergashev.	Materiallar qarshiligi hisoblash-loyihalash ishlari.
14	V.K.Kachurin va boshqalar	Materiallar qarshiligidan masalalar to'plami.Toshkent.O'zbekiston, 1993-336 b
15	Г.М.Ицкович	Сопротивление материалов. Учебное пособие для учащихся машиностроительных техникумов. Издание 5-е, перераб .М., «Высшая школа»,1978-439 с.ил

16	Г.М.Ицкович	Методика преподавания сопротивления материалов в техникумах. Учебное методическое пособие для преподавателей машиностроительных техникумов. — М.«Высшая школа», 1990- 224 с.ил
17	Феодосев В.И	Сопротивление материалов: Учебник для вузов-9-е изд., перераб.-М.:Наука. Гл.ред. Физ.-мат. лит. 1986.-512 с.
18	A.F.Smirnov	Materiallar qarshiligi. Qurilish va transport oliv o'quv yurtlari uchun darslik. Toshkent.-O'qituvchi, 1988- 460 b.
19	Н.Н.Миролюбов и другие	Пособие к решению задач по сопротивлению материалов: Учеб. Пособие для техн. Вузов, Москва.: Высш. Шк.,1985. 399 с.
20	А.И. Винокуров.	Сборник задач по сопротивлению материалов: Учебное пособие для учащихся машиностроительной специальности техникумов.-Москва. Высш.шк. 1990.-383.
21	А.И. Винокуров.	Сборник задач по сопротивлению материалов: Учебное пособие для учащихся машиностроительной специальности техникумов.-Москва. Высш.шк. 1990.-383.
22	Дарков А.В., Шпиро Г.С.	Сопротивление материалов: Учеб. Для техн. Вузов-5-е изд., перераб. и доп.-Москва.: Высш. Шк., 1989.-624 с.: ил.
23	С.П.Тимошенко. Д.Ж. Гере	Механика материалов , Москва, «Мир», 1976 год
24	А.С.Волмир	Сборник задач по сопротивлению материалов. Москва.: Наука, Главная редакция физико-математической литературы, 1984.- 408 ст.
25	Н.М. Беляев	Сопротивление материалов, Главная редакция физико-математической литературы изд-ва "Наука", Москва , 1976 г., стр.608
26	Долинский Ф.В., Михайлов М.Н	Краткий курс сопротивления материалов: Учеб. Пособие для машиностроит. Вузов-Москва.: Высш. шк.,1988.-432 с.: ил.
27	Г.С. Писаренко	Справочник по сопротивлению материалов.
28	П.Г. Королев	«Сборник задач по сопротивлению материалов» Изд.2. Киев, издательское объединение «Виша школа», 1977, 288 с.
29	Г.С.Варданян, Е.И Андреев и другие	Сопротивление материалов с основами теории упругости и пластичности. Учебник под редакцией Г.С.Варданяна -М. Издательство АСВ, 1995 -578 стр.

30	А.М. Афанасев, В.А. Марин	Лабораторный практикум по сопротивлению материалов, Учебное пособие. издание 2-е, переработанное, Главная редакция физико-математической литературы изд-ва «Наука», Москва, 1975.
31	Шапиро Д.М. и другие	Сборник задач по сопротивлению материалов. издание 3-е, Учебн. пособие для машиностроительных техникумов. Москва., «Высшая школа», 1970. 335 с.
32	A.A.Василев	Металлические конструкции: Учебное пособие для техникумов. М. Стройиздат, 1979.- 472 с.
33	Germaniya. DiChTe GmbH firmasi	“Materiallar qarshiligi” laboratoriya uskunalar. GUNT tomonidan ishlab chiqilgan yo’riqnomalar
34	Bibutov N.S., Hojiev A.X va boshqalar:	O’zbekiston Respublikasi intellektual mulk agentligining № DGU-05010; № DGU-04187; № DGU- 04188; № DGU- 04266; № DGU-04307; № DGU-0364; № DGU-03273; № DGU-03458; № DGU-05960; № DGU-05961; № DGU-05962 guvohnomalari
35	П.А. Степин	Сопротивление материалов: учебник для вузов.-б-е изд., -Москва.: Высш.школа, 1979.- 312с., ил.
36	N.Bibutov, A.Xojiev X.Ruziev S.Xasanov	O’zbekiston Respublikasi Oliy va o’rta maxsus ta’lim vazirligining 2018 yil 7-dekabrdagi 1000 sonli buyrug’iga asosan “Materiallar qarshiligi” fanidan tajriba ishlari o’quv qo’llanmasi DUNA POLIGRAF xususiy korxonasida chop etilgan. Buxoro shahri. O’zbekiston Mustaqilligi ko’chasi 28uy.
37	A.Xojiev	O’zbekiston Respublikasi Oliy va o’rta maxsus ta’lim vazirligining 2018 yil 7-dekabrdagi 1000 sonli buyrug’iga asosan “Materiallar qarshiligi” fanidan amaliy mashgulotlar o’quv qo’llanmasi DUNA POLIGRAF xususiy korxonasida chop etilgan. Buxoro shahri. O’zbekiston Mustaqilligi ko’chasi 28uy.
38	Obodovskiy	Materiallar qarshiligidan misol va masalalar» Ruscha uchinchi nashridan tarjima, Oliy texnika o’quv yurtlari studentlari uchun o’quv qo’llamasi, Toshkent-«O’qituvchi»-1980

MUNDARIJA

Kirish.....	5
Kuch va kuch turlari.....	11
Ichki kuch faktorlari.....	13
Kesish usuli	13
Ichki bo'ylama kuchni topish.....	14
Burovchi momentni aniqlash.....	18
Egilishda ichki kuchlarni aniqlash.....	19
Ikki tayanchli balkada ko'ndalang kuch va eguvchi momentlarni tajribada aniqlash.....	34
Ramalarda ichki kuch faktorlarini aniqlash.....	39
Ichki kuch faktorlarini aniqlash.....	41
Egri sterjenlarda ichki kuch faktorlarini aniqlash.....	50
Murakkab qarshiligidka ichki kuch faktorlarini aniqlash.....	51
Ferma sterjenlаридаги ichki zo'riqish kuchlarni aniqlash.....	53
Kuchlanish.....	56
Deformatsiya va ko'chish.....	57
Materiallar qarshiligidga qabul qilingan gepotezalar.....	59
Konstruktsiya elementlari.....	65
I-BOB. TEKIS KESIM YUZALARING GEOMETRIK TAVSIFLARI.....	67
1.1. Statik moment va inertsiya momentlari haqida tushuncha.....	67
1.2. Parallel o'qlarga nisbatan inertsiya momentlar.....	69
1.3. Oddiy kesim yuzalarining geometrik tavsiflari.....	70
1.4 Murakkab geometrik shakllarning inertsiya momentlari.....	73
1.5. Koordinata o'qlarini aylantirganda inertsiya momentlari.....	74
1.6. Inertsiya ellpsi haqida tushuncha.....	76
II-BOB. CHO'ZILISH VA SIQILISH.....	90
Markaziy cho'zilish yoki siqilish.....	90
Kuchlanish.....	92
Deformatsiya.....	93
2.2. Harorat ta'sirida kuchlanish va deformatsiya.....	96
2.3. Xususiy og'irlik ta'siridagi sterjenning cho'zilish yoki siqilishi.....	97
Cho'zilish va siqilishga hisoblash.....	100
2.4. Cho'zilish va siqilishda statik noaniq sistemalar.....	104
Chekli yuk bo'yicha hisoblash asoslari.....	113
Materiallarning xossalalarini tajribada o'rganish.....	114
Materiallarni cho'zilish va siqilishga sinashdan maqsad.....	115
Cho'zilishda mustahkamlik va deformatsiya.....	117
Cho'zilish diagrammasi.....	118
Tajribani bajarish tartibi.....	118
Kuchlanish va nisbiy deformatsiya diagrammasi.....	120
Ayrim materiallarni cho'zilishda mustahkamlik chegarasi va uzilishdagi uzayishi.....	122
Materiallarni siqilishga sinash.....	123
Yog'och materialini siqilishga sinash.....	126
Mustahkamlikka ehtiyojistik koeffitsienti.....	127
Ayrim materiallar uchun cho'zilish va siqilishda ruxsat etilgan kuchlanish.....	129
Cho'zilish va siqilishdagi potentsial energiya.....	130

Materiallarning qattiqligini tajribada aniqlash.	130
Brinell, Yuxan Avgust.	131
Brinell bo'yicha qattiqlikni aniqlash.	132
Qattiqlik aniqlash yuzasidan sinov golovkasi.	133
Qattiqlik yuzasidan sinov mexanizmi.	133
Kuchlanishlar kontsentratsiyasi.	133
Kontakt kuchlanishlar haqida tushuncha.	135
Yangi materiallarning mexanik xarakteristikaları.	136
III- BOB. KUCHLANGANLIK HOLATLARI VA MUSTAHKAMLIK	
NAZARIYALARI.....	177
Umumiy tushunchalar.	177
Kuchlanishlar tenzori.	180
Deformatsiya nazariyasi.	185
Bosh deformatsiyalar.	186
Kuchlanish va deformatsiyalar bog'lanishlari.	187
3.1. Chiziqli kuchlanganlik holati.	189
3.2. Tekis kuchlanganlik holati.	190
3.3. Kuchlanishlarni grafik usulda topish.	192
3.4. Hajmiy kuchlanganlik holati.	193
3.5. Hajmiy deformatsiya.	195
3.6 Deformatsiyaning potensial energiyasi.	196
Turli kuchlanganlik holatlarini tahlili.	197
Yupqa devorli idishlarni hisoblash.	205
PER SIMON LAPLAS (1749 – 1827)	210
Yupqa devorli silindirda kuchlanish va deformatsiyalar tahlili.	211
3.7. Mustahkamlik nazariyaları.	221
IV-BOB. SILJISH.	230
Umumiy tushunchalar.	230
4.1. Sof siljishda kuchlanish va deformatsiya.	232
4.2. Sof siljishda ruxsat etilgan kuchlanish.	234
4.3. Parchin mixli birikmalami hisoblash.	235
4.4.Payvand birikmalar.	237
V - BOB. BURALISH.	246
5.1. Burovchi moment haqidatushuncha.	246
5.2.Doiraviy kesim yuzali bruslarning buralishida deformatsiya va kuchlanish.	249
5.3. Buralishda mustahkamlik va bikrilik shartları.	253
5.4. Buralishda statik noaniq masala.	254
5.5. Buralishda kuchlanish holatining tahlili.	255
Materiallarni buralishga sinash.	256
5.6.Vintsimon tsilindrik prujinalarni hisoblash.	260
5.7. Buralishda potensial energiya.	263
5.8. Kesimi doiraviy bo'limgan sterjenlarning buralishi.	263
Balkalar va balkali konstruktsiyalar.	278
6.1.Tayanch va tayanch turlari.	279
6.2.EGILISHDA NORMAL KUCHLANISH.	282

Egilishda normal kuchlanish bo'yicha mustahkamlik shart.....	285
6.3.EGILISHDA URINMA KUCHLANISH.....	286
Normal va urinma kuchlanish formulalarini turli kesimlarga tadbiq etish.....	290
DMITRIY IVANOVICH JURAVSKIY (1821 – 1891).....	295
6.4.Egilish markazi.....	296
Ratsional kesim.....	299
6.5. Balka mustahkamligini bosh kuchlanishlar buyicha tekshirish.....	305
Balkani urinma kuchlanish bo'yicha tekshirish.....	313
Tarkibiy balkalar.....	314
VII. BOB. EGILISHDA BALKALAR NING KO'CHISHINI ANIQLASH.....	322
7.1. Salqiliq va kesimning aylanish burchagi.....	322
7.2. Balka egilish o'qining differentsiyal tenglamasi.....	324
7.3. Boshlang'ich parametrler usuli.....	326
7.4. Egilishda ko'chishni topishning grafoanalitik usuli.....	329
To'g'ri balkaning deformatsiyalanishini tajribada o'rganish.....	331
7.5. TENG QARSHILIK KO'RSATUVCHI BALKALAR.....	362
O'zgaruvchan kesimli balkalarda ko'chishlar.....	364
7.6. Egilishda ko'chishlarni topishning energetik usullari.....	365
7.6.1. Egilish deformatsiyasining potentsial energiyasi.....	365
7.6.2. Ishlar orasidagi bog'lanishlar teoremasi. Ko'chishlar orasidagi bog'lanishlar teoremasi.....	367
D.K.MAKSVELL (1831-1879)	368
7.6.3. Egilishda ko'chishlarni aniqlashning Mor integrali.....	369
OTTO MOR (1835 – 1918)	370
Vereshagin qoidasi	371
7.7. Statik aniqmas sistemalar	380
7.8.Uzluksiz balkalar. Uch moment teoremasi	384
7.9. Statik aniqmas ramalar	388
Statik aniqmas sistemalarda tayanch reaksiyalarini tajribada aniqlash.....	390
Maksvel-Betti qonuni	391
Ramalarning deformatsiyalanishini tajribada o'rganish.....	394
Mor integrali tadbiq etiladigan misollar	429
7.10. Materiali guk qonuniga bo'yunsunmaydigan balkalarning egilishi	440
VIII-BOB. EGRI STERJENLAR	443
Egri sterjenlarda ichki kuch faktoriari	443
8.1. Ko'ndalang va bo'ylama kuchlar bilan bog'liq bo'lgan kuchlanishlar	444
8.2. Eguvchi moment bilan bog'liq bo'lgan kuchlanishni aniqlash	445
8.3. Egri sterjenda neytral o'q holatini aniqlash	448
8.4. Egri sterjenlarda mustahkamlik shart	449
8.5. Egri sterjenlarning deformatsiyasi	450
Egri o'qli sterjenning deformatsiyalanishini tajribada o'rganish	452
Parabolik arka	461
IX-BOB. MURAKKAB QARSHILIKLAR	465
9.1. Egilish bilan buralishning birgalikdagi ta'siri	466
9.2. Qiysiq egilish	468

9.3 Markazlashmagan siqilish (cho'zilish)	471
9.4. Egilish bilan cho'zilish yoki siqilishning birgalidagi ta'siri.....	475
Kuchlanganlik holatini tajribada tekshirish.....	477
Nosimmetrik egilish.....	484
Vallarni hisoblash.....	497
X- BOB. SIQLGAN STERJENLARNI USTUVORLIKKA HISOBBLASH.....	510
Ustuvorlik haqida tushuncha.....	510
10.1. Kritik kuchni aniqlash. Eyler formulasi.....	512
LEONARD EYLER(1707 – 1783)	516
10.2. Eyler formulasini ishlatalish chegarasini aniqlash.....	517
10.3. Siqilgan sterjenning kundalang kesimdagisi ratsional shakli.....	519
10.4. Siqilgan sterjenlarni ustuvorlikka amaliy hisoblash.	521
Sterjenlarning ustuvorlikni yo'qotishini tajribada o'rganish.....	524
10.5. Bo'ylama va ko'ndalang egilish.....	531
XI - BOB. DINAMIK KUCHLANISHLAR.....	545
Umumiy tushunchalar.....	545
11.1. Berilgan tezlanishli harakatda kuchlanishni aniqlash	546
11.2. Tebranma harakatda kuchlanishni aniqlash.....	548
11.3. Zarb ta'sirida kuchlanish.....	550
11.4. O'zgaruvchan kesimli sterjenlarda zarb ta'siridagi kuchlanish.....	555
Sharpi zarbli tekshirish usulida materiallarni tekshirish.....	558
XII – BOB. O'ZGARUVCHAN KUCHLANISHLAR.....	564
12.1. Kuchlanish tsikllarining turlari.....	565
12.2. Simmetrik tsiklda chidamlilik chegarasini aniqlash.....	567
12.3. Nosimmetrik tsiklda chidamlilik chegarasini aniqlash.....	568
12.4. O'zgaruvchan kuchlanishlarda mustahkamlik sharti.....	570
XIII-BOB. DEFORMATSIYA VA KUCHLANISHLARNI EKSPERIMENTAL TEKSHIRISH.....	591
Eksperimental tekshirishning ahamiyati va printsipi.....	588
GLOSSARY.....	593
MATERIALLAR QARSHILIGI FANING RIVOJIGAHISSA QO'SHGAN OLIMLAR.....	608
ADABIYOTLAR.....	617

Содержание

Введение.....	5
Типы силы и мощи.....	11
Внутренние силовые факторы.....	13
Способ обрезки	13
Нахождение внутренней продольной силы.....	14
Определение крутящего момента.....	18
Определение внутренних сил в изгибе.....	19
Определение поперечной силы и изгибающих моментов в балке с двумя опорами на опыте.....	34
Определение внутренних силовых факторов в рамках.....	39
Определение внутренних силовых факторов.	41
Определение внутренних силовых факторов в криволинейных стержнях. .50	
Определение внутренних силовых факторов в комплексном сопротивлении.....	51
Внутренние напряжения в ферменных стержнях определение сил.....	53
Напредения.....	56
Деформация и миграция.....	57
Гипотезы, принятые в сопротивлении материалов.....	59
Элементы конструкции.....	65
I-БОБ. ГЕОМЕТРИЧЕСКИЕ ОПИСАНИЯ ПОВЕРХНОСТЕЙ ПЛОСКОГО СЕЧЕНИЯ.....	67
1.1. Понятие статического момента и моментов инерции.....	67
1.2. Моменты инерции относительно параллельных осей.....	69
1.3. Геометрические описания поверхностей нормального сечения.70	
1.4 моменты инерции сложных геометрических фигур.	73
1.5. Моменты инерции при вращении координатных осей.....	75
1.6. Понятие эллипса инерции.	76
ГЛАВА II. РАСТЯЖЕНИЕ И СЖАТИЕ.....	91
Центральное растяжение или сжатие.....	91
Напряжение.....	93
Деформация.	94
2.2. Растяжение и деформация под действием температуры.....	97
2.3. Растяжение или сжатие стержня под действием собственного веса.....	98
Расчет на растяжение и сжатие.....	101
2.4. Статически неопределенные системы при растяжении и сжатии.105	

Основы расчета по предельной нагрузке.....	115
Изучение свойств материалов на опыте.....	116
Цель испытаний материалов на растяжение и сжатие.....	116
Прочность и деформация при растяжении.....	118
Диаграмма растяжения.....	119
Порядок выполнения эксперимента.....	119
Диаграмма растяжения и относительной деформации.....	121
Предел прочности при растяжении отдельных материалов и удлинение при растяжении.....	123
Испытание материалов на сжатие.....	124
Испытание древесного материала на усадку.....	127
Коэффициент осторожности по консистенции.....	128
Допустимые напряжения на растяжение и сжатие для отдельных материалов.....	130
Потенциальная энергия при растяжении и сжатии.....	131
Определение твердости материалов на опыте.....	131
Бринелл, Юхан Август.....	132
Определение твердости по Бринеллю.....	133
Испытательная головка для определения твердости.....	134
Механизм поверхностного испытания на твердость.....	134
Концентрация напряжений.....	134
Понятие о контактных напряжениях.....	136
Механические характеристики новых материалов.....	137
ГЛАВА III. СОСТОЯНИЯ ПРОЧНОСТИ И ТЕОРИИ ПРОЧНОСТИ.....	178
Общие понятия.....	178
Тензор напряжений.....	182
Теория деформации.....	185
Деформации головы.....	188
Растяжение и деформация связей.....	189
3.1. Состояние линейного напряжения.....	191
3.2. Плоское состояние напряжения.....	192
3.3. Нахождение напряжений графическим способом.....	194
3.4. Условие объемного напряжения.....	195
3.5. Объемная деформация.....	197
3.6. Потенциальная энергия деформации.....	198
Анализ различных состояний напряжения.....	199
Расчет тонкостенной посуды.....	207

СИМОН ЛАПЛАС (1749 – 1827)	212
Анализ напряжений и деформаций в тонкостенном цилиндре.....	213
3.7. Теории последовательности.....	223
ГЛАВА IV. Сдвиг.....	232
Общие понятия.	232
4.1. Напряжение и деформация в чистом сдвиге.....	234
4.2. Допустимое напряжение при чистом сдвиге.....	236
4.3. Расчет соединений гвоздей клепки.....	237
4.4. Сварочные соединения.....	239
ГЛАВА V. Кручение.....	248
5.1. О крутящем моменте.....	248
5.2. Деформация и напряжение при скручивании брусков с круглым сечением.....	251
5.3. Условия прочности и долговечности при кручении.....	255
5.4. Статическая неопределенная проблема в кручении.....	256
5.5. Анализ состояния напряжения на витке.....	257
Испытание материалов на скручивание.....	258
5.6. Расчет винтовых цилиндрических пружин.	262
5.7. Потенциальная энергия при скручивании.....	265
5.8. Скручивание стержней, сечение которых не является круговым.....	265
Балки и балочные конструкции.....	280
6.1. Виды опор и опор.....	281
6.2. Нормальное напряжение при Изгибе.....	284
Консистенция при нормальном напряжении в изгибе обязательна.....	288
6.3. Попытка напряжения в изгибе.....	289
Применение формул нормального и обратного напряжений к различным сечениям.....	293
Дмитрий Иванович Журавский (1821 – 1891).....	298
6.4. Центр изгиба.....	299
Рациональное сечение.	302
6.5. Проверка прочности молотка на начальные напряжения.	309
Проверка балки на ударное напряжение.....	317
Структурный balkalar.....	318
ГЛАВА VII. ОПРЕДЕЛЕНИЕ СМЕЩЕНИЯ БАЛОК ПРИ ИЗГИБЕ.....	326
7.1. Крутизна и угол поворота сечения.	326
7.2. Дифференциальное уравнение оси вращения вала.	328
7.3. Метод начальных параметров.....	330
7.4. Графоаналитический метод нахождения смещения в изгибе.....	333

Изучение деформации правильного молотка на опыте.....	335
7.5. МОЛОТКИ С РАВНЫМ СОПРОТИВЛЕНИЕМ.....	364
Миграции в балках переменного сечения.....	366
7.6. Энергетические методы нахождения смещений в изгибе.....	367
7.6.1. Потенциальная энергия деформации изгиба.....	367
7.6.2. Теорема о связях между произведениями. Связи между миграциями.....	369
Д.К.Максвелл (1831-1879)	370
7.6.3. Интеграл Мора для определения смещения в изгибе.....	372
OTTO MOP (1835 – 1918)	372
Правило Верещагина.	373
7.7. Статически неопределимые системы.....	383
7.8.Непрерывные молотки. Теорема о трех моментах.....	387
7.9. Статические неподвижные рамы.....	391
Определение реакций оснований в экспериментах в статически неопределимых системах.....	393
Закон Максвелла-Бетти.....	394
Изучение деформации рам на опыте.....	397
Примеры реализации интеграла Мора.....	432
7.10. Изгиб балок, материал которых не подчиняется закону Гука.....	443
ГЛАВА VIII. ИЗОГНУТЫЕ СТЕРЖНИ.....	446
Внутренние силовые факторы в изогнутых стержнях.....	446
8.1. Напряжения, связанные с поперечными и продольными силами.....	447
8.2. Определение напряжения, связанного с изгибающим моментом.....	448
8.3. Определение положения нейтральной оси на изогнутом стержне.....	451
8.4. В изогнутых стержнях консистенция обязательна.....	452
8.5. Деформация изогнутых стержней.....	453
Изучение деформации стержня с изогнутой осью на опыте.....	455
Параболическая арка.....	464
ГЛАВА IX. СЛОЖНЫЕ СОПРОТИВЛЕНИЯ.....	468
9.1. Совместное действие скручивания с наклоном.....	469
9.2. Косой изгиб.....	471
9.3 децентрализованное сжатие (растяжение)	474
9.4. Совместное воздействие растяжения или сжатия с изгибом.....	478
Проверка состояния напряжения в эксперименте.....	480
Симметричный изгиб.....	487
Расчет валов.....	500

ГЛАВА X. РАСЧЕТ СЖАТЫХ СТЕРЖНЕЙ ПО ПРИОРИТЕТУ	513
Понятие приоритета.	513
10.1. Определение критической силы. Формула Эйлера.....	515
ЛЕОНАРД ЭЙЛЕР(1707 – 1783)	519
10.2. Определение предела с помощью формулы Эйлера.....	520
10.3. Рациональная форма сжатого стержня в поперечном сечении.....	522
10.4. Практический расчет сжатых стержней на приоритет.	524
Экспериментальное исследование того, как стены теряют приоритет.....	527
10.5. Продольный и поперечный изгиб.....	534
ГЛАВА XI. ДИНАМИЧЕСКИЕ НАПРЯЖЕНИЯ.....	548
Общие понятия.....	548
11.1. Определение напряжения при движении с заданным ускорением.....	549
11.2. Определение напряжения при колебательном движении.....	551
11.3. Напряжение при ударе.....	554
11.4. Ударное напряжение в стержнях переменного сечения.....	558
Проверка материалов методом точечной проверки sharp.....	561
ГЛАВА XII. ПЕРЕМЕННЫЕ НАПРЯЖЕНИЯ.....	567
12.1. Типы циклов напряжения.....	568
12.2. Определение предела выносливости в симметричном цикле.....	570
12.3. Определение предела выносливости в симметричном цикле.....	572
12.4. Условие постоянства при переменных напряжениях.....	573
ГЛАВА XIII. КОНТРОЛ ЭКСПЕРИМЕНТАЛЬНЫЕ ДЕФОРМАЦИИ И НАПРЯЖЕНИЯ.....	591
Значение и принцип экспериментальной проверки.....	591
GLOSSARY.....	596
СОПРОТИВЛЕНИЕ МАТЕРИАЛОВ УЧЕНЫЕ, ВНЕСШИЕ ЗНАЧИТЕЛЬНЫЙ ВКЛАД В РАЗВИТИЕ НАУКИ.....	611
ADABIYOTLAR.....	620

Content

Introduction.....	5
Types of strength and power.....	11
Internal forces and moments.....	13
The method of pruning.....	13
Finding inner longitudinal force.....	14
Definition of torque.....	18
The determination of internal forces in bending.....	19
Determination of shear forces and bending moments in a beam with two supports on experience.....	34
Determination of internal force factors in frames.....	39
Determination of internal force factors.....	41
Determination of internal force factors in curved rods.....	50
Determination of internal forces in complex resistance.....	51
Internal stresses in truss rods determination of forces.....	53
Napadenie.....	56
Deformation and migration.....	57
The hypothesis adopted in mechanics of materials.....	59
Items construction.....	65
CHAPTER I. THE GEOMETRICAL DESCRIPTION OF FLAT SURFACES	
CECENIA.....	67
1.1. The concept of static torque and moments of inertia.....	67
1.2. Moments of inertia about parallel axes.....	69
1.3. The geometrical description of the surface normal of the section.....	70
1.4. the moments of inertia of complex geometric shapes.....	73
1.5. The moments of inertia under rotation of the coordinate axes.....	75
1.6. The concept of the ellipse of inertia.....	76
CHAPTER II. TENSION AND COMPRESSION.	
The axial tension or compression.....	91
Napryazhenie.....	93
Deformation.....	94
2.2. Stretching and deformation under the influence of temperature.....	97
2.3. Stretching or compression of a rod under its own visa.....	98
Calculation of tensile and compression.....	101
2.4. Statically indeterminate systems under tension and compression.....	105
The basics of calculating the maximum load.....	115
The study of the properties of materials on the experience.....	116
The purpose of the testing of materials in tension and compression.....	116
Strength and deformation under tension.....	118
Diagram rastyazheniya.....	119
The order of execution of the experiment.....	119
Tension diagram and relative deformation.....	121
Tensile strength of individual materials and tensile elongation.....	123
Materials testing in compression.....	124
Testing of wood material for shrinkage.....	127
Consistency caution factor.....	128
Allowable stresses in tension and compression for individual material.....	130
Potential energy in tension and compression.....	131
Determination of the hardness of materials by experience.....	131

Brinell, Johan August	132
Determination of Brinell hardness	133
Test head for hardness testing	134
The mechanism of surface testing for hardness	134
Stress concentration	134
The concept of contact voltages	136
Mechanical properties of new materials	137
CHAPTER III. STATE STRENGTH AND THEORY PROCHNOSTI	178
General information	178
Tensor stress	182
Theory deformatsii	185
Deformation golovy	188
Stretching and deformation relations	189
3.1. The status line voltage	191
3.2. Flat as voltage	192
3.3. Finding stresses graphically	194
3.4. Condition volumetric strain	195
3.5. Volumetric strain	197
3.6 the potential energy of deformation	198
Analysis of different States of stress	199
The calculation of thin-walled ware	207
SIMON LAPLACE (1749 – 1827)	212
Analysis of stresses and deformations in thin-walled cylinder	213
3.7. Theory sequence	223
CHAPTER IV. Sdvig	232
General concepts	232
4.1. The stress and deformation in pure shear	234
4.2. Allowable stress under pure shear	236
4.3. Calculation compounds nails riveting	237
4.4. Welding connection	239
CHAPTER V. Kruchenie	248
5.1. About torque	248
5.2. Deformation and strain in the twisting bars round secheniem	251
5.3. Terms of strength and durability torsional	255
5.4. Static indeterminate problem in torsion	256
5.5. Analysis of the voltage on the coil	257
Materials testing, torsion	258
5.6. Calculation of cylindrical helical springs	262
5.7. The potential energy when twisting	265
5.8. Torsion rods, the cross section of which is circular	265
Beams and beam construction	280
6.1. The types of supports and opor	281
6.2. Normal Bending Stress	284
Consistency under normal tension and bending mandatory	288
6.3. Attempt stresses in bending	289
The use of formulas of normal and reverse voltages to different secheniem	293
Dmitry Ivanovich Zhuravskii (1821 – 1891)	298
6.4. The Center bend	299
Rational cross-section	302

6.5. Checking the strength of the hammer for initial stresses.....	309
Checking the beam for shock stress.....	317
Structural balkalar.....	318
CHAPTER VII. DETERMINATION OF BEAM DISPLACEMENT DURING BENDING.....	326
7.1. The steepness and angle of rotation of the section.....	326
7.2. The differential equation of the axis of rotation of the shaft.....	328
7.3. The method of initial parameters.....	330
7.4. Graphic-analytical method of finding displacement in bending.....	333
The study of the deformation of the right hammer for the experience.....	335
7.5. Hammers with equal resistance.....	364
Migrations in beams of variable cross-section.....	366
7.6. Energy methods for finding displacements in a bend.....	367
7.6.1. Potential energy of bending deformation.....	367
7.6.2. A theorem on relations between products. Connection between migracjami.....	369
D. K. Maxwell (1831-1879)	370
7.6.3. Integral Mora to determine displacement in bending.....	372
OTTO MOORE (1835 – 1918)	372
The Vereshchagin rule.....	373
7.7. Statically indeterminate systems.....	383
7.8. Continuous hammers. The theorem of three moments.....	387
7.9. Static fixed frame.....	391
Determining the reactions of the bases in the experiments in statically indeterminate systems.....	393
The Law Maxwell-Betti.....	394
The study of the deformation of frames on the experience.....	397
Examples of implementation of the integral Mora.....	432
7.10. Bending of beams, material which does not obey Hooke's law.....	443
CHAPTER VIII. CURVED RODS.....	446
Internal forces and moments in curved rods.....	446
8.1. Voltage associated with transverse and longitudinal forces.....	447
8.2. Determination of the stresses associated with bending moment.....	448
8.3. Determination of the position of the neutral axis on the curved rod.....	451
8.4. From curved rods consistency mandatory.....	452
8.5. Warp bent rods.....	453
Study of the deformation of a rod with a curved axis by experience.....	455
Parabolic ARKA.....	464
CHAPTER IX. COMPLEX RESISTANCE.....	468
9.1. The combined effect of twisting with a slope.....	469
9.2. Oblique izgib.....	471
9.3 decentralized compression (tension)	474
9.4. Joint effect of stretching or compression with bending.....	478
Check the status of voltage in the experiment.....	480
Symmetric izgib.....	487
Calculation Valov.....	500
CHAPTER X. CALCULATION OF COMPRESSED RODS BY PRIORITY.....	513
The concept of priority.....	513
10.1. Determination of the critical force. Euler's Formula.....	515
LEONHARD EULER(1707 – 1783)	519

10.2. The definition of the limit using Euler's formula.....	520
10.3. The rational form of the compressed core cross-section.....	522
10.4. Practical calculation of compressed rods priority.....	524
Experimental study of how Sereny lose priority.....	527
10.5. Longitudinal and transverse bending.....	534
CHAPTER XI. DYNAMIC VOLTAGE.....	548
General ponyatiya.....	548
11.1. The definition of voltage when driving with the specified acceleration.....	549
11.2. The definition of voltage vibration dvizhenii.....	551
11.3. Voltage at impact.....	554
11.4. Drum tension rods with variable cecenia.....	558
Verification of material by means of spot checks sharpy.....	561
CHAPTER XII. VARIABLE VOLTAGE.....	567
12.1. Types of stress cycles.....	568
12.2. The definition of the fatigue limit in a symmetrical cycle.....	570
12.3. Determination of the endurance limit in a symmetric cycle.....	572
12.4. The condition of a constant under variable stresses.....	573
CHAPTER XIII. CONTROL EXPERIMENTAL DEFORMATION AND VOLTAGE.....	591
The value of the principle and experimental verification.....	591
GLOSSARY.....	596
MECHANICS OF MATERIALS SCIENTISTS WHO HAVE MADE SIGNIFICANT CONTRIBUTIONS TO THE DEVELOPMENT OF SCIENCE.....	611
ADABIYOTLAR.....	620



ISBN 978-9943-6988-4-0

9 789943 698840